Katalog grodzisk Warmii i Mazur

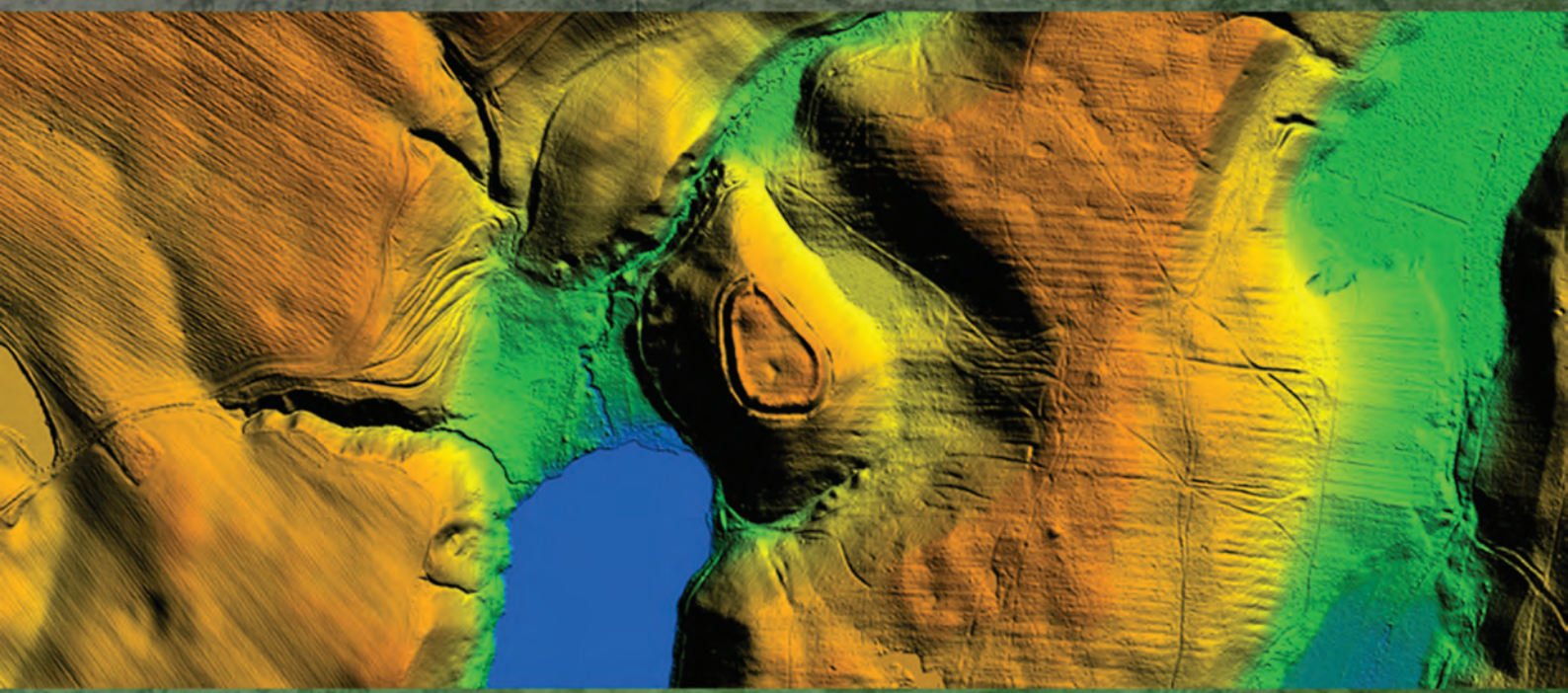

pod redakcją
Zbigniewa Kobylińskiego

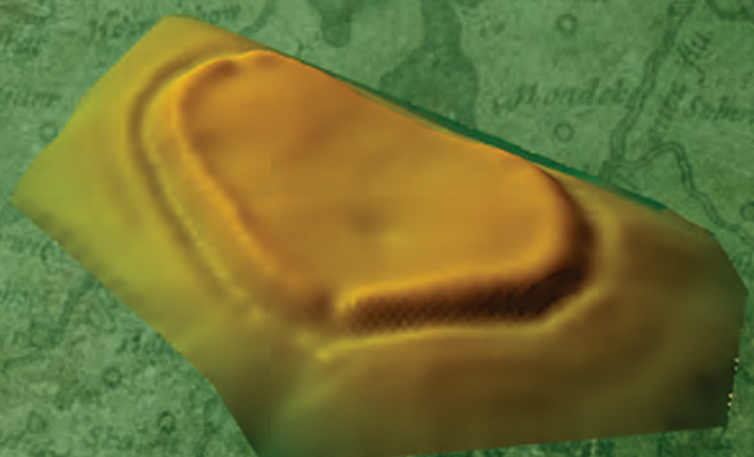

Tom 1

Instytut Archeologii
Uniwersytetu Kardynała Stefana Wyszyńskiego w Warszawie

Fundacja Res Publica Multiethnica

Katalog grodzisk Warmii i Mazur

pod redakcją Zbigniewa Kobylińskiego

Tom 1

Autorzy

Monika Badura, Aneta Chojnacka-Banaszkiewicz, Janusz Budziszewski, Anna Gręzak, Anna Jaskulska, Urszula Kobylińska, Maria Lityńska-Zając, Magdalena Moskal-del Hoyo, Jerzy Nitychoruk, Karol Piasecki, Joanna Piątkowska-Małecka, Katarzyna Pińska, Kamil Rabiega, Magdalena Rutyna, Rafał Solecki, Tomasz Stępnik, Dariusz Wach, Fabian Welc i Jacek Wysocki

Warszawa 2017

Publikacja wydana z funduszy projektu badawczego

Narodowego Programu Rozwoju Humanistyki

Katalog grodzisk Warmii i Mazur. Część 1. Pomezania, Pogezania i Warmia

NARODOWY PROGRAM
ROZWOJU HUMANISTYKI

Publikacja recenzowana do druku przez dr. Wojciecha Brzezińskiego
i prof. dr. hab. Przemysława Urbańczyka

Redakcja: Zbigniew Kobyliński

Projekt książki i skład: Bartłomiej Gruszka

Korekty: Urszula Kobylińska i Zbigniew Kobyliński

Projekt okładki: Weronika Kobylińska-Bunsch

Copyright © 2017 by Instytut Archeologii Uniwersytetu Kardynała Stefana Wyszyńskiego
w Warszawie and Fundacja Res Publica Multiethnica

ISBN 978-83-946496-3-0

ISBN 978-83-948352-0-0

Wydawnictwo:

Fundacja Res Publica Multiethnica

Ul. Cypryjska 44

02-761 Warszawa

http://res-publica-multiethnica.pl

SPIS TREŚCI

Wprowadzenie 6

GMINA KISIELICE

Łodygowo, st. 1 7

Łodygowo, st. 2 53

Stary Folwark, st. 1 107

Stary Folwark, st. 2 195

Trupel, st. 4 209

GMINA SUSZ

Karolewo, st. 1 239

Susz, st. 1 253

GMINA IŁAWA

Gulb, st. 1 297

Iława, st. 33 – Wielka Żuława 311

Kamionka, st. 9 351

Laseczno Małe, st. 1 421

GMINA GODKOWO

Podągi, st. 2 431

Zimnochy, st. 2 463

WPROWADZENIE

ZBIGNIEW KOBYLIŃSKI

Oddawana w ręce Czytelnika publikacja stanowi jeden z rezultatów projektu badawczego Narodowego Programu Rozwoju Humanistyki *Katalog grodzisk Warmii i Mazur. Część 1. Pomezania, Pogezania i Warmia*, realizowanego przez Instytut Archeologii Uniwersytetu Kardynała Stefana Wyszyńskiego w Warszawie, we współpracy z innymi instytucjami naukowymi, przede wszystkim z Instytutem Archeologii i Etnologii PAN, w latach 2012–2017.

Projekt ten, którym miałem przyjemność kierować, miał na celu zainicjowanie sporządzania pełnego kompendium wiedzy na temat historycznych obwałowań, zwanych grodziskami, znajdujących się na terenie województwa warmińsko-mazurskiego, pochodzących z okresów od starożytności przez średniowiecze, aż do czasów nowożytnych. Potrzeba takiego projektu była oczywista – podczas gdy na innych terenach dzisiejszej Polski już przed wielu laty dokonano inwentaryzacji i dokumentacji tego rodzaju obiektów archeologicznych (np. na Ziemi Chełmińskiej[1], Mazowszu[2], w Polsce Środkowej[3], w Wielkopolsce[4], na Pomorzu Środkowym[5], czy na Śląsku[6]), w odniesieniu do terytorium województwa warmińsko-mazurskiego, ze względu na trudności spowodowane znacznym zalesieniem terenu, trudną do interpretacji geomorfologię, stanowiącą rezultat dynamicznych procesów glacjalnych, ale także i ze względu na brak dotychczasowego zainteresowania ze strony archeologów, pozostawały pod tym względem w znacznym stopniu nierozpoznane, a w literaturze funkcjonowały nadal niesprawdzone informacje zebrane niegdyś przez krajoznawców i archeologów niemieckich, przede wszystkim takich, jak Emil Hollack (1860–1924), Hans Crome (1864–1943), czy Carl Engel (1883–1944). Ten stan rzeczy był niezwykle niekorzystny dla nauki, bowiem na niesprawdzonych informacjach budowane były historyczne syntezy i tworzone opracowania kartograficzne o wartości niemożliwej do weryfikacji. Postulaty dotyczące sporządzenia zweryfikowanego katalogu grodzisk Pomezanii, Pogezanii i Warmii pojawiały się w literaturze już dawno[7], ale udało się zainicjować działania dopiero w roku 2012 dzięki akceptacji projektu przez Narodowy Program Rozwoju Humanistyki.

Założeniem projektu było zatem zebranie wszelkich archiwalnych informacji na temat domniemanych grodzisk z regionu stanowiącego przedmiot projektu, dostępnych w archiwach polskich i niemieckich (archiwum dawnego Prussia Museum w Królewcu, obecnie znajdujące się Berlinie)[8] oraz zweryfikowanie ich za pomocą badań geologicznych i archeologicznych. Równocześnie badania archeologiczne miały za zadanie dostarczyć informacji na temat chronologii i funkcji zweryfikowanych grodzisk, pozwalając włączyć je w narrację historyczną na temat dziejów dawnych ziem pruskich. Oczywiście, działania podjęte w ramach realizacji projektu nie ograniczały się tylko do weryfikacji (czy falsyfikacji) informacji archiwalnych. Jedną z najważniejszych części projektu było aktywne poszukiwanie, wszelkimi dostępnymi obecnie metodami prospekcji, nieznanych dotąd grodzisk. Oprócz „klasycznych" metod poszukiwawczych stosowanych w archeologii, takich jak systematyczne poszukiwania powierzchniowe, kluczową rolę odegrała w tym aspekcie analiza danych pochodzących z lotniczego skanowania terenu (ALS) uzyskiwanych za pomocą urządzenia zwanego LiDAR. Dzięki analizie zobrazowań tych danych udało się bowiem odkryć kilka zupełnie dotąd nieznanych grodzisk, ukrytych w lasach zachodniej części województwa warmińsko-mazurskiego. Dodatkowo do zestawu metod prospekcyjnych włączono także badania geofizyczne[9] i poszukiwania podwodne[10].

Działania w ramach projektu obejmowały badania geologiczne każdego z obiektów stanowiących potencjalne grodziska, badania wykopaliskowe (obejmujące zazwyczaj przekrój przez wał lub wały grodziska) oraz analizy pozyskanego w trakcie tych wykopalisk materiału źródłowego, w tym m.in. badania archeozoologiczne, archeobotaniczne[11], dendrologiczne[12], ceramologiczne[13], a także datowanie radiowęglowe i termoluminescencyjne pobranych próbek[14]. Projekt w latach 2012–2017 objął zachodnią część województwa warmińsko-mazurskiego, a dokładniej tereny gmin Iława, Kisielice, Susz i Zalewo w powiecie iławskim oraz Łukta, Miłomłyn, Małdyty, Morąg, Miłakowo i Ostróda w powiecie ostródzkim. Dodatkowo uwzględniono obiekty znajdujące się administracyjnie w gminie Godkowo w powiecie elbląskim, ale położone tuż przy granicy wymienionego wyżej obszaru badawczego.

---

1 Chudziakowa (red.) 1994.

2 Górska *et al.* 1976.

3 Kamińska 1953.

4 Kowalenko 1938; Hensel 1950–1959; Hensel i Hilczer-Kurnatowska 1972–1987; Hensel, Hilczer-Kurnatowska i Łosińska 1995.

5 Olczak i Siuchniński 1966–1971, 1985–1989.

6 Żurowski i Jakimowicz 1939; Kaletyn, Kaletyn i Lodowski 1968; Kaźmierczyk, Macewicz i Wuszkan 1977.

7 Pawłowski 1990: 60–61.

8 Szczepański 2013.

9 Herbich 2013; Misiewicz i Małkowski 2013.

10 Pydyn 2013, 2016; Popek *et al.* 2013.

11 Lityńska-Zając i Moskal-del Hoyo 2016.

12 Stępnik 2016.

13 Bojanowski, Kobylińska i Kobyliński 2013; Bojanowski *et al.* 2016; Kałużna-Czaplińska, Kobylińska i Kobyliński 2013; Kałużna-Czaplińska *et al.* 2016.

14 Kobyliński 2016: 107–108.

Realizacja projektu przyniosła ogromną masę wielorakich informacji, które nie mogły zostać opublikowane w jednej tylko publikacji i w jednej tylko formie. Oddawane w ręce Czytelnika obecnie dwa tomy *Katalogu grodzisk Warmii i Mazur* (pomyślane jako początek serii, która powinna być kontynuowana w przyszłości) obejmują w związku z tym tylko te grodziska, w liczbie trzydziestu, które po badaniach okazały się być tworami antropogenicznymi i należeć do kategorii grodzisk w ścisłym rozumieniu tego terminu, a więc obiektów posiadających konstrukcje w postaci wałów ziemnych, bądź to otaczających ograniczoną przestrzeń, bądź oddzielających naturalnie wydzielającą się pod względem geomorfologicznym przestrzeń, np. cypel wysoczyzny, od otwartego terenu.

Obiekty, w liczbie 56, które – pomimo często zaskakującej formy terenowej – okazały się nie być tworami antropogenicznymi, zostały przedstawione w odrębnej publikacji[15]. Odrębnie także zostaną opublikowane wyniki badań tych stanowisk późnośredniowiecznych, które co prawda są niewątpliwie tworami ludzkimi i mają charakter obronny, ale zawierają elementy architektury murowanej, nie wykazały natomiast obecności wałów ziemnych. Odrębnie, dla zachowania klarowności niniejszego katalogu, postanowiono także potraktować stanowisko 2 w Wenecji, gm. Morąg, pow. ostródzki, które okazało się być kurhanem z okresu wpływów rzymskich, jednak być może – po wyrabowaniu – wtórnie wykorzystanym w średniowieczu do celów obronnych, o czym świadczyć zdaje się włączenie go w system długich wałów, interpretowanych zwykle jako granice terytoriów plemiennych. Część grodzisk objętych działaniami w ramach realizacji projektu była już wcześniej przedmiotem ograniczonych badań wykopaliskowych. Zdecydowano się jednak włączyć je do projektu ze względu na to, że dotychczasowe wyniki badań nie były opublikowane w ogóle, albo opublikowane w zdawkowej formie. Część badaczy zgodziła się przekazać realizatorom obecnego projektu materiały ze swoich dawnych badań[16]. Jedynym grodziskiem znajdującym się na terenie objętym zasięgiem projektu, którego nie zdecydowano się ponownie badać wykopaliskowo, jest grodzisko w Ornowie-Lesiaku, st. 3, gm. Ostróda, pow. ostródzki, które już dwukrotnie w przeszłości podlegało rozległym badaniom wykopaliskowym, a wyniki jego badań były kilkakrotnie obszernie opublikowane[17].

Uzupełnieniem niniejszego Katalogu jest zainicjowana w roku 2013 seria wydawnicza pod nazwą *Grodziska Warmii i Mazur*[18], zawierająca m.in. podsumowujące opracowania wyników specjalistycznych badań przeprowadzonych w ramach realizacji projektu oraz m.in. informacje o grodziskach z innych terenów ziem pruskich, opracowane przez uczestników projektu, ale także i przez innych autorów. Publikacje te będą – mamy nadzieję – kontynuowane w przyszłości w ramach serii wydawniczej *Archaeologica Hereditas. Prace Instytutu Archeologii Uniwersytetu Kardynała Stefana Wyszyńskiego w Warszawie* i w jej ramach publikowane będą prace naukowe wykorzystujące źródła zgromadzone m.in. w niniejszym katalogu.

Realizacja projektu była przedsięwzięciem zespołowym. Nie byłaby ona możliwa bez zaangażowania wielu osób i pomocy ze strony wielu instytucji, zwłaszcza bez życzliwego nastawienia władz gmin, na terenie których prowadzone były badania (w tym miejscu ze szczególną wdzięcznością wymienić chciałbym władze gmin Zalewo i Iława). Wszystkie badania geofizyczne przeprowadzili prof. dr hab. Jerzy Nitychoruk z Państwowej Wyższej Szkoły w Białej Podlaskiej i dr Fabian Welc z Instytutu Archeologii UKSW. Na podstawie własnych pomiarów geodezyjnych w terenie wszystkie plany warstwicowe i trójwymiarowe wizualizacje grodzisk wykonał mgr Jacek Błaszczyk[19]. W archeologicznych badaniach terenowych wzięło udział w mniejszym lub większym zakresie wielu archeologów (prof. Przemysław Urbańczyk, dr Michał Bieniada, dr Rafał Solecki, dr Joanna Wawrzeniuk, dr Jacek Wysocki, dr Katarzyna Zeman-Wiśniewska, dr Magdalena Żurek, mgr Jarosław Chrapek, mgr Bartłomiej Klęczar, mgr Aleksandra Orłowska, mgr Kamil Rabiega, mgr Magdalena Rutyna, mgr Daniel Skoczylas i mgr Katarzyna Zdeb z Instytutu Archeologii UKSW oraz Dariusz Wach z Instytutu Archeologii i Etnologii PAN) i studentów archeologii Uniwersytetu Kardynała Stefana Wyszyńskiego, bez których wysiłku fizycznego i intelektualnego nie byłoby możliwe uzyskanie tak wielu ważnych informacji na temat badanych grodzisk. Większość materiału ceramicznego opracowała mgr Urszula Kobylińska. Wszystkie digitalizacje i opracowania kartograficzne wykonał dr Rafał Solecki. Autorami rysunkowej dokumentacji ceramiki zabytkowej są Aneta Chojnacka-Banaszkiewicz, Bartłomiej Karch, Anna Kucharska-Wach, Diana Święcka i Dariusz Wach. Wszystkim tym – i wielu innym – osobom należą się wyrazy szczególnej wdzięczności.

Mam nadzieję, że prace nad pełnym katalogiem grodzisk Warmii i Mazur będą mogły być kontynuowane w kolejnych latach.

[15] Kobyliński *et al.* 2016.

[16] Wyrazy wdzięczności należą się dr. Janowi Michalskiemu za udostępnienie materiałów z badań w Łodygowie, st. 1, gm. Kisielice, pow. iławski, dr. hab. Annie Marciniak-Kajzer za udostępnienie materiałów z badań w Zajaczkach, st. 1, gm. Ostróda, pow. ostródzki i dr. Sławomirowi Wadylowi za udostępnienie materiałów z badań grodziska w Lipowcu, st. 1, gm. Ostróda, pow. ostródzki.

[17] Mirkowska 2004; Wadyl 2012a, 2013b: 114–123; Kurzyk i Wadyl 2015.

[18] Kobyliński (red.) 2013, 2016.

[19] Współrzędne wykopów oraz położenie obiektów i warstw zostały podane w niniejszej publikacji w odniesieniu do lokalnych siatek pomiarowych. Współrzędne geograficzne i geodezyjne możliwe są do odczytania z opracowań kartograficznych w geoportalu internetowym grodziska-warmia-mazury.pl, powiązanym z niniejszą publikacją.

Łodygowo, st. 1

Gmina Kisielice

Powiat iławski

AZP 27-49/1

Współrzędne geograficzne:

N 53° 37’ 18,02’’

E 19° 11’ 4,13’’

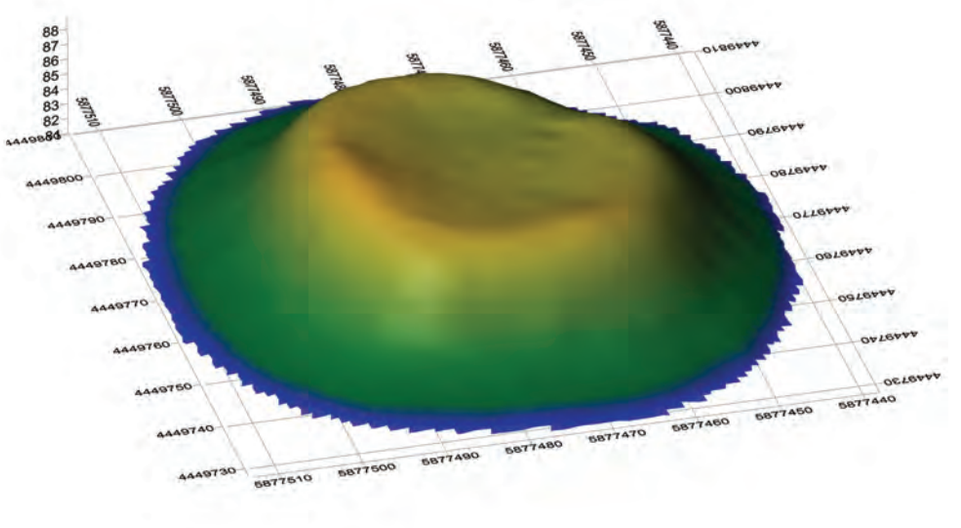

Łodygowo, st. 1

Ryc. 1. Grodzisko w Łodygowie, st. 1 na mapie w skali 1:25 000 (na podstawie materiałów CODGiK, oprac. R. Solecki)

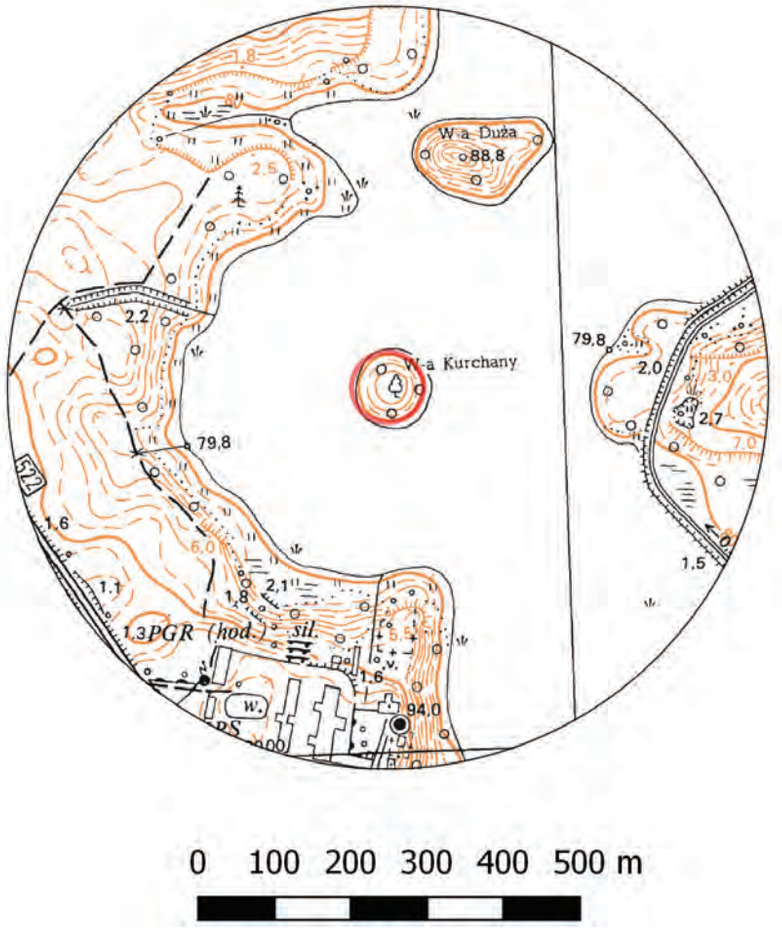

Ryc. 2. Grodzisko w Łodygowie, st. 1 na mapie w skali 1:10 000 (na podstawie materiałów CODGiK, oprac. R. Solecki)

POŁOŻENIE GRODZISKA I JEGO FORMA

KAMIL RABIEGA

Stanowisko 1 w Łodygowie położone jest na wyspie w obrębie dawnego Jeziora Łodygowskiego (obecnie stawów rybnych) (ryc. 1–2). Wyspa jest owalnym pagórkiem z poziomicą 80 m n.p.m. u podstawy i 85 m n.p.m. na wierzchołku. Jego lokalizacja sprawia, że pozostałości grodu zachowały się w bardzo dobrym stanie, ponieważ od czasu zaprzestania osadnictwa w średniowieczu wyspa nie została później osiedlona.

Samo grodzisko ma bardzo wyraźną własną formę terenową w postaci stożka o ściętym wierzchołku (ryc. 3–5). W przybliżeniu koliste w planie, ma 60–70 m średnicy i w całości porośnięte jest gęstą roślinnością (krzewami i drzewami). W dobrym stanie zachowała się forma owalnego wału wyniesionego około 1 m nad poziom majdanu. W południowo-wschodniej części wału znajduje się obniżenie, które może sugerować, że w tym miejscu znajdowała się brama wjazdowa na pomost.

W odległości około 320 m na północny wschód od stanowiska znajduje się Wyspa Duża, na której także odkryto grodzisko (Łodygowo, st. 2). Badania archeologiczne na tym stanowisku prowadzone były w 1984 r., a także w ramach projektu *Katalog grodzisk Warmii i Mazur* w 2014 r.[1]

ŚRODOWISKO FIZYCZNO-GEOGRAFICZNE

JERZY NITYCHORUK I FABIAN WELC

Okolice zbiornika wodnego, w obrębie którego znajdują się wyspy ze stanowiskami archeologicznymi, są zbudowane z gliny zwałowej. Na takim obszarze rozwinęły się gleby płowe, głównie VI klasy. Miejsca podmokłe i położone w pobliżu zbiornika, to obszar zajęty przez gleby bagienne, jednak nie jest on ani dominujący ani istotny do analiz zróżnicowania gleb (ryc. 6).

Badane grodzisko w Łodygowie, st. 1 zajmuje wyspę, która jest pagórkiem o charakterystycznym owalnym kształcie, z płaskim wierzchołkiem, który jest ograniczony stromymi krawędziami. Powierzchnia pagórka wznosi się około 5,0 m od lustra wody w stawie. Do głębokości około 0,9 m występują tu piaski zailone z duża ilością humusu, fragmentami polepy lub cegieł, węglami drzewnymi, pozostałościami zaprawy wapiennej, poniżej których nawiercono glinę zwałową piaszczystą, barwy brązowej z licznymi wytrąceniami węglanu wapnia, która stanowi calec. U podnóża wzgórka występuje do głębokości 0,7 m

Ryc. 3. Grodzisko w Łodygowie, st. 1, na drugim planie wyspa, na której znajduje się grodzisko w Łodygowie, st. 2. Widok od strony południowej (fot. J. Wysocki)

piasek nieco ilasty z dużą ilością humusu, skorupkami ślimaków i małży, drobnych fragmentów cegieł, ceramiki i polepy.

Osady występujące do około 0,9 m głębokości zawierają fragmenty cegieł, polepy, pojedyncze węgle drzewne i stanowią warstwę użytkowaną przez człowieka. Osady nawiercone u podnóża pagórka nie są wypełnieniem fosy, ale reprezentują sedymentację brzegową w jeziorze. Fragmenty cegieł w tych osadach pochodzą ze spływów ze szczytu pagórka (ryc. 7–8).

BADANIA ARCHEOLOGICZNE

KAMIL RABIEGA

Przebieg badań terenowych

Pierwsze odkrycia archeologiczne w obrębie akwenu Łodygowo miały miejsce już pod koniec XIX w., gdy w wyniku osuszenia jeziora odsłonięte zostały pozostałości dawnych przepraw mostowych, a także dwóch grodzisk. Pierwotne określenie jeziora *lacus in Trumpnia* znane w 1289 roku odnosiło się do „jeziora w Trumiejach" i nie stanowiło nazwy własnej. Dopiero w 1302 roku pojawia się właściwa nazwa jeziora jako *Krobenest*[2].

Jezioro, pod nazwą *Krobenest* funkcjonuje jeszcze na mapie opublikowanej w 1893 roku, jednak już w roku 1898 widnieje jako *Ehemaliger Krobenestsee* (byłe jezioro *Krobenest*). Co więcej, widoczne pozostałości jednego z mostów zostały zaznaczone jako *Pfahlroste* na mapie niemieckiej wydanej w roku 1910. Wówczas na terenie dawnego jeziora rozciągały się bagna, przez które przepływała rzeka Gardęga. W późniejszym czasie teren ten funkcjonował jako

[1] Por. opracowanie wyników badań tego grodziska, w niniejszej publikacji.

[2] Inf. ustna S. Szczepańskiego.

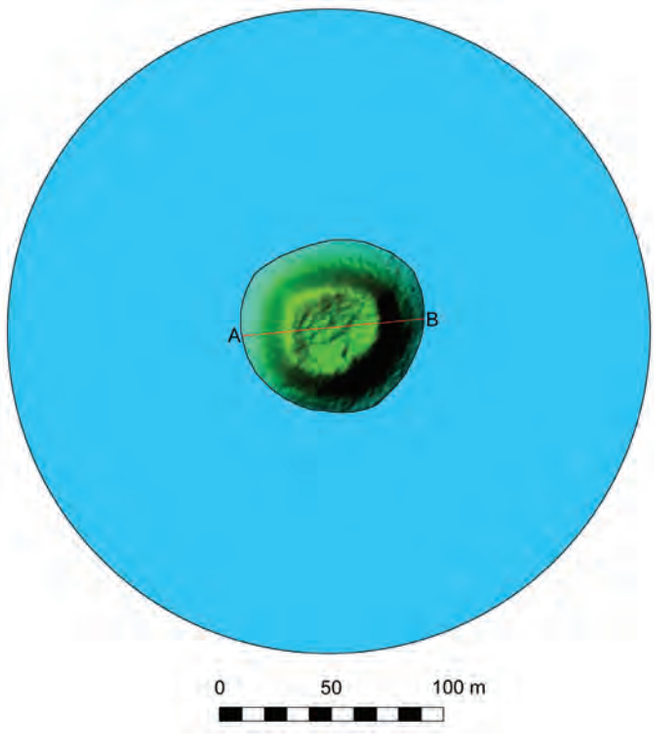

Ryc. 4. Grodzisko w Łodygowie, st. 1 na zobrazowaniu ALS (na podstawie materiałów CODGiK, oprac. R. Solecki)

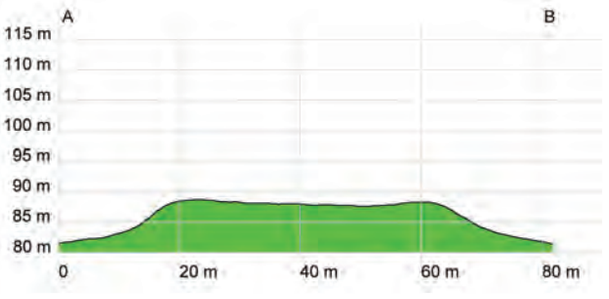

Ryc. 5. Przekrój wzdłuż osi W–E grodziska w Łodygowie, st. 1 uzyskany z danych ALS (na podstawie materiałów CODGiK, oprac. R. Solecki)

Galinowskie Łąki[3], a w 1974 roku na obszarze dawnego jeziora *Krobenest* założono stawy rybne, które funkcjonują do dzisiaj.

Odsłonięcie dobrze zachowanych i unikatowych w tym rejonie przepraw mostowych skłoniło niemieckich badaczy do zainteresowania się tym obszarem pod względem archeologicznym[4]. Wstępne badania na tym terenie przeprowadził S.S. Schultze w 1882 r.[5], jednak pierwsze prace o charakterze wykopaliskowym zostały zrealizowane przez Hugo Conwentza w 1892 r.[6] Pierwszą dokumentację rysunkową odsłoniętych pozostałości przeprawy mostowej wykonał Alexander Rehberg w 1892 r. Cennym jej uzupełnieniem są zdjęcia Rudolfa Hermanna wykonane w 1909 r. (ryc. 9–11) w związku z badaniami wykopaliskowymi realizowanymi przez Muzeum w Gdańsku[7]. Ówczesne badania zaowocowały odkryciem pozostałości wczesnośredniowiecznego grodu datowanego na XII–XIV w., a także śladów starszego osadnictwa z wczesnej epoki żelaza w południowej oraz północnej części wyspy[8]. Zdjęcia R. Hermanna opublikował w 1938 r. Wolfgang La Baume[9], przedstawiając jednocześnie wyniki własnych prac na grodzisku, a także dokonania wcześniejszych badaczy[10].

Po wojnie, w okresie gdy nie istniała jeszcze na tym terenie hodowla ryb, przeprowadzono weryfikację powierzchniową stanowiska, jak i położonych w pobliżu dwóch innych o podobnym charakterze. W 1968 r. zostało wpisane do rejestru zabytków archeologicznych.

W 1984 roku badania archeologiczne grodziska przeprowadzili Jan Michalski i Jacek Kowalski z ramienia Instytutu Archeologii Uniwersytetu Warszawskiego[11]. Założono wówczas trzy wykopy wzdłuż osi NE–SW w południowo zachodniej części grodziska[12]. Wykopy archeologiczne oddzielone były od siebie świadkami, a ich łączna powierzchnia wynosiła 30,5 m^2. Wykop 1 o wymiarach 5 x 2 m obejmował wewnętrzny stok wału. Wykop 2 o wymiarach 3,5 x 2 m został wytyczony na szczycie wału i jego zewnętrznym stoku. Początkowo wykop miał wymiary 4 x 2 m, jednak postanowiono ograniczyć go od strony zachodniej świadkiem grubości 0,5 m. Na przedłużeniu wykopów 1 i 2 w kierunku północno-wschodnim, już na obszarze majdanu grodziska założono wykop 3, który miał wymiary 4,5 x 3 m (ryc. 12).

Podczas badań w 1984 r. odkryto wiele fragmentów ręcznie lepionych naczyń o powierzchniach chropowaconych i obmazywanych[13], a układ wykopów pozwolił na uzyskanie ciągłego przekroju południowo-zachodniej części grodziska. Jan Michalski wskazywał wtedy na dwa horyzonty osadnicze grodziska. Pierwszy z nich nawiązywał do kultury kurhanów zachodniobałtyjskich z wczesnej epoki żelaza, a drugi to ślady osadnictwa wczesnośredniowiecznego[14]. Badacz ten rozszerzył studia nad dawnym osadnictwem akwenu łodygowskiego prowadząc prace także na

[3] Leyding 1972: 40.
[4] Lissauer 1887: 187; Behla 1888.
[5] Pydyn 2016: 85.
[6] Conwentz 1892; 1905: 13.
[7] Antoniewicz 1954: 331.
[8] Antoniewicz 1954: 331
[9] La Baume 1938.
[10] La Baume 1938: 155.
[11] Michalski i Budziszewski 1993: 224.
[12] Michalski 1984, 1985a: 136.
[13] Michalski 1989: 133–137; Hoffmann 1999a: 90.
[14] Michalski 1984, 1985a: 136, 1989: 133–137.

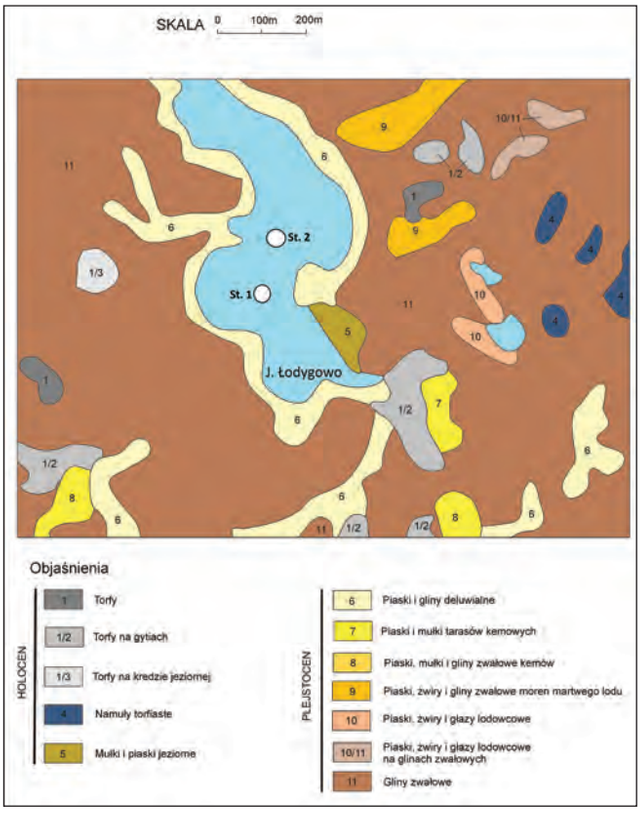

Ryc. 6. Mapa geologiczna okolic grodziska w Łodygowie, st. 1 (oprac. J. Nitychoruk i F. Welc)

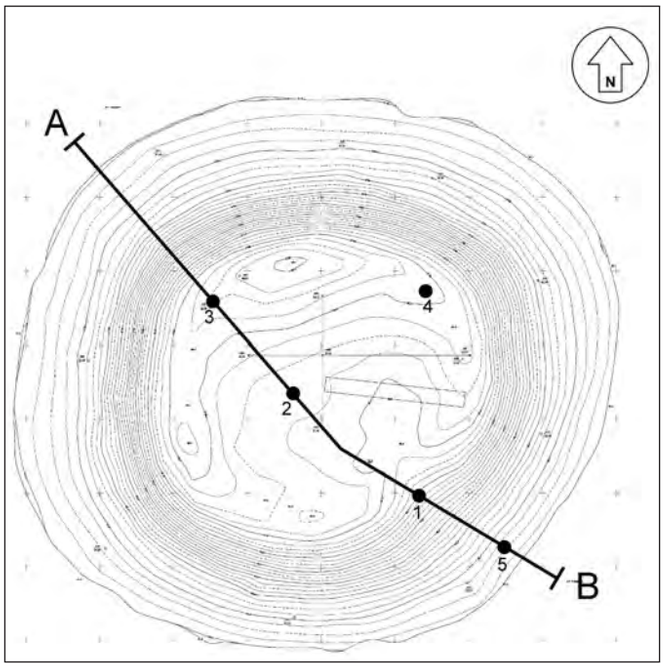

Ryc. 7. Łodygowo, st. 1. Plan warstwicowy grodziska (wyk. J. Błaszczyk) z zaznaczonymi miejscami wierceń geologicznych (oprac. J. Nitychoruk i F. Welc)

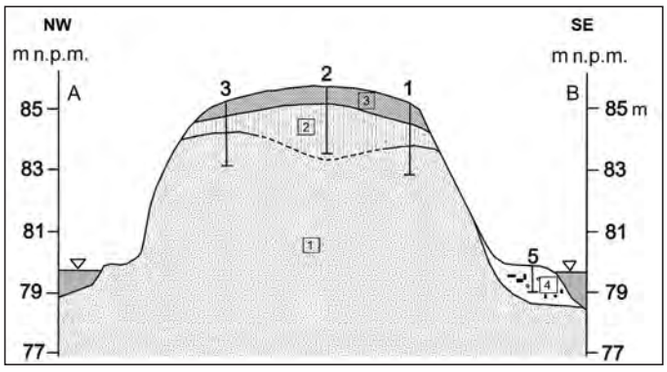

Ryc. 8. Przekrój geologiczny grodziska w Łodygowie, st. 1: 1 – piaski (kemowe), 2 – gliny spływowe, 3 – warstwa archeologiczna, 4 – osady stokowe zawierające artefakty (oprac. J. Nitychoruk i F. Welc)

dwóch pozostałych wyspach dawnego jeziora – Wyspie Dużej (Łodygowo, st. 2) i w Galinowie, st. 1[15].

Kolejne prace inwentaryzacyjne przepraw mostowych w Łodygowie odbyły się w 1996 roku w ramach archeologicznych badań podwodnych prowadzonych przez Wojciecha Chudziaka z Instytutu Archeologii Uniwersytetu Mikołaja Kopernika w Toruniu[16].

Nowych informacji na temat grodziska dostarczyły prace prowadzone przez Instytut Archeologii UKSW w 2013 r., na które składały się badania wykopaliskowe związane z projektem *Katalog grodzisk Warmii i Mazur*, a także badania podwodne w ramach projektu *Niedestrukcyjne kompleksowe rozpoznanie zasobów archeologicznych dna jezior strefy brzegowej w wybranych akwenach Pojezierza Iławskiego w ramach podwodnego AZP*.

Badania podwodne akwenu w Łodygowie przeprowadził dr hab. Andrzej Pydyn z Zakładu Archeologii Podwodnej Instytutu Archeologii Uniwersytetu Mikołaja Kopernika w Toruniu. Przeprowadzono wówczas trzy prospekcje, a także wykonano prace nieinwazyjne przy użyciu sonaru bocznego, echosondy, georadaru i profilera dennego. W trakcie tych badań udało się zlokalizować i namierzyć pozostałości dwóch przepraw mostowych prowadzących na grodzisko od strony wschodniej i południowej. Pozyskano również liczny materiał zabytkowy w postaci ceramiki, przedmiotów metalowych i kości zwierzęcych[17].

W trakcie prac wykopaliskowych prowadzonych w ramach projektu *Katalog Grodzisk Warmii i Mazur* otworzono jeden wykop o wymiarach 2 x 19 m, który wytyczono na osi W–E na wschodniej części wyspy,

[15] Realizatorzy projektu *Katalog grodzisk Warmii i Mazur* dziękują dr. Janowi Michalskiemu za udostępnienie archiwalnej dokumentacji jego badań oraz znalezionych podczas tych badań zabytków do analizy.

[16] Kazimierczak *et al.* 2013.

[17] Pydyn 2016: 85.

obejmując obszar od krawędzi grodziska do centrum majdanu (ryc. 12). Wykop przeciął szczyt i wewnętrzny stok wału, a także fragment majdanu grodziska. Celem badawczym było rozpoznanie funkcji i chronologii grodziska.

Ryc. 9. Łodygowo, st. 1. Pozostałości mostu biegnącego na południe od wyspy na zdjęciu wykonanym w 1909 r. (fot. R. Hermann, wg La Baume 1938)

Ryc. 10. Łodygowo, st. 1. Pozostałości mostu biegnącego na południe od wyspy na zdjęciu wykonanym w 1909 r. (fot. R. Hermann, wg La Baume 1938)

Stratygrafia stanowiska

W trakcie badań archeologicznych przeprowadzonych w 1984 r. wydzielono 20 jednostek stratygraficznych, a podczas badań w 2013 roku – 35 (tab. 1). Łącznie w wyniku badań archeologicznych wydzielono 55 jednostek, które podzielono na cztery główne fazy związane z użytkowaniem tego obiektu (ryc. 13–19).

Warstwy naturalne

Warstwy kulturowe wału i majdanu południowo-zachodniej części grodziska zalegały na naturalnej warstwie żółtej gliny z wytrąceniami żelazistymi 9/1984, natomiast warstwy użytkowe wału i majdanu wschodniej części grodziska zalegały na naturalnej piaszczysto-gliniastej warstwie żółtej gleby 13.

Faza I – wczesna epoka żelaza

Grodzisko funkcjonowało już we wczesnej epoce żelaza. Świadczą o tym znaleziska fragmentów ceramiki pochodzącej z tego okresu. Podczas budowy grodu wczesnośredniowiecznego zniwelowano starsze nawarstwienia majdanu. Ślady stanowiące o osadnictwie w Fazie I zachowały się pod wałem we wschodniej części grodziska (W1/2013). Odsłonięto tam ślad owalnego wkopu 31 o średnicy 100 cm, wraz z wypełniskiem 32 o jasnoszaro-żółtej barwie. Ponadto, na stoku wału znajdowała się przepalona warstwa gliny z wytrąceniami wapiennymi 34, którą także należy łączyć z tą fazą osadnictwa. W pobliżu, u stoku wału (50 cm w kierunku zachodnim) zachował się dół posłupowy 23 o średnicy 22 cm, a jego wypełnisko stanowiła ciemna ziemia 24.

Na obszarze wału i majdanu w południowo-zachodniej części grodziska (W1, W2, W3) nie zaobserwowano nawarstwień pochodzących z wczesnej epoki żelaza, jednak w warstwach młodszych zidentyfikowano nieliczne fragmenty ceramiki z tej fazy użytkowania.

Ryc. 11. Łodygowo, st. 1. Pozostałości mostu biegnącego na południe od wyspy na zdjęciu wykonanym w 1909 r. (fot. R. Hermann, wg La Baume 1938)

Faza II – budowa i funkcjonowanie grodu w średniowieczu

We wczesnym średniowieczu starsze nawarstwienia zostały zniwelowane w celu budowy konstrukcji obronnych. Wzniesiono wał, który umocniony był płaszczem kamiennym i zwieńczony przypuszczalnie pewnego rodzaju konstrukcją drewnianą[18]. Na stoku wału przepalona warstwa 34 została przecięta przez wbity słup, który zachował się w postaci regularnego okrągłego dołu posłupowego 29 o średnicy 50 cm, z wypełniskiem ciemnej tłustej gliny 30. Wał we wschodniej części grodu nadsypano warstwą twardej gliny z widocznymi wytrąceniami wapiennymi 33, a także zbitą, piaszczystą twardą ziemią 2, w której zaobserwowano jaśniejsze przebarwienia (być może pozostałości piasku z jasną zaprawą). Warstwę użytkową zagłębienia przywałowego w trakcie funkcjonowania grodu we wczesnym średniowieczu stanowiła przemieszana piaszczysto-gliniasta warstwa 28. Powyżej, w zagłębieniu przywałowym, powstała

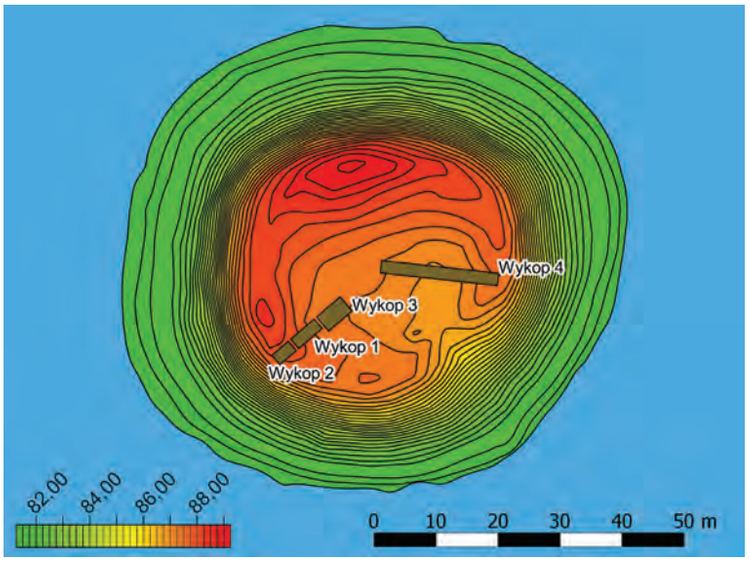

Ryc. 12. Plan sytuacyjno-wysokościowy grodziska w Łodygowie, st. 1 z rozmieszczeniem wykopów i wierceń z sezonów 1984 i 2013 (na podstawie pomiarów J. Błaszczyka, oprac. R. Solecki)

[18] Michalski 1985a: 136.

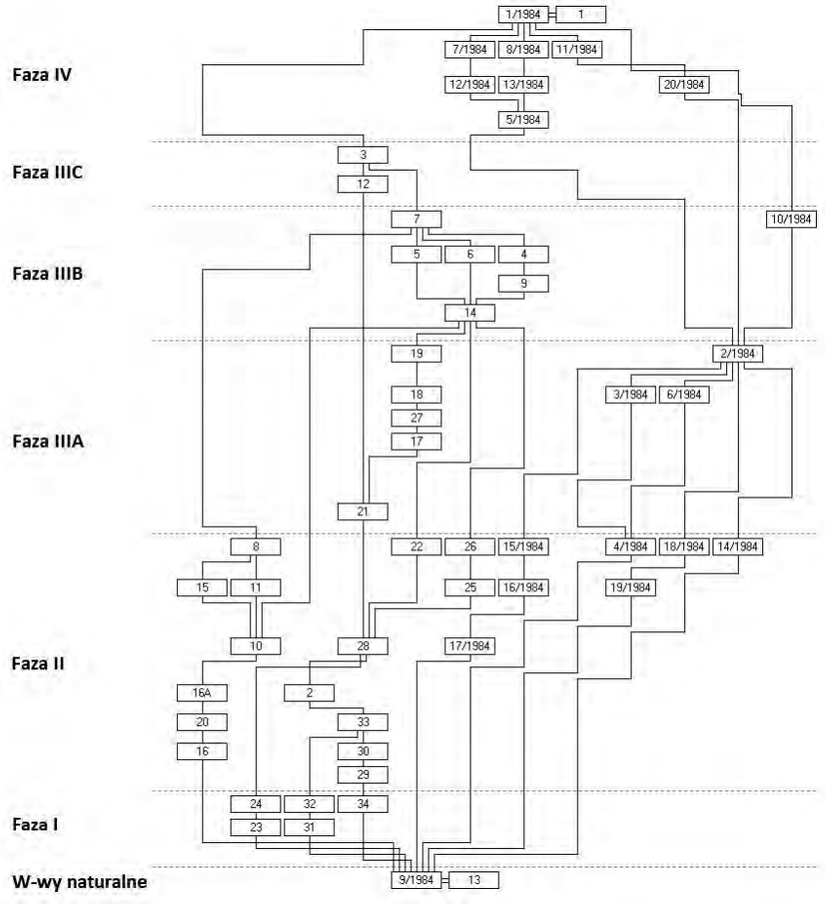

Ryc. 13. Łodygowo, st. 1. Diagram relacji stratygraficznych (oprac. K. Rabiega)

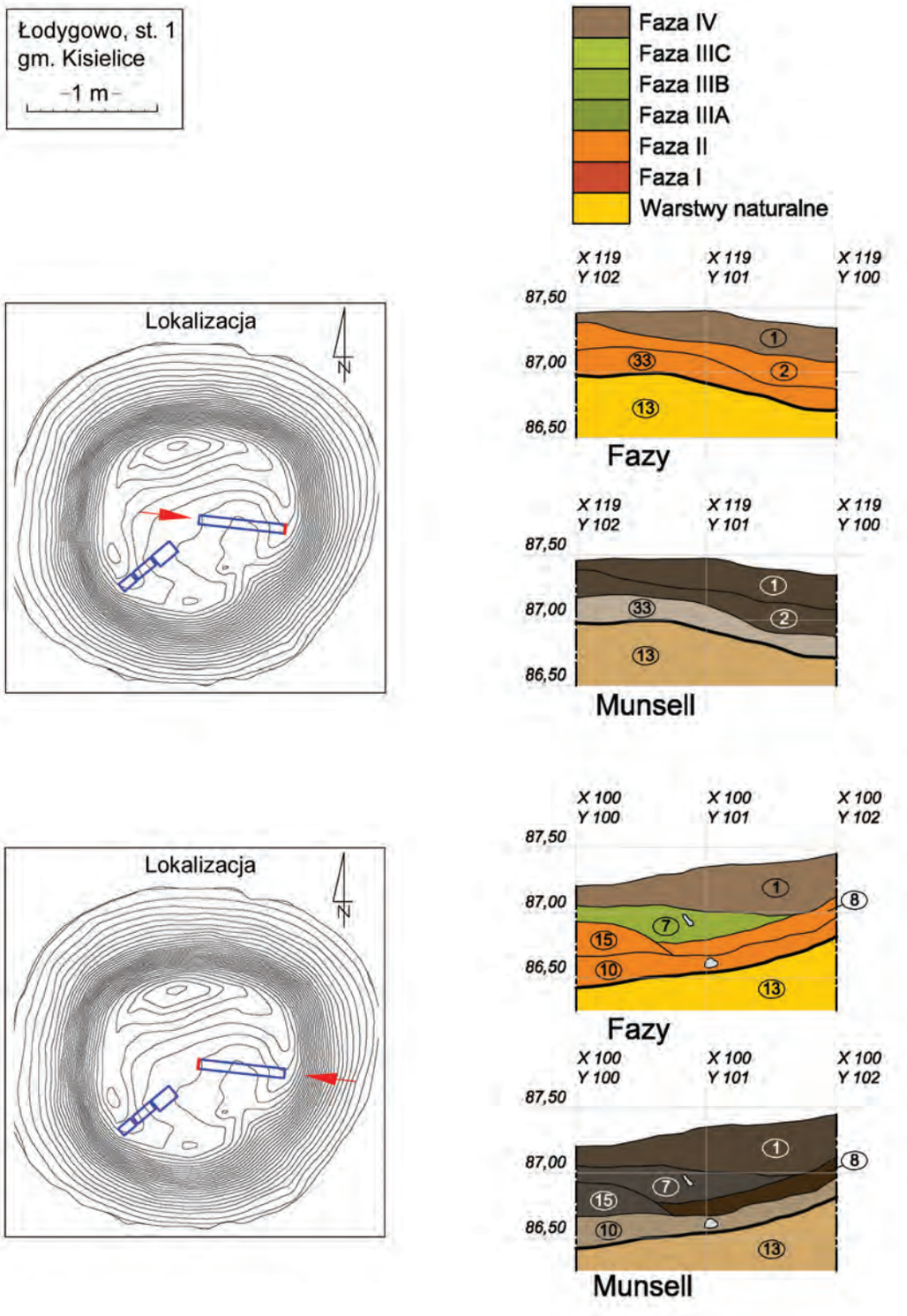

Ryc. 14. Łodygowo, st. 1. Stratygrafia nawarstwień wschodniej części grodziska (oprac. K. Rabiega i R. Solecki)

Łodygowo, st. 1
gm. Kisielice
–1 m–

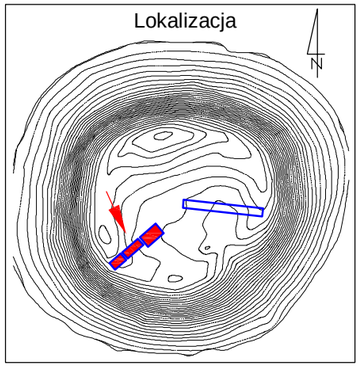

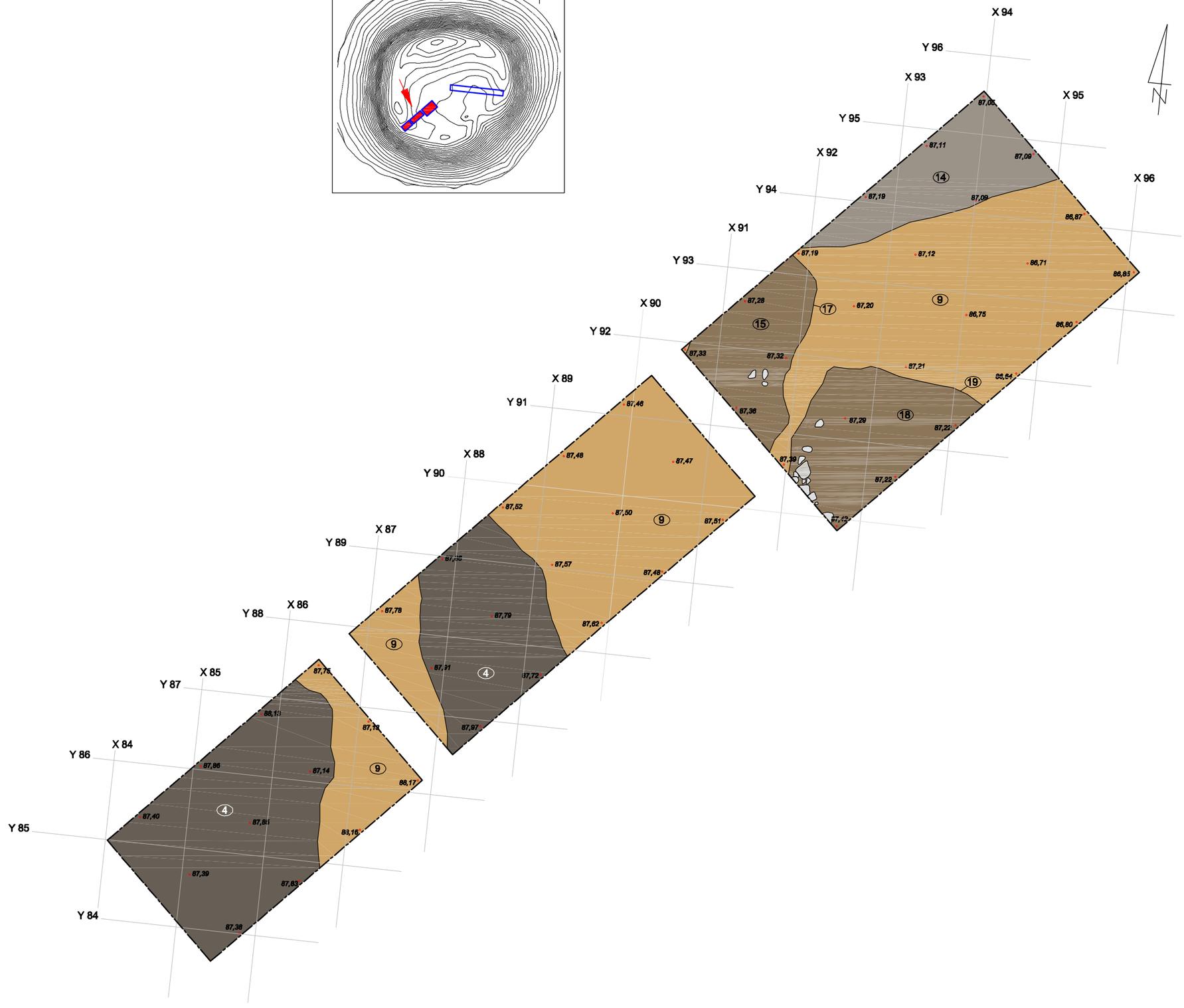

Ryc. 15. Łodygowo, st. 1. Plan obiektów i nawarstwień z południowo-zachodniej części grodziska z Fazy II (oprac. K. Rabiega i R. Solecki)

Łodygowo, st. 1
gm. Kisielice
–1 m–

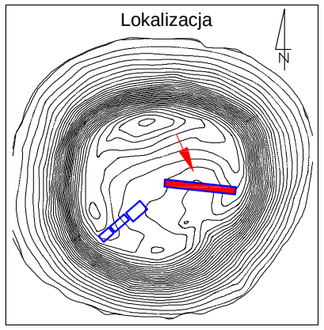

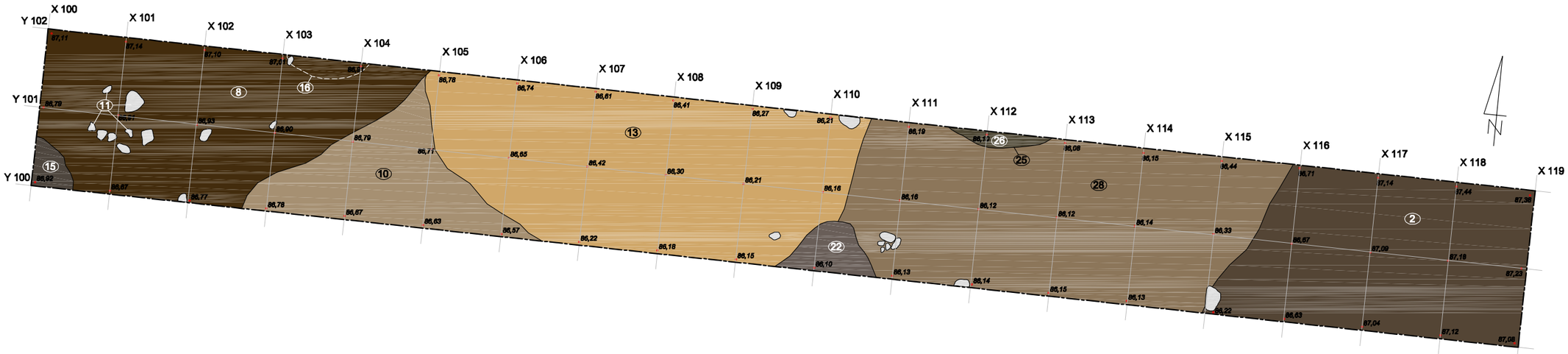

Ryc. 16. Łodygowo, st. 1. Plan obiektów i nawarstwień ze wschodniej części grodziska z Fazy II (oprac. K. Rabiega i R. Solecki)

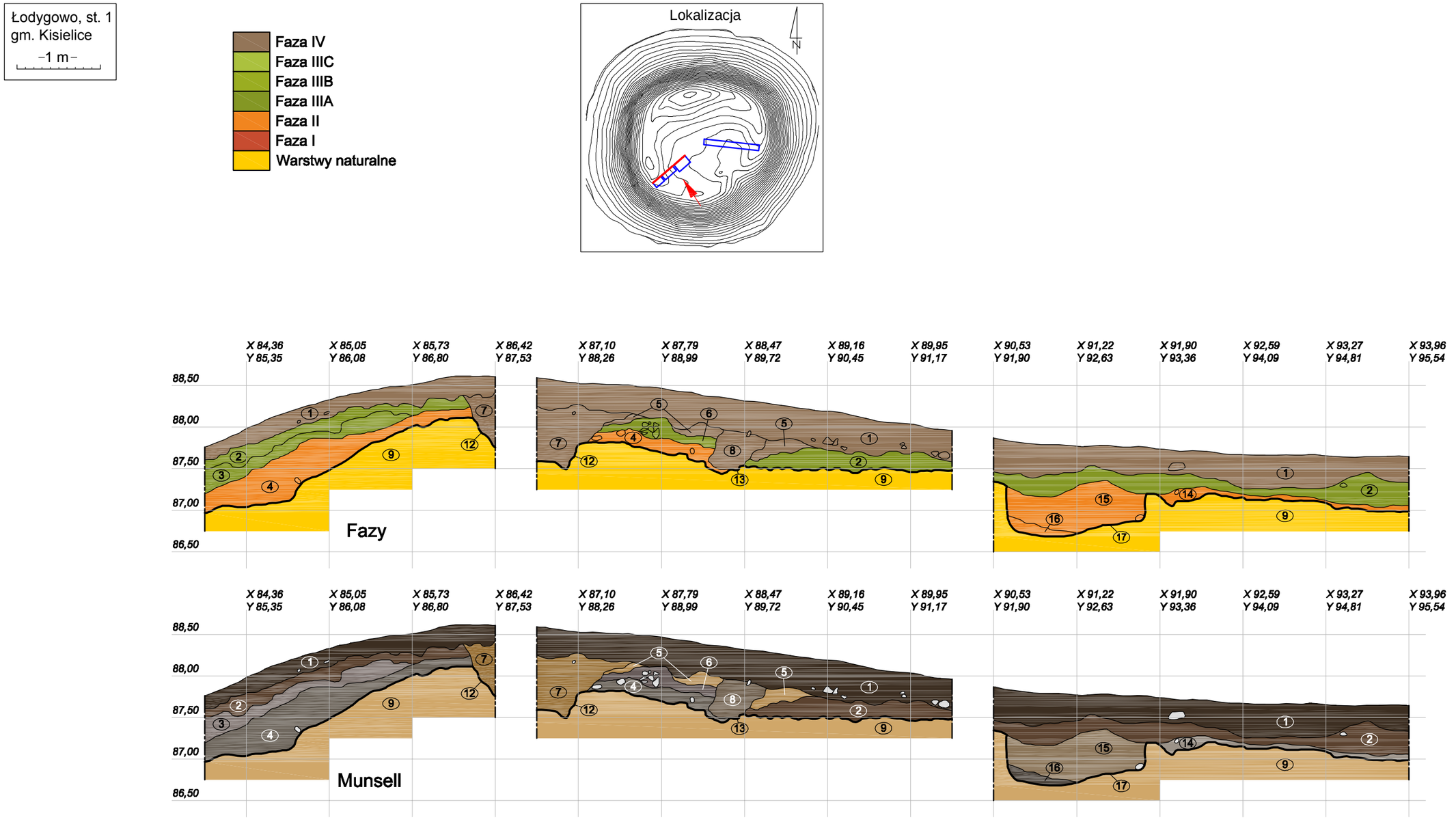

Ryc. 17. Łodygowo, st. 1. Stratygrafia nawarstwień południowo-zachodniej części grodziska (oprac. K. Rabiega i R. Solecki)

Łodygowo, st. 1
gm. Kisielice
–1 m–

Faza IV
Faza IIIC
Faza IIIB
Faza IIIA
Faza II
Faza I
Warstwy naturalne

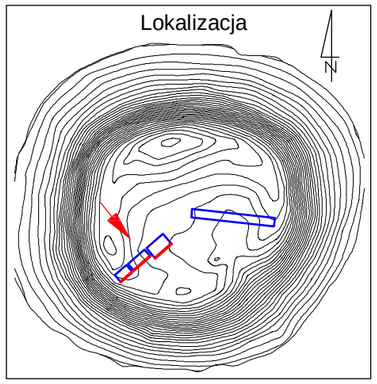

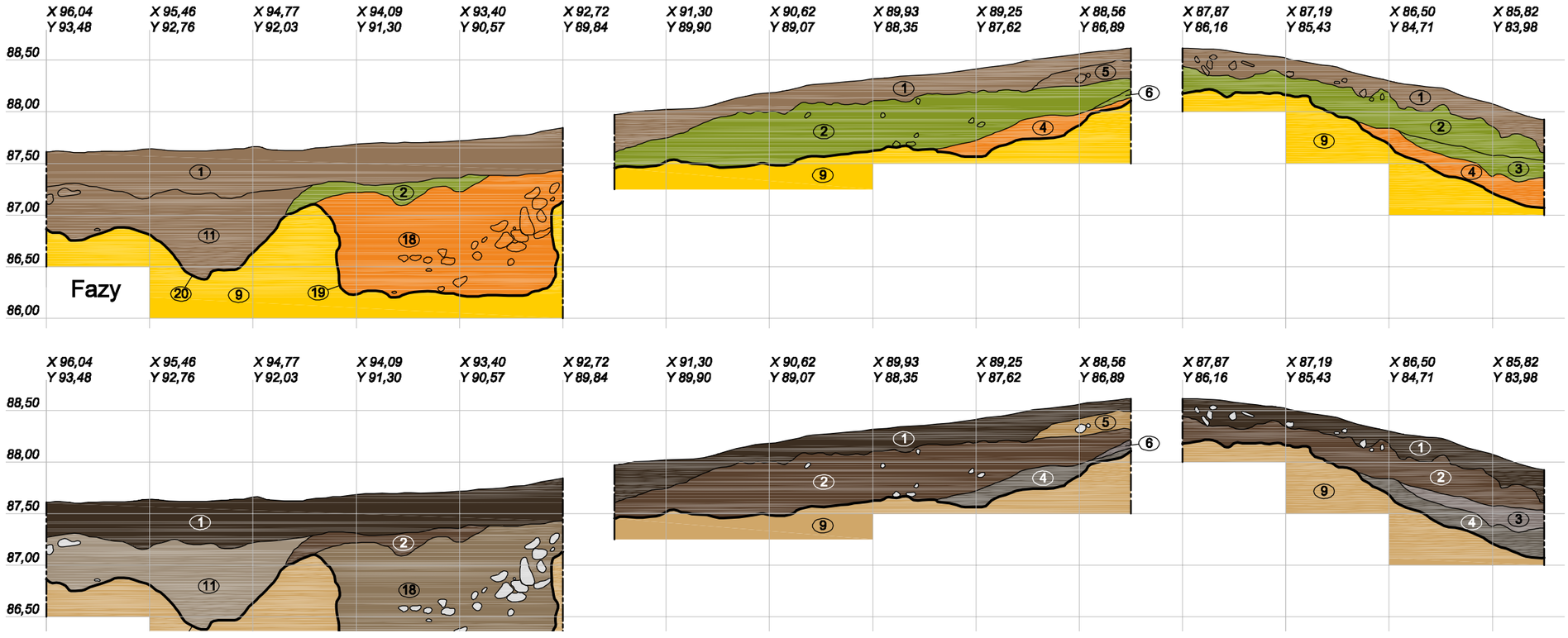

Ryc. 18 Łodygowo, st. 1. Stratygrafia nawarstwień południowo-zachodniej części grodziska (oprac. K. Rabiega i R. Solecki)

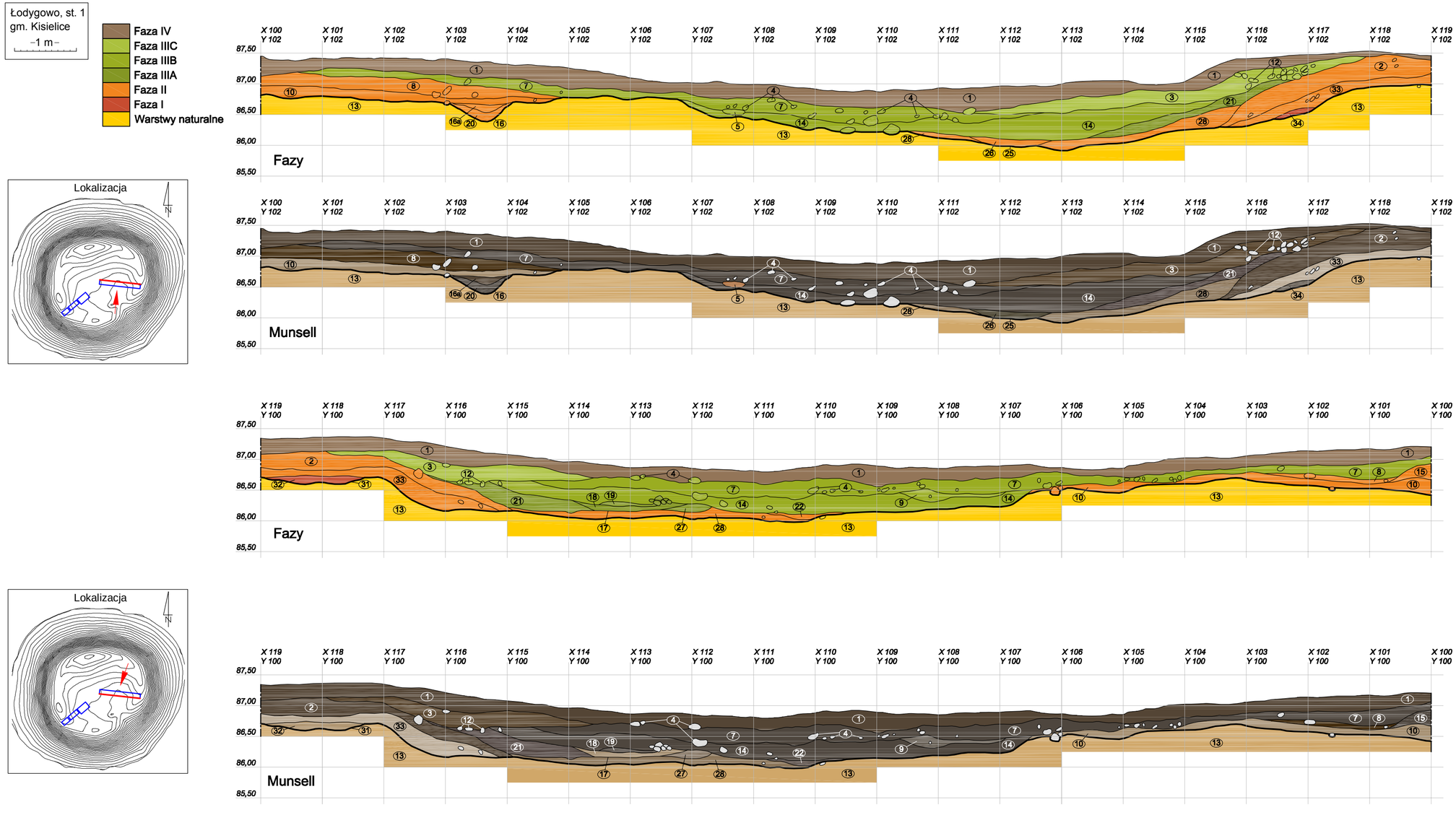

Ryc. 19. Łodygowo, st. 1. Stratygrafia nawarstwień wschodniej części grodziska (oprac. K. Rabiega i R. Solecki)

Tabela 1. Katalog warstw z opisem poszczególnych jednostek stratygraficznych grodziska w Łodygowie, st. 1 (oprac. K. Rabiega)

Numer jednostki	Numer obiektu	Numer wykopu	Położenie w obrębie stanowiska	Współrzędne siatki pomiarowej stanowiska	Opis jednostki stratygraficznej	Barwa (Munsell)	Pozycja stratygraficzna	
							Znajduje się pod	Znajduje się nad
1/1984=1	-	1, 2, 3, 4	Cały obszar grodziska	-	Ciemna, piaszczysta ziemia; zawierała fragmenty polepy, ceramiki i kości; humus; miąższość do 75 cm (średnio ok. 35–40 cm)	10YR 3/2	-	2/1984, 5/1984, 6/1984, 7/1984, 8/1984, 9/1984, 10/1984, 11/1984, 12/1984, 13/1984, 18/1984, 19/1984, 20/1984, 2, 3, 7, 8
2/1984	-	1, 2, 3	Obszar wału i majdanu południowo-zachodniej części grodziska	-	Gliniasta ziemia; warstwa osuwiskowa; miąższość do 35 cm	7,5YR 3/3	1/1984, 5/1984, 10/1984, 12/1984, 13/1984, 20/1984	3/1984, 4/1984, 6/1984, 9/1984, 14/1984, 15/1984, 17/1984, 18/1984, 19/1984
3/1984	-	2	Zawnętrzny stok południowo-zachodniego wału	-	Gliniasta ziemia; warstwa zsuwowa; miąższość do 20 cm	2,5YR 5/1	2/1984	4/1984
4/1984	-	1, 2	Zawnętrzny i wewnętrzny stok południowo-zachodniego wału	-	Piaszczysta ziemia ze śladami spalenizny; warstwa użytkowa; miąższość do 45 cm	10YR 4/1	2/1984, 3/1984, 6/1984, 12/1984, 13/1984	9/1984
5/1984	-	1	Szczyt i wewnętrzny stok południowo-zachodniego wału	-	Gliniasta ziemia zalegająca na warstwach erozyjnych; prawdopodobnie ślad po wkopie rabunkowym; miąższość do 15 cm	10YR 6/6	1/1984, 12/1984, 13/1984	2/1984, 6/1984
6/1984	-	1	Szczyt i wewnętrzny stok południowo-zachodniego wału	-	Gliniasta przepalona ziemia; zawierała rumosz kamienny; warstwa erozyjna; miąższość do 30 cm	10R 4/1	1/1984, 2/1984, 5/1984, 12/1984, 13/1984	4/1984, 9/1984
7/1984	12/1984	1, 2	Szczyt południowo-zachodniego wału	-	Gliniasto-piaszczysta ziemia; wypełnisko obiektu 12/1984; prawdopodobnie ślad po wkopie rabunkowym; miąższość do 75 cm	10YR 5/6	1/1984	12/1984
8/1984	13/1984	1	Wewnętrzny stok południowo-zachodniego wału	-	Gliniasta ziemia; wypełnisko obiektu 13/1984; prawdopodobnie ślad po wkopie rabunkowym; miąższość do 48 cm	10YR 4/2	1/1984	13/1984
9/1984=13	-	1, 2, 3, 4	Cały obszar grodziska	-	Piaszczysto-glinasta ziemia z wytrąceniami żelazistymi; calec	10YR 7/6	1/1984, 2/1984, 4/1984, 6/1984, 12/1984, 13//1984, 14/1984, 17/1984, 19/1984, 20/1984, 2, 7, 8, 10, 14, 16, 22, 23, 25, 28, 29, 31, 33, 34	-
10/1984	-	1, 2	Południowo-zachodni wał grodziska	-	Rumosz kamienny; kamienie do średnicy 15 cm; pozostałość umocnień wału	-	1/1984	2/1984
11/1984	20/1984	3	Obszar majdanu w południowo-zachodniej części grodziska	-	Wypełnisko obiektu 20/1984; piaszczysta ziemia; prawdopodobnie ślad po wkopie rabunkowym; miąższość do 80 cm	10YR 6/2	1/1984	20/1984
12/1984	12/1984	1, 2	Szczyt południowo-zachodniego wału	-	Duży nieregularny obiekt; prawdopodobnie ślad po wkopie rabunkowym; głębokość do 75 cm	-	1/1984, 7/1984	2/1984, 4/1984, 5/1984, 6/1984, 9/1984
13/1984	13/1984	1	Wewnętrzny stok południowo-zachodniego wału	-	Nieregularny obiekt; prawodopodobnie ślad po wkopie rabunkowym; głębokość 48 cm	-	1/1984, 8/1984	2/1984, 4/1984, 5/1984, 6/1984, 9/1984
14/1984	-	3	Obszar majdanu w południowo-zachodniej części grodziska	-	Piaszczysto-gliniasta ziemia; warstwa użytkowa majdanu grodziska; miąższość do 10 cm	10YR 6/1	2/1984	9/1984

Tabela 1. Ciąg dalszy

Numer jednostki	Numer obiektu	Numer wykopu	Położenie w obrębie stanowiska	Współrzędne siatki pomiarowej stanowiska	Opis jednostki stratygraficznej	Barwa (Munsell)	Pozycja stratygraficzna	
							Znajduje się pod	Znajduje się nad
15/1984	17/1984	3	Zagłębienie przywałowe południowo-zachodniego wału	-	Piaszczysto-gliniasta ziemia; wypełnisko dużego obiektu 17/1984, zawierała rumosz kamienny po ewentualnej konstrukcji ziemianki mieszkalnej lub jamy gospodarczej; miąższość do 55 cm	10YR 5/3	2/1984	16/1984, 17/1984
16/1984	17/1984	3	Zagłębienie przywałowe południowo-zachodniego wału	-	Przepalona piaszczysta ziemia na dnie obiektu 17/1894; miąższość do 13 cm	10YR 3/1	15/1984	17/1984
17/1984	17/1984	3	Zagłębienie przywałowe południowo-zachodniego wału	-	Duży prostokątny obiekt; w jego wypełnisku znajdował się rumosz kamienny; ziemianka mieszkalna lub jama gospodarcza; głębokość 55 cm	-	2/1984, 15/1984, 16/1984	9/1984
18/1984	19/1984	3	Zagłębienie przywałowe południowo-zachodniego wału	-	Przemieszana piaszczysta ziemia; wypełnisko obiektu 19/1984; zawierała rumosz kamienny po ewentualnej konstrukcji wewnątrz ziemianki mieszkalnej lub jamy gospodarczej; miąższość do 120 cm	10YR 5/3	1/1984, 2/1984	19/1984
19/1984	19/1984	3	Zagłębienie przywałowe południowo-zachodniego wału	-	Duży prostokątny obiekt; w jego wypełnisku znajdował się rumosz kamienny; ziemianka mieszkalna lub jama gospodarcza; głębokość 120 cm	-	1/1984, 2/1984, 18/1984	9/1984
20/1984	20/1984	3	Obszar majdanu w południowo-zachodniej części grodziska	-	Obiekt o nieregularnym kształcie; prawdopodobnie ślad po wkopie rabunkowym; głębokość do 80 cm	-	1/1984, 11/1984	2/1984, 9/1984
2	-	4	Wewnętrzny stok i szczyt wschodniego wału	X=115–119; Y=100–102	Zbita, piaszczysta, twarda ziemia z jasnymi przebarwieniami; nasyp wału; być może zawierała pozostałości zaprawy; miąższość do 35 cm	10YR 3/2	1/1984, 3, 12, 21, 28	9/1984, 33
3	-	4	Wewnętrzny stok i zagłębienie przywałowe wschodniego wału	X=111,80–118; Y=100–102	Pas ciemnej, tłustej, piaszczystej ziemi z drobinami polepy; warstwa erozyjna; miąższość do 30 cm	10YR 3/3	1/1984	2, 7, 12, 14, 21
4	-	4	Zagłębienie przywałowe wschodniego wału	X=102,80–111,60; Y=101–102	Luźny rumosz kamienny; kamienie od 5 cm do 25 cm średnicy; pozostałość bruku lub konstrukcji kamiennej	-	7	9, 14
5	-	4	Zagłębienie przywałowe wschodniego wału	X=107,50–108,10; Y=101,10–102	Pas polepy o szerokości 10 cm; znajdujący się na zachód od skupiska kamieni 6; element konstrukcji w zagłębieniu przywałowym; miąższość do 10 cm	5 YR 5/8	7	14
6	6	4	Zagłębienie przywałowe wschodniego wału	X=108–108,50; Y=101,10–101,90	Małe owalne skupisko (średnica ok. 60 cm) kamieni; kamienie o długości do 16 cm; ściście ułożone, ograniczone od zachodu polepą 5; element konstrukcji	-	7	14
7	-	4	Obszar majdanu we wschodniej części grodziska	X=100–114,60; Y=100–102	Ciemna piaszczysta ziemia; zawierała liczne drobiny polepy oraz ślady rozłożonego drewna; warstwa erozyjna; miąższość do 25 cm	10YR 3/1	1/1984, 3	9/1984, 4, 5, 6, 8, 9, 10, 14, 15
8	-	4	Obszar majdanu we wschodniej części grodziska	X=100–105; Y=100–102	Lekko zbita ziemia z wtrętami organicznymi; warstwa użytkowa; miąższość do 20 cm	10YR 2/4	1/1984, 7	9/1984, 10, 11, 15
9	-	4	Zagłębienie przywałowe wschodniego wału	X=107–108,60; Y=100–101	Przemieszana warstwa jasnej i ciemnej piaszczystej ziemi; tworząca depozyt o nieregularnym kształcie; warstwa erozyjna; miąższość do 20 cm	10YR 4/1	4, 7	14
10	-	4	Obszar majdanu we wschodniej części grodziska	X=100–104,70; Y=100–102	Przemieszana warstwa tłustej, ciemnej i jasnej gliny; występują liczne fragmenty ceramiki; warstwa użytkowa; miąższość do 25 cm	10YR 6/3	7, 8, 14, 15	9/1984, 16, 16A, 20

Tabela 1. Ciąg dalszy

Numer jednostki	Numer obiektu	Numer wykopu	Położenie w obrębie stanowiska	Współrzędne siatki pomiarowej stanowiska	Opis jednostki stratygraficznej	Barwa (Munsell)	Pozycja stratygraficzna	
							Znajduje się pod	Znajduje się nad
11	-	4	Obszar majdanu we wschodniej części grodziska	X=100,64–101,50; Y=100,54–101,36	Skupisko kamieni o średnicy 20–40 cm; kamienie o długości do 26 cm	-	8	10
12	-	4	Wewnętrzny stok wschodniego wału	X=115,5–117; Y=100–102	Rumosz kamienny w skupiskach; kamienie o średnicy ok. 10-15 cm; powstały w wyniku procesów erozyjnych z wału	-	3	2, 21
14	-	4	Zagłębienie przywałowe wschodniego wału	X=106,50–115,50; Y=100–102	Tłusta, zbita, piaszczysta ziemia z dorbinami polepy, a także wtrętów organicznych i węgla drzewnego; warstwa erozyjna; miąższość do 40 cm	10YR 3/1	3, 4, 5, 6, 7, 9	9/1984, 10, 17, 18, 19, 21, 22, 25, 26, 27, 28
15	-	4	Obszar majdanu we wschodniej części grodziska	X=100–100,63; Y=100–100,67	Depozyt ciemnej, piaszczystej ziemi o trójkątnym kształcie w planie; odsłonięta w narożniku wykopu; nawarstwienie użytkowe; miąższość do 25 cm	10YR 3/1	7, 8	10
16	16	4	Obszar majdanu we wschodniej części grodziska	X=103–104,09; Y=101,75–102	Obiekt o nieregularnym kształcie (wchodzi w N profil); głębokość 30 cm	10YR 3/1	10, 20	9/1984
16A	16	4	Obszar majdanu we wschodniej części grodziska	X=103–104; Y=101,75–102	Piaszczysto-gliniasta ziemia; wyższe wypełnisko obiektu 16; miąższość do 12 cm	10YR 3/2	10	20
17	17	4	Zagłębienie przywałowe wschodniego wału	X=111,70–113,90; Y=100–100,70	Obiekt o prostokątnym w planie kształcie (wchodzi w S profil); pozostałość zniszczonej konstrukcji; głębokość 15 cm	-	14, 18, 27	21, 28
18	17	4	Zagłębienie przywałowe wschodniego wału	X=112–113,90; Y=100–100,70	Pas jasnej, piaszczystej ziemi; niższy element wypełniska obiektu 17; ślad po ewentualnej konstrukcji; miąższość do 10 cm	10YR 6/3	14, 19	17, 27
19	17	4	Zagłębienie przywałowe wschodniego wału	X=112,50–113,50; Y=100–100,70	Ciemna, piaszczysta ziemia; wyższy element wypełniska obiektu 17; otoczona warstwą 18; ślad po ewentualnej konstrukcji; miąższość do 8 cm	10YR 3/1	14	18
20	17	4	Obszar majdanu we wschodniej części grodziska	X=103–104,09; Y=101,75–102	Piaszczysta ziemia; niższe wypełnisko obiektu 16; miąższość do 18 cm	10YR 3/1	10, 16A	16
21	-	4	Wewnętrzny stok i zagłębienie przywałowe wschodniego wału	X=113,50–116,70; Y=100–102	Ciemna, tłusta, gliniasta ziemia; warstwa zsuwowa; miąższość do 30 cm	5YR 2,5/1	3, 12, 14, 17	2, 28
22	-	4	Obszar majdanu przy wschodnim wale	X=109,50–110,70; Y=100–100,50	Piaszczysto-gliniasta ziemia; cienka warstwa użytkowa; widoczna w południowym profilu wykopu; miąższość do 8 cm	5YR 4/1	14	9/1984, 28
23	23	4	Wewnętrzne podnóże wschodniego wału	X=115,30–115,50; Y=101,30–101,50	Obiekt o okrągłym kształcie; średnica ok. 22 cm; dół posłupowy; głębokość 15 cm	-	24, 28	9/1984
24	23	4	Wewnętrzne podnóże wschodniego wału	X=115,30–115,50; Y=101,30–101,50	Piaszczysta ziemia; wypełnisko obiektu 23; miąższość do 15 cm	2,5YR 3/1	28	23
25	25	4	Zagłębienie przywałowe wschodniego wału	X=111,50–112,86; Y=101,80–102	Obiekt w kształcie półkola (wchodzący w N profil), płytki, nieckowaty; głębokość 10 cm	-	14, 26	9/1984, 28
26	25	4	Zagłębienie przywałowe wschodniego wału	X=111,50–112,86; Y=101,80–102	Depozyt ciemnej piaszczystej ziemi; wypełnisko obiektu 25; miąższość do 10 cm	5Y 3/2	14	25

Tabela 1. Ciąg dalszy

Numer jednostki	Numer obiektu	Numer wykopu	Położenie w obrębie stanowiska	Współrzędne siatki pomiarowej stanowiska	Opis jednostki stratygraficznej	Barwa (Munsell)	Pozycja stratygraficzna	
							Znajduje się pod	Znajduje się nad
27	17	4	Zagłębienie przywałowe wschodniego wału	X=111,70–112,50; Y=100–100,50	Tłusta gliniasta ziemia; dość cienka warstwa stanowiąca niższe wypełnisko obiektu 17; ślad po ewentualnej konstrukcji; miąższość do 14 cm	10YR 5/2	14, 18	17
28	-	4	Zagłębienie przywałowe wschodniego wału	X=110–115,90; Y=100–102	Przemieszana gliniasto-piaszczysta ziemia; warstwa użytkowa; miąższość do 28 cm	10YR 5/3	14, 17, 21, 22, 25	9/1984, 2, 23, 24
29	29	4	Wewnętrzny stok wschodniego wału	X=116–116,50; Y=100,30–100,80	Owalny obiekt; średnica ok. 50 cm; dół posłupowy; głębokość 35 cm	-	30, 33	9/1984, 34
30	29	4	Wewnętrzny stok wschodniego wału	X=116–116,50; Y=100,30–100,80	Tłusta gliniasta ziemia; wypełnisko obiektu 29; miąższość do 35 cm	10YR 4/2	33	29
31	31	4	Szczyt wschodniego wału	X=117,40–118,90; Y=100–101	Obiekt prawdopodobnie owalny (wchodzi w S profil); średnica ok. 100 cm; jama gospodarcza; głębokość 15 cm	-	32, 33	9/1984
32	31	4	Szczyt wschodniego wału	X=117,40–118,90; Y=100–101	Gliniasto-piaszczysta ziemia; wypełnisko obiektu 31; miąższość do 15 cm	10YR 6/4	33	31
33	-	4	Wewnętrzny stok i szczyt wschodniego wału	X=115–119; Y=100–102	Twarda glina z wytrąceniami wapiennymi; nasyp wału; miąższość do 30 cm	10YR 7/2	2	9/1984, 29, 30, 31, 32, 34
34	-	4	Wewnętrzny stok wschodniego wału	X=116,45–117,10; Y=–101,40–102	Przepalona gliniasta ziemia z wytrąceniami wapiennymi; ślad I fazy użytkowania stanowiska; miąższość do 8 cm	10YR 4/1	29, 33	9/1984

cienka warstwa 22, a także płytki nieckowaty obiekt 25 o kształcie półkola, z wypełniskiem ciemnej ziemi 26. Na obszarze majdanu wkopano obiekt 16 o nieregularnym kształcie, który został odsłonięty jedynie częściowo. Jego wypełnisko stanowiły ciemne piaszczysto-gliniaste warstwy 20 oraz 16A. Powyżej odłożyła się przemieszana warstwa użytkowa ciemnoszarej i żółtej gliny 10, w której natrafiono na liczne fragmenty ceramiki. W jej obrębie zachowało się także skupisko kamieni 11. W narożniku wykopu 1/2013, na obszarze majdanu, odsłonięto pokład ciemnej ziemi o trójkątnym kształcie 15, która stanowi kolejne nawarstwienie użytkowe. Powyżej znajdowała się warstwa lekko zbitej ziemi o ciemnej barwie i z organicznymi wtrętami 8.

W południowo-zachodniej części grodziska (W1, W2) warstwę użytkową we wczesnym średniowieczu stanowiła szaro-czarna piaszczysta warstwa ze śladami spalenizny 4/1984. Występowała ona zarówno na zewnętrznym jak i wewnętrznym stoku wału. Na majdanie w południowo-zachodniej części grodziska (W3) poziom użytkowy stanowiła warstwa 14/1984. W zagłębieniu przywałowym znajdowały się dwa sąsiadujące ze sobą, prostokątne obiekty, których wnętrze wypełniała konstrukcja kamienna, zachowana w postaci gruzu. Przypuszczalnie mogły być to ziemianki mieszkalne[19] lub duże jamy gospodarcze. Na dnie obiektu 17/1984 zachowała się przepalona ciemnoszaro-czarna warstwa 16/1984, a jego wyższe wypełnisko składało się z przemieszanej brązowo-szarej ziemi 15/1984, w której znajdowały się duże kamienie (prawdopodobnie zniszczona konstrukcja). Podobnie, obiekt 19/1984 zawierał wypełnisko przemieszanej szaro-brązowej ziemi z rumoszem kamiennym 18/1984.

Faza III – opuszczenie grodziska

Podfaza IIIA

Po zaprzestaniu funkcjonowania grodu we wczesnym średniowieczu konstrukcje obronne wału uległy zniszczeniu. Warstwy erozyjne wraz z pozostałościami konstrukcji zsuwały się ze wschodniego wału w kierunku zagłębienia przywałowego (W1/2013). Na samym majdanie także zaczęły nawarstwiać się jednostki świadczące o opuszczeniu grodziska. Na stoku wału i w zagłębieniu przywałowym powstała zsuwowa warstwa ciemnej, tłustej ziemi 21. U podnóża wału runęła konstrukcja, która została rozpoznana jako prostokątny obiekt 17 wraz z wypełniskiem złożonym z trzech warstw: cienkiej ciemnej warstwy tłustej gliny 27; pasa jasnej ziemi 18; a także płata ciemnej ziemi 19.

Na zewnętrznym stoku południowo-zachodniego wału (W2) powstała warstwa zsuwowa szarej gliniastej

[19] Michalski 1985a: 136.

ziemi 3/1984. Na wewnętrznym stoku zachowały się pozostałości konstrukcji kamienno-glinianej w postaci przepalonej warstwy czerwono-szarej gliny 6/1984, w której występował rumosz kamienny. W południowo-zachodniej części grodziska, zarówno na wale, jak i na obszarze majdanu (W1, W2, W3) powstała osuwiskowa warstwa brunatno-czarnej gliniastej ziemi 2/1984.

Podfaza IIIB

W wyniku postępującej erozji, na stoku i w zagłębieniu przywałowym (W1/2013) powstała warstwa tłustego, zbitego piasku z drobinami polepy i węgli drzewnych 14. Od strony majdanu runęła konstrukcja, której pozostałościami była warstwa polepy 5, a także skupisko kamieni 6. Wtedy także powstał pokład przemieszanej żółtej i czarnej ziemi o nieregularnym kształcie 9. Na całej szerokości wykopu odkryto ślady konstrukcji kamiennej lub bruku w postaci luźnego rumoszu kamiennego 4, który zsunął się od strony majdanu. Powyżej zalegała przemieszana warstwa ciemniej ziemi 7 z licznymi drobinami polepy oraz śladami rozłożonego drewna.

Konstrukcja kamienna wału w południowo-zachodniej części grodziska (W1, W2) runęła i zachowała się w postaci luźnego rumoszu kamiennego 10/1984, zalegającego na całej szerokości odsłoniętych wykopów.

Podfaza IIIC

Z czasem od strony wału, na jego wewnętrznym stoku (W1/2013) utworzyły się kolejne warstwy erozyjne: skupisko kamieni 12, a także pas ciemnej tłustej ziemi z drobinami polepy 3, która zsunęła się także do zagłębienia przywałowego.

Faza IV – współczesny poziom użytkowy

W południowo-zachodnim wale (W1, W2) zaobserwowano duże obiekty, które prawdopodobnie są śladami nowożytnych lub współczesnych wkopów rabunkowych. Na szczycie wału zadokumentowano obiekt 12/1984 z wypełniskiem żółto-brązowej gliniasto-piaszczystej ziemi 7/1984. Dowodem, który potwierdza interpretację obiektu jako młodszego wkopu jest warstwa jasnożółto-brązowej gliny 5/1984, która zalegała na warstwach erozyjnych wału. Jej lokalizacja oraz barwa pozwala przypuszczać, że była to ziemia wydobyta z wkopu, który naruszył także warstwę naturalną. Kolejny późniejszy wkop rabunkowy jest poświadczony poprzez obiekt 13/1984 z wypełniskiem szaro-brązowej gliny 8/1984. Na granicy majdanu i zagłębienia przywałowego także odkryto ślady młodszego wkopu, w postaci nieregularnego obiektu 20/1984 z wypełniskiem jasnoszaro-brązowej ziemi 11/1984.

Obecny poziom użytkowy na całym przebadanym obszarze tworzy ciemna piaszczysta warstwa humusowa 1/1984 (W1, W2, W3) oraz 1 (W1/2013), która charakteryzowała się dużą miąższością. W warstwie tej występowały fragmenty polepy, a także liczne fragmenty ceramiki oraz kości zwierzęcych.

ZNALEZISKA

URSZULA KOBYLIŃSKA

Ceramika

Ogólna charakterystyka zbioru

W trakcie badań wykopaliskowych w 1984 i 2013 roku w nawarstwieniach kulturowych grodziska znaleziono 2883 fragmentów ceramiki z trzech okresów chronologicznych: epoki neolitu/brązu, wczesnej epoki żelaza i wczesnego średniowiecza oraz początków późnego średniowiecza. Wśród materiału wydzielono 331 fragmentów z wylewem (stanowiących odpowiednik 2023% SEN[20]), składających się na 310 różnych naczyń, z tego 16 fragmentów z wylewem z wczesnej epoki żelaza, stanowiących odpowiednik 110% SEN. Wśród brzuśców z wczesnej epoki żelaza 130 fragmentów miało powierzchnię chropowaconą, 20 – powierzchnię gładką, a jedynie 7 fragmentów – powierzchnię wyświeconą. Duża liczba brzuśców – 2083 fragmentów – głównie naczyń szorstkich z okresu średniowiecza była ozdabiana. Wystąpiło ogółem 157 części przydennych i 116 den, stanowiących odpowiednik 1254% SEN. Wśród nich 28 den było wklęsłych, 45 – lekko wklęsłych i 16 – płaskich.

Odkryto 1 fragment ceramiki z późnej epoki neolitu/wczesnej epoki brązu, 283 fragmenty ceramiki z wczesnej epoki żelaza oraz 2599 fragmentów ceramiki z końca wczesnego średniowiecza i początków późnego średniowiecza, w tym między innymi 310 fragmentów ceramiki „siwej" i 7 fragmentów z polewą (tab. 2). Zgromadzony materiał ceramiczny wykazuje cechy lekkiego, częściowego przepalenia w znikomej części (7 fragmentów) oraz silnego zniszczenia i wypłukania powierzchni 218 fragmentów.

Fragmenty naczyń zostały zakwalifikowane głównie do I i II kategorii zniszczenia wg klasyfikacji A. Buko. Fragmenty zaliczone do kategorii O pochodzą z warstw najmłodszych, z ceramiką silnie obtaczaną, siwą i pokrytą polewą, a w kategorii III zgromadzone zostały fragmenty spłukane o zatartych krawędziach głównie ze starszej epoki żelaza. Większość materiału ceramicznego z okresu średniowiecza jest dobrze zachowana i zawiera się w I kategorii zniszczenia. Wyraźnie zaznacza się rozdrobnienie materiału ceramicznego, zawierającego się głównie w przedziałach wielkościowych między 3 a 4 cm. Materiał z wczesnej epoki żelaza

[20] SEN – szacunkowy ekwiwalent naczynia; mierzony jako procent obwodu wylewu lub dna; odnośnie miary SEN zob. Kobylińska 2003: 7.

Tabela 2. Zestawienie ilościowe fragmentów ceramiki z grodziska w Łodygowie, st. 1 (oprac. U. Kobylińska)

Faza	Jednostka stratygraficzna	Liczba fragmentów łącznie	Liczba różnych naczyń	Wylewy			Szyjki	Brzuśce						Ucha	Uchwyt pokrywy	Części przydenne	Dna									Fragmenty przepalone	Fragmenty o wypłukanej powierzchni	Ornament						Ceramika glazurowana	Ceramika siwa	Chronologia			
				Liczba fragmentów	SEN (procent obwodu)	Ornamentowane		Liczba fr. ogółem	Rodzaj powierzchni								Liczba fragmentów	SEN (procent obwodu)	Rodzaj			Wałek dookolny	Podsypka	Odcisk osi	Znak garncarski	Odcinanie			Żłobki dookolne	Linia falista	Ornament plastyczny	Nacięcia i nakłucia	Odciski	Łączna liczba fragmentów ornamentowanych			neolit	wczesna epoka żelaza	Wczesne średniowiecze	Późne średniowiecze
									Chropowacone	Gładkie	Wyświecane	Szorstkie	Nieokreślone						Wklęsłe	Lekko wklęsłe	Płaskie																		
I	32	5	1	1	10			4	1	1		1	1															2									5		
II	2	37	4	6	61		3	23	6	4		13				1	4	51	2	2		3	2	1	1			8	14	2	1	2		15		5		12	20	5
II	8	76	11	12	130		12	37				37			1	9	5	75		3	2	2	3					35	2	1	1	3	39		30			46	30
II	10	5	1	1	3		1	3				3															1			1		1		2		1	2	2
II	11	2						2				2																1					1		1			1	1
II	22	16	3	3	23		1	11				11					1	2	1			1	1					15			2		16					16	
II	26	9	2	3	39			6				6																7					7					9	
II	30	29	5	5	39		5	16	2			12	2			1	2	22		1	1		1					2	14					14			4	25	
II	33	1														1												1									1		
II	15/1984	96	13	15	97		8	62				62				3	9	110	2	5		6	2						51	6	1		1	54					96	
II	18/1984	246	11	12	87		7	198				164	34	3	1	20	5	51	2	1	1	2	2					35	111	8	4	5		119		21		2	223	21
II	4/1984	65	8	9	121		4	43	7	3	1	30	2			4	5	46	2	2		2	3	1				10	26	7				30			20	45	
III A	17	4						4				3	1															1	3					3			1	3	
III A	18	24	1	1	3		1	22				11	11															9	9	1			1	6			8	16	
III A	19	1						1				1																	1									1	
III A	21	3						3	2				1															2									3		
III A	27	2						2				2																	2					2				2	
III A	2/1984	161	20	24	103		5	122	5		1	107	9			9	4	43	1	1	2	2	2					9	69	5	1	1		70		9		15	137	9
III A	3/1984	44	7	7	87		5	24	8	1	2	12	1			4	4	40	2	1		2	3				2	7	16	5		3		22		5		14	22	8
III A	6/1984	51	7	7	37		3	40	2		1	37				1												8	24	3		1	1	24		5		4	41	6
III B	4	2						2				2																	2					2				2	
III B	5	11	1	1	6			8				8				2													8					8				11	
III B	7	271	28	30	234		16	194	11	4		169	10			20	11	86	4	2	1	5	9				1	22	169	11	7	4	3	173		12		22	237	12
III B	14	37	12	12	106		1	22				22					2	75	1	1		2	1					19		2		1	19	1	3			32	5
III C	3	286	37	37	203		23	203	15			155	33			14	9	89		4	2	5	7		1		2	34	112	9	4	2	2	121	2	34		51	191	44
IV	1	957	81	81	319		72	730	40	7	1	637	43	2		38	29	235	4	13	3	11	13		2	1		48	450	19	9	5	2	441	3	140	1	72	723	161

Tabela 2. Ciąg dalszy

Faza	Jednostka stratygraficzna	Liczba fragmentów łącznie	Liczba różnych naczyń	Wylewy: Liczba fragmentów	Wylewy: SEN (procent obwodu)	Wylewy: Ornamentowane	Szyjki	Brzuśce: Liczba fr. ogółem	Brzuśce: Rodzaj powierzchni: Chropowacone	Brzuśce: Rodzaj powierzchni: Gładkie	Brzuśce: Rodzaj powierzchni: Wyświecane	Brzuśce: Rodzaj powierzchni: Szorstkie	Brzuśce: Rodzaj powierzchni: Nieokreślone	Ucha	Uchwyt pokrywy	Części przydenne	Dna: Liczba fragmentów	Dna: SEN (procent obwodu)	Dna: Rodzaj: Wklęsłe	Dna: Rodzaj: Lekko wklęsłe	Dna: Rodzaj: Płaskie	Dna: Wałek dookolny	Dna: Podsypka	Dna: Odcisk osi	Dna: Znak garncarski	Dna: Odcinanie	Fragmenty przepalone	Fragmenty o wypłukanej powierzchni	Ornament: Ziobki dookolne	Ornament: Linia falista	Ornament: Ornament plastyczny	Ornament: Nacięcia i nakłucia	Ornament: Odciski	Ornament: Łączna liczba fragmentów ornamentowanych	Ceramika glazurowana	Ceramika siwa	Chronologia: neolit	Chronologia: wczesna epoka żelaza	Chronologia: Wczesne średniowiecze	Chronologia: Późne średniowiecze
IV	1/1984	229	30	33	127	1	10	164	9			142	13				12	10	169	3	3	2	3	4	1			1	11	81	4	2	1	90	1	25		19	115	95
IV	5/1984	58	6	6	22		7	36	2			32	2				4	5	21	1	1		1	2	1				2	31	3	1		1	33		16		2	40	16
IV	7/1984	65	2	2	22		3	49	20		1	28					5	5	63	2	2	1	3	3					3	18	3			19				24	41	
IV	8/1984	34	10	11	98			18				18					4	1	20		1		1						19	2			19		1			33	1
IV	9/1984	9	2	2	9			6				3	3					1	10		1		1						3				3				3	6	
IV	10/1984	3	2	3	25																								3				3					3	
IV	11/1984	44	4	4	12		3	28				28					5	4	46	1	1	1	2	2			1		20					1				44	
	Suma	2883	309	328	2023	1	190	2083	130	20	7	1758	166	5	2	157	116	1254	28	45	16	54	61	4	4	3	6	218	1333	90	34	29	16	1374	7	310	1	283	2183	416

obejmuje więcej fragmentów drobnych i zniszczonych, większe fragmenty występują sporadycznie. Ułamki naczyń średniowiecznych zachowały się głównie jako większe części (tab. 3).

Ceramika z epoki neolitu / brązu

W jednostce stratygraficznej 1 z Fazy IV, zawierającej drobne fragmenty ceramiki z różnych okresów chronologicznych, znaleziono także szyjkę naczynia, barwy beżowej, z masy ceramicznej z domieszką o zróżnicowanej granulacji, w tym także grubych ziaren, o powierzchni gładkiej, matowej, pylastej z ornamentem głębokich rowków z odciskami sznura ułożonymi w równoległych pasach (tabl. 8:31). Analogiczną ceramikę odkryto także na terenie grodziska w Łodygowie, st. 2 oraz Wieprzu, st. 1 – wyspa Bukowiec.

Przyjmując za cechę charakterystyczną i wyróżniającą ornament odcisku sznura na powierzchni naczyń, odkryty podczas badań grodziska w Łodygowie, st. 1 fragment ceramiki należałoby łączyć z kręgiem kultury ceramiki sznurowej. Jednak ze względu na nowe odkrycia i ustalenia badaczy zespołów z epoki neolitu i wczesnej epoki brązu z terenu Polski północno-wschodniej[21], tego rodzaju materiał ceramiczny należy raczej łączyć z tzw. stylistyką północno-wschodnią kręgu kultury ceramiki sznurowej[22]. Krąg ten wiązany jest ze schyłkowym odcinkiem rozwoju kręgu kultury ceramiki sznurowej lub z początkami epoki brązu[23]. Tego rodzaju źródła ceramiczne na obszarze doliny Dolnej Wisły oraz na terenach położonych na północny wschód od niej są trudne do jednoznacznej kwalifikacji kulturowej. Wynika to z interkulturowości wielu cech w tych kulturach, między innymi podobieństw w działalności gospodarczej i powszechności występowania zdobnictwa sznurowego w kulturach takich, jak rzucewska-przymorska, w młodszych fazach kultury amfor kulistych i oczywiście w kulturze ceramiki sznurowej oraz w niektórych zespołach z wczesnych okresów epoki brązu, czy ze względu na analogiczne cechy technologiczne naczyń nawiązujących do tradycji wytwórczości ceramicznej kultury amfor kulistych, kultury rzucewskiej, późnej kultury ceramiki sznurowej, ewentualnie kultur strefy leśnej – horyzontu Linin kultury niemeńskiej i kultury ceramiki grzebykowej[24]. Podobny materiał ceramiczny o cechach synkretycznych odkryto na Pojezierzu Mazurskim, określając go mianem zespołów typu Ząbie–Szestno[25].

[21] Manasterski 2009; Kurzyk 2013.

[22] Bokiniec 2006: ryc. 1A.

[23] Bokiniec 2006.

[24] J. Żurek 1954; Kilian 1955; Wiślański 1966; Nosek 1967; Machnik 1979; Bokiniec 2006; Czebreszuk 1996, 2000; Szmyt 1996, 1999; Jóźwiak 2003; Manasterski 2009.

[25] Manasterski 2009.

Tabela 3. Fragmentacja i erozja fragmentów ceramiki z grodziska w Łodygowie, st. 1 (oprac. U. Kobylińska)

Rok	Jedn. strat.	Kategorie wielkościowe [cm]													Stopień erozji				Suma
		1	2	3	4	5	6	7	8	9	10	11	12	13	0	I	II	III	
1984																			
	1/1984		12	59	76	41	18	18	2	3					1	188	23	17	**229**
	2/1984		6	56	56	23	11	5	4							142	9	9	**161**
	3/1984			1	2	1	4	4		1		1				8	6		**14**
	4/1984		2	8	12	7	5	2	5				2	1		28	12	4	**44**
	5/1984				2	1	2	1								6			**6**
	6/1984			1	5	5	1	3	1	1						8	5	4	**17**
	7/1984	1	2	6	11	9	12	12	4	2				1		31	26	3	**60**
	8/1984		2	2	8	3	2	4	2	1			1			25			**25**
	11/1984		3	30	14	8	4	1	1							57	4		**61**
	14/1984	1		5	12	4	7	1								25	5		**30**
	15/1984		2	51	60	44	18	7	3	1	3	1			4	160	18	8	**190**
	18/1984		16	75	83	59	22	8	1	3	1					220	11	37	**268**
2013																			
	1		102	366	310	132	39	8							12	796	102	47	**957**
	2			10	7	8	6	3	1			1	1			25	11	1	**37**
	3		6	98	104	49	17	8	4						2	225	58	1	**286**
	4				1		1									2			**2**
	5			5	1	3	2									10		1	**11**
	7		3	37	80	58	48	22	11	3	7	1	1			234	18	19	**271**
	8		5	16	21	10	8	10	2	3	1					58	17	1	**76**
	10				3	2										2	3		**5**
	11		1	1												2			**2**
	14			4	9	11	3	3	2	1	1	1	1	1	1	29	7		**37**
	16			4	2		1	1								6	1	1	**8**
	17			1	1	1	1									3		1	**4**
	18			9	4	3										4	1	11	**16**
	19					1										1			**1**
	21				1	1					1					1	1	1	**3**
	22			1	4	2	1	6	1	1						15	1		**16**
	26			4		3					2					7		2	**9**
	27								1	1						2			**2**
	30			1	6	10	2	3	3	3	1					21	6	2	**29**
	32			2	1	1		1								1	4		**5**
	33							1									1		**1**
Suma		**2**	**162**	**853**	**896**	**500**	**235**	**132**	**48**	**24**	**17**	**5**	**6**	**3**	**20**	**2342**	**350**	**170**	**2883**

Ceramika z wczesnej epoki żelaza

Fragmenty zachowanych naczyń mają ślady zniszczenia, spłukania i zaliczone zostały głównie do drugiej i trzeciej kategorii zniszczenia[26].

Na formy z tego okresu składają się głównie nieduże i dość cienkościenne naczynia o średnicy wylewu wynoszącej od 17 do 24 cm, o zachylonej części górnej, z zaokrąglonym, gładkim brzegiem i powierzchnią zewnętrzną pokrytą chropowaceniem w postaci drobnych zmarszczek gliny i bardzo małą ilością drobnych ziaren. Są to naczynia barwy jasnobrązowej, rudej, beżowej, miejscami z widocznym okopceniem, od wewnątrz silnie wypolerowanej lub gładkiej. Niewielka grupa zachowanych naczyń o esowatym profilu i powierzchni gładkiej charakteryzuje się małymi rozmiarami (średnica wylewu 12 do 16 cm) i cienkościennością ścianek (grubości 0,3–0,4 cm, rzadko 0,5 cm), pylastą masą ceramiczną z małą zawartością drobnych ziaren domieszki oraz miki, przeważnie barwy brązowo/rudej. Mała liczba zachowanych brzuśców cienkościennych naczyń o powierzchni czarnej, wyświeconej, wskazuje na nieliczny udział naczyń stołowych, zdobionych (tabl. 8:34) w zestawie ceramiki z Łodygowa, st. 1. Ze względu na ukształtowanie formy te można podzielić na trzy grupy:

1. Naczynia jajowate, o lekko zachylonej części górnej, z wydzielonym lub niewydzielającym się owalnym i gładkim wylewem, o powierzchni zewnętrznej schropowaconej drobnymi zmarszczkami gliny,

[26] Buko 1990a.

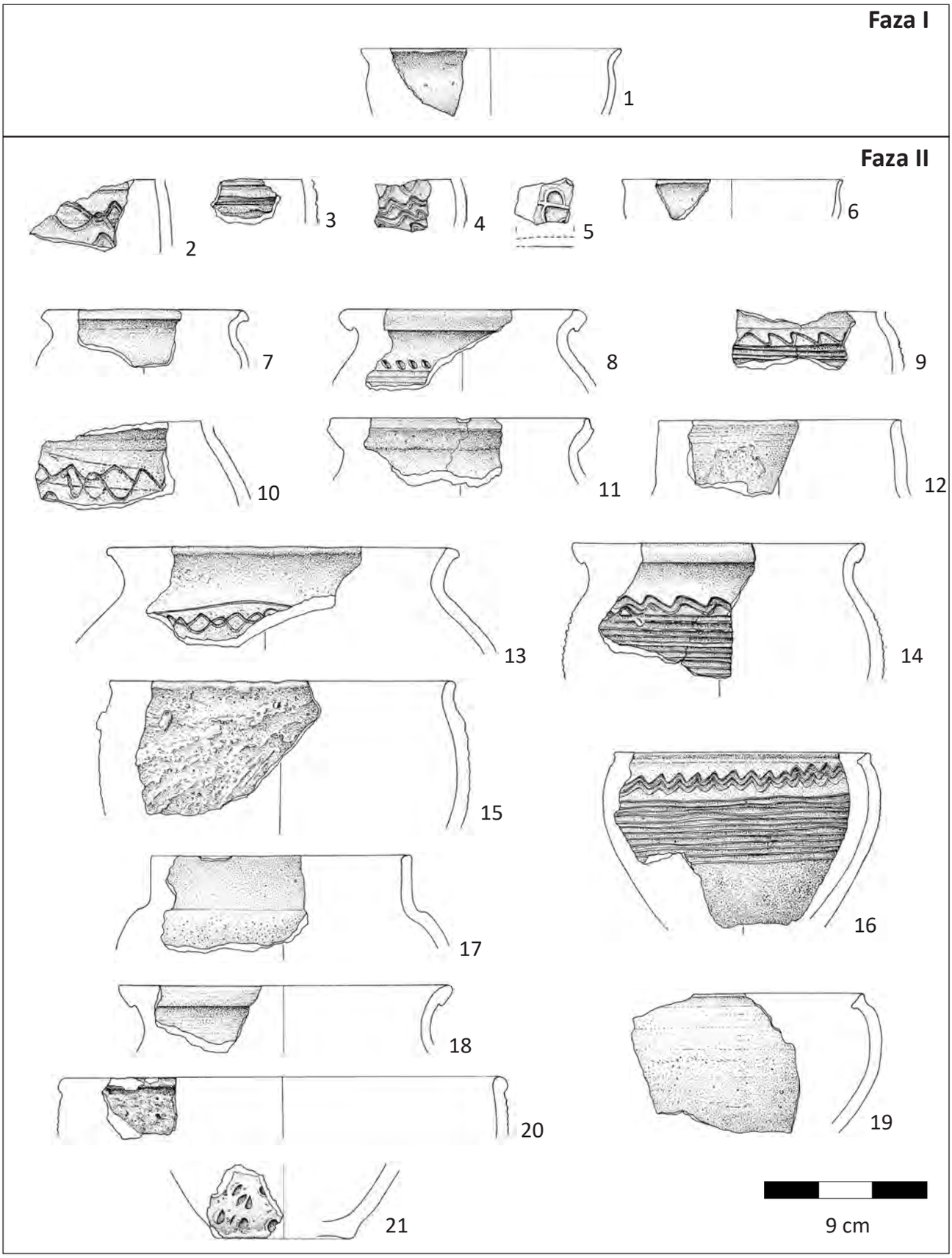

Tablica 1. Łodygowo, st. 1. Ceramika z nawarstwień Fazy I i II (rys. B. Karch i A. Kucharska-Wach)

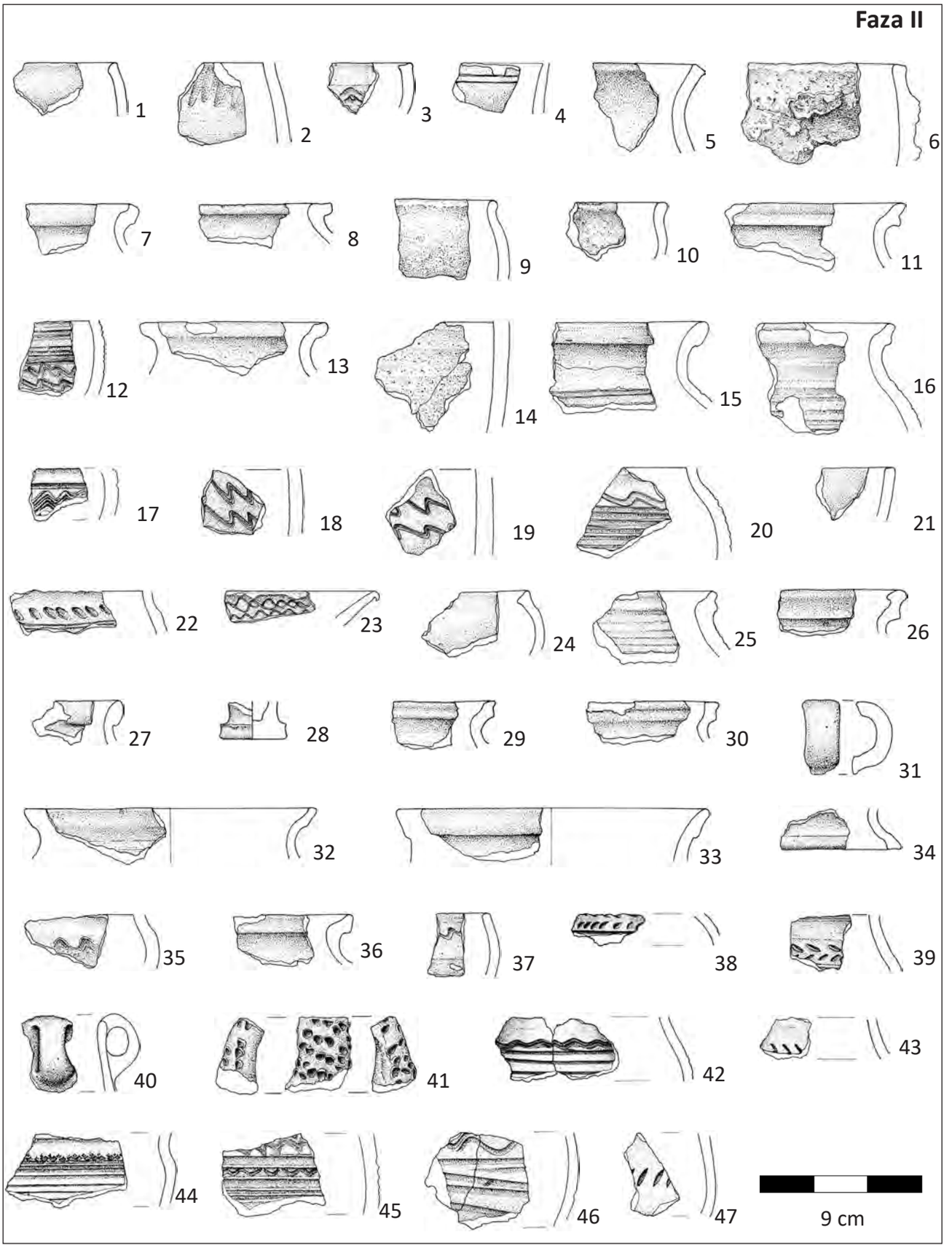

Tablica 2. Łodygowo, st. 1. Ceramika z nawarstwień Fazy II (rys. B. Karch i A. Kucharska-Wach)

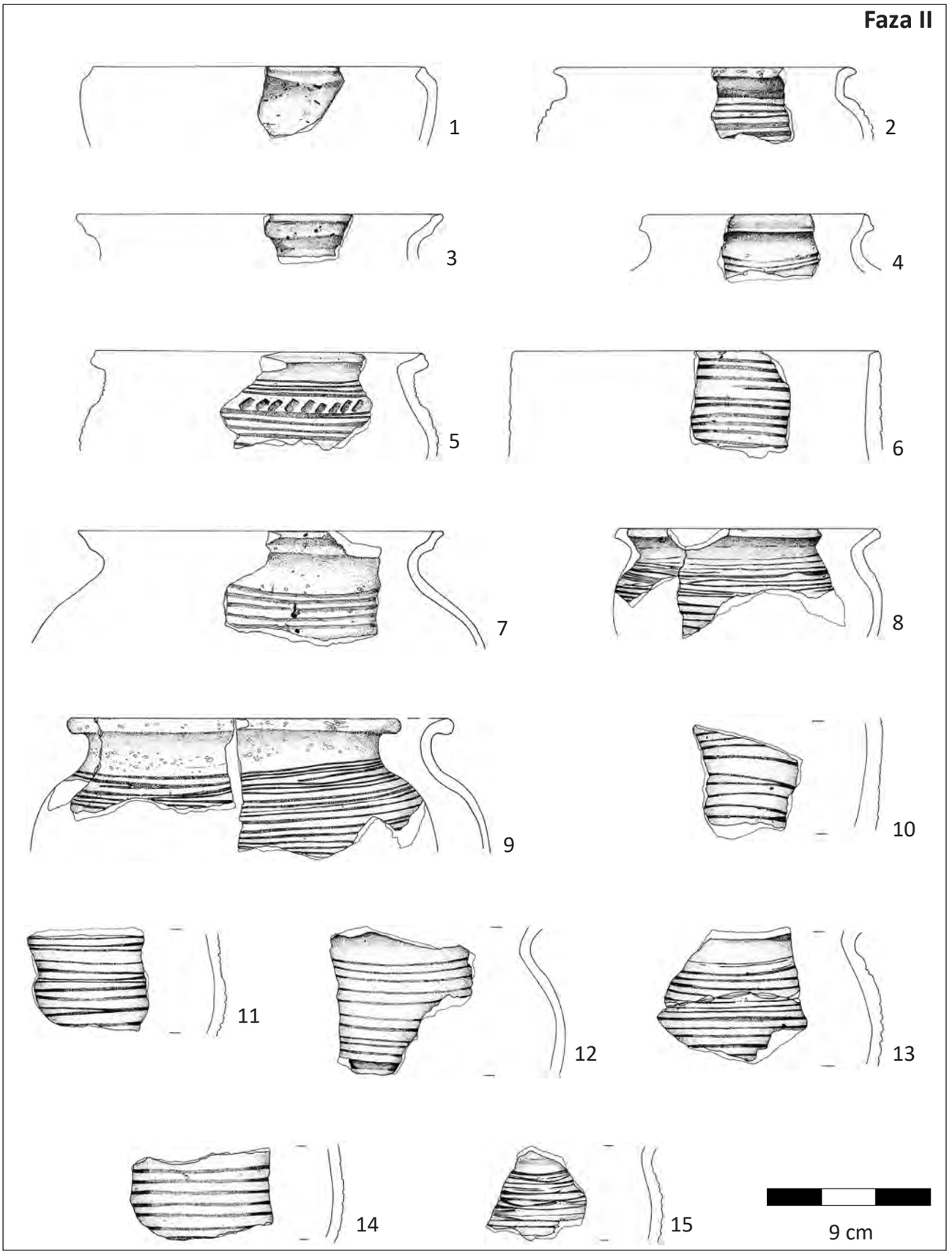

Tablica 3. Łodygowo, st. 1. Ceramika z nawarstwień Fazy II (rys. B. Karch i A. Kucharska-Wach)

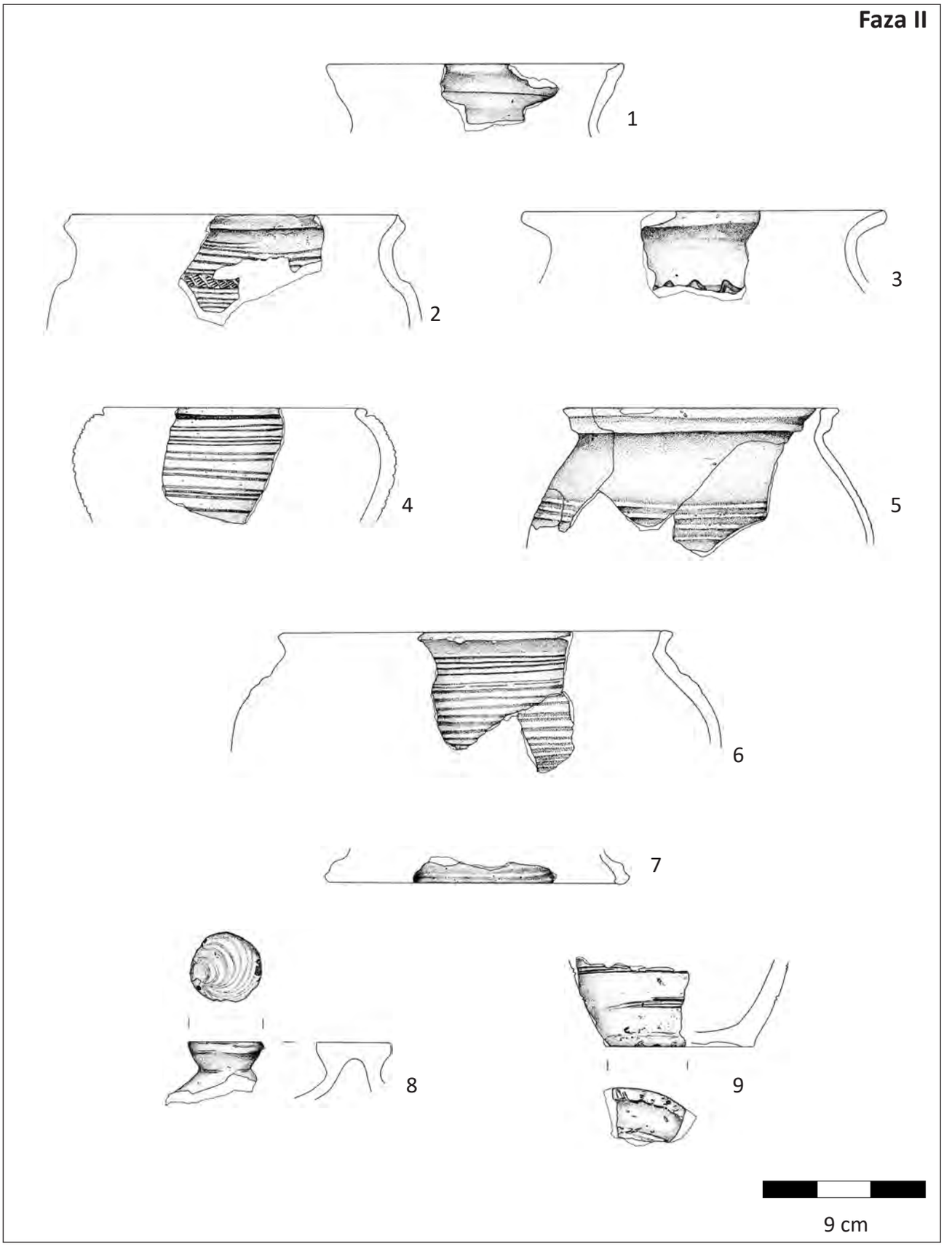

Tablica 4. Łodygowo, st. 1. Ceramika z nawarstwień Fazy II (rys. B. Karch i A. Kucharska-Wach)

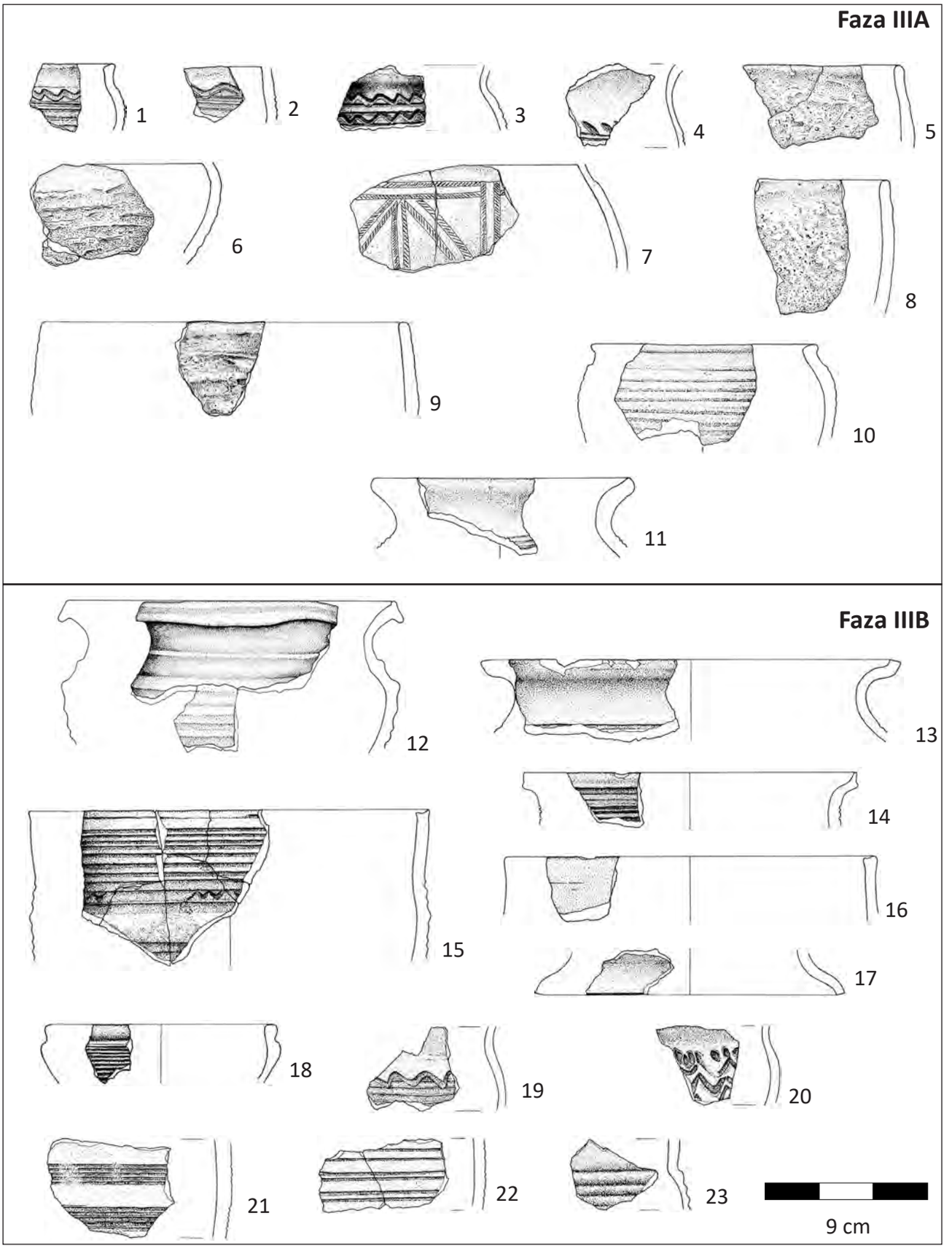

Tablica 5. Łodygowo, st. 1. Ceramika z nawarstwień Fazy IIIA i IIIB (rys. B. Karch i A. Kucharska-Wach)

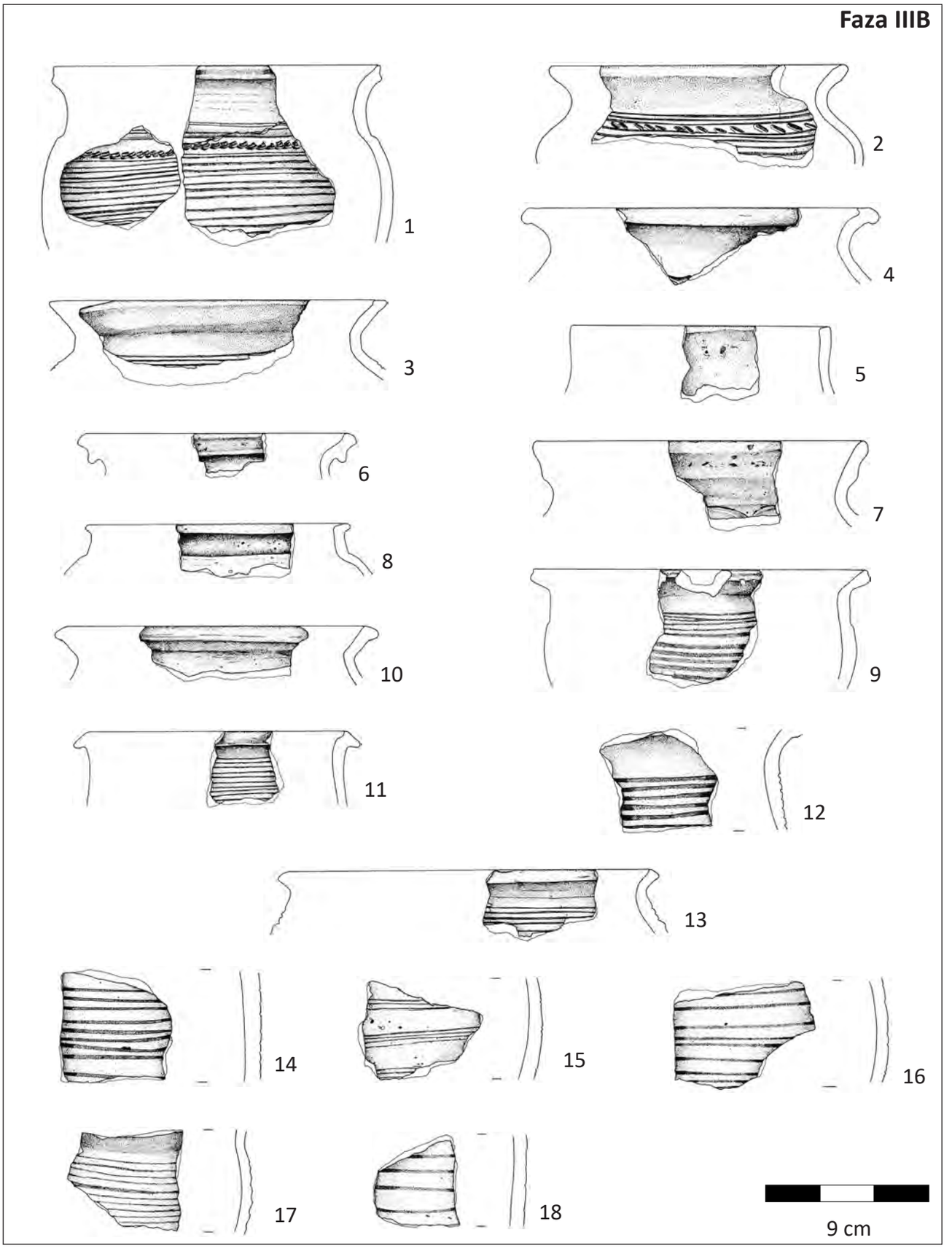

Tablica 6. Łodygowo, st. 1. Ceramika z nawarstwień Fazy IIIB (rys. B. Karch i A. Kucharska-Wach)

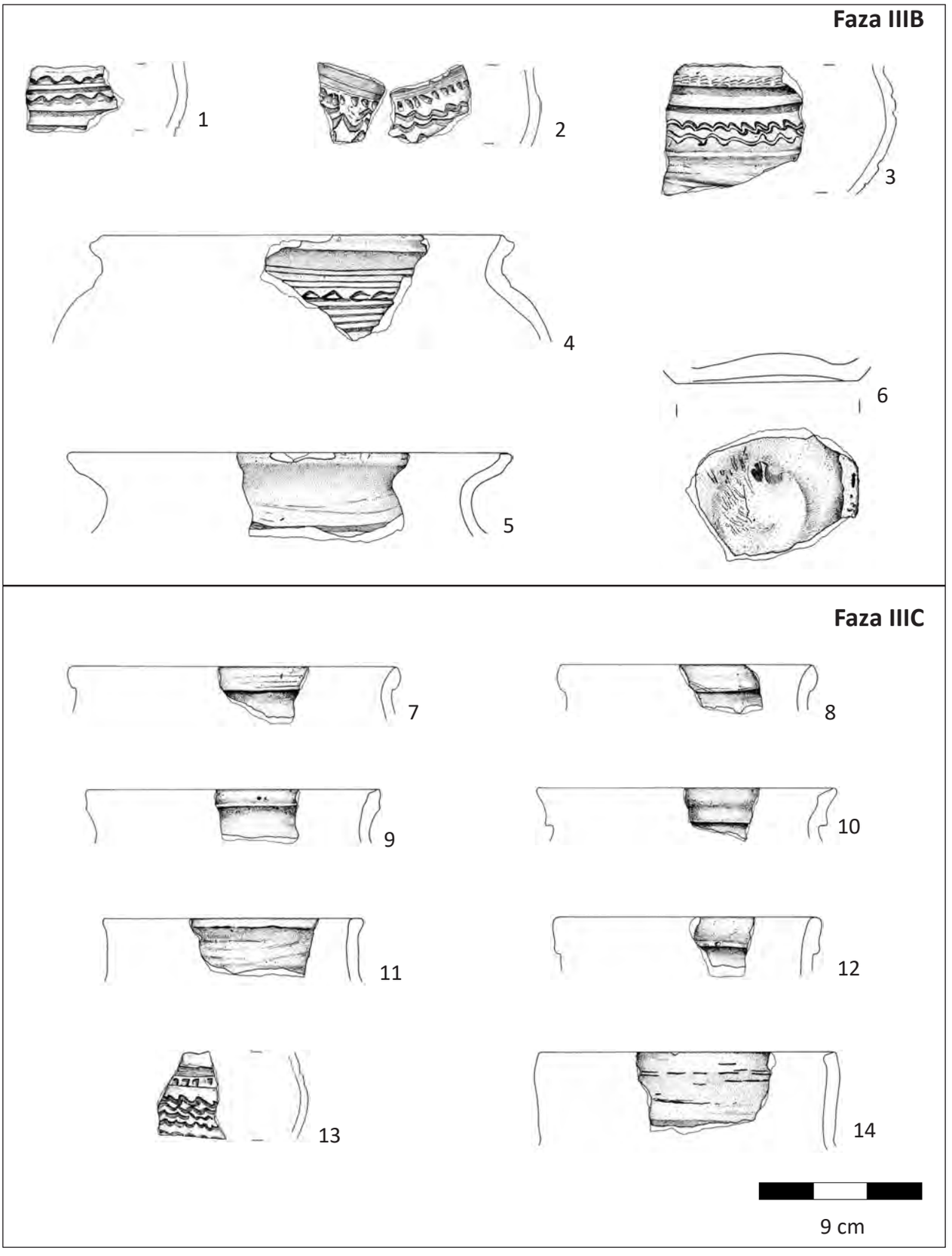

Tablica 7. Łodygowo, st. 1. Ceramika z nawarstwień Fazy IIIB i IIIC (rys. B. Karch i A. Kucharska-Wach)

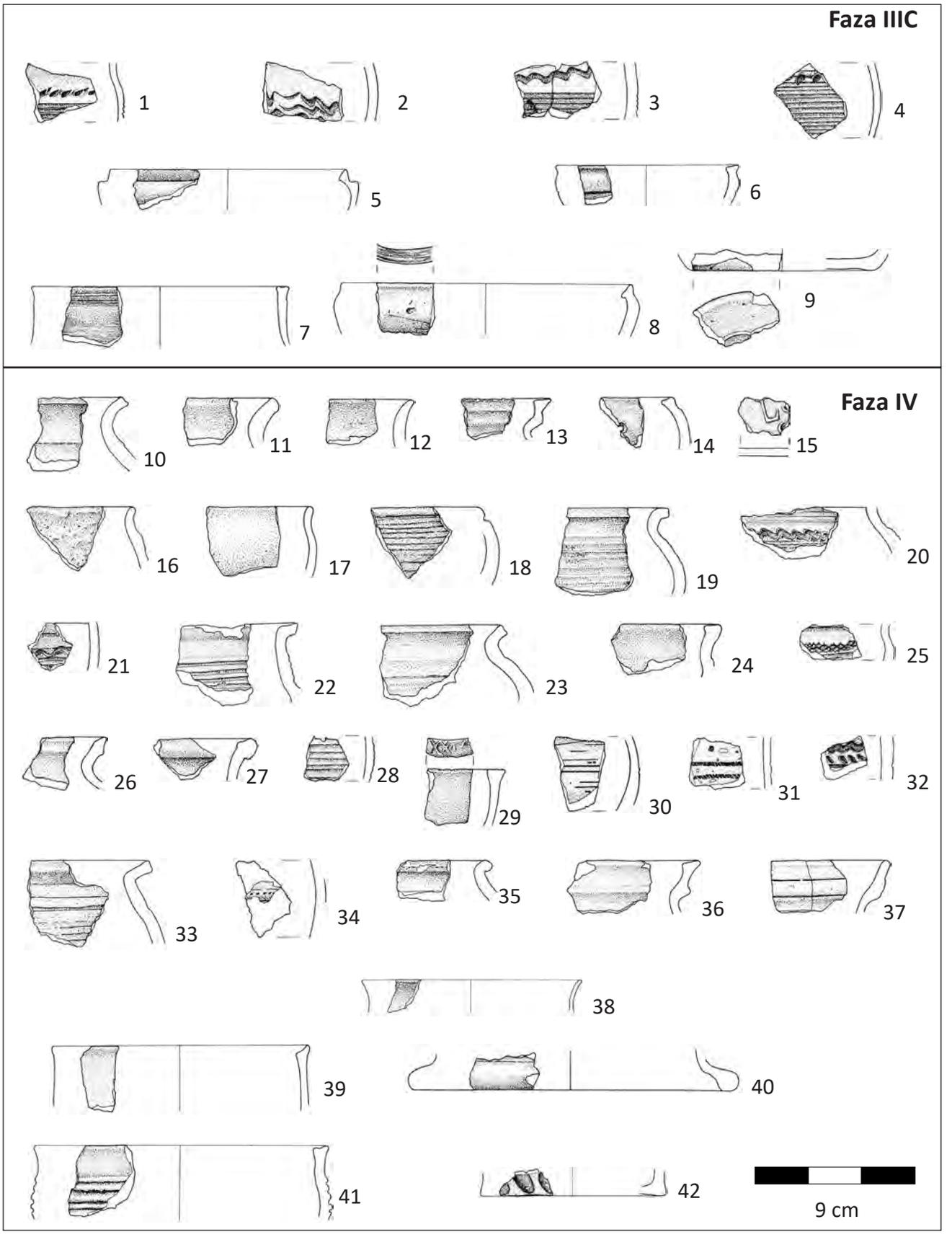

Tablica 8. Łodygowo, st. 1. Ceramika z nawarstwień Fazy IIIC i IV (rys. B. Karch i A. Kucharska-Wach)

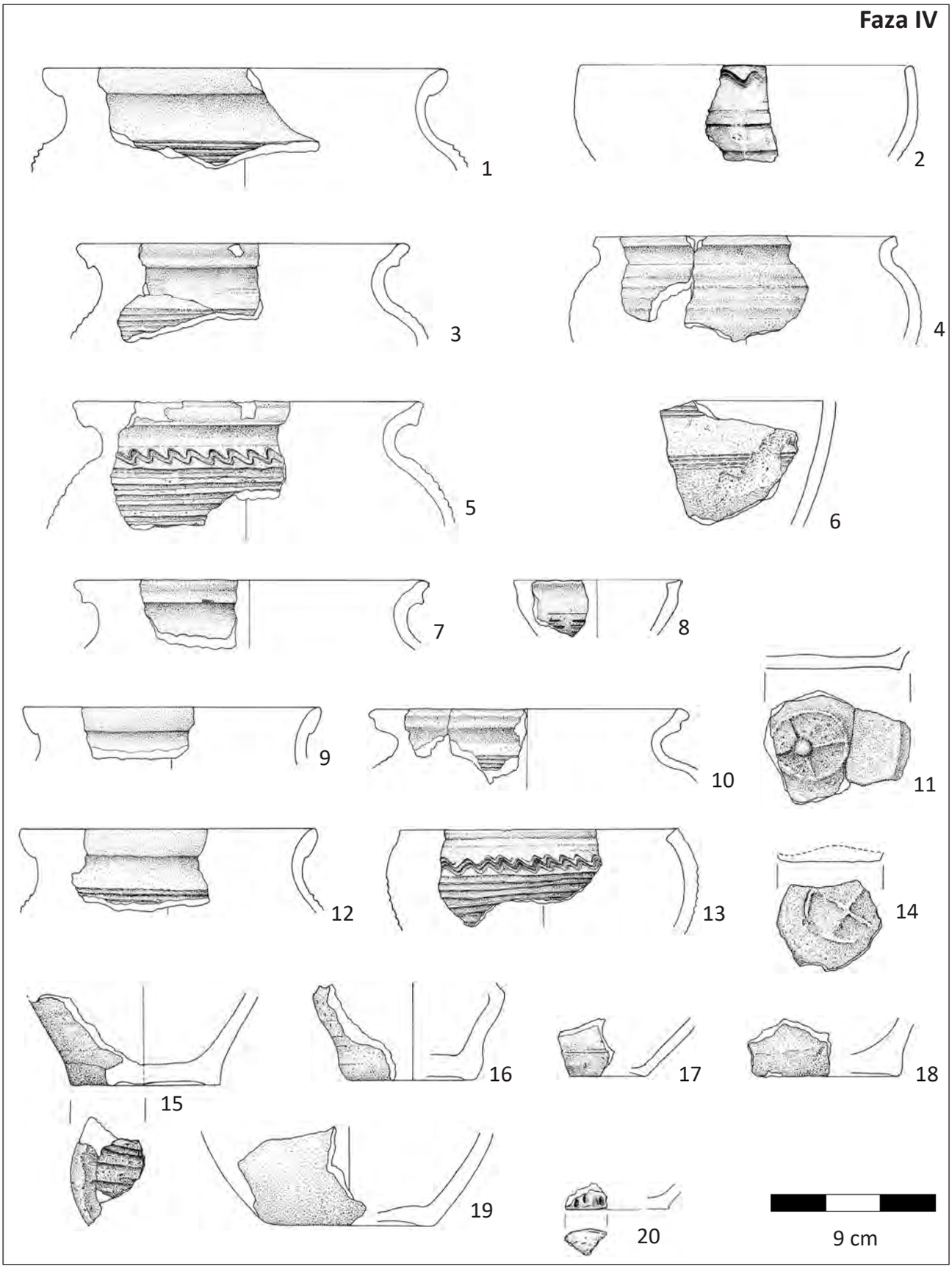

Tablica 9. Łodygowo, st. 1. Ceramika z nawarstwień Fazy IV (rys. B. Karch i A. Kucharska-Wach)

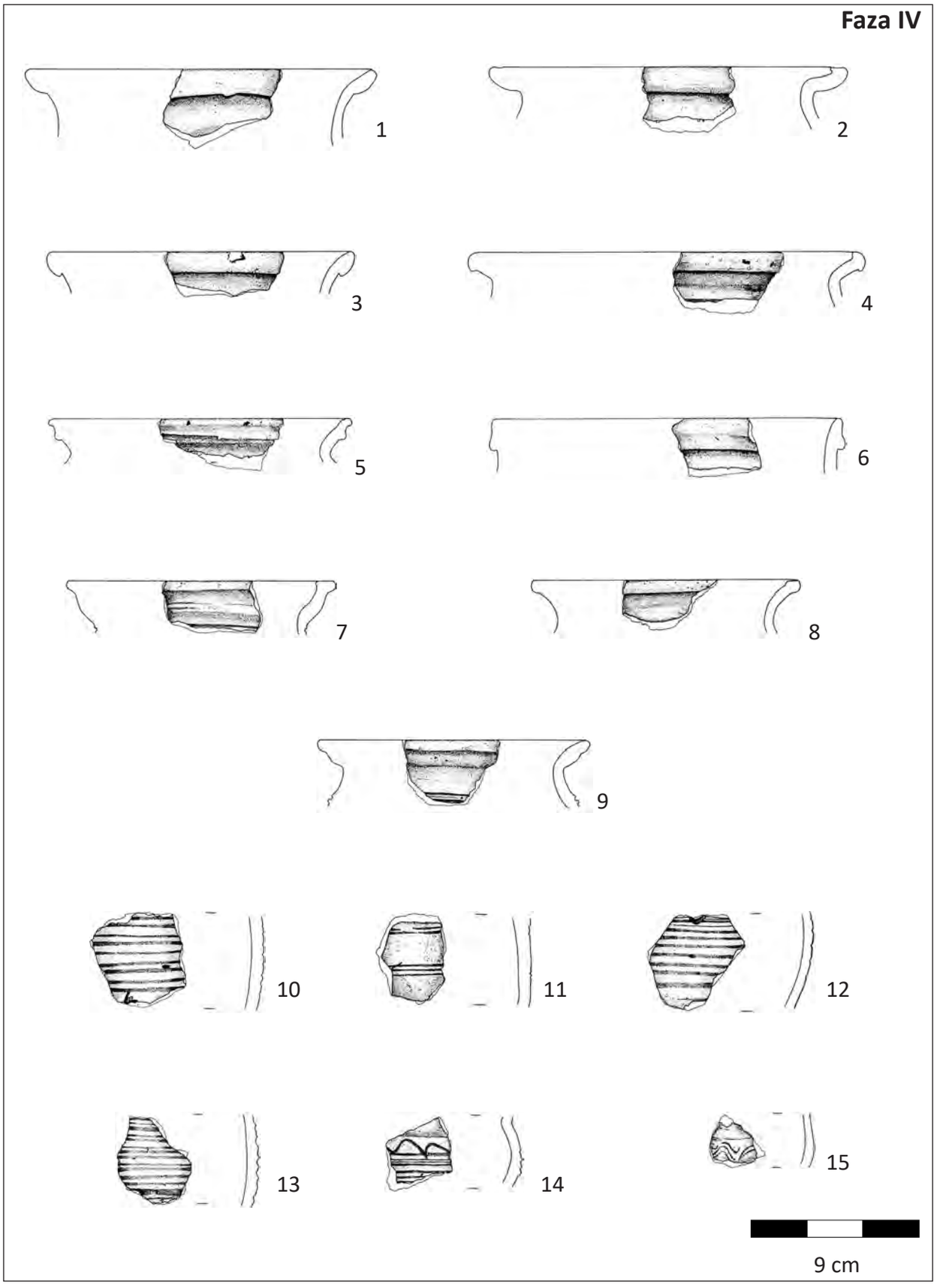

Tablica 10. Łodygowo, st. 1. Ceramika z nawarstwień Fazy IV (rys. B. Karch i A. Kucharska-Wach)

a wnętrzu wypolerowanym, barwy czarnej lub rudej, o średnicy wylewu wynoszącej 18–24 cm (tabl. 1:20; 2:6; 5:5, 8–9);

2. Naczynia o lekko esowatym kształcie, z wychylonym gładkim wylewem i drobnym schropowaceniem powierzchni zewnętrznej, od wewnątrz wypolerowanej, o średnicy wylewu wynoszącej 17–19 cm (tabl. 1:15; 2:9; 8:16);

3. Naczynia małe, cienkościenne, o esowatym profilu oraz wypolerowanej i gładkiej, a niekiedy wyświeconej powierzchni wewnętrznej oraz zewnętrznej, z wychylonym, zaokrąglonym wylewem o średnicy 12–16 cm (tabl. 1:1, 6; 2:10; 8:12, 17, 38).

Pozostałe fragmenty ceramiki z wczesnej epoki żelaza zachowały się w niewielkich rozmiarach, głównie w postaci brzuśców o powierzchni chropowaconej, a także gładkiej, przeważnie zniszczonych i mocno spłukanych. Chropowacenie pokrywające powierzchnie zewnętrzne jest widoczne jako nierówne grudki i mocne zgrubienia gliny z małą ilością ziaren. Wnętrza tych naczyń były w większości przypadków wypolerowane lub gładkie.

Znaleziono dwa dna lekko wklęsłe z lekko wydzielającą się częścią przydenną o średnicy 7 cm oraz część przydenną z dnem o średnicy 5 cm należącą do małego naczynka o powierzchni gładkiej, barwy rudo-żółtej (5YR 6/8), charakteryzujące się ozdobną powierzchnią w postaci nacięć paznokciowych na całej zachowanej powierzchni (tabl. 1:21; 8:42; 9:20).

Znaleziono też trzy ucha całkowicie lub fragmentarycznie zachowane, pochodzące z różnego rodzaju naczyń. Dwa z nich (tabl. 2:31, 40), szerokości 1,5–1,9 cm, przyklejane do powierzchni zewnętrznej, pochodziły z małych naczynek o powierzchni gładkiej, matowej, natomiast duże ucho o szerokości ok. 3 cm, grubości 1,5 cm, należało do dużego naczynia. Masywne grube ucho miało powierzchnię gładką, jasnobrązowo-żółtą, ozdobioną głębokimi nakłuciami wykonanymi rylcem o ostrym końcu (tabl. 2:41). Fragment naczynia jajowatego z zachowanym wylewem o średnicy ok. 21 cm, o powierzchni chropowaconej, ma ślad po urwanym szerokim uchu (tabl. 2:6).

W przemieszanych, niwelacyjnych nawarstwieniach Fazy IIIA znaleziono trzy fragmenty brzuśców (tabl. 5:6–7) o ściance w górnej części wyświeconej i mocno chropowaconej poziomymi pasmami zgrubień w części przydennej. Powierzchnia barwy brązowej, wyświecona, jest ornamentowana wzorem poziomych i ukośnych linii, rytych wąskim rylcem z ukośnymi nacięciami wewnątrz pasm, który można określić jako jodełkowy. Najczęściej ornament tego rodzaju wiąże się z wazowatymi formami naczyń i amforami, a rzadziej z dzbanami, czerpakami i misami. Najprawdopodobniej jest to część wazy typu D lub amfory typu A z grupy chełmińskiej, wiązanej z tradycjami kultury łużyckiej. Naczynia typu D na obszarze międzyrzecza Wisły, Drwęcy i Osy datowane są na podokresy C i D okresu halsztackiego. Amfory o formie gruszkowatej, mocno baniaste, ozdobione ornamentem jodełkowym, są datowane na sąsiednim obszarze na podokres halsztacki D[27]. Analogiczne brzuśce ceramiki gładkiej, barwy żółto-czerwonej z ciemnymi plamami pokryte ornamentem złożonym z krótkich, skośnie rytych kreseczek, ujętych w dwie równoległe linie poziome, odkryto np. w Kawczycach, gm. Busko Zdrój, pow. buski[28].

Ceramika z wczesnej epoki żelaza znaleziona na terenie grodziska w Łodygowie, st. 1 charakteryzuje się cienkościennością i formami o małych średnicach wylewów. Są to garnki pokryte cienką warstewką chropowacenia o drobnych zmarszczeniach gliny i drobnych ziarnach oraz małe, cienkościenne, esowate naczynka o powierzchni gładkiej.

Formy naczyń, zarówno z odciskami paznokciowymi, jak i garnki chropowacone, czy małe naczynka o powierzchni gładkiej, odkryte na terenie grodzisku w Łodygowie, st. 1 mają analogie w materiale z Janowa Pomorskiego, st. 1, gm. Elbląg, pow. elbląski[29]. Naczynia chropowacone, zarówno zachylone, jak i z lekko wydzielającym się brzegiem, są analogiczne do naczyń ze Starego Dzierzgonia, st. 1, pow. sztumski[30].

Ceramika z okresu wczesnego średniowiecza i początków późnego średniowiecza

Liczny zestaw fragmentów z zachowanym wylewem z okresu wczesnego średniowiecza i początków późnego średniowiecza można podzielić na kilkanaście grup ze względu na ukształtowanie ścianek naczyń, a głównie na charakter wyprofilowania brzegu (ryc. 20):

1. Naczynia z cylindryczną szyjką, profilowanym lub płaskim brzegiem (tabl. 1:12, 17; 3:6; 5:1, 15–16; 6:5; 7:14; 8:7, 39, 41);

2. Naczynia zachylone, z pogrubionym, zaokrąglonym, wąskim brzegiem, silnie baniaste, z wysoko umieszczoną największą wydętością brzuśca, bez wydzielonej szyjki (tabl. 4:4; 5:18; 8:18);

3. Naczynia zachylone, z ukośnie ściętym, lub profilowanym od wewnątrz brzegiem, baniaste, z wysoko umieszczoną największą wydętością brzuśca, z wąską wydzielającą się szyjką (tabl. 1:16, 19; 2:3, 24; 3:1; 5:10; 8:5–6, 8, 14; 9:8, 13);

4. Naczynia z silnie wychylonym, szerokim wylewem, tworzącym profilowany, lub prosto ścięty brzeg, z wyraźnie wydzieloną szyjką, mocno baniaste (tabl. 1:13; 3:5, 8; 4:3, 6; 6:9, 13; 7:4; 8:19, 22–23, 33; 9:4);

5. Naczynia o mocnych załomach profilu, silnie wydzielonej szyjce, profilowanym wylewie od wewnątrz

[27] Chudziakowa 1974: 18–19, 25, tabl. 3, 5, 6; 7:6, 16; 18:1.

[28] Nosek 1939–1945: ryc. 20, s. 123.

[29] Ignaczak i Affelski 2012: tabl. 10:3; 11:1; 12:1, 4–5, 8; 15:3, 5; 18:4; 20:4; 21:6; 23:6.

[30] Gazda *et al.* 2013: ryc. 28:a, g, h.

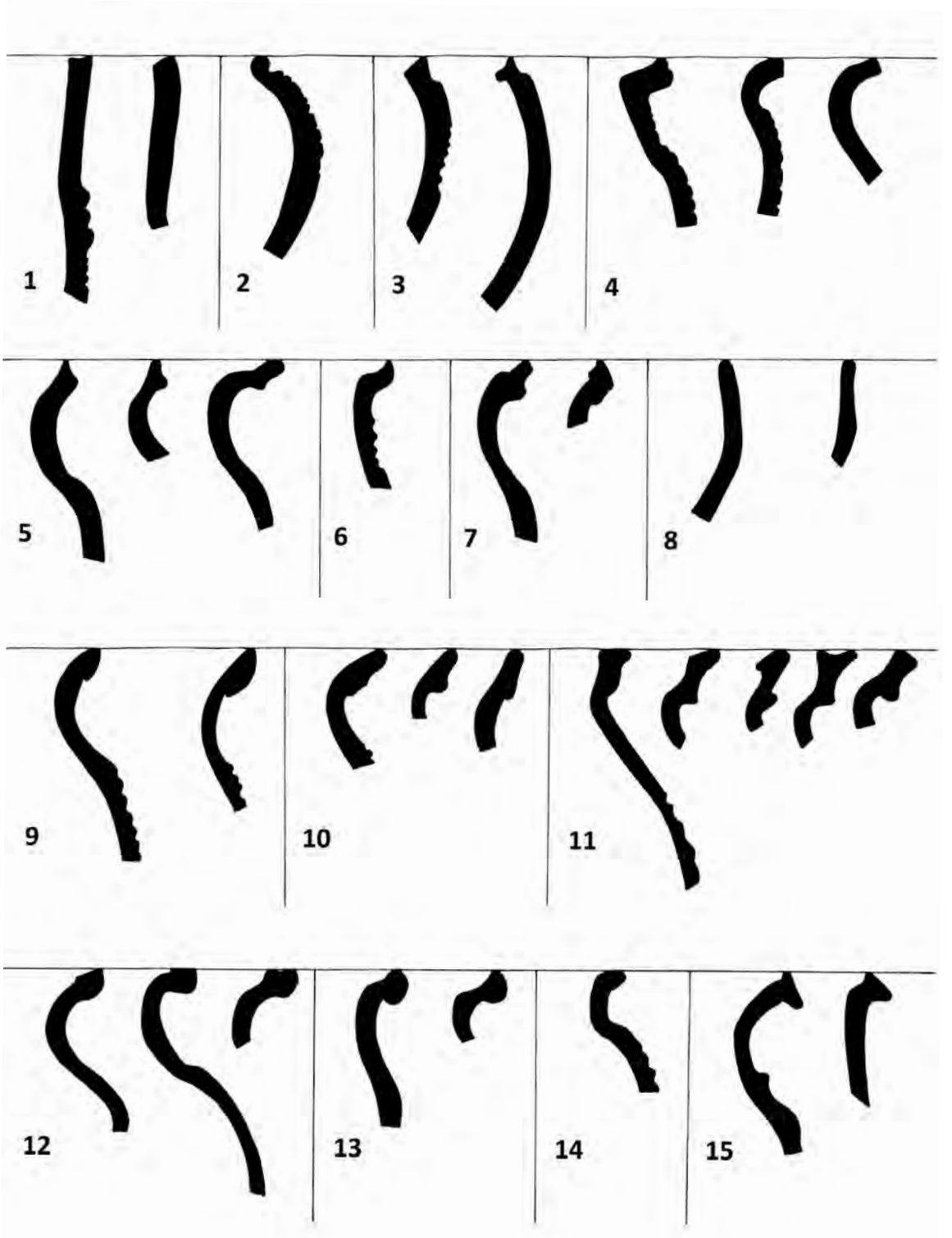

Ryc. 20. Łodygowo, st. 1. Typologia form ceramiki wczesnośredniowiecznej (oprac. U. Kobylińska, rys. A. Kucharska-Wach)

i zewnątrz, z wyraźnym wgłębieniem na pokrywę oraz uwydatnionym brzuścu (tabl. 1:11; 2:11, 16, 25, 29; 4:2; 5:14; 6:1; 9:3, 7);

6. Naczynia o mocno wyodrębnionym wylewie na łukowato wychylonej szyjce z szeroką owalną krawędzią brzegową zewnętrzną i mocnym wgłębieniem na pokrywę (tabl. 2:32; 7:5);

7. Naczynia o grubych, masywnych, silnie profilowanych wylewach, esowate i baniaste (tabl. 1:8; 2:7; 8:27);

8. Naczynia rozłożyste, czarki, miski i miseczki z owalnym lub ściętym brzegiem (tabl. 2:1, 21, 37; 9:2).

9. Garnki masywne, na łukowato wygiętej szyjce; z wychylonym owalnym, pogrubionym wylewem ze śladami podwinięcia i przyklejenia na zewnętrzną ściankę (tabl. 1:18; 2:15, 27; 7:7–8, 12; 9:1, 9, 12; 10:1, 3);

10. Garnki o esowatej szyjce, wychylonym i profilowanym, owalnym wylewie, niekiedy z wgłębieniem na pokrywę (tabl. 2:11, 32–33, 36; 3:4; 7:12; 9:3, 7; 10:6, 9);

11. Naczynia cienkościenne różnej wielkości, z lekko lub mocno wychylonym, profilowanym, masywnym, szerokim brzegiem, z mocnymi przegłębieniami i miejscem na pokrywę (tabl. 2:26, 30; 3:7; 4:5; 6:6; 7:10; 8:36; 9:10; 10:7);

12. Naczynia o silnie esowatym profilu, wydzielonej szyjce, baniastym brzuścu, wąskim i pogrubionym, owalnym od zewnątrz brzegu, przeważnie ściętym od góry i z miejscem na pokrywę (tabl. 2:13; 5:13; 8:27; 10:2, 8);

13. Garnki o esowatym profilu, z krótką szyjką i pogrubionym, owalnym brzegu z płytkim wgłębieniem na pokrywę (tabl. 1:8; 2:7; 6:4; 10:4);

14. Naczynia o szerokim, spłaszczonym brzegu, z wydzieloną krótką szyjką, baniaste (tabl. 3:2; 6:8);

15. Naczynia cienkościenne, z małym wgłębieniem na pokrywę i mocno odgiętym płaskim szerokim brzegiem, z wydzieloną szyjką, baniaste (tabl. 5:12; 6:11).

Ceramika wczesnośredniowieczna z grup 1–8 jest obtaczana, dobrze wykonana, o równych ściankach, szczególnie w górnych partiach. Jednak na większości wewnętrznych ścianek widoczne są nie do końca rozgniecione wałki. Naczynia mają barwę brunatną, brązową lub ceglasto-brązową, z licznymi plamami okopcenia. Ornamentowanie nie jest bogate; głównie charakterystyczne są poziome żłobki dookolne pokrywające całe brzuśce (tabl. 3:6–15; 4:4–6) od wylewu po dolne części przy dnie (tabl. 4:9). Są to żłobki ryte w pasmach lub w regularnych odstępach po kilka w grupie (tabl. 5:21–22; 6:15; 9:6; 10:11), niekiedy w nieregularnych odstępach (tabl. 6:16). Występują także głębokie żłobki/wałki (tabl. 5:23). Charakterystyczna dla tej ceramiki jest także pojedyncza i wielokrotna, niska linia falista (tabl. 1:2, 4, 14, 16; 2:12, 17, 20, 46; 5:1–3, 20; 7:1, 3; 8:2–3, 20–21; 9:13; 10:14–15) i łezkowate odciski (tabl. 1:8; 2:22, 38–39, 43; 3:5; 5:20; 6:2), które w wielu przypadkach są motywami współwystępującymi ze sobą (tabl. 5:20; 7:2, 13; 8:32). Częstym motywem jest też pojedyncza linia falista w dwóch rzędach o różnych amplitudach, przeplatająca się (tabl. 1:2, 10, 13; 2:23) lub linia falista zygzakowata (tabl. 2:18–19).

Naczynia z grupy 1 charakteryzuje duża rozbieżność w rozmiarach średnic wylewu i wielkościach. Są to więc formy wykorzystywane do różnych czynności, nie tylko do gotowania, tym bardziej, że charakteryzują się bogatym ornamentem. Grupa 2 jest reprezentowana przez nieliczne fragmenty. Biorąc jednak pod uwagę analogiczny kształt silnie baniastego brzuśca, formy grupy drugiej i trzeciej można rozpatrywać jako charakterystyczne formy garnków, podobnie jak naczynia grupy pierwszej. Wydaje się, że większa część naczyń z grupy 4 i 5 z profilowanym wylewem ma grubsze, masywniejsze ścianki i są to naczynia do gotowania. Ilościowo przeważają one nad występowaniem innych form i najczęściej zaobserwować można na nich ślady okopcenia. Naczynia mają średnice wylewów nie przekraczające 22 cm. Głównie miały około 18 cm średnicy wylewu, są to więc małe i średniej wielkości naczynia do gotowania i podawania, czy przenoszenia pokarmów.

Naczynia z grupy 1 z prostą szyjką mają analogie w naczyniach z Gawłowic, st. 1, gm. Radzyń Chełmiński, pow. grudziądzki, z Gronowa, st. 1, gm. Lubicz, pow. toruński, czy Osieczka, st. 1, gm. Książki, pow. wąbrzeski, datowanych na 4. ćwierć XI w. i na 1. połowę XII w.[31] Naczynia tej formy miały bardzo duży udział (24%) w zbiorze ceramiki z zespołu osadniczego w Węgrach, st. 1, gm. Sztum, pow. sztumski (typ AIIc)[32]. Jednak, podczas gdy w zespole z Węgrów głównie były to okazy baniaste, to w zespole z Łodygowa, st. 1 fragmentaryczność zachowania nie pozwala w większości przypadków wnioskować o rodzaju brzuśców. Wydaje się, że były to okazy w połowie o łagodnym, w połowie o mocno baniastym brzuścu. Najczęściej charakteryzowały się one obecnością tzw. żeberek na powierzchni brzuśca. Naczynia z grupy 2 z Łodygowa, st. 1, mają analogie w formie AIIIB3 z Węgrów, st. 1, gm. Sztum, pow. sztumski[33]. Zachylone naczynia z profilowanym brzegiem od wewnątrz z grupy 3 są podobne do naczyń z grodziska w Osieczku, st. 1, gm. Książki, pow. wąbrzeski, datowanych na 1. połowę XII w.[34] oraz z grodziska w Bogdanach, gm. Frombork, pow. braniewski[35], a także z grodziska w Zwiniarzu (Świniarcu), gm. Grodziczno, pow. nowomiejski z drugiej fazy osadniczej i Nowego Grodziczna, gm. Grodziczno, pow. nowomiejski z pierwszej fazy osad-

[31] Chudziakowa (red.) 1994: ryc. 33:c; 52:f; 127:h; 128:f.

[32] Haftka i Wadyl 2015: ryc. 75.

[33] Haftka i Wadyl 2015: ryc. 79, tabl. 13:ł; 16:g.

[34] Chudziakowa (red.) 1994: ryc. 128:c.

[35] Gazda *et al.* 2013: ryc. 52:c.

niczej[36] i z Węgrów, st. 1, gm. Sztum, pow. sztumski[37]. Formy zaliczone w Łodygowie, st. 1 do grupy 4, głównie formy z profilowanym masywnym wylewem, mają liczne analogie w materiale z grodziska w Kałdusie, st. 3, gm. Chełmno, pow. chełmiński, gdzie datowane są na 2. połowę XI w. i XI/XII w. oraz z grodziska w Płutowie, st. 1, gm. Kijewo Królewskie, pow. chełmiński, datowanego na 1. połowę XII w.[38] Naczynia z grupy 4 mają analogie w materiale z grodziska w Chojnie, st. 1, gm. Bobrowo, pow. brodnicki, datowanego na 2. ćwierć XI – XII w., tam też wystąpiły fragmenty brzuśców z analogicznym ornamentem nacięć i żłobień[39]. Tego rodzaju masywne, grubościenne naczynia o analogicznym szerokim wylewie i podobnych proporcjach występują licznie na terenie grodziska w Zajączkach, gm. Ostróda, pow. ostródzki[40]. Ukształtowanie profilowania wylewu naczyń z grupy 5 podobne jest do naczynia z Bobrowa, st. 1, pow. brodnicki z II i III fazy zasiedlenia grodu datowanej na okres 2. poł. X – XII w. oraz do naczyń z Gawłowic, st. 1, gm. Radzyń Chełmiński, pow. grudziądzki datowanych na 4. ćwierć XI w. i XI/XII w., a także z Grążaw, st. 1, gm. Bartniczka, pow. brodnicki, z obiektu datowanego na XII w. oraz z Lembarga, st. 6, gm. Jabłonowo Pomorskie, pow. brodnicki z warstwy datowanej na 1. połowę XII w.[41] Podobne formy wystąpiły w grodzisku w Weklicach, st. 3, gm. Elbląg, pow. elbląski, datowanym na okres między drugą połową XII w. a pierwszą połową XIII w.[42] Naczynia z grupy 6 mają analogie w formach ceramiki z grodziska w Bogdanach, gm. Frombork, pow. braniewski, gdzie osadnictwo funkcjonowało między XI/XII a XIV w.[43] Naczynia o silnie profilowanych brzegach z grupy 7 mają analogie w naczyniu z Gawłowic, st. 1, gm. Radzyń Chełmiński, pow. grudziądzki, datowanych na 4. ćwierć XI w. i XI/XII w. oraz z Jedwabna, st. 1, gm. Lubicz, pow. toruński, z warstwy datowanej na XI w., czy z Ryńska, st. 1, pow. wąbrzeski, datowanego na 2. połowę XI w. i z III fazy z Wąbrzeźna, st. 2, która datowana jest na XI–XII – 1. połowę XII w.[44] Baniaste naczynie z silnie profilowanym wylewem znaleziono w zespole zabytkowym z grodziska w Weklicach, st. 3, gm. Elbląg, pow. elbląski, które datowane jest na okres między drugą połową XII a pierwszą połową XIII w.[45] Małe naczynko z grupy 8 ma analogie w naczyniu z Bobrowa, st. 1, pow. brodnicki, z III fazy osadniczej datowanej na XII w.[46]

Naczynia z grup 9–15, pochodzące z końca wczesnego średniowiecza i z początków późnego średniowiecza, są to naczynia silnie obtaczane na całej zachowanej powierzchni. Masa ceramiczna zawiera w ich przypadku głównie piasek o zróżnicowanej granulacji i drobne ziarna miki. Naczynia z tych grup charakteryzują się cienkościennością, dobrym opracowaniem krawędzi i powierzchni oraz zagładzaniem w górnych partiach. Na ściankach, o równej grubości, ziarna domieszki są jedynie lekko wyczuwalne pod powierzchnią, głównie i nieco mocniej w dolnych częściach naczynia. Grupa 9 masywnych naczyń z owalnym wylewem charakteryzuje się występowaniem na powierzchni silnego okopceniem prawie w każdym egzemplarzu, co może wspierać hipotezę, że są to garnki do gotowania. Wszystkie formy, oprócz większej części naczyń z grupy 11, wykonane zostały z masy ceramicznej z domieszką ziaren piasku o zróżnicowanej granulacji, i wypalone w atmosferze utleniającej; mają one barwę brązową i beżowo-ceglastą, a powierzchnię lekko szorstką. Grupa 11, o charakterystycznym profilowaniu wylewu, zawiera zarówno ceramikę brązową, słabo zsiwioną brązowo-szarą, jak też ceramikę tzw. „siwą" – matową, barwy szarej i stalowoszarej, bez miki lub z małą jej ilością w masie ceramicznej. Większość naczyń tych grup charakteryzuje się zagładzaną częścią górną wraz z szyjką.

Duża część fragmentów naczyń tych grup, głównie garnków, ma zachowaną warstwę czarnej spalenizny od strony wewnętrznej lub plamy okopceń. Ozdabianie powierzchni ogranicza się do żłobień poziomych, rzadziej pojedynczej linii falistej, odcisków stemplem i plastycznych wałków. Naczynia omawianych typów są podobne do form ze Starego Dzierzgonia, st. 1, pow. sztumski[47], Wąbrzeźna – Zamku[48], a także z IV fazy zasiedlenia grodu w Kałdusie, gm. Chełmno, pow. chełmiński, datowanej na 2. połowę XII i 1. połowę XIII wieku, z Napola, gm. Kowalewo Pomorskie, pow. golubsko-dobrzyński i Słupa, st. 3, gm. Gruta, pow. grudziądzki, czy Torunia, st. 1 – datowanych także na koniec XII w. i początek XIII w.[49] Ceramika „siwa" może być datowana na okres od połowy XIII do końca XV w. Dobrą analogią dla form naczyń „siwych" z grupy 11 mogą być np. znaleziska z Napola, st. 1. gm. Kowalewo Pomorskie, pow. golubsko-dobrzyński, datowana na 4. ćwierć XIII – 1. poł. XIV w.[50] Ceramika polewana, która w minimalnych ilościach pojawia

[36] Grążawski 2009: ryc. 11:5; 14:2; 20:2.

[37] Haftka i Wadyl 2015: tabl. 19:b.

[38] Chudziakowa (red.) 1994: ryc. 82:b, i, k; 134:b.

[39] Chudziakowa (red.) 1994: ryc. 27:a, b.

[40] Por. opracowanie wyników badań grodziska w Zajączkach, w niniejszej publikacji.

[41] Chudziakowa (red.) 1994: ryc. 15:a; 16:c; 33:k, l; 44:a; 90:h.

[42] Jagodziński 2013: ryc. 13:2, 5, 7.

[43] Gazda *et al.* 2013: ryc. 52:a–b, d.

[44] Chudziakowa (red.) 1994: ryc. 33:d; 72:m; 159:k; 205:d, e ,k.

[45] Jagodziński 2013: ryc. 12:1.

[46] Chudziakowa (red.) 1994: ryc. 16:m.

[47] Gazda *et al.* 2013: ryc. 29m.

[48] Wiewióra 2014: ryc. 111:a–f; 112:a–f.

[49] Chudziakowa (red.) 1994: ryc. 83:g–ł; ryc. 120:b; ryc. 173:c, g; 184:e.

[50] Poliński 1996: ryc. 57:p-s, u.

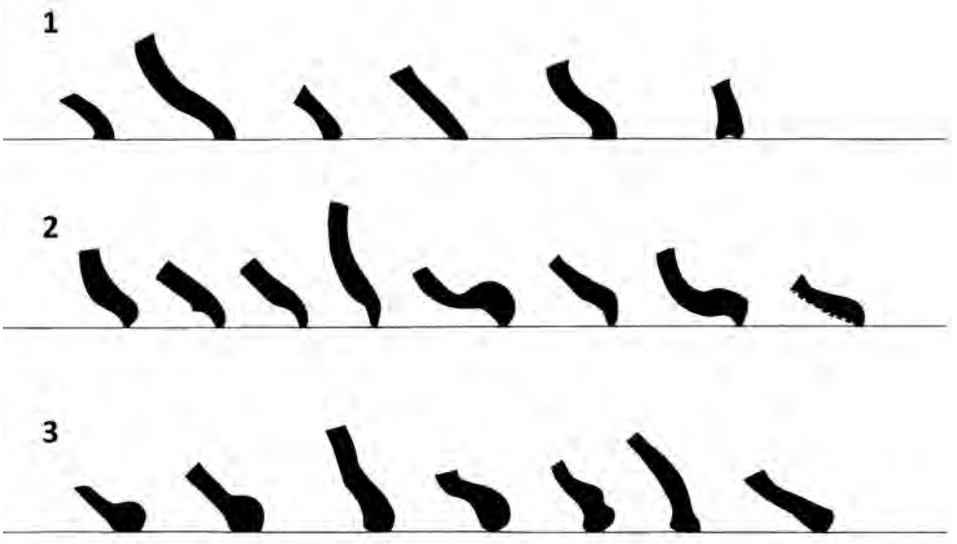

Ryc. 21. Łodygowo, st. 1. Typologia form pokryw naczyń (oprac. U. Kobylińska, rys. A. Kucharska-Wach)

się także w Łodygowie, st. 1, może być datowana na okres od przełomu XV/XVI w.[51]

Pokrywki

W materiale zabytkowym z Łodygowa, st. 1 znaleziono także pokrywy naczyń w postaci 21 niewielkich fragmentów z zachowanym brzegiem (ryc. 21; tabl. 2:34; 4:7; 5:17; 8:40), stanowiących odpowiednik 114% SEN, a także dwa okrągłe uchwyty pokryw. Można wyróżnić trzy podstawowe kształty brzegów pokryw: 1 – szerokie, płasko ścięte lub profilowane; 2 – zaokrąglone, zakończone wąską krawędzią brzegową; 3 – brzegi grube, owalne ze spłaszczonym brzegiem stycznym do powierzchni naczynia. Pokrywki mają obtaczane, dobrze wykonane, najczęściej zagładzone i gładkie powierzchnie, barwy brązowej, brązowo-szarej i brązowo-ceglastej, niekiedy szaro-czarne. Większość fragmentów ma ślady okopceń i czarnej spalenizny na krawędzi. Częściej są słabo zsiwione, o nierównej barwie powierzchni, niż typowo „siwe". Uchwyty pokryw (tabl. 2:28; 4:8) mają bardziej jednolicie szarą powierzchnię z zewnątrz, charakterystyczną dla ceramiki „siwej" matowej. Natomiast wnętrza uchwytów pokryw są brązowo-ceglaste, a przełom jednolicie szary. Uchwyty mają zagładzaną, lekko szorstką powierzchnię ze śladami odcinania. Średnice okrągłych uchwytów pokryw wynoszą ok. 3,5 cm do 4 cm.

Dna naczyń

Naczynia z Łodygowa, st. 1 głównie zaopatrzone były w dna lekko wklęsłe, niekiedy w dna mocno wklęsłe i płaskie (ryc. 22). Znaleziono 89 fragmentów z zachowanym dnem i 157 fragmentów przydennych. Wałek dookolny na dnie rozpoznano na 54 fragmentach. Najczęściej były to dna z dobrze widocznym, wysokim wałkiem dookolnym (tabl. 4:9; 7:6), niekiedy też z wałkiem szerokim, ale też mocno spłaszczonym, obłym, zatartym i w związku z tym słabo widocznym. Dna naczyń pochodzących z wczesnej epoki żelaza to dna lekko wklęsłe, grubościenne, o zagładzanej powierzchni zewnętrznej i niekiedy z ornamentem paznokciowych wgłębień (tabl. 1:21; 8:42; 9:20). Na wczesnośredniowiecznych dnach wklęsłych znaleziono cztery znaki garncarskie: jeden wklęsły i trzy wypukłe, zatarte, oraz bliżej nieokreślone odciski osi w postaci wgłębień, plastycznych okręgów, czy wypukłych równoległych smug odwzorowujących wzór z nakładki (tabl. 1:5; 8:9; 9:11, 14–15).

Dna wczesnośredniowieczne naczyń silnie obtaczanych są płaskie, odcinane lub na drobnej, pylastej podsypce, prawie całkowitej zatartej. Małe dno pucharka ma przy dnie regularne, silne przegłębienia palcowe. Części przydenne są cienkościenne, równe, z zaznaczającymi się połączeniami uwypuklonych wałków od wewnętrznej strony. Wykonane są z masy ceramicznej barwy brązowej i brązowo-szarej z trójwarstwowym przełamem barwy brązowej i szarymi brzegami.

Ucha

Zachowane dwa fragmenty uch pochodzą od występujących w Łodygowie, st. 1 dzbanów ceramiki „siwej", matowej, zaliczonych do grupy 11. Są to szerokie (1,6 cm) i grube (1 cm), płaskie w kształcie, masywne formy. Zachowały się tylko ich części środkowe.

[51] Fonferek, Marcinkowski i Sieńkowska 2012: 66.

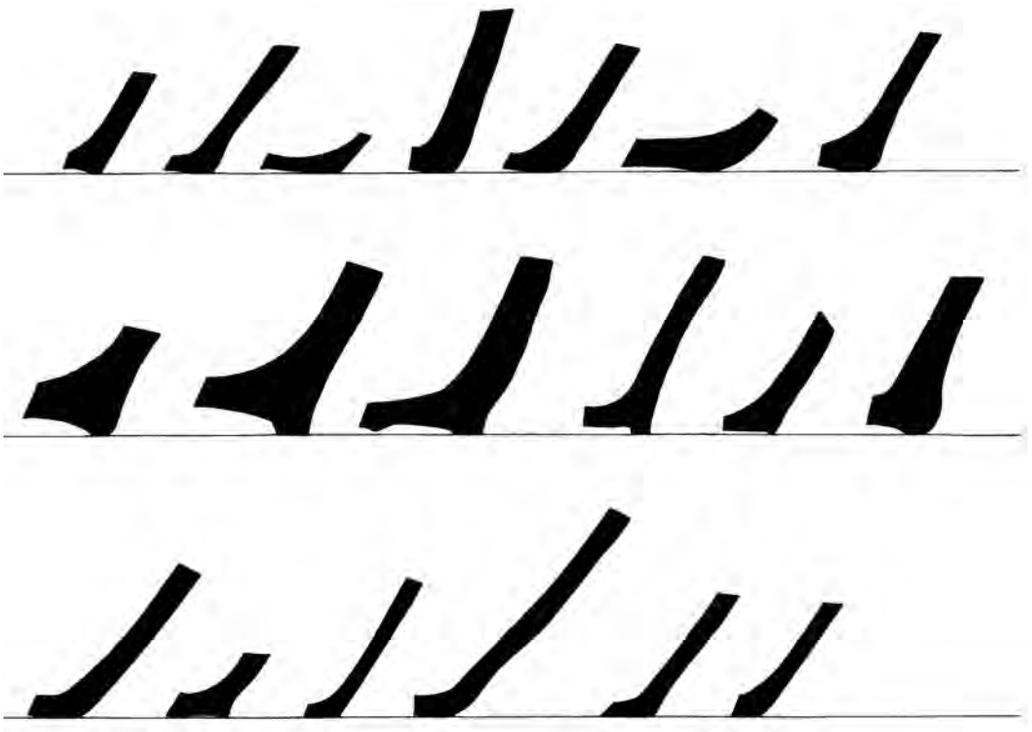

Ryc. 22. Łodygowo, st. 1. Formy den naczyń glinianych (oprac. U. Kobylińska, rys. A. Kucharska-Wach)

Podsumowanie charakterystyki ceramiki wczesnośredniowiecznej z Łodygowa, st. 1

Na podstawie przeprowadzonej analizy fragmentów ceramiki można stwierdzić, że pod względem technologicznym zbiór naczyń z okresu od końca XII do początków XIV w. wykazuje podobieństwo do materiałów pochodzących ze stanowisk z Ziemi Chełmińskiej. Na terenie grodziska w Łodygowie, st. 1 występują głównie garnki, i niewiele naczyń mogących pełnić rolę dzbanów. Nie występują tu naczynia stołowe, wyświecone, czy też pucharki i talerze. Większa część naczyń była wypalana w atmosferze utleniającej, natomiast naczynia wypalane w atmosferze redukcyjnej mają ślady nieprecyzyjnego działania i są niejednolitej barwy.

Zabytki wydzielone

Zabytki wykonane z gliny

Przęśliki (tabl. 11:1–3)

Na stanowisku 1 w Łodygowie znaleziono trzy gliniane przęśliki zachowane w całości w jednostkach stratygraficznych 1 i 10 oraz w wypełnisku obiektu 15. Lekko zniszczony przez drobne obtłuczenia przęślik (tabl. 11:1) jest spłaszczony, o obłych brzegach i nierównych powierzchniach. Jego średnica wynosi 3,6 cm, średnica otworu wewnętrznego – ok. 1 cm, a wysokość – 1,7 cm. Waga przęślika wynosi 23,49 g. Dwa pozostałe przęśliki to formy dwustożkowate (tabl. 11:2–3) o ostrych załomach i dobrze opracowanej, gładkiej powierzchni, lekko okopconej, barwy ciemnoczerwonawo-szarej (5YR 4/2) i czerwonawo-brązowej (5YR 4/3). Mają one wyraźnie zaznaczone, regularne krawędzie brzegowe, załomy powierzchni górnej i dolnej są gładkie, mają równe ścianki oraz regularnie uformowane otwory w centralnej części. Oba okazy odznaczają się dobrym obtoczeniem i regularnymi proporcjami. Średnica przęślika z jednostki stratygraficznej 10 wynosi 3,2 cm, średnica otworu – 1 cm, wysokość – 2 cm, a waga – 22,28 g. Średnica drugiego przęślika, pochodzącego z obiektu 15 – wynosi 3,4 cm, średnica otworu – ok. 0,9 cm, wysokość – 2 cm a waga – 23,18 g. Wszystkie przęśliki są dość masywne, ciężkie i mają spłaszczone powierzchnie dookoła otworu, oprócz jednego – pochodzącego z obiektu 15, w którego przypadku powierzchnia wokół otworu jest wyraźnie silnie wgłębiona.

Omawiana kategoria znalezisk – przęślików, obok ceramiki należy do najczęściej spotykanych artefaktów na osadniczych stanowiskach średniowiecznych i świadczy o funkcjonowaniu intensywnej działalności tkackiej mieszkańców. Przęślik, czyli funkcjonalnie ciężarek przymocowany do wrzeciona, służył do ręcznego wykonywania przędzy z lnu i wełny. Przęśliki gliniane należą do standardowego wyposażenia

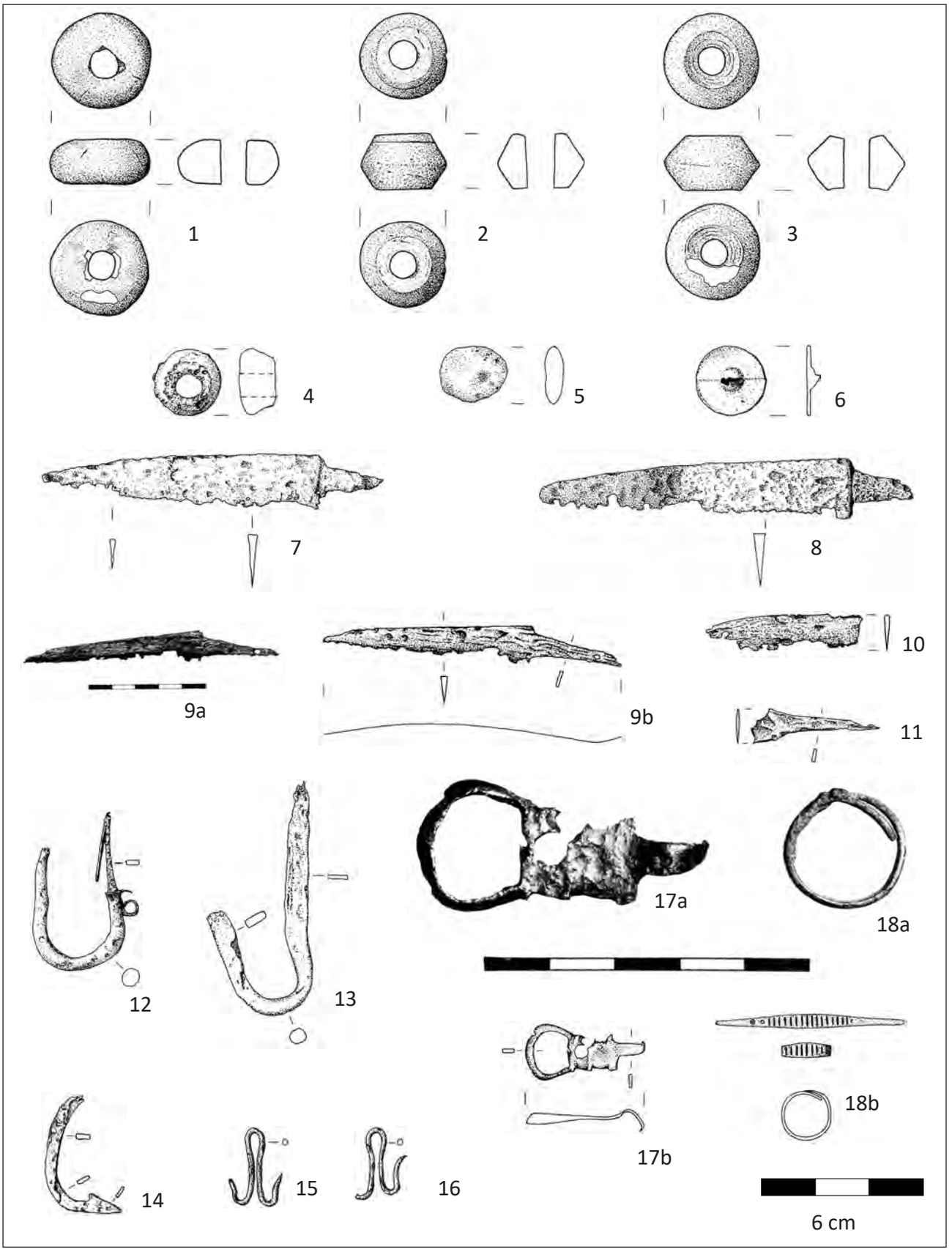

Tablica 11. Łodygowo, st. 1. Zabytki wydzielone (rys. B. Karch i A. Kucharska-Wach, fot. M. Dąbski)

w gospodarstwie domowym na wielu stanowiskach osadniczych z okresu wczesnego średniowiecza[52]. Były to, jak się wydaje na tyle ważne czy znaczące przedmioty dla użytkowników, że znajdujemy je również jako wyposażenie w grobach kobiecych, a także dziecięcych na wielu cmentarzyskach[53]. Ich duża liczba na stanowisku, bogactwo form występujących może wskazywać na stopień intensywności prac rękodzielniczych czy wielość warsztatów na terenie osady. Funkcja przęślika polegała na obciążeniu wrzeciona i ułatwieniu nadania mu ruchu obrotowego, a głównym zadaniem było zapobieganie zsunięciu się nici z wrzeciona.

Zabytki metalowe

Pierścień ze srebra

W warstwie 6/1984 odkryto pierścień-obrączkę (tabl. 11:18a–b) ozdobioną pionowymi nacięciami, które zostały na końcach ograniczone odciskami małych kółeczek. Wykonana została ze srebrnego paska o długości ok. 6,9 cm, grubości 0,15 cm i szerokości 0,5 cm w środkowej części. Zwężające się, zaokrąglone końcówki nie zostały zespojone na stałe. Średnica obrączki wynosi 1,6 cm, ale może się ona zmieniać ze względu na niepołączenie na stałe końcówek i możliwość zmieniania wielkości.

Sprzączka i okucie pasa

W obiekcie 2/1984 znaleziono fragment niewielkiej sprzączki do wąskiego paska (tabl. 11:17a–b). Jest ona wykonana z cienkich blaszek uszkodzonych korozją, nieco zdeformowana; ma widoczny pusty otwór po nicie. Jej całkowita długość wynosi ok. 4,5 cm.

Znaleziony na terenie grodziska fragment przedmiotu z żelaza o wymiarach ok. 6 x 2,5 x 0,4 cm (tabl. 12:3a–b) może być częścią większej zawieszki lub blaszki okucia pasa.

Topór

Na wale grodziska w jego części południowo-zachodniej pod grubą warstwą humusu zalegał bruk kamienny, który był częścią umocnienia wału. Pomiędzy kamieniami bruku znaleziono topór żelazny z resztką spróchniałego toporzyska, z wbitym żelaznym ćwiekiem tkwiącym w tulejce (tabl. 12:1a–b, 2a–b). Żelazny ćwiek ma długość całkowitą 5 cm. Topór o długości całkowitej ok. 16 cm ma lekko półokrągłe, szerokie na ok. 15 cm ostrze, krótką szyjkę w przekroju kwadratową, przechodzącą w masywną osadę w przekroju trójkątną (3 x 4 x 4 cm), o płaskich bokach, w której mocowano trzonek (zwany też styliskiem lub toporzyskiem). Znaleziony okaz to odmiana o osadzie bez wąsów i kapturka z płaskim obuchem i można go zaliczyć do podtypu Va wg klasyfikacji A. Nadolskiego, który takie formy umieszcza w ramach chronologicznych od X i XI w do XV w.[54] Podobne znaleziska toporów ze spłaszczonym obuchem, znalezione np. w Goraju, pow. biłgorajski, czy w Gródku nad Bugiem, st. 1A, gm. Hrubieszów, pow. hrubieszowski, są datowane na okres od XIII do początku XV w.[55] Nieco podobne topory z płaskim obuchem znaleziono w trakcie penetracji podwodnych w Klasztorku, gm. Gardeja, pow. kwidzyński[56].

Topór był zarówno najpopularniejszą bronią w średniowieczu, jak też narzędziem do pracy przy obróbce drewna. Wielofunkcyjność i stosunkowo szybsze i prostsze wykonanie topora przez kowala niż np. miecza powodowało jego łatwiejszą dostępność dla szerszego grona odbiorców. Zgodnie z opinią bronioznawców topór był wiodącym asortymentem w kategorii tzw. broni obuchowej, zwłaszcza w okresie wczesnego średniowiecza. Zapewne wynikało to z dużej uniwersalności tego wyrobu kowalskiego, który w walce stanowił groźną broń, a jednocześnie na co dzień mógł być narzędziem pracy. Z powyższego względu systematyka tej broni, opracowana pół wieku temu przez Andrzeja Nadolskiego[57], nie odróżnia toporów bojowych od siekier, które w późnym średniowieczu zmieniły nieco kształt, może ze względu na częstsze pełnienie funkcji narzędzia[58] i stawały się tylko w razie niebezpieczeństwa bronią plebejską[59].

Grot włóczni

W warstwie 5/1984 znaleziono skorodowany żelazny grot włóczni/oszczepu z ubytkami ścianki w obrębie tulejki (tabl. 12: 4a–b), o długości 19,3 cm. Ostrze, o długości ok. 5 cm jest płaskie, w kształcie liściaste, o szerokości 1,4 cm w najszerszym miejscu, ze słabo wydzielającym się żeberkiem. Ma długą, wąską tulejkę, w przekroju okrągłą, na końcu średnicy 2,5 cm. Podobne groty z niewielkimi ostrzami znaleziono na terenie gródka w Plemiętach, gm. Gruta, pow. grudziądzki[60].

[52] Np. Łęga 1930; Kuszewska 1961; Leciejewicz 1961; Filipowiak 1962; Musianowicz 1969; Lodowski 1972; Malinowska-Łazarczyk 1982; Lenarczyk 1991; Herrmann 1998.

[53] Kurasiński i Skóra 2012; J. Jaskanis 2013: 215.

[54] Nadolski 1954: 46; Głosek 1996: 35.

[55] Wichrowski 2000: 212–213, ryc. 1; Kuśnierz 2006: ryc. 6:1.

[56] Niegowski 1997: ryc. 3:b–d.

[57] Nadolski 1954: 36–50.

[58] Grążawski 2003: ryc. 23–24, 32.

[59] Głosek 2004: 238–241.

[60] Głosek 1985: tabl. 11:6–7; późnośredniowieczny grot oszczepu o podobnym małym ostrzu prezentuje Nadolski 1978: poz. kat. 139, z bliżej nieokreślonego terenu Pomorza lub Kujaw.

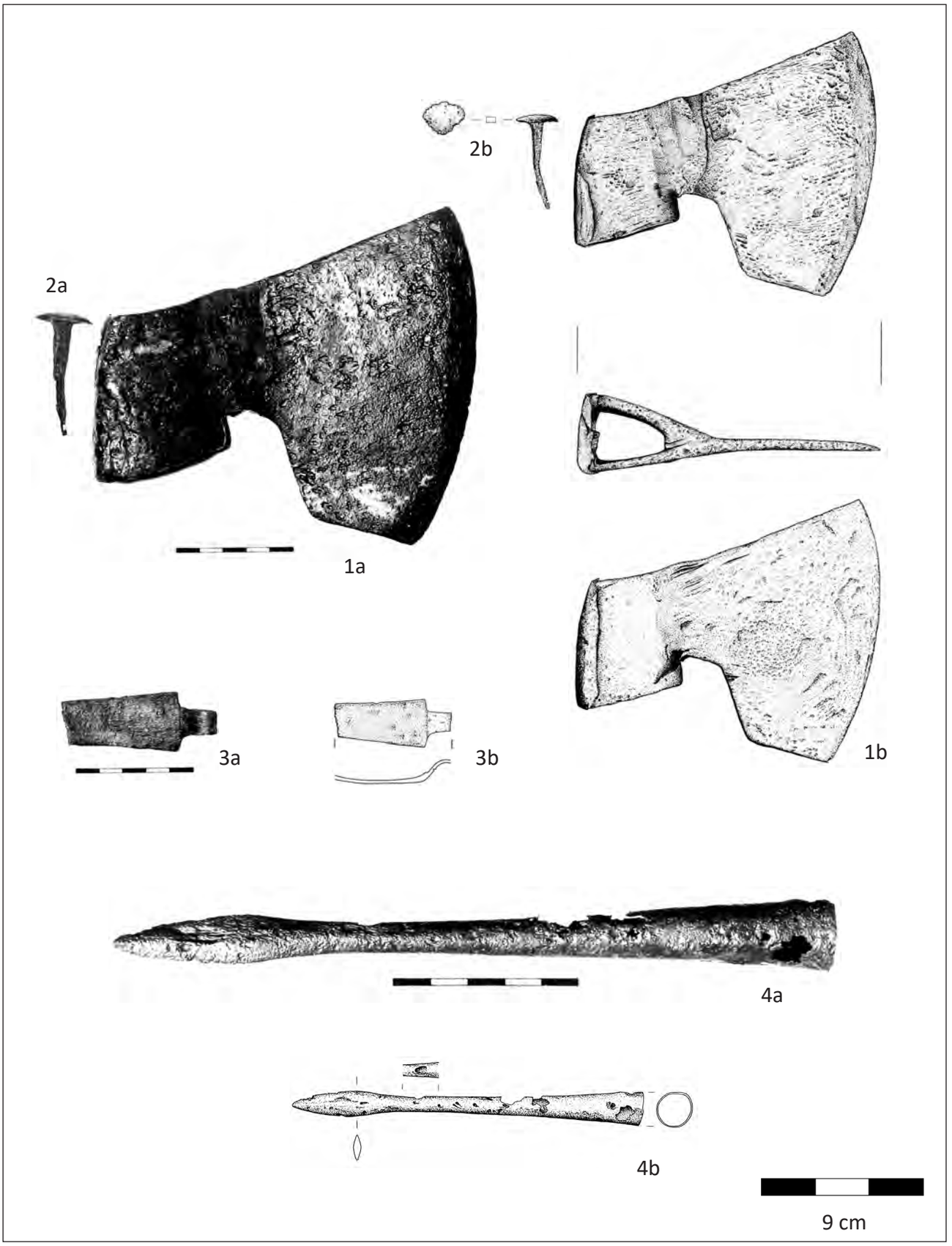

Tablica 12. Łodygowo, st. 1. Zabytki wydzielone (rys. B. Karch i D. Wach, fot. M. Dąbski)

Noże

Na obszarze grodziska znaleziono pięć noży zachowanych w całości lub fragmentarycznie. Jednym z nich jest nóż żelazny (tabl. 11:7) ze skorodowanym ostrzem o długości ok. 10,5 cm, szerokości ok. 2 cm, z trzpieniem zachowanym na długości ok. 2,3 cm. Znaleziono też szeroki nóż żelazny o długości ok. 12 cm, z zachowanym na długości 2,2 cm trzpieniem (tabl. 11:8). W obiekcie 2/1984 w niewielkim zagłębieniu znaleziono mały nóż z mocno skorodowanym wąskim ostrzem o szerokości ok. 1,4 cm i długości 7,9 cm, z zachowanym wydzielającym się trzpieniem o długości ok. 3,3 cm. Na końcu trzpienia widoczny jest mały otwór po nicie, o średnicy ok. 0,3 cm (tabl. 11:9a–b). W wypełnisku obiektu 1/1984 odkryto dwa niewielkie fragmenty noży żelaznych w postaci końcówki ostrza zachowanej na długości 5,5 cm, grubości 0,3 cm (tabl. 11:10) oraz końca ostrza z wąskim trzpieniem do umocowania trzonka, zachowanym na długości 4,5 cm (tabl. 6:11). Podobne małe nożyki znaleziono np. w Węgrach, st. 1, gm. Sztum, pow. sztumski, gdzie zaliczone zostały do typu I[61]. Duży zestaw noży z wyodrębnionym trzpieniem odkryto także w gródku w Plemiętach, gm. Gruta, pow. grudziądzki[62].

Haczyki

Haczyki żelazne na ryby różnej wielkości i małe kotwiczki zachowane fragmentarycznie lub w całości znaleziono w różnych warstwach grodziska (tabl. 11:12–16).

Gwoździe żelazne i inne elementy budowlane

Na obszarze grodu znaleziono 11 gwoździ różnego typu, zarówno małych rozmiarów (tabl. 13:3, 16), jak i większe (tabl. 13:6–7, 25–26) z główkami oraz z główkami odcinanymi (tabl. 13:4–5, 27, 32–33), zachowane w całości i fragmentarycznie. Odkryto także w 10 jednostce stratygraficznej masywny, prostokątny w przekroju klin budowlany (tabl. 13:34).

Przedmioty domowego użytku

Na terenie grodziska znaleziono nieco zdeformowane raki do chodzenia po lodzie (tabl. 13:1), a także cienkie igły żelazne (tabl. 13:8–13) fragmentarycznie lub w całości zachowane, oraz mocno skorodowany fragment być może brzytwy żelaznej (tabl. 13:14).

Inne przedmioty z żelaza i brązu

W czasie badań grodziska w Łodygowie, st. 1 odkryto również wiele fragmentarycznie zachowanych przedmiotów żelaznych, takich jak fragmenty drucików (tabl. 13:17–18) okrągłych w przekroju; część małego kółeczka (tabl. 13:15); zdeformowane i skorodowane blaszki żelazne różnego kształtu (tabl. 13:2, 19, 21–24, 28–31, 35–37), w tym jedną wykonaną z cienkiej płytki z brązu, w kształcie kwadratową z otworem po nicie i śladowo zachowanym ornamentem w postaci kwadratowych odcisków na brzegu (tabl. 13:20).

Zabytki z kości i poroża

Grzebień rogowy (tabl. 14:1a–b)

Przedmiot znaleziono w obrębie zasypiska obiektu 2/1984. Fragment dwustronnego grzebienia trójwarstwowego, o zachowanych dwóch warstwach, jest spojony nitami na okładzinie. Zachowały się dwa nity z brązu. Rozstaw zachowanej części pracującej można określić jako zęby rzadkie, szerokie; druga część z zębami o wąskim rozstawie jest mocno uszkodzona. Grzebień jest ozdobiony poziomymi żłobieniami, ograniczającymi pasmo odciskanych kółeczek na okładzinie. Odciski kółeczek występują także na – szerokim na ok. 1 cm – wklęsłym boku grzebienia z obu stron. Ten motyw odciskania kółek był dość powszechnie stosowany na różnych przedmiotach z rogu[63], niekiedy jako podstawowy lub główny motyw zdobniczy. Jednak są regiony, gdzie dominuje zupełnie inny charakter ornamentyki, jak np. na Wolinie, gdzie dominowały pasma zygzakowate[64], czy ukośne nacięcia tworzące trójkąty, jak w zachodniej Słowiańszczyźnie. Według typologii E. Cnotliwego[65] oraz A. Chmielowskiej[66] grzebień z Łodygowa st. 1 można zaliczyć do grupy IIB, typu III o bokach wklęsłych. W Gdańsku ten typ grzebieni znaleziono w 1–3 poziomie osadniczym. Znajdowały się one także w materiale zabytkowym z Kołobrzega i Kalisza[67] oraz z okolic Gniewa, pow. tczewski[68]. W średniowieczu grzebienie dwustronne, trójwarstwowe były dość szeroko rozpowszechnione i użytkowane w różnych punktach osadniczych, nie tylko w dużych ośrodkach[69]. Chronologia grzebieni o formie reprezentowanej przez okaz z Łodygowa, st. 1 ustalona została na okres od 2. połowy XII do 2. połowy XIV w.[70]

Hetki kościane

Na terenie grodziska odkryto niewielkie trzy paliczki śródstopia (tabl. 14:2–3) długości 3 i 3,5 cm;

[61] Haftka i Wadyl 2015: ryc. 98.

[62] Kochanowski 1985b: 171–174, tabl. 29–30.

[63] Cnotliwy 2013: ryc. 37, 46.

[64] Cnotliwy 1973: 225.

[65] Cnotliwy 1973.

[66] Chmielowska 1971.

[67] Chmielowska 1971: 75.

[68] Zielonka 1951: ryc. 3c–d; Cnotliwy 1973: ryc. 68:k–l.

[69] Fonferek, Marcinkowski i Sieńkowska 2012: 76–77, ryc. 79; Nawrolska 2012: ryc. 37:7; Zbierski 1959: tabl. 14.

[70] Chmielowska 1971: ryc. 28.

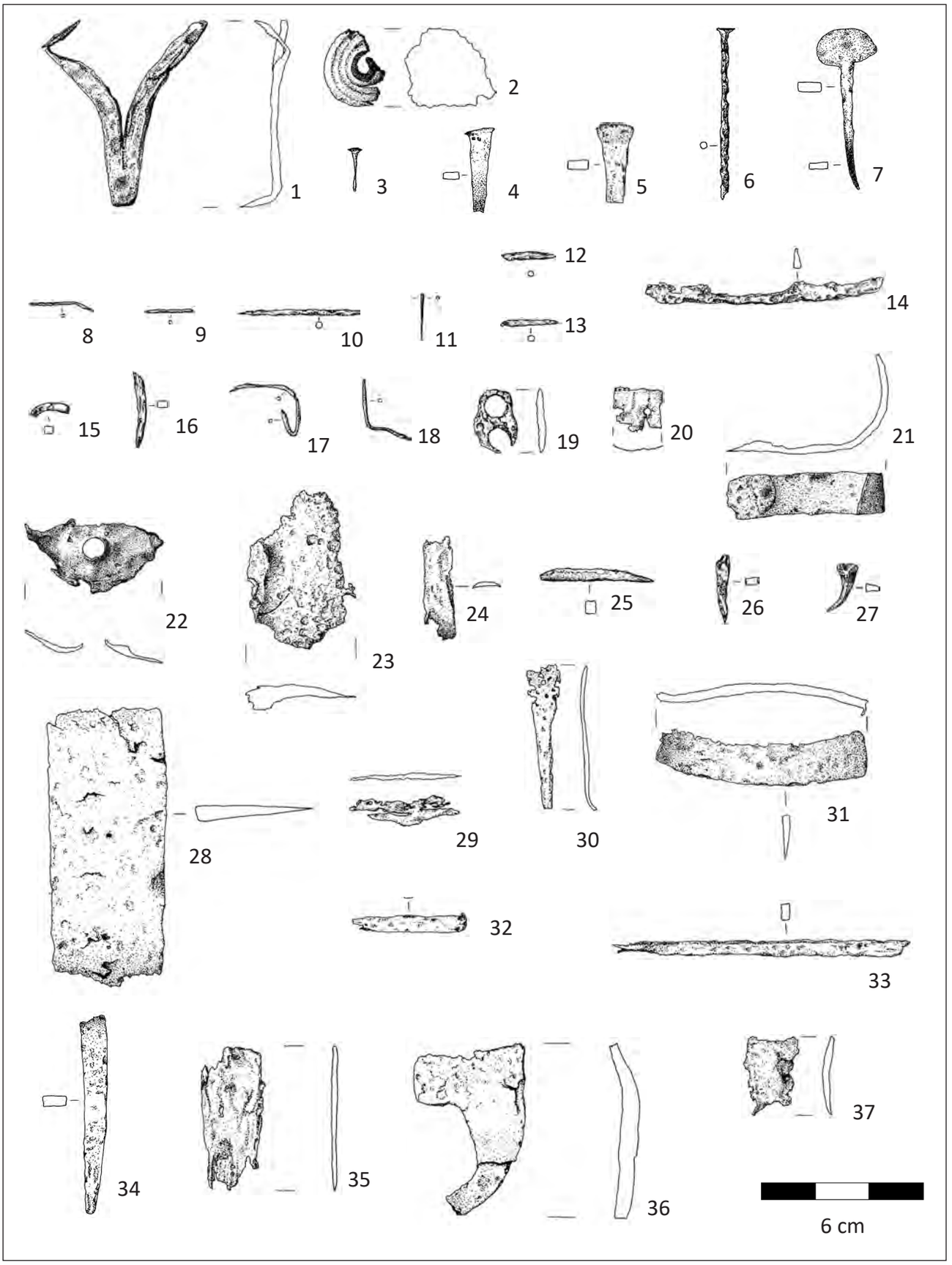

Tablica 13. Łodygowo, st. 1. Zabytki wydzielone (rys. P. Potocka)

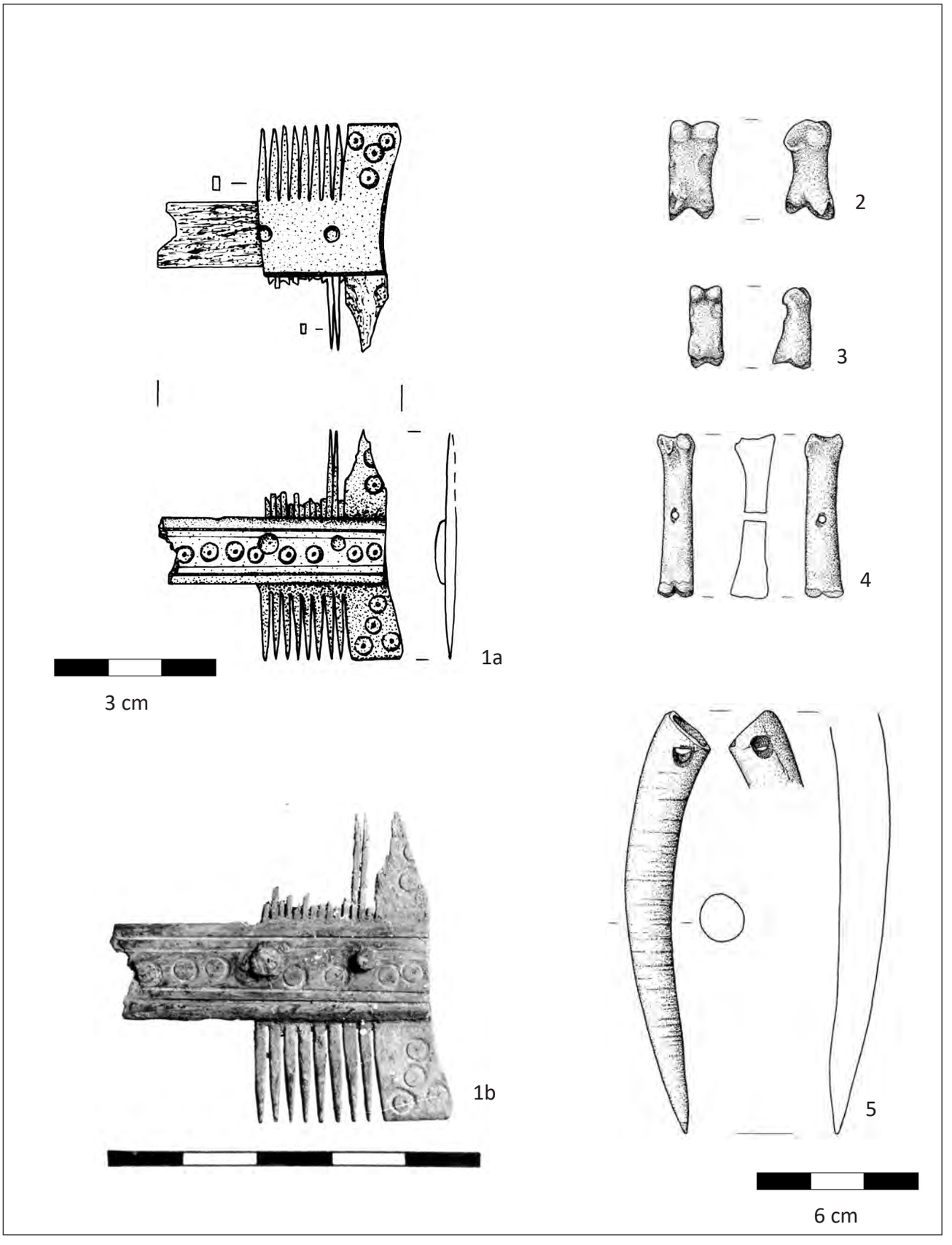

Tablica 14. Łodygowo, st. 1. Zabytki wydzielone (rys. A. Kucharska-Wach, fot. M. Dąbski)

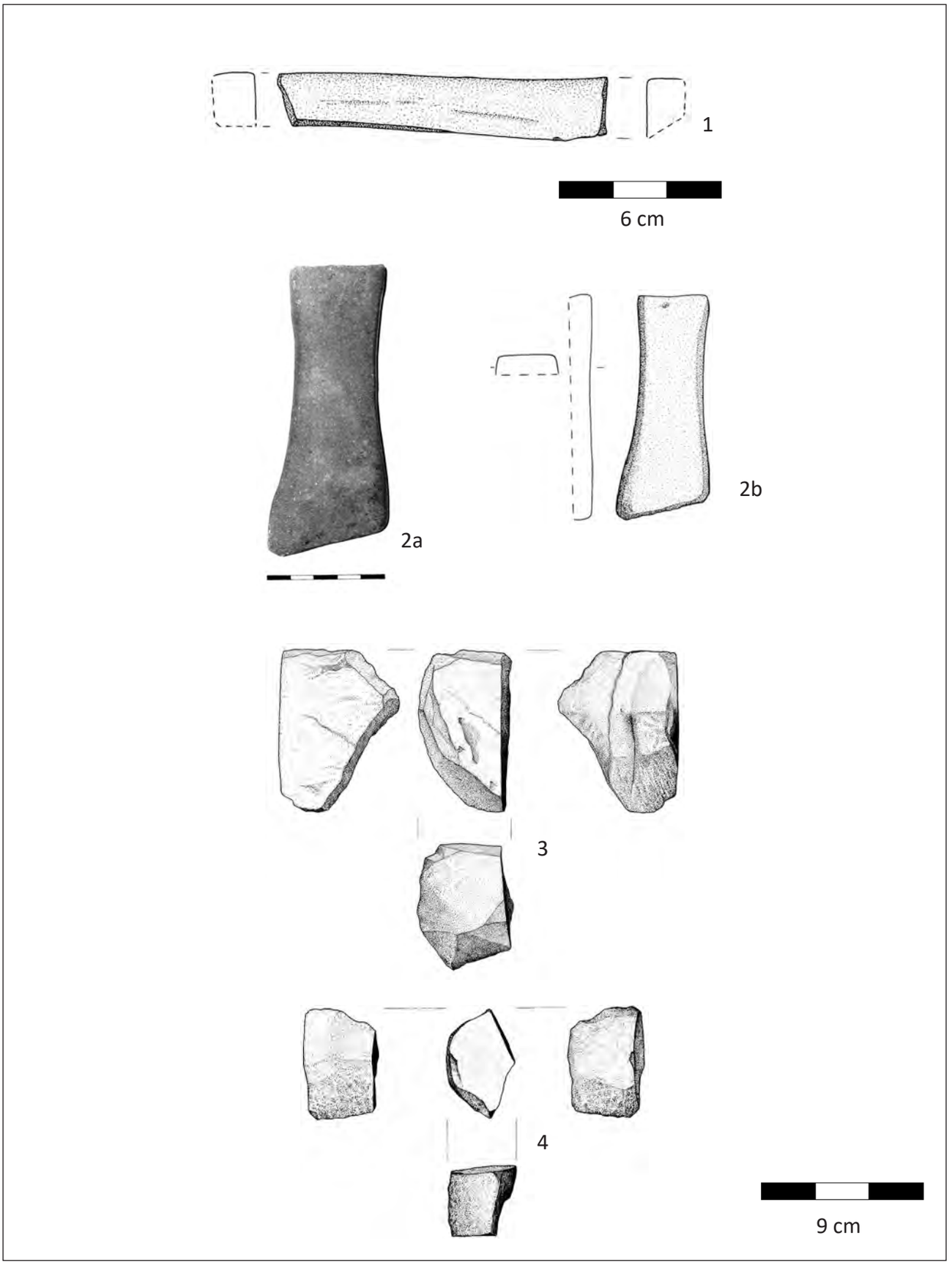

Tablica 15. Łodygowo, st. 1. Zabytki wydzielone (rys. A. Kucharska-Wach, fot. M. Dąbski)

średnicy obwodu ok. 0,9–1,5 cm, być może dzika/świni z niewielkimi śladami obróbki. Być może były one przygotowywane do wykonania astragali do gry w kości lub do zapięć odzieży. Jeden (tabl. 14:4) długi paliczek (dł. 5,8 cm), ma w połowie długości wywiercony mały, owalny otwór o średnicy ok. 0,3–0,4 cm. Jest to typowy przykład tzw. hetki kościanej, służącej jako najprostszy sposób spinania grubej odzieży. Były one bardzo rozpowszechnione na wielu stanowiskach z wczesnego średniowiecza, np. w Janowie Pomorskim, st. 1, gm. Elbląg, pow. elbląski[71].

Przekłuwacz lub oprawka stożkowa z poroża

W jednostce stratygraficznej 7 na wewnętrznym stoku wału we wschodniej części grodziska znaleziono częściowo wydrążony, lekko zakrzywiony fragment poroża (tabl. 14:5) o długości ok. 16 cm. Średnica lekko owalnego otworu u nasady przedmiotu wynosi 2,1 x 2,3 cm. W odległości 0,6 cm od brzegu nawiercone są otwory z obu spłaszczonych stron przedmiotu, o średnicy ok. 0,6 cm. Z jednej ze stron widoczne są wąskie, krótkie nacięcia o długości ok. 0,7–0,9 cm. Powierzchnia jest gładka, wypolerowana, lecz krawędź odciętego fragmentu poroża jest nierówna, ze śladami po nacinaniu. Przedmiot ten mógł pełnić rolę dużego przekłuwacza do wykonywania otworów w skórach, bądź też był stożkowatą oprawką narzędzia, zapewne żelaznego.

Zabytki kamienne (tabl. 15)

Wytwory krzemienne

Na terenie grodziska znaleziono siedem zabytków krzemiennych: cztery odłupki, drapacz, rdzeń i łuszczeń.

Osełki

W jednostce stratygraficznej 2 odkryto podłużną osełkę (tabl. 15:1) o długości 12,3 cm, o dwóch ścianach nierównych, odłupanych i dwóch długich, równych, wypolerowanych. W przekroju jest niemal kwadratowa o wymiarach 1,7 x 2 cm.

W poziomie warstwy bruku grodziska znaleziono podłużną osełkę w przybliżeniu prostokątną w kształcie, o wklęsłych bokach wzdłużnych (tabl. 15:2a–b), o wypolerowanej szerokiej powierzchni pracującej, a także bardzo gładkich wąskich powierzchniach bocznych. Osełka ta ma wymiary 12 x 6 x 1cm.

Pozostałe dwa fragmenty osełek są nocno zniszczone, z odłupanymi ściankami, o zachowanej częściowo jedynie po jednej ściance ze śladami opracowania, równej i wypolerowanej, która była częścią pracującą. Wymiary osełki większej z jednostki stratygraficznej 1 wynoszą 9 x 6,5 x 5 cm (tabl. 15:3), a mniejszej – z jednostki stratygraficznej 7 – 6 x 4 x 3 cm (tabl. 15:4).

Inne znaleziska

Na obszarze grodziska znaleziono także niewielki ciężarek z ołowiu (tabl. 11:4), być może był to obciążnik do sieci; bryłkę żelaza (tabl. 11:5); płaską okrągłą tarczkę żelazną (tabl. 11:6) oraz fragment bliżej nieokreślonego przedmiotu w postaci żelaznej spirali (tabl. 13:2).

Rodzaj i liczba zabytków pozostała w nawarstwieniach kulturowych wskazuje na intensywne użytkowanie tego grodu przez mieszkańców w okresie od końca XII do początku XIV w.

KOŚCI ZWIERZĘCE

ANNA GRĘZAK I KAROL PIASECKI

Opracowania kości zwierzęcych znalezionych w 1984 roku podczas badań wykopaliskowych grodziska w Łodygowie, st. 1 dokonał Karol Piasecki. Analizie, która polegała na identyfikacji gatunkowej oraz ewentualnej identyfikacji osobniczej i wiekowej, poddano 31 zespołów szczątków kostnych, które zawierały łącznie 423 fragmenty kości. Ocena liczby osobników należących do poszczególnych gatunków okazała się utrudniona ze względu na znaczne rozdrobnienie materiału i jedynie w kilku przypadkach udało się w dużym przybliżeniu ocenić minimalną liczbę osobników. Także utrudniona była ocena wieku. Ze względu na wysoki stopień fragmentacji, zbiór zawiera aż 214 fragmentów nieoznaczonych (ok. 50% całego zbioru). Stan szczątków często spowodowany był cięciem lub łupaniem kości, co z kolei wskazuje na to, że były to głównie resztki kulinarne.

Stwierdzono obecność czterech gatunków zwierząt hodowlanych: konia, bydła rogatego, świni oraz owcy/kozy. Słabo zachowane szkielety uniemożliwiły rozróżnienie szczątków świni domowej od dzika, stąd w opracowaniu kostnym ta grupa została potraktowana w całości jako świnia. Na stanowisku wystąpiły także nieliczne kości ptactwa (gęś i prawdopodobnie kura), a także bobra i jelenia. Natomiast szczątki ryb występowały w postaci kręgów, łusek i pokryw skrzelowych.

Pośród oznaczonych fragmentów najliczniejszą grupę stanowią szczątki bydła (34%) oraz świni (29%). W mniejszym stopniu występowały kości owcy/kozy (16%) i konia (9,6%), natomiast najmniejszy procent stanowiły szczątki psa (3%), ptactwa (4%), ryb (2,4%), jelenia (1%) oraz bobra (1%) (tab. 4).

Materiał osteologiczny pozyskany podczas badań wykopaliskowych w roku 2013 opracowała Anna Grężak. Zespół ten, składający się z 1054 szczęt-

[71] Jaworski 1990: 76; Cnotliwy 1999: 191, 2013: ryc. 19, 52; Makowiecki 2013: ryc. 11.

Tabela 4. Łodygowo, st. 1. Liczba fragmentów kości zwierzęcych poszczególnych gatunków z grupy szczątków oznaczonych z badań wykopaliskowych w roku 1984 (oprac. K. Piasecki)

Identyfikacja zoologiczna	Bydło	Świnia	Owca/ koza	Koń	Pies	Ptactwo	Ryby	Jeleń	Bóbr
Liczba	71	60	34	20	6	9	5	2	2
Procent z oznaczonych szczątków [%]	34	29	16	9,6	3	4	2,4	1	1

ków zwierzęcych, poddano standardowej procedurze archeozoologicznej. Rozpoznawano przynależność gatunkową i anatomiczną szczątków zwierzęcych. Identyfikacja zoologiczna została przeprowadzona na podstawie występujących w szkielecie cech systematycznych określających gatunek zwierzęcia. W pewnych przypadkach na fragmentach kostnych nie zachowały się cechy umożliwiające jednoznaczną identyfikację gatunku zwierzęcia, a jedynie przynależność do jednostek systematycznych wyższej rangi. W tej sytuacji ograniczono się do podania informacji, że dany element pochodził np. ze szkieletu ptaka, ryby, zwierzęcia drapieżnego, dużego przeżuwacza czy zwierzęcia z rodziny *Bovidae*. W skład ostatniej z wymienionych grup wchodziły fragmenty szkieletu żubra i tura, z których część udało się przypisać do konkretnego gatunku stosując kryteria opisane przez Stamphli[72] i Gee[73]. Także kości owcy i kozy, ze względu na trudności z jednoznaczną identyfikacją wynikające z podobieństwa morfologicznego elementów ich kośćca, określano mianem „owca-koza", aczkolwiek część z nich przyporządkowano do konkretnego gatunku. W tym celu posłużono się zasadami identyfikacji opisanymi przez zoologów i archeozoologów[74]. Ustalano wiek osobniczy ssaków domowych na podstawie obserwacji stanu rozwoju kośćca[75] oraz rozwoju uzębienia i stopnia starcia zębów[76]. Płeć zwierząt oceniano na podstawie widocznych w szkielecie i uzębieniu cech dymorfizmu płciowego – kształtu kłów i zębodołów po kłach u świni[77], obecności poroża zwierząt jeleniowatych, kształtu możdżeni u kozy. Dokonano pomiarów kości stosując zasady zunifikowane przez Driesch[78]. Zwracano uwagę na widoczne na kościach ślady antropogeniczne oraz ślady powstałe w wyniku działania czynników tafonomicznych. etapu biostratonomicznego i diagenetycznego[79].

Rozpoznano gatunkowo i anatomicznie 843 fragmenty kości i zębów zwierzęcych, co stanowiło 79,98 % wszystkich szczątków. Stan zachowania szczątków zwierzęcych był na ogół dobry, mimo że większość uległa pewnym modyfikacjom na skutek działania różnych czynników tafonomicznych – kulturowych i naturalnych (tab. 5).

Tabela 5. Łodygowo, st. 1. Rozkład gatunkowy szczątków zwierzęcych z grodziska z badań w roku 2013 (oprac. A. Grężak)

Identyfikacja zoologiczna	n	%*	%**
Bydło	326	47,66	
Świnia	191	27,92	
Owca/koza	153	22,37	
Koń	13	1,90	
Pies	1	0,15	
Ssaki domowe	**684**	**100,00**	
Dzik	33	26,19	
Dzik/Świnia	9	7,14	
Żubr	10	7,94	
Tur	1	0,79	
Bovidae	20	15,87	
Duży przeżuwacz	19	15,08	
Łoś	7	5,56	
Jeleń	9	7,14	
Sarna	7	5,56	
Bóbr	6	4,76	
Wiewiórka	2	1,59	
Niedźwiedź	1	0,79	
Borsuk	1	0,79	
Drapieżny	1	0,79	
Ssaki łowne	**126**	**100,00**	
Karczownik	1		
Mikrossak	2		
Ssaki	**813**		**96,44**
Ptaki	**26**		**3,08**
Ryby	**4**		**0,47**
Oznaczone	**843**		**100,00**
Nieoznaczone	**211**		
Razem	**1054**		

* odsetki szczątków poszczególnych gatunków zwierząt domowych i łownych; ** odsetki szczątków poszczególnych gromad zwierząt

Materiał osteologiczny składał się głównie ze szczątków ssaków, 26 kości należało do ptaków, a cztery do ryb. W grupie szczątków ssaków 80,09% kości i zębów pochodziło od zwierząt udomowionych. Były to głównie pozostałości szkieletów pięciu podstawowych gatunków zwierząt hodowlanych wykorzystywanych gospodarczo. Najliczniejsze były szczątki bydła, stanowiące prawie połowę pozostałości kostnych ssaków domowych (47,66%). Drugie miejsce pod względem liczebności zajmowały pozostałości kostne świni i owcy oraz kozy (odpowiednio 27,92% i 22,37%), a kolejne – szczątki konia (1,90%). Ponadto

[72] Stampfli 1963.
[73] Gee 1993.
[74] Schramm 1967; Halstead i Collins 2002; Zeder i Lapham 2010.
[75] Kolda 1936.
[76] Lutnicki 1972.
[77] Schmid 1972.
[78] Driesch 1976.
[79] Lyman 1994.

znaleziono jeden ząb należący najprawdopodobniej do psa. Kości i zęby gatunków ssaków dzikich stanowiły aż 15,50% szczątków ssaków i reprezentowały co najmniej 10 gatunków zwierząt łownych: żubra, tura, jelenia, łosia, sarnę, dzika, niedźwiedzia, bobra, borsuka, wiewiórkę. Jeden fragment kości ramiennej nie posiadał cech diagnostycznych dla gatunku i mógł pochodzić od małego psa lub zwierzęcia dzikiego wielkości lisa. Ponadto w materiale oznaczono czaszkę karczownika i dwie kości długie drobnego ssaka wielkości karczownika, które dostały się do warstwy w trakcie lub po jej utworzeniu.

Najliczniejsze wśród szczątków zwierząt dzikich były pozostałości szkieletu dzika (nieco ponad 1/4 wszystkich zębów i kości) oraz dużych przeżuwaczy. W grupie tej znalazły się pozostałości kostne żubra, tura i ewentualnie łosia. Dziesięć szczątków zostało zidentyfikowanych jednoznacznie jako pochodzące od żubra na podstawie cech opisanych w literaturze lub porównania z kośćmi samicy żubra z kolekcji porównawczej Zakładu Bioarcheologii Instytutu Archeologii Uniwersytetu Warszawskiego. Natomiast jedną żuchwę tura z charakterystycznym zębem trzonowym M3 zidentyfikowano na podstawie kryteriów opisanych przez Hansa Rudolfa Stampfli[80]. W przypadku 39 fragmentów kości oznaczenie było mniej precyzyjne, gdyż nie posiadały one cech dystynktywnych dla konkretnych gatunków i opisano je jako „duże przeżuwacze" lub zwierzęta z rodziny *Bovidae*. W pierwszym przypadku fragmenty kości mogły należeć do żubra, tura lub łosia (szczególnie rosłego), w drugim do żubra lub tura. W tym miejscu należy dodać, iż obecność, a nawet dominacja, żubra została zarejestrowana w zespole kości pozyskanym podczas penetracji w wodzie w bezpośrednim sąsiedztwie wyspy[81]. Podobny skład gatunkowy szczątków z badań lądowych i podwodnych oraz ślady pokonsumpcyjne zarejestrowane na części fragmentów wydobytych z wody, sugerują, że obie grupy kości mogą być związane z działalnością mieszkańców badanej osady. Obecność szczątków żubra w zestawie zwierząt łownych ze stanowisk średniowieczny była już odnotowywana, ale stosunkowo rzadko. Na większości stanowisk z terenu Polski datowanych na ten okres wśród pozostałości kostnych zwierząt łownych dominują szczątki jelenia – gatunku, który w opisanym materiale jest reprezentowany przez 9 kości (7,14 % pozostałości kostnych zwierząt łownych). W badanym materiale osteologicznym odnotowano także wysokie odsetki szczątków dzika, zarówno wśród pozostałości pozyskanych bezpośrednio z terenu osady, jak też z wód okalających wyspę (33,00% wszystkich szczątków zwierząt dzikich). Także w tym przypadku wystąpiły trudności z rozpoznaniem pewnej liczby elementów z rodzaju *Sus*. Sytuacja taka miała miejsce w odniesieniu do fragmentów kostnych nie posiadających cech mierzalnych, umożliwiających jednoznaczne przypisanie ich do formy domowej lub dzikiej świni. Może być to związane ze stosowaniem wypasu otwartego zwierząt hodowlanych, który sprzyja krzyżowaniu się ich z osobnikami dzikimi. Poza opisanymi gatunkami polowano również na zwierzęta jeleniowate (łosia, sarnę, jelenia) oraz inne gatunki, które mogły być odławiane na skóry (borsuk, wiewiórka itp.) lub innych osiąganych pożytków.

Rozkład anatomiczny szczątków

Z rozkładu anatomicznego sporządzonego dla bydła wynika, że szczątki reprezentowały wszystkie elementy szkieletu, łącznie z członami palcowymi (tab. 6–8). Udziały kości pochodzących z tych samych odcinków (bliższego lub dalszego) kończyny piersiowej i miednicznej w większości zespołów były do siebie zbliżone, nieznaczną anomalię w stosunku o tzw. rozkładu modelowym[82] stanowi przewaga fragmentów z odcinka dalszego kończyny miednicznej bydła nad fragmentami z odcinka bliższego. Rozkłady gatunkowe szczątków świni oraz małych przeżuwaczy prezentują pełną reprezentację szkieletów.

Wiek, płeć i morfologia zwierząt

Wyniki przeprowadzonej analizy wskazują, że najwyższe udziały kości i zębów osobników niedojrzałych morfologicznie należały do świni. Kilkanaście procent wszystkich szczątków tego gatunku pochodziło od zwierząt młodych. Udziały te były niższe od zakresu cechującego większość materiałów ze stanowisk pradziejowych i średniowiecznych z terenu Polski (30–35% czyli około 1/3)[83]. Odsetek kości bydła należących do osobników, które nie ukończyły czwartego roku życia odpowiadały zakresowi wartości obserwowanemu na innych stanowiskach archeologicznych i mieszczącemu się w granicach 5–8%[84]. Najwcześniej poddawano ubojowi osobniki mające około 6 miesięcy, najpóźniej zaś zwierzęta w wieku 7–10 lat. Wśród szczątków konia znaleziono dwa zęby stałe fazie wzrostu (siekacz i ząb trzonowy lub przedtrzonowy), co oznacza, że wiek jednego lub dwóch osobniki w chwili śmierci nie przekroczył 4–5 lat.

[80] Stampfli 1963: 150.

[81] Badania prowadzone pod kierunkiem dr. hab. Andrzeja Pydyna.

[82] Lasota-Moskalewska 2008: 238.

[83] Lasota-Moskalewska 2008: 250.

[84] Lasota-Moskalewska 2008: 250.

Tabela 6. Łodygowo, st. 1. Zestawienie szczątków ssaków domowych z badań w roku 2013 (oprac. A. Gręzak)

Element anatomiczny	Bydło	Świnia	Owca	Koza	Owca-koza	Koń	Pies
Możdżeń	1	-	-	-	-	-	-
Czaszka	37	17	7	-	5	1	-
Żuchwa	18	23	5	-	2	-	-
Zęby czaszkowe	14	10	-	-	6	2	1
Zęby żuchwowe	9	17	5	-	-	-	
Kość gnykowa	-	-	-	-	-	-	-
Kręgi szyjne	3	7	-	-	5	-	-
Kręgi piersiowe	17	4	-	-	1	-	-
Kręgi lędźwiowe	3	8	-	-	3	-	-
Kość krzyżowa	1	-	-	-	1	-	-
Kręgi ogonowe	1	-	-	-	-	-	-
Żebra	71	29	-	-	23	-	-
Łopatka	12	5	3	-	4	-	-
Mostek	1	2	-	-	-		-
Kość ramienna	15	17	-	1	12	-	-
Kość promieniowa	8	4	2	1	6	2	-
Kość łokciowa	2	5	-	-	4	1	-
Kości nadgarstek	7	2	-	-	1	-	-
Śródręcze	11	4	-	-	5	-	-
Miednica	17	2	-	-	3	-	-
Kość udowa	15	10	-	-	12	2	-
Rzepka	-	-	-	-	-	-	-
Kość piszczelowa	15	9	-		23	3	-
Kość strzałkowa	-	1	-	-	-	-	-
Kość skokowa	6	2	2	-	1	-	-
Kość piętowa	3	-	-	-	1	-	-
Kości stępu (pozostałe)	**9**	-	-	-	-	-	-
Śródstopie	15	2	1	-	3	-	-
Człony palcowy I	8	6	2	-	1	-	-
Człony palcowy II	5	4	1	-	-	2	-
Człony palcowy III	2	1	-	-	1	-	-
Suma	**326**	**191**	**28**	**2**	**123**	**13**	**1**

Tabela 8. Łodygowo, st. 1. Rozkłady anatomiczne szczątków bydła, świni oraz owcy i kozy z badań w roku 2013 (oprac. A. Gręzak)

Elementy anatomiczne	Bydło		Świnia		Owca i koza	
	n	%	n	%	n	%
Głowa	79	24,23	67	35,08	30	19,61
Tułów	97	29,75	50	26,18	33	21,57
Kończyna piersiowa, część bliższa	37	11,35	31	16,23	33	21,57
Kończyna piersiowa, część dalsza	18	5,52	6	3,14	6	3,92
Kończyna miedniczna, część bliższa	47	14,42	22	11,52	38	24,84
Kończyna miedniczna, część dalsza	33	10,12	4	2,09	8	5,23
Człony palcowe	15	4,60	11	5,76	5	3,27
Suma	**326**	**100,00**	**191**	**100,00**	**153**	**100,00**

Tabela 7. Łodygowo, st. 1. Zestawienie szczątków ssaków łownych z badań w roku 2013 (oprac. A. Gręzak)

Element anatomiczny	Dzik	Dzik/Świnia	Żubr	Tur	Bovidae	Duży przeżuwacz	Łoś	Jeleń	Sarna	Bóbr	Wiewiórka	Niedźwiedź	Borsuk	Drapieżny
Możdżeń	-	-	-	-	-	-	-	-	-	-	-	-	-	-
Czaszka	3	2	-	-	2	-	-	1	-	-	-	-	-	-
Żuchwa	4	1	1	1	4	-	-	-	-	-	-	-	-	-
Zęby czaszkowe	4	-	-	-	-	-	-	1	-	2	-	1	-	-
Zęby żuchwowe	2	-	-	-	1	-	-	-	-	2	-	-	-	-
Kość gnykowa	-	-	-	-	-	-	-	-	-	-	-	-	-	-
Kręgi szyjne	1	-	-	-	3	1	-	-	2	-	-	-	-	-
Kręgi piersiowe	-	1	-	-	1	-	-	-	-	-	-	-	-	-
Kręgi lędźwiowe	1	-	-	-	1	2	-	-	-	-	-	-	-	-
Kość krzyżowa	-	-	-	-	-	-	-	-	-	-	-	-	-	-
Kręgi ogonowe	-	-	-	-	-	-	-	-	-	-	-	-	-	-
Żebra	1	-	-	-	-	3	-	-	-	-	-	-	-	-
Łopatka	1	-	2	-	-	-	-	-	-	-	-	-	-	-
Mostek	-	-	-	-	-	-	-	-	-	-	-	-	-	-
Kość ramienna	2	-	-	-	3	2	-	2	1	1	1	-	-	1
Kość promieniowa	-	-	-	-	-	2	-	-	-	-	-	-	-	-
Kość łokciowa	-	-	-	-	-	-	-	-	-	-	-	-	1	-
Kości nadgarstek	-	-	-	-	-	-	-	-	-	-	-	-	-	-
Śródręcze	3	-	-	-	2	-	3	1	1	-	-	-	-	-
Miednica	-	1	1	-	-	3	1	-	-	1	-	-	-	-
Kość udowa	2	3	-	-	1	4	-	4	1	-	1	-	-	-
Rzepka	-	-	1	-	-	1	-	-	-	-	-	-	-	-
Kość piszczelowa	3	-	5	-	-	1	2	-	-	-	-	-	-	-
Kość strzałkowa	1	-	-	-	-	-	-	-	-	-	-	-	-	-
Kość skokowa	-	-	-	-	-	-	-	-	-	-	-	-	-	-
Kość piętowa	2	-	-	-	1	-	-	-	-	-	-	-	-	-
Kości stępu (pozostałe)	-	-	-	-	-	-	-	-	-	-	-	-	-	-
Śródstopie	1	-	-	-	-	-	-	-	1	-	-	-	-	-
Człony palcowy I	1	-	-	-	-	-	1	-	1	-	-	-	-	-
Człony palcowy II	1	1	-	-	-	-	-	-	-	-	-	-	-	-
Człony palcowy III	-	-	-	-	1	-	-	-	-	-	-	-	-	-
Suma	**33**	**9**	**10**	**1**	**20**	**19**	**7**	**9**	**7**	**6**	**2**	**1**	**1**	**1**

W materiale z Łodygowa, st. 1 z badań w roku 2013 znaleziono jedynie kilka kości pozwalających na ustalenie płci zwierząt, od których one pochodziły. W przypadku świni odnotowano podobną liczbę zębów i kości należących do samców i samic, co sugeruje iż nie selekcjonowano pod względem płci zwierząt poddawanych ubojowi w młodym wieku.

Nie pobrano pomiarów kości długich, umożliwiających odtworzenie wysokości w kłębie zwierząt hodowlanych. Warto zatem wspomnieć, iż w zespole szczątków z prospekcji w wodzie udało się ustalić wysokość koni, która wynosiła 122 cm, 132 cm oraz 143 cm. Według kryteriów Kobrynia[85] osobniki te należą do grupy koni średnio niskich (poniżej 131 cm), średnich oraz wysokich.

Ślady na kościach

W analizowanym materiale osteologicznym zaobserwowano głównie ślady pokonsumpcyjne, związane z dzieleniem tuszy i obróbką mięsa. Były to ślady rozczłonkowania tuszy, czyli rozdzielania szkieletu w stawach (rejestrowane głównie w stawie skokowym), rąbania i cięcia wzdłuż i w poprzek kości długich oraz kręgów, żeber i elementów szkieletu kranialnego. Opisane ślady znajdowano na kościach wszystkich liczniej reprezentowanych gatunków zwierząt. Szczególnie licznie występowały na kości miednicy oraz kościach kończyn bydła i świni.

Wśród rejestrowanych podepozycyjnych modyfikacji kości najliczniejsze były ślady ich ogryzania kości przez zwierzęta drapieżne. Pojedyncze fragmenty kostne nosiły ślady kontaktu z ogniem.

Omówienie wyników

Materiał kostny stanowią w większości pozostałości po konsumpcji mięsa. Rozkład gatunkowy szczątków wskazuje na dominację ssaków jako dostarczycieli białka i tłuszczu zwierzęcego. Najistotniejszy element zaopatrzenia użytkowników grodu w mięso stanowiła hodowla czterech podstawowych gatunków konsumpcyjnych – bydła, owcy i kozy oraz świni. W rozkładzie gatunkowym szczątków zwierząt konsumpcyjnych rysuje się przewaga liczebna pozostałości kostnych bydła. Oznacza to większą popularność spożycia wołowiny niż innych kategorii mięsa. Reprezentacja wszystkich części tuszy wraz z członami palcowymi bydła świadczy o jego lokalnym uboju. Obserwacje wieku zbijanych zwierząt wskazują na częstsze spożywanie mięsa pochodzące od osobników dorosłych, aczkolwiek w jadłospisie mieszkańców osady pojawiała się także cielęcina. Hodowla bydła była nastawiona na wykorzystywanie tzw. walorów przyżyciowych zwierząt.

Drugie miejsce w konsumpcji mięsa zwierząt hodowlanych odgrywała wieprzowina oraz baranina i mięso kozie. Wydaje się, że spożywano głównie mięso pochodzące od osobników dojrzałych morfologicznie. Udział szczątków młodych świń przemawia za dwukierunkową hodowlą tego gatunku, część zwierząt było zabijanych w młodym wieku dostarczając smacznego, soczystego mięsa, ale większość hodowano dłużej (co najmniej do 4 roku życia) uzyskując sztuki obrosłe słoniną, cenioną w kuchni średniowiecznej[86].

W jadłospisie użytkowników grodu znaczącą rolę odgrywała dziczyzna, głównie w postaci mięsa żubra i dzika. Wśród kości zwierząt dzikich występowały elementy tzw. dystalnych części kończyn i człony palcowe, co może być związane z rozbiorem tuszy na terenie osady. Podobne sugestie wynikają z analizy szczątków pozyskanych w trakcie podwodnych badań prowadzonych wokół wyspy. Zestaw zwierząt łownych wskazuje na obecność w okolicy lasów mieszanych z podmokłymi polanami, stanowiących dogodne siedliska dla żubra oraz łąk śródleśnych i bagien, gdzie występują łosie i jelenie, a także terenów otwartych, dogodnych dla żerujących dzików, saren i turów. W zestawie zwierząt łownych zwraca uwagę obecność zwierząt zaliczanych do *animalia superiora*, objętych w okresie średniowiecza regale łowieckim. Wysokie odsetki szczątków żubra wyróżniają materiał z Łodygowa na tle stanowisk średniowiecznych z terenu ziem polskich. Kości żubra są rzadko spotykane wśród szczątków ssaków dzikich. Wyrost odnotował występowanie pozostałości tego gatunku na13 z 88 stanowisk datowanych na okres średniowiecza[87].

Obraz konsumpcji mięsa na terenie grodziska w Łodygowie, st. 1 koresponduje z tendencjami odnotowanymi w dotychczasowych badaniach poświęconych diecie mięsnej w zakresie preferencji dotyczących spożycia mięsa poszczególnych gatunków zwierząt hodowlanych[88]. Wskazują one na dominację wołowiny w jadłospisie mieszkańców ośrodków zlokalizowanych po prawej stronie Wisły, podczas gdy ludność zamieszkująca np. Wielkopolskę czy Pomorze Zachodnie preferowała wieprzowinę. Znamienne jest natomiast duże znaczenie łowiectwa i rola żubrów oraz dzików jako podstawowych gatunków łownych.

DENDROLOGIA

TOMASZ STĘPNIK

W trakcie badań archeologicznych na terenie grodziska w Łodygowie, st. 1 w 2013 r. pobrano pięć prób węgli drzewnych odkrytych w warstwie użytkowej majdanu, a także związanych z warstwami nasypu wału i jego erozji we wschodniej części grodziska.

[85] Kobryń 1984.

[86] Dembińska 1963.

[87] Wyrost 1994.

[88] Grężak i Kurach 1996.

Tabela 9. Łodygowo, st. 1. Wyniki analizy dendrologicznej prób węgli drzewnych z badań w roku 2013 (oprac. T. Stępnik)

Nr jednostki stratygraficznej	Wykop	Nazwa taksonu	Liczba fragmentów	Uwagi
7	4	*Alnus* sp.	1	duża gałąź ø ok. 7 cm
10	4	*Betula* sp.	1	z pnia
10	4	*Quercus* sp.	1	duża gałąź ø ok. 7 cm
14	4	*Quercus* sp.	2	z pnia
33	4	*Quercus* sp.	1	z pnia

Próby zostały poddane analizie dendrologicznej, której wyniki wskazują, że umocnienia te zostały wzniesione z przede wszystkim z dębiny, a w mniejszym stopniu także z drewna brzozy i olszy. Przebadane elementy pochodzą z dużych elementów konstrukcyjnych wykonanych z pnia, a w dwóch przypadkach z grubych gałęzi (tab. 9).

Dwie próby zostały pobrane z przepalonej warstwy użytkowej 20 zlokalizowanej na majdanie we wschodniej części grodziska i stanowiły elementy pozostałości po wzniesionej konstrukcji drewnianej. Próba z jednostki stratygraficznej 14 stanowi element umocnień wału. Pochodzi z warstwy erozyjnej powstałej na wewnętrznym stoku i zagłębienia przywałowego we wschodniej części grodziska. Próba z jednostki stratygraficznej 7 pochodzi z przemieszanej warstwy erozyjnej, w której zalegały także drobiny polepy. Próba z jednostki stratygraficznej 33 pochodzi z warstwy twardej gliny z wytrąceniami wapiennymi, która stanowiła nasypu wału we wschodniej części grodziska.

CHRONOLOGIA STANOWISKA

URSZULA KOBYLIŃSKA

Na podstawie analizy materiału ceramicznego i innych zabytków wydzielić można kilka głównych horyzontów chronologicznych: późna epoka neolitu/wczesna epoka brązu, wczesna epoka żelaza oraz rozwinięte fazy wczesnego średniowiecza i początek późnego średniowiecza.

Najstarsza faza osadnictwa może być datowana jedynie orientacyjnie. Fazę z wczesnej epoki żelaza należy datować na II fazę rozwoju kultury kurhanów zachodniobałtyjskich. Fazę średniowieczną na podstawie analizy ceramiki i zabytków wydzielonych należy datować na XII – do początków XIV w. Niestety w sprzeczności z tym datowaniem pozostaje wynik datowania radiowęglowego węgli drzewnych pobranych z warstwy użytkowej z II fazy użytkowania grodu, które dało rezultat 1180 ± 30 BP, co w datach kalibrowanych z prawdopodobieństwem 87,5% daje przedział 769–901 r. (921–951 r. z prawdopodobieństwem 7,2%)[89]. Trudno jest zinterpretować tę rozbieżność: albo konstrukcje grodu wczesnośredniowiecznego rzeczywiście wzniesiono już w VIII–IX w., ale nie był on zamieszkany, ani użytkowany w żaden sposób, który pozostawiłby po sobie znaleziska ceramiki, albo też mamy do czynienia z zanieczyszczeniem próbki i/lub błędem datowania. Natomiast z datowaniem opartym na znaleziskach archeologicznych dobrze korespondują wyniki datowania dendrochronologicznego elementów przepraw mostowych, prowadzących na wyspę, przeprowadzone w ramach realizacji projektu *Niedestrukcyjne kompleksowe rozpoznanie zasobów archeologicznych dna jezior strefy brzegowej w wybranych akwenach Pojezierza Iławskiego w ramach podwodnego AZP*[90], które pozwoliły wydatować przeprawy mostowe prowadzące na grodzisko od południa i wschodu. Mosty w obu przypadkach zostały wzniesione z drewna dębowego. Drzewa, których drewno zostało wykorzystane przy budowie mostu łączącego wyspę ze wschodnim brzegiem jeziora zostały ścięte zimną 1137/1138 roku, natomiast dęby, których drewno wykorzystano przy wznoszeniu mostu prowadzącego z wyspy w kierunku południowym – na przełomie 1333/1334 r.[91] Datowanie to potwierdza intensywne użytkowanie wyspy w okresie XII – 1. połowy XIV w.

DZIEJE GRODZISKA W ŁODYGOWIE, ST. 1

KAMIL RABIEGA

Grodzisko położone na wyspie w Łodygowie, st. 1 jest wyjątkowym obiektem na terenie Pojezierza Iławskiego, a wraz z odkrytymi pozostałościami przepraw mostowych łączących grodzisko ze stałym lądem od strony południowej i wschodniej stanowi unikatowy przykład założenia obronnego zarówno na skalę Słowiańszczyzny Zachodniej, jak i na ziemiach pruskich[92].

Pierwsze umocnienia obronne wzniesione na stanowisku sięgają wczesnej epoki żelaza, kiedy wyspa była wykorzystywana osadniczo przez społeczność kultury kurhanów zachodniobałtyjskich. Stanowisko leży w strefie przygranicznej, gdzie krzyżowały się wpływy właśnie tej kultury, a także kultury pomorskiej i łużyckiej. Odzwierciedla to materiał ceramiczny,

[89] Kobyliński 2016: 107.

[90] Pydyn 2016: 85–88.

[91] Pydyn 2016: 86.

[92] Pydyn 2016: 88.

który wykazuje związki z grupą chełmińską kultury łużyckiej.

We wczesnym średniowieczu na wyspie wzniesiono grodzisko, a znaleziony materiał ceramiczny wraz z przedmiotami metalowymi pozwalają datować założenie obronne na okres wczesnośredniowieczny (XII–XIV w.).

W okolicach jeziora Łodygowo osadnictwo pruskie potwierdzają także źródła pisane. W 1289 roku Navier, wraz z synami Tulkoyte, Ludwikiem, Meronem oraz synem ich brata Trunzchem otrzymali dobra *Clapathyten* i *Wilkow* na południe od Trumiej i na zachód od jeziora Łodygowskiego. Z przywilejem wiązało się też prawo połowu ryb w jeziorze Trumpnia (Łodygowskim)[93]. W 1293 r. Łodygowo wraz z obszarem sąsiadującym z Goryniem została nadana Teodorykowi von Stange, który zmienił pierwotną nazwę wsi *Scharno* na *Ludwigsdorf*[94], a w 1329 roku wasale biskupa pomezańskiego, Prusowie Stephan Stenigen i Surstoyn otrzymali nadanie dóbr *Czemayn* (Galinowo)[95]. W tym czasie wyspa (st. 1) była intensywnie wykorzystywana jako założenie obronne i posiadała przeprawę mostową biegnącą w kierunku wschodnim. Około 1334 r. wzniesiono lub wyremontowano drugi most, który łączył grodzisko od strony południowej z majątkiem Łodygowo.

Na obszarze wsi Limża informacje o osadnictwie pruskim pojawiają się dopiero po 1402 r. Straty poniesione podczas wojny głodowej doprowadziły do konieczności sprowadzenia nowych osadników oraz rozszerzenia wcześniejszego areału wsi[96]. Łodygowo pojawia się w dokumencie lokacyjnym z 1422 r., który określał nowe granice Limży, już jako wsi nie pruskiej[97]. W 1433 r. Łodygowo zostało sprzedane polskiej szlachciance Elżbiecie Zajączkowskiej, a w 1450 r. należało do Piotra Dzierżkowicza[98].

Wyspa we wczesnym średniowieczu i na początku późnego średniowiecza musiała pełnić rolę ważnego ośrodka militarnego. Świadczą o tym odkryte umocnienia obronne, intensywne ślady osadnictwa, a także duże założenie budowlane, jakie stanowiło wzniesienie dwóch mostów o długości ponad 200 m.

[93] Cramer 1885: 14.

[94] Koziełło-Poklewski i Martuszewski 1972: 239; Niesiobędzki 2008: 138.

[95] Cramer 1885: 55.

[96] Inf. ustna S. Szczepańskiego.

[97] Cramer 1886: 187–188.

[98] Koziełło-Poklewski i Martuszewski 1972: 239.

Łodygowo, st. 2

Gmina Kisielice

Powiat iławski

AZP 27-49/2

Współrzędne geograficzne:

N 53° 37’ 27,93’’

E 19° 11’ 9,55’’

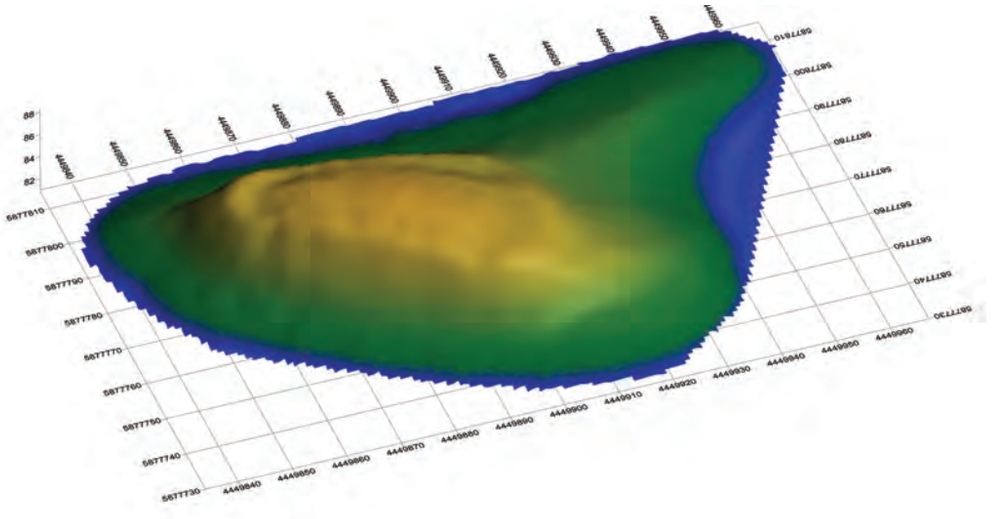

Ryc. 1. Grodzisko w Łodygowie, st. 2 na mapie w skali 1:25 000 (na podstawie materiałów CODGiK, oprac. R. Solecki)

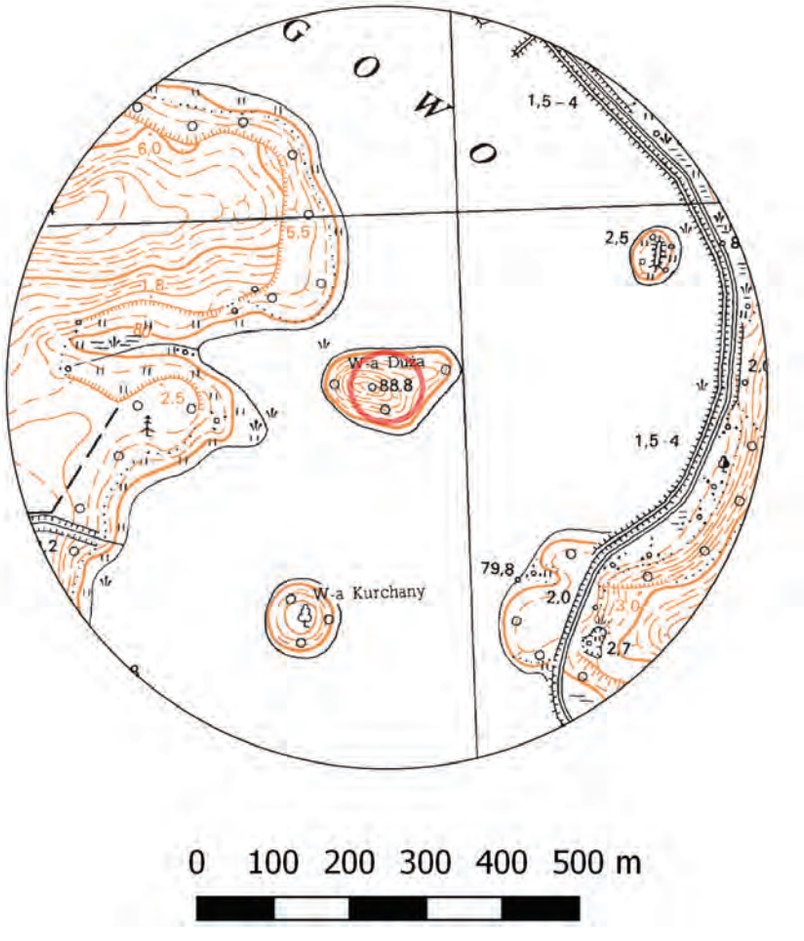

Ryc. 2. Grodzisko w Łodygowie, st. 2 na mapie w skali 1:10 000 (na podstawie materiałów CODGiK, oprac. R. Solecki)

POŁOŻENIE GRODZISKA I JEGO FORMA

DARIUSZ WACH

Stanowisko 2 w Łodygowie usytuowane jest na największej z trzech wysp (zwanej Wyspą Dużą) Jeziora Łodygowskiego (zwanego także Stawem Łodygowo) w pobliżu jego zachodniego brzegu (ryc. 1–2). Wyspa ta, o kształcie nieregularnego trójkąta, ma nieco ponad 100 m długości i podobną szerokość (wliczając płaską, niewiele wystającą ponad linię wody część północno-wschodnią). Wyspę oddziela od brzegu jedynie wąski, kilkudziesięciometrowy przesmyk od strony północno-zachodniej (ryc. 3). Z tej strony grodzisko ma stromy, wysoki na około 6 m brzeg, zakończony słabo widocznym wałem oraz zagłębieniem na jego zapleczu. Ku centrum wyspy teren podnosi się, tworząc niewielką kulminację, która ku wschodowi przechodzi płynnie w lekko opadający w tymże kierunku teren płaski, zakończony wyraźnym, lecz niskim (około 1,5 m wysokości) zboczem (ryc. 4–5).

ŚRODOWISKO FIZYCZNO-GEOGRAFICZNE

JERZY NITYCHORUK I FABIAN WELC

Okolice zbiornika wodnego, w obrębie którego znajduje się grodzisko na wyspie, są zbudowane z gliny zwałowej. Na takim obszarze rozwinęły się gleby płowe głównie VI klasy. Miejsca towarzyszące bezpośrednio zbiornikowi oraz w obszarach stagnacji czy przepływu wód to obszar gleb bagiennych, jednak nie jest on ani dominujący ani istotny do analiz zróżnicowania gleb (ryc. 6).

Podstawę wyspy wyznacza poziomica 80 m n.p.m., a najwyższy punkt w jej obrębie ma wysokość 88,8 m n.p.m. Najwyższa część pagórka wznosi się około 9 m od lustra wody w stawie. W wierceniu Ł-W-D - 3, do głębokości około 0,20 m występuje gleba piaszczysta z licznymi fragmentami polepy, barwy ciemnoszarej, poniżej, do 0,60 m nawiercono piaski z dużą ilością humusu, licznymi fragmentami polepy, barwy ciemnoszarej, a od 0,60 do 0,80 m glinę ilasto-piaszczystą, szaro-brązową – redeponowaną. Również w wierceniu Ł-W-D - 1, na głębokości 0,20–0,80 m udokumentowano piasek z dużą ilością humusu i fragmentami węgli drzewnych. Poniżej tych osadów nawiercono glinę zwałową piaszczystą, barwy brązowej, z licznymi wytrąceniami węglanu wapnia, oraz piaski średnioziarniste i piaski gliniaste, które stanowią calec (ryc. 7–8).

Osady występujące do głębokości około 0,8 m, zawierające fragmenty polepy i pojedyncze węgle drzewne stanowią warstwę użytkowaną przez człowieka.

Ryc. 3. Łodygowo, st. 2. Widok wyspy, na której znajduje się grodzisko (fot. D. Wach)

BADANIA ARCHEOLOGICZNE

DARIUSZ WACH

Przebieg badań terenowych

Grodzisko w Łodygowie, st. 2 było badane wykopaliskowo w roku 1985 przez dr. Jana Michalskiego z Uniwersytetu Warszawskiego. Otworzył on cztery wykopy sytuujące się w centrum i zachodniej, bardziej stromej części wyspy (ryc. 9). Wstępnie rozpoznał obszar krawędzi (wału) i wewnętrznej fosy (zagłębienia rowu przywałowego) oraz, częściowo, podwyższonego centrum[1]. W roku 2014 r., w ramach realizacji projektu *Katalog grodzisk Warmii i Mazur* otworzono łącznie 5 wykopów, których numeracja jest kontynuacją numeracji wykopów z roku 1985.

Wykop 5 (2 x 9 m), o powierzchni 18 m kw., dłuższą osią zorientowany po linii wschód–zachód, wytyczony został tak, by przecinał zachodnią krawędź grodziska i jednocześnie częściowo obejmował obszar dawnego wykopu 4, co pozwoliłoby bardziej precyzyjnie określić położenie wykopów z roku 1985. Zamiarem badawczym było rozpoznanie nawarstwień i śladów ewentualnych konstrukcji na krawędzi grodziska wraz z częścią wewnętrznego obszaru bezpośrednio do niej przylegającego.

Wykop 6 (4 x 7,5 i 2 x 9 m) o powierzchni 48 m kw., znajdował się na obszarze płaskiej środkowo-wschodniej części grodziska i zorientowany był w osi wschód–zachód. Celem badawczym było w tym przypadku rozpoznanie charakteru nawarstwień tej, niebadanej wcześniej, partii stanowiska.

[1] Niestety dokumentacja tych badań i materiał ceramiczny wówczas pozyskany, zaginęły na Uniwersytecie Warszawskim. Zachowały się natomiast zabytki wydzielone, udostępnione uprzejmie przez dr. Jana Michalskiego do analizy i publikacji.

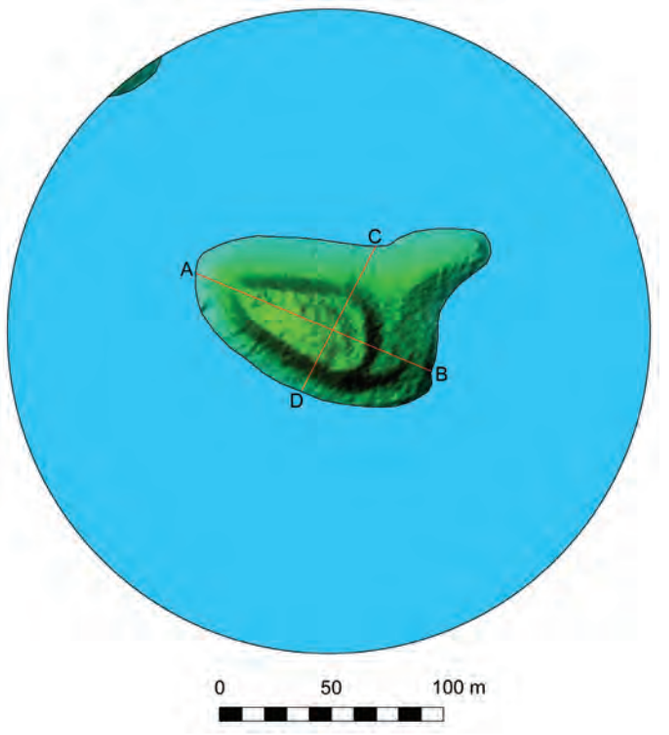

Ryc. 4. Grodzisko w Łodygowie, st. 2 na zobrazowaniu ALS (na podstawie materiałów CODGiK, oprac. R. Solecki)

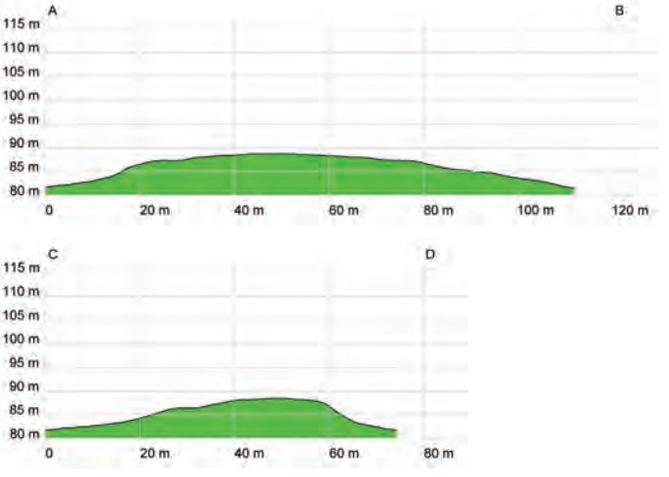

Ryc. 5. Przekroje grodziska w Łodygowie, st. 2 uzyskane z danych ALS (na podstawie materiałów CODGiK, oprac. R. Solecki)

Wykop 7 (2 x 6,5 m) o powierzchni 13 m kw. usytuowany był w północno zachodniej części grodziska, poprzecznie (w osi północ–południe) do pobliskiego wykopu 5. Wytyczono go tak by przecinał istniejące tam zagłębienie, równoległe do przebiegu krawędzi grodziska.

Wykop 8 (3 x 5 m) o powierzchni 15 m kw. otworzony został w centralnej partii grodziska, w osi północ–południe, na przedłużeniu w kierunku północnym ściany W wykopu 6, tak by uzyskać przekrój nawarstwień tej części stanowiska.

Wykop 9 (3 x 3,5 m) o powierzchni 10,5 m kw. Wytyczony został w północnej partii grodziska, w osi północ–południe, na przedłużeniu wykopu 8, w miejscu gdzie na powierzchni, w obrębie krawędzi zbocza grodziska zaobserwowano obszar pokryty grudami polepy. Celem tego wykopu było rozpoznanie zasięgu i charakteru tego obszaru.

Stratygrafia stanowiska (tab. 1 i ryc. 10–15)

Rezultaty badań przeprowadzonych w roku 2014 pozwalają stwierdzić, że w różnych partiach stanowiska występowało wyraźne zróżnicowanie nawarstwień archeologicznych. W rejonie wschodniego stoku grodziska rozpoznano kilka podfaz działalności ludzkiej we wczesnej epoce żelaza. Obejmowały one – między innymi – istnienie pierwotnie jednej, a po jej spaleniu wybudowanie kolejnych dwóch konstrukcji drewnianych (ścian lub płotów), biegnących mniej więcej w połowie wysokości ówczesnego stoku, równolegle do krawędzi grodziska. Pozostałościami tych konstrukcji były, równoległe do siebie biegnące (na różnych stratygraficznie poziomach), pasy popiołów (53, 71 i 93) widoczne na wspomnianym stoku.

W części północnej i zachodniej grodziska w późniejszym, wczesnośredniowiecznym okresie jego użytkowania najbardziej czytelnym śladem aktywności ludzkiej była wykopana tuż za krawędzią grodziska w tych obszarach fosa wewnętrzna (zagłębienie przywałowe), której odcinki w formie analogicznych lecz nie łączących się z sobą rowów zostały zbadane w wykopach 5, 7 i 9, i oznaczone odpowiednio numerami 64, 57 i 80. Także z tego okresu (choć jak się wydaje nieco późniejszą) formą charakterystyczną dla północnej części grodziska, z jej prostą, (w sposób oczywisty sztucznie ukształtowaną) długą linią krawędzi stoku, jest występowanie dwóch, różnych wielkościowo, ale podobnych w charakterze, zwartych obszarów z grudami polepy. Mniejszy z nich (o średnicy 2–3 m), w przybliżeniu kolistego kształtu, znajdował się w północno-zachodnim narożniku wyspy na krawędzi stoku wału grodziska, zaś większy, leżący również na krawędzi stoku grodziska, ale w jego partii północno-wschodniej, obejmował pas o długości około 10–15 m. W obu przypadkach obserwowane głównie na powierzchni polepy częściowo znajdowały się także na stoku i u podnóża zbocza grodziska lecz przyjąć należy, iż było to wynikiem procesów podestrukcyjnych, w wyniku których materiał ze szczytu zbocza zsunął się w dół. Charakter pozyskanych grud polepy, z których duża liczba posiada wyraźne odciski elementów drewnianych (zarówno cienkich jak też grubszych oraz powierzchni płaskich sugerujących obecność desek), wydaje się jednoznacznie sugero-

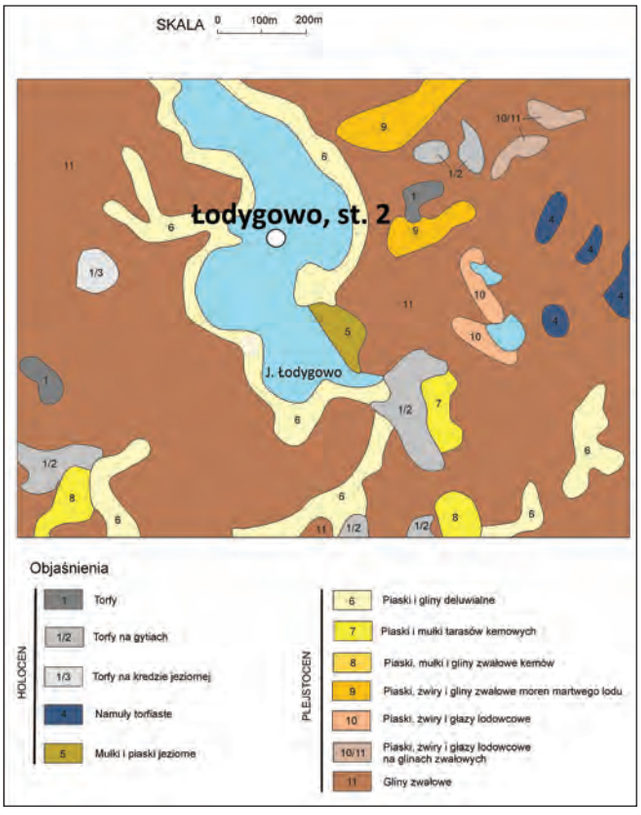

Ryc. 6. Mapa geologiczna okolic grodziska w Łodygowie, st. 2 (oprac. J. Nitychoruk i F. Welc)

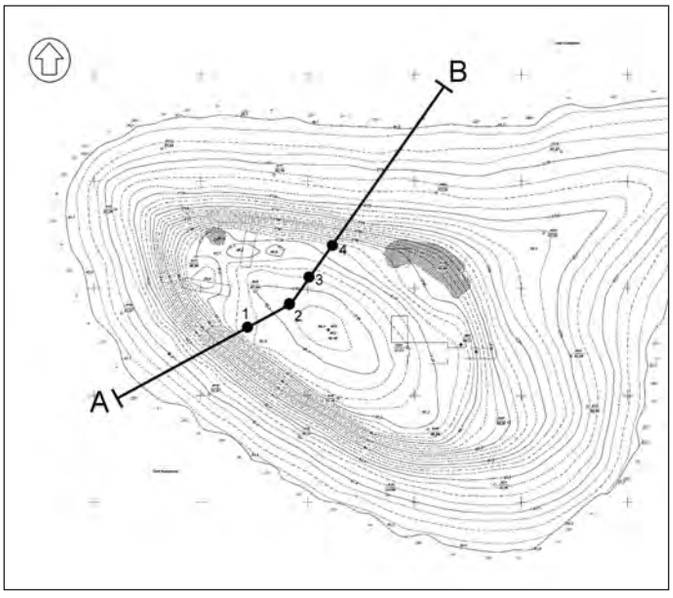

Ryc. 7. Łodygowo, st. 2. Plan warstwicowy grodziska (wyk. J. Błaszczyk) z zaznaczonymi miejscami wierceń geologicznych (oprac. J. Nitychoruk i F. Welc)

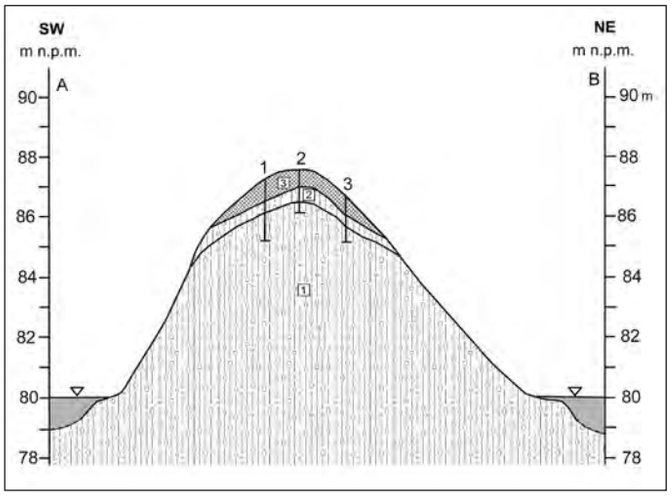

Ryc. 8. Przekrój geologiczny grodziska w Łodygowie, st. 2: 1 – glina zwałowa, 2 – gliny redeponowane, 3 – warstwa archeologiczna (oprac. J. Nitychoruk i F. Welc)

wać istnienie na wspomnianej północnej krawędzi grodziska jakiegoś rodzaju konstrukcji drewnianych (oblepionych gliną), z których to konstrukcji ta umiejscowiona w NW narożniku stanowiska miała charakter punktowy, co wskazywałoby na jakiś rodzaj wieży. Pozostałości zaś wspomnianego pasa grud polepy (29) to prawdopodobnie relikty znacznie większych rozmiarów budowli bądź ściany.

Patrząc na plan stanowiska nieodparcie odnosi się wrażenie, iż obie te konstrukcje zamykały od wschodu i zachodu północną, stromą, prostą ścianę grodziska. Mniejszy obszar z polepą został rozpoznany jedynie powierzchniowo, natomiast obszar większy (wycinkowo) przebadany został wykopaliskowo w obrębie wykopu 9.

Po analizie przebadanych nawarstwień i obiektów znalezionych podczas prac wykopaliskowych wyróżniono cztery fazy aktywności ludzkiej, które pozostawiły ślady na grodzisku.

Faza I – wczesna epoka żelaza

Faza ta związana była z aktywnością ludzką we wczesnej epoce żelaza – obejmuje najstarsze czytelne w stratygrafii stanowiska użytkowanie powierzchni wzgórza grodziskowego oraz jego krawędzi i obszaru wschodniego stoku. Najwięcej świadectw tej fazy zidentyfikowano we wschodniej części grodziska na obszarze wykopu 6.

Faza IA

W fazie tej w obrębie wykopu 5 w SW narożniku grodziska utworzyła się gliniasta warstwa 7 z licznymi drobinami i grudkami polepy na stropie. Na jej stropie znaleziono skupisko płasko leżących, dużych fragmentów ceramiki starożytnej (23). Powyżej leżała brązowa, dość jednorodna ziemia piaszczysta 14 (w południo-

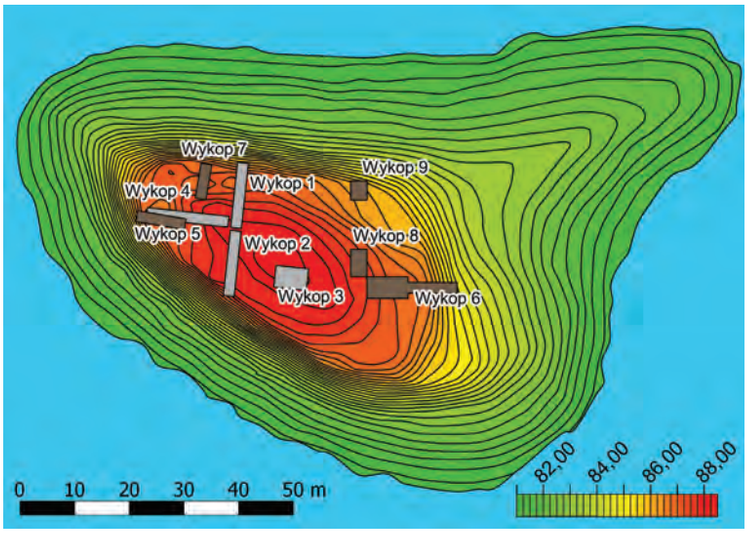

Ryc. 9. Plan sytuacyjno-wysokościowy grodziska w Łodygowie, st. 2 z rozmieszczeniem wykopów z roku 1985 i 2014 (na podstawie pomiarów J. Błaszczyka, oprac. R. Solecki)

wo-zachodniej części wykopu i na początku stoku grodziska). W Fazie IA w obrębie wykopu 6 w strefie majdanu grodziska na gliniastym, jednorodnym calcu (86) leżała warstwa jasnej, jednorodnej, piaszczysto-ilastej ziemi 47, zawierającej pojedyncze fragmenty ceramiki starożytnej. Przykryta była ona warstwą bardziej ilastej, jednorodnej ziemi 43 (utożsamioną z warstwą 50 z wykopu 8), o miąższości wynoszącej od 0,1 do 0,2 m, w obrębie której i na stropie której znajdowały się zarówno pojedyncze fragmenty ceramiki z wczesnej epoki żelaza, jak i ich skupisko 45, a także pojedyncze, rozrzucone kamienie 31. Warstwa ta ciągnęła się na odcinku 8 m niemal do skraju grodziska, w pobliżu którego lekko opadała w dół i zmniejszała swoją miąższość. W strop warstwy 43 w narożniku NW wykopu wkopany był duży dół posłupowy 117 z piaszczystym wypełniskiem 116. W strefie krawędzi grodziska i jego wschodniego stoku w Fazie IA na jasnym piaszczysto-wapiennym calcu 84 leżała jednorodna piaszczysto-gliniasta jasnobrązowa ziemia 92, tworząca na stoku równoległy do krawędzi grodziska pas o szerokości około 2,5 m i miąższości do 0,2 m. W warstwę tę oraz częściowo w strop calca poniżej wkopany był (zapewne podłużny – wykraczał poza N ścianę wykopu) płytki obiekt 91 z jednorodnym piaszczystym wypełniskiem 90. Wypełnisko to płynnie przechodziło w leżącą powyżej jasnoszarą i jasnobrązowo-szarą, piaszczysto-ilastą, miękką ziemię 109 (z jasnymi drobinami węglanu wapnia), w którą wkopany był (wykraczający poza N ścianę wykopu) nieckowaty obiekt 114 z piaszczystym wypełniskiem 113. Obiekt ten widoczny był na odcinku 0,95 m i osiągał głębokość do 0,3 m.

W Fazie IA w obrębie wykopu 8, w obszarze środkowo-wschodniej partii majdanu grodziska, na gliniastym calcu 86 leżało małe skupisko fragmentów cera-

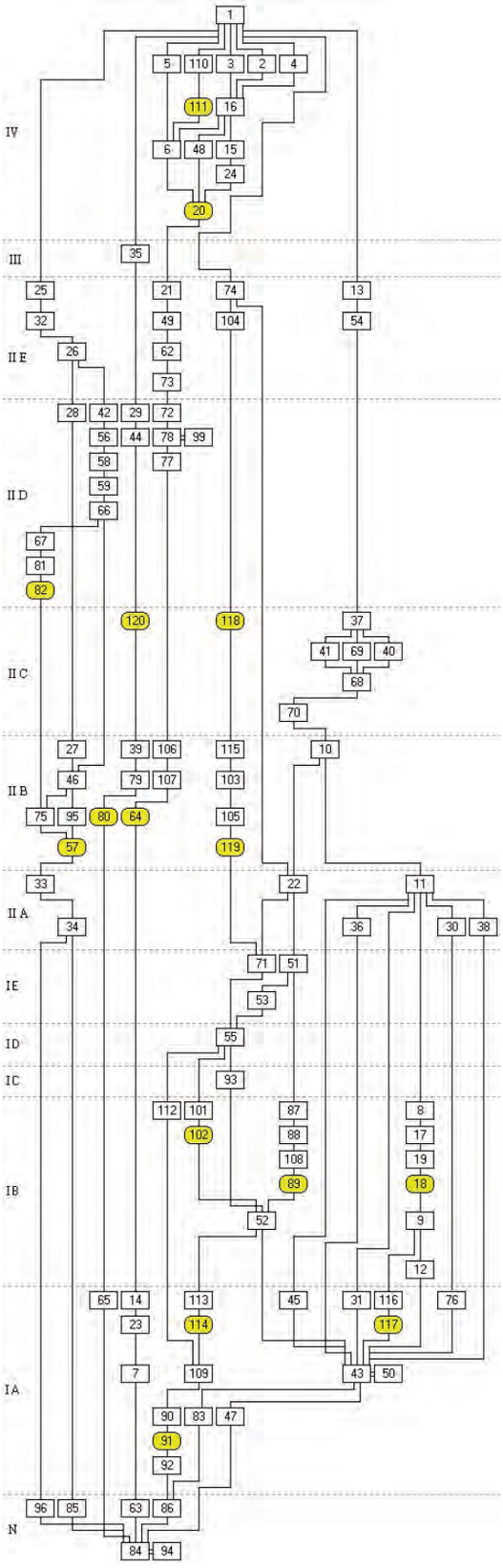

Ryc. 10. Łodygowo, st. 2. Diagram relacji stratygraficznych grodziska (oprac. D. Wach)

Łodygowo, st. 2
gm. Kisielice
–1 m–

Faza IV
Faza III
Faza IIE
Faza IID
Faza IIC
Faza IIB
Faza IIA
Faza IE
Faza ID
Faza IC
Faza IB
Faza IA
Warstwy naturalne

Lokalizacja

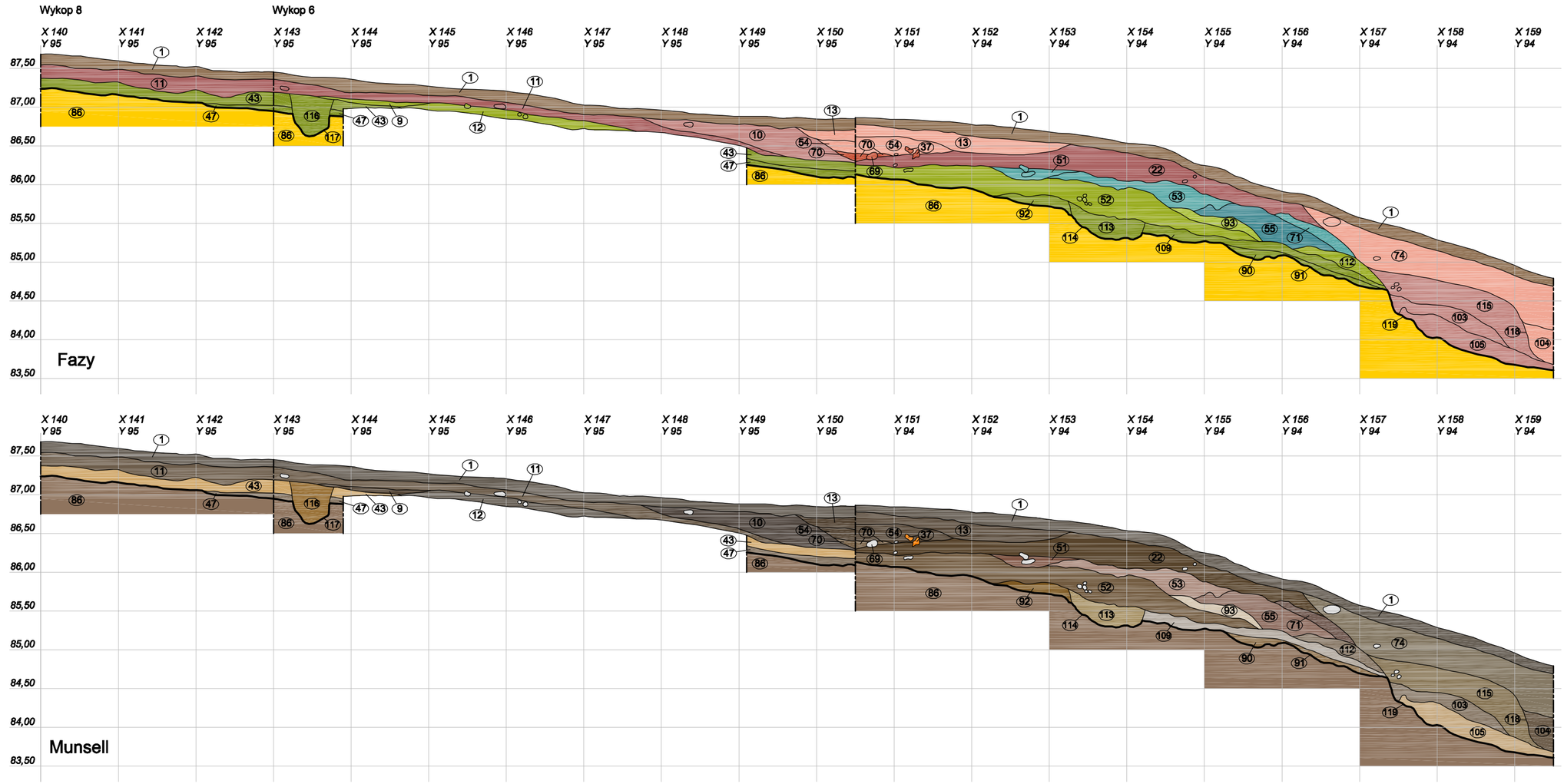

Ryc. 11. Łodygowo, st. 2. Stratygrafia grodziska widoczna w ścianie północnej wykopu 6 i południowej wykopu 8 (oprac. D. Wach i R. Solecki)

Łodygowo, st. 2
gm. Kisielice
–1 m–

Faza IV
Faza III
Faza IIE
Faza IID
Faza IIC
Faza IIB
Faza IIA
Faza IE
Faza ID
Faza IC
Faza IB
Faza IA
Warstwy naturalne

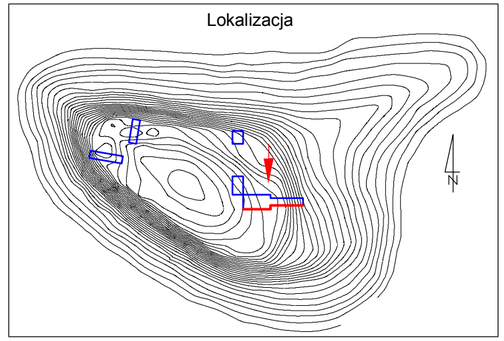

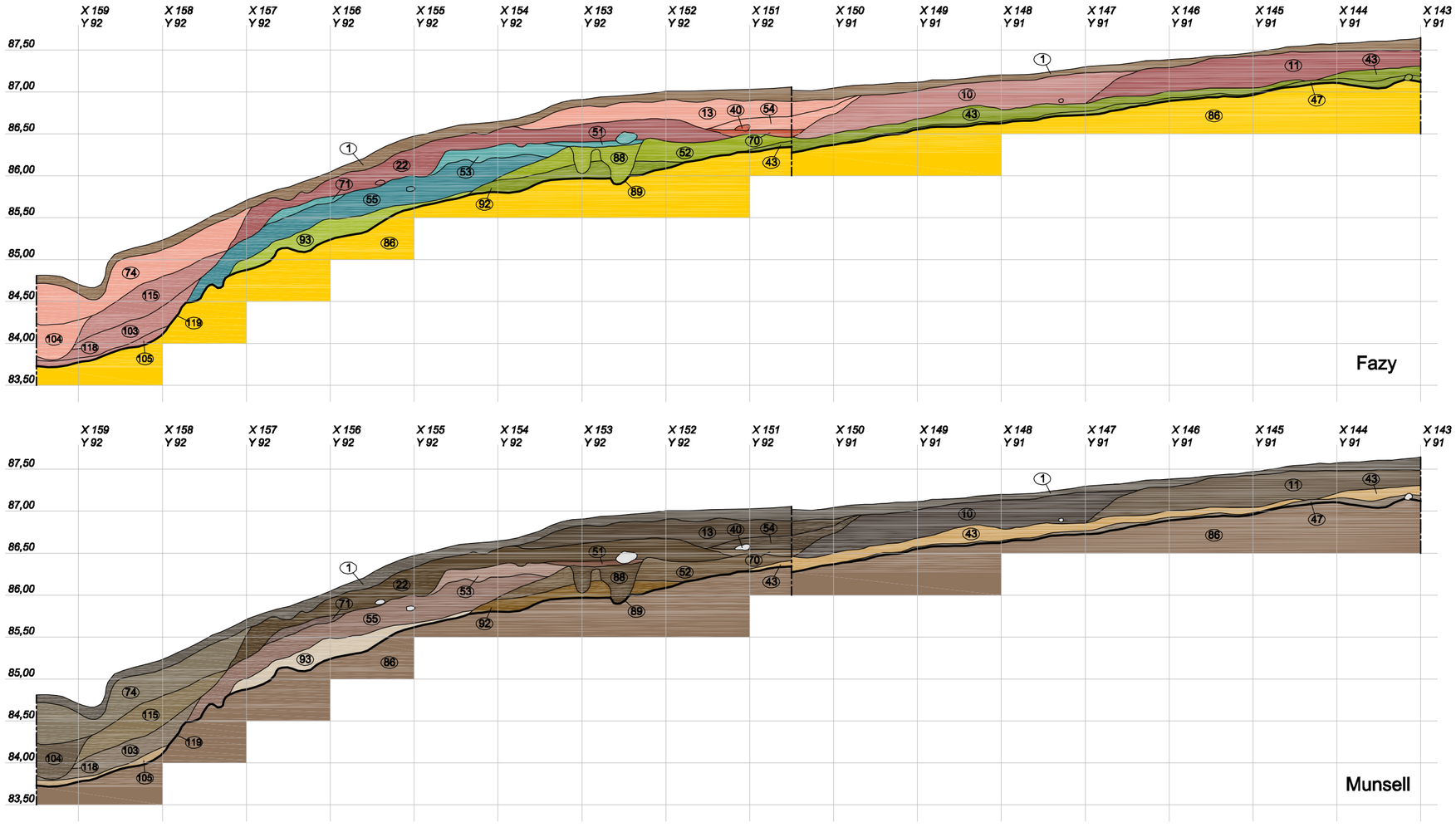

Ryc. 12. Łodygowo, st. 2. Stratygrafia grodziska widoczna w ścianie południowej wykopu 6 (oprac. D. Wach i R. Solecki)

Łodygowo, st. 2
gm. Kisielice
–1 m–

Faza IV
Faza III
Faza IIE
Faza IID
Faza IIC
Faza IIB
Faza IIA
Faza IE
Faza ID
Faza IC
Faza IB
Faza IA
Warstwy naturalne

Lokalizacja

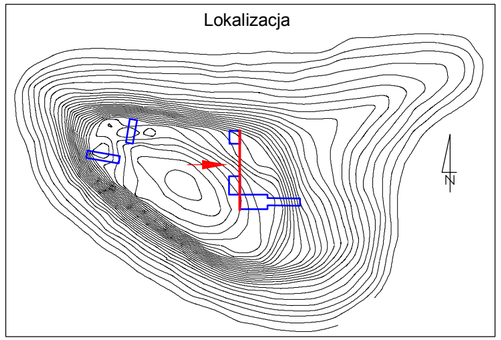

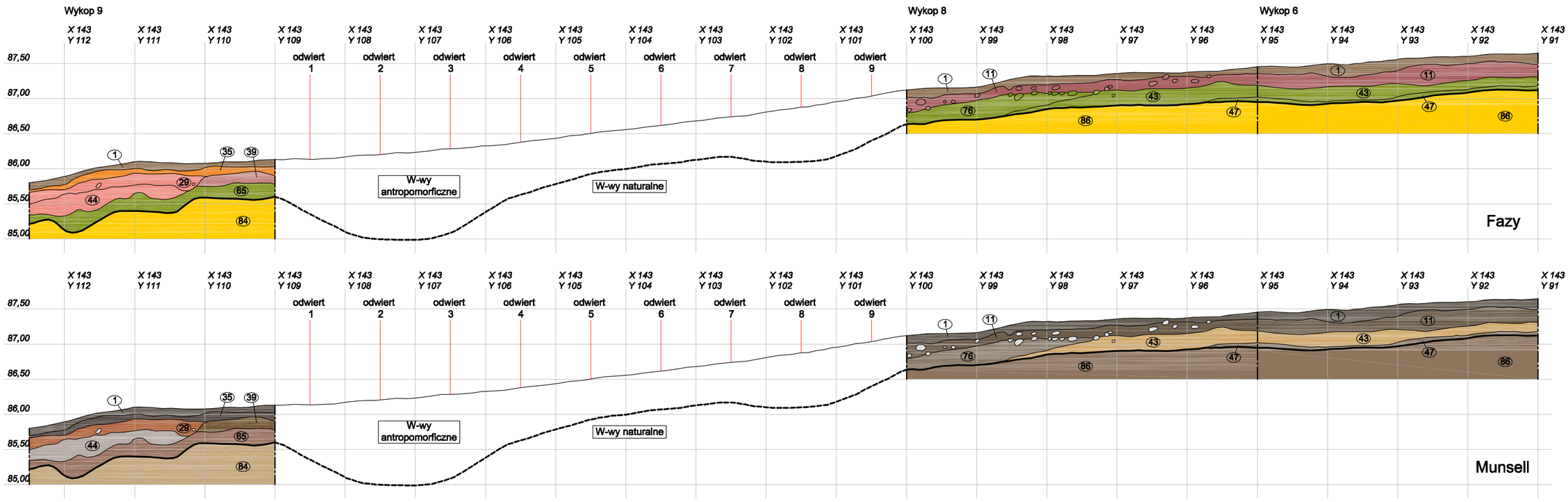

Ryc. 13. Łodygowo, st. 2. Stratygrafia grodziska widoczna w ścianie zachodniej wykopu 6 i wschodniej wykopów 8 i 9 (oprac. D. Wach i R. Solecki)

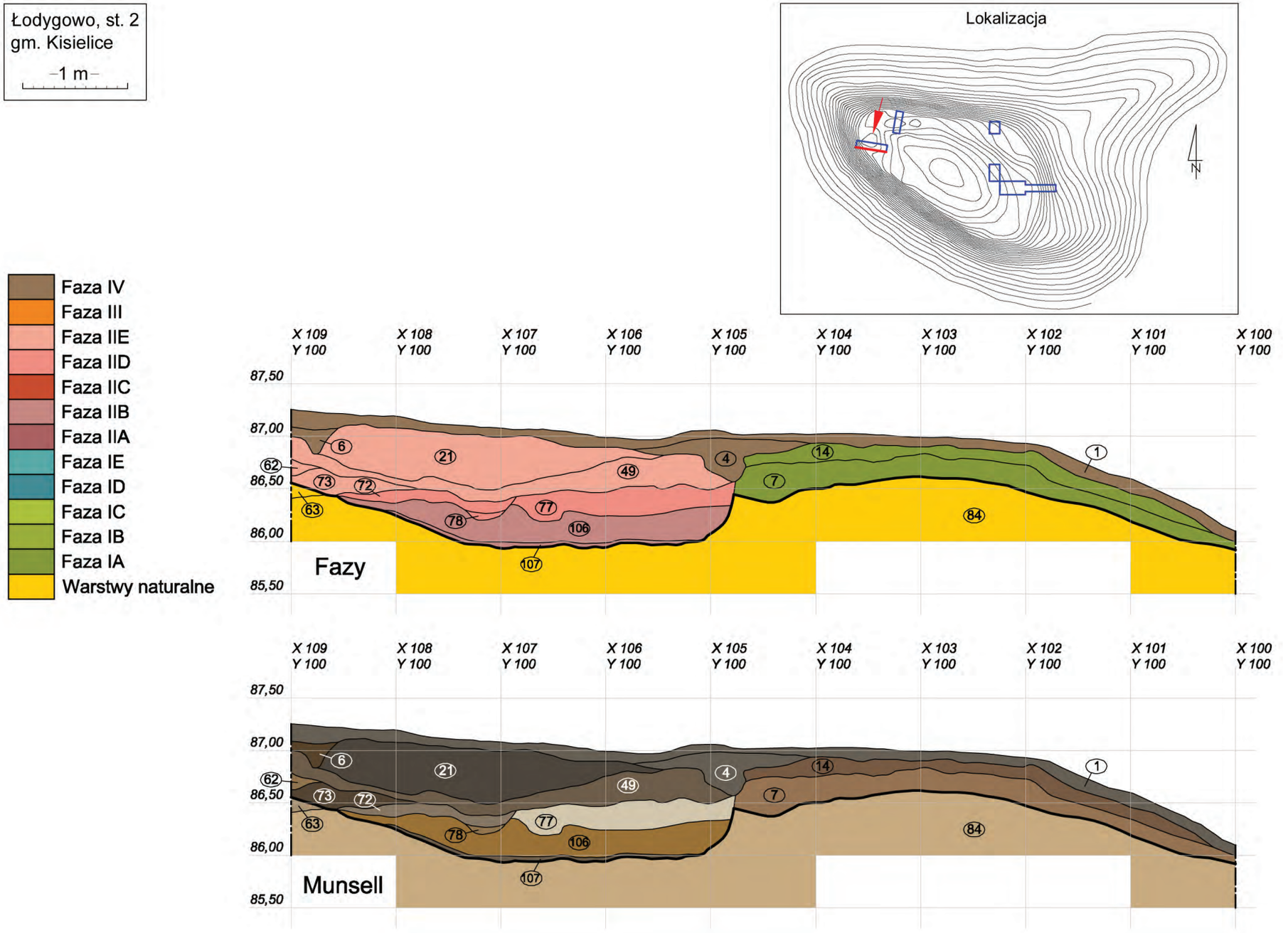

Ryc. 14. Łodygowo, st. 2. Stratygrafia grodziska widoczna w ścianie południowej wykopu 5 (oprac. D. Wach i R. Solecki)

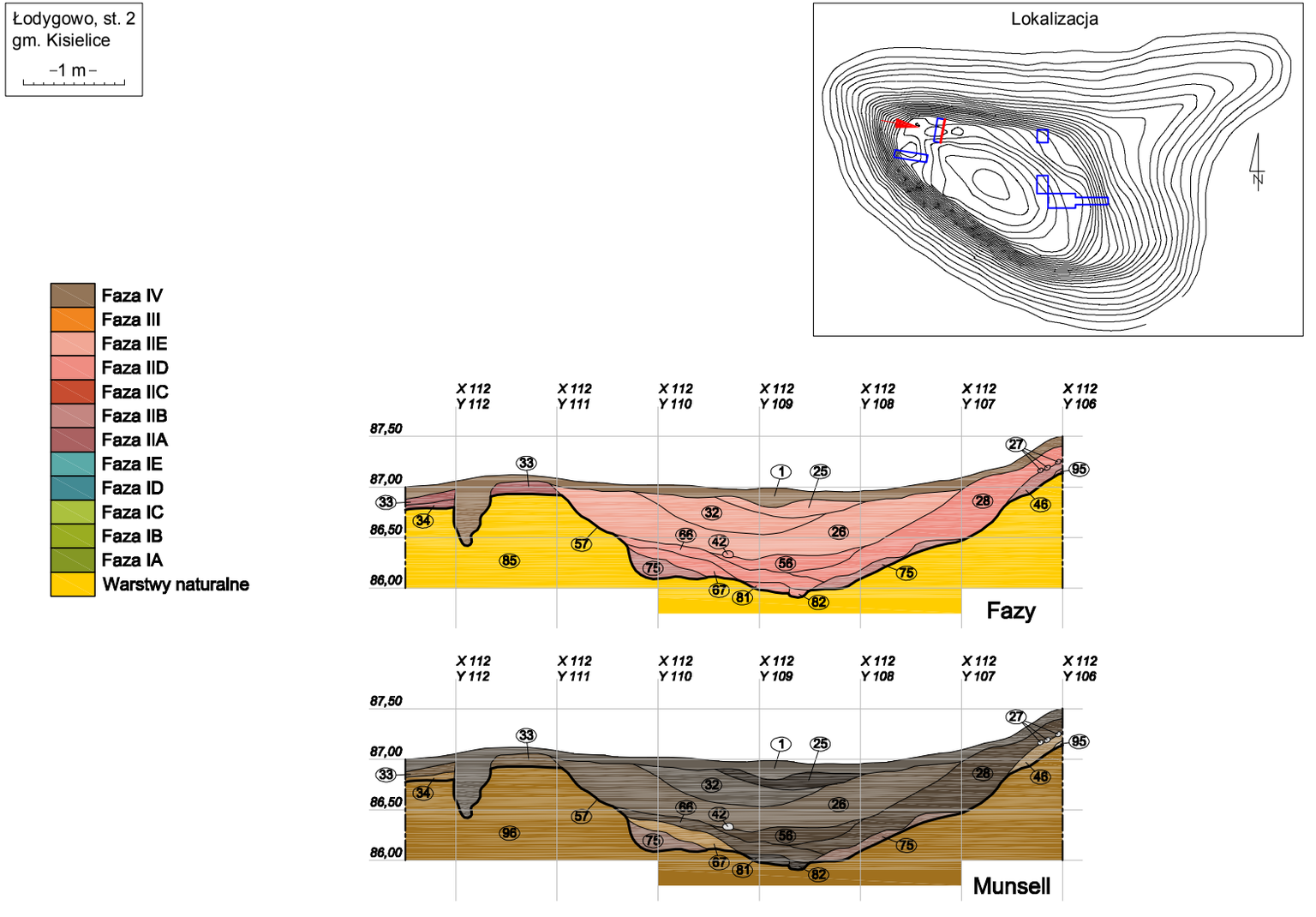

Ryc. 15. Łodygowo, st. 2. Stratygrafia grodziska widoczna w ścianie wschodniej wykopu 7 (oprac. D. Wach i R. Solecki)

Tabela 1. Katalog warstw z opisem poszczególnych jednostek stratygraficznych grodziska w Łodygowie, st. 2 (oprac. D. Wach)

Numer jednostki	Numer obiektu	Numer wykopu	Współrzędne siatki pomiarowej stanowiska	Opis jednostki stratygraficznej	Barwa	Pozycja stratygraficzna	
						Znajduje się pod	Znajduje się nad
1		5, 6, 7, 8, 9	na całej długości i szerokości wykopów	Faza IV. Warstwa humusu zalegająca na całym stanowisku	10YR 4/1		2-120
2		5	X=100,80–101,80; Y=100,18–101,1	Faza IV. Ślad po wkopie lub drzewie; ciemna ziemia piaszczysta leżąca w zagłębieniach stropów warstw niższych	10YR 4/3	1	16
3		5	X=101,54–103,5; Y=101,18–102	Faza IV. Ślad po wkopie lub drzewie; ciemna ziemia piaszczysta leżąca w zagłębieniach stropów warstw niższych	10YR 4/3	1	16
4		5	X=103,8–106,4; Y=100–101,2	Faza IV. Ślad po wkopie lub drzewie; ciemna ziemia piaszczysta leżąca w zagłębieniach stropów warstw niższych	10YR 4/1	1	16
5		5	X=106,7–107,2; Y=100,6–101,3	Faza IV. Ślad po wkopie lub drzewie; ciemna ziemia piaszczysta leżąca w zagłębieniach stropów warstw niższych	10YR 4/2	1	6
6		5	X=105,2–108,5; Y=100–102	Faza IV. Pas sypkiej, pylastej ziemi z drobinami polepy i drobinami jasnoszarego popiołu; część zasypu wykopu 4 z 1985 r. (oznaczonego jako obiekt 20 podczas badań prowadzonych w roku 2014)	10YR 3/3 (80%); 10 YR 6/9 (10%); 10 YR 8/4 (10%)	1, 2, 3, 4, 5	20, 21
7		5	X=101,1–104; Y=100–100,8	Faza IA. Gliniasta ziemia; stanowiła warstwę krawędziową grodziska w jego SW narożniku; zawierała liczne fragmenty polepy; miała średnią miąższość ok. 0,3 m	7,5YR 5/4; 10YR 5/4	6, 15	63
8	18	6	X=145,2–146,8; Y=92–93,02	Faza IB. Wypełnisko obiektu 18; ciemna, lekko mazista ziemia, piaszczysto-ilasta, jednorodna	10YR 2/2	11	17, 19, 18
9		6	X=143,3–146,2; Y=92,3–94	Faza IB. Nieregularny pas o szer. 1,5–2 m i orientacji NW–SE ziemi piaszczystej w W części wykopu (obszar majdanu)	10YR 3/2	18, 11	12
10		6	X=146,4–150,5; Y=91–95	Faza IIB. Gruba (miąższości do 0,4 m) warstwa ciemnej, lekko mazistej, zwartej ziemi leżącej w przykrawędziowej partii wschodniej części grodziska; widoczna w centrum wykopu; wypełniała rozległe, łagodne zagłębienie; widoczna na odcinku ponad 4 m	7,5YR 3/1	70, 1	22, 11, 12
11		6, 8	X=140–149,2; Y=92–94	Faza IIA. Rozległa warstwa ilastej, ciemnej ziemi z majdanu grodziska; widoczna w W części wykopu 6, gdzie zanikała pod młodszymi nawarstwieniami, oraz na większości obszaru wykopu 8; widoczna na odcinku co najmniej 9 m w osi W–E oraz 9 m w osi N–S; miąższość ok. 0,2 m	10YR 4/2	10, 1	8, 45, 116, 31, 50, 30, 36, 38
12		6	X=145,6–148; Y=92,75–94	Faza IB. Nieregularnie owalny w planie stropu płat zbitej, ilastej ziemi z ciemniejszymi przepaleniami, z obszaru majdanu grodziska	10YR 4/1	9	43
13		6	X=150,2–155; Y=92–94	Faza IIE. Lokalna warstwa ze wschodniej krawędzi grodziska; ciemna, piaszczysta ziemia zawierająca jasne drobiny kredowe lub popiołowe; widoczna była na odcinku około 3,5 m; miąższość do 0,2 m; warstwa ostatecznie niwelująca zagłębienie terenu utworzone wokół wcześniej funkcjonującej prażnicy 37	10YR 3/2	1	54, 22
14		5	X=100–101,5; Y=100–102	Faza IA. Dość jednorodna ziemia piaszczysta z południowo-zachodniej części wykopu i początku stoku grodziska w jego SW narożniku; miąższość ok. 0,2 m; zanikała na zboczu; w jej strop wkopana była fosa wewnętrzna 64	7,5YR 4/3	64, 1	23
15		5	X=101,2–103; Y=101,5–102	Faza IV. Przemieszana, sypka, piaszczysta ziemia z grudkami popiołu i polepy; część zasypu wykopu 4 z 1985 r. (oznaczonego jako obiekt 20 podczas badań prowadzonych w roku 2014)	10YR 4/2	1, 16	24, 20
16		5	X=103–106; Y=100,5–102	Faza IV. Ciemna, piaszczysta ziemia z licznymi grudkami polepy; część zasypu wykopu 4 z 1985 r. (oznaczonego jako obiekt 20 podczas badań prowadzonych w roku 2014)	7,5YR 3/2	1, 6	21
17		6	X=145,1–146,8; Y=92–93,02	Faza IB. Skupisko kamieni; wypełnisko niższe (drugie od góry) jamy 18; kilkanaście kamieni otoczakowych		8	19
18	18	6	X=145,1–146,8; Y=92–93,02	Faza IB. Duża (śr. co najmniej 1,75 m i gł. do 0,25 m), prawdopodobnie owalna (wykraczała poza S ścianę wykopu 6) jama z wypełniskami: piaszczystym 19, kamieniami 17 i stropowym piaszczystym 8		19	9
19	18	6	X=145,1–146,8; Y=92–93,02	Faza IB. Przydenne wypełnisko jamy 18; dość jednorodna, piaszczysto-ilasta ziemia	10YR 3/4	17, 8	18

Tabela 1. Ciąg dalszy

Numer jednostki	Numer obiektu	Numer wykopu	Współrzędne siatki pomiarowej stanowiska	Opis jednostki stratygraficznej	Barwa	Pozycja stratygraficzna	
						Znajduje się pod	Znajduje się nad
20	20	5	X=101,5–103,4; Y=100,5–102	Faza IV. Wkop prostokątny w wewnętrznym stoku krawędzi grodziska; w N części wykopu; wykraczał poza jego obszar; miał niemal identyczną orientację dłuższego boku (N–S) i zajmował niemal połowę jego powierzchni; część wykopu 4 z 1985 r.; wypełniskiem były warstwy zasypu 6, 15, 24 i 48		20, 16, 6	21, 64
21		5	X=104–108,5; Y=100,8–102	Faza IIE. Gruba (do 0,5 m miąższości) warstwa ciemnej ziemi piaszczystej, z nielicznymi drobinkami polepy i popiołowymi wtrętami; leżała nad zapełniskami fosy wewnętrznej 64; przykrywała i niemal niwelowała wyznaczające ją zagłębienie przy zachodnim skraju grodziska	10YR 3/1	20, 16, 6	7, 62, 63
22		6	X=152,7–159,2; Y=92–94	Faza IIA. Rozległa warstwa ciemnej piaszczystej ziemi z domieszką jasnego popiołu; znajdowała się w obszarze krawędzi i części wschodniego stoku grodziska; rozciągała się na obszarze ok. 6 m; miąższość do 0,4 m; miejscami leżała bezpośrednio pod humusem lecz od strony majdanu jej strop obniżał się (był przycięty?) i przykryty był przez młodsze nawarstwienia	10YR 3/3 (70%); 10YR 7/2 (30%)	74, 10, 13	51, 71, 52,53,55
23	20	5	X=101,55; Y=100,9	Faza IA. Skupisko płasko leżących fragmentów ceramiki starożytnej; na krawędzi południowo-zachodniego narożnika grodziska		14	7, 24
24	20	5	X=101,4–103,8; Y=100,5–101,6	Faza IV. Jasna, popiołowa ziemia – część zasypu wykopu 4 z 1985 r. (podczas badań prowadzonych w roku 2014 oznaczonego jako obiekt 20)	10YR 7/2	15	20
25	57	7	X=110–112; Y=108–109,7	Faza IIE. Warstwa podestrukcyjna – wypełnisko stropowe fosy 57; piaszczysta ziemia o miąższości około 0,2 m, tworząca ciemny pas biegnący równolegle do osi dłuższej fosy	10YR 2/1	1	32
26	57	7	X=110–112; Y=109,4–112,5	Faza IIE. Ciemna, piaszczysto-ilasta ziemia z drobinami polepy, tworząca zasadnicze wypełnisko podestrukcyjne w fosie wewnętrznej 57; wypełniała niemal całą jej szerokość na odcinku 4,8 m; miąższość do 0,45 m	10YR 4/2	32, 1	42, 33, 67
27		7	X=110,6–111,6; Y=106–106,6	Faza IIB. Nieregularny pas – skupisko różnej wielkości (śr. od 0,1 do 0,3 m) kamieni na krawędzi i częściowo na stoku południowym fosy wewnętrznej 57		28	46
28		7	X=110–112; Y=106–108	Faza IID. Warstwa na krawędzi i w górnej części stoku południowego fosy wewnętrznej 57; ciemna, piaszczysta ziemia z licznymi biało-szarymi wtrętami; w jej objętości (głównie spągu) leżało skupisko kamieni 27	10YR 3/2	26, 1	27, 46
29		9	X=140–143; Y=110–112,5	Faza IID. Duży depozyt rozkruszonych i rozrzuconych na krawędzi N stoku grodziska grud (z odciskami różnorakich elementów drewnianych) i drobin czerwonej polepy; widoczny głównie w N partii wykopu; miąższość do 0,4 m; stanowił zapewne jedynie mały fragment większego obszaru pokrytego śladami spalonej konstrukcji drewnianej wylepianej gliną; ciągnął się na krawędzi grodziska oraz na jego stokach i u ich podnóży na odcinku około 15 m, aż do NE narożnika grodziska	2,5YR 5/8	35	44
30		8	X=141–143; Y=96,8–98,85	Faza IIA. Duże lokalne skupisko (luźny bruk) z reguły małych (śr. 5–15 cm) kamieni ostrokanciastych, leżących przy i wykraczających nieco poza E ścianę wykopu; znajdowało się w spągu warstwy 11; miało w przybliżeniu okrągły kształt i miejscami kilkuwarstwowy charakter; śr. nieco ponad 2 m, miąższość do 0,2 m		11	43
31		6	X=144,5–145,2; Y=94,4–95,2	Faza IA. Skupisko kilku dużych kamieni na stropie warstwy 43 (przykrytych częściowo przez warstwę 11), w strefie majdanu grodziska		11	43
32	57	7	X=110–112; Y=107,6–109,5	Faza IIE. Jedna z warstw stropowego wypełniska podestrukcyjnego fosy wewnętrznej 57; twarda, zbita, ciemna, piaszczysto-ilasta ziemia z małą domieszką drobin węgla drzewnego i polepy; tworzyła pas o szer. ok. 2 m; cieniała ku N i S, wchodząc na stoki niższych wypełnisk fosy	10YR 4/1	25	26, 28,56
33		7	X=110–112; Y=110,6–112	Faza IIA. Niejednorodna kolorystycznie, gliniasta ziemia na krawędzi zewnętrznej grodziska w jego NW części; w nią od S wkopana była fosa wewnętrzna 57	10YR 4/3; 10YR 6/2; 2,5YR 5/8	57, 1	34
34		7	X=110–112; Y=112–112,5	Faza IIA. Jednorodna, miękka, piaszczysta ziemia nadcalcowa na krawędzi zewnętrznej grodziska w jego NW części; zawierała (w małej ilości) drobiny polepy	10YR 5/6	33	calec 85

Tabela 1. Ciąg dalszy

Numer jednostki	Numer obiektu	Numer wykopu	Współrzędne siatki pomiarowej stanowiska	Opis jednostki stratygraficznej	Barwa	Pozycja stratygraficzna	
						Znajduje się pod	Znajduje się nad
35		9	X=140–143; Y=109–110,6	Faza III. Warstwa zbitej, twardej, ciemnej, piaszczystej ziemi podhumusowej z całego obszaru wykopu; na stropie i w całej swej objętości zawierała drobiny pomarańczowej polepy	5YR 3/1	1	39, 65
36		8	X=140–140,3; Y=95,5–96,4	Faza IIA. Skupisko (fragment kręgosłupa z odcinkami kręgów i żebrami) kości zwierzęcych leżących przy i wykraczających poza W ścianę wykopu; odległe nieco ponad 1 metr od podobnego skupiska kości 38		11	43
37		6	X=150,9–152,05; Y=92,7–94	Faza IIC. Prażnica; pozostałości masywnej, bardzo dużej, spękanej prażnicy glinianej znalezionej w obszarze krawędzi wschodniej części grodziska; leżała na skupiskach (pierwotnie ją podpierających) kamieni 40, 41 i 69		54, 13	40, 41, 69, 68, 70, 22
38		8	X=140–140,4; Y=97,4–97,9	Faza IIA. Skupisko (fragmenty czaszki z żuchwą) kości zwierzęcych znalezionych przy i wykraczających poza W ścianę wykopu; były odległe o nieco ponad 1 m na N od podobnego skupiska kości 36 – kontynuacja tego samego szkieletu		11	43
39		9	X=140–143; Y=109–111	Faza IIB. Warstwa twardej, ilastej ziemi (z domieszką drobin polepy) z obszaru N krawędzi grodziska; miąższość od kilkunastu cm do 0,45 m; w nią wkopane było wcięcie 120 wypełnione polepą 29; jednocześnie warstwa ta mogła być górnym wypełniskiem lub niwelacją nad wypełniskami prawdopodobnej fosy wewnętrznej 80 usytuowanej między wykopami 9 i 8; jej dolne partie przechodziły płynnie w ciemniejszą warstwę 79	10YR 4/4	120, 29, 35	79
40		6	X=150,9–151,5; Y=92–92,64	Faza IIC. Skupisko średniej wielkości, częściowo przepalonych kamieni, tworzących linię o orientacji N–S; leżały pod W częścią i w SW narożniku prażnicy 37; tworzyły podstawę prażnicy zapewniającą prześwit między jej dnem a powierzchnią na której stały		37, 13	68, 22
41		6	X=151,8–152,1; Y=93,8–94	Faza IIC. Rząd średniej wielkości, częściowo przepalonych kamieni kamieni tworzących linię o orientacji N–S; leżały pod E częścią i w NE narożniku prażnicy 37; tworzyły podstawę prażnicy dającą prześwit między jej dnem a powierzchnią na której stały		37	68, 22
42		7	X=109–109,6; Y=110–111,8	Faza IID. Dwa średniej wielkości kamienie znajdujące się w spągu ciemnej warstwy 26		26, 32	56
43=50		6, 8	X=140–150; Y=91–100	Faza IA. Jasna, ścisła ziemia ilasta. Na jej stropie leżały kamienie 30 i 31 oraz skupiska kości zwierzęcych 36 i 38, a w jej strop wkopany był ewentualny dół posłupowy 117. Miała miąższość do 0,25 m i w kierunku północnych zboczy grodziska stawała się coraz cieńsza i zanikała pod nachodzącą na nią od tej strony warstwą 76	10YR 4/2; 10YR 7/6	11, 12, 30, 31, 45, 52, 76, 117	47, 83, 86
44		9	X=140–143; Y=110,5–112,5	Faza IID. Poziom spoistej, piaszczystej, przepalonej na różne kolory ziemi, widoczny w obszarze przy N krawędzi stoku zewnętrznego grodziska); występował bezpośrednio pod pokładem grud polepy 29 – w centrum i północnej części wykopu. Warstwa miała niejednorodny charakter – w górnych partiach zawierała jasne popioły, w spągu ciemniała i zawierała więcej drobin węgli drzewnych; wypełniała zagłębienia w stropie warstwy 65	5YR 7/1; 7,5YR 3/1	29	65
45		6	X=150–151; Y=93–94	Faza IA. Skupisko kilku fragmentów ceramiki tuż na NW od W brzegu prażnicy 37	10YR 5/3	11	43
46		7	X=110–112; Y=106=106,7	Faza IIB. Warstwa na krawędzi (częściowo zsuwowa) i stoku południowym fosy wewnętrznej 57 jednorodna, piaszczysto-ilasta ziemia widoczna w pasie stoku o szer. do 2,3 m; miąższość do 0,2 m; na jej stropie leżały kamienie 27	10YR 6/4	66, 27, 28	75
47		6	X=142,1–150,5; Y=91–95	Faza IA. Warstwa nadcalcowa występująca we wschodniej części grodziska; jasna, jednorodna, piaszczysto-ilasta ziemia występująca w W partii wykopu	10YR 5/2 (80%); 10YR 7/3 (20%)	43	86 gliniasty calec
48	48	5	X=105,2–107; Y=100–101	Faza IV. Warstwa ciemnej ziemi: część zasypu wykopu 4 z 1985 r. (podczas badań prowadzonych w roku 2014 oznaczonego jako obiekt 20)	10YR 4/2	16	20
49		5	X=103,5–107,8; Y=100–101	Faza IIE. Wypełnisko fosy wewnętrznej 64; niższe, podestrukcyjne wypełnisko zagłębienia w warstwach popożarowych; warstwa przemieszanej, ilasto-gliniastej, ciemnej ziemi z nielicznymi drobinami węgli drzewnych i drobinami czerwonej polepy; miąższość do 0,3 m; widoczna była na odcinku 4 m	10YR 4/2	21	62

Tabela 1. Ciąg dalszy

Numer jednostki	Numer obiektu	Numer wykopu	Współrzędne siatki pomiarowej stanowiska	Opis jednostki stratygraficznej	Barwa	Pozycja stratygraficzna	
						Znajduje się pod	Znajduje się nad
51		6	X=152,5–153,2; Y=92–94	Faza IE. Pas niejednorodnie przemieszanej, miękkiej, piaszczystej ziemi, w strefie wschodniej krawędzi grodziska; wypełnisko płytkiego,rynnowatego zagłębienia biegnącego równolegle do krawędzi zbocza	2,5YR 4/4	22	53, 87, 74
52		6	X=151,9–152,6; Y=92–94	Faza IB. Pas niejednorodnej piaszczystej ziemi z białymi, wapiennymi wtrętami; leżał w przykrawędnej, wschodniej części grodziska; od E ograniczona ciemnym pasem 51 od W ziemią 54.	10YR 4/3	89, 93, 102, 22	113, 43
53		6	X=153,3–155,2; Y=92–94	Faza IE. Depozyt ziemi popiołowej z górnej partii wschodniego stoku grodziska; miał postać równoległego do jego krawędzi, nieregularnie szerokiego (od 1,6 do 2,5 m) pasa; tworzyła go niejednorodnie przemieszana ziemia piaszczysta z dużą ilością śladów popiołu i białych kredowych drobin; miąższość: do 0,3 m	2,5YR 6/3; 2,5YR 6/2; 2,5YR 7/2	51, 22	55
54		6	X=150,7–151,9; Y=92–94	Faza IIE. Depozyt ciemnej, piaszczysto-ilastej ziemi z przykrawędnego obszaru wschodniej części grodziska; leżał (w formie nieregularnego pasa o szer. do 1 m i miąższości ok. 0,2 m) ponad zagłębieniem, w którym stała zniszczona prażnica 37	10YR 3/2	13	37
55		6	X=150,45–156,20; Y=92–94	Faza 1D. Rozległy (szer. niemal 5 m) i gruby (miąższości do 0,4 m) depozyt niejednorodnej jasnej piaszczysto-ilastej ziemi z białymi, wapiennymi wytrąceniami, która w formie równoległego do krawędzi grodziska pasa znajdowała się w górnej partii jego wschodniego stoku	2,5YR 5/3	53, 71, 22	93, 101
56	57	7	X=110–112; Y=107,2–109,8	Faza IID. Wypełnisko fosy wewnętrznej 57 z NW części grodziska; niejednorodna, zbita, piaszczysto-ilasta ciemna ziemia (zmieszana z drobinami polepy i białymi wytrąceniami kredowymi); tworzyła pas o szer. do 1,8 m i orientacji W–E, w zagłębieniu utworzonym przez niższe wypełniska fosy	10YR 3/2	42, 32	58, 59 66
57	57	7	X=110–112; Y=107,2–109,8	Faza IIB. Fosa wewnętrzna w NW (przykrawędnej) części grodziska. Miała łagodny U-kształtny przekrój z niemal płaskim dnem o szer. 1,5-2 m przy całkowitej szerokości sięgającej 5,2 m; jej głębokość w stosunku do poziomu gruntu z czasu jej wykopania (od strony majdanu grodziska) wynosiła 1,2 m		75	
58	57	7	X=111–112; Y=108,5–109,1	Faza IID. Kamienie w dolnej części wypełniska fosy wewnętrznej 57; kilka niezbyt dużych (śr. do 0,25 m), ostrokrawędzistych kamieni, tworzących skupisko na obszarze ok. 0,6 x 1 m		56	66, 59
59	57	7	X=111,4–111,6; Y=108,6–108,9	Faza IID. Skupisko kilku dużych (śr. do 0,2 m) fragmentów ceramiki przy, między i pod kamieniami 58, w dolnej części wypełniska fosy wewnętrznej 57	10YR 5/3	58	66
62		5	X=106–108; Y=100–102	Faza IIE. Jednorodna, zwarta ilasto-gliniasta ziemia nadcalcowa; niższe, podestrukcyjne wypełnisko stokowe fosy wewnętrznej 64; miało dł. 0,8 m i do 0,25 m miąższości	10YR 5/4	49, 21	73
63 calec		5	X=108,1–109; Y=100–102	Glina (calcowa) tworząca W stok fosy wewnętrznej 64	10YR 6/3	62, 21	
64	64	5	X=104,6–109; Y=100–102	Faza IIB. Fosa wewnętrzna w przykrawędnej części SW narożnika grodziska; obiekt zidentyfikowany był w obrębie wykopu 5 jedynie w małym zakresie i miał ukośny w stosunku do osi wykopu przebieg; jego wymiary, jak się wydaje były podobne (ok. 4 m szer. i 0,9 m głęb.) do wymiarów rowów 57 i 80 z innych wykopów		107, 62	14
65		9	X=140–143; Y=109–112,5	Faza IA. Warstwa jasnej twardej sypkiej ziemi (z licznymi grudkami polepy) z obszaru N krawędzi grodziska; miała pofałdowany strop i miąższość od kilkunastu cm do 0,3 m; w nią prawdopodobnie wkopana była (S skraj wykopu) fosa wewnętrzna 80;. od strony krawędzi grodziska jej strop naruszony był przez wcięcie 120	2,5YR 5/4	80, 120 39	calec 84
66	57	7	X=110–112; Y=108,3–109,1	Faza IID. Wypełnisko dolne fosy wewnętrznej 57; pas ilasto-piaszczystej ziemi, przemieszanej z drobinami węgli drzewnych i drobinami polepy, o szer. do 2 m i miąższości do kilkunastu cm; leżał na dnie i częściowo na zboczach niższych wypełnisk fosy; na jego stropie znajdowało się skupisko fragmentów ceramiki 59 i kamienie 58	10YR 3/2	59, 58	46, 67

Tabela 1. Ciąg dalszy

Numer jednostki	Numer obiektu	Numer wykopu	Współrzędne siatki pomiarowej stanowiska	Opis jednostki stratygraficznej	Barwa	Pozycja stratygraficzna	
						Znajduje się pod	Znajduje się nad
67	57	7	X=110–112; Y=108,3–109,1	Faza IID. Podestrukcyjna warstwa na N zboczu przydennych partii fosy wewnętrznej 57; jasna ziemia ilasta z drobinami i miejscami węglami drzewnymi oraz kilkoma fragmentami spalonych drewien; prawdopodobnie wynik wymieszania warstwy zsuwowej z niższą pożarową 81; tworzyła nieregularny pas o szer. do 1,7 m i miąższości do 0,2 m	10YR 6/6; 2,5YR 5/4	66, 56	81, 82, 75
68		6	X=151,6–151,7; Y=93,6–94	Faza IIC. Skupisko fragmentów polepy w N części wykopu znajdujące się bezpośrednio pod prażnicą 37	10YR 5/8	40, 41, 69, 37	70
69		6	X=150,9–151; Y=93,5–94	Faza IIC. Skupisko kamieni – pozostałości W rzędu kamieni pierwotnie podtrzymujących prażnicę 37		37	68
70		6	X=151–151,8; Y=92,6–93	Faza IIC. Obszar nieregularnie przeplamionej piaszczystej ziemi z jaśniejszymi wtrętami, w zagłębieniu stropu warstwy 10; usytuowany w obszarze wschodniej krawędzi grodziska; widoczny w obrębie pasa ograniczonego od W i E przez pozostałości dwóch rzędów kamieni (41, 69) pod prażnicą 37; prawdopodobnie dno poziomu niwelacyjnego pod konstrukcją prażnicy	10YR 4/3	68, 37	10, 22
71		6	X=155,85–157,5; Y=92–94	Faza IE. Pas ziemi z dużą ilością jasnych drobin popiołu oraz drobinek wapiennych (węglany wapnia?); nieregularna szer. (do nieco ponad 1m); miąższość do 0,1 m; znajdował się w połowie wschodniego stoku skarpy grodziska, nieco poniżej od podobnego lecz masywniejszego depozytu ziemi popiołowej 53; prawdopodobnie pozostałość po pożarze konstrukcji drewnianej (ściany lub płotu)	2,5YR 4/2	22, 119	55
72	64	5	X= 104–107,8; Y=100–101	Faza IID. Dolne wypełnisko fosy wewnętrznej 64; warstwa ziemi piaszczysto-ilastej, z dużymi płatami rozłożonej czerwonej polepy oraz (na obrzeżach) ciemnymi przepaleniami, a także z drobinami i płatami jasnego popiołu	10 YR 5/2; 2,5 YR 5/6; 10YR 7/1	73	78, 79
73	64	5	X=106,2– 108,3; Y=100–101	Faza IIE. Prawdopodobnie warstwa zsuwowa – jedno z dolnych wypełnisk fosy wewnętrznej 64; przemieszana, ciemna ziemia piaszczysta z drobinami polep i nielicznych węgielków drzewnych	10YR 3/1	62	64
74		6	X=156,5–159,5; Y=92–94	Faza IIE. Jasna piaszczysto-ilasta ziemia, widoczna na ostatnich 3 m dolnej części stoku w E części grodziska; warstwa zsuwowa – niwelowała i łagodziła przebieg dolnej partii stoku; miąższość do 0,5 m	2,5Y 5/2; 2,5Y 5/3	1, 71	104, 22
75		7	X=110–112; Y= 108,3–109,9	Faza IIB. Warstwa zsuwowa z dna i częściowo z obu stoków dennej partii fosy wewnętrznej 57; jasna ilasto-gliniasta ziemia o zróżnicowanej miąższości (do 0,2 m w zagłębieniach stoku fosy), tworząca pas o szer. do 3 m	2,5YR 5/3	82, 46	57
76		8	X=141,1–143; Y=97,3–100	Faza IA. Warstwa ilastej ziemi z nielicznymi drobinkami węgla i polepy z obszaru NE ćwiartki wykopu; zwiększała grubość ku NE do niemal 0,3 m; w ścianie E wykopu widoczna na odcinku niemal 3 m	10YR 5/2	30, 11	43, 86
77		5	X=104,3–105,7; Y=100–101	Faza IID. Destrukty pożarowe (głównie popiołowe) w fosie wewnętrznej 64; obszar ziemi z różnokolorowymi popiołami na wewnętrznym stoku fosy; miała miąższość do 0,25 m i widoczna była (w profilu S) na odcinku 2 m	2,5YR 8/2 (50%); 2,5YR 5/3 (50%)	78	106
78=99		5	X=105,6–106,8; Y=100,3–100,65	Faza IID. Mały płat cienkiej warstwy przepalonej ziemi i węgli drzewnych (pozostałość spalonych elementów drewnianych) widoczny w dolnej części wypełnisk fosy wewnętrznej 64; od W i NW otoczony dookolnym "pierścieniem" przeprażonej ziemi i (bardziej na zewnątrz) obszarem z popiołami 77	10YR 5/4 (45%); 10YR 2/1 (45%); 10YR 4/3 (10%)	72	77
79		9	X= 140–143; Y=109–109,9	Faza IIB. Górne wypełnisko fosy wewnętrznej 80 usytuowanej między wykopami 9 i 8; przechodziło płynnie w jaśniejszą warstwę 39; widoczne w S części wykopu; niejednorodna, ilasta i piaszczysto-ilasta ziemia z grudkami polepy i drobinami węglanu wapnia oraz nielicznymi drobinami węgla drzewnego; płynnie przechodziła w wyżej leżącą warstwą 39	10YR 5/2	39	80
80	80	9	x=140–142,8; Y=109–109,23	Faza IIB. Fosa wewnętrzna z północnej, przykrawędnej partii grodziska; widoczna jako słabo czytelne krawędzie i fragmenty stoku w jej N części; jej istnienie sugerowały wykonane między wykopami 9 i 8 odwierty oraz morfologia terenu w tym obszarze; wypełniskami były warstwy 79 i 39; miała ok. 4 m szer. i ok. 1, 3 m głęb.; była odpowiednikiem fosy 57 z wykopu 7 i fosy 64 z wykopu 5		79	65

Tabela 1. Ciąg dalszy

Numer jednostki	Numer obiektu	Numer wykopu	Współrzędne siatki pomiarowej stanowiska	Opis jednostki stratygraficznej	Barwa	Pozycja stratygraficzna	
						Znajduje się pod	Znajduje się nad
81		7	X=110–112; Y=108,3– 111,5	Faza IID. Przydenne, popożarowe wypełnisko fosy wewnętrznej 57; nieregularny obszar przemieszanej, różnokolorowej ziemi z przepaleniami pożarowymi, miejscami wysyconej drobinami węgli drzewnych oraz drobinami i grudkami polepy; usytuowany w przestrzeni dna fosy gdzie tworzył nieregularny pas o szer. niemal 2 m i miąższości do kilkunastu cm	10YR 2/1; 10YR 4/4; 2,5Y 3/2; 2,5Y 4/3; 5YR 4/6	67	82
82	82	7	X=100,65–101,15; Y=109,48–109,82	Faza IID. Prawdopodobnie pozostałość spalonego słupa (stempla) zachowanego w postaci wypełniska bardzo płytkiego (do kilku cm), nieregularnie okrągłego zagłębienia w warstwie pożarowej 81 ze środkowej, dennej partii fosy wewnętrznej 57; wyróżniało się jako nieco ciemniejsza od otoczenia, przepalona i wysycona drobinami węgli drzewnych ziemia; widoczne już w warstwie 67, ale stratygraficznie leżące na stropie niższej warstwy 75, na którym to stropie widać było podobne zaciemnienie przy W ścianie wykopu; być może ślad jednego z dwóch słupów z dna fosy	10YR 2/1	81	75
83		8	X=142,2; Y=97	Faza IA. Małe skupisko fragmentów ceramiki starożytnej w E partii wykopu; widoczne w spągu warstwy 43	7,5YR 5/3	43	86
84=94 calec		5, 6, 7, 9	X=100–157; Y=92–112,5	Bardzo jasny, miejscami biały calec, występujący na całym stanowisku; tworzył grubą warstwę z żyłami węglanu wapnia; miejscami był zmieszany lub przechodził w równie jasny piasek; zwykle leżał pod również calcowymi warstwami gliniastymi	10YR 7/4; 10YR 8/1	63, 65, 85, 92	
85 calec		7	X=110–112; Y=110,98–112,5	Calec gliniasty na krawędzi grodziska (w jego NW części)		34, 33, 57	calec 94
86 calec		8	X=140–143; Y=95–100	Calec gliniasty		43, 76	
87		6	X=152,44–152,66; Y=92,32–92,50	Faza IB. Skupisko kości zwierzęcych – fragment żuchwy dzika; leżało na i częściowo w obrębie wypełniska 88 w jamie 89		51	88
88	89	6	X=152,2–152,9; Y=92–92,7	Faza IB. Główne wypełnisko obiektu 89 – mocno przemieszana, piaszczysta ziemia z wytrąceniami wapiennymi; w stropie i centrum znajdowało się skupisko kości zwierzęcych 87, w dolnej partii jamy zaś kilka kamieni 108	10YR 3/3; 10YR 6/3	87	108, 89
89	89	6	X=X=152,2–152,9; Y=92–92,7	Faza IB. Jama (z wypełniskami: kośćmi zwierzęcymi 87, ziemią 88 i kamieniami 108); podłużny obiekt o orientacji N-S, równoległy do krawędzi grodziska, odległy od niej (ku E) o ok. 1,5 m; szer. do 0,7 m , dł. co najmniej 0,75 m (wykraczał poza S ścianę wykopu), gł. do 0,5 m; ściany strome, dno nieregularnie wklęsłe		108, 88, 87	52
90	91	6	x=155–157,3; Y=93,78–94	Faza IA. Wypełnisko obiektu 91 z wschodniego stoku grodziska; bardzo luźna shumusowana, niejednorodna jasna, piaszczysta ziemia	10YR 5/4	109	91
91	91	6	x=155–157,2; Y=93,78–94	Faza IA. Podłużny obiekt (z wypełniskiem 90) na E stoku grodziska (wykraczał poza N ścianę wykopu 6); poprzeczny do krawędzi grodziska; dł. ok. 2 m, gł. do kilkunastu cm; wypełniał zagłębienia w stropie calca		90	84 calec kredowy
92		6	X=148–155,8; Y=92–94	Faza IA. Jednorodna, piaszczysto-gliniasta, jasna ziemia znajdująca się na krawędzi i w górnej części stoku E grodziska; tworzyła na nim równoległy do jego krawędzi pas o szer. ok. 2,5 m i miąższości do 0,2 m	10YR 4/6	91, 52, 55	86
93		6	X=154,6–157; Y=92–94	Faza 1C. Depozyt popiołów na E stoku grodziska; warstwa ziemi ilastej z wyraźną domieszką grudek i drobin popiołu; widoczna w formie nieregularnie szerokiego (do niemal 3 m) i grubego (do 0,2 m) pasa o przebiegu S–N z lekkim odchyleniem ku NW	10YR 8/2; 10YR 5/3	55	52, 92
95		7	X=110–112; Y=106–106,5	Faza IIB. Warstwa na krawędzi i w górnej części stoku południowego fosy wewnętrznej 57; małe płaty, plamki i drobiny jasnego popiołu; leżały bezpośrednio na gliniastym calcu; mogły być pozostałościami spalonej roślinności porastającej brzeg i stok fosy po jej wykopaniu lub reliktami innych spalonych elementów drewnianych z jej krawędzi	10YR 8/2	46	calec 96
calec 96		7	X=110–112; Y=106–108	Jednorodny, gliniasto-ilasty calec	10YR 5/8	46, 95	

Tabela 1. Ciąg dalszy

Numer jednostki	Numer obiektu	Numer wykopu	Współrzędne siatki pomiarowej stanowiska	Opis jednostki stratygraficznej	Barwa	Pozycja stratygraficzna	
						Znajduje się pod	Znajduje się nad
101	102	6	X=153–154,7; Y=92,45–93,6	Faza IB. Wypełnisko obiektu 102; ziemia mocno przemieszana i niejednorodna w pionie (w swych środkowych i dolnych partiach pylasto-ilasta zaś w górnych gliniasta – z kamieniami na stropie)	10YR 4/3	55	102
102		6	X=153–154,7; Y=92,45–93,6	Faza IB. Duży (1,1 x 1,8 m) owalno-prostokątny obiekt (z wypełniskiem 101) ze wschodniego stoku grodziska; gł. do 0,6 m (w W partii)		101, 55	52
103		6	X=157,4–159,5; Y=92–94	Faza IIB. Warstwa stokowa – wypełnisko (prawdopodobnie zsuw naturalny) ze zboczy wcięcia 119, w dolnej partii wschodniego stoku grodziska; piaszczysto-ilasta ziemia z licznymi jasnymi wtrętami kredowymi	10YR 5/2; 10YR 5/3	115	105
104		6	X=159–159,5; Y=92–92,9	Faza IIE. Wypełnisko niezbyt głębokiej fosy zewnętrznej wykopanej od strony płaskiego podejścia do wschodnich zboczy grodziska (lub kolejnego ustromienia dolnej części jego stoku); ciemna, lekko mazista ziemia piaszczysto ilasta, z drobinami polepy i jasnymi wtrętami; miąższość do 0,4 m	10YR 4/2	74	118, 115
105		6	X=157,5–159,5; Y=92–94	Faza IIB. Warstwa stokowa – wypełnisko (prawdopodobnie zsuw naturalny) ze zboczy wcięcia 119, w dolnej partii wschodniego stoku grodziska; jasna, piaszczysto-ilasta ziemia, z licznymi jasnymi, wapiennymi wtrętami; miąższość do 0,25 m	10YR 7/4	103	119
106		5	X=105–108,5; Y=100–101	Faza IIB. Przydenne wypełnisko fosy wewnętrznej 64; warstwa mocno przemieszanej, sypkiej, piaszczystej ziemi, z jasnymi i nieco ciemniejszymi plamami; miąższość do 0,3 m – widoczna była na odcinku 2,8 m	10YR 5/6 (90%); 10YR 4/2 (10%)	77	107
107		5	X=105,2–108,5; Y=100–101	Faza IIB. Spągowe wypełnisko fosy wewnętrznej 64; cienka (miąższości do kilku cm) warstwa ciemnej, twardej, piaszczystej ziemi z jaśniejszymi przebarwieniami	10YR 4/2; 10YR 5/4	106	64
108	89	6	X=152,5; Y=92,3	Faza IB. Dolne wypełnisko jamy 89; rząd czterech, leżących na sobie kamieni; przekraczał S granicę wykopu		88	89
109		6	X=154,3–156; Y=92–94	Faza IA. Warstwa z górnej części E stoku grodziska; jasna, piaszczysto-ilasta, miękka ziemia z białymi drobinami węglanu wapnia	10YR 7/1 (50%); 10YR 6/2 (50%)	52, 112, 114	90, 84 calec kredowy
110	111	5	X=108–109; Y=100,6–101,84	Faza IV. Wypełnisko obiektu 111 ; pas piaszczystej ziemi o dł. co najmniej 1,4 m i szer. do 1,1 m, wykraczający poza N granicę wykopu	10YR 4/1	1	111
111		5	X=108–109; Y=100,6–101,84	Faza IV. Jama lub pozostałość po drzewie (wypełnisko 110); nieregularny, podłużny obiekt; dł. co najmniej 1,4 m (wykraczał poza E ścianę wykopu), szer. do 1,1 m, gł. do 0,35 m; w przekroju manifestował się jako dwa zagłębienia ze stromymi ścianami bocznymi i nieckowatymi dnami		110	6, 21
112		6	X=156,1–157,3; Y=92,5–94	Faza IB. Płat sypkiej, piaszczystej warstwy akumulacji lub celowego nadsypania wschodniego zbocza grodziska (ewentualnie efekt zsuwów i niwelacji warstw z obszaru wyżej położonego); w ścianie N widoczny był na odcinku 1,2 m, miąższość: do 0,2 m	10YR 5/2	55	109
113	114	6	X=153,25–154,2; Y=93,75–94	Faza IA. Wypełnisko obiektu 114; niejednorodna, pylasto-piaszczysta ziemia o miąższości do 0,3 m	2,5Y 6/4; 10YR 6/6	114	52
114		6	X=153,25–154,2; Y=93,75–94	Faza IA. Jama (wypełnisko 113) lub zagłębienie stropu niższej warstwy 92 i 109 – na wschodnim zboczu grodziska; wykraczało poza N ścianę wykopu; nieckowaty przekrój; widoczne na odcinku 0,95 m; gł. do 0,3 m		113	109
115		6	X=157,1–159,4; Y=92–94	Faza IIB. Warstwa stokowa – prawdopodobnie zsuw naturalny ze zboczy wcięcia 119 – w dolnej partii wschodniego stoku grodziska; jasna, piaszczysto-ilasta ziemia z licznymi białymi wtrętami; miąższość do ok. 0,35 m	2,5Y 5/3	118	103
116		6	X=143,2–143,78; Y=94,7–95	Faza IA. Wypełnisko dołu posłupowego 117; niejednorodna, piaszczysta ziemia z wtrętami z warstw sąsiednich	10YR 5/6	9, 11	117
117		6	X=143,2–143,78; Y=94,7–95	Faza IA. Ewentualny dół posłupowy (wypełnisko 116) z obszaru majdanu grodziska; obiekt rozpoznany jedynie w ścianie N wykopu; widoczny na odcinku do 0,55 m, niemal pionowe ściany i V-kształtne dno; obserwowalna gł. do 0,5 m		116	43

Tabela 1. Ciąg dalszy

Numer jednostki	Numer obiektu	Numer wykopu	Współrzędne siatki pomiarowej stanowiska	Opis jednostki stratygraficznej	Barwa	Pozycja stratygraficzna	
						Znajduje się pod	Znajduje się nad
118		6	X=158,9–159,5; Y=92–94	Faza IIC. Wkop lub kolejne ustromienie dolnej części wschodniego stoku grodziska; być może pozostałość niezbyt głębokiej fosy zewnętrznej wykopanej od strony płaskiego podejścia do zbocza grodziska; widoczny był na odcinku ostatniego pół metra we wschodnim końcu wykopu; ściana W stroma, przechodząca łagodnie w niemal płaskie dno; obserwowalna w profilach głęb. obiektu wynosiła od 0,4 do 0,6 m; wypełniony był warstwą 104 i, wyżej, rozleglejszą niż obiekt, warstwą zsuwową 74		104	115
119		6	X=157–159,5; Y=92–94	Faza IIB. Obcięcie (w obszarze dolnej części wschodniego zbocza grodziska) zakumulowanych wcześniej warstw ze starszych faz jego istnienia; istotna modyfikacja kształtu i stromizny stoku poprzez rozległe (widoczne w profilach wykopu 6 na odcinku co najmniej 3 m) jego obcięcie (ustromienie)		105	71
120		9	X=140–143; Y=110–112,5	Faza IIC. Obiekt. Wcięcie w N krawędź zbocza grodziska w jego północno wschodniej partii; stanowiło zapewne wkop pod budowę drewnianej konstrukcji (ściany?), której reliktami był depozyt polepy 29; widoczne w N części wykopu; w zachodnim profilu wykopu widać, iż miało, przynajmniej miejscami, pionową (od strony majdanu) ścianę o głębokości wcięcia 0,5 m oraz płaskie dno; wypełnisko stanowiła warstwa spalenizn i popiołów 44 oraz, wyżej, wspomniany depozyt polepy 29		44, 29	39, 65

miki starożytnej 83. Przykrywała je, zidentyfikowana z warstwą 43 z wykopu 6, warstwa 50 o miąższości do 0,25 m, która stawała się cieńsza ku N, gdzie nachodziła na nią warstwa ziemi szaro-brązowej 76 (z drobinkami węgla i pomarańczowych polep oraz nielicznymi fragmentami ceramiki), zwiększająca swą miąższość ku NE do niemal 0,3 m. W fazie tej, w obrębie wykopu 9 z obszaru N krawędzi grodziska, ponad jasnym calcem wapienno-piaszczystym 84=94, utworzyła się warstwa jasnej, twardej sypkiej ziemi 65. W jej stropie widoczne były liczne drobiny polepy. Miała ona miąższość od kilkunastu cm do 0,3 m.

Faza IB

Nawarstwienia tej podfazy obserwowalne były jedynie w obszarze wykopu 6, co sugeruje, że w starożytności albo tylko wschodnia część grodziska była intensywnie i wieloetapowo użytkowana lub, że w późniejszych okresach powierzchnia wzgórza grodziskowego została tak mocno przekształcona, iż ślady wcześniejszych nawarstwień zostały całkowicie zniwelowane, przemieszczone lub usunięte.

W strefie krawędzi grodziska i jego wschodniego stoku nastąpiła naturalna akumulacja, zsuw bądź (co najbardziej prawdopodobne) celowe usypanie grubej do 0,4 m warstwy ziemi 52 (szaro-brązowej z białymi, wapiennymi wtrętami), która tworzyła szeroki na ponad 6 m, równoległy do krawędzi grodziska pas oraz, nieco niżej na stoku, podobny lecz cieńszy i węższy pas ziemi 112. W strop warstwy 52, na wschodnim stoku grodziska, wkopany był duży (o wymiarach stropu 1,1 x 1,8 m i głębokości do 0,6 m) owalny obiekt 102 (z wypełniskiem 101). W jego pobliżu wykopana została także jama 89 (z wypełniskami: kośćmi zwierzęcymi 87, ziemią 88 i kamieniami 108).

W strefie majdanu grodziska w Fazie IB na stropie warstwy 43 uformował się lekko wypukły, lokalny płat zbitej, ilastej ziemi 12. Przykrywał go częściowo od SW pas ciemniejszej ziemi piaszczystej 9. W strop tej ziemi wkopana była prawdopodobnie owalna (wykraczała poza S ścianę wykopu) płytka, duża (o średnicy co najmniej 1,75 m) jama 18 z piaszczystym wypełniskiem dennym 119, kamieniami 17 i piaszczystym wypełniskiem stropowym 8.

Faza IC

Ślad pożaru. Na E stoku grodziska (wykop 6) utworzył się depozyt warstwy popiołowej 93 (warstwy ziemi ilastej z wyraźną domieszką grudek i drobin popiołu) zalegającej w formie nieregularnie szerokiego (do niemal 3 m i grubego do 0,2 m) pasa o równoległej do krawędzi grodziska orientacji S–N (z lekkim odchyleniem ku NW). Być może jest to ślad spalonych konstrukcji drewnianych (ściany/ płotu?) przegradzających stok grodziska w jego środkowej części.

Faza ID

W fazie tej, na opisanej wcześniej warstwie popiołów nr 93 powstaje rozległy (niemal 5 metrowej szerokości) i gruby (miąższości do 0,4 m) depozyt (nr 55),

niejednorodnej, jasnoszarej ziemi z białymi, wapiennymi wytrąceniami, który w formie równoległego do krawędzi grodziska pasa znajdował się w górnej partii jego wschodniego stoku (wykop 6). Mógł być śladem po niwelacji/nadsypaniu i wyrównaniu powierzchni zbocza grodziska po pożarze z fazy poprzedniej.

Faza IE

W fazie tej na uprzednio uformowanej przez warstwę 55 powierzchni wschodniego stoku grodziska (wykop 6) powstają dwa pasowe w kształcie stropu depozyty popiołowe, co sugeruje ponowny pożar, ale tym razem pożar konstrukcji dwóch, odległych od siebie o 1,2–2,5 m ewentualnych ścian lub płotów drewnianych. Umiejscowione były one w środkowej i górnej partii stoku, przy czym depozyt (53) wyżej leżący był zdecydowanie bardziej masywny i rozleglejszy natomiast depozyt (71) leżący niżej na stoku – cieńszy i węższy. Obydwa miały znaną z wcześniejszych podfaz postać pasów, o przebiegu z lekka tylko regularnym, równoległym do krawędzi grodziska. Depozyt popiołów 53 miał postać nieregularnie szerokiego (od 1,6 do 2,5 m) pasa. Tworzyła go niejednorodna, przemieszana ziemia (o miąższości do 0,3 m), z dużą ilością popiołu i białych kredowych drobin. Depozyt popiołów 71 tworzony był przez ziemię z dużą ilością jasnoszaro-białych drobin popiołu oraz drobinek wapiennych. Miał postać pasa o nieregularnej szerokości, sięgającej do nieco ponad 1 m i miąższości nawarstwienia do 0,1 m. Znajdował się w połowie wschodniego stoku skarpy grodziska nieco poniżej podobnego lecz masywniejszego depozytu ziemi popiołowej 53.

Na depozyt ziemi popiołowej 53 od strony krawędzi grodziska zachodził nieznacznie kolejny cienki depozyt (51) w formie pasa niejednorodnie przemieszanej, miękkiej, piaszczystej ziemi czerwono-brązowej Mógł być on ewentualnym wypełniskiem płytkiego zagłębienia rynnowatego, biegnącego równolegle do krawędzi zbocza grodziska, tuż za wspomnianą wcześniej domniemaną spaloną ścianą 53.

Faza II – wczesne średniowieczne

W tej fazie, po długim hiatusie osadniczym, grodzisko ponownie staje się miejscem aktywności ludzkiej

Faza IIA

Ponad destruktami fazy poprzedniej w przykrawędnej strefie majdanu, krawędzi i wschodniego stoku grodziska (wykop 6) zakumulowała się lub (co bardziej prawdopodobne) została celowo usypana w celach niwelacyjnych, rozległa warstwa ciemnobrązowej ziemi 22, zawierającej wyraźną domieszkę (wtręty z warstw niższych) jasnoszarego popiołu. Rozciągała się ona na dystansie około 6 m i miała miąższość do 0,4 m. Miejscami (na stoku) leżała bezpośrednio pod humusem lecz od strony majdanu jej strop obniżał się (był przycięty?) i przykryty przez młodsze (z Fazy IIB) nawarstwienia 10, które oddzielały ją od leżącej już w strefie majdanu grodziska, także rozległej (obecnej również na całym obszarze wykopu 8) warstwy 11. Tę ostatnią warstwę tworzyła ilasta, ciemnoszaro-brązowa ziemia o miąższości około 0,2 m.

W obszarze majdanu grodziska (wykop 8) na stropie warstwy 43 (z Fazy IA) leżały (w niedalekiej od siebie odległości) dwa skupiska kości zwierzęcych: 36 i 38 (fragmenty kręgosłupa z odcinkami kręgów i żebrami oraz żuchwy i czaszki dzika). W jednym horyzoncie z tymi skupiskami leżał także, okrągły w planie stropu, lekko wypukły, kilkuwarstwowy depozyt małych (5–15 cm średnicy), ostrokrawędzistych kamieni 30 (ryc. 16–17). Całość przykrywała wspomniana wcześniej warstwa 11.

Faza IIB – faza modyfikacji kształtu zboczy grodziska oraz wykopania fos wewnętrznych (zagłębień przywałowych) w partiach przykrawędnych części zachodniej i północnej grodziska

W fazie tej w południowo-zachodniej części grodziska (wykop 5) wykopano wewnętrzną fosę 64. Ponieważ obiekt ten miał ukośny w stosunku do osi wykopu przebieg, jedynie w przybliżeniu można ocenić jego rozmiary, które – jak się wydaje – były podobne (około 4 m szerokości i 0,9 m głębokości) do wymiarów rowów 57 i 80 rozpoznanych w innych

Ryc. 16. Łodygowo, st. 2. Depozyt kamieni we wschodniej części grodziska (fot. D. Wach)

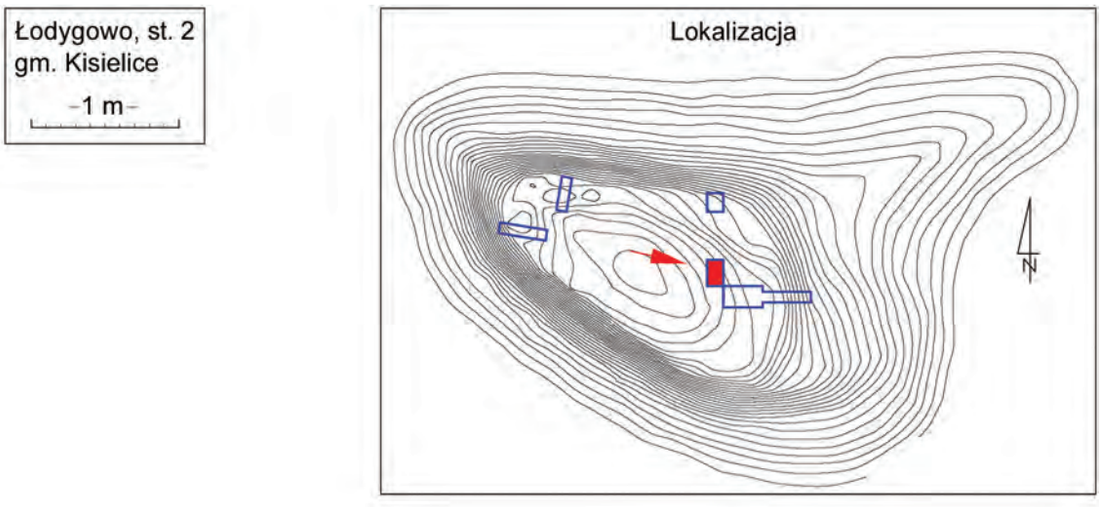

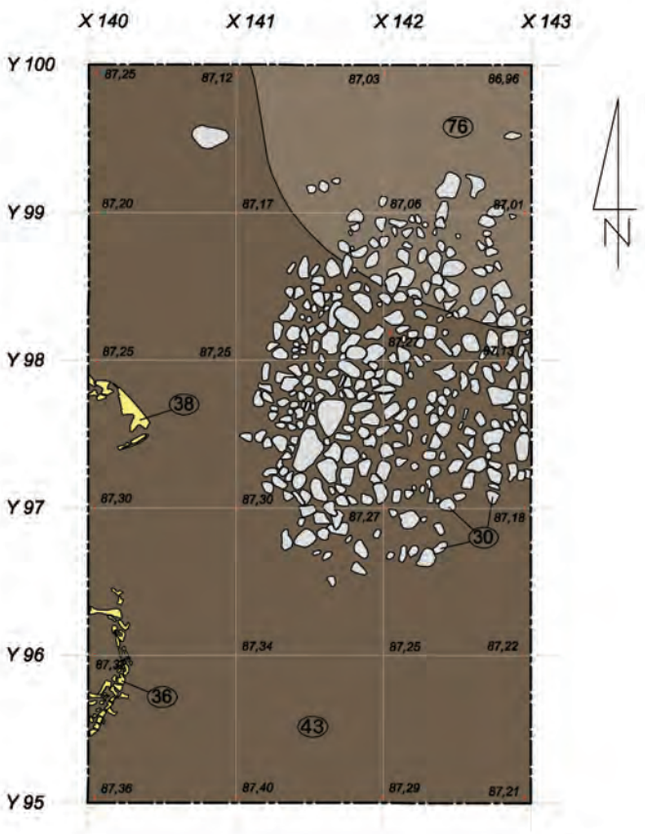

Ryc. 17. Łodygowo, st. 2. Depozyt kamieni we wschodniej części grodziska (oprac. D. Wach i R. Solecki)

wykopach. Wypełniskiem dennym tej fosy była bardzo cienka (miąższości do kilku cm) warstwa ciemnoszaro-brązowej, twardej, piaszczystej ziemi 107. Nad nią leżała gruba na 0,3 m i widoczna w całym (2,8 m) pasie dna fosy warstwa mocno przemieszanej, sypkiej, żółtawo-brązowej ziemi 106 – prawdopodobnie wynik naturalnego zapełniania się obiektu.

W fazie tej w obszarze krawędzi wschodniej grodziska (wykop 6) powstała gruba (miąższości do 0,4 m), widoczna na odcinku ponad 4 m, warstwa bardzo ciemnej szarej, lekko mazistej, zwartej ziemi 10. Wypełniała ona rozległe, łagodne zagłębienie, rozdzielając warstwy 11 i 22 ze starszej Fazy IIA.

W obszarze dolnej części wschodniego zbocza grodziska dokonano w tej fazie istotnych modyfikacji kształtu i stromizny stoku poprzez rozległe (widoczne w ścianach wykopu 6 na odcinku co najmniej 3 m) obcięcie (119) zakumulowanych wcześniej warstw. Na stoku i dnie tak powstałego przegłębienia, tworząc jego denne wypełnisko, zalegała jasna, bladobrązowa ziemia 105 z licznymi białymi, wapiennymi wtrętami, o miąższości do 0,25 m (prawdopodobnie zsuw naturalny). Nad nią zalegała zapewne podobnego pochodzenia warstwa 103 – szarobrązowa i brązowa ziemia z licznymi białymi wtrętami (także prawdopodobnie zsuw naturalny) – kolejne wypełnisko wcięcia 119, na E stoku grodziska. Ponad nim leżał kolejny zsuw ze zboczy wcięcia 119 – jasnooliwkowo-brązowa ziemia 115 z licznymi wapiennymi wtrętami. Miała miąższość do około 0,35 m.

W fazie tej w obszarze przykrawędnym w północno-zachodniej części grodziska (wykop 7) wykopano fosę wewnętrzną 57 (analogiczną do fosy 64 z wykopu 5 i fosy 80 z wykopu 9). Obiekt ten miał łagodnie kolebkowaty przekrój z niemal płaskim dnem o szerokości 1,5–2 m, przy całkowitej szerokości sięgającej 5,2 m. Jego głębokość w stosunku do poziomu gruntu z czasu jego wykopania (od strony majdanu grodziska) wynosiła 1,2 m. Wypełniskiem dennym była warstwa (75) jasnej oliwkowo-brązowej ziemi ilasto-gliniastej o różnej miąższości (do 0,2 m w zagłębieniach stoku fosy), tworząca pas o szerokości do 3 m.

W fazie tej w obszarze przykrawędnym w północnej części grodziska (wykop 9) wykopano fosę wewnętrzną 80 (analogiczną do fosy 64 z wykopu 5 i fosy 57 z wykopu 7). Jej istnienie sugerowały wykonane między wykopami 9 i 8 odwierty oraz morfologia terenu w tym obszarze. Fosa ta miała około 4 m szerokości i około 1,3 m głębokości.

Wypełniskami tej fosy były warstwa 79 (szaro-brązowa ziemia z grudkami polepy i drobinami węglanu wapnia oraz nielicznymi drobinami węgla drzewnego) i ewentualnie warstwa 39 (warstwa ciemnożółtawo-brązowej, twardej, ilastej ziemi o miąższości od kilkunastu cm do 0,45 m), która mogła być górnym wypełniskiem lub niwelacją nad wypełniskami omawianej fosy.

Ryc. 18. Łodygowo, st. 2. Prażnica gliniana *in situ* we wschodniej części grodziska (fot. D. Wach)

Faza IIC – faza kolejnych modyfikacji stoku grodziska w jego wschodniej części, aktywności i nawarstwień w obszarze jego wschodniej krawędzi oraz budowy konstrukcji drewnianych oblepianych gliną w północnej części krawędzi grodziska na krawędzi fos wewnętrznych

W fazie tej w dolnej części wschodniego stoku grodziska (wykop 6) wykopano niezbyt głęboką fosę zewnętrzną (od strony płaskiego podejścia do zbocza grodziska) lub dokonano kolejnego ustromienie jego zbocza. Obiekt ten (118) widoczny był na odcinku ostatniego pół metra we wschodnim końcu wykopu 6. Miał stromą ścianę, przechodzącą łagodnie w niemal płaskie dno i głębokość od 0,4 do 0,6 m. Przecinał nawarstwienia starsze (115).

W obszarze wschodniej krawędzi grodziska w zagłębieniu stropu wschodniej części wcześniejszej warstwy 10, usypana została lokalna warstwa 70. Miała ona postać pasa nieregularnie przeplamionej ziemi brązowej, której granice wyznaczały linie leżących wyżej dwóch rzędów kamieni (41 i 69). Na stropie warstwy 70, a bezpośrednio pod zachowaną in situ niemal w całości prażnicą leżało skupisko fragmentów polepy 68, zaś po obu stronach wspomnianej warstwy znajdowały się skupiska kamieni tworzące wyraźne linie; zachodnią (kamienie 40 i 69) oraz wschodnią (kamienie 41). Kamienie te, śred-

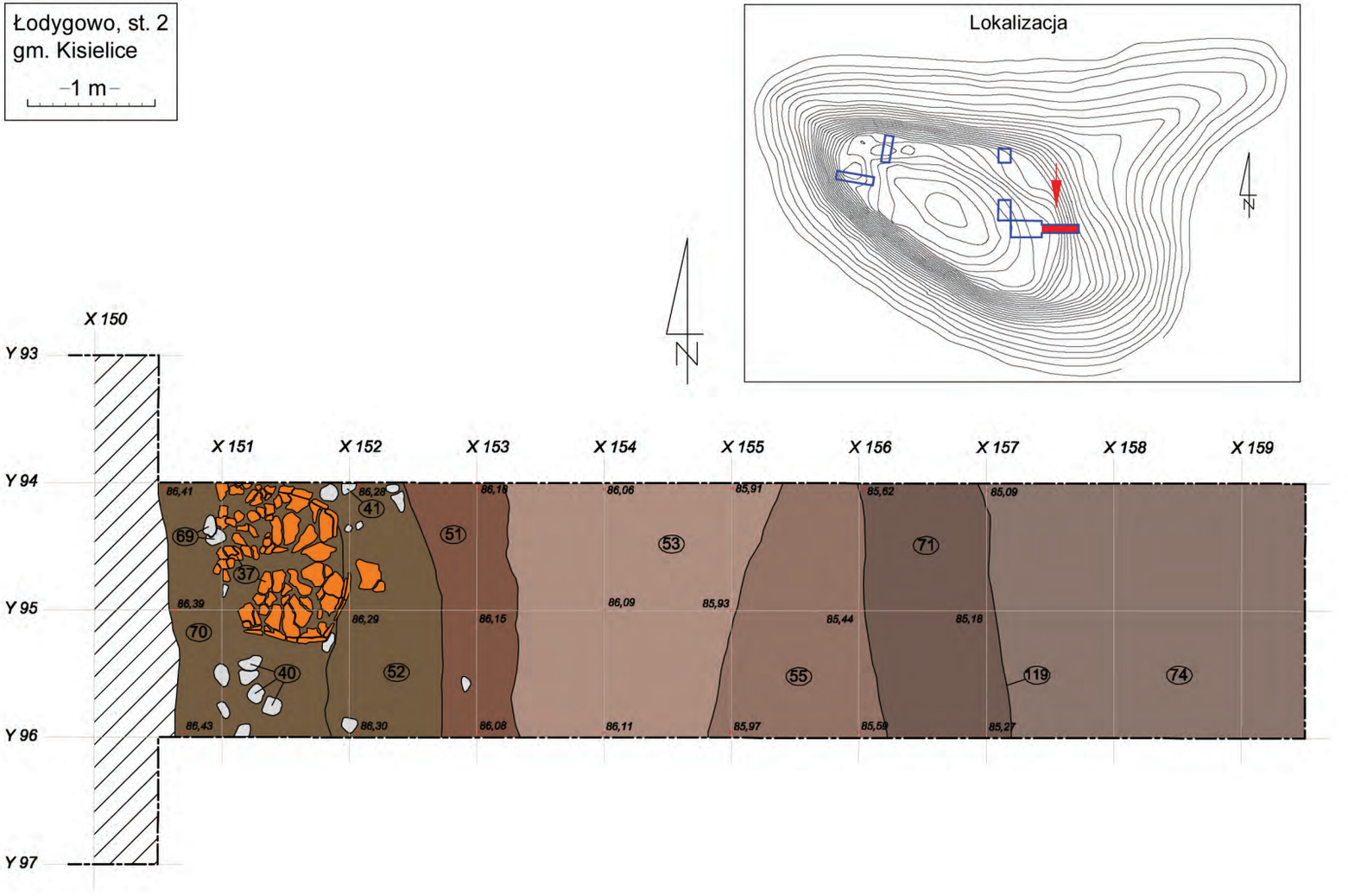

Ryc. 19. Łodygowo, st. 2. Prażnica gliniana *in situ* oraz nawarstwienia wschodniego stoku grodziska (oprac. D. Wach i R. Solecki)

niej wielkości, częściowo przepalone, tworzyły dwa rzędy o orientacji N–S. Leżały pod E i W częściami i w narożnikach prażnicy, stanowiąc jej podstawę dającą prześwit między jej dnem a warstwą 70, na której stały. Prześwit ten niezbędny był do podkładania materiału palnego i utrzymywania ognia pod dnem prażnicy.

Sama prażnica 37 (ryc. 18–19) miała postać popękanej, masywnej, bardzo dużej (o wymiarach boków: 0,77 x 0,9 m i wysokości ścianek bocznych około 0,15 m) glinianej konstrukcji czworokątnej z zaokrąglonymi narożnikami.

W fazie tej w północnej krawędziowej części grodziska (wykop 9), w zewnętrzną krawędź wypełnisk (39) fosy wewnętrznej 80, wkopane zostało (fundamentowe ?) wcięcie 120, o z grubsza płaskim dnie i – miejscowo bardzo czytelnej – niemal pionowej ścianie od strony wnętrza grodziska. Stanowiło podstawę pod konstrukcje drewniane – zapewne ścianę lub płot drewniany oblepiony gliną, których destrukty (warstwa spalenizny 44 i rumosz grud polepowych 29) wyznaczyły horyzont kolejnej fazy (Faza IID) wydarzeń na grodzisku. Wcięcie miało zachowaną szerokość do 2,5 m, głębokość do 0,5 m i ciągnęło się zapewne daleko poza obszar wykopu 9 (jego domniemana długość wynosi do kilkunastu metrów).

Faza IID – faza destrukcji, pożarów i nawarstwień (osuwisk) destrukcyjnych w obszarach konstrukcji krawędzi grodziska i fos wewnętrznych

W fosie wewnętrznej 64 z południowo-zachodniego narożnika grodziska (wykop 5) wskutek pożaru konstrukcji z krawędzi grodziska utworzyły się nawarstwienia pożarowiskowe 77 (głównie popiołowe). Tworzyły one depozyt ziemi z różowo-białymi i czerwono-brązowymi popiołami na wewnętrznym stoku fosy. Miał on miąższość do 0,25 m i widoczny był (w ścianie S) na odcinku 2 m. Na jego wschodni skraj nakładała się – w formie nieregularnego pasa – cienka warstwa przepalonej ziemi i węgli drzewnych 78=99 (pozostałość spalonych elementów drewnianych). Na obu wspomnianych warstwach leżała warstwa niejednolicie szaro-brązowej ziemi piaszczysto-ilastej 72, z dużymi płatami rozłożonej czerwonej polepy oraz szaro-czarnymi przepaleniami i drobinami i płatami jasnoszarego popiołu.

W analogicznej do fosy 64 z wykopu 5 fosie wewnętrznej 57 (wykop 7), na jej dnie, znaleziono ślady pożaru i zniszczenia konstrukcji północnej krawędzi grodziska i fosy. Najniżej leżącym śladem pożaru była pozostałość spalonego słupa 82 (prawdopodobnie stempla) zachowanego w postaci wypełniska bardzo płytkiego, nieregularnie okrągłego zagłębienia w warstwie pożarowej 81 w środkowej partii fosy (ryc. 20). Miało ono postać nieregularnie okrągłej plamy o średnicy do 0,4 m. Plama ta znajdowała się na stropie starszej warstwy 75, na którym to stropie widać było podobne zaciemnienie przy W ścianie wykopu. Być może zatem byłyby to ślady dwóch słupów z dna fosy. Ponad nim leżała warstwa 81, tworząca nieregularny obszar przemieszanej ziemi różnokolorowej, z przepaleniami pożarowymi, miejscami wysyconej drobinami węgli drzewnych oraz drobinami i grudkami żółtawo-czerwonej polepy. Tworzyła ona nieregularny pas o szerokości niemal 2 m i miąższości do kilkunastu cm. Powyżej leżała ziemia ilasto-piaszczysta (67), ciemna, przemieszana z drobinami pomarańczowej polepy i miejscami węglami drzewnymi. Prawdopodobnie stanowiła ona wynik wymieszania warstwy zsuwowej z niższą warstwą pożarowiska 81. Tworzyła ona nieregularny pas o szerokości do 1,7 m i miąższości do 0,2 m. Obszar dna fosy pokrywał pas szaro-brązowej ziemi 66, ilasto-piaszczystej, przemieszanej z drobinami węgli drzewnych i pomarańczowymi drobinami polepy, o szerokości do 2 m i miąższości do kilkunastu cm, na którego stropie znajdowało się skupisko fragmentów ceramiki 59 i kilka dużych kamieni 58. Powyżej tego pasa leżała zbita ziemia (56), piaszczysto-ilasta (zmieszana z pomarańczowymi drobinami polepy i białymi wytrąceniami kredowymi). Tworzyła ona pas o szerokości do 1,8 m i miąższości do 0,2 m. Na jego stropie leżały dwa średniej wielkości kamienie 42. Od strony wnętrza grodziska na krawędzi i częściowo na stoku fosy leżała, stopniowo na tym stoku zanikając, warstwa ciemnoszaro-brązowej, piaszczystej ziemi 28 o miąższości wynoszącej do kilkunastu cm.

W rejonie północnej krawędzi grodziska (wykop 9) w tej fazie nastąpił pożar konstrukcji drewnianych (zapewne ściany lub płotu oblepionego gliną), czego pozostałością są: warstwa spalenizny 44 i rumosz grud polepowych 29 (ryc. 20–21). Na dnie fundamentowego wcięcia 120 leżała warstwa 44 przepalonej na różne kolory ziemi o miąższości do 0,3 m. Zawierała ona jasnoszare popioły, w spągu ciemniała i zawierała więcej drobin węgli drzewnych. Jest to ślad dna spalonych konstrukcji drewnianych. Bezpośrednio na niej leżał masywny pokład polepy 29 – grud, drobin i pyłu. Depozyt ten (o miąższości do 0,4 m) w granicach wykopu stanowił zapewne jedynie mały fragment większego obszaru pokrytego śladami spalonej konstrukcji wylepianej gliną. W grudach polepy zachowały się różnorakie odciski elementów drewnianych. Rozsypisko fragmentów polepy ciągnęło się na krawędzi grodziska oraz na jego stokach i u ich podnóży na odcinku około 15 m, aż do NE narożnika zboczy grodziska.

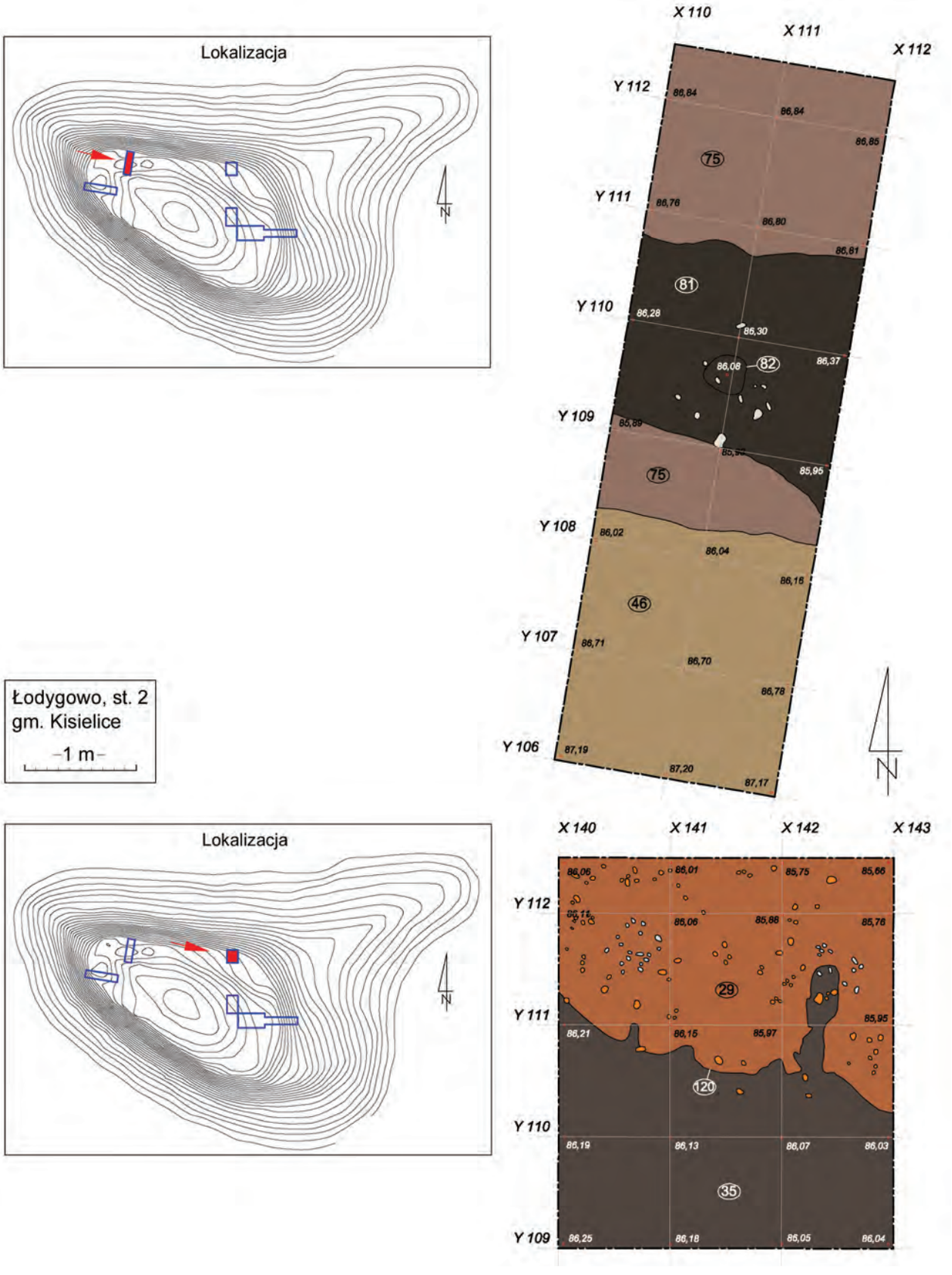

Ryc. 20. Łodygowo, st. 2. Wypełniska fosy 57 z Fazy IID oraz obszar pokryty bryłami polepy w północnej części grodziska (oprac. D. Wach i R. Solecki)

Faza IIE – faza podestrukcyjnych procesów erozyjno-niwelacyjnych w fosach wewnętrznych, fosie zewnętrznej (?) u podnóża wschodniego stoku grodziska oraz zagłębienia na jego wschodniej krawędzi

Na SW stoku fosy wewnętrznej 64 (wykop 5) osunęła się warstwa 73, którą tworzyła przemieszana, bardzo ciemna szara ziemia piaszczysta, z drobinami polep i nielicznych węgielków drzewnych. Ponad nią (od W) leżał zsuw ilasto-gliniastej ziemi ziemi calcowej 62 o miąższości do 0,25 m. Powyżej, na całej niezniszczonej wykopem z 1985 r. powierzchni wykopu 5 leżała warstwa przemieszanej, ilasto-gliniastej ciemnoszaro-brązowej ziemi 49, z nielicznymi drobinami węgli drzewnych i drobinami czerwonej polepy, o miąższości do 0,3 m. Całość zagłębienia nad wcześniejszymi zapełniskami fosy przykrywała gruba (do 0,5 m miąższości), niwelująca niemal to zagłębienie, warstwa (21) bardzo ciemnej szarej ziemi piaszczystej, z nielicznymi drobinkami polepy i popiołowymi wtrętami.

W obszarze krawędzi wschodniej grodziska (wykop 6) ponad zagłębieniem utworzonym wokół wcześniej funkcjonującej prażnicy 37 zakumulował się lub został celowo nasypany (niwelacja?) depozyt ziemi bardzo ciemnej szaro-brązowej 54, leżący w formie nieregularnego pasa o szerokości do 1 m i miąższości około 0,2 m. Ponad nim, wypełniając i niwelując ostatecznie opisywane zagłębienie, zalegała warstwa (13), ciemnej, piaszczystej ziemi z jasnymi drobinami kredowymi. Widoczna była ona na odcinku około 3,5 m i osiągała miąższość do 0,2 m. U podnóża wschodniego stoku grodziska w obrębie ustromienia zbocza (fosie zewnętrznej ?) 118 z Fazy IIC, zakumulowało się wypełnisko w postaci grubej do 0,4 m warstwy ciemnoszaro-brązowej, lekko mazistej ziemi 104 z drobinami polepy i jasnych kredowych wtrętów. Na niej z kolei, nakładając się równocześnie na wschodnią partię starszej warstwy 22, leżała gruba (do 0,5 m miąższości) szaro-brązowa i jasnooliwkowo-brązowa ziemia piaszczysto-ilasta 74, widoczna na ostatnich 3 m dolnej części stoku. Warstwa ta niwelowała i łagodziła przebieg dolnej partii stoku grodziska

W fosie wewnętrznej 57 z NW części grodziska (wykop 7) warstwy niwelujące i podestrukcyjne reprezentowały:

- ciemnoszaro-brązowa, piaszczysto-ilasta ziemia 26 z drobinami polepy, tworząca zasadnicze wypełnisko podestrukcyjne w fosie; warstwa ta wypełniała niemal całą szerokość fosy (na odcinku 4,8 m) i miała miąższość do 0,45 m;
- powyżej, w zagłębieniu jej stropu, leżała kolejna warstwa (32) stropowego wypełniska fosy; tworzyła ją twarda, zbita, ciemnoszara ziemia z małą ilością drobnych węgielków drzewnych i niewielkich grudek polepy; miała miąższość do 0,2 m i występowała w pasie o szerokości około 2 m;
- najwyższym stropowym wypełniskiem zapełniającym zagłębienie dawnej fosy była warstwa czarnej, piaszczystej ziemi 25, tworząca ciemny pas zgodny z linią fosy; miała do 0,2 m miąższości.

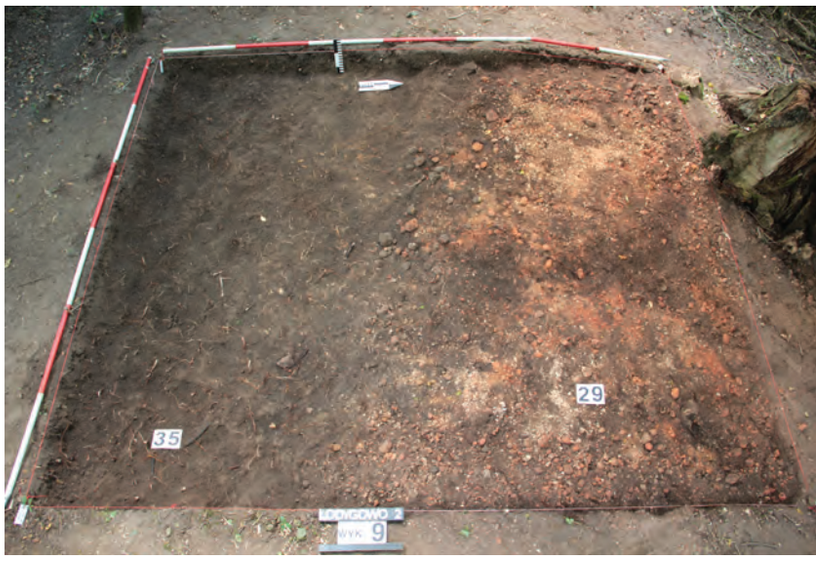

Ryc. 21. Łodygowo, st. 2. Obszar pokryty bryłami polepy w północnej części grodziska (fot. D. Wach)

Faza III – epizodyczna aktywności w okresie późnego średniowiecza

W północnej krawędziowej partii grodziska (wykop 9) ponad wcześniejszymi destruktami spalonych konstrukcji (depozyt grud polepy 29 z Fazy IID), a bezpośrednio pod humusem 1, zalegała dość cienka (grubości do 0,1 m) bardzo ciemna szara, piaszczysta warstwa zbitej, twardej ziemi 35, częściowo zmieszanej ze wspomnianymi wcześniej grudami polepy.

Faza IV – współczesna aktywność ludzka

W północnej części wykopu 5, bezpośrednio pod humusem, wykopany został obiekt 111 – mała jamka (lub dół posłupowy?), prawdopodobnie owalna lub okrągła, o średnicy do 0,7 m i głębokości do 0,35 m, przekroju ze stromymi ścianami bocznymi i nieckowatym dnem; wypełniona była ciemnoszarą, piaszczystą ziemią 110. W zachodniej, przykrawędnej części grodziska został wykonany w 1985 r. wykop archeologiczny (wykop 4), zarejestrowany w czasie badań w roku 2014 jako obiekt 20. Wypełniskami tego obiektu były warstwy zasypu, oznaczone jako warstwy 6, 15, 16, 24 i 48. Zniwelowały one w znacznym stopniu zagłębienie wyznaczające przebieg dawnej fosy oraz zakłóciły klarowność badawczą w początkowym okresie prowadzonych w wykopie

5 prac. Ponad wspomnianymi warstwami zasypu zalegały i częściowo je naruszały ciemne depozyty ziemi piaszczystej, próchniczej tworzące duże owalne plamy na powierzchni wykopu. Oznaczono je numerami 2, 3, 4 i 5, i uznano za ślady po korzeniach drzew lub (co jest mniej prawdopodobne) płytkie wkopy rabunkowe.

ZNALEZISKA

URSZULA KOBYLIŃSKA

Ceramika

Ogólna charakterystyka zbioru

W czasie badań grodziska w Łodygowie, st. 2 w roku 2014 znaleziono 1238 fragmentów ceramiki zabytkowej, w tym 140 fragmentów naczyń z zachowanym wylewem, które pochodzą z co najmniej 126 różnych naczyń i stanowią odpowiednik 741% SEN; 10 ułamków szyjki naczyń; 886 środkowych części naczyń; 152 części przydennych i 40 fragmentów den. Spośród wszystkich znalezionych 886 fragmentów brzuśców zaledwie 6 fragmentów miało powierzchnię wyświeconą, 173 – wygładzoną i aż 369 – pokrytą chropowaceniem. Jedynie w czterech przypadkach krawędzie wylewów były ornamentowane wyraźnymi wgłębieniami, a spośród brzuśców – 175 fragmentów ozdobionych zostało różnymi motywami linii rytych i odciskami.

Jednostki stratygraficzne grodziska zawierały materiały głównie z wczesnej epoki żelaza – 950 fragmentów ceramiki, 214 – z wczesnego średniowiecza, 51 fragmentów późnośredniowiecznych oraz kilka fragmentów z późnej epoki neolitu / wczesnej epoki brązu. Niewielka część materiału ceramicznego ze względu na silne zniszczenie lub przepalenie uniemożliwia klasyfikację i nie została przypisana do żadnego okresu chronologicznego (tab. 2).

Materiał ceramiczny z grodziska w Łodygowie, st. 2 charakteryzuje się silnym rozdrobnieniem. Na 1238 znalezionych fragmentów ceramiki, połowa – bo 637 fragmentów – to niewielkie ułamki o wielkości 3 i 4 cm. Większych fragmentów, o wielkości 5 i 6 cm, jest tylko 390, a fragmentów większych niż 6 cm – 185 fragmentów (tab. 3). Ten stopień fragmentacji zespołu nastręcza trudności w analizie i ocenie typologii występujących form. Wyraźnie obserwowalne jest także zniszczenie i wypłukanie powierzchni ścianek naczyń naczyń, a czasami ich całkowite wykruszenie czy częściowy brak, które utrudnia opis i określenie charakteru naczyń. Nie zniszczonych ułamków – kategorii 0 – jest w tym zespole jedynie 39, a chronologicznie należą one do ceramiki późnośredniowiecznej. Najwięcej znaleziono ceramiki II kategorii erozji, w liczbie 599 sztuk, które charakteryzują się zatartymi krawędziami na skutek procesów podepozycyjnych (tab. 3)[2].

[2] Buko 1990a.

Ceramika z epoki neolitu / brązu

Na złożu wtórnym w warstwie 54 z Fazy IIE grodu znaleziono nieco spłukany jeden fragment szyjki naczynia z ornamentem odcisków sznura (tabl. 9:13). Jest to fragment analogiczny do ceramiki znalezionej w warstwach niwelacyjnych grodziska na wyspie Bukowiec (Wieprz, st. 1)[3]. Podobne fragmenty ceramiki pradziejowej z ornamentem sznurowym pochodzą badań podwodnych prowadzonych w jeziorze Gil Wielki[4], a także z grodziska na sąsiedniej wyspie – Łodygowo, st. 1[5]. Ornament sznurowy, najbardziej charakterystyczny jest dla późnoneolitycznej kultury ceramiki sznurowej. Kultura ta rozwijała się na terenach zajmowanych wcześniej przez kulturę pucharów lejkowatych i kulturę amfor kulistych. Być może z tymi kulturami łączyć należy wystąpienie w materiale zabytkowym z Łodygowa, st. 2 fragmentu (mocno spłukanego), cienkościennego, esowatego naczynia z ornamentem odcinków prostych i zygzakowatych i brzuśca z ornamentem rytych prostych odcinków o powierzchni gładkiej, barwy jasnobrązowo-kremowej (tabl. 1:20; 2:6). Należy jednak zauważyć, że według najnowszych ustaleń badaczy epoki neolitu i brązu w rejonie warmińsko-mazurskim, tego rodzaju ceramika może być też wiązana z tzw. zespołami typu Ząbie–Szestno[6]. Wszystkie stanowiska wiązane z tym fenomenem kulturowym pochodzą z wysp jeziornych, które prawdopodobnie w tym czasie ze względów bezpieczeństwa i atrakcyjnego środowiska zasobnego w łatwo dostępne pożywienie związane ze środowiskiem wodnym stanowiły miejsce zamieszkania atrakcyjniejsze niż sytuowanie obozowisk na stałym lądzie. Tego rodzaju ceramika jest datowana na koniec epoki neolitu i początek epoki brązu.

Ceramika z wczesnej epoki żelaza

Naczynia o powierzchni gładkiej

W materiale zabytkowym z wczesnej epoki żelaza znaleziono fragmentarycznie zachowane części różnych form naczyń, między innymi: cztery fragmenty bliżej nie określonych form naczyń z otworami (tabl. 1:4–5; 2:8; 3:11; 6:5), a także dwa fragmenty płaskich talerzy (tabl. 2:18); oba fragmenty mają płaskie, gładkie powierzchnie z obu stron, dobrze wyrównane, bez wystających ziaren spod pokrywającej powierzchnię warstewki tłustej glinki. Podobnie gładkie i dobrze opracowane są powierzchnie czterech fragmentów uch (tabl. 1:17; 2:14; 11:8–9) oraz ślady po odłamanych

[3] Por. opracowanie wyników badań tego grodziska, w niniejszej publikacji; tam dalsza literatura.

[4] Pydyn 2016: ryc. 15.

[5] Por. opracowanie wyników badań tego grodziska, w niniejszym tomie.

[6] Manasterski 2009; Waluś 2009–2010: ryc. 4:2.

uchach na ściankach różnych form naczyń gładkich i czarnych (tabl. 1:12; 2:9, 15; 5:16; 7:5). Ucha były szerokie na 2–3 cm, z przegłębieniem, a także węższe, grube, małe i okrągłe. Ślady po otworach i resztki czopów wskazują na sposób montowania na czop przynajmniej z jednej strony.

Nieliczne w zespole fragmentów ceramiki z wczesnej epoki żelaza z grodziska w Łodygowie, st. 2 były naczynia o powierzchni z obu stron wyświeconej – czarnej lub brązowej i jasnobeżowej, z których znaleziono fragmenty przeważnie, choć nie zawsze, z zachowanym ornamentem rytych, krótkich odcinków linii, nacięć, wgłębień lub kółeczek (tabl. 1:3, 6, 9, 11; 2:1–2, 6–7, 11–12; 3:19, 22, 25; 6:6–7, 9, 11–12, 19; 7:2; 9:10, 16). Ze względu na cienkościenność i niewielkie rozmiary, jak też stopień uwypuklenia brzuśców, należy wnioskować, że były to naczynia niewielkich rozmiarów: małe dzbanuszki lub czarki, określane w literaturze przedmiotu jako naczynia stołowe.

W zespole ceramicznym z wczesnej epoki żelaza z Łodygowa, st. 2 występują także małe fragmenty o powierzchni barwy kremowej lub brązowej, gładkiej, dobrze wypolerowanej lecz matowej, niekiedy z ornamentem szerokich żłobień i nakłuć, pochodzące z ceramiki „stołowej", być może z form takich, jak np. wazy, misy, dzbany, dzbanuszki, czarki czy miseczki (tabl. 1:1, 5–8, 11–13; 2:3–4, 17, 19, 23; 3:1, 3–4, 6, 8–9; 5:1, 3, 4; 6:1–2; 7:3, 5, 7–9; 9:1, 4, 9).

Naczynia z prostą, długą szyjką, o średnicy wylewu wynoszącej ok. 22–24 cm, z zaokrąglonym wylewem, możemy zaliczyć do typu naczyń wazowatych. Odkryto kilka fragmentów tego rodzaju naczyń. Charakteryzowały się one zawsze polerowanymi jasnokremowymi lub brązowymi ściankami, ze szczególnym uwzględnieniem wylewu i szyjki (tabl. 1:21, 23). Spłukanie lub zdarcie wierzchniej warstwy glinki odkrywa wnętrze kremowej masy ceramicznej, z której wykonano naczynie, z ziarnami domieszki o zróżnicowanej granulacji, włącznie z grubymi ziarnami o średnicy do 0,2–0,3 cm. W zespole ceramicznym z Łodygowa, st. 2 wystąpiły także drobne fragmenty naczyń z prostą, krótką szyjką, pochodzące z niedużych naczyń (tabl. 12:1) o powierzchni gładkiej, wypolerowanej, barwy czarnej. Na granicy załomu brzuśca niektórych naczyń z wczesnej epoki żelaza widoczne są ukośne łezkowate nacięcia (np. tabl. 2:3). Fragmenty te mogą również należeć do tego rodzaju stołowych naczyń wazowatych. Charakteryzują się one wypolerowaną, czarno-brązową powierzchnią z obu stron ścianki.

Naczynie z długą, łukowatą szyjką (tabl. 10:2), o lekko wychylonym, zaokrąglonym brzegu, o średnicy 20 cm, pochodzi z naczynia stołowego o powierzchni czarnej, wypolerowanej z obu stron ścianki. Na krawędzi zachowanej części brzuśca widoczny jest fragment ornamentowania w postaci rytych linii. Ślady działań mających na celu wypolerowanie ścianek można zauważyć od wewnętrznej strony ścianki w postaci poziomych, wąskich pasemek o szerokości 0,3–0,4 cm, delikatnie odciśniętych poprzez naciskanie wąskim narzędziem na mokrą jeszcze glinę.

W materiale z Łodygowa, st. 2 zidentyfikowano także formę małych naczyń cienkościennych z łukowatą szyjką i wychylonym wylewem (tabl. 2:1). Naczynie to charakteryzuje się barwą czarną i gładką powierzchnią z obu stron. Tego rodzaju naczynia o powierzchni gładkiej formowane są z masy ceramicznej z małą ilością drobnej i bardzo drobnej domieszki i odznaczają się zwartym przełamem.

W grupie naczyń o powierzchni gładkiej zidentyfikowano kilka fragmentów o zachylonych, owalnych brzegach, baniastej formie i różnych odcieniach barw – czarnej, brunatnej i brązowej, czy beżowej, z ułamkiem ucha lub uchwytu, od wewnątrz wypolerowane (tabl. 5:16), niekiedy ze śladami płytkich odcisków palcowych (tabl. 1:7). Fragment z wywierconymi otworami pod wylewem (tabl. 1:22) pochodzi z garnka o zachylonym owalnym brzegu, o średnicy wylewu wynoszącej ok. 20 cm, o gładkiej, jasnej, beżowej powierzchni ścianki. Niewielkie otworki, o średnicy 0,3–0,4 cm, były wywiercone w równych odstępach w niewielkiej odległości od krawędzi brzegu.

Wśród form naczyń o powierzchni gładkiej zidentyfikowano także formę garnka z plastycznymi guzkami (tabl. 10:3).

Przykładem dużego naczynia misowatego o powierzchni gładkiej, szczególnie dobrze opracowanej i wypolerowanej od strony wewnętrznej, może być fragment esowatej formy szerokootworowej, barwy brązowo-czarnej (tabl. 3:9). Naczynie to jest masywne, o nieco nierównym, zaokrąglonym wylewie. Masa ceramiczna zawiera drobne ziarna domieszki, mikę, a przełam jest jednobarwny, czarny. Przykładem innej formy mis z wczesnej epoki żelaza jest cienkościenna, duża, lekko rozchylona misa o gładkiej, wypolerowanej powierzchni z obu stron, barwy beżowej (tabl. 5:4).

Najwięcej fragmentów naczyń o powierzchni gładkiej, barwy brązowej lub czarnej, z zachowanym wylewem pochodzi z naczyń o profilu esowatym, z krótszą lub dłuższą wydzielającą się szyjką, łagodnie, łukowato wygiętą. Są to różnej wielkości naczynia, w większości średnich rozmiarów, dość cienkościenne, o grubości ścianek wynoszącej 0,4–0,5 cm. Średnice ich wylewów zawierają się pomiędzy 12 a 18 cm. Rzadziej występują naczynia o średnicy ok. 22–24 cm. Zarówno mniejsze, jak i większe naczynia mają owalne, niekiedy zwężone wylewy (tabl. 1:1, 12, 14; 2:2, 4, 11, 19; 3;3, 8, 11; 5:1, 15; 7:7; 9:16; 12:8). Niewielki fragment naczynia o średnicy wylewu wynoszącej ok. 17 cm, barwy beżowej, charakteryzuje się plastyczną wypustką na wylewie (tabl. 5:3). Jedyny masywny, grubościenny garnek o średnicy wylewu wynoszącej ok. 24 cm, ma czarną nierówną, niezbyt mocno wygładzoną powierzchnię.

Naczynie o powierzchni pierwotnie gładkiej (tabl. 2:16) to forma duża, masywna, z wydzieloną szyjką i ściętym, gładkim brzegiem z wystającą krawędzią,

Tabela 2. Zestawienie ilościowe fragmentów ceramiki z grodziska w Łodygowie, st. 2 (oprac. U. Kobylińska)

Faza	Jednostka stratygraficzna	Liczba fragmentów łącznie	Liczba różnych naczyń	Wylewy			Szyjki	Brzuśce								Ucha	Części przydenne	Dna							Fragmenty przepalone	Fragmenty o wypłukanej powierzchni	Chronologia			
									Rodzaj powierzchni											Rodzaj										
				Liczba fragmentów	SEN (procent obwodu)	Ornamentowane		Liczba fr. ogółem	Chropowacone	Gładkie	Wyświecane	Szorstkie	Nieokreślone	Przepalone	Ornamentowane			Liczba fragmentów	SEN (procent obwodu)	Wklęsłe	Lekko wklęsłe	Płaskie	Wałek dookolny	Podsypka			Neolit / epoka brązu	Wczesna epoka żelaza	Wczesne średniowiecze	Późne średniowiecze i nowożytność
IA	7	5						3	2				1				2										5		
IA	14	2						2	1				1												1		2		
IA	23	39						13	13								22	4	80		1						39		
IA	43=50	104	9	12	48		3	80	41	20	1	14	4		16	1	7	1	1			1		1	1	4	1	103		
IA	45	5						4	4									1	5	1				1			5		
IA	47	9						9	4	4			1		2											1	9		
IA	65	14	2	3	11			11	8	3					1											2	12		
IA	76	19						16	3	2			11				2	1	12		1					14	19		
IA	83	9						9	3	6																6	9		
IA	90	1	1	1	7																						1		
IA	92	6	1	1	2			5	3	1		1															6		
IA	109	1						1		1																	1		
IB	8	6						6	6																		6		
IB	9	22	2	2	11			17	6	6	1	1	3				3										22		
IB	12	40	4	8	46			22	10	6		3	3		1	1	9	1	6		1			1		3	40		
IB	19	10	1	1	3			7	5	2							2									2	10		
IB	52	52	8	8	27	1		36	20	12			5		4	2	4	2	26	1	1					11	51		
IB	88	3						2	2									1	12		1						3		
IB	101	25	1	1	6			21	10	1	1		9				2	1	20	1						10	25		
IB	9	5						4	4								1										5		
IC	93	7	1	1	7			6	5	1																6	7		
ID	55	1						1		1																1	1		
IE	51	1						1	1						1												1		
IE	53	11	3	3	10			8	5	1			1		2											2	11		
IE	71	1						1	1																		1		
IIA	11	204	15	17	117			142	65	18		44	13	1	40		34	12	136	7	2	1	6	7	4	16	124	80	
IIA	22	63	12	12	57	1	2	43	14	9		8	12		6		5	1			1					7	56	7	
IIA	30	13	4	4	24			3	1			1	1		2		6								1		7	6	
IIB	10	99	12	12	68	1	4	67	21	13	1	16	15	1	8		11	4	111	1	3		2	2	1	6	82	17	
IIB	39	10						10	3	5			2		2											2	10		
IIB	103	1	1	1	8																							1	
IIC	37	1															1											1	
IIC	41	9						8	4	1	1	2			1			1	38	1			1				8	1	
IIC	70	3	1	1	3		1										1										3		
IID	28	3	2	3	16	1																					3		
IID	29	14	3	3	11			11	4	6				1	1												11		2
IID	44	21	2	2	7			19	6	6		2	4		2										1	3	21		
IID	56	25	2	3	38			22				22			18													25	
IID	59	22						20				20			20		2											22	
IID	66	7	1	1	7			6				6			4													7	
IID	67	8	1	2	10			5				5			4		1											8	
IID	77	2	1	1	20													1	20	1			1	1				2	
IIE	13	53	5	5	16			41	11	7	1	4	18		2		4	2	32	1	1			1		16	46	7	
IIE	21	2	1	1	5			1	1																	1	1		1
IIE	26	4	1	1	16			3		3					2												1	1	2
IIE	32	2						2		1		1			1													1	1
IIE	54	69	7	8	45			54	24	14		4	12		9		5	2	37		2					13	64	4	
IIE	73	1	1	1	3																						1		

Tabela 2. Ciąg dalszy

Faza	Jednostka stratygraficzna	Liczba fragmentów łącznie	Liczba różnych naczyń	Wylewy			Szyjki	Brzuśce								Ucha	Części przydenne	Dna							Fragmenty przepalone	Fragmenty o wypłukanej powierzchni	Chronologia			
									Rodzaj powierzchni											Rodzaj										
				Liczba fragmentów	SEN (procent obwodu)	Ornamentowane		Liczba fr. ogółem	Chropowacone	Gładkie	Wyświecane	Szorstkie	Nieokreślone	Przepalone	Ornamentowane			Liczba fragmentów	SEN (procent obwodu)	Wklęsłe	Lekko wklęsłe	Płaskie	Wałek dookolny	Podsypka			Neolit / epoka brązu	Wczesna epoka żelaza	Wczese średniowiecze	Późne średniowiecze i nowożytność
IIE	104	3	1	1	3			2	1			1																1	2	
III	35	25	3	3	15			15	2	4		7	2		3		5	2	40		1							4	3	18
IV	1	161	18	20	88	1		121	53	19		23	21	5	24	2	11	3	5	1	1		1		4	13		98	18	27
IV	15	4						2	2								2										4		
IV	24	11															11										11		
Suma		**1238**	**127**	**143**	**755**	**5**	**10**	**882**	**369**	**173**	**6**	**185**	**139**	**8**	**176**	**6**	**153**	**40**	**581**	**15**	**16**	**2**	**11**	**14**	**12**	**140**	**3**	**950**	**213**	**51**

Tabela 3. Fragmentacja i erozja fragmentów ceramiki z grodziska w Łodygowie, st. 2 (oprac. U. Kobylińska)

FAZA	Jedn. strat.	Kategorie wielkościowe [cm]															Stopień erozji				Suma
		1	2	3	4	5	6	7	8	9	10	11	12	13	14	15	0	I	II	III	
IA	7			1	2	1			1										2	3	**5**
IA	14				1					1								1		1	**2**
IA	23			9	2	8	2	6	3	2	3		1	1	1	1		39			**39**
IA	43=50	1	2	19	29	24	10	11	5	3		1						35	55	15	**104**
IA	45			2	2	1														5	**5**
IA	47			3	4	1	1											1	2	6	**9**
IA	65			4	3	4	2			1									10	4	**14**
IA	76		1	7	9	1	1												7	12	**19**
IA	83			3		1	3	2										3	3	3	**9**
IA	90							1										1			**1**
IA	92				1	3	1		1										6		**6**
IA	109				1															1	**1**
IB	8			4		2													6		**6**
IB	9		2	6	10	3	3	1	1		1							3	21	3	**27**
IB	12		1	10	6	4	9	3	3	3	1							6	30	4	**40**
IB	19			5	2		2	1										1	9		**10**
IB	52		1	12	18	10	7	3	1									16	29	7	**52**
IB	88			1			2										1		2		**3**
IB	101		1	6	8	3	6	1										3	11	11	**25**
IC	93			1	3	1	1	1											6	1	**7**
ID	55				1														1		**1**
IE	51					1													1		**1**
IE	53			3	4	3				1								5	3	3	**11**
IE	71				1													1			**1**
IIA	11		8	48	37	40	34	16	13	4	2	1						63	117	23	**204**
IIA	22		1	16	18	13	5	3	4	1	1		1				5	20	23	15	**63**
IIA	30			3		1	2	3	2	2								8	4	1	**13**
IIB	10			20	27	20	13	8	6	4	1							17	63	19	**99**
IIB	39			4	2	2	2											1	6	3	**10**
IIB	103						1											1			**1**
IIC	37							1										1			**1**
IIC	41			1	4		1	2			1							2	7		**9**
IIC	70				1			2										1	1	1	**3**
IID	28			1		1		1										2		1	**3**
IID	29			4	5	5											1	2	8	3	**14**
IID	44		1	8	3	5	3		1									3	13	5	**21**
IID	56			6	5	5	3	3		2		1						25			**25**
IID	59			1	5	2	7	3	1		1		1	1				22			**22**

Tabela 3. Ciąg dalszy

FAZA	Jedn. strat.	Kategorie wielkościowe [cm]															Stopień erozji				Suma
		1	2	3	4	5	6	7	8	9	10	11	12	13	14	15	0	I	II	III	
IID	66		1		2		3		1									7			**7**
IID	67				4	2	1	1										8			**8**
IID	77							1	1								2				**2**
IIE	13		3	18	16	10	5		1									11	30	12	**53**
IIE	21				2												1			1	**2**
IIE	26			1	1	1		1									3	1			**4**
IIE	32			2													1	1			**2**
IIE	54			15	24	12	10	3	2	2	1							11	41	17	**69**
IIE	73							1										1			**1**
IIE	104				1	2												2	1		**3**
III	35			8	5	6	3	3									16	4	1	4	**25**
IV	1		4	50	55	33	12	3			2		1	1			9	35	70	47	**161**
IV	15			2		1		1											3	1	**4**
IV	24		1	5	4	1														11	**11**
Suma		**1**	**27**	**309**	**328**	**233**	**155**	**86**	**47**	**26**	**14**	**3**	**4**	**3**	**1**	**1**	**39**	**364**	**592**	**243**	**1238**

o średnicy wylewu wynoszącej ok. 28–30 cm, lekko baniasta o powierzchni barwy szarobrązowej (10R 5/1). Wnętrze naczynia ma czarną powierzchnię. Znaleziono także podobną formę ze ściętym brzegiem z okapem o mniejszej średnicy wylewu (ok. 20 cm) (tabl. 1:18; 2:4). Powierzchnie ścianek tych naczyń są barwy jasnobrązowej i mają plamy okopcenia. Masa ceramiczna tych naczyń zawiera liczne ziarna domieszki różnej granulacji, także kanciaste i grube do 0,3 cm wielkości. Podobną w kształcie formę naczynia gładkiego znaleziono w osadzie w Orenicach, gm. Piątek, pow. łęczycki[7] wraz z polerowaną, esowatą, głęboką misą. Misy tego rodzaju znajdywano w inwentarzach kultury łużyckiej i są wiązane w grupie środkowopolskiej z okresem halsztackim D[8]. W Orenicach znaleziono również typową wypolerowaną, czarną miseczkę z omfalosem, charakterystyczną głównie dla cmentarzysk osadnictwa kultury łużyckiej[9]. Formy takie występują od V okresu brązu po schyłek okresu halsztackiego. Znalezienie na tym stanowisku także jajowatego garnka o karbowanej krawędzi świadczy o przynależności materiału zabytkowego zarówno do kultury łużyckiej z jej schyłkowej fazy, jak i wczesnych faz kultury grobów kloszowych lub pomorskiej. Analiza całego zestawu ceramiki odkrytej na tej osadzie skłoniła jej autorów do określenia chronologii na przełom okresu halsztackiego i lateńskiego. Podobny charakter zestawu ceramicznego (występowanie naczyń chropowaconych z pogrubionym, ozdobnym brzegiem oraz naczyń z otworkami przy krawędzi, den naczyń chropowaconych z wydzieloną stopką) w Łodygowie, st. 2, skłania też do podobnego datowania naczynia z wyodrębnioną szyjką i wychyloną krawędzią, jak na stanowisku w Orenicach, gm. Piątek, pow. łęczycki.

Małe ułamki mocno uwypuklonych brzuśców oraz części przydenne o powierzchni wewnętrznej wygładzonej, najczęściej barwy czarnej, formowane ręcznie, pochodzą z naczyń miniaturowych (tabl. 6:7, 24; 7:3).

Fragmenty naczyń z wywierconymi otworkami (tabl. 1:4–5, 11; 2:8; 3:11; 6:5) to ułamki pochodzące z form niedużych rozmiarów, o powierzchni gładkiej, wyrównywanej, choć nie zawsze równej i starannie wykonanej. Otwory o średnicy ok. 0,5–0,8 cm wywiercane były z zewnątrz, o równych brzegach, czasem z odstającą krawędzią dookolną. Naczynia te są cienkościenne, o grubości ścianek wynoszącej od 0,5–0,6 cm. Wnętrza tych naczyń były równe i gładkie lub nawet bardzo dobrze wygładzone. Grupa ta obejmuje różne formy naczyń, których wspólną cechą są przewiercone otworki, najczęściej gęsto i równomiernie umieszczone na zagładzanych ściankach. Są one rozpowszechnione na dużych obszarach objętych głównie zasięgiem kultury łużyckiej, ale znane są też ze stanowisk kultur z młodszych okresów chronologicznych. Naczynia sitowate z terenów najbliższych grodzisku w Łodygowie, st. 2 znaleziono między innymi w Łosinie, st. 15, gm. Kobylnica, pow. słupski na Pomorzu Środkowym wśród materiału zabytkowego kultury pomorskiej[10], a także na Pojezierzu Olsztyńskim i Iławskim, np. w Worytach, gm. Gietrzwałd, pow. olsztyński, czy Gościszewie, st. 4, gm. Sztum, pow. sztumski[11]. Naczynia sitowate znaleziono w czasie realizacji projektu *Katalog grodzisk Warmii i Mazur* m.in. na terenie grodzisk w Tątławkach, st. 2 i Podągach, st. 2[12].

[7] Dudak i Owczarek 2014: 26–27, ryc. 24:3.

[8] Dudak i Owczarek 2014: ryc. 24:2.

[9] Dudak i Owczarek 2014: ryc. 25:8.

[10] Piotrowska 2013: tabl. 68:1–4.

[11] Hoffmann 1999a: tabl. 101:8, 11, 15; 144:5; 146:14–16.

[12] Por. opracowanie wyników badań tych grodzisk, w niniejszej publikacji.

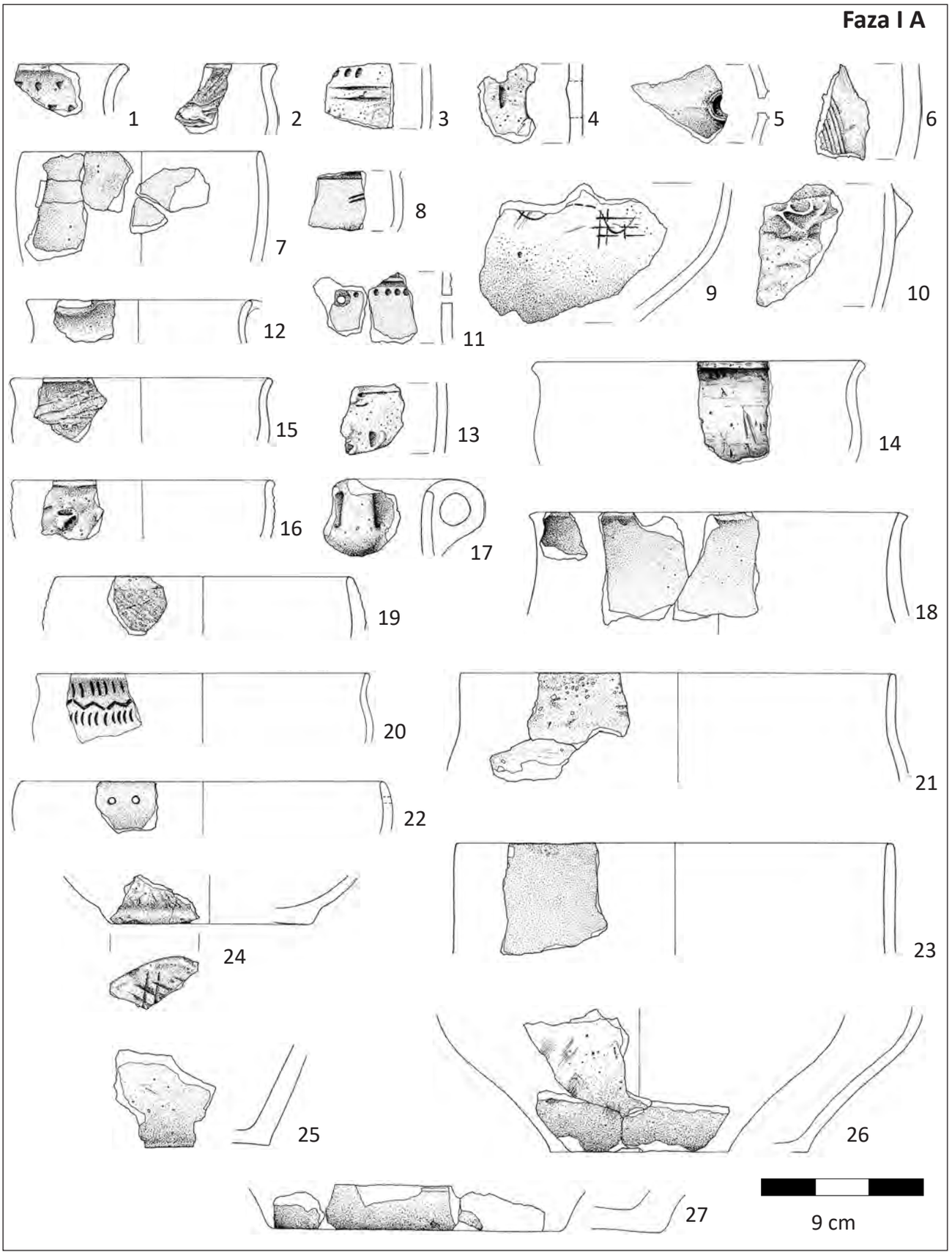

Tablica 1. Łodygowo, st. 2. Ceramika z nawarstwień Fazy IA (rys. A. Kucharska-Wach)

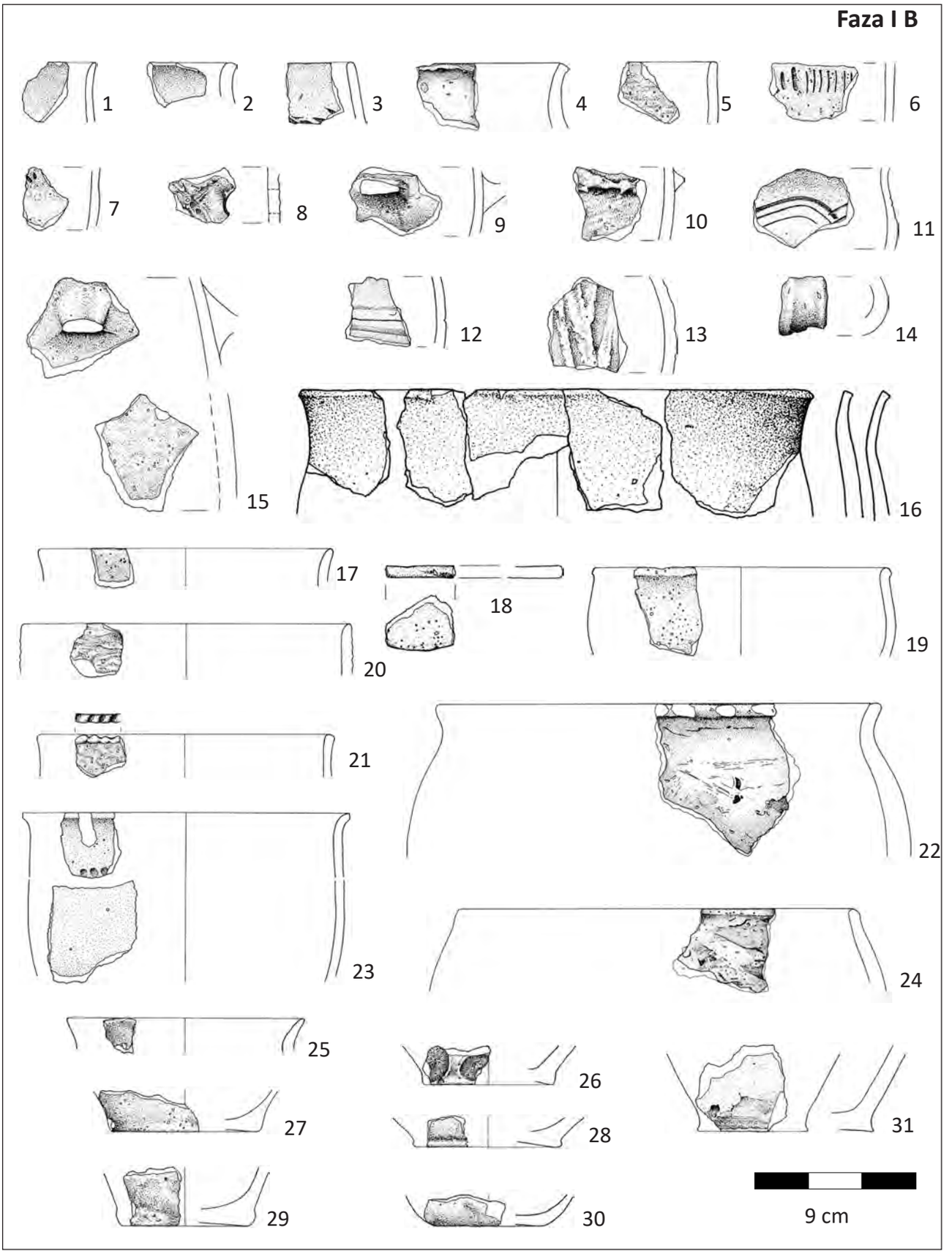

Tablica 2. Łodygowo, st. 2. Ceramika z nawarstwień Fazy IB (rys. A. Chojnacka-Banaszkiewicz i A. Kucharska-Wach)

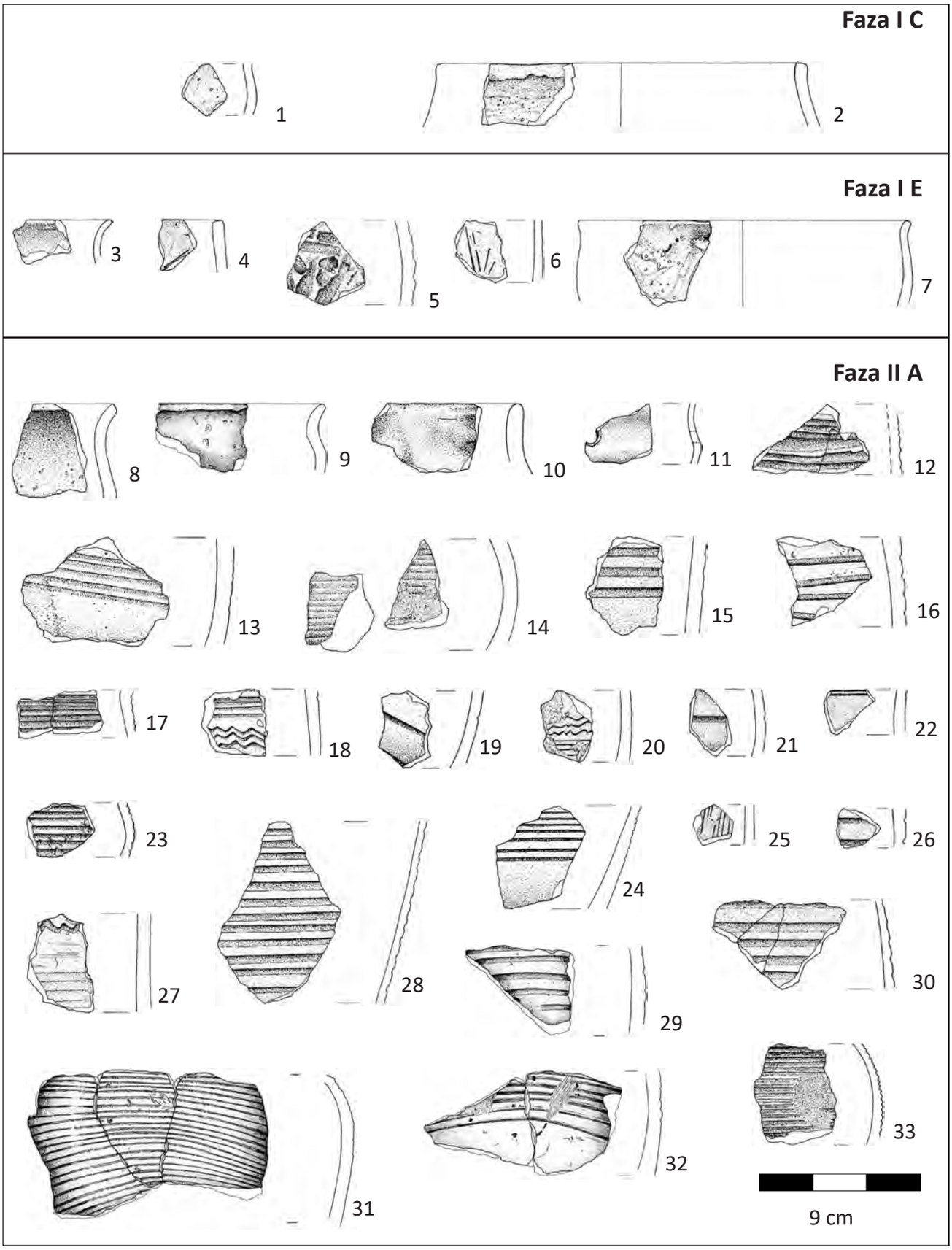

Tablica 3. Łodygowo, st. 2. Ceramika z nawarstwień Fazy IC, IE i IIA (rys. A. Chojnacka-Banaszkiewicz i A. Kucharska-Wach)

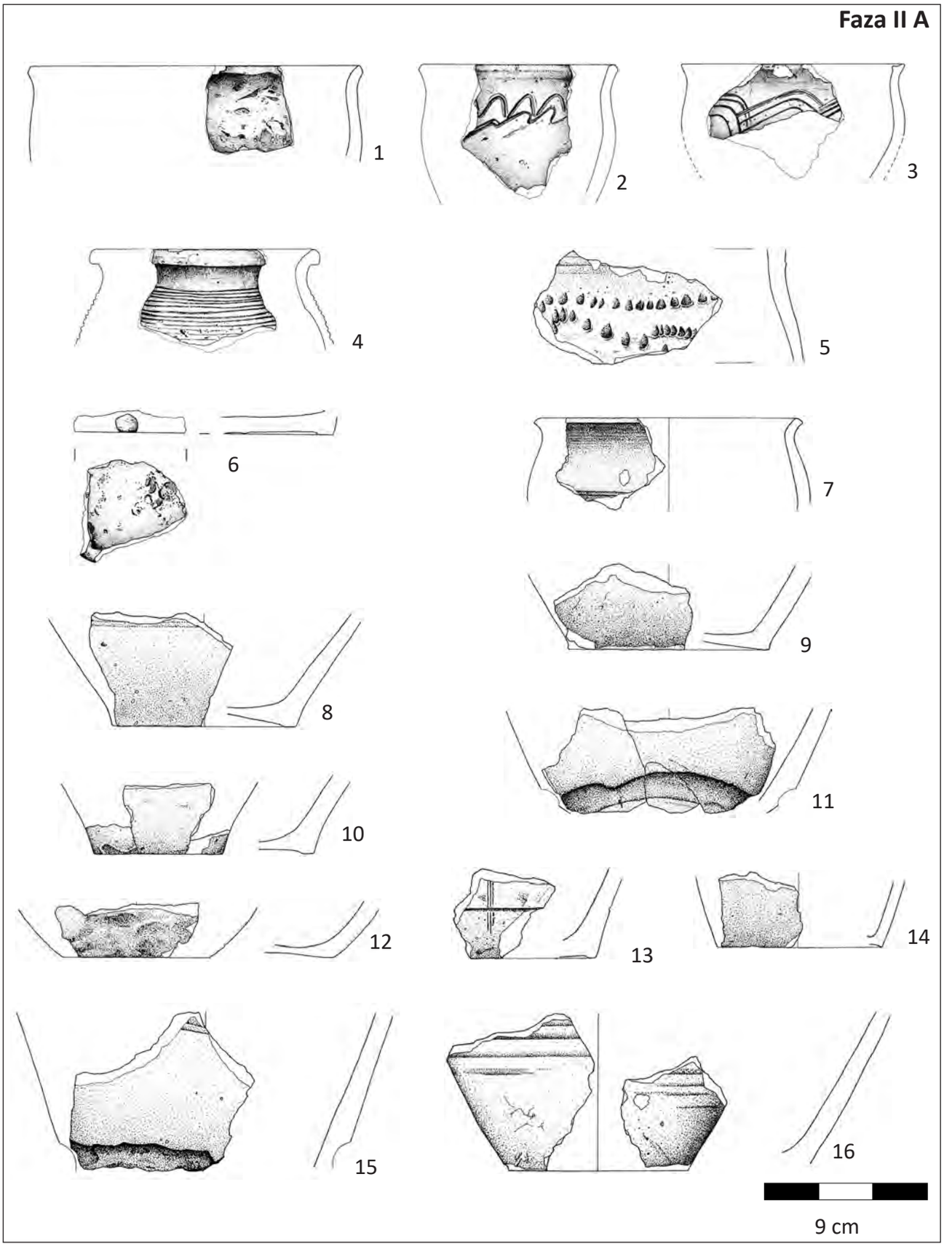

Tablica 4. Łodygowo, st. 2. Ceramika z nawarstwień Fazy IIA (rys. A. Chojnacka-Banaszkiewicz i A. Kucharska-Wach)

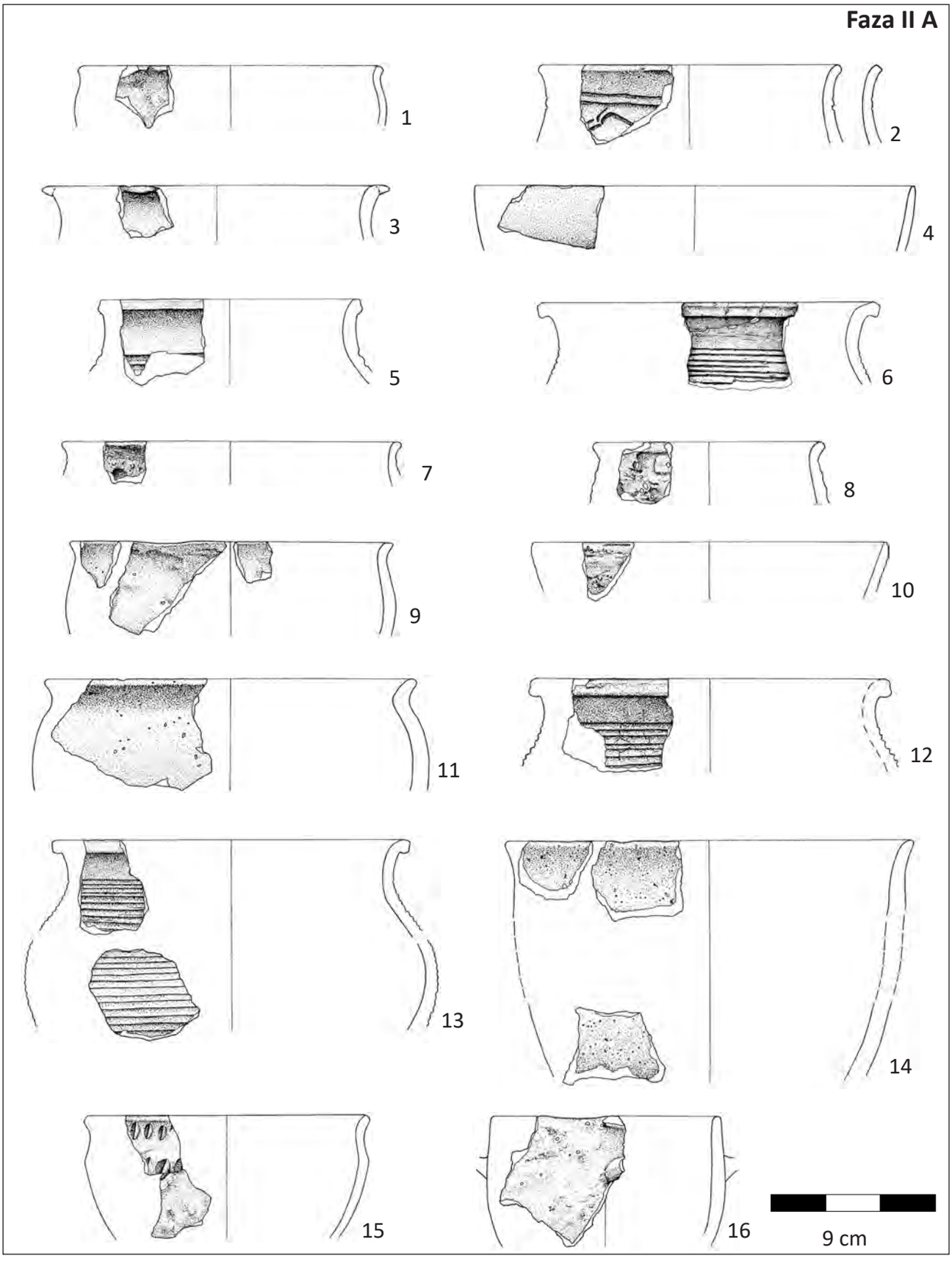

Tablica 5. Łodygowo, st. 2. Ceramika z nawarstwień Fazy IIA (rys. A. Kucharska-Wach)

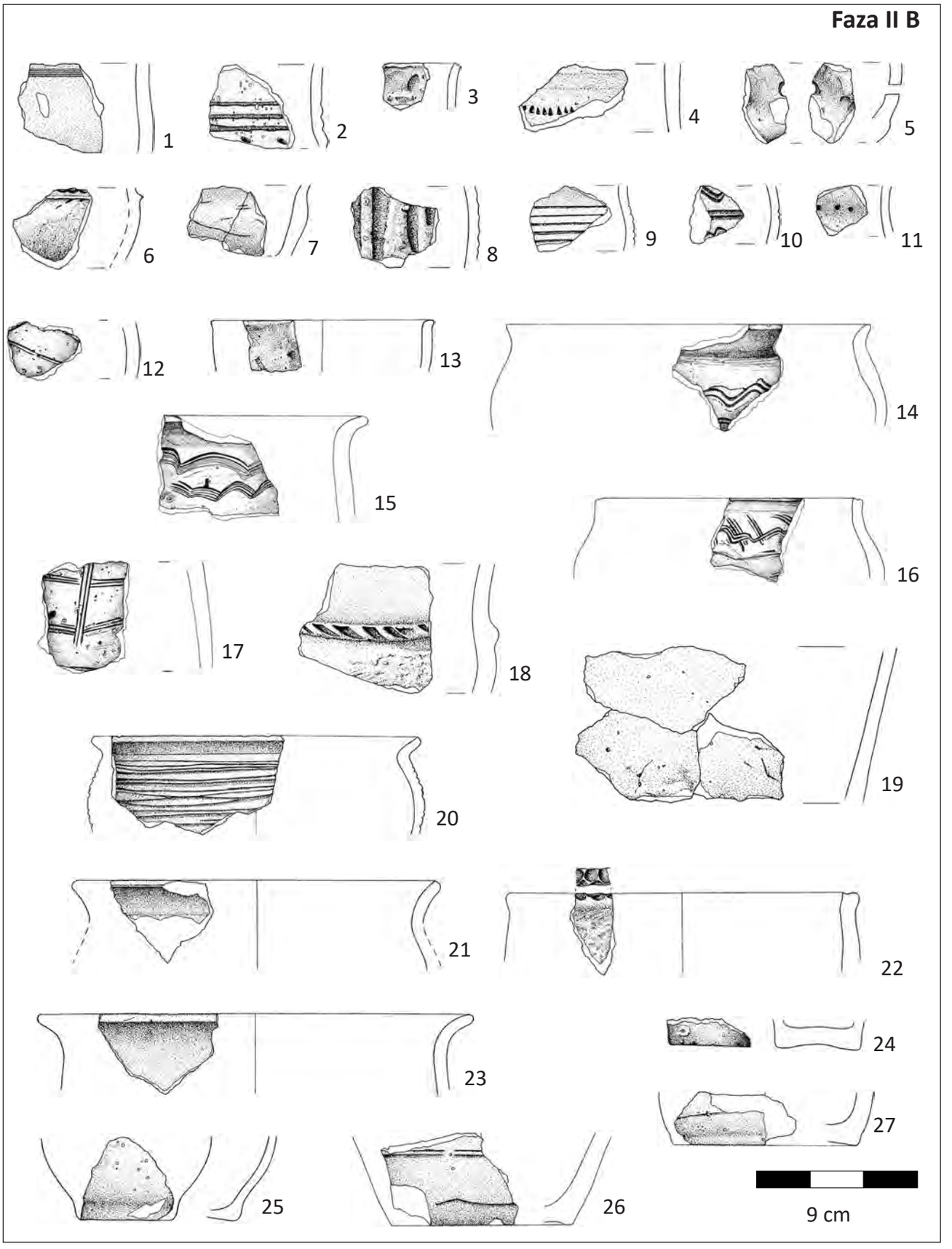

Tablica 6. Łodygowo, st. 2. Ceramika z nawarstwień Fazy IIB (rys. A. Kucharska-Wach)

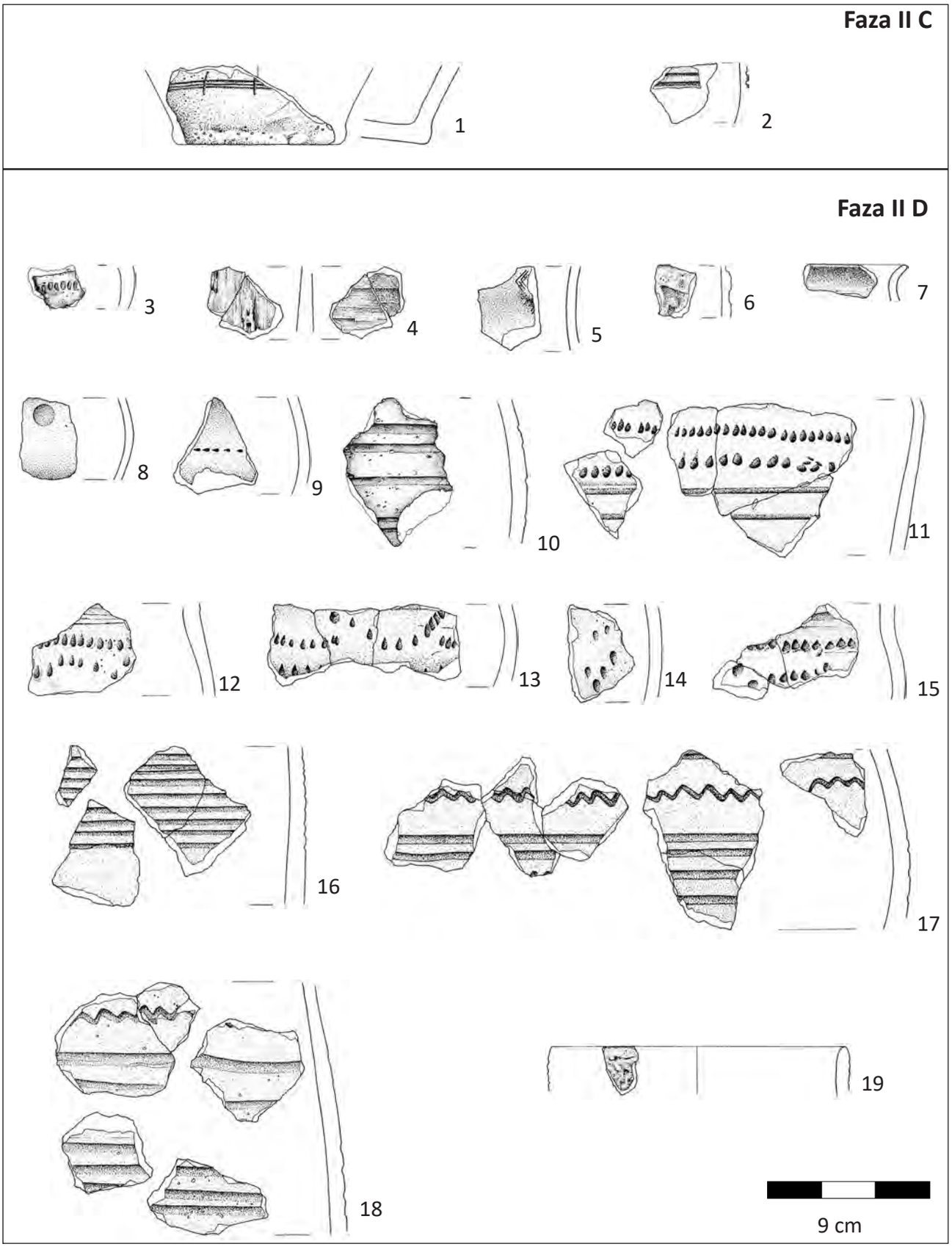

Tablica 7. Łodygowo, st. 2. Ceramika z nawarstwień Fazy IIC i IID (rys. A. Kucharska-Wach)

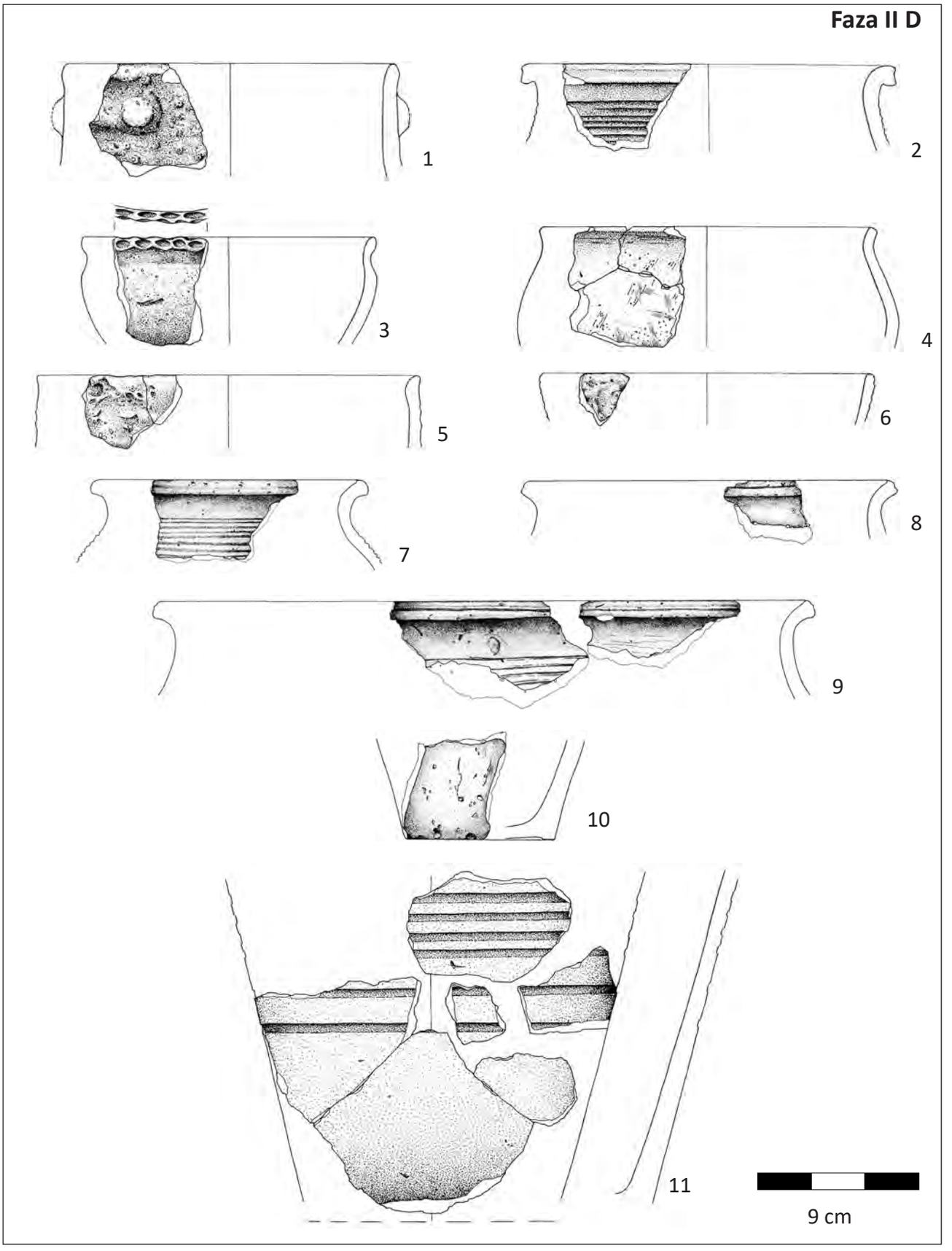

Tablica 8. Łodygowo, st. 2. Ceramika z nawarstwień Fazy IID (rys. A. Chojnacka-Banaszkiewicz i A. Kucharska-Wach)

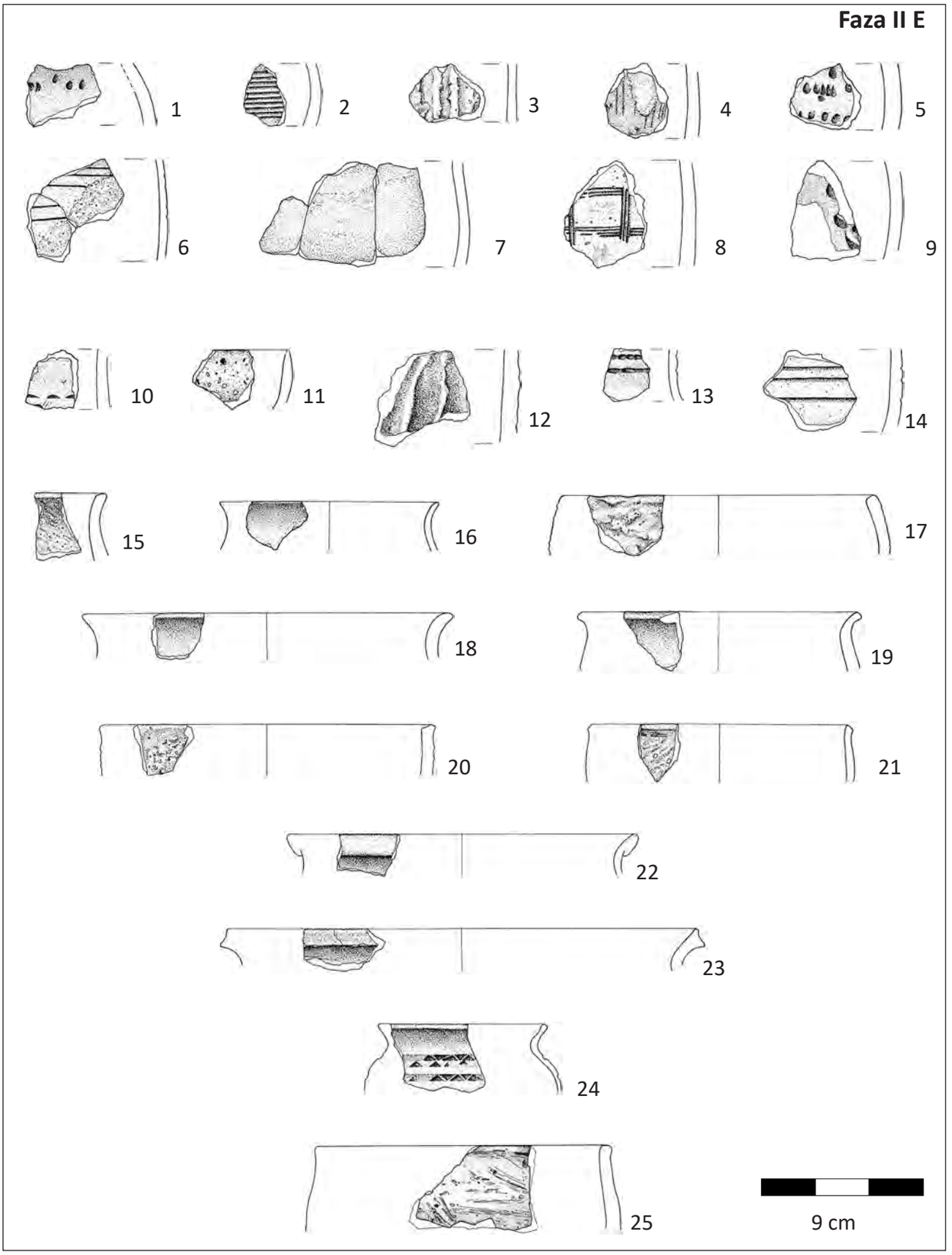

Tablica 9. Łodygowo, st. 2. Ceramika z nawarstwień Fazy IIE (rys. A. Chojnacka-Banaszkiewicz i A. Kucharska-Wach)

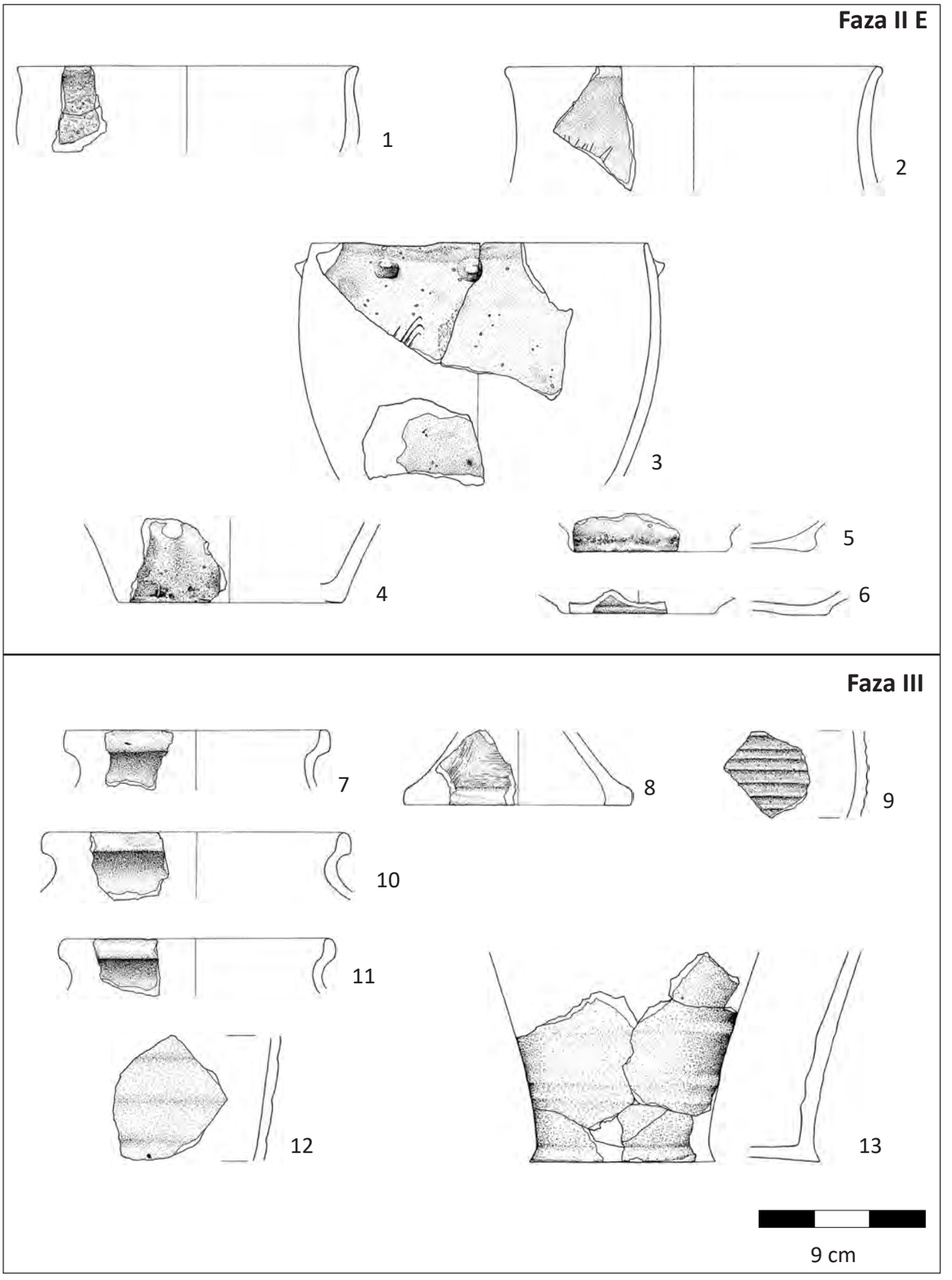

Tablica 10. Łodygowo, st. 2. Ceramika z nawarstwień Fazy IIE i III (rys. A. Kucharska-Wach)

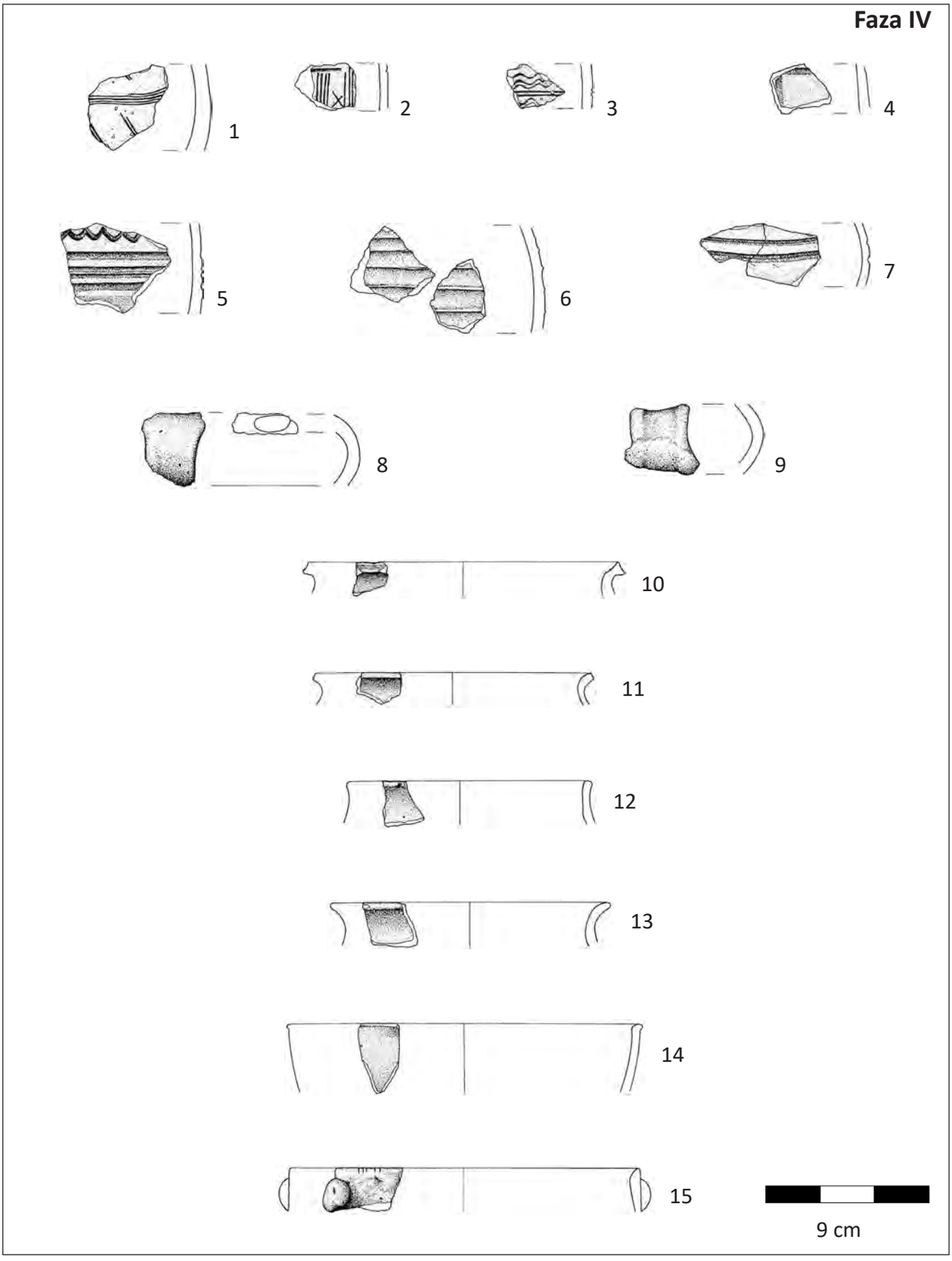

Tablica 11. Łodygowo, st. 2. Ceramika z nawarstwień Fazy IV (rys. A. Kucharska-Wach)

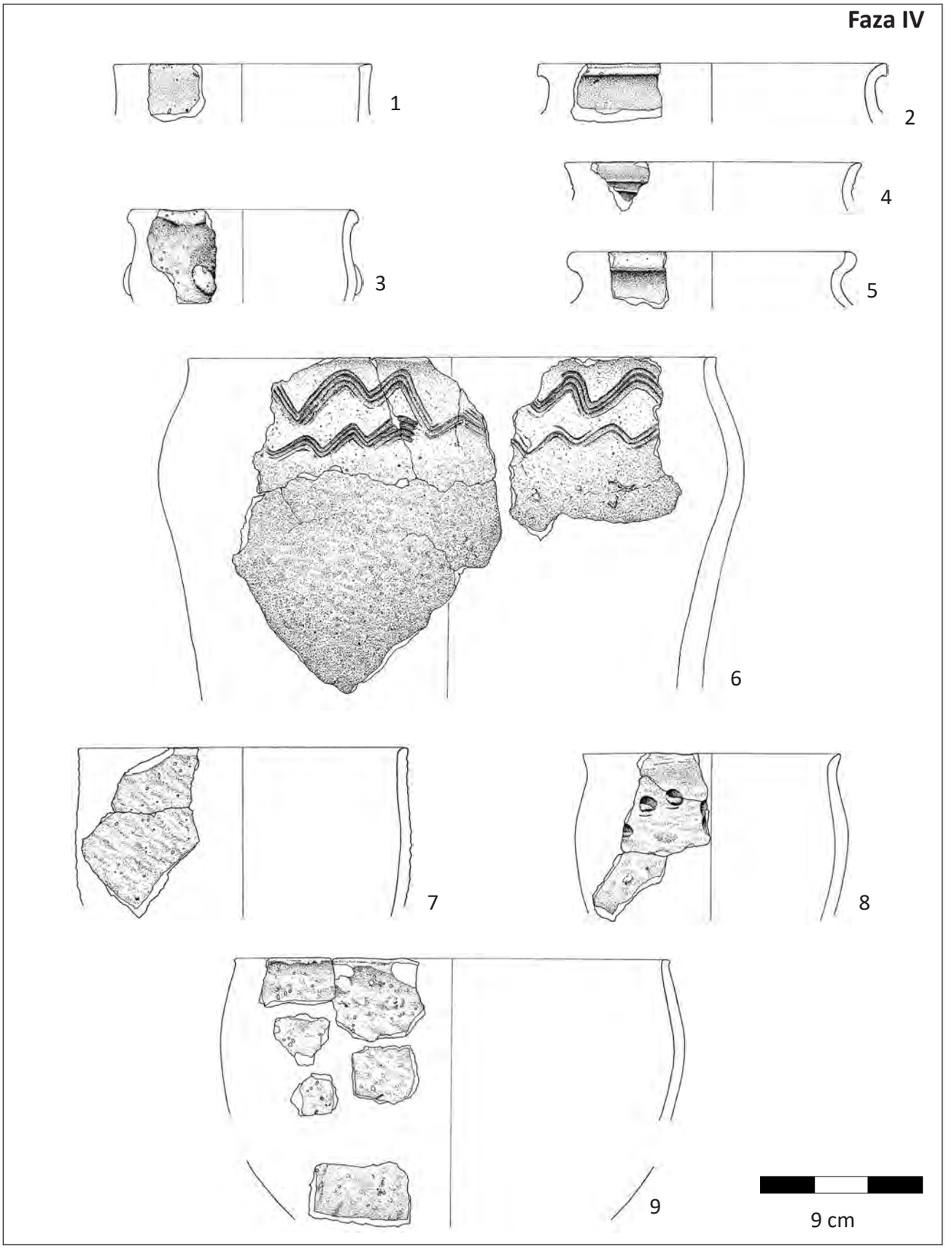

Tablica 12. Łodygowo, st. 2. Ceramika z nawarstwień Fazy IV (rys. A. Kucharska-Wach)

Naczynia o powierzchni chropowaconej

W materiale ceramicznym z wczesnej epoki żelaza z grodziska w Łodygowie, st. 2 istotną część zajmują fragmenty naczyń o powierzchni chropowaconej. Znaleziono 369 fragmentów brzuśców o różnym stopniu schropowacenia powierzchni, niekiedy z dużymi ziarnami i zgrubieniami gliny w postaci pionowych bruzd (tabl. 2:13; 3:5; 6:8; 7:6; 9:12). Wnętrza tych naczyń są mocno wygładzone i wyświecone. Zidentyfikowano 32 części górne z zachowanym brzegiem, w przeważającej większości pokryte cienką warstwą glinki chropowacącej z drobnymi ziarnami tworzącymi niewielkie zgrubienia i zmarszczenia gliny na powierzchni. Drobne chropowacenie pokrywało niemal całe naczynie od partii przydennych aż po szyjkę naczynia. Brzeg naczynia, przeważnie zaokrąglony, jest starannie gładzony wraz z całą powierzchnią wewnętrzną. Były to formy o zróżnicowanej wielkości. Średnice ich wylewów wynosiły od 12 do 22 cm, a grubości ścianek od 0,5 do 1 cm. Zachowane części naczyń z wylewem są silnie rozdrobnione i stanowią łącznie odpowiednik jedynie 146% SEN. Były to naczynia zarówno esowate w kształcie (tabl. 1:2, 15; 3:7; 5:7–9; 6:3; 10:1), jak i o prostej lub zachylonej części górnej, jajowate, czy mocno baniaste (tabl. 1:16, 19; 2:5, 20, 24; 3:2; 6:22; 7:19; 8:1, 5; 9:17, 20–21; 12:7), a w kilku przypadkach lekko rozchylone, formy misowate, o średnicy wylewu wynoszącej 18–19 cm (tabl. 5:10; 8:6). Ścianki miały jasną barwę ceglastą, kremową lub jasnożółtą (10Y 7/6, 10Y 7/8) i rzadko pokryte były szarymi plamami okopcenia. W trzech przypadkach naczynia o stosunkowo niedużej średnicy wylewu (16–19 cm) miały ozdobny, zaplatany brzeg (tabl. 2:21; 6:22). Najwięcej w tym zespole ceramiki wystąpiło naczyń esowatych o powierzchni z drobnym, rzadziej mocniejszym, chropowaceniem. Średnice wylewów tych naczyń zawierają się między 14 a 18 cm. Naczynia chropowacone z zachylonym brzegiem lub z krótką szyjką mają swe analogie w zestawie naczyń z grodziska w Starym Dzierzgoniu, st. 1, pow. sztumski[13].

Ornamentowanie powierzchni

Wzory motywów ornamentacyjnych rytych i nakłuwanych wykonywano na wygładzonych i wypolerowanych powierzchniach naczyń barwy brązowej lub czarnej. Powierzchnie brzuśców ornamentowane były techniką rytych żłobków poziomych, ukośnych i półokrągłych lub zygzakowatych (tabl. 1:3, 6, 8–9, 11; 2:11–12; 3:12, 19, 22, 25; 6:1, 9, 12; 7:5; 10:2–3), głębokimi odciskami paznokciowymi poziomymi i pionowymi (tabl. 1:7, 13; 5:15; 9:9–10; 12:8), głębokimi odciskami trójkątnymi, ukośnymi łezkowatymi, okrągłymi lub kwadratowymi (tabl. 1:1, 3, 11; 2:3, 7; 6:2, 6, 11; 7:3, 9), a także dużymi, płytkimi, owalnymi odciskami palcowymi (tabl. 1:7; 2:23; 7:8). Najczęściej wystąpił ornament głębokich, dużych i małych odcisków i nacięć w górnej części brzuśca naczynia. Ornament nakłuć był łączony z liniami rytymi, które podkreślały bądź ograniczały pole ornamentowane. Plastyczne listwy na garnkach występują rzadko, jako mocno wystające owalne, gładkie lub ozdobione nacięciami (tabl. 1:10; 2:10; 6:18). Plastyczne listwy rozdzielały przestrzeń powierzchni gładkiej od chropowaconej na dużych naczyniach garnkowatych. Tego rodzaju naczynia chropowacone, zarówno małe, jak i duże, zaopatrzone były, choć sporadycznie, w brzegi zdobione wyraźnymi wgłębieniami palcowymi (tabl. 2:21; 6:22; 8:3). Na kilku garnkach widoczne są plastyczne, wypukłe guzy usytuowane pod wylewem na części gładkiej (tabl. 10:3) lub chropowaconej (tabl. 8:1; 11:15; 12:3).

Ucha

Jedyne zachowane w całości w zespole ceramiki z wczesnej epoki żelaza z Łodygowa, st. 2 ucho z fragmentem ścianki naczynia ma szerokość 1,8–1,9 cm, ok. 1 cm grubości, jest owalnego kształtu i tworzy okrągły prześwit przy gładkiej ściance. Górna część ucha wychodzi z krawędzi wylewu naczynia (tabl. 1:17). Pochodzi ono z naczynia masywnego, barwy jasnobrązowej (7,5YR 6/4), prawdopodobnie czerpaka. Podobnie umieszczone ucho przy samej krawędzi brzegowej (tu zachowane śladowo, szerokości ok. 2 cm), charakterystyczne dla cienkościennych form, o powierzchni beżowej lub czarnej, gładkiej, można łączyć z dużym prawdopodobieństwem z małymi dzbanuszkami (tabl. 1:12; 6:13). Górna część naczynia jest łukowato wychylona i zakończona owalnym wylewem. Fragmentarycznie zachowane części oderwanych uch mają szerokość ok. 2–3 cm (tabl. 2:9, 15; 11:8–9). Wszystkie ucha charakteryzują się powierzchnią może nie zawsze równą, ale o cechach wygładzania.

Dna

Dna naczyń z wczesnej epoki żelaza z Łodygowa, st. 2 są w przeważającej liczbie wklęsłe i lekko wklęsłe (tabl. 1:24–25, 27; 2:26–31). Jedynie dwa ułamki pochodzą z den prawie płaskich (tabl. 1:26). Najczęściej formowano dna lekko wklęsłe o średnicy 8–11 cm, z wystającą stopką. Wykazują one ślady podsypki i zagładzania powierzchni dla usunięcia zbędnych, większych ziaren i nierówności, które jednak czasem nie zostały usunięte całkowicie. Zaobserwować też można odciśnięte negatywy struktury podkładki (tabl. 1:24; 2:26–29; 10:5). Nawarstwienia gliny w przełamie części przydennych świadczą o doklejaniu do placka dna drugiego cienkiego placka gliny i wyciąganiu

[13] Gazda *et al.* 2013: ryc. 28:g, h.

z niego bocznej ścianki naczynia, tworząc duże dno z rozłożystymi ściankami (tabl. 10:6). Z kolei część przydenna małego naczynka ma wyraźne wgłębienia palcowe przy dnie (tabl. 2:26). Dna cienkościennych naczyń o gładkich powierzchniach zarówno od strony zewnętrznej dna, jak i ścianki bocznej naczynia, mają ścianki boczne łukowato rozchylone, rozłożyste, mocno rozchylone. Średnice tych den wynosiły ok. 8 –9 cm (tabl. 1:26; 2:30; 4:12; 6:25; 10:6). Dna dużych naczyń zasobowych, chropowaconych, są grubościenne – ich grubość wynosi ok. 0,9–1 cm (tabl. 1:24; 2:29).

Ogólna charakterystyka ceramiki z wczesnej epoki żelaza

Ze względu na kształt naczyń i ornamentykę, ceramikę z tego stanowiska można łączyć z materiałem ceramicznym z okresu halsztackiego i wczesnego okresu lateńskiego ze stanowisk kultury kurhanów zachodniobałtyjskich z II fazy tej kultury, takich jak np. Romejki, gm. Ełk, pow. ełcki, Stary Dzierzgoń, pow. sztumski, Starzykowo Małe, gm. Iława, pow. iławski, czy Kretowiny, gm. Morąg, pow. ostródzki[14].

Ceramika z okresu wczesnego średniowiecza

W nawarstwieniach Fazy IIA w Łodygowie, st. 2 znaleziono grubościenne, baniaste naczynie wykonane ręcznie, o zagładzanej górą, szorstkiej powierzchni zewnętrznej i nierównej, czarnej wewnętrznej ściance. To masywne naczynie ma wychylony wylew o średnicy ok. 20 cm (tabl. 5:11). Masa ceramiczna zawiera ziarna o zróżnicowanej granulacji, grubości do 0,2 cm, oraz mikę. W nawarstwieniach z Fazy IID znaleziono naczynie baniaste, górą obtaczane, o zacieranej, lecz kostropatej brunatnej powierzchni. Wydzielony brzeg wychylony na zewnątrz ma ściętą krawędź, a średnica wylewu wynosi ok. 18 cm (tabl. 8:4). Makroskopowa obserwacja zachowanych fragmentów wskazuje, że naczynia są albo górą obtaczane jak w przypadku niektórych naczyń z odgiętym wylewem (tabl. 4:7; 8:4) albo całkowicie obtaczane. Obecność fragmentów tego rodzaju ceramiki może świadczyć o krótkotrwałym zasiedleniu tego terenu przed wybudowaniem grodu w starszych fazach wczesnego średniowiecza, zapewne w VIII–IX w.

Z rozwiniętych faz wczesnego średniowiecza pochodzi 214 fragmentów ceramiki z Łodygowa, st. 2, w tym 17 fragmentów z zachowanym wylewem, co stanowi odpowiednik 203% SEN. Ceramika ta charakteryzuje się szorstką powierzchnią, zagładzaną w części wylewu i szyjki, barwy jasnobrązowo-ceglastej (7,5YR 6/4), a od wewnątrz najczęściej okopcone (7,5YR 6/2). Zachowane fragmenty z wylewami pochodzą z różnego rodzaju naczyń, zarówno dużych i najczęściej masywnych o grubych ściankach, o średnicy wylewu wynoszącej ok. 20–26 cm, jak i mniejszych, o średnicach wylewów wynoszących 12–19 cm. Są to garnki esowate, z wydzieloną szyjką, lekko baniaste i baniaste, z wyraźnie wydzielonym brzegiem, niekiedy o lekko profilowanych brzegach. Ze względu na fakt zachowania głównie samych części brzegowych i zauważalne znaczne różnice w ukształtowaniu wylewu, zachowane fragmenty można podzielić na kilka grup:

- z owalnym i zwężonym wylewem (tabl. 6:14, 21, 23; 12:4);
- z profilowanym brzegiem od góry (tabl.4:3; 6:16);
- z łagodnie, łukowato wychylonym, prosto ściętym wylewem na długiej szyjce (tabl. 5:2);
- z wylewem silnie odgiętym i prosto ściętym brzegiem (tabl. 6:20);
- z prosto ustawioną częścią górną i płasko ściętym brzegiem (tabl. 12:6);
- z masywnym, wychylonym i pogrubionym wylewem, o zaokrąglonych krawędziach (tabl. 4:4; 5:5–6, 13; 8:7–9; 12:2);
- z łagodnie łukowato wychylonym wylewem, mocno profilowanym od zewnątrz (tabl. 5:12; 8:2).

Zdecydowaną większość górnych części naczyń pokrywa ornament. Przeważają poziome żłobienia dookolne, sięgające do partii przydennych (tabl. 3:13–18, 21, 23–24, 26–33; 4:16; 5:12–13; 6:20; 7:16; 8:11) oraz linia falista niska i łagodna (tabl. 5:2; 6:10, 14; 7:17–18; 11:5) oraz pochyła, pojedyncza lub wielokrotna ryta w dwóch rzędach, choć amplitudy ich przebiegu mogą być całkowicie rozbieżne i nieciągłe (tabl. 3:18, 20; 4:2; 6:15; 11:3; 12:6), nawzajem przecinające się (tabl. 4:3). Linia falista, czasem ryta nieregularnie, współwystępowała z przecinającymi ją odcinkami prostymi i ukośnymi (tabl. 6:16). Żłobki dookolne były ryte rylcem, bądź to wąskim i ostro zakończonym (tabl. 3:17, 23, 31), bądź też szerokim narzędziem o płaskiej końcówce (tabl. 3:15–16, 21, 26, 28–30), przeważnie w regularnych odstępach, nawet w przypadkach bardzo drobnych żłobień w bliskich od siebie odległościach (tabl. 3:33; 5:12–13), choć zauważyć także można naczynia o wyraźnie nieregularnych żłobieniach dookolnych (tabl. 4:4; 6:20). Rzadziej wystąpiły fragmenty naczyń z bardzo szerokimi żłobieniami o szerokości około 0,5–0,6 cm (tabl. 11:6). Obserwacja części przydennych wskazuje na tendencję zwiększania odległości pomiędzy żłobieniami w coraz niższych partiach naczynia (tabl. 3:32; 7:18; 8:11). Na części zachowanych brzuśców widoczny jest ornament nakłuć wykonany ostrym rylcem (tabl. 4:5; 7:11–15; 9:5).

Dna naczyń wczesnośredniowiecznych są wklęsłe, z wydzielającym się wałkiem od strony spodniej i zagładzaną powierzchnią na podsypce. Zaznaczające się wałki dookolne są płaskie i szerokie lub dość wąskie,

[14] Ł. Okulicz 1970: 251; tabl. 20:5–11; 25; 26.

ale zawsze są widoczne na obrzeżach. Powierzchnie den zawierają liczne odciski negatywów po ziarnach i źdźbłach organicznych (tabl. 4:6, 8–10, 13; 6:26–27; 8:10). Średnice den wynoszą między 7 a 10 cm i noszą ślady obtaczania. Przykładem jednego ze sposobów formowania części przydennych i doklejania wałków gliny od zewnątrz jest znaleziona w materiale wczesnośredniowiecznym część przydenna grubościennego, dużego naczynia, gdzie widoczny jest na ściance wklęsły pas po odklejonym paśmie gliny, które wzmacniało sklejenie dna ze ścianą boczną (tabl. 4:11, 15).

W materiale ceramicznym z wczesnego średniowiecza w jednostce stratygraficznej 10 z Fazy IIB oraz w jednostce stratygraficznej 54 z Fazy IIE znaleziono większe, środkowe części brzuśca naczyń z ornamentem pasm, rytych linii krzyżujących się pod kątem prostym, tworzących dużą kratkę (tabl. 6:17; 9:8). Tego rodzaju ozdabianie ceramiki charakterystyczne jest dla ceramiki typu Menkendorf–Szczecin. Ornament wiązany z tego rodzaju ceramiką widoczny jest także na innych fragmentach brzuśców i wylewów z różnych jednostek stratygraficznych grodziska w Łodygowie, st. 2. Są to linia zygzakowata wraz z rytymi liniami poziomymi oraz pojedyncza linia falista przecinana odcinkami linii ukośnych, charakterystyczne są też żłobienia pasm wąskich linii po kilka oraz linie ukośne (tabl. 6:16; 7:1; 11:1). Jest to często spotykany motyw ornamentacyjny ceramiki typu Menkendorf–Szczecin w regionie Pomorza. W jednostkach stratygraficznych 41 i 43 znaleziono lekko wklęsłe dna z częściami przydennymi, na których wyryto ornament pasm krzyżujących się, tworzący motyw tzw. płotka (tabl. 4:13; 7:1), także charakterystyczny dla ceramiki typu Menkendorf–Szczecin.

Dwa naczynia, o podobnie ukształtowanej formie, z prostą krótką szyjką i lekko wydzielającym się wylewem, profilowanym (tabl. 6:16) i pozbawionym wgłębień (tabl. 12:6), znalezione na terenie grodziska można porównywać do form typu Menkendorf–Szczecin ze względu na silnie uwydatniony brzusiec, z ostrym załomem na dwóch trzecich wysokości, który przechodzi w część przydenną, szorstką, nierówną z wgłębieniami po palcach, a także ze względu na specyficzny ornament i szorstką fakturę powierzchni. W górnej części, pomiędzy wylewem a brzuścem, naczynia te zostały ozdobione wielokrotną linią falistą. Wzory ornamentu wykonano zamaszyście i niedbale narzędziem wielozębnym. Naczynia barwy jasnobrązowo-ceglastej mają powierzchnię szorstką, słabo zagładzaną jedynie pod wylewem przed wykonaniem ornamentu, na co wskazują wysokie brzegi po wykonaniu żłobień ornamentu ostro zakończonym rylcem. Te smukłe garnki wykazują ślady obtaczania jedynie przykrawędnego. Na słabe opracowanie wskazuje mało zwarty przełam, grubościenność i szorstkość, spowodowana wystającymi ziarnami na i pod powierzchnią. Zachowana część większego naczynia ma liczne nierówności w części przydennej. Ma ono ślady nadpalenia od strony wewnętrznej. Domieszka wraz z miką występuje bardzo licznie pod postacią ziaren o zróżnicowanej granulacji. Naczynia z Łodygowa, st. 2, choć nie mają typowego dla ceramiki Menkendorf–Szczecin ornamentu pasm krzyżujących się, to jednak formą i rodzajem masy ceramicznej, a także charakterystycznym traktowaniem powierzchni zewnętrznej w części powyżej i poniżej załomu brzuśca, nawiązują wyraźnie do tej grupy naczyń. Forma naczyń zbliżona do dwustożkowatej oraz ornament naczynia mniejszego to cechy wskazujące na nawiązania do typu Menkendorf–Szczecin szeroko rozpowszechnionego w okresie od X do XI wieku na dużym obszarze. Podobne do naczyń z ze słabo wydzielonym wylewem z Łodygowa, st. 2 są naczynia odkryte w materiale ze stanowisk z Chełmży, st. 20, pow. toruński, Jaguszewic, st. 1, gm. Jabłonowo Pomorskie, pow. brodnicki, w warstwie datowanej na 2. połowę X – początek XI wieku, czy Napola, st. 1, gm. Kowalewo Pomorskie, pow. golubsko-dobrzyński[15]. Stylistycznie podobny ornament w postaci linii falistej przecinanej ukośnymi liniami znany jest np. z szerokootworowego naczynia dwustożkowatego pochodzącego z jamy 10 z Sopotu, st. 1, czy z naczynia dwustożkowatego odkrytego w czasie badań sondażowych w 1958 roku w Kamieniu Pomorskim. Wzór krzyżujących się linii pod kątem prostym, nazwany „płotkiem" czy „kratką", jest bardzo często spotykany na naczyniach typu Menkendorf–Szczecin na wielu stanowiskach osadniczych, między innymi także w Sopocie, st. 1, jama 10, gdzie jednocześnie jego forma i kształt wylewu jest niemal identyczny do naczynia z Łodygowa (tabl. 4:3), w Lubiszewie Tczewskim, st. 1a, gm. Tczew, pow. tczewski, w Łukocinie, st. 20, gm. Tczew, pow. tczewski, czy w Janowie Pomorskim, st. 1, gm. Elbląg, pow. elbląski[16].

Naczynia tego typu rozprzestrzenione były we wczesnym średniowieczu na rozległym obszarze: od nasady Półwyspu Jutlandzkiego i Pustaci Lüneburskiej na północnym zachodzie, po północne przedgórze gór Harzu na południowym zachodzie, na południe po Górne Łużyce w Niemczech i dolinę Odry i Równinę Wrocławską na terenie Polski i dalej z wyraźną linią graniczną na północny wschód przez

[15] Chudziakowa (red.) 1994: ryc. 21:d; 63:g, h; 117:b.

[16] Niepublikowane materiały analizowane w ramach projektu badawczego NCN *Determinanty ekologiczne i etniczno-kulturowe wczesnośredniowiecznego garncarstwa: receptury i technologie wytwarzania ceramiki u Słowian Zachodnich (na przykładzie naczyń interregionalnego typu Menkendorf–Szczecin*.

Równinę Oleśnicką, Kotlinę Milicką i Wysoczyznę Kaliską, a następnie zachodni skraj Pojezierza Kujawskiego po Dolinę Drwęcy na wschodzie, i dalej na północ ponownie bardziej ku zachodowi, nie przekraczając zasadniczo linii dolnej Wisły. Od tak opisanej granicy na wschód wysunięte były dotąd jedynie znaleziska naczyń typu Menkendorf–Szczecin w Janowie Pomorskim, gm. Elbląg (czyli historycznym Truso). Łącznie obszar występowania naczyń typu Menkendorf–Szczecin rozciąga się na ok. 600 km po linii wschód–zachód i na ponad 400 km po linii północ–południe.

Analiza rozprzestrzenienia ceramiki typu Menkendorf–Szczecin wykazuje obecność pewnych skupisk miejsc jej intensywniejszego występowania w obrębie zakreślonego wyżej pełnego zasięgu geograficznego. Wyraźne zagęszczenie występuje na terytorium Polski pomiędzy rzekami Drwęcą i Osą na Ziemi Chełmińskiej, u ujścia Wisły, w około sześciu mniejszych skupiskach na Pomorzu Środkowym i Zachodnim oraz na rozległym obszarze od Ziemi Lubuskiej do Wielkopolski i Kujaw. Z kolei na terenie Niemiec wyraźne regiony koncentracji stanowisk archeologicznych z ceramiką typu Menkendorf–Szczecin występują na terenie krain geograficznych takich, jak: Pomorze Przednie (*Vorpommern*), Pojezierze Meklemburskie (*Mecklenburgische Seenplatte*) w Meklemburgii-Pomorzu Przednim, Stara Marchia (*Altmark*) i *Magdeburger Börde* w Saksonii-Anhalt, czy Marchia Wkrzańska (*Uckermark*) i *Havelland* w Brandenburgii[17].

Zespoły ceramiki typu Menkendorf–Szczecin z obszaru Polski i Niemiec datowane są na okres od 2. połowy VIII wieku do połowy lub niekiedy schyłku XI wieku, z dominacją tych form naczyń od 2. połowy IX wieku po 1. połowę X w.[18]

Najbliższe terytorialnie analogie do naczyń typu Menkendorf–Szczecin pochodzą z datowanych na IX–X w. grodzisk i osad nad środkową i dolną Drwęcą oraz nad dolną Wisłą, między innymi z Jaguszewic, gm. Jabłonowo Pomorskie, pow. brodnicki, Bobrowa, pow. brodnicki, Lubicza, pow. toruński, Jedwabna, gm. Lubicz, pow. toruński, Mełna, gm. Gruta, pow. grudziądzki, Rzęczkowa, gm. Zławieś Wielka, pow. toruński, Wabcza, gm. Stolno, pow. chemiński, Waćmierka, gm. Tczew, pow. tczewski datowaną na IX–X w., czy Tarczyn, gm. Lidzbark, pow. działdowski[19]. Ceramikę z ornamentem pasm krzyżujących się typu Menkendorf–Szczecin znaleziono także podczas badań grodziska w Zajączkach, st. 1[20].

[17] Kobylińska 2014b.

[18] Kobylińska i Kobyliński 2016.

[19] Chudziak 1991: 75–83; Chudziakowa (red.) 1994: ryc. 16, 63, 72–73, 101, 166, 196; Grążawski 2002: 47–48, 2013: ryc. 32:1; Haftka 1988: 188.

[20] Por. opracowanie wyników badań tego grodziska, w niniejszej publikacji.

Ceramika z okresu późnego średniowiecza i wczesnej nowożytności

Na terenie grodziska w Łodygowie, st. 2 w dziesięciu jednostkach stratygraficznych znaleziono 51 fragmentów ceramiki datowanej na okres późnego średniowiecza, w tym 14 z zachowaną górną częścią z wylewem, co stanowi odpowiednik 104% SEN. Są to naczynia ze śladami silnego obtaczania na całej powierzchni, o średnicy wylewu wynoszącej od 13 do 19 cm. Na fragmentach z wylewem ornament nie zachował się. Jedynie na największej wydętości brzuśca występują szerokie, płytkie żłobienia. Są to naczynia o cienkościennych brzuścach, głównie dzbany ceramiki „siwej". Brzegi tych naczyń są pogrubione, o zaokrąglonej powierzchni zewnętrznej, najczęściej z mocnym wgłębieniem na pokrywę, a dna płaskie, odcinane (tabl. 9:22; 10:7–13). Podobną formę ceramiki o cienkościennym baniastym brzuścu i wywiniętym, pogrubionym wylewie znaleziono np. w Poganowie, st. 4, gm. Kętrzyn, pow. kętrzyński[21]. Jedyny fragment cienkościennego, małego naczynka o średnicy wylewu wynoszącej 9 cm, znaleziono w jednostce stratygraficznej 26. Jest to naczynie pokryte brązową glazurą od wewnątrz na całej zachowanej przestrzeni oraz do poziomu zagięcia szyjki od zewnątrz. W górnej części brzuśca naczynie zostało ozdobione odciśniętymi motywami geometrycznymi w paśmie pomiędzy poziomymi żłobieniami (tabl. 9:24). Analogiczny ornament odciskanych trójkątów znajdujemy na powierzchni naczyń obtaczanych z miejscowości Czarna Wielka, st. 1, gm. Grodzisk, pow. siemiatycki[22].

Zabytki wydzielone

Przedmioty z gliny

Przęśliki

Przęślik (tabl. 13:1) z jednostki stratygraficznej 29 jest zachowany w całości, wykonany z gliny barwy czerwonawo-żółtej (7,5YR 7/6), pylastej, o lekko łuszczącej się powierzchni. Średnica całkowita przęślika wynosi 3,3 cm, wysokość – 1,9 cm, a średnica otworu wynosi 0,6 cm. Waga przęślika wynosi 18,02 g. Przedmiot jest dobrze wykonany, regularny i proporcjonalny, z otworem w części środkowej. Jego kształt można określić jako niski stożkowaty. Stożek z obu stron jest spłaszczony, lecz z jednej strony wypłaszczenie przebiega szerszym pasem wokół otworu.

Przęślik (tabl. 13:2) znaleziony w 70 jednostce stratygraficznej jest zachowany w całości. Wykonany został z gliny jasnobrązowej (10YR 8/3). Średnica zewnętrzna całkowita waha się między 3,8 cm a 4 cm, przęślik ma wysokość 2,1 cm, a średnica otworu wynosi 0,8 cm. Waga tego dużego przęślika wynosi 33,13 g.

[21] Wyczółkowski *et al.* 2013: ryc. 5:2.3.

[22] Chilmon 1981: tabl. 1:8, 10.

Przedmiot jest dobrze wykonany, masywny, ciężki, o powierzchni zagładzanej, matowej, lecz miejscami nierównej, o nieregularnym obwodzie i decentralnie wywierconym dużym otworze. Jego kształt można określić jako płasko-kulisty ze względu na mocno uwypuklony bok na obwodzie oraz szerokie wypłaszczenie wokół otworu wewnętrznego . Przęślik podobny znaleziono na stanowisku w Jeziorku, gm. Ryn, pow. giżycki[23]. Nieco podobny, masywny pękaty przęślik znaleziono na osiedlu obronnym w miejscowości Łęcze, gm. Tolkmicko, pow. elbląski[24]. Nieregularny płasko-kulisty przęślik pochodzi też z północno-zachodniej części Pojezierza Iławskiego z miejscowości Kątki, gm. Stary Targ, pow. sztumski[25]. Przęśliki gliniane, obok ceramiki naczyniowej, należą do najczęściej spotykanych artefaktów na stanowiskach archeologicznych w różnych okresach chronologicznych i świadczą o działalności tkackiej mieszkańców. Przęśliki zapobiegały zsunięciu się nici z wrzeciona i wspomagały jego obrót w czasie przędzenia.

Prażnica (tabl. 16)

We wschodniej części grodziska znaleziono rozbitą prażnicę, zachowaną niemal w całości. Rekonstrukcja obiektu doprowadziła do odtworzenia kompletnej prostokątnej formy prażnicy o wymiarach 77 x 90 cm, o masywnych, dość regularnych ściankach, dochodzących do wysokości ok. 15 cm w najwyższym miejscu. Od powierzchni dna wysokość ścianek prażnicy wynosi ok. 11 cm, a grubość dna oraz ścianek bocznych waha się od 2 do 3 cm. Widoczna część dna, całkowicie zachowana ściana krótsza i częściowo zachowane boczne dwie ściany dłuższe mają barwę jasnoceglasto-żółtą z szarym przełamem, licznymi odciskami źdźbeł traw o szerokości do 0,4 cm i niewielkimi (0,02 cm) otworami po wypalonych ziarnach organicznych.

Prażnice to duże, a często bardzo duże, płytkie, grubościenne, zazwyczaj prostokątne, a rzadziej kwadratowe[26] w kształcie pojemniki. Wykonywane były z tłustej gliny z zawartością domieszki organicznej w postaci dużych kawałków trawy, słomy, a także niewielkiej ilości ziaren piasku, czy – jak dowodzą badania analogicznych okazów prażnic – tłucznia kwarcowo-skaleniowego[27]. Znaleziska takie nazywane były także glinianymi wanienkami lub nieckami. Fragmenty prażnic należą do dość częstych odkryć z obszaru wczesnośredniowiecznej Słowiańszczyzny. Ze względu na częste odkrywanie co najmniej fragmentów tych przedmiotów, wydaje się uzasadnione przekonanie, że posługiwanie się prażnicami miało charakter powszechny i było ważnym elementem przetwarzania produktów spożywczych, a przez to i wyraźną dystynktywną cechą kultury słowiańskiej. Ze względu na znaczny stopień rozdrobnienia tych form z powodu słabości wypału i co za tym idzie kruchości materiału, prażnice stanowią materiał archeologiczny trudny do opracowania i rekonstrukcji. Bywa on traktowany w opracowaniach marginesowo bez dokładnego opisu wielkości, grubości czy kształtu ścianek i ich brzegów. Należy więc podkreślić znaczenie tych opracowań dotyczących problemów związanych z rekonstrukcją formy, funkcją, chronologią i zasięgiem występowania czy kontekstem znalezienia[28]. Omawiana kategoria zabytku intrygowała swą wielkością i ciężarem bardziej dociekliwych archeologów i szczegółowo omawiano prażnice znajdywane na eksplorowanych stanowiskach[29]. Podejmowano dyskusje na temat możliwych funkcji prażnic, np. sugerowano używanie ich w procesach metalurgicznych przy wytopie rud żelaza[30]. Opublikowanie wyników obserwacji etnograficznych Kazimierza Moszyńskiego na terenach byłej Jugosławii[31] sprawiło, że głównie przyjęto pogląd o używaniu dużych wannowatych form w gospodarstwie do czyszczenia i prażenia zboża, a nawet pieczenia chleba. Charakterystyczny bardzo duży rozmiar i ciężar każdego ze znanych egzemplarzy prażnic może świadczyć, że nie przenoszono tych przedmiotów z miejsca na miejsce, szczególnie na większe odległości. Były one wykonywane i użytkowane aż do zniszczenia na tym samym miejscu. Wobec powyższych cech można sugerować , iż był to przedmiot wykorzystywany przez większą grupę osób: być może wspólnie przez wszystkich mieszkańców grodu.

Podobne w kształcie i wielkości prażnice zachowane we fragmentach lub zrekonstruowane znaleziono na wielu stanowiskach wczesnośredniowiecznych osadniczych, z okresu głównie IX–XI w., ale sporadycznie także i z wieków VII–VIII[32] i z wieków XII–XIII. Warto zauważyć, że niejednokrotnie prażnice wystąpiły także w zespołach z ceramiką typu Menkendorf–Szczecin, np. w Gorzędzieju, st. 1, gm. Subkowy, pow. tczewski[33], Nowińcu, st. 2, gm. Lubsko, pow. żarski[34], Starosiedlu, st. 3, gm. Gubin, pow. krośnieński[35], czy w Rosenhof, Kr. Stendhal w Saksonii-Anhalt[36].

[23] Ł. Okulicz 1970: tabl. 28:28.

[24] J. Okulicz 1973: ryc. 124:f.

[25] Hoffmann 1999a: tabl. 157:6.

[26] Gruszka 2012: ryc. 54.

[27] Gruszka 2012: 80.

[28] T. Malinowski 1953, 1955, 1959; Andel 1959; Skružnỳ 1964; Beranová 1979; Kudrnač 1981; Mařík 1997; Škojec 2003; Pokora i Rzeźnik 1998; Baron i Rzeźnik 1999; Paternoga 2003; Paternoga i Rzeźnik 2007.

[29] Gruszka 2012: 79–81.

[30] Szafrański 1961: 51; Zoll-Adamikowa 1979: przyp. 101; Hensel 1987: przyp. 558; Brzostowicz 2002: 127; Pawlak i Pawlak 2008: 230; Gruszka 2012: 80.

[31] Moszyński 1929: 252n., ryc. 223; 1967:265n., ryc. 223.

[32] Łosiński 1963: ryc. 1, s. 181.

[33] Kuszewska 1961: ryc. 25.

[34] Gruszka 2012: 79–81.

[35] Kobylińska 2014c: 614–616.

[36] Kobyliński 2012.

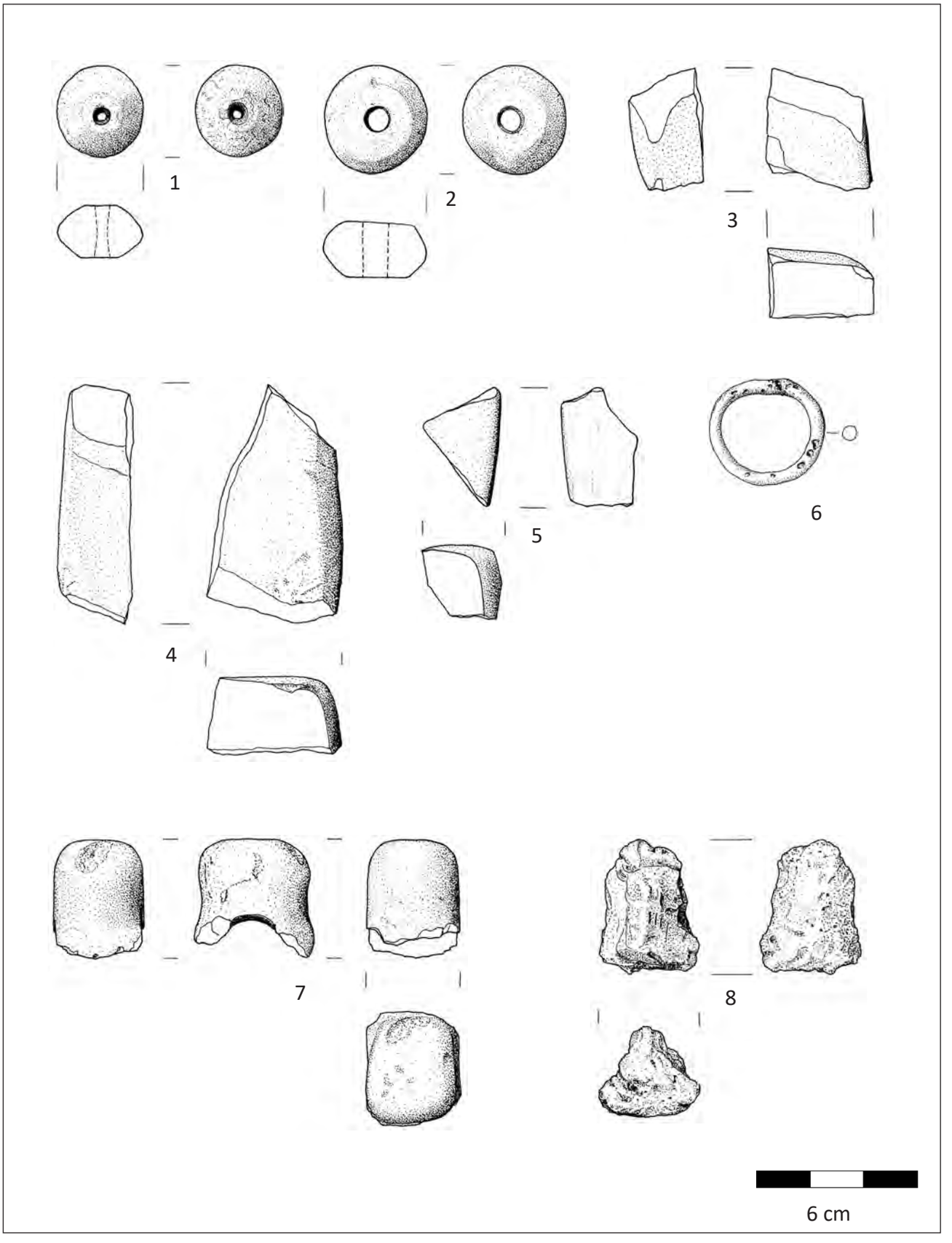

Tablica 13. Łodygowo, st. 2. Zabytki wydzielone (rys. P. Potocka i D. Wach)

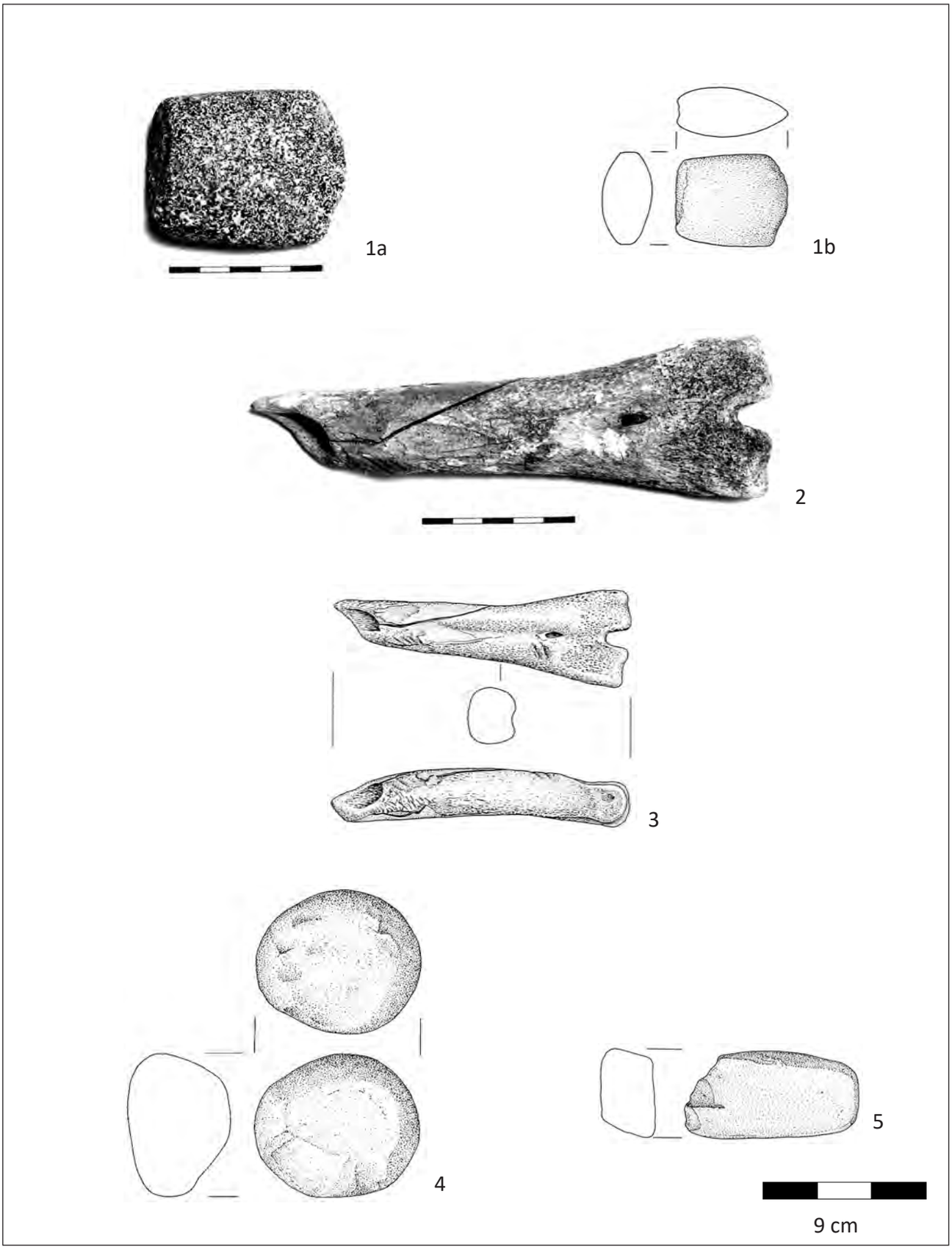

Tablica 14. Łodygowo, st. 2. Zabytki wydzielone (rys. B. Karch, fot. M. Dąbski)

Tablica 15. Łodygowo, st. 2. Sfosylizowane drewno (fot. M. Dąbski)

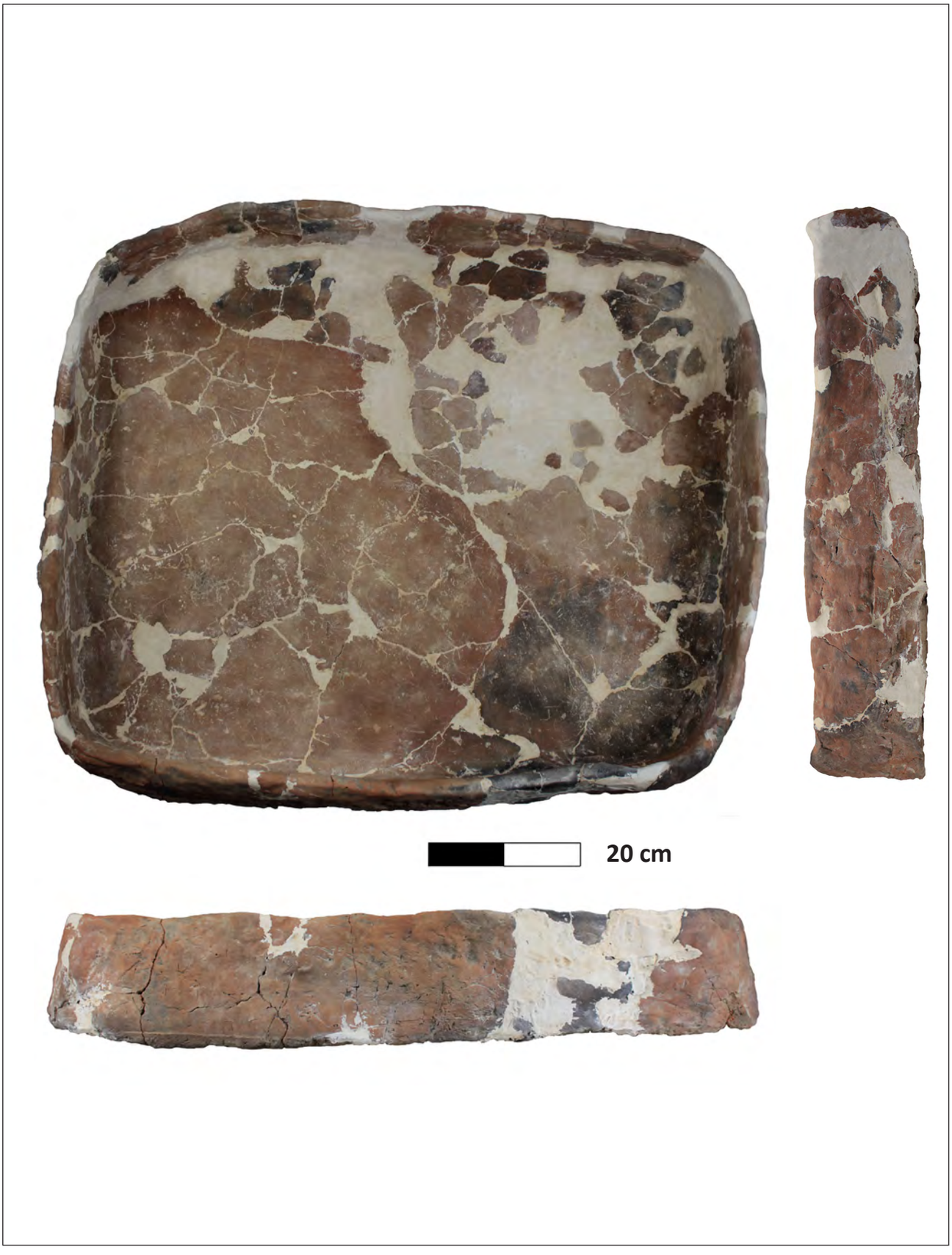

Tablica 16. Łodygowo, st. 2. Prażnica gliniana (rekonstrukcja i fot. P. Potocka)

Przedmioty z kamienia

Trzy osełki odkryto w nawarstwieniach wczesnośredniowiecznych z Fazy IIA (tabl. 13:3–5). Wszystkie zachowane fragmenty osełek są podobne, o analogicznej fakturze, barwie i rodzaju wygładzenia ścianek. Fragment jednej osełki (tabl. 13:3) ma tylko dwie zachowane bardzo gładkie powierzchnie, pozostałe mają ślady odłupania, nierówne i szorstkie. Wymiary zachowanego fragmentu wynoszą 4,5 x 4 x 2,6 cm. Dwie pozostałe osełki także mają liczne ślady odłupania i jedynie po dwie bardzo gładkie powierzchnie ścianek. Wymiary zachowanych części wynoszą: większej 8,1 x 5 x 2,6 cm (tabl. 13: 4), a mniejszej 4 x 3,2 x 2,6 cm (tabl. 13:5). W czasie badań w roku 1985 w drugiej warstwie mechanicznej w wykopie 3 (tabl. 13:4) znaleziono kamienną osełkę z jedną wzdłużną powierzchnią pracującą, silnie wyświeconą o zaoblonych bokach. Pozostałe ścianki są gładkie, matowe, lekko nierówne. Całość ma wymiary 9,4 x 4,3 x 2,9 cm.

Toporek kamienny (tabl. 13:7) jest fragmentarycznie zachowany, jedynie od strony obucha. Jest to obuch mocno uwydatniony ze względu na wyraźne przegłębienia boczne, o obłych brzegach i ze spłaszczoną ścianką zewnętrzną. Szerokość obucha wynosi 4,1 cm, grubość – 3,4 cm, a długość – 3,1 cm. Otwór wewnętrzny ma około 2 cm średnicy. Został on nawiercony po części z obu stron, na co wskazują kręgi wewnętrzne z mocno uwypuklonym łukiem w połowie szerokości. Zewnętrzna powierzchnia na zachowanej części jest gładka matowa, barwy bladobrązowej (10YR 6/3). Odkryty w Łodygowie, st. 2 fragment toporka kamiennego wpisuje się jako forma w zestaw znalezisk narzędzi ludności z wczesnej epoki żelaza. Ze względu na fragmentaryczność zachowania trudno określić precyzyjnie typ tego narzędzia. Z powodu charakterystycznego kształtu obucha toporek ten wydaje się podobny do form z grupy IVa, bądź grupy VI wydzielonych przez M. Kostrzewską[37].

W czasie badań w 1985 r. w wykopie 2 znaleziono fragment kamiennej siekierki (tabl. 14:1a, b) o wypolerowanej powierzchni z częściowo zachowanym ostrzem, wielkości 5 x 2,7 x 6,3 cm, a w wykopie 3 znaleziono kamienny rozcieracz (tabl. 14:4) o średnicy 8,5 cm i grubości 5,5 cm, w kształcie okrągły, z dwiema wypłaszczonymi powierzchniami pracującymi, o nieco nierównych ściankach i miejscowych odłupaniach, i generalnie gładkiej powierzchni.

Zabytki z żelaza

W jednostce stratygraficznej 35 znaleziono żelazne kółko (tabl. 13:6) o nieregularnym owalu. Kółko ma średnicę ok. 3,8 x 4,2 m, wykonane jest z okrągłego, miejscami spłaszczonego drutu o średnicy ok. 0,5 cm.

Inne zabytki

W jednostce stratygraficznej 11 z Fazy IIA znaleziono fragment przedmiotu zżużlonego (tabl. 13:8). Jest to silnie przepalona, porowata, lekka, bezkształtna bryłka o wymiarach 5 x 3 x 3,5 cm, barwy czarnej, która może świadczyć o pracach kowalskich na grodzisku.

W 1985 r. znaleziono również fragment dużej kości długiej ze śladami obróbki (tabl. 14:2–3). Ścianki są wypłaszczone, równe. Powierzchnia przedmiotu była starannie wypolerowana, wnętrze wydłubane, a jedna końcówka zaostrzona. Całość zachowała się na długości 16,4 cm, o grubości 2,5 cm. Jest to fragmentarycznie zachowany kościany nakłuwacz.

W trakcie badań wykopaliskowych w 1985 roku, w północnej części wyspy na wale znaleziono prostokątne w kształcie, różnych rozmiarów płytki (tabl. 15). Są to skamieniałe fragmenty drewna z zachowaną strukturą wewnętrzną drzewa. Sfosylizowanie nastąpiło w okresach ostatnich zlodowaceń, być może na przełomie późnego karbonu i wczesnego permu. Badacz ówczesny tego stanowiska, Jan Michalski, skłaniał się do koncepcji, że znaleziony skamieniały pień drzewa ustawiono na wale i ze względu na specyficzny wygląd być może pełnił on funkcje kultowe[38]. Na skutek działania czynników atmosferycznych, jednolity pień z czasem rozpadł się. Rozwarstwione części skamieniałości składają się ze sobą. Kilkadziesiąt mniejszych i większych, płaskich odcinków skamieniałego drewna zalegało w czarnej ziemi zawierającej też żółtą glinę i dużą ilość polepy. Mineralizacja drzew przebiegała w środowisku wodnym, a źródłem roztworów krzemionkowych, wysycającym tkanki roślinne, był proces laterytyzacji. W procesie tym często zachowane zostają wszelkie szczegóły budowy drewna i jego struktura.

MATERIAŁY KRZEMIENNE

JANUSZ BUDZISZEWSKI

Badania wykopaliskowe grodziska na stanowisku 2 w Łodygowie przyniosły odkrycie ubogiego – liczącego 12 zabytków – inwentarza krzemiennego. Chociaż wszystkie składające się nań zabytki znajdowały się na złożu wtórnym, to jednak wydają się na tyle interesujące, że warto poświęcić im nieco uwagi.

Połowę zbioru stanowią okazy odkryte w najwyższej partii wschodniej części stanowiska, w wykopie 8 i przylegającym doń fragmencie wykopu 6. Na powierzchni *ca* 1,5 ara odkryto:

1. przypiętkowy fragment wiórka z krzemienia narzutowego bałtyckiego;

2. fragment amorficznego odłupka z krzemienia narzutowego bałtyckiego;

[37] Kostrzewska 1953: 243–247, ryc. 11, 14.

[38] Michalski 1985b.

3. trapez z wiórka z bokami zaretuszowanymi wklęsło z krzemienia pomorskiego, jeden z boków formuje nietypowy retusz zarówno z góry, jak i od spodu okazu (ryc. 23:3);

4. fragment małej łuszczki z krzemienia pomorskiego;

5. amorficzny "masywny" skrobacz/przekłuwacz z niekształtnego odłupka pierwszej serii z krzemienia narzutowego bałtyckiego (ryc. 23:4);

6. przypiętkowy fragment wiórka z krzemienia narzutowego bałtyckiego.

Za najważniejsze cechy tego inwentarza można uznać dominację okazów wykonanych z krzemienia narzutowego bałtyckiego, a pod względem technologii zdecydowaną przewagę materiałów łupanych standardowymi technikami wiórowymi i odłupkowymi. Zarówno pokrój drobnych wiórków uzyskanych z rdzeni jednopiętrowych, jak i oba znalezione tu narzędzia – trapez i amorficzny skrobacz/przekłuwacz – sugerują, że zbiór ten jest świadectwem osadnictwa z czasów środkowej epoki kamienia.

Kolejną grupę zabytków krzemiennych odkryto nieco niżej i dalej na wschód, w połowie wykopu 6. Były to:

7. fragment przetrąconego narzędzia retuszowanego zwrotnie z łuszczki z krzemienia pomorskiego (ryc. 23:1);

8. amorficzna łuszczka niszcząca płaski łuszczeń z krzemienia pomorskiego;

9. okruch z łuszcznia lub rdzenia wiórowego eksploatowanego z surowej pięty z krzemienia pomorskiego (ryc. 23:5);

10. Fragment łuszczki odbitej wzdłuż węższego boku łuszcznia z krzemienia pomorskiego.

Ta grupa zabytków zdecydowanie różni się od poprzedniej. Wszystkie okazy wykonano tym razem z krzemienia pomorskiego przy pomocy techniki łuszczniowej. Formy takie nieodparcie nasuwają skojarzenia z materiałami tzw. zespołów typu Ząbie–Szestno[39]. Są to ciągle nieprecyzyjnie zdefiniowane inwentarze ze schyłku neolitu i wczesnej epoki brązu odkrywane na wyspach jezior Pojezierza Mazurskiego. Spośród stanowisk tego typu najbliższe Łodygowa są st. 7 w Pluskach i st. 10 w Ząbiu, oba w pobliżu Olsztynka, a więc kilkadziesiąt kilometrów na wschód. Związek opisywanych krzemieni z osadnictwem schyłkowoneolitycznym wzmacnia odkrycie w tym samym rejonie stanowiska w Łodygowie pojedynczej skorupy zdobionej ornamentem sznurowym.

Ostatnie dwa zabytki krzemienne odkryto w wykopie 7, na północno-zachodnim krańcu stanowiska. Były to:

11. mały, płaski, szczątkowy łuszczeń czterobiegunowy z krzemienia pomorskiego (ryc. 23:2);

12. Fragment amorficznej łuszczki z mikroretuszami z krzemienia narzutowego bałtyckiego.

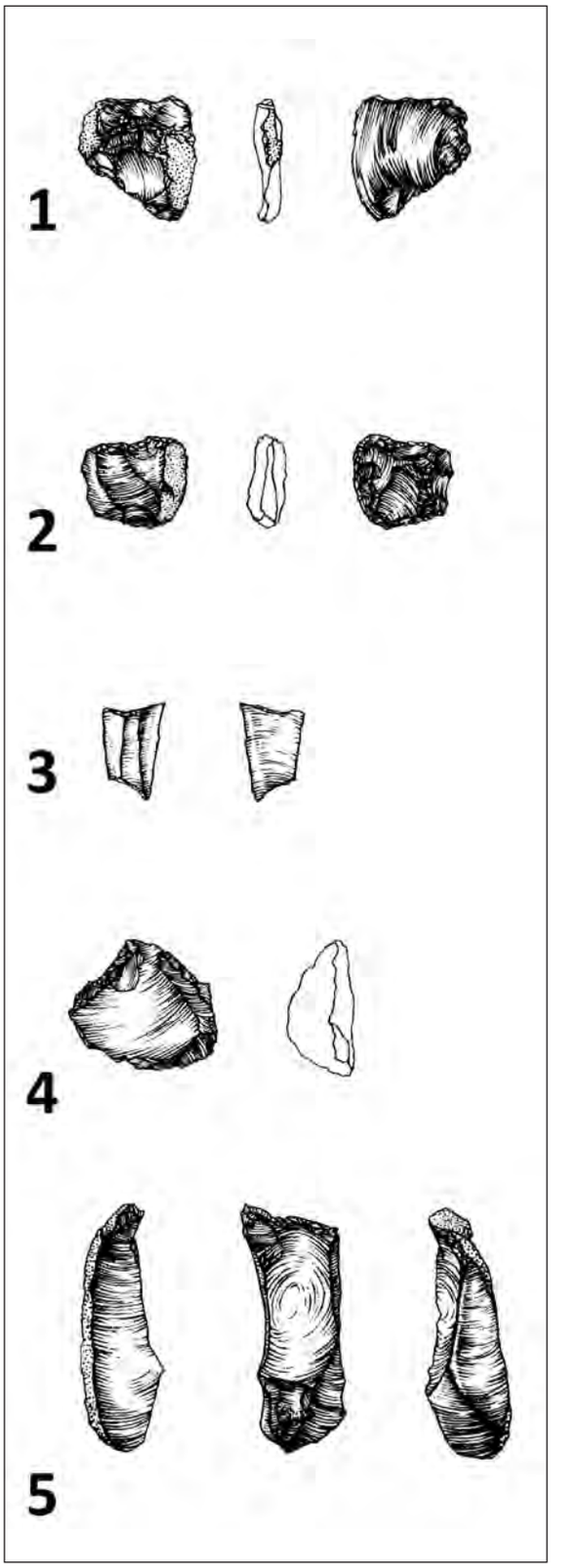

Ryc. 23. Łodygowo, st. 2. Zabytki krzemienne z grodziska (rys. M. Pelc; skala: 80% wielkości rzeczywistej)

[39] Manasterski 2009.

Ze względu na zastosowaną do ich wykonania technikę łuszczniową zabytki te zdają się być bliższe zapewne schyłkowoneolitycznym okazom z przeciwległego krańca stanowiska.

W sumie zaprezentowany wyżej, krańcowo ubogi inwentarz ze st. 2 w Łodygowie poświadcza co najmniej dwukrotne osadnictwo społeczności epoki kamienia na Dużej Wyspie. Niestety pozostałości je dokumentujące zostały nieomal doszczętnie zniszczone przez późniejsze przekształcenia terenu.

KOŚCI ZWIERZĘCE

ANNA GRĘZAK

Materiał osteologiczny pozyskany na terenie grodziska składał się z 128 szczątków zwierzęcych, z czego pod względem gatunkowym i anatomicznym udało się określić 116 sztuk (90,61%). Zespół szczątków charakteryzował się dobrym stanem zachowany, mimo że część kości została rozdrobniona podczas zabiegów związanych z poddziałem tuszy zwierząt i przygotowaniem dań mięsnych. Ponadto na sześciu kościach zaobserwowano ślady nadpalenia lub różnych stadiów przepalenia (na biało, szaro i na czarno), a na innej ślady ogryzania przez gryzonia.

W grupie opracowanych szczątków znalazły się 3 kości ptaków i 113 kości ssaków. Wśród szczątków ssaków przeważały elementy szkieletów zwierząt domowych (głównych gatunków hodowlanych), a 21 fragmentów kostnych (18,58%) pochodziło od zwierząt łownych: łosia, sarny i bobra. Do tej kategorii zaliczono także kilka kości zwierząt z rodzaju *Sus* o dużych gabarytach, które należały do osobników wolno żyjących, ewentualnie rosłych sztuk będących krzyżówkami osobników udomowionych z dzikimi.

Wśród szczątków ssaków udomowionych przeważały fragmenty kości i zębów bydła, które stanowiły ponad połowę tego zbioru (53 sztuki, tab. 4), drugie miejsce pod względem liczebności zajmowały szczątki świni (21 sztuk), których było dwukrotnie więcej niż pozostałości kostnych owcy i kozy. Ponadto zarejestrowano 7 fragmentów kostnych należących do konia.

Większość kości bydła należała do zwierząt dojrzałych morfologicznie, a tylko pięć pochodziło od osobników młodych. Dwa z nich w chwili śmierci nie ukończyły 4–6 miesięcy życia. Także w przypadku małych przeżuwaczy odnotowano przewagę pozostałości kostnych zwierząt dojrzałych, o ukończonym procesie rozwoju kośćca. Jedynie jedna kość ramienna należała do osobnika bardzo młodego, poddanego ubojowi w wieku poniżej 3 miesiąca życia. W przypadku świni ¼ szczątków należała do osobników niedojrzałych morfologicznie, a dwa z nie ukończyły 3 miesiąca życia. Znaleziony w materiale ząb konia również świadczy o młodym wieku zwierzęcia, przeżyło ono około 2,5–3,5 lat. Nieliczne dane odnoszą się do płci zwierząt. Wśród resztek kostnych świni oznaczono jeden fragment należący do samicy, a świni lub dzika do samca. Jeszcze skromniejsze dane przyniosła analiza morfologii zwierząt. Pozyskano wymiary trzech członów palcowych (owcy, świni i sarny) oraz szerokość końca dalszego kości ramiennej sarny, które nie dają podstaw do rekonstrukcji rozmiarów osobników, do których należały.

Ocena tafonomiczna materiału wskazuje na jego pokonsumpcyjny charakter, aczkolwiek tylko 8 fragmentów nosi ewidentne ślady obróbki rzeźnej (wyłącznie ślady rąbania). Dotyczą one łopatek i ko-

Tabela 4. Szczątki kostne z grodziska w Łodygowie, st. 2 (oprac. A. Grężak)

Identyfikacja zoologiczna	Wczesna epoka żelaza	Wczesne średniowiecze	Współczesność	Suma
Ptaki *Aves*	0	2	1	**3**
Bydło *Bos primigenius* f. *taurus*	12	37	4	**53**
Owca/koza *Ovis ammon* f. *aries*/ *Capra aegagrus* f. *hircus*	2	8	1	**11**
Świnia *Sus scrofa* f. *domestica*	4	11	6	**21**
Koń *Equus ferus* f. *caballus*	1	6	0	**7**
Ssaki udomowione	19	62	11	**92**
Łoś *Alces alces*	0	1	0	**1**
Sarna *Capreolus capreolus*	3	2	4	**9**
Sus (dzik lub świnia) *Sus scrofa*	8	0	0	**8**
Bóbr *Castor fiber*	0	3	0	**3**
Ssaki dzikie	11	6	4	**21**
Nierozpoznane	3	8	1	**12**
Suma	**33**	**78**	**17**	**128**

ści długich bydła, owcy lub kozy, sarny oraz łosia. W opisywanym zbiorze znaleziono jeden fragment poroża sarny, zrzutek, mogący stanowić surowiec do wytwórczości rogowiarskiej, ale nie zarejestrowano na nim żadnych śladów, mogących mieć z nią związek.

Podsumowując można zasugerować, że podstawą diety mieszkańców grodziska w Łodygowie, st. 2, była – zarówno we wczesnej epoce żelaza, jak i we wczesnym średniowieczu – wołowina i wieprzowina. Mniej spożywano mięsa pochodzącego od małych przeżuwaczy (dotychczas poświadczono jedynie hodowlę owiec), a w niewielkim stopniu jadłospis był uzupełniany mięsem zwierząt dzikich oraz ptaków. Zestaw odnotowanych gatunków zwierząt wolno żyjących wskazuje na penetrowanie w celach łowieckich różnych środowisk, zarówno terenów porośniętych i podmokłych, jak i obszarów otwartych, położonych w sąsiedztwie lasów.

CHRONOLOGIA STANOWISKA

URSZULA KOBYLIŃSKA

Badania wykopaliskowe na terenie grodziska w Łodygowie, st. 2 wykazały, że wyspa, na której znajduje się grodzisko, była użytkowana w różnych okresach chronologicznych. Najstarsze ślady osadnictwa, w postaci zabytków krzemiennych, pochodzą ze środkowej epoki kamienia. Następnie wyspa była miejscem pobytu ludności schyłkowoneolitycznej z kręgu kultur sznurowych, reprezentującej najprawdopodobniej tzw. zespoły typu Ząbie–Szestno. Po kolejnej przerwie osadniczej wyspa stała się miejscem intensywnego osadnictwa obronnego ludności kultury kurhanów zachodniobałtyjskich z II fazy tej kultury, czyli ze schyłku okresu halsztackiego i z okresu lateńskiego. Po długiej przerwie niezbyt intensywnie użytkowanie wyspy miało miejsce w starszych fazach wczesnego średniowiecza, zapewne w VIII–IX w., a następnie wzniesienie fortyfikacji na wyspie i jej dłuższe użytkowanie miało miejsce w XI–XIII w. Taka chronologia, sugerowana datowaniem materiału ceramicznego, potwierdzona została datowaniem termoluminescencyjnym polepy z konstrukcji wału, które dało datę 0,858(65)ka, czyli przedział chronologii 1027–1157 AD.

Wreszcie, ostatnim etapem historycznego użytkowania wyspy musiały być czasy późnego średniowiecza i wczesnej nowożytności, poświadczone nielicznymi znaleziskami ceramiki „siwej" i polewanej.

DZIEJE GRODZISKA W ŁODYGOWIE, ST. 2

DARIUSZ WACH

Położona blisko lądu, a równocześnie oblana wodami jeziora, z natury obronna wyspa w Łodygowie, st. 2 była atrakcyjnym miejscem zamieszkania w różnych okresach historycznych. Osadnictwo, które miało tu miejsce w epoce kamienia, nie pozostawiło – poza nielicznymi znaleziskami zabytków krzemiennych i pojedynczych fragmentów ceramiki – żadnych trwałych śladów w stratyfikacji stanowiska archeologicznego, wskutek późniejszych przekształceń tego terenu. Działalność człowieka we wczesnej epoce żelaza, poświadczona licznymi znaleziskami ceramiki, zostawiła ślady terenowe głównie we wschodniej części grodziska – częściowo w obrębie majdanu, strefy przykrawędziowej, a przede wszystkim wschodniego stoku. Nawarstwienia z tego okresu wskazują na kilkuetapowość ówczesnego użytkowania grodu. W etapie pierwszym jego wschodnie, stosunkowo łagodne, zbocze nie miało charakteru obronnego i łagodnie przechodziło w obszar majdanu. Miejsce to użytkowane było raczej dość długo (o czym świadczy grubość warstw rozciągłych) lecz niezbyt intensywnie. Na etapie kolejnym przekształcono (zasypując i niwelując niższe poziomy) obszar krawędzi i częściowo stoku. Na stropie tak uformowanej powierzchni stała ściana drewniana, która uległa spaleniu, o czym świadczy pas ziemi wysyconej popiołami. Po gwałtownym pożarze, który zniszczył ową strukturę, i częściowym zniwelowaniu pożarowiska, na stoku grodu powstały dwie kolejne liniowe konstrukcje drewniane (ściany lub płoty), wzmacniające zapewne w istotny sposób obronność łatwo dostępnego w tym miejscu grodu. Także one zostały zniszczone wskutek pożaru (jego reliktami były dwa pasy popiołów), który położył kres aktywności ludzkiej na wzgórzu grodowym w okresie starożytnym.

Ponownie zaczęło ono być użytkowane (także kilkuetapowo) dopiero w okresie wczesnego średniowiecza. Początkowo zapewne osadnictwo w starszych fazach wczesnego średniowiecza miało tu charakter otwarty. Później, zapewne w XI w., dokonano gruntownych modyfikacji morfologii wyspy, naruszając w istotny sposób starsze nawarstwienia z wczesnej epoki żelaza, w celu nadania wyspie charakteru obronnego. W zsuwowej lub niwelacyjnej, grubej warstwie ziemnej, w obrębie końca wschodniego stoku dokonano jego obcięcia – ustromienia. W tym samym zapewne czasie wykopano, po wewnętrznej stronie krawędzi zbocza, w zachodnich i północnych częściach wzgórza grodowego, U-kształtną fosę wewnętrzną. Następnie we wschodniej części krawędzi północnej grodu została zbudowana konstrukcja (prawdopodobnie masywna ściana drewniana), której pozostałością stał się rozległy obszar polepy z odciskami elementów drewnianych. W narożniku NW grodu wybudowano – jak się wydaje – małą, kolistą wieżę (z której pozostał ślad w postaci obszaru pokrytego polepą). U podnóża wschodniego stoku grodu, zapewne w celu podniesienia walorów obronnych, został także wykopany rów lub niezbyt głęboka fosa zewnętrzna. W tym czasie obszar wschodniego końca majdanu musiał być wykorzystywano gospodarczo – w celowo wykonanym zagłębieniu gruntu umieszczono na podporach kamiennych dużą prażnicę glinianą.

Kres tej intensywnej działalności położył gwałtowny pożar, który zniszczył wspomniane wcześniej ściany drewniane na krawędzi północnej grodu, jak też zostawił wyraźne ślady w fosie wewnętrznej. Obiekty zagłębione w obrębie grodziska zostały częściowo, a w miarę upływu czasu niemal całkowicie, zapełnione warstwami podestrukcyjnymi.

Okres późnośredniowieczny i nowożytny zostawił po sobie jedynie pojedyncze (nieliczne fragmenty ceramiki) ślady bytności człowieka w obrębie grodziska.

Stary Folwark, st. 1

Gmina Kisielice

Powiat iławski

AZP 27-50/18

Współrzędne geograficzne:

N 53° 37’ 55,72”

E 19° 20’ 33,22’’

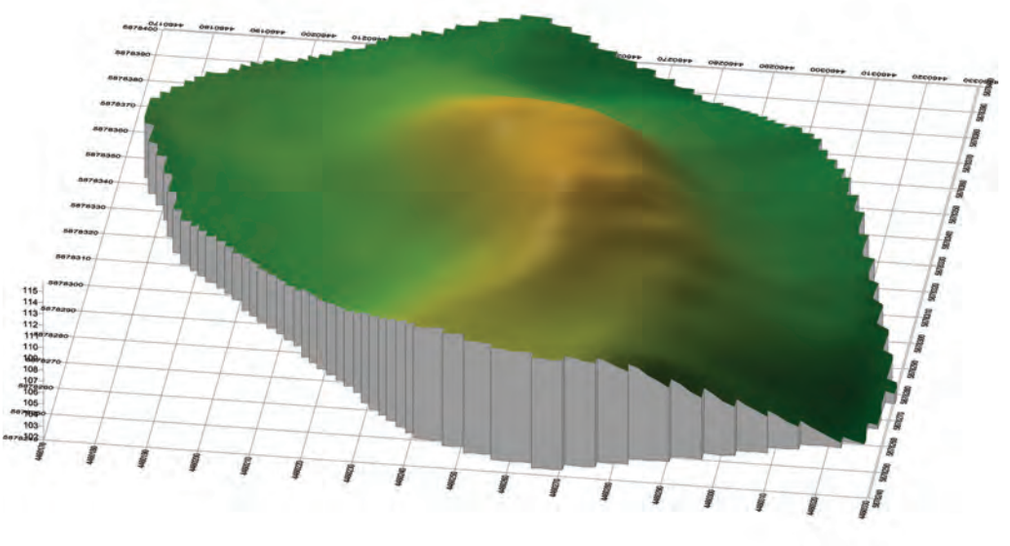

Ryc. 1. Grodzisko w Starym Folwarku, st. 1 na mapie w skali 1:25 000 (na podstawie materiałów CODGiK, oprac. R. Solecki)

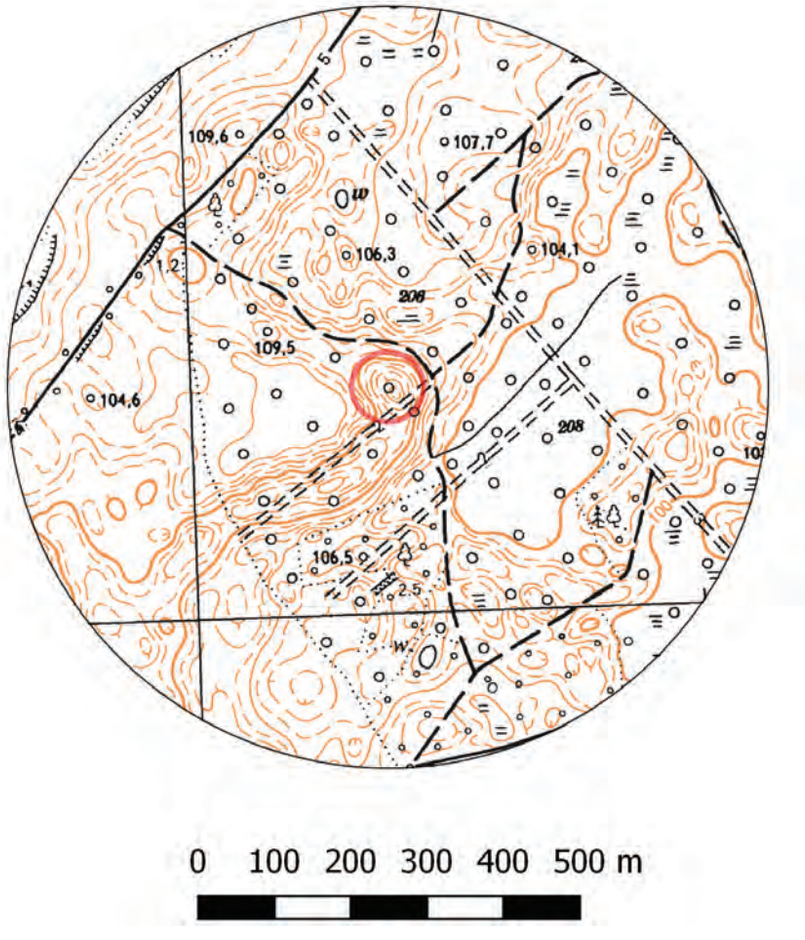

Ryc. 2. Grodzisko w Starym Folwarku, st. 1 na mapie w skali 1:10 000 (na podstawie materiałów CODGiK, oprac. R. Solecki)

POŁOŻENIE GRODZISKA I JEGO FORMA

ANETA CHOJNACKA-BANASZKIEWICZ I DARIUSZ WACH

Grodzisko w Starym Folwarku, st. 1 zajmuje północno-zachodnią, czytelnie wyodrębnioną od otaczającego je terenu, część wzgórza usytuowanego na lokalnym, podmokłym obniżeniu terenu. Owalny majdan grodziska rozciąga się na długości około 35 m, a całe grodzisko wraz ze stokami liczy około 80 m długości. Od strony północnej oraz północno-zachodniej, a zwłaszcza północno-wschodniej ma wyraźne, strome zbocza. Od strony południowo-wschodniej i południowej zbocza te stają się łagodniejsze i przechodzące w obszar kontynuacji wzgórza. W tej części stanowiska widoczne są linie wałów i fos (ryc. 1–5).

Ryc. 3. Grodzisko w Starym Folwarku, st. 1: widok od strony południowej (fot. J. Wysocki)

ŚRODOWISKO FIZYCZNO-GEOGRAFICZNE

JERZY NITYCHORUK I FABIAN WELC

Grodzisko w Starym Folwarku, st. 1 znajduje się na pagórku, który w swojej północnej części jest najwyższy. Wysokość pagórka osiąga ponad 117 m n.p.m., przy wysokości towarzyszącego mu od E obniżenia – 100 m n.p.m. Okolice stanowiska archeologicznego zbudowane są z gliny zwałowej. Na takim obszarze rozwinęły się gleby płowe, głównie IV klasy. Miejsca obniżeń położone na zachód od grodziska, to obszary po dawnych zbiornikach, na których rozwinęły się gleby bagienne (ryc. 6).

W stanowisku wykonano sześć wierceń dokumentujących sytuację geologiczną opisywanego pagórka (ryc. 7), na podstawie których wykonano przekrój geologiczny A–B zorientowany na linii N–S (ryc. 8).

W warstwie przypowierzchniowej (do 1 m) stwierdzono piasek średnioziarnisty barwy jasno- i ciemnobrązowej z licznymi fragmentami organiki i zwęglonymi korzeniami roślin. Analiza tego osadu nie dostarcza przekonywujących dowodów na długotrwałą aktywność ludzką, a jego ciemna barwa wynika z zajmowania tego pagórka przez las i produkcję organiczną z tym związaną. Niewątpliwie jednak szczytowa partia pagórka została w pewnym stopniu przekształcona antropogenicznie, co dobrze ilustrują dane ALS.

Poniżej warstwy piaszczystej leży warstwa gliny zwałowej, którą udało się przewiercić w wierceniu Ł–4, gdzie na głębokości 1,5 m występuje piasek drobnoziarnisty, niekiedy z domieszką żwirów. Na *Szczegółowej mapie geologicznej Polski w skali 1:50 000, arkusz Kisielice*[1] opisywany pagórek i wysoczyzna wokół niego zbudowana jest z gliny zwałowej zlodowacenia Wisły, która występuje na tym arkuszu powszechnie. Glina ta może zawierać przewarstwienia piasków wodnolodowcowych, co zostało udokumentowane w niniejszym opracowaniu. Kształt opisywanej formy, czyli półkolisty wał oraz towarzyszące mu obniżenia, szczególnie dobrze widoczne na E i na W, mogą sugerować akumulację osadów budujących pagórek w szczelinie między bryłami martwych lodów, stąd naprzemienne warstwy gliny zwałowej i piasków wodnolodowcowych.

[1] Uniejewska 2003.

BADANIA ARCHEOLOGICZNE

ANETA CHOJNACKA-BANASZKIEWICZ I DARIUSZ WACH

Przebieg badań terenowych

Stanowisko zostało odkryte podczas analizy danych ALS przez Zbigniewa Kobylińskiego i Jacka Wysockiego w roku 2014. Prace terenowe przeprowadzono w 2014 r. Łącznie na omawianym obszarze otworzono cztery wykopy, o łącznej przebadanej powierzchni 94 m^2 (ryc. 9).

Wykop 1, który miał potwierdzić antropogeniczny charakter nawarstwień wybranej do badań partii wzgórza, określić ich miąższość i relacje stratygraficzne, wyznaczony został tak, aby poczynając od południowo–wschodniej, łagodnie opadającej krawędzi stoku, przecinał go aż do miejsca gdzie stok ten zanikał. Wykop 1 miał 27 m długości i 1 m szerokości, jedynie w górnej partii, w miejscu odkrycia dużych obiektów archeologicznych, na odcinku 4 m postanowiono zwiększyć jego szerokość do 2 m. Wykop 3 sąsiadujący z wykopem 1, usytuowany został tuż przy krawędzi południowej części grodziska, porzecznie do dłuższej osi wykopu pierwszego tak, aby stykał się z nim na-

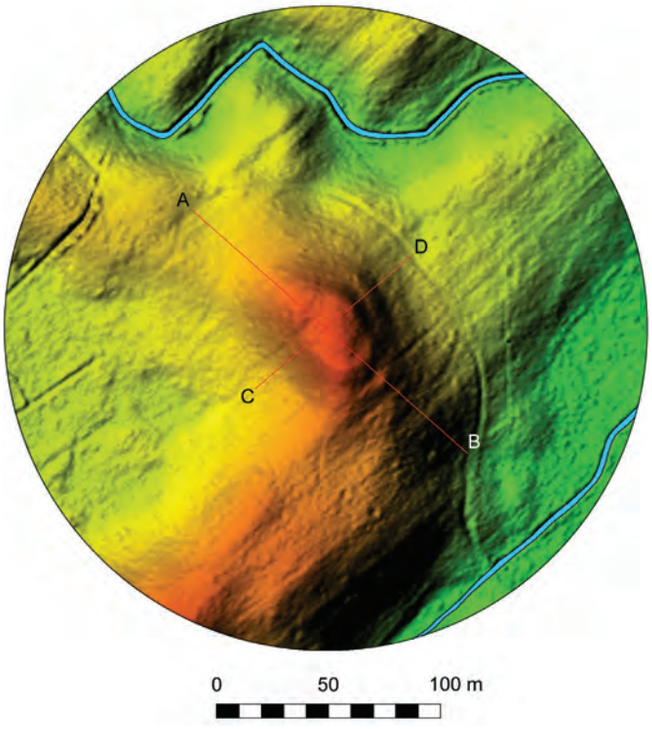

Ryc. 4. Grodzisko w Starym Folwarku, st. 1 na zobrazowaniu ALS (na podstawie materiałów CODGiK, oprac. R. Solecki)

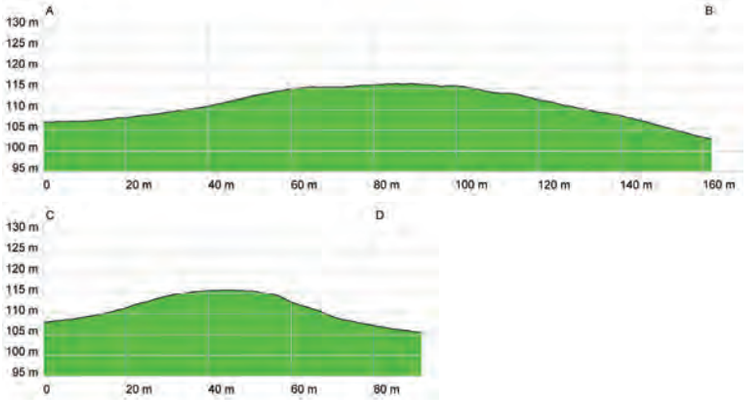

Ryc. 5. Przekroje grodziska w Starym Folwarku, st. 1, uzyskane z danych ALS (oprac. R. Solecki)

rożnikiem. Otwierając ten wykop zamierzano przede wszystkim rozpoznać kontynuację w kierunku wnętrza majdanu nawarstwień odkrytych w ścianie zachodniej wykopu 1. Pierwotnie wykop 3 miał wymiary 3 x 4 m, w trakcie eksploracji okazało się jednak, iż niezbędne jest jego powiększenie w kierunku południowym, jak również ku zachodowi, tak aby dokładnie prześledzić przebieg warstw wykraczających poza jego pierwotny zasięg. Aby rozpoznać nawarstwienia wnętrza obszaru grodziska, na linii stanowiącej przedłużenie dłuższej ściany wykopu 1, wykonano na długości 20 m w kierunku północnym, serię kilkudziesięciu odwiertów, gdzie założono wykop 2 o wymiarach 2 x 4 m. Interesujących rezultatów spodziewano się także w północno-zachodniej części grodziska, tuż przy krawędzi stoku, gdzie uwagę badaczy zwróciło nieznaczne podłużne zagłębienie terenu, dzielące częściowo wspomniany obszar. Wytyczony w tym miejscu wykop 4, który swoim dłuższymi bokami nawiązywał do osi podłużnej wykopu 1, miał 15 m długości i 1 m szerokości, jedynie w części południowej przecinającej wspomniane zagłębienie, na skutek znalezionych tam później artefaktów, na odcinku 4 m poszerzony został do 2 m. Północny skraj wykopu przekraczał nieznacznie w tym obszarze krawędź grodziska.

Stratygrafia stanowiska

Ogółem wyróżniono w czasie badań 122 jednostki stratygraficzne (tab. 1 i ryc. 10)

Wykop 1 i 3 (ryc. 11–21)

Najważniejszymi odkrytymi na tym terenie przekrojami są ślady trzech rowów lub fos, z których dwa (19=116 i 28) są zapewne starsze, natomiast rów 37 – młodszy. Prawdopodobnie równocześnie z rowem 37 funkcjonował na tym obszarze rów 98, zaobserwowany głównie w obrębie wykopu trzeciego, ale widoczny jest także w zachodniej ścianie wykopu 1. Całość zaobserwowanych nawarstwień sugeruje, iż grodzisko to użytkowane było dość intensywnie, a po zniszczeniu pierwszych budowanych tam konstrukcji, było odbudowywane i przebudowywane.

Calcem dla tej części wzgórza były, różnej miąższości, zalegające w różnorodnych wzajemnie układach, warstwy jednorodnej gliny (40=103, 41, 52 i 53) wraz z jasnymi warstwami i warstewkami oraz wytrąceniami węglanu wapnia, a także warstwy jasnych, zbitych drobnoziarnistych piasków i piasków zglinionych 50, 51, 53, 54 i 55, występujących w górnej części zbocza pod, a w dolnej ponad, wspomnianymi warstwami gliny. Na długości 27 m południowego zbocza grodziska miąższość odkrytych nawarstwień nadcalcowych jest zróżnicowana i wynosi od 0,2 m w dolnej partii stoku, przez 1,1 m w około 10-metrowej długości kompleksie warstw wypełniających płytkie, rozlegle obniżenie stoku, ponownie 0,2 m miąższości nieco powyżej tego zagłębienia oraz średnio 0,4 m w górnej części zbocza, gdzie znacznie większą miąższość osiągały wypełniska trzech rowów.

Faza A

Analizując wszystkie nawarstwienia tej partii południowego stoku grodziska, wydaje się, iż pierwotnym przejawem aktywności ludzkiej w jego obrębie było

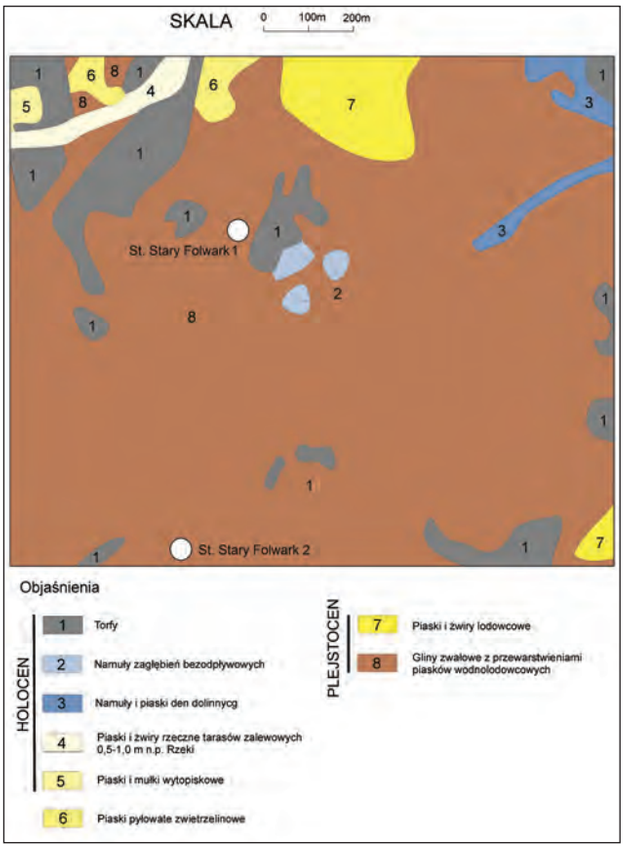

Ryc. 6. Mapa geologiczna okolic grodziska w Starym Folwarku, st. 1 (oprac. J. Nitychoruk i F. Welc)

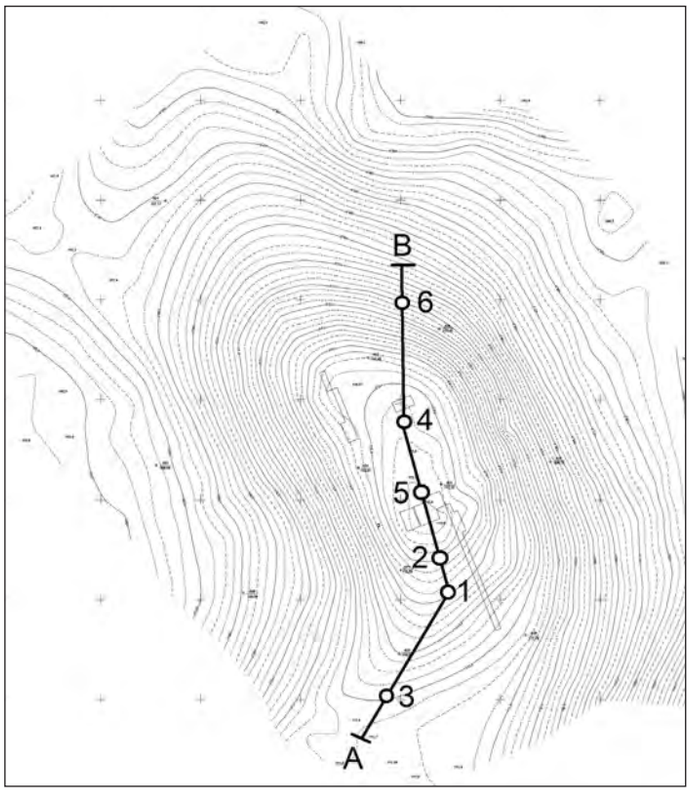

Ryc. 7. Plan warstwicowy grodziska w Starym Folwarku, st. 1 (wyk. J. Błaszczyk) z zaznaczonymi miejscami wiercen geologicznych (oprac. J. Nitychoruk i F. Welc)

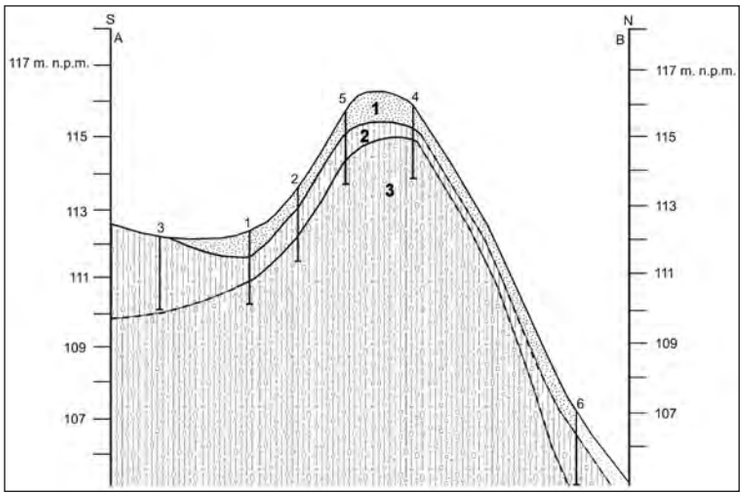

Ryc. 8. Przekrój geologiczny przez grodzisko w Starym Folwarku, st. 1. 1 – piasek różnoziarnisty, 2 – glina piaszczysta, 3 – piasek gliniasty (oprac. J. Nitychoruk i F. Welc)

wykopanie w gliniastym podłożu, tuż przy krawędzi grodziska, dwóch, oddalonych od siebie o 2 m dużych rowów (19=116 i 28). Rów 19=116, który najprawdopodobniej stanowi najstarszą konstrukcję w tym miejscu, usytuowany był ku wnętrzu grodziska, tuż za krawędzią stoku. Miał on 2,8 m szerokości, rynnowaty przekrój oraz 0,9 m głębokości. Rów ten, zidentyfikowany w wykopie 1, kontynuował się na obszarze odległego o 2 m ku zachodowi wykopu 3. We wschodniej części tego wykopu niemal całkowicie zniszczony był przez młodszy od niego rów 98. Wypełniskiem fosy 19=116 w wykopie 1 była jednolita, tłusta warstwa jednorodnej, wyraziście brązowej gliny 18 z nielicznymi kamykami i rdzawymi oraz białymi węglanowymi wytrąceniami. Na obszarze wykopu 3 wypełniskami tego rowu były natomiast przemieszane, piaszczysto-gliniasto-żwirowe warstwy 73 i 99. Materiał ceramiczny odnotowany w jego wypełniskach, składał się z 28 fragmentów ceramiki naczyniowej, głównie wielkości 3–6 cm, stosunkowo dobrze zachowanych (tabl. 15:5–7).

Mniejszy, położony w niższej partii stoku rów 28 miał trapezoidalny w przekroju kształt, szerokość 1,2 m oraz głębokość dochodzącą do 0,7 m, płaskie dno i proste, strome ściany. Jego wypełnisko stanowiły

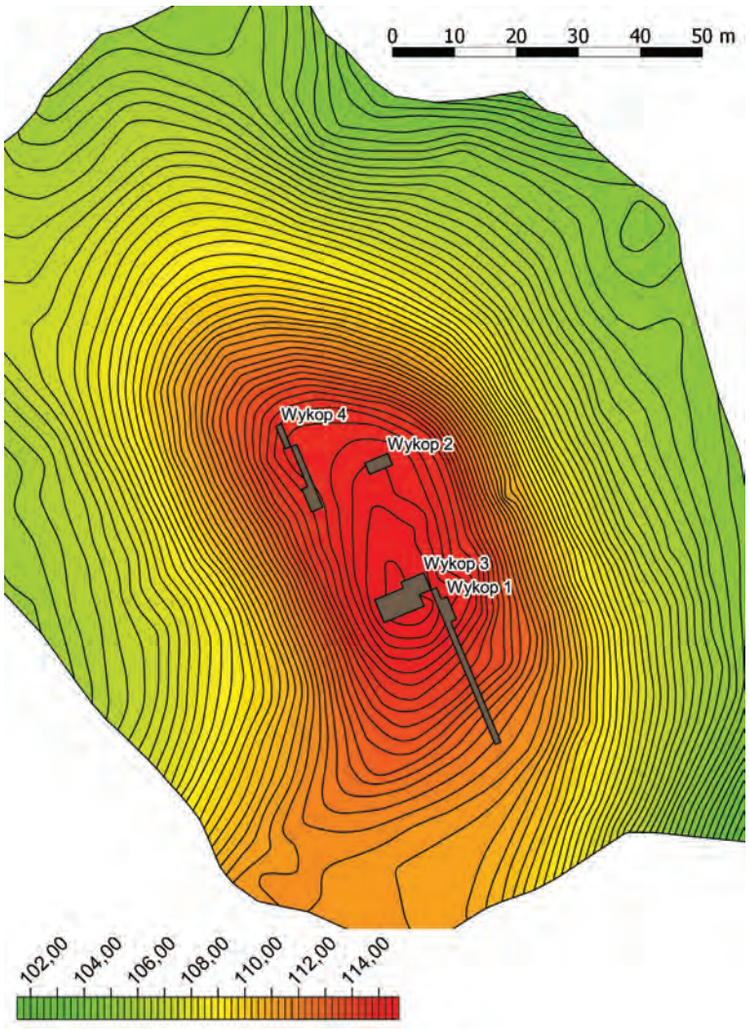

Ryc. 9. Mapa sytuacyjno-wysokościowa grodziska w Starym Folwarku, st. 1 z zaznaczonymi wykopami badawczymi (na podstawie pomiarów J. Błaszczyka, oprac. R. Solecki)

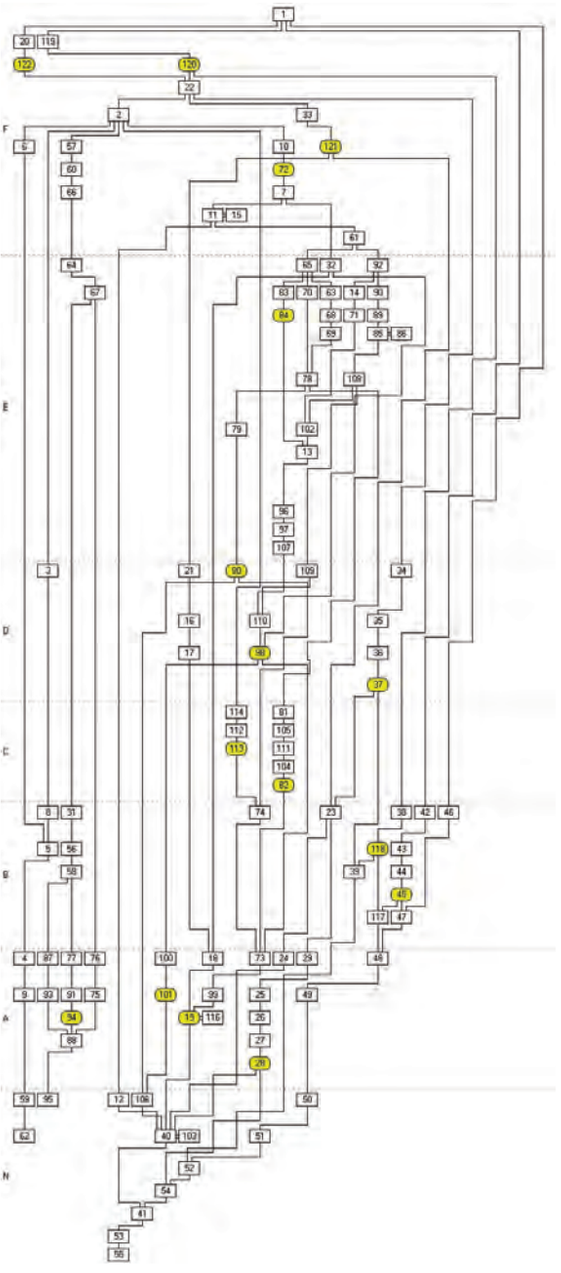

Ryc. 10. Stary Folwark, st. 1. Diagram relacji stratygraficznych (oprac. D. Wach)

przemieszane, piaszczysto-żwirowe warstwy ziemi 25, 26 i 27. W wypełniskach tego obiektu nie znaleziono żadnej ceramiki naczyniowej. Być może jednoczasowe z tym rowem jest wycięcie jego północnej krawędzi tworzące stopień. W nim, przykrywając częściowo wspomniane wcześniej wypełniska, zalegała na długości 1 m warstwa piaszczysto-żwirowa 29. W rejonie dolnych partii stoku rozciągała się rozległa, długości ponad 10 m, oraz stosunkowo gruba, do 0,65 m, warstwa zglinionej ziemi 48, która z dużym prawdopodobieństwem mogła być jednoczasowa z wykopaniem obu opisywanych rowów. W obrębie tej warstwy znaleziono 10 małych fragmentów ceramiki (tabl. 3:6–8).

Faza B

Kolejną fazę użytkowania grodu lub etap przebudowy jego konstrukcji stokowych i krawędziowych stanowią nawarstwienia stokowe oraz wypełniska omawianych wyżej rowów. Na obszarze wykopu 1, pomiędzy warstwą 48 a rowem 28 gliniasty calec 52 miał na odcinku około 3 m niemal horyzontalny przebieg. Ponad nim zalegała zakumulowana lub usypana celowo piaszczysto-żwirowa warstwa 39. Razem z podobną w charakterze warstwą 23, leżącą ponad i poza (w dół i górę stoku) wypełniskami mniejszego rowu 28, może być ona reliktem prac i akumulacji materiału po zasypaniu obu starszych rowów. Może z tego samego czasu pochodzą piaszczyste i piaszczysto-gliniaste warstwy: warstwa 117 w środkowej partii stoku oraz

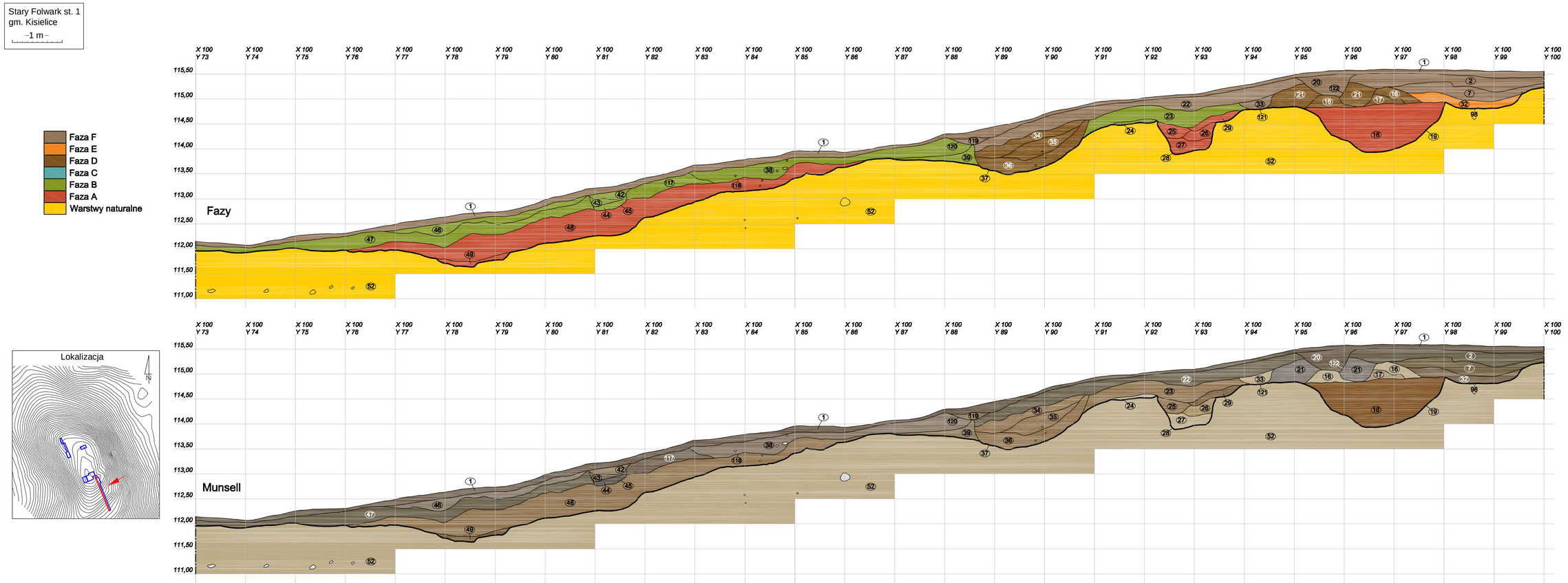

Ryc. 11. Stary Folwark, st. 1. Stratygrafia nawarstwień południowego stoku grodziska widoczna w ścianie zachodniej wykopu 1 (oprac. R. Solecki i D. Wach)

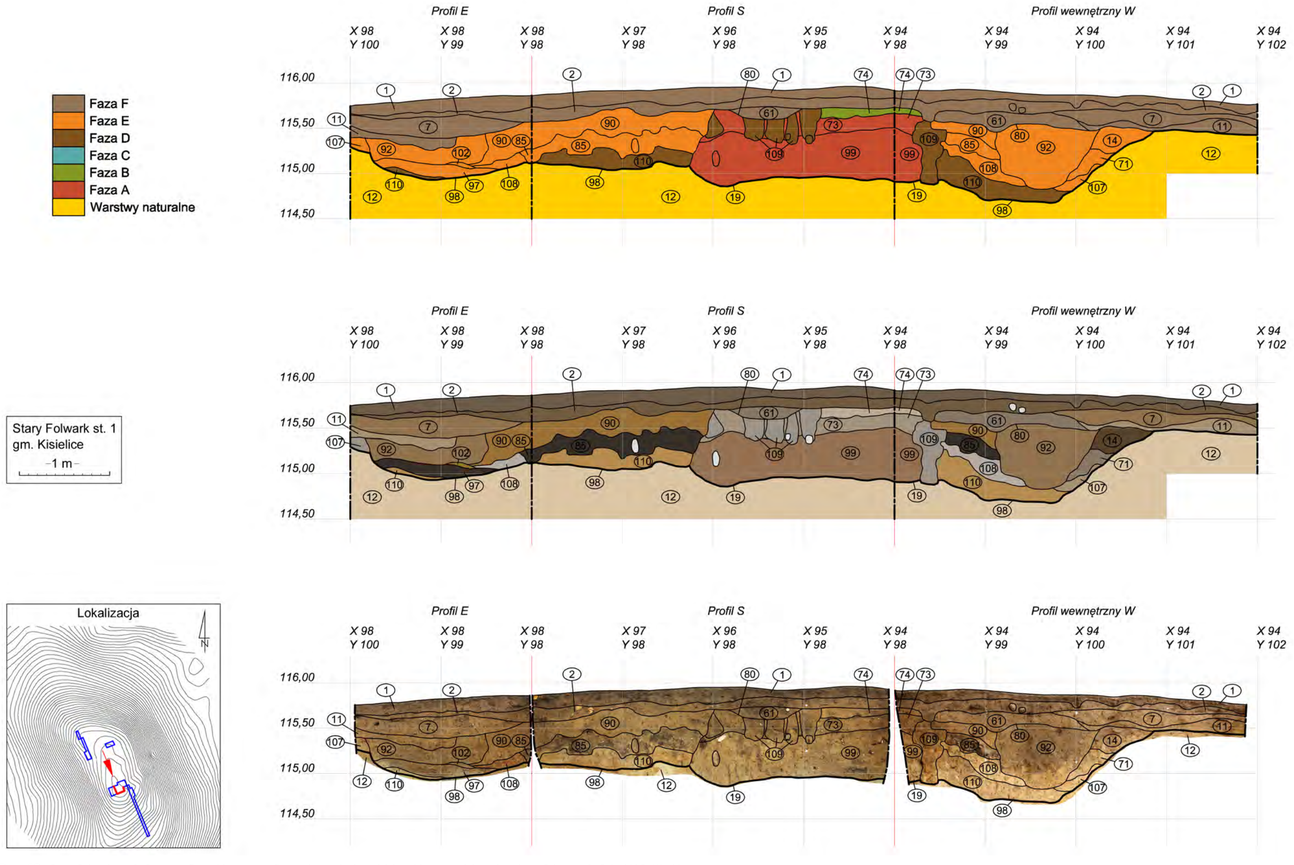

Ryc. 12. Stary Folwark, st. 1. Stratygrafia majdanu w strefie przykrawędnej grodziska widoczna w ścianach wykopu 3 (oprac. R. Solecki i D. Wach)

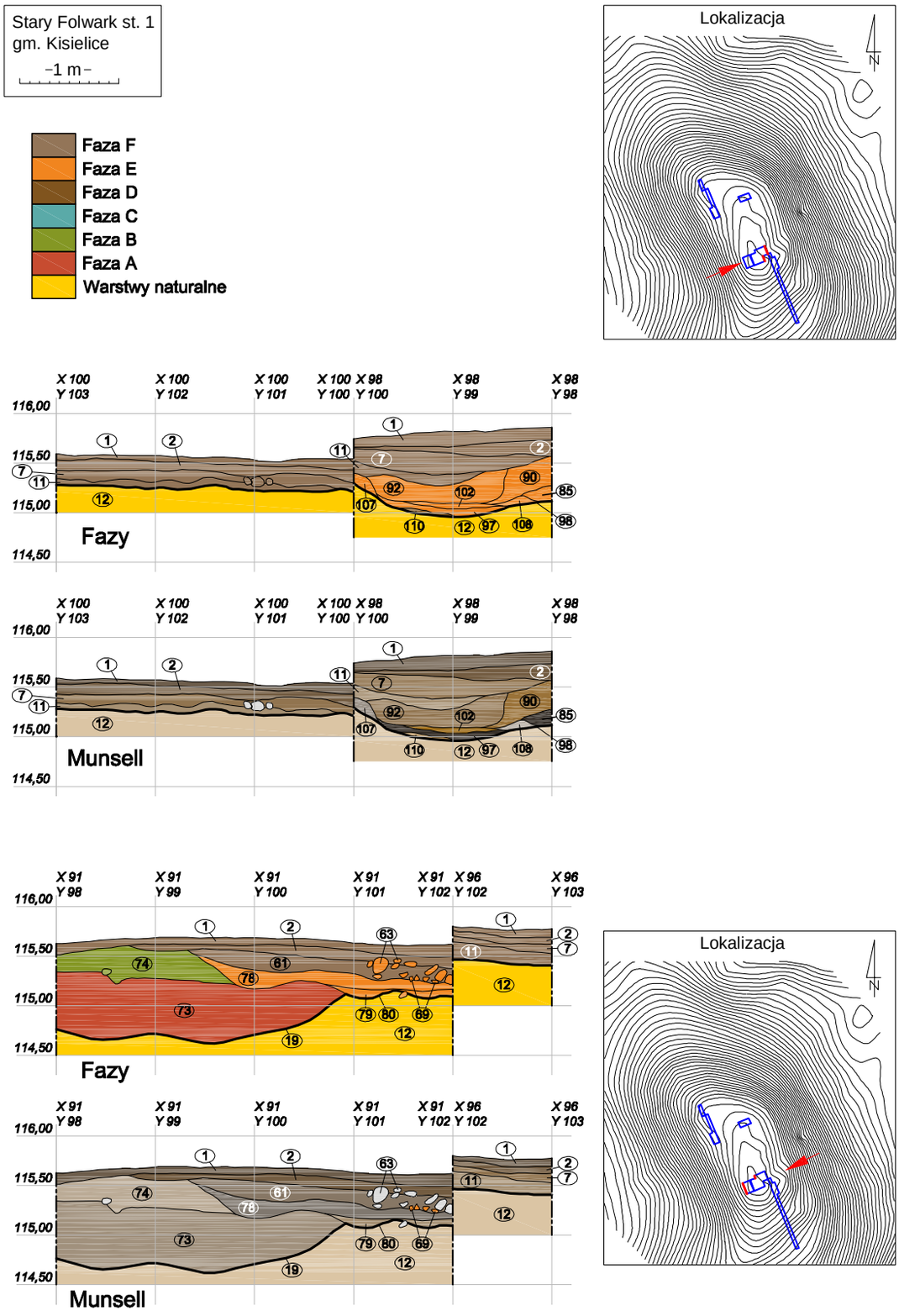

Ryc. 13. Stary Folwark, st. 1. Stratygrafia majdanu grodziska widoczna w ścianach wschodnich wykopu 3 (oprac. R. Solecki i D. Wach)

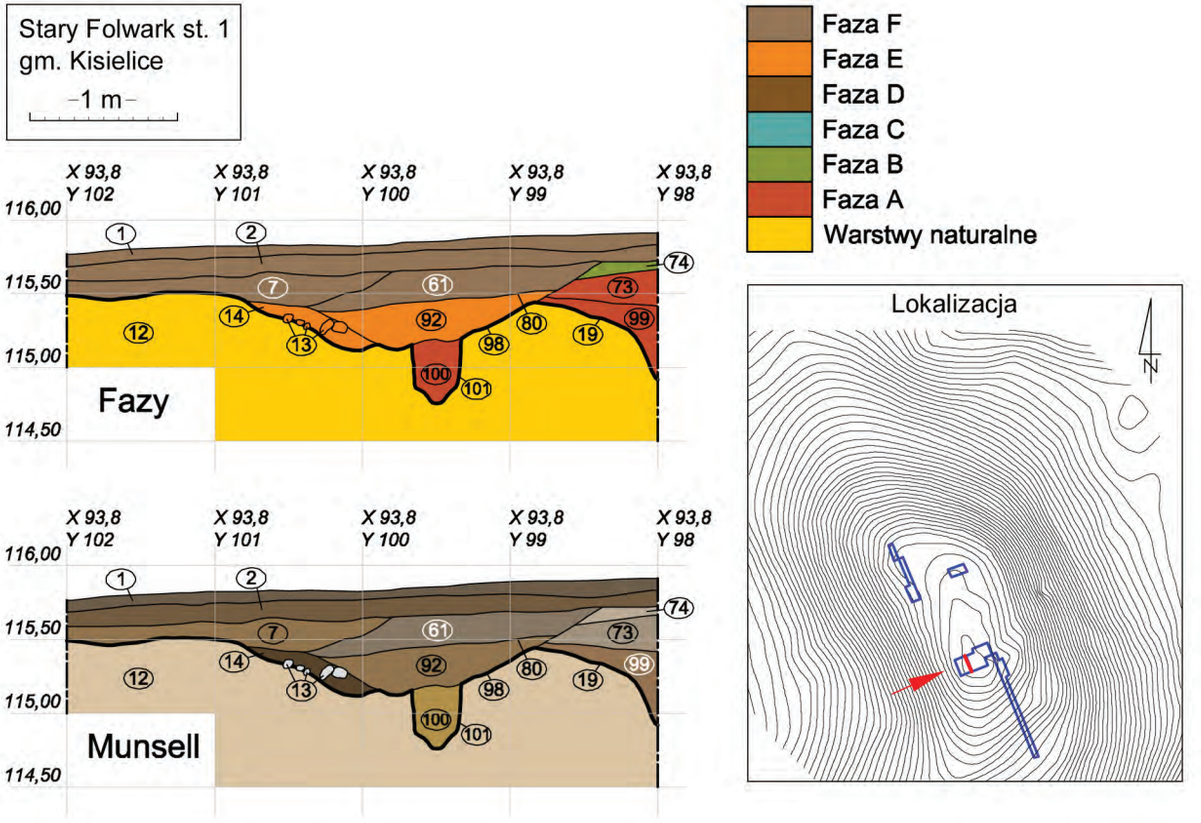

Ryc. 14. Stary Folwark, st. 1. Stratygrafia majdanu w strefie przykrawędnej grodziska widoczna w ścianie zachodniej świadka wewnętrznego w wykopie 3 (oprac. R. Solecki i D. Wach)

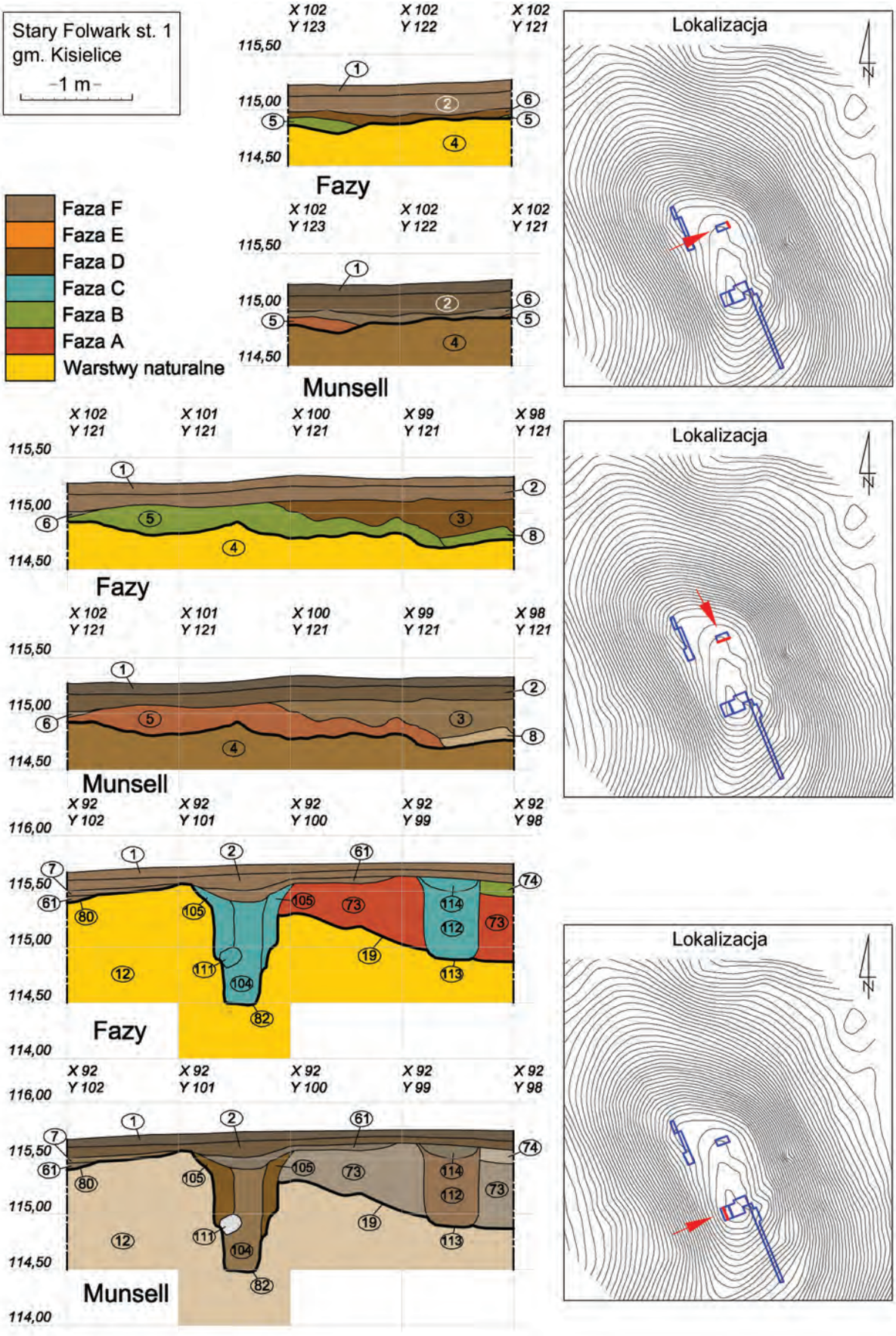

Ryc. 15. Stary Folwark, st. 1. Stratygrafia majdanu grodziska widoczna w ścianach wykopu 2 oraz strefy przykrawędnej widoczna w ścianie zachodniej świadka wewnętrznego w wykopie 3 (oprac. R. Solecki i D. Wach)

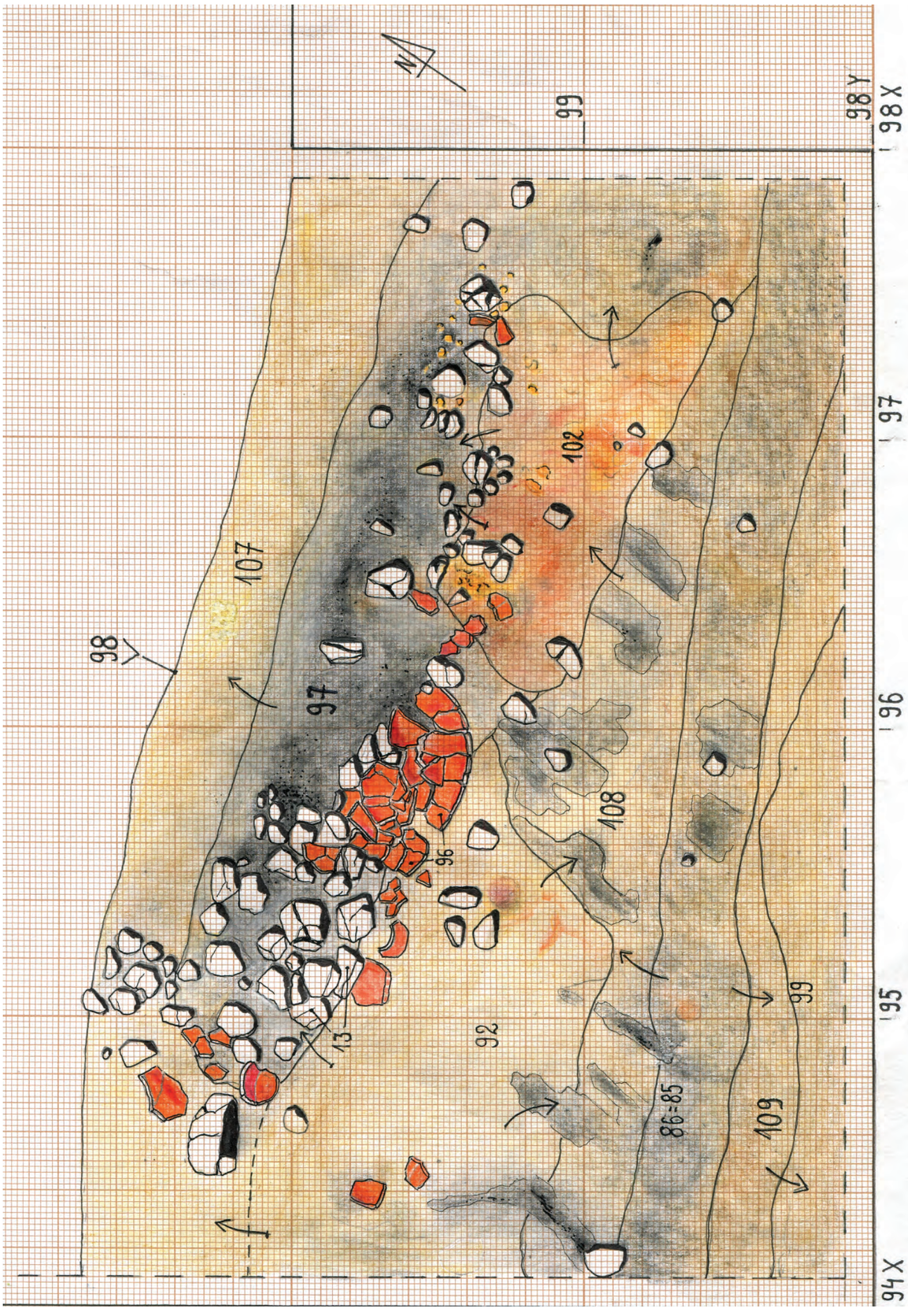

Ryc. 16. Stary Folwark, st. 1. Rów 98 z warstwami spalenizny 97, skupiskiem ceramiki 96 i warstwą kamieni 13 (rysunek polowy D. Wacha)

Tabela 1. Stary Folwark, st. 1. Badania w roku 2014. Katalog warstw i obiektów oraz ich zależności stratygraficznych (oprac. D. Wach)

Numer jednostki	Numer obiektu	Numer wykopu	Współrzędne siatki pomiarowej stanowiska	Opis jednostki stratygraficznej	Barwa (Munsell)	Pozycja stratygraficzna		Faza
						Znajduje się pod	Znajduje się nad	
1	-	1, 2, 3, 4	Całe stanowisko	Humus leśny, ściółkowy	10YR 4/2	-	2	F
2	-	1, 2, 3, 4	Całe stanowisko	Warstwa piaszczysta leżąca tuż pod humusem 1 na całym badanym obszarze stanowiska (poza południowym stokiem grodziska, gdzie odpowiadać jej może warstwa 22); miąższość 0,1–0,3 m	10YR 4/3, 4/1	22, 1	7	F
3	-	2	X=98–100; Y=121–123	Piaszczysta warstwa; miąższości do 0,25 m	10YR 5/4	2	8, 5	D
4	-	2	X=98–100,5; Y=121–123	Warstwa gliny, bardzo podobna do wyżej leżącej gliny 5; calcowa ale o stropie prawdopodobnie zniekształconym przez działalność ludzką	10YR 5/6	5,8	9	A
5	-	2	X=98,6–101,75; Y=121–123	Warstwa gliny leżącej na niemal całym obszarze wykopu 2; do 0,28 m miąższości; jednolita, sprawiająca wrażenie calcowej ale znaleziono w niej fragmenty ceramiki; jej strop opadał ku zachodowi	2,5YR 5/8	6, 8	9, 4	B
6	-	2	X=101,1–102; Y=121–123	Cienka (do 0,1 m miąższości) warstwa sypkiej, piaszczystej ziemi, leżąca we wschodniej partii wykopu 2	10YR 5/3	2	5, 9	D
7	-	1, 3	X=91,4–101; Y=97–103	Warstwa z młodszych faz grodziska; znajdowała się w przykrawędnej południowej partii grodziska; warstwa dość jednorodnej, piaszczystej i piaszczysto-pylastej ziemi z drobnymi żwirkami i kamykami; miąższość 0,1–0,3 m	10YR 5/4	2, 72	11, 32	F
8	-	2	X=98–100,19; Y=121–123	Jasna, piaszczysta warstwa z zachodniej części wykopu 2; miąższość do 0,15 m	10YR 7/4	3	8,5	B
9	-	2	X=100,05–102; Y=121–123	Warstwa calcowej gliny, ze stropem tworzącym jedną powierzchnię z pofałdowanym stropem warstwy gliny 4, pod którą wchodzi opadając stopniowo w dół; na stropie obydwu tych warstw znaleziono fragmenty ceramiki co sugeruje, że tworzyły powierzchnię, po której chodzili ludzie	2,5YR 4/6; 5Y 4/2	4,5	59, 62	A
10	72	3	X=95–97; Y=99,1–101	Wypełnisko płytkiego obiektu 72, z obszaru nad wypełniskami górnymi rowu 98; piaszczysta i pylasto-piaszczysta ziemia z drobinami węgli drzewnych (prawdopodobnie pochodzących z niżej leżących, przepalonych wypełnisk 14 i 71 rowu 98	2,5Y 4/2	2	72	F
11=15	-	3	X=91,4–101; Y=97–103	Warstwa z młodszych faz istnienia grodziska; warstwa dość jednorodnej, piaszczystej i ilasto-piaszczystej ziemi; miąższość 0,1–0,2 m	10YR 6/3	7	92, 61	F
12	-	3	X=94–99,6; Y=100–103	Gliniasto-żwirowa warstwa calcowa z przykrawędnej południowej partii grodziska; miąższość ok. 0,1 m; tworzyła nieregularne, lokalne wyniesienia, pomiędzy którymi leżała wyższa warstwa piaszczysta 11=15	10YR 4/2; 2,5Y 5/3	11	40=103	calec
13	98	3	X=94,01–97,8; Y=98,6–100,6	Jedno z wypełnisk rowu 98 z przykrawędnej południowej partii grodziska; nieregularna warstwa kamieni leżących na dnie i na stoku rowu 98; widoczna w pasie 4 m; na stoku rowu przykryta była warstwami przepalonej ziemi 14 i 71, zaś w obrębie dna i częściowo stoku rowu – polepą 102 i popiołami 108 oraz warstwą 92; warstwy te wypełniały też przestrzenie między kamieniami; leżała natomiast na spaleniznach 97 oraz nad i między warstwą fragmentów naczyń ceramicznych 97 oraz na warstwie 107; kamienie miały śr. 5–30 cm; nie były spękane		102, 14, 71	96	E
14	98	3	X=94,01–97,8; Y=98,6–100,6	Jedno z wypełnisk rowu 98 z przykrawędnej południowej partii grodziska; warstwa (czy raczej kompleks warstewek naprzemiennych z jaśniejszymi warstewkami popiołowymi) zbitej ziemi leżącej na stoku rowu 98; widoczna w pasie 4 m; w jej obrębie znajdowały się drobiny węgli drzewnych oraz małe grudki polepy; na stoku rowu przykryta była warstwą ziemi 92, leżała na podobnej lecz bardziej jednolitej i wysyconej drobinami węgli drzewnych ziemi 71 oraz nad i między kamieniami 13	10YR 3/3	92	71, 13	E
16	-	1	X=100–102; Y=95,2–96,2 i 96,6–97,54	Pozostałości spalonych konstrukcji drewnianych z późnej fazy użytkowania grodziska; warstwa jasnego, przepalonego piasku i popiołów z drobnym żwirkiem oraz rdzawymi, żyłkowatymi, gliniastymi wtrętami; tworzyła w przekroju wysoki na 0,4 m wał przedzielony warstwą 21; być może pozostałości dwóch linii słupów oddalonych od siebie o ok. 0,8 m, które uległy spaleniu i utworzyły dwa bliźniacze wałki popiołów, o dł. 0,8–1,1 m	2,5Y 7/3; 10YR 5/4	21	17	D
17	-	1	X=100–102; Y=96,5–97	Mała, lokalna warstwa zbitej ziemi; miąższości do 0,2 m; widoczna na odcinku 0,5 m	2,5YR 3/4; 5YR 4/4	16	18	D

Tabela 1. Ciąg dalszy

Numer jednostki	Numer obiektu	Numer wykopu	Współrzędne siatki pomiarowej stanowiska	Opis jednostki stratygraficznej	Barwa (Munsell)	Pozycja stratygraficzna		Faza
						Znajduje się pod	Znajduje się nad	
18	19	1	X=100–102; Y=95,2–98,4	Wypełnisko fosy 19 ze starszej fazy użytkowania grodziska; jednolita warstwa tłustej gliny z niewielką domieszką drobnych kamyków oraz białymi wytrąceniami węglanu wapnia; miąższość do 0,95 m	7,5YR 4/6	17, 16, 32	19	A
19=116	-	1, 3	X=91–100; Y=95,2–98,4	Duża fosa ze starszej fazy użytkowania grodziska; w przekroju kształt nieckowaty, szer. 2,8 m, gł. 0,95 m; jej kontynuacja na obszarze wykopu 3 niemal całkowicie została zniszczona przez późniejszy rów 98; piaszczysto-gliniasto-żwirowe zmieszane warstwy 73 i 99 leżące na południe od tego rowu i przez niego niszczone są zapewne wypełniskami kontynuacji starszej fosy, która w wykopie 3 oznaczona została numerem 116		18	40=103	A
20	122	1	X=100–100,65; Y=95–96,2	Bezpośrednio podhumusowe wypełnisko późnego wkopu bądź śladu po drzewie 122; sypki piasek o miąższości do 0,5 m	10YR 4/2	1	122, 2, 22, 21, 16	F
21	-	1	X=100–102; Y=94,6–95,55	Gruba do 0,6 m warstwa sypkiej ziemi z drobnym żwirkiem oraz drobinami węgli drzewnych, a w spągu z domieszką popiołu; prawdopodobnie pozostałość przedpola spalonej konstrukcji drewnianej z młodszej fazy grodziska	10YR 5/3; 10YR 5/1	121, 22	16	D
22	-	1	X=100–102; Y=88,6–95,18	Bezpośrednio podhumusowa warstwa z południowego stoku grodziska; sypka ziemia z niewielką domieszką drobnego żwirku; zapewne odpowiada niżej położonej na stoku warstwie 2, od której oddzielona jest jedynie obiektem 122; obserwowalna na odcinku 6,5 m; do 0,3 m miąższości	2,5Y 4/2	120, 122, 1	33,34	F
23	-	1	X=100–101; Y=90,8–94,1	Warstwa z południowego stoku grodziska; widoczna na odcinku 6,5 m; twarda ziemia z dużą domieszką żwirku i małą węgielków drzewnych; miąższość do 0,3 m	10YR 5/4	37, 121, 22	24, 29, 25	B
24	-	1	X=100–101; Y=91,35–92,25	Płat ziemi z południowego stoku grodziska; widoczny na odcinku 0,85 m; do 0,1 m miąższości; bardzo sypki, pylasty, przepalony piasek z domieszką żwirku	10YR 6/4; 2,5Y 7/3	23	40=103	A
25	28	1	X=100–101; Y=92,25–92,98	Jedno z górnych wypełnisk fosy 28 z południowego zbocza grodziska (ze starszej fazy użytkowania grodziska); warstwa gliny widoczna na odcinku 0,73 m; do 0,3 m miąższości	10YR 5/4	29, 23	26	A
26	28	1	X=100–101; Y=92,78–93,42	Jedno z górnych wypełnisk fosy 28 z południowego zbocza grodziska (ze starszej fazy użytkowania grodziska); widoczne na odcinku 0,64 m; piasek z domieszką żwirku, do 0,28 m miąższości	10YR 6/4	25, 29	27	A
27	28	1	X=100–101; Y=92,46–93,37	Dolne wypełnisko fosy 28 z południowego zbocza grodziska (ze starszej fazy użytkowania grodziska); widoczne na odcinku 0,91 m; do 0,32 m miąższości; bardzo zbity piasek piasek i piasek z gliną z domieszką żwirku, przepalonego piasku, węgielków drzewnych i wytąceniami węglanowymi	7,5YR 4/2	25, 26	28	A
28	-	1	X=100–101; Y=92,24–93,6	Fosa z południowego zbocza grodziska (ze starszej fazy użytkowania grodziska) – ok. 3 m w dół od jego krawędzi; widoczna na odcinku 1,36 m; do 0,7 m głębokości; wkopana w gliniaste, calcowe podłoże 40=103 Wypełniskami były piaszczysto gliniaste warstwy: 27, 26, 25 i 29; jednoczasowa z leżącą od niej o 1,8 m w górę stoku większą fosą 19		27	40=103	A
29	-	1	X=100–101; Y=92,9–93,9	Jedno z górnych wypełnisk fosy 28 z południowego zbocza grodziska (ze starszej fazy użytkowania grodziska) lub zsuw na jej stropowe wypełniska; widoczne na odcinku 1 m; miąższość 0,1–0,18 m; piasek z domieszką żwirku	10YR 4/2	23	25, 26	A
31	-	4	X=88–89; Y=123–129,7	Warstwa z północno-zachodniej części grodziska (strefy krawędziowej); obserwowalna na odcinku 6,7 m w wykopie o szer. 1 m; miąższość od 0,05 do 0,3 m; ziemia piaszczysta z nielicznymi drobnymi skupiskami węgielków drzewnych w całej objętości	2,5Y 6/3; 10YR 5/3	67, 60, 2	56, 58	B
32	98	1	X=100–101; Y=97,27–99,8	Dolne wypełnisko fosy 98 z poudniowej krawędzi grodziska (z młodszej fazy użytkowania grodziska); widoczne na odcinku 1,53 m; do 0,2 m miąższości; sypka ziemia z domieszką żwirku, węgielków drzewnych i grudek polepy; może odpowiadać dolnym wypełniskom (107) kontynuacji tej fosy w wykopie 3	10YR 4/3	7	98	E
33	121	1	X=100–100,35 Y=93,9–94,6	Wypełnisko obiektu 121 z południowej krawędzi grodziska (z młodszej fazy użytkowania grodziska); przepalony piasek z warstwą popiołu przy dnie obiektu i z domieszką żwirku; widoczne na odcinku 0,7 m; do 0,23 m miąższości	2,5Y 7/3	22	121	F

Tabela 1. Ciąg dalszy

Numer jednostki	Numer obiektu	Numer wykopu	Współrzędne siatki pomiarowej stanowiska	Opis jednostki stratygraficznej	Barwa (Munsell)	Pozycja stratygraficzna		Faza
						Znajduje się pod	Znajduje się nad	
34	37	1	X=100–101; Y=88,6–90,9	Górne wypełnisko fosy 37 z południowego zbocza grodziska (z młodszej fazy użytkowania grodziska); widoczne na odcinku 2,3 m; do 0,25 m miąższości; twardy piasek z dużą domieszką żwirku oraz drobinami polepy	10YR 5/6	22	35	D
35	37	1	X=100–101; Y89,1–90,7	Jedno z górnych wypełnisk fosy 37 z południowego zbocza grodziska (z młodszej fazy użytkowania grodziska); widoczne na odcinku 1,6 m; do 0,35 m miąższości; twardy piasek z dużą domieszką żwirku oraz nielicznymi drobinami węgli drzewnych	10YR 5/4	34	36	D
36	37	1	X=100–101; Y=89,1–90,7	Najniższe wypełnisko fosy 37 z południowego zbocza grodziska (z młodszej fazy użytkowania grodziska); widoczne na odcinku 1,6 m; do 0,35 m miąższości; twardy piasek z domieszką żwirku oraz nielicznymi drobinami węgli drzewnych	10YR 5/4; 10YR 4/1	35	37	D
37	-	1	X=100–101; Y=88,6–90,96	Fosa z południowego zbocza grodziska (z młodszej fazy użytkowania grodziska) – ok. 1,3 m w dół od starszej fosy 28; widoczna na odcinku 2,36 m, do 0,6 m głębokości; wkopana była w warstwę 23 i 39; wypełniskami były piaszczyste warstwy 36, 35, 34 i podhumusowa warstwa 22; fosa ta może być jednoczasowa z leżącą od niej o 6 m w górę stoku fosą 98		36	23, 39	D
38	118	1	X=100–101; Y=82,85–88,6	Warstwa ze środkowej partii południowego stoku grodziska; wypełnisko rozległego zagłębienia bądź płytkiego obiektu 118; widoczna na odcinku 5,75 m; do 0,38 m miąższości; warstwa sypkiego, zglinionego miejscami piasku	10YR 5/2	120, 1	118	B
39	-	1	X=100–101; Y=87–88,7	Warstwa z górnej partii południowego stoku grodziska; widoczna na odcinku 1,7 m; sypka, piaszczysta ziemia z domieszką żwirków; do 0,4 m miąższości; od północy zniszczona przez fosę 37, a od południa przez zagłębienie 118	2,5Y 5/3	37, 118	52	B
40=103	-	1, 3	X=94–101; Y=90,60–103	Warstwy calcowej gliny w krawędziowej części południowej partii grodziska; w strop tej gliny wkopane były starsze fosy 37 i 19 oraz częściowo młodsza 98	7,5YR 4/4	24, 21	41, 53	calec
41	-	1	X=94–102; Y=90,60–103	Kompleks naprzemiennie leżących warstw calcowej gliny w górnej części południowego stoku i krawędzi grodziska	10YR 5/4; 5YR 4/2; 5Y 4/2	40=103	53	calec
42	45	1	X=100–100,45; Y=80,9–81,7	Górne wypełnisko obiektu 45 ze środkowej partii południowego stoku grodziska (z młodszej fazy użytkowania grodziska); sypki piasek widoczny na odcinku 0,8 m; do 0,15 m miąższości	10YR 5/3	1	43	B
43	45	1	X=100–100,45; Y=80,9–81,55	Drugie od dołu wypełnisko obiektu 45 ze środkowej partii południowego stoku grodziska (z młodszej fazy użytkowania grodziska); zbity piasek, widoczny na odcinku 0,65 m; do 0,2 m miąższości	10YR 4/3	42	44	B
44	45	1	X=100–100,45; Y=80,96–81,66	Najniższe wypełnisko obiektu 45 ze środkowej partii południowego stoku grodziska (z młodszej fazy użytkowania grodziska); sypki piasek, widoczny na odcinku 0,7 m; 0,14 m miąższości	10YR 4/3	43	45	B
45	-	1	X=100–100,45; Y=80,9–81,7	Obiekt ze środkowej partii południowego stoku grodziska (z młodszej fazy użytkowania grodziska lub późniejszy); wypełniskami były piaszczyste warstwy 42, 43 i 44; widoczny na odcinku 0,8 m; do 0,32 m głębokości, płaskie dno zgodne z kierunkiem spadku stoku; strome sciany boczne		44	47, 117	B
46	-	1	X=100–101; Y=76,7–80,85	Bezpośrednio podhumusowa warstwa z dolnej partii południowego stoku grodziska; widoczna na odcinku 4,15 m; piaszczysta, sypka ziemia; miąższość do 0,28 m	10YR 5/2	1	47	B
47	-	1	X=100–101; Y=72,8–80,95	Warstwa z dolnej partii południowego stoku grodziska; widoczna na odcinku 8,15 m; do 0,3 m miąższości; zbita, piaszczysto-gliniasta ziemia; być może jest kontynuacją warstwy 117	2,5Y 4/2	45, 46	48	B
48	-	1	X=100–101; Y=76–86,4	Warstwa z dolnej partii południowego stoku grodziska; widoczna na odcinku 10,4 m; do 0,65 m miąższości; zgliniona, mocno zbita ziemia	2,5Y 4/2	47	49	A
49	-	1	X=100–101; Y=77,8–79,3	Warstwa z dolnej partii południowego stoku grodziska; widoczna na odcinku 1,5 m; do 0,1 m miąższości; twarda, zbita gliniasta ziemia z drobinami węgielków drzewnych	10YR 5/3	48	50, 52	A
50	-	1	X=100–101; Y=72,7–78,1	Calec piaszczysty z dolnej części zbocza grodziska; widoczny na odcinku 5,4 m; do 0,38 m miąższości; sypki piasek	10YR 5/3	49, 48	51	calec
51	-	1	X=100–101; Y=72,7–77,1	Calec piaszczysty z dolnej części zbocza grodziska; widoczny na odcinku 4,4 m; do 0,4 m miąższości; sypki piasek	2,5Y 7/3	50	52	calec

Tabela 1. Ciąg dalszy

Numer jednostki	Numer obiektu	Numer wykopu	Współrzędne siatki pomiarowej stanowiska	Opis jednostki stratygraficznej	Barwa (Munsell)	Pozycja stratygraficzna		Faza
						Znajduje się pod	Znajduje się nad	
52	-	1	X=100–101; Y=72,7–90,3	Calec gliniasty z dolnej i środkowej części zbocza grodziska; widoczny na odcinku 17,6 m; do 0,8 m grubości; jednolita glina	2,5Y 7/3	50, 49, 48, 39	54	calec
53	-	1	X=100–102; Y=90,7–96,26	Calec piaszczysto-gliniasty górnej części zbocza grodziska; widoczny na odcinku 5,56 m; do 0,15 m grubości	7,5YR 4/2	28, 41	55	calec
54	-	1	X=100–101; Y=83,6–89,6	Calec; kompleks naprzemiennych, cienkich warstw piaszczystych i gliniastych w środkowej części zbocza grodziska; widoczny na odcinku 6 m; do 0,5 m grubości	7,5YR 4/2	28, 41	55	calec
55	-	1	X=100–102; Y=85,7–96,2	Calec; głęboko położony calec piaszczysty w środkowej i górnej części zbocza grodziska; widoczny na odcinku 10,5 m; co najmniej 0,5 m grubości	7,5YR 4/2	54	-	calec
56	-	4	X=87–89; Y=129,25–134	Warstwa z NW części grodziska (strefy blisko krawędziowej); obserwowalna na odcinku 4,75 m w pasie wykopu o szer. 2 m; miała miąższość do 0,25 m; ziemia ilasta	10YR 5/6 - 90%; 10YR 4/2 - 10%	31, 2	58	B
57	-	4	X=87,75–88,75; Y=122,1–122,90	Prawdopodobna pozostałość ogniska; płat ziemi popiołowej z NW części grodziska (strefy blisko krawędziowej); obserwowalny na odcinku 1 m w pasie wykopu o szer. 2 m; nieregularnie owalny w planie, śr. 0,8–1 m; piaszczysto-popiołowa ziemia z drobinkami węgli drzewnych; do kilku cm miąższości	10YR 5/1; 10YR 2/1 (węgielki)	2	60	F
58	-	4	X=87–89; Y=122,65–130,7	Warstwa z NW części grodziska (strefy blisko krawędziowej); obserwowalna na odcinku 8,05 m w pasie wykopu o szer. do 2 m; miąższość do 0,1–0,15 m; ziemia ilasto-piaszczysta	10YR 5/63 - 90%; 10YR 4/2 - 10%	31, 56	77, 87, 88	B
59	-	2	X=100,9–102; Y=121–122,55	Skupisko / pas kamieni otoczakowych leżących pomiędzy calcowymi warstwami gliniastymi 9 i 62		9	62	calec
60	-	4	X=87–89; Y=119,15–123,2	Warstwa z NW części grodziska (strefy blisko krawędziowej); obserwowalna na odcinku 4,05 m w pasie wykopu o szer. do 2 m; miąższość do 0,25 m; kilkumetrowej średnicy owal lub okrąg ponad płytkim zagłębieniem terenu przy krawędzi grodziska; ziemia piaszczysta, pylasta z nielicznymi, niedużymi kamieniami w stropie; na jej stropie leżał plat przepalonej ziemi 57	2,5Y 5/3	57, 2	66, 64, 67,31	F
61	80	3	X=91–96; Y=98–102	Warstwa z przykrawędnej części grodziska; górne wypełnisko rozciągające się w formie nieregularnego pasa ponad niższymi wypełniskami płytkiego rowu 80, który może być kontynuacją silnie się wypłycającego się w części środkowej wykopu 3 rowu 98, ponad którego górnymi wypełniskami także się rozciąga; twarda, piaszczysta, pylasta ziemia z wyraźną domieszką żwirków; ciągnęła się nieregularnymi pasem o szer. ok. 1, 6 m; miała do 0,2 m miąższości; z jej stropu wystawały liczne nieduże kamienie 63, które przykrywała	10YR 5/2; 10YR 7/3	11=15, 7	63, 65, 92, 90, 74	F
62	-	2	X=100,88–102; Y=121–123	Calec; warstwy gliny w północnej części grodziska	5Y 4/2	59	calec	calec
63	80	3	X=91–96; Y=98–102	Depozyt kamieni z płytkiego rowu 80; nieduże kamienie otoczakowe, śr. 5–15 cm, leżące na odcinku ok. 3 m i szer. 1–2 m		65, 61	68, 69, 74	E
64	-	4	X=87–88,3; Y=119,5–122,3	Warstwa z NW części grodziska z obszaru płytkiego zagłębienia terenu; miąższość 0,1–0,15 m; nieregularny owal o dł. ok. 3 m i szer. co najmniej 1,4 m; w jej obrębie znajdowały się licznych, łączące się ze sobą skupiska fragmentów ceramiki; część z nich ewidentnie pochodziła z naczyń rozbitych na miejscu; fragmenty te w większości zachowywały horyzontalny układ położenia, ale część tkwiła pod różnymi kątami w otaczającej warstwie; była to piaszczysta ziemia z licznymi śladami przepalenia i dużą domieszką węgli drzewnych	2,5Y 4/3; 10YR 2/1 (węgle)	66, 60	67, 88	E
65	80	3	X=91–96; Y=98–102	Depozyt ziemi gliniasto-żwirowej z przykrawędnej części grodziska; leżał w pasie wypełnisk płytkiego rowu 80, który może być kontynuacją silnie się wypłycającego w części środkowej wykopu 3 rowu 98; nieregularnie owalny (śr. 1–1,4 m) płat ziemi ponad i pomiędzy kamieniami 63; do 0,2 m miąższości; jego spąg stanowiła przepalona ziemia	10YR 4/3	61	63, 70	E
66	-	4	X=87–88,3; Y=119,5–122,3	Warstwa z NW części grodziska, z obszaru płytkiego zagłębienia terenu; miąższość 0,1–0,17 m; w jej objętości znaleziono liczne fragmenty ceramiki; piaszczysto-ilasta, przemieszana, częściowo popiołowa ziemia z licznymi śladami przepalenia (ślady ewentualnych bierwion) i dużą domieszką węgli drzewnych	10YR 4/2; 10YR 2/1 (węgle); 2,5Y 6/4	60	64, 67, 76, 75, 88	F

Tabela 1. Ciąg dalszy

Numer jednostki	Numer obiektu	Numer wykopu	Współrzędne siatki pomiarowej stanowiska	Opis jednostki stratygraficznej	Barwa (Munsell)	Pozycja stratygraficzna		Faza
						Znajduje się pod	Znajduje się nad	
67	-	4	X=87–88,3; Y=119,5–122,3	Warstwa spalenizn z NW części grodziska, z obszaru płytkiego zagłębienia terenu; miąższość 0,1–0,17 m; nieregularny owal lub pas o dł. ok. 4 m i szer. co najmniej 1,6 m; w jej stropie znajdowały się liczne, łączące się ze sobą skupiska fragmentów ceramiki 64; piaszczysta ziemia z licznymi śladami przepalenia (ślady ewentualnych bierwion) i dużą domieszką węgli drzewnych	10YR 4/2; 10YR 2/1 (węgle); 2,5Y 6/4	64, 66	88	E
68	80	3	X=91–92,6; Y=98,9–102	Niższy depozyt (druga warstwa) kamieni z płytkiego rowu 80, z przykrawędnej części grodziska; wypełnisko rowu rozciągające się w formie pasa; może odpowiadać kamieniom 13 z jego ewentualnej, głębszej kontynuacji, czyli rowu 98; nieduże, 5–15 cm śr., kamienie otoczakowe; w ich obrębie wyróżniało się skupisko, którego kształt sugeruje, że może być związane z zapadliskiem nad dołem posłupowym 82		65, 61	69, 78	E
69	80	3	X=91–92,6; Y=98,9–102	Skupisko/warstwa ceramiki; wypełnisko płytkiego rowu 80 z przykrawędnej części grodziska; depozyt płasko leżących fragmentów ceramiki (podobne do depozytu ceramiki 96 z rowu 98), zajmujące w zwarty sposób obszar o śr. ok. 0,6–0,9 m		68, 61	78	E
70	80	3	X=92,8–93,14; Y=99,96–100,14	Małe skupisko fragmentów ceramiki na skraju płata ziemi gliniasto-żwirowej 65 w przykrawędnej części grodziska		65, 61	78	E
71	98	3	X=94–98; Y=99,5–100,7	Wypełnisko stokowe rowu 98 z przykrawędziowej partii grodziska; warstwa przemieszanej, piaszczysto-żwirowej ziemi z dużą domieszką grudek polepy oraz fragmentami ceramiki; do 0,2 m miąższości; leżała pasem o szer. do 1,1 m i dł. 4 m na stoku rowu	10YR 5/2; 10YR 4/3; 10YR 6/1	14	102, 13, 96	E
72	-	3	X=94,9–97,6; Y=98,9–101,6	Obiekt z południowej przykrawędziowej partii grodziska, owalno-kwadratowy w planie; śr. do 2,7 m, gł. kilkunaście cm, łagodne ściany boczne i niemal płaskie dno; wypełniskiem była piaszczysta ziemia 10		10	7	F
73	19=116	3	X=91–98; Y=98–98,4	Wypełnisko górne starszej fosy 19=116 ; przemieszana ziemia piaszczysto-gliniasto-żwirowa z białymi wtrętami węglanu wapnia; miąższość 0,2–0,8 m; wkopany w nią był młodszy rów 98 oraz dół posłupowy 113	10YR 6/2	74, 98, 113	99	A
74	-	3	X=91–94,8; Y=98–99,65	Warstwa z południowej przykrawędziowej partii grodziska; sypka, piaszczysto-pylasta ziemia; młodsza niż wypełniska starszej fosy 19=116, a starsza niż rów 98; miąższość do 0,3 m	10YR 7/2	80, 78, 61, 2	73	B
75	-	4	X=88,3–89; Y=119–121,86	Warstwa z NW części grodziska, z obszaru płytkiego zagłębienia terenu; miąższość do 0,35 m; piaszczysta, częściowo żwirowa ziemia	10YR 6/3; 10YR 6/2; 10YR 5/3	67, 64, 76	88	A
76	-	4	X=88,3–89; Y=119–121,86	Lokalna warstwa z NW części grodziska, z obszaru płytkiego zagłębienia terenu; depozyt owalnego lub okrągłego kształtu; miąższość do 0,15 m; jednorodna, ilasta ziemia	10YR 6/3; 10YR 6/2; 10YR 5/3	67, 64	75, 88	A
77	94	4	X=87,7–89; Y=122,75–123,92	Wypełnisko obiektu 94; podłużny depozyt piaszczysto-ilastej, częściowo przepalonej ziemi; w jego obrębie znajdowało się podłużne skupisko (91) dużych fragmentów ceramiki oraz kilku kamieni (o śr. 0,1 m); miąższość do 0,2 m	10YR 5/1; 10YR 6/3	58	91, 94	A
78	80	3	X=91–92,6; Y=98,9–102	Niższe wypełnisko z płytkiego rowu 80, z przykrawędnej części grodziska; może odpowiadać warstwom spalenizny 97 z rowu 98; warstwa przepalonej, twardej ziemi z licznymi drobinami węgli drzewnych, leżąca w pasie o szer. ok. 0,8 m; ok. 0,1 m miąższości	10YR 5/1; 10YR 5/2; 10YR 2/1	69, 68	79, 74	E
79	80	3	X=91–91,6; Y=100,6–102	Najniższe wypełnisko płytkiego rowu 80 z przykrawędnej części grodziska; może odpowiadać warstwom spalenizny 97 z rowu 98; warstwa przepalonej twardej ziemi z płatem polepy na stropie i płatami czarnej spalenizny; do kilkunastu cm miąższości	10YR 6/3; 10YR 2/1	78	80	E
80	-	3	X=91–91,6; Y=100,6–102	Płytki rów z przykrawędnej części grodziska; szer. ok. 2 m, dł. co najmniej 3 m, gł. ok. 0,4 m; nieregularne, pofałdowane dno; usytuowany dokładnie w linii przebiegu głębszego rowu 98 , który w jego kierunku wyraźnie się wypłycał; sugerować to może, że obydwa rowy mogą być jednoczasowe, za czym przemawia podobieństwo części ich wypełnisk; wypełniskami rowu 80 były: spalenizny 79, przepalona ziemia 78, skupisko ceramiki 69, pas kamienii niższych 68, kamienie wyższe 63, płat gliny 65 oraz warstwa 61		79, 78	73, 106	D
81	82	3	X=91–91,6; Y=100,6–102	Górne wypełnisko zagłębienia (zapadliska?) nad dużym dołem posłupowym 82 z przykrawędnej części grodziska; wypełniało zagłębienie w formie łagodnego w przekroju leja, o śr. ok. 1 m i gł. ok. 0,25 m, znajdującego się w obrębie pasa wypełnisk rowu 80; piaszczysta ziemia z drobinami węgli drzewnych	10YR 5/1	78	105, 111	C

Tabela 1. Ciąg dalszy

Numer jednostki	Numer obiektu	Numer wykopu	Współrzędne siatki pomiarowej stanowiska	Opis jednostki stratygraficznej	Barwa (Munsell)	Pozycja stratygraficzna		Faza
						Znajduje się pod	Znajduje się nad	
82	-	3	X=91–91,6; Y=100,6 –102	Duży dół posłupowy w przykrawędnej części grodziska; gł. 1,15 m, śr. 1 m w części górnej, 0,32 m w dolnej; wypełniskami były: warstwa 104 (w dole po słupie), kilka dużych kamieni 111, warstwa obsypki 105 oraz warstwa 81 (w leju zapadliskowym); usytuowany dokładnie w centrum pasa wypełnisk rowu 80	10YR 5/1	104	73	C
83	84	3	X=92,5–94; Y=99,9–100,7	Wypełnisko ewentualnego płytkiego zagłębienia 84 w obrębie górnych wypełnisk rowu 98; płat ziemi gliniastej, zbitej; podłużny, nieregularnie owalny kształt w planie stropu, o dł. co najmniej 1,2 m i szer. do 0,7 m; w spągu widoczne skupisko ceramiki 70; mógł być także kontynuacją warstwy 14 z wypełnisk stokowych rowu 98	10YR 3/3	84	84	E
84	-	3	X=92,5–94; Y=99,9–100,7	Ewentualne płytkie zagłębienie w dnie rowu 80 (z wypełniskiem gliniastym 83)		83	13	E
85=86	98	3	X=94–97,9; Y=98–99,3	Pas spalenizn i ślady pojedynczych spalonych belek; Ciągnęły się wzdłuż południowej granicy rowu 98, równolegle do jego stoku; szer. ok. 0,3 m, dł. 4 m, gr. 0,1–0,2 m; prawdopodobnie są to pozostałości spalonych konstrukcji ściany znajdującej się za południową granica rowu 98; ich pozostałością w wykopie 1 mogły być warstwy popiołów 16; w wykopie 3 ślady spalonych belek układają się prostopadle do osi rowu, tworząc równoległe do siebie pasy (szer. 0,1–0,2 i dł. 0,2–0,3 m); podobne ślady spalonych belek (89) widoczne były wyżej, w warstwie 90	10YR 2/1	90	108	E
87	93	4	X=88–89; Y=125,4–127,5	Wypełnisko obiektu 93; podłużny depozyt przepalonej ziemi z żyłkowaniami i popiołowymi przebarwieniami; zawierał kilka przepalonych kamieni oraz kilka fragmentówi ceramiki; miąższość do 0,2 m	10YR 4/2; 10YR 3/3; 10YR 6/2	58	93	A
88	-	4	X=87–89; Y=119–128	Warstwa z NW części grodziska; obserwowalna na odcinku 9 m w pasie wykopu o szer. do 2 m; miąższość do 0,2–0,3 m; ziemia piaszczysta	10YR 6/3; 10YR 3/3; 10YR 5/6	93, 94, 58	95	A
89	98	3	X=94–97,9; Y=98–99,2	Ślady pojedynczych spalonych belek; ciągnęły się wzdłuż południowej granicy rowu 98, prostopadle do jego stoku; do 0,1 m średnicy; kilka takich spalonych belek widocznych było w obrębie wypełniska 90 rowu 98; prawdopodobnie są to pozostałości spalonych konstrukcji	10YR 2/1	90	85=86	E
90	98	3	X=94–100; Y=98–99,2	Jedno z górnych wypelnisk rowu 98 z krawędziowej partii grodziska; warstwa przemieszanej ziemi gliniasto-piaszczysto-żwirowej; do 0,45 m miąższości; w jej objętości tkwiło prostopadle do osi rowu kilka spalonych elementów drewnianych 89 o dł. 0,1–0,4 m i szer. ok. 8 cm; w obrębie tej warstwy widoczne były także ślady większych spalonych elementów (109) o podobnej orientacji	10YR 5/6; 10YR 5/2	92, 61, 7, 2	85=86	E
91	94	4	X=87,9–89; Y=122,95–123,55	Niższe wypełnisko obiektu 94; podłużny depozyt licznych dużych płasko leżacych fragmentów ceramiki oraz kilku kamieni (o śr. 0,1 m); miał co najmniej 1 m długości oraz ok. 0,5 m szer.		77	91, 94	A
92	98	3	X=94–100; Y=98–100,2	Jedno z górnych wypelnisk rowu 98 w krawędziowej partii grodziska; warstwa jednorodnej ziemi gliniastej z nielicznymi, małymi kamykami, fragmentami ceramiki i drobinami węgli drzewnych; do 0,55 m miąższości; zalegała wzdłuż osi rowu, szerokim na 1,1–1,3 m pasem	10YR 5/4	61, 11=15, 7	90, 14, 71, 102, 13, 96, 97	E
93	-	4	X=88–89; Y=125,4–127,5	Płytki obiekt z NW części grodziska; podłużny; co najmniej 1 m dł., 1,2 m szer. i do 0,2 m gł.; dno nieregularne, ściany boczne łagodnie rozchylone; wypełniskiem była przepalona piaszczysta ziemia 87 z kilkoma przepalonymi kamieniami oraz fragmentami ceramiki; miąższość do 0,2 m	10YR 4/2; 10YR 3/3; 10YR 6/2	87	88	A
94	-	4	X=87,9–89; Y=122,95–123,55	Nieduży obiekt w NW części grodziska na krawędzi płytkiego zagłębienia terenu; podłużny; jego wypełniskami były przepalona ziemia 77 oraz depozyt licznych, dużych, płasko leżących fragmentów ceramiki 91; co najmniej 1 m dł. oraz ok. 0,9 m szer.		91, 77	88	A
95	-	4	X=87–89; Y=119–134	Calec. Piaszczysty i piaszczysto-ilasty calec z NW części grodziska (z jego wewnętrznego obszaru przykrawędziowego i krawędziowego) z wykopu 4		88	calec	calec
96	98	3	X=94,1–97,9; Y=99,2–100,48	Warstwa fragmentów ceramiki; jedno z niższych wypelnisk rowu 98; pokład ceramiki szer. 1 m, leżący na dnie i stoku rowu, na odcinku ponad 4 m, pod i między warstwą kamieni 13 oraz polepy 102 i popiołów 108, na i między spaleniznami 97	5YR 5/4	13, 102, 108,	97, 110	E

Tabela 1. Ciąg dalszy

Numer jednostki	Numer obiektu	Numer wykopu	Współrzędne siatki pomiarowej stanowiska	Opis jednostki stratygraficznej	Barwa (Munsell)	Pozycja stratygraficzna		Faza
						Znajduje się pod	Znajduje się nad	
97	98	3	X=94–97,7; Y=98,4–100,3	Dolne wypelnisko rowu 98; pas przepalonej ziemi, wysyconej drobinami węgli drzewnych, leżący na odcinku 4 m, na dnie i częściowo na obu zboczach rowu	10YR 2/1	96, 13, 102	107, 110	E
98	-	1, 3	X=94–101; Y=98–100,5	Głęboki rów w południowej krawędziowej partii grodziska, przebiegający zgodnie z linią krawędzi grodziska; miał do 0,9 m gł., ok. 1, 8 m szer. i co najmniej 7 m dł.; wypłycał się w stronę W; być może jego kontynuacją był płytki rów 80 z wykopu 3, który sytuował się dokładnie w jego dłuższej osi; w obserwowanej części obiekt miał kolebkowy w przekroju kształt z łukowatym, średnio stromym stokiem północnym oraz stokiem południowym zamkniętym przez warstwę stojącą 109, która jest prawdopodobnie reliktem rzędu słupów drewnianych lub ściany, oddzielającej opisywany rów od ewentualnego wału usytuowanego na krawędzi grodziska; wypełniskami były: żwirowo-ilasta ziemia 110, warstwa gliny 107, warstwa spalenizn 97, warstwa ceramiki 96, warstwa kamieni 13, warstwa polepy 102, popioły 108 oraz ślady spalonych belek i pas spalenizny 85=86 (pozostałość obalonej ściany lub pomostu nad rowem), gliniasta warstwa 90 i gliniasto-piaszczysta ziemia 92		110, 107	103, 106	D
99	19=116	3	X=94–96,5; Y=98–98,4	Dolne wypełnisko starszej fosy 19=116 z południowej krawędziowej partii grodziska; warstwa niejednorodnej, piaszczysto-żwirowej i piaszczysto-gliniastej ziemi, częściowo przepalonej – z domieszką popiołów; oddzielona była od wypełnisk młodszego rowu 98 warstwą stojącą 109, która jest zapewne reliktem spalonej (ślady spalenizny 85=86) drewnianej palisady stanowiącej północną granicę tego rowu; miała miąższość do 0,4 m	7,5YR 5/4; 2,5Y 6/1	73, 109	19=116	A
100	101	3	X=93,6–93,8; Y=99,35–99,7	Wypełnisko dołu posłupowego 101; piaszczysta, nieco tylko ciemniejsza od otoczenia ziemia	2,5Y 6/6	98	101	A
101	-	3	X=93,6–93,8; Y=99,35–99,7	Dół posłupowy w strefie przykrawędnej w południowej części grodziska); ok. 0,35 m śr. i co najmniej 0,4 m gł.; ściany niemal pionowe, dno zwężające się lekko; wypełniskiem była piaszczysta ziemia 100		100	calec	A
102	98	3	X=96,06–97,64; Y=98,3–100	Dolne wypełnisko rowu 98; nieregularnego kształtu depozyt przepalonej polepy i przeprażonej ziemi, leżący na odcinku 2 m na dnie i częściowo na obu zboczach rowu; miąższość do kilku cm	5YR 5/8	108, 71	13, 96, 97	E
104	82	3	X=91,75–91,9; Y=100,25–100,6	Wypełnisko śladu po słupie w dole posłupowym 82 usytuowanym w strefie przykrawędziowej w południowej partii grodziska; piaszczysta, sypka ziemia z kilkoma dużymi kamieniami 111, które zapewne pierwotnie stanowiły obstawę słupa	10YR 5/4	111, 105, 81	82	C
105	82	3	X=91,40–92,05; Y=100,06–100,7	Wypełnisko dołu posłupowego 82 w strefie przykrawędziowej w południowej partii grodziska; piaszczysta ziemia z drobnymi kamykami oraz dużymi kamieniami 111, które zapewne pierwotnie stanowiły bstawę słupa w dole	10YR 4/6	81	111, 104, 82	C
106	-	3	X=91–96,8; Y=100,5–103	Piaszczysty calec na północ od rowu 98	2,5Y 6/6; 10YR 8/3	11=15	40=103	calec
107	98	3	X=94–99,3; Y=99,7–100,75	Gliniasto-popiołowa warstwa stokowa w rowie 98, na jego północnym stoku i częściowo poza nim; miąższość do kilkunastu cm; ciągnęła się pasem o dł. ponad 5 m i szer. 1–1,3 m; ziemia gliniasta z domieszką popiołów i drobin węgli drzewnych	10YR 6/3; 10YR 6/1	97, 96	110	E
108	98	3	X=94–97,55; Y=98,5–99,4	Warstwa popiołów na południowym stoku rowu 98 i częściowo na jego dnie; miąższość do 0,2 m; ciągnęła się pasem o dł. ok. 3,5 m i szer. do 0,9 m; popiołowa ziemia z domieszką drobin węgli drzewnych	10YR 7/1	85=86	102, 109	E
109	98	3	X=94–96,2; Y=98,5–98,6	Warstwa stojąca – ograniczająca od południa wypełniska rowu 98; prawdopodobnie relikty palisady lub ściany drewnianej oddzielajacej rów od ewentualnego wału na krawędzi grodziska; miąższość do 0,7 m; tworzyła w planie nieregularny pas ziemi piaszczystej i piaszczysto-popiołowej, o szer. 0,15–0,4 m i dł. ponad 2 m. W przekroju manifestowała się w postaci szarych, pionowych, równoległych do siebie pasm, o szer. ok. 0,15 cm i wys. do 0,3 m	10YR 6/3; 10YR6/1	108, 85=86	110	D
110	98	3	X=94–98; Y=98,2–99,8	Najniższe wypełnisko rowu 98; miąższość do 0,3 m; tworzyła w planie nieregularny pas twardej, piaszczysto-żwirowej ziemi; ok. 1,5 m szer. i ponad 4 m dł.	10YR 6/6; 10YR 6/3	108, 107	98	D

Tabela 1. Ciąg dalszy

Numer jednostki	Numer obiektu	Numer wykopu	Współrzędne siatki pomiarowej stanowiska	Opis jednostki stratygraficznej	Barwa (Munsell)	Pozycja stratygraficzna		Faza
						Znajduje się pod	Znajduje się nad	
111	82	3	X=91,45–92,0; Y=100,1–100,65	Kamienie w wypełniskach dołu posłupowego 82, które zapewne pierwotnie stanowiły obstawę / umocnienie słupa w dole; tkwiły na różnych głębokościach zarówno w obrębie warstwy obsypki 105, jak i wypełniska 104 dołu po słupie		105, 81	104, 82	C
112	113	3	X=91,7–92,3; Y=98,3–98,8	Niższe wypełnisko połu posłupowego 113 w strefie krawędziowej połuniowej partii grodziska; jednorodna piaszczysta ziemia o miąższości 0,75 m	7,5YR 5/4	114	113	C
113	-	3	X=91,6–92,35; Y=98,25–98,9	Dół posłupowy w strefie krawędziowej południowej partii grodziska; 0,65 m śr., 0, 9 m gł.; jego wypełniskami były; ziemia 112 oraz warstwa 114; dno obiektu było niemal płaskie, ściany boczne pionowe, rozchylające się minimalnie dopiero blisko stropu; obiekt bardzo podobny do leżącego 1,3 m na północ od niego dołu 82; obydwa mogły stanowić część jakiejś konstrukcji młodszej od starszej fosy 40=116, ale starszej od rowu 98		112	73	C
114	113	3	X=91,6–92,35; Y=98,25–98,9	Wypełnisko dołu posłupowego 113 w strefie krawędziowej południowej partii grodziska; przemieszana, piaszczysta ziemia o miąższości do 0,14 m	2,5Y 5/2	2	112	C
117	-	1	X=100–101; Y=81,66–83,5	Podhumusowa warstwa na południowym stoku grodziska; zbity piasek o miąższości 0,3 m	10YR 4/2	45, 118, 1	48	B
118	-	1	X=100–101; Y=82,85–88,6	Rozległe zagłębienie bądź płytki obiekt w środkowej partii południowego stoku grodziska; widoczne na odcinku 5,75 m; do 0,38 m gł.; dno nieregularne, pofałdowane, wypłycające się w górę stoku; wypełniskiem była warstwa sypkiego, zglinionego miejscami piasku 38.		38	39, 117	B
119	120	1	X=100–100,28; Y=88,05–88,95	Wypełnisko bardzo płytkiego obiektu z górnej partii południowego stoku grodziska (z jej młodszej fazy użytkowania lub całkiem współczesnego); widoczne na odcinku 0,9 m; sypki piasek; do 0,15 m miąższości	2,5Y 5/3	1	120	F
120	-	1	X=100–100,28; Y=88,05–88,95	Bardzo płytki obiekt w górnej partii południowego stoku grodziska (z jej młodszej fazy użytkowania lub całkiem współczesny); widoczny na odcinku 0,9 m; jego wypełniskiem był sypki piasek 119; miał do 0,15 m gł., łagodnie wklęsłe dno przy ogólnym, łagodnie nieckowatym kształcie przekroju		119	38, 22	F
121	-	1	X=100–100,35; Y=93,9–94,6	Obiekt na południowej krawędzi grodziska (z młodszej fazy użytkowania grodziska); widoczny na odcinku 0,7 m; jego wypełniskiem był przepalony piasek 33, z warstwą popiołu przy dnie obiektu i z domieszką żwirku; miał do 0,23 m gł., niemal płaskie dno przy ogólnym, nieckowatym kształcie przekroju	2,5Y 7/3	33	21, 23	F
122	122	1	X=100–100,65; Y=95–96,2	Późny wkop bądź ślad po drzewie; wypełniskiem był sypki piasek 20; obiekt miał gł. do 0,5 m; w przekroju kształt trapezoidalny z małym, niemal płaskim dnem i prostymi rozchylającymi się ścianami bocznymi		20	21, 16	F

warstwy zsuwiskowe 47 (niższa) i 46 (wyższa) leżące w jego dolnej części. Północna partia warstwy 117 zniszczona była przez rozległe (5,75 m długości i do 0,38 m głębokości) wycięcie w stoku 118, o nieregularnym przebiegu dna. Od północy niszczyło ono także warstwę 39. Wypełniskiem tego obiektu była warstwa szarobrązowego zglinionego piasku 38, w której odkryto jeden fragment bardzo źle zachowanej ceramiki naczyniowej. Równoczasowy wydaje się także, położony około 1,5 m w dół stoku, mały, około 0,8 m długości oraz 0,32 m głębokości, obiekt 45, który wypełniony był warstwami piasku 44, 43 i 42.

Faza C

W trudnym do zdefiniowania momencie, już po zasypaniu starszego rowu 19=116, w zachodniej części wykopu 3, w wypełniska 73 tego rowu wkopane zostały dwa bliźniacze, odległe od siebie o 1,3 m, duże doły posłupowe (82 i 113). Usytuowane były one w linii prostopadłej do linii krawędzi grodziska. Miały proste, pionowe ściany, płaskie dna, oraz średnice do 1 m i głębokość 0,9–1,15 m. Jeden z nich wzmacniany był obstawą z dużych kamieni 111. Średnica słupów wynosiła około 0,3 m. W wypełniskach dołów posłupowych odnaleziono cztery drobne fragmenty ceramiki. Stratygraficznie sytuowały się między starszymi a młodszymi rowami, o czym świadczy fakt, że stropowe wypełnisko dołu 82 przykryte było wypełniskami rowu 80, a stropowe wypełnisko 114 dołu 113 przykryte było przez warstwę 74, która odpowiada czasowo przerwie między wykopaniem tych dołów a wykopaniem rowu 80.

Faza D

Kolejna faza odpowiada czasowo wykopaniu rowu 80, którego odpowiednikiem z obszaru stoku grodziska mógł być młodszy rów 37, wkopany w stropy opisanych wcześniej warstw 38, 39 i 23. Miał on 2,36 m szerokości i do 0,6 m głębokości. Jego wypełniskami były piaszczysto-żwirowe warstwy 36, 35 i 34. Z tego samego okresu pochodzą zalegające na zapełnionej już fosie 19=116, warstwa 17, depozyty popiołu 16, a także rozdzielająca je, leżąca na południe od nich, popiołowo-spaleniskowa warstwa 21. Wszystkie one tworzyły rodzaj nasypu, szerokiego na 3 m i niskiego, do 0,5 m wysokości. Nasyp ten jest zapewne pozostałością spalonych konstrukcji drewnianych, palisady – być może podwójnej, będącej przedpolem wykopanego tuż na północ od nich rowu 98, zidentyfikowanego w wykopie 3.

Rów 98 miał co najmniej 7 m długości i do 0,9 m głębokości. Od północy wkopany był w calcowe gliniaste (40=103) i piaszczyste (106) podłoże oraz w warstwę gliniasto-żwirową 12. Wypłycał się on ku zachodowi i ku wschodowi. Jego ścianę południową wyznaczała natomiast pionowa warstwa rozłożonego i spalonego drewna 109. Była ona zapewne pozostałością spalonej palisady, ślady której widoczne są w postaci pionowych ciemnych pasm w południowej ścianie wykopu 3. Pozostałości te były bądź śladami spalonych elementów ewentualnego pomostu nad omawianym rowem lub też spalonymi elementami moszczenia ewentualnego nasypu wału. Wyraźnie widoczne były tu także pozostałości spalonych belek 85=86, opadłe na południowy stok rowu 98. Dno tego rowu stanowiła jednorodna warstwa piaszczysto-żwirowa 110, w którą częściowo wkopano palisadę 109. W wypełnisku tej warstwy znaleziono trzy fragmenty kości zwierzęcych.

Faza E (destrukcja / pożar)

Ponad warstwą 110, na północnym stoku rowu i częściowo poza nim, zalegała gliniasto-popiołowa warstwa 107. Nad nią znajdowały się cienkie warstwy spalenizny 97, warstwa gęsto ułożonych fragmentów ceramiki grubościennej 96, warstwa kamieni 13, polepy 102 oraz popiołów 108 a także, na północnym stoku, gliniaste i piaszczysto-żwirowe, wysycone popiołem i drobinami węgli drzewnych warstwy 7 i (wyższa) 14. Wszystkie one tworzyły kompleks warstw z dolnych partii rowu, związanych z funkcjonowaniem konstrukcji obronnych grodziska przed pożarem, w momencie samego pożaru oraz ich późniejszą destrukcją (ryc. 17–18). Warstwa fragmentów ceramiki 96 (tabl. 17–24) stanowi jeden z najciekawszych oraz najistotniejszy ze względów badawczych depozyt ceramiki odkryty na tym stanowisku. W jego skład wchodziło łącznie 538 fragmentów ceramiki, zachowanej zarówno w drobnych jak i większych rozmiarów fragmentach. Jest to ponadto najlepiej na tym

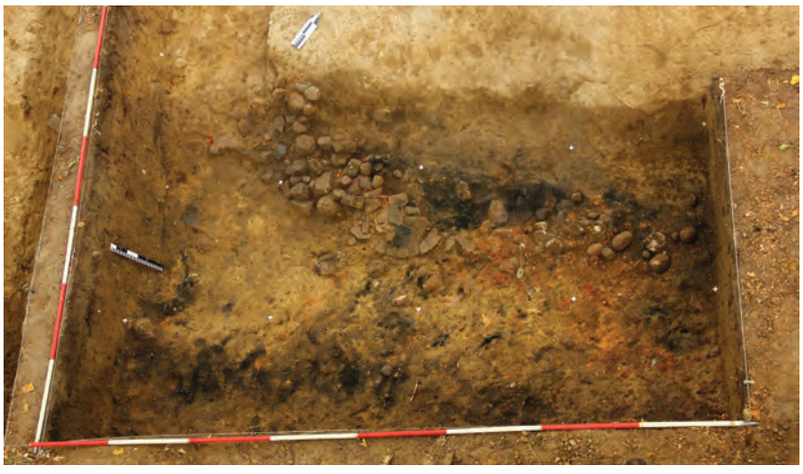

Ryc. 17. Stary Folwark, st. 1. Rów 98 w wykopie 3 z warstwami spalenizny 97, skupiskiem ceramiki 96 i warstwą kamieni 13 (fot. D. Wach)

Ryc. 18. Stary Folwark, st. 1. Rów 98 w wykopie 3 z warstwami spalenizny 97, skupiskiem ceramiki 96 i warstwą kamieni 13 oraz polepą 102 (fot. D. Wach)

Ryc. 19. Stary Folwark, st. 1. Ceramika *in situ* w obrębie depozytu 96 w wykopie 3 (fot. D. Wach)

Ryc. 20. Stary Folwark, st. 1. Ceramika *in situ* w obrębie depozytu 96 w wykopie 3 (fot. D. Wach)

Ryc. 21. Stary Folwark, st. 1. Bruki kamienne w wykopie 3 (fot. D. Wach)

stanowisku zachowana ceramika, o niewielkim stopniu zerodowania. Udało się tu odnaleźć kilka naczyń kompletnych, bądź zachowanych w stopniu umożliwiającym ich dokładną rekonstrukcję. W skład tego depozytu weszły zarówno naczynia cienkościenne niewielkich rozmiarów, jak również większe naczynia o grubszych ściankach, a także duże, grubościenne naczynia (ryc. 19–20). Wyżej leżące, grubsze, piaszczysto-gliniaste i piaszczysto-żwirowe warstwy (90 i 92) z wypełniska tego obiektu, przykrywały warstwy zniszczeniowe z jego dna i zboczy. Omawiany rów w kierunku zachodnim czytelny był o wiele słabiej – w dwóch, poprzecznych do jego przebiegu przekopach, natomiast jego wypełniskami były jasne piaszczyste ziemie, przemieszane, bardzo podobne do warstw calcowych. Jak się wydaje, kontynuacją w kierunku zachodnim rowu 98 był płytszy i mniej regularny rów 80, który biegł dokładnie po linii osi dłuższej rowu 98. Miał on formę długiego na co najmniej 3 m, szerokiego na około 2 m oraz głębokiego do 0,4 m zanikającego ku południu i wschodowi zagłębienia w warstwach calca 106, warstwie 74 oraz w wypełnisku 73 starszej fosy 19. Jego wypełniska były bardzo podobne w charakterze do wypełnisk rowu 98. Jego dno stanowiła przepalona warstwa 79 oraz podobna, wysycona drobinami węgli drzewnych i popiołu warstwa 78. Na niej spoczywały analogiczne do warstwy ceramiki 96, skupiska licznych fragmentów grubościennej ceramiki 69 i 70 (tabl. 13:10–11; 14). Na nich z kolei leżały warstwy kamieni 68 i 63 (ryc. 21). Ceramika występująca w wypełniskach rowu 80 wykazuje znaczące analogie do ceramiki z warstwy 96. Zwraca natomiast uwagę dużo gorszy stan jej zachowania; w przypadku jednostki 69 przeważają fragmenty ceramiczne silnie zerodowane. Łącznikiem między wypełniskami obu rowów może być płat gliniastej ziemi 83, który wydaje się odpowiadać warstwie 14 z rowu 98, a który zachodził częściowo na skupisko ceramiki 70 i skraj warstwy 78 z rowu 80. W przestrzeni między obu rowami zalegał lokalny niewielki płat gliniastej ziemi z kamieniami 65.

Faza F (akumulacja / niwelacja / obiekty późne)

Ponad wypełniskami obu rowów leżał, częściowo odzwierciedlając ich przebieg, szeroki do około 1,6 m, nieregularny pas szaro-brązowej ziemi 61 z domieszką żwirków. On z kolei od północy przykryty był późnymi, jasnymi, piaszczystymi warstwami 11=15 oraz leżącą na nich warstwą 7. W strop tej ostatniej wkopany był owalno-kwadratowy w planie płytki obiekt 72 o średnicy do 2,7 m oraz głębokości do kilkunastu cm. Całość pokrywała warstwa podhumusowa 2 oraz humus leśny 1.

Z podobnego, późnego, horyzontu czasowego co obiekt 72 mogą pochodzić także małe obiekty znaj-

dujące się bezpośrednio pod humusem na krawędzi i na stoku południowym grodziska. Były to: trapezowaty w przekroju obiekt 122, o głębokości do 0,5 m, z ciemnym piaszczystym wypełniskiem 20, położony na krawędzi grodziska, który niszczył strop warstwy 21, oraz płytki obiekt 120 z wypełniskiem 119, usytuowany na południowym stoku.

Wykop 2 (ryc. 15)

W wykopie 2 stwierdzono, że płytko położonym, na głębokości około 0,4–0,5 m, calcem w tej części grodziska jest opadająca ku zachodowi warstwa oliwkowo-szarej gliny 62 z poziomem kamieni 59 oraz rozdzielającymi ją warstewkami czerwonej glinki 9 oraz żółtawo-brązowa glina 4. Strop tej ostatniej był mocno pofałdowany, sprawiający wrażenie, iż poddany został naciskom w wyniku deptania po mokrej glinie przez ludzi lub zwierzęta. Tworzył on mniej więcej jeden poziom z częścią stropu wchodzącej pod tę warstwę glinki 9. W stropie obu tych warstw znaleziono fragmenty ceramiki, co wyznacza je jako horyzont pierwotnego użytkowania tego miejsca. Powyżej, w nierównościach stropu calca 4 leżała od wschodu warstwa gliny 5 oraz, od zachodu, gruba do 0,15 m warstwa jasnego, pylastego piasku 8. Nad nimi od zachodu zalegała kolejna, nieco ciemniejsza warstwa piaszczysta 3 o grubości do 0,25 m oraz od wschodu, cienka (grubości do 0,1 m) warstwa jasnego piasku 6. Całość przykrywała piaszczysta podhumusowa warstwa 2 oraz humus leśny 1. W wykopie 2 odnotowano łącznie nieco ponad 40 drobnych, zniszczonych fragmentów ceramiki.

Trudno stwierdzić, do których z opisanych wcześniej faz użytkowania grodziska zaobserwowanych w wykopie 1 i 3 należy zaliczyć nawarstwienia z wykopu 2. Na podstawie obserwacji poczynionych w trakcie badań na obszarze wykopu 2, wydaje się w zasadzie ponad wszelką wątpliwość, iż obszar ten albo nie był intensywnie użytkowany albo jego pierwotna powierzchnia uległa silnej erozji lub niwelacjom.

Wykop 4 (ryc. 22)

Calcem w tej części grodziska były jasne, piaszczyste i piaszczysto-ilaste warstwy 95. Nad nimi, na przestrzeni 9 m, zalegała opadając ku południu, za wewnętrzną krawędzią grodziska, nadcalcowa, piaszczysta ziemia 88 z ciemniejszymi przebarwieniami, o miąższości do 0,3 m. W jej strop wkopane były dwa podłużne nieregularne obiekty 93 i 94. Nieregularnie rynnowaty w przekroju, płytki – do 0,2 m głębokości, oraz szeroki na 1,2 m obiekt 93, który wykraczał poza granice wykopu, wypełniony był ciemną, piaszczysto-popiołową, częściowo przepaloną ziemią 87 z fragmentami bardzo źle zachowanej ceramiki. Odległy od niego o około 2 m ku południu był podobny obiekt 94, którego wypełniskiem było skupisko dużych fragmentów grubościennej ceramiki 91 oraz – leżąca powyżej – ciemna, przepalona, piaszczysta warstwa 77. Ceramika ze skupiska 91 to głównie duże zerodowane fragmenty grubościennych naczyń (tabl. 16: 4–5). Tuż na południe od tego obiektu, na warstwie 88 znajdował się depozyt jasnej ziemi 75. W zagłębieniu stropu tej warstwy leżał depozyt ilastej, jasnej warstwy 76. Powyżej natomiast leżała cienka, do 0,1–0,15 m grubości, ilasto-piaszczysta warstwa ziemi 58 z ciemnymi wtrętami i przebarwieniami, swoją północną krawędzią sięgając poza krawędź grodziska, początkowo lekko się wznosząc, a za krawędzią opadając na przestrzeni 8 m. Na samej krawędzi grodziska i na zewnątrz od niej była ona przykryta ilastą brązową warstwą 56, a ku południu leżała pod piaszczystą ziemią jasnobrązową 31, osiągającą w części południowej miąższość do 0,3 m.

Zagłębienie terenu, które stało się powodem powiększenia wykopu 4, okazało się strukturą niezwykle interesującą. Wypełnione było w swej przydennej części przede wszystkim warstwą spalenizny 67 oraz leżącym powyżej depozytem fragmentów ceramiki i kamieni 64. Ten absolutnie niezwykły depozyt złożony został na specjalnie wyrównanym podłożu, to jest na podciętej od wschodu warstwie 75. Długość obszaru pokrytego ceramiką wynosiła około 3 m, a szerokość co najmniej 1,2 m (część zachodnia depozytu wykraczała bowiem poza granicę wykopu). Składał się on 1478 fragmentów ceramiki różnych typów, zarówno grubo-, jak też cienkościennej, w tym także naczynek miniaturowych. Depozyt ten choć niezwykle liczny, jak oszacowano na podstawie rekonstrukcji wylewów naczyń, składał się z niespełna 50 egzemplarzy różnych naczyń. Nie udało się jednak z tego depozytu pozyskać w zasadzie ani jednego kompletnego naczynia. Było to spowodowane nie tylko znacznym rozdrobnieniem zbioru, ale także stanem zachowania ceramiki; większość zrekonstruowanych średnic naczyń okazała się być zachowana jedynie w nieco ponad 20% SEN. Przeważają tu fragmenty o erozji II i III stopnia (ryc. 23–24).

Pomiędzy, nad i pod fragmentami ceramiki leżały przepalone kamienie oraz warstwy popiołowe. Od południa skraj tego depozytu oraz spalenizn 67 przykryty był przez warstwę piaszczysto-ilastej ziemi 66, tworzącą w narożniku wykopu rodzaj kolejnej skarpy bądź zsuwu, o miąższości dochodzącej do 0,35 m. Ponad stropami tych warstw leżała, lekko zaklęśnięta w centrum, jasnobrązowa piaszczysto-pylasta warstwa 60 (o miąższości do 0,25 m), tworząca w planie kształt owalu. Na jej stropie znajdował się mały (średnicy do 1 m), nieregularnie owalny płat przepalonej ziemi z popiołem 57. Wyżej, na przestrzeni całego wykopu, zalegała natomiast cienka warstwa podhumusowa 2, a nad nią humus leśny 1.

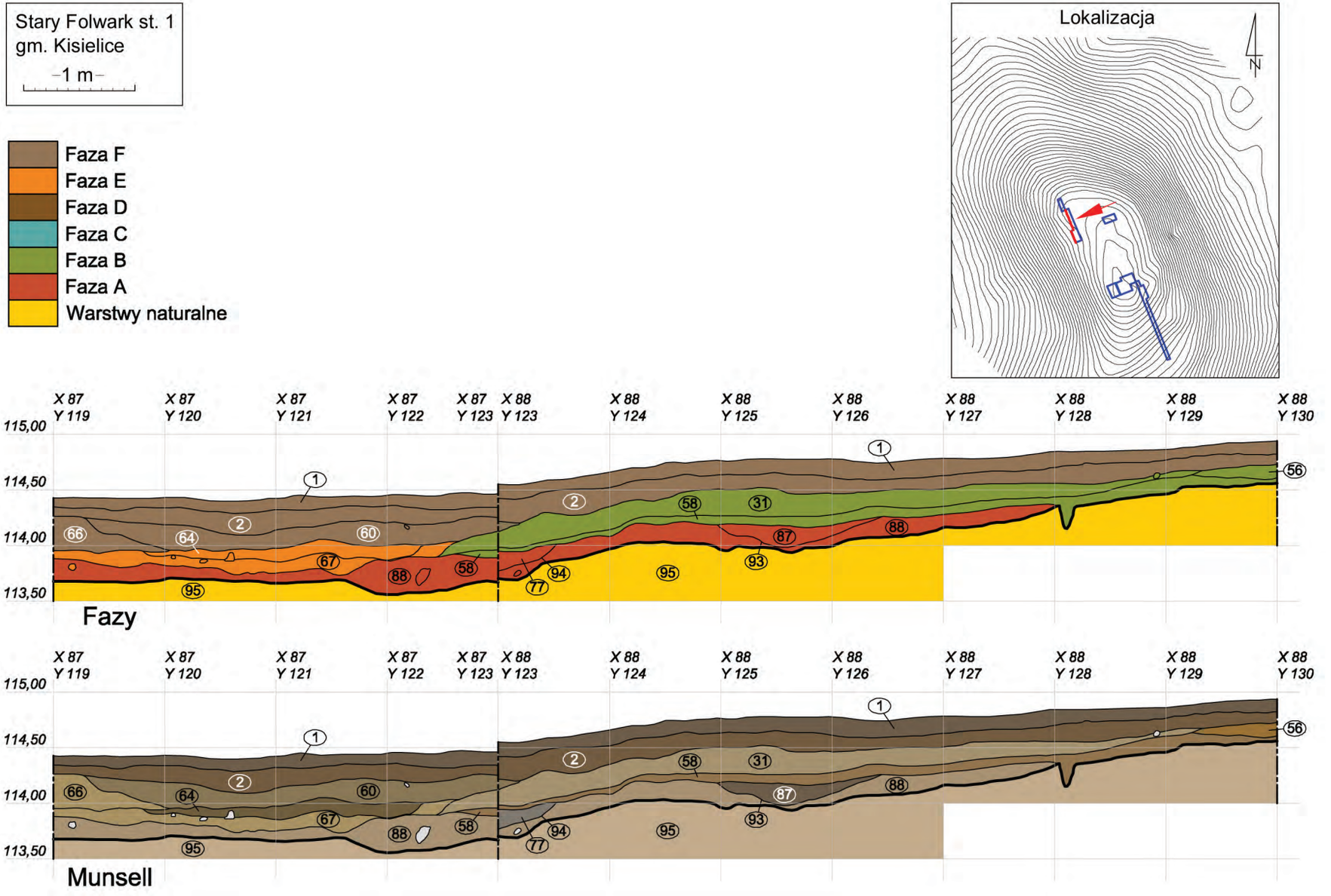

Ryc. 22. Stary Folwark, st. 1. Stratygrafia majdanu grodziska widoczna w ścianie zachodniej wykopu 4 (oprac. R. Solecki i D. Wach)

ZNALEZISKA

ANETA CHOJNACKA-BANASZKIEWICZ

Ceramika

Ceramika z wczesnej epoki żelaza

Badania wykopaliskowe prowadzone w roku 2014, na terenie grodziska w Starym Folwarku, st. 1 dostarczyły łącznie 3527 fragmentów ceramiki zabytkowej (tab. 2). Pochodzą one z różnego rodzaju warstw i obiektów, a niemalże połowa, to jest 1478 fragmentów, znaleziona została w obrębie jednego zwartego depozytu (jednostka stratygraficzna 64). Całość materiału stanowi jednolity i zwarty zespół, zarówno pod względem kulturowym jak i chronologicznym, który wiązać należy z kulturą kurhanów zachodniobałtyjskich z wczesnej epoki żelaza. Jedynie dwa fragmenty ceramiki zabytkowej, przybrzeżne części naczyń, zidentyfikowane zostały jako pochodzące z okresu późnego średniowiecza (warstwa 11 i 56).

Typologia naczyń

Analiza form naczyń (ryc. 25) dokonana została na podstawie materiału zachowanego jedynie fragmentarycznie, silnie rozdrobnionego i w znacznym stopniu zerodowanego (tab. 3). W toku prac rekonstrukcyjnych udało się pozyskać jednak niewielką grupę – 12 naczyń – zachowanych w całości lub większej części (tabl. 4:18; 5; 6; 16:4; 20:1–2; 21; 22; 23; 24:2). Jedynie na podstawie tego materiału możliwe było ustalenie kształtów i proporcji poszczególnych naczyń. Pod uwagę wzięto kilka podstawowych kryteriów klasyfikacyjnych, przede wszystkim kształt profilu ścianki naczynia, ze szczególnym uwzględnieniem krawędzi wylewu. Uwzględniono także wielkość (średnice wylewu) oraz funkcje, którą naczynia mogły prawdopodobnie spełniać, a także główne cechy technologiczne, takie jak grubość ścianki czy sposób opracowania powierzchni.

W zestawieniu typologicznym nie uwzględniono niewielkich, silnie zniszczonych fragmentów brzegowych o wielkości poniżej 5% zachowanego wylewu. Zdecydowaną większość typów naczyń znamy jedynie z zachowanych górnych części, jest to na przykład większość naczyń typu IIA. Amfory – naczynia typu IV, choć zachowane w dużej liczbie fragmentów, zrekonstruowane zostały tylko na zasadzie analogii z innych stanowisk z tego okresu. Większość form znana jest z pojedynczych większych bądź mniejszych fragmentów. Natomiast formy zachowane lub zrekonstruowane w całości, takie jak IAa, IIIAf, czy VA, stanowią jedynie pojedyncze egzemplarze, na podstawie których wydzielono odrębne typy bądź podtypy.

Typ I i II – garnki

Typ I (tabl. 18:1–5)

Grupa ta obejmuje naczynia, których główną cechą charakterystyczną jest obecność ornamentu na krawędzi wylewu. W zdecydowanej większości występuje tu ornament podwójnego rzędu wgłębień palcowych, tworzący charakterystyczny wzór zaplatania. W pojedynczych tylko przypadkach pojawia się zdobienie za pomocą załuskiwań paznokciowych, bądź pojedynczego rzędu dołków palcowych. Są to naczynia stosunkowo duże, na ogół grubościenne, choć zdarzają się tu pewne wyjątki. Średnice wylewów najczęściej wahają się w granicach 20–28 cm. Sporadycznie tylko występują formy mniejsze, nie przekraczające 20 cm średnicy wylewu oraz formy duże, których średnice wylewów sięgają 40 cm.

Ryc. 23. Stary Folwark, st. 1. Depozyt ceramiki w warstwie 64 w wykopie 4 (fot. D. Wach, oprac. R. Solecki)

Ryc. 24. Stary Folwark, st. 1. Ceramika *in situ* w warstwie 64 w wykopie 4 (fot. D. Wach)

Podtyp IA – z ornamentowaną krawędzią wylewu, o starannie zagładzanej powierzchni zewnętrznej (tabl. 8:1–2).

IAa – odmiana o lekko wychylonej górnej części naczynia, łagodnie uwypuklonym brzuścu oraz pogrubionej krawędzi zdobionej ornamentem podwójnego rzędu dołków palcowych (zaplataniem). Wszystkie formy tego typu pochodzą z zespołu zabytków z jednostki stratygraficznej 96.

IAb – odmiana o nieznacznie, łukowato wychylonej górnej części, słabo uwypuklonym brzuścu oraz z wydzielonym owalnym bądź ściętym brzegiem,

Tabela 2. Zestawienie ilościowe fragmentów ceramiki z grodziska w Starym Folwarku, st. 1 (oprac. A. Chojnacka-Banaszkiewicz)

Jednostka stratygraficzna	Liczba fragmentów ogółem	Wylwey				Szyjki	Brzuśce								Ucha	Części przydenne	Dna						Fragmenty przepalone	Fragmenty o wupłukanej powierzchni	Chronologia		Grupy technologiczno-surowcowe			Typologia					
		Liczba fragmentów	Liczba różnych naczyń	SEN (procent obwodu)	Ornamentowane		Liczba fragmentów	Ornamentowane	Rodzaj powierzchni								Liczba fragmentów	Liczba różnych naczyń	SEN (procent obwodu)	Rodzaj						Wczesna epoka żelaza	Późne średniowiecze	1	2	3	TYP I i II	TYP III	TYP IV	TYP V	TYP VI	TYP VII
									Gładkie	Wyświecane	Szorstkie	Chropowacone	Obmazywane	Nieokreślone						Płaskie	Półkuliste	Kuliste	Lekko wklęsłe													
1	4						2		2								2	1	13		2					4			2						
2	192	11	11	36	1	1	176	5	48	5	23	18		82		3	1	1				1		20	35	192		42	53	6	2			2		
3	11	1	1	10			7		1					6			3	2		3					7	11			2						
5	7						7	1		1				6											5	7				1		1			
7	33	3	3	15			25		13		3	4		5	1	4								2	7	33		7	16					1		
9	4						4							4											4	4									
10	16	1	1	4			15	1	5		2			8											8	16		2	6					4		
11=15	80	9	8	63		1	66	2	27	3	4	9	1	22	2	1	1	1		1				12	14	79	1	14	33	4	3	2		1		
14	61	8	5	43		2	50	10	21	10		10	1	8		1								1	9	61		11	24	15			17			
31	77	1	1	2			76	1	34		12	7		23										2	10	77		19	35							
34	1						1					1													1	1		1								
38	1						1							1											1	1									
48	10	2	1	9		1	5		2					3			2	1				2			2	10			4						
56	4	1	1	12			3					1		2											2	3	1	1	1						
57	19	2	2	10			16		5		4	5		2	1									1	4	19		9	6							
58	42	4	4	29	1	1	36	1	12	1	9	7		7			1			1				3	13	42		16	13	2				1		1
60	153	7	7	27	1	1	137	7	44		28	17		48		2	6	1	30	6				18	17	153		46	48	1		2				
61	89	4	4	16			79		12	3	2	38	1	23		3	3	3	15	2	1			6	15	89		41	14	4				1		
64	1478	158	39	878	46	1	1265	22	373	4	33	302		553	8	5	44	13	546	34	6	1		55	217	1478		374	471	7	110	18		25	2	1
65	114	7	4	49		2	101		31		5	48		17		1	3	1	25		3			6	16	114		53	33					4		
66	7	1	1	4			6	1	2					4											4	7		1	2		1					
67	25	3	2	22	1		22	2	2		6	8		6											4	25		15	4		2	2				
69	151	10	7	52			135	11	6		28	70		31	3	2	1	1		1				7	81	151		98	10	2	2	3				
70	35	3	1	10			31		31							1										35			34					36		
71	106	8	6	36	5	2	75	1	17			49	2	7	1	7	13	4	82	9		4		1	5	106		54	22			2		1		
73	28	3	3	12	1		24	3	11	5		2	1	5			1	1				1		5	5	28		3	11	6	1					
77	18	1	1	4			8		1		3	1		3			9	1		9					4	18		4	2							
79	4						4		1			1		2											1	4		1	1							

Tabela 2. Ciąg dalszy

Jednostka stratygraficzna	Liczba fragmentów ogółem	Wylwey				Szyjki	Brzuśce								Ucha	Części przydenne	Dna							Fragmenty przepalone	Fragmenty o wupłukanej powierzchni	Chronologia		Grupy technologiczno-surowcowe			Typologia					
		Liczba fragmentów	Liczba różnych naczyń	SEN (procent obwodu)	Ornamentowane		Liczba fragmentów	Ornamentowane	Rodzaj powierzchni								Liczba fragmentów	Liczba różnych naczyń	SEN (procent obwodu)	Rodzaj						Wczesna epoka żelaza	Późne średniowiecze	1	2	3	TYP I i II	TYP III	TYP IV	TYP V	TYP VI	TYP VII
									Gładkie	Wyświecane	Szorstkie	Chropowacone	Obmazywane	Nieokreślone						Płaskie	Półkuliste	Kuliste	Lekko wklęsłe													
81	8	2	2	13			4		3					1		1	1	1	25	1			1	4		8			4					1		
83	2						1			1						1										2				1						
87	46	5	4	19		1	40		27		1			12										11	2	46		1	30		3					
88	1	1	1	3																					1	1								1	
91	97	8	2	48		1	80	6	15			41		24	1		7	2	60	7				7	23	97		41	23		10		7			
92	49	9	6	63	2		36	4	17	7		7	2	3	3	1								1	1	49		11	21	9	2			5		
96	538	121	28	893	45	10	373	23	121	47	5	39	78	83	8	3	23	14	589	8	10	5		82	30	538		149	167	92	147	73	202	47	82	1
105	4	3	3	16			1				1														1	4		1		3		2		1		
107	1	1	1	4																				1		1					1					
109	3						3			1				2										2	2	3				1						
110	8	1	1	2			7		2	1		2		2										3	1	8		2	2	1						
Suma	**3527**	**399**	**161**	**2399**	**103**	**24**	**2922**	**101**	**886**	**89**	**169**	**687**	**86**	**1005**	**28**	**36**	**121**	**48**	**1385**	**82**	**22**	**14**	**1**	**250**	**552**	**3525**	**2**	**1017**	**1094**	**155**	**284**	**105**	**226**	**125**	**90**	**3**

Tabela 3. Fragmentacja i stopień erozji ceramiki z grodziska w Starym Folwarku, st. 1 (oprac. A. Chojnacka-Banaszkiewicz)

Jedn.	Kategorie wielkościowe [cm]																	Stopień erozji				Suma
strat.	1	2	3	4	5	6	7	8	9	10	11	12	13	14	15	16	17+	0	I	II	III	
1			2	1		1														1	3	**4**
2		6	55	68	42	12	9												22	80	90	**192**
3		4	3	3	1															6	5	**11**
5		5	2																2	2	3	**7**
7		1	7	8	10	5	1			1									8	18	7	**33**
9		3	1																	4		**4**
10		2	4	6	4														2	7	7	**16**
11=15		1	5	21	20	17	7	4	1	3				1					15	40	25	**80**
14			5	18	19	13	2	2	1	1									37	19	5	**61**
31			9	28	27	9	3	1											3	43	31	**77**
34					1															1		**1**
38				1																	1	**1**
48			3	2	3	1	1												1	7	2	**10**
56		1		1	1	1												1		1	2	**4**
57			7	6	2	3	1												9	5	5	**19**
58			8	12	13	3	3	2			1							3	7	15	17	**42**
60			25	62	44	15	5	2											30	68	55	**153**
61			8	29	24	18	5	4		1								1	24	30	34	**89**
64		1	142	308	333	244	178	142	67	29	16	8	5	4	1			1	418	488	571	**1478**
65		2	15	22	23	22	13	7	7	1	1	1							28	60	26	**114**
66			2	3		1	1												3	1	3	**7**
67				1	7	5	2	5	3		1				1				15	6	4	**25**
69			3	30	33	32	19	18	5	6	2	2	1						7	36	108	**151**
70		2	12	9	10	2													20	15		**35**
71			8	12	14	16	18	16	8	7	4	2	1					8	82	13	3	**106**
73			2	16	5	5												1	12	10	5	**28**
77			1	1	6	3	1	2	2	1	1								4	2	12	**18**
79				2	1	1														4		**4**
81				3	3		1	1											7	1		**8**
83				2																2		**2**
87			2	4	14	5	6	6	7	2										31	15	**46**
88			1																		1	**1**
91			2	4	19	23	19	7	8	6	4	2	2				1		26	40	31	**97**
92			1	15	11	10	7	3	2									8	29	4	8	**49**
96		2	36	113	110	94	68	31	26	26	12	8	7	2	2		1	83	285	51	119	**538**
105			2	1						1								1	2		1	**4**
107				1																	1	**1**
109			1	1		1														1	2	**3**
110				3	1	1	1	1				1							4	4		**8**
	0	**30**	**374**	**817**	**801**	**563**	**371**	**254**	**137**	**85**	**42**	**24**	**16**	**7**	**4**	**0**	**2**	**107**	**1102**	**1116**	**1202**	**3527**

zdobione ornamentem zaplatania bądź pojedynczym rzędem dołków palcowych. Wystąpiły one w zespołach zabytków z jednostek stratygraficznych 2, 64 i 107.

IAc – odmiana o wyciągniętej krawędzi i brzegach zachylonych do wewnątrz, zdobiona ornamentem zaplatania. Wszystkie formy tego typu pochodzą z zespołu zabytków z jednostki stratygraficznej 64 (tabl. 5).

IAd – odmiana reprezentowana przez jeden egzemplarz dwuuchego garnka, o słabo wyodrębnionym brzuścu, płaskim dnie oraz o brzegach zachylonych do wewnątrz, oraz krawędzi zdobionej załuskiwaniami paznokciowymi (ryc. 26). Fragmenty tego w zasadzie kompletnego, choć silnie rozdrobnionego naczynia wystąpiły w zespołach zabytków z warstw 92 i 96 (tabl. 20:1). Nieco zbliżona forma, jednak o niezdobionej krawędzi oraz uchach mocowanych do krawędzi wylewu wystąpiła na stanowisku w Kątkach, gm. Stary Targ, pow. sztumski[2].

IAe – odmiana z pogrubionym owalnym brzegiem oraz krótką, wyraźnie zaznaczoną szyjką, zdobione ornamentem zaplatania.

Podtyp IB – z ornamentowaną krawędzią wylewu, słabo wydzielonym brzuścem, powierzchni zewnętrz-

[2] Hoffmann 1999a: tabl. 157: 9.

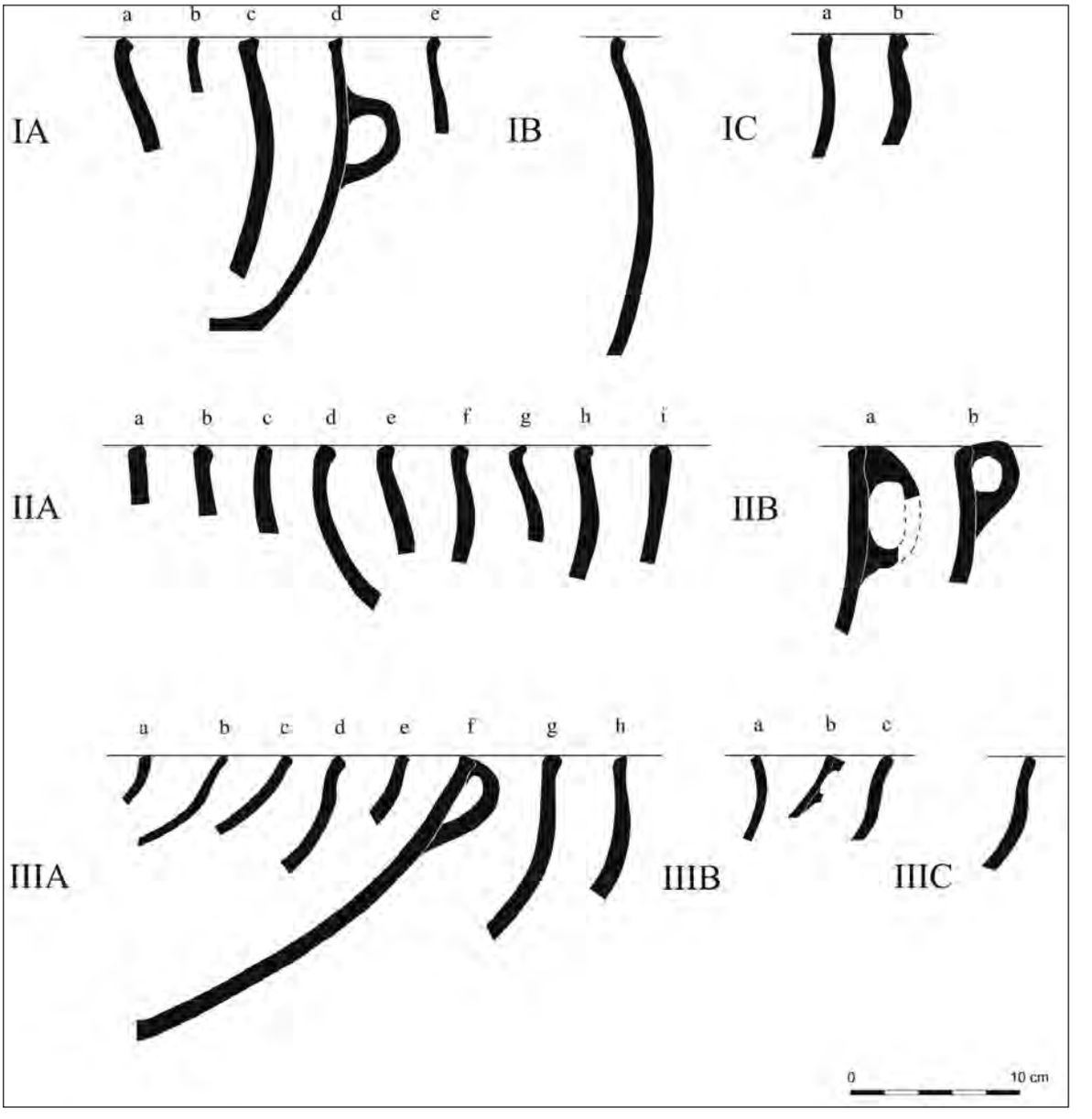

Ryc. 25a. Stary Folwark, st. 1. Typologia naczyń ceramicznych (oprac. A. Chojnacka-Banaszkiewicz)

nej niestarannie gładzonej, przecieranej najprawdopodobniej wiązką słomy. Dwa analogiczne egzemplarze: jeden o średnicy niespełna 30 cm, drugi natomiast o połowę mniejszy, wystąpiły w zespole zabytków z jednostki stratygraficznej 96. Ponadto fragmenty naczynia większego znaleziono także w jednostkach stratygraficznych 14, 71 i 92 (tabl. 17:9; 19). Jest to forma podobna do typu IV grupy III – odmiany 1 wg M. Hoffmanna[3].

Podtyp IC – z ornamentowaną krawędzią wylewu, o powierzchni chropowaconej.

ICa – odmiana o subtelnie esowatym profilu i baniastym brzuścu, powierzchni chropowaconej aż pod krawędź wylewu, zdobione na krawędzi podwójnym rzędem dołków palcowych. Wystąpiły w zespołach zabytków z jednostek stratygraficznych 64, 66 i 96 (tabl. 7:1). Formy te mogą stanowić analogię do znalezisk z takich stanowisk, jak Pleśno, gm. Bisztynek, pow.

[3] Hoffmann 1999a: tabl. 77–78, 2000: 94.

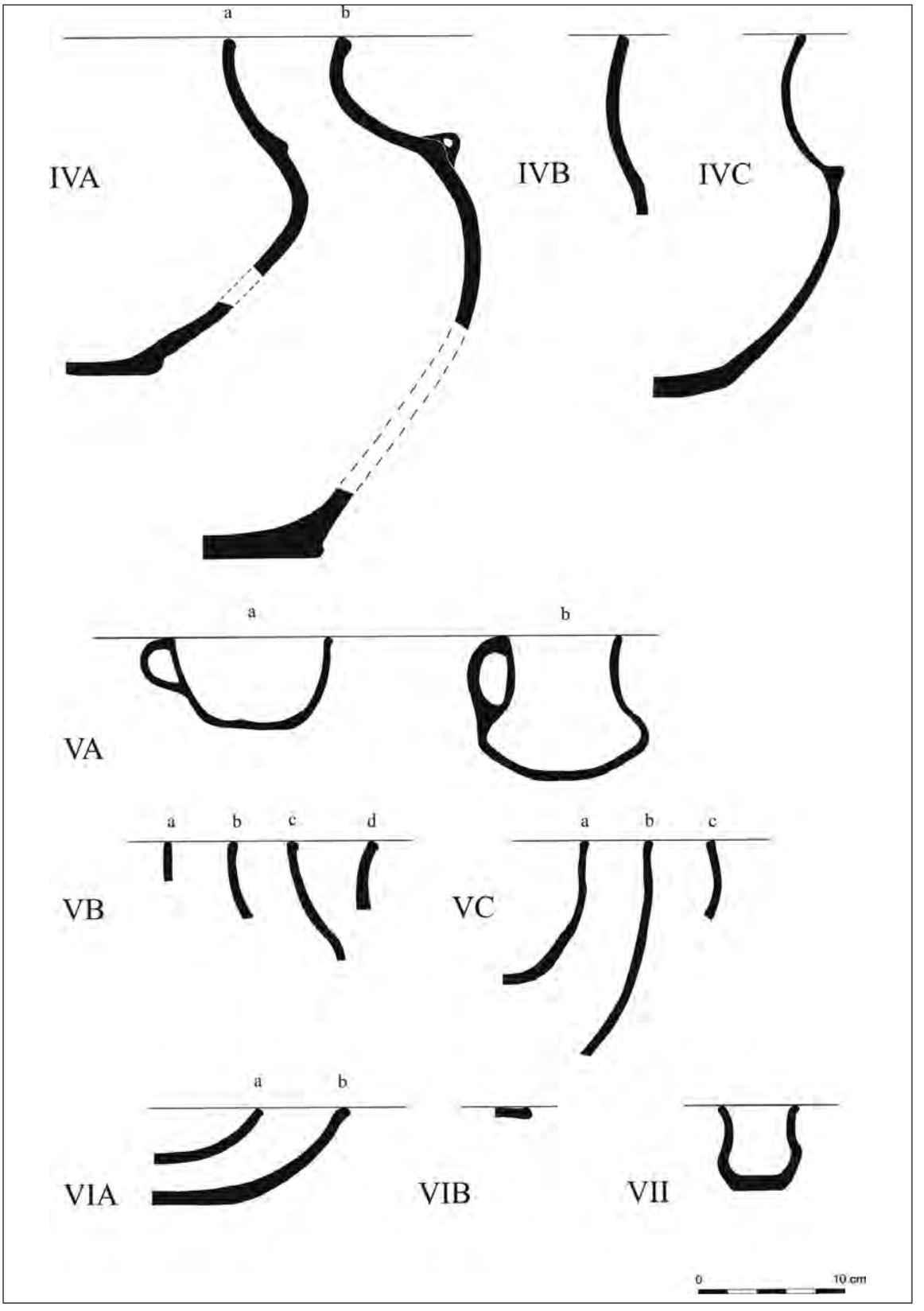

Ryc. 25b. Stary Folwark, st. 1. Typologia naczyń ceramicznych (oprac. A. Chojnacka-Banaszkiewicz)

Ryc. 26. Stary Folwark, st. 1. Garnek typu IA, odmiany d z warstw 92 i 96 (fot. R. Solecki)

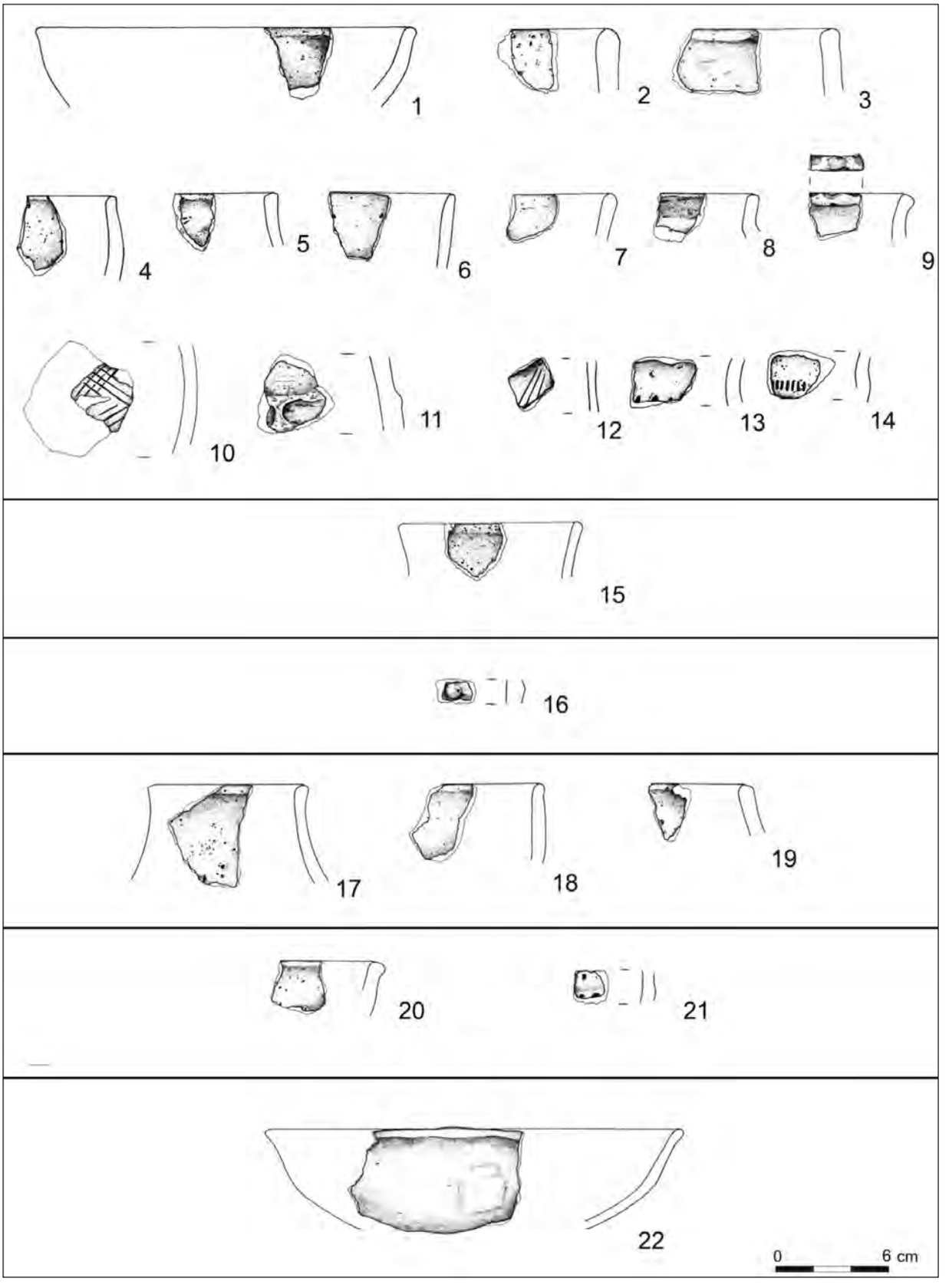

Tablica 1. Stary Folwark, st. 1: 1–14 – fragmenty naczyń z jednostki stratygraficznej 2; 15 – fragment naczynia z jednostki stratygraficznej 3; 16 – fragment ornamentowanego brzuśca z jednostki stratygraficznej 5; 17–19 – fragmenty naczyń z jednostki stratygraficznej 7; 20–21 – fragmenty naczyń z jednostki stratygraficznej 10; 22 – naczynie z jednostki stratygraficznej 11 (rys. A. Chojnacka-Banaszkiewicz)

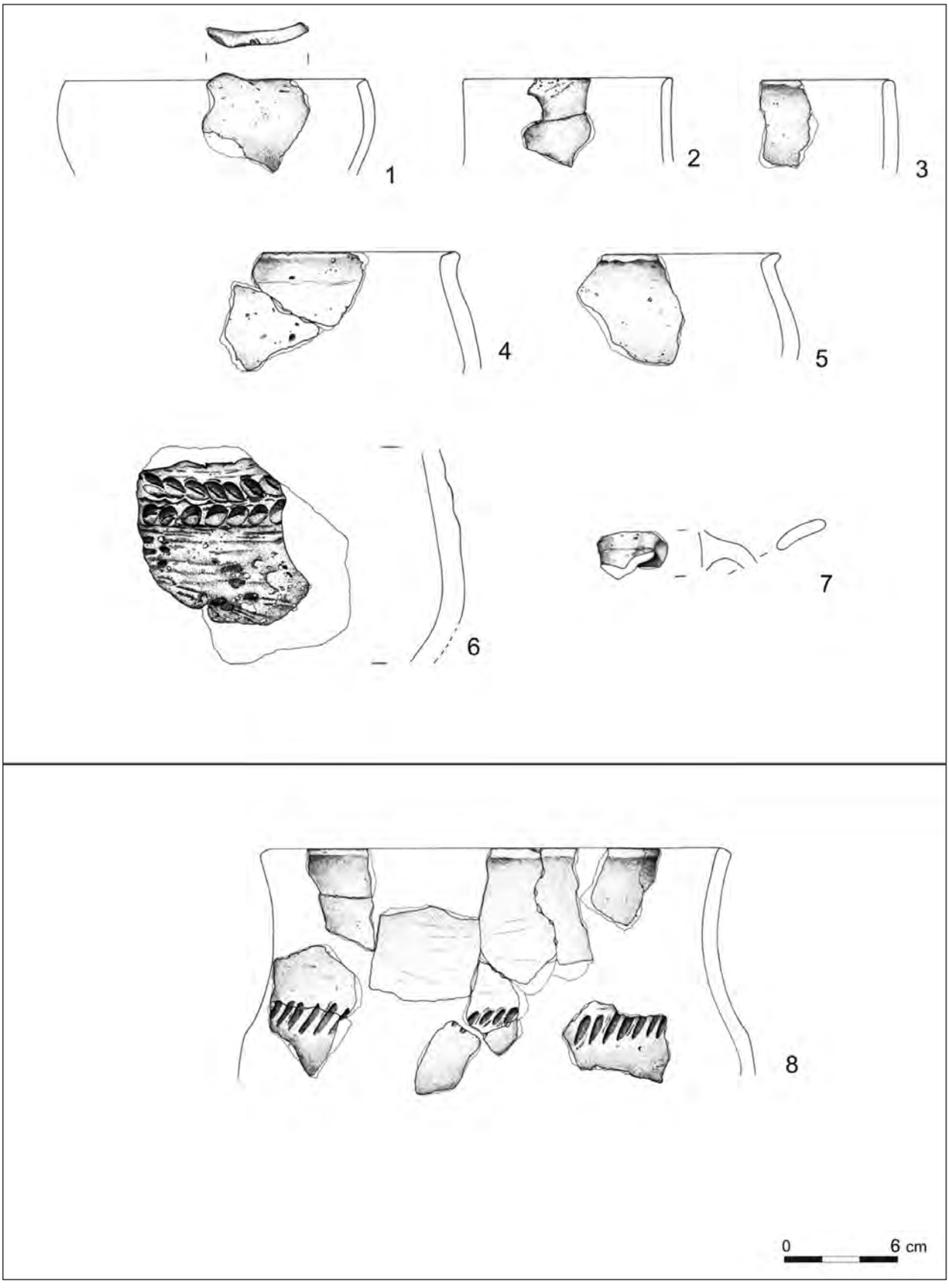

Tablica 2. Stary Folwark, st. 1: 1–7 – fragmenty naczyń z jednostki stratygraficznej 11; 8 – naczynie z jednostki stratygraficznej 14 (rys. A. Chojnacka-Banaszkiewicz)

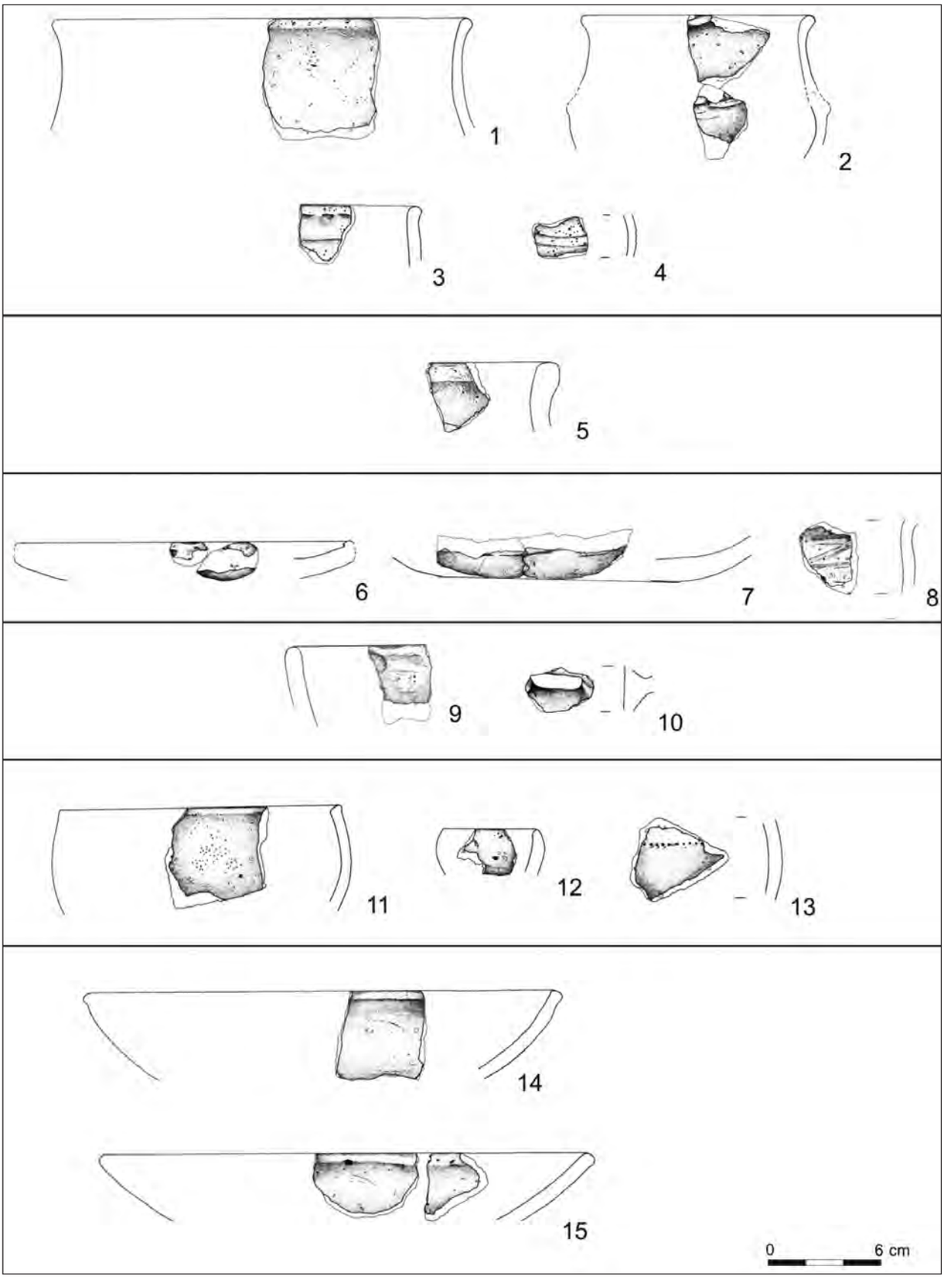

Tablica 3. Stary Folwark, st. 1: 1–4 – fragmenty naczyń z jednostki stratygraficznej 14; 5 – fragment naczynia z jednostki stratygraficznej 31; 6–8 – fragmenty naczyń z jednostki stratygraficznej 48; 9–10 – fragmenty naczyń z jednostki stratygraficznej 57; 11–13 – fragmenty naczyń z jednostki stratygraficznej 58; 14–15 – fragmenty naczyń z jednostki stratygraficznej 60 (rys. A. Chojnacka-Banaszkiewicz)

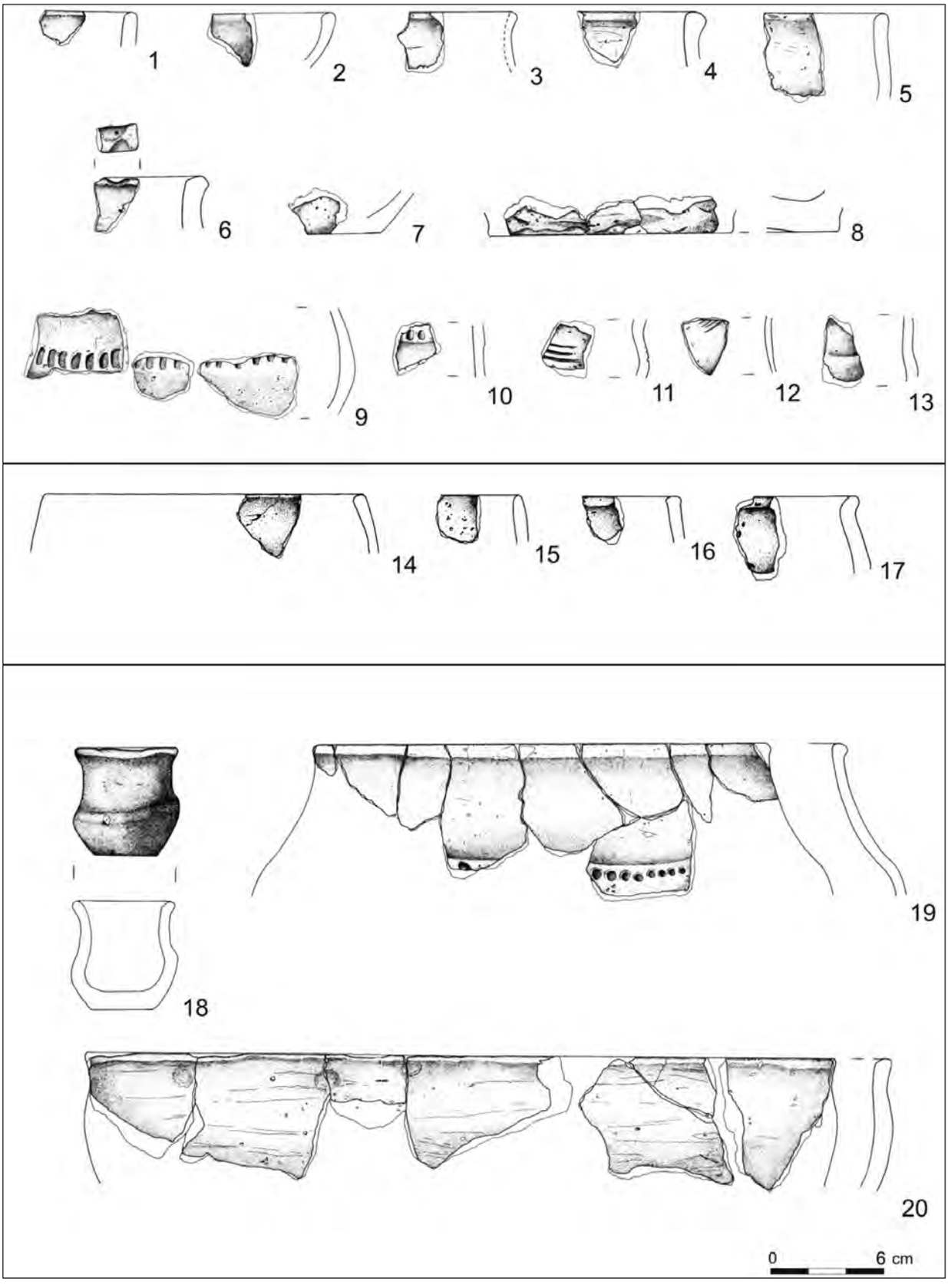

Tablica 4. Stary Folwark, st. 1: 1–13 – fragmenty naczyń z jednostki stratygraficznej 60; 14–17 – fragmenty naczyń z jednostki stratygraficznej 61; 18–20 – ceramika z jednostki stratygraficznej 64 (rys. A. Chojnacka-Banaszkiewicz)

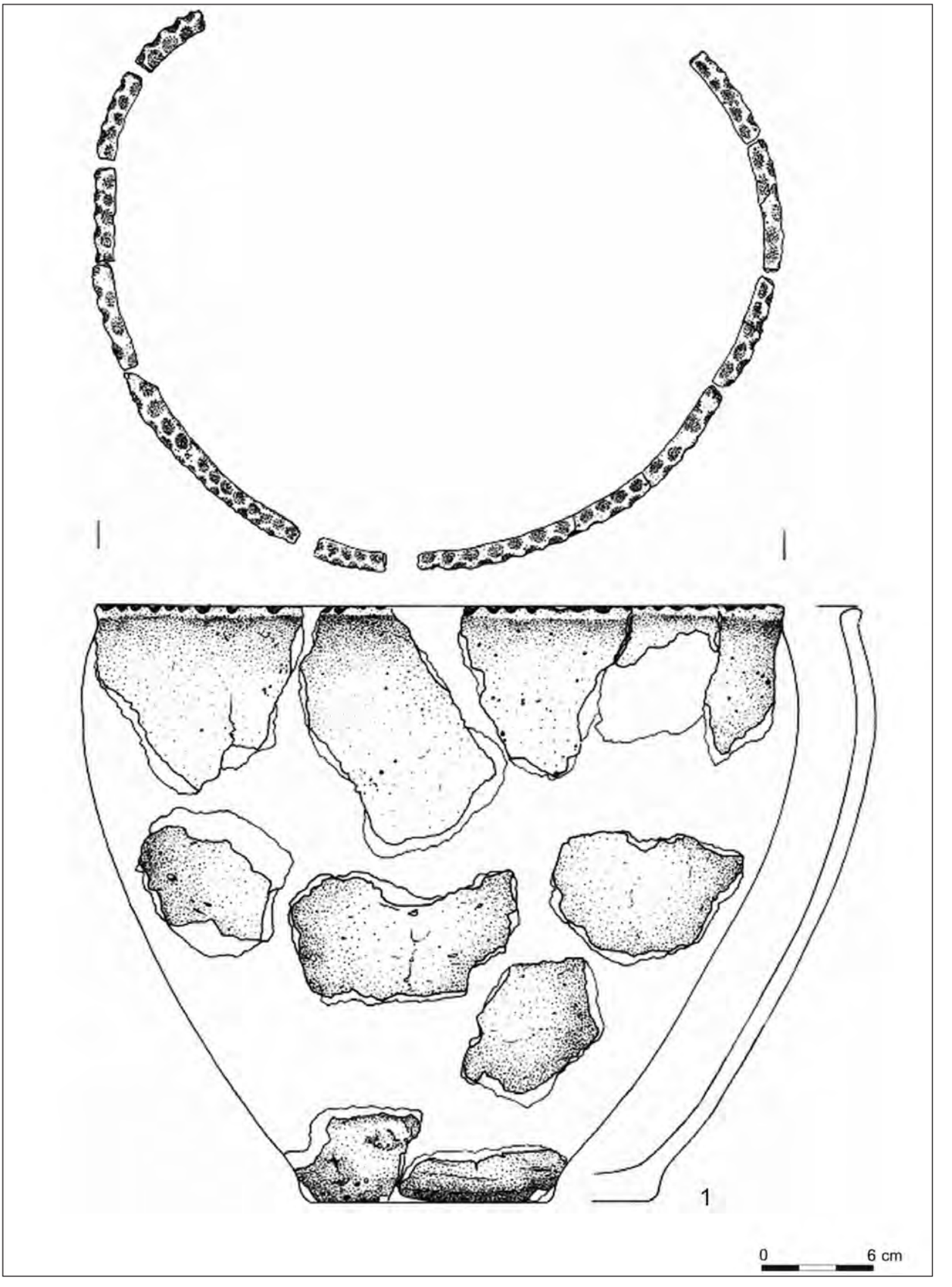

Tablica 5. Stary Folwark, st. 1: naczynie z jednostki stratygraficznej 64 (rys. A. Chojnacka-Banaszkiewicz)

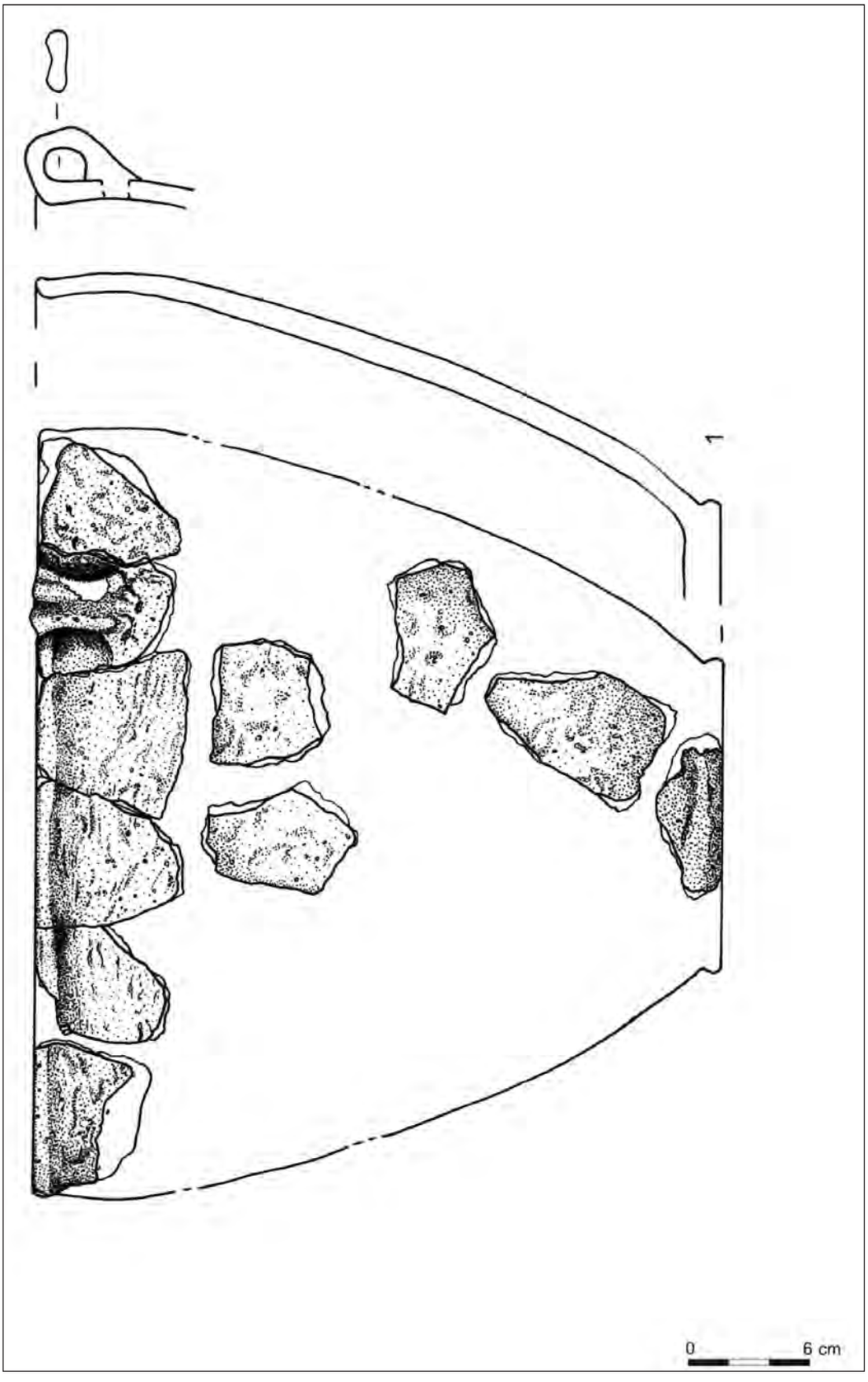

Tablica 6. Stary Folwark, st. 1: naczynie z jednostki stratygraficznej 64 (rys. A. Chojnacka-Banaszkiewicz)

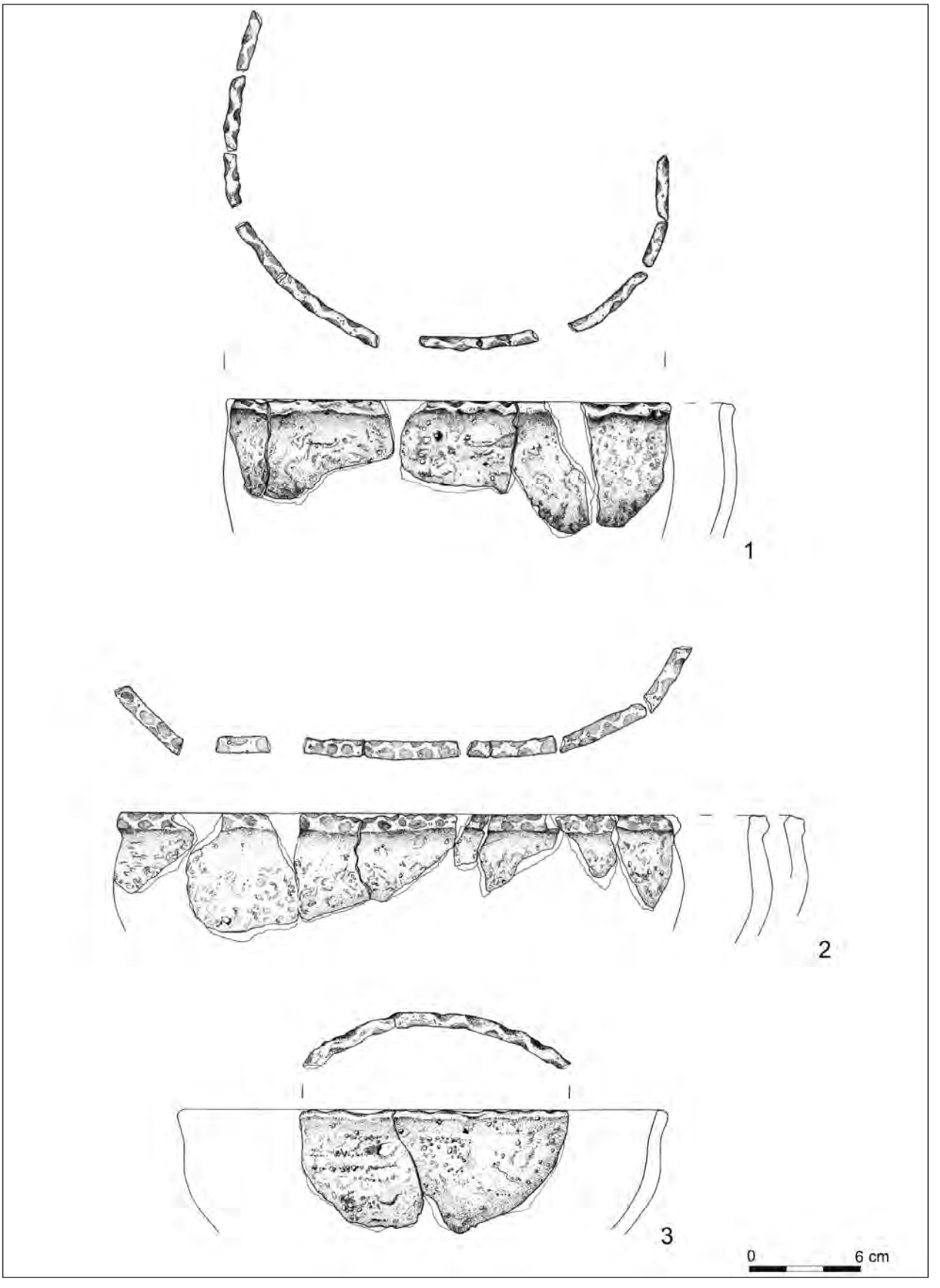

Tablica 7. Stary Folwark, st. 1: fragmenty naczyń z jednostki stratygraficznej 64 (rys. A. Chojnacka-Banaszkiewicz)

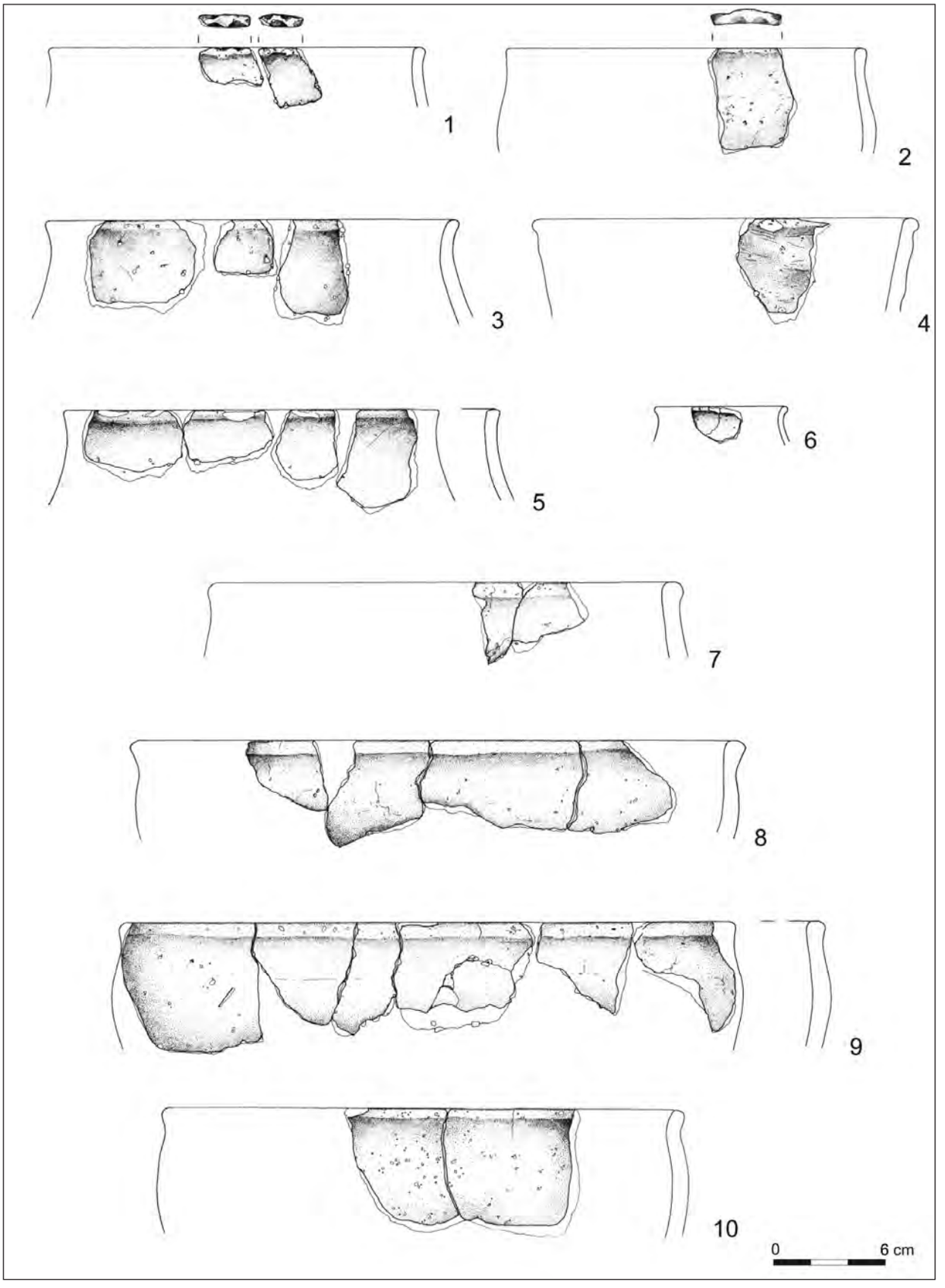

Tablica 8. Stary Folwark, st. 1: fragmenty naczyń z jednostki stratygraficznej 64 (rys. A. Chojnacka-Banaszkiewicz)

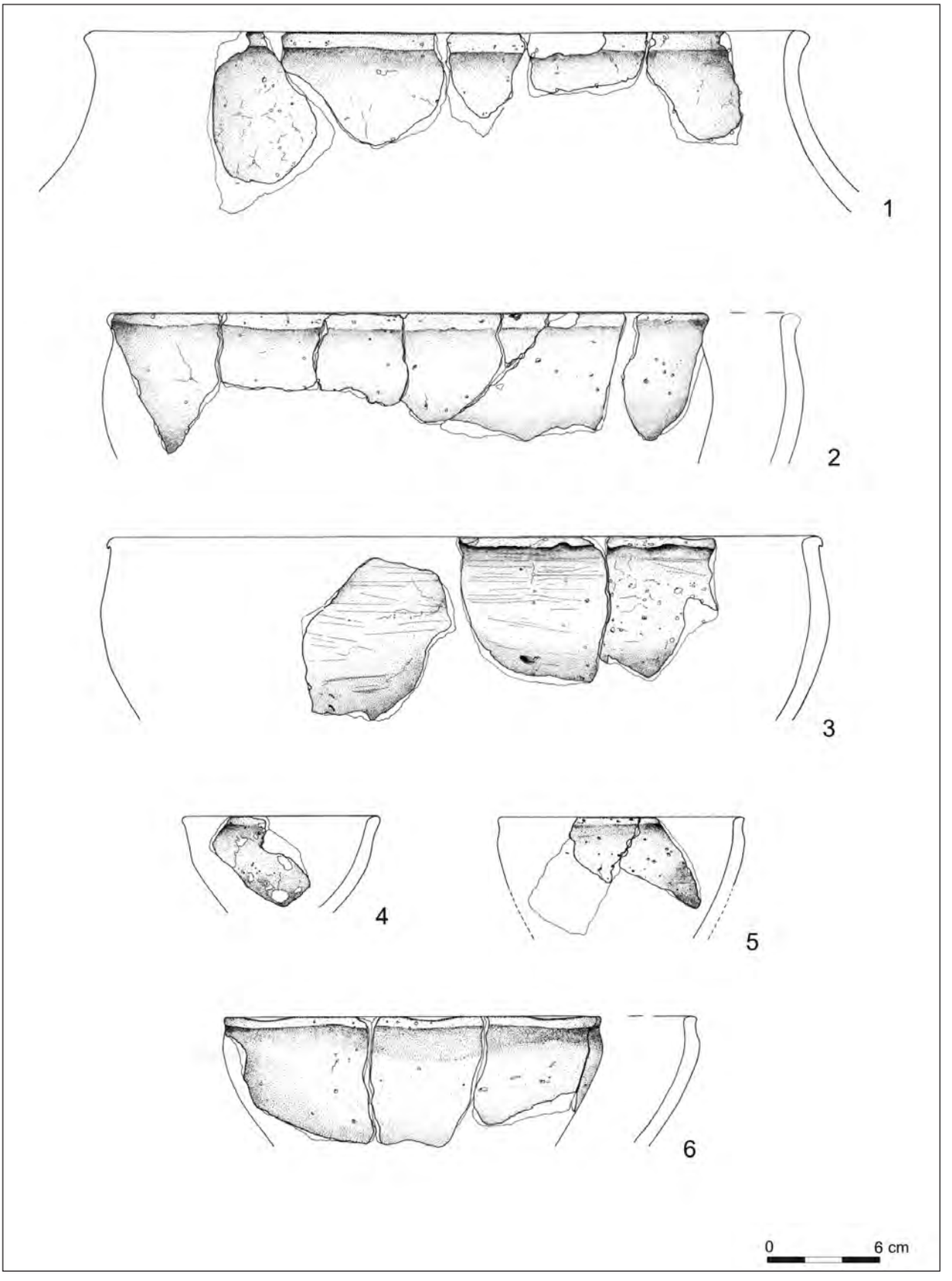

Tablica 9. Stary Folwark, st. 1: fragmenty naczyń z jednostki stratygraficznej 64 (rys. A. Chojnacka-Banaszkiewicz)

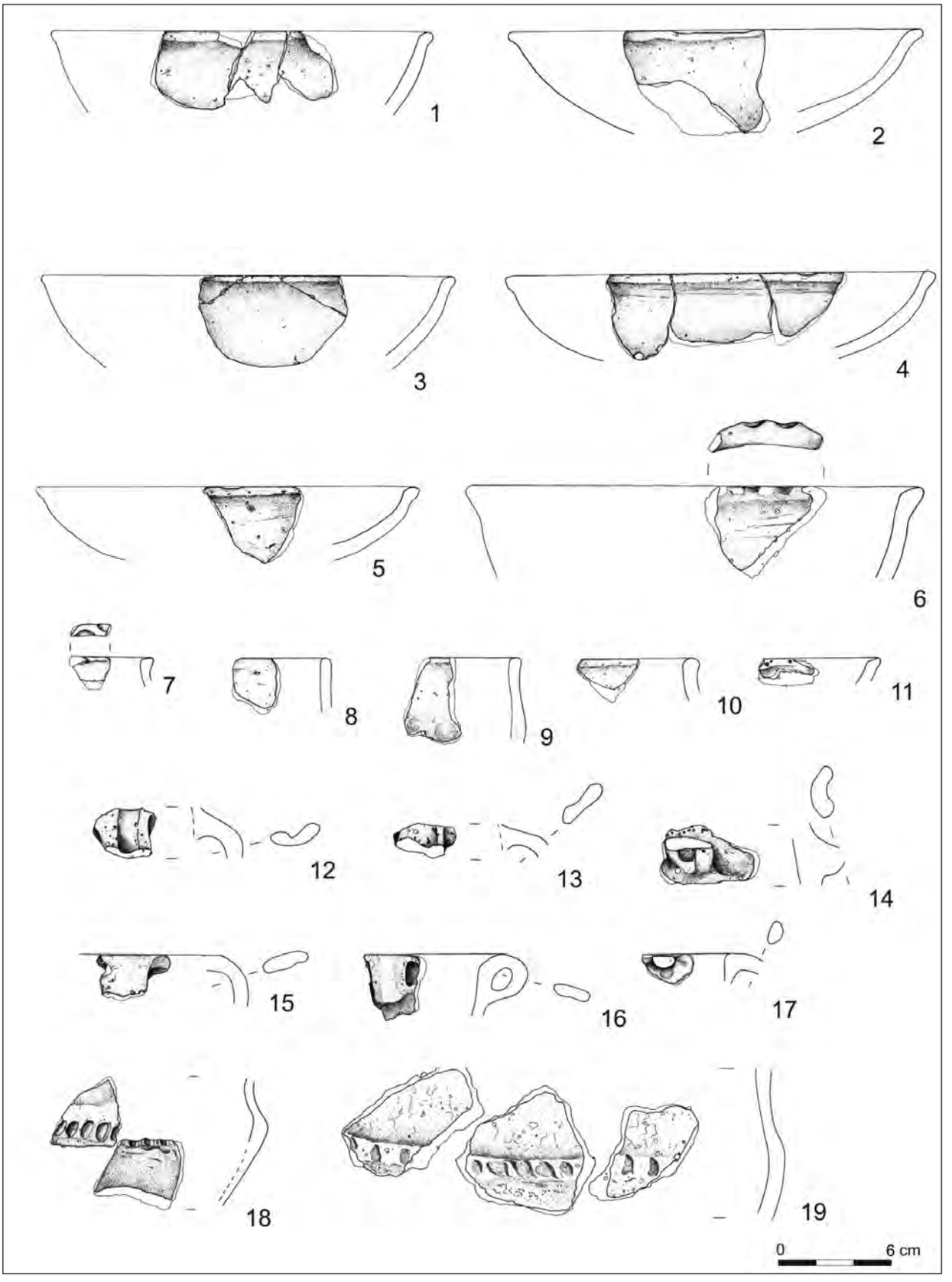

Tablica 10. Stary Folwark, st. 1: fragmenty naczyń z jednostki stratygraficznej 64 (rys. A. Chojnacka-Banaszkiewicz)

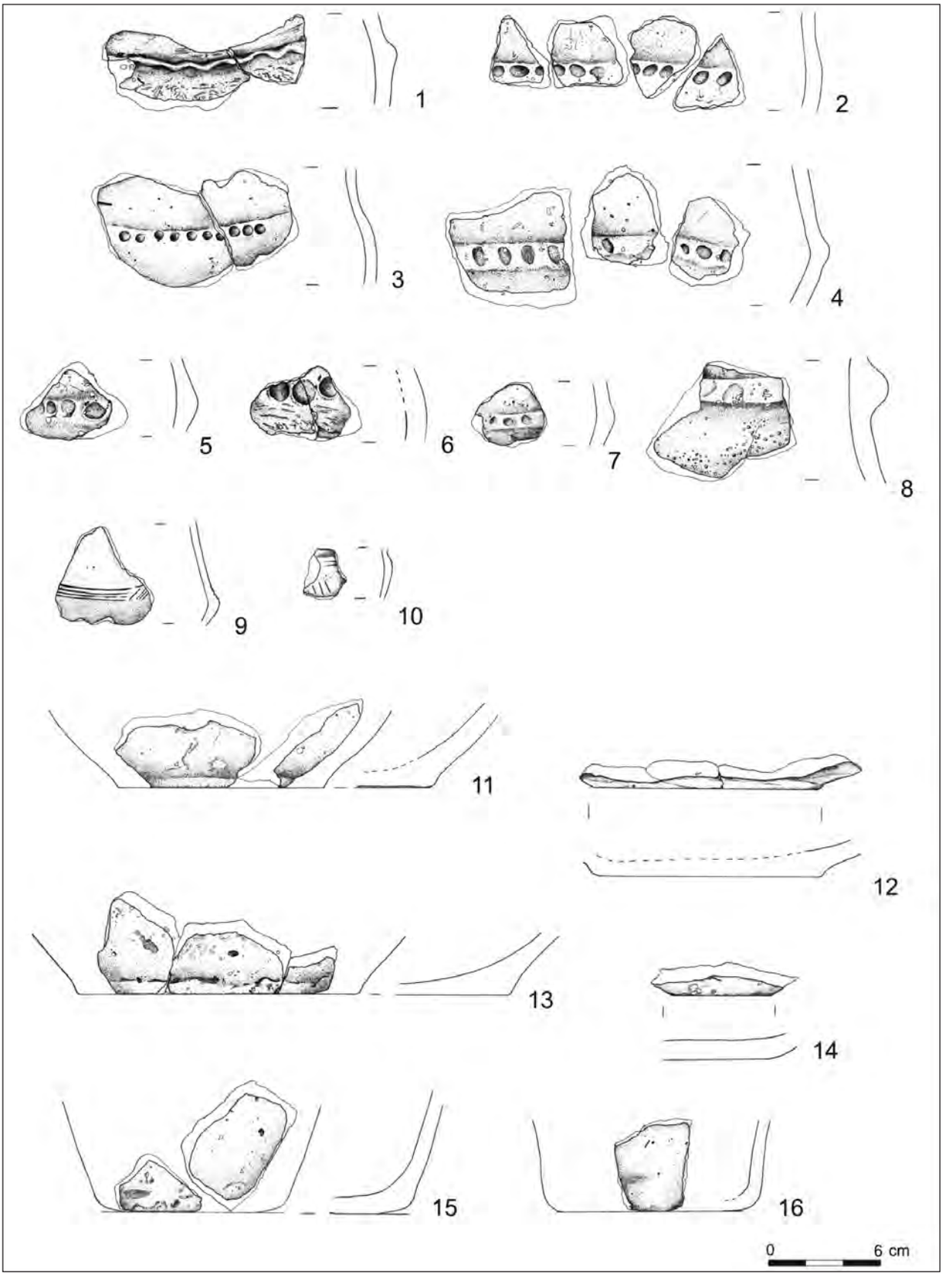

Tablica 11. Stary Folwark, st. 1: fragmenty naczyń z jednostki stratygraficznej 64 (rys. A. Chojnacka-Banaszkiewicz)

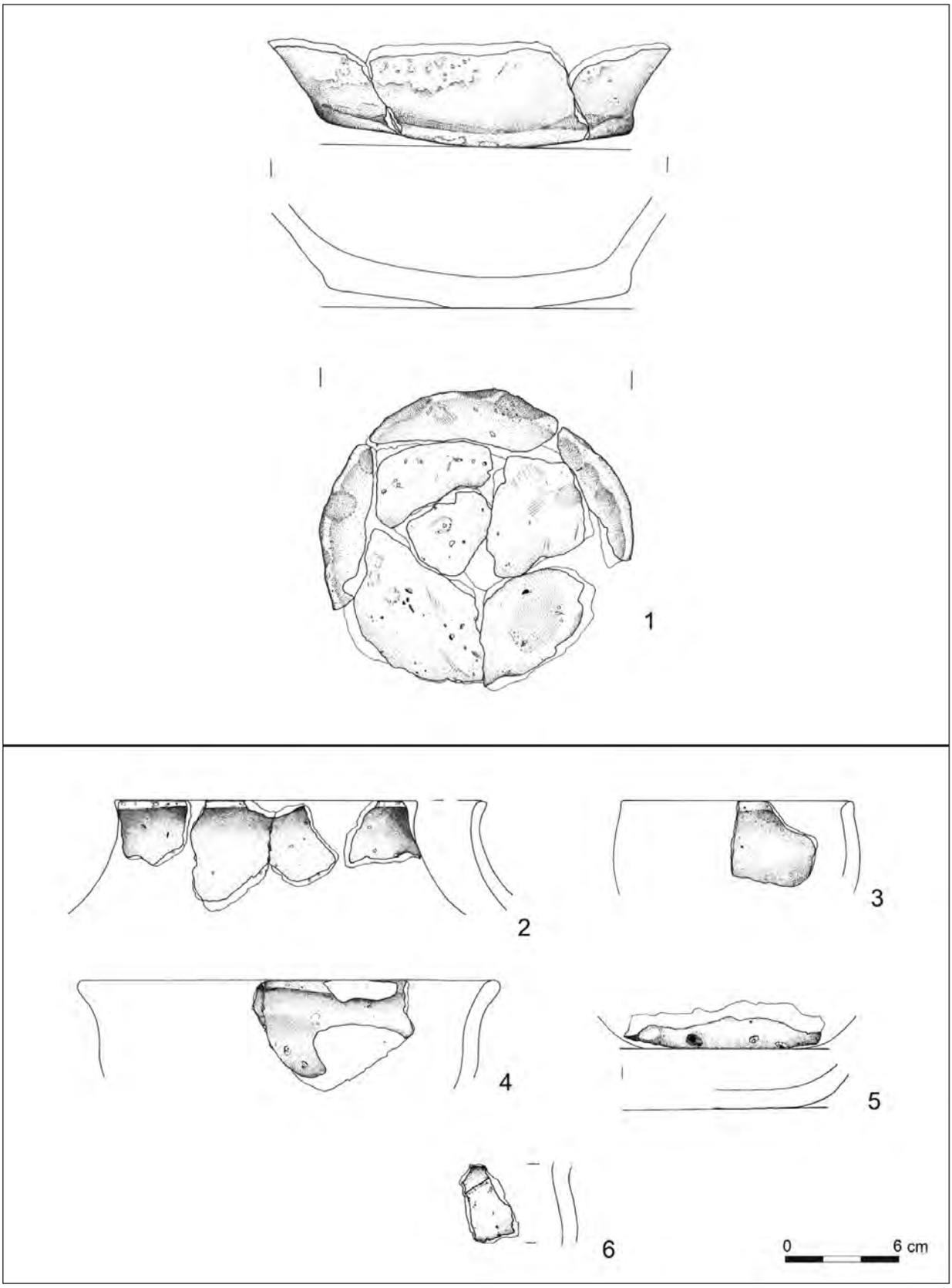

Tablica 12. Stary Folwark, st. 1: 1 – dno naczynia z jednostki stratygraficznej 64; 2–6 – fragmenty naczyń z jednostki stratygraficznej 65 (rys. A. Chojnacka-Banaszkiewicz)

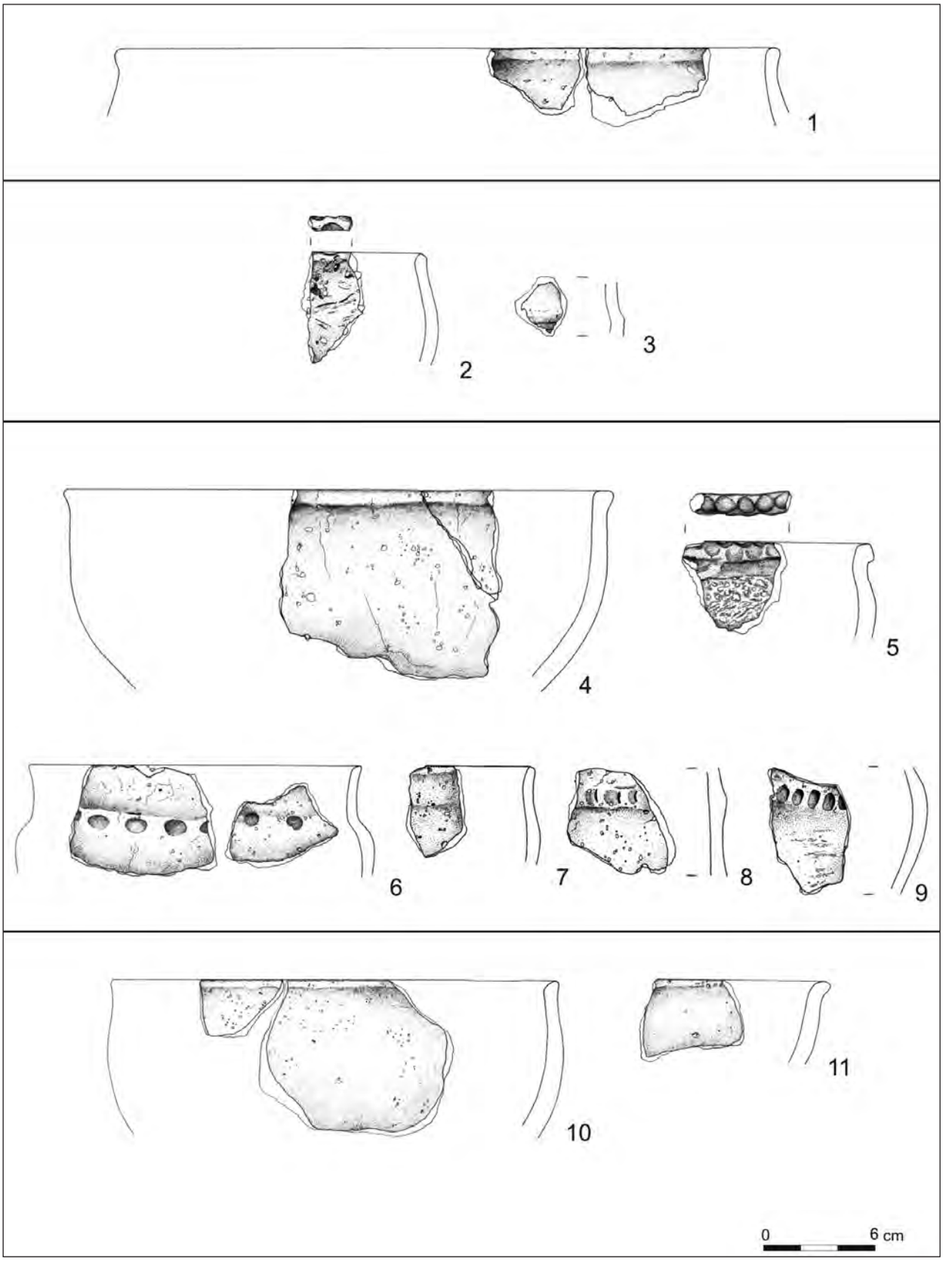

Tablica 13. Stary Folwark, st. 1: 1 – fragment naczynia z jednostki stratygraficznej 65; 2–3 – fragmenty naczyń z jednostki stratygraficznej 66; 4–9 – fragmenty naczyń z jednostki stratygraficznej 67; 10–11 – fragmenty naczyń z jednostki stratygraficznej 69 (rys. A. Chojnacka-Banaszkiewicz)

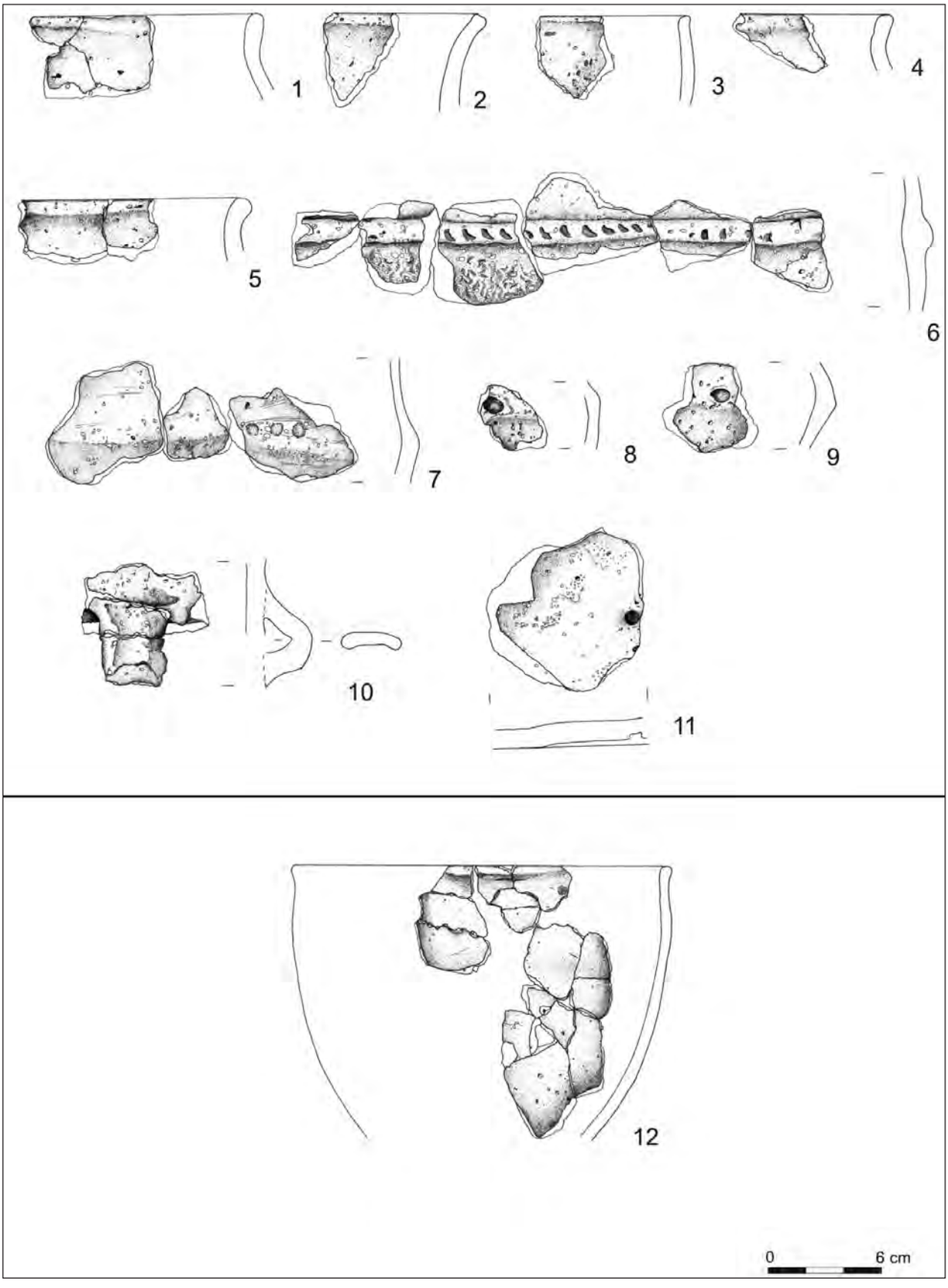

Tablica 14. Stary Folwark, st. 1: 1–11 – fragmenty naczyń z jednostki stratygraficznej 69; 12 – naczynie z jednostki stratygraficznej 70 (rys. A. Chojnacka-Banaszkiewicz)

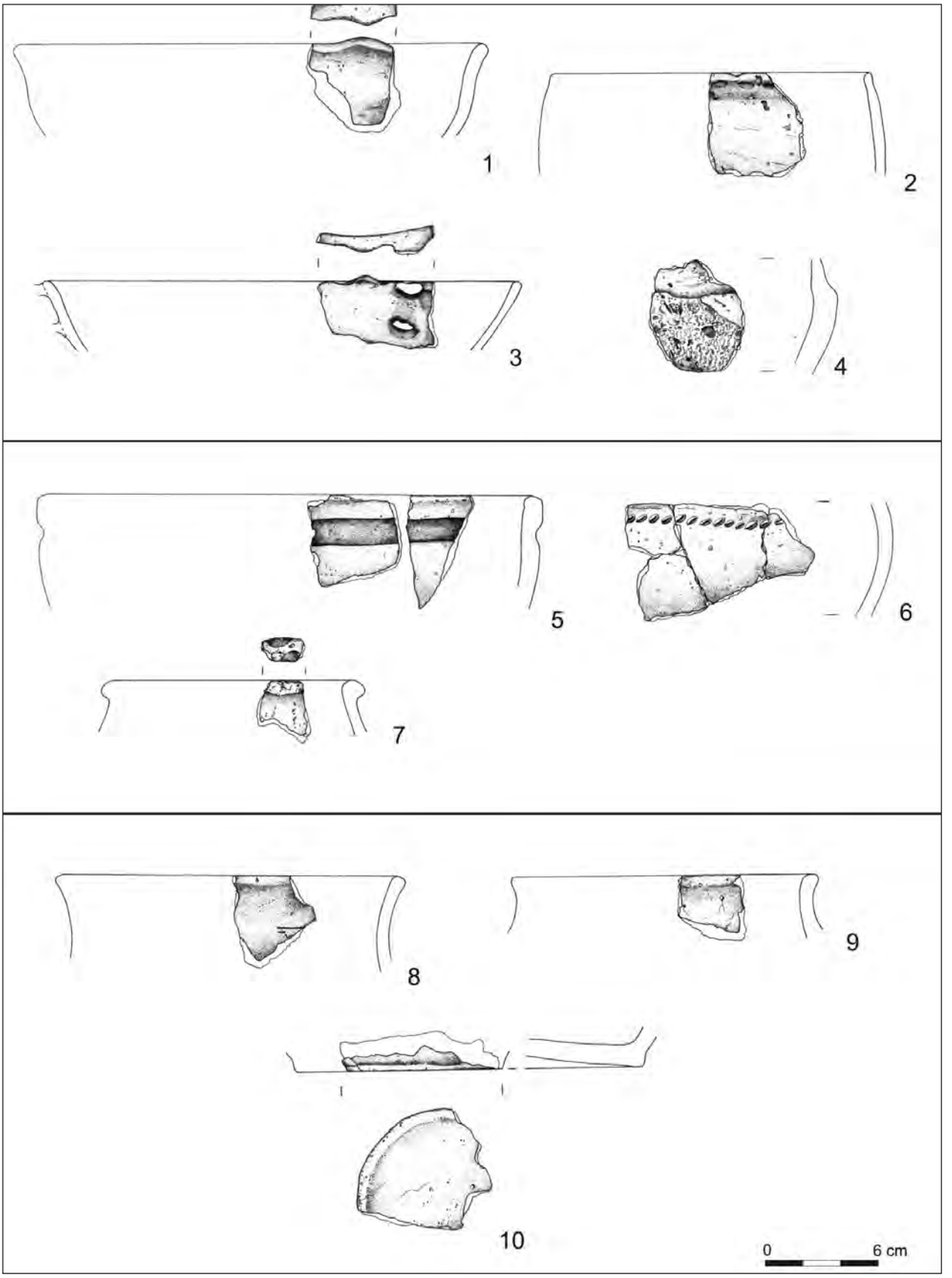

Tablica 15. Stary Folwark, st. 1: 1–4 – fragmenty naczyń z jednostki stratygraficznej 71; 5–7 – fragmenty naczyń z jednostki stratygraficznej 73; 8–10 – fragmenty naczyń z jednostki stratygraficznej 81 (rys. A. Chojnacka-Banaszkiewicz)

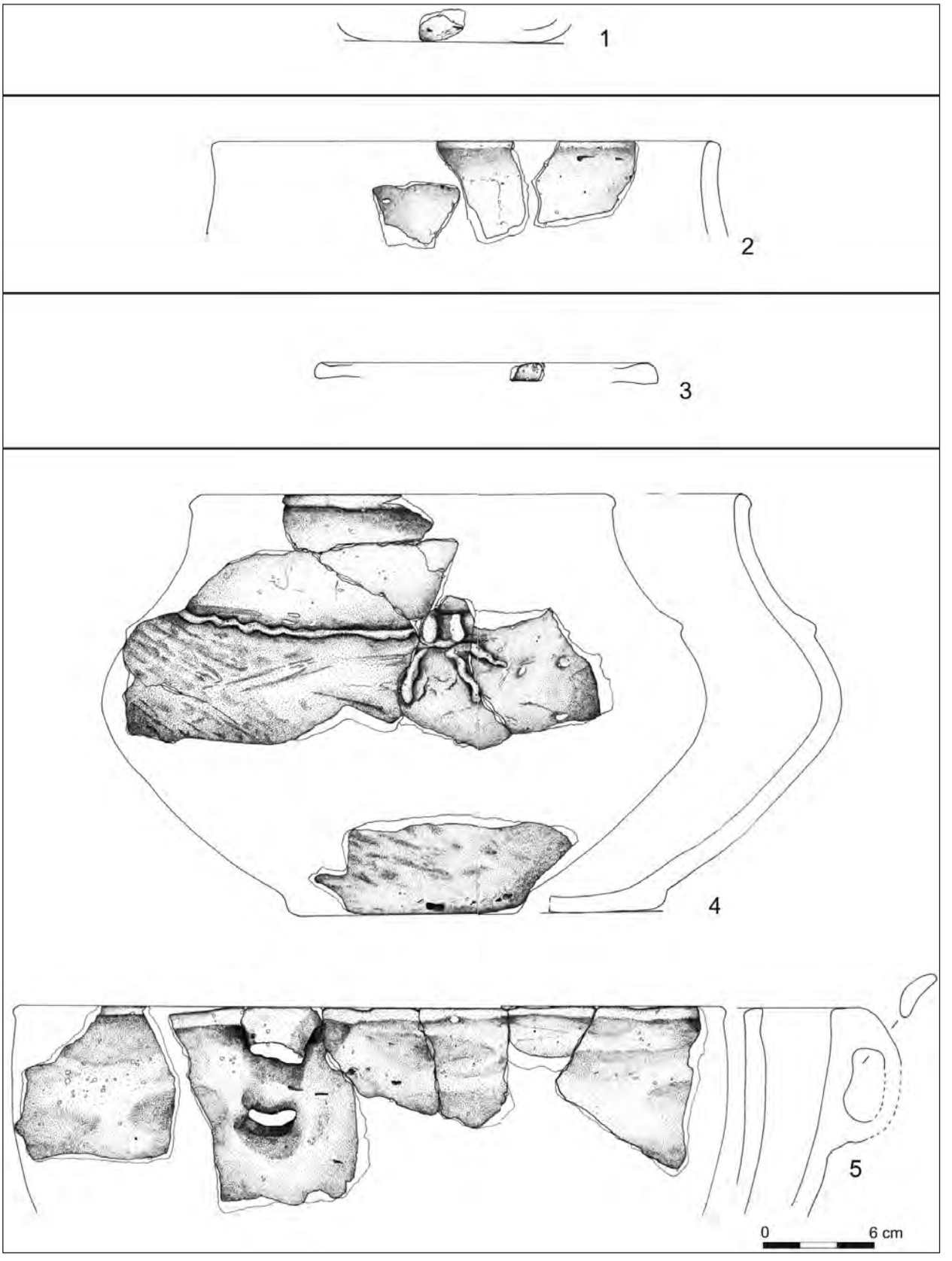

Tablica 16. Stary Folwark, st. 1: 1 – fragment naczynia z jednostki stratygraficznej 83; 2 – naczynie z jednostki stratygraficznej 87; 3 – fragment naczynia z jednostki stratygraficznej 88; 4–5 – naczynia z jednostki stratygraficznej 91 (rys. A. Chojnacka-Banaszkiewicz)

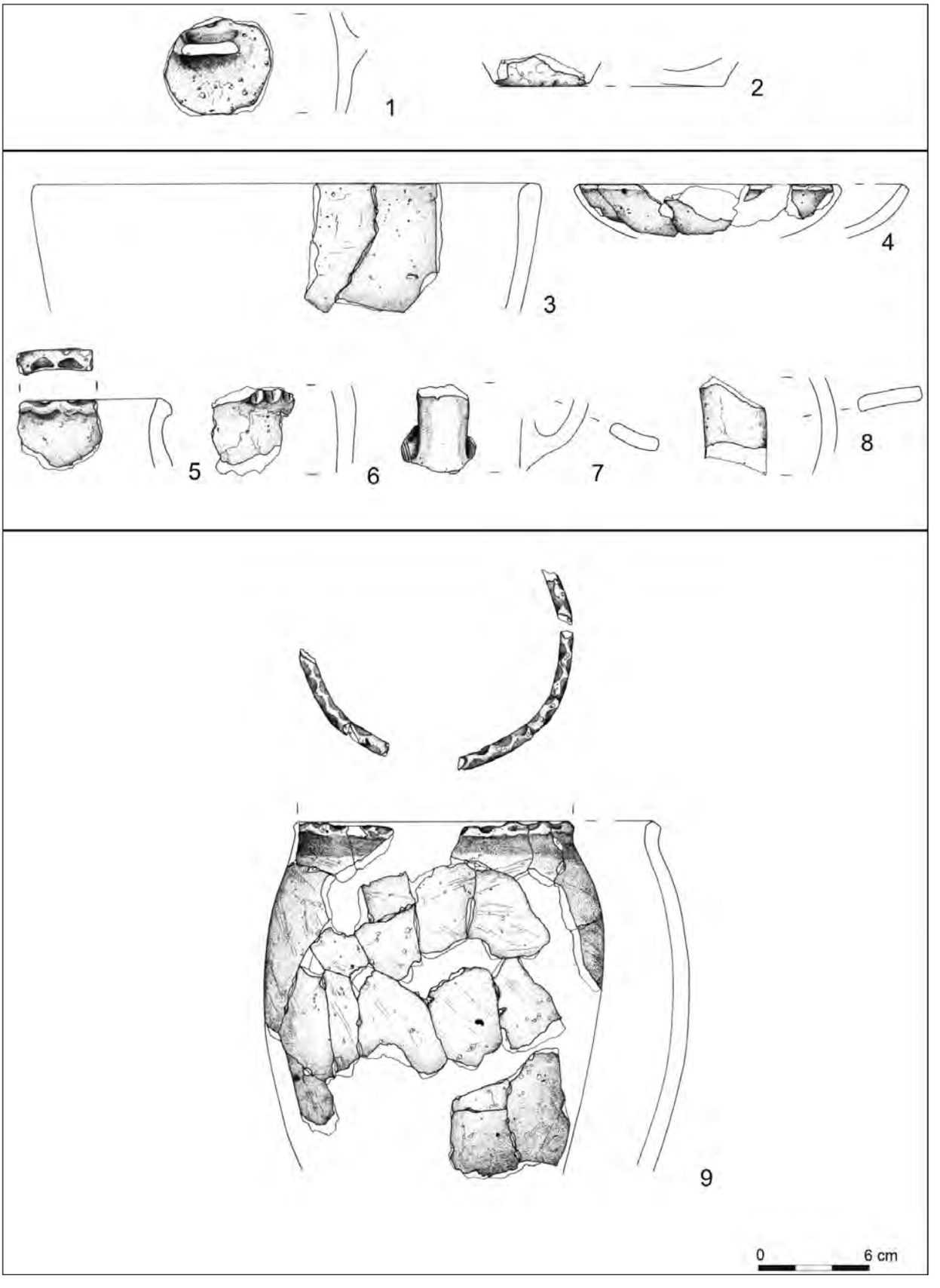

Tablica 17. Stary Folwark, st. 1: 1–2 – fragmenty naczyń z jednostki stratygraficznej 91; 3–8 – fragmenty naczyń z jednostki stratygraficznej 92; 9 – naczynie z jednostki stratygraficznej 96 (rys. A. Chojnacka-Banaszkiewicz)

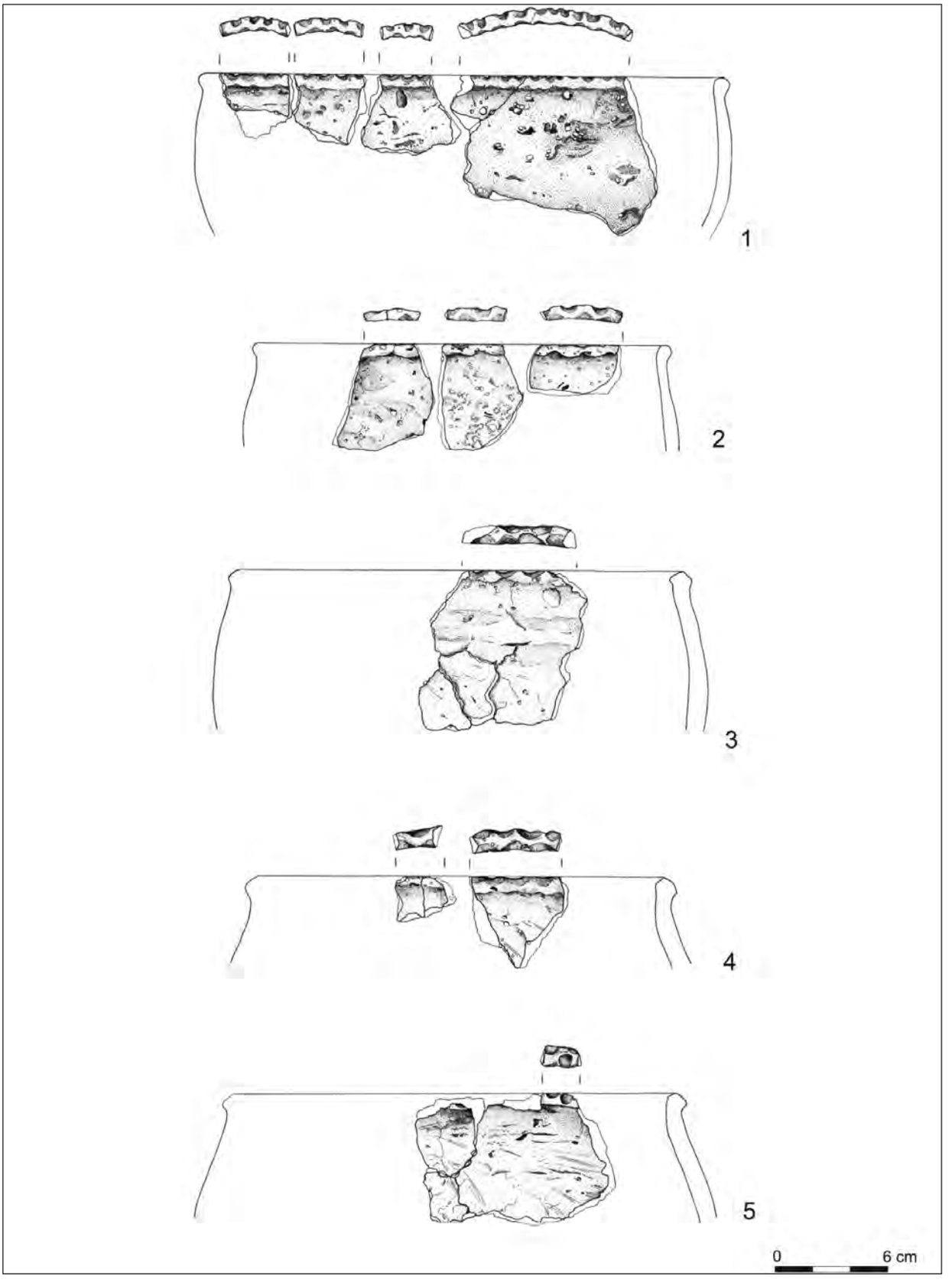

Tablica 18. Stary Folwark, st. 1: naczynia z ornamentowaną krawędzią wylewu z jednostki stratygraficznej 96 (rys. A. Chojnacka-Banaszkiewicz)

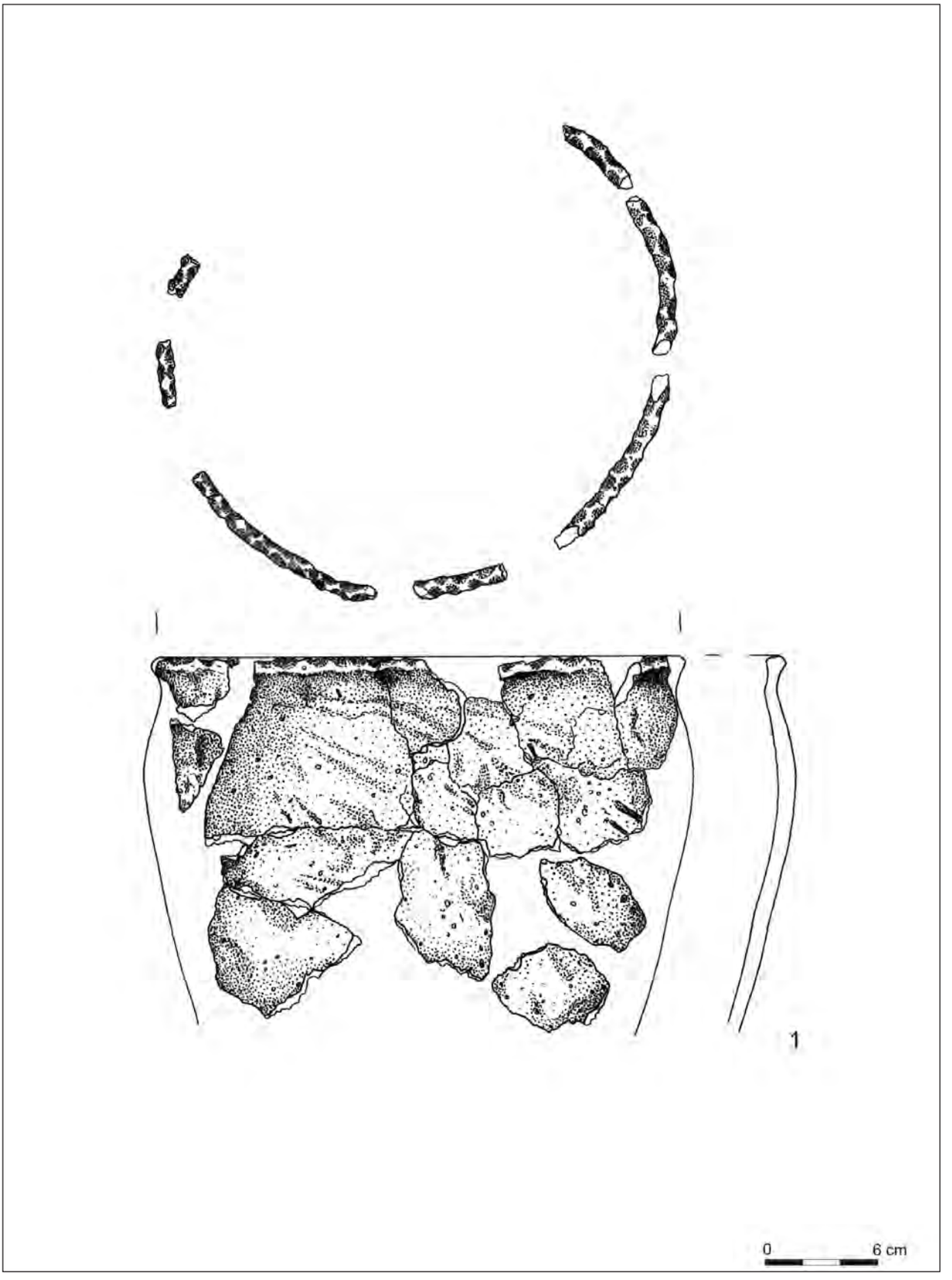

Tablica 19. Stary Folwark, st. 1: naczynie z ornamentowaną krawędzią wylewu z jednostki stratygraficznej 96 (rys. A. Chojnacka-Banaszkiewicz)

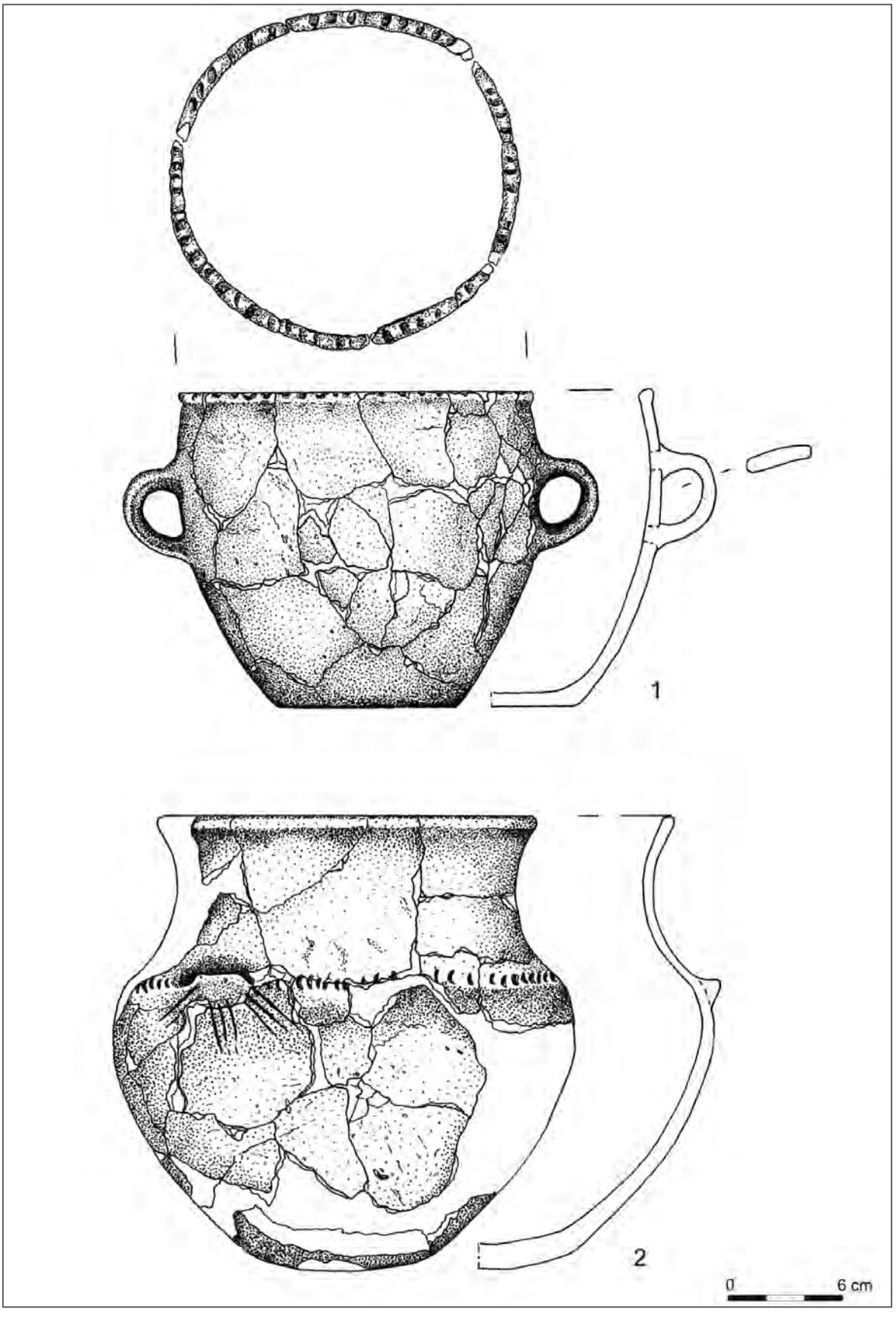

Tablica 20. Stary Folwark, st. 1: naczynia z jednostki stratygraficznej 96 (rys. A. Chojnacka-Banaszkiewicz)

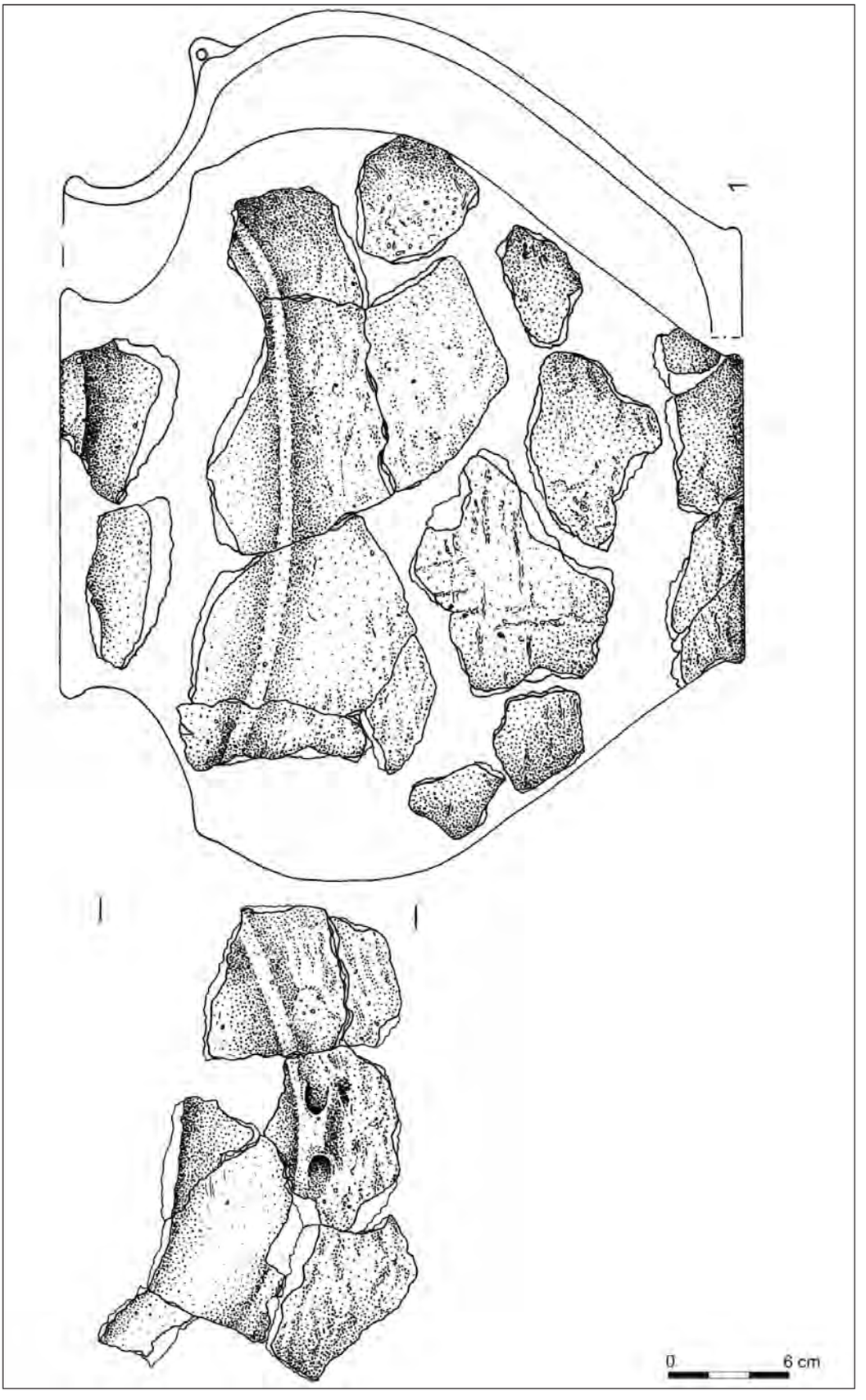

Tablica 21. Stary Folwark, st. 1: naczynie z jednostki stratygraficznej 96 (rys. A. Chojnacka-Banaszkiewicz)

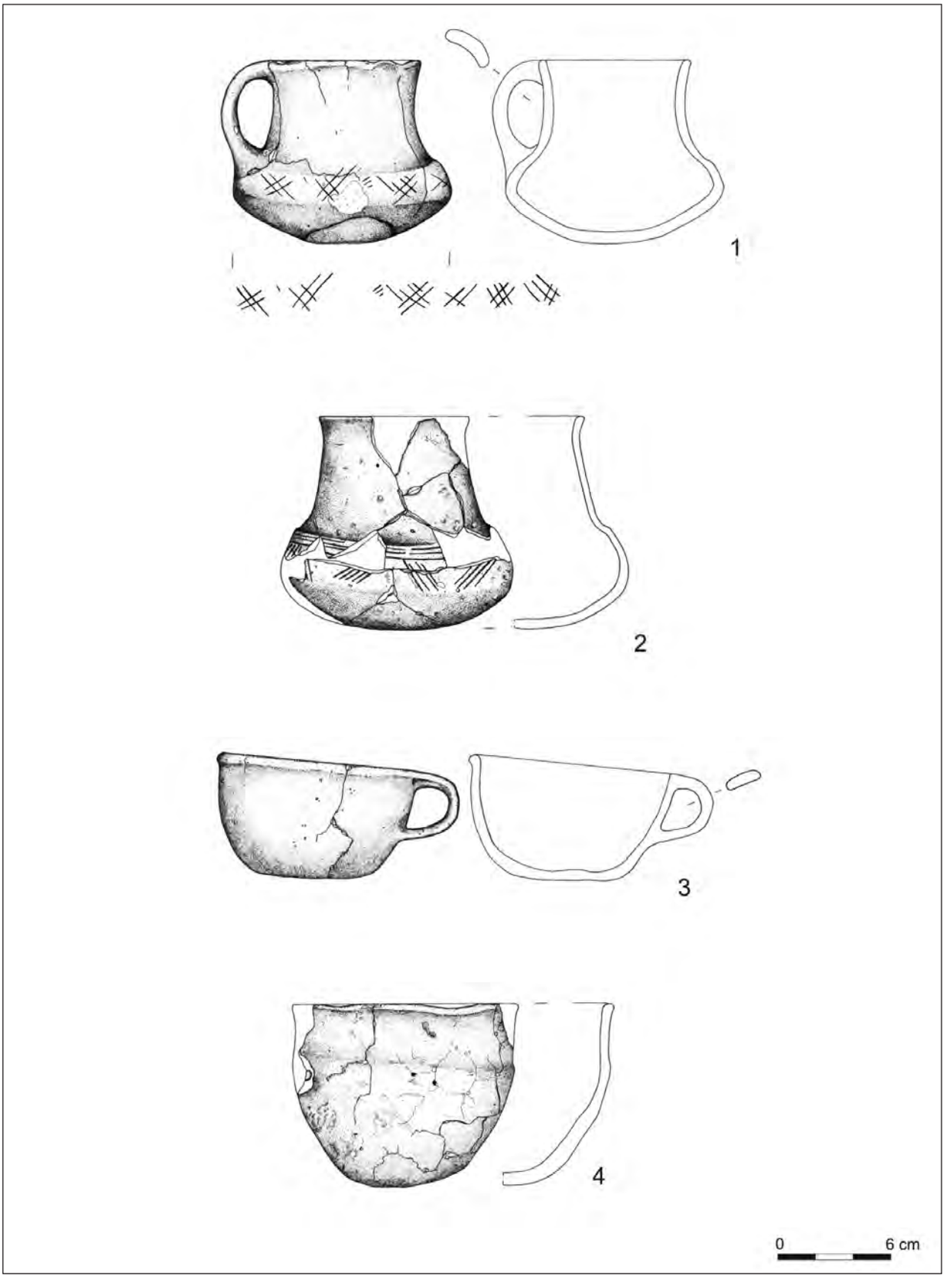

Tablica 22. Stary Folwark, st. 1: naczynia z jednostki stratygraficznej 96 (rys. A. Chojnacka-Banaszkiewicz)

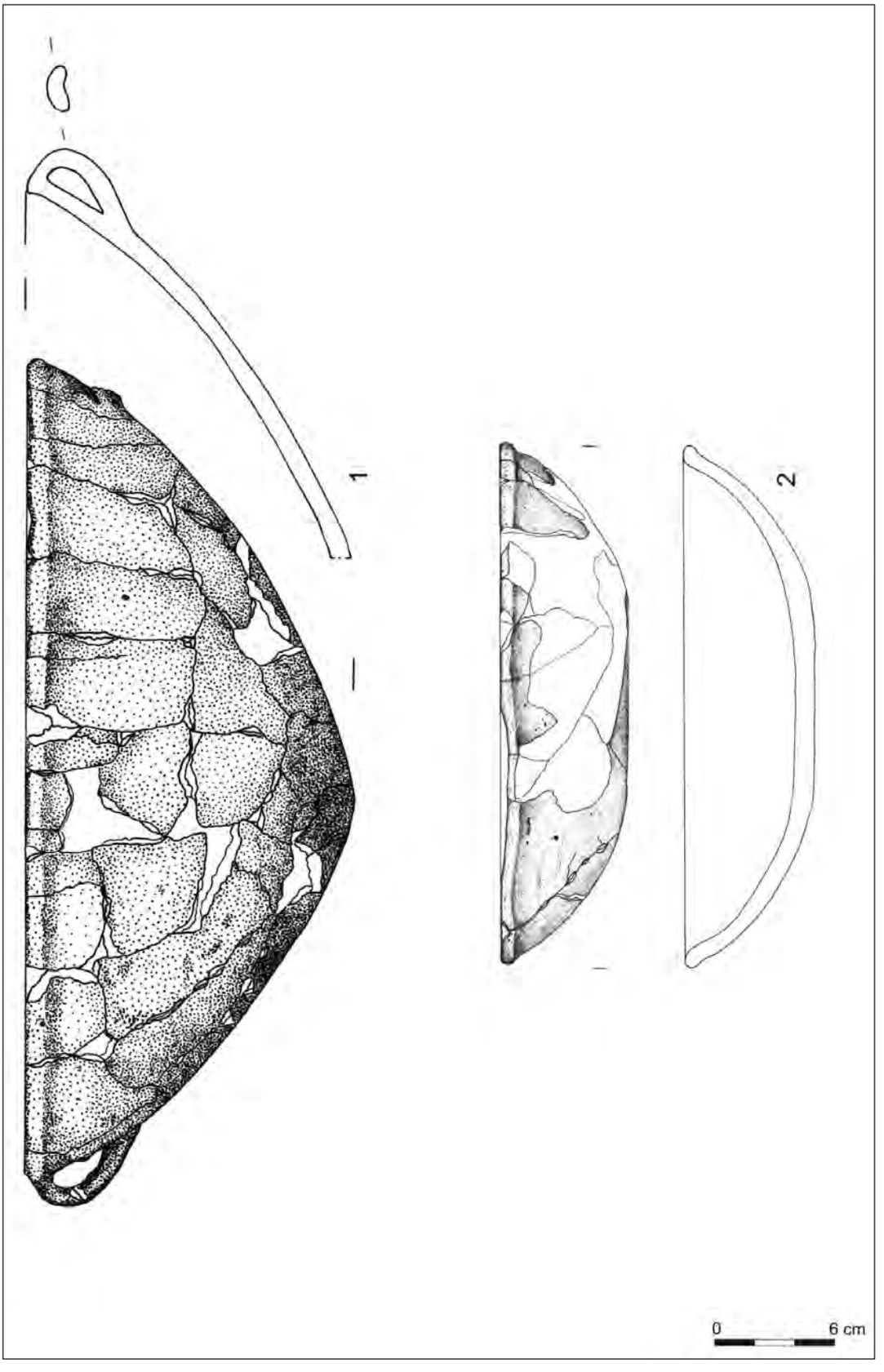

Tablica 23. Stary Folwark, st. 1: naczynia z jednostki stratygraficznej 96 (rys. A. Chojnacka-Banaszkiewicz)

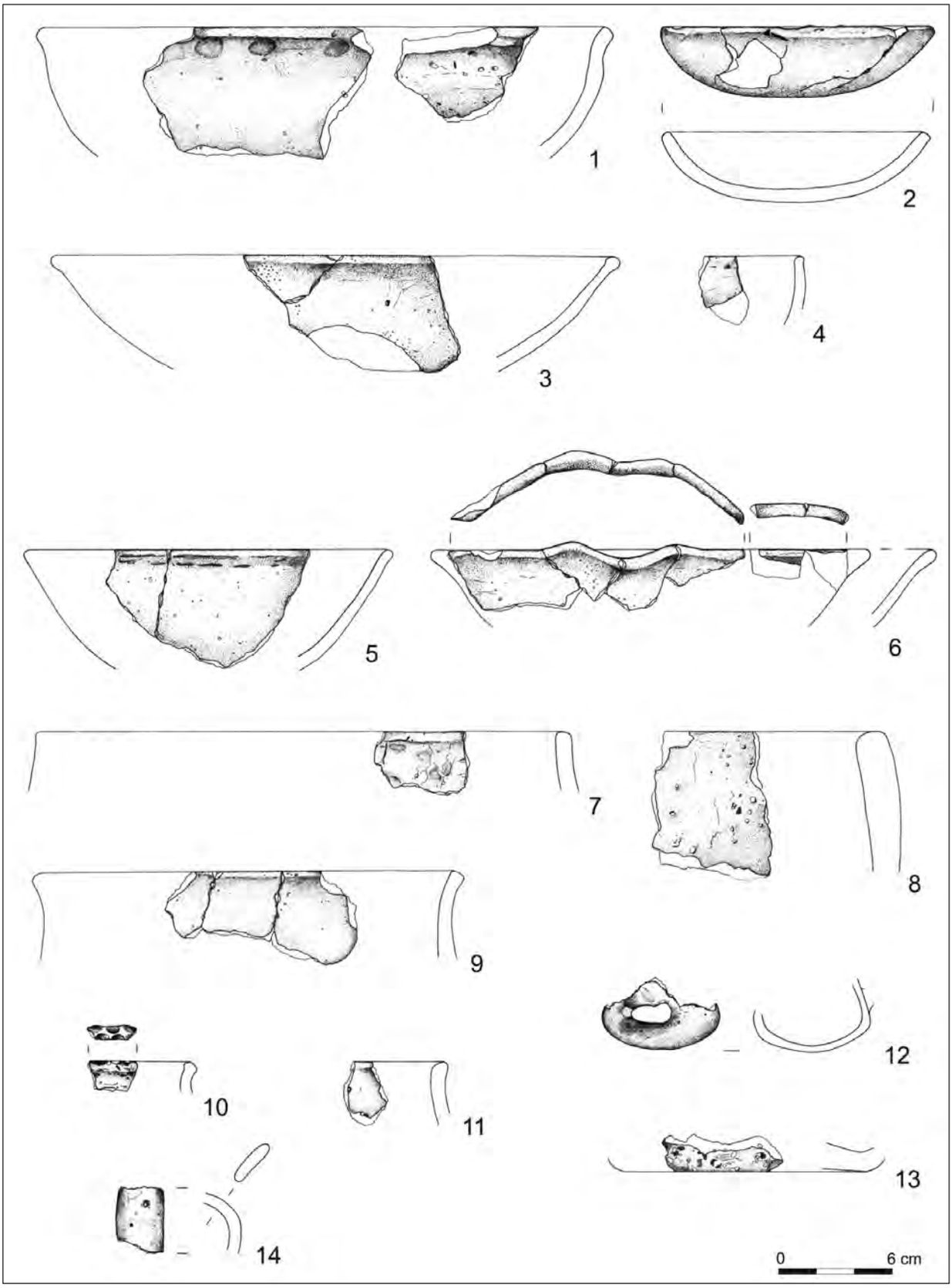

Tablica 24. Stary Folwark, st. 1: fragmenty naczyń z jednostki stratygraficznej 96 (rys. A. Chojnacka-Banaszkiewicz)

bartoszycki[4], czy b. Warnicker Forst (obecnie Lesnoje w Obwodzie Kaliningradzkim), st. III[5].

ICb – odmiana o esowatym profilu, z powierzchnią chropowaconą poniżej krótkiej wyodrębnionej szyjki, gładzonej drewnianym narzędziem, z krawędzią zdobioną ornamentem zaplatania. Wystąpiła w zespołach zabytków z jednostek stratygraficznych 64 i 67 (tabl. 7:2). Naczynia tego typu wykazują pewne podobieństwo do form, które wystąpiły na stanowisku w Szurpiłach, gm. Jeleniewo, pow. suwalski[6].

Typ II

Ta grupa naczyń obejmuje duże, masywne, wyłącznie grubościenne naczynia. Są to formy, których średnice wylewów sięgają do 40 cm, najczęściej jednak oscylują w granicach 34–38 cm. Naczynia garnkowate tego typu podzielone zostały na dwa zasadnicze podtypy, opierając się głównie na sposobie opracowania ich powierzchni oraz obecności dużego plastycznego ucha mocowanego do krawędzi wylewu.

Podtyp IIA – grubościenne garnki**,** o powierzchni starannie gładzonej (tabl. 8:3–5, 7–10; 9:1–2).

IIAa – odmiana o wylewie prostym.

IIAb – odmiana o łagodnie wychylonej górnej partii naczynia oraz owalnie pogrubionym brzegu. Wszystkie formy tego typu pochodzą z zespołu zabytków z jednostki stratygraficznej 64 (tabl. 6). Podobna forma to okaz z Serowa, st. G, rej. Oziersk (b. Astrawischken)[7].

IIAc – odmiana o łukowato wychylonej górnej części, oraz o prostym lekko ściętym od zewnątrz brzegu. Forma ta wykazuje pewne podobieństwo do naczynia z Myślęcina, st. III[8].

IIAd – odmiana o łukowato wychylonej górnej partii, oraz pogrubionej krawędzi wylewu. Nieco zbliżone okazy pochodzą z Rembielina, gm. Chorzele, pow. przasnyski[9] oraz Jeziorka, gm. Ryn, pow. giżycki[10]

IIAe – odmiana o esowato ukształtowanym profilu, krótkiej wyodrębnionej szyjce oraz wychylonej na zewnątrz, nieco wyciągniętej krawędzi. Naczynia tej formy mają swoje liczne odpowiedniki w egzemplarzach znalezionych między innymi w Sząbruku, st. 1, gm. Gietrzwałd, pow. olsztyński[11], Bogdanach, gm. Barczewo, pow. olsztyński[12], czy Jeziorku, st. 1, gm. Ryn, pow. giżycki[13].

IIAf – odmiana o esowatym profilu, krótkiej wyodrębnionej szyjce oraz owalnie pogrubionej krawędzi. Wszystkie formy tego typu pochodzą z zespołu zabytków z jednostki stratygraficznej 64. Podobne formy znaleziono w Orzyszu, pow. piski[14] oraz Kaliningradzie, st. Oktiabroskoje[15].

IIAg – odmiana o esowatym profilu, silnie wyciągniętej, zachylonej do wewnątrz krawędzi. Naczynia tej formy ze Starego Folwarku, st. 1 wykazują pewne podobieństwo do znalezisk z Łęczy, gm. Tolkmicko, pow. elbląski[16].

IIAh – odmiana o łagodnie esowatym profilu oraz wywiniętej na zewnątrz krawędzi (tabl. 9:3). Garnek ten znajduje ścisłą analogię w naczyniu znalezionym w Jeziorku, gm. Ryn, pow. giżycki[17].

IIAi – odmiana o prostej pogrubionej krawędzi z niewydzielonym wylewem.

Podtyp IIB – grubościenne garnki**,** o powierzchni szorstkiej, niestarannie gładzonej lub chropowaconej, oraz szerokich taśmowatych (odmiana a), oraz profilowanych, z przegłębieniem w środkowej partii (odmiana b), górą mocowanych do krawędzi wylewu.

IIBa – odmiana o krótkiej wyodrębnionej szyjce z brzegami nieznacznie zachylonymi do wewnątrz. Fragmenty tego naczynia wystąpiły w zespołach zabytków z warstw 58, 77 i 91 (tabl. 16:5).

IIBb – odmiana o łagodnie esowatym profilu, oraz delikatnie wyciągniętej krawędzi. Podobne formy znaleziono między innymi w Starym Dzierzgoniu, pow. sztumski[18].

Typ III – misy

Do tej grupy naczyń należą formy o średnicach wylewów znacznie większych od ich całkowitej wysokości. Są to głównie formy przysadziste, o nie zaakcentowanym lub przeciwnie, uwydatnionym brzuścu, o zróżnicowanych profilach i brzegach wylewu. Wspólne ich cechy stanowią starannie wykonanie, równej grubości ścianki, o silnie polerowanej, wyświeconej po obu stronach powierzchni, w szczególności od wewnątrz. Sporadycznie występują także okazy o powierzchni chropowaconej, w materiale ze Starego Folwarku, st. 1 reprezentowane przez jedno naczynie (Podtyp IIIC). Wśród mis z tego stanowiska nie występują żadne okazy o ornamentowanej powierzchni; ornament na krawędzi wylewu, w formie zaplatania występuje natomiast na misie o powierzchni chropowaconej. Charakterystyczna dla tego stanowiska jest grupa naczyń zdobionych guzami wyciągniętymi z krawędzi wylewu (Podtyp IIIB). Rzadko naczynia te (jedynie odmiana IIIAf) zaopatrzone są także w uszka, guzki

[4] J. Okulicz 1973: ryc. 116:b.
[5] Hoffmann 1999a: tabl. 15:3.
[6] Hoffmann 1999a: tabl. 71:5.
[7] Hoffmann 1999a: tabl. 69:4.
[8] Hoffmann 1999a: tabl. 51:3.
[9] Hoffmann 1999a: tabl. 83:15.
[10] J. Okulicz 1973: ryc. 114:k.
[11] Hoffmann 1999a: tabl. 120:27.
[12] Hoffmann 1999a: tabl. 113:13.
[13] Hoffmann 1999a: tabl. 73:13.
[14] J. Okulicz 1973: ryc. 136:l.
[15] Hoffmann 1999a: tabl. 31:15.
[16] Hoffmann 1999a: tabl. 49:17.
[17] J. Okulicz 1973: ryc. 113:f.
[18] Ł. Okulicz 1970: tabl. 25:7; J. Okulicz 1973: ryc. 111:d.

czy inne uchwyty. Wśród mis wyróżniono trzy typy w 12 odmianach.

Podtyp IIIA – to misy o powierzchni obustronnie gładzonej często także wyświecanej, o zróżnicowanych formach oraz morfologii wylewu. Trzy pierwsze formy to naczynia płytsze, natomiast do pozostałych grup zaliczono okazy zdecydowanie głębokie. Rozpiętość średnic wylewów najczęściej wynosi od 20 do 25 cm. Znacznie rzadziej występują formy mniejsze (8–14 cm średnicy) oraz duże o średnicy 30, bądź – jak w przypadku formy IIIAf – nawet 40 centymetrów (tabl. 9:4–6; 10:1–5; 24:3–5).

IIIAa – naczynia głównie niewielkich rozmiarów do 10 cm średnicy, bądź jeden egzemplarz nieco większy (20 cm), o zachylonym do wewnątrz brzegu oraz prostej bądź pogrubionej krawędzi. Pochodzą z jednostek stratygraficznych 60 i 105. Naczynia tego typu wykazują pewne podobieństwa do form z Gródków, gm. Płośnica, pow. działdowski[19], Jeziorka, gm. Ryn, pow. giżycki[20], Tolkmicka, pow. elbląski[21], czy Mamonowa, rej. Bagrationowsk[22].

IIIAb – naczynia większe niż poprzednie, o średnicach wynoszących około 20, a nawet 30 cm, rozłożyste, o wyraźnie pogrubionej, owalnej krawędzi. Wystąpiły w warstwie 15 i 96 (tabl. 1:22). Formy ich są podobne do okazów z Worytów, st. 2, gm. Gietrzwałd, pow. olsztyński[23], Kęsochy, gm. Dzierzgowo, pow. mławski[24], Kitek, st. 2, gm. Dzierzgowo, pow. mławski[25], czy Starzykowa Małego, gm. Iława, pow. iławski[26].

IIIAc – odmiana płytsza, z wydzielonym brzegiem o różnym ukształtowaniu krawędziami. Fragmenty tego typu naczyń wystąpiły głównie zespołach zabytków z warstwy 64 i 60. Ta grupa naczyń ma swoje liczne odpowiedniki w formach pochodzących między innymi z Piastowa, gm. Krzynowłoga Mała, pow. przasnyski[27], Kitek, gm. Dzierzgowo, pow. mławski[28], czy Starego Dzierzgonia, pow. sztumski[29].

IIIAd – odmiana głębsza, z wydzielonym brzegiem i różnie ukształtowanymi krawędziami. Fragmenty tych naczyń znaleziono w jednostkach stratygraficznych 64, 69 i 96 (tabl. 24:1). Nieco zbliżone okazy znaleziono między innymi w Jeziorku, st. 1, gm. Ryn, pow. giżycki[30], Tarławkach, st. 1, gm. Węgorzewo, pow. węgorzewski[31], czy Piastowie, gm. Krzynowłoga Mała, pow. przasnyski[32].

IIIAe – rozłożysta misa o prostej nieznacznie wychylonej na zewnątrz, prostej krawędzi. Nieco podobny okaz pochodzi ze Starego Łączyna, gm. Dzierzgowo, pow. mławski[33].

IIIAf – duża rozłożysta misa reprezentowana przez jedno naczynie (tabl. 23:1), o prostej krawędzi, nieznacznie wyciągniętej do wewnątrz, o kulistym, szpiczastym dnie, zaopatrzona w dwa niewielkich rozmiarów taśmowate uszka, górą mocowane do krawędzi (ryc. 27). Formę tą można utożsamiać z misami typu VI odmiany c w typologii Ł. Okulicz. Nieco zbliżone okazy, jednak znacznie mniejszych rozmiarów, pochodzą między innymi z Piastowa, gm. Krzynowłoga Mała, pow. przasnyski[34], Birkenhof, st. 3, rej. Primorsk[35], lub z Worytów, st. 2, gm. Gietrzwałd, pow. olsztyński[36], choć w tym przypadku naczynie posiada dno płaskie z wyraźną stopką. Fragmenty naczynia pochodzą z jednostek stratygraficznych 71 i 96.

IIIAg – misy głębokie z wyodrębnionym, płasko ściętym brzegiem. Naczynie to ma swe liczne odpowiedniki w formach z Rybna, pow. działdowski[37], Pleśna, gm. Bisztynek, pow. bartoszycki[38], Łęczy, st. 1, gm. Tolkmicko, pow. elbląski[39], Jeziorka, st. 1, gm. Ryn, pow. giżycki[40], czy Kaliningradu – st. Oktiabrskoje[41].

IIIAh – misy głębokie z krótką lekko wyodrębnioną szyją oraz ściętym od wewnątrz brzegiem. Naczynia tego typu znajdują ścisłą analogię w okazie z Jeziorka, gm. Ryn, pow. giżycki[42].

Podtyp IIIB – to grupa naczyń o krawędziach wylewu zdobionych charakterystycznymi guzami (podobne do typu VI grupy IV odmiany 1 wg M. Hoffmanna)[43], o średnicach wylewów wynoszących około 25 centymetrów, jedynie naczynie odmiany a to forma mniejsza, około 16 cm średnicy. Ich powierzchnie są starannie gładzone, z nielicznymi tylko śladami wyświecania. Fragmenty tego typu naczyń wystąpiły w zespołach zabytków z warstw 15, 64, 71 i 96 (tabl. 2:1).

IIIBa – niewielkich rozmiarów, półkoliste misy o ściance zachylonej do wewnątrz oraz ściętym niewyodrębnionym brzegu.

[19] Ł. Okulicz 1970: tabl. 2:14.
[20] J. Okulicz 1973: ryc. 113:d.
[21] Hoffmann 1999a: tabl. 50:1.
[22] Hoffmann 1999a: tabl. 46:7.
[23] Hoffmann 1999a: tabl. 101:1.
[24] Ł. Okulicz 1970: tabl. 5:13.
[25] Ł. Okulicz 1970: tabl. 7:8.
[26] Ł. Okulicz 1970: tabl. 26:15.
[27] Ł. Okulicz 1970: tabl. 5:22; Hoffmann 1999a: tabl. 133:11, 12.
[28] J. Okulicz 1973: ryc. 118:g.
[29] Ł. Okulicz 1970: tabl. 25:16.
[30] Hoffmann 1999a: tabl. 73:6.
[31] Hoffmann 1999a: tabl. 74:4.
[32] Ł. Okulicz 1970: tabl. 5:24.
[33] Ł. Okulicz 1970: tabl. 8:10.
[34] Ł. Okulicz 1970: tabl. 5:25.
[35] Ł. Okulicz 1970: tabl. 4:1; Hoffmann 1999a: tabl. 3:6.
[36] Hoffmann 1999a: tabl. 101:9.
[37] J. Okulicz 1973: ryc. 117:d.
[38] J. Okulicz 1973: ryc. 116:d.
[39] Hoffmann 1999a: tabl. 49:8.
[40] Hoffmann 1999a: tabl. 73:17.
[41] Hoffmann 1999a: tabl. 31:14.
[42] J. Okulicz 1973: ryc. 114:i.
[43] Hoffmann 2000: 99.

Ryc. 27. Stary Folwark, st. 1. Misa typu IIIA, odmiany f z warstw 71 i 96 (fot. D. Wach i R. Solecki)

IIIBb – forma rozłożysta o rozchylonym wylewie i zaokrąglonym brzegu, zaopatrzona w niewielkie taśmowate uszko, w górnej partii trójkątne w przekroju, wyprowadzone z krawędzi wylewu (tabl. 15:3).

IIIBc – rozłożyste misy o łagodnie esowatym profilu (tabl. 10:6; 15:1; 24:6).

Podtyp IIIC – reprezentowany przez jedno tylko naczynie o powierzchni chropowaconej aż po krawędź wylewu, zdobioną nieregularnym, niestarannie wykonanym ornamentem zaplatania, o średnicy równej 26 cm. Jest to rozłożysta misa o krótkiej wyodrębnionej szyjce, łagodnie esowatym profilu, niezbyt intensywnie uwydatnionym załomie brzuśca (tabl. 7:3). Naczynie to pochodzi z warstwy 64, jego forma jest nieco zbliżona do okazów z Gościszewa, st. 4, gm. Sztum, pow. sztumski[44], Mołtajn, gm. Barciany, pow. kętrzyński[45], Jeziorka, gm. Ryn, pow. giżycki[46], czy Starego Dzierzgonia, pow. sztumski[47].

Typ IV – amfory

Grupa ta reprezentowana jest przez cztery okazy naczyń. Obejmuje ona formy o silnie esowatym kształcie, z wyjątkiem naczynia z grupy B, którego esowaty kształt jest znacznie łagodniejszy, a o silnej wydętości brzuśca możemy w tym przypadku jedynie domniemywać na podstawie licznych analogii. Naczynia grupy A i B obejmują formy grubościenne, natomiast typ C to forma analogiczna w kształcie (w stosunku do form z grupy A), jednakże zdecydowanie cienkościenna. Są to naczynia o niemalże identycznych średnicach, oscylujących w granicach 20 cm. Wszystkie formy charakteryzują się ponadto stosunkowo dobrze wyrobioną masą ceramiczną, schudzaną silnie średnio i grubo ziarnistą domieszką, oraz ceglasto-brązową barwą (5YR 5/4) z licznymi śladami okopceń. Zróżnicowany jest natomiast sposób opracowania ich powierzchni.

Podtyp IVA – formę tych naczyń można utożsamiać z naczyniami typu XI w typologii Ł. Okulicz, która opisuje je jako duże naczynia o krótkiej wygładzonej szyjce i wydętym chropowaconym brzuścu, często zdobione u nasady szyjki listwą plastyczną[48]. Naczynia lepione techniką zlepiania wałków o szerokości około 5 cm, o starannie wyrabianej masie ceramicznej, schudzonej bardzo grubą, ostrokrawędzistą domieszką, z widocznymi w przełamach licznymi pustymi przestrzeniami, stanowiącymi ślady po wypalonej domieszce organicznej.

IVAa – forma reprezentowana przez jedno naczynie o wysokości około 23 cm, przy średnicy wylewu wynoszącej 20 cm, przez co jest znacznie bardziej przysadziste niż naczynie kolejnej odmiany. Około 7-centymetrowa gładzona szyjka, oddzielona została od chropowaconego brzuśca plastyczną listwą, zdobioną ornamentem zaplatania, przerywanym poziomymi plastycznymi guzami z przegłębieniem w środku (około 3 cm szerokości i 1,5 cm szerokości) od którego promieniście w dół rozchodzą się trzy listwy, także zdobione zaplataniem. Warstwa chropowacenia waha się tu w granicach 2–3 mmm, jest ono niezwykle drobne i delikatne oraz bardzo równomiernie rozłożone, z wyraźnymi śladami po miotełce używanej w procesie jego nanoszenia. Dno jest płaskie z wyraźnie zaznaczoną stopką, wygniatane z jednego placka gliny. Fragmenty tego naczynia pochodzą z jednostki stratygraficznej 91 (tabl. 16:4). Podobne formy znaleziono w Starzykowie Małym, gm. Iława, pow. iławski[49], Kitkach, gm. Dzierzgowo, pow. mławski[50], czy w Tolkmicko, pow. elbląski[51].

IVAb – odmiana reprezentowana przez naczynie zachowane w bardzo dużej liczbie (około 120) fragmentów, jednakże zrekonstruowane jedynie hipotetycznie. Forma jest bardzo wysoka, około 35 cm, w stosunku do 20-centymetrowej średnicy. Starannie gładzona szyjka jest zakończona gładką, niezdobioną listwą, z której wyprowadzone jest małe taśmowate uszko (zachowane tylko jedno) o wymiarach 2 x 2 cm z otworem o średnicy około 0,7 cm. Poniżej plastycznej listwy występuje około 1–2-milimetrowa warstwa chropowacenia, rozłożona niezbyt równomiernie, z dużą ilością gruboziarnistego tłucznia, licznymi śladami po wypadnięciu domieszki, oraz licznymi poziomymi bruzdami, sugerującymi kierunek nakładania dodatkowej warstwy glinki. Masywne, płaskie dno o mocno zaakcentowanej stopce, wylepione zostało z dwóch placków gliny, zaś ścianka uformowana została z placka zewnętrznego. Fragmenty tego naczynia wystąpiły w zespołach zabytków z jednostek stratygraficznych 14, 71, 92 i 96 (tabl. 21). Forma te może stanowić analogię do nieco podobnych naczyń z Tolkmicka, pow. elbląski[52] oraz Łęczy, gm. Tolkmicko, pow. elbląski[53].

Podtyp IVB – jest to forma podobna do naczyń typu IV odmiany b wg Ł. Okulicz, opisanych jako formy baniaste o lekko wychylonej krawędzi, wydłużonej, słabo wygiętej szyjce, przechodzącej w baniasty brzusiec, powierzchni wygładzonej, oraz o lekko spłaszczonym lub kulistym dnie[54]. Ze względu na brak dolnych partii brzuśca oraz dna, analogia ta pozostaje jedynie w sferze domniemywań. Ponadto Ł. Okulicz opisuje ten typ naczyń jako formy niezdobione, a w materiale ze Starego Folwarku, st. 1 mamy

[44] Hoffmann 1999a: tabl. 194:17.

[45] Hoffmann 1999a: tabl. 65:17.

[46] J. Okulicz 1973: ryc. 114:d.

[47] Ł. Okulicz 1970: tabl. 25:15.

[48] Ł. Okulicz 1970: 37–38.

[49] Ł. Okulicz 1970: tabl. 26:3.

[50] Ł. Okulicz 1970: tabl. 1:15, 21.

[51] Hoffmann 1999a: tabl. 51:17.

[52] Hoffmann 1999a: tabl. 50:16–17.

[53] J. Okulicz 1973: ryc. 124:g.

[54] Ł. Okulicz 1970: 25.

Ryc. 28. Stary Folwark, st. 1. Fragment naczynia typu IVC z warstw 14, 15 i 96 (fot. R. Solecki)

do czynienia z formą zdobioną ornamentem w postaci pojedynczego rzędu skośnych lub prawie pionowych nacięć u nasady szyjki, wykonanych drewnianym narzędziem bądź rylcem (tabl. 2:8). Formy podobne występują między innymi w Piastowie, gm. Krzynowłoga Mała, pow. przasnyski[55]; Starym Łączynie, gm. Dzierzgowo, pow. mławski[56], czy Rybnie, st. 2, gm. Sorkwity, pow. mrągowski[57].

Podtyp IVC – kształtem forma ta przypomina naczynia typu IVA, natomiast jest to naczynie zdecydowanie cienkościenne oraz starannie zagładzane na całej swojej powierzchni, najprawdopodobniej także wyświecane w obrębie szyjki. Wysoka na około 7 centymetrów szyjka przechodzi w silnie wydęty, baniasty brzusiec, który w dolnej partii łagodnie łączy się z niewydzielonym, delikatnie spłaszczonym dnem o średnicy wynoszącej nieco powyżej 10 cm. Ornament wykazuje ścisłą analogię z odmianą IVAa, z niewielką tylko różnicą w charakterze zdobienia listwy, która w tym przypadku pokryta jest pojedynczym rzędem pionowych załuskiwań paznokciowych, przerywanych plastycznymi poziomymi guzami, od których odchodzą promieniście trzy grupy potrójnych żłobień, wykonanych rylcem lub narzędziem trójzębnym, o długości około 3 cm (ryc. 28). Cechą charakterystyczną tego naczynia jest jego plamista, różnorodna barwa, sugerująca wtórny kontakt naczynia z wysoką temperaturą, oraz silna deformacja, prawdopodobnie w wyniku procesów podepozycyjnych. Fragmenty tego naczynia wystąpiły w zespołach zabytków z jednostek stratygraficznych 14, 15 i 96 (tabl. 20:2). Naczynie to wykazuje pewne podobieństwo do form pochodzących z kurhanów w Rybnie, st. 2, gm. Sorkwity, pow. mrągowski[58].

Typ V – naczynia cienkościenne

Jest to stosunkowo liczna grupa naczyń o różnorodnych formach oraz sposobach kształtowania profili czy krawędzi wylewu; cechą wspólną naczyń z tej grupy jest ich cienkościenność, oraz widoczna staranność wykonania.

Podtyp VA – kubki

Ten typ obejmuje naczynia niewielkich rozmiarów, o średnicach wylewów wynoszących 8–10 cm, o cienkich, delikatnych, dobrze opracowanych ściankach oraz starannie wygładzonych i wypolerowanych powierzchniach, łącznie z płaskimi słabo wydzielonymi lub kulistymi dnami.

VAa – odmiana ta podobna jest do typu VII grupy II odmiany 3 w typologii M. Hoffmanna[59] oraz typu VI odmiany e wg Ł. Okulicz[60]. Grupa ta reprezentowana jest przez jeden egzemplarz (tabl. 22:3) zachowany w całości. Jest to płaski, szerokootworowy kubek o 10 cm średnicy, zaopatrzony w szerokie taśmowate ucho, wyprowadzone z krawędzi wylewu, sięgające poniżej połowy jego wysokości (ryc. 29). Powierzchnia o ceglasto-szarej barwie (10YR 5/2) jest silnie wygładzona ze śladami polerowania. Naczynie to pochodzi z warstwy 96. Ma ono swoje liczne odpowiedniki w materiałach z Pleśna, gm. Bisztynek, pow. bartoszycki[61], Piórkowa, gm. Płoskinia, pow. braniewski[62], Kitek, st. 2, gm. Dzierzgowo, pow. mławski[63], Gródków, gm. Płośnica, pow. działdowski[64], Janików Wielkich, gm. Zalewo, pow. iławski[65], Gościszewa, st. 4, gm. sztum, pow. sztumski[66], czy z miejscowości Pokrowskoje (b. Sorgenau), st. 2, rej. Zielenogradsk[67].

VAb – odmiana ta podobna jest do typu VIII odmiany a w typologii Ł. Okulicz[68] oraz do kubków typu VII grupy III odmiany 1, wg M. Hoffmanna[69] (ryc. 30). Jest to forma znana pod nazwą tzw. „kubków elbląskich". Są to małe formy o średnicy 8 cm i wysokości 10–11 cm (tabl. 22:1–2), reprezentowane przez dwa naczynia: pierwsze – zachowane w całości –

[55] J. Okulicz 1973: ryc. 119:a.
[56] Ł. Okulicz 1970: tabl. 8:6.
[57] Hoffmann 1999a: tabl. 95:10.
[58] Hoffmann 1999a: tabl. 94:7.
[59] Hoffmann 2000: 91.
[60] Ł. Okulicz 1970: 32.
[61] J. Okulicz 1973: ryc. 116:m; Hoffmann 2000: tabl. 67:3.
[62] J. Okulicz 1973: ryc. 121:g; Ł. Okulicz 1970: tabl. 11:13.
[63] Ł. Okulicz 1970: tabl. 7:19.
[64] Ł. Okulicz 1970: tabl. 6:6.
[65] Ł. Okulicz 1970: tabl. 9:17.
[66] Hoffmann 1999a: tabl. 164:2.
[67] Hoffmann 1999a: tabl. 1:4.
[68] Ł. Okulicz 1970: 32.
[69] Hoffmann 2000: 94.

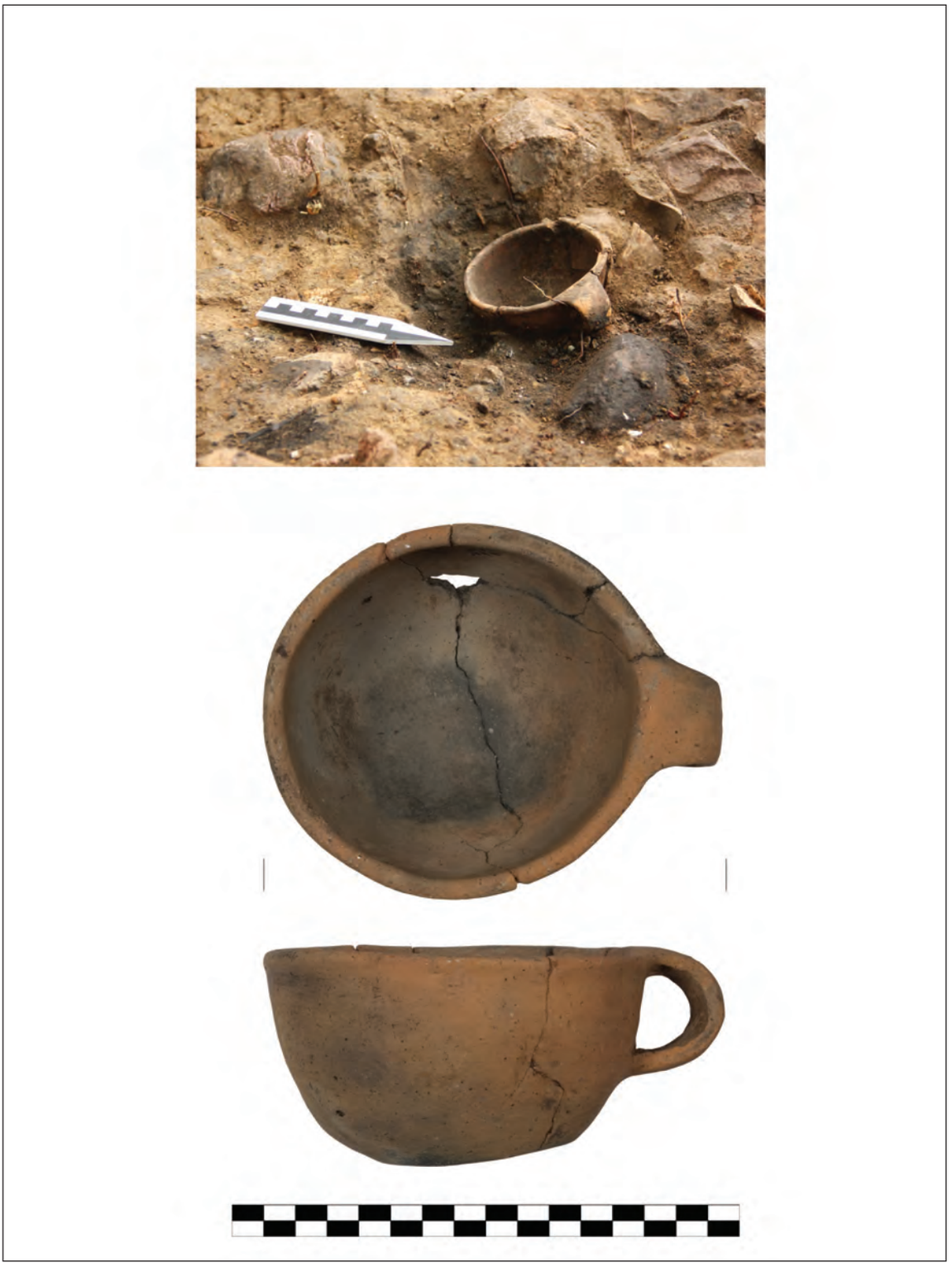

Ryc. 29. Stary Folwark, st. 1. Kubek typu VA, odmiany a z warstwy 96 (fot. D. Wach i R. Solecki)

Ryc. 30. Stary Folwark, st. 1. Kubek typu VA, odmiany b z warstwy 96 (fot. D. Wach i R. Solecki)

zaopatrzone jest w duże taśmowate ucho, natomiast egzemplarz drugi – zachowany fragmentarycznie – takiego ucha nie posiada. Kubki typu VAb to naczynia o stosunkowo długiej szyjce, wychylonej na zewnątrz krawędzi, łagodnie wydętym brzuścu, kulistym dnie, o powierzchniach intensywnie wyświecanych, bogato zdobione ornamentem rytym, na największej wydętości brzuśca. Obydwa naczynia pochodzą z jednostki stratygraficznej nr 96. Kubki z uchem znajdują liczne analogie m.in. w Lidzbarku Warmińskim[70], Gródkach, gm. Płośnica, pow. działdowski[71], Pleśnie, gm. Bisztynek, pow. bartoszycki[72], Starzykowie Małym, gm. Iława, pow. iławski[73], czy Tolkmicku, pow. elbląski[74], zaś kubki bez ucha w Starym Łączynie, gm. Dzierzgowo, pow. mławski[75], Stolnie, kurhan 2, gm. Miłakowo, pow. ostródzki[76], Nowym Targu, st. B, gm. Stary Targ, pow. sztumski[77].

Podtyp Vb (tabl. 8:6)

VBa – odmiana o prostej krawędzi wylewu. Fragmenty tego typu naczyń wystąpiły w warstwach 2 i 64. Mogą one stanowić analogię do form z Jeziorka, gm. Ryn, pow. giżycki[78], Gródków, gm. Płośnica, pow. działdowski[79], Starzykowa Małego, gm. Iława, pow. iławski[80], czy z miejscowości Pokrowskoje (b. Sorgenau), st. 2, rej. Zielenogradsk[81].

VBb – odmiana o prostej nieznacznie pogrubionej krawędzi przechodzącej w łukowato wygiętą szyjkę. Fragmenty tego typu naczyń pochodzą z warstw 7, 14, 65 i 105. Podobne formy znaleziono m.in. w Gródkach, st. 7 – Brzezinka, gm. Płośnica, pow. działdowski[82], Stolnie, kurhan 1, gm. Miłakowo, pow. ostródzki[83], czy w Kaliningradzie, st. Oktiabrskoje[84].

VBc – odmiana o prostej, wyraźnie pogrubionej krawędzi, długiej łukowato wygiętej szyjce oraz łagodnym załomie brzuśca, zdobionym ornamentem dołeczków palcowych (tabl. 4:19). Fragmenty takich naczyń znaleziono w jednostkach stratygraficznych 14 i 64. Formy te znajdują swoje analogie w materiałach z Jeziorka, gm. Ryn, pow. giżycki[85], Klewk, gm. Purda, pow. olsztyński[86], Rybna, st. 2, gm. Sorkwity, pow. mrągowski[87].

VBd – odmiana o nieznacznie wyciągniętym, ściętym, wychylonym na zewnątrz brzegu i długiej szyjce. Fragmenty tego typu naczyń wystąpiły w warstwach 2, 64, 81 i 96. Nieco zbliżone okazy znaleziono między innymi w Starym Dzierzgoniu, pow. sztumski[88], Gródkach, pow. Działdowo, st. 7 – Brzezinka, gm. Płośnica, pow. działdowski[89], Starzykowie Małym, gm. Iława, pow. iławski[90], czy Mołtajnach, gm. Barciany, pow. kętrzyński[91].

Podtyp VC – cienkościenne naczynia jajowate

Naczynia zbliżone do typu IV grupy IV odmiany 1 w typologii M. Hoffmanna[92].

VCa – odmiana reprezentowana przez jedno naczynie, stosunkowo niewielkich rozmiarów (12 cm średnicy wylewu i niespełna 10 cm wysokości), o prostej, nieznacznie pogrubionej krawędzi, o wysokim łagodnym załomie brzuśca oraz kulistym dnie (ryc. 31). Na największej wydętości brzuśca, mniej więcej w połowie wysokości naczynia, zachowane są trzy ślady po oderwanych uchach bądź plastycznych guzach, mocowanych za pomocą niewielkiego, prostokątnego czopu. Powierzchnia zewnętrzna jest przecierana. Naczynie jest wykonane z niestarannie przygotowane masy, schudzonej dużą ilością gruboziarnistej, ostrokrawędzistej domieszki (tabl. 22:4). Naczynie to znaleziono w jednostce stratygraficznej 96. Wykazuje ono pewne podobieństwa do form pochodzących z Kęsochy, gm. Dzierzgowo, pow. mławski[93], Stegi Wielkiej, gm. Górowo Iławieckie, pow. bartoszycki[94], Rybna, gm. Sorkwity, pow. mrągowski[95], czy Szestna, st. 2, gm. Mrągowo, pow. mrągowski[96].

VCb – odmiana o nieco większych średnicach wylewów, głównie wynoszących około 20 cm. Forma ta jest analogiczna do poprzedniej, jednak znacznie wyższa. Jest to forma wyraźnie cienkościenna, o starannie gładzonych powierzchniach, barwy od ceglasto-żółtej (7,5YR 6/6) po czarną (7,5YR 3/1). Fragmenty pochodzą z jednostek stratygraficznych 14 i 70. Naczynia tego typu mogą stanowić analogię do form ze Starego Łączyna, gm. Dzierzgowo, pow. mławski[97], Kęsochy, gm. Dzierzgowo, pow. mławski[98],

[70] Ł. Okulicz 1970: tabl. 16:34.
[71] Ł. Okulicz 1970: tabl. 6:5; Hoffmann 1999a: tabl. 130:20.
[72] Ł. Okulicz 1970: tabl. 31:10, 23.
[73] Ł. Okulicz 1970: tabl. 26:12; J. Okulicz 1973: ryc. 124:ł; Hoffmann 1999a: tabl. 147: 2.
[74] Ł. Okulicz 1970: tabl. 27:17, 18.
[75] Ł. Okulicz 1970: tabl. 8:24.
[76] Hoffmann 1999a: tabl. 56:5.
[77] Hoffmann 1999a: tabl. 158:3.
[78] J. Okulicz 1973: ryc. 113:e.
[79] Ł. Okulicz 1970: tabl. 2:35.
[80] Ł. Okulicz 1970: tabl. 26:20.
[81] Hoffmann 1999a: tabl. 1:6.
[82] Ł. Okulicz 1970: tabl. 2:7.
[83] Hoffmann 1999a: tabl. 53:13.
[84] Hoffmann 1999a: tabl. 32:6.
[85] J. Okulicz 1973: ryc. 114:k; Hoffmann 1999a: tabl. 73:22.
[86] Hoffmann 1999a: tabl. 100:3.
[87] Hoffmann 1999a: tabl. 95:7.
[88] J. Okulicz 1973: ryc. 111:f.
[89] Ł. Okulicz 1970: tabl. 2:8.
[90] Hoffmann 1999a: tabl. 147:7.
[91] Hoffmann 1999a: tabl. 65:13.
[92] Hoffmann 2000: 99.
[93] Ł. Okulicz 1970: tabl. 5:4.
[94] Ł. Okulicz 1970: tabl. 17:6.
[95] Ł. Okulicz 1970: tabl. 30:25.
[96] Hoffmann 1999a: tabl. 96:14.
[97] Ł. Okulicz 1970: tabl. 3:5.
[98] Ł. Okulicz 1970: tabl. 5:8.

Ryc. 31. Stary Folwark, st. 1. Naczynie typu VC, odmiany a z warstwy 96 (fot. R. Solecki)

Stolna, kurhan 2, gm. Miłakowo, pow. ostródzki[99], Sząbruka, st. 1, gm. Gietrzwałd, pow. olsztyński[100], czy Bogdanów, gm. Barczewo, pow. olsztyński[101].

VCc – odmiana naczyń średniej wielkości, o średnicach wynoszących 15–18 cm, zachylonej do wewnątrz prostej krawędzi, o bardzo starannie opracowanych powierzchniach, w tym silnie wypolerowanych ściankach zewnętrznych. Fragmenty tego typu naczyń wystąpiły w warstwach 15, 61 i 71. Nieco zbliżona forma pochodzi ze Starego Dzierzgonia, pow. sztumski[102].

Typ VI – talerze

Naczynia tego typu są w materiale ze Starego Folwarku, st. 1 reprezentowane nielicznie. Są to głównie talerze głębokie, formą zbliżone do mis, wykazujące pewne analogie do mis typu VI odmiany b wg Ł. Okulicz[103], a także jeden egzemplarz talerza płaskiego, zachowany tylko w niewielkim fragmencie. Są to formy występujące w dwóch wielkościach wylewu – 14 i 26 cm, o obustronnie wygładzonej, a przeważnie starannie wypolerowanej powierzchni, barwy ceglastej (5YR 6/6, 5YR 6/8), jasnobrązowej lub szaro-brązowej (10YR 5/2), ze śladami okopceń lub wtórnego przepału. Ich brzegi są mniej lub bardziej starannie formowane.

Podtyp VIA

VIAa – odmiana form mniejszych, o średnicy 14 cm, oraz wysokości nie przekraczającej 4 cm, o prostych, niezbyt starannie formowanych, nie wyodrębniających się krawędziach, ściętych od zewnątrz, oraz kulistym dnie. Wykonane są one z nie dość solidnie przygotowanej masy, schudzonej dużą ilością średnio i gruboziarnistej domieszki, o misternie gładzonych i polerowanych powierzchniach (tabl. 24:2). Podobne są do talerzy typu VI grupy IV odmiany 2 wg M. Hoffmanna[104]. Formy te wykazują pewne podobieństwa do talerzy z Gródków, st. 7, gm. Płośnica, pow. działdowski[105], Starego Dzierzgonia, pow. sztumski[106], Jeziorka, gm. Ryn, pow. giżycki[107], czy Stolna, gm. Miłakowo, pow. ostródzki[108].

VIAb – odmiana o spłaszczonym, jednak nie wyodrębniającym się dnie, oraz prostej lub niecono wyciągniętej, starannie formowanej krawędzi. Formy większe, o średnicy 26, a wysokości nie przekraczającej 6 cm, o polerowanych powierzchniach, solidnie scalonej i nieznacznie schudzonej, drobną domieszką,

[99] Hoffmann 1999a: tabl. 56:15.
[100] Hoffmann 1999a: tabl. 120:7.
[101] Hoffmann 1999a: tabl. 113:13.
[102] Ł. Okulicz 1970: tabl. 25:3.
[103] Ł. Okulicz 1970: 25.
[104] Hoffmann 2000: 99.
[105] Ł. Okulicz 1970: tabl. 6:7.
[106] Ł. Okulicz 1970: tabl. 25:12.
[107] Ł. Okulicz 1970: tabl. 28:25.
[108] Hoffmann 1999a: tabl. 54:8.

Ryc. 32. Stary Folwark, st. 1. Naczynie miniaturowe typu VII z warstwy 64 (fot. R. Solecki)

masie ceramicznej (tabl. 23:2). Podobne są one do formy typu VI grupy II odmiany 2 wg M. Hoffmanna[109]. Talerze o zbliżonej formie wystąpiły w Gródkach, gm. Płośnica, pow. działdowski[110].

Podtyp VIB – to forma prawie płaska z wyodrębnionym, nieznacznie pogrubionym brzegiem. W porównaniu do form typu A, jest ona niezbyt starannie wykonana, co sugerują różnej grubości ścianki w obrębie wylewu, na bardzo krótkim jego odcinku. Forma wykonana jest ze słabo scalonej masy ceramicznej, silnie schudzonej grubą, ostrokrawędzistą domieszką. Powierzchnia jest niezbyt starannie wygładzona (tabl. 16:3). Forma ta stanowi ścisłą analogię do talerza ze stanowiska Jeziorko, gm. Ryn, pow. giżycki[111].

Typ VII – naczynia miniaturowe

Ten typ reprezentowany jest w materiale zabytkowym ze Starego Folwarku, st. 1 przez trzy naczynia, jedno zachowane w całości, a pozostałe dwa fragmentarycznie. Średnice naczyń wynoszą ok. 5 cm, formy i cechy technologiczne wykazują natomiast znaczne zróżnicowanie. Naczynko zachowane w całości (ryc. 32), znalezione w warstwie 64 (tabl. 4:18), to niewielka forma, lepiona ręcznie, najprawdopodobniej techniką wygniatania z jednego kawałka gliny. Średnica jego wylewu wynosi niewiele ponad 5 cm, wysokość natomiast niespełna 6 cm. Jest to naczynie o prostej, wychylonej na zewnątrz krawędzi, długiej cylindrycznej szyjce, stanowiącej ponad połowę jego wysokości, wyraźnie zaznaczonym brzuścu, nieco poniżej połowy wysokości naczynia, oraz płaskim słabo wyodrębnionym dnie, o średnicy 3,5 cm. Ze względu na niewielkie rozmiary naczynia widoczna jest pewna niestaranność wykonania, dostrzegalna wyraźnie w pewnych nierównościach krawędzi, ich odmiennym kształcie w różnych miejscach obwodu czy różnej długości szyjki naczynia. Ta niedbałość nie idzie jednak w parze ze sposobem traktowania jego powierzchni, która została od zewnątrz starannie wygładzona, oraz wypolerowana na całej wysokości. Choć powłoki sugerujące wyświecanie zachowały się jedynie częściowo, z dużą dozą prawdopodobieństwa stwierdzić można, że wyświecaniu poddano także dno naczynia oraz jego wnętrze, na tyle ile było to możliwe z technicznego punktu widzenia. Jako domieszki schudzającej w tym przypadku użyto drobnoziarnistego piasku. Formy analogiczne znaleźć możemy między innymi w Serowie, st. G, rej. Oziersk (b. Astrawischken)[112] oraz Pleśnie, gm. Bisztynek, pow. bartoszycki[113].

Kolejne naczynie zachowane w niewielkim fragmencie części przybrzeżnej, z krótkim odcinkiem wylewu, to najprawdopodobniej miniaturowe baniaste naczynko, o średnicy wylewu wynoszącej 5,3 cm, zachylonym do wewnątrz brzegu oraz ściętej od wewnątrz krawędzi (tabl. 3:12). Wygniecione zostało z jednego kawałka gliny o silnie schudzonej masie ceramicznej. Ogląd ścianek sugeruje słabe wyrobie-

[109] Hoffmann 2000: 91.

[110] Ł. Okulicz 1970: tabl. 6:10.

[111] J. Okulicz 1973: ryc. 113:k.

[112] Ł. Okulicz 1970: tabl. 29:12.

[113] Ł. Okulicz 1970: tabl. 31:26.

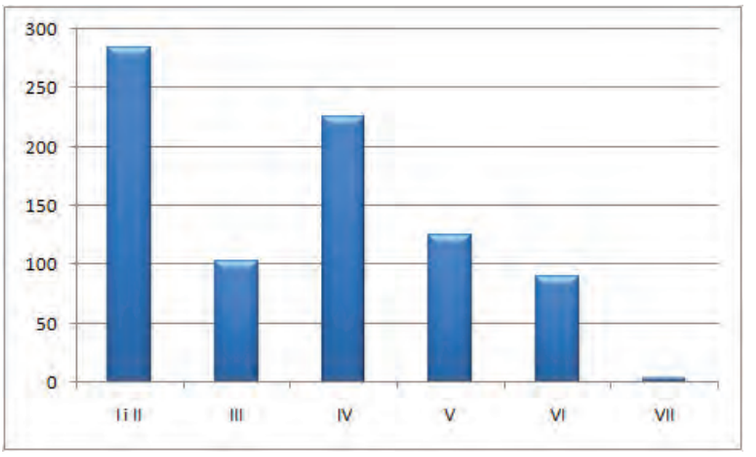

Ryc. 33. Częstość (wyrażona liczbą fragmentów ceramiki) występowania poszczególnych typów naczyń na st. 1 w Starym Folwarku (oprac. A. Chojnacka-Banaszkiewicz)

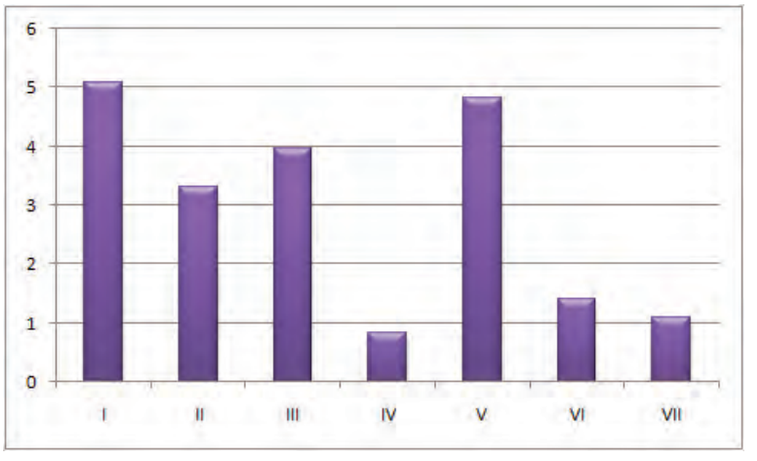

Ryc. 34. Częstość (wyrażona miarą SEN) występowania poszczególnych typów naczyń na st. 1 w Starym Folwarku (oprac. A. Chojnacka-Banaszkiewicz)

nie przez garncarza masy ceramicznej; w przełamie widoczne są liczne podłużne szpary, oraz puste przestrzenie, masa jest słabo scalona i zawiera liczną i ostrokrawędzistą domieszkę, głównie średnio i gruboziarnistą (0,1–0,2 cm). Powierzchnia naczynia, o ceglastej barwie (5YR 5/4)ścianek zewnętrznych i wewnętrznych oraz szaro-brązowej barwie przełamu, jest lekko szorstka i nierówna z wyraźnie widocznym odciskiem palca od wewnątrz. Ścianki naczynia są także bardzo nierówne, a ich grubość waha się od 0,5 do 1,1 cm. Dno naczynia nie zachowało się, jednak na podstawie analogii do zbliżonych form ze stanowisk takich, jak Serowo, st. G, rej. Oziersk (b. Astrawischken)[114], Elbląg-Modrzewina[115] Mołtajny, gm. Barciany, pow. kętrzyński[116], czy Kretowiny, st. 10, gm. Morąg, pow. ostródzki[117], przypuszczać można, że było ono płaskie oraz słabo wyodrębnione.

Trzeci fragment (tabl. 24:12) to niewielkie kuliste dno o średnicy wynoszącej niespełna 6 cm, zachowane prawie w całości, z niewielkim fragmentem ścianki, na której widoczny jest przyczep taśmowatego (około 2,5 cm szerokości) ucha, mocowanego najprawdopodobniej poprzez przylepianie. Masa ceramiczna wykazuje te same cechy, jak w naczyniu opisanym uprzednio, natomiast grubość ścianki jest w tym przypadku znacznie mniejsza, nie przekracza 0,5 cm. Naczynko o jasnobrązowej barwie (10YR 6/4), z szarymi śladami okopceń na dnie oraz ceglastymi przebarwieniami w najwyższej partii w okolicy przyczepu ucha, pomimo starannego wygładzania ma nieco szorstką powierzchnię, co jest spowodowane dużą ilością grubej domieszki, widocznej także na zewnętrznej powierzchni naczynka. Formy analogiczne tej samej wielkości lub nieco większe znalezione zostały np. w Jeziorku, gm. Ryn, pow. giżycki[118], na Wysoczyźnie Elbląskiej[119], w Elblągu – Nowym Polu[120], Łęczu, st. 1, gm. Tolkmicko, pow. elbląski[121], czy Myślęcinie, st. 3, gm. Elbląg, pow. elbląski[122].

W ceramicznym materiale zabytkowym ze Starego Folwarku, st. 1 pod względem liczebności przeważą garnki typu I i II (ryc. 33), występujące w liczbie 838 fragmentów. Wydawało by się, iż kolejną najliczniejszą grupę stanowią naczynia typu IV – amfory. Jednakże w tym miejscu znakomicie uwidacznia się słabość stosowania w metodach statystycznych tylko i wyłącznie prostego zliczania fragmentów naczyń z poszczególnych grup, które jest uzależnione od stopnia fragmentaryzacji naczyń. Znacznie bardziej obiektywną i wiarygodną ocenę liczby naczyń danego typu znajdujących się na stanowisku daje zastosowanie miary liczebności, którą jest stosunek długości zachowanego wylewu do zrekonstruowanego obwodu całego naczynia (SEN)[123] (por. tab. 1). Biorąc pod uwagę rozkład ilościowy wyrażony miarą SEN (ryc. 34) możemy słusznie zauważyć, iż najliczniejszą grupę naczyń stanowią garnki typu I i II ze znaczną przewagą typu pierwszego. Do kolejnych licznie reprezentowanych typów należą misy typu III oraz szeroko pojęta grupa naczyń cienkościennych (typ V), podczas gdy inne wyróżnione typy wystąpiły znacznie rzadziej.

[114] Ł. Okulicz 1970: tabl. 29:2, 3; Hoffmann 1999a: tabl. 69:13.

[115] Hoffmann 1999a: tabl. 47:3.

[116] Hoffmann 1999a: tabl. 65:15.

[117] Hoffmann 1999a: tabl. 139:9.

[118] J. Okulicz 1973: ryc. 114:ł.

[119] J. Okulicz 1973: ryc. 123:f.

[120] Ł. Okulicz 1970: tabl. 10:6.

[121] Hoffmann 1999a: tabl. 49:7.

[122] Hoffmann 1999a: tabl. 51:5.

[123] Kobylińska 2003: 7.

Technologia garncarska wczesnej epoki żelaza w świetle znalezisk ze Starego Folwarku, st. 1

Dokonując analizy ceramicznego materiału zabytkowego z grodziska w Starym Folwarku, st. 1 wydzielono trzy podstawowe grupy technologiczno-surowcowe (ryc. 35): **1.** naczynia przeważnie grubościenne o powierzchni chropowaconej; **2.** naczynia o gładkich powierzchniach o różnej grubości ścianek; **3.** naczynia cienkościenne o powierzchni starannie wyświeconej.

Podział ten przeprowadzono na podstawie wielu cech charakteryzujących ceramikę z omawianego stanowiska; uwagę zwrócono przede wszystkim na: makro- i mikromorfologię naczyń, to jest ukształtowanie form naczyń, uformowanie krawędzi wylewów, fakturę powierzchni zewnętrznej i wewnętrznej, barwę, grubość ścianek, strukturę przełamu oraz rodzaj i ilość użytej domieszki.

Naczynia ze Starego Folwarku, st. 1 wykazują liczne ślady świadczące o ręcznym sposobie formowania naczyń. Obserwacja większych fragmentów pozwala wnioskować, że wykonane zostały one techniką lepienia z wałków gliny, czego dowodem są nieliczne ślady połączeń kolejnych wałków, widoczne w formie zgrubień czy sfałdowania wewnętrznych powierzchni naczyń, głównie grubościennych garnków lub amfor. Szerokość wałków zaobserwować można również w przełamach naczyń, waha się ona najczęściej w granicach 2–3,5 cm. Formy większe, o grubszej ściance, formowane są z wałków o szerokości 3–3,5 cm, natomiast formy mniejsze, staranniej wykonane, z wałeczków znacznie mniejszych, głównie o szerokości 2 cm. Można także zaobserwować, że szerokość ostatniego pasma, tworzącego krawędź wylewu jest zazwyczaj nieco mniejsza od szerokości wałków pozostałych. Pewne ślady świadczyć mogą także o sposobach formowania samej krawędzi, na przykład krawędź pogrubioną formowano najprawdopodobniej poprzez dolepienie od wewnątrz do ścianki naczynia dodatkowego wałka gliny. W przypadku większych naczyń, grubościennych, bądź też mniejszych jednak niezbyt starannie formowanych, zaobserwować można często odciski palców, pozostałość po procesie zlepiania i formowania szyjki i partii wylewu (ryc. 36:5; tabl. 4:20; 6:1; 13:4). Pod krawędzią wylewu zaobserwować można również dookolne poziome, pojedyncze lub podwójne pasma o szerokości około 1 cm, ich liczba może być różna w różnych partiach tego samego naczynia; są to ślady po palcach formujących ścianki naczynia (tabl. 16:5). Natomiast wszelkie odmiany naczyń cienkościennych o powierzchniach starannie gładzonych i polerowanych były niezwykle precyzyjnie wykonane i trudno w ich przypadku dostrzec jakiekolwiek ślady formowania. Niekiedy tylko w przełamie ścianki możliwe jest zaobserwowanie szerokości poszczególnych wałków, z których powstało

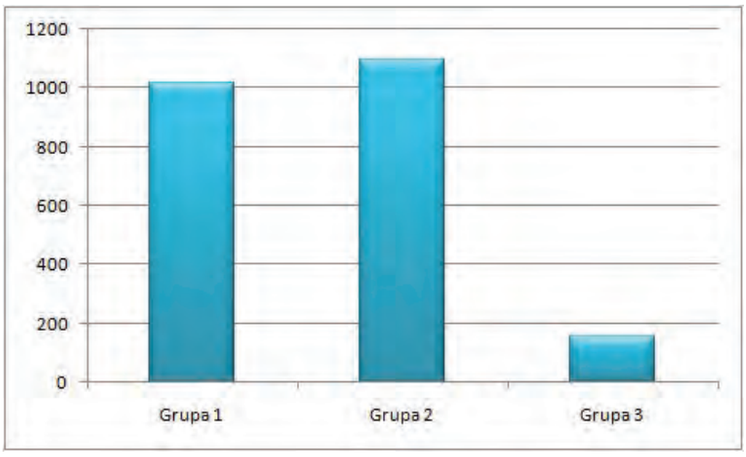

Ryc. 35. Zestawienie liczebności trzech wyróżnionych grup technologicznych ceramiki ze Starego Folwarku, st. 1 (oprac. A. Chojnacka-Banaszkiewicz)

naczynie. Małe cienkościenne formy, takie jak kubki typu VA, niezwykle starannie wykonane, świadczą nie tylko o wyjątkowym wkładzie pracy, ale także o rzetelności i precyzji garncarza, która była absolutnie niezbędna w procesie kształtowanie tego typu ścianek i profili. Małe miniaturowe naczynka wykonywane były z jednego kawałka masy ceramicznej, metodą wygniatania; świadczą o tym liczne ślady odcisków, czy wgłębień po palcach garncarza, ich powierzchnie również poddawane były różnym zabiegom, zagładzania palcem bądź specjalnymi gładzikami, ale także polerowane (tabl. 4:18). Charakterystyczną cechą omawianego zespołu ceramiki jest stosunkowo duży odsetek naczyń o dnach kulistych (tabl. 22:1–3; 23; 24:2, 12) bądź nieznacznie tylko spłaszczonych, słabo zaakcentowanych (tabl. 12:5; 16:4; 20:2; 22:3; 23:2). W materiale ceramicznym ze Starego Folwarku, st. 1 występują ponadto formy płaskie (tabl. 4:8; 11:11–13; 12:1; 20:1; 21) oraz – reprezentowane przez jeden tylko fragment – dno lekko wklęsłe (tabl. 15:10). Pomimo silnej fragmentacji i znacznego zniszczenia den występujących w omawianym materiale, udało się zaobserwować trzy zasadnicze sposoby ich formowanie; są to dna wygniatane z jednego kawałka gliny wraz z zaczątkiem ścianki, dna w postaci krążka, oraz dna dwuwarstwowe. Stosunkowo najmniej powiedzieć można o dnach kulistych, które – zachowane we fragmentach – są trudno identyfikowalne, a te które udało się zidentyfikować w większości przypadków zachowały się w całości, zatem również nie mogą dostarczyć zbyt wielu informacji technologicznych. Jednak dwa dna: kubka (tabl. 22:2) oraz dużej uchatej misy (tabl. 23:1), zachowane fragmentarycznie, sugerują, że ten rodzaj den zarówno w przypadku form dużych o grubszych ściankach, jak i form drobnych, cienkościennych, formowany był z dwóch nałożonych na siebie krążków gliny. W przypadku den spłaszczonych, słabo wyodrębnionych, na podstawie talerza (tabl.

Ryc. 36. Przykłady naczyń ze Starego Folwarku, st. 1 o różnych fakturach powierzchni: 1–2 – powierzchnie chropowacone; 3 i 5 – powierzchnie gładkie; 4 – powierzchnia wyświecona (fot. R. Solecki)

23:2) oraz amfory typu IV C (tabl. 20:2) wysnuć należy analogiczne wnioski; w większości tych przypadków ścianki naczynia formowane były z zewnętrznego placka gliny. W ten sam sposób uformowane zostało także – reprezentowane przez jeden fragment – dno lekko wklęsłe. W dnach zidentyfikowanych jako dwuwarstwowe, ścianki naczynia formowano zarówno z wewnętrznej jak i zewnętrznej partii dna. Obydwa sposoby są w omawianym materiale równie licznie reprezentowane. Płaskie dna wielowarstwowe, formowane z dwóch warstw o łącznej grubości 1,7–1,9 cm, mają tendencję do pękania wzdłuż połączeń swoich poszczególnych partii (tabl. 4:8; 7:6). Jako dno wygniatane z jednego kawałka gliny udało się zidentyfikować jeden tylko okaz. Jest to duże dno o średnicy 15,5 cm oraz grubości około 1,8 do 2 cm, wraz z zaczątkiem

ścianki, wzdłuż którego niemal na całej zachowanej długości dno oderwało się od reszty naczynia. Inne dno podobnych rozmiarów wykonane zostało w postaci krążka, do którego dodano pierwszy wałek formujący ściankę naczynia w taki sposób, że obejmował on krążek od zewnątrz. Z wałka tego została ponadto stosunkowo mocno zaakcentowana stopka, uformowana przez ugniatanie. Dna te charakteryzują się ponadto licznymi śladami głębokich, nieregularnych wgnieceń, wykonanych palcami, będących pozostałością po procesie ugniatania. Dna małych naczyń, głównie kubków odmiany VA, są równie starannie opracowane, jak górne ich części, gładkie i wypolerowane z obydwu stron. W omawianym materiale do najczęściej stosowanego sposobu formowania den, w każdym z występujących tu rodzajów, należy metoda dwóch nałożonych na siebie glinianych krążków.

Powierzchnie naczyń

Zewnętrzne powierzchnie ścianek naczyń były albo w różnym stopniu wygładzane albo chropowacone. W zabytkowym materiale ceramicznym ze Starego Folwarku, st. 1 większość ceramiki ma powierzchnie w różnym stopniu gładzone a nawet wyświecane, barwy głównie rudej (5YR 4/4; 7,5YR 6/6 lub 6/8) i czarnej (7,5YR 3/1, 2,5YR 2,5/1) (ryc. 36:3–5), z tym, że wnętrze naczyń jest na ogół gładzone znacznie mniej starannie niż powierzchnie zewnętrzne. Fragmenty naczyń o powierzchni chropowaconej, przeważnie barwy brunatno-brązowej (7,5YR 5/6), mają w omawianym materiale również znaczny udział (ryc. 36:1–2). Liczne fragmenty ceramiki noszą ślady po zabiegach wygładzania ich powierzchni (ryc. 36:3). Garnki typu IB oraz cienkościenne naczynie jajowate typu VCa charakteryzują się występowaniem na ich powierzchni drobnych, wielokierunkowych zarysowań, powstałych w wyniku przecierania powierzchni naczynia wiązką słomy lub drobnych gałązek (tabl. 16:5; 17:9; 19). W procesie zagładzania powierzchni naczynia wykorzystywano także inne narzędzia, najprawdopodobniej były to gładziki kamienne, rogowe, kościane lub drewniane[124]. Pozostawiają one na powierzchniach naczyń charakterystyczne ślady, w postaci podłużnych zarysowań oraz smug (tabl. 4:20; 5; 20:1; 23:1).

Polerowanie, zwane także wyświecaniem, polegało na nadaniu naczyniu lśniącej, gładkiej powierzchni, zabieg ten wykonywano suchym twardym przedmiotem na uprzednio wygładzonym oraz podsuszonym naczyniu, w wyniku czego otrzymywano idealnie gładką i lśniącą powierzchnię. W zależności od długości trwania zabiegu, otrzymywano powierzchnię z wąskimi paskami wyświecania (tabl. 10:4; 24:6) bądź jednolicie gładką i lśniącą[125] (tabl. 22:2). Chropowacenie to natomiast zabieg odwrotny, polegający na pokrywaniu powierzchni, również uprzednio wygładzonych i podsuszonych naczyń, roztworem glinki o różnej gęstości, zmieszanej z domieszką piasku lub tłucznia (ryc. 36:1–2). W omawianym materiale naczynia pokrywano najczęściej warstwą chropowacenia o grubości 2–2,5 mm. Do najczęściej wykorzystywanych w tym procesie technik należą obrzucanie powierzchni naczynia rzadkim roztworem glinki, co dawało efekt nieregularnych grudek tworzących różnej grubości warstwę chropowacenia (tabl. 7:1–3; 18:1) oraz nanoszenie roztworu palcami bądź narzędziami pozostawiającymi poziome, pionowe oraz ukośne bruzdy[126] (tabl. 16:4), dające efekt delikatnego chropowacenia, o regularnym i cienkim rozprowadzeniu roztworu glinki z domieszką. Bardzo często naczynie nie było na całej swej powierzchni pokryte jednakową warstwą dodatkowej glinki. Znakomity przykład stanowi tu garnek typu IIBb (ryc. 36:1), który w partii ucha był obrzucany stosunkowo grubą warstwą chropowacenia, o charakterystycznych grudkach, natomiast w pozostałych partiach naczynia chropowacenie przybierało znacznie łagodniejszy, równomierny charakter, z licznymi smugami sugerującymi kierunek nanoszenia warstwy chropowacącej.

Motywy ornamentacyjne

Zestaw ornamentyki spotykanej na zabytkowym materiale ceramicznym ze Starego Folwarku, st. 1 zgrupować można w trzech zasadniczych zespołach; są to: ornamenty ryte, ornamenty wykonane techniką odciskania – w tym ornament dołków palcowych oraz załuskiwań paznokciowych, oraz ornamenty plastyczne – w tym listwy i guzy[127]. Wszystkie wymienione typy ornamentów są stosunkowo nielicznie reprezentowane. Jeśli wraz z ornamentem występującym na powierzchniach naczyń rozpatrywać będziemy także ornamenty umieszczane na ich krawędziach, to – dzięki licznej grupie garnków typu I – w przewadze znajdą się zdobienia z grupy ornamentów odciskanych. Ornamenty te występują w dwóch odmianach: odcisków palców lub paznokci. Zarówno jedne, jak i drugie, pojawiają się wyłącznie w układach poziomych, w miejscu największej wydętości brzuśca lub krawędzi wylewu. Ornamenty te cechuje duża różnorodność kształtów, wynikająca z posługiwania się palcem wskazującym lub kciukiem: użycie tego drugiego daje odciski niemal kwadratowe (tabl. 13:9; 17:6). Istotną rolę odgrywa także ustawienie palca w stosunku do ścianki: prostopadłe pozostawia odciski niemal idealnie okrągłe (tabl. 11:6), skośne natomiast – dołki owalne z lekkim przesunięciem gliny wzdłuż ścianki. Występują także odciski samej opuszki palca (ryc. 37:3; tabl. 4:19; 11:3), opuszki z paznokciem (ryc. 37:4; tabl. 15:6), samego

[124] Mogielnicka-Urban 1984: 23.

[125] Mogielnicka-Urban 1984: 104.

[126] Mogielnicka-Urban 1984: 106.

[127] Mogielnicka-Urban 1984: 107–110.

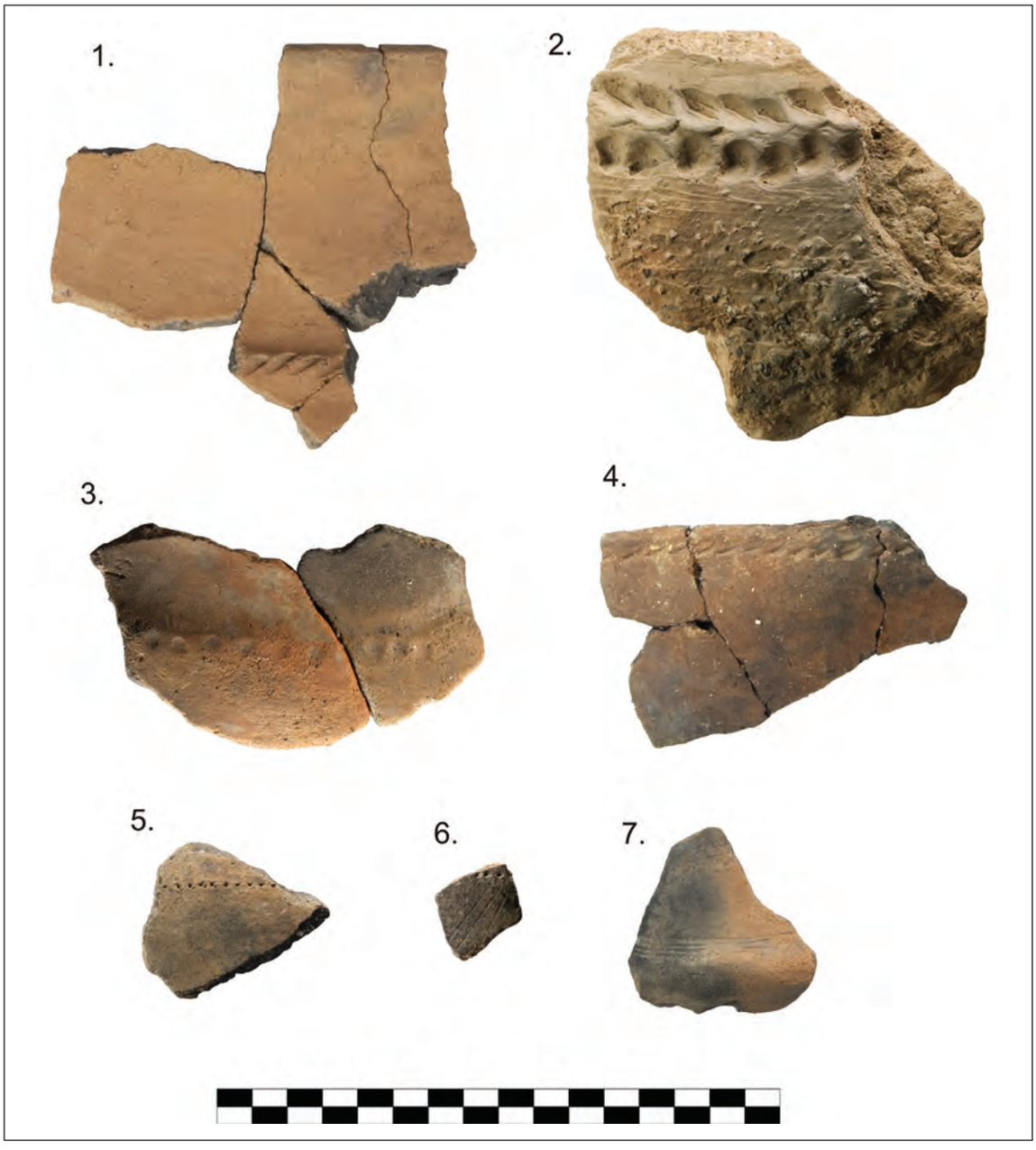

Ryc. 37. Przykłady ornamentowania naczyń ze Starego Folwarku, st. 1: 1 i 5–7 – ornamenty ryte; 2–4 – ornamenty odciskane (fot. R. Solecki)

paznokcia (ryc. 37:1; tabl. 20:2) oraz szczypania dwoma palcami (ryc. 37:2; tabl. 2:6)[128].

Ornamenty ryte wykonane metodą rycia rylcem wielozębnym, występują tylko i wyłącznie na bardzo cienkościennych naczyniach (o grubości ścianki nie przekraczającej 0,5 cm) o starannie polerowanej powierzchni, zidentyfikowane jako kubki odmiany b (ryc. 38). Potwierdza to także fakt wystąpienia tego typu ornamentu na brzuścu zachowanym wraz z dużym fragmentem szerokiego taśmowatego ucha, analogicznego do tego które wystąpiło w przypadku kubka zaliczonego do tej właśnie odmiany. W przypadku naczyń zachowanych w całości lub większej części można zaobserwować, że ornament ten występuje poniżej załomu brzuśca (tabl. 22:1–2), lub też powyżej jego załomu (ryc. 37:7; tabl. 11:9). Wzory ryte na powierzchni naczyń to głównie dookolne żłobki wykonane czterozębnym narzędziem; towarzyszą im

[128] Mogielnicka-Urban 1984: 110.

Ryc. 38. Kubek typu VA, odmiany b z warstw 14, 92 i 96 ze Starego Folwarku, st. 1 (fot. R. Solecki)

krótkie odcinki wykonane tym samym narzędziem, pochylone w różnych kierunkach, bądź ornament krzyżykowy wykonywany analogicznym narzędziem. Wszystkie te żłobienia są niezwykle płytkie, ich szerokość wynosi ok. 0,1 cm, a ponadto nie odznaczają się one jakąś szczególną precyzją, czy starannością wykonania. W jednym tylko przypadku, na niewielkim fragmencie zachował się ornament ryty w połączeniu z rzędem drobnych nakłuć (ryc. 37:6; tabl. 1:12). Ornament ryty występuje także w połączeniu z zestawem dookolnych załuskiwań paznokciowych oraz guzami plastycznymi. Niekiedy występuje ornament pojedynczego rzędu nakłuć o średnicy 1 mm w równych odstępach co około 3 mm, zachowany na jednym niewielkim fragmencie, o ściance grubości 0,7 cm, który sugeruje że znajdował się on poniżej załomu brzuśca (ryc. 37:5; tabl. 3:13). W innym przypadku ornament przyjmuje formę szerokich żłobków, które można interpretować także jako drobne nacięcia. Dookolny rząd pionowych, pochylonych w prawą stronę nacięć, szerokości około 3 mm i długości od 1 do 2,2 cm, występuje w miejscu przejścia długiej szyjki w brzusiec (ryc. 37:1; tabl. 2:8).

Ornament plastyczny, podobnie jak ryty, w materiale ceramicznym ze Starego Folwarku, st. 1 występuje stosunkowo rzadko; reprezentowany jest przez listwy występujące w trzech formach, a wszystkie fragmenty zdobione w ten sposób pochodzić mogą najprawdopodobniej z zaledwie czterech lub pięciu różnych naczyń. Ponadto dwa naczynia noszą ornament w formie plastycznych guzów. Listwa zdobiona ornamentem załuskiwań paznokciowych występuje w dwóch formach, owalnej, doklejonej do powierzchni naczynia, mocno odstającej listwy (tabl. 14:6) oraz w formie dookolnego uwypuklenia, nieznacznie tylko wyodrębnionego z powierzchni naczynia. Kolejny przykład to listwa gładka, trójkątna, także przyklejana, o około 2 cm szerokości, odstająca od naczynia na nie więcej niż 5–6 mm. Występuje ona na amforze typu IVAb (ryc. 39:2). Do listwy tej przylepione zostało niewielkie (o wymiarach 2 x 2 cm) poziomo przekłute uszko. Ostatni przykład stanowi zaplatana, również niewielkich rozmiarów, listwa (o szerokości 1–1,5 cm, odstająca od naczynia na około 7 mm), z tym że w tym przypadku jest ona najprawdopodobniej wyciągana z powierzchni naczynia; ornament te wystąpił na amforze typu IVAa (ryc. 39:1). We wszystkich wymienionych powyżej przypadkach plastyczne listwy rozdzielają powierzchnie naczynia traktowane w odrębny sposób: powyżej listwy są one gładzone, poniżej natomiast – poddane zabiegom chropowacenia. Inne naczynie poza plastyczną listwą, zdobione jest także formą plastycznego, owalnego, poziomego guza z przegłębieniem w środku, o wymiarach około 1,5 x 3 cm. Od guza tego odchodzą ponadto promieniście trzy, odcinki o długości 3 cm, o formie analogicznej do zastosowanej w naczyniu listwy. Drugie naczynie zdobione ornamentem plastycznych guzów to wspo-

Ryc. 39. Naczynia typu IVA ze Starego Folwarku, st. 1**:** 1 – odmiana a z warstwy 91; 2 – odmiana b z warstwy 14, 71, 92 i 96 (fot. R. Solecki)

mniana już wcześniej amfora typu IVC, zdobiona na największej wydętości brzuśca ornamentem dookolnych załuskiwań paznokciowych, w kształcie regularnych półksiężyców, który przerywany jest guzami w formie zbliżonej do trapezu, o szerokości dolnej podstawy 4, a górnej 2,5 cm. Zachowały się trzy takie guzy, jednak naczynie nie zostało zrekonstruowane na całej długości obwodu brzuśca, więc nie można z całą pewnością stwierdzić, że posiadało ich tylko tyle. Całości ornamentu dopełniają trzy grupy potrójnych żłobków rytych narzędziem trójzębnym, rozchodzące się promieniście w dół guza, o długości od 2,5 do 3,5 cm. Od omawianego wcześniej ornamentu rytego wykonywanego narzędziem zębatym odróżnia go szerokość pojedynczego żłobka, która wynosi 0,2 cm.

Jak już wspomniano, poza powierzchnią ścianki, ornamentowaniu podlegała także krawędź naczyń. W przypadku materiału z omawianego stanowiska, ornament ten przybierał głównie formę nazywaną

Ryc. 40. Garnki z ornamentowaną krawędzią ze Starego Folwarku, st. 1: 1 – typ IB z warstw 14 i 96; 2 – typ IB z warstw 14, 71, 92 i 96; 3 – typ IA odmiana c z warstwy 64 (fot. R. Solecki)

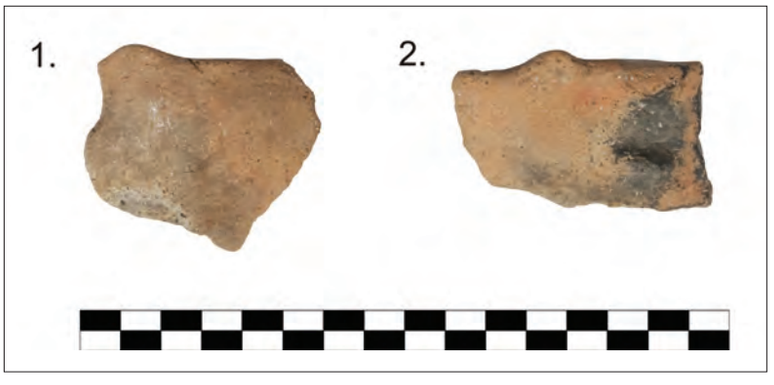

Ryc. 41. Ornament plastycznych guzów na krawędziach wylewów mis typu IIIB ze Starego Folwarku, st. 1: 1 – odmiana c z warstwy 11=15; 2 – odmiana b z warstwy 71 (fot. R. Solecki)

karbowaniem, zaplataniem czy też zaszczypywaniem dwoma palcami (ryc. 40; tabl. 5; 7:1–3; 17:9; 18:1; 19). Ornament ten wykonywano mniej lub bardziej starannie. Uwagę zwraca pewna prawidłowość: zaplatanie na naczyniach o powierzchni chropowaconej wykonywano dość niedbale, natomiast na naczyniach o powierzchni zagładzanej, karbowanie przyjmuje znacznie bardziej regularną formę. Ponadto dwuuchy garnek typu IAd, posiada ornament w charakterze nieregularnych, niedbale wykonanych załuskiwań paznokciowych (tabl. 20:1). Odmienny w charakterze ornament występuje na krawędziach mis typu IIIB: są to plastyczne wypustki, guzy wyciągane z krawędzi wylewu. Występują one w dwóch zasadniczych formach, mniejszej, o szerokości (mierzonej po krawędzi wylewu) 2–2,5 cm, wystającej poza krawędź na około 0,7 cm oraz większe o szerokości około 5 cm u podstawy i wyciągnięte ponad krawędź na 1 cm (ryc. 41; tabl. 2:1; 10:6; 15:1, 3; 24:6).

Elementy dodatkowe – ucha

Ucha w analizowanym materiale nie stanowią licznej grupy, bo zaledwie w liczbie 28 fragmentów. Jednak aż osiem okazów, zachowanych w całości, lub większej części, udało się powiązać z konkretnymi formami naczyń. Pozostałe dwadzieścia, zachowanych szczątkowo i w oderwaniu od naczyń, można na tej podstawie, z dużą dozą prawdopodobieństwa, także przyporządkować odpowiednim typom. Ucha w materiale ze Starego Folwarku, st. 1 wykazują kilka podstawowych, zróżnicowanych form, jednak wspólną ich cechą jest powierzchnia, wprawdzie opracowywana w mniej lub bardziej staranny sposób, ale zawsze zagładzana oraz pozbawiona ornamentu. Ucha taśmowate proste, bądź nieco wygięte w łuk, o regularnej formie, różnych szerokości, jednak głownie dość cienkie, o starannie gładzonej i polerowanej powierzchni, występują przy kubkach odmiany VAa i VAb (tabl. 22:1–2) (analogiczny fragment – tabl. 17:7), górą mocowane są poprzez doklejanie do krawędzi naczynia, dołem na czop (tabl. 22:1). Ucha taśmowate, wygięte w łuk, nieco grubsze o różnych szerokościach, odznaczające się dużo mniejszą starannością wykonania (tabl. 21:1; 23:1) oraz ucha taśmowate profilowane (tabl. 7:6), głównie przegłębieniem w środkowej partii, należą do różnego typu garnków bądź mis dużych rozmiarów (typu IIIAf). W przypadku garnka typu IAd i misy typu IIIAf są one mocowane na dwa czopy, zarówno górą, jak i dołem. Natomiast pozostałe, zarówno mniejsze jak i większe, profilowane ucha były do powierzchni naczyń przylepiane (tabl. 10:12–14; 14:10). Niewielkich rozmiarów taśmowate uszka o starannie wyświeconej powierzchni, górą przyklejane do krawędzi wylewu (tabl. 10:16), przypisać należy z całą pewnością misom, trudno jednak określić jednoznacznie którego typu. Z kolei niewielkich rozmiarów wałeczkowate w górnej partii uszka, wyprowadzane z krawędzi naczynia, dołem nieco rozpłaszczające się w formę taśmy, wystąpiły przy miseczkach typu IIIBb (tabl. 15:3; 10:17). W przypadku amfory typu IVAb odnotowano wystąpienie niewielkich rozmiarów (około 2 x 2 cm) uszka, przekłutego poziomo z nieznacznym tylko prześwitem; służyło ono zapewne do umocowania sznura, bądź rzemienia[129]. Jest ono reprezentowane przez jeden egzemplarz.

Masa ceramiczna

Pod względem technologicznym, zastosowanych technik wytwarzania oraz obróbki, a także jakości wykonania, ceramika pochodząca z Starego Folwarku, st. 1 nie odbiega znacząco od standardów znanych z ceramiki kulturze łużyckiej. Występowanie naczyń o staranie opracowanych, nie tylko gładzonych ale i chropowaconych, a także wyświecanych powierzchniach, o równych grubościach ścianki na całej zachowanej długości, świadczą niewątpliwie o wysokich umiejętnościach, oraz dużej staranności pracy garncarzy wytwarzających ceramikę z omawianego stanowiska. W procesie wytwarzania masy ceramicznej wykorzystywano spore ilości domieszki schudzającej, przynajmniej w przypadku większości analizowanego materiału, jednak pewna część, głównie cienkościennych naczyń, oraz starannie polerowanych mis, odznaczała się wykorzystaniem znacznie bardziej zwartej i tłustej gliny. Niewielkich rozmiarów naczynia o wyświecanych powierzchniach, takie jak kubki, dzbanuszki czy małe miseczki są wykonane z bardziej jednolitej i zwartej masy ceramicznej, natomiast naczynia duże, głównie garnki i amfory o różnych powierzchniach, zdają się być wytwarzane z masy o znacznie większym stopniu schudzenia oraz słabej jakości wyrobienia. Świadczą o tym liczne wyrwy po wypadniętych ziarnach domieszki, podłużne otwory oraz puste przestrzenie będące pozostałością po wypalonych źdźbłach i ziarnach domieszki organicznej, a także spękania oraz podłużne szczeliny, sugerujące ponadto słabe scalenie masy ceramicznej. W naczyniach ze Starego Folwarku, st. 1 jako schudzającej domieszki mineralnej używano głownie piasku oraz tłucznia o zróżnicowanej granulacji, głównie ziaren o średnicy od 0,1 do 0,2 cm, jednak bardzo często wraz z tymi niewielkich, drobnych rozmiarów ziarnami występują okruchy skalne o wielkości 0,5–0,6 cm.

Analiza struktury wielkościowej oraz stopnia erozji materiału ceramicznego

Analiza rozkładu wielkościowego zespołów ceramicznych pozwoliła zaobserwować kilka głównych tendencji. Struktura ta jest stosunkowo jednolita w całym zespole materiału ceramicznego pochodzącego z omawianego stanowiska. Podobnie sytuacja przedstawia się w poszczególnych jednostkach stratygraficznych. Materiał ceramiczny wyróżnia się silnym

[129] Mogielnicka-Urban 1984: 101.

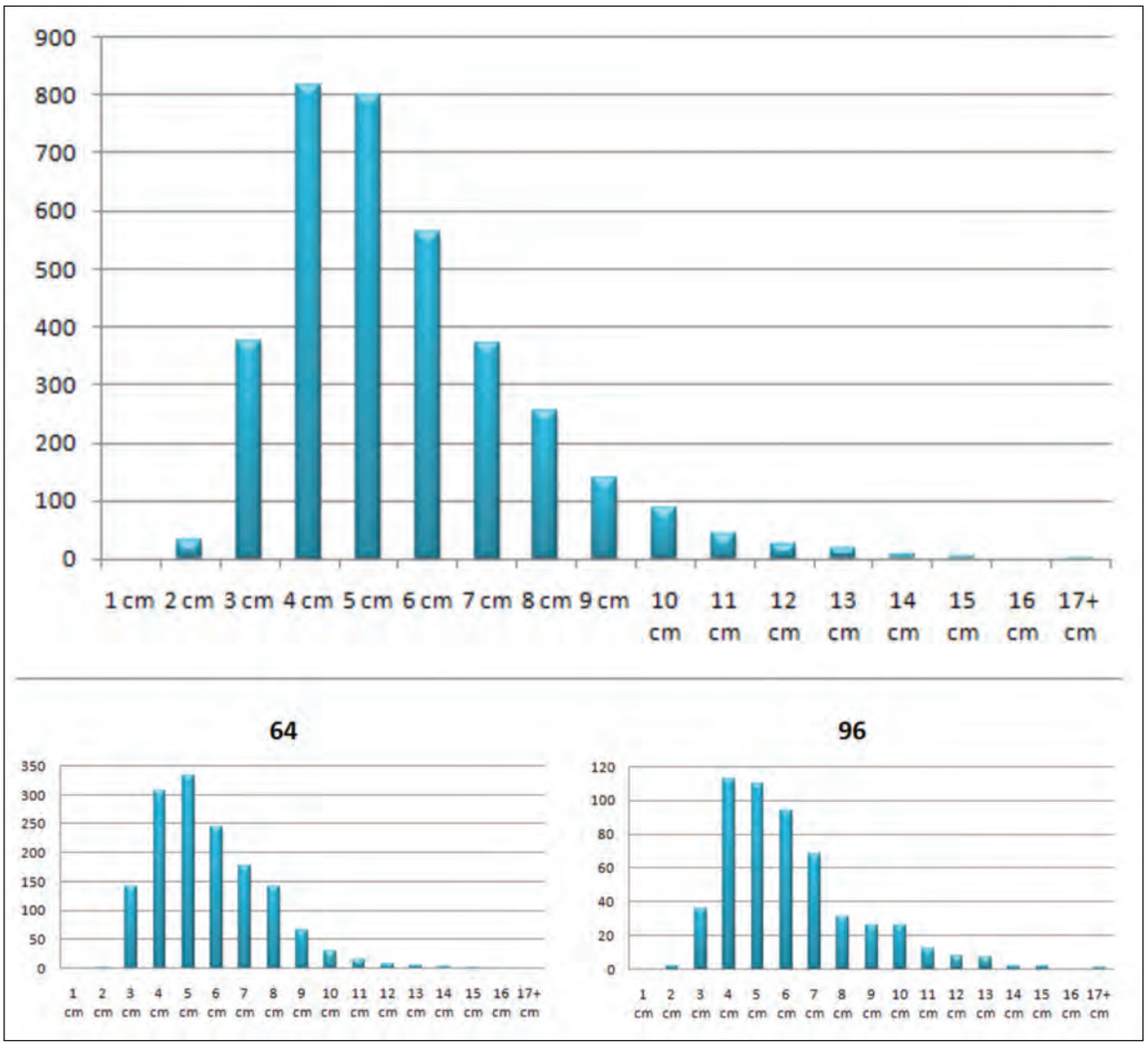

Ryc. 42. Struktura wielkościowa całego zespołu ceramicznego ze stanowiska 1 w Starym Folwarku (u góry), poniżej struktura wielkościowa zespołu ceramicznego z jednostek stratygraficznych 64 i 96 (oprac. A. Chojnacka-Banaszkiewicz)

zróżnicowaniem struktury wielkościowej (rozłożonym w rozkładzie normalnym): występują tu fragmenty od niewielkich, aż po duże, z przewagą wielkości ok. 4–5 cm. Fragmenty mniejsze reprezentowane są bardzo nielicznie, nie występują natomiast zupełnie okruchy ceramiczne o wielkości nie przekraczającej 1 cm. Fragmenty o wielkości powyżej 10 cm również nie są zbyt licznie reprezentowane. Rozkład struktury wielkościowej materiału ceramicznego z całego stanowiska pokrywa się z rozkładami obserwowanym w dwóch najliczniejszych zespołach ceramicznych – 64 i 96 (ryc. 42). Interesująca jest także analiza stopnia zniszczenia ceramiki w poszczególnych zespołach ceramicznych. Ogólny model struktury erozji ceramiki dla całego stanowiska wykazuje wyraźnie jednolity rozkład w ramach I, II i III stopnia erozji z niewielkim udziałem ceramiki nie wykazującej oznak zniszczenia (stopień 0) (ryc. 43). W przypadku poszczególnych jednostek stratygraficznych wyróżniają się natomiast takie, w których wyraźnie dominuje ceramika silnie zniszczona (np. 2, 64 i 69), oraz te, w których w przewadze znajduje się materiał ceramiczny stosunkowo dobrze zachowany (np. 14, 71, 92 i 96), Stopień erozji ceramiki w dwóch najliczniejszych zespołach ceramicznych również przedstawia się niezwykle interesująco. W zespole ceramicznym z jednostki stratygraficznej 64 najliczniej reprezentowane są fragmenty III kategorii, w podobnej liczbie występują tu także fragmenty II grupy oraz nieco mniej fragmentów pierwszego stopnia erozji, zaskakuje natomiast w zasadzie zupełny brak fragmentów nie objętych erozją. Zbiór ten ze względu na przewagę ceramiki II i III grupy, przy absolutnym braku fragmentów ceramicznych o zerowym stopniu erozji, należy zakwalifikować jako silnie zniszczony. Jest to ponadto zespół, w którym nie występują naczynia zachowane w całości, poza jednym miniaturowym naczynkiem (tabl. 4:18). Dla żadnego z 35 naczyń

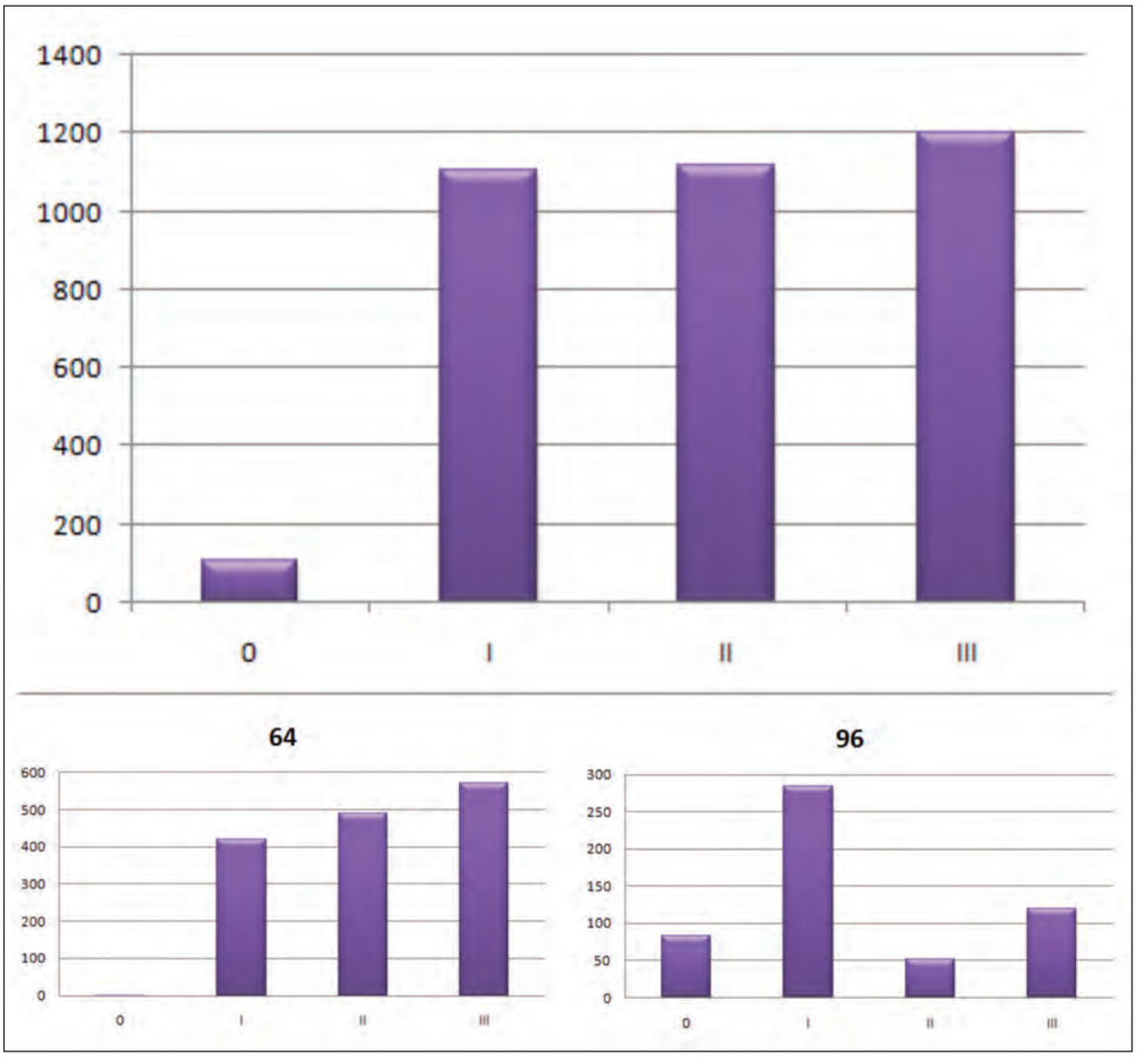

Ryc. 43. Stopień erozji całego zespołu materiału ceramicznego ze stanowiska 1 w Starym Folwarku (u góry), poniżej stopień erozji materiału ceramicznego z jednostek stratygraficznych 64 i 96 (oprac. A. Chojnacka-Banaszkiewicz)

nie udało się także zrekonstruować pełnego obwodu wylewu. W większości wielkość zachowanego obwodu nie przekracza 20% (SEN), poza ośmioma naczyniami z zachowaną około połową obwodu oraz jednym naczyniem, którego obwód wylewu zachowany jest w 85% (tabl. 9:6). W drugim największym co do liczebności zespole ceramicznym, pochodzącym z jednostki stratygraficznej 96, sytuacja przedstawia się zgoła odmiennie. W tym przypadku ceramika w I stopniu erozji reprezentowana jest najliczniej, stosunkowo licznie występują tu także fragmenty ceramiczne w stopniu erozji 0. Ułamki o drugim i trzecim stopniu zniszczenia występują w podobnej liczbie, co te nie noszące śladów erozji. Z tego względu zespół ten zaliczyć należy do tych stosunkowo dobrze zachowanych. Zespoły większych fragmentów ceramiki, powyżej 4–5 cm, o niewielkim stopniu erozji, pochodzą z różnych wypełnisk rowu 98, co może sugerować, że zostały one tutaj celowo zdeponowane. Natomiast te szczególnie zniszczone oraz silnie rozdrobnione, jak np. zespół z podhumusowej warstwy 2, stan swojego zachowania zawdzięczają zapewne rozmaitym, krótko- lub długotrwałym procesom podepozycyjnym.

Ceramika z okresu późnego średniowiecza

W materiale zabytkowym z tego okresu znaleziono dwa fragmenty pochodzące z górnych partii naczyń. O pierwszym fragmencie (tabl. 25:5) trudno wnioskować cokolwiek, ze względu na jego dalece posunięty stopień zniszczenia. Wypalony został w atmosferze redukcyjnej, a masa garncarska zawiera stosunkowo dużą ilością średnioziarnistej domieszki. Formy

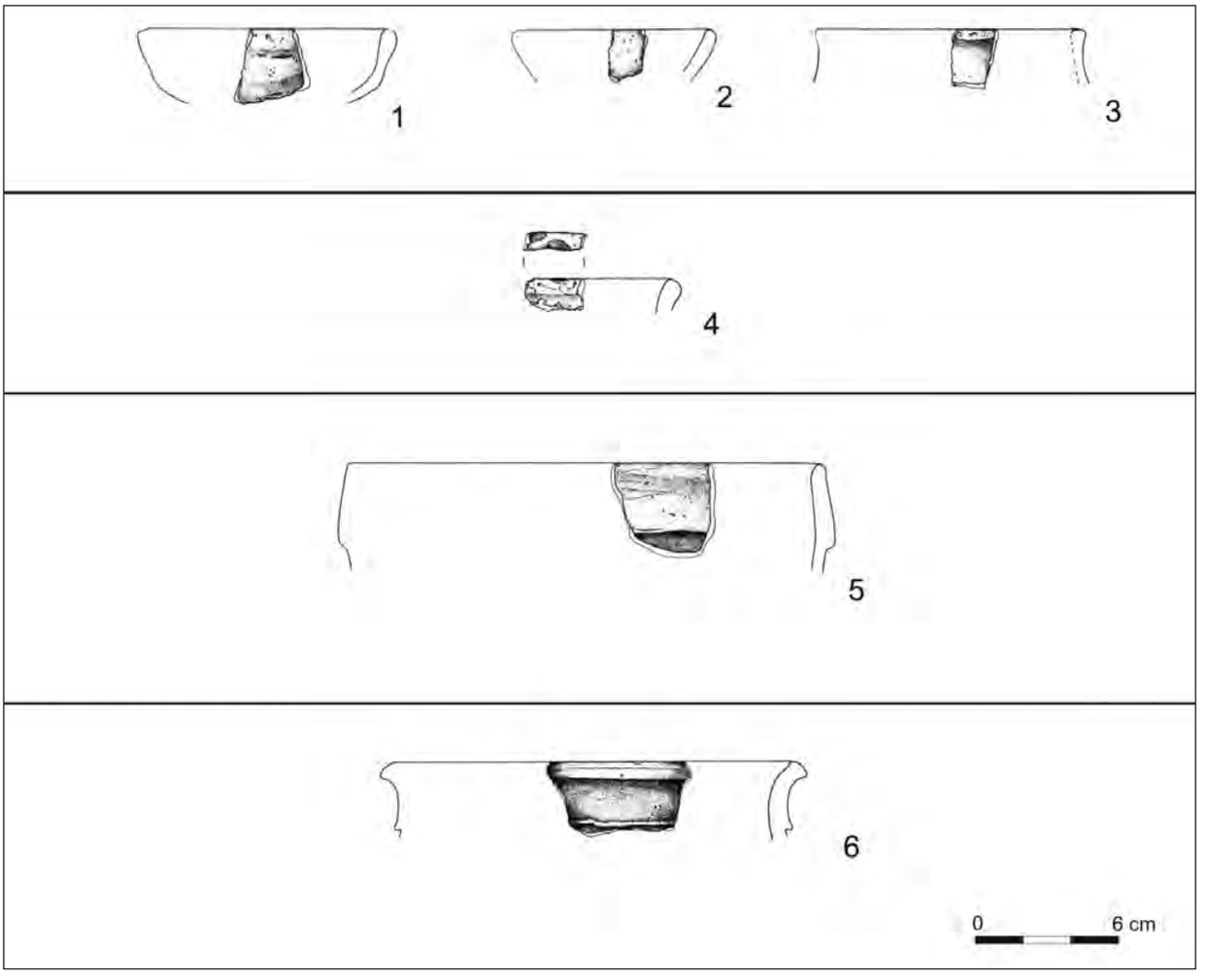

Tablica 25. Stary Folwark, st. 1: 1–3 – fragmenty naczyń z jednostki stratygraficznej 105; 4 – fragment naczynia z jednostki stratygraficznej 109; 5 – fragment naczynia późnośredniowiecznego z jednostki stratygraficznej 11; 6 – fragment naczynia późnośredniowiecznego z jednostki stratygraficznej 56 (rys. A. Chojnacka-Banaszkiewicz)

Ryc. 44. Fragment późnośredniowiecznej ceramiki stalowoszarej ze Starego Folwarku, st. 1 (fot. R. Solecki)

analogicznej doszukać się można wśród dzbanów ze Skarszew, pow. starogardzki, datowanych na koniec XIII–XIV w.[130] Drugi fragment (tabl. 25:6) stanowi klasyczny przykład późnośredniowiecznej ceramiki stalowoszarej; jest wypalony w atmosferze redukcyjnej, z niewielką ilością drobnej domieszki oraz z wyraźnymi śladami toczenia w górnej partii (ryc. 44). Fragment pochodzi z garnka z wylewem zakończonym na zewnątrz okapem, jednak bez wewnętrznego wrębu na pokrywę. Formy analogiczne tego typu „siwaków" znaleźć można np. w Czarnkowie [131], lub

[130] Kruppé 1981: karta nr 44:7.

[131] Kruppé 1981: karta 10:19.

Ryc. 45. Zabytki wydzielone ze Starego Folwarku, st. 1: 1 – fragment kamienia żarnowego lub rozcieracza z jednostki stratygraficznej 2**;** 2 – fragment kamiennego gładzika z jednostki stratygraficznej 2**;** 3 – fragment kamiennego rozcieracza z jednostki stratygraficznej 2; 4 – przęślik gliniany z jednostki stratygraficznej 61 **(**fot. A. Chojnacka-Banaszkiewicz)

w Skarszewach, pow. starogardzki[132], gdzie datowane są na koniec XIII i XIV w., aż po wiek XV.

Zabytki wydzielone

W przeciwieństwie do pozyskanego masowo materiału ceramicznego, zabytki zaliczone do kategorii zabytków wydzielonych reprezentowane są w materiale zabytkowym ze Starego Folwarku, st. 1 wyjątkowo nielicznie. Odkryta tu została jedynie grupa trzech zachowanych fragmentarycznie wyrobów kamiennych oraz jeden gliniany przęślik (ryc. 45).

Zabytki kamienne

W centralnej części wykopu 2, założonego w celu rozpoznania nawarstwień wnętrza grodziska, w warstwie podhumusowej, rozciągającej się na całym obszarze badanego stanowiska, odkryto skupisko trzech kamieni noszących mniej lub bardziej widoczne ślady obróbki. Ze względu na ich fragmentaryczne zachowanie, trudno jest jednak jednoznacznie wnioskować o funkcjach, jakie pełniły. Pierwszy z omawianych zabytków to duża kamienna bryła stanowiąca jednak najprawdopodobniej jedynie niewielki fragment kamiennego żarna, z jedną płaską i wygładzoną powierzchnią (ryc. 45:1; tabl. 26:1). Drugi kamienny fragment o formie nieregularnego sześcianu, z wszystkimi ściankami powstałymi w efekcie odłupania, posiadający jedną płaską powierzcie pracującą, wykazującą ślady bardzo starannego wygładzania oraz wyświecenia, które zachowały się na powierzchni 5–7 cm na 3,6–5 cm, stanowi najprawdopodobniej przykład kamiennego gładzika stosunkowo dużych rozmiarów (ryc. 45:2; tabl. 27:1). Ostatni z zabytków z tej grupy to prawdopodobnie fragment dużego (10,5 cm długości) kamiennego rozcieracza, formą zbliżony do trójkąta, z płaską, wygładzoną powierzchnia pracującą oraz obłą powierzchnia przeciwległą. Jego boczne ścianki także noszą ślady wygładzania, a wszystkie krawędzi są łagodnie zaoblone (ryc. 45:3; tabl. 26:2).

[132] Kruppé 1981: karta 19:3.

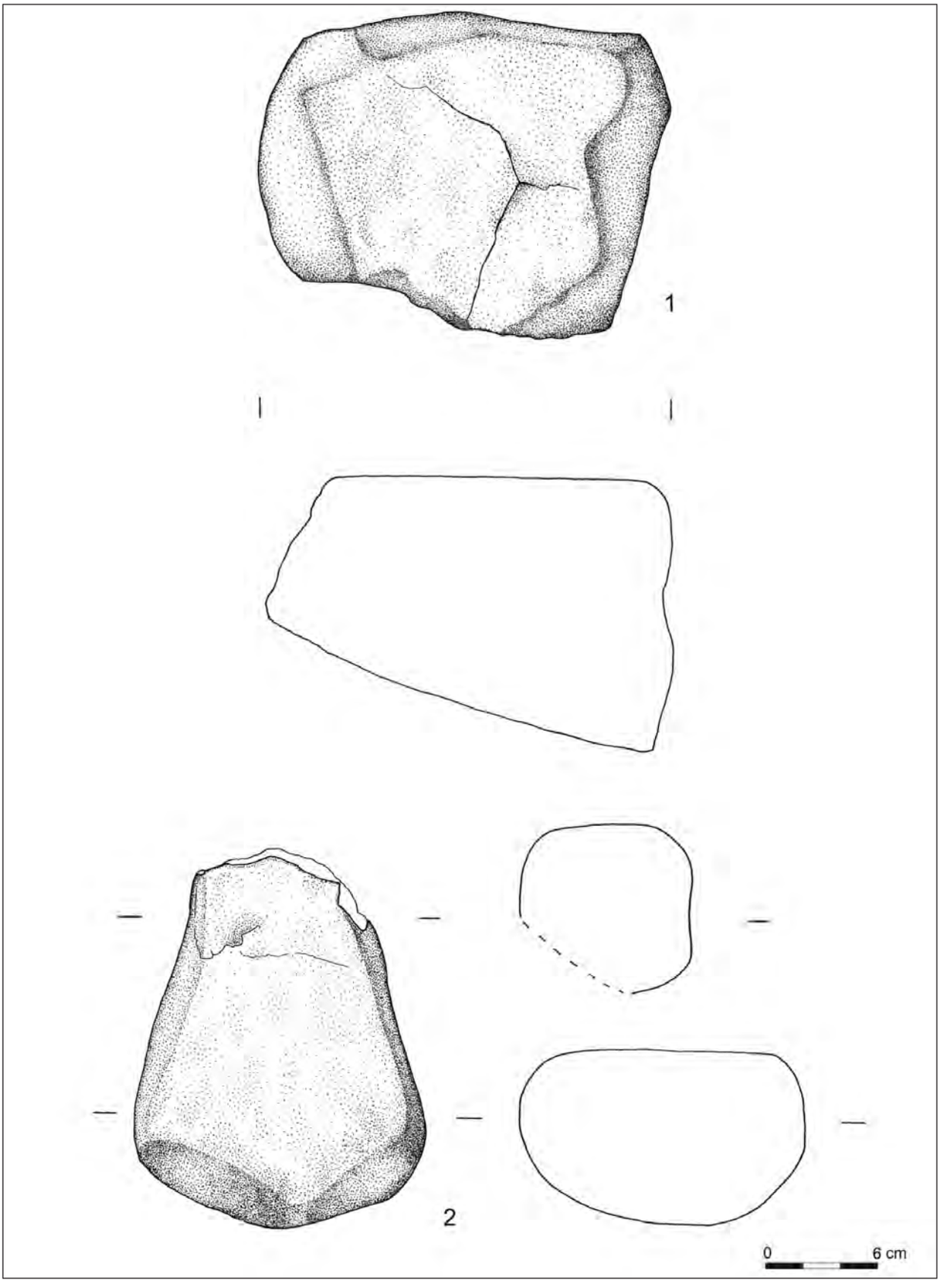

Tablica 26. Stary Folwark, st. 1: 1 – fragment kamienia żarnowego lub rozcieracza z jednostki stratygraficznej 2; 2 – fragment kamiennego gładzika z jednostki stratygraficznej 2 (rys. A. Chojnacka-Banaszkiewicz)

Zabytki ceramiczne

W warstwie 61, w górnym wypełnisku płytkiego rowu 80, położonego przy południowej krawędzi grodziska, został znaleziony lekko uszkodzony, źle zachowany gliniany przęślik (ryc. 45:4; tabl. 27:2). Jest to okaz dość duży, o średnicy 3,6–3,8 cm, jednak stosunkowo niski, z podstawą znacznie szerszą od jego całkowitej wysokości, wynoszącej zaledwie 2–2,1 cm. Górna partia w formie słabo wyróżniającego się, płasko ściętego stożka, z centralnie umieszonym otworem o średnicy 0,6 cm, w dolnej, spodniej partii przyjmuje formę płaską, nieco zaokrągloną. Zachował się on w dwóch fragmentach, z niewielkim ubytkiem w obwodzie, nosi on także ślady po obtłuczeniach, a jego powierzchnia jest zniszczona i wytarta. Mimo to zaobserwować można, że przęślik ten pomimo ręcznego formowania miał dość regularny kształt oraz starannie opracowane krawędzie i powierzchnie, najprawdopodobniej polerowane aż do wyświecenia. W przełamie widoczne są nieliczne fragmenty bardzo drobnej domieszki, a dobrze wyrobiona masa ceramiczna, o szaro-brązowej barwie (2,5Y 4/2), ma zwarty charakter. Formy analogiczne wystąpiły między innymi w materiale zabytkowym z terenu osady rusztowej w Rybnie, gm. Ryn, pow. mrągowski[133], a także w materiale z grodziska w Lipowcu, gm. Ostróda, pow. ostródzki[134].

Polepa

Do grupy znalezisk masowych, pozyskanych w trakcie badań wykopaliskowych grodziska w Starym Folwarku, st. 1, zaliczyć należy 103 grudy i kawałki polepy. Materiał ten stanowi niezwykle interesujące źródło do pogłębionej analizy licznych śladów i odcisków materiałów organicznych: od tych najdrobniejszych, takich jak negatywy ziaren, odciski słomy i traw, przez patyki i deski, aż po odciski elementów konstrukcyjnych znacznych rozmiarów, głównie okrągłych w przekroju słupów. Materiał ten zebrano ze stanowiska w formie reprezentatywnych prób (tab. 4). Podzielony został na pięć grup ze względu na rodzaj zidentyfikowanych odcisków (ryc. 46):

- odciski słomy i trawy – 20 fr.(20% zbioru). Grupa ta obejmuje bryły z odciskami negatywów ziaren, oraz podłużne, płytkie, regularne w kształcie odciski fragmentów słomy lub traw (o szerokości od 0,2 – 0,5 cm).
- odciski patyków i gałęzi – 21 fr. (21% zbioru). Grupa ta obejmuje fragmenty z odciskami piono-

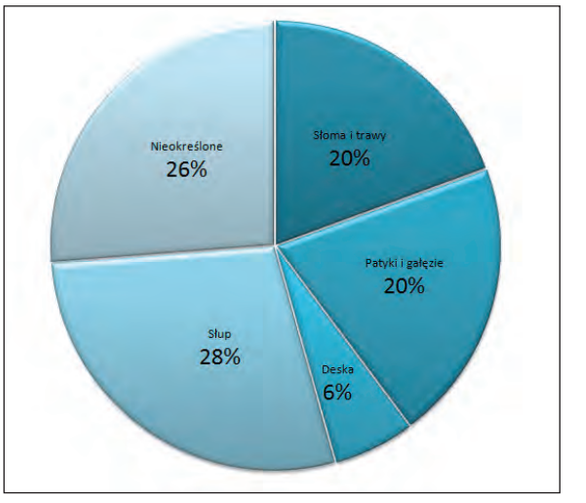

Ryc. 46. Procentowe zestawienie częstotliwości występowania poszczególnych kategorii odcisków na bryłach polepy znalezionej w Starym Folwarku, st. 1 (oprac. A. Chojnacka-Banaszkiewicz)

[133] J. Okulicz 1973: ryc. 117:j.

[134] Por. opracowanie wyników badań tego grodziska, w niniejszej publikacji.

Tabela 4. Zestawienie znalezisk polepy ze Starego Folwarku, st. 1 z odciskami elementów organicznych (oprac. A. Chojnacka-Banaszkiewicz)

Jedn. strat.	Ilość fr.	Waga (w g.)	Kategorie odcisków				
			Słoma i trawy	Patyki i gałezie	Deska	Słup	Nieokreślone
2	3	38	1	2			
7	7	166	1	3		2	1
14	8	270		4	1	1	2
32	2	7					2
61	26	698	4	4	3	7	8
65	1	34				1	
69	1	15					1
73	1	6				1	
79	2	75		1			1
92	3	55	1	1		1	
97	5	243		1	1	3	
102	47	1758	14	7	1	13	12
Suma	**106**	**3365**	**21**	**23**	**6**	**29**	**27**

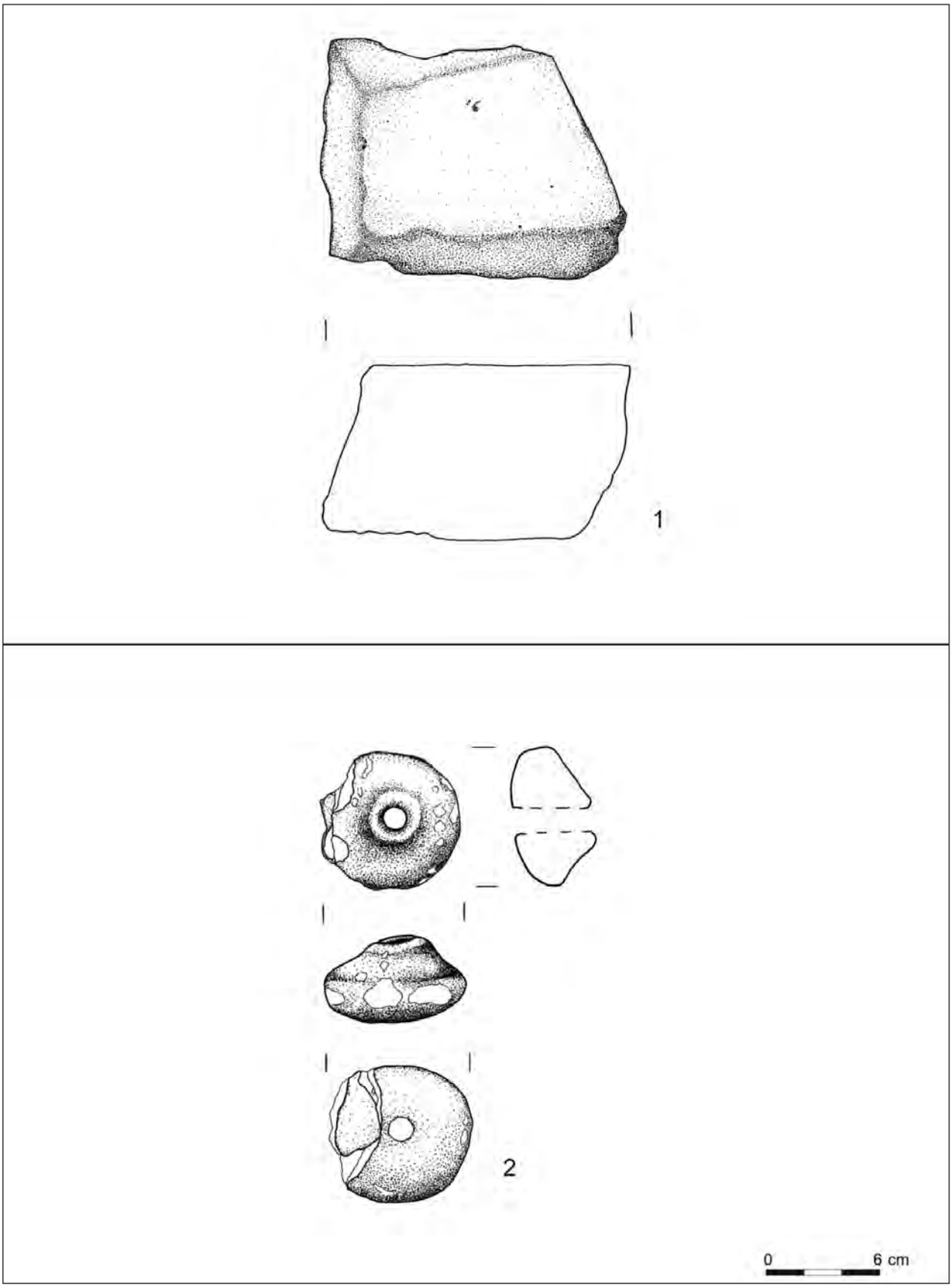

Tablica 27. Stary Folwark, st. 1: 1 – fragment kamienia żarnowego lub rozcieracza z jednostki stratygraficznej 2; 2 – przęślik gliniany z jednostki stratygraficznej 61 (rys. A. Chojnacka-Banaszkiewicz)

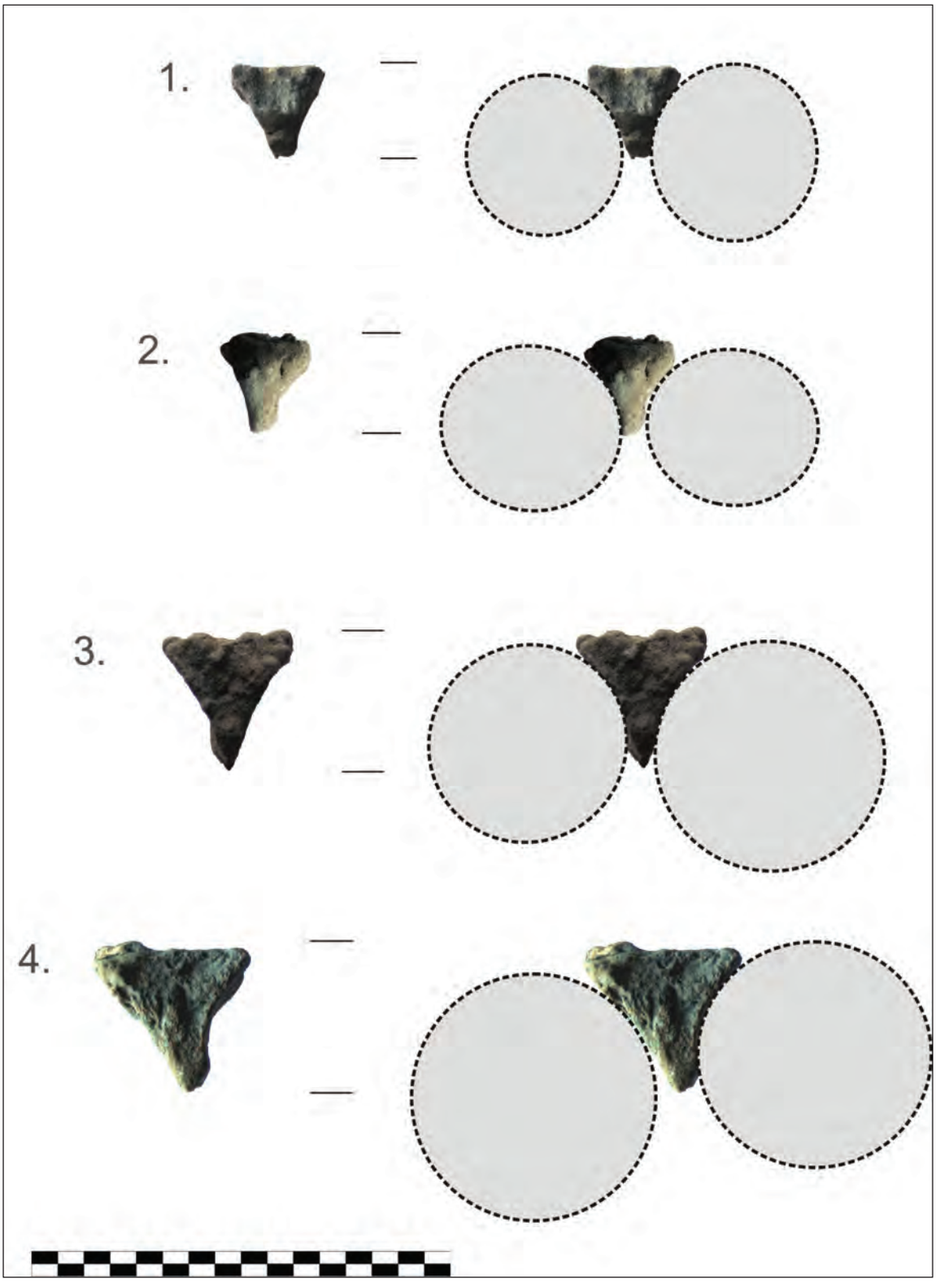

Ryc. 47. Fragmenty polepy ze Starego Folwarku, st. 1 z odciskami dwóch słupów tworzących ścianę: 1 – z jednostki stratygraficznej 97; 2 – z jednostki stratygraficznej 14; 3 – z jednostki stratygraficznej 7; 4 – z jednostki stratygraficznej 102 (oprac. A. Chojnacka-Banaszkiewicz)

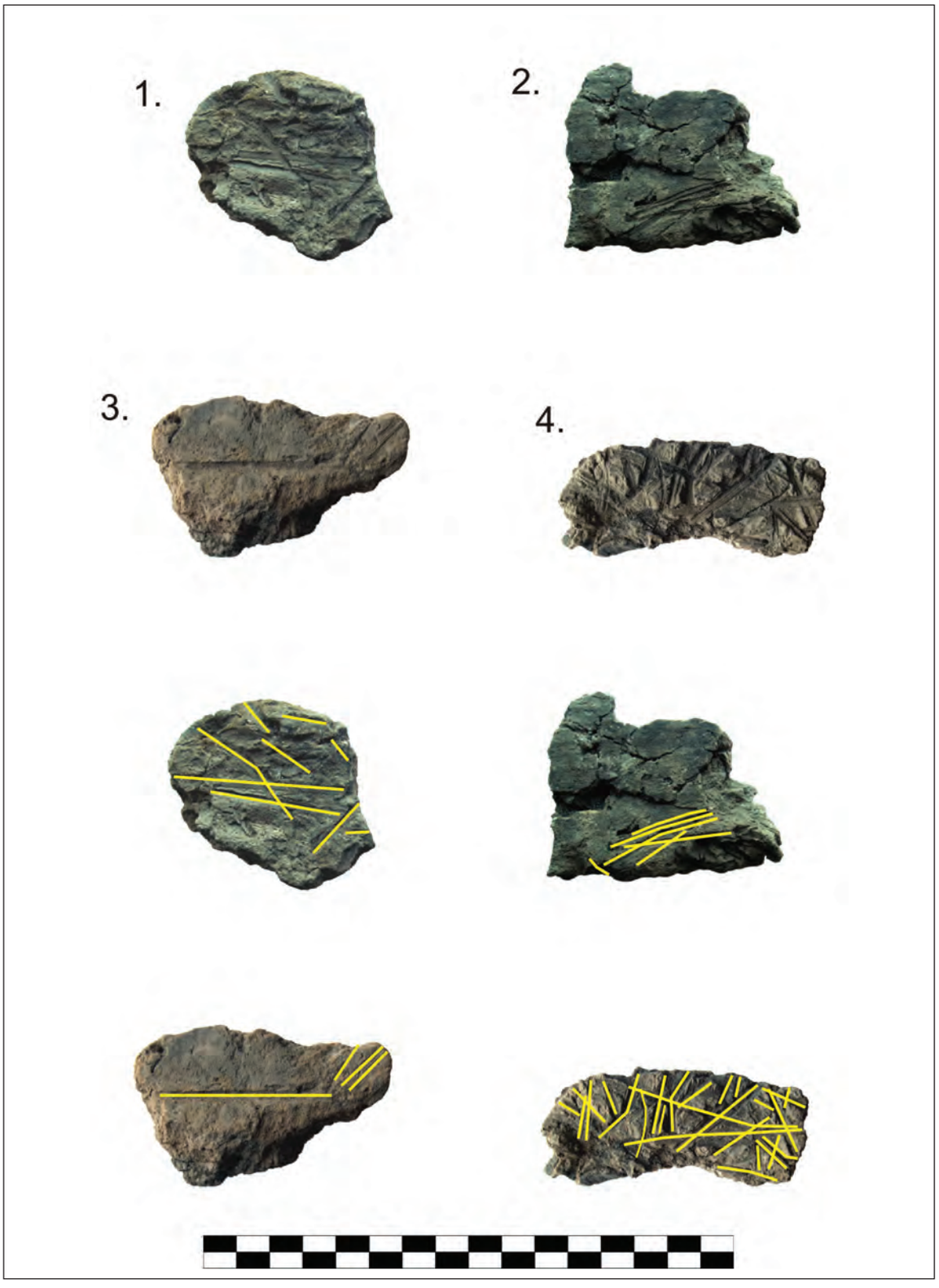

Ryc. 48. Fragmenty polepy ze Starego Folwarku, st. 1 z odciskami traw oraz słomy z jednostki stratygraficznej 102 (oprac. A. Chojnacka-Banaszkiewicz)

Ryc. 49. Fragmenty polepy ze Starego Folwarku, st. 1 z odciskami równolegle ułożonych gałązek: 1 – z jednostki stratygraficznej 14; 2 – z jednostki stratygraficznej 102 (oprac. A. Chojnacka-Banaszkiewicz)

wych i poziomych elementów konstrukcyjnych o średnicy 1–3 cm.

- odciski desek – 6 fr. (6% zbioru). W grupie tej znalazły się fragmenty z co najmniej jedną płaską powierzchnią, na której czytelny jest odcisk deski.
- odciski słupów o przekroju kolistym – 29 fr. (28% zbioru). Ta grupa reprezentowane jest przez fragmenty z odciskiem stanowiącym żlad po wolnostojącym, pionowym elemencie konstrukcyjnym o kolistym przekroju poprzecznym.
- odciski nieokreślone – 27 fr. (26% zbioru). Grupa ta obejmuje fragmenty z odciskami, których nie zakwalifikowano do żadnej z poprzednich grup, czy to ze względu na brak możliwości zidentyfikowania formy odcisku, czy też jego zupełny brak.

Wielkość fragmentów polepy poddanej analizie waha się od najmniejszych, swoim maksymalnym wymiarem sięgających niewiele ponad 3 cm, aż po największe kilkunastocentymetrowe, maksymalnie do 14 cm wielkości. Najliczniej wystąpiły fragmenty o długości w przedziale od 5 do 8 cm (mierzonej po najdłuższej przekątnej). Nie zachowały się żadne fragmenty z odciskami plecionek, poza prostym równoległym układem. Na żadnym z fragmentów nie udało się także zidentyfikować odcisków dwóch różnych elementów konstrukcyjnych, które mogłyby zdradzać ich wzajemne, bardziej złożone relacje. Pod tym względem jedynych istotnych informacji dostarczają stosunkowo licznie występujące fragmenty polepy o charakterystycznym trójkątnym kształcie, z dwoma zaokrąglonymi bokami, które stanowią łuki słupów o przekroju kolistym (ryc. 47). Na podstawie

Ryc. 50. Fragmenty polepy ze Starego Folwarku, st. 1 z odciskami pojedynczej gałązki: 1 – z jednostki stratygraficznej 61; 2 – z jednostki stratygraficznej 79; 3 – z jednostki stratygraficznej 92 (oprac. A. Chojnacka-Banasszkiewicz)

Ryc. 51. Fragmenty polepy ze Starego Folwarku, st. 1 z odciskami deski: 1 – z jednostki stratygraficznej 61; 2 – z jednostki stratygraficznej 14 (oprac. A. Chojnacka-Banaszkiewicz)

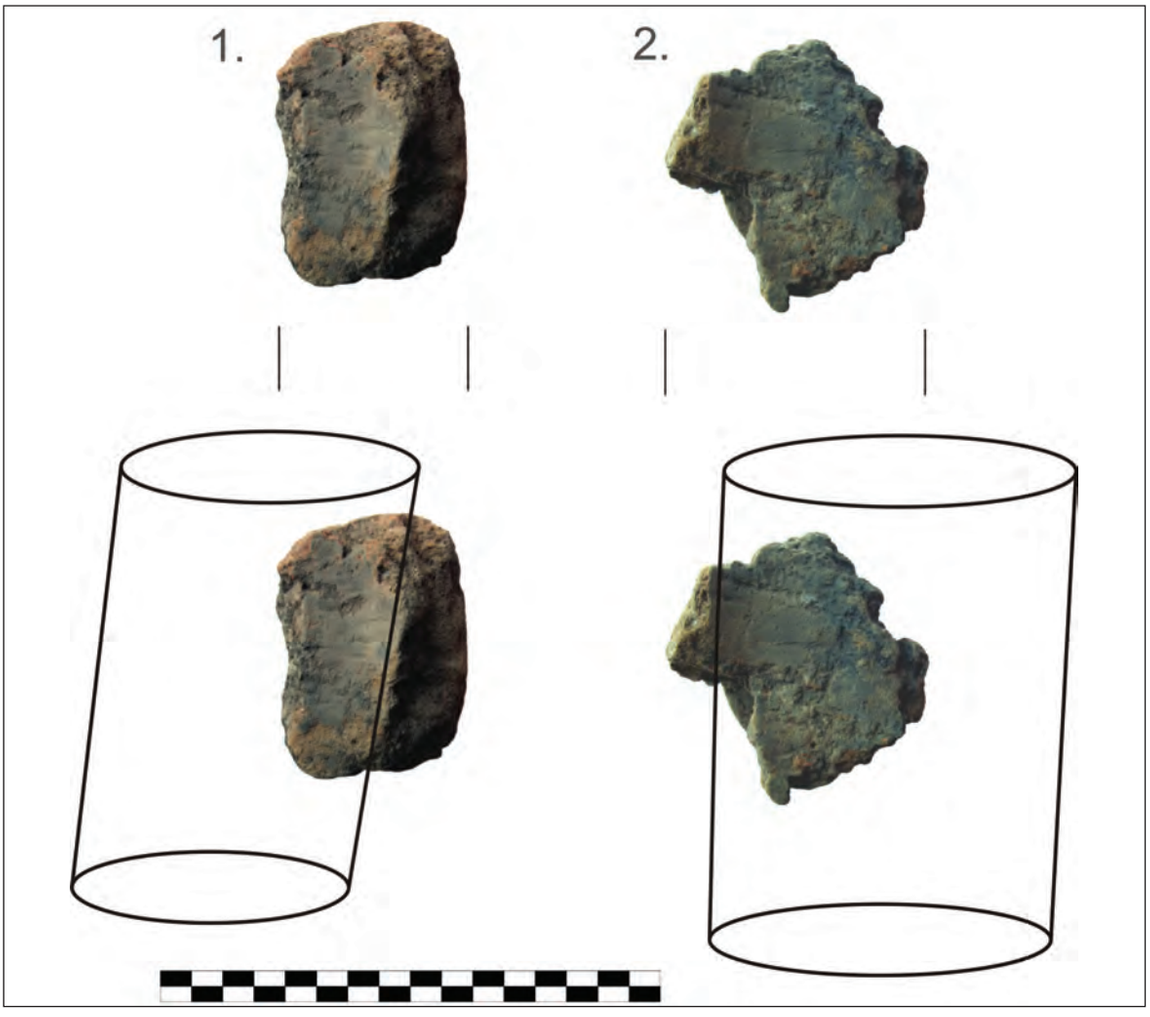

Ryc. 52. Fragmenty polepy ze Starego Folwarku, st. 1 z odciskami słupa o okrągłym przekroju z jednostki stratygraficznej 102 (oprac. A. Chojnacka-Banaszkiewicz)

odcisków słomy i traw, ich układów i liczby (ryc. 48) domniemywać możemy, że stanowiła ona jakiś element konstrukcji, lub też w pewnych przypadkach, gdzie występuje w formie pojedynczych źdźbeł trawy, stanowiła jedynie przypadkowe zanieczyszczenia. Dzięki bryłom polepy z odciskami gałązek (ryc. 49–50) zrekonstruować możemy średnicę tych drobnych elementów konstrukcyjnych, która waha się w granicach 1–3 cm, oraz fakt że występowały one w układzie równoległym. Elementem budowlanym były też deski lub prostokątne w przekroju słupy (ryc. 51). Na podstawie trójkątnych fragmentów polepy można ustalić przybliżoną średnicę poszczególnych bali tworzących palisadę lub ścianę budynku (ryc. 52). Omawiane fragmenty polepy pochodzą z wypełniska rowu 98 i 80 (młodsza faza) oraz z wypełniska fosy 19=116 (starsza faza użytkowania grodziska). Sugeruje to ponad wszelką wątpliwość, że zachowane odciski stanowią pozostałości po drewnianych konstrukcjach obronnych ze starszej i młodszej fazy funkcjonowania grodziska. Różnorodna barwa omawianych fragmentów polepy świadczy o tym, iż zostały one poddane działaniu wysokiej temperatury, dzięki czemu przetrwały i zachowały negatywy poszczególnych drewnianych elementów konstrukcyjnych, z którymi się stykały. Fakt ten potwierdza także to, że polepę znaleziono głównie w obrębie warstw spaleniskowych, wysyconych węglami i popiołami. Tak jest też w przypadku najliczniejszej próby, 47 fragmentów polepy pobranej z dolnego wypełniska rowu 98.

SZCZĄTKI ROŚLINNE

MARIA LITYŃSKA-ZAJĄC I MAGDALENA MOSKAL-DEL HOYO

W trakcie badań wykopaliskowych ze stanowiska 1 w Starym Folwarku pobrano dziewięć prób przeznaczo-

nych do badań archeobotanicznych. W czterech z nich nie wystąpiły żadne szczątki roślinne. W pozostałych natrafiono na spalone owoce i nasiona oraz ułamki węgli drzewnych w łącznej liczbie 180 okazów (tab. 5). W badanych materiałach obecne były liczne formy przetrwalnikowe grzyba mikoryzowego czarniaka właściwego *Cenococcum geophilinum*. Okazy niespalone, będące prawdopodobnie zanieczyszczeniem dzisiejszym, reprezentowały sześć taksonów[135]. Wśród zbóż oznaczono jęczmień zwyczajny *Hordeum vulgare* i proso zwyczajne *Panicum miliaceum*. Część ziarniaków pozostała nieoznaczona i opisana jako *Cerealia* indet. Rośliny zielne dzikie reprezentowane były przez komosę białą *Chenopodium album*, przytulię czepną *Galium spurium* i rdest plamisty *Polygonum persicaria*. Na podstawie węgli drzewnych oznaczono grab zwyczajny *Carpinus betulus*, jesion wyniosły *Fraxinus excelsior*, klon *Acer* sp., olszę *Alnus* sp., brzozę *Betula* sp., dąb *Quercus* sp. i lipę *Tilia* sp. W próbie nr 14 obecny był fragment łyka lipy.

CHRONOLOGIA STANOWISKA

ANETA CHOJNACKA-BANASZKIEWICZ

Zestaw zidentyfikowanych w materiale zabytkowym z grodziska w Starym Folwarku, st. 1 form naczyń niewątpliwie wskazuje, że należy stanowisko to łączyć z zachodniomazurską grupą kultury kurhanów zachodniobałtyjskich. Usytuowanie stanowiska na obszarze Pojezierza Iławskiego oraz pojawienie się na nim materiału ceramicznego powtarzającego drugorzędne cechy naczyń powszechnych w grupie warmińsko-mazurskiej kultury łużyckiej, wraz ze specyficzną cechą nadającą jej jednak wyraźnie odrębny charakter, jaką jest kulistość dennych partii naczyń, niewątpliwie wiąże to stanowisko właśnie z tym kręgiem kulturowym[136]. Naczynia kulistodenne nie występowały w kulturze łużyckiej poza grupą warmińsko-mazurską, form takich – za wyjątkiem strefy stykowej z obszarem pruskim – nie

[135] Opis metody: Lityńska-Zając i Moskal-del Hoyo 2016.

[136] J. Okulicz 1973: 271.

Tabela 5. Spalone i niespalone szczątki roślinne ze stanowiska z wczesnej epoki żelaza w Starym Folwarku, st. 1. Objaśnienia: typ szczątka: z – ziarniak, o – owoc, n – nasiono, d – drewno, ły – łyko, sc – sklerocja, ? – nieokreślony (oprac. M. Lityńska-Zając i M. Moskal-del Hoyo)

Numer jednostki stratygraficznej		64	65	67	79	97	Suma
Nazwa taksonu	Typ szczątka						
Szczątki spalone							
Hordeum vulgare	z	1		1			**2**
Panicum miliaceum	z	1	10				**11**
Cerealia indet.	z		2	13			**15**
Chenopodium album	n			1			**1**
Galium spurium	o	1					**1**
Polygonum persicaria	o			2			**2**
Carpinus betulus	d	1		2			**3**
Fraxinus excelsior	d			2			**2**
Acer sp.	d	1					**1**
Alnus sp.	d			1			**1**
Betula sp.	d	1					**1**
Quercus sp.	d	33	13	43	19	10	**118**
Tilia sp.	d	4		1		5	**10**
Tilia sp.	ły			1			**1**
liściaste	d			1	1		**2**
nieoznaczony	?		7				**7**
nieoznaczony	d	1					**1**
nieoznaczony	ły		1				**1**
Suma		**44**	**33**	**68**	**20**	**15**	**180**
Cenococcum geophilinum	sc	46	12	126	69	20	**273**
Szczątki niespalone							
Urtica dioica	o			1			**1**
Trifolium sp.	n				1		**1**
Betula pendula	łu				2		**2**
Betula pendula	o				6		**6**
Rubus idaeus	n	2		1	2		**5**
Sambucus nigra	n	1			1		**2**
Betula sp.	o				2		**2**
nieoznaczony	?	1					**1**
Suma		**4**		**2**	**14**		**20**

znała także kultura pomorska[137]. Najstarsze naczynia kulistodenne kultury kurhanów zachodniobałtyjskich pod wieloma względami nawiązują do form ceramiki łużyckiej, natomiast w okresach późniejszych tradycje łużyckie zanikają na rzecz typowych cech ceramiki pomorskiej, co doprowadziło do powstania zupełnie odmiennego niż na obszarach sąsiednich zestawu form ceramicznych[138]. Ponadto zestaw ceramiki zabytkowej z grodziska w Starym Folwarku, st. 1 potwierdza jego osadniczy charakter. Po pierwsze w materiale pochodzącym z osad obronnych, odznaczającym się większym zestawem form niż ceramika grobowa, zwraca uwagę znikoma liczba naczyń bogato zdobionych[139]. Ornament poziomej listwy oddzielającej szyjkę naczynia od brzuśca, kilkakrotnie odnotowany w materiale ze Starego Folwarku, st. 1, spotyka się głównie na okazach ceramiki pochodzących właśnie z osad[140]. Ponadto ceramika osadnicza, przy pewnym udziale form o dnach kulistych, reprezentowana jest głównie przez formy płaskodenne, najczęściej chropowacone, będące wyrazem tradycji łużyckich[141], fakt ten także znajduje swoje odzwierciedlenie w omawianym materiale zabytkowym. Zaskakuje natomiast w tym kontekście brak na stanowisku tak zwanych talerzy, w formie glinianych placków – podkładek, które są dość pospolitą formą ceramiczną w zestawie znalezisk z osiedli obronnych[142]. Interesujący jest także fakt, stosunkowo dużego udziału naczyń o powierzchni wyświecanej, które znacznie częściej występują w zespołach grobowych. Pomimo, iż ceramika niewątpliwie posiada walor źródła datującego, opierający się na jej powszechności, powtarzalności i szybkiej zmienności cech drugorzędnych, to w przypadku materiału w dużej mierze zachowanego fragmentarycznie, głównie w formie górnych, przykrawędnych partii naczyń, walor ten niestety nieco traci na znaczeniu. Dzięki dwóm najistotniejszym jak dotąd próbom usystematyzowania i wyznaczenia chronologii rozwoju ceramiki kultury kurhanów zachodniobałtyjskich, dokonanym przez Łucję Okulicz i Mirosława Hoffmanna, udało się ustalić cechy ceramiki, które pozwalają z pewną dozą prawdopodobieństwa ustalić ramy chronologiczne grodu w Starym Folwarku, st. 1.

Chronologię względną grodziska w Starym Folwarku, st. 1 oparto na założeniu, że w poszczególnych fazach rozwojowych kultury kurhanów zachodniobałtyjskich kontynuowano formy ceramiki występujące w fazach poprzedzających, wytwarzając cechy nowe, charakterystyczne i różnicujące[143]. Zatem w próbie zestawienia zabytkowego materiału ceramicznego z omawianego stanowiska z obszernym materiałem porównawczym, najistotniejsze było odnalezienie form najmłodszych posiadających właśnie te różnicujące cechy, wyodrębniające je z powtarzalnych zestawów form. Naczynia te wyznaczą bowiem końcowy etap rozwoju form ceramicznych występujących na stanowisku. W określeniu górnej granicy zasięgu chronologicznego pomocna okazała się forma typu VA odmiana b, pozostała część materiału ceramicznego również znalazła swoje odpowiedniki w materiale pochodzącym z fazy upowszechnienia się naczyń interpretowanych jako prototyp kubka typu elbląskiego, będącego ścisłą analogią do kubków typu VA odmiany b (tabl. 7.22.1–2.). Ponadto nie odnotowano w zestawie ceramiki cech charakterystycznych dla faz młodszych kultury kurhanów zachodniobałtyjskich. W materiale ceramicznym z tego stanowiska wystąpiły jednak dwa typy naczyń, to jest misa typu IIIA odmiany f (tabl. 7.23.1.) oraz naczynia typu IVA, które pozwalają wyznaczyć maksymalny zasięg chronologiczny stanowiska. Zabytkowy materiał ceramiczny ze stanowiska w Starym Folwarku ze względu na analogie nie tylko co do form naczyń, ale także liczne cechy drugorzędne, mieści się w zakresie I i II grupy ceramiki kultury kurhanów zachodniobałtyjskich według Ł. Okulicz, oraz w grupie II i III według M. Hoffmanna, datowanych na okres halsztacki i okres wczesnolateński. Poza licznymi analogiami do poszczególnych form naczyń, materiał z grodziska w Starym Folwarku pod wieloma względami odpowiada właśnie tym grupom formalno-technologicznym. Za charakterystyczne uznać należy takie cechy, jak: powolny zanik wyodrębniania krawędzi den, które stają się bardziej spłaszczone, oraz kuliste. Przy stosunkowo dużym udziale naczyń o powierzchniach chropowaconych, niestarannie gładzonych bądź przecieranych, pojawiają się również naczynia wyświecane. Znamienne jest także występowanie ucha taśmowatego, a niezwykle częstym motywem ornamentacyjnym jest karbowanie krawędzi[144]. W fazie późniejszej upowszechnia się zwyczaj kulistego formowania den, przemianom ulegają także techniki i formy zdobnicze, ornament paznokciowy ogranicza się z reguły do załuskiwań paznokciowych, podkreślających nasadę szyjek lub największą wydętość brzuśca, a ornament plastycznych guzów i listew obejmuje prawie wyłącznie górne partie naczyń[145]. Charakterystyczne jest także występowanie mis o krawędziach zdobionych plastycznymi wyrostkami, guzami, jak w formie IIIB[146]. Pojawia się także forma kubka, prototypu kubka elbląskiego[147], naczynia o cylindrycznej szyjce przechodzącej łagodnie w baniasty brzusiec, z kulistym dnem i taśmowatym lub wałeczkowatym uchem, łączącym krawędź wylewu z nasadą szyjki, o powierzchniach staranie zagładzanych z ewentualnym ornamentem w formie grup poziomych i ukośnych linii tworzących układy geometryczne, pokrywającym tylko i wyłącznie górne partie brzuśców.

[137] J. Okulicz 1973: 251.

[138] J. Okulicz 1973: 252.

[139] Hoffmann 2000: 97; J. Okulicz 1973: 251.

[140] Ł. Okulicz 1970: 26.

[141] J. Okulicz 1973: 272.

[142] Ł. Okulicz 1970: 26; J. Okulicz 1973: 278.

[143] Hoffmann 2000: 92; Ł. Okulicz 1970: 24.

[144] Hoffmann 2000: 92; Ł. Okulicz 1970: 26.

[145] Hoffmann 2000: 96–97.

[146] Ł. Okulicz 1970: 35.

[147] Ł. Okulicz 1970: 36.

Maksymalny zasięg chronologii stanowiska wyznacza wystąpienie naczyń typu IVA, utożsamianych z formą stanowiącą późną odmianę naczyń baniastych typu XI w typologii Ł. Okulicz, która to jej zdaniem posiada walory wyznacznika chronologicznego, poprzez porównanie jej z obszarem pomorskim, gdyż zarówno forma, jak i sposób zdobienia znajduje bliskie odpowiedniki w obrębie środkowolateńskich zespołów kultury pomorskiej[148]. Naczynia te w zestawieniu Ł. Okulicz występują w trzeciej grupie ceramiki kultury kurhanów zachodniobałtyjskich, datowanej przez nią na okres środkowolateński (250–120 p.n.e.)[149]. Natomiast misa typu IIIAf, posiadająca specyficzną cechę, jaką jest charakterystyczna, szpiczasta forma dna, która przez M. Hoffmanna włączona została do IV grupy ceramiki kultury kurhanów zachodniobałtyjskich, datowanej na młodszy okres przedrzymski, nie występuje w naczyniach grup wcześniejszych[150]. Wyznacza ona zatem najpóźniejszy horyzont czasowy omawianego stanowiska.

Z pomocą przychodzą oznaczenia wieku materiałów zabytkowych z grodziska metodą radiowęglową. Z próbek węgli drzewnych uzyskano mianowicie daty 2245±30 BP (po kalibracji: 393–206 p.n.e. z prawdopodobieństwem 95,4%) oraz 2235±30 BP (po kalibracji 388–204 p.n.e. z prawdopodobieństwem 95,4%). Ponadto uzyskano datowanie termoluminescencyjne jednego z fragmentów polepy, które dało wynik 2,35(21)ka, czyli lata 610–190 p.n.e.[151]. Daty te wskazują na użytkowanie grodziska w IV–III w. p.n.e., a więc w okresie schyłku okresu lateńskiego B1 po początek młodszego okresu przedrzymskiego A1.

DZIEJE GRODZISKA W STARYM FOLWARKU, ST. 1

Nawarstwienia grodziska w Starym Folwarku, st. 1, występujące na całej długości jego stoku, wskazują, że jest to stanowisko wielofazowe, intensywnie użytkowane, którego konstrukcje obronne w jego południowej części, były co najmniej kilkukrotnie modyfikowane. Grodzisko w Starym Folwarku, st. 1 odpowiada ogólnemu schematowi systemu osadniczego charakterystycznego dla omawianego okresu i grupy kulturowej[152]. W zachodniomazurskiej grupie kultury kurhanów zachodniobałtyjskich niewielkich rozmiarów osiedla obronne stanowią jak się wydaje zasadniczą formę osadnictwa[153]. Osiedla wyżynne budowano na wysoczyznach, wzniesieniach morenowych, półwyspach i wyspach jezior oraz w widłach rzek[154]. Wspólną cechą osiedli grupy zachodniomazurskiej, poza ich obronnym charakterem, był właśnie niewielki rozmiar majdanów, na których pomieścić się mogło nie więcej niż 5–8 domów mieszkalnych[155].

O zabudowie wewnętrznej majdanu grodziska w Starym Folwarku, st. 1, na podstawie wyników przeprowadzonych badań powiedzieć można stosunkowo niewiele. W wykopie 2 założonym w celu rozpoznania nawarstwień wnętrza grodziska, zalegała jedynie nieznacznej grubości warstwa kulturowa, o niezbyt bogatej zawartości, stąd też wydaje się w zasadzie ponad wszelką wątpliwość, iż obszar ten nie był intensywnie użytkowany lub też jego pierwotna powierzchnia uległa silnej erozji lub niwelacjom. Znacznie więcej wiemy natomiast o konstrukcji umocnień obronnych wzgórza w Starym Folwarku, st. 1. Za najstarszy przejaw aktywności ludzkiej na obszarze przy krawędzi grodziska należy uznać dwa oddalone od siebie o 2 metry rowy 19=116 oraz 28, które stanowiły pierwotną zaporę broniącą dostępu do wnętrza grodu. W trudnym do zdefiniowania momencie, po zasypaniu tychże obiektów, w zachodniej części wykopu 3, wykopane zostały dwa bliźniacze, odległe od siebie o 1,3 m, duże doły posłupowe (82 i 113). Jeden z nich wzmacniany był obstawą z dużych kamieni 111. Sugeruje to, iż w kolejnej fazie funkcjonowania grodziska istniały na jego stokach drewniane palowe konstrukcje obronne. O tego typu konstrukcjach świadczą także ślady zachowane w licznych warstwach spaleniskowych oraz negatywy elementów konstrukcyjnych odciśnięte w bryłach polepy, występujące głównie w wypełniskach rowów. Po stopniowym zasypaniu starszych obiektów funkcje obronne grodu przejęły rów 37 i odległy od niego o około 4–4,5 m wał ziemny z palisadą 109 oraz prawdopodobnie rów 98. O gwałtownym pożarze, który strawił młodsze umocnienia, świadczą ślady widoczne w fazie E użytkowania grodu. Ślady te, oraz bogaty inwentarz ceramiczny, między innymi całe naczynia (jednostka stratygraficzna 96), dowodzą ponadto gwałtownego zniszczenia osiedla i opuszczenia go przez mieszkańców. W części północno-zachodniej majdanu również znaleziono niezwykle bogaty depozyt ceramiki. Znikoma liczba kości zwierzęcych odnotowana na przebadanym obszarze stanowiska, sugeruje że w żadnym z tych miejsc nie wytworzyła się warstwa odpadów pokonsumpcyjnych.

Na tle innych przebadanych grodzisk powstałych w czasach kultury kurhanów zachodniobałtyjskich, grodzisko w Starym Folwarku, st. 1 wyróżnia się przede wszystkim obecnością obszarów gęsto pokrytych fragmentami ceramiki i specyficzną konstrukcją konstrukcji obronnych pokrywających równoległymi liniami stoki wzgórza. Z tego powodu nie można wykluczyć specyficznej funkcji tego grodu, być może nie tyle mieszkalnej, co raczej ceremonialnej i kultowej, podobnie jak to mogło mieć miejsc w przypadku podobnych pod względem formy i zbliżonych chronologicznie grodzisk w Starym Folwarku, st. 2, Wieprzu, st. 20, czy Tątławkach, st. 2[156].

[148] Ł. Okulicz 1970: 39.
[149] Ł. Okulicz 1970: 100.
[150] Hoffmann 2000: 100.
[151] Kobyliński 2016: 107.
[152] Ł. Okulicz 1970: 72.
[153] J. Okulicz 1973: 252.
[154] J. Okulicz 1973: 252.
[155] J. Okulicz 1973: 252.
[156] Por. opracowania wyników badań tych grodzisk, w niniejszej publikacji.

Stary Folwark, st. 2

Gmina Kisielice

Powiat iławski

AZP 27-50/19

Współrzędne geograficzne:

N 53° 36’ 51,21’’

E 19° 20’ 8,85’’

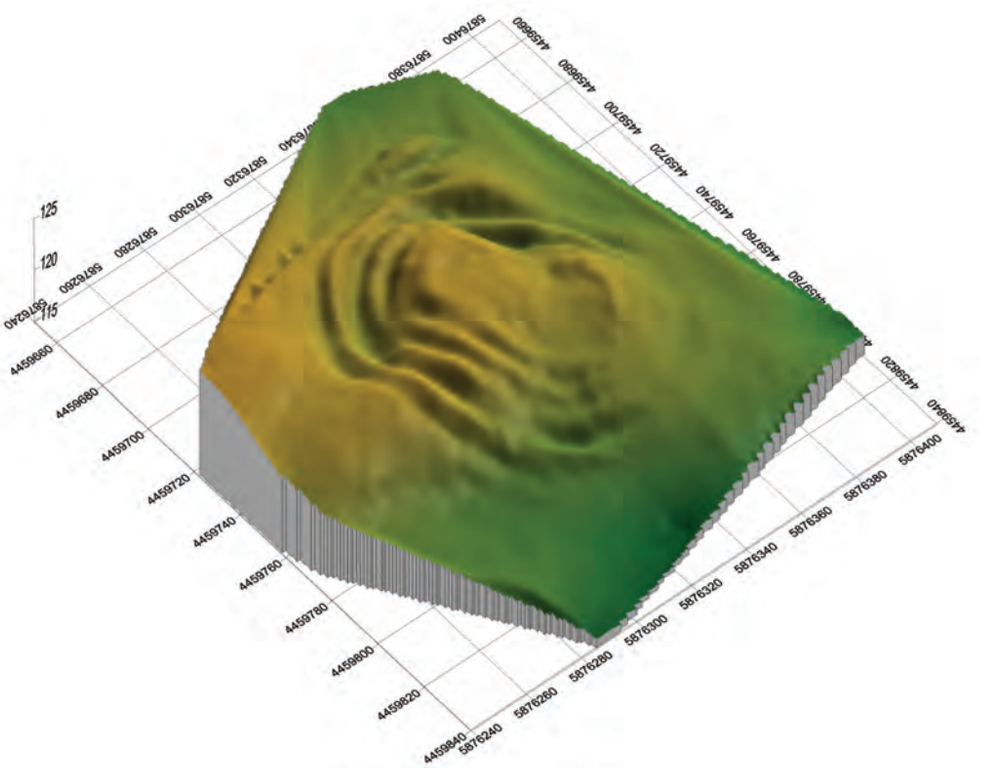

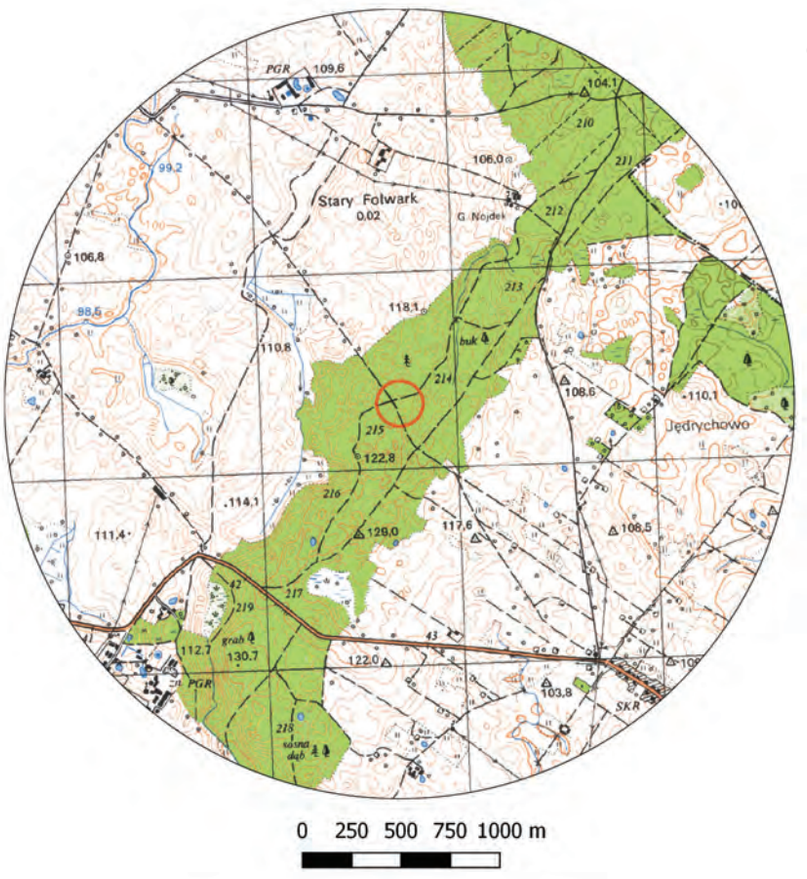

Ryc. 1. Grodzisko w Starym Folwarku, st. 2 na mapie w skali 1:25 000 (na podstawie materiałów CODGiK, oprac. R. Solecki)

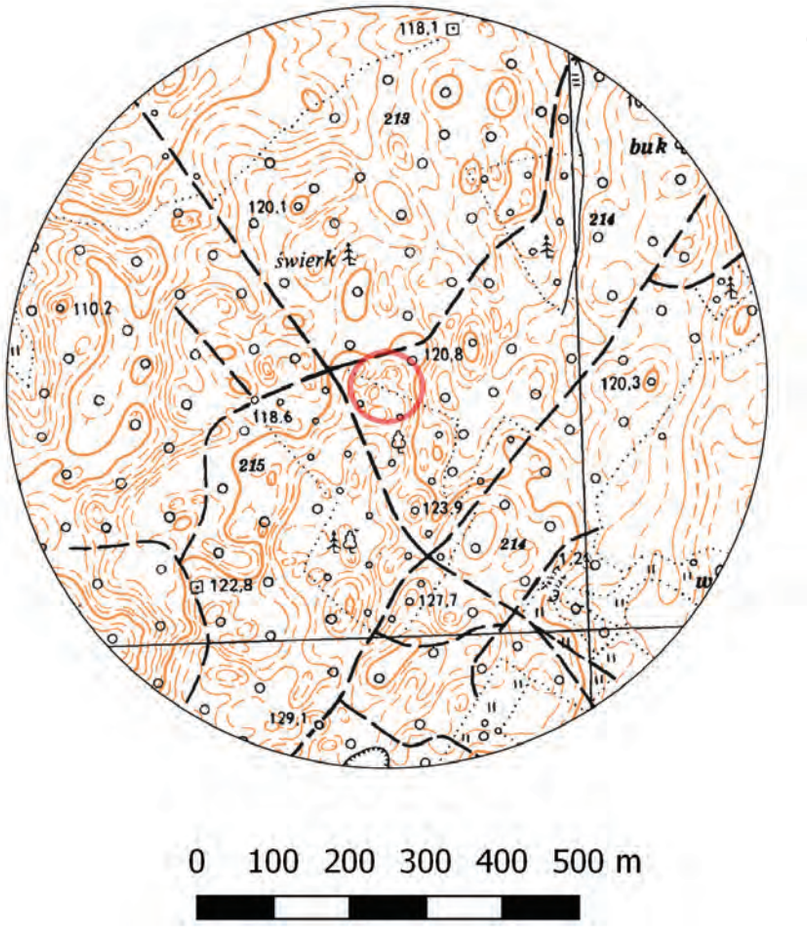

Ryc. 2. Grodzisko w Starym Folwarku, st. 2 na mapie w skali 1:10 000 (na podstawie materiałów CODGiK, oprac. R. Solecki)

POŁOŻENIE GRODZISKA I JEGO FORMA

KAMIL RABIEGA, MAGDALENA RUTYNA I JACEK WYSOCKI

Grodzisko w Starym Folwarku, st. 2 znajduje się w Jędrychowskim Lesie, na dosyć płaskim terenie, w odległości około 1,5 km od rzeki Gardęgi (ryc. 1–2). Choć teren nie wyróżnia się naturalnymi walorami obronnymi, to samo grodzisko jest imponującym założeniem, zaopatrzonym w cztery wały i fosy, które nadają całości formę regularnego owalu o wymiarach około 95 x 115 m.

Umocnienia obronne obiektu składają się z czterech dookolnych wałów (I–IV) o szerokości 5–6 m i zachowanych do wysokości około 1,5 m. Po zewnętrznej stronie każdego nasypu znajdują się fosy (I–IV) o szerokości 2–3 m i głębokości około 1 m. Majdan grodziska ma powierzchnię około 8 arów i wymiary 22 x 45 m. Ograniczony jest zagłębieniem przywałowym (ryc. 3–8).

BADANIA ARCHEOLOGICZNE

KAMIL RABIEGA I MAGDALENA RUTYNA

Przebieg badań terenowych

Grodzisko zostało odkryte dzięki analizie zobrazowań ALS. W roku 2016 przeprowadzono na jego terenie badania wykopaliskowe w ramach realizacji projektu *Katalog grodzisk Warmii i Mazur*. W obszarze zagłębienia przywałowego i północnego podnóża wału I grodziska, w osi N–S wytyczono jeden wykop sondażowy o wymiarach 2 x 4 m. Badania podjęto w celu rozpoznania nawarstwień kulturowych związanych z budową i funkcjonowaniem obiektu. Nadrzędnym celem badań było pozyskanie materiału zabytkowego, który miał posłużyć do określenia chronologii i funkcji grodu.

Stratygrafia stanowiska

W trakcie badań archeologicznych przeprowadzonych w roku 2016 wydzielono łącznie 19 jednostek stratygraficznych (tab. 1 i ryc. 13), które podzielono na trzy główne fazy związane z użytkowaniem i zniszczeniem tego obiektu.

Ryc. 3. Wały i fosy w południowej części grodziska w Starym Folwarku, st. 2; widok od strony wschodniej (fot. J. Wysocki, oprac. K. Rabiega)

ŚRODOWISKO FIZYCZNO-GEOGRAFICZNE

JERZY NITYCHORUK I FABIAN WELC

Na *Szczegółowej mapie geologicznej Polski w skali 1:50000, ark. Kisielice*[1] grodzisko w Starym Folwarku, st. 2 leży w obrębie glin zwałowych, piasków i żwirów moren spiętrzonych (ryc. 9). Wiercenia przeprowadzone na stanowisku pokazują, że osadami występującymi na powierzchni terenu i tuż pod powierzchnią, są piaski średnioziarniste i drobnoziarniste, które niżej przechodzą w mułki i miejscami również gliny. Wiercenia geologiczne dokumentują również warstwę gleby kopalnej bezpośrednio pod nasypami wałów, co pozwala przypuszczać, że mechanizm formowania obiektu polegał na kopaniu niezbyt głębokich „fos", a piasek był użyty bezpośrednio do formowania wałów. W obrębie centralnej części obiektu stwierdzono przemieszczenia osadów do 1,4 m, co oznacza występowanie warstwy kulturowej o znacznej miąższości (ryc. 10–11).

Ryc. 4. Stary Folwark, st. 2. Trzy fosy (I–III) oraz trzy wały (II–IV) w południowej części stanowiska; widok od strony północnej (fot. J. Wysocki)

[1] Uniejewska 2003.

Ryc. 5. Stary Folwark, st. 2. Wał IV (zewnętrzny) w południowo-zachodniej części grodziska; widok od strony zachodniej (fot. J. Wysocki)

Ryc. 6. Stary Folwark, st. 2. Wał IV i III oraz fosa III w południowej części grodziska; widok od strony wschodniej (fot. J. Wysocki)

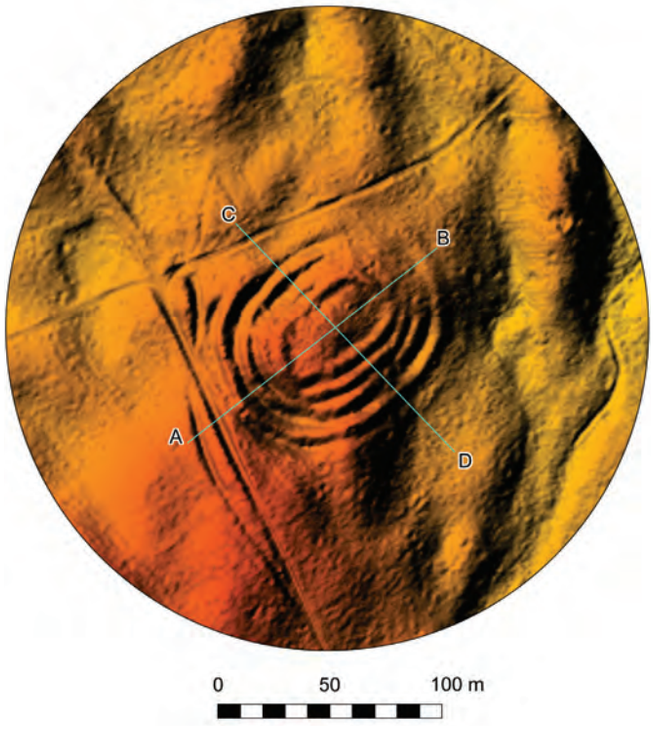

Ryc. 7. Grodzisko w Starym Folwarku, st. 2 na zobrazowaniu ALS (na podstawie materiałów CODGiK, oprac. R. Solecki)

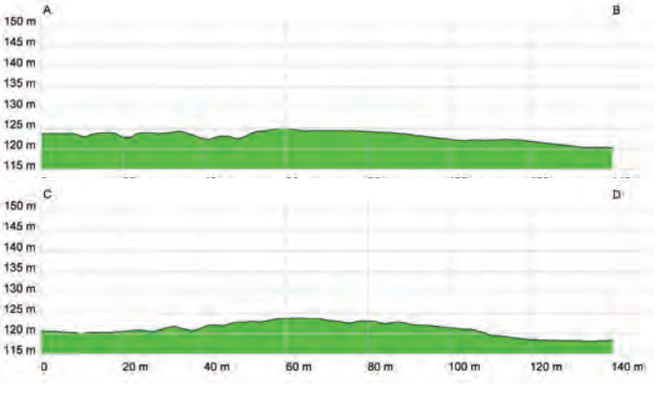

Ryc. 8. Przekrój osi SW–NE grodziska w Starym Folwarku, st. 2 uzyskany z danych ALS (na podstawie materiałów CODGiK, oprac. R. Solecki)

Warstwy naturalne

Nawarstwienia kulturowe związane z zagłębieniem przywałowym grodziska spoczywały na sypkiej piaszczystej, ciemnożółto-pomarańczowej warstwie naturalnej 19, która charakteryzowała się horyzontalnymi wytrąceniami żelazistymi.

Faza I – wczesna epoka żelaza

Faza IA – budowa i użytkowanie grodu (ryc. 14-15)

Warstwa użytkowa, która powstała w czasie budowy grodu składała się z szarej piaszczystej ziemi 7. Zidentyfikowano ją w północnej części wykopu, opadającą na południe. Śladem ukształtowania zagłębienia przywałowego był obiekt 18, który wypełnił się szaro-jasnożółtą piaszczystą ziemią 8. Natomiast w północno-zachodnim narożniku wykopu zidentyfikowano zbitą brązowo-żółtą warstwę użytkową 4=17 o sedymencie piaszczystym.

W zagłębieniu przywałowym u podnóża południowego stoku wstawiono słupy, które chroniły wał przed osuwiskiem. Pozostałością takiego słupa był owalny dół posłupowy 12 o średnicy około 40 cm i głębokości do 30 cm, z wypełniskiem szaro-brązowej piaszczystej ziemi 11, a także śladami spalenizny 16. Widoczny w planie był także owalny dół posłupowy 10 o wymiarach 35 x 45 cm i głębokości 40 cm z wypełniskiem szaro-czarnej piaszczystej ziemia z fragmentami węgli 9. Na stropie tego wypełniska zadokumentowano cztery kamienie o średnicy do 25 cm, które otaczały zapewne słup, stabilizując jego pozycję. Kamienie znajdowały się także wewnątrz wypełniska. Śladem po kolejnym słupie, który być może stanowił element konstrukcji obronnej był owalny dół posłupowy 14 z wypełniskiem jasnożółto-brązowej piaszczystej ziemi 13. Słup o średnicy 40 cm wkopany został do głębokości 1 m w wewnętrzny stok wału grodziska pod kątem; nachylony był w kierunku wału.

Faza IB – zniszczenie grodu

Moment zniszczenia grodu ukazują warstwy destrukcyjne. Z wewnętrznego stoku wału zsunęła się jasnobrązowa warstwa 15, zalegając nad warstwami wypełniska dołu posłupowego w zagłębieniu przywałowym. Na wewnętrznym stoku wału powstała czarno-szara piaszczysta warstwa spalenizny 6, w której znajdowało się skupisko fragmentów ceramiki oraz niewielkie fragmenty węgli. Warstwa zapada się w miejscu słupa (dół posłupowy 14) i stanowi prawdopodobnie relikty konstrukcji obronnej lub drewnianego płotu. Powyżej, w wyniku dalszej destrukcji powstała piaszczysta, sypka jasnoszara warstwa 5, wypełniając zagłębienie po słupie znajdującym się na stoku wału.

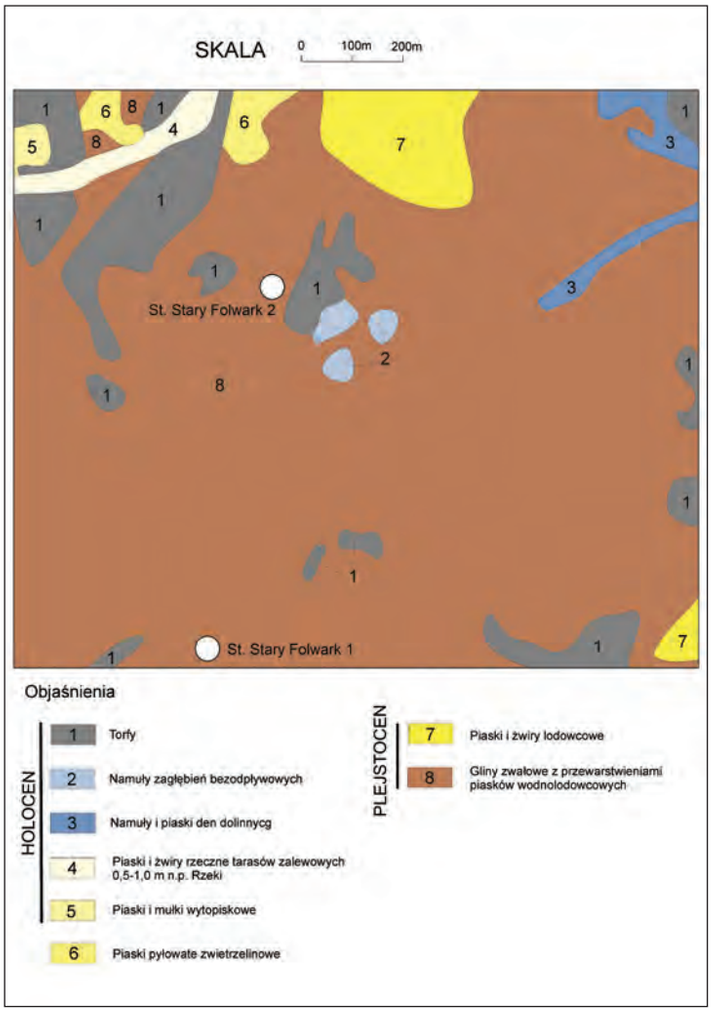

Ryc. 9. Mapa geologiczna okolic grodziska w Starym Folwarku, st. 2 (oprac. J. Nitychoruk i F. Welc)

Faza II – opuszczenie grodziska

W wyniku opuszczenia grodziska zaczęły narastać warstwy erozyjne. Wskutek zsuwów i spływów od strony wału, na obszarze zagłębienia przywałowego powstała piaszczysta, bardzo sypka jednorodna żółta warstwa 3. Kolejnym nawarstwieniem, charakteryzującym się organicznym sedymentem była szara piaszczysta i bardzo sypka warstwa 2, która znajdowała się na powierzchni całego wykopu.

Faza III – współczesność

Współczesny poziom użytkowy na grodzisku stanowi humus ściółkowy 1.

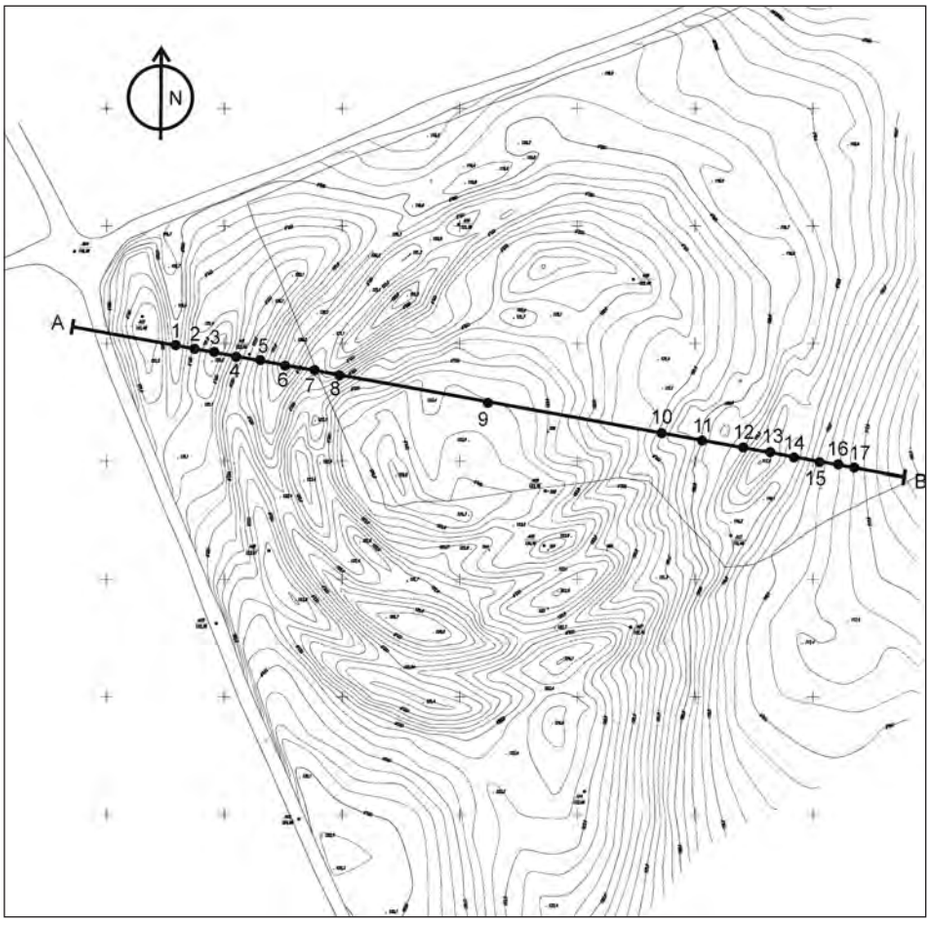

Ryc. 10. Plan warstwicowy grodziska w Starym Folwarku, st. 2 (wyk. J. Błaszczyk) z zaznaczonymi miejscami wierceń geologicznych (oprac. J. Nitychoruk i F. Welc)

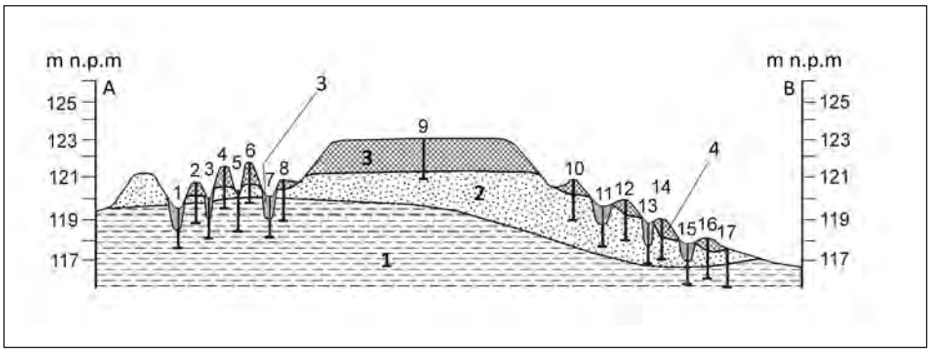

Ryc. 11. Przekrój geologiczny przez grodzisko w Starym Folwarku, st. 2: 1 – mułki, gliny i mułki piaszczyste, 2 – piaski średnio i drobnoziarniste, 3 – wypełniska piaszczysto–organiczne zagłębień między wałami, 4 – nasypy i niwelacje antropogeniczne oraz warstwy kulturowe (oprac. J. Nitychoruk i F. Welc)

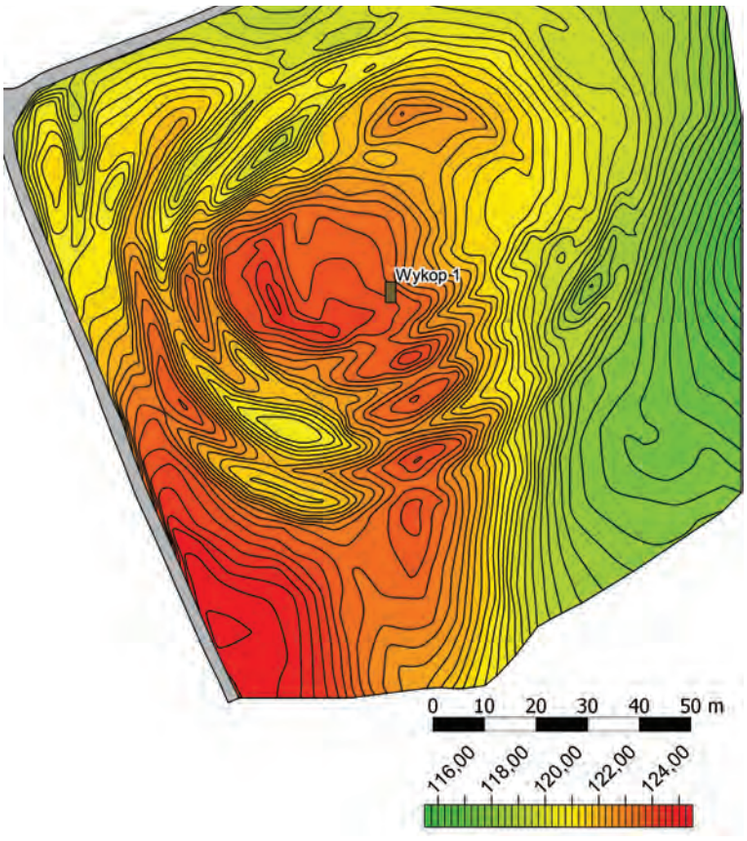

Ryc. 12. Plan sytuacyjno-wysokościowy grodziska w Starym Folwarku, st. 2 z oznaczonym położeniem wykopu badawczego (na podstawie pomiarów J. Błaszczyka, oprac. R. Solecki)

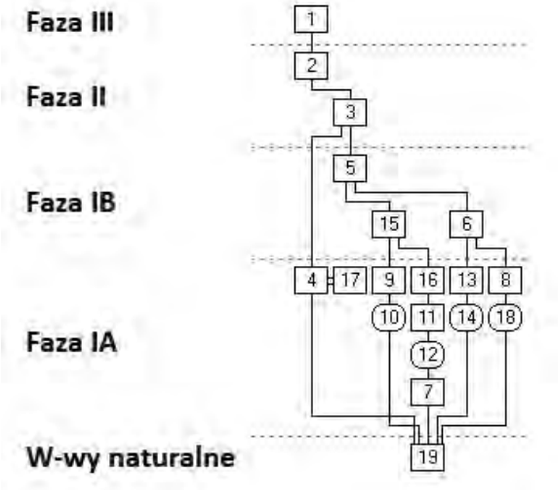

Ryc. 13. Stary Folwark, st. 2. Diagram relacji stratygraficznych (oprac. K. Rabiega)

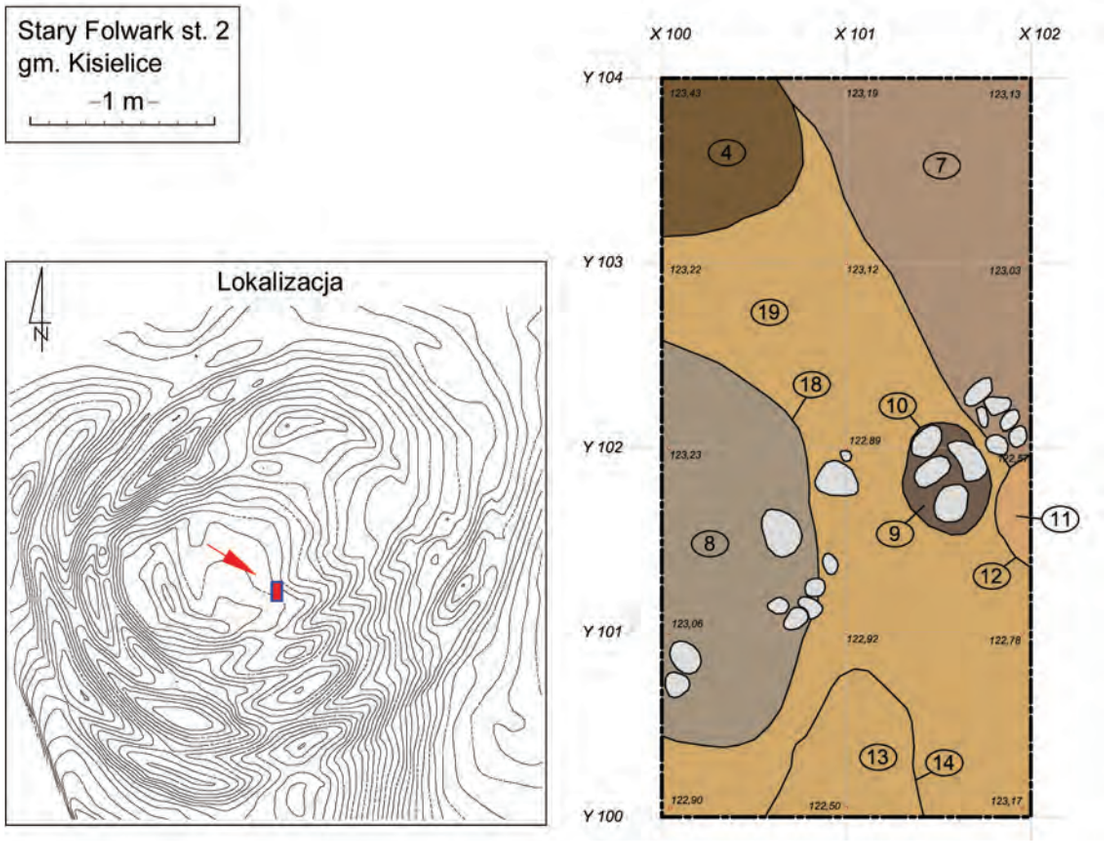

Ryc. 14. Stary Folwark, st. 2. Plan obiektów i nawarstwień Fazy IA (oprac. K. Rabiega i R. Solecki)

Tabela 1. Katalog warstw z opisem poszczególnych jednostek stratygraficznych grodziska w Starym Folwarku, st. 2 (oprac. K. Rabiega)

Numer jednostki	Numer obiektu	Położenie w obrębie stanowiska	Współrzędne siatki pomiarowej stanowiska	Opis jednostki stratygraficznej	Barwa (Munsell)	Pozycja stratygraficzna	
						Znajduje się pod	Znajduje się nad
1	-	Zagłębienie przywałowe S części grodziska	X=100–102; Y=100–104	Piaszczysta warstwa ściółkowa; humus leśny; miąższość do 20 cm	10YR 3/2	-	2
2	-	Zagłębienie przywałowe S części grodziska	X=100–102; Y=100–104	Sypka, piaszczysta, jednorodna ziemia; warstwa erozyjna; miąższość do 30 cm	7,5YR 7/2	1	3, 4
3	-	Zagłębienie przywałowe S części grodziska	X=100–102; Y=100–104	Piaszczysta, bardzo sypka jednorodna ziemia; warstwa erozyjna; miąższość do 25 cm	10YR 7/8	2	4, 5, 7, 8, 18, 19
4=17	-	Majdan grodziska	X=100–101; Y=103–104	Piaszczysta, zbita, plamista ziemia; warstwa użytkowa; miąższość do 44 cm	10YR 4/4	2, 3	19
5	-	Zagłębienie przywałowe S części grodziska	X=100–102; Y=100–102,85	Piaszczysta, sypka ziemia; warstwa erozyjna z wału grodziska; miąższość do 50 cm	10YR 6/2	3	6, 7, 8, 15, 19
6	-	Zagłębienie przywałowe SW części grodziska	X=100–102; Y=100–101,50	Piaszczysta ziemia z wtrętami węgli; zawierająca skupisko ceramiki oraz z niewielkimi wtrętami węgli; warstwa spalenizny; zniszczenia konstrukcji na wale; miąższość do 25 cm	10YR 3/1	5	8, 13, 14, 18, 19
7	-	Zagłębienie przywałowe S części grodziska	X=101=102; Y=101,90–104	Piaszczysta ziemia; warstwa użytkowa; opadająca w S stronę wykopu; miąższość do 25 cm	7,5YR 6/3	3, 5, 12, 15,	19
8	18	Zagłębienie przywałowe S części grodziska	X=100–101; Y=100,45–102,50	Piaszczysta ziamia; wypełnisko zagłębienia przywałowego; miąższość do 45 cm	10YR 6/2	3, 5, 6	18
9	10	Zagłębienie przywałowe S części grodziska	X=101,15–101,50; Y=101,20–101,65	Piaszczysta ziemia z fragmentami węgli; na stropie warstwy znajdowały się kamienie tworzące okrąg; wypełnisko dołu posłupowego 10; wewnątrz wypełniska znajdowały się kamienie; miąższość do 40 cm	7,5YR 4/2	15	10
10	10	Zagłębienie przywałowe S części grodziska	X=101,15–101,50; Y=101,20–101,65	Owalny obiekt z wypełniskiem 9; dół posłupowy; głębokość 40 cm	-	9	19
11	12	Zagłębienie przywałowe S części grodziska	X=101,80–102; Y=101,30–101,90	Piaszczysta ziemia, wypełnisko dołu posłupowego 12; miąższość do 30 cm	7,5 YR 7/6	15, 16	12
12	12	Zagłębienie przywałowe S części grodziska	X=101,80–102; Y=101,30–101,90	Owalny obiekt z wypełniskiem 11; słabo widoczne granice; średnica ok. 40 cm; głębokość 30 cm; dół posłupowy	-	11, 15	7, 19
13	14	Zagłębienie przywałowe S części grodziska	X=100,60–101,25; Y=100–100,30	Piaszczysta ziemia, wypełnisko dołu posłupowego 14, zlokalizowana przy S profilu; miąższość do 70 cm	10YR 7/6	6	14
14	14	Zagłębienie przywałowe S części grodziska	X=100,60–101,25; Y=100–100,30	Obiekt w wypełniskiem 13; średnica 40 cm; głębokość do 1 m, dół posłupowy	-	6, 13	19
15	-	Zagłębienie przywałowe S części grodziska	X=101,50–102; Y=101,20–102,50	Piaszczysto-ilasta ziemia; warstwa osuwiskowa; miąższość do 15 cm	7,5 YR 6/4	5	7, 9, 11, 12, 16, 19
16	12	Zagłębienie przywałowe S części grodziska	X=101,90–102; Y=101,50–101,80	Piaszczysta ciemna ziemia z fragmentami węgli; warstwa spalenizny; górna warstwa wypełniska dołu posłupowego 12; miąższość do 8 cm	10YR 3/2	15	11
18	18	Zagłębienie przywałowe S części grodziska	X=100–101; Y=100,45–102,50	Obiekt z wypełniskiem 8; cięcie zagłębienia przywałowego; głębokość do 45 cm	-	3, 6, 8	19
19	-	Zagłębienie przywałowe S części grodziska	X=100–102; Y=100–104	Piaszczysta, luźna ziamia; warstwa naturalna	10YR 7/6	3, 4, 5, 6, 7, 10, 12, 14, 15, 18	-

ZNALEZISKA

URSZULA KOBYLIŃSKA

Ceramika

Ogólna charakterystyka zbioru

Na terenie grodziska w Starym Folwarku, st. 2 w trakcie badań wykopaliskowych odkryto 112 fragmentów ceramiki, w tym 22 fragmenty z zachowanym wylewem (w tym 1 brzeg ornamentowany), co składa się na 19 naczyń i stanowi odpowiednik 0,87 SEN. W materiale zabytkowym wystąpiło ponadto jedno całkowicie zachowane ucho i 81 fragmentów brzuśców. Na tę liczbę składają się 32 fragmenty o powierzchni zarówno dość mocno jak i delikatnie chropowaconej, 27 fragmentów o powierzchniach gładkich, 8 – o powierzchniach wyświeconych i 5 – o powierzchniach szorstkich z wyczuwalnymi ziarnami. Nieokreślonych brzuśców, bez możliwości opisania rodzaju powierzchni jest w tym zespole zabytkowym 8 fragmentów; 4 fragmenty brzuśców nosiły cechy przepalenia, zaś 20 fragmentów ma cechy wypłukania powierzchni. Zidentyfikowano także 6 części przydennych bez zachowanych den (tab. 2).

Materiał ceramiczny jest dość mocno zniszczony, charakteryzuje się zdartymi i odłupanymi warstwami ścianek, niekiedy jedynie na części zachowanej powierzchni widoczny jest jej pierwotny charakter. Fragmenty ceramiki mają niekiedy wypłukane i zatarte brzegi, co jednak w niektórych przypadkach nie prze-

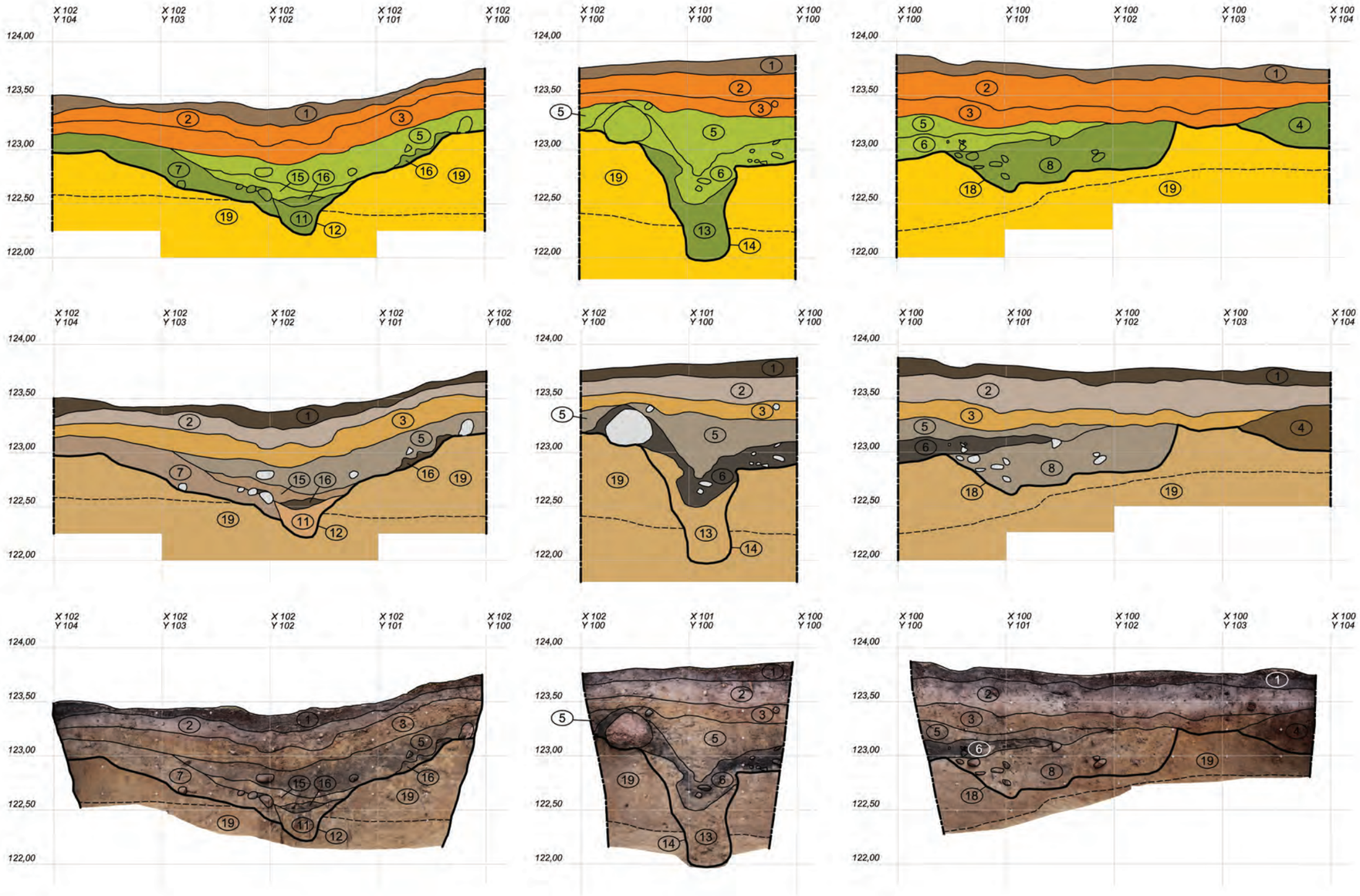

Ryc. 15. Stary Folwark, st. 2. Ściany wykopu (oprac. K. Rabiega i R. Solecki)

Tabela 2. Zestawienie ilościowe fragmentów ceramiki z grodziska w Starym Folwarku, st. 2 (oprac. U. Kobylińska)

Jednostka stratygraficzna	Liczba fragmentów łącznie	Liczba różnych naczyń	Wylewy			Szyjki	Brzuśce							Ucha	Części przydenne	Fragmenty przepalone	Fragmenty o wypłukanej powierzchni
			Liczba fragmentów	SEN (procent obwodu)	Ornamentowane		Liczba fr. ogółem	Rodzaj powierzchni					Ornamentowane				
								Chropowacone	Gładkie	Wyświecane	Szorstkie	Nieokreślone					
1	6						1		1					1	4		
2	6	1	1	10			5	3	1			1					2
3	16	5	5	23	1		10	4	4	2					1		
4	6	1	1	3			5		1	2		1				1	
5	1						1					1					1
6	44	6	7	25		1	36	19	10	2	1	4	5			2	16
7	15	3	5	17		1	9	1	6	1		1				1	1
8	15	3	3	9			11	4	2	1	4				1		
11	1						1	1									
13	2						2		2								
SUMA	**112**	**19**	**22**	**87**	**1**	**2**	**81**	**32**	**27**	**8**	**5**	**8**	**5**	**1**	**6**	**4**	**20**

Tabela 3. Fragmentacja i erozja fragmentów ceramiki z grodziska w Starym Folwarku, st. 2 (oprac. U. Kobylińska)

Jedn. strat.	Kategorie wielkościowe [cm]											Stopień erozji				SUMA
	1	2	3	4	5	6	7	8	9	10	11	0	I	II	III	
1			5	1									5	1		6
2		1	1	1	2	1							1	4	1	6
3		2	5	4	2	3							13	3		16
4			2	1		2			1				4		2	6
5								1						1		1
6			7	12	7	9	3	2	2		2		16	20	8	44
7		2	4	5	1	2				1			11	3	1	15
8				2	5	4	2	1	1				9	6		15
11			1											1		1
13			1			1							2			2
SUMA		**5**	**26**	**26**	**17**	**22**	**5**	**4**	**4**	**1**	**2**		**61**	**39**	**12**	**112**

szkodziło w pracach rekonstrukcyjnych i w połączeniu kilku fragmentów z jednego naczynia. Materiał jest mocno rozdrobniony; głównie są to ułamki o wielkości 3 i 4 cm, stanowiące ponad połowę znalezionych fragmentów (tab. 3). Pozostała część fragmentów to większe i sporadycznie duże ułamki ceramiki, w większości przypadków dobrze zachowane, które reprezentują I i II kategorię erozji[2]. Znaczna część drobnego materiału ceramicznego nie przynosi informacji o formie naczynia. Jednak część drobnych fragmentów zostało poddanych rekonstrukcji i częściowo zostały odtworzone niewielkie partie niektórych form naczyń.

Formy naczyń

Materiał ceramiczny odkryty w nawarstwieniach grodziska ma cechy charakterystyczne dla wczesnej epoki żelaza. Zidentyfikowanymi formami naczyń są wygładzane garnki esowate i baniaste z zaokrąglonym brzegiem, czerpaki, misy i miseczki, ozdobne naczynie wazowate z długą szyjką, naczynia z szyjką i ze ściętym brzegiem, płaskie talerze do przykrywania naczyń, oraz niewielka liczba garnków z pogrubionym brzegiem i chropowaconą powierzchnią zewnętrzną.

Naczynia o powierzchni gładkiej

Fragmenty ceramiki zaliczone do tej grupy technologicznej mają powierzchnię wyświeconą lub mocno wypolerowaną, choć na dużej części z nich widoczne są ślady zniszczeń, spłukania lub zdarcia wynikłe z procesów podepozycyjnych.

Większe fragmenty i zrekonstruowane części naczyń ze Starego Folwarku, st. 2 można podzielić na kilka grup ze względu na rodzaj powierzchni, ukształtowanie wylewu oraz profil ścianki naczyń.

Jedną z form reprezentowanych w tym zespole zabytkowym są garnki średniej wielkości z zaokrąglonym brzegiem, o średnicach wylewu wynoszących ok. 15–16 cm (tabl. 2:6–9). Są to naczynia esowate i baniaste o powierzchni gładkiej, a w górnych partiach również wypolerowanej lub nawet wyświeconej, barwy w różnych odcieniach brązu (5YR 6/6) lub czarnej (2,5YR 2,5/1).

[2] Wg klasyfikacji zaproponowanej przez Buko 1990a.

W zestawie naczyń gładkich zidentyfikowano także naczynie wazowate ze ściętym brzegiem, o średnicy wylewu wynoszącej ok. 16 cm, z dłuższą szyjką, z ornamentem owalnych wgłębień na krawędzi mocno uwydatniającego się baniastego brzuśca (tabl. 1:4–5). W górnej części tego naczynia jego powierzchnia wykazuje ślady wyrównania za pomocą powleczenia ścianki cienką warstewką tłustej glinki wyrównującej.

Dwa fragmenty należały do grubościennego naczynia ze ściętym brzegiem (tabl. 2:2) o powierzchni gładką, matowej, pylastej. Naczynie to wykonane zostało z masy ceramicznej piaszczystej z małą ilością domieszki, niedbale, z nierównościami na wewnętrznej powierzchni.

Odkryto także dwie duże rozłożyste misy (tabl. 1:2; 2:10), barwy brązowo-rudej (5YR 5/6, 6/6); głęboka misa o zachylonym brzegu, ma powierzchnię z obu stron wyświeconą powleczonej glinką barwy czarnej.

W zestawie naczyń z omawianego stanowiska zidentyfikowano także fragment górnej części czerpaka z wylewem o średnicy ok. 18 cm, o powierzchni wypolerowanej, barwy beżowej (5YR 6/4), z zachowanym śladem po odłamanym uchu. Czerpak ma lekko wychylony spłaszczony wylew, a duże ucho przyklejone do ścianki wychodziło wysoko ponad krawędź wylewu (tabl. 1:3). Ślad po odłamanym uchu nosiło także inne małe naczynie o powierzchni wyświeconej, barwy czarno-brązowej, zachowane w postaci niewielkiego fragmentu wylewu i brzuśca, bez możliwości określenia średnicy wylewu. Znaleziono też małe, szerokości 2 cm, wałeczkowate ucho, ze śladami odlepienia od ścianki brązowego, zagładzanego i mocno zniszczonego naczynka.

Zestaw form naczyń użytkowanych na tym stanowisku obejmował także talerze: wyklejono mianowicie część talerza płaskiego (tabl. 2:1), o średnicy ok. 14 cm, o powierzchni wypolerowanej, matowej, barwy beżowej z obu stron.

Inną znalezioną formą było grubościenne masywne naczynie zrekonstruowane z zachowanych siedmiu fragmentów, o powierzchni gładkiej, barwy beżowej (2,5YR 7/4), z wywierconymi dużymi otworami o średnicy 0,8–1,6 cm. Brzeg naczynia nie zachował się, a otwory umiejscowione zostały w górnej części baniastego brzuśca (tabl. 1:1).

Ceramika o powierzchni chropowaconej

Grupa ceramiki o powierzchni chropowaconej, oprócz 32 fragmentów brzuśców, jest reprezentowana przez dwa fragmenty z zachowanym pogrubionym wylewem. Jedno z naczyń miało ozdabiany owalnymi wgłębieniami brzeg (tabl. 2:5). Brzegi tych naczyń są pogrubione, owalne, gładkie, zaś chropowacenie w postaci nierówności i zmarszczeń gliny zaczyna się tuż poniżej gładkiego wylewu. Naczynia te charakteryzowały się gładkimi i wyświeconymi, przeważnie czarnymi powierzchniami wewnętrznymi. Znaczna część fragmentów pochodzi z dużych naczyń o słabo wysklepionych brzuścach. Masywne, workowate garnki charakteryzują się mocnymi zgrubieniami gliny formującymi pasma, smugi lub bruzdy z ziarnami o zróżnicowanej granulacji na powierzchni zewnętrznej, rzadziej o drobnych, nieregularnych zmarszczkach glinki chropowacenia, ornamentowane plastycznymi listwami (tabl. 2:4).

Ornamentyka

Nieliczny zestaw ceramiki pozyskanej w trakcie wykopalisk dostarcza też niewielu informacji o ornamentowaniu powierzchni naczyń. Na jednym z naczyń baniastych są to niewielkie wgłębienia palcowe (tabl. 1:5), na innym małe owalne nakłucia ułożone w rzędzie zachowane śladowo (tabl. 2:3).

Cechy technologiczne

Naczynia z grodziska w Starym Folwarku, st. 2 wykazują ślady świadczące o ręcznym formowaniu. Obserwacja większych fragmentów pozwala wnioskować, że wykonane zostały one techniką lepienia z wałków gliny, czego dowodem są nieliczne ślady połączeń kolejnych wałków, widoczne w formie zgrubień czy sfałdowania wewnętrznych powierzchni naczyń, głównie grubościennych garnków o powierzchni chropowaconej. Zaobserwowana szerokość wałków waha się między 1,5 a 2 cm. Widoczne ślady zlepień i szpary w górnej partii naczynia świadczyć mogą także o sposobach formowania brzegu. Pogrubiony brzeg formowano najprawdopodobniej poprzez dolepienie od wewnątrz do ścianki naczynia kolejnego wałka gliny, a widoczna czasami szpara w wylewie jest świadectwem zawijania ostatniego wałka gliny na zewnętrzną stronę ścianki.

Naczynia wyrabiano z masy ceramicznej zawierającej dużą ilość domieszki o ziarnach o zróżnicowanej granulacji oraz mikę. Widoczne makroskopowo ziarna domieszki wykazują nierówne rozmieszczenie w przełamie. Niezależnie od wielkości i rodzaju naczynia, domieszka zawierała zarówno ziarna białe, jak i kolorowe (skaleń i ziarna różowe – tłuczeń granitowy), w różnym stopniu obtoczenia: okrągłe ziarna piasku i kanciaste okruchy tłucznia granitowego.

Zewnętrzne i wewnętrzne powierzchnie ścianek naczyń były albo w różnym stopniu wygładzane albo chropowacone. W zabytkowym materiale ceramicznym ze Starego Folwarku, st. 2 większość ceramiki ma zewnętrzne powierzchnie w różnym stopniu gładzone, a nawet wyświecane (35 fragmentów), barwy głównie rudo-brązowej i czarnej. Wnętrza naczyń esowatych i baniastych są na ogół gładzone znacznie mniej starannie niż powierzchnie zewnętrzne. Natomiast misy są szczególnie starannie wypolerowane od wewnątrz. Naczynie (tabl. 2:8) o wyświeconym wylewie i wypolerowanej górnej części pod wylewem

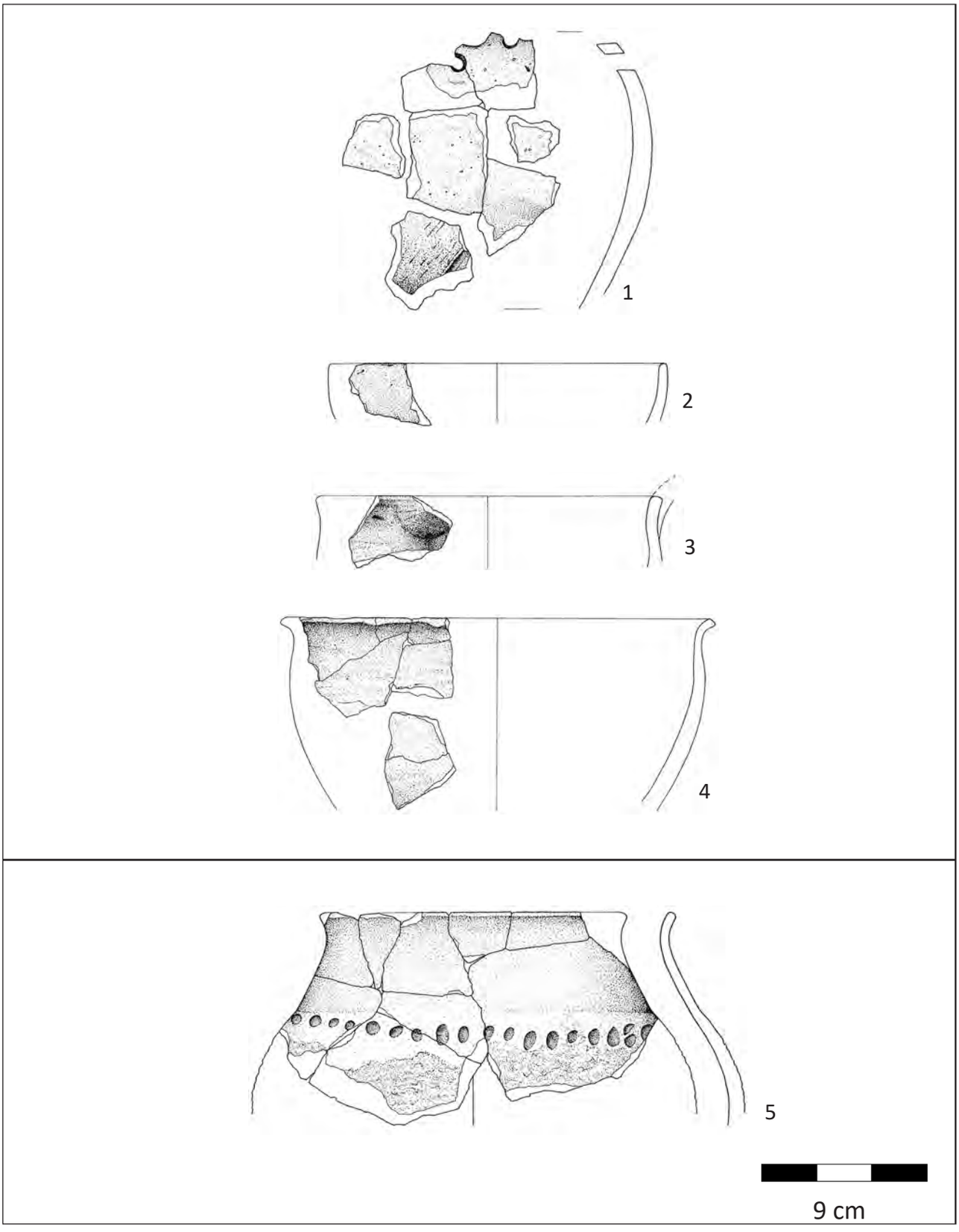

Tablica 1. Stary Folwark, st. 2. Ceramika z nawarstwień faz IA (1–4) i IB (5) (rys. A. Kucharska-Wach)

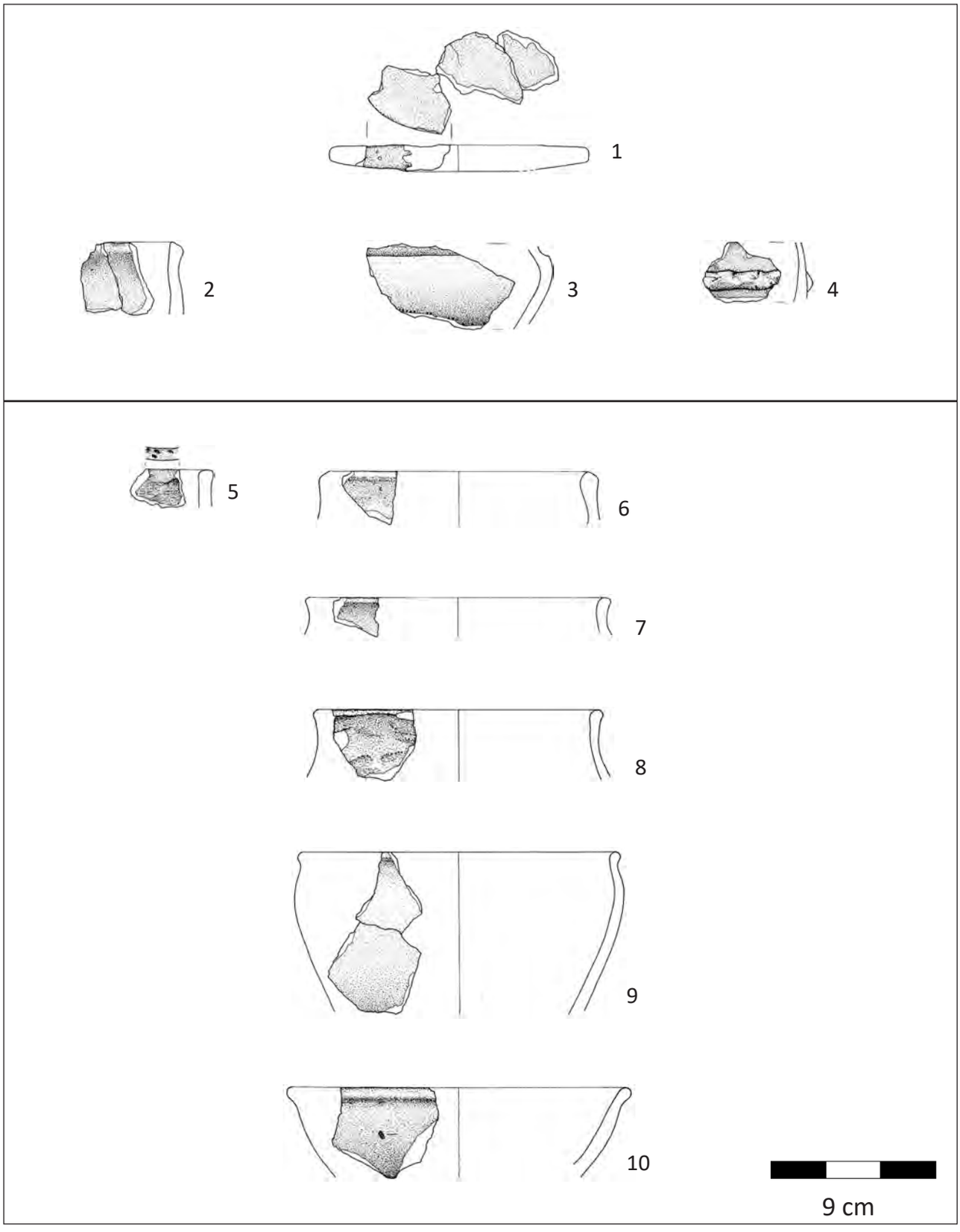

Tablica 2. Stary Folwark, st. 2. Ceramika z nawarstwień faz IA (1–4) i IB (5–10) (rys. A. Kucharska-Wach)

z obu stron ma niewielkie, nierówne wgłębienia na powierzchni. Są to ślady po formowaniu powierzchni narzędziem. Fragmenty naczyń o zewnętrznej powierzchni chropowaconej, barwy ceglasto-brązowej, niekiedy ze śladami okopceń, mają wnętrza wypolerowane, przeważnie czarne. W procesie polerowania powierzchni naczyń wykorzystywano narzędzia, takie jak gładziki kamienne, rogowe, kościane lub drewniane. Polerowanie polegało na nadaniu naczyniu lśniącej, gładkiej powierzchni; zabieg ten wykonywano suchym twardym przedmiotem na uprzednio podsuszonym naczyniu, w wyniku czego otrzymywano idealnie równą, gładką i lśniącą powierzchnię. W zależności od grubości warstwy tłustej glinki pokrywającej ściankę wewnętrzną, naczynia te były także bardziej szczelne, mogły więc wydajniej służyć do przechowywania i gotowania produktów.

Chropowacenie natomiast, to zabieg polegający na pokrywaniu zewnętrznej powierzchni, również uprzednio wygładzonego i podsuszonego naczynia roztworem glinki o różnej gęstości, zmieszanej z domieszką ziaren o różnej granulacji. W omawianym materiale naczynia pokrywano najczęściej warstwą chropowacenia o grubości ok. 2 mm. Do zaobserwowanych i najczęściej wykorzystywanych w tym procesie technik należą, obrzucanie powierzchni naczynia rzadkim roztworem glinki i rozprowadzenie go zapewne szmatką, co dawało efekt nieregularnych, drobnych grudek na powierzchni oraz nanoszenie gęstego roztworu palcami, bądź narzędziami pozostawiającymi poziome, pionowe lub ukośne bruzdy, dające efekt mocnego chropowacenia z mocno wystającymi zgrubieniami gliny.

Analogie

Pozyskany w czasie badań grodziska w Starym Folwarku, st. 2 nieliczny zestaw form ceramiki wydaje się być analogiczny do ceramiki z badanego również w ramach tego samego projektu pobliskiego grodziska w Starym Folwarku, st. 1, głównie jeśli chodzi o formy mis z wydzielającym się wylewem, garnki chropowacone, a także ze względu na występowanie analogicznej ornamentyki. Kształt naczyń oraz rodzaj chropowacenia podobny jest także do materiału zabytkowego z badanego również w ramach projektu grodziska w Wieprzu, st. 20[3].

[3] Por. w niniejszej publikacji opracowania ceramiki z grodzisk w Starym Folwarku, st. 1 i Wieprzu, st. 20.

CHRONOLOGIA STANOWISKA

URSZULA KOBYLIŃSKA

Ze względu na charakterystyczny zestaw ceramiki i analogie z innych stanowisk osadniczych i cmentarzysk grodzisko w Starym Folwarku, st. 2 należy datować na wczesną epokę żelaza, a dokładniej na IV–III w. p.n.e. i wiązać z II fazą kultury kurhanów zachodniobałtyjskich z okresu lateńskiego B–C.

Te ustalenia chronologiczne potwierdza również datowanie radiowęglowe węgli drzewnych pobranych z warstwy destrukcyjnej 6, która prawdopodobnie jest pozostałością po konstrukcji obronnej lub drewnianym ogrodzeniu. Wynik datowania wynosi 2240 ± 30 BP, co w datach kalibrowanych z prawdopodobieństwem 70,4% wyznacza przedział 323–205 r. p.n.e. (390–345 r. p.n.e. z prawdopodobieństwem 25%)[4].

DZIEJE GRODZISKA W STARYM FOLWARKU, ST. 2

KAMIL RABIEGA I MAGDALENA RUTYNA

Grodzisko w Starym Folwarku, st. 2, posiada wyraźną i dobrze zachowaną formę terenową w postaci czterech wałów i fos otaczających owalny majdan. Badania wykopaliskowe dostarczyły informacji o jego chronologii, którą wiązać należy z wczesną epoką żelaza. Powstało wówczas zagłębienie przywałowe i wał, który zabezpieczony był pewnego rodzaju konstrukcją drewnianą, której śladami są doły posłupowe i spalone drewniane elementy horyzontalne. Wyniki datowania radiowęglowego wskazują, że grodzisko zostało zniszczone w IV–III w. p.n.e. i nie było później używane. Specyficzna forma niewielkiego majdanu otoczonego kilkoma koncentrycznymi wałami i fosami wykazuje podobieństwo do innych grodzisk z wczesnej epoki żelaza, badanych w zachodniej części województwa warmińsko-mazurskiego w ramach projektu *Katalog grodzisk Warmii i Mazur*, a zwłaszcza do pobliskiego grodziska w Starym Folwarku, st. 1, a także grodzisk w Wieprzu, st. 20, gm. Zalewo i Tątławkach, st. 2, gm. Morąg[5].

[4] Kobyliński 2016: 107.

[5] Por. opracowania wykoników badań tych grodzisk w niniejszej publikacji.

Trupel, st. 4

Gmina Kisielice

Powiat iławski

AZP 28-50/141

Współrzędne geograficzne:

N 53° 33’ 35,43’’

E 19° 20’ 32,87’’

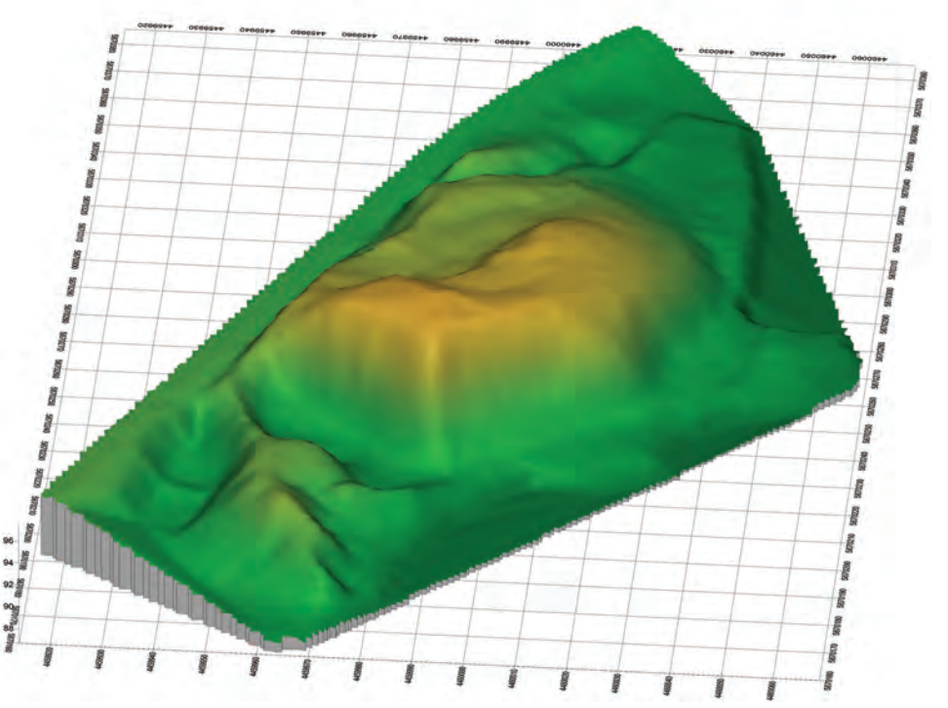

Ryc. 1. Grodzisko w Truplu, st. 4 na mapie w skali 1:25 000 (na podstawie materiałów CODGiK, oprac. R. Solecki)

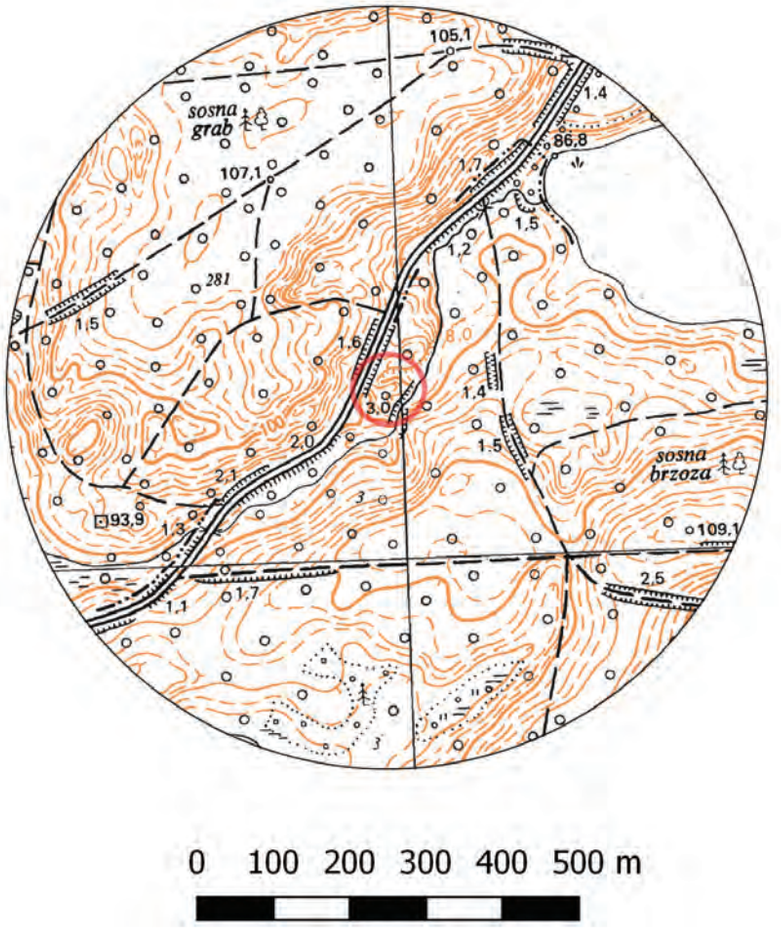

Ryc. 2. Grodzisko w Truplu, st. 4 na mapie w skali 1:10 000 (na podstawie materiałów CODGiK, oprac. R. Solecki)

POŁOŻENIE GRODZISKA I JEGO FORMA

RAFAŁ SOLECKI I JACEK WYSOCKI

Stanowisko znajduje się przy północno-zachodnim krańcu Jeziora Trupel, w odległości około 200 m od niego. Położone jest nad niewielkim strumieniem Nidą lub Nidką (*Neida*)[1], płynącym na wysokości stanowiska w głębokim jarze ku północy i wpadającym do jeziora od zachodu (ryc. 1–2). Poziom lustra wody w strumieniu na wysokości grodziska ma około 87,3–87,9 m n.p.m. Aktualnie obszar stanowiska znajduje się między jarem strumienia na wschodzie, a drogą asfaltową z miejscowości Trupel do Piotrowic Małych na zachodzie. Teren cypla wysoczyzny, na którym znajduje się stanowisko, został w znacznym stopniu przekształcony i zniszczony na skutek prac ziemnych, w tym przez pobieranie piasku, prawdopodobnie właśnie w trakcie budowy drogi, co miało miejsce w końcu XIX i w XX w. Wskutek tych prac teren ten został na tyle zniszczony, że grodzisko zachowało się prawdopodobnie jedynie fragmentarycznie, w części południowej i zachodniej cypla (ryc. 3).

Obszar majdanu, zamknięty pomiędzy linią drogi, a krawędzią wysoczyzny, ma powierzchnię około 46 arów. Jest ona nieregularna, wyraźnie pofałdowana i lekko opada w kierunku północnym. Najwyższy punkt w części północnej osiąga poziom około 98,2 m n.p.m., a w części południowej około 93,3 m n.p.m. Stoki od strony południowej i południowo-wschodniej są wyraźnie zarysowane. Kąt nachylenia wynosi około 35°, a wysokość dochodzi do 9 m. W części wschodniej i północno-wschodniej krawędzie stają się coraz bardziej łagodne, by w części północnej w zasadzie zaniknąć (ryc. 4–5).

Bezpośrednio na południe od cypla, na którym miało znajdować się grodzisko, znajduje się liniowy nasyp długości około 26 m, wysokości około 4 m, szeroki u podstawy na około 11 m, a przy szczycie szeroki na około 4 m. Łączy on południowo-zachodnią część cypla z ziemną platformą o powierzchni około 6 arów, której wysokość dochodzi do 4 m ponad otaczający ją obszar i około 5 m ponad poziom lustra wody w strumieniu. Wał ten i platforma zwężają dolinę strumienia do około 15 m, podczas gdy na tym odcinku ma ona od 35 do nawet 50 m.

ŚRODOWISKO FIZYCZNO-GEOGRAFICZNE

JERZY NITYCHORUK I FABIAN WELC

Grodzisko w Truplu położone jest na wzgórzu otoczonym od wschodu głęboką doliną rzeczną, od południa głębokim na 4 m rozcięciem erozyjnym. Od zachodu i północy pierwotna sytuacja morfologiczna jest trudna do zrekonstruowania z powodu znaczących przekształceń powstałych przy budowie drogi.

Według *Szczegółowej mapy geologicznej Polski*[2] opisywany obiekt leży w obrębie piasków i żwirów wodnolodowcowych, w których sąsiedztwie występują piaski akumulacji szczelinowej ze stadiału górnego zlodowacenia Wisły (ryc. 6). Jednak morfologia wzgórka i budowa geologiczna, na którą się składa piasek drobnoziarnisty, barwy żółtobrązowej wskazuje, że opisywana forma jest kemem. Otoczenie obiektu jest pokryte lasem wyrosłym na słabych glebach V i VI klasy, które rozwinęły się na podłożu piaszczystym.

W wierceniu T-3, T-5, T-6 stwierdzono warstwę maksymalnie o 0,9 m miąższości, na którą składają się piasek z humusem, fragmentami cegieł i węgli drzewnych, czyli typową warstwę kulturową. Wymienione wiercenia usytuowane były na obrzeżach pagórka, czyli w miejscu które nie podlegało niszczeniu w trakcie budowy drogi. Duża część, głównie zachodniej i centralnej części stanowiska, została usunięta. W wierceniu T-1, które usytuowano na szczycie domniemanego wału, stwierdzono warstwę piasków kemowych na głębokości od 0,2 m, w której brak jest śladów ingerencji ludzkiej, co pokazuje, że forma ta jest naturalnym fragmentem kemu, który prawdopodobnie naturalnie został rozcięty. Dowodem na to jest nawiercony w wierceniu T-2 mułek piaszczysty barwy szaro–brązowej z przewarstwieniami orsztynu, nieco ilasty nie zawierający śladów działań ludzkich. Na głębokości ok. 1 m stwierdzono zwierciadło wód gruntowych (ryc. 7–8).

[1] Leyding 1972: 45.

[2] *Szczegółowa mapa geologiczna Polski w skali 1:50 000, ark. Kisielice*: Uniejewska 2003.

Ryc. 3. Grodzisko w Truplu, st. 4, widok od strony południowo-zachodniej (fot. J. Wysocki)

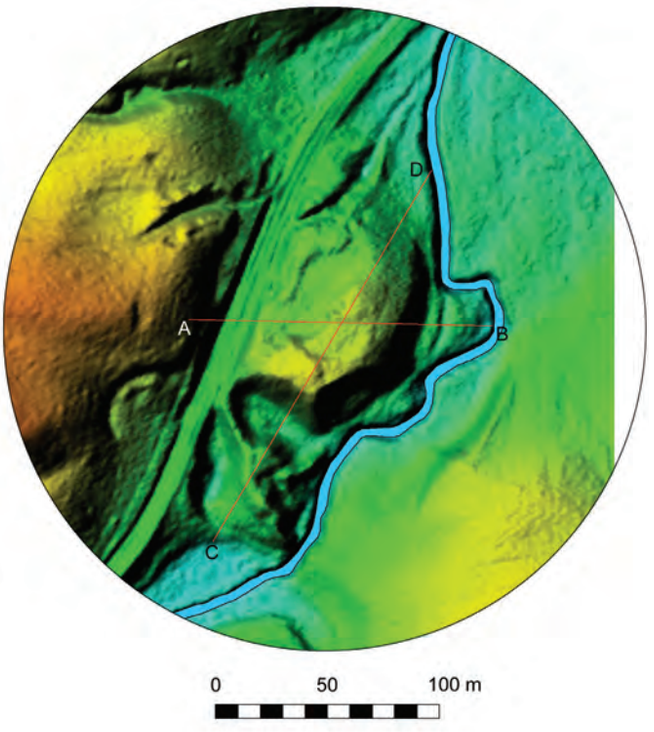

Ryc. 4. Grodzisko w Truplu, st. 4 na zobrazowaniu ALS (na podstawie materiałów CODGiK, oprac. R. Solecki)

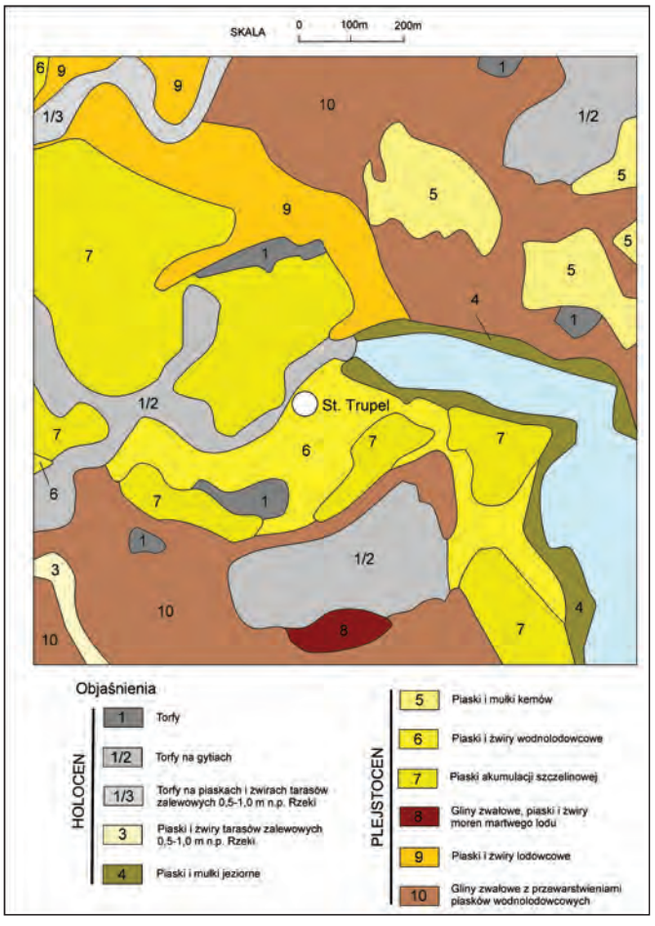

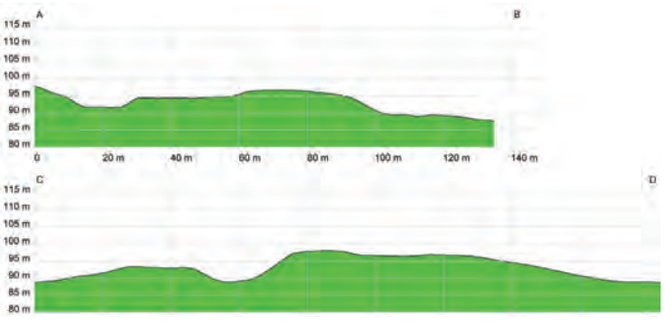

Ryc. 5. Przekrój grodziska w Truplu, st. 4 po osi wschód-zachód (AB) i północ-południe (CD) uzyskany z danych ALS (na podstawie materiałów CODGiK, oprac. R. Solecki)

BADANIA ARCHEOLOGICZNE

RAFAŁ SOLECKI I JACEK WYSOCKI

Przebieg badań terenowych

Pierwsza znana wzmianka o stanowisku nieopodal Trupla pochodzi z pracy Hansa Cromego z 1937 roku[3], który informuje że w odległości 1 km na południowy zachód od Trupla (*Traupel*) znajduje się *Der Mühlberg*. Stanowisko to zostało powtórnie zlokalizowane w 1994 r. przez Marka Jagodzińskiego w trakcie badań AZP.

Obserwacja morfologii stanowiska zasugerowała, by wykopy badawcze zostały umieszczone w południowo-zachodniej jego części, przy krawędzi jaru, gdzie – jak sądzono – zachowały się relikty wałów obronnych obiektu oraz inne ślady osadnictwa.

W trakcie badań archeologicznych przeprowadzonych w ramach realizacji projektu *Katalog grodzisk Warmii i Mazur* w 2013 roku założono pięć wykopów badawczych (W1, W1A, W2, W3, W4) o łącznej powierzchni 57,15 m^2. Wykop 1 (W1), o wymiarach 2 x 7 m, został wytyczony na osi zbliżonej do linii północ-południe od krawędzi jaru w kierunku wnętrza obiektu. Spodziewano się odnaleźć w nim pozostałości ewentualnego wału obronnego, na co wskazywało ukształtowanie terenu. Kolejne trzy wykopy: W2 o wymiarach 2 x 7 m, W3 o wymiarach 2 x 6 m i W4 o wymiarach 1 x 6 m, zorientowano po linii wyznaczonej pod kątem 45° w stosunku do osi wykopu 1, w celu uzyskania przekroju przez domniemany majdan obiektu oraz zidentyfikowania miejsca, od którego zaczynają się zniszczenia spowodowane przez wybierzysko piasku. W rezultacie uzyskano przekrój o długości 19 metrów, w którym widoczne są zarówno nawarstwienia kulturowe, jak też wyraźnie można określić miejsce, od którego teren jest już zniszczony. Przestrzeń między wykopami 1 i 2 oznaczono jako wy-

[3] Crome 1937: 123.

Ryc. 6. Mapa geologiczna okolic grodziska w Truplu, st. 4 (oprac. J. Nitychoruk i F. Welc)

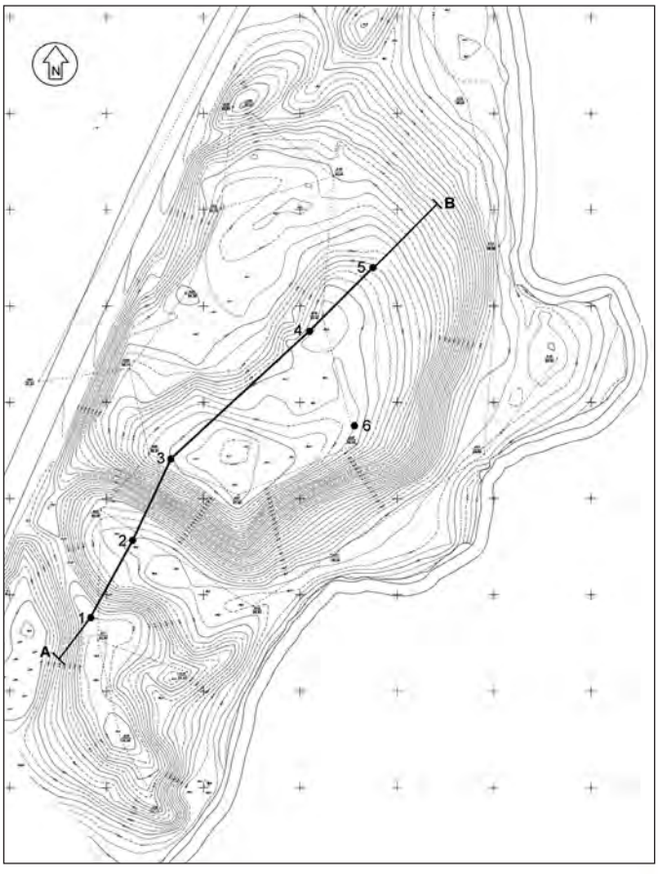

Ryc. 7. Plan warstwicowy grodziska w Truplu, st. 4 (wyk. J. Błaszczyk) z oznaczeniem miejsc wierceń geologicznych (oprac. J. Nitychoruk i F. Welc)

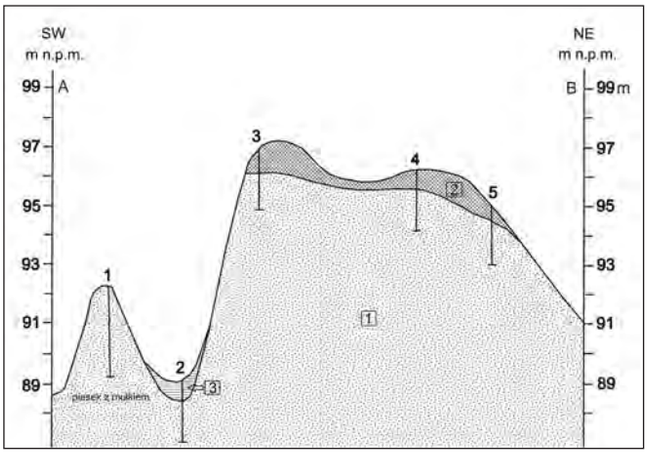

Ryc. 8. Przekrój geologiczny przez grodzisko w Truplu, st. 4**:** 1 – piasek drobnoziarnisty (kemowy), 2 – warstwa archeologiczna, 3 – mułek ilasty (oprac. J. Nitychoruk i F. Welc)

kop 1A, stanowiący poszerzenie wykopu 1. Wykonanie poszerzenia było konieczne ze względu na odnalezione w wykopie 1 relikty obiektu archeologicznego, które kontynuowały się w kierunku wykopu 2. Wykop 1 miał po powiększeniu powierzchnię 25,15 m^2 (ryc. 9).

Stratygrafia stanowiska

W trakcie obecnych badań archeologicznych wydzielono łącznie 45 jednostek stratygraficznych, które podzielono na cztery główne fazy związane z użytkowaniem tego obszaru (tab. 1 i ryc. 10).

Warstwy naturalne

W trakcie badań jako warstwę naturalną zidentyfikowano jednostkę 5, która jest sypkim piaskiem. Strop calca w obrębie wykopu 1 znajduje się na poziomie około 95,6 m n.p.m. i opada w kierunku północnym, tak by w wykopie 4 osiągnąć poziom około 93,5 m n.p.m. W trakcie badań nie natrafiono w żadnym miejscu na ślady pierwotnego humusu, a granica pomiędzy calcem, a jednostkami znajdującymi się

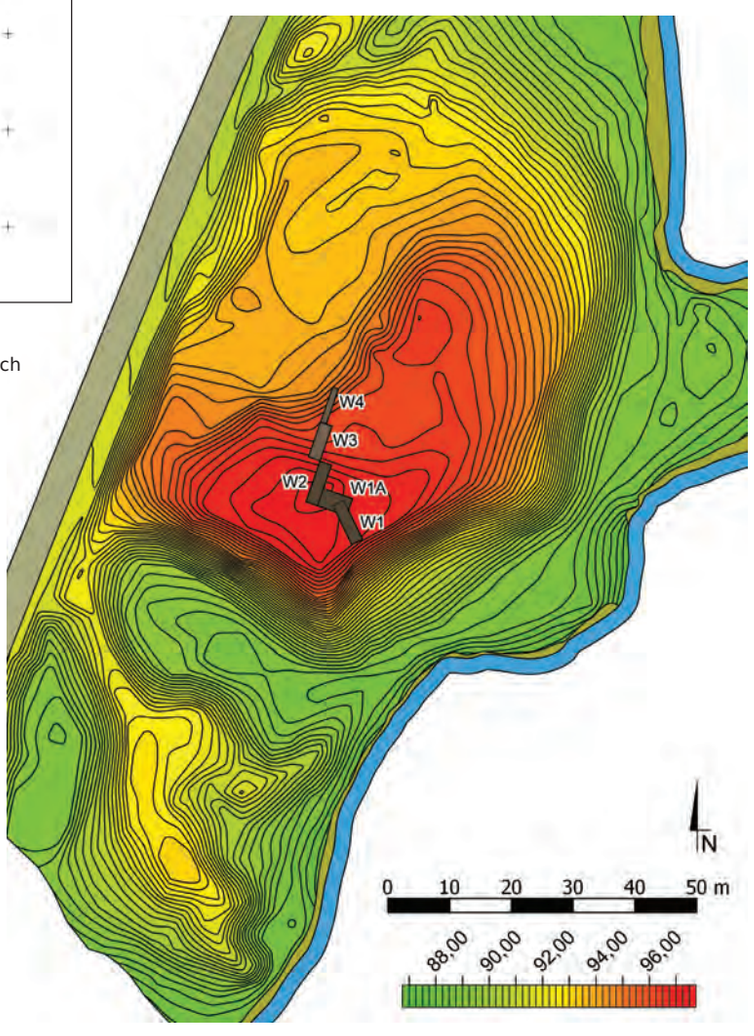

Ryc. 9. Plan warstwicowy grodziska w Truplu, st. 4 z zaznaczonymi wykopami badawczymi z sezonu 2013 (na podstawie pomiarów J. Błaszczyka, oprac. R. Solecki)

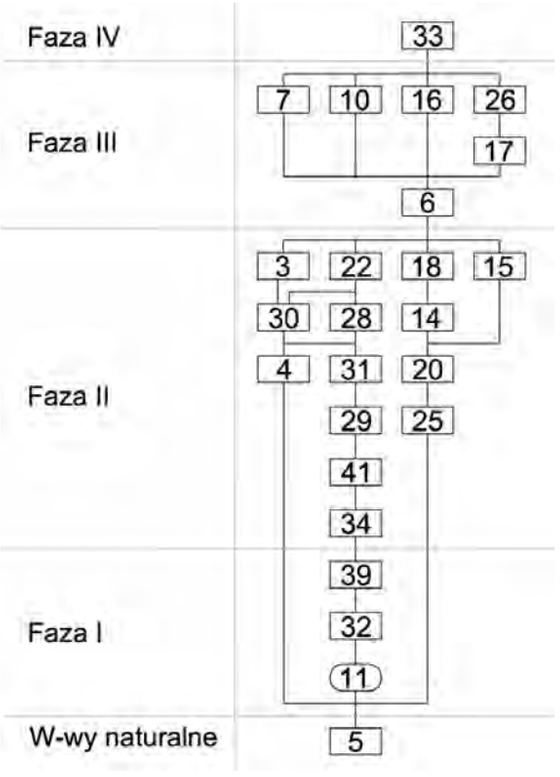

Ryc. 10. Trupel, st. 4. Diagram relacji stratygraficznych (oprac. R. Solecki)

bezpośrednio powyżej jest ostra. Fakt ten może sugerować, że obszar stanowiska był poddany silnej niwelacji, która zniosła poziomy kulturowe, aż do stropu warstw naturalnych.

Faza I

Najstarsza wydzielona faza reprezentowana jest przez trzy jednostki, które należy wiązać z budową piwniczki i prawdopodobnie budynku, który znajdował się ponad nią (ryc. 11–12). Pierwsza z nich to szerokopłaszczynowy wkop budowlany 11 (W1), którego rozpoznane wymiary to długość 6,8 m, szerokość 2,8 m i głębokość około 1,1 m. Ściany wkopu są nachylone pod kątem około 53°, co jest zapewne wynikiem kopania w sypkim podłożu. Dno wkopu jest płaskie i znajduje się na poziomie około 94,5 m n.p.m. Bezpośrednio na dnie wkopu zdeponowane zostały warstwy gliny przemieszanej z polepą i węgielkami 32 (W1) oraz przemieszanej, niejednorodnej gliny 39 (W1), których łączna miąższość wynosi około 25 cm. Warstwy te są najpewniej klepiskiem wyznaczającym zasięg podłogi w obrębie piwniczki.

Faza II

Kolejny horyzont chronologiczny wiąże się z pożarem budynku ponad piwniczką z wkopu 11 (W1). Pożar doprowadził do zawalenia się budynku. Brak jest śladów odbudowy, a wręcz przeciwnie – zidentyfikowano dużą ilość popiołów, węgli drzewnych i polepy zalegających bezpośrednio ponad warstwami naturalnymi, nawet w bezpośredniej bliskości piwniczki. Może to oznaczać, że obszar wokół piwniczki został zniwelowany po pożarze, a część warstw użytkowych została zepchnięta do wnętrza piwniczki, całkowicie ją wypełniając.

Śladami pożaru w obrębie piwniczki z wkopu 11 (W1) jest warstwa popiołów, węgli drzewnych i polepy 34 (W1), która jest zapewne pozostałością ściany lub stropu piwniczki zapadniętego do jej wnętrza. Na stropie warstwy 34 (W1), w południowo-zachodnim narożniku omawianej piwniczki zidentyfikowano pierścieniowaty kształt o średnicy około 50 cm utworzony przez warstewkę wyżarzonej gliny (ryc. 13). Jest to najprawdopodobniej relikt urządzenia ogniowego – pieca kopułkowego, który znajdował się w tym miejscu i został zniszczony w wyniku zawalenia się budynku.

W odległości około 2,5 m na północny-zachód od piwniczki zidentyfikowano pokaźną grubą warstwę przemieszanej, piaszczysto-gliniastej ziemi z grudami polepy i kawałkami węgli drzewnych dębu i sosny[4] 20 (W2), której miąższość dochodzi do 55 cm (ryc. 16). Warstwa ta w granicach wykopu 2 ma szerokość do około 4,6 m i kontynuuje się dalej w kierunku północno-zachodnim. Pomiędzy warstwą naturalną 5 (W1, 2, 3, 4), a warstwą spalenizny 20 (W2) zarejestrowano płat twardej, niejednorodnej gliny 25 (W2), o szerokości do 1,6 m i miąższości do 40 cm (ryc. 16), który strukturalnie przypomina klepisko zidentyfikowane w piwniczce z wkopu 11 (W1) i mógł także pełnić taką rolę.

Warstwy związane z niwelacją równającą obszar stanowiska po pożarze zidentyfikowano w obrębie piwniczki oraz nieco na północny-zachód od niej. W pierwszym przypadku są to – w kolejności stratygraficznej – przemieszany, gliniasty piasek 41 (W1), niejednorodny piasek z wtrętami węgli i polepy 29 (W1), twarda, zbita, niejednorodna glina 31 (W1), przemieszana, niejednorodna glina z wtrętami polepy i węgielków 4 (W1), lekko gliniasty, sypki piasek 28 (W1), niejednorodna glina z wtrętami węgli i polepy 30 (W1), ziemia z fragmentami polepy i węgielków 22 (W1) i przepalona glina z węgielkami 3 (W1) (ryc. 12, 14–15). W drugim przypadku są to – w kolejności stratygraficznej – twarda, niejednorodna glina 15 (W2), ziemia z drobinami polepy 14 (W1) i zbita ziemia z drobinami polepy i węgli drzewnych 18 (W2) (ryc. 15–16).

Faza III

Warstwy Fazy III związane są z szerokopłaszczyznową niwelacją, której poddano obszar stanowiska w XIX

[4] Stępnik 2016: 235.

Tabela 1. Trupel, st. 4. Badania w roku 2013. Katalog warstw i obiektów oraz ich zależności stratygraficznych (oprac. R. Solecki)

Numer jednostki	Numer obiektu	Numer wykopu	Położenie w obrębie stanowiska	Współrzędne siatki pomiarowej stanowiska	Opis jednostki stratygraficznej	Barwa (Munsell)	Pozycja stratygraficzna	
							Znajduje się pod	Znajduje się nad
3	-	1	Około 1 m od reliktów piwniczki	X=100,2–101,9; Y=5,3–7	Przepalona glina z węgielkami; miąższość do 30 cm; niwelacja równająca obszar stanowiska po pożarze	10YR 4/4	6	30
4	-	1	Około 1 m od reliktów piwniczki	X=99,8–102; Y=5,1–7,8	Przemieszana, niejednorodna glina z wtrętami polepy i węgielków; miąższość do 25 cm; niwelacja równająca obszar stanowiska po pożarze	10YR 5/2	30	5
5	-	1, 2, 3, 4	Całe stanowisko	X=93–105,8; Y=2,9–26	Sypki piasek; warstwa naturalna	2,5Y 5/2	6	-
6	-	1, 2, 3, 4	Całe stanowisko	X=93–105,8; Y=2,9–26	Przemieszany, lekko gliniasty piasek z drobinami polepy; miąższość do 25 cm; niwelacja związana z budową drogi	2,5Y 5/4	33	5
7	-	3	Około 7 m od reliktów piwniczki	X=93–95; Y=15,8–18,8	Piaszczysta glina z drobinami węgli drzewnych; miąższość do 25 cm; niwelacja związana z budową drogi	7,5Y 3/3	33	6
10	-	3	Około 7 m od reliktów piwniczki	X=93–95; Y=14–16,7	Twarda ziemia z dużą ilością węgli drzewnych i polepy; miąższość do 20 cm; niwelacja związana z budową drogi	7,5YR 3/2	33	6
11	11	1	Obszar piwniczki	X=99,2–104,9; Y=4,3–10	Wkop budowlany pod piwniczkę; zidentyfikowane wymiary to dł. 6,9 m, szer. 2,9 m, gł. do 1,1 m		35	5
14	-	2	Około 5 m od reliktów piwniczki	X=95–96,1; Y=9,5–11,7	Ziemia z drobinami polepy; miąższość do 30 cm; ślady zniszczeń związanych z pożarem, zawalona ściana(?)	10YR 4/2	6, 18	20
15	-	2	Około 3 m od reliktów piwniczki	X=96–97,5; Y=9,6–10,9	Twarda, niejednorodna glina; miąższość do 30 cm; ślady zniszczeń związanych z pożarem, zawalona ściana(?)	10YR 5/3	6	20
16	-	2	Około 3 m od reliktów piwniczki	X=95,3–97,9; Y=7,7–9,7	Jednorodna glina; miąższość do 25 cm; niwelacja związana z budową drogi	7,5Y 4/6	33	6
17	-	2	Około 5 m od reliktów piwniczki	X=95–97; Y=7–14	Niejednorodna, przemieszana piaszczysta ziemia; miąższość do 25 cm; niwelacja związana z budową drogi	2,5Y 4/2	26	6
18	-	2	Około 5 m od reliktów piwniczki	X=95–95,9; Y=8,4–9,6	Zbita ziemia z drobinami polepy i węgli drzewnych; miąższość do 20 cm; ślady zniszczeń związanych z pożarem, zawalona ściana(?)	10YR 5/6	6	14, 20
20	-	2	Około 3 m od reliktów piwniczki	X=95–97; Y=7,7–12,9	Przemieszana, piaszczysto-gliniasta ziemia z grudami polepy i kawałkami węgli drzewnych; miąższość do 55 cm; ślady zniszczeń związanych z pożarem, zawalona ściana(?)	2,5YR 3/1	14, 15, 18	25
22	-	1	Obszar piwniczki	X=99,2–104,9; Y=4,3–10	Ziemia z fragmentami polepy i węgielków; miąższość do 45 cm; niwelacja równająca obszar stanowiska po pożarze	10YR 5/2	6	28, 30
25	-	2	Około 4 m od reliktów piwniczki	X=95–96,2; Y=11,7–13,5	Twarda, niejednorodna glina; miąższość do 40 cm; ślady zniszczeń związanych z pożarem, zawalona ściana lub klepisko(?)	10YR 5/6	20	5
26	-	2	Około 5 m od reliktów piwniczki	X=95–95,4; Y=7,2–7,8	Niejednorodna, piaszczysta glina z fragmentami polepy; miąższość do 25 cm; niwelacja związana z budową drogi	10YR 4/1	33	17
28	-	1	Obszar piwniczki	X=100,3–102; Y=7,9–10	Lekko gliniasty, sypki piasek; miąższość do 40 cm; niwelacja równająca obszar stanowiska po pożarze	7,5YR 8/4	22	31, 41
29	-	1	Obszar piwniczki	X=102,8–104,2; Y=5,5–7,2	Niejednorodny piasek z wtrętami węgli i polepy; miąższość do 65 cm; niwelacja równająca obszar stanowiska po pożarze	2,5Y 5/1	31	41
30	-	1	Obszar piwniczki	X=101,5–102,3; Y=7,4–8,2	Niejednorodna warstwa gliny z wtrętami węgli i polepy; miąższość do 45 cm; niwelacja równająca obszar stanowiska po pożarze	2,5Y 5/1	22	31
31	-	1	Obszar piwniczki	X=101,4–103,1 Y=6,9–8,5	Twarda, zbita, niejednorodna glina; miąższość do 40 cm; niwelacja równająca obszar stanowiska po pożarze	10YR 5/5	28, 30	29
32	11	1	Obszar piwniczki	X=101,4–104,1; Y=5,6–8,3	Glina przemieszana z polepą i węgielkami; miąższość do 20 cm; gliniane klepisko – podłoga w obrębie piwniczki	10YR 4/3	35	11
33	-	1, 2, 3, 4	Całe stanowisko	X=93–105,8; Y=2,9–26	Niejednorodny, sypki piasek; miąższość do 35 cm; współczesny humus leśny	10YR 3/2	-	5
34	-	1	Obszar piwniczki	X=101,1–104,1; Y=5,6–10	Warstwa spalenizny – węgle drzewne i polepa; miąższość do 20 cm; ściany i /lub strop piwniczki zapadnięty do jej wnętrza w wyniku pożaru	10YR 2/1	29, 31, 43	39, 41
39	-	1	Obszar piwniczki	X=101,4–104,1; Y=5,6–8,3	Przemieszana, jasna, niejednorodna glina; miąższość do 7 cm; gliniane klepisko – podłoga w obrębie piwniczki	10YR 7/3	34	32
41	-	1	Obszar piwniczki	X=99,2–104,9; Y=4,3–10	Przemieszany, gliniasty piasek; miąższość do 100 cm; osuwisko warstw naturalnych do wnętrza piwniczki spowodowane pożarem i zawaleniem się ścian piwniczki	10YR 6/1	29	11, 32, 34

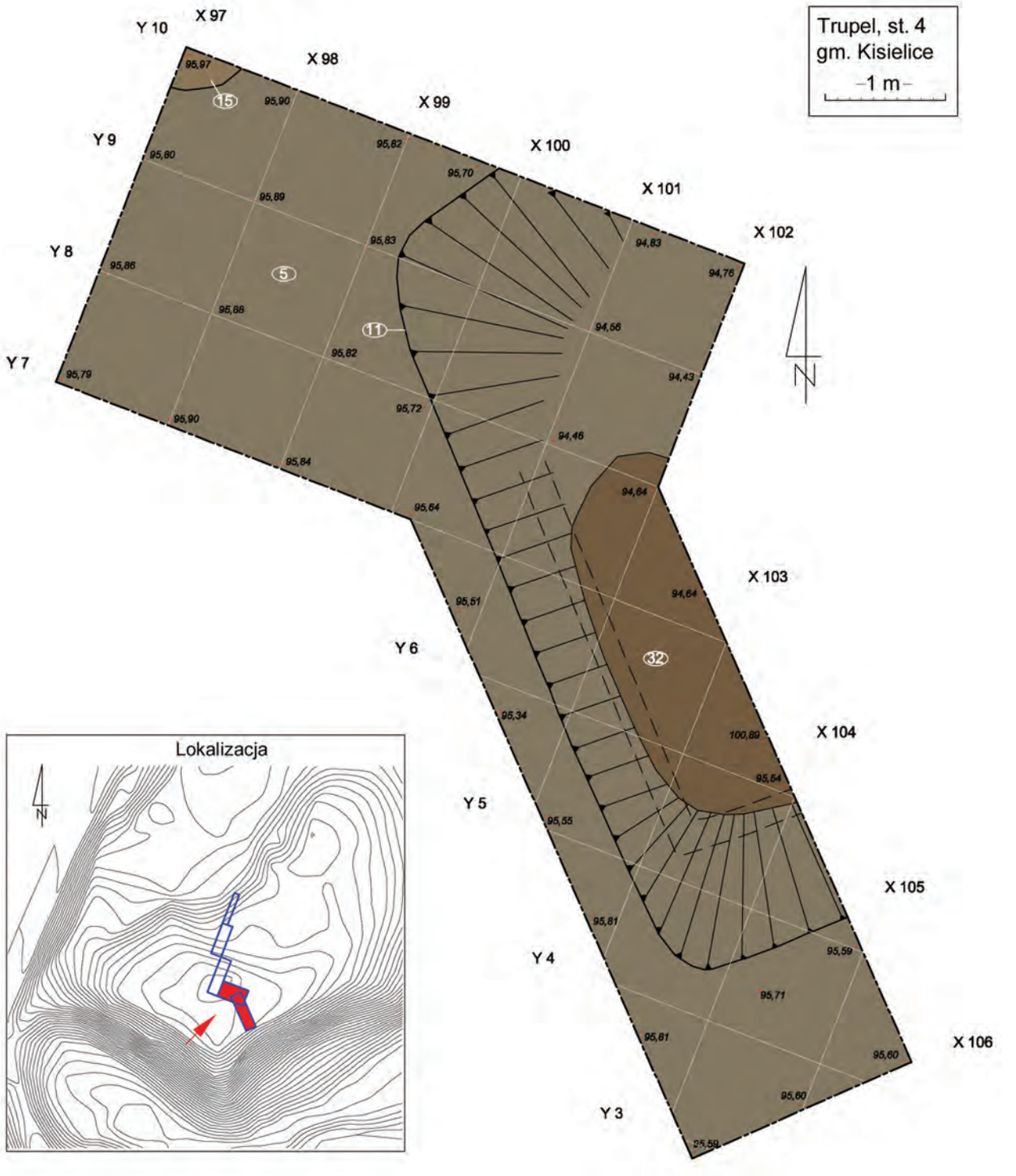

Ryc. 11. Trupel, st. 4. Plan wykopów 1 i 1A na poziomie warstw wiązanych z Fazą I (oprac. R. Solecki i J. Wysocki)

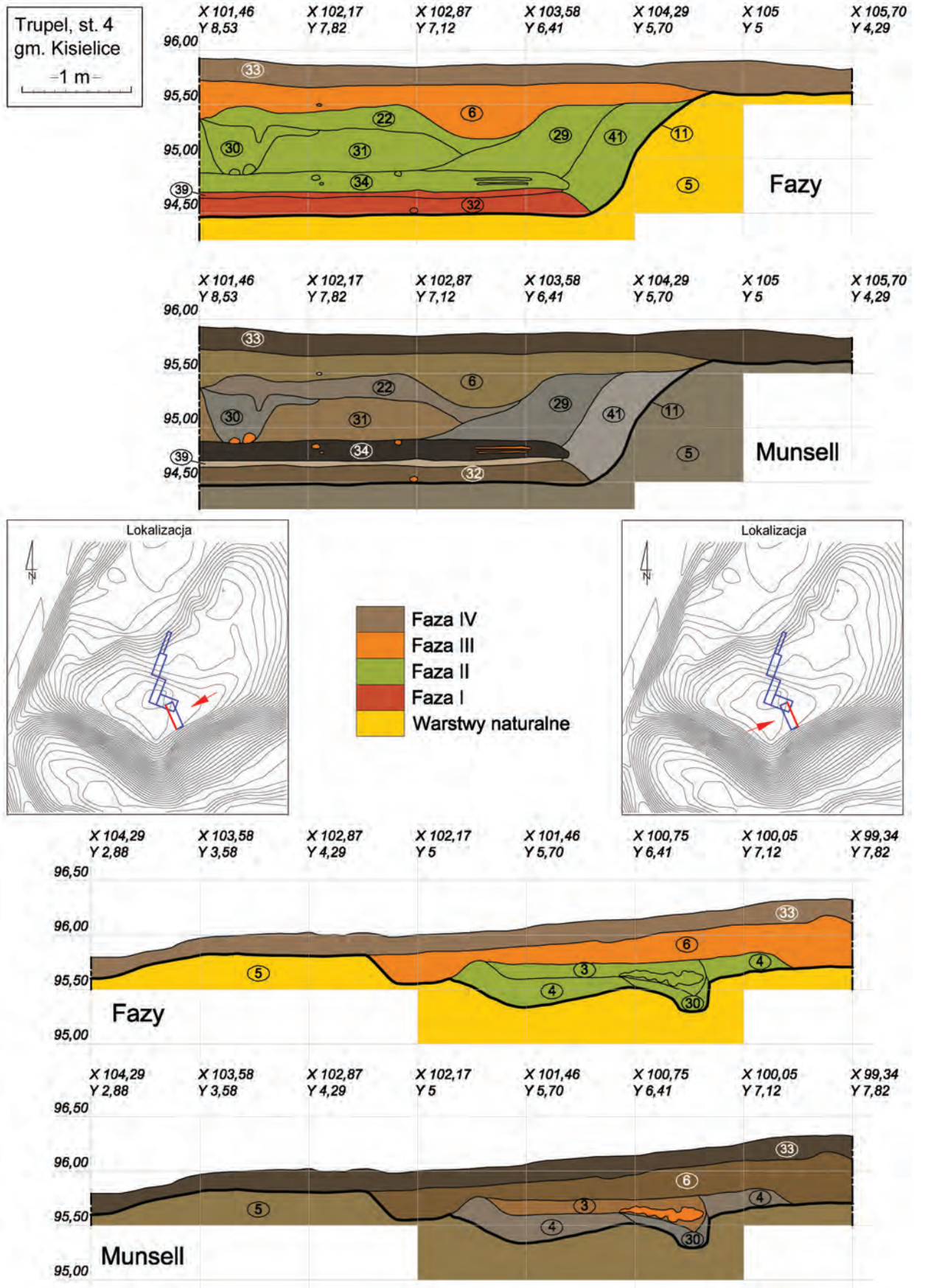

Ryc. 12. Trupel, st. 4. Ściana północna i południowa wykopu 1 (oprac. R. Solecki i J. Wysocki)

Ryc. 13. Trupel, st. 4. Narożnik budynku i pozostałości pieca kopułkowego (fot. J. Wysocki)

i XX w., podczas budowy, a następnie przebudowy drogi z Trupla do Piotrowic Małych. Droga ta przebiega przez stanowisko, odcinając je od wysoczyzny. Warstwy te, to – w kolejności stratygraficznej – przemieszany, lekko gliniasty piasek z drobinami polepy 6 (W1, 2, 3, 4), jednorodna glina 16 (W2), niejednorodna, przemieszana, piaszczysta ziemia 17 (W2), niejednorodna, piaszczysta glina z fragmentami polepy 26 (W2), piaszczysta glina z drobinami węgli drzewnych 7 (W3) i twarda ziemia z dużą ilością węgli drzewnych i polepy 10 (W3) (ryc. 12, 14, 16–17).

Faza IV

Najmłodszą fazę reprezentuje niejednorodny, sypki piasek 33 (W1, 2, 3, 4) pokrywający całą powierzchnię stanowiska i będący współczesnym poziomem użytkowym.

ZNALEZISKA

URSZULA KOBYLIŃSKA

Ceramika

Ogólna charakterystyka zbioru

W trakcie badań wykopaliskowych na terenie grodziska w Truplu, st. 4 w roku 2013 znaleziono łącznie 904 fragmenty ceramiki (tab. 2), głównie „siwej", o powierzchni matowej, w tym 104 fragmenty z wylewem (stanowiące odpowiednik 708% SEN), 620 fragmentów brzuśców, z których 204 były ozdabiane oraz 59 części den głównie lekko wklęsłych i płaskich na podsypce (stanowiące odpowiednik 693% SEN). Ceramika znaleziona na terenie tego stanowiska jest jednolita w charakterze. Naczynia mają barwę w odcieniach od jasnoszarej do czarnej (5YR 6/1, 5/1, 4/1). Były one wypalone w atmosferze redukcyjnej, z przełamami w przeważającej większości jednolicie szarymi, choć niewielka część ceramiki ma dwukolorowe czerwonawo-szare i czerwonawo-brązowe (5YR 5/2, 5/3, 5/4) plamy na powierzchni, co wskazuje na nierówny wypał. Większość zachowanych fragmentów charakteryzuje powierzchnia szorstka, kostropata lub tylko lekko wygładzona. Znaleziono jedynie siedem ułamków brzuśców, oraz fragment ucha i flaszy-butelki pochodzących z ceramiki o powierzchni wyświeconej. Wśród odkrytych ułamków naczyń można wyróżnić głównie dzbanki, garnki, misy i pokrywy naczyń. Zestawienie przykładowych form części brzegowych dzbanów, garnków i waz prezentuje ryc. 18.

Formy naczyń

Dzbany, dzbanki, dzbanuszki (tabl. 1–2)

Największą liczebnie grupę stanowią fragmenty ceramiki, które określić możemy jako pochodzące z różnej wielkości dzbanków. Ze względu na cechy takie, jak stopień szorstkości powierzchni i kołnierzowate wylewy o małych średnicach, można określić je jako dzbany kuchenne. Są to naczynia o średnich i małych średnicach wylewu. Brzegi ich są lekko i słabo wychylone lub cylindrycznie ukształtowane (tabl. 1:1–2), częściej o mocno wywiniętych wysokich, profilowanych kołnierzach z zaokrąglonymi krawędziami (tabl. 1:3–10) lub o nieco niższych kołnierzach (tabl. 1:11; 2:1–13). Mają one powierzchnię barwy szarej i ciemnoszarej.

Najliczniej wystąpiły w tym zespole naczynia z mocno wydzielającym się, szerokim, owalnym brzegiem z podwiniętym pasmem gliny od zewnątrz, tworzącym wysokie, profilowane wgłębieniem kołnierze (tabl. 1:3–10). Wystąpiły one w wielu jednostkach stratygraficznych z Fazy I (36), Fazy II (3, 4, 20) i Fazy III (2, 10, 12, 16). Średnice ich wylewów wynoszą od 12 do 20 cm; najliczniej wystąpiły dzbanki o średnicy wylewu 12 cm i 14 cm. Wszystkie te naczynia mają lekko szorstkie, szare i ciemnoszare, matowe powierzchnie. Ponieważ zachowane są tylko w małych ułamkach części z wylewem, nie pozwalają na rekonstrukcję proporcji całej formy naczyń.

Mniej licznie wystąpiły formy o cylindrycznie ukształtowanej części górnej (tabl. 1:1–2), z lekkim profilowaniem i wąskim, zaokrąglonym brzegiem od zewnątrz i od góry. Wylewy tej odmiany charakteryzują się wyodrębnionym, lekko pogrubionym brzegiem, ze specyficznym przewężeniem w centralnej jego części. Krawędzie ich są zaokrąglone i ścięte do wewnątrz. Naczynia takie, których fragmenty odkryte zostały w warstwach 12, 16, 20 i 28 z faz II i III grodziska w Truplu, są cienkościenne, o małych średnicach wylewu, wynoszących od 9 cm do 18 cm. Charakteryzują się one lekko szorstką, szarą, matową powierzchnią i średnio

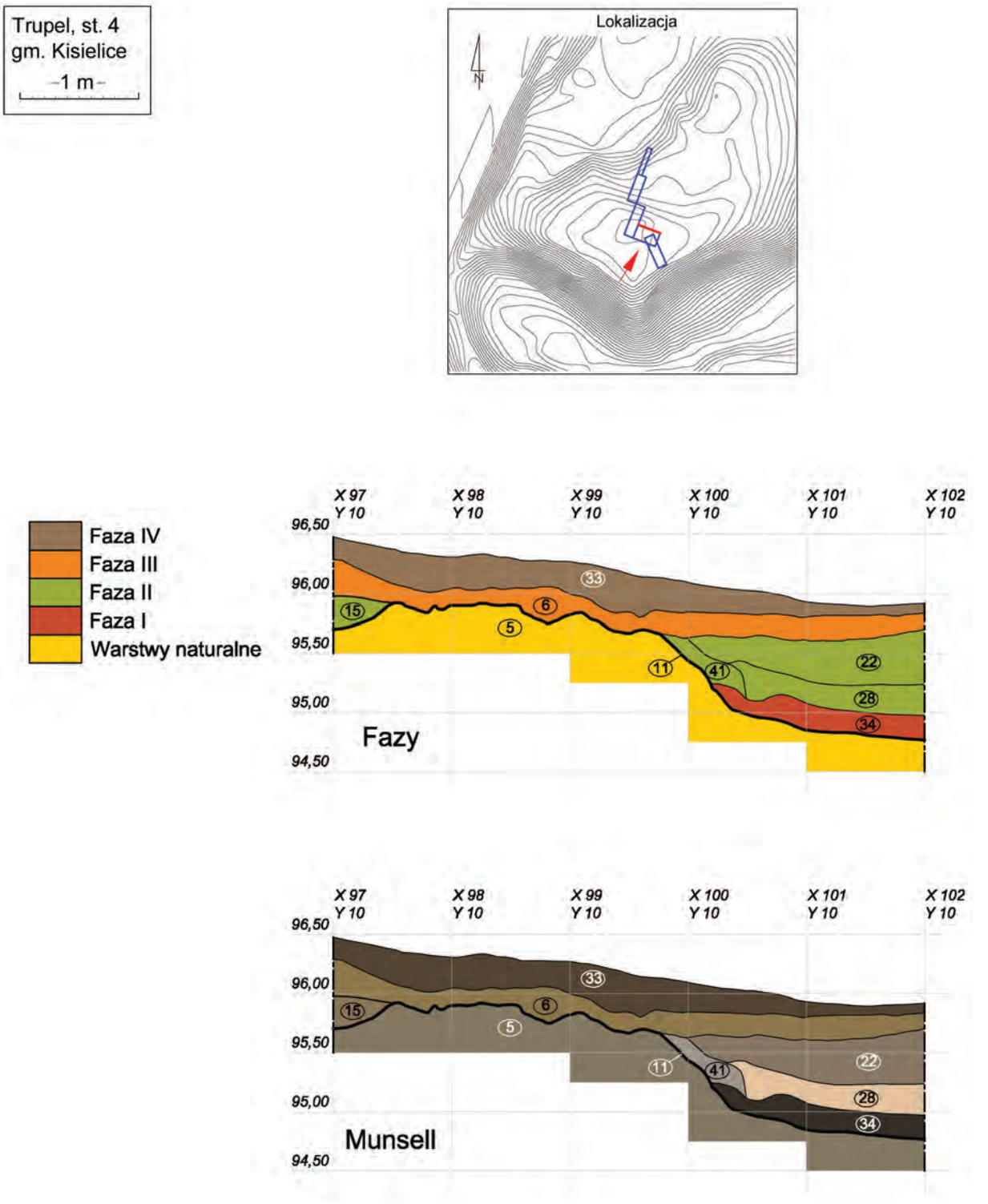

Ryc. 14. Trupel, st. 4. Ściana północna wykopu 1A (oprac. R. Solecki i J. Wysocki)

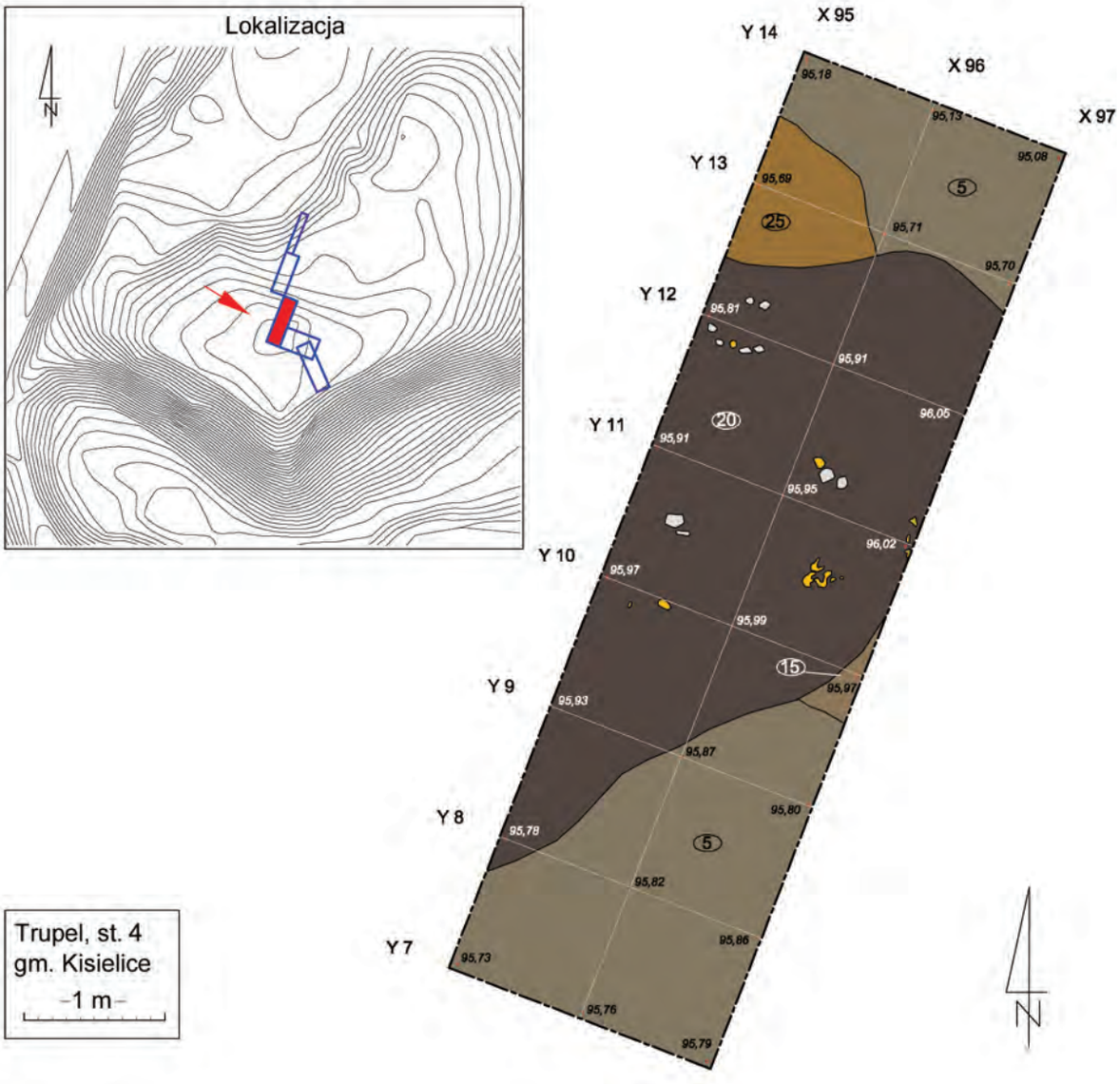

Ryc. 15. Trupel, st. 4. Plan wykopu 2 na poziomie warstw wiązanych z Fazą II (oprac. R. Solecki i J. Wysocki)

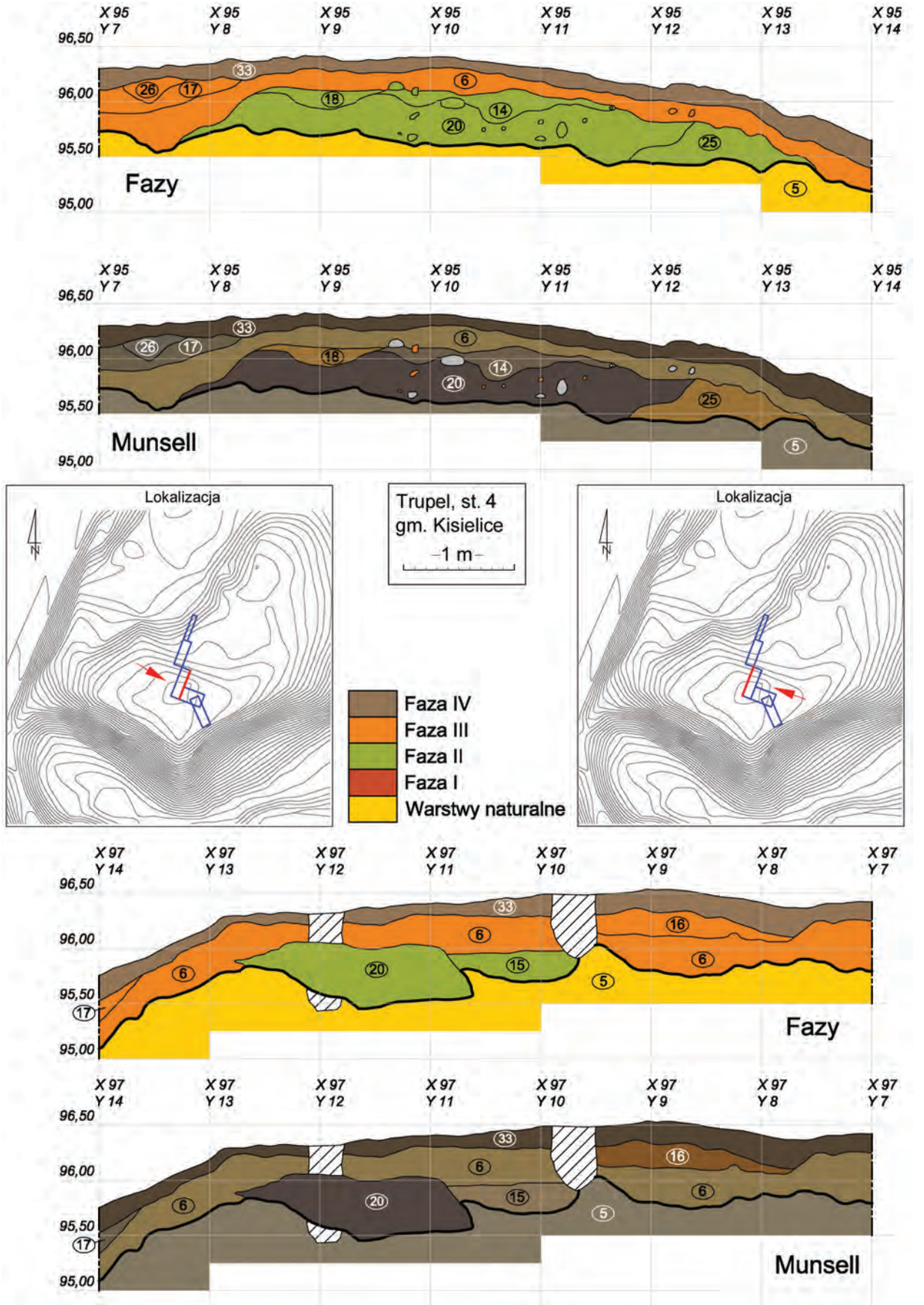

Ryc. 16. Trupel, st. 4. Ściana wschodnia i zachodnia wykopu 2 (oprac. R. Solecki i J. Wysocki)

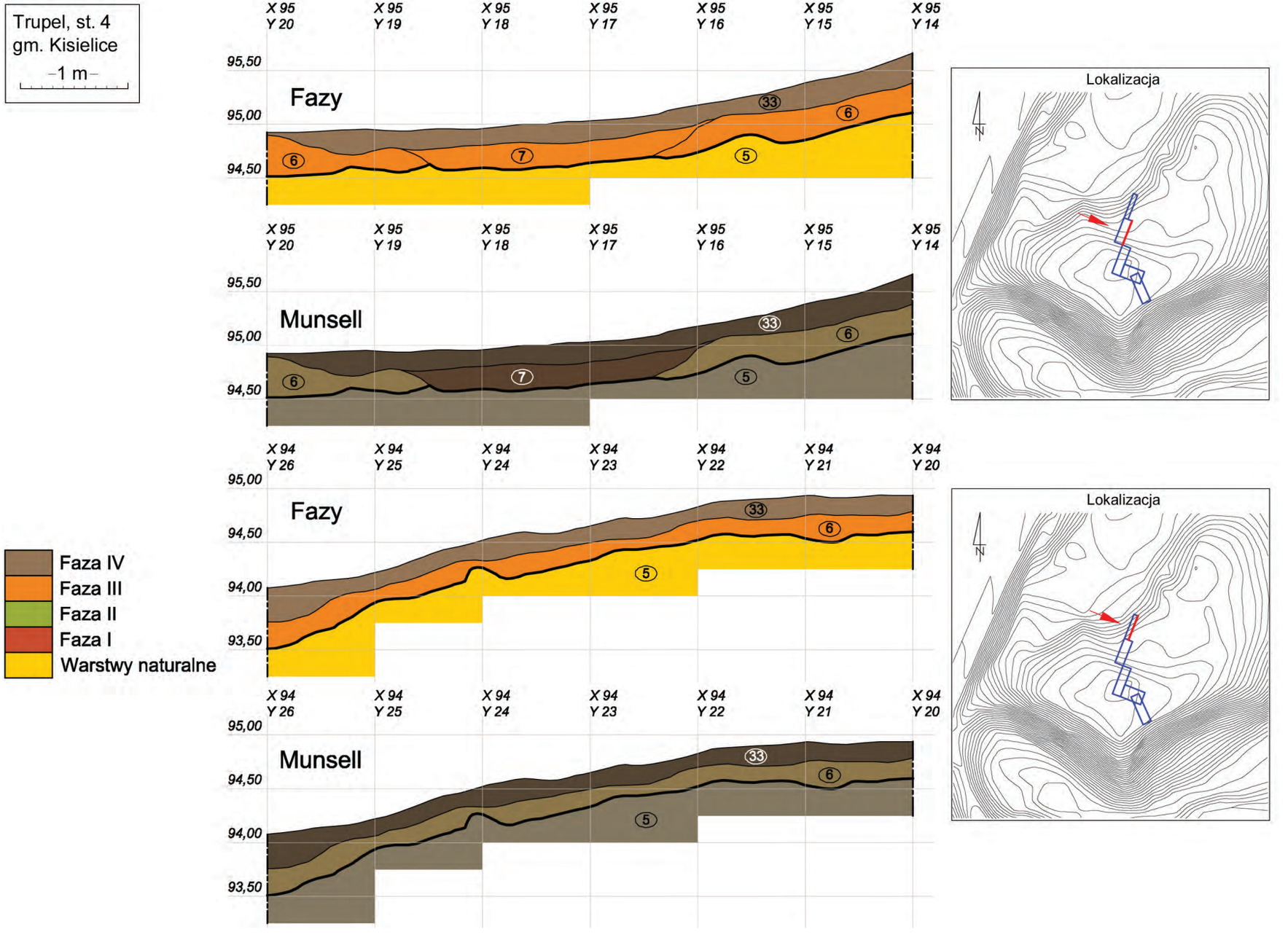

Ryc. 17. Trupel, st. 4. Ściana wschodnia wykopów 3 (u góry) i 4 (u dołu) (oprac. R. Solecki i J. Wysocki)

silnym obtoczeniem ścianek. Naczynia z tego typu wylewami wystąpiły na terenie grodzisk i w ośrodkach miejskich z okresu II połowy XIII do początków XV w.[5] Bliskimi analogiami są formy naczyń odkryte na terenie zamku w Reszlu, pow. kętrzyński, datowane na 2 połowę XIV w.[6] Podobna forma wystąpiła także wśród materiału ceramicznego znalezionego np. w wieży rycerskiej w Witkowie, st. 6, gm. Szprotawa, pow. żagański[7], gdzie datowana jest na XIV–XV w., co wskazuje, że jest to forma o szerokim geograficznym zakresie występowania, wiążąca się z kulturą miejską i rycerską późnego średniowiecza, niezależnie od regionu.

Występujące w jednostkach 4, 20 i 28 z Fazy II pojedyncze egzemplarze cienkościennych form małych dzbanów o wąskich profilowanych brzegach, są dobrze opracowane i należy je zaliczyć do naczyń lepszej jakości. Naczynia z jednostki stratygraficznej 20, o średnicy wylewu wynoszącej 12 i 14 cm, charakteryzują się brzegiem wyodrębnionym, zgrubiałym i profilowanym za pomocą żłobków. Krawędzie ich są zaokrąglone i ukośnie ścięte do wewnątrz lub wypłaszczone. Wylew jest lepiej opracowany i gładszy od reszty ścianki. Przy jednym z dzbanów zachowała się część dużego, szerokiego ucha (tabl. 1:2). Naczynia te są silnie obtoczone na całej powierzchni. Analogiczne formy datowane są na 2. połowę XIV w. i wiek XV[8]. Analogiczne dzbany z uchami zidentyfikowano w materiale zabytkowym z grodziska w Durągu, gm. Ostróda, pow. ostródzki (grupa 8)[9].

Flasze (tabl. 5:2)

W jednostce stratygraficznej 20 odkryto naczynie o średnicy wylewu wynoszącej 6 cm, o powierzchni ciemnoszarej (5YR 4/1) z obu stron ścianki, matowej od wewnątrz i wyświeconej poziomymi smugami od strony zewnętrznej. Została ona ozdobiona w miejscu przejścia szyjki w brzusiec dwiema wąskimi plastycznymi listwami. Ta cienkościenna forma o długiej prostej szyjce i profilowanym, wychylonym wylewie, wydaje się być mocno baniastą butlą z wąską, cylindryczną szyją.

W jednostkach 4, 20 i 28 odkryto pojedyncze egzemplarze naczyń o małych średnicach wylewu, silnie profilowane. Być może są to cienkościenne flasze lub dzbanki.

Garnki (tabl. 3:1–10; 4:1)

Brzegowe fragmenty naczyń, które możemy określić jako różne formy garnków do gotowania, pozwalają na rekonstrukcję średnic ich wylewów jako średnich i dużych, zawierających się pomiędzy 12 a 22 cm, ale najczęściej średnice te wynosiły ok. 16–18 cm. Są to naczynia z wychylonym, pogrubionym, zaokrąglonym od zewnątrz brzegiem (tabl. 3:1–6). Formy takie znalezione zostały w warstwach Fazy II (3, 20 i 25) oraz Fazy III (11, 12) grodziska oraz w warstwie powierzchniowej. Są to naczynia barwy szarej i szarobrązowej, ciemnobrązowej, a w wyjątkowych przypadkach ceglaste. Przełamy ich bywają dwu- i trójwarstwowe. Powierzchnia garnków zawsze jest szorstka i słabiej obtoczona, a także gorzej wykonana, niż w przypadku innych typów naczyń, za wyjątkiem naczyń ceglastych cienkościennych. Formy z wychylonym zaokrąglonym brzegiem podobne są do naczyń z Ostródy – „Bramy Garncarskiej"[10], a także ze st. 4 w Borecznie, gm. Zalewo, pow. iławski[11]. Pozostałe znalezione w Truplu, st. 4 naczynia garnkowate mają lekko wychylone wylewy ze ściętym ukośnie brzegiem (tabl. 3:7–10). Są to fragmenty garnków zaopatrzone w charakterystyczny okap, bez wyodrębnionego wrębu. Ich średnice wylewów zawierają się między 14 a 22 cm. Są to naczynia barwy szarej, o powierzchni matowej i dość silnie obtoczone, o czym świadczą ślady smug, po nierozprowadzonej glinie od wewnątrz. Garnki, szczególnie te o większych średnicach wylewów, są masywne i grubościenne. Formy takie wystąpiły w warstwie 4 i 20 oraz w warstwie powierzchniowej. Analogiczne formy garnków z lekko wychylonym, ukośnie ściętym brzegiem wystąpiły w materiale ceramicznym z Reszla, st. 1, pow. kętrzyński[12]. Tego typu garnki są rozpowszechnione od wieku XIV do XVI, z największym nasileniem występowania przypadającym na wiek XV[13].

W zasobnej w ceramikę warstwie 20 odkryto małe naczynko o średnicy wylewu wynoszącej 6 cm i dna 4 cm, które można opisać jako baniasty cienkościenny garnuszek z silnie wychylonym brzegiem (tabl. 4:1). Baniasty brzusiec barwy jasnoceglasto-żółtej od szyjki do dolnej części brzuśca jest ozdobiony dookolnymi poziomymi żłobieniami, a dno ma ślady odcinania.

Naczynia szerokootworowe (tabl. 4:2–7)

Fragmentów pochodzących z naczyń szerokootworowych, które zakwalifikować można do kategorii mis lub waz jest w materiale zabytkowym z Trupla, st. 4 niewiele. Generalnie są to naczynia cienkościenne o średnicach wylewów zawierających się między 24 a 30 cm, z masywnymi i mocno zaznaczającymi się wylewami. Najczęściej szerokie do 3 cm pasmo gliny wywinięte jest na zewnętrzną ściankę, co uwidocznione jest śladem dolepiania w przełamie. Brzegi tych naczyń są szerokie (szerokości od 1,5 cm do 2 cm), uformowane ukośnie i od wewnątrz zaokrąglone,

[5] Gajewska i Kruppé 1965; Kruppé 1967; Nawrolski 1973.

[6] Sikorska-Ulfik 1994: ryc. 4:1–4.

[7] Kałagate 1994: ryc. 3:2.

[8] Np. Kałagate 1994: 163, ryc. 3:6.

[9] Por. opracowanie wyników badań grodziska w Durągu, w niniejszym tomie.

[10] Michalski 1998a: ryc. 17:1–6.

[11] M. Żurek 2013: ryc. 34–35, 38.

[12] Sikorska-Ulfik 1994: ryc. 1.7.

[13] Kałagate 1994: 163, ryc. 2:3.

Tabela 2. Zestawienie ilościowe fragmentów ceramiki z grodziska w Truplu, st. 4 (oprac. U. Kobylińska)

Faza	Jednostka stratygraficzna	Liczba fragmentów łącznie	Liczba różnych naczyń	Wylewy			Szyjki	Brzuśce									Ucha	Pokrywki	Części przydenne	Dna									Ceramika siwa	Fragmenty przepalone	Fragmenty o wypłukanej powierzchni	Późne średniowiecze
									Rodzaj powierzchni				Ornament									Rodzaj			Cechy den							
				Liczba fragmentów	SEN (procent obwodu)	Ornamentowane		Liczba fr. ogółem	Gładkie	Wyświecane	Szorstkie	Nieokreślone	Żłobki dookolne	Linia falista	Ornament plastyczny	Odciski				Liczba fragmentów	SEN (procent obwodu)	Wklęsłe	Lekko wklęsłe	Płaskie	Na podsypce	Wałek dookolny	Odcinanie					
I	32	46	3	3	14		7	32	2		30		5	1		2			2	1	13			1				38		10	46
II	3	21	4	4	42		2	8		1	7		4			2			4	2	24		1	1	2			21		1	21
II	4	71	4	6	40		2	46			43	3	17	1		3	1		10	5	72		3	2	3	2	1	63	1	2	71
II	18	3	1	1	3			1			1			1						1	15		1		1			1	1		3
II	20	318	35	42	311	3	8	225			201	24	53	1	2	23	1	2	16	25	244		11	6	17	3	4	289	8	21	318
II	22	16					2	13			13		4						1									14	2	3	16
II	25	1	1	1	21																										1
II	28	171	16	16	142	2	8	131		1	125	5	24	6		3		3	11	5	68		2	3	2		2	152	4	9	171
II	30	10						8			7	1	2						1	1	12		1		1				1		10
II	34	4						4			3	1	1			1		1													4
III	6	29	5	5	19		3	16		1	11	4	2			2		3	3	1	20			1	1			25	3		29
III	10	30	3	3	10		1	23			23		11	1		2			2	1	50	1						28		1	30
III	12	13	4	4	32			7			7		1							2	22		1	1	1	1	1	7			13
III	16	17	4	4	14	1	1	10		1	8	1	2			2			2									2		1	17
III	17	2					1						1						1									2			2
IV	33	152	15	15	60	2	4	96		3	84	9	19	3		4	1	2	14	15	153		6	6	8	5	2	128	2	11	152
SUMA		**904**	**95**	**104**	**708**	**8**	**39**	**620**	**2**	**7**	**563**	**48**	**146**	**14**	**2**	**44**	**3**	**11**	**67**	**59**	**693**	**1**	**26**	**21**	**36**	**11**	**10**	**770**	**22**	**59**	**904**

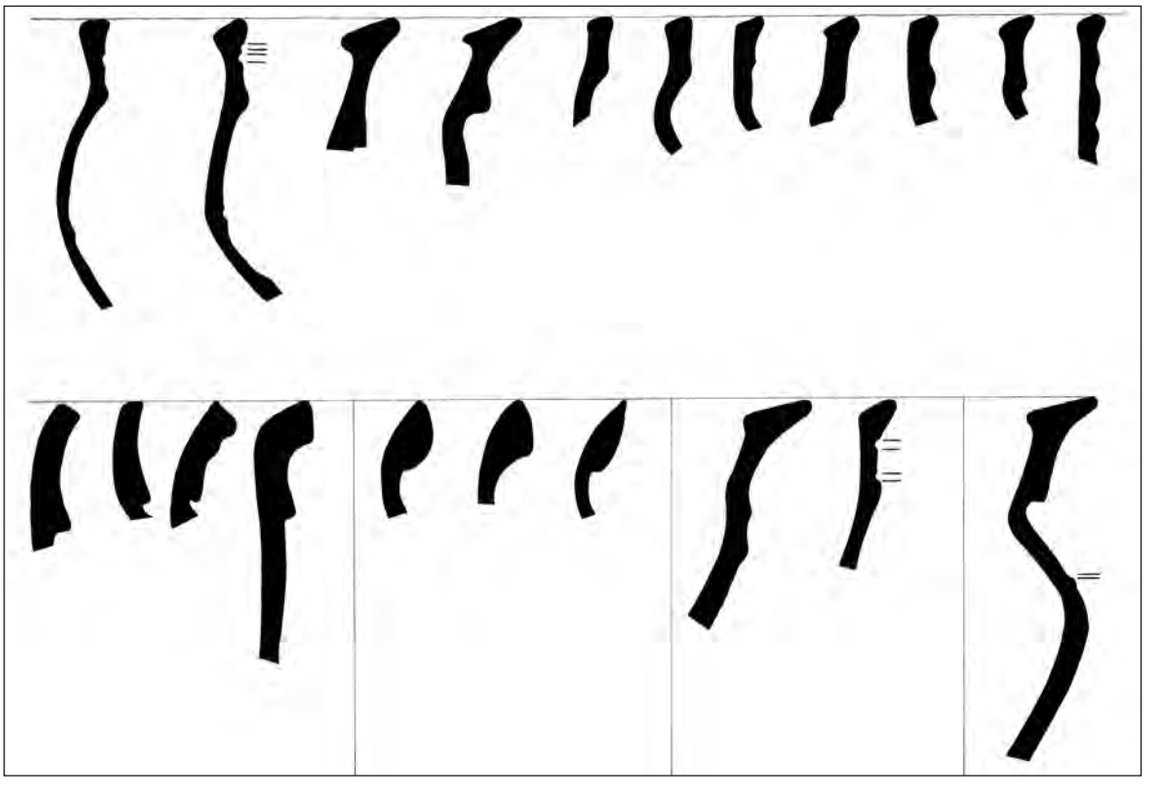

Ryc. 18. Trupel, st. 4. Formy wylewów naczyń (oprac. U. Kobylińska, rys. D. Wach)

niekiedy ornamentowane rytymi łukowatymi nacięciami, a żłobkami i wąskimi wałeczkami na szyjce i pod wylewem(tabl. 4:3, 6–7; 5:1). Można przypuszczać, że były to raczej naczynia głębokie, sądząc po niewielkim wychyleniu części brzegowej. Misy były silnie obtaczane, miały regularne ścianki i krawędzie. Naczynia misowate odkryto w Truplu, st. 4 w warstwach 4, 20 i 28 oraz warstwie powierzchniowej.

W przypadku naczynia wazowatego (tabl. 5:1), o średnicy wylewu wynoszącej 28 cm, ornament łuków na szerokim wylewie jest odwzorowaniem analogicznego wzoru występującego na brzuścu tego naczynia. Jego szerokie brzegi są mocniej wygładzone, choć nie wypolerowane, a pozostała część ma powierzchnię matową i szorstką. Ścianki mają barwę ciemnoszarą, miejscami czarną, a przełam jest jednolicie szary z drobnoziarnistą domieszką piasku i niewielką ilością drobnych srebrnych ziaren miki. Ze względu na cienkościenność, dobre opracowanie powierzchni, głębokość formy i silne uwypuklenie brzuśca, można sądzić, że było to naczynie stołowe o dużej pojemności. Nieco podobne formy mis znane są z różnych regionów, np. z grodów i gródków z Siedlątkowa, gm. Pęczniew, pow. poddębicki, Mymonia, gm. Besko, pow. sanocki, Chałupek, gm. Kamieniec Ząbkowicki, pow. ząbkowicki, czy Nakła z 2. połowy XIV w. i początków XV w.[14]

[14] Kruppé 1981: karta 59.

Inne formy naczyń

W jednostce stratygraficznej 18 z Fazy II znaleziono niewielki fragment ceramiki z płasko ściętym wylewem i ostrym załomem brzuśca, o powierzchni czarnej, wyświeconej. Ze względu na fragmentaryczność zachowania i brak ścianki wewnętrznej trudno jednoznacznie określić formę tego „siwego" naczynka. Niewielka średnica wylewu (13 cm) oraz rodzaj wyświeconej powierzchni zewnętrznej wskazuje, iż może to być forma pucharka z rodzaju stołowych naczyń luksusowych.

W jednostce stratygraficznej 20 znaleziono niewielkie dwa fragmenty podobnych do siebie cienkościennych naczyń o średnicy wylewu wynoszącej ok. 14 cm, z silnie wychylonym, pogrubionym brzegiem i z wgłębieniem na pokrywę.

Ornamentyka naczyń

Ornament zachował się jedynie sporadycznie na większych częściach zachowanych szyjek i brzuśców. Są to poziome żłobienia, plastyczne wałki, geometryczne, niezbyt głębokie, odciski na szyjkach i rowki oraz profilowania na wylewach (tabl. 1:1–2, 4, 10; 2:3–4, 11–12; 5:7–13). Zachowane fragmenty brzuśców charakteryzują się występowaniem ornamentu w formie połączenia żłobień dookolnych z niską i wąską linią

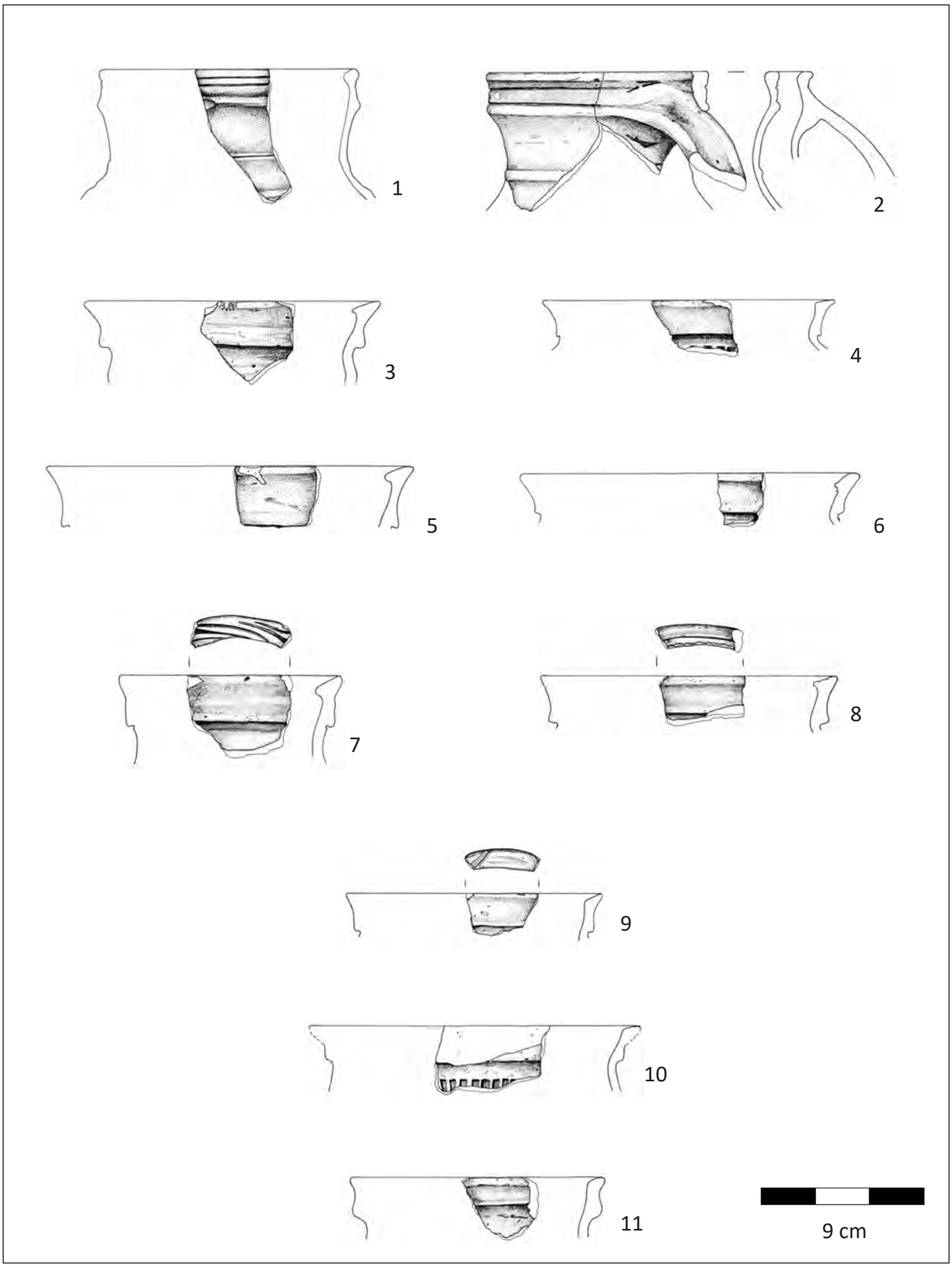

Tablica 1. Trupel, st. 4. Fragmenty dzbanów (rys. A. Chojnacka-Banaszkiewicz)

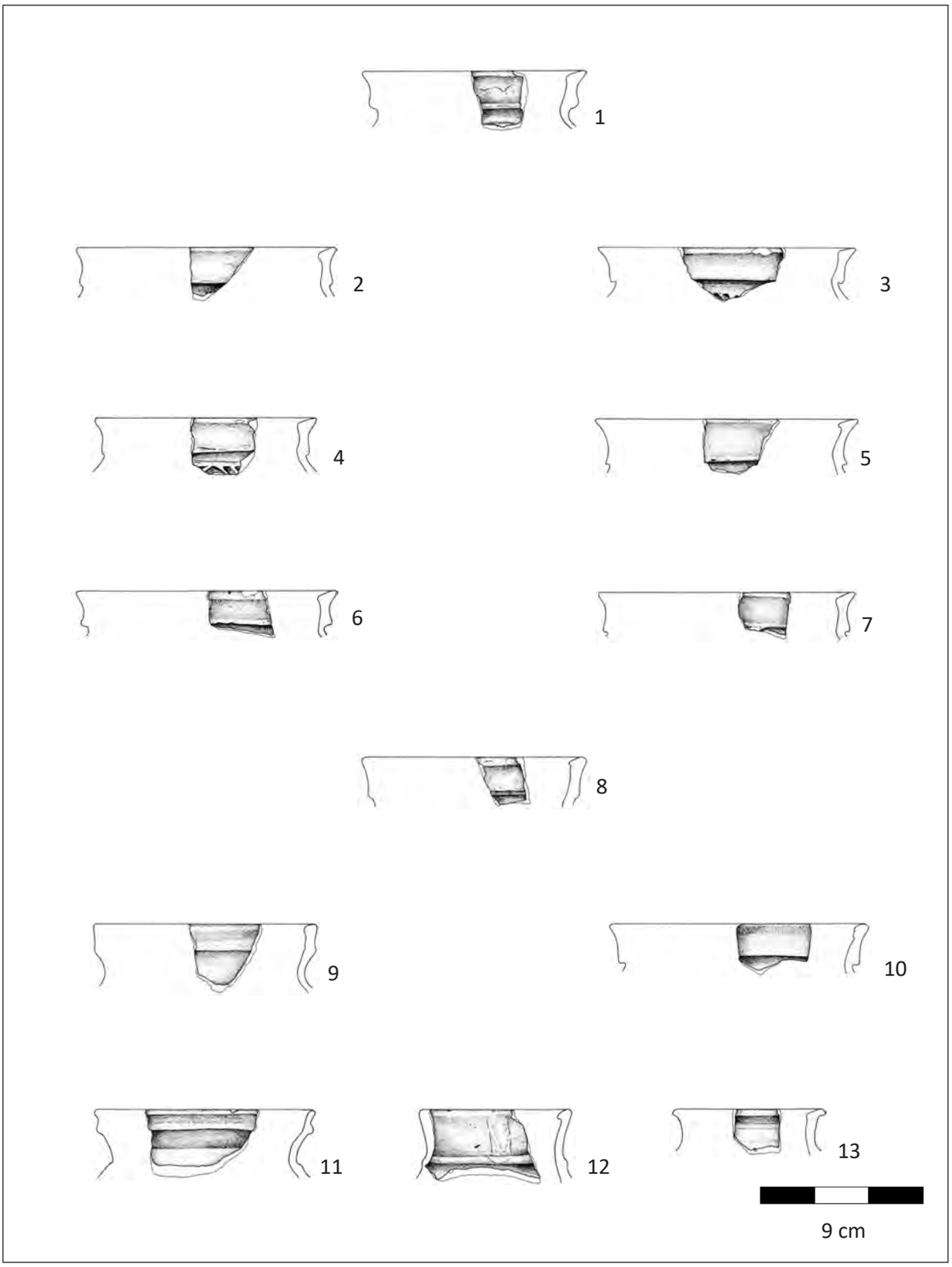

Tablica 2. Trupel, st. 4. Fragmenty dzbanów (rys. A. Chojnacka-Banaszkiewicz)

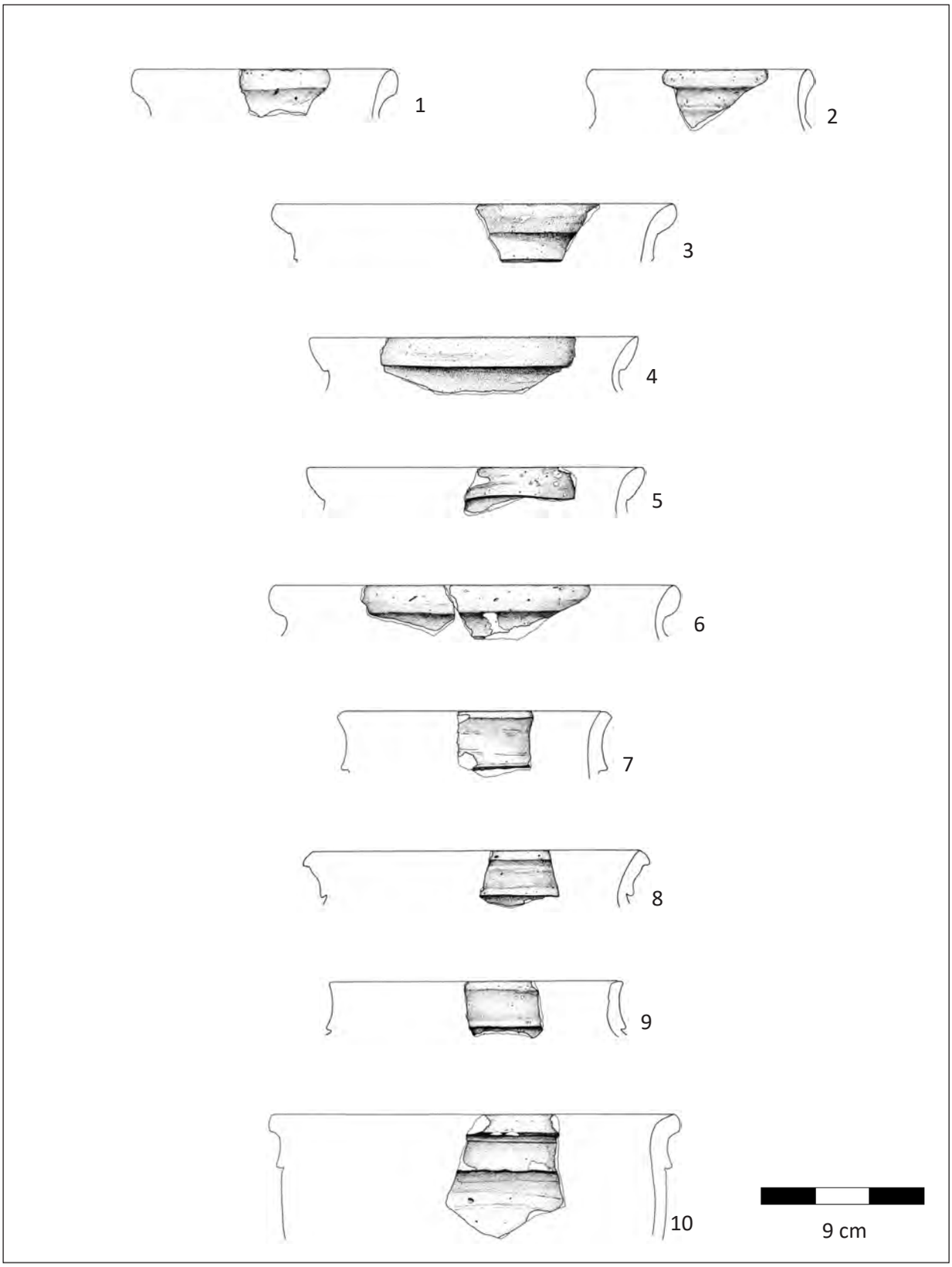

Tablica 3. Trupel, st. 4. Górne części garnków (rys. A. Chojnacka-Banaszkiewicz)

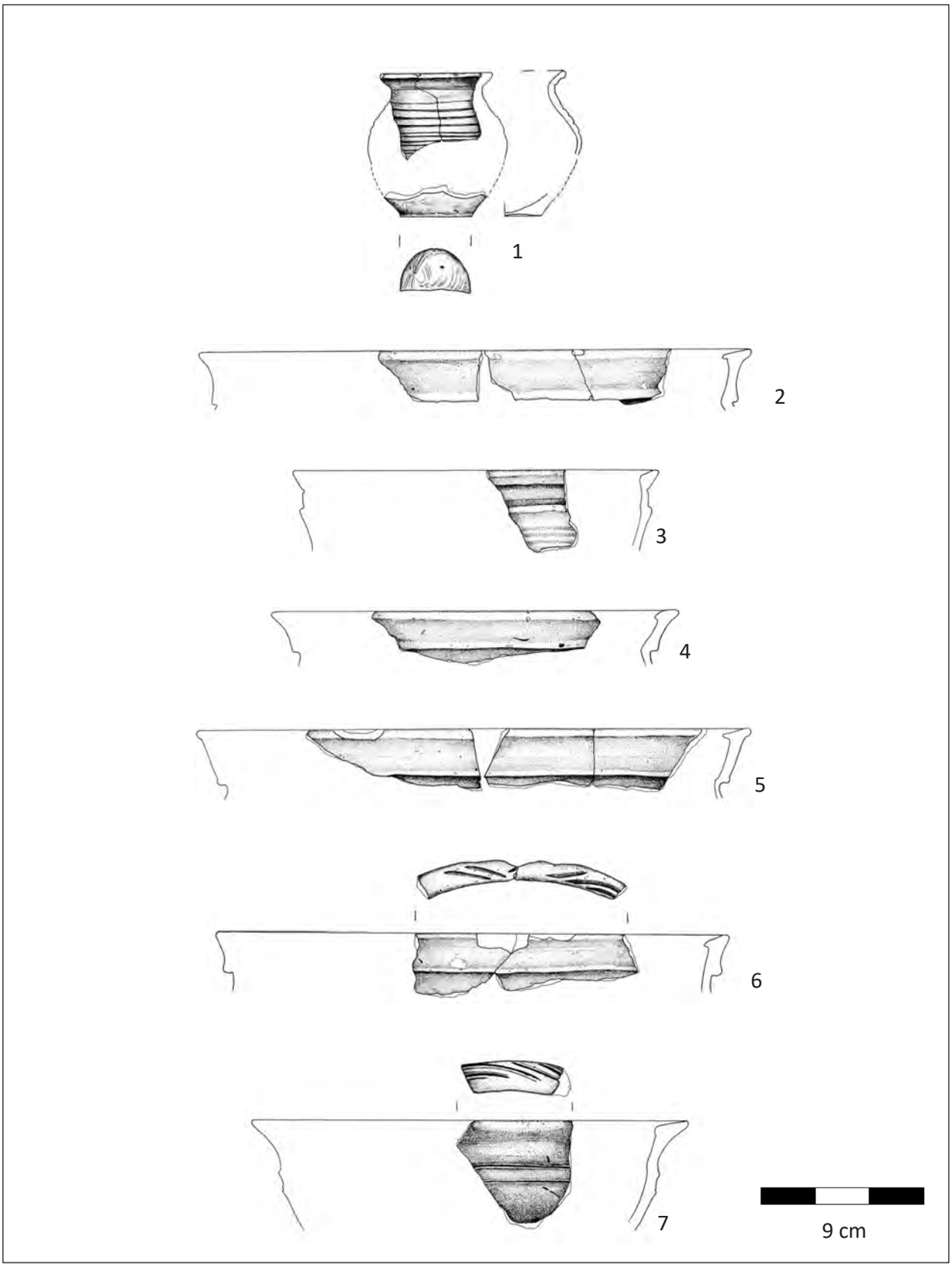

Tablica 4. Trupel, st. 4. Fragment garnka (1) oraz fragmenty naczyń szerokootworowych (2–7) (rys. A. Chojnacka-Banaszkiewicz)

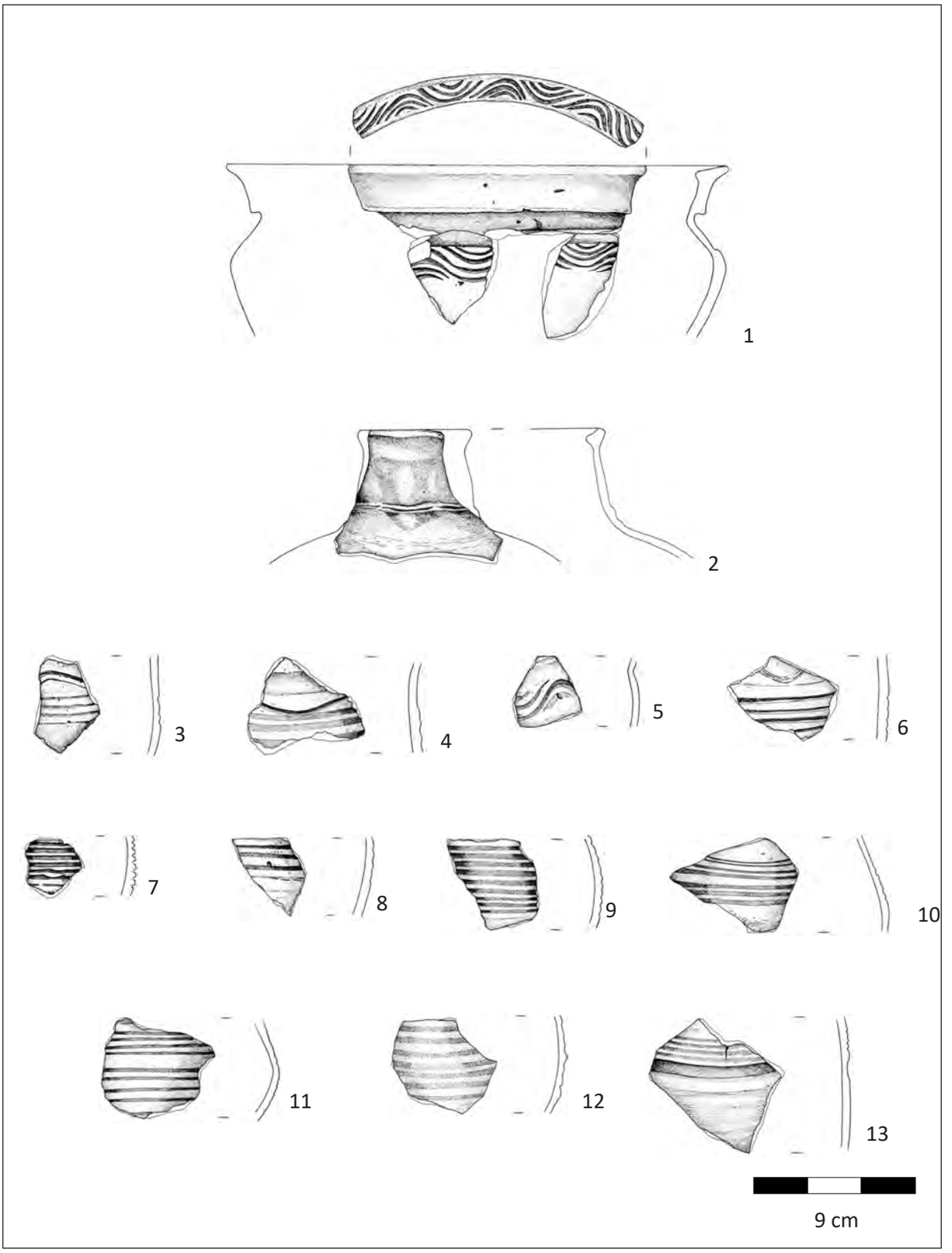

Tablica 5. Trupel, st. 4. Fragment wazy (1), flaszy (2) oraz brzuśce naczyń ornamentowanych (3–13) (rys. A. Chojnacka-Banaszkiewicz)

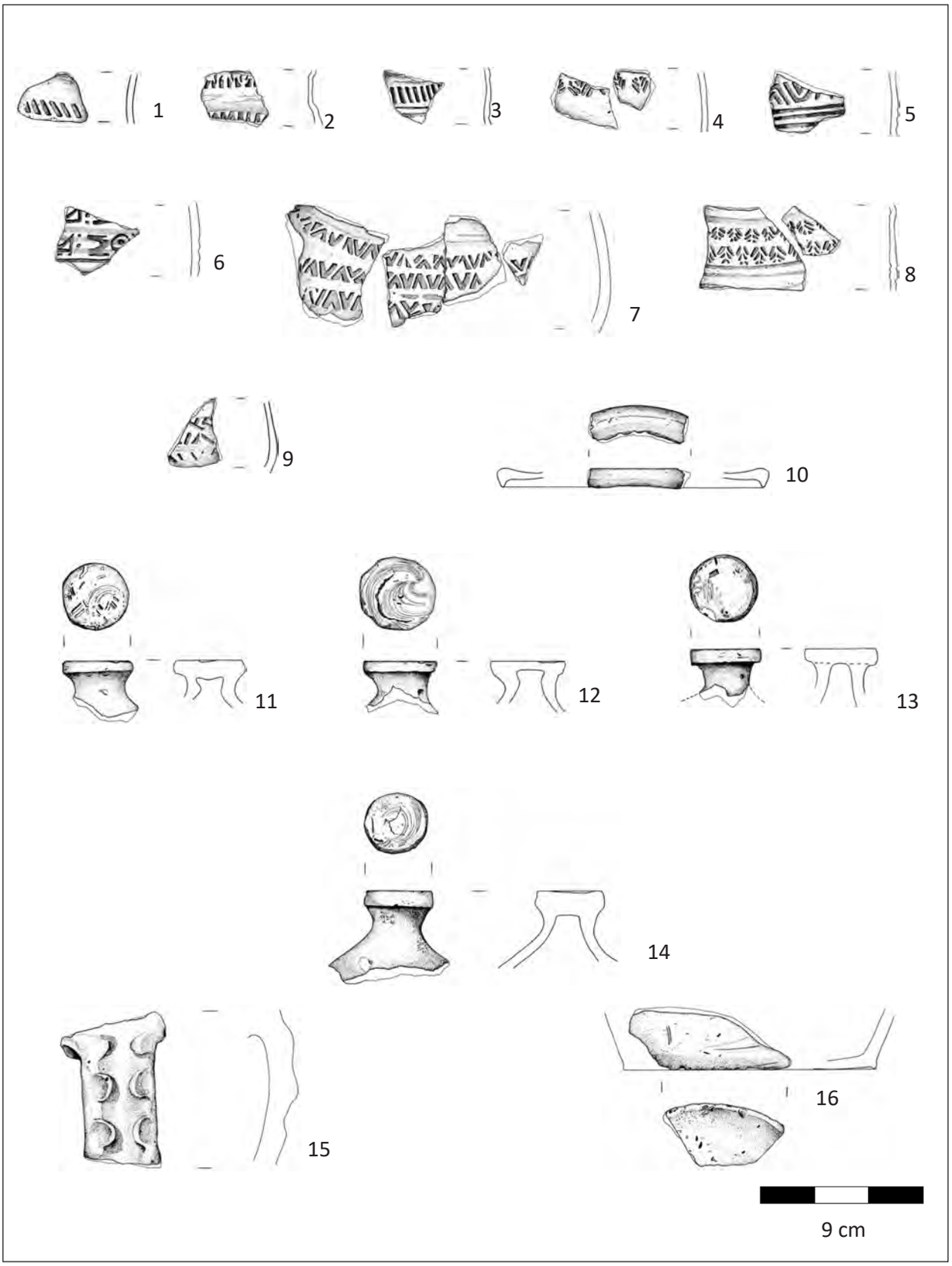

Tablica 6. Trupel, st. 4. Brzuśce naczyń ornamentowanych (1–9), fragmenty pokryw (10–14), ucho (15) oraz fragment części przydennej naczynia z dnem (16) (rys. A. Chojnacka-Banaszkiewicz)

falistą (tabl. 5:3–6). Część dzbanów o szerokich brzegach, podobnie jak wazowatych naczyń szerokootworowych, zdobiona jest żłobieniami dookolnymi, ukośnymi i łukowatymi (tabl. 1:7–9; 4:6–7; 5:1). Podobne wylewy występują na nieodległych średniowiecznych stanowiskach miejskich w Ostródzie[15] i Iławie[16].

Brzuśce naczyń były ozdabiane – zawsze poniżej szyjek – poziomymi żłobkami dookolnymi; dodatkowo niektóre naczynia miały ornament w postaci pojedynczych pasm falistych wykonanych rylcem (tabl. 5:3–6). Ornament głęboko rytych linii łukowatych / falistych występuje często w dwóch lub w kilku rzędach, jeden pod drugim. Na wylewach i brzuścach występują wielokrotne linie faliste, starannie wykonane, o łagodnych łukach (tabl. 5:1). Żłobienia rylcem wykonane są starannie, na dużych obszarach brzuśca lub pasmami po kilka w większych odstępach (tabl. 5:7–13). Narzędziem wykorzystywanym do wykonywania ornamentu były rylce cienkie i zaostrzone, pozostawiające głębokie rysy, z najgłębszym przegłębieniem w środkowej części żłobka; bądź rylce szersze, o szerokości 0,2–0,3 cm, o płaskich końcówkach, pozostawiające szerokie i niezbyt głębokie linie o płaskim wnętrzu. Zauważyć można zasadę, iż w dolnych partiach naczynia żłobienia są szersze i płytsze, niż w wyższych partiach naczynia. Niekiedy na fragmentach dzbanów o cylindrycznych górnych partiach występują głębokie rowki z wysokimi obłymi przestrzeniami pomiędzy nimi i ornamentem geometrycznych odcisków. Najczęściej brzuśce oraz szyjki pod wylewem nosiły ornament geometrycznych odcisków (tabl. 6:1–5, 7–9). Są to kombinacje małych trójkątów, prostokątnych i kwadratowych wgłębień i prostych odcinków. Tworzą one wzory zygzakowate, małe „choinki", bądź ukośne pasy krótkich odcinków. Ornament taki występuje często w dwóch lub w kilku rzędach, jeden pod drugim. Odciski bywają głębokie i bardzo starannie wykonane, wyraźne, ale też często niewyraźne i zatarte. Przejścia pomiędzy szyjką a brzuścem podkreślane bywają plastycznym wąskim żeberkiem, pojedynczym lub podwójnym (tabl. 4:3, 7; 5:2; 6:2–3, 8).

Jeden fragment brzuśca (tabl. 6:6) o wygładzonej powierzchni, pochodzący z cienkościennego, szarego naczynia, wypalonego w atmosferze redukcyjnej, wyróżnia się ornamentem w postaci regularnych odcisków wykonanych radełkiem o wzorze literowym. Fragment naczynia został wykonany z masy ceramicznej z niewielką zawartością drobnego piasku, o jednolitym przełamie. Odciśnięte wyraźne wzory liter na powierzchni w układzie poziomym – obrócone o 90 stopni, wykonano w dwóch rzędach w pasie o wysokości ok. 1,5 cm. Późnośredniowieczna ceramika naczyniowa z ornamentem literowym określana jest jako tzw. ceramika husycka. Znana jest ona z odkryć na Kujawach[17] i datowana jest głównie na wiek XV.

Plastyczny ornament w postaci mocnych wgłębień palcowych wystąpił jedynie na powierzchni dużego, szerokiego i masywnego ucha zachowanego fragmentarycznie (tabl. 6:15).

Pokrywki

W czasie badań odkryto 11 fragmentów różnych części pokryw. Są to zarówno fragmenty z brzegiem (tabl. 6:10), fragmenty ścianek, jak i okrągłe uchwyty (tabl. 6:11–14). Pochodzą one z warstwy powierzchniowej oraz z jednostek 2, 6, 20, 28 i 35. Pięć górnych części pokryw miało zachowany okrągły uchwyt o średnicy wynoszącej 3,5–4 cm, ze śladami odcinania na powierzchni. Znaleziono także pięć fragmentów brzegowych pokrywek o krawędzi szerokiej, płaskiej, zaokrąglonej lub wąskiej, o średnicach wynoszących od ok. 14 do ok. 16 cm. Analogiczne formy pokrywek i ich uchwytów znaleziono w zespole ceramiki z miast i zamków Warmii i Mazur, np. ze średniowiecznego przedmieścia Iławy[18], czy z Reszla[19], a także z wielu innych stanowisk z 2. połowy XIV w.[20]

Ucha

W materiale zabytkowym z Trupla, st. 4 zidentyfikowano jedynie trzy fragmenty uch, szerokich (ok. 3–4,2 cm), taśmowatych, o grubości 0,7–1 cm. Jedno z nich (z warstwy 4), mocno profilowane, ma powierzchnię wyświeconą wzdłużnymi czarnymi smugami. Pochodzi ono najprawdopodobniej od dzbana matowego od wewnątrz i wyświeconego od strony zewnętrznej oraz ozdobionego poziomymi żłobieniami. W jednostce stratygraficznej 20 odkryto duże i szerokie (szer. 4,2 cm) ucho o powierzchni szarej, matowej, ozdabiane głębokimi odciskami palcowymi (tabl. 6:15). Analogiczna ornamentyka znajduje się na uchu dzbana, który pochodzi z badań na zamku w Toruniu, z zespołu zabytkowego datowanego na okres po 1454 r.[21]

Dna

Wśród materiału ceramicznego z Trupla, st. 4 zidentyfikowano 67 części przydennych i 59 den, głównie lekko wklęsłych, a w dziesięciu przypadkach – płaskich. Ze względu na wielkości średnic i grubość ścianek bocznych i den możemy wyróżnić małe, cienkościenne naczynka o średnicach den wynoszących 4–7 cm, głównie płaskie (tabl. 4:1) i lekko wklęsłe; naczynia średniej wielkości o dnach płaskich średnicy 8–9 cm i duże naczynia (tabl. 6:16) o średnicy den 10–4 cm,

[15] Michalski 1998a: ryc. 17:12, 18, 21.

[16] Kobylińska 1999: tabl. 1–2.

[17] Horbacz, Mikołajczyk i Wojda 1980; Kajzer 1988; Andrzejewska 1997; Pochylski i Kowalczyk 2011.

[18] Kobylińska 1999: tabl. 10:1–2, 4.

[19] Sikorska-Ulfik 1994: ryc. 7:7–9.

[20] Kruppé 1981: karta 65:3, 12, 14, 18; 66:2–3, 5, 7–8; 69:1–2.

[21] Kruppé 1981: karta 46:18.

głównie lekko wklęsłych, ale też płaskich i wklęsłych, częściej masywnych i grubościennych. Części przydenne charakteryzują się zarówno występowaniem silnego jak i słabego wcięcia przy dnie, gdzie przeważnie uformowana została dobrze widoczna tzw. stopka. Podsypka na dnach jest przeważnie bardzo drobna i mocno zatarta, a w dziesięciu przypadkach widoczne są ślady odcinania.

Podsumowanie

Naczynia znalezione na terenie grodziska w Truplu, st. 4 są jednolite w swym charakterze i podobne do siebie ze względu na rodzaj gliny, stopień obtoczenia, a także uformowanie kształtów wylewów. Skromny zakres form i niewielka liczba naczyń wskazuje na jednoczasowe i stosunkowo krótkotrwałe zamieszkiwanie tego miejsca. Głównie w użyciu były tutaj garnki do gotowania, przykrywane często pokrywami, a także różnej wielkości dzbanki i cienkościenne dzbanuszki, o małych średnicach profilowanych wylewów. Najbardziej okazałe, duże misy i ozdobna waza znalezione na grodzisku, podobnie jak inne formy, mają ciemnoszare matowe powierzchnie. Można więc wnioskować, że nie jest to wykwintna ceramika stołowa, która zwykle była wyświecana. Zwraca uwagę brak kubeczków do picia, małych miseczek, patelni i tym podobnych form. W zestawie naczyń użytkowych istotną rolę musiały zatem pełnić naczynia drewniane. Znikoma liczba małych fragmentów brzuśców o wyświeconej powierzchni i obecność naczyń głównie należących do zestawu ceramiki kuchennej, wskazują na niewielką zamożność niedużej grupy mieszkańców.

Materiał ceramiczny z jednostek stratygraficznych grodziska w Truplu charakteryzuje silne rozdrobnienie (tab. 3). Głównie znaleziono fragmenty o wielkości do 4 cm – w sumie 546 fragmentów, a więc ponad połowę (60,40%) całości zbioru. Średnich fragmentów, o wielkości 5–6 cm jest jedynie 266 (29,42%), a dużych – jedynie 92 fragmenty (10,18%). Wnioskować można więc o intensywnych procesach destrukcyjnych zachodzących w warstwach użytkowych i o wielu działaniach niszczących ceramikę na badanym terenie grodziska, takich jak niwelacje, przebudowa, użytkowanie terenu przez deptanie czy częste tłuczenie się cienkościennych, kruchych naczyń w trakcie użytkowania. Wnosić także można, że w warstwach i obiektach pozostały jedynie mniejsze części naczyń, a większe wyrzucano w dalszej odległości od miejsca gospodarowania, tym bardziej, że analizowane fragmenty naczyń głównie (631 fragmentów, czyli 69,88% zbioru) reprezentują I kategorię zniszczenia (tab. 3). Krawędzie fragmentów ceramiki wykazują ślady zdarcia, zatarcia i zniszczenia w niewielkim stopniu, ale nie są bardzo mocno zdarte czy wypłukane.

Naczynia, których fragmenty odkryto na terenie grodziska w Truplu, st. 4, to w ogromnej większości ceramika „siwa", matowa, podobna do form ceramiki znajdowanych na innych stanowisk osadniczych charakterystycznych dla okresu drugiej połowy XIV w. i XV w., głównie w rejonie Warmii i Mazur oraz północnych Kujaw[22]. Przegląd zestawów naczyń stalowoszarych z dalszych regionów Polski wskazuje na pewne podobieństwa form będących w użyciu w warowniach rycerskich[23]. Cienkościennej ceramiki ceglastej, charakterystycznej dla okresu od przełomu XV i XVI w. zidentyfikowano w zespole ceramiki z Trupla, st. 4 jedynie pojedyncze fragmenty.

Zabytki wydzielone (tabl. 7)

Na terenie grodziska w Truplu, st. 4 znaleziono 31 zabytków metalowych, skorodowanych, zachowanych fragmentarycznie.

Grot bełtu do kuszy (tabl. 7:1)

W jednostce stratygraficznej 20 z Fazy II znaleziono dość zniszczony, zgnieciony i skorodowany, niewielki żelazny grot bełtu do kuszy. Grot zachowany jest na długości 3,8 cm, w tym zawiera się ok. 1 cm zdeformowanego trzpienia. Waga grotu bełtu kuszy wynosi 9,99 g. Grot – żeleźce strzały kuszy, czyli bełtu – był mocowany na brzechwie za pomocą np. trzpienia, jak w przypadku egzemplarza z grodziska w Truplu. O istnieniu wielu rodzajów grotów bełtów świadczą różne wzmianki pisane i ikonograficzne[24]. Obecność jednego tylko grotu na stanowisku nie może być dowodem militarnego charakteru stanowiska, bowiem z wielu informacji pisanych dowiadujemy się, że w okresie późnego średniowiecza kusze i strzały do nich były bardzo liczne w grodach i zamkach. Na przykład w licznych arsenałach Zakonu Krzyżackiego przechowywano wiele kusz. W Toruniu w 1394 roku znajdowało się ich 48 000, w niewielkich komturiach chełmińskich liczba bełtów sięgała kilku tysięcy, natomiast w zamku w Lipienku spis bełtów obejmował 200 egzemplarzy[25]. Gdyby w Truplu, st. 4 znajdował się gródek o istotnym znaczeniu obronnym, to znaleziony zbiór grotów bełtów powinien zatem być znacznie liczniejszy. Groty bełtów kuszy znajdowano w wielu mniejszych strażnicach, fortyfikacjach krzyżackich i warowniach w regionie warmińsko-mazurskim, często o charakterze drewniano-ziemnych gródków stożkowatych, między innymi w Narzymiu, gm. Iłowo-Osada, pow. działdowski, w Iławie, st. 33 – wyspa Wielka Żuława, czy w Starym Dzierzgoniu, st. 1, pow. sztumski[26].

[22] Sikorska-Ulfik 1994: ryc. 2–9; Kobylińska 1999: tabl. 1–10, 2000: tabl. 9:1; M. Żurek 2013: ryc. 33–38.

[23] Kałagate 1994: ryc. 2:3; 3:2.

[24] Nadolski i Lewandowski 1990: 150.

[25] Poliński 2013: 128–129.

[26] Wysocki 2012: ryc. 9; Wysocki i Klęczar 2013: ryc. 12; Gazda *et al.* 2013: ryc. 15, 30.

Grot strzały (tabl. 7:6)

Mocno skorodowany z wieloma ubytkami, niewielki grocik o długości całkowitej wynoszącej ok. 6,5 cm, jest wyposażony w okrągłą tulejkę o średnicy 0,6 cm. Grocik odkryto w jednostce stratygraficznej 22 z Fazy II.

Gwóźdź (tabl. 7:2)

W jednostce stratygraficznej 20 z Fazy II znaleziono skorodowany, zachowany na długości 3 cm żelazny gwóźdź z okrągłą główką o średnicy ok. 1,5 cm. Końcówka ostrza, w przekroju kwadratowa, jest ułamana.

Skoble (tabl. 7:8–10)

W jednostkach stratygraficznych reprezentujących Fazę II znaleziono żelazne pręty, w przekroju kwadratowe o zaostrzonych końcach, mocno skorodowane i fragmentarycznie zachowane, różnej wielkości (długości ok. 9 do 10 cm), które mogły służyć jako skoble do drzwi.

Sprzączka do pasa (tabl. 7:4)

W jednostce stratygraficznej 20 z Fazy II znaleziono mocno skorodowaną okrągłą żelazną sprzączkę do pasa, o średnicy ok. 2 cm, z częściowo zachowanym kolcem.

Pozostałe przedmioty

Zachowane fragmentarycznie pozostałe przedmioty z żelaza ze względu na silną korozję są trudne do interpretacji. Można sugerować jedynie prawdopodobne funkcje przedmiotów, jak np. częściowo zachowany fragment igły (tabl. 7:5); okucie drzwi z jednostki stratygraficznej 36 z Fazy I (tabl. 7:12); okucia ksiąg lub skrzynek, bądź okucia szkutnicze (tabl. 7:14–15)[27]; wygięta płaska blaszka służąca jako obejma jakiegoś przedmiotu (tabl. 7:13), czy elementy bliżej nieokreślonych większych przedmiotów (tabl. 7: 3, 7, 11, 16–22, 24–31). Z Fazy II pochodzi także duża, o wymiarach ok. 8 x 9 cm bryłkę żelaza (tabl. 7:23).

CHRONOLOGIA STANOWISKA

RAFAŁ SOLECKI I JACEK WYSOCKI

Wieś Trupel powstała zapewne w pierwszej ćwierci XIV w., ale dokładna data lokacji nie jest znana. Zachował się dokument odnawiający przywilej, datowany na 1326 r., w którym kapituła pomezańska nadaje urząd sołecki synom zmarłego sołtysa. W dokumencie tym jest także zgoda „na wybudowanie dziedzicznej i wolnej od wszelkich powinności karczmy". Wieś uległa całkowitemu zniszczeniu w trakcie wojny trzynastoletniej[28], ale po jej zakończeniu została odbudowana. W czwartej dekadzie XVI w. Trupel został nadany polskiemu szlachcicowi Michałowi Chomentowskiemu, który wybudował młyn w miejsce starszego zniszczonego[29].

Głównym wyznacznikiem chronologii grodziska jest materiał ceramiczny, który można datować na XIV–XV w.

[27] Por. Ossowski 2009: ryc. 3:3; 4; 5:6–8; 6; 7:4–6; 9.

[28] Koziełło-Poklewski i Martuszewski 1972: 261.

[29] Koziełło-Poklewski i Martuszewski 1972: 261; Martuszewski 1972: 68.

Tabela 3. Fragmentacja i erozja fragmentów ceramiki z grodziska w Truplu, st. 4 (oprac. U. Kobylińska)

Jedn. strat.	Kategorie wielkościowe [cm]															Stopień erozji			SUMA
	1	2	3	4	5	6	7	8	9	10	11	12	13	14	15	I	II	III	
3		2	4	6	5	2	2									14	5	2	21
4		5	16	19	14	4	6	3	2	2						46	20	5	71
6		3	11	7	6	2										14	8	7	29
10		1	7	13	3	2	3	1								15	15		30
12		1	1	3	6		1	1								8	5		13
16		1	6	7	2	1										10	6	1	17
17			1		1											1	1		2
18			1			1	1									1	1	1	3
20		17	84	75	60	51	19	4	4	4						251	34	33	318
22		1	4	2	4	2	2	1								9	5	2	16
25											1					1			1
28		14	52	44	21	22	11	3	1	1		1			1	138	25	8	171
30		1	3	1	2	1	2									6	3	1	10
32		7	10	14	4	8	2	1								29	6	11	46
33		9	40	50	27	14	6	4	2							92	41	19	152
34				3	1											2	1	1	4
SUMA	**0**	**62**	**240**	**244**	**156**	**110**	**55**	**18**	**9**	**7**	**1**	**1**	**0**	**0**	**1**	**637**	**176**	**91**	**904**

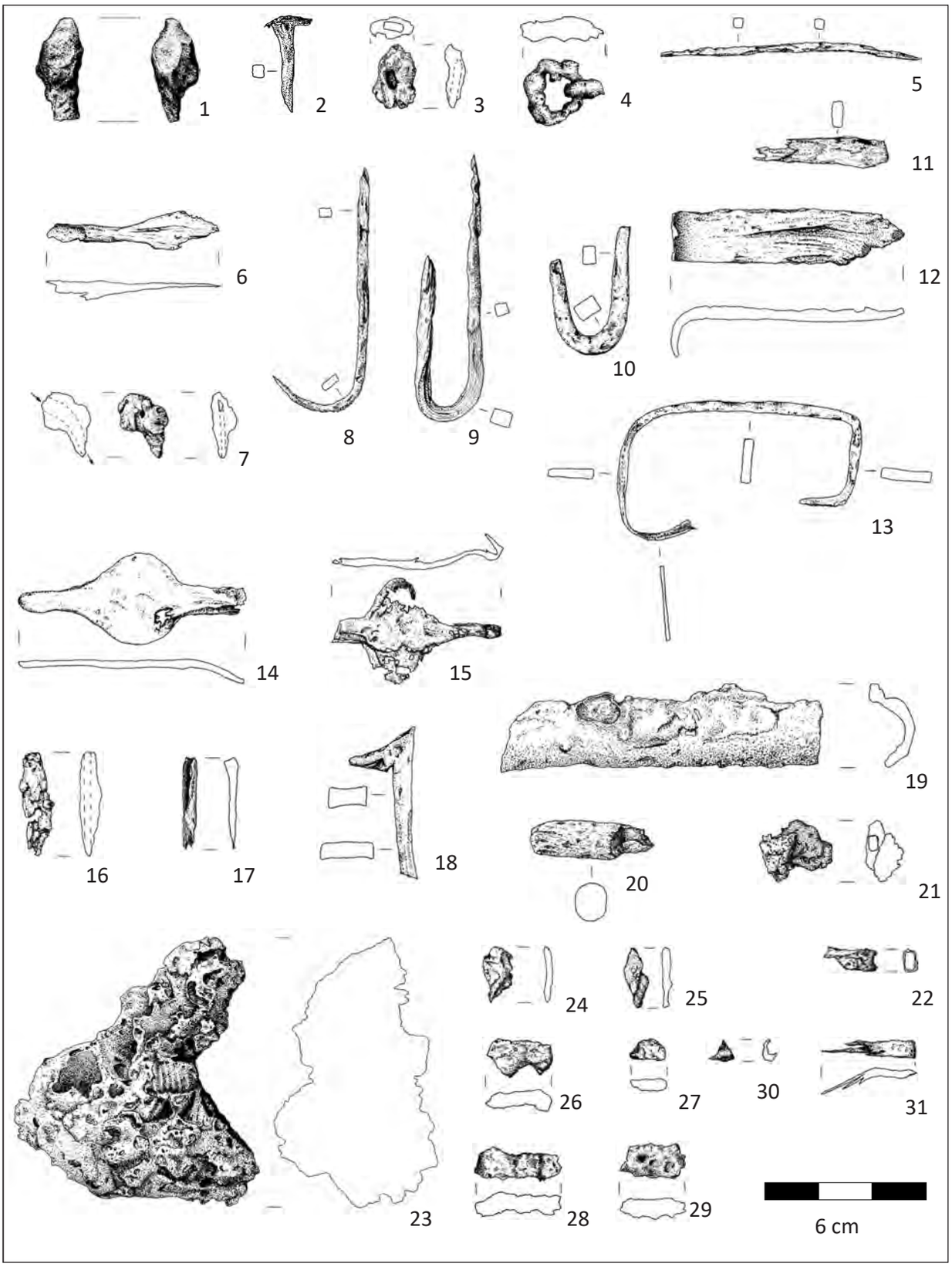

Tablica 7. Trupel, st. 4. Zabytki metalowe (rys. P. Potocka)

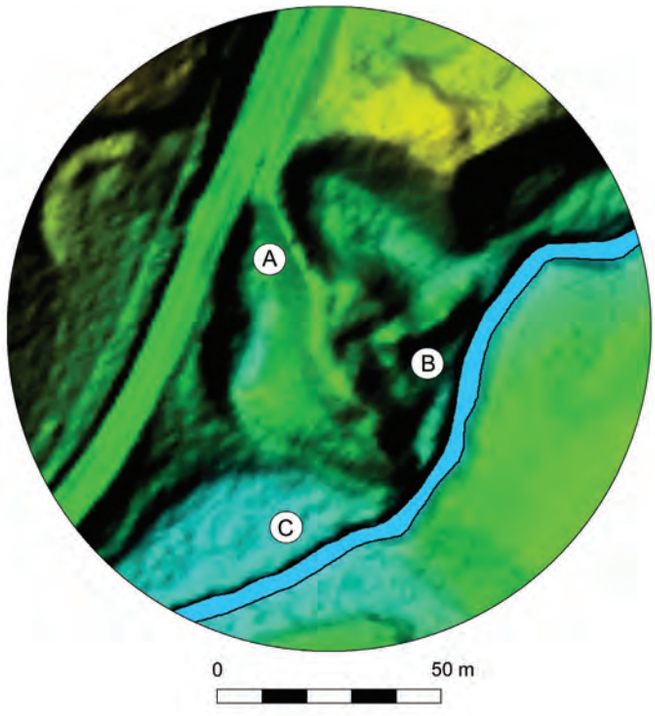

Ryc. 19. Prawdopodobna lokalizacja średniowiecznego młyna w Truplu na zobrazowaniu ALS, A – wał zaporowy, B – lokalizacja młyna z kanałem ulgi, C – staw młyński (oprac. R. Solecki)

DZIEJE GRODZISKA W TRUPLU, ST. 4

Interpretacja uzyskanych wyników nie jest łatwa, co jest spowodowane silnym zniszczeniem stanowiska. W zachowanej części grodziska odkryto relikty obiektu mieszkalnego, naziemnego, częściowo podpiwniczonego, który był zbudowany techniką szkieletową, ze ścianami wypełnionymi gliną. Być może był to nawet budynek piętrowy. Budynek ten, wzniesiony zapewne w XIV w., został zniszczony w wyniku pożaru, który spowodował wypalenie i zawalenie się obiektu. Stąd we wnętrzu piwniczki natrafiono na dużą ilość spalenizny. Wypełniskiem piwniczki są warstwy niwelacyjne powstałe w trakcie rozgarniania pogorzeliska. W obrębie tych warstw natrafiono na ceramikę o formach charakterystycznych dla XIV i XV w. To, w połączeniu z informacjami źródłowymi na temat zniszczeń wsi Trupel w okresie wojny trzynastoletniej, może sugerować, że budynek ten spłonął właśnie w tym okresie.

Ciekawe w tym kontekście wydaje się znalezienie w warstwie 32 (W1) będącej klepiskową formą podłogi w obrębie piwniczki, fragmentu tzw. „ceramiki husyckiej", sugerującej związki stanowiska z terenem południowo-wschodnich Kujaw.

W odległości około 3 m na północny-zachód od piwniczki natrafiono na dużą ilość popiołów, węgli drzewnych i polepy 20 (W2), pokrywających obszar o szerokości do 4,6 m pokładem grubym miejscami nawet na 55 cm. Spalenizna ta zalega częściowo ponad pasem niejednorodnej gliny 25 (W2), która przypomina klepisko zidentyfikowane w obrębie piwniczki. Duży pokład spalenizny może być więc reliktem przewróconej ściany budynku znajdującego się ponad piwniczką, śladem kolejnego, spalonego, niepodpiwniczonego budynku, który znajdował się w sąsiedztwie wspomnianej piwniczki, lub jedną z warstw niwelacyjnych powstałych podczas rozgarniania obszaru w sąsiedztwie piwniczki. Za drugą lub trzecią hipotezą przemawia fakt, że pod spalenizną znajduje się warstwa gliny, która mogła pełnić funkcję klepiska, a także znalezienie w obrębie spalenizny licznych fragmentów ceramiki i zabytków żelaznych, w tym okuć o charakterze budowlanym. Zabytki te znajdowały się w większości w spągowej części warstwy, a więc zostały przez nią przykryte. Poza ceramiką brak w tym zbiorze przedmiotów codziennego użytku, zwłaszcza tych „cenniejszych", co może świadczyć o udanej ewakuacji mieszkańców obiektu w związku z pożarem.

Analiza odkrytych reliktów sugeruje, że po pożarze obszar stanowiska został porzucony i nie odbudowano żadnego obiektu na miejscu pogorzeliska. Stąd dość dobrze zachowane relikty spalonego obiektu, zniszczone jedynie przez niewielkie wkopy związane z sadzeniem drzew. Należy jednak wziąć pod uwagę, że nowożytne niwelacje ziemne przeprowadzone w ciągu XIX i XX w., a związane z budową i przebudową drogi przecinającej stanowisko, całkowicie zniosły horyzontalne poziomy użytkowe. Relikty budynków zachowały się tylko tam, gdzie były one zagłębione w grunt, lub tam gdzie nie znajdowało się wybierzysko piasku, a więc przy południowej krawędzi cypla. W takim przypadku, nawet gdyby obszar cypla był w jakiś sposób użytkowany w młodszych okresach, ale bez powstania obiektów wziemnych, to ślady tego osadnictwa nie zostałyby zaobserwowane podczas badań.

Nazwa miejscowa stanowiska – znana ze źródeł niemieckich – brzmi *Der Mühlberg*[30], czyli „Młyńska Góra". Informację o młynie w Truplu potwierdza także wspomniane już szesnastowieczne źródło[31]. Jako, że we wsi Trupel nie ma innych cieków wodnych, młyn ten musiał znajdować się nad Nidą. Należy więc przypuszczać, że w bezpośredniej okolicy stanowiska znajdował się w średniowieczu młyn. Nie chodzi tu jednak o właściwy cypel, a o obszar znajdujący się bezpośrednio na południe od niego. Pomimo przekształceń terenu w wyniku budowy drogi można zauważyć ślady zbiornika wodnego, będącego być może stawem młyńskim, ślady konstrukcji spiętrzających wodę (wał zaporowy przegradzający jar), a być może także ślady kanału ulgi (ryc. 19). Młyn średniowieczny nie był najczęściej jednym budynkiem, lecz miał charakter folwarku.

[30] Crome 1937: 123.

[31] Koziełło-Poklewski i Martuszewski 1972: 261; Martuszewski 1972: 68.

Nie można wykluczyć, że na obszarze cypla znajdował się przed wojną trzynastoletnią niewielki gród typu *motte*. Podczas badań nie zostały odkryte żadne ślady umocnień, co może wynikać z nowożytnych niwelacji, które całkowicie zmieniły pierwotną formę cypla. Pewną przesłanką może być jednak fakt, że oprócz spalenia budynku lub budynków, obszar cypla został także rozgarnięty i zniwelowany. Takie traktowanie zabudowań widoczne jest także na stanowiskach w Grabinie lub w Durągu[32], które są ewidentnymi grodziskami i które zostały zniszczone właśnie w okresie wojny trzynastoletniej. Tak daleko posunięte zniszczenie ufortyfikowanego miejsca miało zapewne zapobiec jego szybkiemu odbudowaniu. Z perspektywy czasu wiadomo, że ani grodzisko w Grabinie, ani grodzisko w Durągu, ani omawiane tu stanowisko w Truplu, nie były już dłużej użytkowane.

[32] Patrz odpowiednie rozdziały w niniejszej publikacji.

Karolewo, st. 1

Gmina Susz
Powiat iławski
AZP 25-50/8
Współrzędne geograficzne:
N 53° 43’ 49’’
E 19° 17’ 33’’

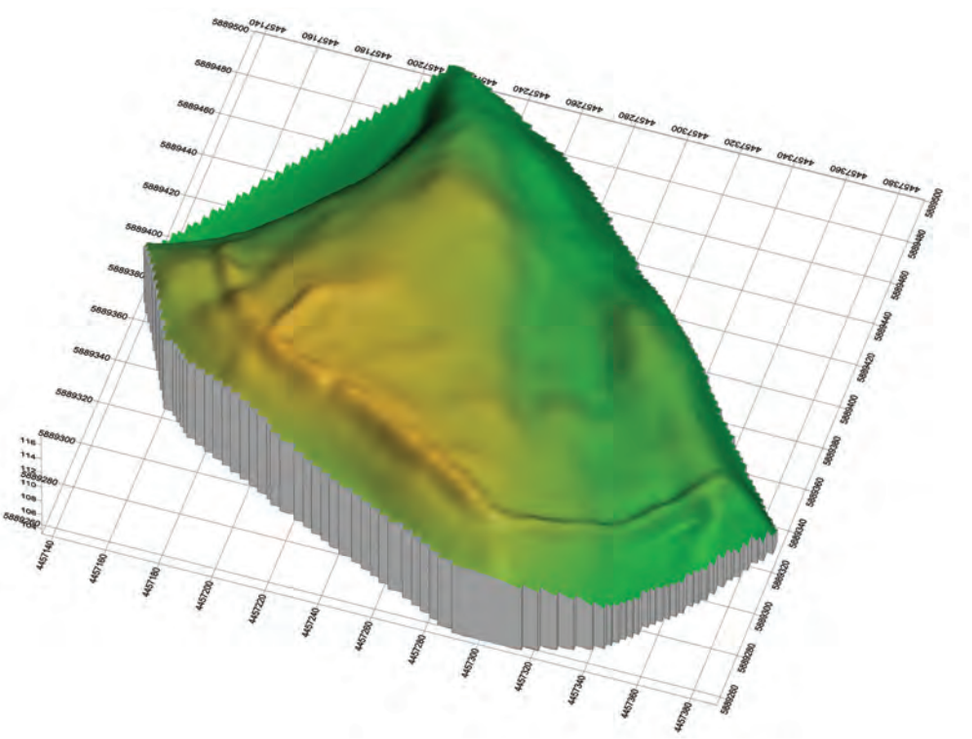

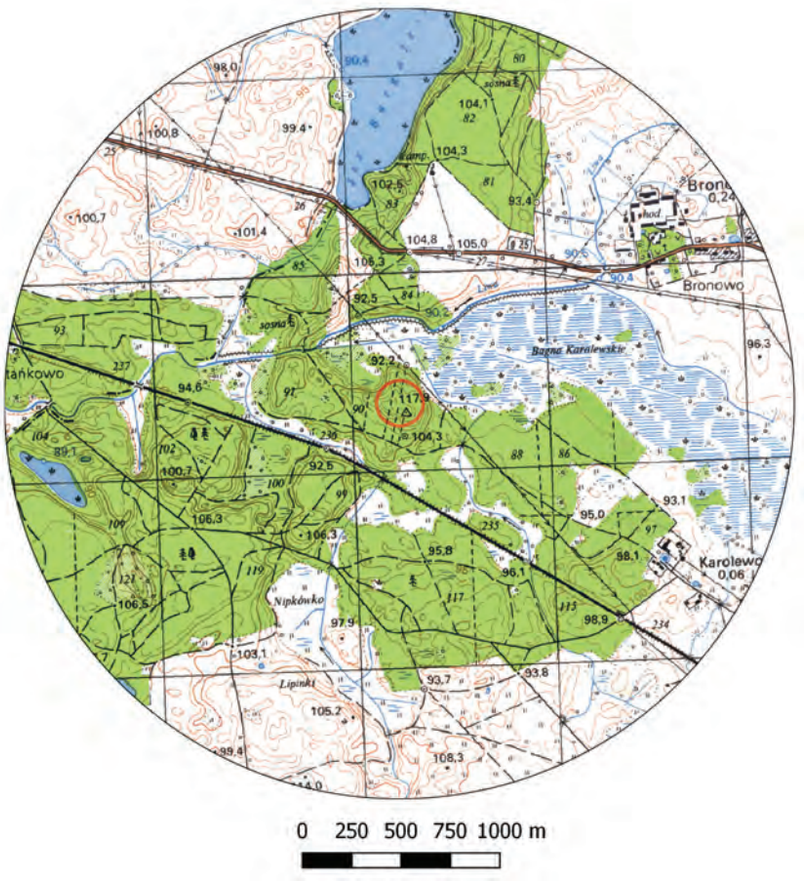

Ryc. 1. Grodzisko w Karolewie na mapie w skali 1:25 000 (na podstawie materiałów CODGiK, oprac. R. Solecki)

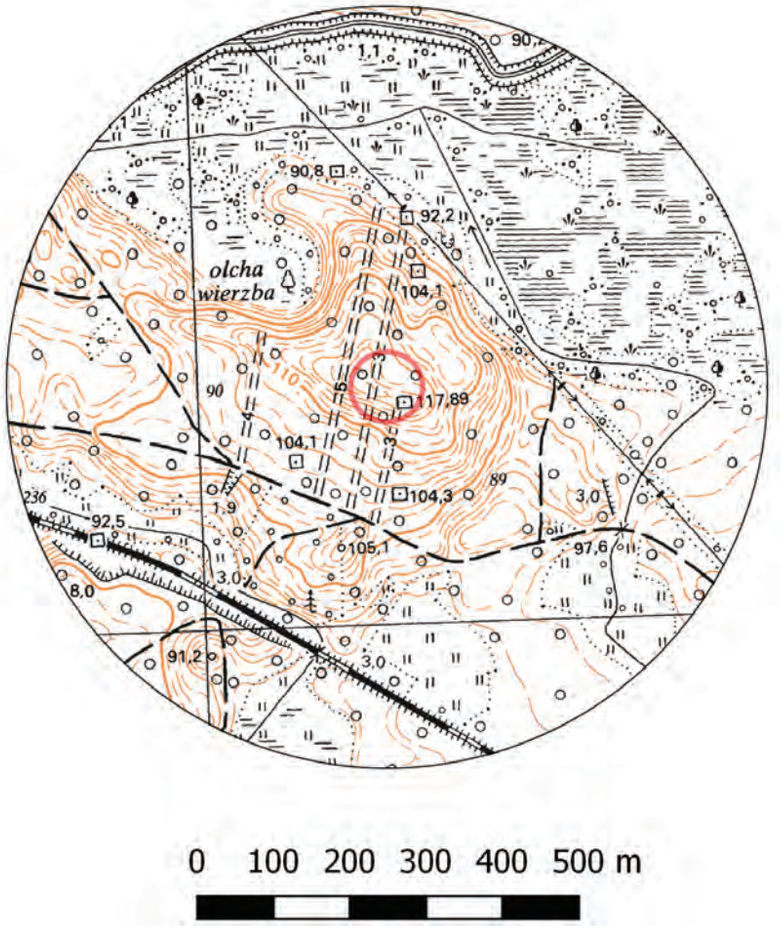

Ryc. 2. Grodzisko w Karolewie na mapie w skali 1:10 000 (na podstawie materiałów CODGiK, oprac. R. Solecki)

POŁOŻENIE GRODZISKA I JEGO FORMA

MAGDALENA RUTYNA I DARIUSZ WACH

Stanowisko 1 w Karolewie położone jest na południowej krawędzi doliny Liwy. Ma ono kształt nieregularny, zbliżony nieco do owalu oraz powierzchnię około 2,5 ha. Majdan, którego nierówna powierzchnia opada w kierunku północnym, oddzielony jest od wysoczyzny wałem o wysokości do 1,5 m od SW, S i SE. W SW części założenia w obręb majdanu wchodzi dodatkowy odcinek wału o długości około 50 m (ryc. 1–4). Po obu stronach wału widoczne są fosy: głębsza od strony zewnętrznej, a płytsza i słabiej czytelna – od strony wewnętrznej.

ŚRODOWISKO FIZYCZNO-GEOGRAFICZNE

JERZY NITYCHORUK I FABIAN WELC

Stanowisko położone jest na ostrodze pagórka otoczonego od północy Bagnami Karolewskimi, na wysokości między 105 a 110 m n.p.m. Pagórek, który oddzielono wałem i fosą od wysoczyzny jest zbudowany z piasków i żwirów wodnolodowcowych – sandrowych, a sam szczyt budują piaski i mułki kemowe stadiału górnego zlodowacenia Wisły[1] (ryc. 5). Kem jest formą, która powstała wcześniej, a dopiero później nastąpiła tu sedymentacja piasków sandrowych, które „opatuliły" pagórek. Zróżnicowanie morfologicznie powierzchni pagórka dobrze oddaje styl budowy geologicznej, gdyż widoczne są tu listwy osadów sandrowych przylegające do pagórka kemowego. Generalnie występują tu piaski średnioziarniste i drobnoziarniste, a w ograniczających pagórek głębokich rozcięciach erozyjnych i w położonym na północy obniżeniu występują torfy i gytie, które są podłożem gleb bagiennych. Majdan obiektu nie posiada wyraźnych cech przekształceń dokonanych intencjonalnie przez człowieka. W profilu wierceń wykonanych poza obiektem (K-1) występują osady piasków z humusem o miąższości do 0,7 m, natomiast wiercenia ulokowane w formach wklęsłych (K-2), które powinny być wypełnione osadami z humusem większej miąższości, takiego wypełnienia nie mają (ryc. 6–7).

Morfologia i przebieg wałów otaczających odcięty nimi fragment wysoczyzny wodnolodowcowej oraz ich budowa geologiczna pozwalają je uznać za ukształtowane ręką ludzką. Również wypełnienie fosy towarzyszącej wałom wskazuje, że tworzyła wraz z wałem system obronny.

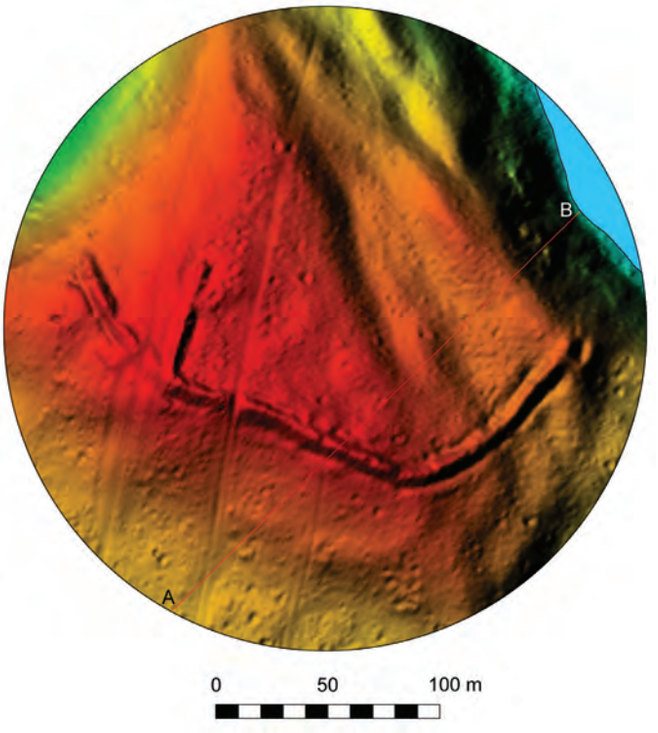

Ryc. 3. Grodzisko w Karolewie, st. 1 na zobrazowaniu ALS (na podstawie materiałów CODGiK, oprac. R. Solecki)

[1] *Szczegółowa mapa geologiczna Polski w skali 1:50 000, arkusz Susz*: Kabulski 2003.

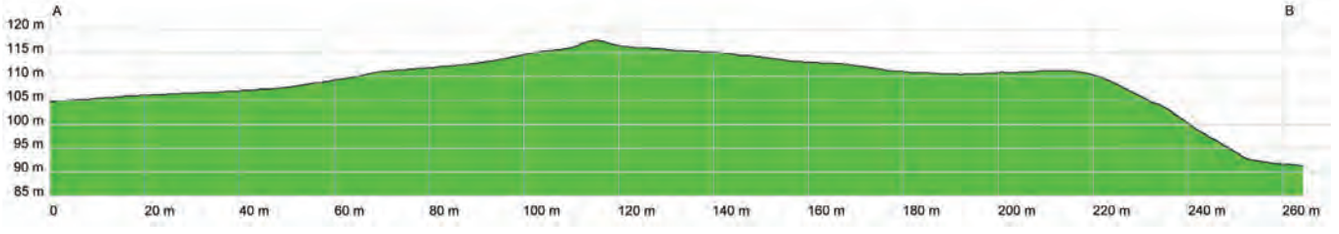

Ryc. 4. Przekroje grodziska w Karolewie, st. 1 uzyskane z danych ALS (na podstawie materiałów CODGiK, oprac. R. Solecki)

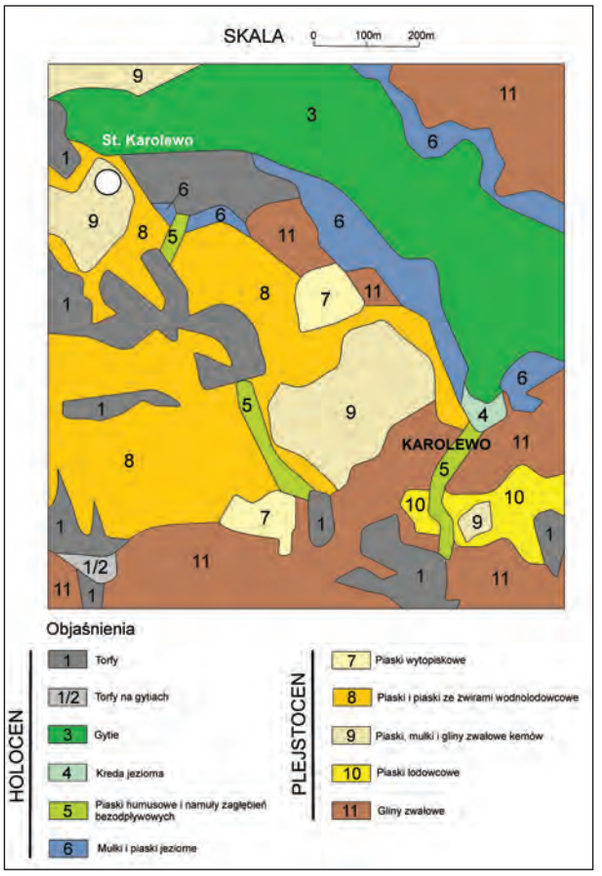

Ryc. 5. Mapa geologiczna obejmująca obszar wokół grodziska w Karolewie, st. 1 (oprac. J. Nitychoruk i F. Welc)

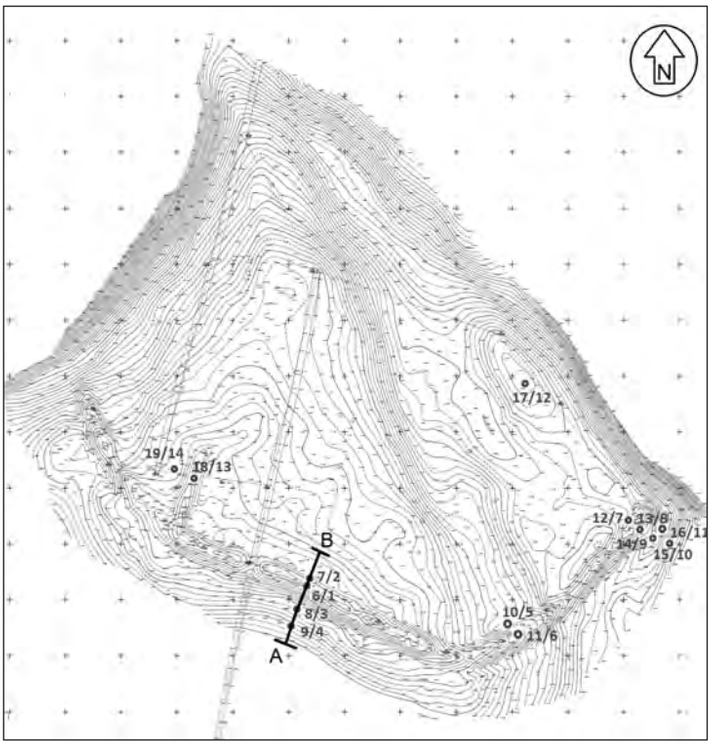

Ryc. 6. Plan warstwicowy grodziska w Karolewie, st. 1 (wyk. J. Błaszczyk) z oznaczeniem miejsc wierceń geologicznych (oprac. J. Nitychoruk i F. Welc)

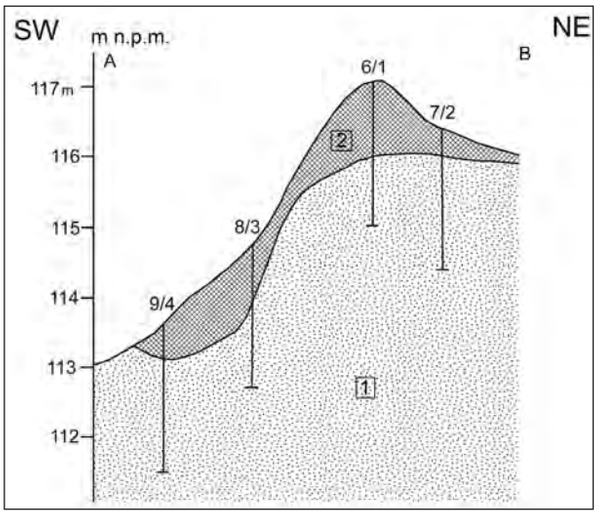

Ryc. 7. Przekrój geologiczny grodziska w Karolewie, st. 1: 1 – piasek drobnoziarnisty (kemowy), 2 – warstwy archeologiczne (oprac. J. Nitychoruk i F. Welc)

BADANIA ARCHEOLOGICZNE

MAGDALENA RUTYNA I DARIUSZ WACH

Przebieg badań terenowych

Na niemieckich mapach wzgórze w Karolewie oznaczono jako *Schanzen Berg* (ryc. 2). Stanowisko to już w XIX w. uważane było za grodzisko pruskie[2]. Bezskutecznie poszukiwał tego grodziska w rejonie wsi Bronowo i Stańkowo Mieczysław Haftka w r. 1968[3]. W 2000 r. Jarosław Sobieraj z Muzeum Warmii i Mazur w Olsztynie zlokalizował grodzisko[4], jednak nadal nie funkcjonowało ono w polskiej literaturze archeologicznej aż do jego powtórnego odkrycia przez Jacka Wysockiego w 2013 r.

Pierwsze badania archeologiczne na terenie grodziska w Karolewie przeprowadzono w 2013 r. w ramach projektu NPRH *Katalog grodzisk Warmii i Mazur*. W trakcie prac wykopaliskowych otworzono pięć wykopów (oznaczonych cyframi 1–5) o łącznej powierzchni 87 m² (ryc. 8). Wykop 1 miał 16,5 m długości i 2 m szerokości. Założony został w południowo-wschodniej części grodziska w taki sposób, by przecinał cały wał oraz dwie fosy. Zamiarem badawczym było rozpoznanie nawarstwień i śladów ewentualnych konstrukcji wału wraz z częścią obszaru bezpośrednio do wału przylegającego (ryc. 9). Wykop 2, o wymiarach 2 x 5 m, wytyczono w tej samej linii, co wykop 1, na majdanie. Wykop 3, o wymiarach 2 x 5 m, założono 40 m na północ od północnej krawędzi wykopu 2, również w tej samej linii. Wykop 4, o wymiarach 2 x 14 m, usytuowano 55 m na zachód od wykopu 1, w południowo-zachodniej części grodziska, w taki sposób, aby przecinał całą konstrukcję dodatkowego, wewnętrznego odcinka wału. Zamiarem badawczym było rozpoznanie nawarstwień i śladów ewentualnych konstrukcji tego wału wraz z częścią wewnętrznego obszaru bezpośrednio do niego przylegającego (ryc. 10). Wykop 5, o wymiarach 1,5 x 4 m, otworzono w północnej części grodziska, 77 m na północny-wschód od wykopu 4 w celu ustalenia występowania ewentualnych nawarstwień antropogenicznych w północnej części majdanu. Łącznie przebadano wykopaliskowo 87 m kw. powierzchni grodziska.

Stratygrafia stanowiska

W trakcie badań archeologicznych przeprowadzonych w 2013 r. wydzielono 136 jednostek stratygraficznych, które podzielono na trzy główne fazy związane z użytkowaniem tego stanowiska (tab. 1 i ryc. 11).

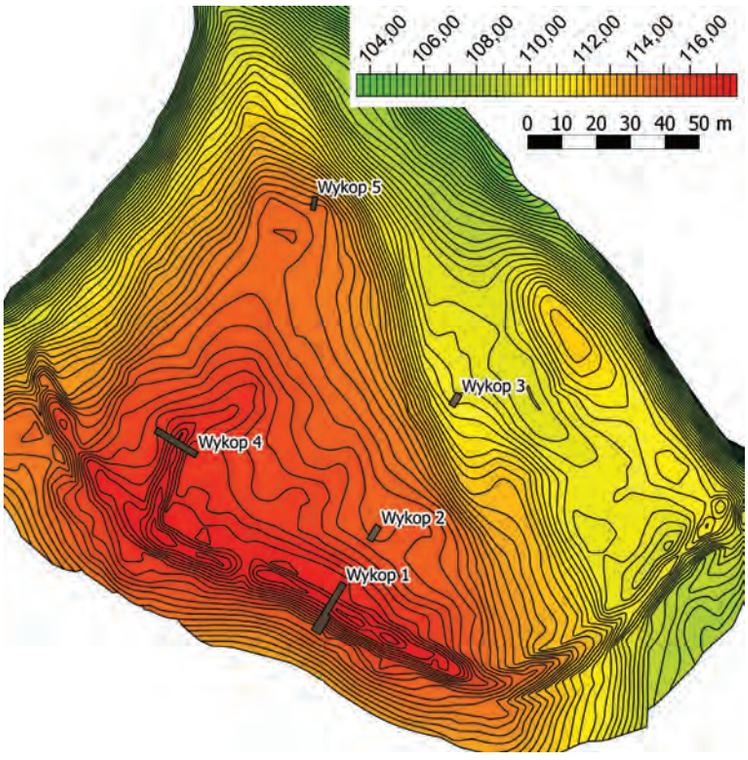

Ryc. 8. Plan warstwicowy grodziska w Karolewie, st. 1 z zaznaczonymi wykopami badawczymi z roku 2013 (na podstawie pomiarów J. Błaszczyka, oprac. R. Solecki)

Warstwy naturalne

W wykopie 1 zarejestrowano drobnoziarnisty, sypki piasek 18a=89=109=130, glebę kopalną 88 oraz warstwy tworzące wydmę: w ścianie zachodniej wykopu czytelne były następujące warstwy naturalne: drobnoziarnisty piasek 95, drobnoziarnisty, sypki piasek 90, sypki piasek 62, drobnoziarnisty piasek 85, drobnoziarnisty piasek 94, drobnoziarnisty piasek 93=100, drobnoziarnisty piasek 107, drobnoziarnisty piasek 67=82 i lekko ziemisty piasek 15; natomiast w ścianie wschodniej tego wykopu: drobnoziarnisty piasek 95, drobnoziarnisty, sypki piasek 90, sypki piasek 62, drobnoziarnisty piasek 85, drobnoziarnisty piasek 93=100, drobnoziarnisty piasek 99 oraz drobnoziarnisty piasek 98. Najmłodszą zidentyfikowaną warstwą naturalną był poziom humusu pierwotnego 71=83, na którym spoczywały nawarstwienia kulturowe.

W wykopie 2, 3 i 5 nawarstwienia kulturowe spoczywały na sypkim, drobnoziarnistym piasku 18a=89=109=130.

Natomiast w wykopie 4 zadokumentowano następujące warstwy naturalne: jednorodny, sypki piasek 18a=89=109=130, jednorodny, sypki piasek 110, jednorodny, sypki piasek 108, jednorodny, sypki piasek 47 (humus pierwotny) oraz niejednorodny, sypki piasek 122.

[2] Töppen 1876.

[3] Notatka z 11 września 1968 r. w archiwum Wojewódzkiego Urzędu Ochrony Zabytków w Elblągu.

[4] Archiwum Muzeum Warmii i Mazur w Olsztynie. Teczka: Stańkowo.

Tabela 1. Karolewo, st. 1. Badania w roku 2013. Katalog warstw i obiektów oraz ich zależności stratygraficznych (oprac. M. Rutyna i D. Wach)

Numer jednostki	Numer obiektu	Numer wykopu	Położenie w obrębie stanowiska	Współrzędne siatki pomiarowej stanowiska	Opis jednostki stratygraficznej	Barwa (Munsell)	Pozycja stratygraficzna	
							Znajduje się pod	Znajduje się nad
1a		1	Wał	X=150–152; Y=105,8–110,7	Sypki, jednorodny piasek; miąższość do 30 cm; nasyp wału	10YR 5/6; 10YR 6/8	11, 134, 136, 71, 83	1b
1b		1	Wał	X=150–152; Y=104,82–111,54	Sypki, jednorodny piasek; miąższość do 20 cm; nasyp wału	10YR 6/6; 10YR 6/8	1a	71=83
2=5=6		1	Zagłębienie przywałowe	X=150–152; Y=109,93–114,5	Sypki, jednorodny piasek; miąższość do 15 cm; warstwa powstała w wyniku naturalnego narastania gleby	10YR 2/1	61	25, 74, 20, 4, 72
4		1	Zagłębienie przywałowe/ majdan	X=150–152; Y=112,4–116,5	Sypki, jednorodny piasek; miąższość do 15 cm; warstwa powstała w wyniku naturalnego narastania gleby	10YR 5/5	20, 72	84, 90
7		1	Wał	X=150,62–151,86; Y=109,62–110,31	Mały, lokalny płat ziemi; niejednorodny piasek; miąższość do 15 cm	10YR 4/3	61	74
8		1	Wał	X=151,27–151,88; Y=108,2–108,74	Mały, lokalny płat ziemi; sypki, niejednorodny piasek; miąższość do 10 cm	10YR 4/3	61	78
9		1	Stok wału	X=150–152; Y=104,8–108,75	Sypki, jednorodny piasek; miąższość do 10 cm; warstwa powstała w wyniku erozji wału	10YR 6/8 (20%); 10YR 5/3 (80%)	61	134, 1a, 11
11		1	Stok wału	X=152; Y=103–106,6	Sypki, jednorodny piasek; miąższość do 20 cm; warstwa powstała w wyniku erozji wału	10YR 2/2	78, 13	12, 135
13		1	Fosa	X=150–152; Y=100–104,6	Sypki, jednorodny piasek; miąższość do 15 cm; warstwa powstała w wyniku erozji wału	10YR 5/6	79, 61	63, 134, 11
14		1	Fosa	X=150,28–152; Y=100,4–103,78	Sypki, niejednorodny piasek; miąższość do 10 cm; warstwa powstała w wyniku naturalnego narastania gleby	10YR 2/2	13, 64, 78	134
15		1	Fosa	X=150–151; Y=100–101,38	Lekko ziemisty piasek; calec	10YR 5/3 (80%); 10YR 3/2 (20%)	54, 134	62
16=17=61 =104=126		1, 2, 3, 4, 5	Całe stanowisko	X=81–152; Y=100–207,94	Ziemisty, niejednorodny piasek; miąższość do 15 cm; humus	10YR 6/1	127	18a
18a=89= 109=130		1, 2, 3, 4, 5	Całe stanowisko	X=81–152; Y=100–207,94	Drobnoziarnisty piasek; calec	10YR 6/4; 7,5YR 5/6	16, 17	
19	21	3	Majdan	X=150,9–151,5; Y=181,2–182	Sypki, niejednorodny piasek; wypełnisko obiektu 21	7,5YR 5/1	17	21
20		1	Stok wału, zagłębienie przywałowe	X=150–152; Y=110,27–115,05	Sypki, niejednorodny piasek z węgielkami; miąższość do 20 cm; warstwa powstała w wyniku erozji wału	10YR 3/4, 2/2	2=5=6, 61	23, 84, 25
21	21	3	Majdan	X=150,9–151,5; Y=181,2–182	Jama (?), o wym. ok. 50 x 70 cm i gł. ok. 10 cm; miała w planie nieregularny kształt, zbliżony do połowy owalu		19	18a
23		1	Zagłębienie przywałowe	X=150–151,8; Y=111,8–113,48	Sypki, niejednorodny piasek z węgielkami; miąższość do 10 cm; warstwa powstała w wyniku erozji wału	10YR 5/4 (80%); 10YR 2/2 (20%)	20, 2	25, 87
25		1	Zagłębienie przywałowe	X=150–152; Y=110,85–114,98	Sypki, niejednorodny piasek; miąższość do 40 cm; warstwa powstała w wyniku erozji wału	10YR 6/3	2=5=6, 23	72, 86, 4, 87
27	46	4	Zagłębienie przywałowe	X=90–95; Y=125–127	Sypki, jednorodny piasek; miąższość do 40 cm; poziom użytkowy	7,5YR 4/6	28=29=30	108, 125
28=29=30		4	Zagłębienie przywałowe	X=90,45–94,7; Y=125–127	Sypki, niejednorodny piasek; miąższość do 30 cm; warstwa powstała w wyniku naturalnego narastania gleby	10YR 5/4	32, 104, 105	27
31a		4	Wał / stok zagłębienia przywałowego	X=85,8–92,35; Y=125,4–127	Sypki, jednorodny piasek; miąższość do 40 cm; nasyp wału	10YR 6/6	31b	47
31b		4	Wał / stok zagłębienia przywałowego	X=85,5–90,7; Y=125–127	Sypki, jednorodny piasek; miąższość do 40 cm; nasyp wału	10YR 4/6, 7/6	104, 133	28=29=30, 31a, 47
32		4	Stok wału / zagłębienie przywałowe	X=89,65–92,05; Y=126,4–127	Sypki, niejednorodny piasek; miąższość do 10 cm; warstwa powstała w wyniku naturalnego narastania gleby	10YR 3/2	104	28=29=30
33	36	4	Wał	X=89,44–90,12; Y=125,1–125,66	Lekko shumusowany piasek; wypełnisko obiektu 36	10YR 6/2	31b	36

Tabela 1. Ciąg dalszy

Numer jednostki	Numer obiektu	Numer wykopu	Położenie w obrębie stanowiska	Współrzędne siatki pomiarowej stanowiska	Opis jednostki stratygraficznej	Barwa (Munsell)	Pozycja stratygraficzna	
							Znajduje się pod	Znajduje się nad
34		4	Majdan	X=82–85,2; Y=125–127	Sypki, niejednorodny piasek; miąższość do 15 cm; warstwa powstała w wyniku naturalnego narastania gleby	10YR 2/2; 2,5YR 3/1	41	112
36	36	4	Wał	X=89,44–90,12; Y=125,1–125,66	Obiekt, o średnicy do 20 cm, w planie miał kształt okrągły, w przekroju był V-kształtny; dół posłupowy		33	31a
37	38	4	Wał	X=90,88–91,04; Y=125,2–125,35	Lekko ziemisty piasek; wypełnisko obiektu 38	2,5Y 5/1	32	38
38	38	4	Wał	X=90,88–91,04; Y=125,2–125,35	Obiekt, o średnicy do 20 cm, w planie miał kształt okrągły, w przekroju był V-kształtny; dół posłupowy		37	27
39	40	4	Wał	X=90,88–91; Y=125,4–125,6	Lekko ziemisty piasek; wypełnisko obiektu 40	2,5Y 5/1	32	40
40	40	4	Wał	X=90,88–91; Y=125,4–125,6	Obiekt, o średnicy do 20 cm, w planie miał kształt okrągły, w przekroju był V-kształtny; dół posłupowy		39	27
41		4	Fosa	X=81–86,15; Y=125–127	Sypki, niejednorodny piasek; miąższość do 30 cm; warstwa powstała w wyniku naturalnego narastania gleby	10YR 5/6 (80%); 10YR 3/2 (20%)	104, 133	34, 122, 115
42	43	4	Wał	X=87–87,4; Y=125,88–126,26	Lekko ziemisty piasek; wypełnisko obiektu 43	2,5YR 6/3	31b	43
43	43	4	Wał	X=87–87,4; Y=125,88–126,26	Obiekt, o średnicy do 20 cm, w planie miał kształt okrągły, w przekroju był V-kształtny; dół posłupowy		42	31a
44		1	Wał	X=150–151,7; Y=105,6–111	Drobnoziarnisty piasek z drobnymi fragmentami węgli drzewnych; miąższość do 20 cm; nasyp wału	2,5Y 7/4	1b	71=83
45	45	1	Zagłębienie przywałowe	X=150–152; Y=109,25–115,6	Zagłębienie przywałowe; szer. (u góry) ok. 4 m; najniższy punkt na poziomie 115,50 m n.p.m; różnica wysokości pomiędzy dnem zagłębienia, a szczytem wału po osi ściany W wykopu wynosi około 1,2 m; U-kształtny przekrój		86	90
46	46	4	Zagłębienie przywałowe	X=90–94,7; Y=125–127	Zagłębienie przywałowe; szer. (u góry) ok. 3,5 m; najniższy punkt na poziomie 115,20 m n.p.m; różnica wysokości pomiędzy dnem zagłębienia, a szczytem wału po osi ściany N wykopu wynosi około 1,7 m; U-kształtny przekrój		27	109
47		4	Wał	X=85,5–90,3; Y=125–127	Sypki, jednorodny piasek; humus pierwotny	10YR 5/6	31a	108
48		4	Fosa	X=81,4–84,85; Y=125–127	Bardzo sypki, pylasty, jednorodny piasek; miąższość do 30 cm; warstwa powstała w wyniku naturalnego narastania gleby	10YR 7/4	119, 120, 34	114, 115
49	49	4	Fosa	X=82,1–85,5; Y=125–127	Fosa zewnętrzna; szer. (u góry) fosy wynosi ok. 3 m, a najniższy punkt znajduje się na poziomie 114,50 m n.p.m; różnica wysokości pomiędzy dnem fosy, a szczytem wału po osi ściany N wynosi ok. 2,60 m; fosa miała U-kształtny przekrój		116, 117, 118	109
54	54	1	Fosa	X=150–152; Y=101–104,5	Fosa; szer. (u góry) fosy wynosi ok. 4 m, a najniższy punkt znajduje się na poziomie 113,50 m n.p.m; różnica wysokości pomiędzy dnem fosy, a szczytem wału po osi ściany E wykopu wynosi ok. 3,5 m; fosa miała U-kształtny przekrój		69, 70, 91	15, 89
62		1	Majdan	X=150–152; Y=100–101,4	Sypki piasek; calec	2,5Y 5/6	134, 103, 15, 54	89
63		1	Fosa	X=151,3–152; Y=101,25–103	Sypki, jednorodny piasek; miąższość do 20 cm; warstwa powstała w wyniku erozji wału	10YR 5/6	13	64, 134
64		1	Fosa	X=151,1–152; Y=101,1–103,15	Sypki, jednorodny piasek; miąższość do 15 cm; warstwa powstała w wyniku erozji wału	2,5Y 5/6	63	14, 134
65=80		1	Fosa	X=150–152; Y=101,1–103,85	Sypki, jednorodny piasek; miąższość do 50 cm; warstwa powstała w wyniku erozji wału	2,5Y 6/8	135, 134	66, 106
66		1	Fosa	X=151–152; Y=101,7–103,5	Sypki, jednorodny piasek; miąższość do 10 cm; warstwa powstała w wyniku erozji wału	2,5Y 6/8	65, 135	67, 102

Tabela 1. Ciąg dalszy

Numer jednostki	Numer obiektu	Numer wykopu	Położenie w obrębie stanowiska	Współrzędne siatki pomiarowej stanowiska	Opis jednostki stratygraficznej	Barwa (Munsell)	Pozycja stratygraficzna	
							Znajduje się pod	Znajduje się nad
67=82		1	Wał, fosa	X=150–152; Y=103,7–110,95	Drobnoziarnisty piasek; calec	10YR 5/6	71=83, 135	93=100, 89, 94
68	54	1	Fosa	X=150,9–152; Y=101,26–103,35	Sypki, jednorodny piasek; miąższość do 40 cm; poziom użytkowy	2,5Y 6/8	102	60, 70
69	54	1	Fosa	X=151,6–152; Y=102,3–103,2	Sypki, jednorodny piasek; miąższość do 20 cm; poziom użytkowy	2,5Y 6/6	70, 68	54, 89
70	54	1	Fosa	X=151,3–152; Y=101,2–103,5	Sypki, jednorodny piasek; miąższość do 35 cm; poziom użytkowy	2,5Y 5/6	68	89
71=83		1	Wał	X=150–152; Y=104,6–110,7	Jednorodny piasek; humus pierwotny	2,5Y 5/4	44, 1b	67=82
72		1	Zagłębienie przywałowe	X=151,25–152; Y=112,3–113,6	Sypki, niejednorodny piasek; miąższość do 15 cm; warstwa powstała w wyniku erozji wału	10YR 4/3	2=5=6, 101	4, 84
73		1	Wał	X=150,95–152; Y=108,55–110,03	Sypki, niejednorodny piasek; miąższość do 25 cm; warstwa powstała w wyniku naturalnego narastania gleby	2,5 5/4	78, 61	74, 1b
74		1	Wał	X=150,85–152; Y=109–110,84	Sypki, niejednorodny piasek; miąższość do 25 cm; warstwa powstała w wyniku naturalnego narastania gleby	2,5Y 6/4	73	75, 76, 77
75		1	Wał	X=151,17–152; Y=109,5–110,25	Sypki, jednorodny piasek; miąższość do 10 cm; warstwa powstała w wyniku naturalnego narastania gleby	2,5Y 4/4	74	77, 85
76		1	Zagłębienie przywałowe	X=151,28–152; Y=109,2–111,85	Sypki, jednorodny piasek; miąższość do 10 cm; warstwa powstała w wyniku naturalnego narastania gleby	10YR 7/8	77, 74, 101	84, 85
77		1	Wał	X=151,65–152; Y=109,4–110,45	Sypki, jednorodny piasek; miąższość do 30 cm; warstwa powstała w wyniku naturalnego narastania gleby	2,5Y 7/4	75, 74	76, 85
78		1	Wał	X=150,85–152; Y=106,1–109,5	Sypki, niejednorodny piasek; miąższość do 10 cm; warstwa powstała w wyniku naturalnego narastania gleby	2,5Y 5/4	16=17=61=104=126	1a, 1b, 11
79		1	Fosa	X=150–150,9; Y=100,4–103	Sypki, niejednorodny piasek; miąższość do 20 cm; warstwa powstała w wyniku naturalnego narastania gleby	10YR 3/3	16=17=61=104=126	13
81		1	Fosa	X=150–150,9; Y=103,4–104,25	Drobnoziarnisty piasek; miąższość do 10 cm; zsuw na zboczu fosy 54	10YR 7/8	106	54, 90, 89
84		1	Zagłębienie przywałowe	X=150–152; Y=110,7–115,6	Drobnoziarnisty, jednorodny piasek; miąższość do 20 cm; poziom użytkowy	10YR 6/8, 6/6	4, 76, 86, 1b, 136, 20, 101	85, 90
85		1	Zagłębienie przywałowe	X=150–151,2; Y=110,95–112,5	Drobnoziarnisty, jednorodny piasek; miąższość do 30 cm; wypełnisko zagłębienia przywałowego 45	10YR 6/6	84, 86	45, 90
86	45	1	Zagłębienie przywałowe	X=150–150,7; Y=112,46–113,02	Drobnoziarnisty, jednorodny piasek; miąższość do 50 cm; wypełnisko zagłębienia przywałowego 45	10YR 5/4	25	84, 88, 90
87		1	Zagłębienie przywałowe	X=150–150,35; Y=112,04–112,44	Sypki, jednorodny piasek; miąższość do 15 cm; warstwa powstała w wyniku erozji wału; wypełnisko zagłębienia przywałowego 45	10YR 2/2	25	136
88		1	Wał	X=150–152; Y=106,4–116,5	Gleba kopalna	10YR 5/4	95, 90	89
90		1	Wał, fosy	X=150–152; Y=106,5–116,5	Drobnoziarnisty piasek; calec	10YR 8/6	93=100, 85, 94	89, 88, 95
91		1	Fosa	X=150–150,45; Y=101,8–102,8	Drobnoziarnisty piasek; miąższość do 10 cm; poziom użytkowy	10YR 7/8	106	89
93=100		1	Wał	X=150–152; Y=104,2–114,2	Drobnoziarnisty piasek; calec	2,5Y 7/6; 10YR 4/3	67=82, 71=83, 84, 4	90, 99
94		1	Wał	X=150–150,68; Y=107,2–108	Drobnoziarnisty piasek; calec	10YR 7/6	67=82	93=100, 89, 90
95		1	Fosa	X=150–152; Y=113,5–116,5	Drobnoziarnisty piasek; calec	10YR 7/8	90	88
96		1	Majdan	X=150–150,8; Y=116,5	Sypki, jednorodny piasek; miąższość do 1 m; ślad po korzeniu	10YR 5/4	4	107, 90, 89
97		1	Majdan	X=150,8–152; Y=116,16–116,5	Sypki, jednorodny piasek; miąższość do 40 cm; warstwa powstała w wyniku naturalnego narastania gleby	2,5Y 7/6 (25%); 10YR 4/1 (75%)	4	98, 107

Tabela 1. Ciąg dalszy

Numer jednostki	Numer obiektu	Numer wykopu	Położenie w obrębie stanowiska	Współrzędne siatki pomiarowej stanowiska	Opis jednostki stratygraficznej	Barwa (Munsell)	Pozycja stratygraficzna	
							Znajduje się pod	Znajduje się nad
98		1	Majdan	X=151,5–152; Y=114,4–116,2	Drobnoziarnisty piasek; calec	2,5Y 6/4	97, 4	90, 99
99		1	Majdan	X=151,4–152; Y=114,1–115,7	Drobnoziarnisty piasek; calec	10YR 7/4	98, 93=100, 4	90
101		1	Zagłębienie przywałowe	X=151,58–152; Y=111,8–112,4	Sypki, niejednorodny piasek; miąższość do 10 cm; warstwa powstała w wyniku erozji wału	10YR 5/4	25	4
102	54	1	Fosa	X=150,69–152; Y=101,45–103,85	Sypki, niejednorodny piasek; miąższość do 10 cm; warstwa powstała w wyniku erozji wału	2,5Y 6/6	66, 65	68
103		1	Majdan	X=151,16–151,54; Y=100–100,3	Sypki, jednorodny piasek; miąższość do 10 cm	2,5Y 5/6	134	62
105		4	Zagłębienie przywałowe	X=91,94–92,96; Y=125–125,45	Sypki, jednorodny piasek; miąższość do 10 cm; warstwa powstała w wyniku naturalnego narastania gleby	2,5Y 5/4	104	28=29=30
106	54	1	Fosa	X=150–151,13; Y=100,8–104,8	Drobnoziarnisty, sypki, jednorodny piasek; miąższość do 25 cm; poziom użytkowy	10YR 5/8	65=80	81, 91
107		1	Majdan	X=150,8–152; Y=116,05–116,5	Drobnoziarnisty piasek; calec	2,5Y 7/6	97	90
108=125		4	Wał, fosa	X=85–95; Y=125–127	Sypki, jednorodny piasek; calec	10YR 6/6, 6/8	27, 47	109
110		4	Fosa	X=90,4–91,8; Y=126,3–127	Sypki, jednorodny piasek; calec	10YR 5/8	108	109
111		4	Wał, fosa	X=84,3–87,6; Y=125,9–127	Sypki, jednorodny piasek; miąższość do 20 cm; warstwa powstała w wyniku erozji wału	10YR 6/6	104, 41	31b, 31a, 115
112		4	Fosa	X=82,84–85,2; Y=125,95–127	Sypki, jednorodny piasek; miąższość do 25 cm; warstwa powstała w wyniku naturalnego narastania gleby	10YR 4/6	34	113
113		4	Fosa	X=83,5–84,54; Y=126,35–127	Sypki, niejednorodny piasek z drobnymi węgielkami; miąższość do 50 cm; warstwa powstała w wyniku erozji wału	10YR 3/4	112	115
114		4	Fosa	X=82,7–84,8; Y=125,65–127	Sypki, niejednorodny piasek z drobnymi węgielkami; miąższość do 50 cm; warstwa powstała w wyniku erozji wału	10YR 5/4	48	115
115		4	Fosa, majdan	X=81,88–85,5; Y=125–127	Sypki, jednorodny piasek; miąższość do 50 cm; warstwa powstała w wyniku erozji wału	10YR 6/6	114	116, 117, 118
116	49	4	Wał, fosa	X=84,55–88,8; Y=125–127	Sypki, jednorodny piasek; miąższość do 10 cm; poziom użytkowy	10YR 6/4	115	109
117	49	4	Fosa	X=83,4–84,2; Y=125–127	Sypki, jednorodny piasek; miąższość do 15 cm; poziom użytkowy	10YR 5/6	115	109
118	49	4	Fosa	X=82,5–83,5; Y=125–127	Sypki, jednorodny piasek; miąższość do 20 cm; poziom użytkowy	10YR 6/6	115	109
119		4	Fosa, majdan	X=81,3–83,4; Y=126,1–127	Sypki, jednorodny piasek; miąższość do 10 cm; warstwa powstała w wyniku naturalnego narastania gleby	10YR 3/4	41	48, 120
120		4	Fosa	X=82,4–83,3; Y=126,25–127	Sypki, niejednorodny piasek z węgielkami; miąższość do 10 cm; warstwa powstała w wyniku naturalnego narastania gleby	10YR 4/4	119	48
121		4	Fosa	X=83,34–84; Y=125–125,55	Wypełnisko fosy 49; piaszczysta, sypka, niejednorodna ziemia z drobnymi węgielkami	2,5Y 4/4	114	123
122		4	Majdan	X=81–82,3; Y=125–127	Sypki, niejednorodny piasek; miąższość do 35 cm; warstwa powstała w wyniku naturalnego narastania gleby	10YR 3/3, 3/6	41	109
123		4	Fosa	X=82,8–84,1; Y=125–125,95	Sypki, niejednorodny piasek; miąższość do 10 cm; warstwa powstała w wyniku naturalnego narastania gleby	2,5Y 5/6	121	115
124		4	Fosa	X=84,7–85,5; Y=125–125,6	Sypki, niejednorodny piasek; miąższość do 10 cm; warstwa powstała w wyniku naturalnego narastania gleby	10YR 5/6	133, 41	115
126		5	Północna część stanowiska	X=84,54–86,04; Y=204,24–207,94	Ziemisty, niejednorodny piasek; miąższość do 50 cm; humus	10YR 3/1, 8/1	127	132, 128, 129
127		5	Północna część stanowiska	X=85,9–86,36; Y=204,54–205,38	Lekko zgliniony piasek; miąższość do 0,1 m	10YR 6/1		126
128		5	Północna część stanowiska	X=84,54–86,04; Y=204,24–205,45	Sypki, jednorodny piasek; miąższość do 10 cm	10YR 5/2	126, 127	129

Tabela 1. Ciąg dalszy

Numer jednostki	Numer obiektu	Numer wykopu	Położenie w obrębie stanowiska	Współrzędne siatki pomiarowej stanowiska	Opis jednostki stratygraficznej	Barwa (Munsell)	Pozycja stratygraficzna	
							Znajduje się pod	Znajduje się nad
129		5	Północna część stanowiska	X=84,54–86,04; Y=204,24–204,7	Sypki, jednorodny piasek; miąższość do 35 cm	10YR 7/6	126, 128, 127	130, 131, 132
131		5	Północna część stanowiska	X=84,54–86,04; Y=204,85–207,94	Sypki, jednorodny piasek; miąższość do 50 cm	10YR 7/8	132, 129	130
132		5	Północna część stanowiska	X=84,54–86,04; Y=205,4–207,94	Sypki, jednorodny piasek; miąższość do 20 cm	10YR 8/2	129, 126	131
133		4	Zewnętrzny stok wału	X=82,9–88,2; Y=125–126,95	Sypki, jednorodny piasek; miąższość do 20 cm	10YR 4/3	104	31b, 41
134		1	Wał	X=150–152; Y=100–106	Sypki, niejednorodny piasek; miąższość do 40 cm; warstwa powstała w wyniku erozji wału	10YR 5/8	14, 64, 63, 13	135, 15, 62, 65=80, 103
135		1	Stok wału	X=151,5–152; Y=102,25–105,1	Sypki, niejednorodny piasek; miąższość do 50 cm; warstwa powstała w wyniku erozji wału	10YR 5/6	11, 134	65, 66, 67
136		1	Zagłębienie przywałowe	X=150–151; Y=110,4–112,5	Sypki, jednorodny piasek; miąższość do 20 cm; warstwa powstała w wyniku erozji wału	10YR 6/8	87, 20	84

Faza I

Faza I związana jest z budową wałów oraz wykopaniem fos i zagłębień przywałowych (ryc. 12–13).

Nasyp wału w wykopie 1 (ryc. 15–16) tworzą następujące warstwy: drobnoziarnisty piasek z drobnymi fragmentami węgli drzewnych 44, sypki, jednorodny piasek 1b, sypki i jednorodny piasek 1a.

Szerokość (u góry) zagłębienia przywałowego 45 w północnej części wykopu 1 wynosi około 5 m, a najniższy punkt znajduje się na poziomie 115,50 m n.p.m. Różnica wysokości pomiędzy dnem tego zagłębienia, które miało U-kształtny przekrój, a szczytem wału po osi ściany zachodniej wykopu wynosi około 1,2 m. Poziom użytkowania wyznacza drobnoziarnisty, jednorodny piasek 86, drobnoziarnisty, jednorodny piasek 85 oraz drobnoziarnisty, jednorodny piasek 84.

Szerokość (u góry) fosy 54 w południowej części wykopu wynosi około 4 m, a najniższy punkt znajduje się na poziomie 113,50 m n.p.m. Różnica wysokości pomiędzy dnem fosy, a szczytem wału po osi ściany wschodniej wykopu wynosi około 3,5 m. Fosa miała U-kształtny przekrój. Poziom użytkowania reprezentują następujące warstwy: w przekroju W – sypki, jednorodny piasek 91, sypki, jednorodny piasek 81 i sypki, jednorodny piasek 106, natomiast w przekroju E – sypki, jednorodny piasek 69, sypki, jednorodny piasek 70 oraz sypki, jednorodny piasek 68.

Wał w wykopie 4 (ryc. 17–18) usypano z warstw sypkiego, jednorodnego piasku 31a oraz sypkiego, jednorodnego piasku 31b. Na szczycie wału odkryto prawdopodobnie cztery niewielkie (każdy o średnicy około 20 cm) doły posłupowe 36, 38, 40 i 43. W planie miały one kształt okrągły, w przekroju zaś były V-kształtne. Ich wypełniska tworzył lekko ziemisty piasek (33, 37, 39, 42).

Podobnie jak w wykopie 1, po obu stronach wału w wykopie 4 zarejestrowano obecność zagłębień powstałych w czasie jego usypywania. Szerokość (u góry) fosy zewnętrznej 49 wynosi około 3 m, a najniższy punkt znajduje się na poziomie 114,50 m n.p.m. Różnica wysokości pomiędzy dnem fosy, a szczytem wału po osi ściany północnej wynosi około 2,60 m. Fosa miała U-kształtny przekrój. Poziom użytkowania wyznacza sypki, jednorodny piasek 117, sypki, jednorodny piasek 116 oraz sypki, jednorodny piasek 118.

Szerokość (u góry) wewnętrznego zagłębienia przywałowego 46, o przekroju U-kształtnym, wynosi około 3,5 m, a najniższy punkt znajduje się na poziomie 115,20 m n.p.m. Różnica wysokości pomiędzy dnem fosy, a szczytem wału po osi ściany północnej wynosi około 1,7 m. Poziom użytkowania reprezentuje sypki, jednorodny piasek 27.

Faza II – opuszczenie stanowiska

Po opuszczeniu stanowiska wały uległy daleko idącej erozji i spłynęły do fosy. W wykopie 1 z fazą II możemy wiązać następujące warstwy:

- w przekroju W – sypki, jednorodny piasek 65=80, sypki, niejednorodny piasek 134, sypki, jednorodny piasek 13, sypki, niejednorodny piasek 79, sypki, jednorodny piasek 9, sypki, jednorodny piasek 136, sypki, jednorodny piasek 87, sypki, niejednorodny piasek 25, sypki, niejednorodny piasek z węgielkami 23, sypki, niejednorodny piasek z węgielkami 20, sypki, jednorodny piasek 4 oraz sypki, jednorodny piasek 2=5=6;
- w przekroju E – sypki, niejednorodny piasek 72, sypki, niejednorodny piasek 101, sypki, jednorodny piasek 76, sypki, jednorodny piasek 77, sypki, jed-

Ryc. 9. Karolewo, st. 1. Widok ogólny wykopu 1 po zakończeniu eksploracji (fot. D. Wach)

Ryc. 10. Karolewo, st. 1. Widok ogólny wykopu 4 po zakończeniu eksploracji (fot. D. Wach)

norodny piasek 75, sypki, niejednorodny piasek 74, sypki, niejednorodny piasek 73, sypki, niejednorodny piasek 25, sypki, jednorodny piasek 4, sypki, jednorodny piasek 2=5=6, sypki, niejednorodny piasek 78, sypki, niejednorodny piasek 102, sypki, jednorodny piasek 66, sypki, jednorodny piasek 65=80, sypki, niejednorodny piasek 135, sypki, niejednorodny piasek 134, sypki, jednorodny piasek 64, sypki, jednorodny piasek 63, sypki, jednorodny piasek 11 oraz sypki, jednorodny piasek 13.

W wykopie 4 horyzont ten reprezentują: sypki, jednorodny piasek 111, sypki, jednorodny piasek 115, sypki, niejednorodny piasek z węgielkami 114, bardzo sypki, pylasty, jednorodny piasek 48, sypki, niejednorodny piasek z węgielkami 113, sypki, jednorodny piasek 112, sypki, niejednorodny piasek z węgielkami 120, sypki, jednorodny piasek 119, sypki, niejednorodny piasek 34, sypki, niejednorodny piasek 41, sypki, niejednorodny piasek 28=29=30 oraz sypki, jednorodny piasek 105.

Faza III – współczesny poziom użytkowy oraz warstwy o nieokreślonej chronologii

Niejednoznaczna jest chronologia warstw reprezentowanych przez sypki, jednorodny piasek 131, 128,

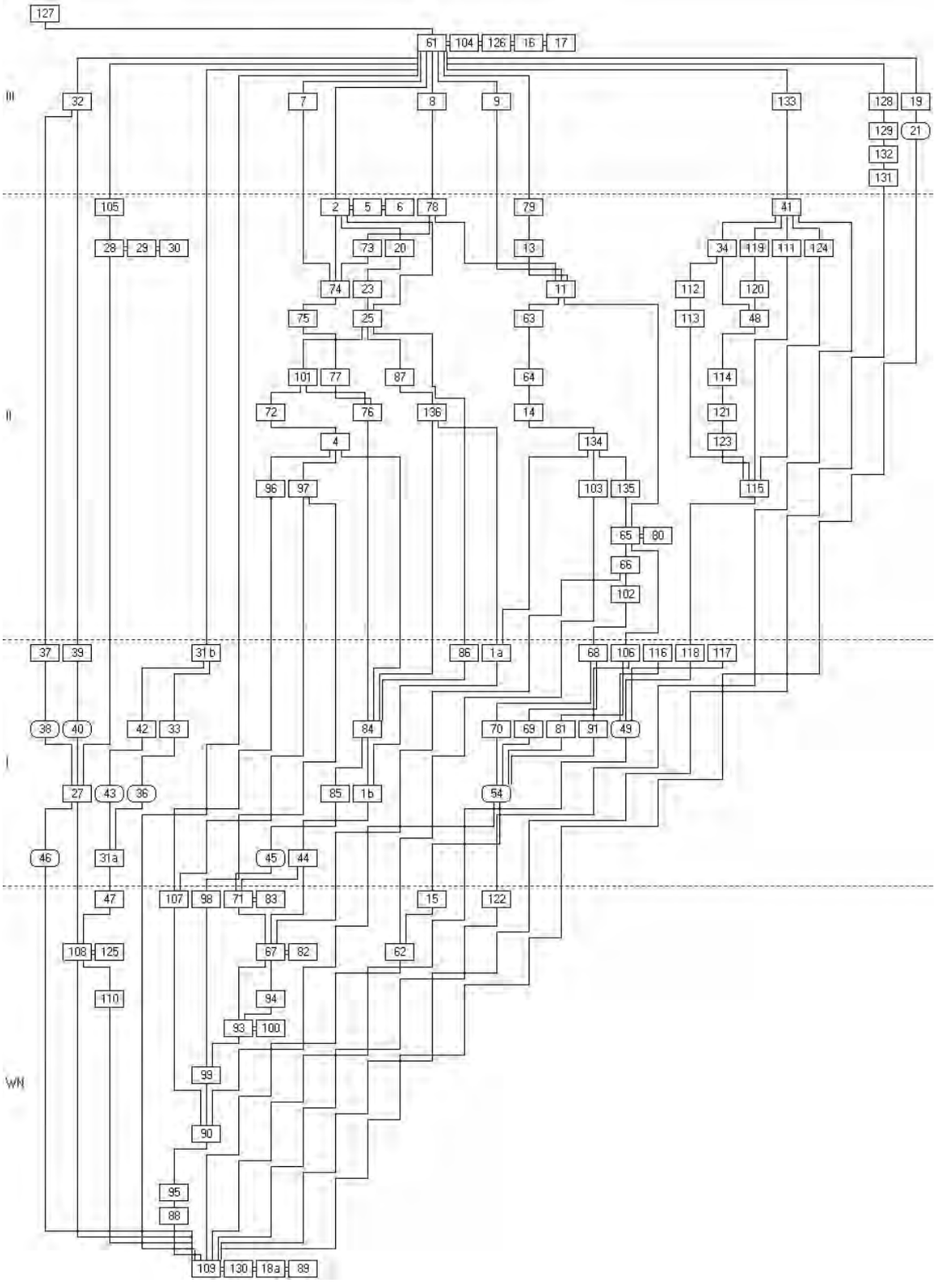

Ryc. 11. Karolewo, st. 1. Diagram relacji stratygraficznych (oprac. M. Rutyna)

Ryc. 12. Karolewo, st. 1. Przekrój przez wał i fosę zewnętrzną grodziska w wykopie 1 (fot. D. Wach)

Ryc. 13. Karolewo, st. 1. Przekrój przez fosę w wykopie 4 (fot. D. Wach)

129 oraz 132, odkrytych w wykopie 5 (ryc. 14). Nie udało się także określić chronologii obiektu 21 w wykopie 3. Zidentyfikowana jama (?), o wymiarach około 50 x 70 cm i głębokości około 10 cm, miała w planie nieregularny kształt, zbliżony do połowy owalu. Jej wypełnisko tworzył sypki, niejednorodny piasek.

Poziom współczesny reprezentowany jest przez shumusowane niejednorodne warstwy piasku 16=17=61=104=126 i 127

ZNALEZISKA

W trakcie badań wykopaliskowych pozyskano jedynie osiem zabytków krzemiennych datowanych na epokę mezolitu. Pozyskane zabytki znalazły się wtórnie w trakcie budowy umocnień w nowożytności.

CHRONOLOGIA STANOWISKA

W trakcie badań archeologicznych w 2013 roku nie odkryto ceramiki ani innych znalezisk, które pozwoliłyby jednoznacznie określić chronologię stanowiska. Brak materiału ceramicznego oraz brak konstrukcji kamiennych, bądź spalonych konstrukcji drewnianych we wnętrzu wałów, nasuwa wniosek, że stanowisko to prawdopodobnie pochodzi z czasów potopu szwedzkiego lub wojen napoleońskich i stanowiło krótko użytkowany ufortyfikowany obóz wojskowy.

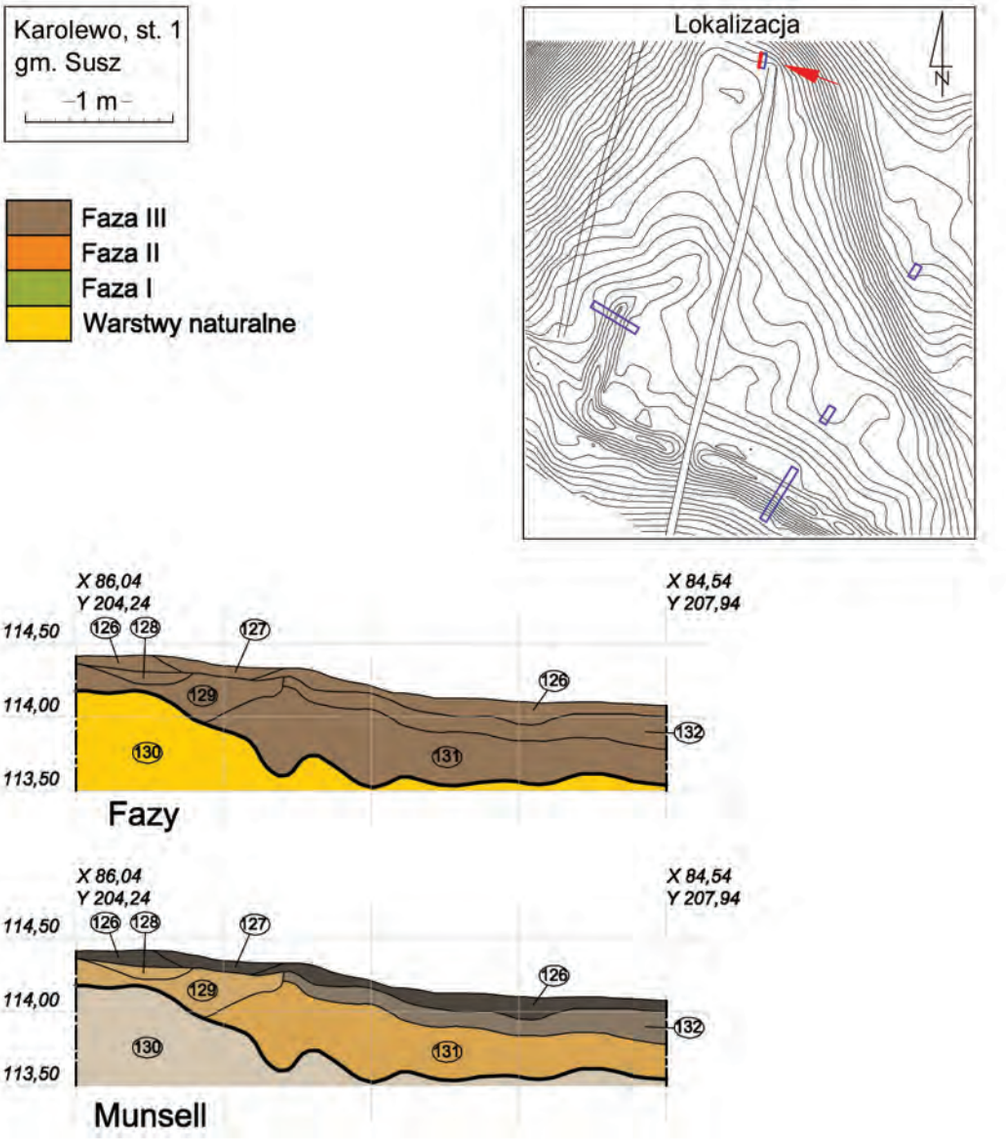

Ryc. 14. Karolewo, st. 1. Ściana zachodnia wykopu 5 (oprac. M. Rutyna, R. Solecki i D. Wach)

Karolewo, st. 1
gm. Susz
1 m

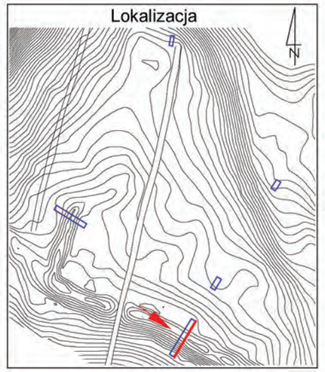

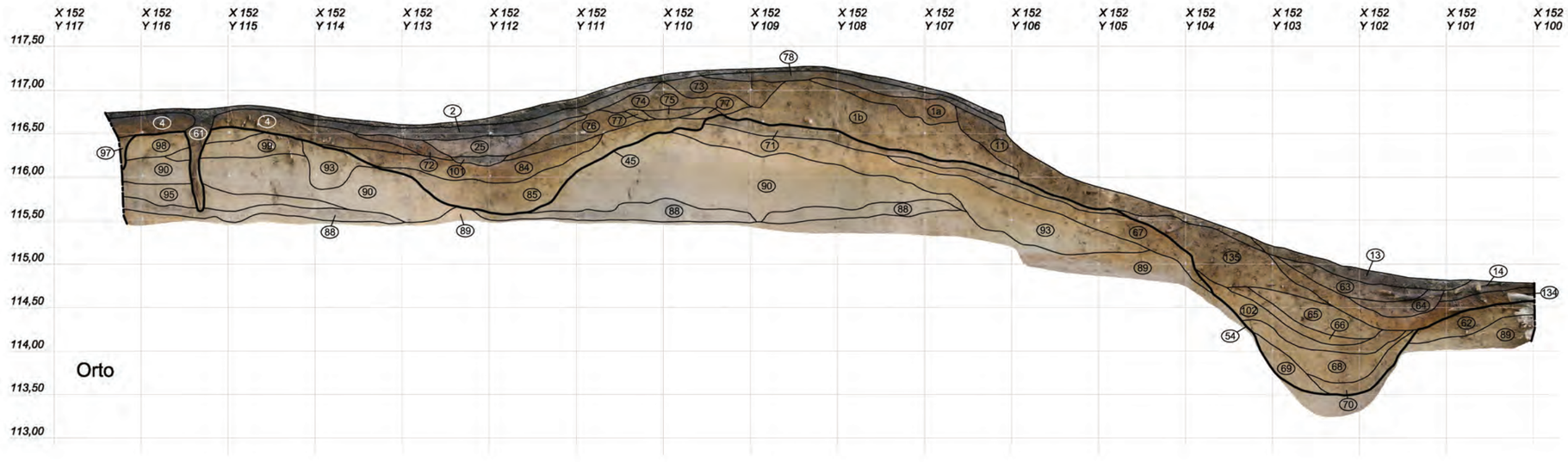

Ryc. 15a. Karolewo, st. 1. Przekrój przez główny wał, fosę i zagłębienie przywałowe w wykopie 1 (ściana wschodnia) (oprac. M. Rutyna, R. Solecki i D. Wach)

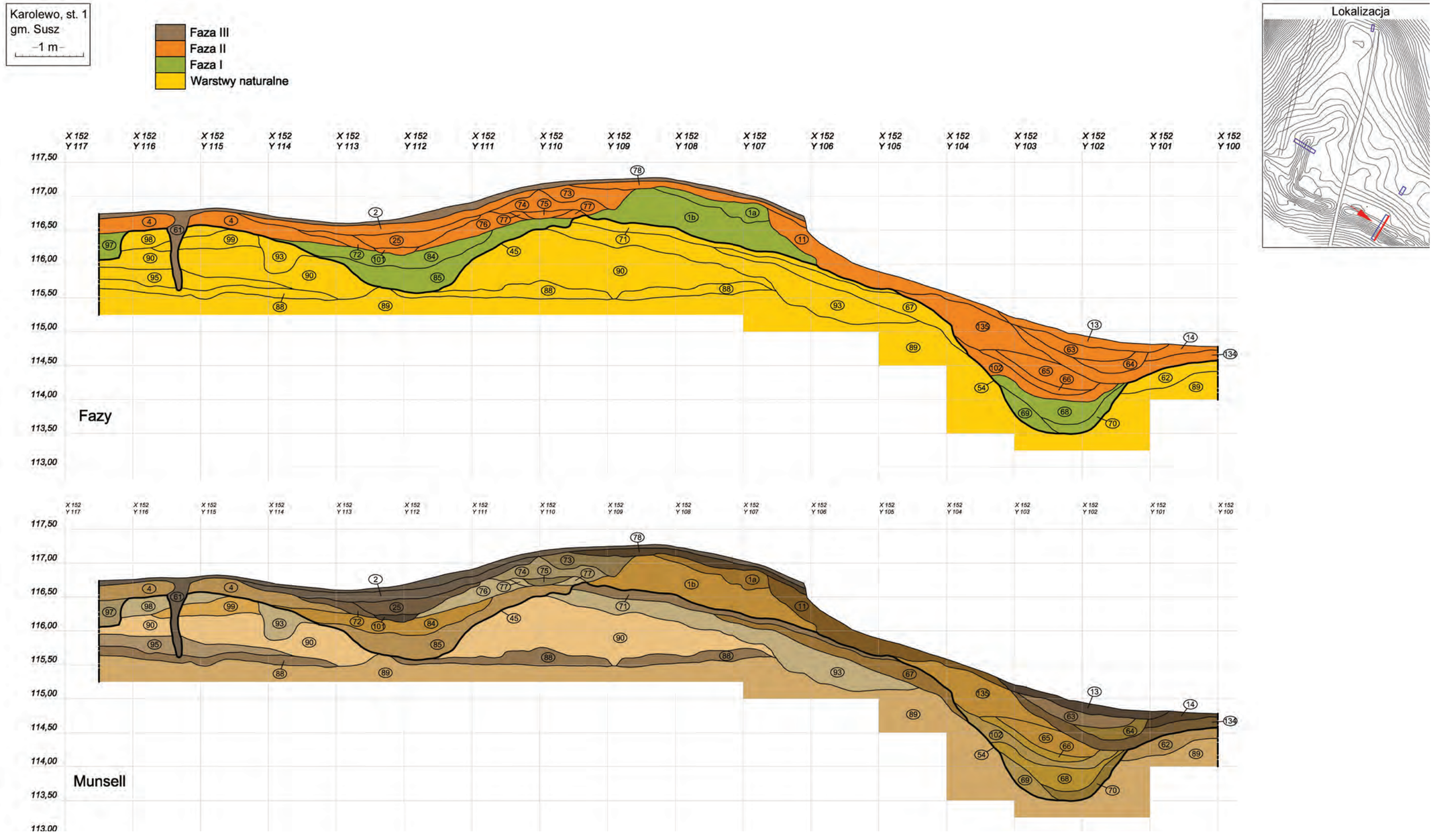

Ryc. 15b. Karolewo, st. 1. Przekrój przez główny wał, fosę i zagłębienie przywałowe w wykopie 1 (ściana wschodnia) (oprac. M. Rutyna, R. Solecki i D. Wach)

Karolewo, st. 1
gm. Susz
–1 m–

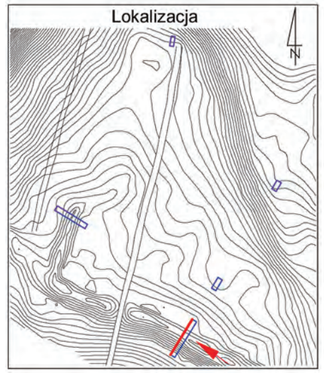

Ryc. 16a. Karolewo, st. 1. Przekrój przez główny wał, fosę i zagłębienie przywałowe w wykopie 1 (ściana zachodnia) (oprac. M. Rutyna, R. Solecki i D. Wach)

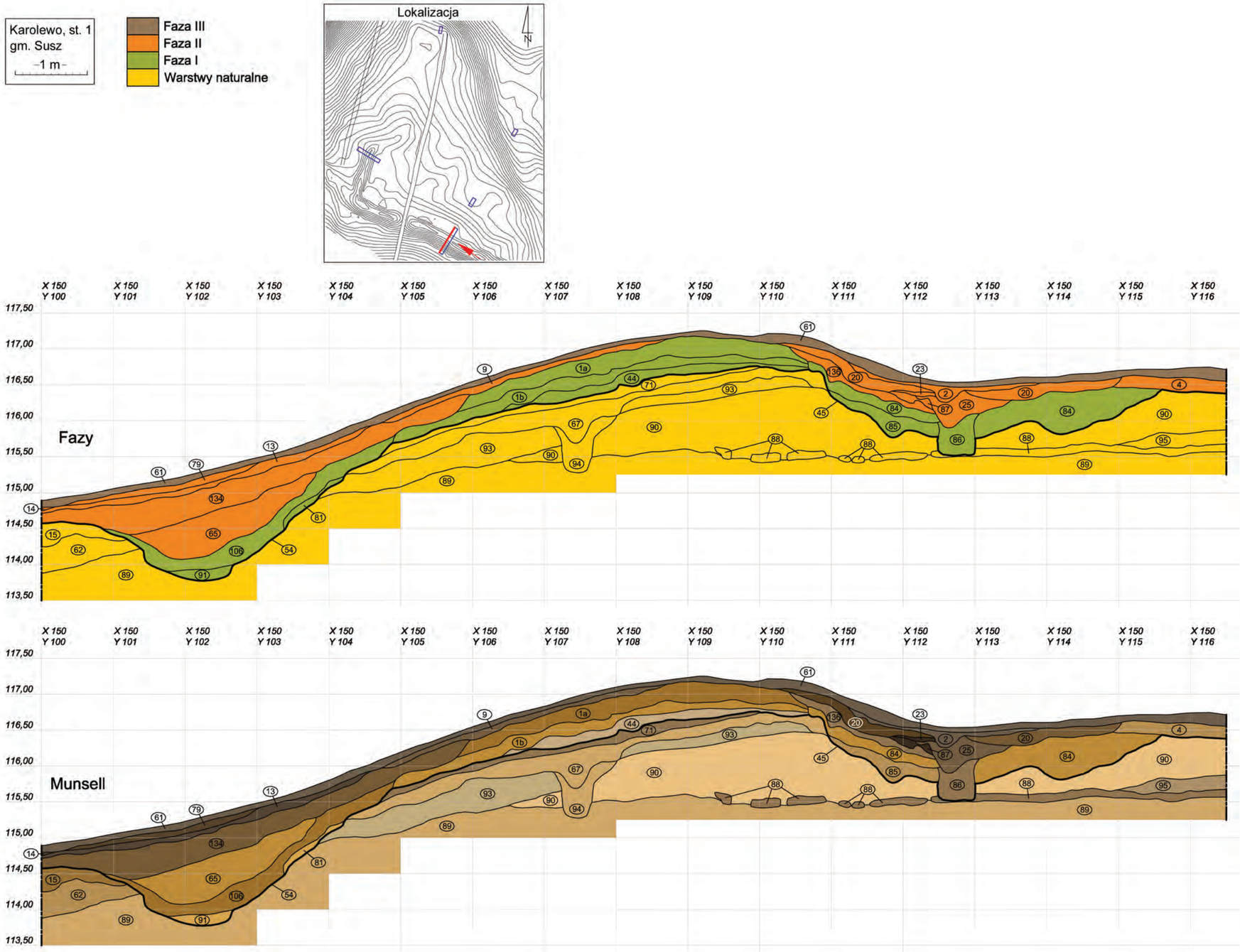

Ryc. 16b. Karolewo, st. 1. Przekrój przez główny wał, fosę i zagłębienie przywałowe w wykopie 1 (ściana zachodnia) (oprac. M. Rutyna, R. Solecki i D. Wach)

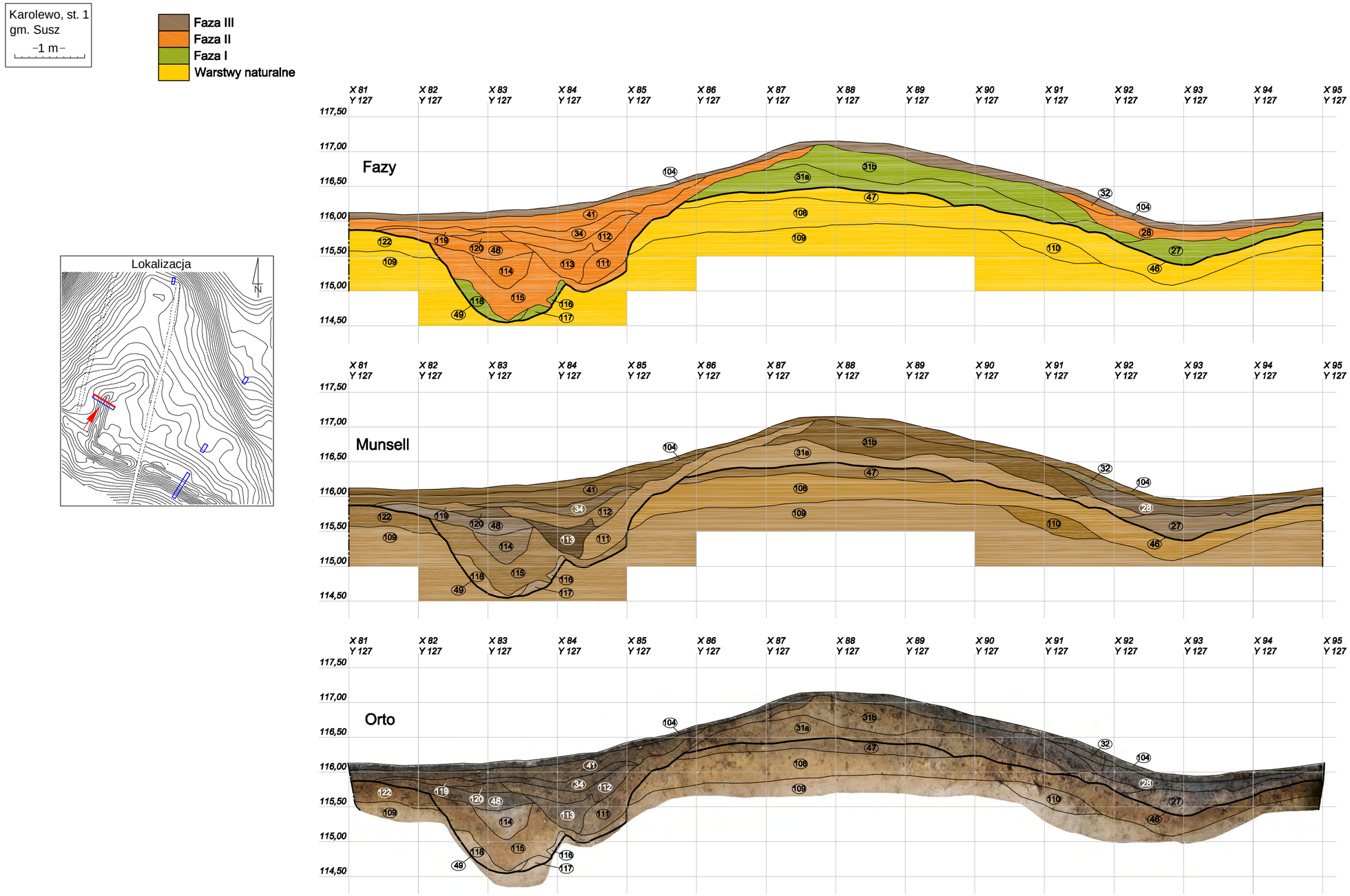

Ryc. 17. Karolewo, st. 1. Przekrój przez wewnętrzny wał, fosę i zagłębienie przywałowe w wykopie 4 (ściana północna) (oprac. M. Rutyna, R. Solecki i D. Wach)

Karolewo, st. 1
gm. Susz
–1 m–

Faza III
Faza II
Faza I
Warstwy naturalne

Lokalizacja

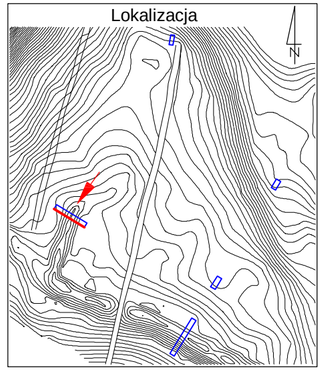

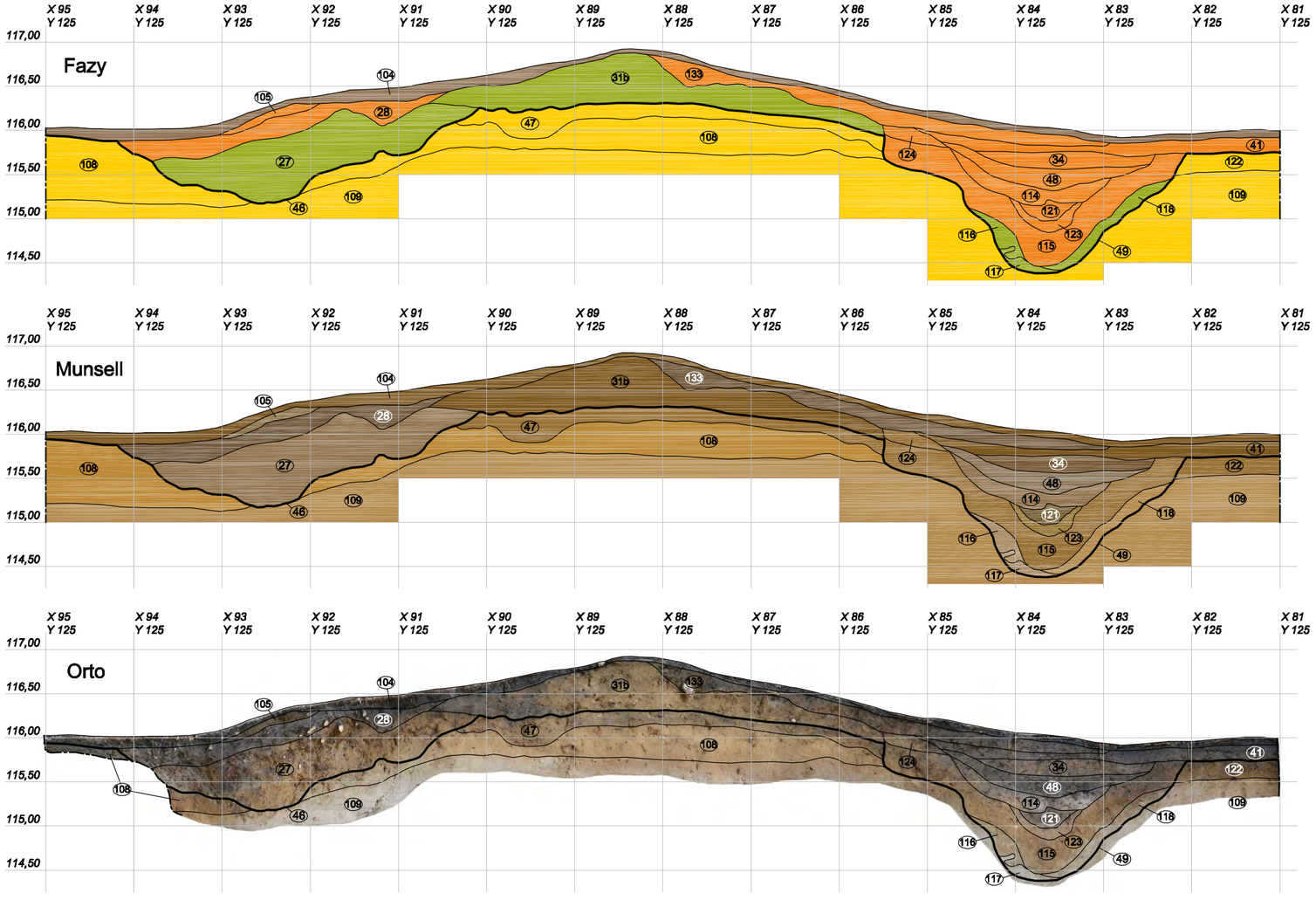

Ryc. 18. Karolewo, st. 1. Przekrój przez wewnętrzny wał, fosę i zagłębienie przywałowe w wykopie 4 (ściana południowa) (oprac. M. Rutyna, R. Solecki i D. Wach)

Susz, st. 1

Gmina Susz

Powiat iławski

AZP 25-50/1

Współrzędne geograficzne:

N 53° 42’ 55’’

E 19° 20’ 21’’

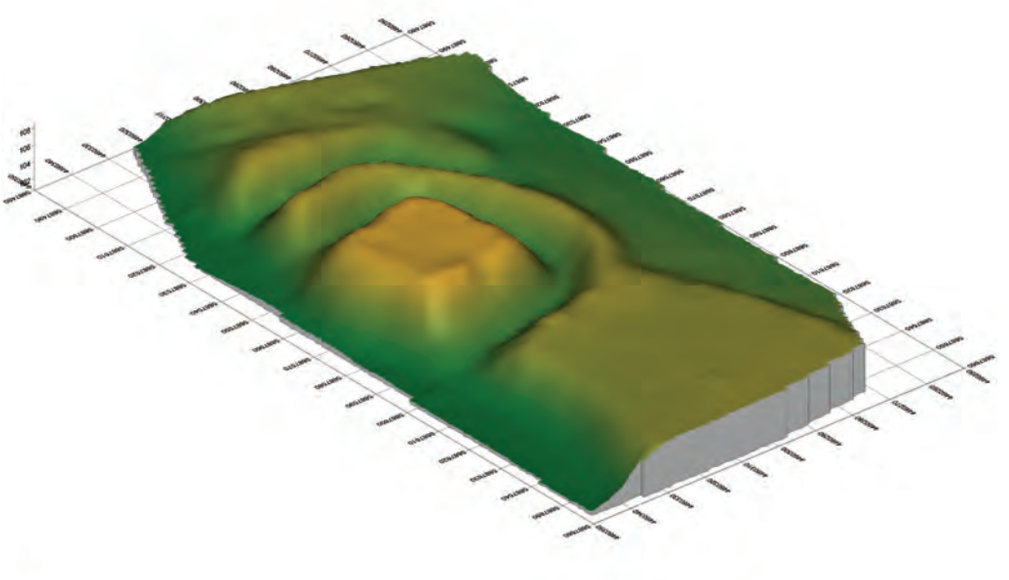

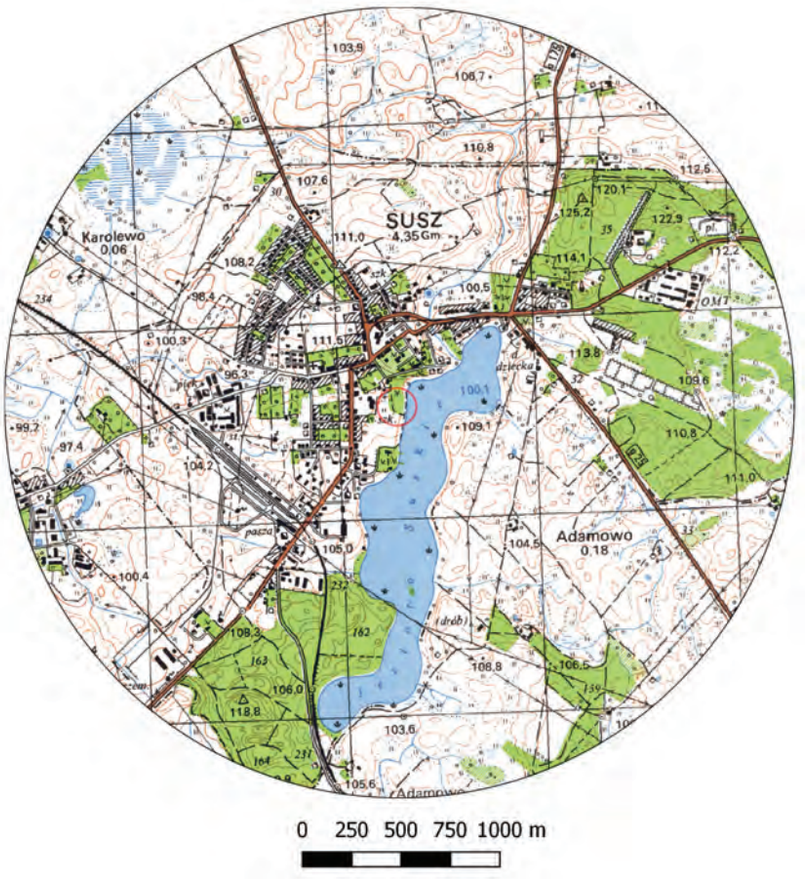

Ryc. 1. Grodzisko w Suszu, st. 1 na mapie w skali 1:25 000 (na podstawie materiałów CODGiK, oprac. R. Solecki)

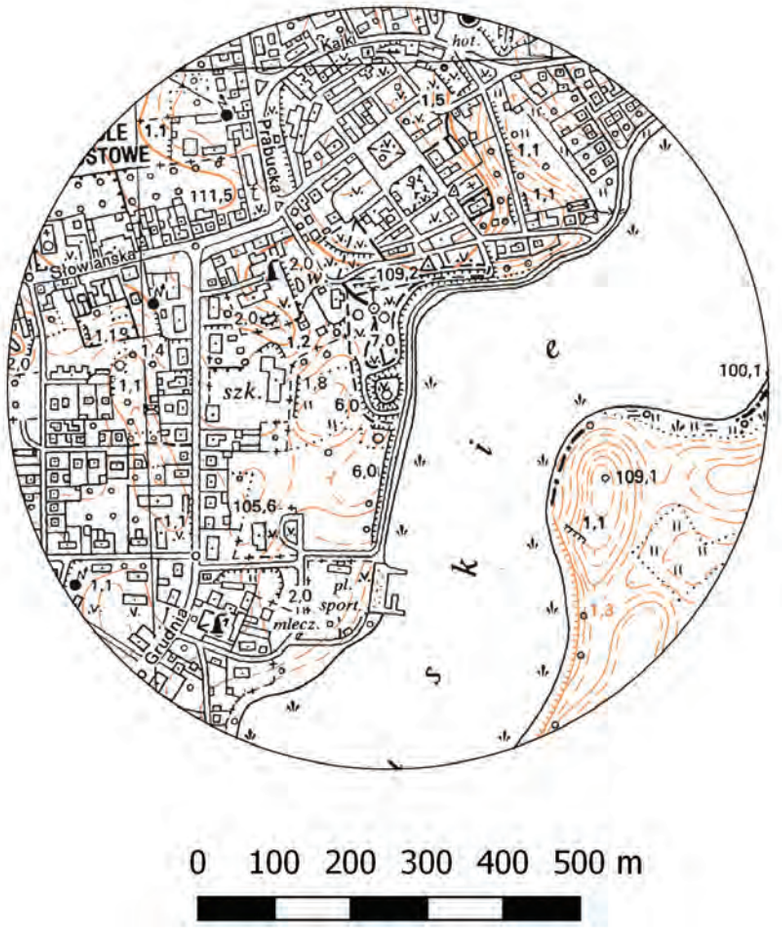

Ryc. 2. Grodzisko w Suszu, st. 1 na mapie w skali 1:10 000 (na podstawie materiałów CODGiK, oprac. R. Solecki)

POŁOŻENIE GRODZISKA I JEGO FORMA

RAFAŁ SOLECKI

Grodzisko w Suszu położone jest na zachodnim brzegu Jeziora Suskiego, na terenie parku miejskiego w Suszu (nazwy niemieckie tej miejscowości to *Rosenbergk* – 1315 r., *Rozemburg* – ok. 1450 r., *Rosemberg* – 1466 i *Rosenberg in Westpreußen* – 1890). Nazwa Susz (dawne *Szusz*, poświadczone ok. 1450 r.) jest nazwą pierwotną, wywodzącą się jeszcze z czasów osadnictwa pruskiego[1]. Grodzisko określane jest nazwą zwyczajową „Gród słowiański"[2]. W źródłach było opisywane jako *Burgwall*, *Hof* i *Schloss* i wiązane z dworem należącym do kapituły pomezańskiej, który miał powstać w tym miejscu na początku XIV wieku[3] (ryc. 1–2).

Majdan grodziska jest dobrze zachowany, kwadratowy w planie, o boku około 31 m. Powierzchnia majdanu jest relatywnie płaska i utrzymuje względnie stały poziom około 108,5 m n.p.m. Wał otaczający majdan, czytelny śladowo od północy, zachodu i południa, jest silnie zniwelowany i w najwyższym punkcie osiąga poziom 109,1 m n.p.m., przy szerokości dochodzącej do 5 m. Od wschodu, od strony jeziora, różnica wysokości pomiędzy majdanem, a szczytem jego wału jest minimalna i wynosi około 0,2 m. Wysokość grodziska ponad obecny poziom jeziora wynosi 8,4–9,0 m.

Majdan grodziska otoczony jest dwiema fosami i dwoma wałami. Fosa I ma w rzucie kształt litery C z końcami wychodzącymi w kierunku jeziora. Jej najniższy punkt znajduje się na poziomie około 103,1 m n.p.m. Fosa II ma w rzucie kształt litery L; znajduje się na południe od pierwszej i odcina południową część cypla. Jeden koniec wychodzi w kierunku jeziora, a drugi w kierunku obniżenia po zachodniej stronie grodziska. Najniższy punkt tej fosy znajduje się na poziomie około 102,9 m n.p.m., lecz jest to rzędna będąca wynikiem współczesnych prac – korytem fosy poprowadzono bowiem kanał odprowadzający wodę deszczową.

Wał I powiela kształt Fosy I. Jego szczyt ma obecnie szerokość około 5 m, a najwyższy punkt w części południowej osiąga poziom około 107,2 m n.p.m. Wał II zachował się tylko w części południowej, na południe od Fosy II. Najwyższy punkt tego wału osiąga poziom około 107,1 m n.p.m. (ryc. 3–8).

[1] Hasło „Susz" w: Chlebowski i Walewski 1890: 603–605; Szczepański 2010: 21–26.

[2] Informacja z zaświadczenia podpisanego przez Wojewódzkiego Konserwatora Zabytków w dniu 19 marca 2010 roku; archiwum Wojewódzkiego Urzędu Ochrony Zabytków w Olsztynie.

[3] Szczepański 2012: 3–8.

ŚRODOWISKO FIZYCZNO-GEOGRAFICZNE

JERZY NITYCHORUK I FABIAN WELC

Grodzisko w Suszu położone jest na wysoczyźnie polodowcowej zbudowanej z gliny zwałowej górnego stadiału zlodowacenia Wisły (ryc. 9). Zajmuje ono wąskie wypiętrzenie będące fragmentem wysoczyzny polodowcowej, które pierwotnie dochodziło na obszarze obecnego majdanu do około 107 m n.p.m. Trzon tego wypiętrzenia tworzą gliny z frakcjami piasku i żwiru. Od zachodu grodzisko przylega do brzegu Jeziora Suskiego, w którym poziom lustra wody znajduje się obecnie na poziomie około 100,1 m n.p.m. Od wschodu widoczne jest obniżenie terenu, które w przeszłości mogło być oczkiem wodnym lub grzęzawiskiem.

Badania geologiczne grodziska (ryc. 10–11) rozpoczęto od zewnętrznego wału w południowej części obiektu. W efekcie wiercenia S-1 stwierdzono, że na głębokości 1,55–1,8 m występuje gleba kopalna, która wyznacza poziom, od którego nadsypywano wał, co wskazuje że wysokość nasypu grodziska wynosi 1,55 m. Poniżej gleby występuje zwarta glina piaszczysta barwy brązowej, a od głębokości 3,0 do 3,8 m – piaski zaglinione barwy brązowo-szarej. Kolejnym osadem jest glina piaszczysta barwy szarej z pojedynczymi żwirkami do 1 cm średnicy oraz z licznymi wytrąceniami węglanu wapnia, którą przewiercono do głębokości 5 m.

Wiercenie S-2 wykonano w zewnętrznej fosie obiektu. W wierceniu tym stwierdzono do głębokości 0,4 m osad ilasty, spływowy, z fragmentami korzeni oraz dużą ilością organiki, a poniżej, do głębokości 1,5 m glinę zwartą, barwy szarej z licznymi wytrąceniami węglanu wapnia i żelaza. Na tej samej głębokości odnotowano duży fragment węgla drzewnego oraz mniejsze fragmenty cegieł, co wskazuje na wtórne wypełnienie fosy, Na głębokości 1,4 m nawiercono duży fragment cegły. Od głębokości 1,5 m w rdzeniu występuje glina zwałowa barwy szarej, zwarta, analogiczna do tej, którą nawiercono jako calec w zewnętrznym wale. Z tego profilu wynika, że pierwotna głębokość fosy wynosiła 1,5 m oraz, że była to fosa sucha.

Odwiert S-3 zlokalizowano na szczycie wewnętrznego wału, którego wysokość względna osiąga 4 m. Występująca tu do głębokości 0,3 m gleba piaszczysto–gliniasta zawiera fragmenty węgli drzewnych oraz cegieł. Niżej (do głębokości 0,9 m) występująca glina barwy brązowej, niezbyt zwarta, również zawiera nieliczne fragmenty węgli drzewnych. Nawiercony na głębokości od 0,9 do 1 m piasek gliniasty barwy szarej wzbogacony jest w liczne fragmenty organiki, a udokumentowany do głębokości 1,3 m piasek średnioziarnisty – w pojedyncze żwiry przypominające

Ryc. 3. Susz, st. 1. Widok z Wału I grodziska w kierunku majdanu (w kierunku północno-wschodnim) (fot. W. Heym, 1934; archiwum Muzeum Warmii i Mazur w Olsztynie)

Ryc. 4. Susz, st. 1. Widok grodziska od północy (fot. J. Wysocki)

Ryc. 5. Susz, st. 1. Widok od wschodu na Fosę I na zachód od grodziska (fot. J. Wysocki)

Ryc. 6. Susz, st. 1. Widok od północy na Wał I i Wał II na południe od grodziska (fot. J. Wysocki)

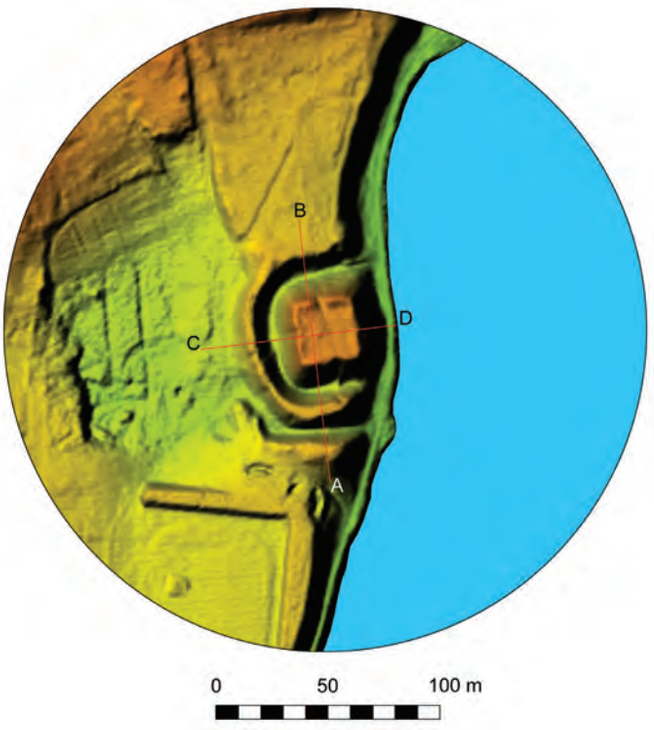

Ryc. 7. Grodzisko w Suszu, st. 1 na zobrazowaniu ALS (na podstawie materiałów CODGiK, oprac. R. Solecki)

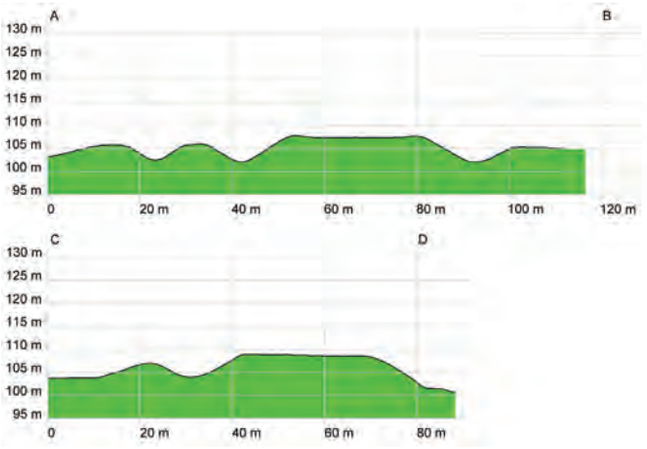

Ryc. 8. Przekroje grodziska w Suszu, st. 1 uzyskane z danych ALS (na podstawie materiałów CODGiK, oprac. R. Solecki)

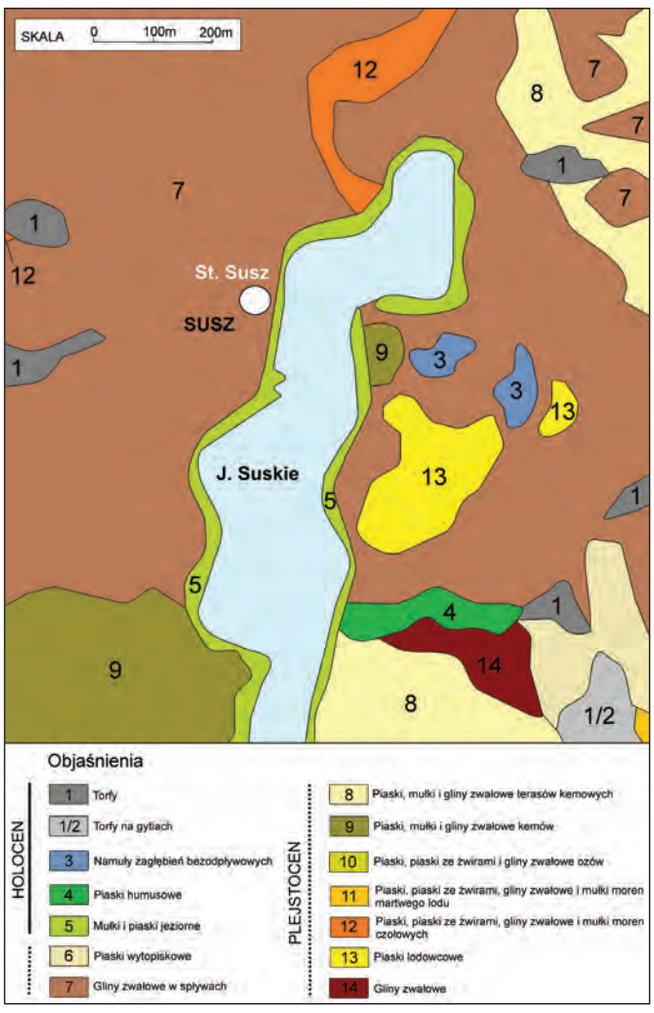

Ryc. 9. Mapa geologiczna obejmująca obszar wokół grodziska w Suszu, st. 1 (oprac. J. Nitychoruk i F. Welc)

żużel. Występująca na głębokości od 1,3 do 2 m warstwa piasku gliniastego barwy brązowej jest calcem.

Na wypełnisko fosy wewnętrznej (S-4) składa się warstwa namułu piaszczysto-gliniastego miąższości 1 m, z węglami drzewnymi i fragmentami cegieł, oraz 30-centymetrowa warstwa namułu gliniasto-piaszczystego barwy szarej. Występująca na głębokości od 1,3 do 2 m glina zwałowa barwy szarej jest calcem, co dowodzi, że pierwotna głębokość fosy wynosiła 1,3 m od obecnej powierzchni gruntu.

Na wale grodziska usytuowano wiercenie S-5. Z profilu tego wiercenia wynika, że występująca tu glina piaszczysta do głębokości 0,9 m jest luźna, barwy brązowej z licznymi węglami drzewnymi, czyli stanowi nasyp wału. Od głębokości 0,9 do 1,9 m nawiercono piasek gliniasty barwy brązowej z licznymi wytrąceniami węglanu wapnia, a niżej glinę piaszczystą barwy brązowej.

W centrum majdanu usytuowano otwór S-6, w którym udokumentowano do głębokości 1,4 m piasek gliniasty, barwy brązowej, z licznymi fragmentami cegieł, zaprawy oraz węgli drzewnych, co sugeruje, że jest to warstwa rozbiórkowa lub wkop fundamentowy. Na głębokości 1,4 m nawiercono duże fragmenty cegieł i zakończono wiercenie. Wykonane nieco dalej wiercenie S-7 wykazało do głębokości 0,6 m osady

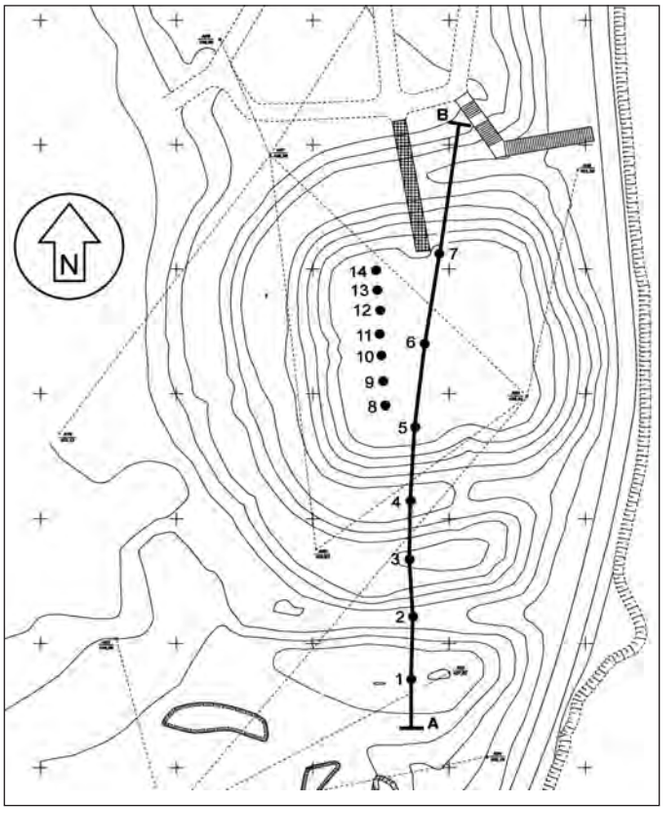

Ryc. 10. Plan grodziska w Suszu, st. 1 z lokalizacją odwiertów geologicznych (oprac. J. Nitychoruk i F. Welc)

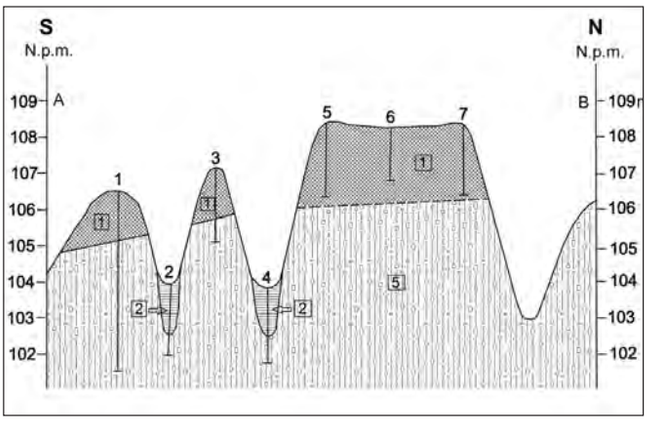

Ryc. 11. Przekrój geologiczny grodziska w Suszu, st. 1: 1 – redeponowane osady antropogeniczne, 2 – mułki, mułki piaszczyste, piaski, wypełnienie fos wałów i zagłębień, 3 – osady organiczne, piasek, żwir, 4 – glina zwałowa, spływowa (oprac. J. Nitychoruk i F. Welc)

warstwy kulturowej, a wiercenie S-8 przebiło osady wału majdanu na głębokości 1 m.

Dodatkowe wiercenia S-9 do S-14 wykonano w trakcie eksploracji wykopów archeologicznych W wierceniach od S-8 do S-13 napotkano na głębokości około 1 m na glinę zwartą brązową, która nie zawierała artefaktów, a tylko w wierceniu S-14 stwierdzono fragmenty cegieł i węgli drzewnych, wskazujące na działania człowieka. Dalej prowadzone wykopy wykazały, że powyżej opisana glina stanowi warstwę zasypową, pod którą występują warstwy z zabytkami. Z tego wynika, że warstwa przemieszczona w obrębie majdanu ma miąższość ponad 2 m.

BADANIA ARCHEOLOGICZNE

RAFAŁ SOLECKI

Przebieg badań terenowych

Początki zainteresowania prahistorią i historią Susza można wiązać z drugą połową XIX wieku, kiedy to Max Pollux Toeppen w 1876 roku wykonał rysunkową dokumentację grodziska. Następnie, już w pierwszej połowie XX wieku, w okresie międzywojennym, powstały plany badań archeologicznych grodziska w Suszu, którymi kierować miał Waldemar Heym. Z powodów technicznych badania te nie doszły do skutku. W tym samym okresie prowadzono jednak badania wykopaliskowe na terenie miasta, w wyniku których natrafiono na ślady osadnictwa neolitycznego[4].

Pierwsze regularne badania archeologiczne przeprowadził w 1996 roku Instytut Archeologii Uniwersytetu Mikołaja Kopernika w Toruniu pod kierownictwem ówczesnego dr Wojciecha Chudziaka. W ramach tego projektu wykonano trzy sondaże (dwa na majdanie i jeden na skłonie Wału I od strony Fosy I) i pięć odwiertów geologicznych. Badania te pozwoliły na ustalenie wstępnej chronologii grodziska i procesów, które następowały w jego obrębie w czasach nowożytnych[5].

Przystępując do badań w 2013 roku zdecydowano się na zastosowanie wykopów liniowych o szerokości 2 m (ryc. 12). Pierwsza linia, na którą składały się wykopy o numerach 1, 2 i 3 (o długości odpowiednio 26,5 m, 4 m i 6 m) przecinała majdan grodziska, Fosę I i Wał I po linii północ–południe. Druga linia, na którą składały się wykopy 4 i 5 (o długościach odpowiednio 8 m i 5 m) przecinała majdan grodziska po osi wschód–zachód. Wykop 1 poszerzono w części północnej do 3 m – było to podyktowane natrafieniem na głęboką piwniczkę i potrzebą zagwarantowania większego bezpieczeństwa w głębokim wykopie. Łączna przebadana powierzchnia wykopów wyniosła 104,5 m^2.

Stratygrafia stanowiska

W trakcie badań archeologicznych przeprowadzonych w roku 2013 wydzielono łącznie 158 jednostek stratygraficznych, które podzielono na pięć głównych faz związanych z użytkowaniem terenu grodziska (tab. 1; ryc. 13).

[4] Hoffmann 2006: 12–17; Szczepański 2009: 59–60.

[5] Chudziak i Bojarski 1996: 1–3.

Tabela 1. Susz, st. 1. Badania w roku 2013. Katalog warstw i obiektów oraz ich zależności stratygraficznych (oprac. R. Solecki)

Numer jednostki	Numer obiektu	Numer wykopu	Położenie w obrębie stanowiska	Współrzędne siatki pomiarowej stanowiska	Opis jednostki stratygraficznej	Barwa (Munsell)	Pozycja stratygraficzna	
							Znajduje się pod	Znajduje się nad
1	-	1, 2, 3, 4, 5	Całe stanowisko	Całe stanowisko	Darń wraz z warstwą humusowej, ciemnej ziemi; miąższość do 5 cm; warstwa horyzontalna występująca na całej powierzchni stanowiska; współczesny poziom użytkowy	2,5YR 3/1	-	2
2	-	1, 2, 3, 4, 5	Całe stanowisko	Całe stanowisko	Ciemna humusowa ziemia, silnie poprzerastana korzeniami z domieszką gruzu ceglanego; miąższość do 15 cm; poziom użytkowy	5YR 3/1	1	5
3	4	1, 5	Majdan	X=63–71; Y=78–80	Przemieszana ziemia, piasek oraz drobiny gruzu ceglanego i zaprawy; wypełnisko wkopu instalacyjnego 4	7,5YR 3/2 70%; 7,5YR 4/6 30%	2	4
4	4	1, 5	Majdan	X=63–71; Y=78–80	Płytki rowek biegnący w kierunku E–W; szer. ok. 40 cm, gł. ok. 30 cm; wkop instalacyjny pod kabel energetyczny	-	3	5
5	-	1	Majdan	X=62–65 ; Y=70,9–91,5	Lekko piaszczysta ziemia z dużą domieszką drobnego gruzu ceglanego; miąższość do 20 cm; poziom użytkowy	7,5YR 3/3	2	9
6	-	1	Majdan	X=63–65; Y=69,6–71	Pas ciemnej luźnej ziemi z bardzo dużą domieszką zaprawy wapiennej; miąższość do 20 cm; poziom użytkowy	7,5YR 3/3	2	7, 9, 11
7	-	1	Wał grodziska w części S	X=63–65; Y=65–69,3	Piaszczysto-ilasta ziemia z kawałkami gruzu ceglanego i drobinami zaprawy wapiennej; miąższość do 20 cm; poziom użytkowy z okresu funkcjonowania grodu / dworu	7,5YR 5/2	8, 11	32
8	-	1	Wał grodziska w części S	X=63–65; Y=66–68,5	Bruk z kawałków cegieł, dachówek i pojedynczych kamieni; miąższość do 10 cm; warstwa rozbiórkowa konstrukcji grodu / dworu	-	2	7
9	27	1, 5	Majdan	X=63–71; Y=70–91,5	Piaszczysta, lekko ilasta ziemia z dużą domieszką gruzu ceglanego i zaprawy wapiennej; miąższość do 50 cm; warstwa wyrównująca obszaru majdanu po przeprowadzeniu niwelacji 27 (W1)	7,5YR 3/3	5	27
10	-	1	Majdan	X=64,5–65; Y=75,8–76,9	Niewielka, zbliżona do półkola powierzchnia wyłożona kamieniami o śr. 10–15 cm i cegłami	-	5	9
11	-	1	Wał grodziska w części S	X=63–65; Y=69–71	Nieregularny pas piasku przemieszanego z dużą ilością zaprawy wapiennej, gruzu ceglanego i dachówek; miąższość do 25 cm; warstwa rozbiórkowa konstrukcji grodu / dworu	10YR 6/2	6	7, 20
12	-	5	Majdan	X=66–71; Y=78–80	Gruboziarnisty i ilasty piasek z drobinami gruzu ceglanego i zaprawy wapiennej, cętki „siwej" gliny; miąższość do 100 cm; niwelacja formująca majdan grodziska	7,5YR 5/6	9, 147	19, 148
13	14	5	Majdan	X=67–69; Y=78–80	Tłusta ciemna gleba przemieszana z drobnym piaskiem oraz kawałkami cegieł, szkła i zaprawy; wypełnisko wkopu 14	7,5YR 3/1 50%; 10YR 2/1 25%; 10YR 3/3 25%	149	14
14	14	5	Majdan	X=67–69; Y=78–80	Wkop, w planie kształt prostokąta, prostokątny w przekroju; gł. 85 cm, szer. 106 cm; współczesny dół śmietniskowy	-	13	2
15	16	5	Majdan	X=68–69; Y=78–79	Naprzemianległe laminacje rudego piasku i szarej ziemi z drobinami gruzu ceglanego; wypełnisko wkopu 16	7,5YR 5/6 40%; 7,5YR 4/1 60%	1	16
16	16	5	Majdan	X=68–69; Y=78–79	Wkop, prostokątny w planie, prostokątny w przekroju; szer. ok. 55 cm, dł. ok. 60 cm, gł. ok. 75 cm; współczesny dół śmietniskowy	-	15	2
17	18	5	Majdan	X=66,8–68,2; Y=78–80	Ziemia z fragmentami cegieł i zaprawy wapiennej; miąższość do 70 cm; wypełnisko wkopu 18	10YR 4/4	2, 14	145
18	18	5	Majdan	X=66,8–68,2; Y=78–80	Regularny wkop, prostokątny w przekroju, dłuższy bok ułożony na osi N–S, krawędzie ścian ostre, pionowe, dno płaskie; szer. ok. 130 cm, gł. ok. 110 cm; wkop rozbiórkowy ściany budynku	-	145	9
19	-	5	Majdan	X=67–71; Y=78–80	Sypki piasek; miąższość do 35 cm; niwelacja formująca majdan grodziska	10YR 6/6	12	150
20	21	1	Wał grodziska w części S	X=63–65; Y=69–71	Pas lekko piaszczystej gliny z kawałkami gruzu ceglanego i zaprawy wapiennej układający się na osi E–W; szer. ok. 120 cm; wypełnisko obiektu 21	5Y 6/3	7, 11	21

Tabela 1. Ciąg dalszy

Numer jednostki	Numer obiektu	Numer wykopu	Położenie w obrębie stanowiska	Współrzędne siatki pomiarowej stanowiska	Opis jednostki stratygraficznej	Barwa (Munsell)	Pozycja stratygraficzna	
							Znajduje się pod	Znajduje się nad
21	21	1	Wał grodziska w części S	X=63–65; Y=69–71	Wkop pod fundament muru przy wale S grodziska; szer. 170 cm, gł. 35 cm	-	20	26, 30, 31
22	22	1	Majdan	X=63–65; Y=73,5–76	Kolisty w planie wkop o ostro schodzących ściankach i niemal płaskim dnie; śr. 230 cm, gł. do 60 cm; prawdopodobnie jama śmietniskowa	-	23	30
23	22	1	Majdan	X=63–65; Y=73,5–76	Piaszczysta ziemia z domieszką gruzu ceglanego, kawałkami wypalonej polepy i zaprawy; wypełnisko obiektu 22	5YR 4/6	9, 27	22
24	24	1	Majdan	X=63,5–64; Y=77,7–78,4	Dół posłupowy, owalny w planie, workowaty w przekroju; śr. 25–35 cm, gł. 40 cm	-	25	30
25	24	1	Majdan	X=63,5–64; Y=77,7–78,4	Piaszczysta ziemia z domieszką zaprawy wapiennej i gruzu ceglanego; wypełnisko dołu posłupowego 24	5Y 3/1	27	24
26	-	1	Część S majdanu	X=63–65; Y=70,5–71	Ziemista glina; miąższość do 10 cm; poziom użytkowy z okresu funkcjonowania grodu	7,5YR 5/3	21	30
27	27	1	Majdan	X=63–71; Y=70–91,5	Szerokopłaszczyznowa niwelacja związana z rozbiórką obiektów w obrębie zachodniej części majdanu grodziska	-	9	20
28	28	1	Majdan	X=64,2–64,6; Y=84,5–84,8	Dół posłupowy; kolisty w planie, V-kształtny w przekroju; śr. 25 cm, gł. 30 cm	-	29	30
29	28	1	Majdan	X=64,2–64,6; Y=84,5–84,8	Piasek i zaprawa wapienna przemieszana z ciemną, brązowo-szarą ziemią; wypełnisko dołu posłupowego 28	10YR 5/6	27	28
30	-	1	Majdan i wał grodziska w części S	X=63–65; Y=70–83,5	Ilasty piasek z drobinami gruzu ceglanego i zaprawy wapiennej; miąższość do 100 cm; niwelacja formująca majdan grodziska	7,5YR 6/6	26, 70	31, 40, 150
31	-	1	Wał grodziska w części S	X=63–65; Y=65–72	Twarda, piaszczysto-ilasta glina z pojedynczymi wtrętami szarej czystej gliny; miąższość do 150 cm; depozyt formujący trzon wału grodziska	7,5YR 5/6	32	30
32	-	1	Wał grodziska w części S	X=63–65; Y=65–69	Lekko piaszczysta, przemieszana glina; miąższość do 130 cm; zewnętrzny płaszcz przykrywający wał grodziska w części S, nieco podwyższał wał i przesuwał jego oś nieco na S	5YR 7/6	7	31
33	34	1	Majdan	X=63–63,9; Y=82,3–83,3	Przemieszana ziemia i piasek układające się w naprzemianległe laminacje; wypełnisko wkopu 34	7,5YR 5/6 80%; 7,5YR 3/3 20%	1	34
34	34	1	Majdan	X=63–63,9; Y=82,3–83,3	Regularny wkop; szer. ok. 70 cm, dł. ok. 80 cm, gł. ok. 110 cm; wykop archeologiczny z 1996 r.	-	33	2
35	-	1	Część NW majdanu	X=62–65; Y=84–90,8	Gliniasta i piaszczysta ziemia z dużą domieszką drobin zaprawy wapiennej i drobnego gruzu ceglanego; miąższość do 150 cm; zasypisko piwnicy z wkopu 70	7,5YR 3/4 90%; 10YR 4/2 10%	39	37, 66, 67
36	-	1	Część NW majdanu	X=62,3–63,8; Y=89,3–91,3	Nieregularna plama ciemnej, lekko piaszczystej ziemi przemieszanej z dużą ilością gruzu ceglanego i zaprawy wapiennej; miąższość do 10 cm; poziom użytkowy	5YR 3/2	5	9, 39
37	70	1	Część NW majdanu	X=63,65; Y=83,8–84,3	Próchnicza ziemia ze smugami oliwkowej gliny, ślad po ścianie piwniczki z wkopu 70	2,5YR 3/3 90%; 2,5YR 5/2 10%	35, 38, 65	70
38	70	1	Część NW majdanu	X=62–65; Y=82,7–91,5	Naprzemianległe warstewki piasku i gliny; zasypisko wkopu budowlanego 70	7,5YR 4/3	9, 39	37, 67, 70
39	-	1	Majdan	X=62–65; Y=83,5–91	Lekko piaszczysta, lekko gliniasta ziemia z pojedynczymi drobinkami zaprawy wapiennej i gruzu ceglanego; miąższość do 25 cm; warstwa rozbiórkowa konstrukcji grodu / dworu	7,5YR 4/4	9	35
40	-	1, 5	Majdan	X=65,5–91,5; Y=63–71	Piaszczysta ziemia ze smugami żelazistych wytrąceń i drobinami węgli drzewnych, strop bardzo nieregularny, liczne niewielkie dołki, górki, kanaliki; miąższość do 25 cm; poziom użytkowy z okresu poprzedzającego budowę wałów	7,5YR 5/1	148, 150	68, 69
41	41	1	Wał grodziska w części S	X=64–64,5; Y=68,5–69	Dół posłupowy, owalny w planie, U-kształtny w przekroju; śr. 35 cm, gł. 20 cm	-	42	32
42	41	1	Wał grodziska w części S	X=64–64,5; Y=68,5–69	Piaszczysta ziemia; wypełnisko dołu posłupowego 41	7,5YR 4/3	7	41
43	-	4	Majdan	X=76–81; Y=74–76	Przemieszana glina, piasek i ziemia; miąższość do 60 cm; niwelacja formująca majdan grodziska	7,5YR 6/4	48, 55	130, 135

Tabela 1. Ciąg dalszy

Numer jednostki	Numer obiektu	Numer wykopu	Położenie w obrębie stanowiska	Współrzędne siatki pomiarowej stanowiska	Opis jednostki stratygraficznej	Barwa (Munsell)	Pozycja stratygraficzna	
							Znajduje się pod	Znajduje się nad
44	44	4	Wał grodziska w części E	X=80,6–82,3; Y=74–76	Wkop rozbiórkowy muru 60, w planie szeroki pas, w przekroju głęboka niecka; szer. do 160 cm, gł. do 90 cm	-	57	56, 59
45	128	4	Wał grodziska w części E	X=76–76,5; Y=74,5–75,2	Jasny piasek z domieszką gruzu i dużą domieszką próchna; rozłożony słup w dole posłupowym 128	10YR 4/4	127	128
46	46	4	Majdan	X=76,5–81,5; Y=74–76	Regularny wkop, prostokątny w przekroju, dłuższy bok ułożony na osi zbliżonej do NW–SE, krawędzie ścian ostre, pionowe, dno płaskie; szer. ok. 130 cm, gł. ok. 120 cm; wkop rozbiórkowy ściany budynku	-	47	51, 53, 58
47	46	4	Majdan	X=76,5–81,5; Y=74–76	Depozyt dachówek i cegieł; miąższość do 60 cm; wypełnisko wkopu 46	2,5YR 4/3	52	46
48	48	4	Wał grodziska w części E	X=79,9–82,1; Y=74–76	Wkop budowlany pod mur 60; w przekroju kształt głębokiej niecki; szer. ok. 125 cm, gł. do 100 cm	-	49	43, 74
49	48	4	Wał grodziska w części E	X=80,9–81,3; Y=74,1–75,2	Deski lub szczapy drewna ułożone wzdłuż części W muru 60 we wkopie 48; być może forma szalunku	-	60	48
50	48	4	Wał grodziska w części E	X=79,9–82,1; Y=74–76	Piaszczysto-ilasta glina z domieszką grudek zaprawy, oblepiająca lico muru 60 we wkopie 48	7,5YR 4/4	44, 56	60
51	-	4	Majdan	X=76–79,4; Y=74–76	Gruz ceglano-wapienny z fragmentami zeszkliwionej zaprawy wapiennej; miąższość do 20 cm; warstwa rozbiórkowa konstrukcji grodu / dworu	-	5, 46	56
52	46	4	Majdan	X=76–82; Y=76–78	Zbita ziemia z fragmentami cegieł, zaprawy wapiennej i węgli drzewnych; miąższość do 90 cm; wypełnisko wkopu 46	10YR 4/3	5	47
53	-	4	Majdan	X=79,1–81,5; Y=74–76	Gruz ceglany z fragmentami zaprawy i pojedynczymi kamieniami; miąższość do 25 cm; warstwa rozbiórkowa konstrukcji grodu / dworu	-	5, 46, 58	56, 57
54	-	4	Wał grodziska w części E	X=80,7–84; Y=74–76	Lekko gliniasta ziemia w obrębie wału E grodziska, układająca się w pas szer. ok. 270 cm; miąższość do 20 cm; poziom użytkowy	7,5YR 5/2	2	53, 57, 59
55	-	4	Majdan i krawędź majdanu od strony jeziora	X=76–79,5; Y=74–76	Lekko piaszczysta, lekko gliniasta ziemia; miąższość do 70 cm; niwelacja formująca majdan i krawędź E grodziska	5YR 6/4	80, 132	43
56	-	4	Część SE majdanu	X=77,3–80,7; Y=74–76	Piaszczysta ziemia z domieszką drobin gruzu ceglanego i grudek zaprawy wapiennej; miąższość do 30 cm; poziom użytkowy z okresu funkcjonowania grodu / dworu	5YR 4/4	44, 53	50, 55
57	44	4	Wał grodziska w części E	X=80,5–82,3; Y=74–76	Pas ciemnej, przemieszanej ziemi i gliny z kawałkami gruzu ceglanego; wypełnisko wkopu 44	7,5YR 5/6	53	44
58	-	4	Majdan	X=78,8–80,3; Y=75,1–76	Ciemna ziemia z drobinami gruzu ceglanego; miąższość do 20 cm; warstwa rozbiórkowa konstrukcji grodu / dworu	10YR 3/3	5, 46	53
59	-	4	Krawędź majdanu od strony jeziora	X=82–84; Y=74–76	Piaszczysta glina z domieszką drobin gruzu ceglanego i zaprawy wapiennej; miąższość do 60 cm; poziom użytkowy z okresu funkcjonowania grodu / dworu	7,5YR 5/6	44, 54	71, 76
60	48	4	Wał grodziska w części E	X=81,2–82,3; Y=74–76	Mur ułożony na osi N–S, zachowany jedynie w części fundamentowej. Budulcem są kamienie o śr. 20–50 cm, przewiązane zaprawą wapienną. Pomiędzy nimi znajdują się fragmenty ceramiki budowlanej (cegieł i dachówek). Zachowana szer. ok. 90 cm, zachowana wys. ok. 110 cm	-	50	48, 49
61	-	1, 5	Majdan	X=63–67; Y=76–80	Ciemna ziemia ze smugami jasnej gliny; miąższość do 15 cm; niwelacja formująca majdan grodziska	10YR 3/2 90%; 10YR 5/4 10%	30	148
62	-	1	Majdan i obszar poniżej wału grodziska	X=63–64,2 / 64,3–65; Y=70,2–72,1 / 65–66,4	Nieregularna soczewka ziemi z dużą domieszką węgli drzewnych; miąższość do 10 cm; ślady pożaru z okresu poprzedzającego budowę wałów	10YR 5/2	154	40
63	70	1	Część NW majdanu	X=62–65; Y=83,8–91	Gliniane wylepienie drewnianych ścian i elementów piwniczki, obecnie ma formę nieregularnych plam oblepiających spróchniałe relikty konstrukcji	2,5Y 4/4	35	66
64	-	1	Obszar poniżej wału grodziska	X=63–65; Y=65–66,8	Szary, lekko ziemisty piasek; calec	2,5Y 5/2	40	151
65	70	1	Część NW majdanu	X=62–65; Y=84–90,7	Gliniasty piasek z pojedynczymi kamieniami o śr. do 10 cm; miąższość do 20 cm; wyłożenie dna piwniczki z wkopu 70	7,5YR 3/4	66	37, 67, 70

Tabela 1. Ciąg dalszy

Numer jednostki	Numer obiektu	Numer wykopu	Położenie w obrębie stanowiska	Współrzędne siatki pomiarowej stanowiska	Opis jednostki stratygraficznej	Barwa (Munsell)	Pozycja stratygraficzna	
							Znajduje się pod	Znajduje się nad
66	-	1	Część NW majdanu	X=62–65; Y=84–90,7	Próchnicza ziemia; miąższość do 10 cm; ślady po rozłożonej drewnianej podłodze piwniczki z wkopu 70	2,5YR 3/2	63	65
67	70	1	Część NW majdanu	X=62–65; Y=90,2–91	Rozłożone drewno ściany N piwniczki z wkopu 70	7,5YR 4/2	35, 38, 68	70
68	-	1	Majdan	X=62–65; Y=84–90	Cienkie soczewki ciemnej, piaszczystej ziemi z silnymi żelazistymi wytrąceniami; miąższość do 3 cm; poziom użytkowy z okresu poprzedzającego budowę wałów	7,5YR 4/1	40	69
69	-	1, 5	Majdan	X=63–80; Y=69–83,5	Równoległe i skośne względem siebie wąskie rowki szer. do 5 cm, ściany skośne, dno V-kształtne; wypełnione przemieszaną ciemną, piaszczystą ziemią; ślady orki	10YR 4/2	40	151
70	70	1	Część NW majdanu	X=62–65; Y=82,5–91,5	Duży, głęboki, regularny wkop budowlany pod piwnicę, w planie kształt prawdopodobnie prostokąta, ściany skośne, dno płaskie; szer. 880 cm, gł. 160 cm	-	37, 65, 67	30
71	-	4	Krawędź majdanu od strony jeziora	X=81,8–84; Y=74–76	Ciemna, piaszczysta ziemia z pojedynczymi drobinami gruzu ceglanego i zaprawy wapiennej; miąższość do 50 cm; poziom użytkowy z okresu funkcjonowania grodu / dworu	7,5YR 3/4	77, 126	129
72	75	4	Wał grodziska w części E	X=80,9–81,9; Y=75,5–76	Sypki piasek z kawałkami węgli drzewnych; wypełnisko dołu posłupowego 75	7,5YR 6/3	73	75
73	75	4	Wał grodziska w części E	X=81,3–81,9; Y=75,5–76	Relikt słupa, zaostrzony u dołu; śr. ok. 40 cm, zachowana dł. do 74 cm	-	74	72
74	75	4	Wał grodziska w części E	X=80,9–81,9; Y=75,4–76	Lekko zgliniony piasek, miękki, pylasty; wypełnisko dołu posłupowego 75	7,5YR 5/4	48	73
75	75	4	Wał grodziska w części E	X=80,8–81,9; Y=75,4–76	Dół posłupowy, w planie owalny, w przekroju prostokątny; śr. 70–120 cm, gł. 110 cm	-	72	43
76	-	4	Krawędź majdanu od strony jeziora	X=82,8–84; Y=74–76	Ciemna, lekko próchnicza, lekko gliniasta ziemia z kawałkami gruzu ceglanego; miąższość do 20 cm; poziom użytkowy z okresu funkcjonowania grodu / dworu	7,5YR 4/3	59	77
77	-	4	Krawędź majdanu od strony jeziora	X=83,1–84; Y=74–76	Ziemista glina z pojedynczymi kawałkami gruzu ceglanego; miąższość do 20 cm; poziom użytkowy z okresu funkcjonowania grodu / dworu	7,5YR 5/4	76	71, 125
78	-	4	Krawędź majdanu od strony jeziora	X=82–84; Y=74–76	Ciemna, piaszczysta ziemia z pojedynczymi, dużymi kamieniami i kawałkami gruzu ceglanego; miąższość do 20 cm; poziom użytkowy z okresu budowy muru 60	7,5YR 4/3	129	79
79	-	4	Krawędź majdanu od strony jeziora	X=82,1–84; Y=74–76	Ziemista glina z plastrami gliny; miąższość do 20 cm; sedyment z okresu funkcjonowania grodu	7,5YR 5/6 60%; GLEY2 5/5B 40%	78	80
80	-	4	Krawędź majdanu od strony jeziora	X=81,7–84; Y=74–76	Piaszczysta glina z drobinami zaprawy wapiennej; miąższość do 40 cm; sedyment z okresu funkcjonowania grodu	7,5YR 6/4	79	132
81	82	1	Majdan	X=63,8–65; Y=70,4–71,6	W partii spągowej ciemna glina, na dnie żółto-pomarańczowa; wypełnisko obiektu 82	2,5Y 4/1 50%; 7,5YR 4/6 50%	31, 150	82
82	82	1	Majdan	X=63,5–64,1; Y=81,6–82,2	Wkop, owalny w planie, w przekroju kształt głębokiej niecki o nieregularnym dnie; śr. 85–120 cm, gł. do 50 cm; prawdopodobnie jama zasobowa	-	81	40
83	84	1	Majdan	X=63,5–64,1; Y=81,6–82,2	Lekko gliniasta ziemia z domieszką węgli drzewnych; wypełnisko obiektu 84	2,5Y 3/1	150	84
84	84	1	Majdan	X=63,5–64,1; Y=81,6–82,2	Wkop, owalny w planie, V-kształtny w przekroju; śr. 40–50 cm, gł. 30 cm	-	83	40
85	86	1	Majdan	X=63,3–63,6; Y=80,6–80,8	Ziemista glina; wypełnisko dołu posłupowego 86	10YR 3/1	148	86
86	86	1	Majdan	X=63,3–63,6; Y=80,6–80,8	Dół posłupowy, owalny w planie, nieckowaty w przekroju; śr. 17 cm, gł. 7 cm	-	85	40
87	88	1	Majdan	X=64,6–64,9; Y=79,3–79,6	Ziemista glina; wypełnisko dołu posłupowego 88	10YR 3/1	148	88
88	88	1	Majdan	X=64,6–64,9; Y=79,3–79,6	Dół posłupowy, owalny w planie, nieckowaty w przekroju; śr. 19 cm, gł. 9 cm	-	87	40
89	90	1	Majdan	X=63,7–64; Y=78,7–79	Ziemista glina; wypełnisko dołu posłupowego 90	10YR 3/1	148	90
90	90	1	Majdan	X=63,7–64; Y=78,7–79	Dół posłupowy, owalny w planie, nieckowaty w przekroju; śr. 15 cm, gł. 7 cm	-	89	40
91	92	1	Majdan	X=64,5–64,8; Y=78,6–78,8	Ziemista glina; wypełnisko dołu posłupowego 92	10YR 3/1	148	92

Tabela 1. Ciąg dalszy

Numer jednostki	Numer obiektu	Numer wykopu	Położenie w obrębie stanowiska	Współrzędne siatki pomiarowej stanowiska	Opis jednostki stratygraficznej	Barwa (Munsell)	Pozycja stratygraficzna	
							Znajduje się pod	Znajduje się nad
92	92	1	Majdan	X=64,5–64,8; Y=78,6–78,8	Dół posłupowy, nieregularnie owalny w planie, nieckowaty w przekroju; śr. 12 cm, gł. 6 cm	-	91	40
93	94	1	Majdan	X=64,5–64,7; Y=78–78,2	Ziemista glina; wypełnisko dołu posłupowego 94	10YR 3/1	148	94
94	94	1	Majdan	X=64,5–64,7; Y=78–78,2	Dół posłupowy, kolisty w planie, nieckowaty w przekroju; śr. 12 cm, gł. 6 cm	-	93	40
95	96	1	Majdan	X=64,3–64,7; Y=75,8–76,2	Gliniasta ziemia z piaszczystymi wtrąceniami i fragmentami węgli drzewnych; wypełnisko dołu posłupowego 96	5Y 4/1 90%; 5Y 5/4 10%	150	96
96	96	1	Majdan	X=64,3–64,7; Y=75,8–76,2	Dół posłupowy, owalny w planie, V-kształtny w przekroju; śr. 30–35 cm, gł. ok. 35 cm	-	95	40
97	98	1	Majdan	X=64,5–64,8; Y=75,5–75,8	Ziemista glina; wypełnisko dołu posłupowego 98	10YR 3/1	150	98
98	98	1	Majdan	X=64,5–64,8; Y=75,5–75,8	Dół posłupowy, owalny w planie, nieckowaty w przekroju; śr. 14–20 cm, gł. 10 cm	-	97	40
99	100	1	Majdan	X=64,1–64,3; Y=75–75,2	Ziemista glina; wypełnisko dołu posłupowego 100	10YR 3/1	150	100
100	100	1	Majdan	X=64,1–64,3; Y=75–75,2	Dół posłupowy, owalny w planie, nieckowaty w przekroju, śr. 14 cm, gł. 5 cm	-	99	40
101	-	2	I wał zewnętrzny	X=65–67; Y=44–48	Darń; miąższość do 15 cm; współczesny poziom użytkowy	10YR 3/1	-	102, 120
102	-	2	I wał zewnętrzny	X=65–67; Y=44–48	Drobnoziarnisty piasek z domieszką substancji organicznej; miąższość do 25 cm; poziom użytkowy	10YR 3/1 50%; 7,5YR 5/8 50%	101, 110	111
103	-	2	I wał zewnętrzny	X=65–67; Y=44–48	Zbita, przesuszona, twarda glina; miąższość do 70 cm; niwelacja formująca I wał zewnętrzny	7,5YR 5/8	111	113, 116
104	-	3	Fosa	X=65–67; Y=52,5–58,5	Darń; miąższość do 25 cm; współczesny poziom użytkowy	7,5YR 3/2	-	105
105	-	3	Fosa	X=65–67; Y=52,5–58,5	Ciemna, humusowa ziemia z domieszką drobin gruzu ceglanego; miąższość do 30 cm; poziom użytkowy	7,5YR 4/3	104	109, 114
106	-	3	Fosa	X=65–67; Y=54–57	Przemieszana glina, ziemia i piasek z drobinami gruzu ceglanego i zaprawy wapiennej; miąższość do 50 cm; zasypisko fosy	10YR 5/3	114	139
107	144	3	Fosa	X=65–67; Y=54–57	Glina przemieszana z ciemnym mułem; miąższość do 5 cm; poziom użytkowy fosy	10YR 2/2	143	144
108	-	3	Fosa	X=65–67; Y=52,5–58,5	Lekko ilasta glina; calec	GLEY1 6/10GY	137, 138	-
109	-	3	Fosa	X=65–67; Y=52,5–58,5	Glina z ziemistymi wtrętami, silnie poprzerastana korzeniami; miąższość do 40 cm; poziom użytkowy z okresu funkcjonowania grodu	10YR 4/4	105, 144	136
110	-	2	I wał zewnętrzny	X=66,4–67; Y=44–44,9	Tłusty piasek z domieszką węgla drzewnego, drobin gruzu ceglanego i subtancji organicznych; miąższość do 20 cm; poziom użytkowy	10YR 4/2	120	102, 111
111	-	2	I wał zewnętrzny	X=65–67; Y=44–48	Ilasta glina; miąższość do 50 cm; niwelacja formująca I wał zewnętrzny	7,5YR 6/8	102, 110	103
112	-	2	Obszar poniżej I wału zewnętrznego	X=65–67; Y=44–48	Drobnoziarnisty ił z wtrętami węgielków; miąższość do 15 cm; poziom użytkowy z okresu poprzedzającego budowę wałów	10YR 6/1	113	115
113	-	2	Obszar poniżej I wału zewnętrznego	X=65–65,5; Y=46,9–47,5	Mokry, tłusty, drobnoziarnisty piasek przemieszany ze spalenizną; miąższość do 10 cm; ślady pożaru z okresu poprzedzającego budowę wałów	10YR 2/1 50%; 10YR 6/1 25%; 2,5YR 8/6 25%	103, 116	112
114	-	3	Fosa	X=65–67; Y=54–57,5	Gliniasta ziemia z domieszką gruzu ceglanego; miąższość do 30 cm; zasypisko fosy	5YR 5/3	105	106
115	-	2	Obszar poniżej I wału zewnętrznego	X=65–67; Y=44–48	Jasny, drobnoziarnisty piasek; calec	2,5Y 8/6	112	119
116	-	2	I wał zewnętrzny	X=65–67; Y=46–48	Jasna glina z domieszką żwiru i drobnych kamieni; miąższość do 30 cm; niwelacja formująca I wał zewnętrzny	7,5YR 7/4	103	113
117	117	2	Obszar poniżej I wału zewnętrznego	X=66,3–66,5; Y=44–44,3	Dół posłupowy, kolisty w planie, nieregularnie V-kształtny w przekroju; śr. 15 cm, gł. 20 cm	-	118	115(112)
118	117	2	Obszar poniżej I wału zewnętrznego	X=66,3–66,5; Y=44–44,3	Drobnoziarnisty piasek z drobinami węgla drzewnego; wypełnisko dołu posłupowego 117	10YR 7/1	113	117

Tabela 1. Ciąg dalszy

Numer jednostki	Numer obiektu	Numer wykopu	Położenie w obrębie stanowiska	Współrzędne siatki pomiarowej stanowiska	Opis jednostki stratygraficznej	Barwa (Munsell)	Pozycja stratygraficzna	
							Znajduje się pod	Znajduje się nad
119	-	2	Obszar poniżej I wału zewnętrznego	X=65–67; Y=44–48	Skonsolidowany konglomerat gliny i drobnoziarnistego piasku z pojedynczymi kamieniami o śr. 10–15 cm; calec	10YR 5/8	115	-
120	-	2	I wał zewnętrzny	X=65,1–67; Y=44–46,9	Zbita glina z domieszką luźnej gleby; miąższość do 10 cm; poziom użytkowy	10YR 3/1	101	110
121	122	1	Majdan	X=63,9–64,0; Y=74,4–74,6	Ziemista glina; wypełnisko dołu posłupowego 122	10YR 3/1	150	122
122	122	1	Majdan	X=63,9–64,1; Y=74,5–74,6	Dół posłupowy, owalny w planie, U-kształtny w przekroju; śr. 10 cm, gł. 12 cm	-	121	40
123	124	1	Majdan	X=63,5–63,7; Y=74,1–74,2	Ziemista glina; wypełnisko dołu posłupowego 124	10YR 3/1	150	124
124	124	1	Majdan	X=63,5–63,7; Y=74,1–74,2	Dół posłupowy, kolisty w planie, U-kształtny w przekroju; śr. 10 cm, gł. 11 cm	-	123	40
125	126	4	Krawędź majdanu od strony jeziora	X=83,3–84; Y=75,5–76	Brązowy, tłusty piasek; wypełnisko dołu posłupowego 126	10YR 4/3	77	126
126	126	4	Krawędź majdanu od strony jeziora	X=83,3–84; Y=75,5–76	Dół posłupowy, kolisty w planie, U-kształtny w przekroju; śr. 34 cm, gł. do 50 cm	-	125	71
127	128	4	Wał grodziska w części E	X=76–76,5; Y=74,6–75,5	Przemieszana ziemia, glina i piasek układające się w naprzemianległe laminacje; wypełnisko dołu posłupowego 128	10YR 6/4	51	45
128	128	4	Wał grodziska w części E	X=76–76,5; Y=74,6–75,5	Dół posłupowy, w planie prostokątny o zaokrąglonych narożnikach, w przekroju prostokątny; szer. 90 cm, gł. 160 cm	-	45	55
129	-	4	Krawędź majdanu od strony jeziora	X=81,9–84; Y=74–76	Gliniasta ziemia z kawałkami gruzu ceglanego i grudkami zaprawy wapiennej; miąższość do 40 cm; poziom użytkowy z okresu funkcjonowania grodu / dworu	10YR 5/4	71	78
130	-	4	Majdan	X=76–80,5; Y=74–76	Ziemisty, lekko shumusowany piasek; miąższość do 15 cm; niwelacja formująca majdan grodziska	GLEY1 6/5GY	43	135, 140
131	-	4	Majdan	X=76–80; Y=74–76	Przemieszana ziemia, glina i piasek; miąższość do 40 cm; niwelacja formująca majdan grodziska	10YR 6/6	43	140, 141
132	-	4	Krawędź majdanu od strony jeziora	X=82,2–84; Y=74–76	Niewielka, cienka soczewka gruzu ceglanego i zaprawy wapiennej; miąższość do 10 cm; sedyment z okresu funkcjonowania grodu	-	80	55
133	-	4	Krawędź majdanu od strony jeziora	X=80,5–82,4; Y=74–76	Szara, piaszczysta ziemia z dużą domieszką spalenizny; miąższość do 15 cm; poziom użytkowy z okresu poprzedzającego budowę wałów	10YR 3/1	135, 141	142
134	-	4	Majdan	X=76–84; Y=74–76	Twarda, zbita, ilasta glina z żelazistymi wytrąceniami; calec	5YR 5/6	142	-
135	-	4	Majdan	X=76,9–82,4; Y=74–76	Piaszczysta, plamiasta glina; miąższość do 45 cm; niwelacja formująca majdan grodziska	GLEY2 8/10B 50%; 7,5YR 5/8 50%	43, 130	133, 140
136	-	3	Fosa	X=65–67; Y=52,5–58,5	Glina z ziemistymi i piaszczystymi przemyciami; miąższość do 40 cm; niwelacja formująca nieckę fosy	2,5YR 5/4	109	137
137	-	3	Fosa	X=65–67; Y=52,5–58,5	Ilasta glina z pojedynczymi kawałkami gruzu ceglanego; miąższość do 35 cm; niwelacja formująca nieckę fosy	7,5YR 6/6 30%; 2,5Y 7/2 70%	136	108, 138
138	-	3	Fosa	X=65–66,5; Y=57,5–58,5	Jasny, sypki piasek; calec	10YR 8/1	137	108
139	-	3	Fosa	X=65–67; Y=54–57	Mulista, ciemna glina z kawałkami gruzu ceglanego; miąższość do 10 cm; poziom użytkowy fosy	10YR 3/3	106	143
140	-	4	Majdan	X=78,1–81,1; Y=74,2–76	Słabo wymieszana ziemia i glina; miąższość do 50 cm; niwelacja formująca majdan grodziska	7,5YR 4/2 40%; 7,5YR 6/6 60%	130, 131, 135	141
141	-	4	Majdan	X=76–81,2; Y=74–76	Piaszczysta, ciemna ziemia; miąższość do 25 cm; poziom użytkowy z okresu poprzedzającego budowę wałów	5YR 4/1	131, 140	133, 142
142	-	4	Majdan	X=76–84,4; Y=74–76	Ilasty, lekko ziemisty piasek; calec	5YR 5/2	133, 141	134
143	-	3	Fosa	X=65–67; Y=54–58	Ziemista glina z kawałkami gruzu ceglanego; miąższość do 30 cm; spływ erozyjny w obrębie fosy	7,5YR 6/4	139	107
144	144	3	Fosa	X=65–67; Y=54–58	Wkop pogłębiający fosę, w przekroju kształt głębokiej niecki; szer. 415 cm, gł. do 135 cm	-	107	109

Tabela 1. Ciąg dalszy

Numer jednostki	Numer obiektu	Numer wykopu	Położenie w obrębie stanowiska	Współrzędne siatki pomiarowej stanowiska	Opis jednostki stratygraficznej	Barwa (Munsell)	Pozycja stratygraficzna	
							Znajduje się pod	Znajduje się nad
145	18	5	Majdan	X=66,8–68,2; Y=78–80	Ziemia przemieszana z gruzem ceglanym i grudami zaprawy wapiennej; miąższość do 70 cm; wypełnisko wkopu 18	2,5YR 4/2	17	18
146	-	5	Majdan	X=66,5–67,5; Y=78–78,5	Kolista w planie soczewka spalenizny; miąższość do 15 cm; pozostałość współczesnego ogniska	7,5YR 2/1	2	5
147	-	5	Majdan	X=66–71; Y=78–80	Spiaszczona ziemia z drobinami gruzu ceglanego i zaprawy wapiennej; miąższość do 50 cm; warstwa rozbiórkowa konstrukcji grodu / dworu	10YR 5/4	9	12
148	-	1, 5	Majdan	X=66–69; Y=78–80	Nieregularne soczewki piasku i gliny; miąższość do 30 cm; niwelacja formująca majdan grodziska	7,5YR 5/4 70%; 2,5YR 6/4 30%	30, 61	40, 150
149	-	5	Majdan	X=66–71; Y=78–80	Soczewka przemieszanej ziemi i gliny; miąższość do 20 cm; pozostałość hałdy powstałej przy kopaniu rowu instalacyjnego 4	5YR 5/3	1	2, 3
150	-	1, 5	Majdan	X=63–70; Y=71,5–84	Nieregularne hałdy ciemnej ziemi z przemyciami rudej gliny; miąższość do 40 cm; niwelacja formująca majdan grodziska	GLEY1 6/5GY	148	40
151	-	1, 5	Majdan	X=63–71; Y=65–91,5	Glina z oliwkowymi odbarwieniami; calec	5YR 5/6 90%; 2,5Y 7/4 10%	69	-
152	-	5	Majdan	X=70–71; Y=80	Wbity pionowo drewniany kołek; dł. 57 cm, śr. 12 cm; element sceny z 2 poł. X=X=w.	-	1	149
153	-	1	Majdan	X=63–65; Y=68–69,8	Nieregularny pas ciemnej, lekko piaszczystej ziemi, szer. do 120 cm, równoległy do krawędzi S grodziska; miąższość do 5 cm	10R 4/2	154	40
154	-	1	Obszar poniżej wału grodziska	X=63–65; Y=65–70	Soczewka przemieszanej gliny tworząca niski wał wzdłuż krawędzi S majdanu grodziska; miąższość do 50 cm; niwelacja formująca majdan grodziska	5YR 5/3	31	62, 153
155	156	1	Część NW majdanu	X=62–65; Y=87,5–88,9	Piaszczysta ziemia z drobnymi kawałkami gruzu ceglanego i zaprawy wapiennej; wypełnisko wkopu 156	7,5YR 4/3	9	156
156	156	1	Część NW majdanu	X=62–65; Y=87,5–88,9	Wkop liniowy w kształcie koryta o nieco wklęsłym dnie, ułożony na osi równoległej do krawędzi N grodziska; szer. ok. 100 cm, gł. do 25 cm	-	155	35, 39
157	158	1	Część NW majdanu	X=63,4–64,4; Y=91–91,5	Pylasta glina z pojedynczymi drobinami gruzu ceglanego; wypełnisko dołu posłupowego 158	7,5YR 6/6	9	158
158	158	1	Część NW majdanu	X=63,4–64,4; Y=91–91,5	Dół posłupowy, prostokątny w planie, nieregularnie prostokątny w przekroju; wymiary w planie 30 X= 85 cm, gł. 150 cm	-	157	38

Tabela 2. Susz, st. 1. Zestawienie obiektów z Fazy I (oprac. R. Solecki)

Rodzaj obiektu	Nr cięcia obiektu	Nr wypełniska obiektu	Wykop	Kształt w planie stropu	Kształt w przekroju	Średnica stropu	Głębokość
Dół posłupowy	86	85	W1	owalny	nieckowaty	17 cm	7 cm
Dół posłupowy	88	87	W1	owalny	nieckowaty	19 cm	9 cm
Dół posłupowy	90	89	W1	owalny	nieckowaty	15 cm	7 cm
Dół posłupowy	92	91	W1	nieregularnie owalny	nieckowaty	12 cm	6 cm
Dół posłupowy	94	93	W1	kolisty	nieckowaty	12 cm	6 cm
Dół posłupowy	96	95	W1	owalny	V-kształtny	30–35 cm	ok. 35 cm
Dół posłupowy	98	97	W1	owalny	nieckowaty	14–20 cm	10 cm
Dół posłupowy	100	99	W1	owalny	nieckowaty	14 cm	5 cm
Dół posłupowy	117	118	W2	kolisty	nieregularnie V-kształtny	15 cm	20 cm
Dół posłupowy	122	121	W1	owalny	U-kształtny	10 cm	12 cm
Dół posłupowy	124	123	W1	kolisty	U-kształtny	10 cm	11 cm
Jama zasobowa	82	81	W1	owalny	głęboka niecka o nieregularnym dnie	85–120 cm	do 50 cm
Jama zasobowa	84	83	W1	owalny	V-kształtny	40–50 cm	30 cm

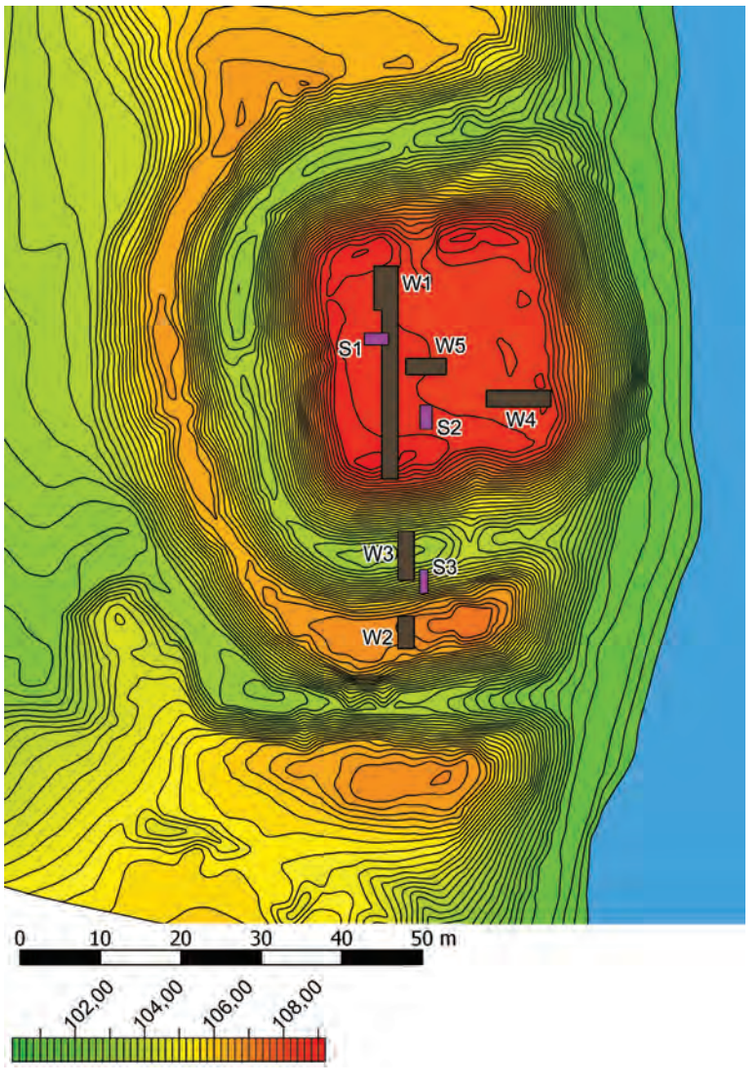

Ryc. 12. Plan warstwicowy grodziska w Suszu, st. 1 z zaznaczonymi wykopami badawczymi z roku 1996 (S1–S3) i z roku 2013 (W1–W5) (na podstawie pomiarów J. Błaszczyka, oprac. R. Solecki)

Warstwy naturalne

W trakcie badań, jako warstwy naturalne zadokumentowano jednostki 64, 151 (W1, 5), 119, 115 (W2), 108, 138 (W3), 134, 142 (W4). Na obszarze majdanu i Wału I są to ilaste piaski koloru oliwkowego, w części stropowej przechodzące w kolor żółty i rudy. Rude, żelaziste wytrącenia widoczne są także w obrębie tych warstw w formie nieregularnych smug. Poniżej tych piasków zalegają pokłady gliny. Glina występuje także miejscowo w obrębie piasków w formie cienkich soczewek. W obrębie Fosy I calec ma podobną strukturę, tyle że tu piaski są drobnoziarniste i bardziej sypkie.

Faza I (ryc. 14)

Fazę I należy łączyć z osadnictwem pruskim. Z okresu tego pochodzą ślady orki 69 (W1, W5) manifestujące się na stropie żółto-rudego calca w formie długich, wąskich bruzd (ryc. 15). Ich wymiary nie są stałe – szerokość to około 3–5 cm, a długość miejscami przekracza 1,5 m. Wypełniskiem ich zagłębień jest ciemna, szara ziemia z pojedynczymi drobinami węgli drzewnych. Nie mają one jednej orientacji i przecinają się zarówno pod kątem ostrym, jak i prostym. Bezpośrednio ponad calcem występuje także wyraźny pokład ziemi z dużą ilością spalenizny 133 (W4), który zarejestrowano w części wschodniej wykopu 4, już na stoku opadającym w kierunku jeziora.

Poziom użytkowy z tej fazy wyznaczają warstwy: 68 (W1), 40 (W1, W5), 112 (W2), 141 (W4). Są to tłuste, szare, piaszczyste ziemie tworzące wyraźny poziom o miąższości dochodzącej do 15 cm, zarejestrowany na całej powierzchni obecnego majdanu i na Wale I. Jego najwyższy uchwycony punkt, znajdujący się blisko środka obecnego grodziska, osiąga poziom 107,18 m n.p.m. Stąd opada on delikatnie zarówno ku północy, jak i ku południu pod kątem około 2 stopni.

Z poziomem tym związanych jest jedenaście dołów posłupowych i dwa obiekty o nieokreślonej, lecz zapewne zasobowej funkcji (ryc. 16–17; tab. 2). W wykopie 1 obiekty te zarejestrowano dopiero na poziomie warstwy 69, gdyż w planie, na poziomie warstwy 40 nie były uchwytne – ich wypełniska były tej samej barwy co warstwa 40 (W1). Na fakt, że obiekty te związane są z warstwą 40 (W1) wskazuje analiza profilów, na których można dostrzec prawidłowość, że wcięte są one z wysokości stropu warstwy 40. Analogiczna sytuacja dotyczy wykopu 2 i dołu posłupowego 117, który zarejestrowano dopiero na stropie calca 115, a który wcięty był zapewne ze stropu warstwy 112. Doły posłupowe tworzą regularne układy – część jest współliniowa lub położona pod kątem prostym do tej linii. Odległości pomiędzy sąsiadującymi dołami są względnie stałe i wahają się pomiędzy 65 a 75 cm.

Z okresem tym należy także wiązać pas ciemnej, szarej ziemi 153 (W1) ułożony na osi zbliżonej do wschód–zachód, zidentyfikowany w południowej części majdanu. Jego miąższość miała około 5 cm, ale szerokość dochodziła do 120 cm. Funkcja tej jednostki nie została określona.

Faza II (ryc. 18)

Kolejna faza stratygrafii stanowiska związana jest z początkami osadnictwa krzyżackiego i poprzedzającym je najazdem. Pozostałościami sugerującymi działania militarne mogą być cienkie warstwy ziemne z wyraźnymi śladami spalenizny i węgli drzewnych 62 (W1) i 113 (W2) zidentyfikowane w południowej części majdanu i na obszarze Wału I.

Kolejne wydzielone jednostki tej fazy związane są już z budową grodu. Analiza uwarstwień wskazuje, że przebiegała ona następująco:

A) Wyznaczenie i oznaczenie w terenie granicy majdanu i wałów w ich partii szczytowej.

B) Zerwanie humusu wraz z warstwą podhumusową z obszaru pomiędzy majdanem, a Wałem I i pomiędzy Wałem I a Wałem II (a więc w miejscu fos). W ten sposób jednoznacznie oznaczony został obszar prac. Część urobku – humusu przemieszanego z gliną i piaskami calcowymi – trafiła na obszar majdanu, jako pierwsza część niwelacji mającej podnieść poziom jego powierzchni, tworząc warstwy 19 (W5), 61 (W1, W5), 130 (W4), 131 (W4), 135 (W4), 140 (W4), 148 (W1, W5), 150 (W1, W5) i 154 (W1). Są one widoczne w profilach ścian wykopów 1, 4 i 5 w postaci przemieszanych, nieregularnych hałd wysokości do 40 cm (ryc. 19, 22–25).

C) Sypanie i formowanie właściwej niwelacji kształtującej *plateau* majdanu. Materiał na niwelacje pochodził z kopania fosy. Niwelacje te są jednolite i w większości tworzą je ilaste gliny i piaski, oznaczone numerami jednostek stratygraficznych 12 (W5), 30 (W1), 31 (W1), 32 (W1), 43 (W4), 55 (W4), 103 (W2), 111 (W2), 116 (W2), 136 (W3) i 137 (W3). Poziom wnętrza majdanu po usypaniu niwelacji wynosił około 108,0–108,1 m n.p.m. Szczyt wału południowego osiągał około 108,8 m n.p.m. W obrębie fosy w warstwie 137 (W3) natrafiono także na dwa duże kamienie, które mogły pełnić funkcję zabezpieczenia stromego stoku oraz dodatkowej przeszkody.

D) Budowa umocnień drewnianego grodu. W stropie usypanych niwelacji zarejestrowano cztery doły posłupowe, znacznej średnicy, które usytuowane były na osi wałów (ryc. 16, 26–27; tab. 3).

Istotną konstrukcją, która powstała w tej fazie jest piwnica, znajdująca się w części północno-zachodniej majdanu, tuż przy głównym wejściu na teren grodu (ryc. 19 i 26). Zbudowano ją w szerokopłaszczyznowym wkopie 70 (W1), którego długość ma około 8,8 m, szerokość co najmniej 3 m a głębokość dochodzi do 1,6 m. Wewnątrz wstawiono drewniane ściany – południową 37 (W1) i północną 67 (W1). Ich zachowana wysokość wynosi około 1,2–1,3 m, a wyznaczona przez nie długość piwniczki ma 6,5 m. Wkop budowlany zasypano ziemią 38 (W1). Dno piwniczki wylepiono gliną 65 (W1), w której obrębie wystąpiły kamienie średnicy do 10 cm. Warstwa ta tworzyła swego rodzaju klepisko. Na glinie tej zarejestrowano próchnicze ślady rozłożonego drewna 66 (W1), które mogło być zarówno resztką drewnianej podłogi, jak również elementami konstrukcji piwnicy lub budynku, które wrzucono tu w trakcie jego rozbiórki. Resztki te, a także relikty drewnianych ścian nosiły ślady wylepiania gliną 63 (W1).

Warstwą użytkową w obrębie grodu jest warstwa 26 (W1), zarejestrowana w zachodniej części majdanu.

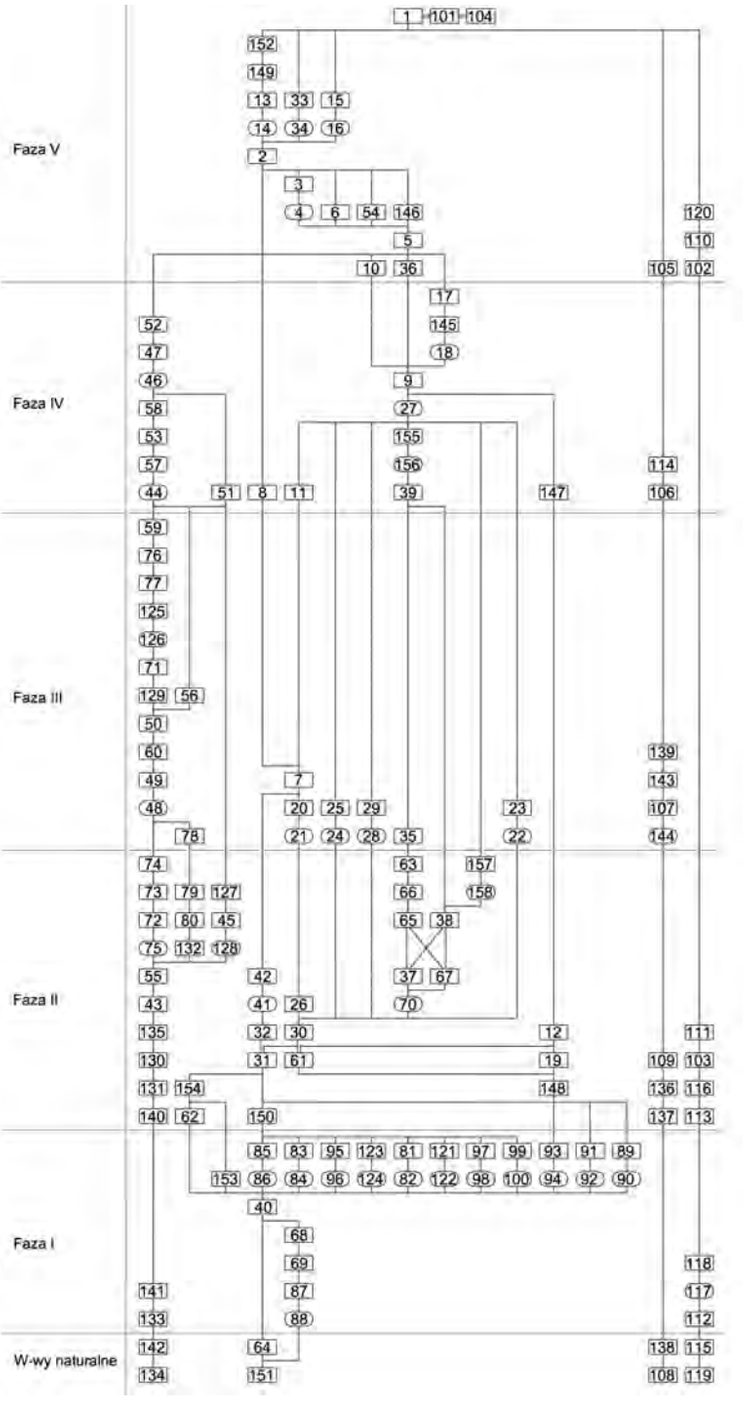

Ryc. 13. Susz, st. 1. Diagram relacji stratygraficznych (oprac. R. Solecki)

Jej strop został zniszczony przez młodsze niwelacje, a najwyższy punkt osiąga poziom 108,06 m n.p.m. Warstwami narosłymi w trakcie funkcjonowania grodu poza jego palisadą są warstwy 79 (W4), 80 (W4), 109 (W3) i 132 (W4).

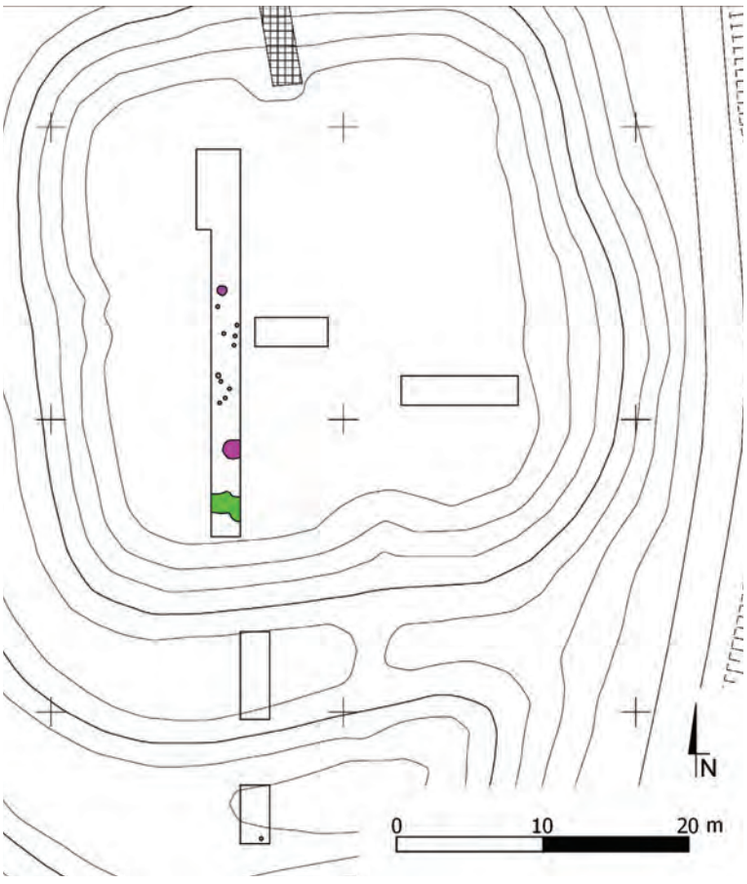

Ryc. 14. Susz, st. 1. Plan grodziska z zaznaczonymi obiektami z Fazy I (oprac. R. Solecki)

Ryc. 15. Susz, st. 1. Ślady orki odkryte w wykopie 5, na poziomie związanym z osadnictwem pruskim (fot. R. Solecki)

Tabela 3. Susz, st. 1. Zestawienie obiektów z Fazy II (oprac. R. Solecki)

Rodzaj obiektu	Nr cięcia obiektu	Nr wypełniska obiektu	Wykop	Kształt w planie stropu	Kształt w przekroju	Średnica stropu	Głębokość
Dół posłupowy	41	42	W1 Południowy wał majdanu	owalny	U-kształtny	35 cm	20 cm
Dół posłupowy	75	72, 74 i relikty słupa 73	W4 Na wschodnim wale grodziska	owalny	prostokątny	70-120 cm; średnica słupa do 40 cm	110 cm; długość słupa do 75 cm
Dół posłupowy	128	127 i relikty słupa 45	W4 Wewnętrzna strona wschodniego wału grodziska	prostokątny z zaokrąglonymi narożnikami	prostokątny	90 cm; średnica słupa do 50 cm	160 cm; długość słupa do 90 cm
Dół posłupowy	158	157	W1 Na północnym wale majdanu	prostokątny	nieregularnie prostokątny	30 x 85 cm	do 150 cm

Faza III (ryc. 20)

Z fazą tą należy łączyć przebudowę starszego grodu, który w tej fazie zyskał m. in. kamienno-ceglane mury i zaczął zapewne pełnić funkcję ufortyfikowanego dworu.

W trakcie badań zidentyfikowano jedynie mocno zniszczone relikty murów. W części południowej jest to wkop budowlany 21 (W1), ułożony na osi zbliżonej do wschód–zachód, którego wymiary to szerokość około 170 cm i głębokość do 35 cm. Jego dno wyłożono gliną z kawałkami gruzu ceglanego i zaprawy wapiennej 20 (W1). Warstwa ta wylepiała zapewne stopę fundamentu muru, o czym świadczy podobna jednostka odkryta przy lepiej zachowanym murze w części południowo-wschodniej majdanu.

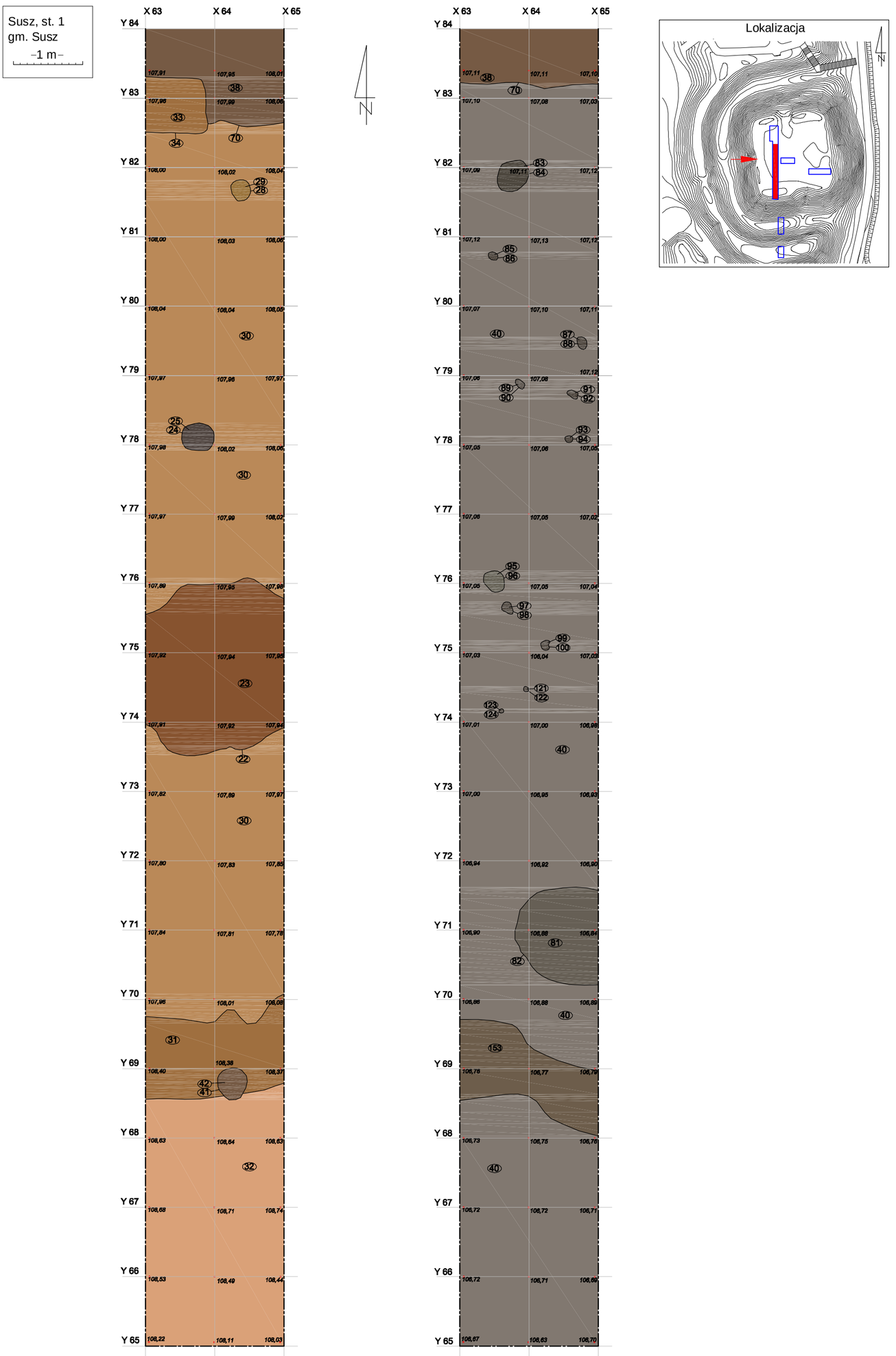

Ryc. 16. Susz, st. 1. Plan wykopu 1: z prawej - z obiektami z okresu osadnictwa pruskiego (Faza I); z lewej - z obiektami z okresu funkcjonowania grodu krzyżackiego (Faza II) i dworu (Faza III) (oprac. R. Solecki)

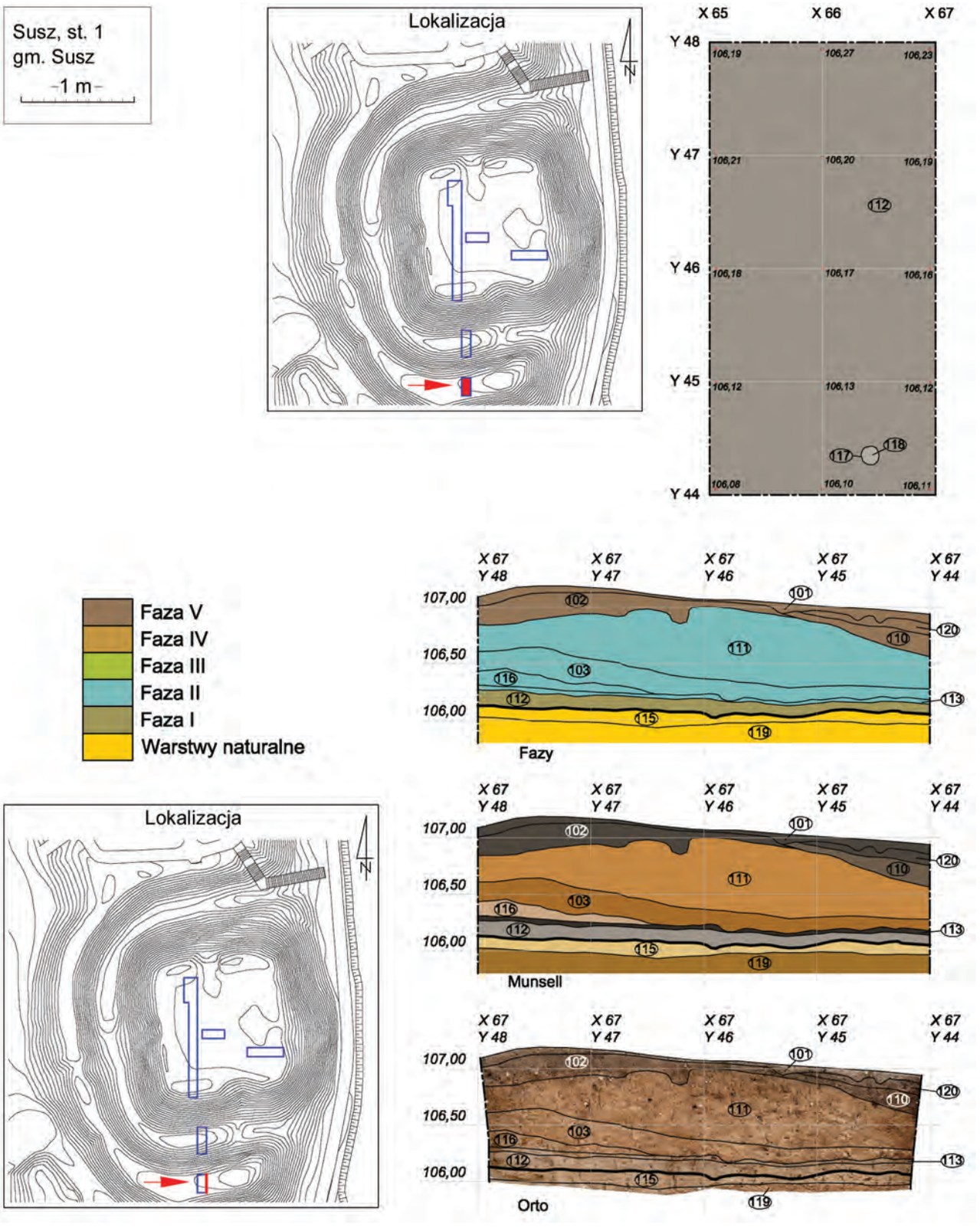

Ryc. 17. Susz, st. 1. Plan wykopu 2 z obiektem datowanym na okres osadnictwa pruskiego (Faza I) oraz ściana wschodnia wykopu 2 (oprac. R. Solecki)

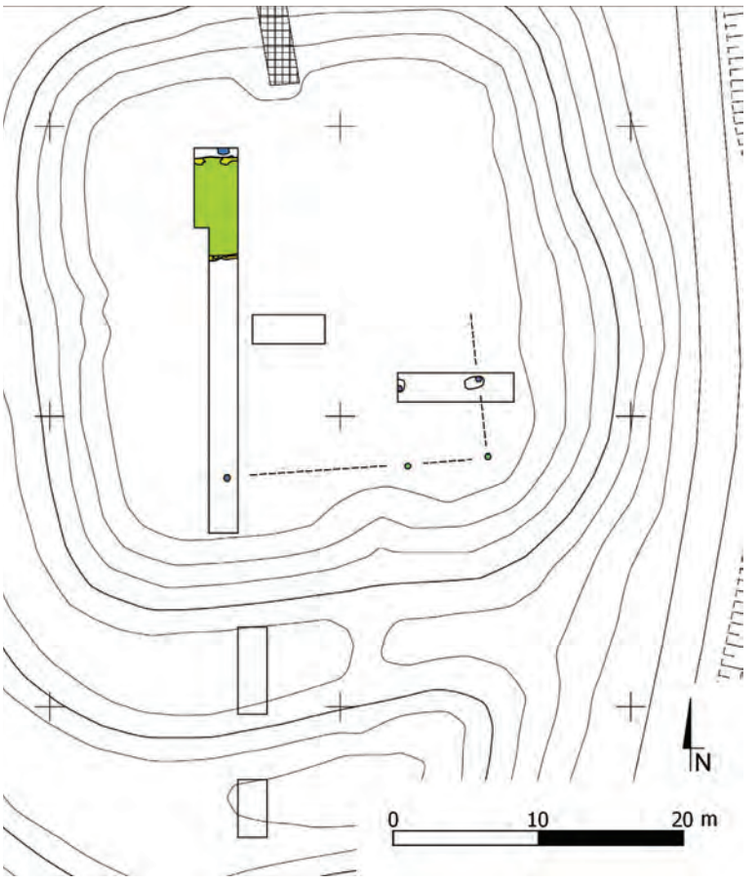

Ryc. 18. Plan grodziska w Suszu, st. 1 z zaznaczonymi obiektami z Fazy II (oprac. R. Solecki)

Tam, we wkopie budowlanym 48 (W4), ułożonym na osi zbliżonej północ–południe, którego wymiary to szerokość około 125 cm i głębokość do 100 cm, natrafiono ponadto na formę drewnianego szalunku 49 (W4), który licował od strony wewnętrznej konstrukcję części fundamentowej muru 60 (W4). Kamienie i cegły tego muru spoczywały na rudawej glinie 50 (W4), którą były też oblepione po bokach. Z budową muru można wiązać warstwę 78 (W4), a z okresem gdy funkcjonował – warstwy 7 (W1), 59 (W4), 71 (W4), 76 (W4), 77 (W4) i 129 (W4). Wszystkie te warstwy odkładały się po zewnętrznej stronie muru. Bardzo duża ich sekwencja została odkryta od strony jeziora, co może świadczyć o zmianach, jakim poddawano stok. Na poziomie stratygraficznym pomiędzy warstwami 71 (W4) i 77 (W4) zarejestrowano także niewielki dół posłupowy 126 (W4) średnicy 35 cm i głębokości do 50 cm, którego wypełniskiem jest warstwa 125 (W4). Znajduje się on w odległości około 1,5 m od muru, a jego rola w tym miejscu nie została ustalona.

W trakcie tej przebudowy zasypano drewnianą piwnicę. Jej wypełniskiem jest przemieszana ziemia i glina z licznym gruzem ceglanym i resztkami zbutwiałych konstrukcji drewnianych 35 (W1). W jej miejscu powstała nieokreślona, lekka konstrukcja, po której śladem jest tylko wkop rozbiórkowy 156 (W1), który ułożony jest na osi zbliżonej do wschód–zachód. Na obszarze majdanu funkcjonowała także zabudowa murowana, na co wskazują wkopy rozbiórkowe murów fundamentowych, odkryte w południowo-wschodniej części majdanu.

Z funkcjonowaniem dworu można wiązać trzy obiekty odkryte w obrębie majdanu. Pierwszym jest okrągły w planie wkop 22 (W1), średnicy około 2,3 m i głębokości do 60 cm, o pionowych ścianach bocznych i niemalże płaskim dnie. W jego wnętrzu natrafiono na dużą ilość polepy i węgle drzewne 23 (W1). Być może był to obiekt spełniający funkcje podczas budowy, a wtórnie wykorzystano go jako śmietnisko. Dwa pozostałe to doły posłupowe 24 (W1) i 28 (W1) średnicy około 25–35 cm i głębokości do 30–40 cm, których wypełniskami są odpowiednio warstwy 25 (W1) i 29 (W1).

Poziom użytkowy wewnątrz murów zidentyfikowano jedynie w wykopie 4, w części wschodniej majdanu, i wyznacza go warstwa 56 (W4). Jej strop został zniszczony przez młodsze niwelacje, a najwyższy punkt osiąga poziom 107,83 m n.p.m.

Ślady dbania o stan dworu widać na przykładzie fosy (ryc. 28). W wykopie badawczym pomiędzy wałem majdanu a Wałem I natrafiono na wkop 144 (W3) wskazujący na jej pogłębianie i czyszczenie. Poziom użytkowy Fosy I, narosły po oczyszczeniu dna ze starszych nawarstwień, reprezentuje warstwa 107 (W3). Warstwę tę częściowo przykrywa glina 143 (W3), która jest najpewniej spływem ze stoków. Ponad nią wyróżniono kolejny poziom użytkowy 139 (W3).

Faza IV

Faza ta to okres rozbiórki zabudowań i innych konstrukcji z obszaru majdanu (ryc. 21).

Śladami rozbiórki są:

- muru południowego: warstwy 8 (W1) i 11 (W1), tworzące pokład rumoszu ceglano-kamiennego w obrębie południowego wału,
- muru wschodniego: wkop rozbiórkowy 44 (W4), szerokości do 160 cm i głębokości do 90 cm, którego wypełniskiem jest warstwa 57 (W4),
- muru ściany w części południowo-wschodniej majdanu: regularny wkop rozbiórkowy 46 (W4), szerokości około 130 cm i głębokości do 120 cm, którego wypełniskiem są warstwy 47 (W4) i 52 (W4). Podczas rozbiórki tego muru powstały także warstwy 51 (W4), 53 (W4) i 58 (W4) z bardzo dużą ilością gruzu ceglanego,
- muru ściany w centralnej części majdanu: regularny wkop rozbiórkowy 18 (W5), szerokości około 130 cm i głębokości do 110 cm, którego wypełniskiem są warstwy 17 (W5) i 145 (W5),
- lekkiej konstrukcji w północno-zachodniej części majdanu: płytkie korytko 156 (W1) szerokości

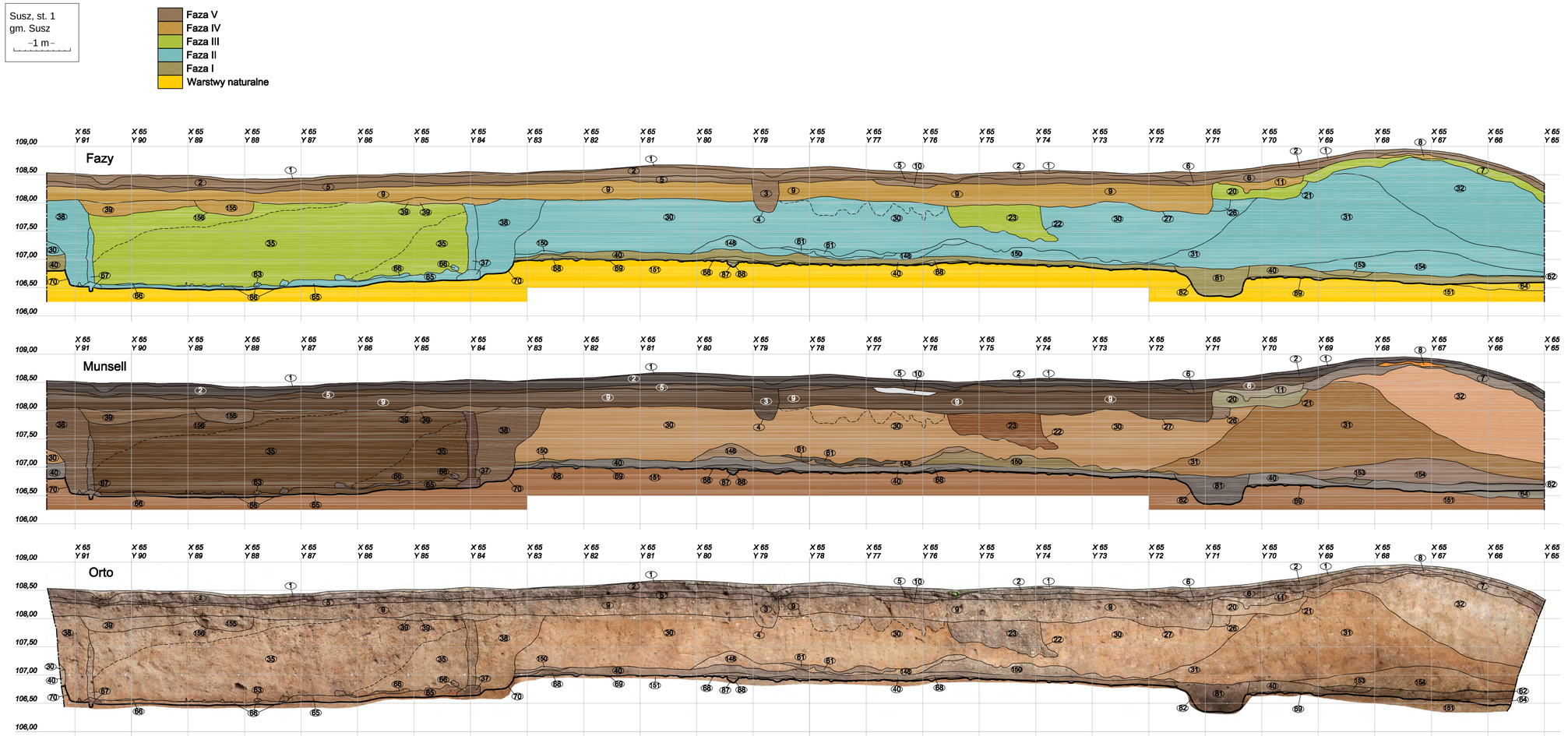

Ryc. 19. Susz, st. 1. Ściana wschodnia wykopu 1 (oprac. R. Solecki)

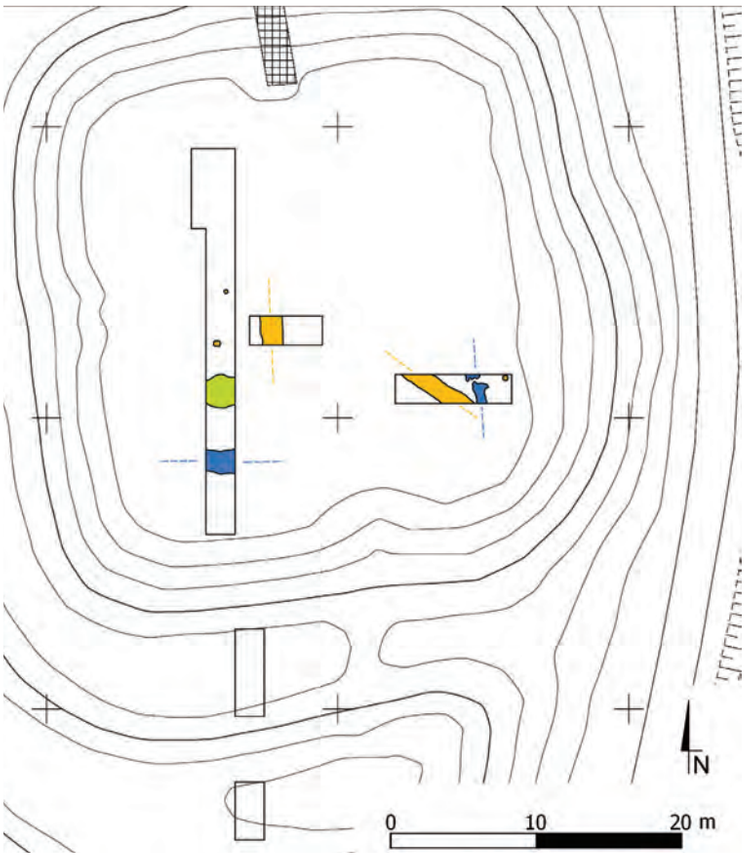

Ryc. 20. Plan grodziska w Suszu, st. 1 z zaznaczonymi obiektami z Fazy III (oprac. R. Solecki)

Ryc. 21. Susz, st. 1. Widok wykopu 4 z reliktami kamienno-ceglanego muru z widocznymi śladami drewnianego umocnienia, który został rozebrany niemal do poziomu posadowienia (fot. R. Solecki)

około 1 m i głębokości do 25 cm, którego wypełniskiem jest warstwa 155 (W1).

Materiał do zasypania piwnicy mógł pochodzić z szerokopłaszczyznowej niwelacji, za pomocą której obniżono powierzchnię majdanu, zarazem ją równając. Jej pozostałością jest wkop 27 (W1) i warstwy 39 (W1), 9 (W1, W5), 147 (W5).

Ślady niwelacji stwierdzono także w fosie, która została zasypana gliną przemieszaną z piaskiem i gruzem ceglanym 106 (W3). Na jej stropie wytworzyła się następnie warstwa namulisk 114 (W3), dużo bardziej miąższa, niż starsze nawarstwienia, co może sugerować, że w tej fazie nie dbano już o stan fosy.

Faza V

Faza ta obejmuje jednostki powstałe po rozbiórce konstrukcji znajdujących się na majdanie. Można je datować na XIX i XX wiek i łączyć z epizodycznymi wydarzeniami mającymi tu miejsce.

Na majdanie warstwami, które można łączyć z tą fazą i datować na XIX–XX wiek są warstwy 5 (W1, W4, W5), 6 (W1), 36 (W1) i 54 (W4). Na szczycie Wału I do tego horyzontu chronologicznego należą warstwy 102 (W2), 110 (W2) i 120 (W2), a w Fosie I – warstwa 105 (W3). Na wiek XX można datować szerokopłaszczyznową niwelację 2 (W1, W4, W5).

W trakcie II wojny światowej i po jej zakończeniu na obszarze grodziska rozstawiana była scena[6]. Prawdopodobnie pozostałością po niej jest drewniany palik 152 (W5), średnicy około 15 cm oraz skupisko kamieni i cegieł 10 (W1).

Częścią XX-wiecznej infrastruktury jest kabel energetyczny ułożony we wkopie 4 (W1, W5), którego wypełniskiem jest warstwa 3 (W1, W5). Resztką hałdy po wkopie jest warstwa 149 (W5). Na wiek XX można także datować palenisko 146 (W5), w którym natrafiono na współczesne odpadki oraz dwa wkopy śmietniskowe 14 (W5) i 16 (W5), których wypełniskami są odpowiednio warstwy 13 (W5) i 15 (W5).

Na 1996 rok można datować wkop 34 (W1), którego wypełniskiem jest warstwa 33 (W1). Jest to wykop archeologiczny z badań prowadzonych przez UMK w Toruniu[7].

Obecny poziom użytkowy wyznaczają warstwy 1 (W5), 101 (W2) i 104 (W3).

[6] Zgodnie z ustną relacją jednego z mieszkańców Susza.

[7] Chudziak i Bojarski 1996: 1–3.

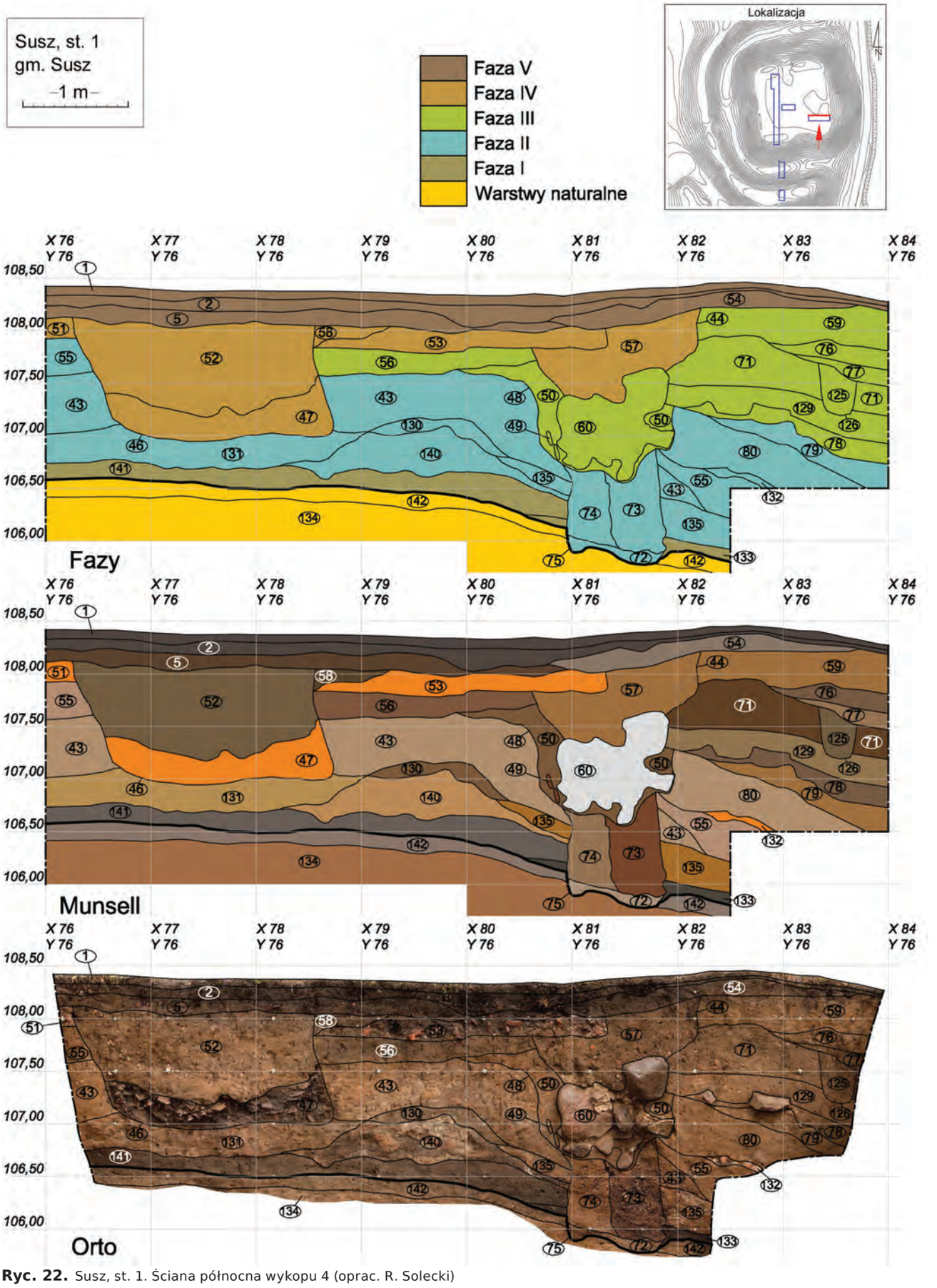

Ryc. 22. Susz, st. 1. Ściana północna wykopu 4 (oprac. R. Solecki)

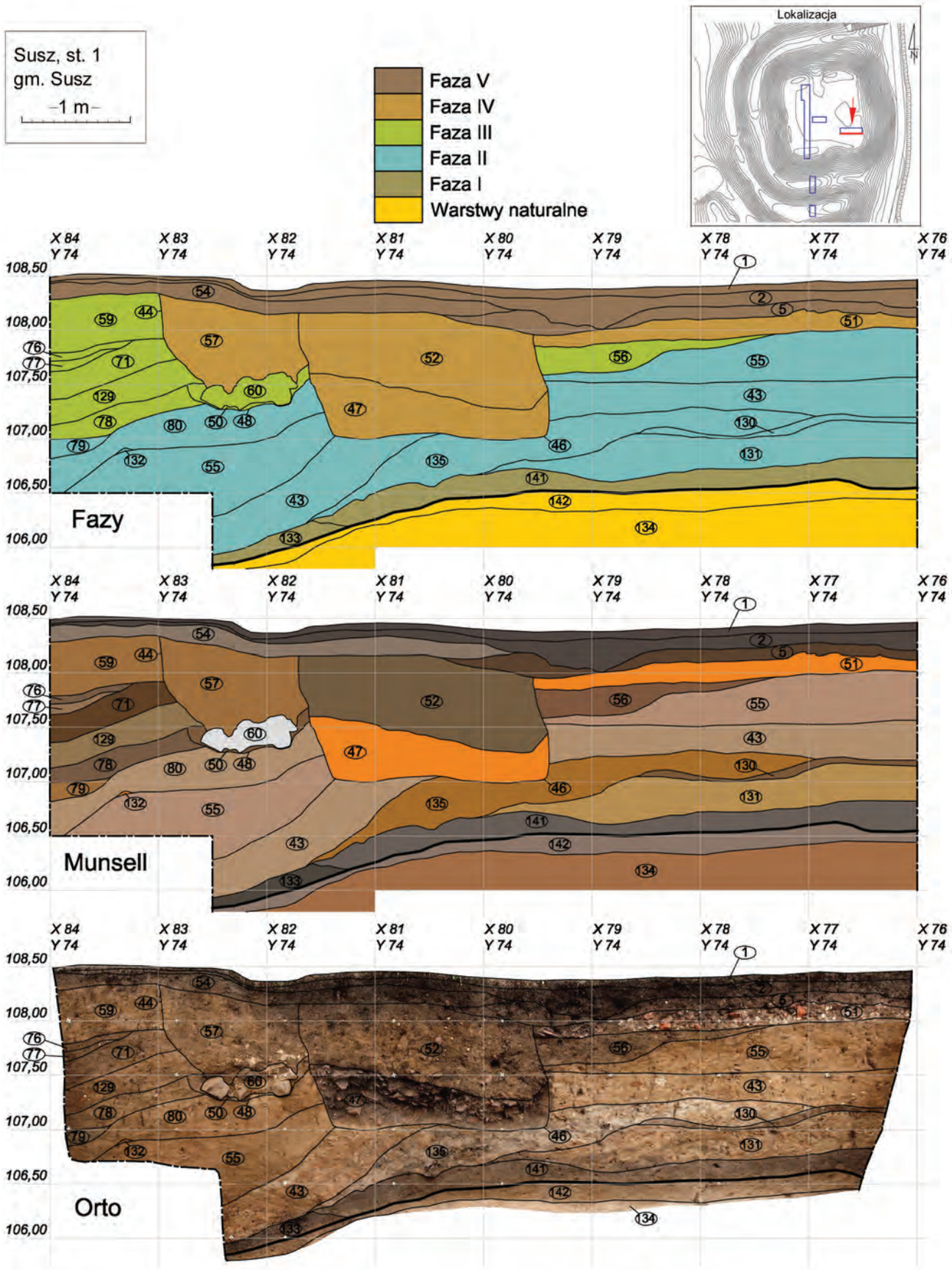

Ryc. 23. Susz, st. 1. Ściana południowa wykopu 4 (oprac. R. Solecki)

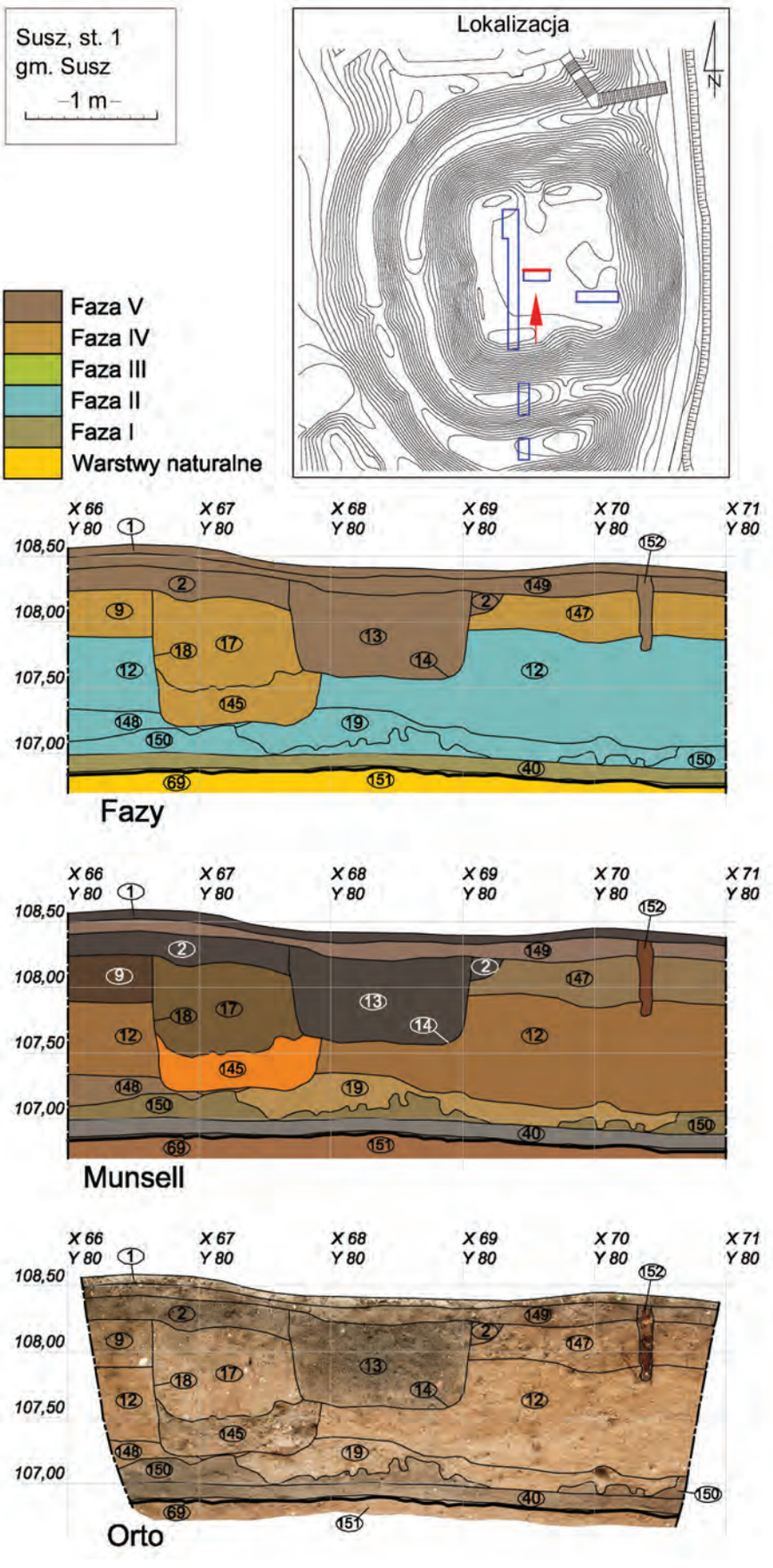

Ryc. 24. Susz, st. 1. Ściana północna wykopu 5 (oprac. R. Solecki)

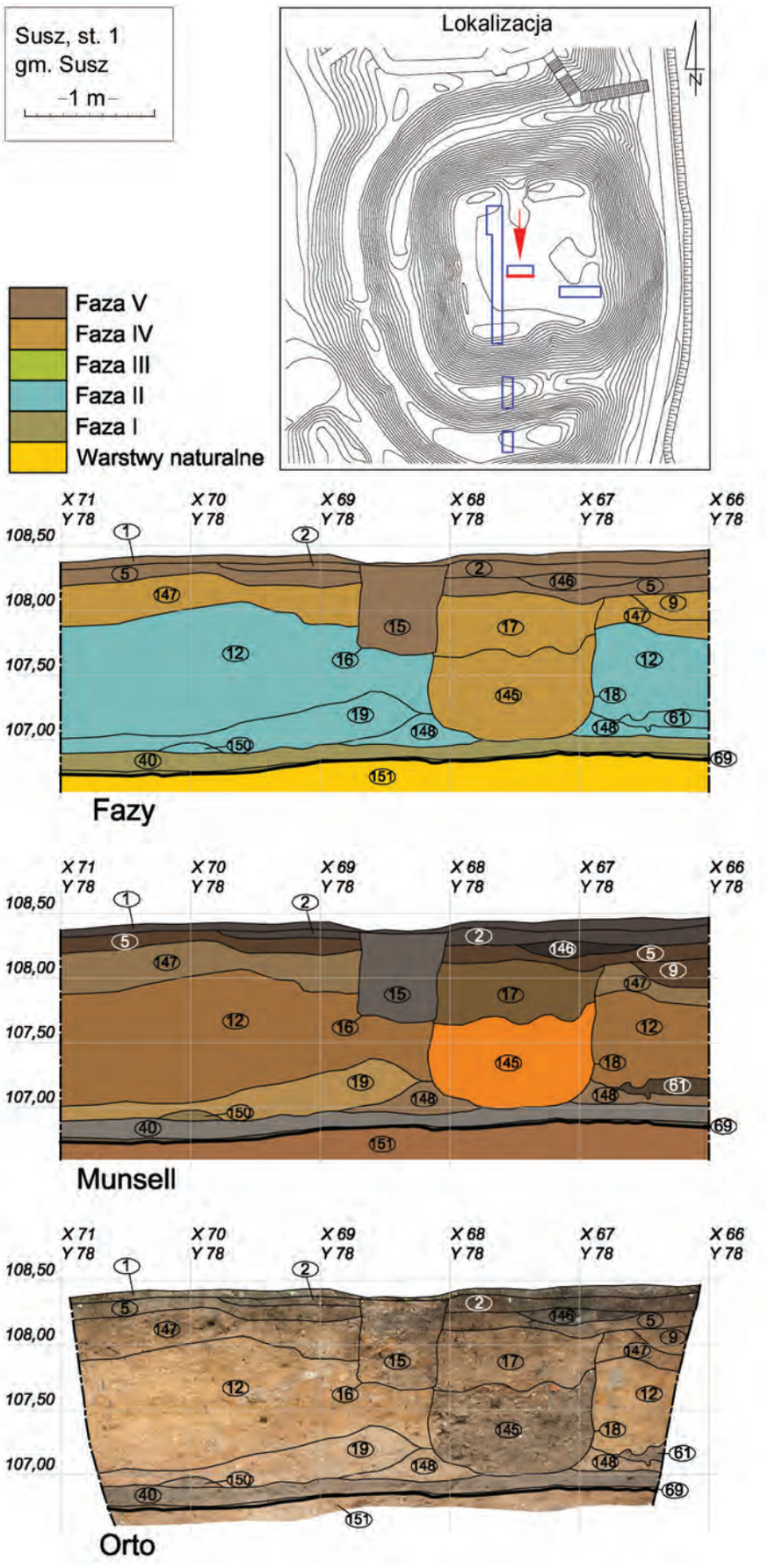

Ryc. 25. Susz, st. 1. Ściana południowa wykopu 5 (oprac. R. Solecki)

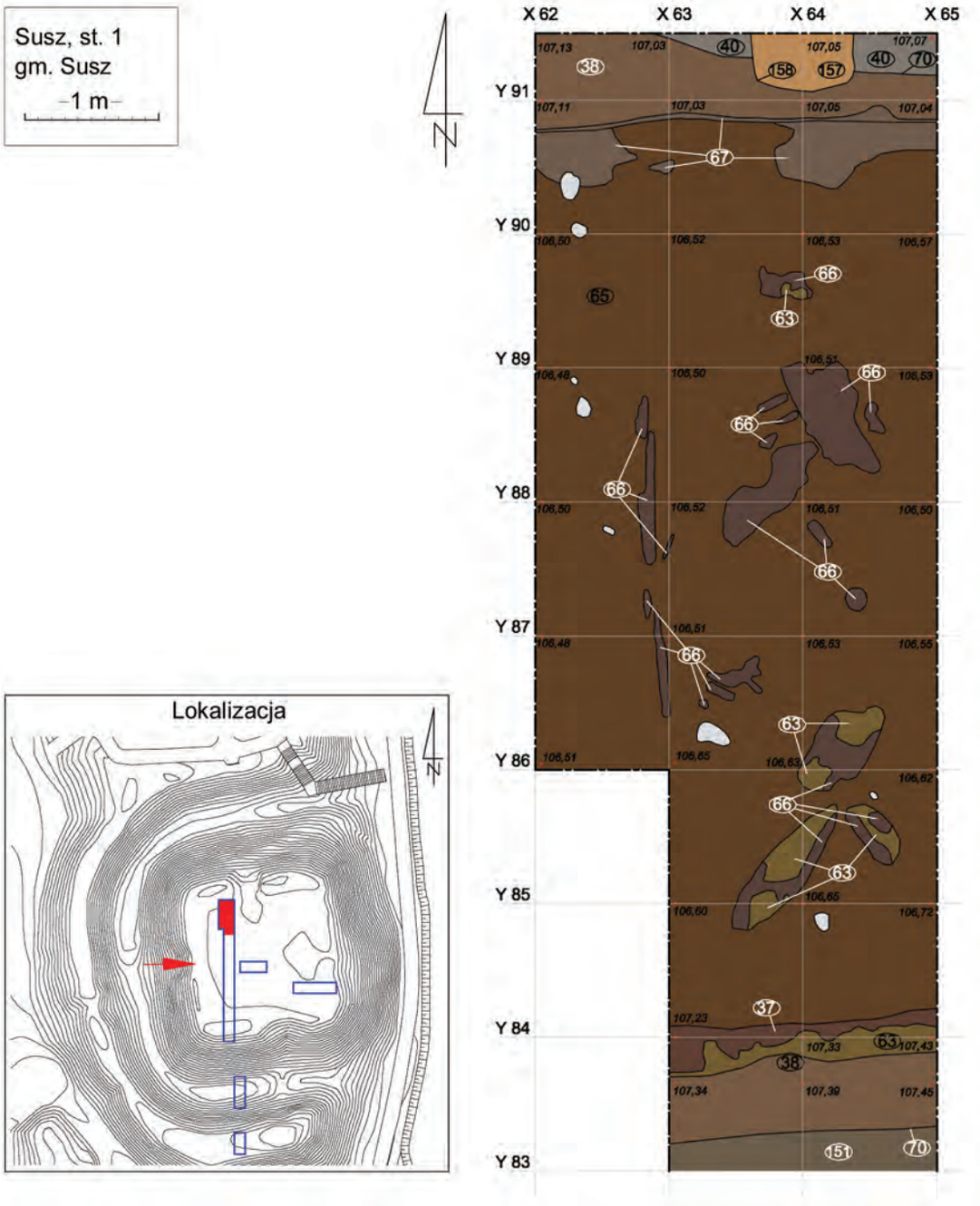

Ryc. 26. Susz, st. 1. Plan wykopu 1 z odsłoniętymi reliktami piwnicy (Faza II) (oprac. R. Solecki)

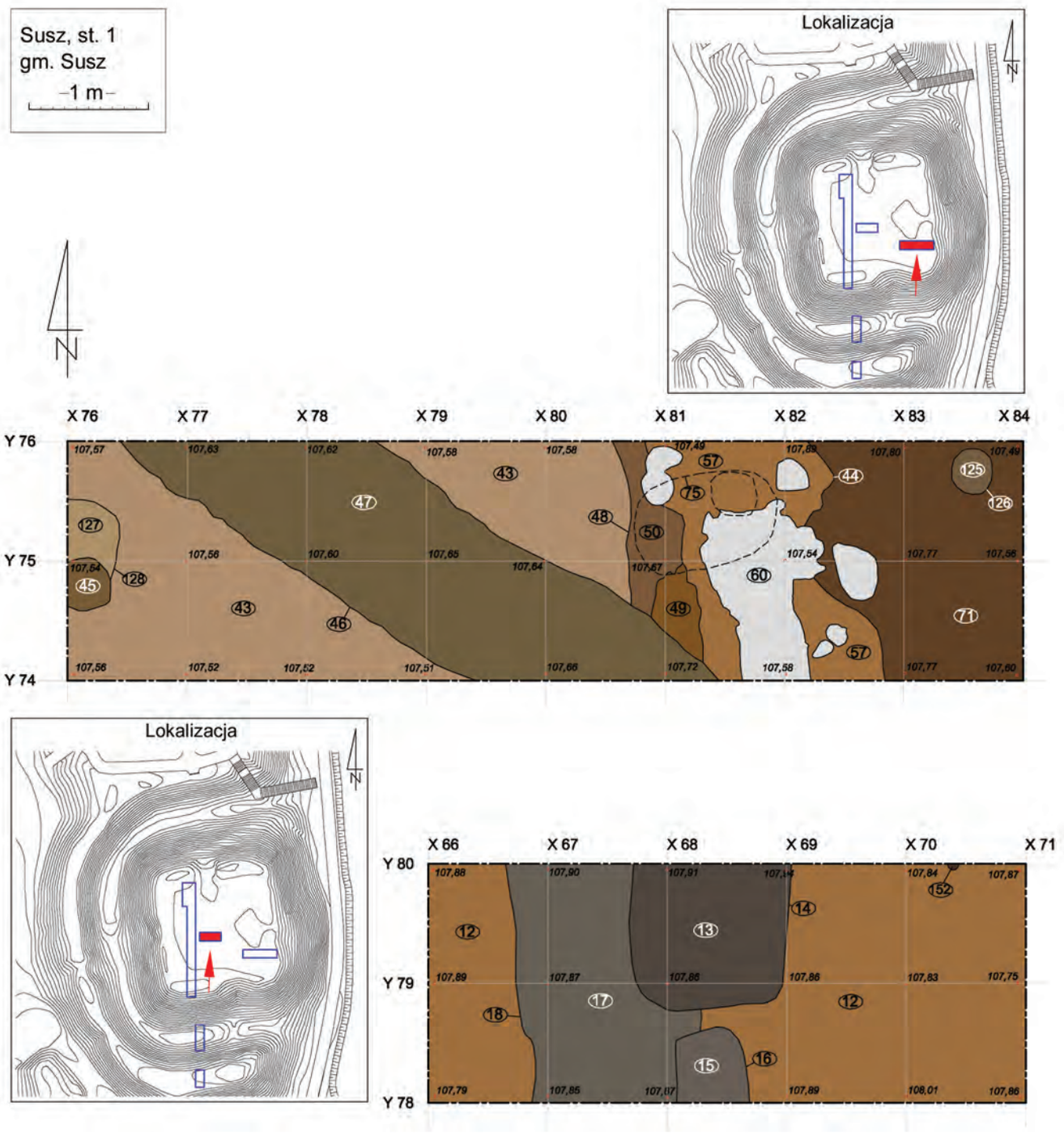

Ryc. 27. Susz, st. 1. Plan wykopu 4 (u góry) z obiektami wiązanymi z Fazą II, III i IV oraz plan wykopu 5 (u dołu) z obiektami wiązanymi z Fazą IV i V (oprac. R. Solecki)

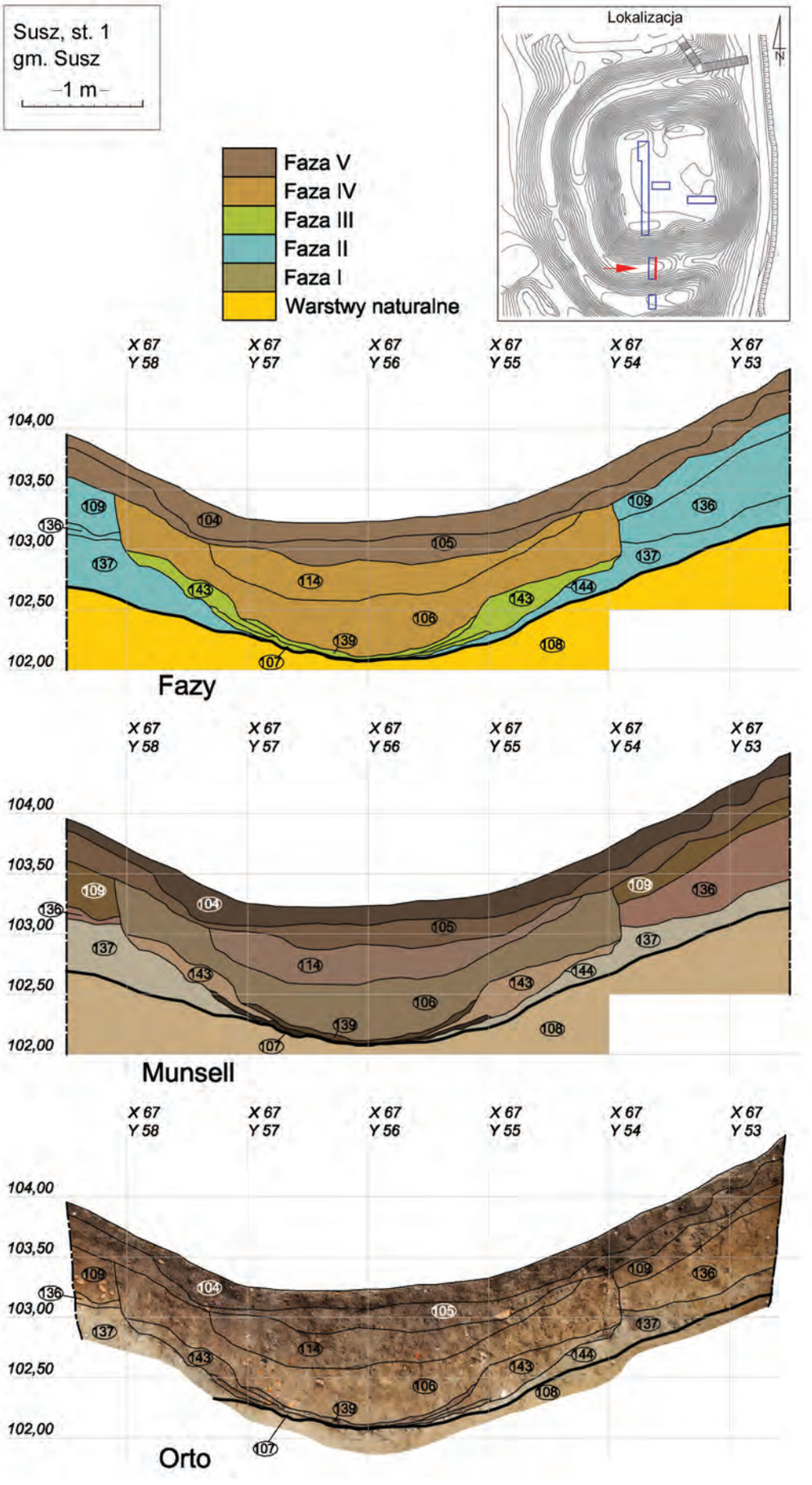

Ryc. 28. Susz, st. 1. Ściana wschodnia wykopu 3 (oprac. R. Solecki)

ZNALEZISKA
Ceramika
Grupy technologiczno-surowcowe

Materiał ceramiczny podzielono na osiem grup technologiczno-surowcowych (GTS), z których trzy pierwsze stanowią 92,5% całego zbioru, a pozostałych pięć reprezentowana jest przez pojedyncze fragmenty:

1. Ceramika tradycyjna. Ceramika wykonana ze źle wyrobionej masy ceramicznej z dość dużą ilością drobnej domieszki schudzającej – piasku, drobin startego granitu i miki. Grubość ścianki wynosi około 5–7 mm (średnio około 6 mm), a grubość dna do 10 mm. Wypał jest utleniający. Kolor ścianek jest jasnopomarańczowy, pomarańczowy i brązowy. Przełam zazwyczaj trójkolorowy – przejście od koloru powierzchni zewnętrznej, przez kolor ciemny, zazwyczaj szary, do koloru powierzchni wewnętrznej. Powierzchnia zewnętrza i wewnętrzna jest lekko szorstka z widocznymi śladami obtaczania i zagładzania (tabl. 1). Grupa tej ceramiki jest najliczniejsza w zbiorze z grodziska w Suszu. Zadokumentowano jej łącznie 246 fragmentów, co stanowi około 38% całego zbioru. Tego rodzaju materiał ceramiczny, tzw. ceramikę tradycyjną, można datować na wczesne średniowiecze, zapewne XI–XIII w.

2. Ceramika „siwa”. Ceramika wykonana z dobrze wyrobionej masy ceramicznej z małą ilością drobnej domieszki schudzającej – startego piasku. Grubość ścianki wynosi około 4–9 mm (średnio około 5–6 mm). Wypał jest redukcyjny. Kolor ścianek jest jasnoszary, szary i ciemnoszary. Przełam jest jednokolorowy, w kolorze ścianki. Powierzchnia zewnętrza jest gładka, często wyświecana, wewnętrzna jest gładka, z widocznymi na niej śladami toczenia i zagładzania (tabl. 2). Grupa tej ceramiki jest drugą najliczniejszą w zbiorze z grodziska w Suszu. Znaleziono jej łącznie 234 fragmenty, co stanowi około 36,1% całego zbioru. Tego typu materiał ceramiczny, tzw. ceramikę „siwą”, można datować na pełne średniowiecze. Chronologicznie najczęściej ten rodzaj ceramiki występuje od około połowy XIII do XV w.

3. Ceramika ceglasta, typ A. Ceramika wykonana z dobrze wyrobionej masy ceramicznej z małą ilością drobnej domieszki schudzającej – startego piasku. Grubość ścianki wynosi około 3–4 mm. Wypał jest utleniający. Kolor ścianek jest jasnopomarańczowy, pomarańczowy i ciemnopomarańczowy. Przełam jest jednokolorowy, w kolorze ścianki. Powierzchnia zewnętrza jest gładka, wewnętrzna jest gładka z widocznymi na niej śladami toczenia i zagładzania. Powierzchnia naczyń bywa polewana. Kolor polewy po stronie wewnętrznej jest żółty i brązowy, na stronie zewnętrznej – żółty, brązowy i zielony (tabl. 3). Grupa tej ceramiki tworzy trzecią najliczniejszą w zbiorze z grodziska w Suszu. Znaleziono jej łącznie 119 fragmentów, co stanowi około 18,4% całego zbioru. Tego rodzaju materiał ceramiczny, tzw. ceramikę ceglastą, można datować na późne średniowiecze. Typ ten pojawia się około połowy XV w. i szybko zdobywa popularność, do początku XVI w. wypierając ceramikę „siwą”[8]. Pojedyncze, niewielkie fragmenty noszą ślady nieokreślonego wzoru, być może floralnego, wykonanego techniką malowania. Dość częstym motywem zdobniczym są także pionowe pasy malowane białą glinką na zewnętrznej stronie naczynia, w jego dolnej partii.

4. Ceramika ceglasta, typ B. Ceramika wykonana z dobrze wyrobionej masy ceramicznej z małą ilością drobnej domieszki schudzającej – startego piasku. Grubość ścianki wynosi około 10–12 mm. Wypał jest utleniający. Kolor ścianek jest jasnopomarańczowy, pomarańczowy, ciemnopomarańczowy i brązowy. Przełam jest jednokolorowy, w kolorze ścianki. Powierzchnia zewnętrza jest najczęściej gładka, ale bywa także szorstka, ścianka wewnętrzna jest gładka z widocznymi na niej śladami toczenia i zagładzania. Podczas badań pozyskano osiem fragmentów tego rodzaju ceramiki, co stanowi 1,2% całego zbioru. Grupa ta ma wiele wspólnego z typową ceramiką ceglastą i jest niejako formą przejściową pomiędzy nią, a ceramiką budowlaną. Prawdopodobnie też można ją datować tak samo, jak wyroby ceglaste, od połowy XV w.

5. Porcelana. Grubość ścianki do 2 mm. Kolor ścianki i przełamu biały. Na powierzchni wewnętrznej występują malowane niebieską farbą motywy floralne i zwierzęce (motyl). Jeden z fragmentów posiada ścianę zewnętrzną pomalowaną na brązowo. Podczas badań pozyskano siedem fragmentów porcelany, co stanowi 1,1% całego zbioru. Wyroby tego typu nie były zapewne znane przed połową XVII w., a bardziej prawdopodobne będzie ich datowanie na przełom XVII i XVIII w.[9]

6. Majolika / pseudomajolika. Ceramika wykonana z dobrze wyrobionej masy ceramicznej z małą ilością drobnej domieszki schudzającej – startego piasku. Grubość ścianki wynosi około 6–8 mm. Wypał jest utleniający. Kolor ścianek jest jasnopomarańczowy i pomarańczowy. Przełam jest jednokolorowy, w kolorze ścianki. Powierzchnia zewnętrza i wewnętrzna jest gładka z widocznymi śladami toczenia. Na ścianie wewnętrznej i zewnętrznej biała angoba pokryta przezroczystym szkliwieniem. Ceramika zdobiona tylko za pomocą malowania. Najprostsze wzory to zielone kropki lub niebieskie dookolne linie występujące zarówno na stronie wewnętrznej, jak i zewnętrznej. Bardziej skomplikowany motyw przypomina falę i malowany jest farbą zieloną i niebieską. Podczas badań pozyskano 18 fragmentów należących do tej grupy, co stanowi 2,7% całego zbioru.

[8] Marcinkowski 2013: 245–247.

[9] Marcinkowski 2013: 249–251.

Tabela 4. Zestawienie ilościowe fragmentów ceramiki z grodziska w Suszu, st. 1 (oprac. R. Solecki)

Faza	Jednostka stratygraficzna	Liczba fragmentów łącznie	Liczba różnych naczyń	Wylewy			Szyjki	Brzuśce							Ucha	Części przydenne	Dna						Fragmenty przepalone	Fragmenty o wypłukanej powierzchni	Chronologia		Grupy technologiczno-surowcowe									Typologia	
				Liczba fragmentów	SEN (procent obwodu)	Ornamentowane		Liczba fr. ogółem	Gładkie	Wyświecane	Szorstkie	Nieokreślone	Przepalone	Ornamentowane			Liczba fragmentów	SEN (procent obwodu)	Rodzaj			Wałek dookolny	Podsypka			Wczesne średniowiecze	Późne średniowiecze	1. Tradycyjna	2. „Siwa”	3. Ceglasta cienka	4. Ceglasta, gruba	5. Porcelana	6. Majolika/pseudomajolika	7. Kamionka	8. Fajans	9. Nieokreślone	Wylew	Ornament
																			Wklęsłe	Lekko wklęsłe	Płaskie																
I	40	37	12	5	16			30	3		25	2	2	8			2	10			1		1	3	12	34	3	34	3								I_WT4A (2), I_WT1A (1), I_WT1B (1)	I_OT1A (4), I_OT1C (2), I_OT1B (1), II_OT3A (1), I_OT1C (1)
I	64	1	1					1			1		1	1										1		1		1								-	I_OT1A (1)
I	68	17	4	2	5			13			13		4	4			2	5		1		1		4	8	17		17								I_WT1A (1), I_WT1B (1)	I_OT1C (4)
I	81	9	1	1	2				2		6		2	3										3	2	9		9								I_WT4A (1)	I_OT1A (2), I_OT1C (1)
I	83	6	1	1	5			5			5		1											1	4	6		6								I_WT1B (1)	-
I	95	16	1	4	60	2		12			12		12	12										12		16		16								I_WT1A (1*)	I_OT1A (1*)
I	112	6	3	1	7			4	1		3		2	2			1	5			1		1	2	3	5	1	5		1						I_WT3 (1)	I_OT1A (1), I_OT1C (1)
I	121	1	1					1			1		1	1										1	1	1		1								-	I_OT1B (1)
I	141	28	4	4	25	1		23			23		11	15		1								13	22	27	1	27	1								I_WT1A (1)	I_OT1A (3), I_OT1B (2), I_OT1C (8)
II	45	5	3					5	2		3		1	4										1		3	2	3	2								-	I_OT1B (1), I_OT1C (2), II_OT1A (1)
II	55	2	1					2	2				1														2		2								-	-
II	63	11	2	2	5			9			9			2												11		11									I_WT1B (1)	I_OT1B (1), I_OT1C (1)
II	74	3	2	1	7			2			2		2	1																							I_WT1B (1)	I_OT1B (1)
II	80	7	2	1	5			6	5	1	1		5																								II_WT2C (1)	II_OT2A (1)
II	127	6	1					4			4						2	5					2														-	-
II	130	1	1														1	10		1																	-	-

Tabela 4. c.d.

Faza	Jednostka stratygraficzna	Liczba fragmentów łącznie	Liczba różnych naczyń	Wylewy			Szyjki	Brzuśce							Ucha	Części przydenne	Dna						Fragmenty przepalone	Fragmenty o wypłukanej powierzchni	Chronologia		Grupy technologiczno-surowcowe									Typologia	
				Liczba fragmentów	SEN (procent obwodu)	Ornamentowane		Liczba fr. ogółem	Gładkie	Wyświecane	Szorstkie	Nieokreślone	Przepalone	Ornamentowane			Liczba fragmentów	SEN (procent obwodu)	Rodzaj			Wałek dookolny	Podsypka			Wczesne średniowiecze	Późne średniowiecze	1. Tradycyjna	2. „Siwa”	3. Ceglasta cienka	4. Ceglasta, gruba	5. Porcelana	6. Majolika/pseudomajolika	7. Kamionka	8. Fajans	9. Nieokreślone	Wylew	Ornament
																			Wklęsłe	Lekko wklęsłe	Płaskie																
II	135	3	1					1			1						2				1			3		3		3									-	-
II	140	3	1					3			1		3											3		3		3									-	-
III	7	1	1														1	15					1			1		1									-	-
III	23	28	8	3	15		2	17	13	3	4			5	1	1	3	45		2	2			2	2	2	26	2	20	6							II_WT5 (1), II_WT6 (1)	II_OT1B (2), II_OT2A (1), II_OT1C (1), II_OT2B (2)
III	25	1	1														1	5									1		1								-	-
III	35	49	14	6	28			33	16		21		14	17		1	9	150		6	3		4	15	9	23	26	23	25	1							I_WT2A (1), II_WT2D (1), II_WT2C (2)	I_OT1A (3), II_OT1B (2), II_OT1C (1), II_OT3A (12)
III	50	15	4	2	15			14	4		10		10	4										11		11	4	11	4								II_WT2C (1)	I_OT1A (1), I_OT1B (1), II_OT3C (1)
III	56	9	3					9	8	2		1	1	1										1			9		5	3				1			-	-
III	71	4	2					4			4		1	2										1		1	3	1	3								-	I_OT1C (1), II_OT3B (1)
III	107	4	2					3	3								1	5									4		2	2							-	-
III	125	1	1					1	1					1													1		1								-	II_OT3C (1)
III	129	24	4	3	26			15	8	4	7		7	2		3	3	40			3		3	8		9	15	9	15								I_WT2A (1), II_WT2B (1)	I_OT1B (1), II_OT1B (1)
IV	8	13	5	3	37			4	3		1		3	2			6	85			4			3		2	11	2	1	10							II_WT8A (1), III_WT9 (1)	I_OT1B (1), II_OT2B (1), III_OT1B (1)
IV	9	21	10	1	5			17	15	2	2		2	7	1		2	30		1	1			2		3	18	3	5	11			2				-	I_OT1B (1), II_OT1B (1), II_OT2A (2), III_OT1C (3), III_OT1D (1)
IV	11	1	1					1	1					1													1			1							-	III_OT3C (1)
IV	17	49	17	11	51	3		35	26		9		3	12	3									2	4	4	45	4	8	26	2	3	1		5		II_WT7 (2), III_WT7 (1),III_WT10 (1)	I_OT1A (1), II_OT1B (1), II_OT1C (1), III_OT1B (2), III_OT4 (1), IV_OT1C (2)

Tabela 4. c.d.

Faza	Jednostka stratygraficzna	Liczba fragmentów łącznie	Liczba różnych naczyń	Wylewy			Szyjki	Brzuśce							Ucha	Części przydenne	Dna						Fragmenty przepalone	Fragmenty o wypłukanej powierzchni	Chronologia		Grupy technologiczno-surowcowe									Typologia	
				Liczba fragmentów	SEN (procent obwodu)	Ornamentowane		Liczba fr. ogółem	Gładkie	Wyświecane	Szorstkie	Nieokreślone	Przepalone	Ornamentowane			Liczba fragmentów	SEN (procent obwodu)	Rodzaj			Wałek dookolny	Podsypka			Wczesne średniowiecze	Późne średniowiecze	1. Tradycyjna	2. „Siwa”	3. Ceglasta cienka	4. Ceglasta, gruba	5. Porcelana	6. Majolika/pseudomajolika	7. Kamionka	8. Fajans	9. Nieokreślone	Wylew	Ornament
																			Wklęsłe	Lekko wklęsłe	Płaskie																
IV	39	1	1					1	1				1										1			1		1								-	-
IV	44	5	2					3	3					3			2	50			2		2			5		4	1							-	II_OT1B (1), II_OT1C (1), III_OT1C (1), III_OT1D (1)
IV	47	34	9	11	39	4	3	17	17	3			1	4	1	1	1	5					2			34		18	5		1	8	2			III_WT7 (1), III_WT8A (1)	II_OT2A (1), II_OT2B (5), II_OT3B (1), III_OT1C (2), III_OT4 (3)
IV	51	1	1					1	1					1												1		1								-	II_OT1B (1)
IV	52	12	5	1	7			9	5	2	4		2	5			2	10				1	3		4	8	4	4	3				1			III_WT7 (1)	I_OT1A (1), III_OT1C (1), II_OT1C (3), II_OT2A (1)
IV	53	7	2	1	5			6		3	3		6	1									6	3	3	4	3		4							III_WT8A (1)	I_OT1A (1), I_OT1D (1)
IV	57	9	4	1	5			8	8	1			1	1									1		1	8	1	5	2		1					I_WT4A (1)	-
IV	58	18	7	3	12	1		13	9	1	4		7	4			2	50		2			7	2	4	14	4	4	7		1	1	1			III_WT7 (1)	I_OT1B (1), II_OT1B (1), III_OT4 (1)
IV	106	1	1					1	1																	1			1							-	-
V	1	4	2					3	3						1											4		1	3							-	III_OT4 (1)
V	2	13	10	2	10			10	7	3	2	1		2			1	20			1				1	12	1	5	4			2	1			I_WT2A (1)	II_OT1C (1), II_OT2A (2)
V	5	9	7	1	5			6	5	1	1			2	1		1	5		1						9		4	4					1		III_WT8B (1)	II_OT1D (1), III_OT1C (1)
V	104	8	5	1	5			7	6		1		1	1									1	2	2	6	2	3	2			1				I_WT4B (1)	-
V	humus	145	58	22	205	3		104	71	11	28	4	17	36	3	2	16	160		7	3		8	22	9	29	115	29	79	22	6	1	3	2	2	1	-	-
SUMA		**649**	**229**	**94**	**607**	**14**	**5**	**463**	**250**	**37**	**211**	**8**	**125**	**167**	**11**	**9**	**61**	**710**	**0**	**21**	**22**	**1**	**23**	**143**	**87**	**246**	**402**	**246**	**234**	**119**	**8**	**7**	**18**	**7**	**9**	**1**	-	-

7. Kamionka. Grubość ścianki 4–5 mm. Kolor ścian jest biały, lekko popielaty. Przełam jest jednokolorowy w kolorze ścianki. Powierzchnia zewnętrza i wewnętrzna jest generalnie gładka, lekko falista. Jedyna zaobserwowana forma zdobienia to odciśnięty na powierzchni motyw, prawdopodobnie floralny. Podczas badań pozyskano siedem fragmentów kamionki, co stanowi 1,1% całego zbioru.

8. Fajans. Grubość ścianki 4–6 mm. Kolor ścianek jest lekko żółtawy. Przełam jest jednokolorowy w kolorze ścianki. Powierzchnie zewnętrza i wewnętrzna są gładkie. Ścianki są pokryte szkliwem, zewnętrzne w kolorze białym lub pomarańczowym, a wewnętrzne w kolorze białym. Na ściance zewnętrznej zaobserwowano zdobienie w postaci dookolnych żłobków. Na ściance wewnętrznej z kolei wystąpił malowany niebieską farbą motyw floralny, prawdopodobnie wiśnie. Podczas badań pozyskano dziewięć fragmentów fajansu, co stanowi 1,3% całego zbioru. Fajans na ten obszar mógł zacząć napływać od około połowy XVII w., jako import z Europy Zachodniej. W Elblągu lokalne manufaktury rozpoczęły produkcję własnych wyrobów zapewne na przełomie XVII i XVIII w.[10]

Formy naczyń

W badanym zbiorze ceramiki zdecydowana większość fragmentów jest silnie rozdrobniona (tab. 5). 82,4% fragmentów ma poniżej 4 cm średnicy. Fakt ten wpływa na liczbę fragmentów diagnostycznych. Do stworzonej typologii zakwalifikowano tylko materiał z trzech pierwszych grup technologiczno-surowcowych – 47 fragmentów wylewów (7,8% liczby fragmentów z grup 1–3; 23 fragmenty z GTS-1 co stanowi 9,3% fragmentów tej grupy; 17 fragmentów z GTS-2 co stanowi 7,2% fragmentów tej grupy; 7 fragmentów z GTS-3 co stanowi 5,9% tej grupy) i 158 fragmentów z jakąkolwiek formą zdobienia (26,4% liczby fragmentów z grup 1–3; 61 fragmentów z GTS-1 co stanowi 24,7% skorup tej grupy; 73 fragmenty z GTS-2 co stanowi 31,2% skorup tej grupy; 24 fragmenty z grupy GTS-3 co stanowi 20,1% skorup tej grupy).

Typologia (tab. 6) dotyczy wylewów naczyń z próbą określenia ich formy i funkcji:

Typ 1 – wylewy naczyń o esowatym profilu, prawdopodobnie garnków; średnica wylewu waha się w granicach 14–16 cm; dno płaskie lub lekko wklęsłe wykonane na podsypce:
- odmiana A: krawędź wylewu wyoblona, czasami lekko ścieniona, wychylona na zewnątrz (tabl. 1:1–4);
- odmiana B: krawędź ścięta na zewnątrz i wychylona na zewnątrz (tabl. 1:5–9).

Typ 2 – wylewy naczyń zaopatrzonych w tzw. okap, prawdopodobnie garnków lub dzbanków; średnica wylewu waha się w granicach 12–25 cm; dno płaskie lub lekko wklęsłe, zarówno ze śladami podsypki, jak i odcinania:
- odmiana A: krawędź wyoblona, wychylona na zewnątrz; po zewnętrznej stronie, około 15 mm poniżej krawędzi wylewu dookolna listwa wysokości około 2–3 mm; kształt wylewu zmienia się nieznacznie na różnych jego odcinkach prawdopodobnie z powodu ręcznego wylepiania, średnica wylewu waha się w granicach 14–16 cm (tabl. 1:10–12);
- odmiana B: krawędź wyoblona, wychylona na zewnątrz; po zewnętrznej stronie dookolna listwa szerokości 15–25 mm pogrubiająca wylew o około 2–3 mm, średnica wylewu waha się w granicach 14–24 cm (tabl. 2:1–3);
- odmiana C: krawędź wyoblona, wychylona na zewnątrz i nieznacznie do wewnątrz; po zewnętrznej stronie dookolna listwa szerokości około 15–25 mm pogrubiająca wylew o około 2 mm, średnica wylewu waha się w granicach 12–25 cm (tabl. 2: 4–6, 11);
- odmiana D: krawędź wyoblona i wyraźnie grubsza od ścianki, lekko wychylona na zewnątrz i do środka, około 15–20 mm poniżej krawędzi wylewu dookolna listwa wysokości około 2–3 mm, średnica wylewu ma 19 cm (tabl. 2:10);
- odmiana E: krawędź wyoblona i wychylona na zewnątrz, a dolna część okapu jest wyraźnie grubsza od ścianki (tabl. 2:12).

Typ 3 – wylew naczynia o krótkiej, cylindrycznej szyjce z pogrubioną krawędzią, lekko wychyloną na zewnątrz i z grzbietem po wewnętrznej stronie na podtrzymanie pokrywki (tabl. 1:13).

Typ 4 – wylew naczynia o prostym profilu, prawdopodobnie kubka, lub głębokiej miski:
- odmiana A: wylew lekko odchylony na zewnątrz, krawędź wyoblona (tabl. 1:14–15);
- odmiana B: wylew lekko odchylonym na zewnątrz, krawędź wygnieciona na płasko (tabl. 1:16).

Typ 5 – wylew naczynia o krótkiej szyjce, z szeroką krawędzią wylewu, rozchyloną w kształt przypominający literę „T" i wychyloną na zewnątrz; po stronie wewnętrznej wrąb na pokrywkę; średnica wylewu ma około 13 cm (tabl. 2:7).

Typ 6 – wylew niskiej miski o płaskim dnie; wylew prosty, krawędź wyoblona, ściana przechodzi bezpośrednio pod kątem prostym w płaskie dno; średnica wylewu i zarazem naczynia ma około 11 cm, a jego wysokość 2,5 cm (tabl. 2:8).

Typ 7 – wylew prawdopodobnie dzbanka lub garnka; krawędź wylewu wyraźnie i ostro odchylona na zewnątrz względem szyjki/brzusca, średnica wylewu waha się w granicach 14–18 cm (tabl. 2:9; 3:1–3).

[10] Marcinkowski 2013: 249–251.

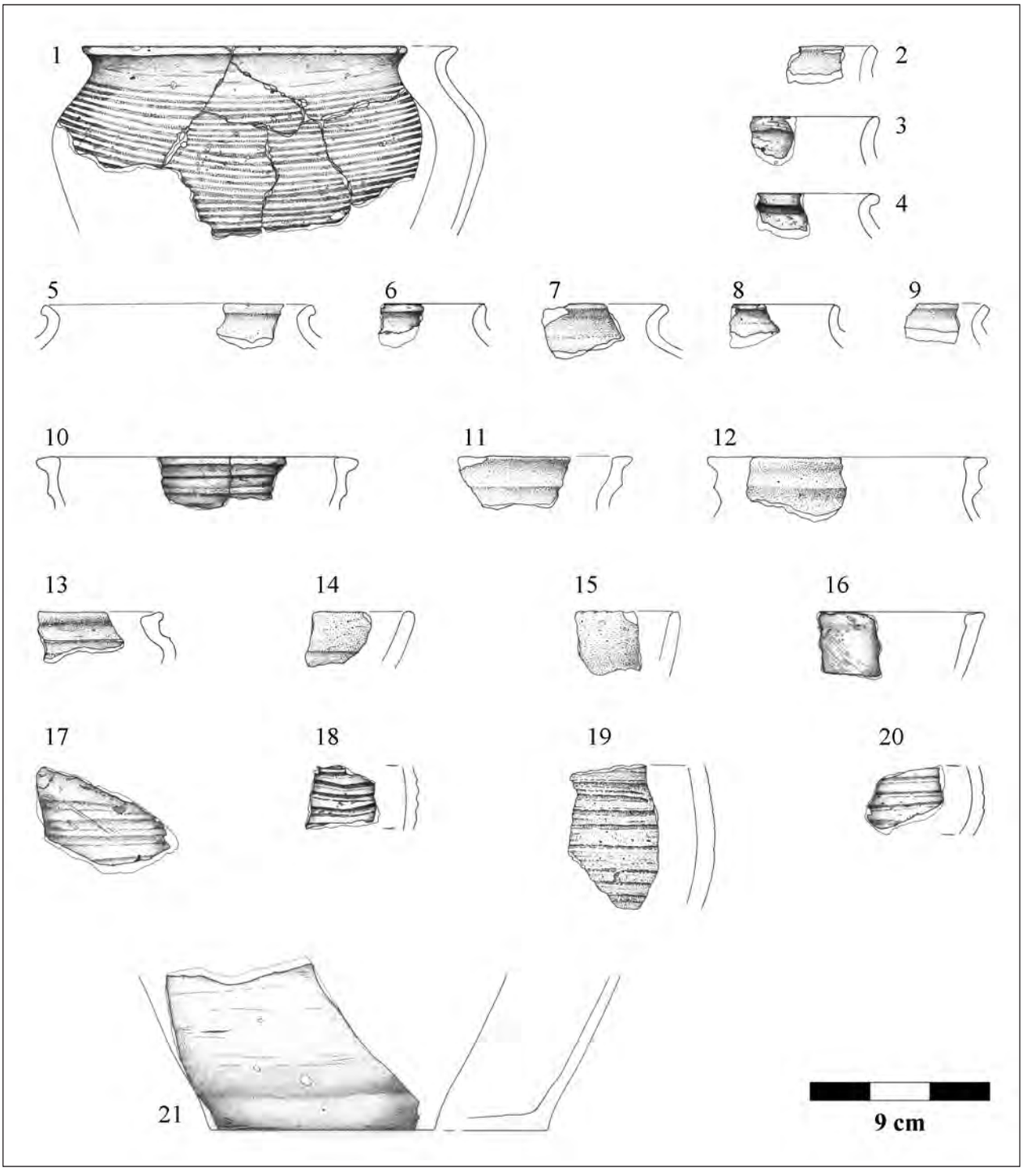

Tablica 1. Ceramika tradycyjna (GTS-1) z badań grodziska w Suszu, st. 1 (rys. B. Karch i D. Wach)

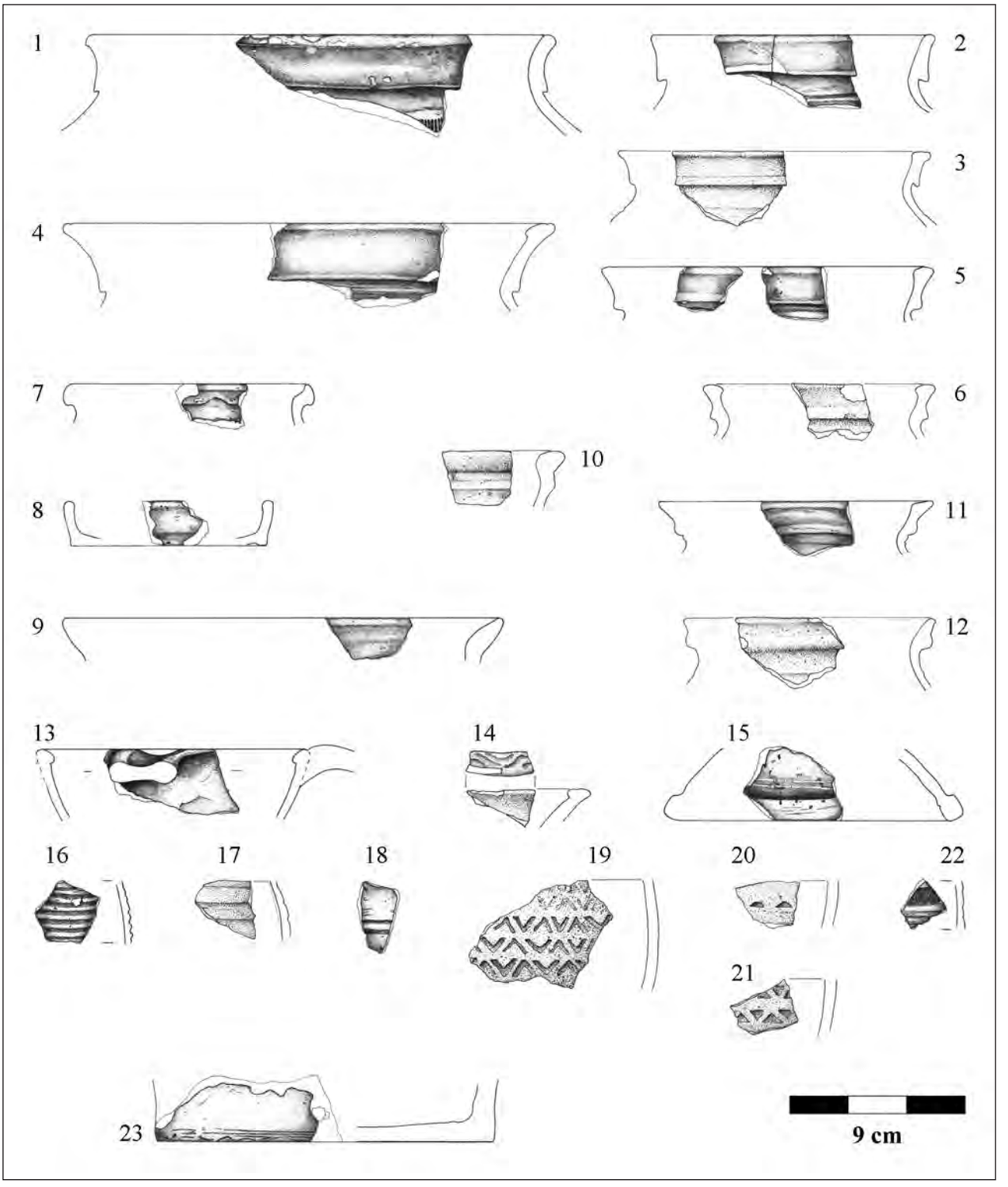

Tablica 2. Ceramika „siwa” (GTS-2) z badań grodziska w Suszu, st. 1 (rys. B. Karch i D. Wach)

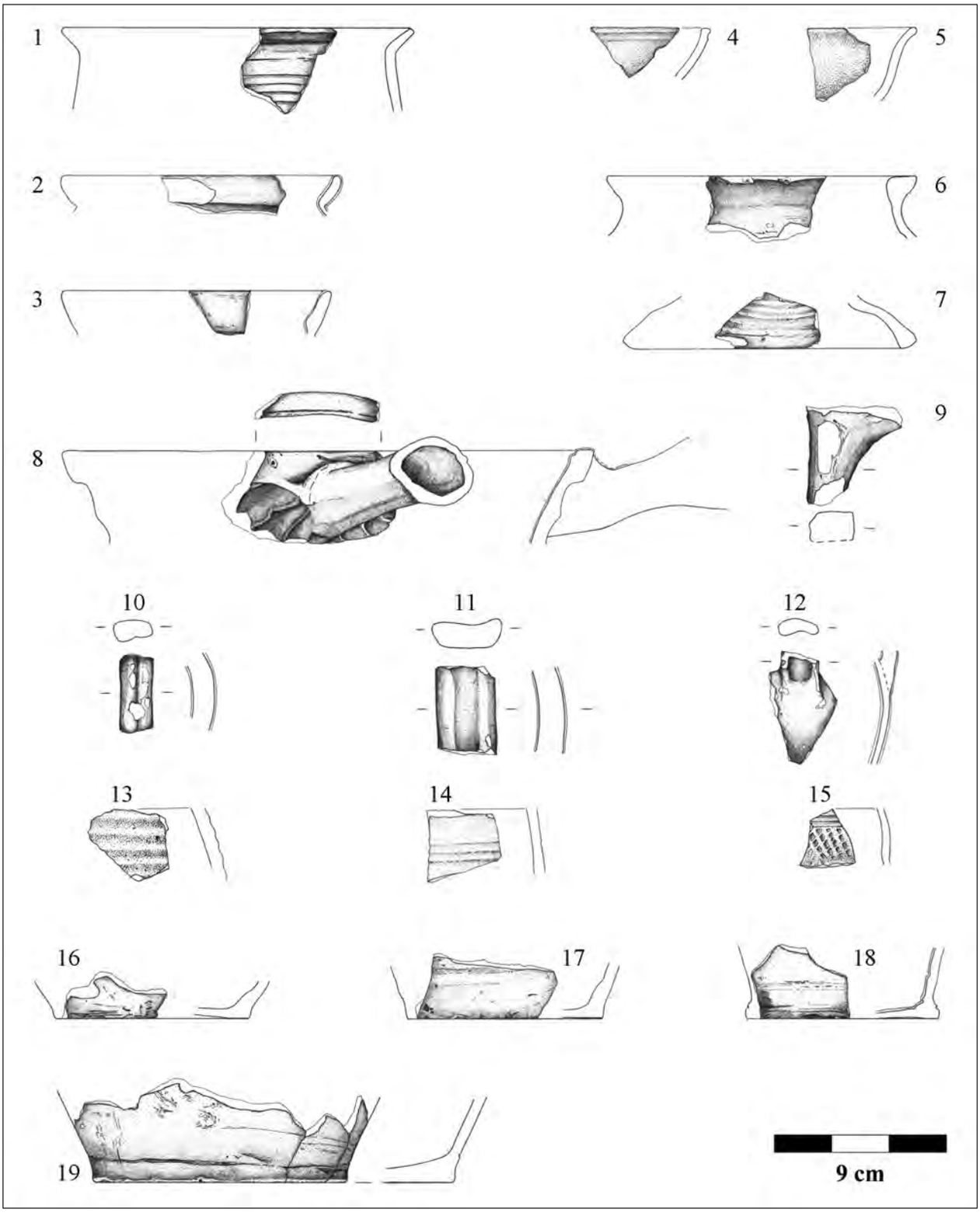

Tablica 3. Ceramika ceglasta, typ A (GTS-3) z badań grodziska w Suszu, st. 1 (rys. B. Karch i D. Wach)

Typ 8 – wylew głębokiej misy lub patelni, możliwe jest występowanie ucha:

odmiana A: wylew prosty, krawędź wylewu lekko zachylona do wewnątrz; średnica wylewu ma około 14 cm (tabl. 2:13; 3:4);

odmiana B: wylew prosty, krawędź wylewu lekko wychylona na zewnątrz (tabl. 2:14; 3:5).

Typ 9 – wylew naczynia o profilu zewnętrznym zbliżonym do naczynia esowatego, prawdopodobnie garnka, różnicą jest silnie pogrubiona krawędź wylewu, ścięta na płasko; średnica wylewu ma około 13 cm (tabl. 3:6).

Typ 10 – wylew naczynia o profilu miski z krawędzią lekko odchyloną na zewnątrz, na pełnych nóżkach i z cylindrycznym, pustym uchwytem; grapen; średnica 28 cm (tabl. 3:8–9).

Ornamentyka naczyń

Typ 1 (ornament ryty cienkim rylcem, grzebykiem lub patyczkiem):

- odmiana A: dookolne rowki; wąskie (1–2 mm), płytkie, jeden przy drugim o krawędzi lekko zaznaczonej (tabl. 1:17);
- odmiana B: dookolne rowki; wąskie (2–3 mm), płytkie, jeden przy drugim o krawędzi wyoblonej, w przekroju kształt sinusoidy (tabl. 1:18; 2:16; 3:13);
- odmiana C: dookolne rowki; wąskie (2–3 mm), płytkie, o wyraźnej krawędzi, występujące w wyraźnych odstępach od siebie (5–15 mm) (tabl. 1:19–20; 2:17–18; 3:14);
- odmiana D: dookolna linia falista; wąska (2–3 mm), płytka linia o wyraźnej krawędzi, wysokość sinusoidy powyżej 1 cm (tabl. 2:14);
- odmiana E: pionowe rowki; wąskie (1 mm), wykonane ciasno jeden przy drugim i tworzące dookolny pas (tabl. 2:1).

Typ 2 (wyświecanie):

- odmiana A: wyświecanie pokrywa całą powierzchnię;
- odmiana B: nieregularne wyświecane linie na powierzchni zewnętrznej;
- odmiana C: regularne wzory geometryczne stworzone z wyświecanych linii.

Typ 3 (stempelkowy):

- odmiana A: stempelek w kształcie litery „V" odbijany tuż obok siebie i obracany o 180°, tworzący dookolne, 2–3 rzędowe pasy (tabl. 2:19);
- odmiana B: stempelek w kształcie trójkąta równoramiennego (podstawa około 6–8 mm, ramiona około 4–5 mm), odbijany obok siebie, tworzący dookolne, 1–3 rzędowe pasy (tabl. 2:20–21);
- odmiana C: stempelek w kształcie małych trójkątów i rombów, odbijanych obok siebie i tworzących zwarty, dookolny pas (tabl. 2:22; 3:15).

Typ 4 (malowany): występuje tylko na ceramice ceglastej i ma formę białych pasów malowanych na zewnętrznej powierzchni naczyń.

Większość zaobserwowanych form i ornamentów jest typowa dla tego obszaru. Analogie dla wszystkich głównych form naczyń ceramiki tradycyjnej – naczyń esowatych (typ 1), naczyń z krótką cylindryczną szyjką (typ 3) i mis (typ 4) – występują na stanowisku w Węgrach, gm. Sztum, pow. sztumski[11]. Analogie dla pojedynczej formy naczyń – naczyń esowatych – znana jest z grodziska w Leszczu, gm. Dąbrówno, pow. ostródzki (naczynia esowate)[12]. Analogie dla ceramiki „siwej" znane są z zamku w Sadłowie, gm. Rypin, pow. rypiński, gdzie występują między innymi naczynia z okapem w wielu odmianach (typ 2), krawędzią wylewu zbliżoną do litery „T" (typ 5) i z wyraźnie wychyloną krawędzią wylewu (typ 7)[13]. Takie formy naczyń znane są także z badań zamku w Brześciu Kujawskim, pow. włocławski, gdzie ponadto natrafiono na szeroki wylew ornamentowany linią falistą[14], analogiczny do tego z Susza. Analogie dla ceramiki ceglastej powszechnie można odnaleźć w materiale z Pucka, gdzie występują zarówno garnki / dzbanki (typ 7), jak i misy / patelnie (typ 8). Tam także odnaleziono analogiczny grapen[15], który skądinąd jest także znany ze wspomnianego już Sadłowa[16].

W zbiorze ceramiki z Susza fragmenty zdobione stanowią 24,7% zbioru ceramiki tradycyjnej, 31,2% zbioru ceramiki „siwej" i 20,1% zbioru ceramiki ceglastej. Najczęstszym zdobieniem jest ornament ryty – 107 fragmentów, 67,7% zbioru fragmentów zdobionych – z dominującą formą dookolnych, prostych, równoległych względem siebie żłobków, które występują we wszystkich trzech omawianych grupach technologiczno-surowcowych. Zdecydowanie rzadziej występowała linia falista, którą zaobserwowano na cztery fragmentach z wszystkich trzech omawianych grup, a pionowe żłobki tworzące dookolny pas zaobserwowano tylko na fragmencie ceramiki „siwej". Drugi typ zdobień, który wystąpił na fragmentach z wszystkich trzech grup to ornament stempelkowy. Wystąpił on na 22 fragmentach, co stanowi 13,9% zbioru fragmentów zdobionych. Pozostałe dwa typy zdobień są charakterystyczne dla poszczególnych grup technologiczno-surowcowych. Wyświecanie występuje na ceramice „siwej", a różne jego odmiany zaobserwowano na 21 fragmentach, co stanowi 13,3% zbioru fragmentów zdobionych. Na zewnętrznej powierzchni naczyń ceglastych występują z kolei malowane białą glinką pionowe

[11] Haftka i Wadyl 2015: 82–129.

[12] Marciniak-Kajzer 2006.

[13] Dziubek 1988.

[14] Kapusta 1987.

[15] Starski 2009.

[16] Dziubek 1988.

Tabela 5. Fragmentacja i erozja fragmentów ceramiki z grodziska w Suszu, st. 1 (oprac. R. Solecki)

Faza	Jednostka stratygraficzna	Wykop	Kategorie wielkościowe [cm]													Stopień erozji				RAZEM
			1	2	3	4	5	6	7	8	9	10	11	12	13	0	I	II	III	
I	40	1 i 5	7	19	6	5		1								1	9	27	1	**38**
I	64	1		1														1		**1**
I	68	1		6	5	5	1										3	8	6	**17**
I	81	1		2	2	4	1										1	8		**9**
I	83	1	1	2	2	1												2	4	**6**
I	95	1		3	1	2	2	3	1	3		1					16			**16**
I	112	2	2	1	2	1											1	2	3	**6**
I	121	2		1														1		**1**
I	141	4	1	11	11	4	1										1	7	20	**28**
II	45	4		2		1			1	1							5			**5**
II	55	4		2													1	1		**2**
II	63	1	1	5	3	1	1										1	10		**11**
II	74	4			2				1								3			**3**
II	80	4		3	2	1		1									5	2		**7**
II	127	4		3	2	1											1	5		**6**
II	130	4				1												1		**1**
II	135	4				2			1								3			**3**
II	140	3			2	1											3			**3**
III	7	1						1									1			**1**
III	23	1		5	13	7	2		1								16	12		**28**
III	25	1			1												1			**1**
III	35	1		13	14	5	8	3	2		3				1		38	10	1	**49**
III	50	4	1	8	2	3	1										15			**15**
III	56	4	1	7			1										7	2		**9**
III	71	4		2	1				1								1	3		**4**
III	107	3		1	1	1	1									1	3			**4**
III	125	4		1													1			**1**
III	129	4	1	9	1	4	5	2	2								22	2		**24**
IV	8	1		2		3	5		2				1				10	2	1	**13**
IV	9	1	1	5	2	9	3		1								15	6		**21**
IV	11	1		1												1				**1**
IV	17	5	4	19	10	6	7				2	1					39	10		**49**
IV	39	1			1												1			**1**
IV	47	4	2	11	14	6		1									26	8		**34**
IV	51	4			1												1			**1**
IV	52	4		7	5	4	2	1									16	3		**19**
IV	57	4	2	3	4	1		1	1	1							9	4		**13**
IV	58	4	3	3	6	4	1		1							2	10	6		**18**
IV	106	3			1												1			**1**
IV	114	2	1	2		1	1										2	2	1	**5**
V	1	1	1	1		1	1										3	1		**4**
V	2	1		5	5	2	1										10	3		**13**
V	5	1	2	1	2	4											7	2		**9**
V	104	2 i 3	3														1	2		**3**
humus		48	9	39	41	30	8	7	9		1		1			2	95	44	4	**145**
SUMA			**43**	**206**	**165**	**121**	**53**	**21**	**24**	**5**	**6**	**2**	**2**		**1**	**7**	**404**	**197**	**41**	**649**

Tabela 6. Susz, st. 1. Zestawienie liczby fragmentów naczyń przypisanych do poszczególnych wydzielonych typów (oprac. R. Solecki)

	GTS 1	GTS 2	GTS 3
Typ 1 (A)	5		
Typ 1 (B)	6		
Typ 2 (A)	5		
Typ 2 (B)		3	
Typ 2 (C)		6	
Typ 2 (D)		1	
Typ 2 (E)		1	
Typ 3	1		
Typ 4 (A)	4		
Typ 4 (B)	1		
Typ 5		1	
Typ 6		1	
Typ 7		3	4
Typ 8 (A)		1	2
Typ 8 (B)		1	1
Typ 9			1
Typ 10			1

pasy, które zaobserwowano na osiem fragmentach, co stanowi 5% zbioru fragmentów zdobionych.

Interesującą cechą zbioru ceramiki z Susza jest występowanie w obrębie ceramiki tradycyjnej form nawiązujących do charakterystycznej formy ceramiki „siwej", a dokładnie do naczyń z wylewem zaopatrzonym w okap. Te pojedyncze egzemplarze sklasyfikowane jako typ 2A wykonane są w technice charakterystycznej dla ceramiki tradycyjnej, lecz glina wydaje się być schudzana za pomocą drobniejszej domieszki mineralnej, tak by osiągnąć gładszą powierzchnię. Dodatkowo, w zbiorze ceramiki „siwej" występują pojedyncze fragmenty „niedosiwione". Oba te fakty mogą sugerować uchwycenie w Suszu okresu przejściowego pomiędzy ceramiką tradycyjną a „siwą". Nie można wykluczyć, że po zajęciu Susza przez zakon krzyżacki, krzyżaccy rzemieślnicy zaczęli nauczać lokalnych garncarzy nowych technik wypału. Stąd też współwystępowanie w obrębie jednego horyzontu chronologicznego form archaicznych i zaawansowanych technologicznie.

Zabytki metalowe

Liczny, obejmujący 116 zabytków, ale niezróżnicowany zbiór znalezisk z grodziska w Suszu tworzą zabytki metalowe, z których aż 96 (83,5%) to gwoździe żelazne. W obrębie tego zbioru tylko 1 zabytek (0,8%) pochodzi z Fazy I, 8 zabytków (6,9%) – z Fazy II, 37 zabytków (32,2%) – z Fazy III, 33 zabytki (28,7%) – z Fazy IV, 12 zabytków (10,5%) – z Fazy V, a 24 zabytki (20,9%) odnaleziono na hałdzie powstałej po mechanicznym odhumusowaniu wykopów. Zbiór ten można podzielić na grupy: 1 – militaria, 2 – narzędzia i przedmioty codziennego użytku, 3 – numizmaty. Pięć przedmiotów (tabl. 4:1–5), ze względu za zły stan zachowania i zachowanie tylko w niewielkim

Tabela 7. Susz, st. 1. Zestawienie typów ornamentów naczyń (oprac. R. Solecki)

	GTS 1	GTS 2	GTS 3
Typ 1 (A)	22	1	
Typ 1 (B)	15	16	4
Typ 1 (C)	22	13	9
Typ 1 (D)	1	1	2
Typ 1 (E)		1	
Typ 2 (A)		11	
Typ 2 (B)		9	
Typ 2 (C)		1	
Typ 3 (A)		15	
Typ 3 (B)	1	3	
Typ 3 (C)		2	1
Typ 4			8

fragmencie, nie zostało określonych i nie przypisano ich do żadnej z grup.

Do grupy militariów należy pięć żelaznych grotów bełtów do kuszy z mocowaniem za pomocą trzpienia. W trzech z nich trzpień jest wyraźnie wyodrębniony od ostrza (tabl. 4:8–10), a w dwóch przejście pomiędzy trzpieniem a ostrzem jest płynne (tabl. 4:11–12). Pomimo tych różnic reprezentują one jeden typ – typ II wg A. Nadolskiego[17]. Trzy groty znajdowały się na wtórnym złożu: dwa w warstwach niwelacyjnych, a jeden na hałdzie z odhumusowywania wykopu 1. Dwa groty (tabl. 4:8–9) znaleziono natomiast w warstwie użytkowej narosłej w trakcie Fazy II po zewnętrznej stronie palisady od strony jeziora. Może to oznaczać, że od tej strony nastąpił w przeszłości jeden z ataków. Jest to dość często występujący typ zabytku, znany m.in. z założeń obronnych w Kurzętniku, pow. nowomiejski[18], w Słoszewach, gm. Bobrowo, pow. brodnicki[19], czy w Plemiętach, gm. Gruta, pow. grudziądzki[20].

W grupie narzędzi i przedmiotów codziennego użytku najliczniejszy zbiór tworzą gwoździe. Sklasyfikowano je na podstawie zmodyfikowanej typologii opracowanej przez B. Gierlacha dla materiałów z badań starówki warszawskiej. Zbiór tamten porównywano z zabytkami między innymi z Gdańska i datowanymi na XIII–XVIII w.[21] W materiale z Susza nie analizowano długości gwoździ, ze względu na ich w większości fragmentaryczne zachowanie. Typologię oparto na różnicach w formowaniu główki. Zaproponowana klasyfikacja dzieli gwoździe na osiem typów:

Typ 1 – główka w rzucie owalna (typ ten odpowiada generalnie typowi E1 wg Gierlacha, tam datowanie na około XIII–XV w.):

- odmiana A: główka w przekroju płaska (tabl. 5:1–2);

[17] Nadolski 1954: 60–66.

[18] Grążawski 2015.

[19] Kola 1979.

[20] Boguwolski 1976

[21] Gierlach 1966.

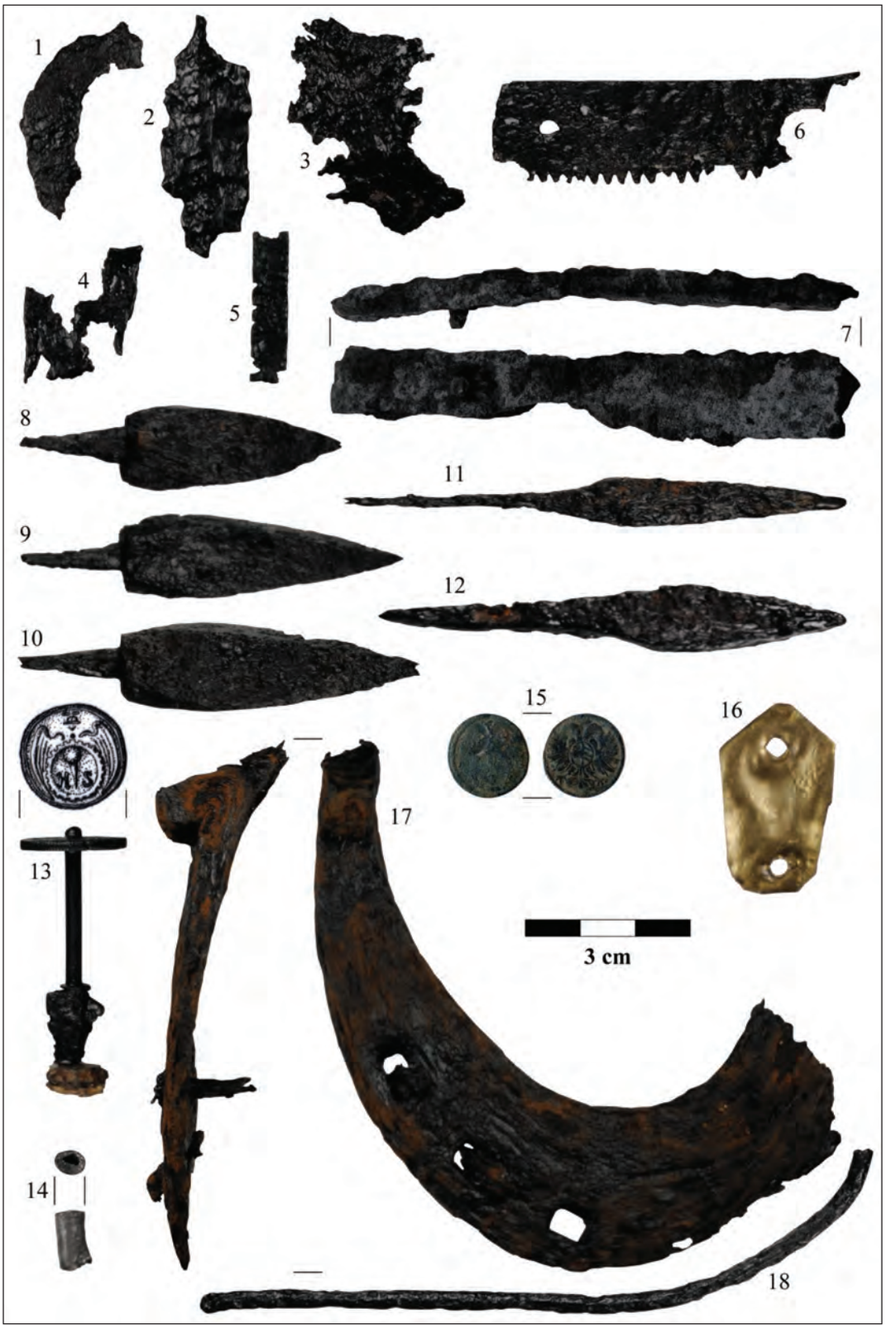

Tablica 4. Metalowe zabytki wydzielone z badań grodziska w Suszu, st. 1 (rys. P. Potocka, fot. R. Solecki)

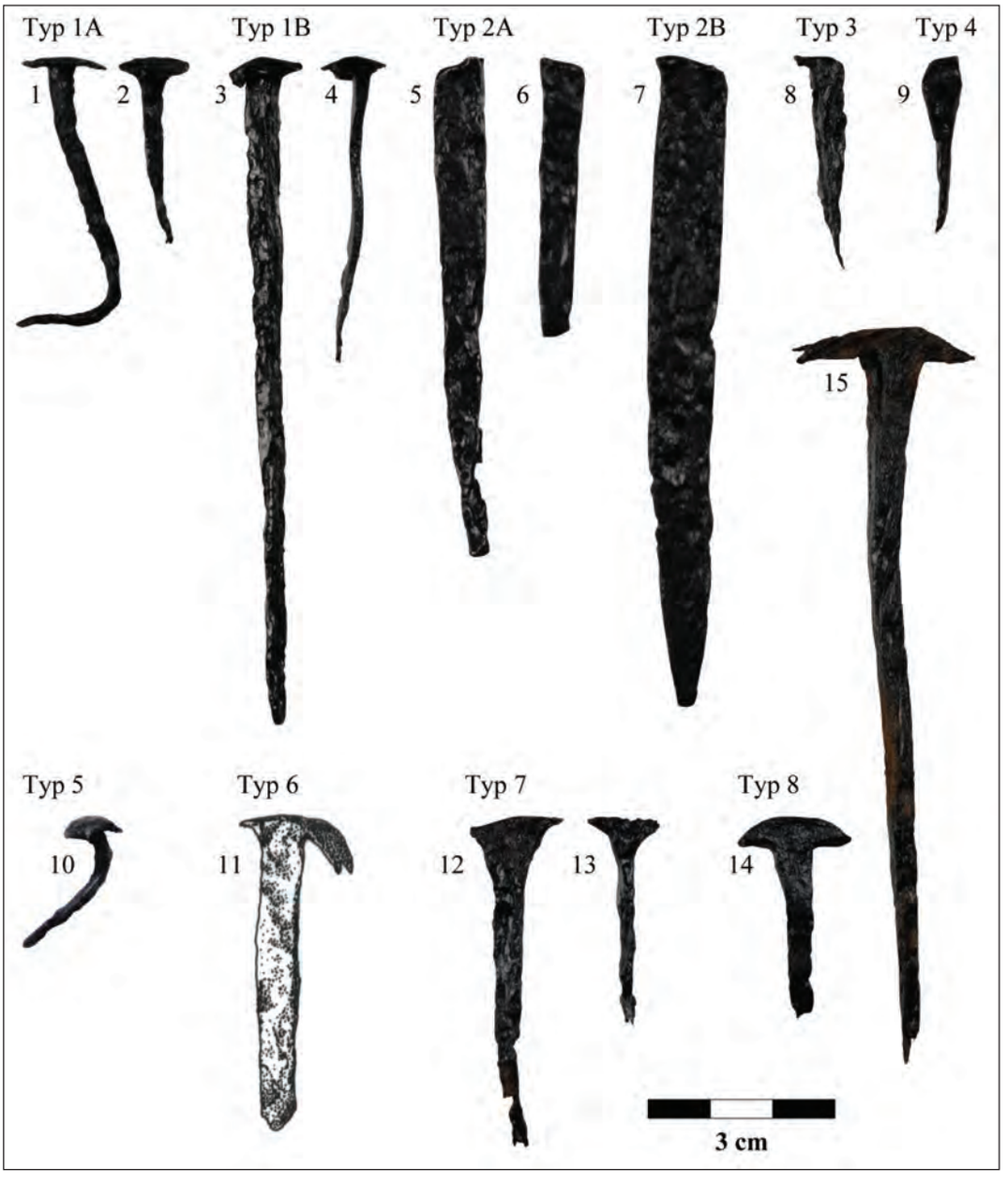

Tablica 5. Gwoździe z badań grodziska w Suszu, st. 1 (rys. P. Potocka, fot. R. Solecki)

- odmiana B: główka w przekroju półkolista, kolistą częścią do góry (tabl. 5:3–4).

Typ 2 – gwóźdź bez wyodrębnionej główki, koniec przeciwny ostrzu ma lekko rozbitą powierzchnię (typ ten odpowiada generalnie typowi A wg Gierlacha, tam datowanie na około XIII–XV w.):

- odmiana A: tępy koniec tylko minimalnie większy od przekroju ostrza (do 1 mm) (tabl. 5:5–6);
- odmiana B: tępy koniec zauważalnie większy od przekroju ostrza (1–2 mm) (tabl. 5:7).

Typ 3 – główka w formie zgiętego pod kątem 90° i rozklepanego na płasko jednego z końców (typ ten odpowiada generalnie typowi B2-3 wg Gierlacha, który datowany był przez niego na około XIII–XVI w.) (tabl. 5:8).

Typ 4 – brak główki, koniec gdzie powinna być jest mniejszy niż przekrój ostrza (typ ten nie występuje w typologii Gierlacha) (tabl. 5:9).

Typ 5 – główka w rzucie kolista, w profilu półokrągła, krawędzie opadają poniżej linii, gdzie ostrze łączy się z tarczką główki (typ ten nie występuje w typologii Gierlacha) (tabl. 5:10).

Typ 6 – główka podłużna, w formie dwóch skrzydełek rozchylonych na dwie strony względem ostrza

(typ ten odpowiada generalnie typowi P1a wg Gierlacha) (tabl. 5:11).

Typ 7 – ostrze płynnie rozszerza się do główki, w rzucie bocznym kształt litery V (typ ten nie występuje w typologii Gierlacha) (tabl. 5:12–13).

Typ 8 – główka podłużna, w rzucie bocznym w kształcie półkola (typ ten odpowiada generalnie typom D1 i D3 wg Gierlacha, który datował je na około XIII w.) (tabl. 5:14–15).

Spośród 96 gwoździ, 58 egzemplarzy udało się określić typologicznie. Typ I (w odmianie A i B) wystąpił 19 razy. Według Gierlacha są to gwoździe w pierwszej kolejności ozdobne, którymi nabijano np. drzwi, a dopiero później mające spełniać funkcje konstrukcyjne. Tezę tą może potwierdzać ich długość, która tylko w czterech zanotowanych przypadkach miała więcej niż 7 cm, a średnia długość dla gwoździ zachowanych w całości wynosi 5,6 cm. Typ 2 (w odmianie A i B) wystąpił 25 razy, a typ 3 i 7 po dwa razy. Wszystkie trzy typy można określić jako gwoździe uniwersalne. Długość egzemplarzy zachowanych w całości waha się pomiędzy 3,5 a 10 cm. W kontekście grodziska w Suszu dość liczne występowanie gwoździ typu 2 można także wiązać z ich bardzo szybkim przygotowaniem i możliwością wykorzystania pierwotnego w pracach pionierskich, a wtórnie przy konstruowaniu elementów obronnych. Gwoździe typu 4 wystąpiły dwukrotnie, z czego tylko jeden w całości i miał on 2,8 cm długości. Najbliższą analogią są gwoździe do mocowania podków. Typ 5 reprezentowany jest przez tylko jeden zachowany w całości egzemplarz, o długości 2,5 cm. Jest to najpewniej ozdobny gwóźdź tapicerski. Gwoździe typu 6 (pięć egzemplarzy) i 8 (dwa egzemplarze) mają generalnie podobną formą (szerokie główki i większą średnią długość, odpowiednio około 7 i 11 cm) i zapewne spełniały podobne zadania. Masywniejsza główka typu 8, w połączeniu z nieco większą długością (o około 3–4 cm) predysponuje go do znoszenia większych obciążeń.

Do grupy tej zaliczono także fragment zgrzebła do czesania koni z obiektu Fazy III (tabl. 4:6). Analogia jest znana z gródka rycerskiego w Bachotku, gm. Zbiczno, pow. brodnicki[22]. W tym samym obiekcie znajdował się także fragment noża z listwą do mocowania rękojeści (tabl. 4:7)[23]. Pozostałe przedmioty to podkowa końska z bolcem do chodzenia po lodzie (tabl. 4:17), brązowe okucie pasa montowane na dwa nity (tabl. 4:16), ołowiana tulejka długości około 1 cm i średnicy 0,5 cm, która mogła być częścią plomby (tabl. 4:14), ucięty fragment drutu długości około 13 cm (tabl. 4:18) oraz pokrętło do lampy naftowej (tabl. 4:13) z sygnaturą HS, co wskazuje, że był to produkt firmy Hugo Schneidera z Lipska z drugiej połowy XIX w.[24], pokrętło zostało zaś odnaleziono na hałdzie powstałej podczas otwierania wykopu 4.

Do trzeciej grupy zabytków zaliczono trzy monety. Najstarsza z nich to greszel śląski Leopolda I z mennicy w Brzegu z ostatniej dekady XVII w.[25] (tabl. 4:15). Jest to o tyle istotne, że moneta została znaleziona we wkopie rozbiórkowym muru w centralnej części majdanu, a więc wyznacza ona moment kiedy funkcjonujący tu dwór przestał funkcjonować. Dwie pozostałe monety to 10 fillerów węgierskich z 1915 r. i 1 pfenning niemiecki z 1935 r., znalezione w warstwach Fazy V.

Zabytki niemetalowe

Zbiór wydzielonych zabytków niemetalowych składa się z 10 elementów, z czego dziewięć to fragmenty fajek glinianych, w tym siedem to cybuchy wykonane z białej glinki i pozbawione diagnostycznych elementów (tabl. 6:1–7). Można je datować szeroko na XVII–XIX w. Pozostałe dwa to fragmenty główki, pierwszy z białej glinki z widocznymi dwoma żeberkami (tabl. 6:8), drugi z glinki ceglasto-czerwonej z ozdobnym motywem, prawdopodobnie floralnym (tabl. 6:9). Bliską analogią dla pierwszej główki jest fragment odnaleziony w Warszawie, a pochodzący prawdopodobnie z manufaktury w Rościnie, gm. Myślibórz, pow. myśliborski i datowany na początek XIX w.[26]. Zabytki te występowały w warstwach Fazy IV i V wiązanych z rozbiórką dworu i użytkowaniem tego obszaru po rozbiórce. Ostatni zabytek w tej grupie to niewielki, prostopadłościenny kamień szlifierski z czerwonego, drobnoziarnistego piaskowca (tabl. 6:10) z dwoma ściankami pracującymi. Znaleziono go w warstwie Fazy I i należy go łączyć z osadnictwem pruskim.

Kafle

W trakcie badań pozyskano 54 fragmenty kafli. Wszystkie one należą do typu kafli płytowych. W zbiorze tym znajduje się 12 fragmentów kołnierzy bez części licowej. Pozostałe 42 fragmenty to lica, które można podzielić ze względu na rodzaj szkliwienia na: A – szkliwione na kolor biały (23 fragmenty, 54,7% zbioru lic); B – szkliwione na kolor biały i niebieski (7 fragmentów, 16,7% zbioru lic); C – szkliwione na kolor zielony (6 fragmentów, 14,3% zbioru lic) i D – szkliwione na kolor brązowy (6 fragmentów, 14,3% zbioru lic). Najstarsze są odmiany C i D (tabl. 7:10–17) z głębokim i gęstym reliefem o tematyce roślinnej, które można datować od po-

[22] Grążawski 1988: 330, 335.

[23] Wspomniany we wstępnym raporcie drugi nóż, a w zasadzie jego trzpień, w trakcie konserwacji okazał się być gwoździem; por. Solecki 2014: 8.

[24] Hołubiec 1971; Worm i Staude 2007.

[25] Kalinowski 2009: 73–74.

[26] Meyza 1999: 12–13.

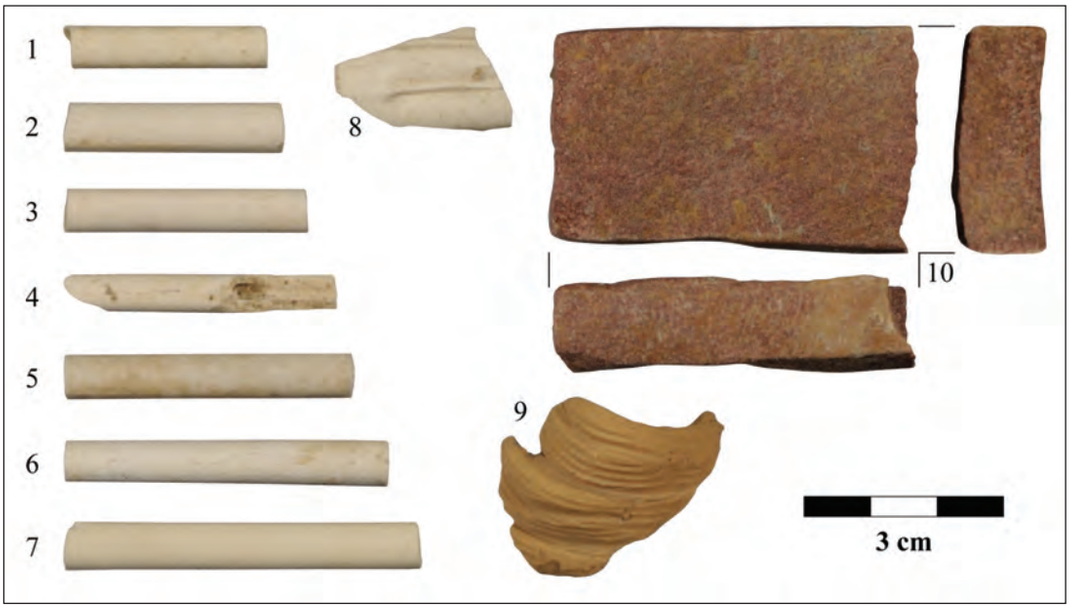

Tablica 6. Niemetalowe zabytki wydzielone z badań grodziska w Suszu, st. 1 (fot. R. Solecki)

Tablica 7. Kafle z badań grodziska w Suszu, st. 1 (fot. R. Solecki)

czątku XVI do XVII w.[27]. Na koniec XVII w. można datować kafle odmiany B (tabl. 7:5–9), szkliwione na kolor biały i granatowy, które to kolory uwypuklały ornament roślinny[28]. Najmłodsze są kafle odmiany A (tabl. 7:1–4), które można datować na około połowę XVIII w. Mają one skromne zdobienia – piramidalne guzy przy krawędzi, rzadki ornament roślinny lub profilowaną ramkę tworzącą puste pole w centralnej części kafla. Można podejrzewać, że pola te były malowane, gdyż na odnalezionych fragmentach widać krople farby niebieskiej i zielonej[29].

KOŚCI ZWIERZĘCE

JOANNA PIĄTKOWSKA-MAŁECKA

Liczny zbiór znalezisk z grodziska w Suszu tworzą kości zwierzęce (tab. 7). W sumie zadokumentowano ich 372 sztuki, z czego 295 (79%) udało się zidentyfikować pod względem gatunkowym.

W warstwach Fazy I odnaleziono łącznie 4 kości – 3 owcy/kozy i 1 nieokreśloną. W warstwach Fazy II odnaleziono łącznie 55 kości – 47 ptaków, 2 bydła, 2 konia, 1 świni i 3 nieokreślone. W warstwach Fazy III odnaleziono łącznie 31 kości – 15 owcy/kozy, 6 bydła, 2 konia, 2 ptaka, 1 świni, 1 jelenia i 4 nieokreślone. W warstwach Fazy IV znaleziono łącznie 197 kości – 47 owcy/kozy, 40 bydła, 22 ptaka, 18 świni, 11 zająca, 1 sarny i 58 nieokreślonych. Pozostałe kości pochodzą z warstw ewidentnie nowożytnych i nie mogą być brane pod uwagę przy zestawieniach statystycznych. Problematyczny jest materiał kostny z warstw Fazy II i IV. W obu przypadkach można go generalnie wiązać z fazą starszą, tj. odpowiednio Fazą I lub III, gdyż odkryte jednostki to w większości warstwy niwelacyjne, do których trafiał materiał z niszczonych warstw starszych. Nie można jednak wykluczyć, że w warstwach tych znalazły się kości będące resztkami pożywienia robotników wykonujących prace ziemne w tych fazach.

W warstwach Fazy I znaleziono tylko kości owcy/kozy. Nie musi to jednak świadczyć o tym, że w okresie osadnictwa pruskiego hodowano tu tylko ten typ zwierząt. Jednak fakt, że natrafiono tylko na ten gatunek, może sugerować, że dominował on w hodowli. Podobny trend wystąpił także w warstwach Fazy III, gdzie kości owcy/kozy było najwięcej, przed bydłem i kośćmi innych zwierząt (ryc. 29).

Zwierzęta były hodowane i polowano na nie w celach konsumpcyjnych. Na 15 kościach z warstw Faz I–IV zanotowano ślady oprawiania – 11 razy było to rąbanie kości bydła i owcy/kozy, dwa razy nacięcia na kościach bydła, raz filetowanie kości bydła i raz przepalenie kości ptaka.

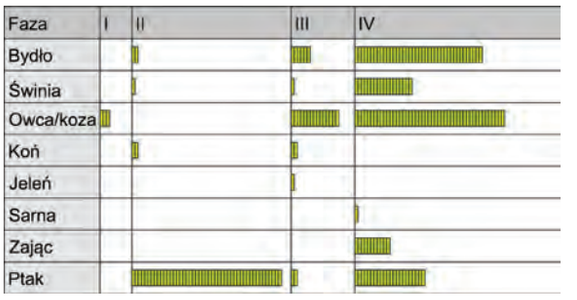

Ryc. 29. Zestawienie liczby kości poszczególnych gatunków zwierząt z kolejnych faz użytkowych grodziska w Suszu, st. 1 (na podstawie analizy przeprowadzonej przez J. Piątkowską-Małecką; oprac. R. Solecki)

CHRONOLOGIA STANOWISKA

RAFAŁ SOLECKI

Najstarszy horyzont osadniczy – Fazę I – można datować na XI–XIII w. i wiązać z osadnictwem pruskim. Jedynym datownikiem jest tutaj materiał ceramiczny, występujący dość licznie i reprezentujący schyłkowy okres funkcjonowania ceramiki tradycyjnej. Fazę I kończy najazd krzyżacki, który można datować na pierwszą połowę XIII w. Dokładniejsze ramy wyznacza rok 1228 i przekazanie w lenno Zakonowi przez Konrada Mazowieckiego kasztelanii chełmińskiej oraz rok 1236, kiedy doszło do całkowitego podbicia Pomezanii przez Zakon[30].

Na nowo zdobytych obszarach już w 1243 r. Stolica Apostolska ustanowiła cztery diecezje pruskie: chełmińską, warmińską, sambijską i pomezańską. W skład tej ostatniej weszły tereny całej Pomezanii i części Pogezanii. Gdy w 1285 r. biskup pomezański

[27] Zdobnictwo odpowiada fazom II i III rozwoju kafli formowanych w matrycach wg Dąbrowskiej 1987: 126–134.

[28] Zdobnictwo odpowiada końcowi fazy IV rozwoju kafli formowanych w matrycach wg Dąbrowskiej 1987: 135–136.

[29] Zdobnictwo odpowiada fazie V rozwoju kafli formowanych w matrycach wg Dąbrowskiej 1987: 136–137.

[30] Hoffmann 2006: 28–29.

Tabela 7. Susz, st. 1. Stosunek liczby kości ssaków hodowlanych do liczby kości ssaków dzikich i ptaków w poszczególnych fazach użytkowania grodziska (na podstawie analiz J. Małeckiej-Piątkowskiej; oprac. R. Solecki)

	Ssaki hodowlane	Ssaki dzikie	Ptaki
Faza I	4 (100%)	-	-
Faza II	5 (10%)	-	47 (90%)
Faza III	24 (88%)	1 (4%)	2 (8%)
Faza IV	105 (75%)	12 (9%)	22 (16%)
Faza I + Faza II	9 (16%)	-	47 (84%)
Faza III + Faza IV	129 (78%)	13 (8%)	24 (14%)

ustanowił kapitułę w Kwidzynie, Susz wszedł w skład jej uposażenia[31]. Rozwój sieci administracyjnej wiązał się także z rozwojem kolonizacji tego obszaru. Zaczął się on intensyfikować po stłumieniu powstania pruskiego w 1283 r. W 1305 r. zostaje lokowana Iława[32]. Dla Susza zachował się jedynie dokument odnawiający przywileje lokacyjne, a opatrzony problematyczną datą 1315[33]. Uważa się jednak, że lokacja została przeprowadzona równoległe z iławską, a więc około 1305 r.[34]

Od początku XIV w. funkcja grodu obronnego w tym miejscu i w dotychczasowej formie stała się zbędna, gdyż miasto właśnie zyskiwało mury wraz z osiemnastoma wieżami. Zapewne więc miał on pełnić inną rolę. Wiązać ją zatem można ze wzmiankami w dokumentach datowanych na XIV i XV w., wymieniającymi rezydencję suską, nazywaną „zamkiem", lub „dworem", która była siedzibą urzędników kapitulnych[35]. Taka wersja jest podtrzymywana przez większość badaczy historii Susza.

Dwie rozbieżne hipotezy dotyczą losów dworu po początku XV w., a dokładnie po zniszczeniu Susza przez wojska polskie w 1414 r. Pierwsza z nich mówi o odbudowie dworu w jego dotychczasowym miejscu, tj. w miejscu grodziska; druga zaś, że został on odbudowany już przy murach miejskich, w którym to miejscu jest poświadczony od początku XIX w.[36] Analizując materiał zabytkowy pozyskany z badań na grodzisku suskim należy przychylić się do pierwszej hipotezy. Przemawia za tym chociażby moneta datowana na ostatnią dekadę XVII w., pozyskana z wkopu rozbiórkowego murów fundamentowych budynku z majdanu grodziska, ale także duża ilość materiału ceramicznego i kafli datowanych do XVIII w., a pochodzących z warstw niwelacyjnych równających plac, na którym znajdował się dwór. Należy zatem przyjąć, że dwór funkcjonował na obszarze starszego grodziska, aż do XVIII w., kiedy to został całkowicie rozebrany.

DZIEJE GRODZISKA W SUSZU

W okresie od około XI do połowy XIII w. obszar dzisiejszego grodziska zajmowała osada pruska. Relikty osady zachowały się w postaci dwóch jam o funkcji zasobowej i jedenastu dołów posłupowych, tworzących regularne, liniowe sekwencje przecinające się pod kątem prostym. Mogą to być pozostałości lekkich konstrukcji wiat, bądź koziołków do suszenia skór lub mięsa. Materiał ceramiczny odnajdywany był bezpośrednio w warstwie użytkowej, a ponadto w jednym z dołów posłupowych natrafiono na fragmenty niemal całego naczynia. Nie można wykluczyć, że pierwotnie naczynie wraz z nieokreśloną zawartością pełniło funkcję ofiary zakładzinowej.

Ciekawostką może być fakt, że w spągu zespołu warstw wiązanych z pruskim horyzontem osadniczym natrafiono na ślady orki. Można jednak przypuszczać, że orka ta nie była wynikiem uprawy rolnej, a wiązać ją należy z przygotowaniem tej działki pod osadnictwo. W ten sposób pozbyto się mniejszej roślinności porastającej ten obszar i usunięto karpy po ściętych drzewach. Niewielkie ślady węgli drzewnych widocznych w ziemi wypełniającej bruzdy mogą sugerować, że stosowano także wypalanie. Wyraźny pokład ziemi z dużą ilością spalenizny zarejestrowany we wschodniej części stanowiska, już na stoku opadającym w kierunku jeziora, może być pozostałością niwelacji – miejscem gdzie zrzucono zbędny materiał (popioły, karpy) będący wynikiem oczyszczania *plateau* przeznaczonego pod osadę.

W trakcie badań nie udało się stwierdzić, czy w okresie osadnictwa pruskiego znajdował się tu gród. Nie zarejestrowano żadnych ewidentnych śladów umocnień datowanych na ten czas. Pierwsze, zakrojone na dużą skalę prace ziemne związane z formowaniem majdanu, wałów i fos należy łączyć z pojawieniem się na tym obszarze Zakonu Krzyżackiego w pierwszej połowie XIII w. Uformowany wtedy majdan miał kształt ściętego ostrosłupa na planie kwadratu o długości boku mierzonego przy wierzchołku około 30 m. Jego krawędzie były nieco wyniesione względem *plateau* za pomocą wąskiego wału. Wejście znajdowało się na północnej ścianie, w miejscu dzisiejszego mostu. Majdan otoczony był dwiema fosami. Pierwsza otaczała go od południa, zachodu i północy. Od strony wschodniej naturalną ochronę stanowiło jezioro. Druga fosa widoczna jest obecnie tylko w części południowej. Fosy rozdzielone były wałem, który powielał kształt Fosy I. Nieco mniejszy wał widoczny jest także na południe od Fosy II.

W okresie po powstaniu wał majdanu umocniony był dodatkowo drewnianą palisadą. W południowo-wschodniej części majdanu znajdowała się prawdopodobnie także wieża. Sugerują to odnalezione tam dużych rozmiarów doły posłupowe głębokości do 150 cm, z resztkami sosnowych słupów[37] średnicy około 40–50 cm. W przeciwległym, północno-zachodnim rogu majdanu, tuż obok głównego wejścia odkryto znacznych rozmiarów piwniczkę. Biorąc pod uwagę, że miała ona drewniane ściany i podłogę należy zało-

[31] Achremczyk 2006: 34–35.

[32] Nowak 1963: 61–62.

[33] Według Jerzego Sikorskiego (2006: 50) jest to 20 grudnia 1314 r.

[34] Lokację miasta na 1305 r. datuje Zenon Nowak, natomiast Jerzy Sikorski przesuwa ją wręcz na 1303 r.; Nowak 1963: 62; Sikorski 2006: 52.

[35] Szczepański 2012: 6–8.

[36] Nowak 1963: 71–72; Sikorski 2006: 52; Szczepański 2012: 7–8; z dostępnych źródeł pewną lokalizację dworu prezentuje jedynie plan Susza wykonany w 1810 roku przez Gebauera.

[37] Stępnik 2016: 233–234.

żyć, że budynek który się ponad nią znajdował miał podobną, lekką konstrukcję. Ślady drobnego gruzu ceglanego odnalezione w warstwach użytkowych wiązanych z tym horyzontem chronologicznym sugerują jednak, że już wtedy na obszarze grodu znajdowała się także zabudowa murowana.

Prawdopodobnie równolegle z pracami budowlanymi przy wznoszeniu umocnień miasta na początku XIV w. przeprowadzono także modernizację drewnianego grodu. Zyskał on kamienno-ceglane mury, których relikty uchwycono w części południowej i wschodniej majdanu. Na ten okres można także datować zasypanie drewnianej piwniczki i powstanie ponad nią innej konstrukcji, po której reliktem jest tylko liniowy wkop rozbiórkowy. W Fosie I i na stokach majdanu w okolicy tego nowego budynku natrafiono na dużą ilość ceramiki, którą można datować na XIII–XV w.[38] Pozostałości znacznych wkopów fundamentowych odsłonięto także w bezpośrednim sąsiedztwie wspomnianych już dużych dołów posłupowych. Można więc domniemywać, że w okresie tym przebudowano także starszą wieżę. Na podstawie odsłoniętych reliktów zabudowy wewnętrznej nie jest możliwe zrekonstruowanie planu majdanu w tym okresie. Można jedynie założyć, że znajdowały się tam co najmniej dwa budynki, na co wskazuje planigrafia odnajdywanych fragmentów kafli piecowych. Kafle typu A, C i D znaleziono głównie w części centralnej i zachodniej majdanu, natomiast kafle typu B w części południowo-wschodniej.

Użytkowanie dworu w miejscu starszego grodziska zakończyło się zapewne w ciągu XVIII w., a przyczyny tego faktu nie są możliwe do stwierdzenia na obecnym etapie badań. Na ten okres można datować wspomniane już wkopy rozbiórkowe murów oraz warstwę niwelacyjną równającą *plateau* majdanu. Zastanawiający jest fakt, że z taką pieczołowitością rozbierano mury. Zapewne pozyskany surowiec chciano wykorzystać wtórnie podczas innych prac budowlanych.

Od XVIII w. nie notuje się wyraźnych śladów użytkowania obszaru byłego grodu i dworu. Większość poziomów użytkowych, które można by datować na XVIII i XIX w. zostało zniszczonych w trakcie niwelacji przeprowadzonej zapewne w pierwszej połowie XX w. Na ten okres prawdopodobnie można datować wykorzystanie majdanu w formie miejsca spotkań towarzyskich i tanecznych.

[38] Chudziak i Bojarski 1996: 3.

Gulb, st. 1

Gmina Iława

Powiat iławski

AZP 28-51/9

Współrzędne geograficzne:

N 53° 34’ 33’’

E 19° 25’ 34’’

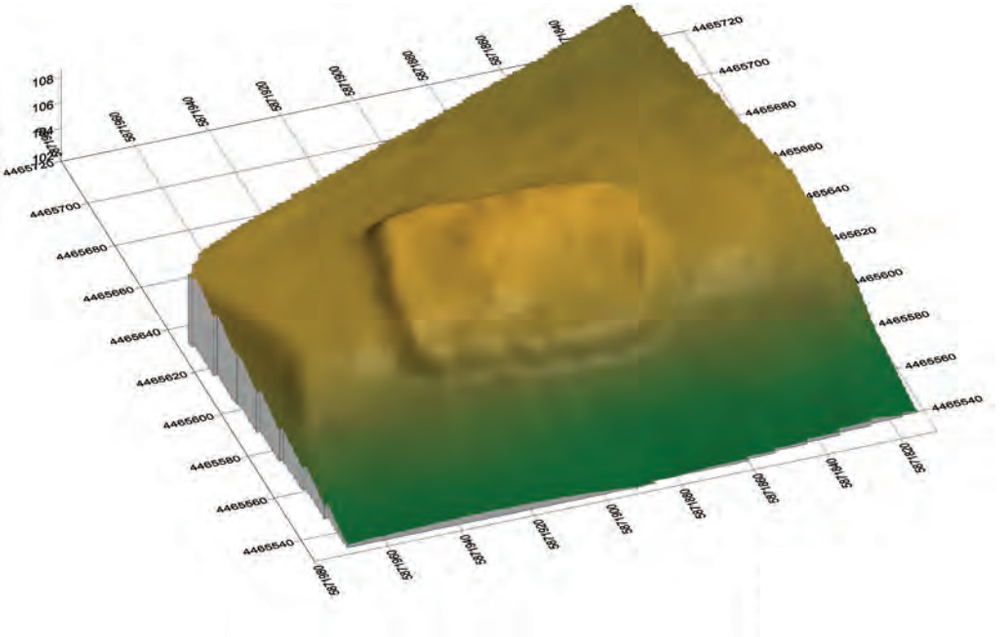

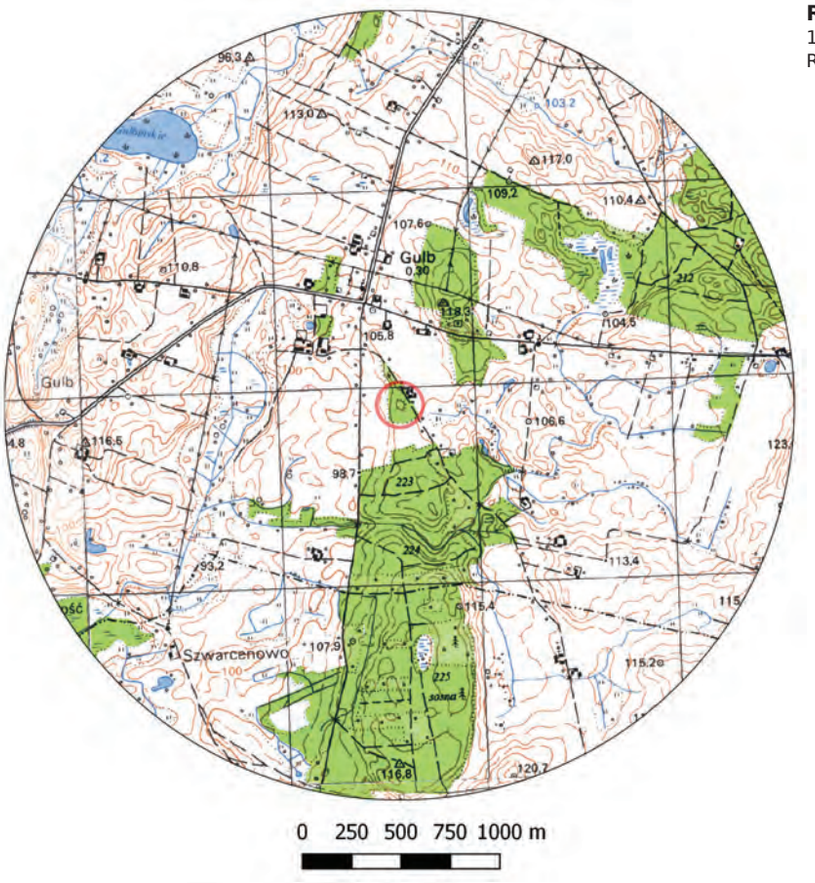

Ryc. 1. Grodzisko w Gulbiu, st. 1 na mapie w skali 1:25 000 (na podstawie materiałów CODGiK, oprac. R. Solecki)

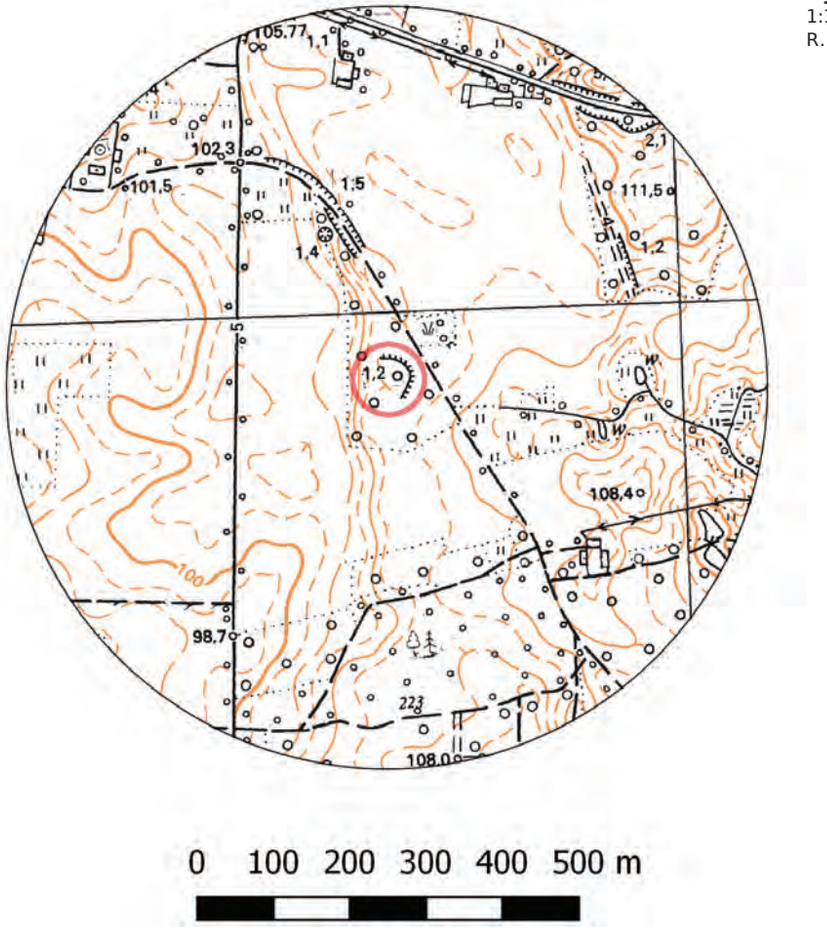

Ryc. 2. Grodzisko w Gulbiu, st. 1 na mapie w skali 1:10 000 (na podstawie materiałów CODGiK, oprac. R. Solecki)

POŁOŻENIE GRODZISKA I JEGO FORMA

MAGDALENA RUTYNA

Grodzisko w Gulbiu, st. 1 znajduje się na niewielkim wzniesieniu. Majdan grodziska ma kształt prostokąta z zaokrąglonymi narożnikami, o wymiarach 60 x 80 m. Jego część zachodnia opada na zachód, wschodnia natomiast jest nieznacznie wypiętrzona. Zachodnie obrzeżenie obiektu tworzy naturalne zbocze, osiągające wysokość około 4 m. Od strony północnej, południowej i wschodniej grodzisko otoczone jest fosą o głębokości od 0,75 do 1,5 m i szerokości 4–8 m. Od strony zachodniej fosa jest niewidoczna. Wały otaczające grodzisko zachowały się od zewnątrz na wysokość 2–3 m, od wewnątrz z kolei są równe *plateau* majdanu. Maksymalna wysokość bezwzględna w obrębie obiektu wynosi 108,8 m n.p.m., zaś na zewnątrz – średnio 106,0 m n.p.m., a na zachodzie, gdzie występuje rozległe obniżenie, około 100,0–103,0 m n.p.m. Obiekt zajmuje centralne miejsce na podłużnym wzniesieniu o rozciągłości w kierunku północ–południe (ryc. 1–6).

ŚRODOWISKO FIZYCZNO-GEOGRAFICZNE

JERZY NITYCHORUK I FABIAN WELC

Na podstawie *Szczegółowej mapy geologicznej Polski 1:50 000 ark. Kisielice*[1] grodzisko w Gulbiu leży na piaskach, iłach i mułkach zastoiskowych stadiału górnego zlodowacenia Wisły. Osady te rozprzestrzenione są na dużym obszarze, a towarzyszą im osady piasków i mułków kemów tworzące niewielkie wzniesienia. W otoczeniu osadów zastoiskowych występują gliny zwałowe budujące wysoczyznę polodowcową, a na południu piaski i żwiry wodnolodowcowe (ryc. 7). W okolicach stanowiska rozwinęły się słabej jakości gleby bielicowe.

Na terenie grodziska i w jego otoczeniu wykonano pięć wierceń geologicznych. Na ich podstawie sporządzono dwa przekroje geologiczne A–B – przecinający obiekt i C–D, położony na południe od obiektu, na skraju lasu. Przekrój A–B zawiera informację o budowie samego stanowiska archeologicznego, natomiast przekrój C–D pokazuje budowę geologiczną formy, na której go wybudowano (ryc. 8–9).

Najstarszymi osadami udokumentowanymi w obu przekrojach są: piasek bardzo drobnoziarnisty, żółty, z kilkucentymetrowymi przewarstwieniami mułku i mułku ilastego, brązowego oraz piasek drobnoziarnisty z domieszką mułku, zwięzły, biało-żółty (warstwa 1). Kolejno młodszą warstwę tworzą: mułek

Ryc. 3. Grodzisko w Gulbiu, st. 1, widok od południowego wschodu (fot. J. Wysocki, oprac. M. Rutyna)

Ryc. 4. Wał grodziska w Gulbiu, st. 1, widok od północnego wschodu (fot. J. Wysocki)

[1] Uniejewska 2003.

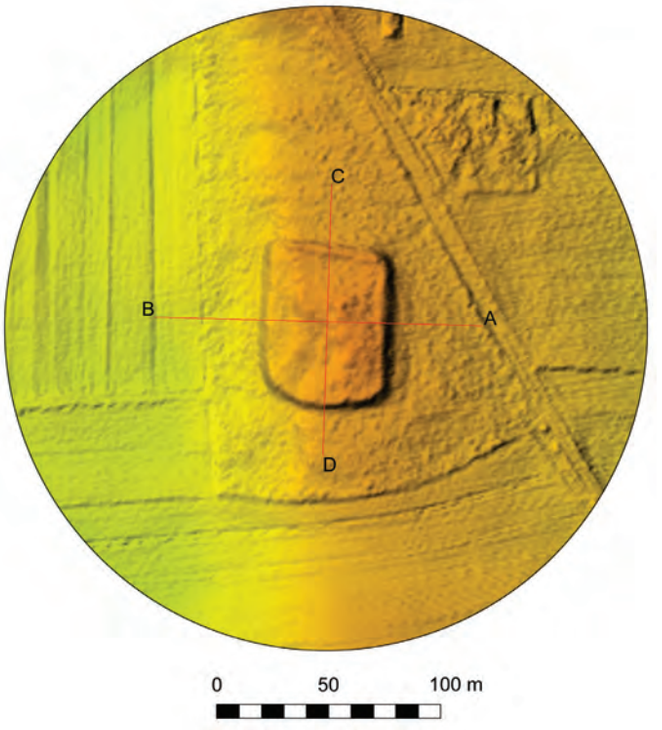

Ryc. 5. Grodzisko w Gulbiu, st. 1 na zobrazowaniu ALS (na podstawie materiałów CODGiK, oprac. R. Solecki)

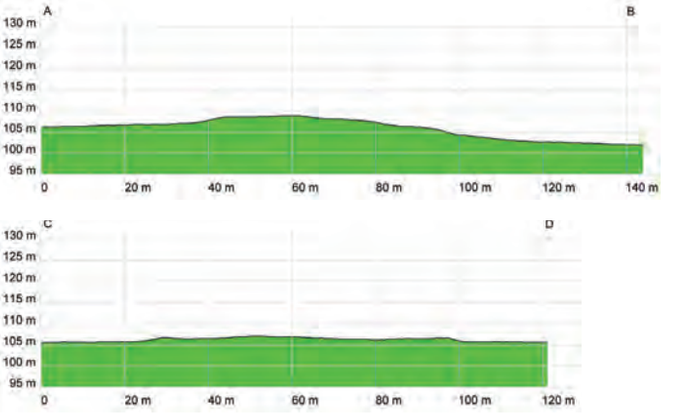

Ryc. 6. Przekroje grodziska w Gulbiu, st. 1 po dwóch liniach uzyskane z danych ALS (na podstawie materiałów CODGiK, oprac. R. Solecki)

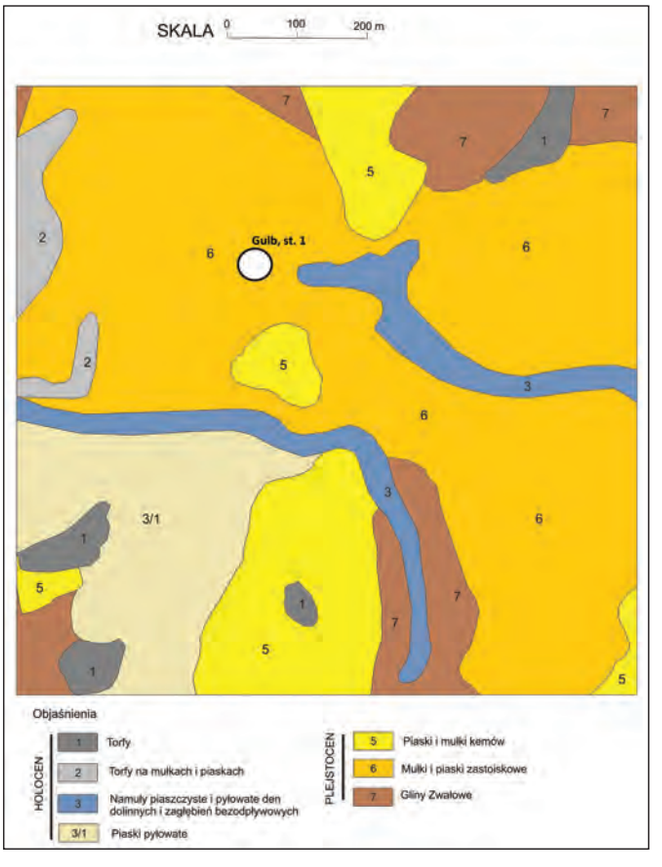

Ryc. 7. Mapa geologiczna okolic grodziska w Gulbiu, st. 1 (oprac. J. Nitychoruk i F. Welc)

ilasty, brązowo-żółty (wydzielenie 2 na przekroju A–B), piasek bardzo drobnoziarnisty, pylasty, żółty (wydzielenie 3 na przekroju A–B) i piasek drobnoziarnisty, z domieszką mułku i pyłu, żółty (wydzielenie 4 na przekroju C–D). Wszystkie wymienione wyżej osady, tworzące warstwy od 1 do 4, reprezentują spokojną sedymentację limnoglacjalną, co w połączeniu z wydłużonym i kopulastym kształtem wzgórza, które budują, nie pozostawia wątpliwości, że mamy tu do czynienia z formą kemu limnoglacjalnego lub *plateau* kemowego.

Kolejne wydzielenie nr 5, widoczne na przekroju C–D, w jego zachodniej części, zawiera osady piasków średnioziarnistych, brązowo-żółto-szarych, miejscami bez warstwowań, a miejscami z warstwowaniami horyzontalnymi, co świadczy o zmiennej energii przepływu wód, ale nieco większej niż w przypadku piasków kemowych. Osady te zajmują rozległe obniżenie, co sugeruje, że mogą pochodzić z okresu po uformowaniu wzgórza kemowego, kiedy teren ten był miejscem spokojnej sedymentacji wodnolodowcowej, zachodzącej w pewnej odległości od czoła lądolodu zlodowacenia Wisły.

Młodsze osady, oznaczone na przekroju A–B jako warstwy 6 i 7, pochodzą z okresu znacznie młodszego. Warstwa 6, to piasek drobnoziarnisty, z domieszką mułku i pyłu, brązowo-szary, różniący się od niżej leżącego piasku (warstwa 4 na przekroju A–B) jedynie barwą. Jednak barwa zdaje się tu być wyznacznikiem ingerencji człowieka w te osady oraz/lub lekkiego ich przemodelowania eolicznego. O działaniach ludzkich na opisywanym obiekcie świadczą osady wydzielenia 7 (na przekroju A–B). Na te osady, składają się: piasek drobnoziarnisty, z domieszką mułku i pyłu, charakterystycznej

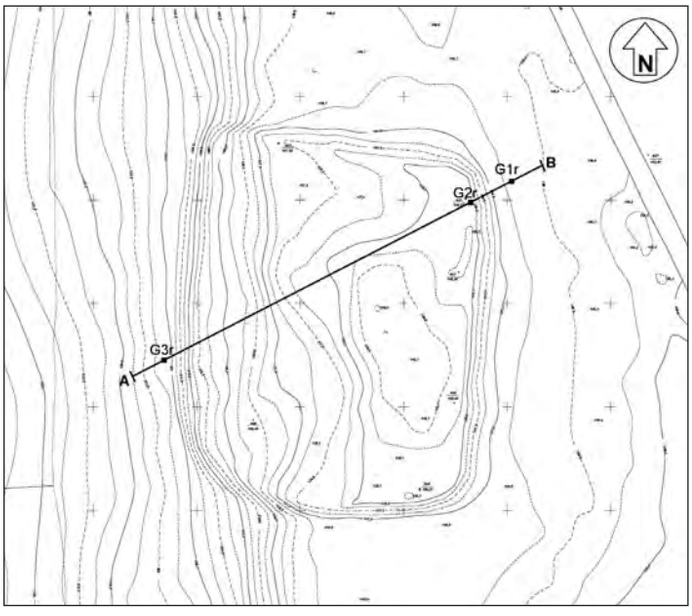

Ryc. 8. Plan warstwicowy grodziska w Gulbiu, st. 1 (wyk. J. Błaszczyk) z zaznaczonymi miejscami wierceń geologicznych (oprac. J. Nitychoruk i F. Welc)

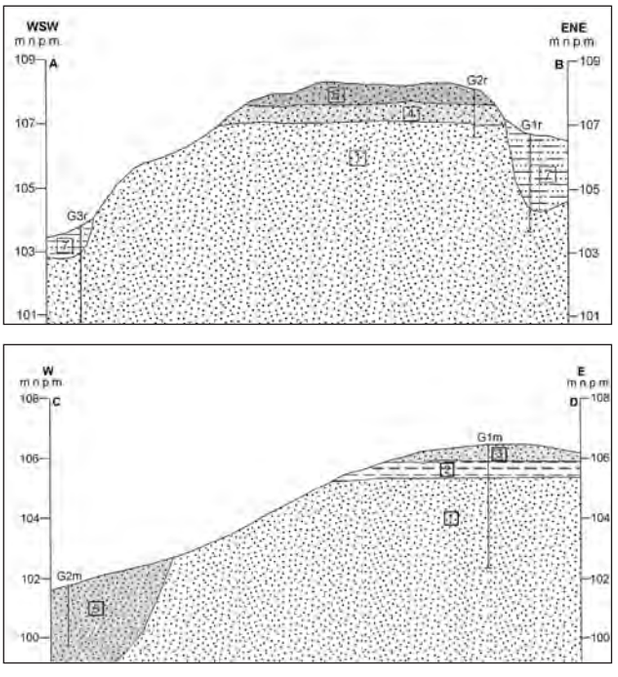

Ryc. 9. Gulb, st. 1. Przekrój geologiczny: 1 – piasek drobnoziarnisty z domieszką mułu, 2 – mułek ilasty, 3 – piasek drobnoziarnisty, pylasty, 4 – piasek drobnoziarnisty z mułkiem, 5 – piasek średnioziarnisty, wypełnienie fosy, 6 – piasek drobnoziarnisty, pylasty z mułkiem, 7 – piasek pylasty z mułkiem lub mułek piaszczysty (oprac. J. Nitychoruk i F. Welc).

barwy szarej. Z sytuacji geologicznej widocznej we wschodniej części przekroju A–B wynika, że osady te wypełniają rów – suchą fosę, która mogła mieć nawet do 2 m głębokości. Nie tylko szara barwa osadów opisanych w wydzieleniu 7, ale także ukształtowanie powierzchni stropowej osadów wydzielenia 1, na przekroju A–B, wskazują na możliwość istnienia takiego obniżenia. W wierceniach ręcznych G1r i G2r, odpowiednio na wysokości 104,2 m n.p.m. i 107,0 m n.p.m., nawiercono piasek drobnoziarnisty o znacznie większej zwięzłości, niż piaski wyżej leżące, co dało się odczuć podczas wiercenia. Jeśli strop tej samej warstwy jest na poziomie różniącym się o 3 m w pobliskich wierceniach, to możemy w takim przypadku założyć ingerencję człowieka. To zresztą doskonale pasuje do sytuacji archeologicznej, w której zazwyczaj u podnóża skarpy obiektu występuje fosa. Oczywiście precyzja wiercenia sondą ręczną jest nieco mniejsza niż sondą mechaniczną i trudno jest się upierać przy 2 m głębokości suchej fosy, ale wydaje się, że nie można jej istnienia negować.

Wydzielenie 7 na przekroju A–B, ale w jego zachodniej części, może dokumentować również osady suchej fosy, ale mogą to być też osady powstałe w wyniku spływów po dosyć wysokim, bo 4 m stoku. Podobne wykształcenie opisywanych osadów oraz podobny ich wiek, czyli po okresie użytkowania obiektu, usprawiedliwiają połączenie ich w jedną warstwę.

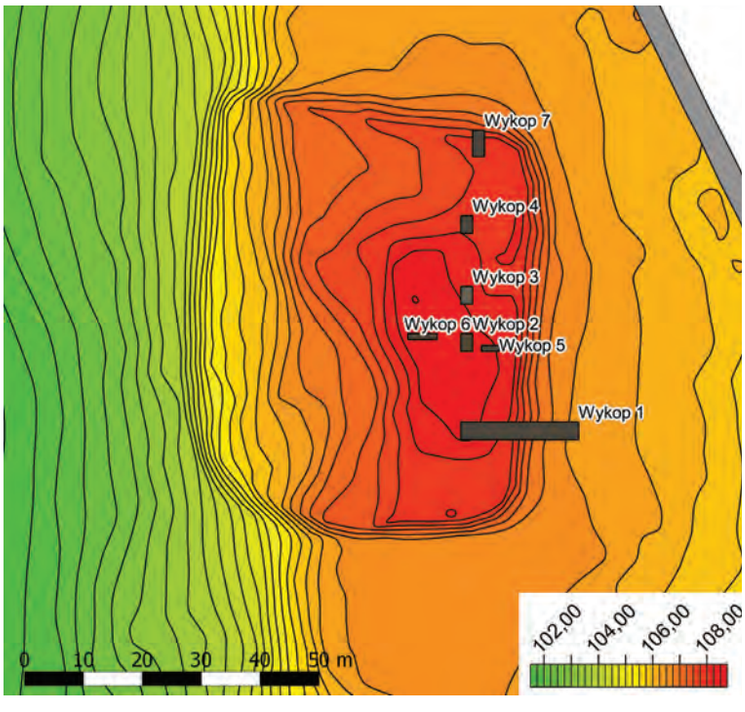

Ryc. 10. Plan warstwicowy grodziska w Gulbiu, st. 1 z zaznaczonymi wykopami badawczymi (na podstawie pomiarów J. Błaszczyka, oprac. R. Solecki)

BADANIA ARCHEOLOGICZNE

MAGDALENA RUTYNA

Przebieg badań terenowych

Grodzisko w Gulbiu, st. 1 znane jest od końca XIX wieku. Na niemieckich mapach oznaczono je pod nazwą *Ringwall*. W publikacji z 1937 r. opisane zostało jako *Große Schwedenschanze*[2]. Do rejestru zabytków wpisane zostało w roku 1968. Łucja Okulicz interpretowała to stanowisko jako osiedle obronne z wczesnej epoki żelaza[3]. Natomiast na wczesnośredniowieczną metrykę wskazywała ceramika z ornamentem żłobków dookolnych i linii falistej, którą pozyskano podczas badań powierzchniowych w 1968 r. Prawdopodobnie obiekt pod koniec XIX w. został znacznie zniwelowany wskutek orki.

Archeologiczne badania wykopaliskowe przeprowadzono w roku 2012 w ramach realizacji projektu *Katalog grodzisk Warmii i Mazur*. Na terenie grodziska założono siedem wykopów (oznaczonych cyframi 1–7), o łącznej powierzchni 95 m² (ryc. 10). Wykop 1, o wym. 3 x 20 m, usytuowano w południowo-wschodniej części grodziska. Dłuższą osią był on zorientowany był w kierunku wschód-zachód. W obrębie tego wykopu przekopano zbocze potencjalnego wału wraz z obszarem przylegającym do niego od zewnątrz (od wschodu) oraz przebadano część majdanu grodziska. Wykop 2, o wymiarach 2 x 3 m, wytyczono na majdanie grodziska. Dłuższą osią był on zorientowany po linii N–S. Wykop 3, o wymaiarch 2 x 3 m, założono 5 m na N od północnej krawędzi wykopu 2. Jego dłuższa oś zorientowana była po linii N–S. Wykop 4, o wymiarach 2 x 3 m, wytyczono 9 m na N od północnej krawędzi wykopu 3. Dłuższa oś wykopu zorientowana była po linii N–S. Wykop 5, o wymiarach 1 x 3 m (dłuższa oś po linii E–W), otworzono 1,5 m na E od wschodniej krawędzi wykopu 2. Przebadano tu część obiektu, który okazał się być stanowiskiem strzeleckim z okresu II wojny światowej. Wykop 6, o wymiarach 1 x 5 m, usytuowano 4 m na zachód od zachodniej krawędzi wykopu 2. Wschodnia część wykopu zachodziła na majdan, zachodnia natomiast przecinała niewielkie zagłębienie. Wykop 7, o długości 4,5 m i szerokości 2 m, założono w północnej części grodziska, 10 m na N od wykopu 4. Jego północna część przecinała zagłębienie, południowa zaś majdan[4].

Stratygrafia stanowiska

W trakcie badań archeologicznych przeprowadzonych w 2012 roku wydzielono łącznie 47 jednostek stratygraficznych, które podzielono na dwie główne

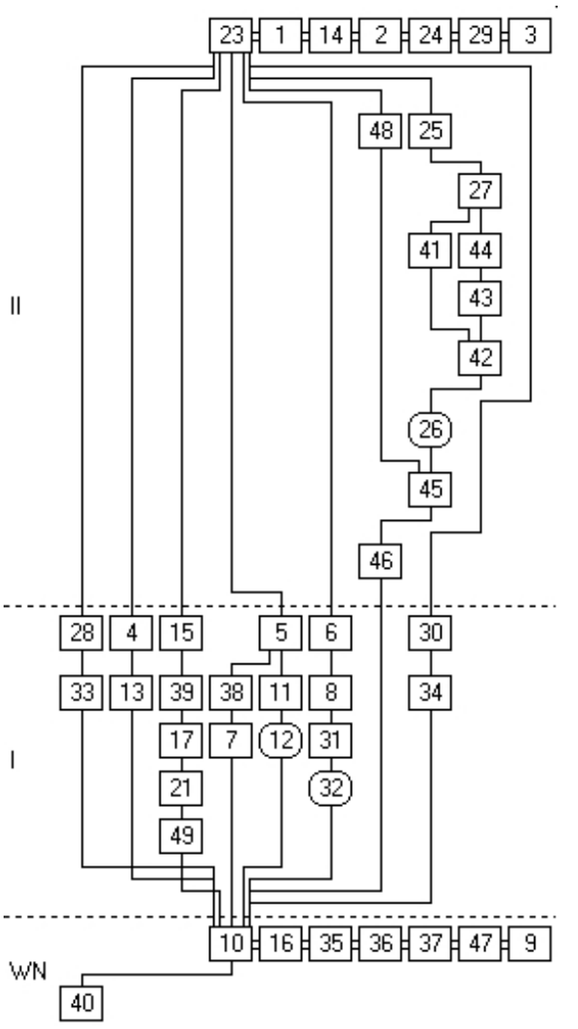

Ryc. 11. Gulb, st. 1. Diagram relacji stratygraficznych (oprac. M. Rutyna)

fazy związane z użytkowaniem tego stanowiska (tab. 1 i ryc. 11).

Warstwy naturalne

We wszystkich wykopach nawarstwienia kulturowe spoczywały na bardzo sypkim, jednorodnym piasku, który oznaczony został numerami 40 (W1) oraz 9 (W2) = 10 (W4) = 16 (W3) = 35 (W6) = 36 = 37 (W7) = 47.

Faza I

W wykopie 1 odkryto następujące warstwy niwelacyjne o nieokreślonej chronologii: drobnoziarnisty, niejednorodny piasek 21, niejednorodny piasek 39, sypki, drobnoziarnisty, jednorodny piasek 17 i sypki, drobnoziarnisty, niejednorodny piasek 15. O relikcie ewentualnej fosy (W1), we wschodniej części domniemanego grodziska, może świadczyć obecność

[2] Crome 1937: 123.

[3] Ł. Okulicz 1970: 178 (pod nazwą Laseczno).

[4] Kobyliński *et al.* 2013: 307–308.

Tabela 1. Katalog warstw z opisem poszczególnych jednostek stratygraficznych grodziska w Gulbiu, st. 1 (oprac. M. Rutyna)

Numer jednostki	Numer obiektu	Numer wykopu	Położenie w obrębie stanowiska	Współrzędne siatki pomiarowej stanowiska	Opis jednostki stratygraficznej	Barwa (Munsell)	Pozycja stratygraficzna	
							Znajduje się pod	Znajduje się nad
1=2=3=14 =23=24=29		1, 2, 3, 4, 5, 6, 7	Wał, majdan	na powierzchni całego stanowiska	Drobnoziarnisty, ziemisty piasek; miąższość do 30 cm; humus	2,5Y 3/1		6, 4, 5, 15, 36, 25, 28, 30
4		3	Majdan	X=123–126; Y=100–102	Sypki, drobnoziarnisty, niejednorodny piasek; miąższość do 25 cm; warstwa niwelacyjna	2,5YR 6/4	2	13
5		4	Majdan	X=135–138; Y=100–102	Sypki, drobnoziarnisty, niejednorodny piasek; miąższość do 30 cm; warstwa niwelacyjna	2,5Y 8/4	3	7
6		2	Majdan	X=115–118; Y=100–102	Sypki, drobnoziarnisty, niejednorodny piasek; miąższość do 50 cm; warstwa niwelacyjna	2,5Y 7/4	1	8
7		4	Majdan	X=135–138; Y=100–102	Drobnoziarnisty, jednorodny piasek; miąższość do 20 cm; warstwa niwelacyjna	2,5Y 7/3	5	10
8		2	Majdan	X=115–118; Y=100–102	Drobnoziarnisty, jednorodny piasek; miąższość do 30 cm; warstwa niwelacyjna	2,5Y 4/3	6	9
9=10=16=35 =36=37=40=47		1, 2, 3, 4, 5, 6, 7	Majdan	na powierzchni całego stanowiska	Sypki, jednorodny piasek; calec	2,5Y 5/6	8, 7, 13, 33, 17, 21, 36, 46	
11	12	4	Majdan	X=136,50–136,90; Y=100–100,20	Lekko ziemisty, niejednorodny piasek; wypełnisko obiektu 12	2,5Y 7/4; 2,5Y 5/2	5	12
12	12	4	Majdan	X=136,50–136,90; Y=100–100,20	Obiekt, o wym. ok. 20 x 30 cm i gł. ok. 30 cm, być może dół posłupowy; kształt połowy owalu; U-kształtny przekrój		11	10
13		3	Majdan	X=123–126; Y=100–102	Drobnoziarnisty, jednorodny piasek; miąższość do 40 cm; warstwa niwelacyjna	10YR 6/4	4	16
15		1	Majdan, wał	X=100–103; Y=100–120	Sypki, drobnoziarnisty, niejednorodny piasek; miąższość do 30 cm; warstwa niwelacyjna	2,5Y 6/2	14	17, 39
17		1	Majdan, wał	X=100–103; Y=100–120	Sypki, drobnoziarnisty, jednorodny piasek; miąższość do 50 cm; warstwa niwelacyjna	2,5Y 6/4	15, 39	21, 36
21		1	Majdan, wał	X=100–103; Y=100–120	Drobnoziarnisty, niejednorodny piasek; miąższość do 30 cm; warstwa niwelacyjna	2,5Y 6/3	17	36
25	26	5	Stanowisko strzeleckie	X=115–116; Y=104,50–106,50	Sypki, jednorodny piasek; wypełnisko obiektu 26	2,5Y 4/1	23	26
26	26	5	Stanowisko strzeleckie	X=115–116; Y=104,50–106,50	Stanowisko strzeleckie		25	27
27		5	Stanowisko strzeleckie	X=115–116; Y=105,60–106,30	Sypki, niejednorodny piasek; wypełnisko obiektu 26	2,5Y 4/5	25	41
28		6	Majdan, zagłębienie	X=117–118; Y=91–96	Sypki, drobnoziarnisty, niejednorodny piasek; miąższość do 30 cm; warstwa niwelacyjna	2,5Y 6/4; 2,5Y 5/3	24	33
30		7	Majdan, zagłębienie	X=148–151,10; Y=102–104	Sypki, drobnoziarnisty, niejednorodny piasek; miąższość do 35 cm; warstwa niwelacyjna	2,5Y 7/3	29	34
31	32	2	Majdan	X=116–118; Y=101–102	Sypki, niejednorodny piasek z drobnymi fragmentami węgielków; wypełnisko obiektu 32	10YR 5/4; 10YR 3/3; 10YR 4/6	8	32
32	32	2	Majdan	X=116–118; Y=101–102	Jama, o wym. ok. 100 x 200 cm i gł. ok. 50 cm, w planie kształt nieregularny, zbliżony do owalu, w przekroju U-kształtna		31	22
33		6	Majdan, zagłębienie	X=117–118; Y=91–96	Drobnoziarnisty, jednorodny piasek; miąższość do 35 cm; warstwa niwelacyjna	2,5Y 4/4	28	35
34		7	Majdan, zagłębienie	X=148–151,70; Y=102–104	Drobnoziarnisty, jednorodny piasek; miąższość do 20 cm; warstwa niwelacyjna	2,5Y 8/2; 2,5Y 6/3	30	37
37		7	Majdan, zagłębienie	X=148–152; Y=102–104	Sypki, jednorodny piasek; calec	2,5Y 5/4	34	
38		4	Majdan	X=136–136,60; Y=100–102	Drobnoziarnisty, jednorodny piasek; miąższość do 10 cm; warstwa niwelacyjna	2,5Y 8/3	5	7
39		1	Majdan, wał	X=100–103; Y=108,70–114,80	Sypki, niejednorodny piasek; miąższość do 20 cm; warstwa niwelacyjna	2,5Y 5/2	15	17
41	26	5	Stanowisko strzeleckie	X=115–116; Y=105,40–106	Sypki, jednorodny piasek; wypełnisko obiektu 26	2,5Y 5/2	27	42

Tabela 1. Ciąg dalszy

Numer jednostki	Numer obiektu	Numer wykopu	Położenie w obrębie stanowiska	Współrzędne siatki pomiarowej stanowiska	Opis jednostki stratygraficznej	Barwa (Munsell)	Pozycja stratygraficzna	
							Znajduje się pod	Znajduje się nad
42	26	5	Stanowisko strzeleckie	X=115–116; Y=105,40–106	Sypki, niejednorodny piasek; wypełnisko obiektu 26	2,5Y 5/6	41	43
43		5	Stanowisko strzeleckie	X=115–116; Y=105,40–105,70	Sypki, jednorodny piasek; miąższość do 10 cm	2,5Y 5/4	42	44
44		5	Stanowisko strzeleckie	X=115–116; Y=105,40–105,70	Sypki, jednorodny piasek; miąższość do 10 cm	2,5Y 4/4	25	43
45		5	Stanowisko strzeleckie	X=115–116; Y=103,50–106,50	Sypki, jednorodny piasek; miąższość do 70 cm	2,5Y 6/4	25	46
46		5	Stanowisko strzeleckie	X=115–116; Y=103,50–106,50	Sypki, jednorodny piasek; miąższość do 30 cm	2,5Y 5/4	45	47
48		5	Stanowisko strzeleckie	X=115–116; Y=105–106,50	Sypki, niejednorodny piasek; miąższość do 40 cm	10YR 7/1	23	45
49		1	Fosa?	X=100–101; Y=111–112	Sypki, niejednorodny piasek; miąższość do 35 cm	10YR 4/2	21	36

Ryc. 12. Gulb, st. 1. Przekrój przez wał we wschodniej części grodziska (fot. M. Rutyna)

drobnoziarnistego, niejednorodnego piasku 49, który w krawędziowej partii swego zasięgu, w nieregularnie V-kształtym zagłębieniu rowopodobnym (szerokości ok. 0,5 m głębokości ok. 0,35 m) miał miąższość około 35 cm (ryc. 12–13).

Także warstwy odkryte na majdanie grodziska należy prawdopodobnie interpretować jako warstwy niwelacyjne. Reprezentuje je drobnoziarnisty, jednorodny piasek 8 (W2), 13 (W3), 7 i 38 (W4), 33 (W6), 34 (W7) oraz sypki, drobnoziarnisty, niejednorodny piasek 6 (W2), 4 (W3), 5 (W4), 28 (W6) oraz 30 (W7) (ryc. 14–15).

Niejednoznaczna jest również chronologia dwóch obiektów 32 (W2) oraz 12 (W4). Jama 32, o wymiarach około 100 x 200 cm i głębokości około 50 cm, miała w planie kształt nieregularny, zbliżony do owalu, a w przekroju była U-kształtna. W jej wypełnisku zarejestrowano sypki, niejednorodny piasek z drobnymi fragmentami węgielków 31. Obiekt 12, o wymiarach około 20 x 30 cm i głębokości około 30 cm, jest zapewne dołem posłupowym. Miał on kształt połowy owalu (wchodził w zachodnią ścianę wykopu) i U-kształtny przekrój. Jego wypełnisko tworzył lekko ziemisty, niejednorodny piasek 11.

Faza II – współczesny poziom użytkowy

Obecny poziom użytkowy tworzy drobnoziarnisty, ziemisty piasek, oznaczony numerami 1 (W2) = 2 (W3) = 3 (W4) = 14 (W1) = 24 (W6) = 29 (W7), będący warstwą humusu leśnego. Na okres II wojny światowej należy datować odkryte w wykopie 5 stanowisko strzeleckie.

ZNALEZISKA

Ceramika

Badania wykopaliskowe na terenie grodziska w Gulbiu, st. 1 dostarczyły łącznie 346 fragmentów ceramiki historycznej. Na wczesną epokę żelaza można datować 97 fragmentów, na wczesne średniowiecze 11, a na późne średniowiecze i czasy nowożytne 238.

Materiał datowany na wczesną epokę żelaza jest silnie rozdrobniony. Pozyskano wyłącznie fragmenty brzuśców. Masa ceramiczna zawiera dużą ilość średnio- i gruboziarnistej domieszki schudzającej – piasku oraz miki. Wypał jest utleniający, zapewne w dość niskiej temperaturze. Kolor ścianek jest jasnopomarańczowy, pomarańczowy i szary, a przełam zazwyczaj dwukolorowy: pomarańczowo-szary.

Wczesnośredniowieczny materiał ceramiczny obejmował wyłącznie fragmenty brzuśców. Ich masa ceramiczna zawierała średnią ilość drobno- i średnioziarnistej domieszki. Ścianki mają barwę jasnopomarańczową, pomarańczową, brązową i szarą, a przełom jest dwubarwny lub trójbarwny.

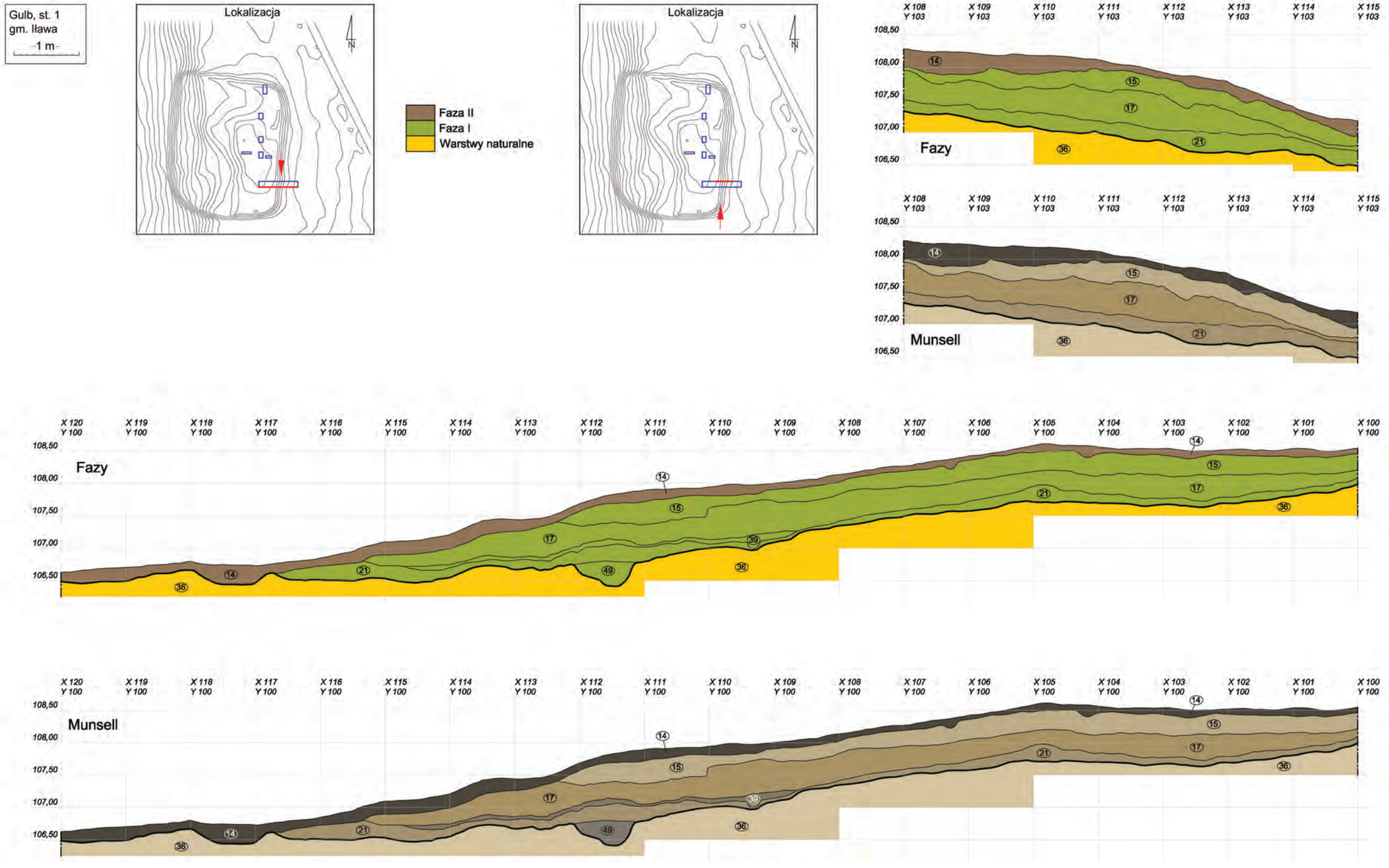

Ryc. 13. Gulb, st. 1. Przekrój przez wał we wschodniej części grodziska (oprac. M. Rutyna i R. Solecki)

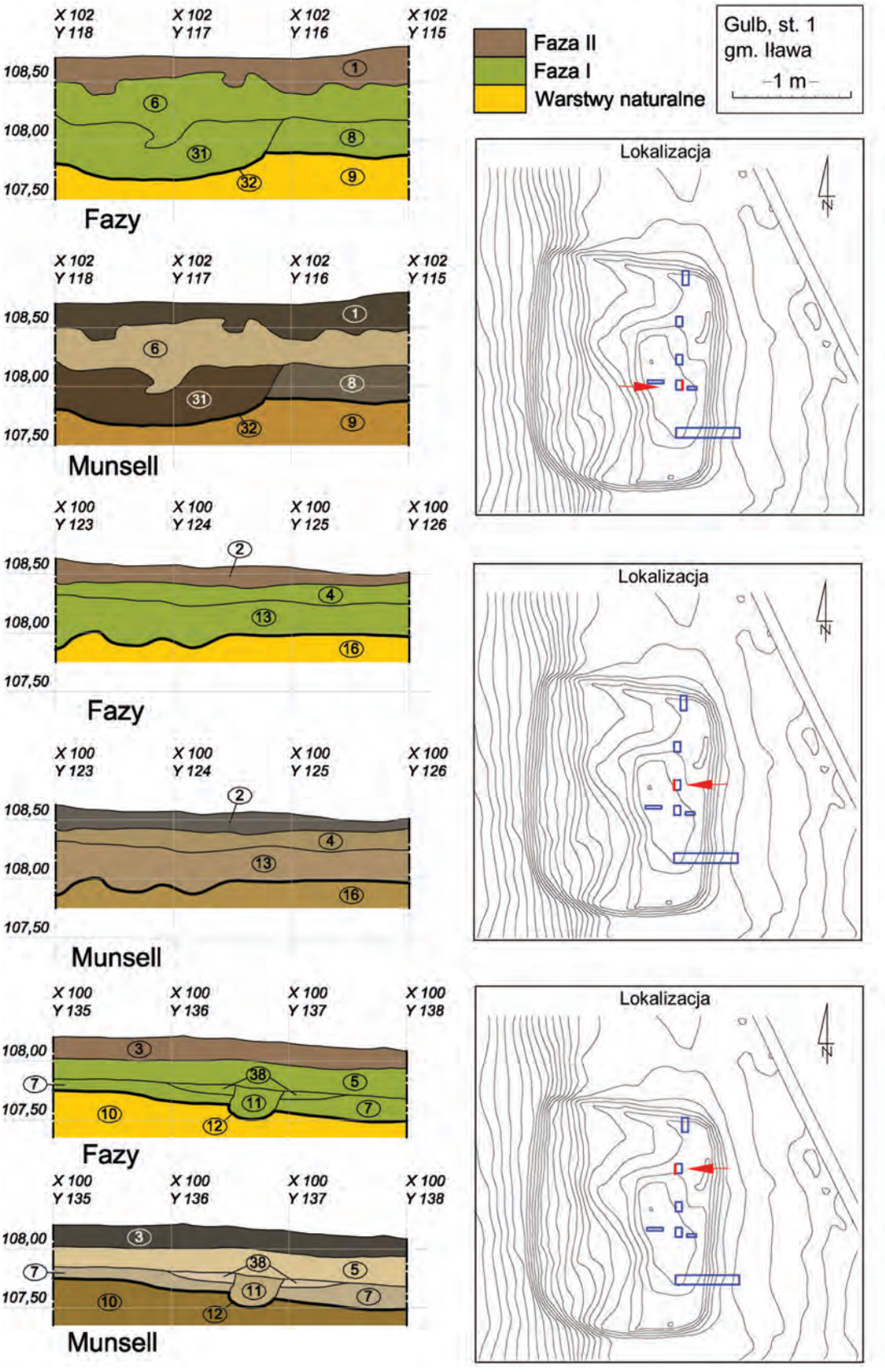

Ryc. 14. Gulb, st. 1. Przekroje przez nawarstwienia majdanu (oprac. M. Rutyna i R. Solecki)

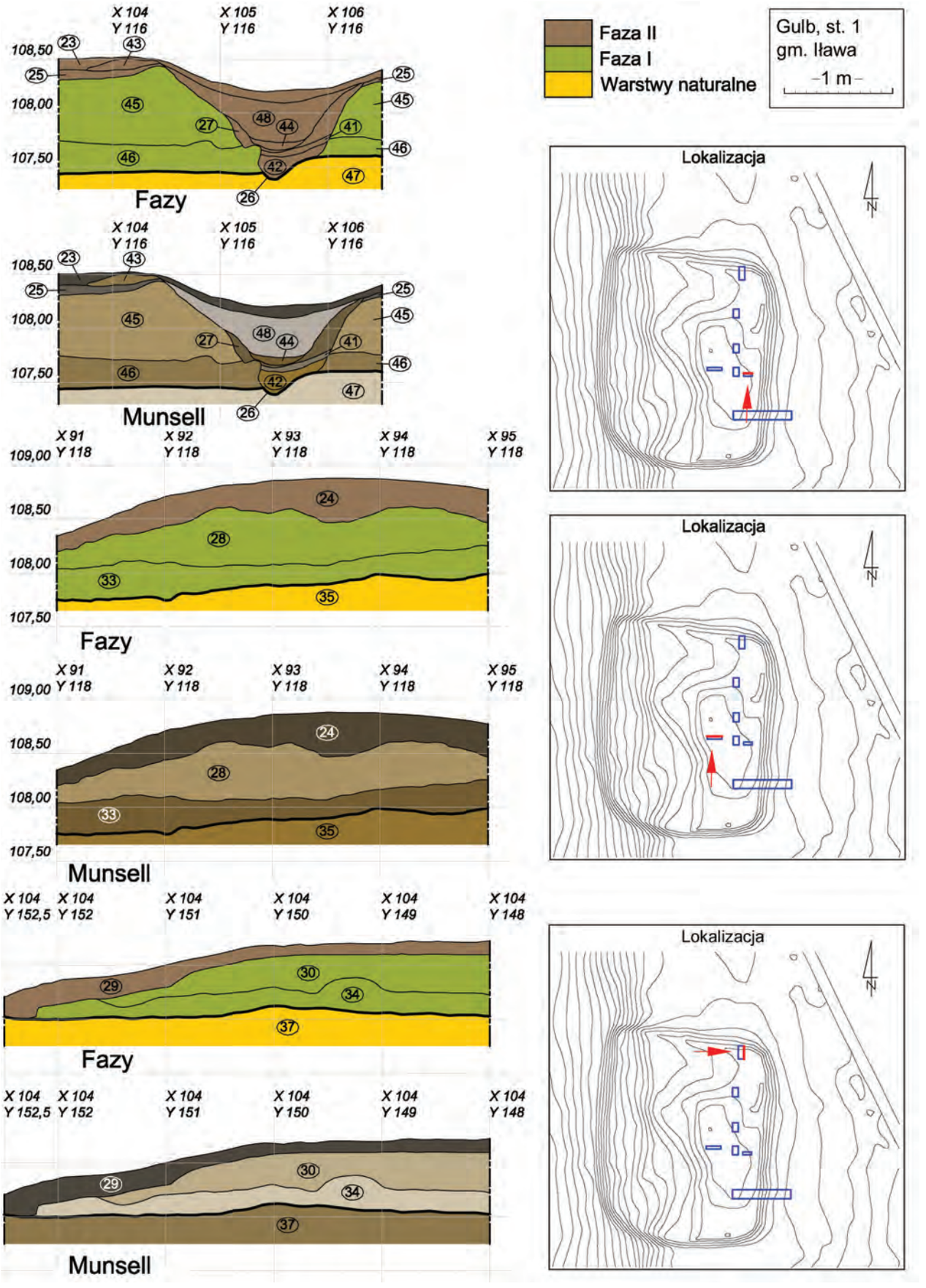

Ryc. 15. Gulb, st. 1. Przekroje przez nawarstwienia majdanu (oprac. M. Rutyna i R. Solecki)

Tabela 2. Gulb, st. 1. Opis analityczny zespołów ceramicznych z poszczególnych jednostek stratygraficznych (oprac. M. Rutyna)

Faza	Jednostka stratygraficzna	Liczba fragmentów łącznie	Liczba różnych naczyń	Wylewy	Szyjki	Brzuśce							Ucha	Części przydenne	Dna			Fragmenty przepalone	Fragmenty o wypłukanej powierzchni	Chronologia		
				Liczba fragmentów		Liczba fr. ogółem	Rodzaj powierzchni				Przepalone	Ornamentowane			Liczba fragmentów	Lekko wklęsłe	Płaskie			Wczesna epoka żelaza	Wczese średniowiecze	Późne średniowiecze i nowożytność
							Chropowacone	Gładkie	Szorstkie	Nieokreślone												
I	4	27	6	4		21		9	6	6	6	1			2		2	6		4	4	19
I	5	3	2	2		1		1				1										3
I	7	7	2			5		4	1			3										7
I	8	93	5	5		88		49	10	31	24							17	7	28	4	61
I	11	2	1	2																		2
I	15	31	5	5		21		21				5	3		2		2					31
I	17	48	3	3	2	40	1	37		2	2	11			3		3		1	3	2	42
I	21	71	2	2		64	2	23	3	36		2		3	2		2	3	34	49	1	21
I	28	10	2	2		8		7		1	1	2						1	1	1		9
I	31	11				11	1	7		3	4							4		8		3
I	33	2				2		1	1											2		
I	34	24	2	2		21		16	4	1		8			1		1		1	2		22
II	1	1				1			1													1
II	2	1				1		1				1										1
II	25	15	2	2		10		9		1	1	2			3	1	2	1				15
SUMA		**346**	**32**	**29**	**2**	**294**	**4**	**185**	**26**	**81**	**38**	**36**	**3**	**3**	**13**	**1**	**12**	**32**	**44**	**97**	**11**	**237**

Tabela 3. Gulb, st. 1. Struktura wielkościowa zespołów ceramicznych z poszczególnych jednostek stratygraficznych i stan zniszczenia (oprac. M. Rutyna, wg klasyfikacji Buko 1990a: 353)

Jedn. strat.	Wykop	Kategorie wielkościowe [cm]								Stopień erozji				SUMA
		1	2	3	4	5	6	7	8	0	I	II	III	
1	2			1							1			1
2	3				1						1			1
4	3	1	2	12	6	2	2	1	1		18	3	6	27
5	4		1	2							3			3
9	2		13	7	6	2					11	9	8	28
9	2		6	5	6	1					11	4	3	18
15	1	1	14	6	7	1	2				29	2		31
10	4		3		2	1	1				3	4		7
17	1	5	22	14	4						42	3		45
21	1	3	11	3	7	2	1				13	4	10	27
22	2		7	8	4	2					7	1	13	21
11	4					2					2			2
17	1	1	1	1							1	1	1	3
20	2		13	8	3	2					16	3	7	26
21	1		16	16	10	2					4	14	26	44
25	5	1	10	1	2			1			9	4	2	15
28	6		1	5	4					1	5	4		10
31	2		5	3	2	1					4	5	2	11
33	6			1		1						2		2
34	7		11	8	2	3					22	2		24
SUMA		**12**	**136**	**101**	**66**	**22**	**6**	**2**	**1**	**1**	**202**	**65**	**78**	**346**

Ryc. 16. Gulb, st. 1. Ceramika późnośredniowieczna (rys. K. Zdeb)

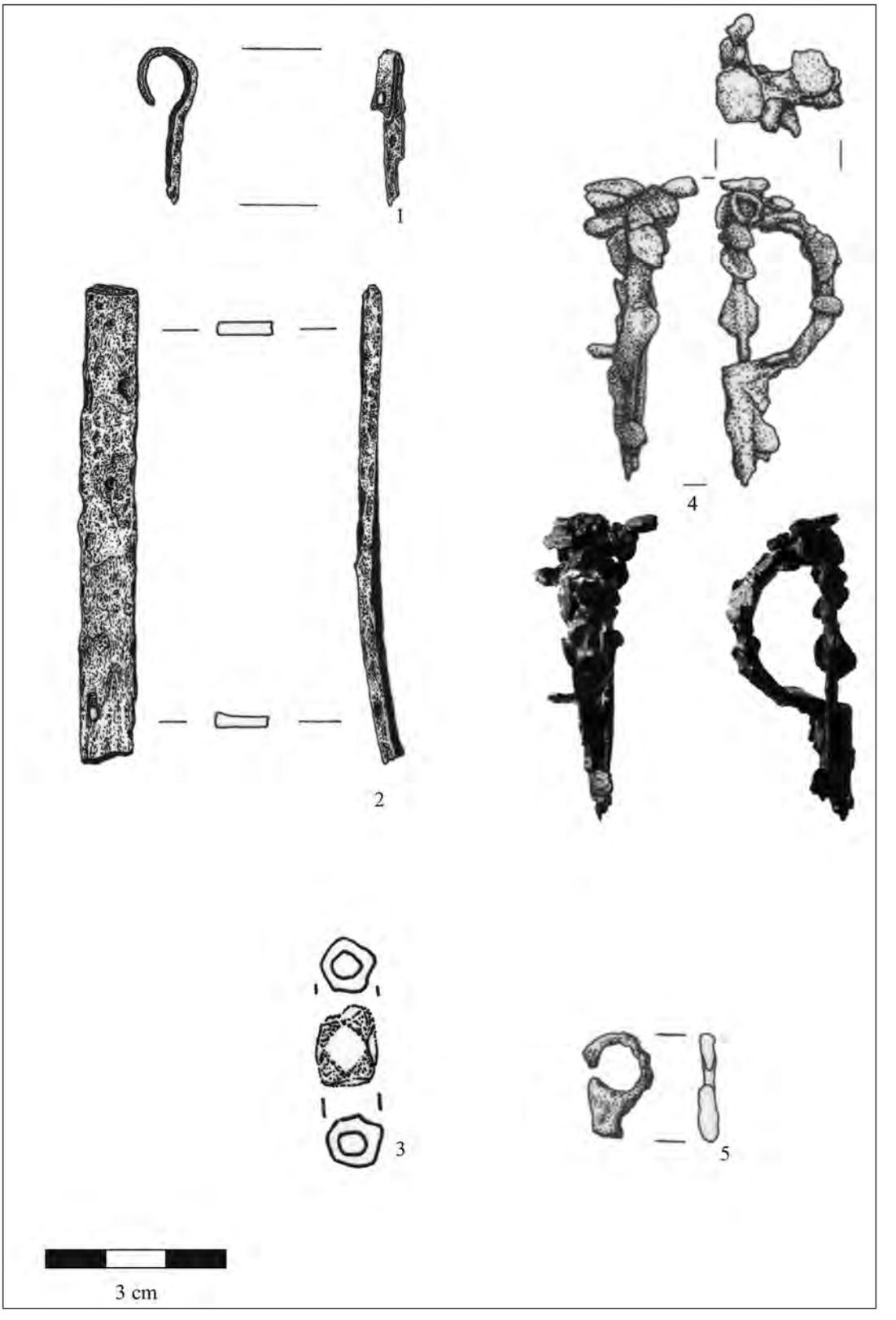

Tablica 1. Gulb, st. 1. Zabytki wydzielone z nawarstwień Fazy I (rys. P. Potocka i K. Zdeb, fot. P. Potocka)

Ceramika pochodząca z późnego średniowiecza (ryc. 16) i czasów nowożytnych stanowiła 69% całego zbioru. Pozyskany materiał jest rozdrobniony. Górne partie naczyń zachowały się fragmentarycznie. Wylewy stanowią jedynie 11% zbioru. Na brzuścach zaobserwowano tylko jeden typ ornamentu w postaci w postaci rowków dookolnych.

Wydzielono dwie grupy technologiczno-surowcowe:

GTS1 – Ceramika „siwa" – wykonana z dobrze wyrobionej masy ceramicznej z małą ilością drobnej domieszki schudzającej - piasku. Powierzchnia zewnętrzna i wewnętrzna jest gładka. Grubość ścianek wynosi 3–8 mm. Barwa ścianek jest jasnoszara, szara i ciemnoszara, a przełam zazwyczaj jest jednobarwny, rzadziej trójbarwny (szare ścianki i pomarańczowy środek). Grupę tę reprezentuje 176 fragmentów ceramiki (74% zbioru)

GTS2 – Ceramika ceglasta – wykonana z dobrze wyrobionej masy ceramicznej z niewielką ilością piasku. Powierzchnia zewnętrzna i wewnętrzna jest gładka. Grubość ścianek wynosi 3–8 mm. Barwa ścianek jest pomarańczowa, a przełam jest jednokolorowy, w kolorze ścianki. Powierzchnia wewnętrzna dwóch fragmentów ceramiki pokryta została brązową polewą. Grupę tę reprezentują 62 fragmenty ceramiki (26% zbioru).

Zabytki wydzielone

Zabytki wydzielone odkryte w trakcie badań wykopaliskowych pochodzą z warstw niwelacyjnych lub o nieokreślonej chronologii (Faza I). W grupie tej znajdują się:

- paciorek kubooktaedryczny, wykonany z granatowego, nieprzezroczystego szkła, o powierzchni gładkiej (tabl. 1:3)
- zapinka typu Almgren 170[5] (tabl. 1:4)
- żelazna sztabka, długości 8 cm, szerokości 1 cm, przekroju prostokątnym i grubości ok. 0,3 cm (tabl. 1:2)
- żelazny haczyk, długości ok. 3 cm, szerokości ok. 0,4 cm (tabl. 1:1)
- żelazne kółko o średnicy ok. 1 cm (tabl. 1:5)

CHRONOLOGIA STANOWISKA

Na podstawie pozyskanej ceramiki nie można jednoznacznie określić chronologii grodziska w Gulbiu. Zapewne stanowisko to było wykorzystywane w różnych okresach. W trakcie badań wykopaliskowych odkryto ceramikę datowaną na wczesną epokę żelaza, wczesne średniowiecze, późne średniowiecze oraz nowożytność, a także zabytki z okresu wpływów rzymskich (paciorek i zapinka).

DZIEJE GRODZISKA W GULBIU, ST. 1

Ze względu na występowanie w warstwach stanowiska ceramiki z różnych okresów, określenie jego chronologii jest bardzo trudne. Prawdopodobnie powstanie grodziska datować należy na wczesną epokę żelaza. Jakiegoś rodzaju działalność miała miejsce na tym stanowisku w okresie wpływów rzymskich i w okresie wczesnego średniowiecza. Kolejny okres bardziej intensywnego użytkowania przypada na przełom późnego średniowiecza i nowożytności, sądząc po charakterze ceramiki na przełomie XV i XVI w. Grodzisko zostało zapewne zniszczone wskutek orki pod koniec XIX wieku oraz w czasie II wojny światowej.

[5] Dziękuję mgr. Piotrowi Iwanickiemu z Państwowego Muzeum Archeologicznego za pomoc w określeniu typu fibuli.

Iława, st. 33 – Wielka Żuława

Gmina Iława

Powiat iławski

AZP 27-52/15

Współrzędne geograficzne:

N 53° 36’ 24’’

E 19° 33’ 4’’

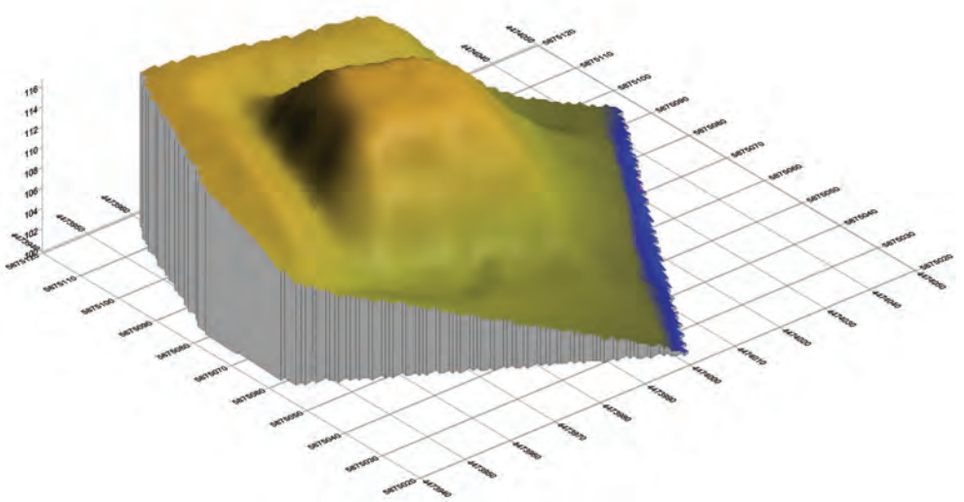

Ryc. 1. Grodzisko w Iławie, st. 33 – Wielka Żuława na mapie w skali 1:25 000 (na podstawie materiałów CODGiK, oprac. R. Solecki)

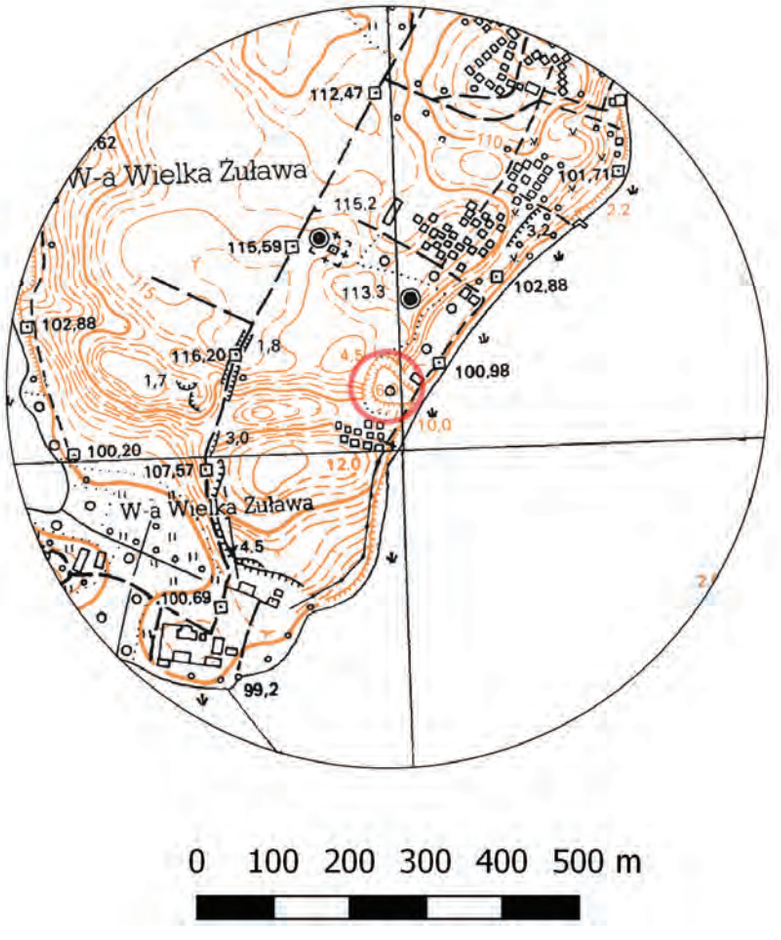

Ryc. 2. Grodzisko w Iławie, st. 33 – Wielka Żuława na mapie w skali 1:10 000 (na podstawie materiałów CODGiK, oprac. R. Solecki)

POŁOŻENIE GRODZISKA I JEGO FORMA

MAGDALENA RUTYNA I JACEK WYSOCKI

Grodzisko znajduje się w południowo-wschodniej części wyspy Wielka Żuława na jeziorze Jeziorak, na wysoczyźnie przy brzegu jeziora, na północny zachód od Starego Miasta w Iławie (ryc. 1–2). Wysoczyzna na wyspie jest pozostałością wzgórza kemowego z nawarstwieniami charakterystycznymi dla tej formy geomorfologicznej, z warstwowanymi frakcjami żwirowymi, piaszczystymi i ilastymi. Grodzisko ma formę ostrosłupa o ściętym wierzchołku, powstałego na skutek odcięcia przekopem od wysoczyzny od strony północnej i zachodniej naturalnego jej cypla (ryc. 3). W ten sposób powstała forma stożkowata o planie zbliżonym do kwadratu, otoczona od północy i zachodu suchą fosą o głębokości do 5 m (ryc. 4–5), od południa ograniczona naturalnym uskokiem wysoczyzny, a od wschodu stromym brzegiem jeziora. Prawdopodobnie pierwotnie górna część grodziska była wyniesiona nieco ponad poziom wysoczyzny. Obecnie najwyższy punkt romboidalnego majdanu znajduje się w jego północno-zachodnim rogu i ma wartość 116,8 m n.p.m., co przy zwierciadle wody w Jezioraku położonym na wysokości około 99,0 m n.p.m., daje prawie 17 m różnicy (ryc. 6–7).

ŚRODOWISKO FIZYCZNO-GEOGRAFICZNE

JERZY NITYCHORUK I FABIAN WELC

Wyspa Wielka Żuława jest formą geomorfologiczną powstałą w rynnie lodowcowej zajmowanej obecnie przez akwen Jezioraka. Jest ona morfologicznie utworem kemowym powstałym w fazach recesyjnych ostatniego zlodowacenia. Wyspa jest otoczona wodami Jezioraka, w jej obrębie nie ma żadnych cieków wodnych, w części północnej wyspy znajdują się niewielkie obszary zastoiskowe, bezodpływowe. Od północy wyspę dzieli od lądu jedynie kilkudziesięciometrowy płytki przesmyk. W miejscu położenia stanowiska i w jego okolicach, stwierdzono piaski kemowe, na których występują mało żyzne gleby bielicowe.

W zasadzie cała wyspa na *Szczegółowej mapie geologicznej Polski w skali 1:50 000 ark. Iława*[1] jest przedstawiona jako kem zbudowany z piasków, mułków i gliny spływowej, który powstał w stadiale górnym zlodowacenia Wisły. Południowy fragment wyspy budują piaski i żwiry rynien subglacjalnych, a północny torfy związane z sedymentacją w płytkiej strefie brzegu jeziora. Jeziorak jest typowym jeziorem rynnowym, a opisywana wyspa Wielka Żuława to efekt sedymentacji miedzy bryłami lodu, który wypełniał

[1] Gałązka 2012.

Ryc. 3. Widok grodziska w Iławie, st. 33 – Wielka Żuława od strony południowo-wschodniej (fot. Z. Kobyliński)

Ryc. 4. Widok fosy na północ od grodziska w Iławie, st. 33 – Wielka Żuława (fot. Z. Kobyliński)

Ryc. 5. Widok fosy na zachód od grodziska w Iławie, st. 33 – Wielka Żuława (fot. Z. Kobyliński)

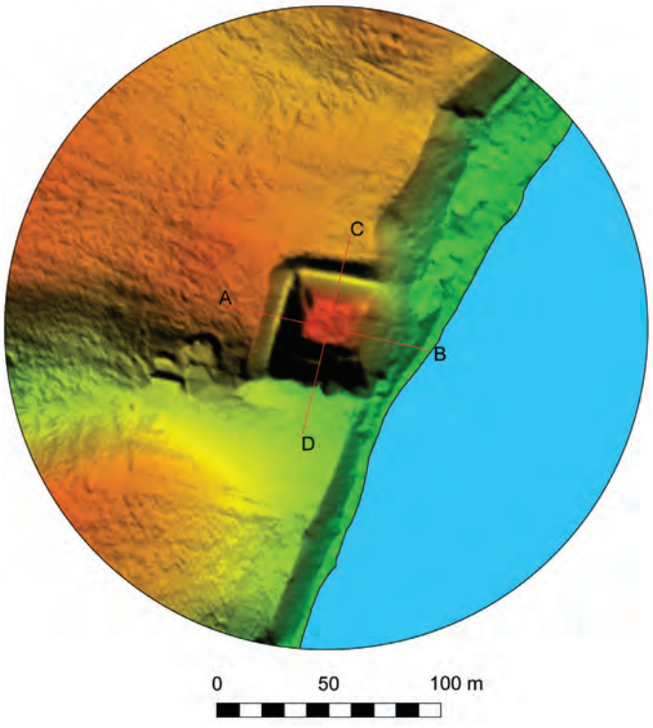

Ryc. 6. Grodzisko w Iławie, st. 33 – Wielka Żuława na zobrazowaniu ALS (na podstawie materiałów CODGiK, oprac. R. Solecki)

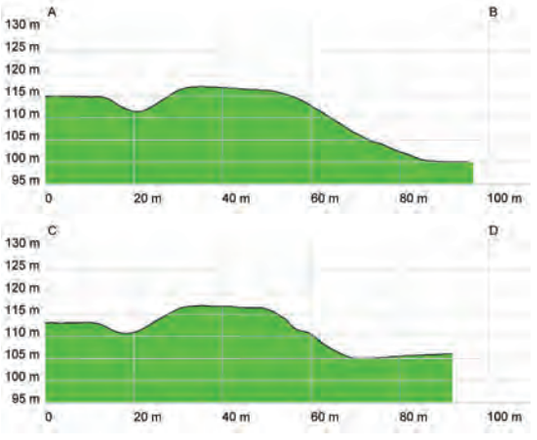

Ryc. 7. Przekroje grodziska w Iławie, st. 33 – Wielka Żuława po dwóch liniach uzyskane z danych ALS (na podstawie materiałów CODGiK, oprac. R. Solecki)

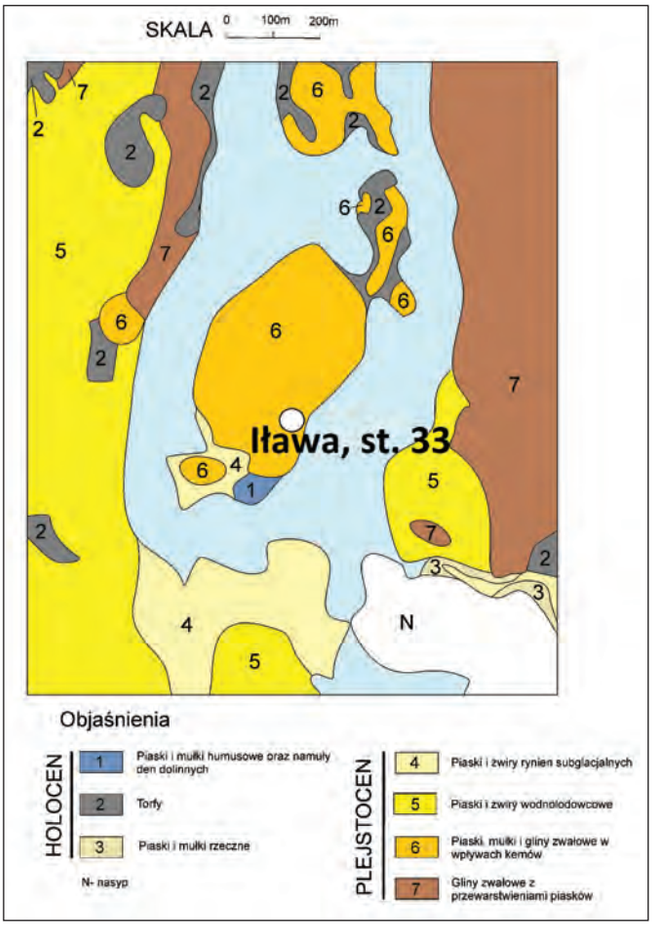

Ryc. 8. Mapa geologiczna okolic grodziska w Iławie, st. 33 – Wielka Żuława (oprac. J. Nitychoruk i F. Welc)

rynnę subglacjalną w trakcie deglacjacji tego obszaru (ryc. 8).

W trakcie badań geologicznych wykonano siedem wierceń. Na ich podstawie sporządzono przekrój geologiczny wzdłuż linii A–B (ryc. 9–10). Najstarszymi osadami na przekroju są: piasek różnoziarnisty ze żwirkiem, barwy brązowej, oznaczony jako warstwa 1. Piasek ten przykrywa warstwa (2) gliny zwałowej, piaszczystej, barwy brązowej, o 4 m miąższości. Nad gliną występuje piasek różnoziarnisty, z domieszką gliny, miejscami z głazikami o średnicy do 3 cm, brązowy (warstwa 3). Osady te pochodzą z okresu stadiału głównego zlodowacenia Wisły i są efektem wytapiania lądolodu. Dzięki ich dużej zwartości i odporności na procesy erozyjno-deluwialne, obiekt zachował się w doskonałym stanie do naszych czasów.

Kolejna warstwa (4) buduje majdan obiektu i składa się z piasku drobnoziarnistego i średnioziarnistego ze żwirkiem i humusem oraz domieszką gliny. W wierceniu W1m osiąga 1,2 m miąższości i jest warstwą kulturową, o czym świadczą przemieszane frakcje osadowe i domieszka humusu. Najmłodsze osady (warstwa 5) wypełniają dno fosy i są to piaski drobnoziarniste z domieszką iłu, szare, z pojedynczym żwirkiem i fragmentami polepy. Występują one do 1,2 m, co pozwala szacować pierwotną głębokość fosy na około 6 m, w stosunku do poziomu majdanu.

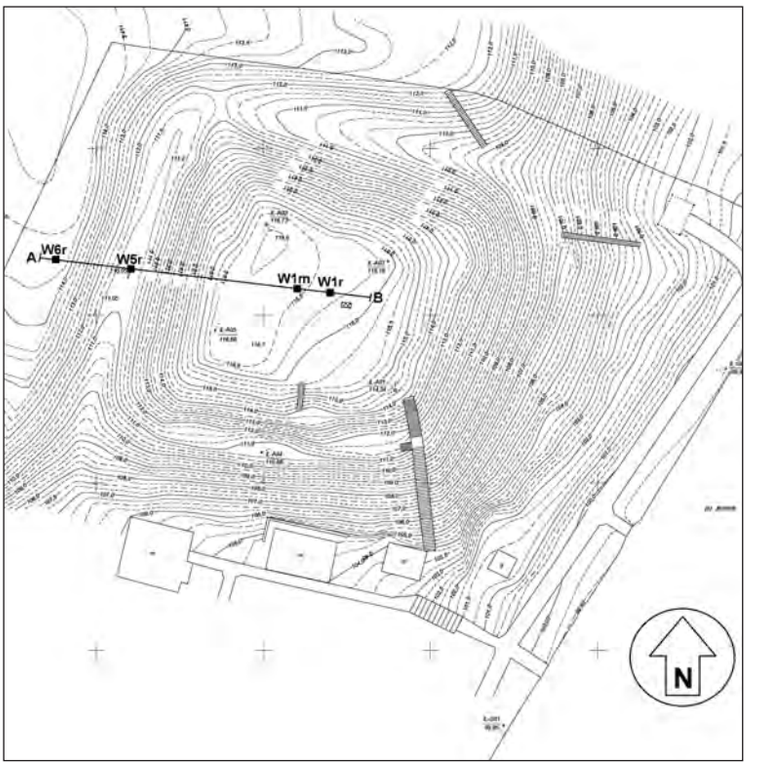

Ryc. 9. Plan warstwicowy grodziska w Iławie, st. 33 – Wielka Żuława (wyk. J. Błaszczyk) z zaznaczonymi miejscami wierceń geologicznych (oprac. J. Nitychoruk i F. Welc)

BADANIA ARCHEOLOGICZNE

MAGDALENA RUTYNA I JACEK WYSOCKI

Przebieg badań terenowych

Grodzisko, w okresie przedwojennym znane pod nazwą *Scholtenberg*[2], wymieniane jest w literaturze polskiej i niemieckiej z końca XIX i początku XX w.[3] Zaznaczone je także na mapie grodzisk opracowanej przez W. Antoniewicza i Z. Wartołowską[4]. Wpisane zostało do rejestru zabytków w roku 1986.

Stożek został prawdopodobnie częściowo zniwelowany i zdeformowany na skutek urządzenia tu w XIX w. cmentarza ewangelickiego, a następnie – w latach 60. XX w. – ośrodka wczasowego. Po cmentarzu ewangelickim pozostały resztki małej architektury cmentarnej w postaci betonowych obudów grobów i betonowych lub kamiennych cokołów ogrodzeń żeliwnych poszczególnych kwater. Cmentarz został zdewastowany i zniszczony w okresie po II wojnie światowej. Następnie na jego pozostałościach usytuowano kilka domków kempingowych, posiadających betonowe fundamenty oraz podłączone instalacje. Domki te zostały w latach 90. XX w. zlikwidowane, a ich pozostałości znajdujące się poniżej poziomu gruntu przynajmniej częściowo usunięte. Wszystkie te działania spowodowały zniszczenia średniowiecznych nawarstwień kulturowych założenia obronnego.

Mając powyższe na uwadze, w czasie pierwszych wykopaliskowych badań grodziska, które miały miejsce w ramach realizacji programu *Katalog grodzisk Warmii i Mazur*, starano się założyć wykopy badawcze w miejscach, które były dostępne ze względu na drzewostan, a jednocześnie wydawały się najmniej zniszczone przez ingerencje z ostatnich 200 lat. Ogółem w trakcie badań w roku 2012 przebadano 105 metrów kwadratowych, z czego 24 m^2 w fosie, a pozostałe na górnym *plateau* stożka grodziska, zakładając sześć wykopów (ryc. 11).

- Wykop 1, o wymiarach 3 x 6 m, założono w północno-zachodniej części *plateau* stożka.
- Wykop 2, o wymiarach 4 x 8 m, założono północno-wschodniej części *plateau*.
- Wykop 3, o wymiarach 2 x 10 m, założono we wschodniej części stożka w taki sposób aby uchwycić krawędź *plateau*.

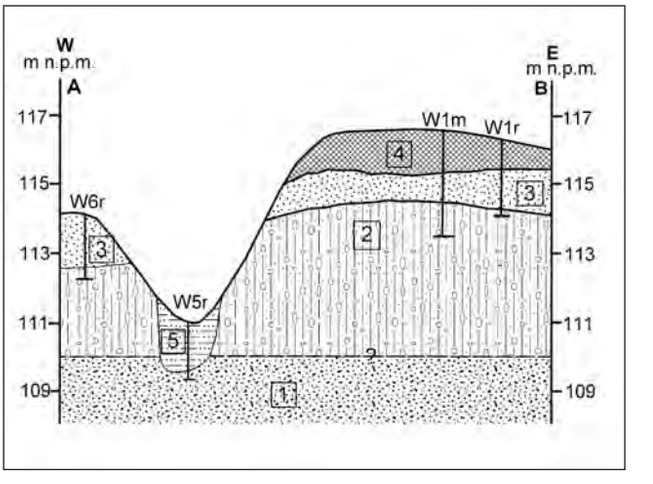

Ryc. 10. Profil geologiczny grodziska w Iławie, st. 33 – Wielka Żuława: 1 – piasek różnoziarnisty ze żwirem, 2 – glina zwałowa, 3 – piasek różnoziarnisty, 4 – warstwa kulturowa, 5 – mułek piaszczysty, wypełnisko fosy (oprac. J. Nitychoruk i F. Welc)

- Wykop 4, o wymiarach 3 x 8 m, założono w północnej części fosy.
- Wykop 5, o wymiarach 2 x 2 m, założono w zachodniej części *plateau*.
- Wykop 6, o powierzchni 7 m^2, założono między wykopami 1 i 5 w celu obserwacji kontynuacji nawarstwień.

[2] Wysocki i Klęczar 2013: 327–335.

[3] G. Ossowski 1881: 9 nr 27; Lissauer 1887: 186; Behla 1888: 193; Łęga 1930: 557; Crome 1937: 213.

[4] Antoniewicz i Wartołowska 1964.

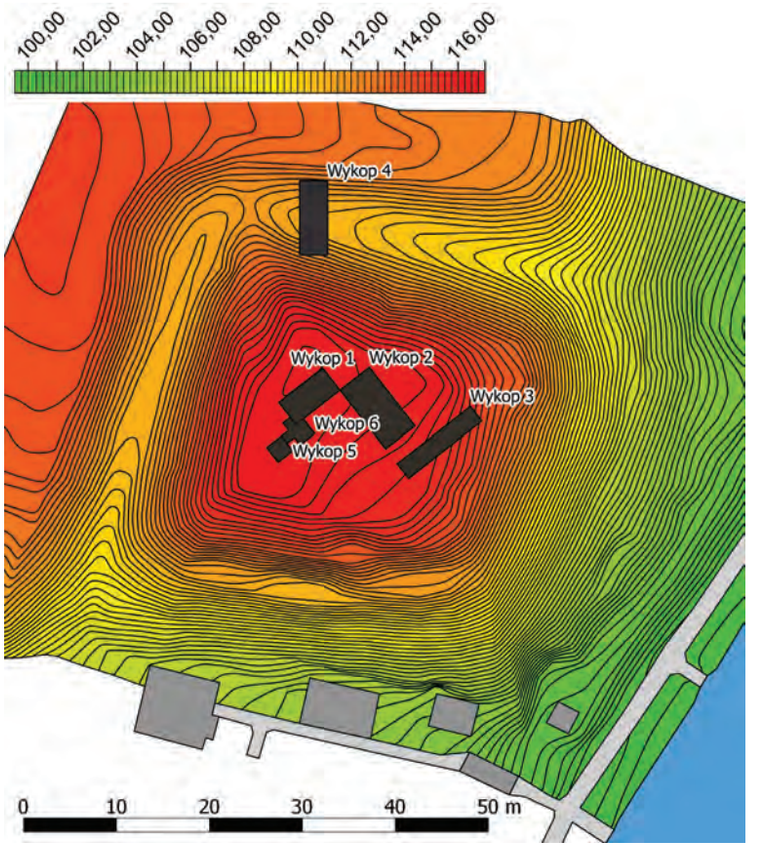

Ryc. 11. Plan warstwicowy grodziska w Iławie, st. 33 – Wielka Żuława z zaznaczonymi wykopami badawczymi z roku 2012 (na podstawie pomiarów J. Błaszczyka, oprac. R. Solecki)

Stratygrafia stanowiska

W trakcie badań archeologicznych przeprowadzonych w 2012 roku wydzielono łącznie 62 jednostki stratygraficzne, które podzielono na pięć głównych faz związanych z użytkowaniem tego obiektu (tab. 1 i ryc. 12–17).

Warstwy naturalne

Zidentyfikowano następujące warstwy naturalne: 56=60=61=59 (W1, W2), 54 (W3) oraz 44 (W4).

Faza I – budowa i funkcjonowanie gródka

Faza IA

Najstarszą fazę związaną z zasiedleniem stanowiska w późnym średniowieczu zaobserwowano tylko w wykopie 3. Horyzont ten wyznaczają w kolejności stratygraficznej następujące warstwy: twarda, tłusta glina 53, sypki piasek z węgielkami drzewnymi 52, gruboziarnisty, sypki piasek 51, sypki piasek z węgielkami drzewnymi 48, drobnoziarnisty, sypki, zbity piasek 50, drobnoziarnisty, zbity piasek 49 oraz gruboziarnisty, sypki piasek 55.

Faza IB

Faza IB to starszy okres funkcjonowania grodziska. W wykopie 2 bezpośrednio na calcu spoczywały następujące struktury:

- bruk kamienny 10, składający się z luźno spasowanych około 400 kamieni o średnicy od około 5 cm do około 30 cm,
- skupisko kamieni 24, liczące około 80 kamieni o średnicy od około 5 cm do około 30 cm,
- skupisko kamieni 34, zawierające około 20 kamieni o średnicy od około 5 cm do około 30 cm,
- skupisko kamieni 36, składające się z około 20 kamieni o średnicy od około 5 cm do około 20 cm.

Opisane kamienie przykrywał poziom użytkowy 12.

Odkryte w wykopie 3 warstwy piasku 15 i 15a prawdopodobnie świadczą o istnieniu w tym miejscu nasypu. Powyżej nasypu na stropie niejednorodnego piasku 27 zarejestrowano kontynuację bruku 10. Zadokumentowano łącznie około 300 kamieni o średnicy od około 5 cm do około 30 cm. Nad kamieniami 10 zalegał sypki, lekko zgliniony piasek 21.

Faza IC

Najmłodsza podfaza związana jest z budową obiektów mieszkalnych oraz ich użytkowaniem. W wykopach 1 i 6 zaobserwowano pozostałości bruków – posadzek naziemnych budynków mieszkalnych lub gospodarczych, wzniesionych z drewna lub w konstrukcji szachulcowej. Na drewno zdaje się wskazywać mała ilość gliny i polepy w warstwach stanowiska. Bruk 9, w wykopie 1, spoczywał w sypkim, jednorodnym piasku 31=40. Składał się z około 300 kamieni, o średnicy od około 5 do około 30 cm. W centralnej części wykopu 1 odkryto pozostałości spalonej belki podwalinowej 62, ograniczającej bruk 9. Bruk 57, w wykopie 6, zalegał na sypkim, jednorodnym piasku 31=40. Składał się on z około 60 kamieni o średnicy od około 5 cm do około 30 cm. Z jednej strony ograniczony był belką podwalinową 58.

W wykopie 1, oprócz reliktu posadzki, zadokumentowano również poziom użytkowy reprezentowany przez jednorodny piasek 6=14 oraz przepalony piasek 30=37.

Faza II – zniszczenie gródka

Późnośredniowieczną lub nowożytną fazę zniszczenia gródka wyznaczają odkryte w wykopie 1 kamienie 17. Znaleziska ruchome wskazują na nagły i niespodziewany sposób zniszczenia obiektu (pożar), w wyniku którego porzucone zostały cenne przedmioty (ostroga, okucia księgi).

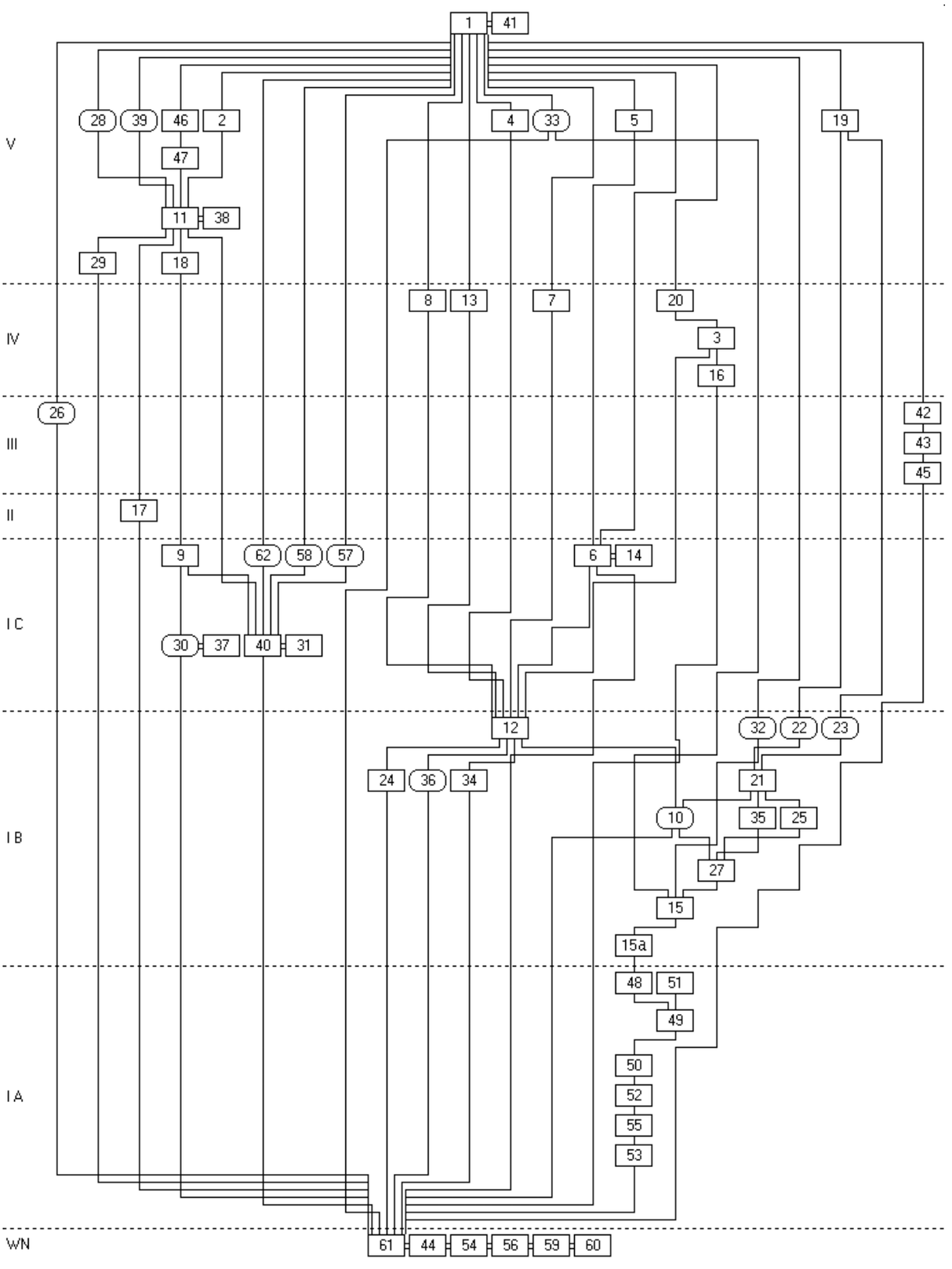

Ryc. 12. Iława, st. 33 – Wielka Żuława. Diagram relacji stratygraficznych (oprac. M. Rutyna)

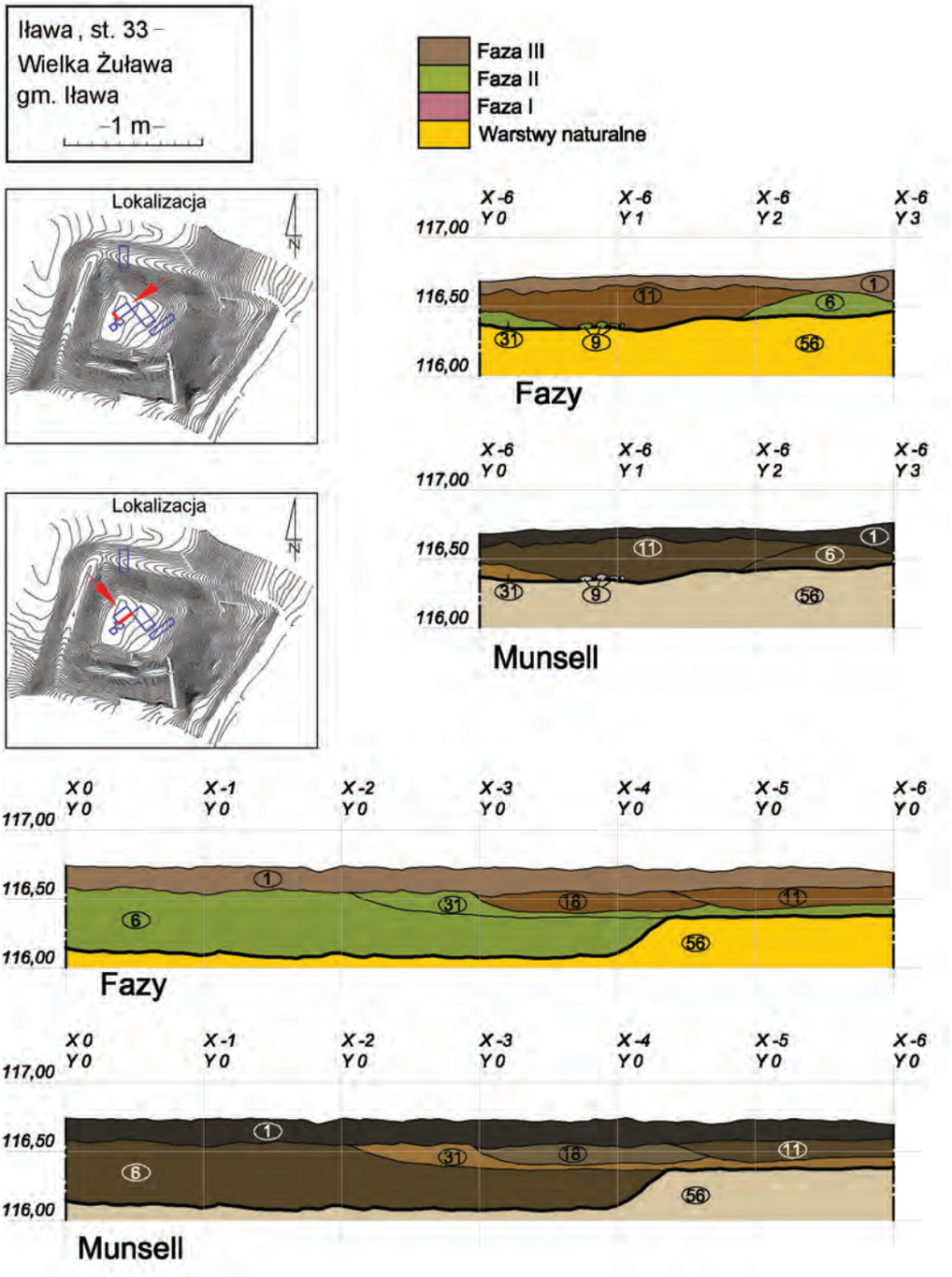

Ryc. 13. Iława, st. 33 – Wielka Żuława. Stratygrafia widoczna w ścianach wykopu 1 (oprac. M. Rutyna, R. Solecki i J. Wysocki)

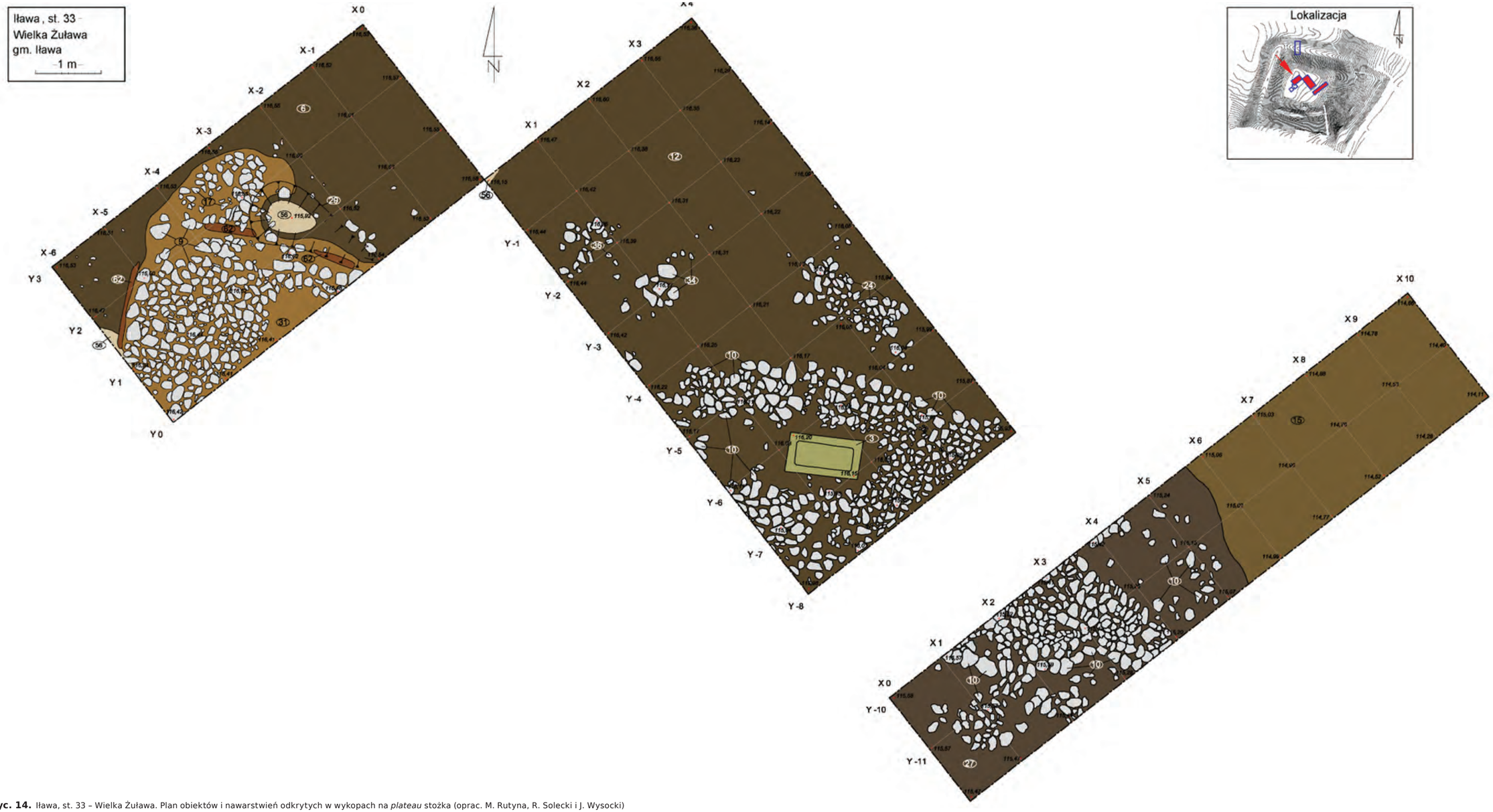

Ryc. 14. Iława, st. 33 – Wielka Żuława. Plan obiektów i nawarstwień odkrytych w wykopach na *plateau* stożka (oprac. M. Rutyna, R. Solecki i J. Wysocki)

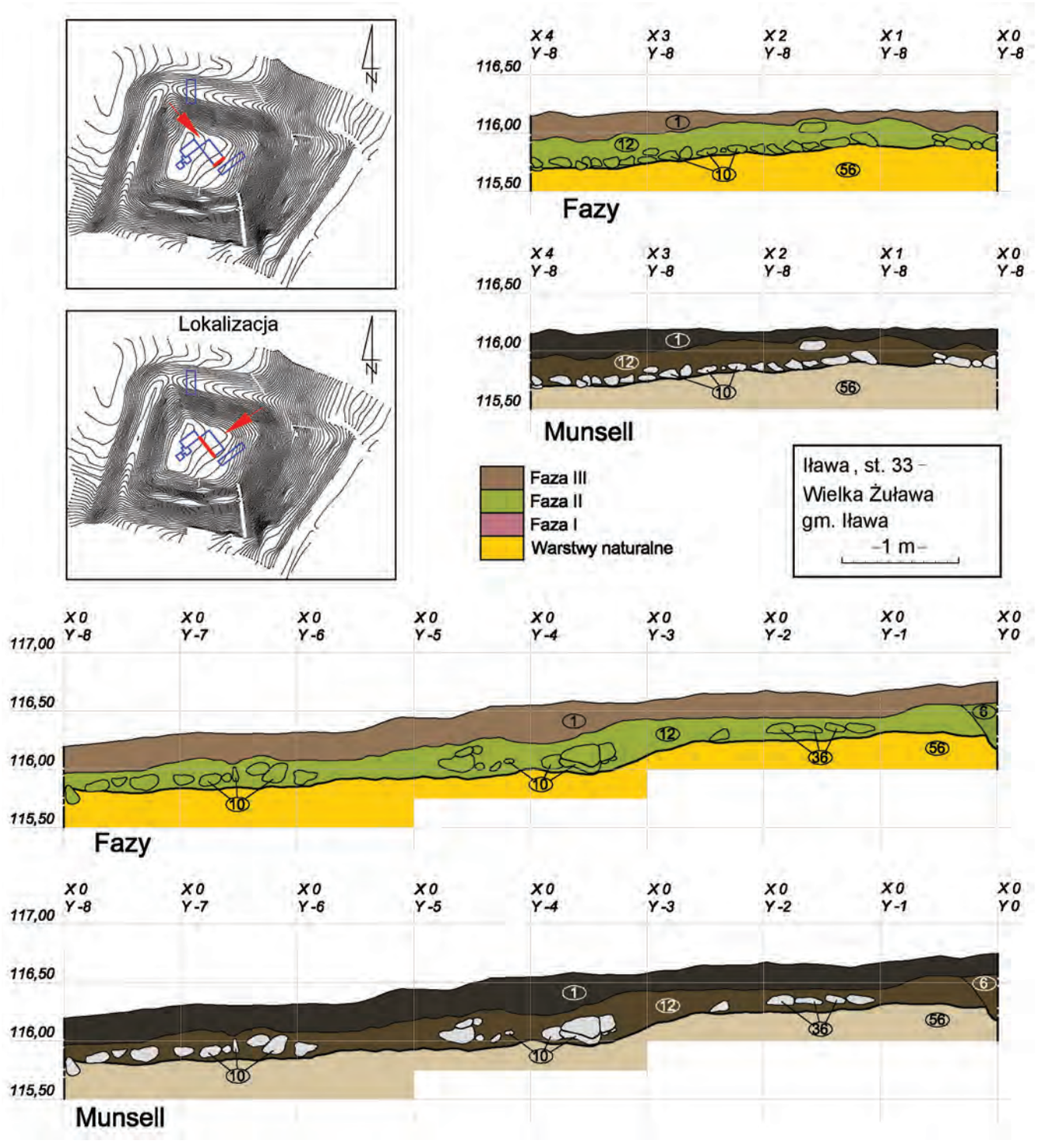

Ryc. 15. Iława, st. 33 – Wielka Żuława. Stratygrafia widoczna w ścianach wykopu 2 (oprac. M. Rutyna, R. Solecki i J. Wysocki)

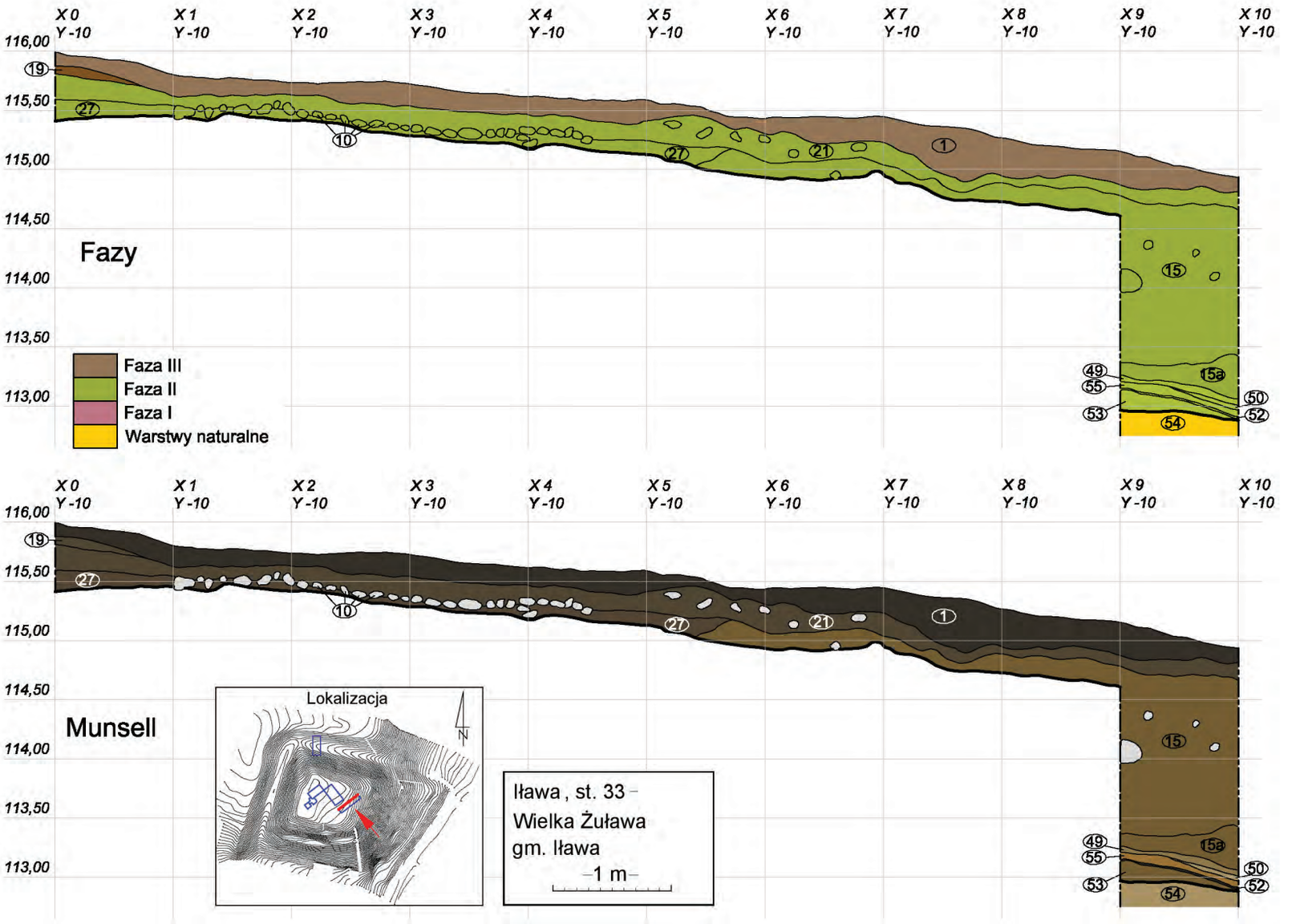

Ryc. 16. Iława, st. 33 – Wielka Żuława. Stratygrafia widoczna w ścianach wykopu 3 (oprac. M. Rutyna, R. Solecki i J. Wysocki)

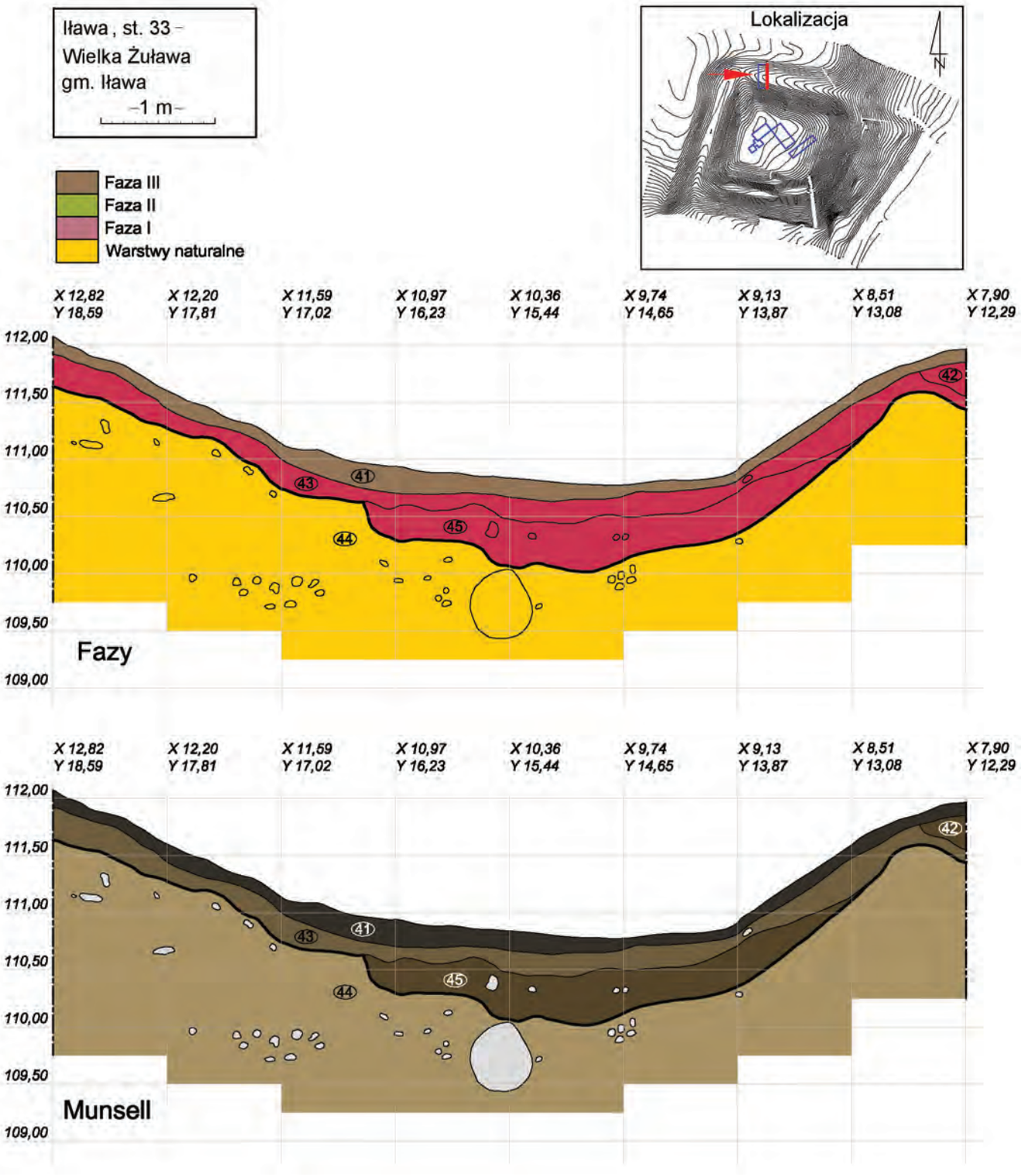

Ryc. 17. Iława, st. 33 – Wielka Żuława. Stratygrafia widoczna w ścianach wykopu 4 (oprac. M. Rutyna, R. Solecki i J. Wysocki)

Tabela 1. Iława, st. 33 – Wielka Żuława. Badania w roku 2012. Katalog warstw i obiektów oraz ich zależności stratygraficznych (oprac. M. Rutyna)

Numer jednostki	Numer obiektu	Numer wykopu	Położenie w obrębie stanowiska	Współrzędne siatki pomiarowej stanowiska	Opis jednostki stratygraficznej	Barwa (Munsell)	Pozycja stratygraficzna	
							Znajduje się pod	Znajduje się nad
1=41	-	1, 2, 3, 4, 5, 6	*Plateau* stożka, fosa	X=-5,53–10,45; Y=-12–22,44	Ziemisty piasek z dużą ilością szczątków organicznych; miąższość do 20 cm; humus	2,5Y 3/1; 2,5Y 2,5/1		6=14, 11=38, 12, 2, 19, 42, 43
2	-	1	*Plateau* stożka	X=-4,44–6,00; Y= 0–1,33	Ziemisty piasek ze spalenizną i węgielkami drzewnymi; miąższość do 15 cm; humus	2,5Y 2,5/1	1	11, 18
3	3	2	*Plateau* stożka	X= 0,88–2,10; Y= -7,08–5,90	Murowany grób z przełomu najpewniej XIX i XX w.; kształt prostokątny, wym. 63 x 107 cm, grubość ścian ok. 12 cm; na stropie wypełniska jamy grobowej widoczne fragmenty płyty nagrobej	-	20	16, 12
4	-	2	*Plateau* stożka	X= 0,40–0,95; Y=-0,82–1,31	Współczesny wkop śmietniskowy; ziemia sypka, piaszczysta, mało zbita, przemieszana z współczesnymi odpadkami	2,5Y 3/1, 2,5Y 5/3	1	6
5	-	2	*Plateau* stożka	X= 1,61–2,05; Y=-0,70–1,10	Współczesny wkop śmietniskowy, owalna plama ziemi z widocznymi wystającymi śmieciami; ziemia sypka, mało zbita, przemieszana	2,5Y 3/1	1	6
6=14	-	1, 2	*Plateau* stożka	X=0–5; Y=-8–3	Sypki, jednorodny piasek; miąższość do 50 cm; poziom użytkowy	2,5Y 3/3	1, 5, 4	12
7	-	2	*Plateau* stożka	X= 1,64; Y=-4,14	Fundament kamienny ogrodzenia grobowca	-	1	12
8	-	2	*Plateau* stożka	X= 1,28; Y=-3,84	Fundament kamienny ogrodzenia grobowca	-	1	12
9	-	1	*Plateau* stożka	X= -2,31–6,00; Y= 0–2,16	Bruk kamienny (300 kamieni, o śr. do ok. 30 cm), ciasno spasowany; prawdopodobnie kamienna posadzka	-	11=38	31=40
10	10	2, 3	*Plateau* stożka	X= 0–4,92 (W2); 0,15–4 (W3); Y=-4,14–8 (W2); -10–12 (W3)	Bruk kamienny (ok. 400 kamieni o śr. do ok. 30 cm), luźno spasowany, o nierównej, nieregularnej powierzchni	-	21, 12	27, 61
11=38	-	1, 5, 6	*Plateau* stożka	X= -10–2,98; Y= -2–2,16	Sypki, niejednorodny piasek; miąższość do 15 cm; XX-wieczny poziom użytkowy	2,5Y 3/3	2, 1	9
12	-	2	*Plateau* stożka	X=0–4; Y=-8–0	Sypki, niejednorodny piasek; miąższość do 40 cm; poziom użytkowy	2,5Y 3/3	1	10, 56=61
13	-	2	*Plateau* stożka	X= 1; Y= 3,18	Kamienny fundament ogrodzenia grobowca	-	1	12
15	-	3	*Plateau* stożka	X= 8,2–10; Y= -10–12	Sypki, jednorodny piasek; miąższość do 130 cm; nasyp	2,5Y 4/4	27, 32	15a
15a	-	3	*Plateau* stożka	X= 9–10; Y= -10–12	Lekko gliniasty, niejednorodny piasek; miąższość do 30 cm; nasyp	2,5Y 4/4	15	49, 48
16	-	2	*Plateau* stożka	X= 0,96–2,54; Y= -5,72–7,29	Sypki, niejednorodny piasek; XIX-wieczny poziom użytkowy	2,5Y 4/3	3	12
17	-	1	*Plateau* stożka	X= -2,5–4,06; Y= 1,64–2,80	Skupisko kamieni (ok. 70 kamieni, o śr. do 20 cm); nowożytny lub późnośredniowieczny poziom zniszczenia gródka	-	1	31
18	-	1	*Plateau* stożka	X= -2,96–4,56; Y= 0–0,58	Sypki, jednorodny piasek; miąższość do 15 cm; XX-wieczny poziom użytkowy	2,5Y 4/3	2	31
19	-	3	*Plateau* stożka	X= 0–3,2; Y= -10–12	Lekko gliniasty, niejednorodny piasek; miąższość do 10 cm; XX-wieczny poziom użytkowy	2,5Y 3/2	1	21
20	-	2	*Plateau* stożka	X= 1,07–1,90; Y= -6,08–6,92	Wypełnisko murowanego grobowca 3	10YR 4/3	1	3
21	-	3	*Plateau* stożka	X=0–10; Y=-10–12	Lekko gliniasty, niejednorodny piasek; miąższość do 20 cm; poziom użytkowy	2,5Y 3/2	1	27, 15
22	22	3	*Plateau* stożka	X= 2,65–3,40; Y= -10–10,44	Skupisko ok. 10 kamieni o śr. do 20 cm	-	1	21
23	23	3	*Plateau* stożka	X= 7,25–8,46; Y= -10–10,28	Skupisko ok. 15 kamieni o śr. do 20 cm	-	1	21
24	-	2	*Plateau* stożka	X= 2,57–3,88; Y= -3,94–6,28	Skupisko luźnych kamieni (ok. 80 kamieni, o śr. do 30 cm), przy północno-wschodniej krawędzi wykopu	-	1	6
25	-	3	*Plateau* stożka	X= 6,32; Y= -8,15	Miejsce znalezienia grotu, fragmentu zaprawy oraz cegły	-	21	15
26		2	*Plateau* stożka	X= 0,62–1,4; Y= -7,18–7,95	Lekko zgliniony, niejednorodny piasek; miąższość do 15 cm; warstwa powstała w wyniku naturalnego narastania gleby	2,5Y 3/2	1	61

Tabela 1. Ciąg dalszy

Numer jednostki	Numer obiektu	Numer wykopu	Położenie w obrębie stanowiska	Współrzędne siatki pomiarowej stanowiska	Opis jednostki stratygraficznej	Barwa (Munsell)	Pozycja stratygraficzna	
							Znajduje się pod	Znajduje się nad
27	-	3	*Plateau* stożka	X= 0,15–4; Y= -10–12	Sypki, niejednorodny piasek; miąższość do 20 cm; poziom użytkowy	10YR 3/2	21, 10	15
28	29	1	*Plateau* stożka	X= -2–3; Y= 0–1,6	Lekko gliniasty, niejednorodny piasek; miąższość do 50 cm; XX-wieczny poziom użytkowy; wypełnisko jamy 29	10YR 3/2	1	29
29	29	1	*Plateau* stożka	X= -2; Y = 0	Jama śmietniskowa	2,5Y 4/3	28	31=40
30=37		1	*Plateau* stożka	X= -3,98–4,60; Y= 0,22–0,88	Sypki, lekko gliniasty, niejednorodny piasek; miąższość do 10 cm; poziom użytkowy	10YR 2/2	31=40	6=14
31=40	-	1, 6	*Plateau* stożka	X= -10–8; Y= -2–2,16	Sypki, jednorodny piasek; miąższość do 15 cm; poziom użytkowy	10YR 2/2 do 10YR 5/6	29, 17, 9, 11=38	30=37, 60, 6=14
32		3	*Plateau* stożka	X= 7,38–9,26; Y= -10,82–12	Skupisko ok. 30 kamieni o śr. do 20 cm	-	21	15
33	33	2, 3	*Plateau* stożka	X=0–5; Y=-8–10	Wkop pod mur cmentarny		1	61
34	-	2	*Plateau* stożka	X= 0,41–1,8; Y= -2,62–3,26	Skupisko ok. 20 kamieni o śr. do 30 cm	2,5Y 5/3	1	12
35	-	3	*Plateau* stożka	X=8,20–8,40; Y=-10,55–10,70	Nora zwierzęca	10YR 3/2	21	15
36	36	2	*Plateau* stożka	X= 0–1,18; Y= -1,28–2,46	Skupisko ok. 20 kamieni o śr. do 20 cm	2,5Y 5/3	1	12
39		5	*Plateau* stożka	X= -8,06–8,80; Y= -0,02–1,27	Skupisko ok. 20 kamieni o śr. do 20 cm	-	1	38
42	-	4	Fosa	X=5,53–10,45; Y=12,29–20,44	Warstwa zglinionego, przemieszanego z humusem piasku; miąższość do 15 cm; warstwa erozyjna	2,5Y 3/3	41=1	43
43	-	4	Fosa	X=5,53–10,45; Y=12,29–20,44	Sypki, niejednorodny piasek; miąższość do 20 cm; warstwa erozyjna	2,5Y 4/3	42	45
44=54=56=59=60=61	-	1, 2, 3 i 4	*Plateau* stożka, fosa	X=0–10,45; Y=-8–20,44	Niejednorodny piasek sypki i zgliniony; calec	2,5Y 4/3; 2,5Y 6/4; 2,5Y 8/3; 5YR 4/6; 5YR 5/8; 5YR 8/1; 10YR 5/8	10, 12, 14, 26, 31, 45	
45	-	4	Fosa	X=5,53–10,45; Y=12,29–20,44	Niejednorodny, lekko zgliniony piasek; miąższość do 45 cm; warstwa erozyjna	2,5Y 3/3	43	44
46	-	5	*Plateau* stożka	X= -9–10; Y= 0–1,12	Warstwa przegniłej, drewnianej podłogi domku letniskowego z lat 60. XX w.	7,5YR 4/6	1	47
47	-	5	*Plateau* stożka	X= -9–10; Y= 0–1,18	Wylewka betonowa pod drewnianą podłogą (46)	2,5Y 8/2	46	38
48	-	3 (sondaż)	*Plateau* stożka	X= 9–10; Y= -10,2–12	Sypki, niejednorodny piasek z węgielkami drzewnymi; miąższość do 5 cm; poziom użytkowy	2,5Y 2,5/1	15a	49
49	-	3 (sondaż)	*Plateau* stożka	X= 9–10; Y= -10–12	Drobnoziarnisty, jednorodny, sypki piasek; miąższość do 15 cm; poziom użytkowy	2,5Y 5/4	15a, 48	50
50	-	3 (sondaż)	*Plateau* stożka	X= 9–9,32; Y= -10,93–12	Drobnoziarnisty, jednorodny piasek; miąższość do 10 cm; poziom użytkowy	2,5Y 6/4	49	55, 51
51	-	3 (sondaż)	*Plateau* stożka	X= 9–9,32; Y= -10–12	Gruboziarnisty, jednorodny, sypki piasek; miąższość do 15 cm; poziom użytkowy	2,5Y 6/6	50	52, 55
52	-	3 (sondaż)	*Plateau* stożka	X= 9–10; Y= -10–12	Niejednorodny piasek z węgielkami drzewnymi; miąższość do 5 cm; poziom użytkowy	2,5Y 2,5/1	55, 51	53
53	-	3 (sondaż)	*Plateau* stożka	X= 9–10; Y= -10–12	Jednorodna glina; miąższość do 15 cm; poziom użytkowy	2,5Y 4/4	52	54
55	-	3 (sondaż)	*Plateau* stożka	X= 9; Y= -10–12	Gruboziarnisty, jednorodny, sypki piasek; miąższość do 10 cm; poziom użytkowy	10YR 5/6	50	52
57	57	6	*Plateau* stożka	X=-6–8; Y=0–3	Bruk kamienny (ok. 60 kamieni o śr. do 30 cm)		1	40
58	58	6	*Plateau* stożka	X=-6–8; Y=0–3	Pozostałość belki podwalinowej ograniczającej bruk kamienny 57		38	40
62		1	*Plateau* stożka	X=-3–4; Y=1–2	Relikt belki podwalinowej ograniczającej bruk kamienny 9		1	31=40

Faza III – przerwa w użytkowaniu

Po opuszczeniu gródka, na jego *plateau*, w wyniku naturalnego narastania gleby powstała warstwa tłustego, zglinionego piasku 26, zidentyfikowana w wykopie 2.

W nawarstwieniach fosy (W4) nie zaobserwowano klasycznego namuliska powstającego w trakcie długotrwałego użytkowania obiektu. Zaobserwowano natomiast warstwy o charakterze osuwiskowym powstałe prawdopodobnie na skutek destrukcji obiektu średniowiecznego (osuwiska kamieni). Horyzont ten wyznaczają następujące warstwy: tłusta glina 45, niejednorodny piasek 43 oraz zgliniony, lekko ziemisty piasek 42.

Faza IV – cmentarz z XIX w.

W XIX w. na terenie późnośredniowiecznego gródka założono cmentarz ewangelicki. Stożek zapewne został wówczas zniwelowany. W wykopie 2 odkryto jamy grobowe (3, 8, 20, 16) oraz rowy pod ogrodzenia kwater grobowych (7, 13).

Faza V – ośrodek wczasowy (XX w.) i humus współczesny

W wieku XX na terenie gródka powstał ośrodek wczasowy. Struktury późnośredniowieczne zostały zniszczone przez wkopy pod fundamenty domków (18, 11=38, 2, 46, 47), wkopy pod kable i inne instalacje (28) oraz wkopy śmietnikowe (29, 5, 4, 19). Domki kempingowe w latach 90. zostały zlikwidowane. Poziom humusu współczesnego wyznacza sypki, lekko ziemisty piasek 1=41 (W1–W6).

ZNALEZISKA

URSZULA KOBYLIŃSKA

Ceramika

Ogólna charakterystyka zespołu ceramiki

W trakcie badań wykopaliskowych na terenie grodziska w Iławie, st. 33 (wyspa Wielka Żuława) w 2012 roku pozyskano łącznie 581 fragmentów ceramiki. Pod względem chronologicznym w zbiorze tym znalazły się dwa fragmenty z wczesnej epoki żelaza i 579 fragmentów późnośredniowiecznych (tab. 2). W zbiorze ceramiki późnośredniowiecznej 91 fragmentów można określić jako reprezentujące tzw. ceramikę tradycyjną, barwy brązowej, o technologicznych cechach naczyń wczesnośredniowiecznych, a 488 fragmentów reprezentuje technologię typowo późnośredniowieczną. Najliczniejszy zbiór ceramiki wykonanej w technologii typowo późnośredniowiecznej obejmuje głównie ceramikę „siwą" (409 fragmentów, czyli ponad 70% całego zbioru).

Ceramika z wczesnej epoki żelaza

W materiale ceramicznym z grodziska na Wielkiej Żuławie znaleziono jedynie dwa fragmenty brzuśców, których chronologię można ustalić na wczesną epokę żelaza. Są to niewielkiej wielkości ułamki (2,5 i 4 cm) o powierzchni wewnętrznej gładkiej i wypolerowanej, pochodzące prawdopodobnie z tzw. naczyń stołowych, barwy jasnoczerwonawo-brązowej (2,5YR 6/4). Jeden fragment (z jednostki stratygraficznej 14) pochodził z cienkościennego, a drugi (z jednostki stratygraficznej 58) – z grubościennego naczynia z wyłożeniem wnętrza czarną, tłustą glinką.

Ceramika średniowieczna brązowa – tzw. tradycyjna

Na terenie grodziska znaleziono 91 fragmentów ceramiki średniowiecznej wykonanej w technologii typowej jeszcze dla okresu wczesnego średniowiecza, ale pod względem form analogiczna do późnośredniowiecznych naczyń „siwych" i współwystępująca z nimi, stąd też określana jest mianem „tradycyjnej".

Ceramika ta charakteryzuje się niejednolitą brązowo-ceglasto-brunatną barwą (5YR 5/4, 5/6), lekkim zagładzaniem powierzchni, głównie w górnych jej odcinkach, tworząc równe, lekko szorstkie ścianki. Naczynia były całkowicie, średnio silnie, obtaczane. Wykonane są z masy ceramicznej zawierającej głównie piasek o zróżnicowanej granulacji i dużą ilość miki. Niekiedy jest to bardzo miękka glina, łatwo ulegająca zniszczeniu i wypłukaniu. Przełamy są niejednorodne: trój-, dwu- lub jednobarwne. Na szyjkach i brzuścach widoczny jest ornament, przeważnie w postaci pojedynczej linii falistej lub płytkiej wielokrotnej oraz poziomych żłobień wykonanych rylcem o zaostrzonej końcówce (tabl. 1:1, 7, 12–13, 15). Widoczna jest także tendencja do pokrywania dużej części naczynia szerokimi żłobieniami, przeważnie też głębokimi, niezależnie od ich szerokości (tabl. 3:4), czasem są to górą szerokie bruzdy wraz z wielokrotną linią falistą (tabl. 5:3). Powierzchnie wygładzane były przeważnie przed wykonaniem ornamentu, a wysokie i odstające brzegi żłobień nie były zacierane. Odkryte fragmenty naczyń wykazują ślady okopcenia powierzchni, a na wylewie występują często spływające szare smugi wzdłuż ścianki. Niekiedy zaobserwować można grubą warstwę czarnej spalenizny.

Tabela 2. Zestawienie ilościowe fragmentów ceramiki z grodziska w Iławie, st. 33 – Wielka Żuława (oprac. U. Kobylińska)

Faza	Jednostka stratygraficzna	Liczba fragmentów łącznie	Liczba różnych naczyń	Wylewy			Szyjki	Brzuśce									Ucha	Pokrywki	Części przydenne	Dna							Ceramika „siwa”	Ceramika z polewą	Fragmenty przepalone	Fragmenty o wypłukanej powierzchni	Chronologia		
									Rodzaj powierzchni				Ornament									Rodzaj		Cechy den									
				Liczba fragmentów	SEN (procent obwodu)	Ornamentowane		Liczba fr. ogółem	Gładkie	Wyświecane	Szorstkie	Nieokreślone	Żłobki dookolne	Linia falista	Ornament plastyczny	Odciski				Liczba fragmentów	SEN (procent obwodu)	Lekko wklęsłe	Płaskie	Na podsypce	Wałek dookolny	Odcinanie					Wczesna epoka żelaza	Ceramika późnośredniowieczna „tradycyjna”	Ceramika późnośredniowieczna „siwa”, ceglasta i polewana
I A	49	9						9			9		3														7			2		2	7
I B	12	2						2	1			1															2						2
I B	15	21	1	1	3		1	17	2	1	12	1	5	3	1				2								7	1		3		11	10
I B	21	18	3	3	18		1	12	1		11		5						1	1			1	1			15					3	15
I C	58	10					1	7	2		4		5		1	1			2								6			1	1	3	6
I C	30=37	17	3	3	24		1	11			11		1						1	1	?					1	12					3	14
I C	31=40	157	14	19	103		7	105	41	8	45	4	37	1	3		3	1	18	4	8	1	3	3	1		120		1	6		22	135
I C	6=14	160	21	22	116	2	5	117	5	4	106	1	39	1		2		1	7	11	84	4	3	8	2	3	99	3		1	1	37	122
IV	13	1						1																				1					1
V	1=41	111	11	13	89	2	7	73	5	4	55		31	2		2	1		11	6	55		6	5		1	82	10		2		6	105
V	2	13	1	1	5		1	8	1	2	4	1	1	1					1	2	38	1	1	1	1		9	1				2	11
V	11=38	32	4	4	20		1	20	1	2	17		9	1		2			5	2	20	1		2			28	1	1				32
V	18	17	1	1	6		2	12	1	1	10		5		1		1		1								15	1					17
V	28	9					1	7	5			2			1				1								7			2		2	7
V	33	4						4			4																						4
Suma		**581**	**59**	**67**	**384**	**4**	**28**	**405**	**65**	**22**	**288**	**10**	**141**	**9**	**7**	**7**	**5**	**2**	**50**	**27**	**205**	**7**	**14**	**20**	**4**	**5**	**409**	**18**	**2**	**17**	**2**	**91**	**488**

Tabela 3. Fragmentacja i erozja fragmentów ceramiki z grodziska w Iławie, st. 33 – Wielka Żuława (oprac. U. Kobylińska)

Jedn.	Kategorie wielkościowe [cm]										Stopień erozji				Suma
strat.	1	2	3	4	5	6	7	8	9	10	0	I	II	III	
1=41		4	31	36	17	12	4	4	2	1	9	82	20		**111**
2			4	3	5			1				11	2		**13**
6=14		10	48	52	30	17	2		1		2	144	14		**160**
11=38		2	11	11	4	1	1	2				28	4		**32**
12				2									1	1	**2**
13				1							1				**1**
15		1	10	4	6						1	6	12	2	**21**
18		1	7	6	2	1					1	16			**17**
21		5	5	3	3	1		1				12	6		**18**
28			5	1	2			1				5	1	3	**9**
30=37		2	9	1	3			2				16	1		**17**
31=40		16	51	47	16	12	9	2	4			139	10	8	**157**
33		1			2			1					4		**4**
49	1	4	3	1							6	1		2	**9**
58		1	3	4	2							5	4	1	**10**
Suma	**1**	**47**	**187**	**172**	**92**	**44**	**16**	**14**	**7**	**1**	**20**	**465**	**79**	**17**	**581**

Zbiór tej ceramiki z grodziska na Wielkiej Żuławie obejmuje głównie brzuśce, niekiedy ornamentowane żłobieniami poziomymi wraz z rytą linią falistą oraz 10 fragmentów górnych części naczyń z zachowanym wylewem.

Na podstawie podobnych charakterystycznych cech górnych fragmentów naczyń, takich jak średnica wylewu naczynia, stopień wychylenia, profilowanie czy szerokość wylewu, obecność wgłębienia na pokrywę i jego wielkość, wydzielone zostały następujące grupy naczyń:

1. Wychylenie górnej części naczynia jest łagodne, łukowate; brzeg wąski, ścięty ukośnie lub profilowany, zarówno od góry jak i z zewnątrz; Wysokość profilowanego wylewu z zewnątrz wynosi od 1 do 2 cm; średnice wylewów naczyń wynoszą od ok. 14 do 17 cm; są to niewielkich rozmiarów cienkościenne garnki barwy brązowo-ceglastej (tabl. 1:1; 2:17; 4:17). Takie ukształtowanie wylewów jest podobne do form naczyń „siwych" zaliczonych do grupy 2 typowej ceramiki późnośredniowiecznej;

2. Naczynia o mocnym wychyleniu wylewu z głębokim profilowaniem z każdej strony, także od wewnątrz na pokrywę; cienkościenne naczynia o średnicy wylewu wynoszącej 18–20 cm (tabl. 2:7, 15; 4:12);

3. Naczynia o łukowato wygiętej, wyraźnie uformowanej szyjce i wychylonym wylewie z łagodnym przegłębieniem na pokrywę, zaokrąglonymi krawędziami, esowate i baniaste; średnica wylewu wynosi ok. 16 cm; są to średniej wielkości obtaczane garnki barwy ceglasto-brązowej z zaznaczającym się silnym okopceniem powierzchni (tabl. 3:4); analogiczne formy na Mazowszu datowane są na XII/XIII w.[5]

4. Naczynia o mocno kolankowato wychylonym wylewie, prostej szyjce i profilowanym od zewnątrz brzegiem, o średnicy wylewu wynoszącej ok. 16 cm (tabl. 4:21); analogią do tej formy mogą być naczynia z Jedwabna, st. 1, gm. Lubicz, pow. toruński i Mędrzyc, st. 1, gm. Świecie nad Osą, pow. grudziądzki, datowane na 2. połowę XII – XII/XIII w.[6]

Nieliczne zachowane fragmenty z wylewem wskazują, że naczynia tej grupy technologicznej to w zespole zabytkowym z grodziska na Wielkiej Żuławie głównie garnki do gotowania średniej wielkości, zaopatrzone w pokrywy. Można sądzić, że były to naczynia wykonane przez miejscowych garncarzy w tradycyjny sposób, wypalane w atmosferze utleniającej i według wcześniej znanych im wzorców. Takiego rodzaju ceramika sporadycznie występuje na innych stanowiskach osadniczych w sąsiednich regionach o intensywniejszym zasiedleniu, np. na Pomorzu, Ziemi Chełmińskiej czy Mazowszu[7]. W świetle występowania tego rodzaju ceramiki razem z ceramiką „siwą" matową, można datować ją na XIII w.

Ceramika wykonana w technologii późnośredniowiecznej

Na terenie grodziska znaleziono 488 fragmentów typowej pod względem technologicznym ceramiki późnośredniowiecznej, w tym 18 fragmentów z polewą. Zastosowano tu głównie szkliwienie barwy brązowej, które pokrywało naczynia o ceglastej masie ceramicznej. Odkryto także 409 fragmentów ceramiki tzw. „siwej", o powierzchni matowej, w tym 67 fragmentów z wylewem (stanowiących odpowiednik

[5] Affelski i Dłubakowski 2011: ryc. 7:1, s. 494.

[6] Poliński 1996: ryc. 51:p; 52:o.

[7] Affelski i Dłubakowski 2011: ryc. 7:1–2, 4.

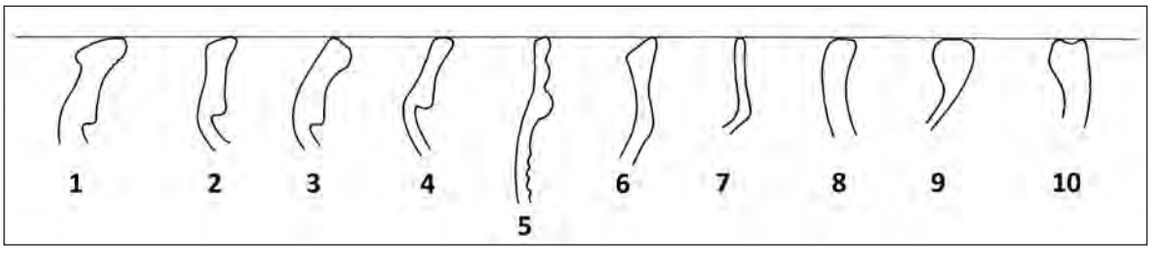

Ryc. 18. Iława, st. 33 – Wielka Żuława. Typy ukształtowania wylewów naczyń „siwych" (rys. D. Wach)

384% SEN), 405 fragmentów brzuśców, z których 164 było ozdabianych oraz 27 części den (stanowiących łącznie odpowiednik 205% SEN), głównie płaskich i kilka lekko wklęsłych, przeważnie na podsypce.

Ceramika z tego okresu jest silnie obtaczana, zarówno barwy ceglastej, jak i barwy szarej, „siwej", i pochodzi z większości jednostek stratygraficznych grodziska. Najliczniej występująca ceramika „siwa" z tego grodziska jest jednolita w swym charakterze. Naczynia mają barwę w odcieniach od jasnoszarej do czarnej (5YR 6/1, 5/1, 4/1); są wypalone w atmosferze redukcyjnej, z przełamami w przeważającej większości jednolicie szarymi, choć niewielka część ceramiki ma dwukolorowe czerwonawo-szare i czerwonawo-brązowe (5YR 5/2, 5/3, 5/4) barwy lub plamy na powierzchni, co wskazuje na nierówny wypał. Większość zachowanych fragmentów charakteryzuje powierzchnia szorstka, kostropata lub tylko lekko wygładzona. Niewielka liczba fragmentów ceramiki o powierzchni wyświeconej pochodzi z naczyń cienkościennych, małych, miniaturowych, mis, miseczek i talerza (tabl. 2:23–24; 4:10, 20).

Wynikiem klasyfikacji fragmentów ceramiki naczyniowej jest podział na formy na podstawie ukształtowania i wyprofilowania wylewu oraz wielkości średnicy wylewu naczynia. W analizowanym materiale zidentyfikowano głównie naczynia o formie garnków i dzbanów, choć - ze względu na brak w większości przypadków zachowanych połączeń części brzegowych z szyjkami i brzuścami - trudno jednoznacznie określić proporcje, rzeczywiste wychylenie wylewu naczynia, a co za tym idzie prawdopodobną ich wielkość i funkcję. Można zatem brać pod uwagę jedynie pośrednie przesłanki, jakimi są np. wielkość średnicy wylewu czy masywność naczynia, grubości ścianek, stopień wygładzenia powierzchni, obecność wyświecenia na wylewie, wystąpienie uch, czy takie cechy jak obecność plam okopcenia, czy warstw spalenizny na ściankach. Podziału dokonano głównie na podstawie pomiaru szerokości brzegu, wielkości średnicy wylewu oraz szczegółowej analizy ukształtowania i wyprofilowania krawędzi wylewu. Górne fragmenty naczyń typowo późnośredniowiecznych z grodziska w Iławie, st. 33 można na tej podstawie podzielić na kilka grup (ryc. 18):

1. Wychylona na zewnątrz górna część naczynia, z wyraźnie szerokim (do 1,5 cm), powiększonym brzegiem, zaokrąglonym lub ściętym do wewnątrz, najczęściej z zaznaczającym się głębokim wrębem. Od zewnątrz wysokość profilowanego wylewu wynosi ok 2 cm. Średnice wylewów tych naczyń wynoszą od ok. 14 do 28 cm, a więc są to zarówno małe, jak i duże naczynia, głównie wygładzone, matowe, tzw. „siwe", choć często wykazują cechy słabego zsiwienia (tabl. 1:2; 2:10–12, 17–20; 4:16; 5:2). Są to formy podobne do naczyń zaliczonych do grupy 1 z grodziska w Durągu, gm. Ostróda, pow. ostródzki[8].

2. Wychylenie górnej części naczynia jest niewielkie, wylewy są prawie prosto ustawione i mają ukośnie ścięty do wewnątrz brzeg o szerokości do ok. 1 cm. Z zewnątrz wysokość profilowanego wylewu wynosi do ok. 2 cm i jest wyraźnie mniejsze niż form opisanych powyżej. Średnice tych naczyń wynoszą od ok. 14 do 18 cm. Są to średniej wielkości naczynia o matowej powierzchni szarej, tzw. „siwe", stalowoszare, brązowoszare. Wykazują one ślady słabego zsiwienia, niekiedy jednostronnego (tabl. 2:16, 21; 4:14).

3. Wychylenie górnej części naczynia wraz z uformowanym brzegiem ukośnym, płaskim lub obłym, jest wyraźnie skierowane na zewnątrz. Profilowanie masywnego wylewu charakteryzuje się lekkim przegłębieniem na pokrywę od wewnątrz lub jego brakiem. Wysokość wylewu od zewnątrz wynosi od 1,5 do 2 cm. Średnice naczyń wynoszą od ok. 17 do 18 cm. Są to średniej wielkości cienkościenne garnki, szare i szarobrązowe, słabo zsiwione, o matowej powierzchni. Na ściankach widoczne są ślady okopcenia i czarnej spalenizny (tabl. 2:6, 8–9, 13–14; 4:11; 5:1). Analogiczne formy z wychylonym, ukośnie ściętym brzegiem znajdujemy w materiale z grodziska w Durągu, st. 1 (typ 4)[9].

4. Wychylenie górnej części naczynia jest niewielkie, a wgłębienia od wewnątrz na pokrywę są mocno zaznaczone. Wysokość lekko profilowanego wylewu z zewnątrz wynosi ok. 1,5 cm. Średnice naczyń wynoszą ok. 10–16 cm. Są to średnie i małych rozmiarów, cienkościenne, delikatne dzbanki stalowoszare, „siwe", lub słabo zsiwione, o wygładzonej powierzchni, matowe (tabl. 2:1; 2:22; 4:13).

[8] Por. opracowanie wyników badań grodziska w Durągu w niniejszej publikacji.

[9] Por. opracowanie wyników badań tego grodziska, w niniejszej publikacji.

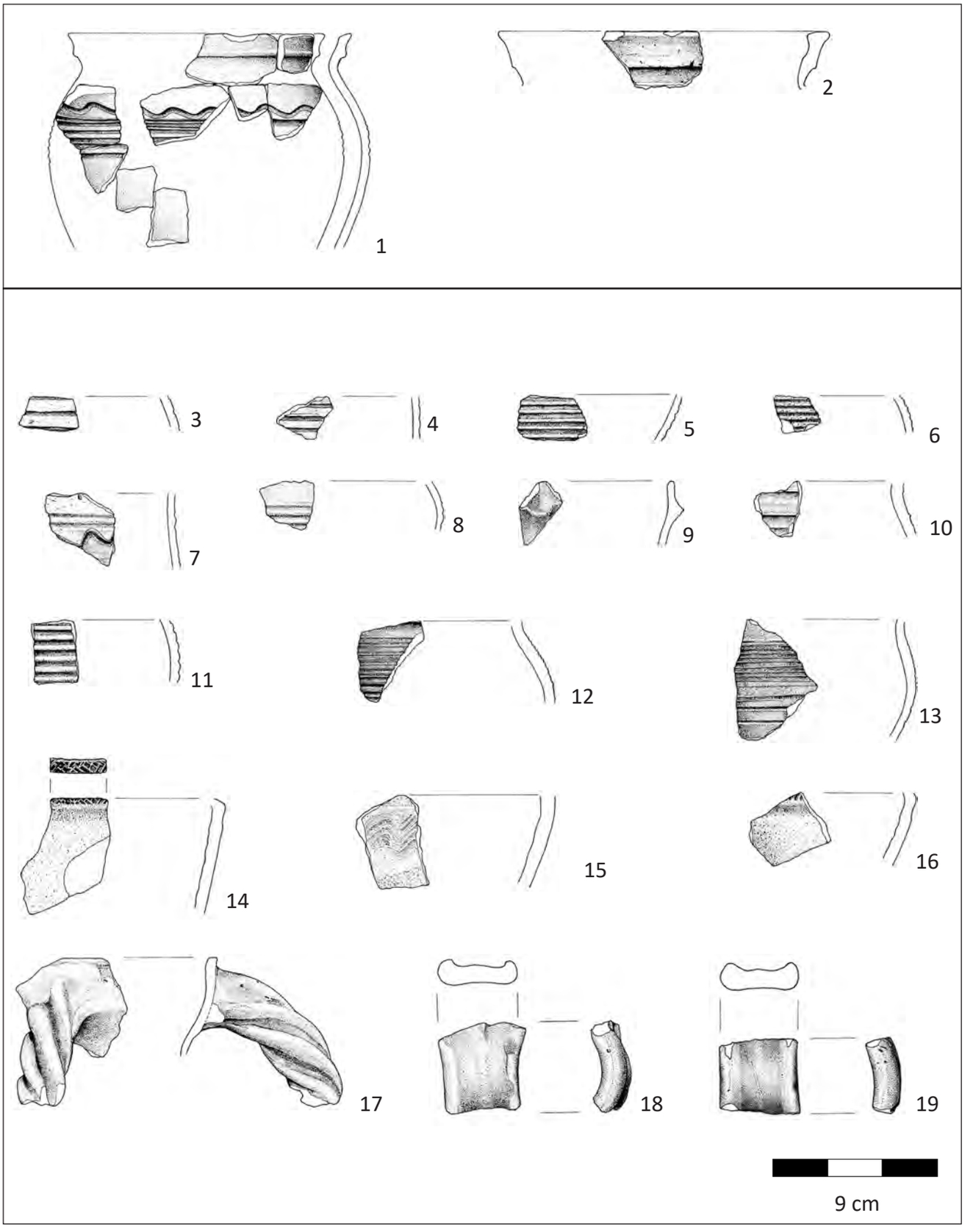

Tablica 1. Iława, st. 33 – Wielka Żuława. Ceramika z nawarstwień Fazy IB (1–2) i IC (3–19) (rys. D. Wach)

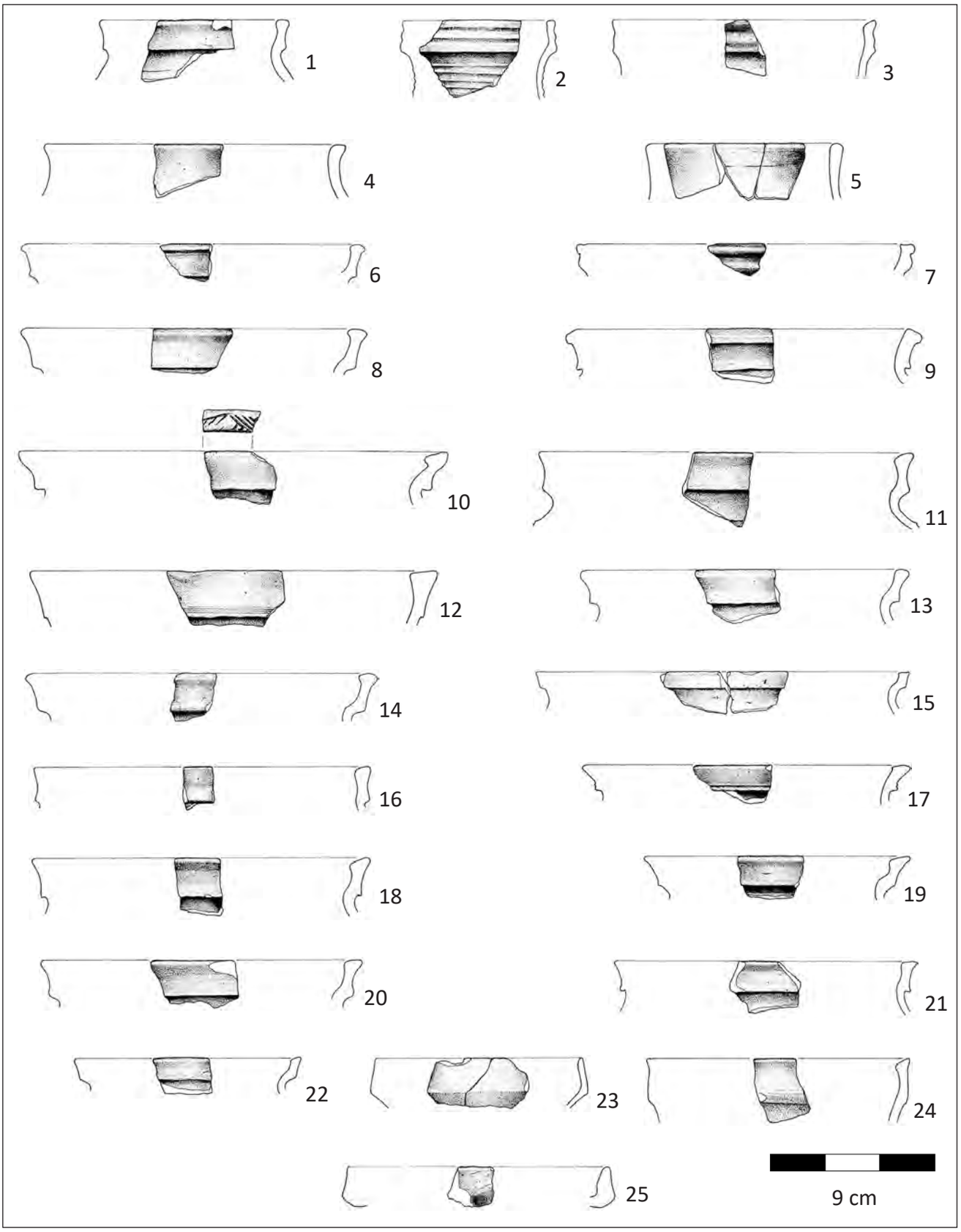

Tablica 2. Iława, st. 33 – Wielka Żuława. Ceramika z nawarstwień Fazy IC (rys. D. Wach)

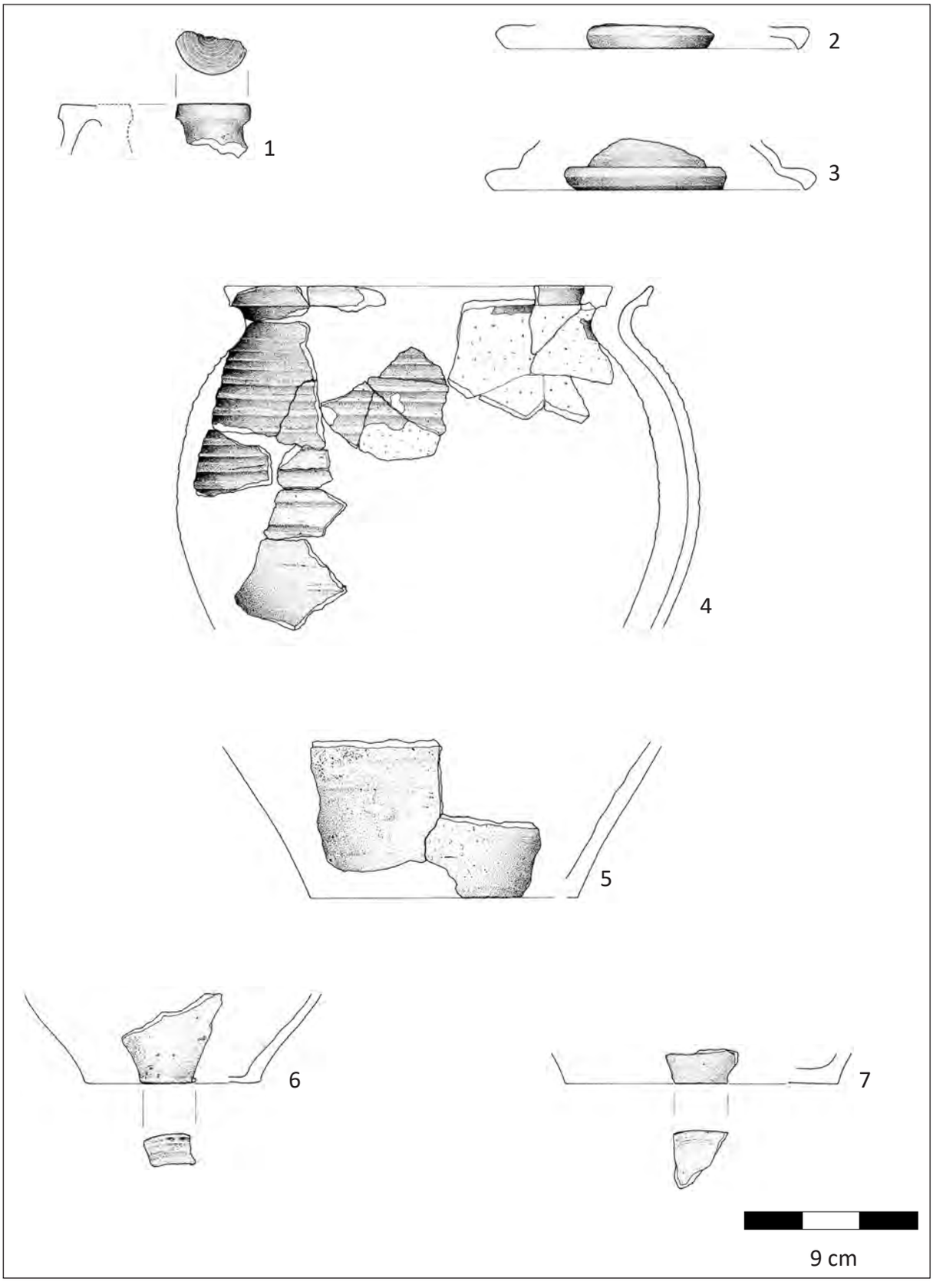

Tablica 3. Iława, st. 33 – Wielka Żuława. Ceramika z nawarstwień Fazy IC (rys. D. Wach)

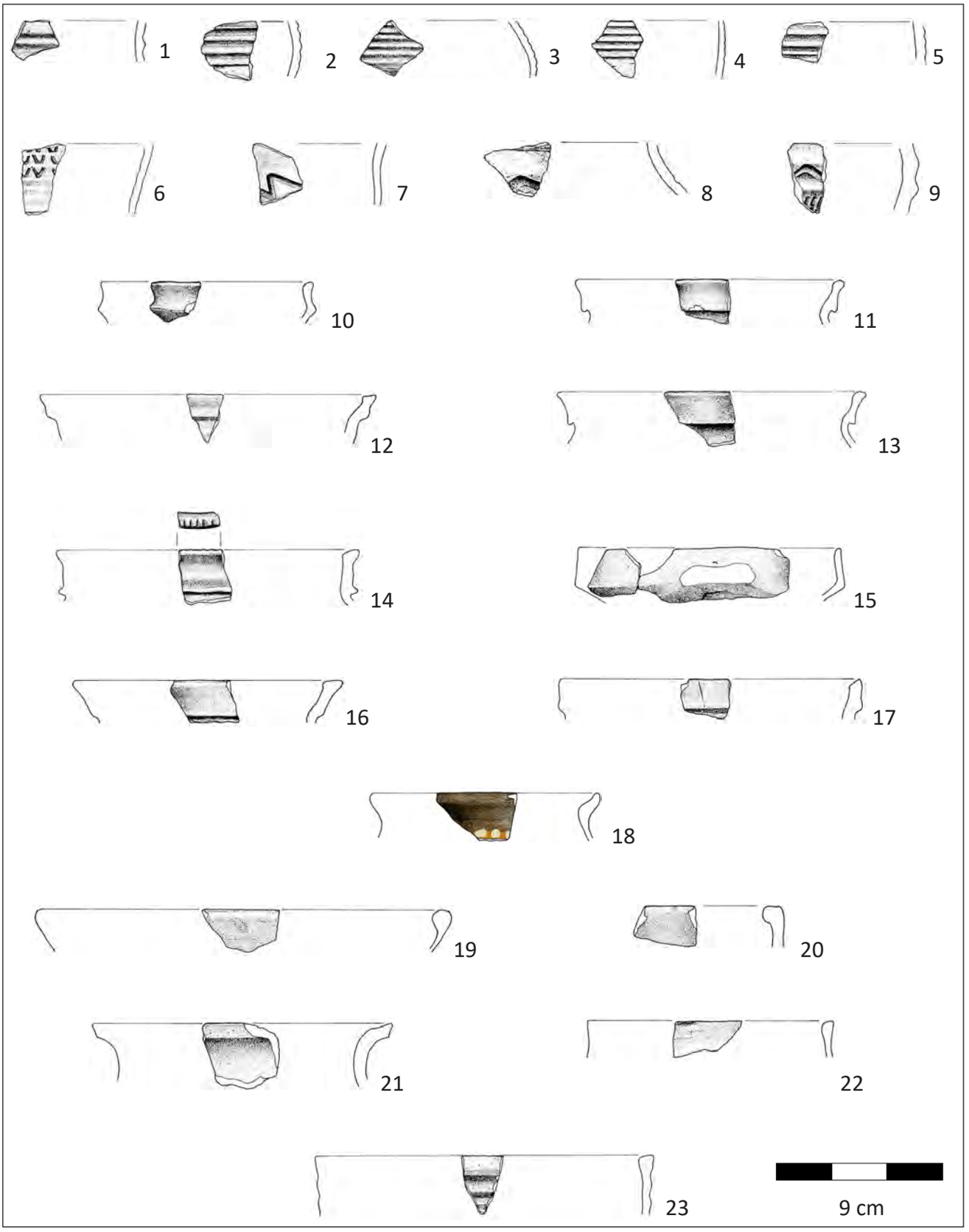

Tablica 4. Iława, st. 33 – Wielka Żuława. Ceramika z nawarstwień Fazy V (rys. D. Wach)

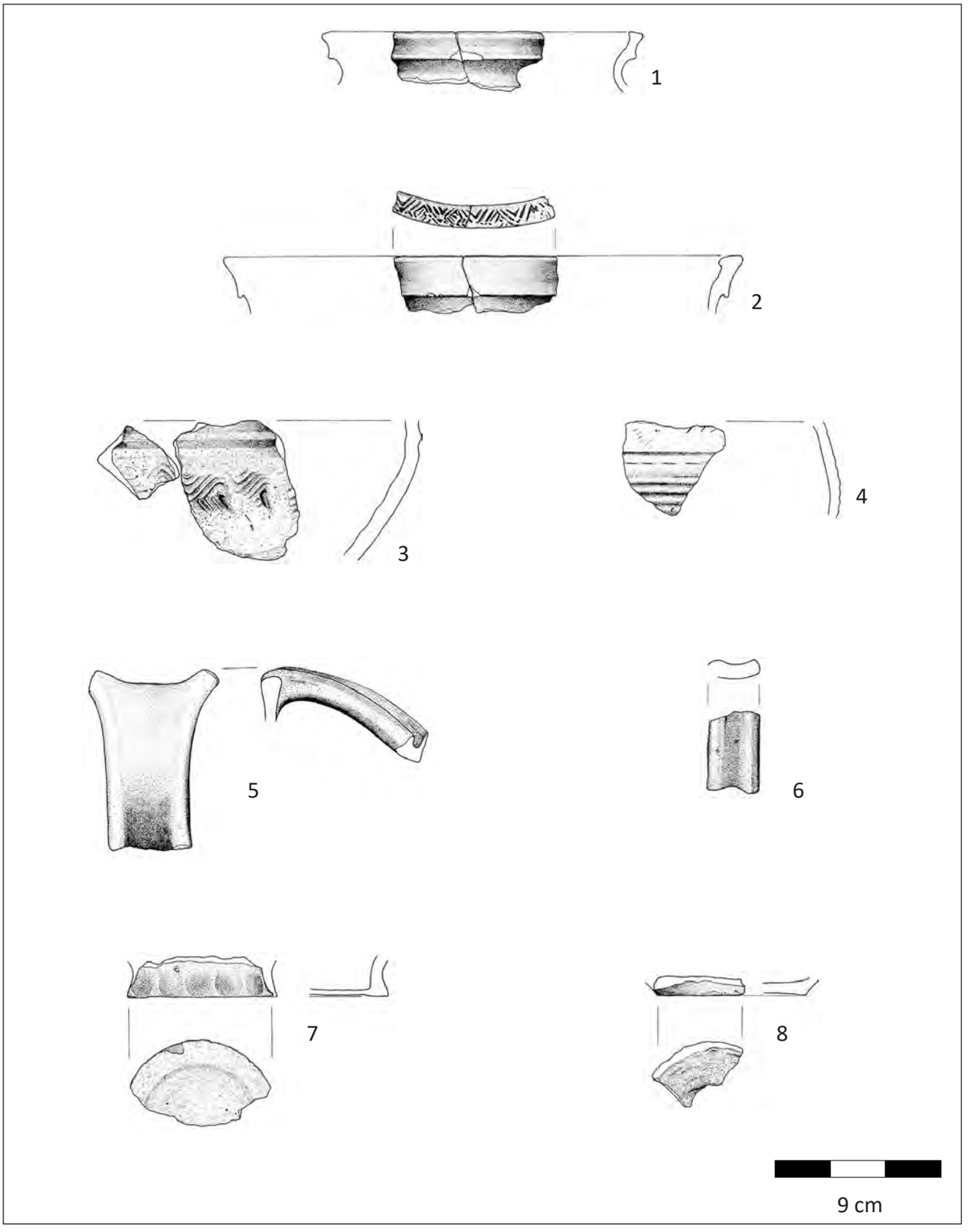

Tablica 5. Iława, st. 33 – Wielka Żuława. Ceramika z nawarstwień Fazy V (rys. D. Wach)

5. Naczynia o pionowym ukształtowaniu górnej części, wąskim, zaokrąglonym lub płaskim brzegu. Wylewy są łagodnie profilowane przegłębieniami, wygładzane, barwy szarej, stalowoszarej, „siwej". Średnice wylewów zawierają się pomiędzy ok. 8 a 18 cm. Są to dzbanuszki i dzbanki. Jeden z fragmentów dzbanka ma duże ozdobne ucho (tabl. 1:17; 2:2–3; 4:22–23).

6. Naczynia charakteryzujące się ukośnie ściętym do wewnątrz, szerokim brzegiem, z zaokrąglonymi krawędziami, ostrym załomem brzuśca, o powierzchni gładkiej. Średnice ich wynoszą ok. 11–14 cm. Jeden z zachowanych fragmentów ma czarną wyświeconą powierzchnię. Są to małe, cienkościenne, naczynia stołowe (tabl. 2:24; 4:10).

7. Naczynia cienkościenne, małe, o zachylonej części górnej i wąskim, owalnym brzegu. Średnice ich wylewów wynoszą ok. 11–12 cm. Mają barwę stalowoszarą i szarą, są wygładzane i wyświecone, silnie obtoczone. Są to małe miseczki lub czarki do picia. Na jednym z egzemplarzy widoczny jest ślad po odłamanym uchu, na innym ślad po wgłębieniach palcowych (tabl. 1:9; 2:23, 25; 4:15).

8. Naczynia o lekko wygiętej szyjce wraz z wylewem o owalnym brzegu. Są to proste formy garnków o szarej powierzchni, szorstkie, matowe, słabo zsiwione lub wyświecone. Średnice ich wylewów wynoszą ok. 10–16 cm. Są to masywne naczynia, silnie obtaczane (tabl. 2:4–5).

9. Naczynie rozłożyste, płytkie, z owalnym, grubym brzegiem i cienkościennej ściance. Średnica wylewu wynosi ok. 22 cm. Jest to duża misa, silnie obtoczona, barwy „siwej" (tabl. 4:19).

10. Naczynie z profilowanym od góry, pogrubionym brzegiem. Średnica wylewu wynosi ok. 16 cm. Jest to forma płytka, rozłożysta, o powierzchni wyświeconej „siwej", prawdopodobnie talerz (tabl. 4:20).

W pojedynczym egzemplarzu wystąpiło ponadto naczynie o kolankowato wychylonym brzegu z mocnym wgłębieniem na pokrywę, o średnicy wylewu wynoszącej 12 cm. Wykonane z ceglastej masy ceramicznej, pokryte jest polewą białą od wewnątrz i brązową od zewnątrz (tabl. 4:18).

Naczynia z grupy 1 i 2 mają swe odpowiedniki zarówno w ceramice „siwej" z Pomorza Zachodniego[10], jak i terenów geograficznie najbliższych Warmii i najlepiej rozpoznanych pod względem archeologicznym, to jest z Ziemi Chełmińskiej[11]. Tego rodzaju naczynia są datowane na czwartą ćwierć XIII i 1 połowę XIV w. Do naczyń z szerokim pogrubionym brzegiem grupy 1 podobna jest szczególnie forma ceramiki stalowoszarej z grodziska w Starym Dzierzgoniu, st. 1, pow. sztumski[12], datowanego na XIV w., a także z siedziby krzyżackich prokuratorów w Pniu w Ziemi Chełmińskiej, funkcjonującej w 1. ćwierci XV w.[13] Formy z grup 1–4 mają niewątpliwe analogie również z nawarstwień osadniczych zamku w Ostródzie[14]. Część form naczyń z grodziska na wyspie Wielka Żuława: dzbanów, garnków oraz pokryw, a także ornamentyka wykonana radełkiem, są analogiczne do średniowiecznego materiału ceramicznego znalezionego pod fundamentami kamienicy w Iławie przy ulicy Niepodległości 2[15]. Podobne garnki z wychylonymi wylewami spotykamy w Reszlu datowanym na drugą połowę XIV w.[16]. Forma o wąskim brzegu z grupy 5 ma analogie w Pniu, st. 1[17]. Analogiczne wąskie kołnierze tych dzbanów z grupy 5 są znane także z Ostródy[18]. Naczynie z polewą ma analogie w ceramice z Ostródy przy „Bramie Garncarskiej"[19]. W warstwach niwelacyjnych grodziska na Wielkiej Żuławie wystąpiły także formy podobne do ceramiki nowożytnej z Pomorzanek, st. 4, gm. Gostynin, woj. mazowieckie i Pomorzan, st. 1–2, gm. Łanięta, woj. łódzkie[20]. Ceramika ceglasta i polewana w rejonie elbląskim pojawia się od przełomu XV i XVI w.[21] Zdecydowana przewaga naczyń „siwych", przy obecności ceramiki „tradycyjnej" i niewielkim udziale ceramiki ceglastej i polewanej pozwala datować zbiór ceramiki z grodziska na Wielkiej Żuławie na okres od końca XIII do końca XV w.

Pokrywki naczyń (tabl. 3:1–3)

Pokrywki wiązane są ściśle z garnkami „siwymi", których tworzyły uzupełnienie, zapobiegające zanieczyszczeniu pożywienia znajdującego się w garnku. Miały zróżnicowane grubości, rozmiary i średnice, dopasowane do naczyń, z którymi miały tworzyć całość.

Pokrywki odkryte w warstwach grodziska w Iławie na wyspie Wielka Żuława były cienkościenne, o średnicach wynoszących ok. 15 i 16 cm. Rekonstrukcje zachowanych większych części pokrywek wskazują, że są to w większości formy określane w literaturze jako pokrywki stożkowate[22]. Mają one w przeważającej większości zaokrąglone od zewnątrz brzegi, ostrą krawędź styczną do wylewu garnka, a stożkowato wznosząca się ścianka pokrywy zakończona była okrągłym, płasko ściętym od góry uchwytem (tabl. 3:1) o średnicy ok. 3,5 cm, umieszczonym na szczycie okrągłej podstawy. Zachowane fragmenty pokryw były silnie obtaczane, barwy beżowo-szarej i brązowo-

[10] Rębkowski 1995: ryc. 11:1A.

[11] Poliński 1996: ryc. 4:b: 5:a–k; 57:n, p–s, u, y; 59:b–c.

[12] Gazda *et al.* 2013: ryc. 29:m.

[13] Poliński 2013: ryc. 36:d.

[14] Michalski 1998a: ryc. 16:7; 17:12, 18, 21; 19:6, 19.

[15] Kobylińska 1999: tabl. 1–6, 10.

[16] Sikorska-Ulfik 1994: ryc. 1, 3–5.

[17] Poliński 2013: ryc. 35:c.

[18] Michalski 1998a: ryc. 19:1–2.

[19] Michalski 1998a: ryc. 18:3.

[20] Świętosławski 2011a: ryc. 12, 2011b: ryc. 12, 14.

[21] Fonferek, Marcinkowski i Sieńkowska 2012: 66–67.

[22] Rębkowski 1995: 35, tabl. 36:4, 12.

-szarej, o powierzchni słabo zsiwionej. Na jednej z nich zaobserwowano resztki okopcenia. Pokrywy odkryte w nawarstwieniach grodziska na Wielkiej Żuławie są bardzo podobne w swym kształcie do pokryw, które znane są na dużym obszarze występowania garnków „siwych" zwłaszcza w okresie 2. połowy XIV i początków XV wieku. Analogiczne formy pokryw znaleziono między innymi w Radzynach, gm. Kaźmierz, pow. szamotulski, datowane na XIII/XIV w., w Nakle nad Notecią z 1. połowy XIV w., w Słoszewach, gm. Bobrowo, pow. brodnicki z początku XV w., w Warszawie - Wilanowie z XIV w. czy w Poznaniu z XIV w.[23]. Znane są też z nawarstwień osadniczych na Ziemi Chełmińskiej[24] i we wczesnych założeniach miejskich na ziemiach pruskich, np. na wczesnośredniowiecznym przedmieściu Iławy[25], czy Ostródzie przy „Bramie Garncarskiej[26], a także z zamku biskupów chełmińskich w Wąbrzeźnie[27], gdzie materiały datowane są na połowę XIV do przełomu XV/XVI w.

Ucha

Zachowane fragmenty uch reprezentują szerokie formy (do 5 cm szerokości) z wyraźnym przegłębieniem w części środkowej. Były one przyklejane do powierzchni dzbanów „siwych" i słabo zsiwionych. Świadczą o tym głębokie odciski po palcach, wklejające ucho w ściankę. Powierzchnie uch są gładkie i gładko-szorstkie. Jedno ucho „siwe" zostało ozdobione poprzez skręcenie wałka gliny, co dało wrażenie zaplatania (tabl. 1:17–19; 5:5–6).

Dna

Części przydenne z dnami wykazują ślady silnego obtaczania. Pochodzą od naczyń jasnoszarych, tzw. „siwych" i słabo zsiwionych, o cienkich rozłożystych ściankach i płaskich lub lekko wklęsłych dnach (tabl. 3:5–7; 5:8). Jedna dolna część naczynia silnie obtoczonego, barwy szaro-brunatnej, a wewnątrz ceglasta, ma ślad po okrągłym otworze w środkowej części dna (tabl. 5:8). Dno naczynia w kształcie pucharka, lekko wklęsłe w części środkowej, z wydzielającej się stopką, wykonane zostało z ceglastej masy ceramicznej, a ścianki zewnętrzne pokryto brązową polewą (tabl. 5:7).

Ornamentyka

Ozdabianie naczyń średniowiecznych z grodziska na Wielkiej Żuławie jest skromne i nieskomplikowane. Są to głównie ryte wąskie żłobki, bruzdy, wałki i odciski stemplem w postaci drobnych kwadracików, ukośnych linii czy trójkątów (tabl. 1:3–6; 8, 10–11, 14, 16; 4:1–6, 8–9). Naczynia szerokootworowe, o mocno wychylonych szerokich wylewach, charakteryzują się ozdobnymi brzegami (tabl. 2:10; 4:14; 5:2). Są to fragmenty naczyń wazowatych lub dzbanów, które pełniły funkcję reprezentacyjną. Ornamentowane naczynia na wylewie wykazują ślady wygładzania, staranniejszego dopracowania powierzchni, przynajmniej w górnych partiach. Dzbany o wąskich średnicach wylewu są ornamentowane bruzdami od wylewu na całej zachowanej przestrzeni (tabl. 2:2–3; 4:23). Nieliczne małe fragmenty naczyń zostały pokryte polewą zieloną lub brązową (tabl. 4:18).

Ceramika wydobyta z jeziora Jeziorak w czasie badań podwodnych w roku 2012

W czasie badań podwodnych[28] w 2012 roku w strefie brzegowej w bezpośrednim sąsiedztwie grodziska znaleziono ceramikę z późnego okresu średniowiecza:

- naczynie gliniane zachowane niemal w całości, jedynie z ubytkiem części ścianki w partii brzuśca (ryc. 19). Jest to garnuszek baniasty o średnicy wylewu wynoszącej 10 cm, wysokości 15 cm, z dnem płaskim o średnicy 8,5 cm. Naczynie jest całkowicie obtaczane, brzeg wylewu zaokrąglony od zewnątrz został zaopatrzony w wgłębienie na pokrywę od wewnątrz. Największa wydętość brzuśca uformowana jest na ¾ wysokości naczynia, dno jest płaskie, gładkie najprawdopodobniej odcinane. Powierzchnia ścianek zarówno od zewnątrz jak i wewnątrz jest bardzo silnie spłukana. Śladowo zachowane wgłębienia rowków dookolnych wskazują, że naczynie było na całej powierzchni od załomu brzuśca do części przydennej ozdobione żłobieniami. Na powierzchni ścianki widoczne są białe ziarna domieszki piasku różnej granulacji, mika i wyrwy po domieszce.
- fragment niedużego naczynia prawdopodobnie kubka, średnicy ok. 12 cm, o silnie obtoczonej powierzchni zachowanej ścianki z ceglastej masy ceramicznej zawierającej niewielką ilość drobnych ziaren domieszki piasku w ceglastym przełamie (ryc. 20). Powierzchnia zewnętrzna jest gładka, matowa bez ornamentu, jedynie z głębokim żłobkiem pod wąską krawędzią brzegową.
- fragment części przydennej z dnem płaskim o średnicy 10 cm, należącym do naczynia „siwego" o powierzchni gładkiej z pionowymi pasmami wyświeceń.

W rejonie średniowiecznej przeprawy mostowej z wyspy Wielka Żuława w kierunku północnym na

[23] Kruppé 1981: karta 66:1, 5, 17; 69:5.

[24] Poliński 1996: ryc. 6:2c.

[25] Kobylińska 1999: tabl. 10: 1–3.

[26] Michalski 1998a: ryc. 18:7.

[27] Wiewióra (red.) 2014: ryc. 113:d.

[28] Pydyn 2013; Popek *et al.* 2013.

Ryc. 19. Iława, st. 33 – Wielka Żuława. Naczynie ceramiczne z badań podwodnych przy grodzisku (fot. A. Pydyn)

ląd stały znaleziono kolejne fragmenty ceramiki zabytkowej. Były to mianowicie:

- Duża część dolna naczynia całkowicie obtoczonego, baniastego, lecz bez zachowanego wylewu, z dnem o średnicy 6,3 cm (ryc. 21). Dno zachowane na całym obwodzie nie posiada ścianki zewnętrznej, można domyślać się że było ono lekko wklęsłe z płaskim wałkiem dookolnym. Powierzchnia zewnętrzna naczynia jest mocno spłukana, barwy brązowej z widoczną na powierzchni domieszką w postaci ziaren różnej granulacji i miki. Przestrzeń od poziomu szyjki i brzusiec pokryty jest ornamentem głębokich żłobień. Forma tego naczynia jest analogiczna do garnka znalezionego w strefie brzegowej.
- Fragment naczynia „siwego" z wylewem zaokrąglonym od zewnątrz i płaskim od góry z wgłębieniem na pokrywę (ryc. 22). Naczynie o średnicy wylewu wynoszącej średnicy 12 cm miało formę baniastą z krótką łukowatą szyjką i pokryte jest ornamentem żłobień. Powierzchnia jest matowa, spłukana z widoczną nieliczną domieszką ziaren drobnych i miki.
- Fragment brzuśca cienkościennego naczynia toczonego, „siwego", o powierzchni wypolerowanej z wyświecanym ornamentem ukośnych i poziomych pasm (ryc. 23).
- Dolna część naczynia toczonego wykonanego z ceglastej masy ceramicznej. Dno o średnicy 7 cm jest płaskie, ceglaste, matowe, wnętrze naczynia jest pokryte zieloną polewą, której niewielkie

Ryc. 20. Iława, st. 33 – Wielka Żuława. Fragment ceramiki z badań podwodnych przy grodzisku (fot. A. Pydyn)

Ryc. 21. Iława, st. 33 – Wielka Żuława. Fragment naczynia z badań podwodnych w rejonie przeprawy mostowej na północ od grodziska (fot. A. Pydyn)

Ryc. 22. Iława, st. 33 – Wielka Żuława. Fragment naczynia z badań podwodnych w rejonie przeprawy mostowej na północ od grodziska (fot. A. Pydyn)

Ryc. 23. Iława, st. 33 – Wielka Żuława. Fragment naczynia z badań podwodnych w rejonie przeprawy mostowej na północ od grodziska (fot. A. Pydyn)

Ryc. 24. Iława, st. 33 – Wielka Żuława. Fragment naczynia z badań podwodnych w rejonie przeprawy mostowej na północ od grodziska (fot. A. Pydyn)

Ryc. 25. Iława, st. 33 – Wielka Żuława. Fragment naczynia z badań podwodnych w rejonie przeprawy mostowej na północ od grodziska (fot. A. Pydyn)

Ryc. 26. Iława, st. 33 – Wielka Żuława. Fragment naczynia z badań podwodnych w rejonie przeprawy mostowej na północ od grodziska (fot. A. Pydyn)

resztki znajdują się na powierzchni zewnętrznej ozdobionej żłobieniami dookolnymi (ryc. 24). Fragment ten jest nieco zniszczony, spłukany, pochodzi z czasów nowożytnych.

- Fragment części przydennej z dnem płaskim średnicy 7 cm, o powierzchni zewnętrznej matowej, ceglastej, pokrytej ornamentem żłobień, od wewnątrz pokrytej brązowa polewą (ryc. 25).
- Fragment naczynia obtaczanego z prostą szyjką i mocno uwydatnionym brzuścem, barwy brązowej, o powierzchni spłukanej z zachowaną resztką niekreślonego ornamentu rytego (ryc. 26). W przełamie i na powierzchni widoczne są duże, grube ziarna domieszki nawet 0,5 cm.
- Fragment części przydennej bez dna, z naczynia prawdopodobnie wczesnośredniowiecznego o bardzo spłukanej powierzchni, barwy brązowej i masy ceramicznej z domieszką o różnej granulacji, drobnej i średniej oraz miki.
- Fragment górnej części naczynia z okresu wczesnego średniowiecza z wylewem wąskim, z mocnym wgłębieniem na pokrywę. Powierzchnia jest mocno zdarta i spłukana, powierzchnia zewnętrzna nie zachowała się. Brązowa masa ceramiczna zawiera liczną domieszkę różnej granulacji i miki na powierzchni.

W rejonie współczesnej przeprawy promowej na niewielkiej wysepce pomiędzy Iławą a Wielką Żuławą znaleziono fragment zniszczonego, spłukanego naczynia z wylewem, o średnicy ok. 12 cm (ryc. 27). Wylew garnka zaokrąglony od zewnątrz z wgłębieniem na pokrywę jest silnie obtoczony. Cienkościenne naczynie ma na powierzchni ornament w postaci żłobień szerokich, barwy brunatnej. Masa ceramiczna zawiera dużą ilość drobnej domieszki piasku i mili.

Ryc. 27. Iława, st. 33 – Wielka Żuława. Fragment naczynia z badań podwodnych na południe od wyspy Wielka Żuława (fot. A. Pydyn)

Zabytki wydzielone

Militaria

Ostroga (tabl. 6:1)

Na styku warstw 9 i 14 znaleziono żelazną ostrogę. Zabytek jest uszkodzony, wtórnie wygięty. Ostroga jest zaopatrzona w bodziec z sześciopromienną gwiazdką, obecnie z częściowo uszkodzonymi ramionami, umieszczoną w masywnych widełkach o długości 2 cm za pomocą trzpieni z owalnymi główkami. Łukowato wygięte kabłąki o długości ok. 9 cm, o płasko-wypukłym przekroju, zakończone są zaczepami, z których zachował się jeden ogniwkowy, prostokątny, wielkości 1 x 2,5 cm. Ostroga z Wielkiej Żuławy jest analogiczna do ostrogi o bodźcu z kółkiem gwiaździstym z Widoradza, st. 1, gm. Wieluń, pow. wieluński. Te formy należą w klasyfikacji ostróg średniowiecznych do typu III[29]. Łukowato wygięte kabłąki, krótkie widełki oraz małe sześciopromienne gwiazdki wykazują podobieństwo do odmian A-B według Stanisława Kołodziejskiego. Z kolei asymetryczne i ogniwkowe zaczepy ostróg z Widoradza nawiązują do odmian C-D. Odmiany C-D datowane są na okres od II poł. XIII w. do I poł. XIV w.[30], a podobne ostrogi z Kalisza-Zawodzia na ostatnie ćwierćwiecze XIII w. do połowy XIV w.[31] Podobną ostrogę znaleziono w grodzisku w Bogdanach, gm. Frombork, pow. braniewski, gdzie wydatowana została na drugą połowę XIII lub XIV w. Podobne są także trzy ostrogi znalezione w gródku w Plemiętach, gm. Gruta, pow. grudziądzki, z sześciopromienną gwiazdką[32], datowane od II połowy XIII w. Ostrogi z gwiaździstym bolcem zaklasyfikowane jako typ III według Hilczerówny znaleziono także na Starym Mieście w Elblągu, datowane na lata osiemdziesiąte XIII w.[33] Przytoczone analogie potwierdzają, że na terenie Polski ostrogi z gwiaździstym bodźcem pojawiają się na początku II poł. XIII w.[34], a wszystkie znane egzemplarze datowane są na wiek XIII i XIV[35]. Są to formy ostróg szeroko rozpowszechnione, zarówno na ziemiach późnośredniowiecznej Polski[36], jak i na zachodzie i północy Europy[37], a także na Rusi[38].

Grot bełtu kuszy (tabl. 6:6)

Na stanowisku odkryto dobrze zachowany, lekko skorodowany, żelazny masywny grot bełtu kuszy z trzpieniem o całkowitej długości 7,7 cm, a długości ostrza grotu ok. 4,6 cm[39]. Największa szerokość ostrza

[29] Hilczerówna 1956: 62–69; Kołodziejski 1985: 165–166.

[30] Kołodziejski 1985: 166.

[31] Błoński 2000: 72, ryc. 9, 11.

[32] A. Nowakowski 1985: ryc. 17:4.

[33] Nawrolska 2012: ryc. 40:1–4, 8.

[34] A. Nowakowski 1976: 78.

[35] Hilczerówna 1956: 63.

[36] Nadolski 1979: ryc. 36, s. 70.

[37] Hilczerówna 1956: 64–69.

[38] Kirpičnikov 1974: ryc. 2–5.

[39] Wysocki i Klęczar 2013: ryc. 120.

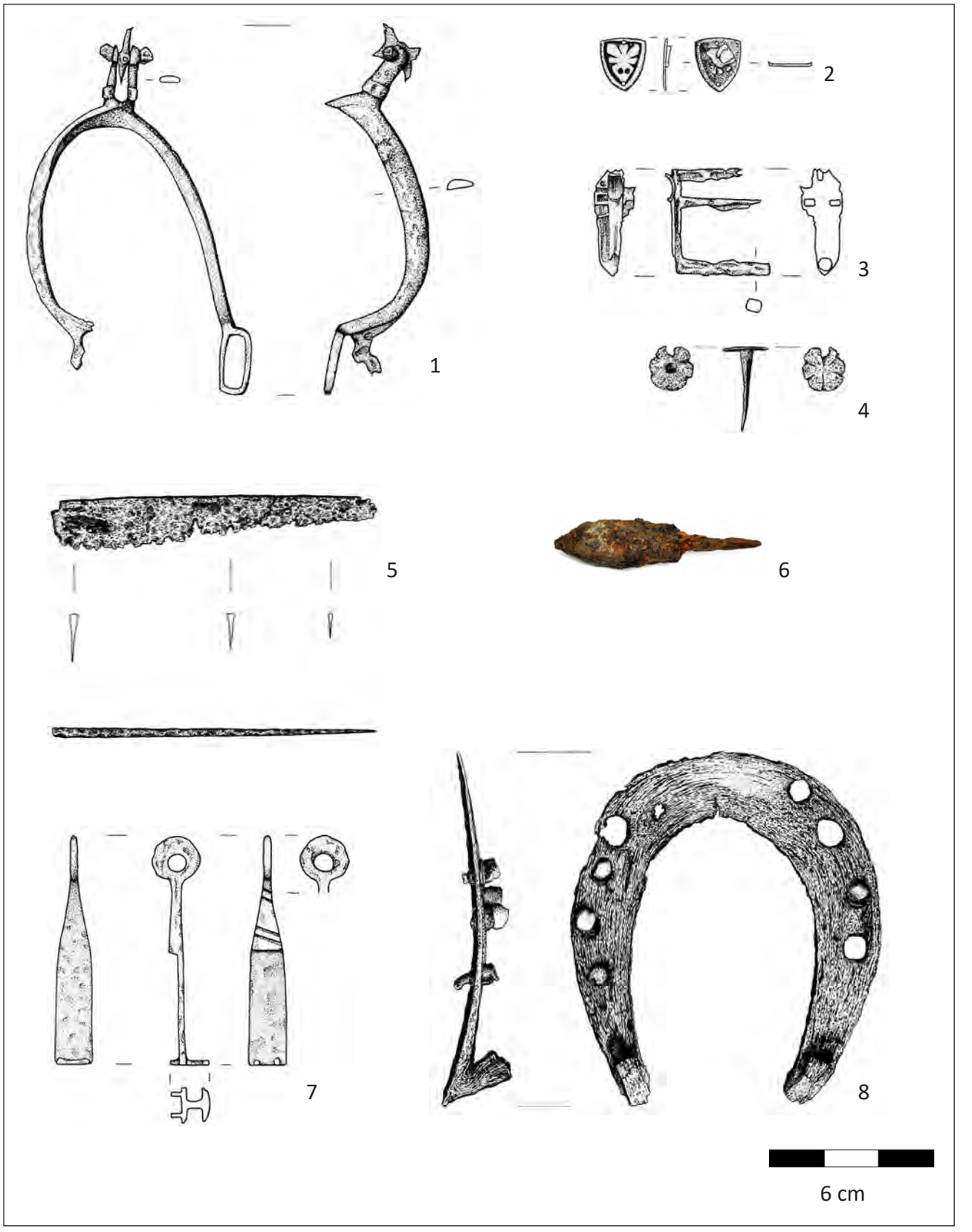

Tablica 6. Iława, st. 33 – Wielka Żuława. Zabytki wydzielone (rys. A. Kucharska-Wach i D. Wach, fot. J. Wysocki)

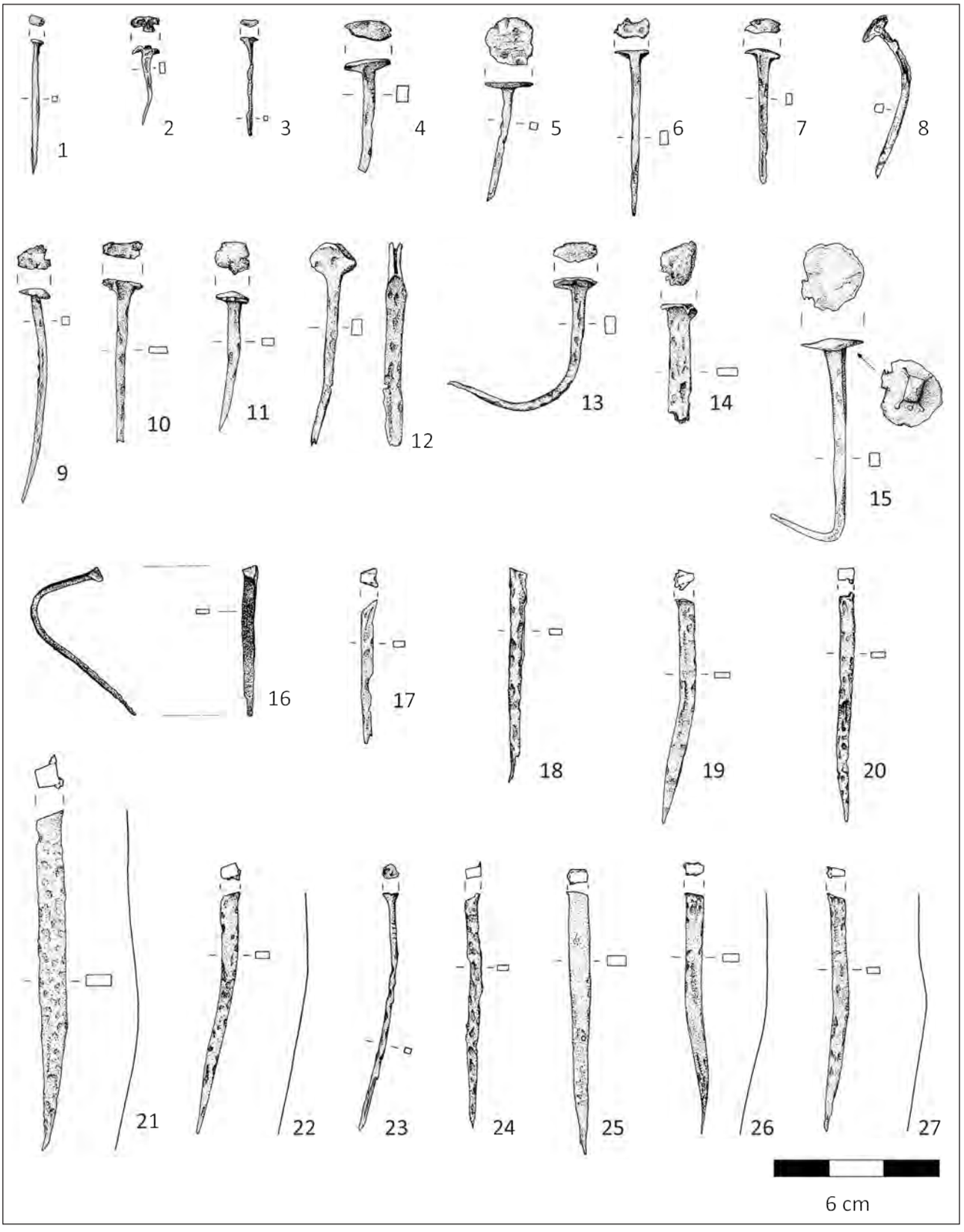

Tablica 7. Iława, st. 33 – Wielka Żuława. Zabytki wydzielone (rys. A. Kucharska-Wach i D. Wach)

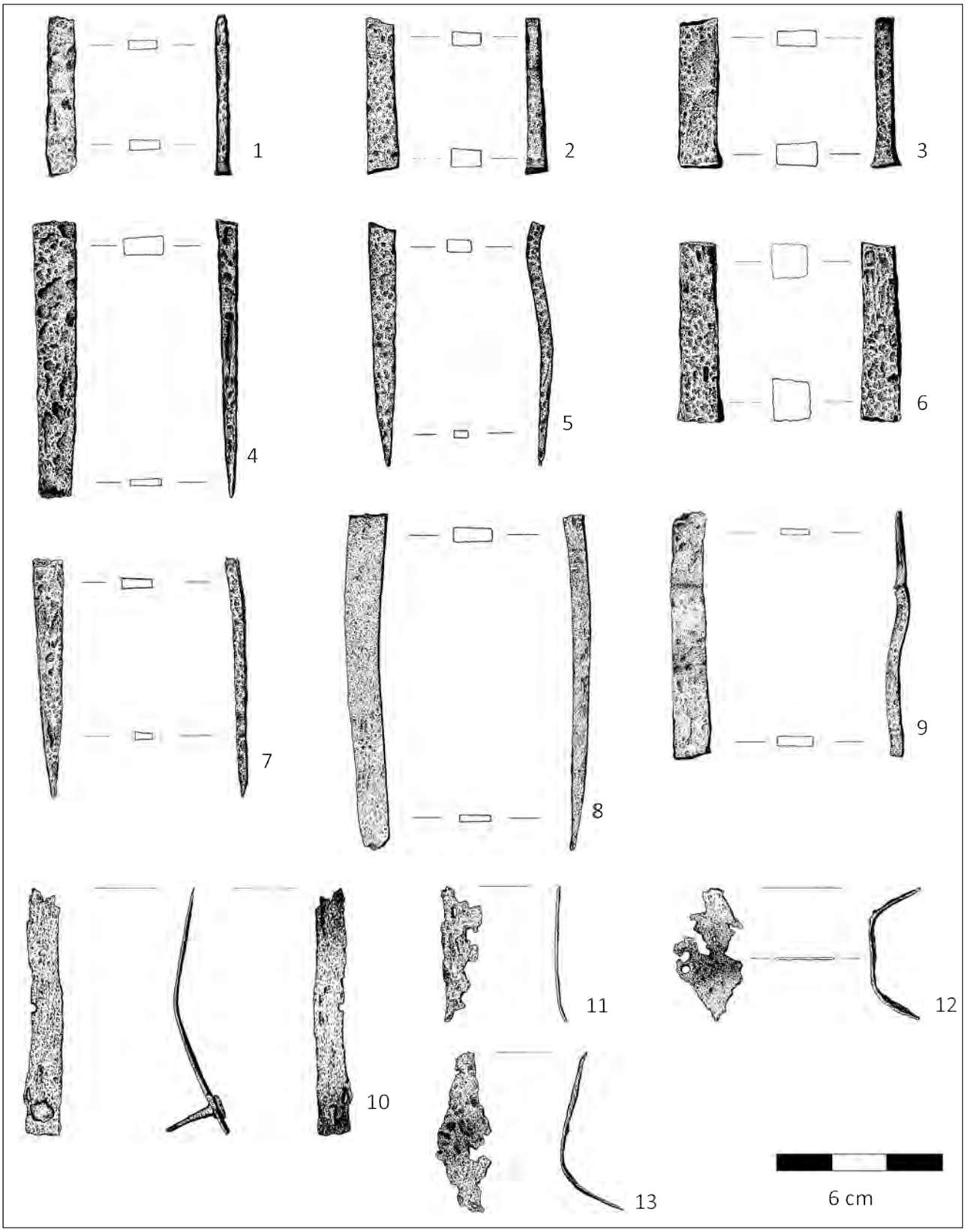

Tablica 8. Iława, st. 33 – Wielka Żuława. Zabytki wydzielone (rys. D. Wach)

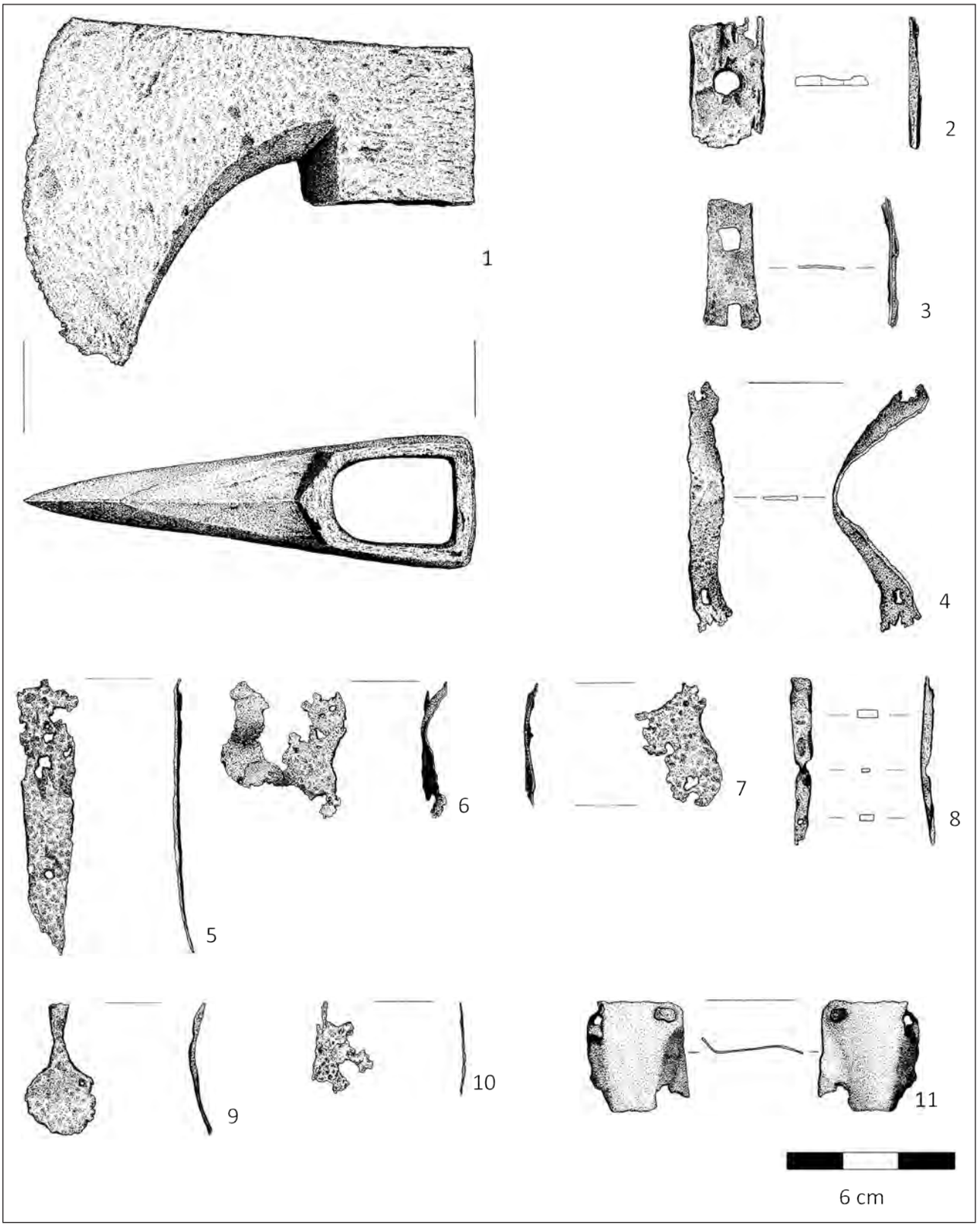

Tablica 9. Iława, st. 33 – Wielka Żuława. Zabytki wydzielone (rys. D. Wach)

przypada w 2/3 jego wysokości; grot jest masywny, romboidalny, zbliżony do kwadratowego. Można ten zabytek porównać z bogatą kolekcją grotów bełtów kuszy z Pnia, gm. Dąbrowa Chełmińska, pow. bydgoski. Podobnie, w gródku w Plemiętach, gm. Gruta, pow. grudziądzki znaleziono 294 egzemplarze grotów bełtów z trzpieniem[40]. Według typologii zastosowanej dla grotów z Pnia, okaz z Wielkiej Żuławy należy łączyć z typem IIB[41]. Groty bełtów o podobnych proporcjach znaleziono także np. w nawarstwieniach średniowiecznego Gdańska[42], na terenie spalonego w 1444 roku gródka stożkowatego w Słoszewach, gm. Bobrowo, pow. brodnicki, gdzie odkryto również w spalonej pracowni kowalskiej 784 grotów bełtów oraz półsurowce[43]; w siedzibie obronnej w Narzymiu, gm. Iłowo-Osada, pow. działdowski[44], czy też we Fromborku na Wzgórzu Katedralnym, choć w tym ostatnim przypadku grot ma nieco inne proporcje ostrza[45]. Średniowieczne groty bełtów znaleziono także na licznych stanowiskach w innych regionach dzisiejszej Polski zachodniej i południowej[46]. O istnieniu wielu rodzajów grotów bełtów świadczą różne wzmianki pisane i ikonograficzne[47]. Z wielu informacji pisanych dowiadujemy się, że w licznych arsenałach Zakonu przechowywano wiele kusz. W zamku w Lipienku spis bełtów obejmował 200 egzemplarzy[48], w niewielkich komturiach chełmińskich liczba bełtów sięgała kilku tysięcy, a w Toruniu w 1394 roku znajdowało się ich 48 tysięcy. Bełty kuszy znajdowano także podczas badań archeologicznych wielu mniejszych strażnic i warowni w regionie warmińsko-mazurskim, najczęściej o charakterze drewniano-ziemnych gródków stożkowatych[49].

Części odzieży

Wpinka (tabl. 6:2)

W 33 jednostce stratygraficznej odkryto trójkątną w kształcie, cienką, ozdobną blaszkę. Brzegi, zagięte na wewnętrzną stronę i podkreślone od zewnątrz, wklęsłą ramką otaczają wytłoczony wzór podobny do liścia kasztana. Na powierzchni widoczne są dwa otworki, pierwotnie służące przechodzącym przez nie nitom do zaczepienia na odzieży. Pozostałe dwa, usytuowane blisko siebie, nie są przewiercone na wylot. Od wewnętrznej strony w środkowej części zgrubiony metal był pozostałością być może jakiegoś elementu służącego do przymocowania zapięcia. Wymiary przedmiotu wynoszą 1,6 x 1,7 cm, grubość ok. 0,05 cm. Przedmiot może pochodzić z XIX w. i być związany z istniejącym wówczas na tym miejscu cmentarzem.

Przedmioty codziennego użytku

Kłódka (tabl. 6:3)

Z jednostki stratygraficznej 14 pochodzi żelazna część wnętrza kłódki z systemem czterech trzpieni do zamykania, wielkości ok. 3,5 x 3,5 cm. Analogie do tego typu kłódki pochodzą ze Starego Miasta w Elblągu, gdzie odkryto podobne systemy zabezpieczeń w postaci tzw. kłódek prostokątnych, datowanych od połowy XIII w. po wiek XVI[50]. Taka sama kłódka została znaleziona np. w materiale z Szurpił, gm. Jeleniewo, pow. suwalski[51].

Klucz (tabl. 6:7)

W jednostce stratygraficznej 38 znaleziono w dobrym stanie zachowania klucz żelazny do kłódki cylindrycznej. Klucz, zachowany w całości, ma 8,4 cm długości i wykonany jest z płaskiej blaszki o grubości ok. 0,3 cm, szerokości 1,4 cm, zwężającej się w stronę okrągłego uchwytu, która to blaszka w tym miejscu ma przekrój kwadratowy o wymiarach 0,5 x 0,6 cm. Klucz z jednej strony zakończony jest kółkiem o średnicy ok. 1,7 cm. Końcówka służąca do otwierania ma wymiary 1,4 x 1,7 cm. Jest ona przedzielona na dwie części, a powstałe końcówki są z jednej strony rozdzielone, a z drugiej połączone półokrągłą poprzeczką.

Dokładną analogią dla okazu z Wielkiej Żuławy jest datowany na XIII–XIV w. klucz powstały w warsztatach rzemieślników w Elblągu[52].

Nóż (tabl. 6:5)

W jednostce stratygraficznej 11 znaleziono skorodowany nóż bez zachowanego trzonka z przełamanym ostrzem, zachowanym na długości ok. 12 cm. Największa szerokość u nasady trójkątnego w przekroju ostrza wynosi ok. 1,8 cm.

[40] Kola i Wilke 1985: 108, tabl. 12:1.

[41] Poliński 2013: ryc. 68:e.

[42] Piaskowski 1960: ryc. 26:6.

[43] Nadolski 1978: tabl. 31.

[44] Wysocki 2012: 49–50, ryc. 9.

[45] Gajewska i Kruppé 1973: ryc. 15:2.

[46] Np. Wachowski 1987: ryc. 4; Fuglewicz 2013: ryc. 10:2.

[47] Nadolski i Lewandowski 1990: 150; A. Nowakowski (red.) 1998: ryc. 26b, c.

[48] Poliński 2013: 128–129.

[49] Np. Wysocki 2012: ryc. 9; Wysocki i Klęczar 2013: ryc. 12; Gazda *et al.* 2013: ryc. 15, 30; Engel *et al.* 2013, ryc. 7:1.

[50] Internet: http://staremiastoelblag-mah.blogspot.com/2013/10/kodki-prostokatne.html; Fonferek, Marcinkowski i Sieńkowska 2012: 88.

[51] Engel i Sobczak 2016: ryc. 10:7; ogólnie o tego rodzaju późnośredniowiecznych kłódkach i sposobach ich zamykania zob. Łukomiak 2016: 97–114.

[52] Fonferek, Marcinkowski i Sieńkowska 2012: ryc. 109; analogiczne klucze do kłódek znane są m.in. z późnośredniowiecznych nawarstwień Starego Miasta we Wrocławiu – Piekalski i Wachowski (red.) 2010: ryc. 182:221, s. 260, czy w Kołobrzegu, ul. Ratuszowa – Rębkowski (red.) 1996: tabl. 44:5, s. 97; ogólnie o tego rodzaju kluczach zob. Łukomiak 2016: 89–97.

Elementy budowlane

Gwoździe (tabl. 7:1–27)

Najliczniejszą kategorią zabytków metalowych z grodziska na Wielkiej Żuławie są gwoździe, które wystąpiły w liczbie 70 sztuk. Miały one zróżnicowaną wielkość i są w różnym stopniu zachowane, niektóre mocno skorodowane. Ta kategoria przedmiotów żelaznych różnych rozmiarów i rozmaitego przeznaczenia odkrywana jest licznie na średniowiecznych stanowiskach datowanych na okres od XII w. W średniowieczu gwoździarze wytwarzali egzemplarze z łepkami oraz pozbawione tej końcówki. Gwoździe duże i masywne używane były w miejscach silnych tarć i nacisków, drobne i delikatne, czy gwoździe z ozdobną główką, jak np. bratnale, stosowane były przy okuciach zawiasów drzwi i nie pełniły funkcji konstrukcyjnych, ale częściej ozdobne. Na terenie grodziska na Wielkiej Żuławie znaleziono 55 fragmentów gwoździ z trzpieniami zachowanymi o różnej długości, lecz bez główki, w tym 40 ze śladami odcinania główki. Jedynie 15 gwoździ zaopatrzonych jest w owalne i okrągłe główki, o różnym stopniu zachowania główki. W tym z jednostek stratygraficznych 6, 21, 38 i 40 pochodzi 7 egzemplarzy delikatnych, cienkich, w przekroju kwadratowych, o wymiarach 0,3 x 0,3 cm gwoździ z główkami: cztery krótkie o długości od 3 do 4,8 cm i jeden krótki, długości 3 cm z całkowicie zachowaną główką w kształcie liścia koniczyny (tabl. 6:4), tzw. bratnal[53]. Podobne egzemplarze gwoździ ozdobnych o płaskich rozetowych główkach znaleziono w średniowiecznym gródku w Plemiętach[54]. Znaleziono także dwa gwoździe dłuższe o długości całkowitej 8 cm i 8,5 cm. Główki są dość dobrze widoczne, choć w większości przypadków nie w pełni zachowane, z częściowymi ubytkami. Najczęściej są to raczej główki małe, okrągłe średnicy od ok. 0,5 cm do 1,5 cm. Są podobne do formy znalezionej na grodzisku w Pniu, st. 1 i Elblągu[55]. Z jednostek stratygraficznych 2, 3, 6, 14, 15, 24, 27, 52, 104 oraz z humusu pochodzi dziewięć dużych, masywnych gwoździ z dużymi główkami, o różnym stopniu zachowania. Są to dwa gwoździe w przekroju prostokątne o całkowitej długości 4,4 cm i 7,5 cm oraz dwa z częściowo zachowanym trzpieniem długości 4,3 cm i 7,2 cm. Dwa całkowicie zachowane mają duże płaskie okrągłe główki o średnicy 1,5 cm oraz drugi z zagiętą końcówką i płaską dużą główką o średnicy 2 cm. Analogiami są egzemplarze także z grodziska w Pniu, st. 1[56] oraz z Elbląga, gdzie datowane są na okres XIII–XV w.[57] Natomiast 9 egzemplarzy gwoździ pochodzących z jednostek stratygraficznych 6, 14, 15, 27, 31, 38, 40 i 53 jest w przekroju prostokątnych, są dość masywne i mają płasko-ukośnie wygięte końcówki. Pięć egzemplarzy zachowanych jest w całości. Długości gwoździ zawierają się pomiędzy 7,5 cm a 8,7 cm. Są to gwoździe podobne do form znanych ze st.1 Pień, woj. kujawsko-pomorskie[58]. Tego rodzaju gwoździe ze spłaszczoną częścią górną interpretowane są jako typ B-szkudelne. Przy formowaniu główki, najprawdopodobniej podczas odcinania gwoździa od pręta, w górnej części pozostawał ślad w postaci wystającej ukośnej końcówki – wyrostka, powstały poprzez intencjonalne zagięcie lub samoistnie ulegał zagięciu[59]. W nawarstwieniach kulturowych reliktów mieszkalnych grodzisk i wież czy strażnic najliczniej znajdywane są gwoździe jako pozostałości po zniszczonych konstrukcjach. Podobny zestaw gwoździ, który liczył aż 1091 egzemplarzy znaleziono na terenie wieży mieszkalnej w Plemiętach[60].

Kliny budowlane (tabl. 8:1–9)

W jednostkach stratygraficznych 1, 2, 6 (3 szt.), 11, 21 (2 szt.) i 38 odkryto 9 fragmentów przedmiotów wykonanych z żelaza, które możemy interpretować jako różnej wielkości kliny budowlane. Są to sztabki żelazne, pochodzące z różnych części przedmiotu. Przeważnie sztabki mają jeden koniec zwężony, są zarówno płaskie, grubości ok. 0,5–0,9 cm, w przekroju prostokątne (o wymiarach ok. 1,2 x 0,5, 0,7; 0,9 cm); jak i masywniejsze, w przekroju kwadratowe (o wymiarach 1,5 x 1,5 cm). Przedmioty te zachowały się najczęściej fragmentarycznie najdłuższy ma 12 cm.

Okucia (tabl. 8:10–13; 9:2–11)

Z jednostek stratygraficznych 2 (2 szt.), 14 (1 szt.), 15 (2 szt.), 38 (3 szt.), 40 (1 szt.) pochodzi 13 fragmentarycznie zachowanych mocno skorodowanych przedmiotów żelaznych, różnej wielkości i kształtu, które interpretować można jako okucia żelazne wzmacniające inne przedmioty np. drewniane lub skórzane. Mogły to być niewielkie skrzynki, drzwiczki lub okładki ksiąg. Resztki drewna znaleziono przy jednym fragmencie płaskiej owalnej blaszki z otworami (tabl. 9:10). Lepiej zachowany fragment okucia w kształcie okrągłej blaszki z podłużna końcówką może być fragmentem okucia grzbietu książki (tabl. 9:9). Podobne w kształcie okucie znaleziono w Pniu, st. 1[61]. Okucia mają kształt podłużnych blaszek lub owalnych płytek z zachowanymi nitami o płaskich główkach lub z okrągłymi otworami po nitach. Większość małych okuć to cienkie blaszki grubości od 0,15 cm do 0,3 cm, grubsze

[53] Poliński 2013: 118–119, ryc. 54:N1C.

[54] Kola 1985: tabl. 3:11, 19.

[55] Poliński 2013: ryc. 55:a, j, ł; Fonferek, Marcinkowski i Sieńkowska 2012: fot. 100, s. 86–87.

[56] Poliński 2013: ryc. 55:k, ł.

[57] Fonferek, Marcinkowski i Sieńkowska 2012: fot. 100; Gierlach 1972: tabl. 27–38, 40–46.

[58] Poliński 2013: ryc. 54, 55:b, d.

[59] Poliński 2013: 116; Gierlach 1972: tabl. 17–21.

[60] Kola 1985: tabl. 5.

[61] Poliński 2013: ryc. 72:h.

i większe płytki mają grubość 0,4 cm. Z 38 jednostki pochodzi pięć fragmentów przedmiotu w postaci grubej blaszki z okrągłymi otworami średnicy ok. 0,5 cm pierwotnie prawdopodobnie w kształcie dużego kwadratu. Na narożnikach przedmiot był zaopatrzony w zaczepy. Być może było to także okucie drzwi. W 6 jednostce stratygraficznej znaleziono duży fragment żelaznego przedmiotu (długości ok. 15 cm), którego kształt sugeruje, iż jest to zawiasowe okucie drzwi. Wykonane jest z jednolitej, grubej (0,4 cm) płytki żelaznej, z jednej strony rozszerzającej się trójkątnie, z drugiej zawiniętej w pętlę, tworzącej uchwyt na zawias. Na płytce zachowane są okrągłe otwory średnicy 0,8 cm. Z jednostek stratygraficznych 6, 15, 21, 28, 38, 40 i 58 pochodzą bliżej nieokreślone fragmentarycznie zachowanych małe części przedmiotów z żelaza w postaci bezkształtnych blaszek lub grudek.

W jednostce 40 znaleziono część skobla drzwi wraz z gwoździem oraz część okucia w postaci miedzianej blaszki ze śladami nitów i otworów po nitach.

Inne przedmioty

W stropie 40 jednostki stratygraficznej znaleziono zwój cienkiego drucika. Drucik żelazny, cienki, miejscami spłaszczony, w przekroju okrągły, średnicy ok. 0,1 cm rozpadł się na trzy części o długości 5, 3,5 i 2,5 cm. W stropie jednostki 9 znaleziono nieokreślonego kształtu miedzianą blaszkę sklejoną z wielu warstw.

W powierzchniowej warstwie humusowej odkryto trzy fragmenty owalnych części ozdobnego, profilowanego ogrodzenia cmentarza z XIX w.

Z warstwy powierzchniowej pochodzi moneta 2 fenigi niemieckie z 1876 roku.

Zabytki z jeziora Jeziorak znalezione w czasie badań podwodnych w rejonie przeprawy mostowej z wyspy Wielka Żuława w kierunku północnym

Gwoździe

Z wody jeziora Jeziorak w rejonie przeprawy mostowej wydobyto dwa gwoździe: skorodowany, w całości zachowany gwóźdź długości 6 cm z okrągłą, płaską główką (tabl. 7:8) oraz gwóźdź z główką, długości ok. 9 cm (ryc. 28).

Podkowa (tabl. 6:8, ryc. 29)

W rejonie przeprawy mostowej znaleziono mocno skorodowaną podkowę żelazną o wymiarach 11 x 12 cm, z zachowanymi czterema podkowiakami. Widoczne są cztery owalne otwory po niezachowanych podkowiakach. Rozmieszczenie gwoździ mocujących jest wyraźnie nieregularne. Szerokie ramiona (ok. 2,5 cm), równej długości są mocno zdarte i w środkowej części grubość wynosi 0,3 cm, a w miejscu zwężających się na końcach 0,5 cm. Podkowa nie została zaopatrzona w rowek na nity. Podobna podkowa bez rowka została odkryta w nawarstwieniach XIV-wiecznego Elbląga[62]. Analogiczna podkowę znaleziono w późnośredniowiecznych warstwach na Wzgórzu Katedralnym we Fromborku[63]. Podkowa to wzmocnienie końskiego kopyta, generalnie uformowana w kształcie litery U. Przybijana była niewielkimi gwoździami zwanymi „podkowiakami" do kopyt końskich w celu zapobiegania ich ścieraniu[64].

Topór (tabl. 9:1)

W rejonie przeprawy mostowej odkryto dobrze zachowany, lekko skorodowany żelazny topór z krótkim, bo ok. 13 cm łukowatym ostrzem z lekko wyciągniętą brodą, małą szyjką i mocno zaznaczającą się osadą, niemal prostokątnym otworem o wymiarach 3 x 4 cm na drewniane toporzysko. Taką odmianę o osadzie bez wąsów i kapturka, z płaskim obuchem można zaliczyć do podtypu Va wg klasyfikacji Nadolskiego i jest szeroko datowane jego użytkowanie na okres od XI do XV w.[65] Tego rodzaju żeleźce topora zaliczone jest to typu IX według Głoska[66]. Znaleziony topór w pobliżu przeprawy mostowej ma spłaszczony obuch i lekko łukowate ostrze, a długość żeleźca wynosi 14 cm. Podobny toporek znaleziony na terenie gródka rycerskiego w Plemiętach, datowany od schyłku XIII w. do 1414 r.[67], jest najbliższą typologiczną i chronologiczną analogią. Podobne okazy znaleziono w innych gródkach: rycerskim w Siedlątkowie z II połowy XIV w.[68], w gródku w Plemiętach[69] oraz w grodzisku w Widoradzu, st. 1, pow. wieluński[70], a także w grodzisku w Łodygowie, st. 1[71]. Identyczny topór znaleziono w bezpośrednim sąsiedztwie grodziska w Raduniu, st. 16, woj. zachodniopomorskie, przy brzegu jeziora Raduń[72]. Są to duże, masywne formy późnośredniowieczne, których występowanie można ogólnie określić na poł. XIV w.

Zgodnie z opinią bronioznawców topór był wiodącym asortymentem w kategorii tzw. broni obuchowej, zwłaszcza w średniowieczu. Zapewne wynikało to z dużej uniwersalności tego wyrobu kowalskiego, który w walce stanowił groźną broń, a jednocześnie mógł być narzędziem pracy. Z powyższego względu systematyka tej broni, opracowana pół wieku temu przez Andrzeja Nadolskiego[73], nie odróżnia toporów

[62] Fonferek, Marcinkowski i Sieńkowska 2012: ryc. 119.
[63] Gajewska i Kruppé 1973: ryc. 15:1.
[64] Gierlach 1972: tabl. 3–7, 71–72.
[65] Nadolski 1954: 46.
[66] Głosek 1996.
[67] Głosek 1996: 35.
[68] Kamińska 1968: tabl. 1:9, 13:4.
[69] Głosek 1985: tabl. 10:2.
[70] Abramek 1995, 2007: ryc. 8:3–4.
[71] Por. opracowanie wyników badań tego grodziska, w niniejszej publikacji.
[72] Chudziak, Kaźmierczak i Niegowski 2011: ryc. 164:e.
[73] Nadolski 1954: 36–50.

bojowych od siekier, które w późnym średniowieczu stały się głównie bardziej bronią plebejską[74].

Przęślik (ryc. 30)

Gliniany przęślik zachowany połowicznie, w kształcie okrągły, o średnicy ok. 3,2 cm, wysokości ok. 2,8 cm i średnicy otworu wewnętrznego 1 cm. Przęślik ważący 13,07 g. ma szorstką, spłukaną powierzchnię, barwy ceglastej.

Cieżarki do sieci (ryc. 31–33)

Ceramiczny ciężarek do sieci o ciężarze 219,19 g. zachowany w całości, w kształcie okrągły o średnicy 9,5 cm z otworem wewnętrznym średnicy 1,2–2 cm (ryc. 31). Otwór nawiercany był z jednej strony, bardziej profilowanej, z drugiej, płaskiej strony ciężarka otwór jest mniejszy, o nierównej krawędzi, zatarty. Wykonany jest z masy ceramicznej z dużą zawartością piasku i miki, barwy żółtawej. Tego rodzaju duże formy ciężarków nazywane grzęzidłami służyły do obciążenia brzegów sieci rybackiej. Występowały w różnych kształtach i wykonywane były z różnych materiałów zarówno w okresie wczesnośredniowiecznym jak i późniejszych okresach. Analogiczne grzęzidło znaleziono w czasie badań podwodnych w Mrągowie, woj. warmińsko-mazurskie, st. 16[75].

Ceramiczny ciężarek do sieci, o wadze 163,30 g, zachowany niemal w całości, z ubytkiem ze strony brzegowej, w kształcie okrągły o średnicy 9,5 cm o obwodzie nieco nierównym i powierzchni zniszczonej przez wodę (ryc. 32). Duży otwór wewnętrzny średnicy 2 cm był formowany z jednej strony przez zaoblenie krawędzi ścianki otworu. Z drugiej, bardziej płaskiej strony ciężarka otwór ma brzeg ostry bez wykończenia. Ciężarek-grzęzidło wykonany jest z masy ceramicznej z dużą zawartością piasku i miki, barwy brązowo/ceglastej z widocznymi ziarnami domieszki na mocno zdartej powierzchni z obu stron.

Ciężarek w kształcie jajowaty, o wadze 61,17 g, zachowany w całości, o średnicy w najszerszym miejscu wynoszącej 4 cm i wysokości ok. 4,8 cm, ma otwór wewnętrzny średnicy ok. 0,8 cm (ryc. 33). Powierzchnia jest lekko spłukana, szorstka z licznymi ziarnami piasku i miki, barwy jasno/ceglastej. Jest to także grzęzidło do obciążania brzegu sieci rybackich. Podobnej formy grzęzidło znaleziono w Czermnie nad Huczwą[76].

Dachówki i kafel (ryc. 34)

Trzy duże fragmenty dachówek, o spłukanych powierzchniach, barwy ceglastej, masywne w kształcie o wymiarach ok. 13 x 23 cm, o grubości ok. 1,5 cm Są to formy pokrywające dachy domostw od XIX w.

Kafel piecowy zachowany w połowie, kwadratowy w kształcie, z powierzchnią zewnętrzną pokrytą zielona polewą i ornamentem roślinnym w czterech punktach wgłębionych (ryc. 34).

Ryc. 28. Iława, st. 33 – Wielka Żuława. Gwóźdź żelazny z badań podwodnych w rejonie przeprawy mostowej na północ od grodziska (fot. A. Pydyn)

Ryc. 29. Iława, st. 33 – Wielka Żuława. Podkowa z badań podwodnych w rejonie przeprawy mostowej na północ od grodziska (fot. A. Pydyn)

Ryc. 30. Iława, st. 33 – Wielka Żuława. Przęślik z badań podwodnych w rejonie przeprawy mostowej na północ od grodziska (fot. A. Pydyn)

Ryc. 31. Iława, st. 33 – Wielka Żuława. Ciężarek do sieci z badań podwodnych w rejonie przeprawy mostowej na północ od grodziska (fot. A. Pydyn)

[74] Głosek 2004: 238–241.

[75] Chudziak, Kaźmierczak i Niegowski 2011: ryc. 103:e–f.

[76] Zbierski 1959: tabl. 1:2–5.

Ryc. 32. Iława, st. 33 – Wielka Żuława. Ciężarek do sieci z badań podwodnych w rejonie przeprawy mostowej na północ od grodziska (fot. A. Pydyn)

Ryc. 33. Iława, st. 33 – Wielka Żuława. Ciężarek do sieci z badań podwodnych w rejonie przeprawy mostowej na północ od grodziska (fot. A. Pydyn)

Ryc. 35. Iława, st. 33 – Wielka Żuława. Drewniany przedmiot z badań podwodnych w rejonie przeprawy mostowej na północ od grodziska (fot. A. Pydyn)

Ryc. 34. Iława, st. 33 – Wielka Żuława. Fragment kafla z badań podwodnych w rejonie przeprawy mostowej na północ od grodziska (fot. A. Pydyn)

Inne przedmioty

Dwa fragmenty bliżej niekreślonych przedmiotów. Są to: drewniany drążek, o wymiarach 5 x 16 cm (ryc. 35) oraz fragment belki lub pala zachowany na długości ok. 1 m (ryc. 36).

Trzy fragmenty silnie skorodowanych przedmiotów z żelaza. Jest to oraz silnie skorodowany przedmiotu bliżej nieokreślonej funkcji, płaski, zachowany na długości ok. 11,5 cm, oraz dwa fragmenty jednego przedmiotu o nieokreślonym kształcie, długości ok. 10 cm i 6 cm.

Podsumowanie

Średniowieczna ceramika, głównie garnki i dzbany codziennego użytku bez egzemplarzy tzw. stołowych, jest jednoczasowa i świadczy o raczej niewielkiej, średniozamożnej grupie zamieszkującej teren grodu. Warto zauważyć, że choć w materiałach z Iławy – Wielkiej Żuławy znaleziono wiele przedmiotów i fragmentów przedmiotów z żelaza, to jednak są to głównie przedmioty codziennego użytku. Oprócz ostrogi znaleziono także podkowę zachowaną w całości oraz części uzbrojenia, a także fragmenty nieokreślonych przedmiotów z żela-

Ryc. 36. Iława, st. 33 – Wielka Żuława. Drewniany przedmiot z badań podwodnych w rejonie przeprawy mostowej na północ od grodziska (fot. A. Pydyn)

za, które mogły służyć jako okucia sprzętów, ksiąg czy elementy oporządzenia jeździeckiego. Duża liczba przedmiotów związana z budownictwem, obecność narzędzi i przedmiotów związanych z zabezpieczeniem drzwi, wskazuje także na średnią zamożność mieszkańców grodu. Podkowa odpowiadająca formom występującym w XIII–XIV w. części uzbrojenia oraz ostroga świadczą o obecności zbrojnych jeźdźców na terenie grodu.

KOŚCI ZWIERZĘCE

JOANNA PIĄTKOWSKA-MAŁECKA

Analizie poddano zbiór szczątków kostnych w liczbie 694 fragmentów. Pod względem gatunkowym i anatomicznym zidentyfikowano 457 sztuk, co stanowi 65,8%. Stanowiły one resztki po spożytym mięsie, były dość silnie rozdrobnione i pokawałkowane. Rzadko znajdowane były zachowane nasady kości długich, najczęściej były to jedynie fragmenty trzonów. Na pokonsumpcyjny charakter materiałów wskazuje nie tylko stan ich zachowania, ale również zaobserwowane na powierzchniach kości ślady związane z przygotowywaniem mięsa do konsumpcji. Najliczniej reprezentowane były ślady rąbania, wykonywane zapewne w celu podziału części tuszy oraz ślady nacięć. Dotyczyły one przede wszystkim kości gatunków hodowlanych (świni, bydła, owcy i kozy), w mniejszym stopniu dzikich (głównie jelenia), związanych z wartościowymi odcinkami szkieletu – tułowiem (żebra), odcinkiem bliższym kończyny piersiowej (łopatka, kość ramienna i promieniowa) i miednicznej (miednica, kość udowa i piszczelowa). Kości długie rąbane były zarówno wzdłuż, jak i w poprzek trzonów. Obróbka kuchenna poświadczona jest również przez ślady opalenia i przepalenia niektórych fragmentów kostnych na kolor czarny i biały. Poza śladami związanymi z przygotowywaniem mięsa do konsumpcji na niektórych szczątkach zaobserwowano ślady powstałe po ich wyrzuceniu jako odpady. Były to ślady ogryzania przez zwierzęta mięsożerne.

Wśród szczątków zidentyfikowanych wyróżniono fragmenty kostne należące do trzech gromad kręgowców: ryb (6 fragmentów), ptaków (22 fragmenty) i ssaków (427 sztuk). Identyfikacji gatunkowej i anatomicznej dokonano wyłącznie w odniesieniu do pozostałości ssaków, wśród których dominowały kości gatunków udomowionych (92,8%), na drugim miejscu znajdowały się szczątki ssaków dzikich (7,2%). Te ostatnie reprezentowane były przez pięć gatunków: jelenia, łosia, sarnę, zająca i niedźwiedzia (tab. 4).

Wśród ssaków udomowionych najwięcej było kości owcy i kozy (35,9%) oraz bydła (32,9%). Nieco mniej licznie występowały resztki kostne świni (25,1%). Najmniej było kości konia (5,8%) i psa (0,3%). Wśród kości owcy i kozy trzy zidentyfikowano jako przynależne do owcy. Podstawą gospodarowania zwierzętami ludności zamieszkującej w Iławie była więc hodowla zwierząt udomowionych, głównie małych i dużych przeżuwaczy, w średnim stopniu uzupełniania przez łowiectwo zwierząt dzikich. Prowadzona hodowla miała charakter wielokierunkowy skierowany na różne zwierzęta, bez wyraźniej specjalizacji w preferencji określonego gatunku. Podstawę diety stanowiła jagnięcina, baranina i wołowina.

Z analizy rozkładu anatomicznego szczątków owcy, kozy, bydła i świni wynika, że różniły się one między sobą. W przypadku pozostałości owcy i kozy najwięcej odnotowano kości z wartościowych odcinków szkieletu: tułowia (41,3%), odcinka bliższego kończyny piersiowej (27,3%) i miednicznej (25,9%). Znacznie mniej było kości związanych z małowartościowymi pod względem konsumpcyjnym częściami ciała, takimi jak: głowa (1,4%), odcinki dalsze obu kończyn (1,4% kończyna piersiowa i 2,1% kończyna miedniczna) oraz człony palcowe (0,7%; tab. 5). Podobna sytuacja dotyczyła pozostałości bydła, z tą różnicą, że najwięcej szczątków należało do bliższego odcinka kończyny miednicznej (35,9%), następnie tułowia (21,4%) i bliższego odcinka kończyny piersiowej (15,3%). Pozostałe odcinki szkieletu reprezentowane były przez mniejszą liczbę szczątków. Odmienna sytuacja dotyczyła resztek kostnych świni, wśród których wyraźnie dominowały, stanowiąc prawie 50% udział, kości głowy. Na drugim miejscu znajdowały się kości tułowia (21,6%), pozostałe części ciała reprezentowane były w mniejszych udziałach od 11,0% do 4,0%.

Obecność wszystkich elementów szkieletu owcy, kozy, bydła i świni wskazuje, że zarówno ubój, jak i rozbiór tuszy oraz konsumpcja mięsa odbywały się w obrębie zasiedlonego miejsca. Znaczna liczba kości bliższych odcinków kończyny piersiowej i miednicz-

Tabela 4. Zestawienie szczątków zwierzęcych z grodziska w Iławie, st. 33 – Wielka Żuława (oprac. J. Piątkowska-Małecka)

Identyfikacja zoologiczna	n	%
Bydło	131	32,9%
Świnia	100	25,1%
Owca/koza	143	35,9%
Koń	23	5,8%
Pies	1	0,3%
Razem ssaki udomowione	398	100,0%
Jeleń	21	
Łoś	2	
Sarna	5	
Niedźwiedź	2	
Zając	1	
Razem ssaki dzikie	31	
Razem ssaki	429	
Ptak	22	
Ryba	6	
Szczątki niezidentyfikowane	236	

Tabela 5. Rozkłady anatomiczne szczątków owcy, kozy, bydła i świni z grodziska w Iławie, st. 33 – Wielka Żuława (oprac. J. Piątkowska-Małecka)

Część ciała	Owca/koza		Bydło		Świnia	
	n	%	n	%	n	%
Głowa	2	1,4%	14	10,7%	46	46,0%
Tułów	59	41,3%	28	21,4%	21	21,0%
OBKP	39	27,3%	20	15,3%	11	11,0%
ODKP	2	1,4%	8	6,1%	5	5,0%
OBKM	37	25,9%	47	35,9%	8	8,0%
ODKM	3	2,1%	10	7,6%	5	5,0%
Człony palcowe	1	0,7%	4	3,1%	4	4,0%
Razem	143	100,0%	131	100,0%	100	100,0%

nej małych i dużych przeżuwaczy potwierdza intensywny podział tych elementów podczas procesów związanych z ich przygotowywaniem do konsumpcji. Znaczny udział kości głowy świni wskazuje, że ten małowartościowy element anatomiczny był przedmiotem konsumpcji, podlegającym intensywnemu dzieleniu na mniejsze części. Pośrednio może stanowić też wskazówkę dotyczącą stopnia zamożności, konsumpcja głowizny świni wiąże się raczej z ludnością ubogą i niezbyt zasobną.

Wśród szczątków bydła udział kości zwierząt zabitych w młodym wieku równy był 3,8%. Znacznie wyższy był w przypadku kości owcy i kozy (18,6%) oraz świni (18,0%). W przypadku bydła otrzymana wartość wskazuje na tzw. hodowlę ekonomiczną, w której zostają zapewnione właściwe proporcje między osobnikami kierowanymi do uboju i pozostawianymi przy życiu w celu przyżyciowego użytkowania jako źródło mleka i siły pociągowej. Wyższy odsetek kości owcy i kozy zabitych w młodym wieku sugeruje, że gatunki te często zabijane były w celu pozyskania mięsa do konsumpcji, natomiast wykorzystanie walorów przyżyciowych nie było priorytetem w ich hodowli. Odsetek kości młodych świń jest natomiast zaniżony w stosunku do modelu wzorcowego, występującego na większości stanowisk archeologicznych w pradziejach i czasach historycznych, gdzie osiąga na ogół wartości około 30%. Sugeruje to, że świnie trzymane były z dwóch powodów – chęci uzyskania mięsa oraz tłuszczu. W przypadku pozostałości konia wiadomo, że fragment czaszki konia z zachowanymi siekaczami należał do osobnika dorosłego, ale nie starego, w wieku około 10 lat.

Nieliczne dane odnoszą się do płci. Wśród resztek kostnych bydła wyodrębniono jeden fragment należący do samicy. Wśród szczątków świni trzy fragmenty reprezentowały samicę, a jeden samca. Obecność w materiale dwóch kłów konia wskazuje, że należały one da samca. Zbyt mała liczba danych nie pozwala na wysnuwanie dalszych wniosków.

Zmierzono nieliczne fragmenty kostne bydła, owcy, świni i jelenia. Na podstawie długości kości śródręcza bydła obliczono wysokość w kłębie tego osobnika, która wynosiła 97,8 cm. Ponadto dla tego gatunku 5 wymiarów przetransponowano na skalę 100- punktową. Większość wartości zawierała się w przedziale od 15 do 34 punktów, co oznacza że bydło należało do typu niskorosłego *Bos taurus brachyceros*. Tylko jeden wymiar był znacznie większy, na skali punktowej odpowiadał wartości 90 punktów. Należał on do osobnika dużego. Z metryczki wynika, że materiał gdzie znajdował się ten fragment został wydobyty przez koparkę, nie można więc wykluczyć, że jest to współczesna domieszka.

Dla świni uzyskano dwa wymiary szerokościowe kości promieniowej, których wartości przetransponowano na skalę 100-punktową. Odpowiadały one 18 i 38 punktom. Na ich podstawie można stwierdzić, że świnie cechowały się średnimi i dużymi rozmiarami ciała i należały do formy udomowionej. Na podstawie długości kości śródręcza owcy obliczono wysokość w kłębie, która równa była 57,8 cm. Osobnik ten reprezentował więc formę owcy małej, o typie muflonowatym.

Podsumowując można stwierdzić, że gospodarowanie zwierzętami ludności zamieszkującej wyspę koncentrowało się na hodowli przeżuwaczy, przy czym małe przeżuwacze trzymane były głównie ze względu na zaopatrzenie w mięso, a w przypadku bydła wykorzystywano także walory przyżyciowe tych zwierząt. Uzupełnienie stanowiła świnia, której hodowla miała zapewne charakter dwukierunkowy – mięsno-tłuszczowy.

Tabela 6. Wymiary kości zwierzęcych z grodziska w Iławie, st. 33 – Wielka Żuława (oprac. J. Piątkowska-Małecka)

Gatunek	Element anatomiczny	Rodzaj pomiaru	mm	Liczba punktów/ WH (cm)
Bydło	Kość piszczelowa	Bd	50	20
	Kość śródręcza	GL-Bp-Bd-SD; Bp	163–54–54–30/20; 46	17/WH=97,8; 20
	Człon palcowy I	GL-Bp-Bd	46–25–24; 76–40–40; 53	15; 90; 34
	Człon palcowy III	DLS-Ld-HP	50–44–30	
Owca	Kość promieniowa	Bd	33	
	Kość śródręcza	GL-Bp-Bd-SD	118–18–21–12/9	WH=57,7
	Kość piszczelowa	Bd	26	
Świnia	Kość promieniowa	Bp	25; 31,5	18; 38
	Kość śródręcza II	GL	82; 76; 98	
Jeleń	Kość skokowa	Gli-GLm-Bd	57–54–34; 59---35	
	Człon palcowy I	Bp	22	

CHRONOLOGIA STANOWISKA

MAGDALENA RUTYNA I JACEK WYSOCKI

Chronologia stanowiska zamyka się w okresie przełomu wczesnego i późnego średniowiecza. Odkryty w trakcie badań podwodnych most prowadzący od północy na wyspę został wydatowany na trzecią ćwierć XIII w. Ceramika odkryta w trakcie badań nosi zarówno cechy tradycyjnej ceramiki wczesnośredniowiecznej, jak i – w większości – późnośredniowiecznej (ceramika „siwa", ceglasta i polewana). Podobnie na przełom XIII i XIV w. wskazuje datowanie niektórych zabytków wydzielonych (ostroga).

DZIEJE GRODZISKA NA WYSPIE WIELKA ŻUŁAWA

W kontekście dokonanego odkrycia mostu na wyspę datowanego na trzecią ćw. XIII w.[77], należy przyjąć, że relikty grodu są pozostałościami najstarszej ufortyfikowanej fazy osadnictwa krzyżackiego na tym terenie. Obecność ceramiki ceglastej i polewanej świadczy o aktywności na terenie grodu do co najmniej drugiej połowy lub końca XV w. Należy sądzić, że po jego zniszczeniu lub opuszczeniu lokalizacja zamku została przeniesiona w inne miejsce (na wyspie[78], lub na terenie stałego lądu, w okolicach założenia miejskiego), gdzie wzniesiono już prawdopodobnie budowlę murowaną. Niestety, nie zdołano dotychczas wskazać jednoznacznie tej nowej lokalizacji.

Odkryte struktury średniowieczne były zniszczone wkopami nowożytnymi, z których część była związana z funkcjonowaniem cmentarza (jamy grobowe, rowy pod ogrodzenia), a część z funkcjonowaniem ośrodka wczasowego (wkopy pod fundamenty domków, wkopy pod kable i inne instalacje, wkopy śmietnikowe, wypełnione śmieciami z początku lat 70. XX wieku).

Nie zaobserwowano żadnych jednoznacznych śladów umocnień dookolnych stożka w postaci płotów czy palisad. Jednakże należy liczyć się z możliwością zniszczenia śladów tych umocnień w okresie nowożytnym, co zaobserwowano w nawarstwieniach fosy.

Badania grodziska na Wielkiej Żuławie pozwoliły na rozpoznanie wczesnej fortyfikacji krzyżackiej o charakterze drewniano-ziemnym. Wskazuje na to istnienie zespołu zabytków ruchomych charakterystycznych dla grupy ludzi posługujących się pismem (okucia książek), posiadających poczucie prywatnej własności (kłódka), wywodzących się ze stanu rycerskiego (ostroga) oraz dysponujących najnowszymi technikami militarnymi (kusza). Na istnienie drewnianych budynków naziemnych wskazują ślady bruków i konstrukcji drewnianych, oraz brak większych ilości polepy lub gliny, co mogłoby świadczyć o istnieniu budowli szkieletowych. Brak śladów po słupach wyklucza raczej istnienie klasycznych konstrukcji szkieletowych, natomiast odkrycie belki podwalinowej sugeruje być może konstrukcję sumikowo-łątkową wzniesionych naziemnych budynków drewnianych. Nie jest jasne, czy obiekt ten został zniszczony w sposób gwałtowny (o czym mogłyby świadczyć cenne przedmioty pozostawione wewnątrz (księga, ostroga), czy też został opuszczony, na co wskazywałby brak śladów warstwy pożarowej na stożku i w fosie. Mogły one jednak zostać usunięte (zniszczone) przez późniejsze prace niwelacyjne.

[77] Popek *et al.* 2013: 373

[78] Por. Lasek i Przypkowski 2013: 381; Lasek i Szczepański 2016.

Kamionka, st. 9

Gmina Iława

Powiat iławski

AZP 27-52/66

Współrzędne geograficzne:

N 53° 36’ 32”

E 19° 30’ 39’’

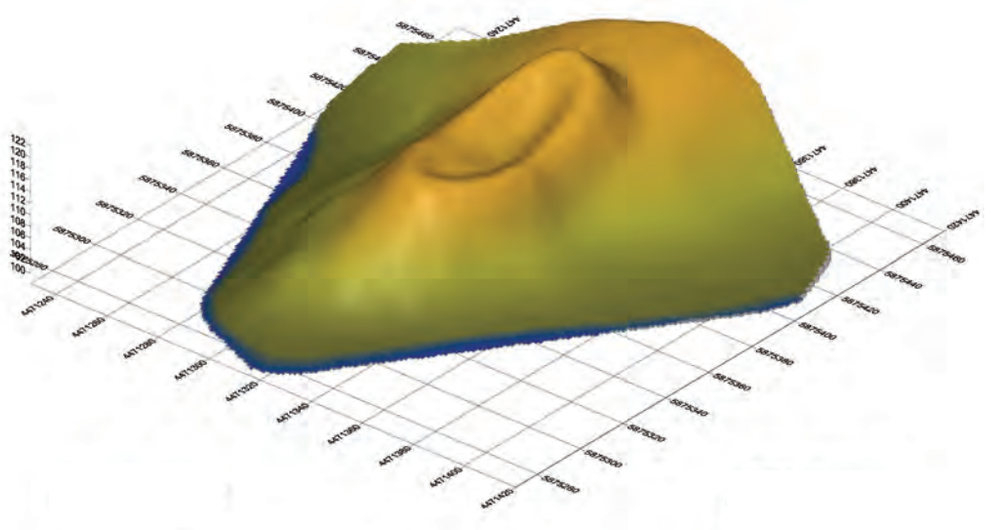

Ryc. 1. Grodzisko w Kamionce, st. 9 na mapie w skali 1:25 000 (na podstawie materiałów CODGiK, oprac. R. Solecki)

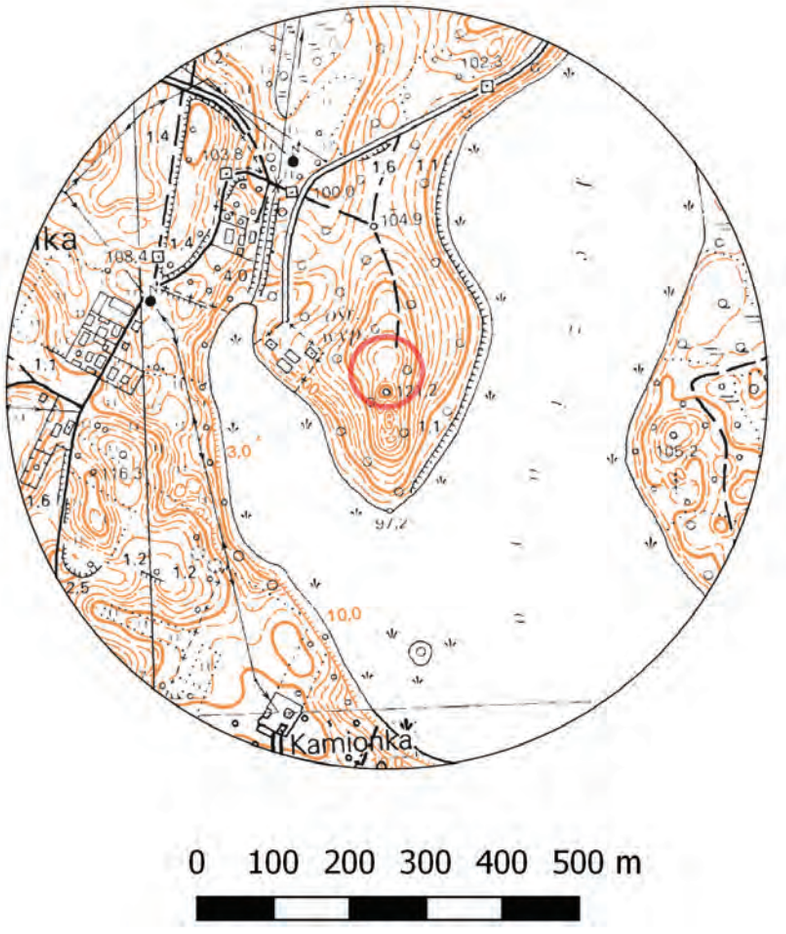

Ryc. 2. Grodzisko w Kamionce, st. 9 na mapie w skali 1:10 000 (na podstawie materiałów CODGiK, oprac. R. Solecki)

POŁOŻENIE GRODZISKA I JEGO FORMA

MAGDALENA RUTYNA I DARIUSZ WACH

Grodzisko w Kamionce położone jest na półwyspie jeziora Silm. Zbudowane zostało na naturalnym, piaszczystym wzniesieniu. Duży owalny pagórek, zorientowany dłuższą osią południkowo, zwieńczony jest okazałymi wałami. Najwyższy punkt usytuowany na północnym wale, ma wysokość 120,9 m n.p.m., a najniższy, związany z poziomem jeziora, to około 98,0 m n.p.m., co daje deniwelacje prawie 23 m. Różnice wysokości między najwyższym miejscem na wałach, a najniższym punktem w obrębie majdanu wynoszą 9 m. Tak duże różnice wysokości na niewielkim obszarze skutkują dużym nachyleniem stoków. Owalny majdan, o wymiarach 36 x 92 m, tworzy nieckę (część centralna jest najbardziej zagłębiona). Wał otaczający majdan sięga 3–6 m ponad poziom wysoczyzny. Fosa znajduje się po północnej stronie grodziska.

ŚRODOWISKO FIZYCZNO-GEOGRAFICZNE

JERZY NITYCHORUK I FABIAN WELC

Otoczenie grodziska w Kamionce, st. 9 jest zbudowane z osadów lodowcowych i wodnolodowcowych stadiału górnego, zlodowacenia Wisły[1] (ryc. 8). Na wschodzie występują głównie piaski i żwiry wodnolodowcowe poziomu sandrowego III na glinach zwałowych, natomiast na zachodzie gliny zwałowe ze stadiału głównego oraz pagórki moren czołowych zbudowane z piasków, żwirów i glin spływowych. Sam obiekt jest utworzony na pagórku kemowym, który jest jednym z wielu tego typu pagórków, rozciągniętych NNW–SSE w systemie rynny subglacjalnej zajmowanej obecnie przez jeziora Silm i Szymbarskie. Po wschodniej stronie jeziora Silm rozciąga się równina, którą budują torfy na gytiach, pozostałość po zarośniętej części jeziora, które w holocenie miało większy zasięg. Obniżeń wypełnionych torfem jest więcej, występują one w otoczeniu jeziora i dokumentują małe zarośnięte już podmokłości.

Na stanowisku, zbudowanym z piasków kemowych, występują mało żyzne gleby bielicowe. Na glinie zwałowej, która została stwierdzona na zachód od stanowiska występują gleby płowe, średniej żyzności III i IV klasy, na piaskach sandrowych, które udokumentowano na wschód od stanowiska, występują gleby bielicowe niskiej żyzności V i VI klasy, a na torfach, występujących na wschodzie w obszarze zajętym wcześniej przez jezioro, występują gleby bagienne, trudne do uprawy i kwaśne, co przekłada się na ich słabą jakość.

[1] Gałązka 2012a.

Ryc. 3. Grodzisko w Kamionce, st. 9 – widok od zachodu (fot. J. Wysocki)

Ryc. 4. Grodzisko w Kamionce, st. 9 – widok od północy (fot. J. Wysocki)

Ryc. 5. Wały i majdan grodziska w Kamionce, st. 9 – widok od północy (fot. J. Wysocki)

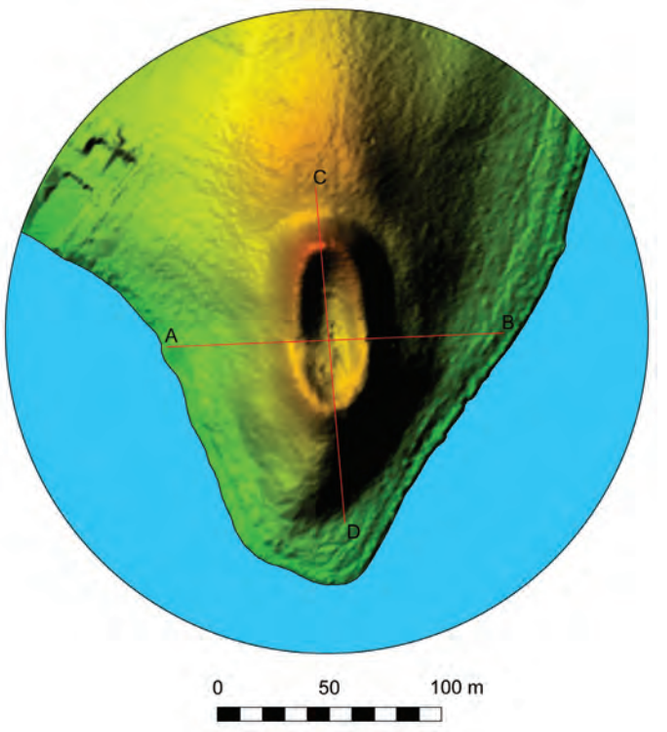

Ryc. 6. Grodzisko w Kamionce, st. 9 na zobrazowaniu ALS (na podstawie materiałów CODGiK, oprac. R. Solecki)

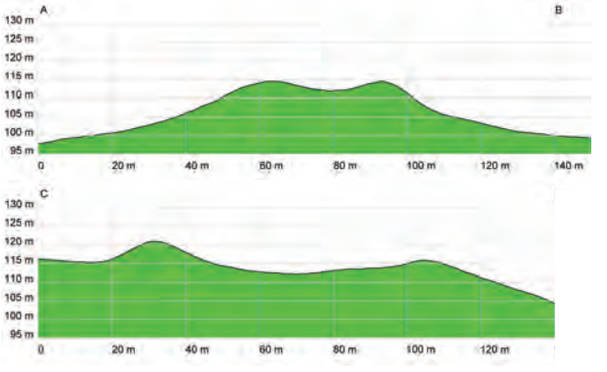

Ryc. 7. Przekroje grodziska w Kamionce, st. 9 uzyskane z danych ALS (na podstawie materiałów CODGiK, oprac. R. Solecki)

W ramach prac geologicznych wykonano 10 wierceń, na podstawie których wykonano dwa przekroje geologiczne (ryc. 9–10).

Najstarszymi osadami widocznymi na przekrojach geologicznych są gliny zwałowe, barwy brązowej (wydzielenie 1), udokumentowane w wierceniach K5m i K6m, na przekroju A–B. Z przekroju wynika, że powierzchnia gliny zwałowej jest mocno nachylona i współkształtna z powierzchnią terenu. Jest to jedna z możliwych interpretacji. Inna może zakładać istnienie dwóch, poziomo leżących warstw gliny zwałowej. Opisywana glina zwałowa pochodzi z wytapiania lądolodu stadiału głównego zlodowacenia Wisły.

Na kolejne wydzielenie (2) składają się piaski drobnoziarniste i średnioziarniste z przewarstwieniami orsztynu, barwy żółto-brązowej, miejscami z warstwowaniem skośnym, miejscami z horyzontalnym, niekiedy z przewarstwieniami mułku. Osady te są powszechne na opracowywanym stanowisku i widoczne na obu przekrojach geologicznych. Ich wykształcenie frakcjonalne i warstwowania, a także udokumentowane w nich uskoki, pozwalają badaną formę morfologiczną uznać za kem.

Jezioro Silm, wraz z sąsiadującym od północy jeziorem Szymbarskim, usytuowane są w rynnie subglacjalnej, którą spływały wody lodowcowe. W profilu rynien subglacjalnych charakterystyczne są obniżenia, obecnie zajęte przez wody jezior, i wyniesienia, gdzie odbywała się sedymentacja piasków kemowych, między bryłami wytapiających się lodów. Formy kemowe występują obecnie między jeziorami lub na wyspach.

Wydzielenie 3 obejmuje osady przekształcone przez człowieka, budujące zarówno wały, jak obszar majdanu, czy bramy wjazdowej na teren grodziska w Kamionce. Jest to głównie piasek drobnoziarnisty i średnioziarnisty ze żwirem, z domieszką węgli drzewnych i organiki. Najbardziej miąższe osady występują w wałach, w północnej części obiektu miąższość tych osadów osiąga 4,9 m! (wiercenie K4m, na przekroju C–D). Na majdanie omawiane osady (3) mogą osiągać 1,5 m miąższości (wiercenie K4r, na przekroju A–B i C–D), a w miejscu gdzie była brama 2,0 m (wiercenie K5m, na przekroju A–B). Lokalizacja bramy wjazdowej wynika z przesłanek wysokościowych – najniższy punkt na wałach obiektu, ale też z przesłanek geologicznych, czyli przesycenia organiką i fragmentami drewna z rozłożonej konstrukcji drewnianej występujących tu piasków.

Najmłodsze osady (wydzielenie 4), występują w wierceniu K6m na przekroju A–B i wierceniu K1r na przekroju C–D. Są to osady stokowe – piaski drobnoziarniste, z domieszką substancji organicznych, barwy szarej.

BADANIA ARCHEOLOGICZNE

MAGDALENA RUTYNA, DARIUSZ WACH I RAFAŁ SOLECKI

Przebieg badań terenowych

W literaturze grodzisko w Kamionce, st. 9 występuje również pod nazwami miejscowości Silma, Łanioch oraz Stradomno[2]. Było ono kilkukrotnie badane[3]. Przed

[2] Zob. Łapo 2009b: 249, 275.

[3] Szerzej na ten temat zob. Łęga 1930: 557; Hoffmann 1999b: 14; Kobyliński, Wach i Rutyna 2013: 281–282; Szczepański 2013: 241–242.

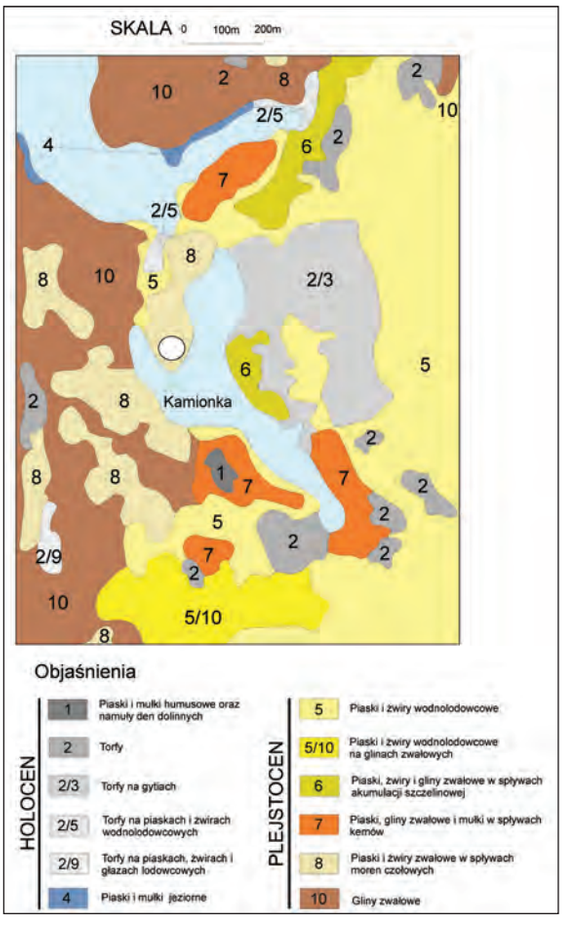

Ryc. 8. Mapa geologiczna okolic grodziska w Kamionce, st. 9 (oprac. J. Nitychoruk i F. Welc)

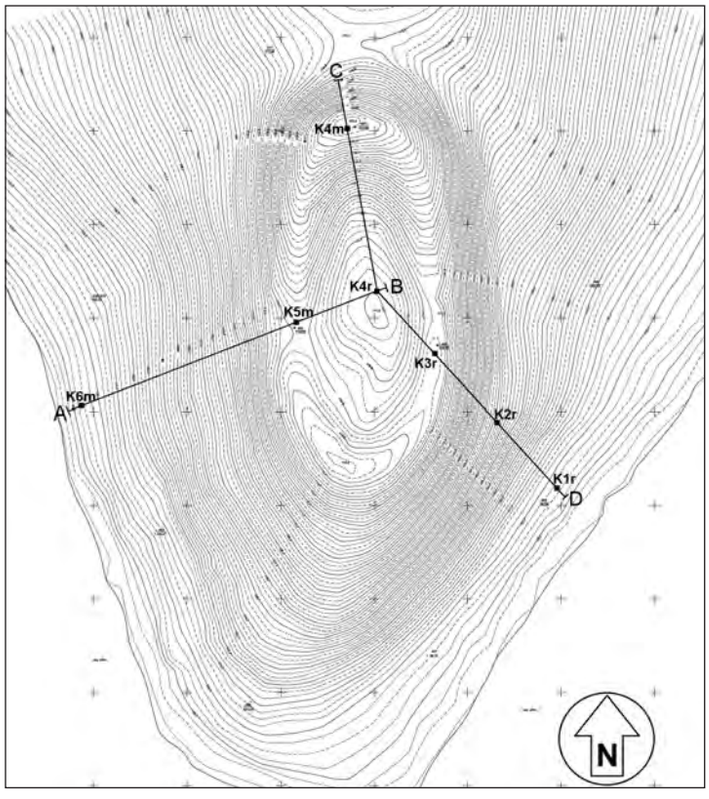

Ryc. 9. Kamionka, st. 9. Plan warstwicowy grodziska (wyk. J. Błaszczyk) z zaznaczonymi miejscami wierceń geologicznych (oprac. J. Nitychoruk i F. Welc)

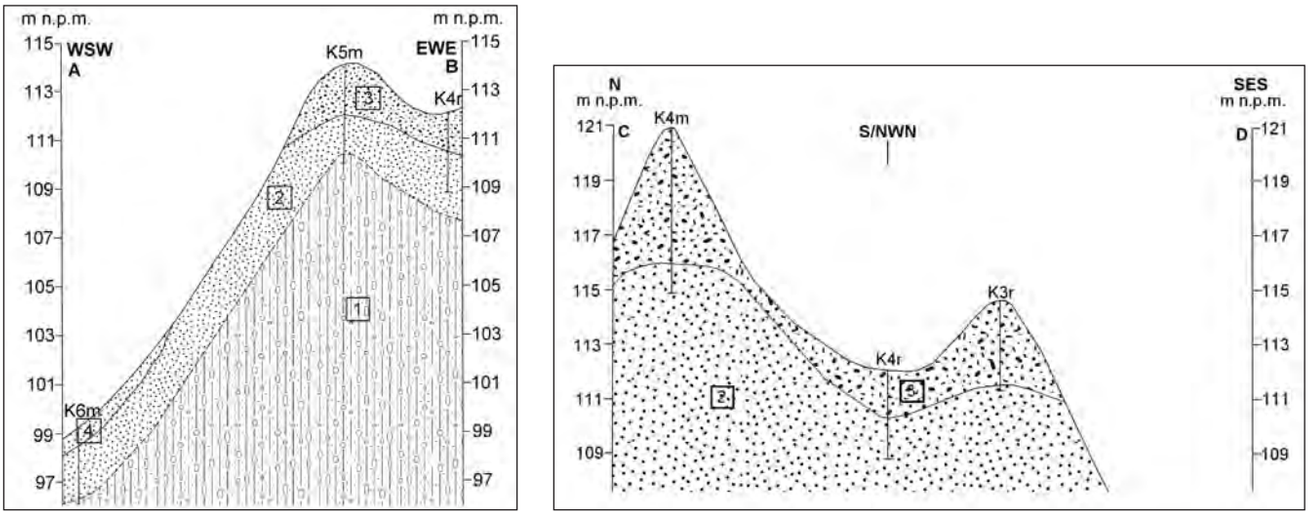

Ryc. 10. Przekrój geologiczny grodziska w Kamionce, st. 9: 1 – gliny zwałowe, 2 – piaski średnio i gruboziarniste, 3 – piaski średnio i drobnoziarniste (oprac. J. Nitychoruk i F. Welc)

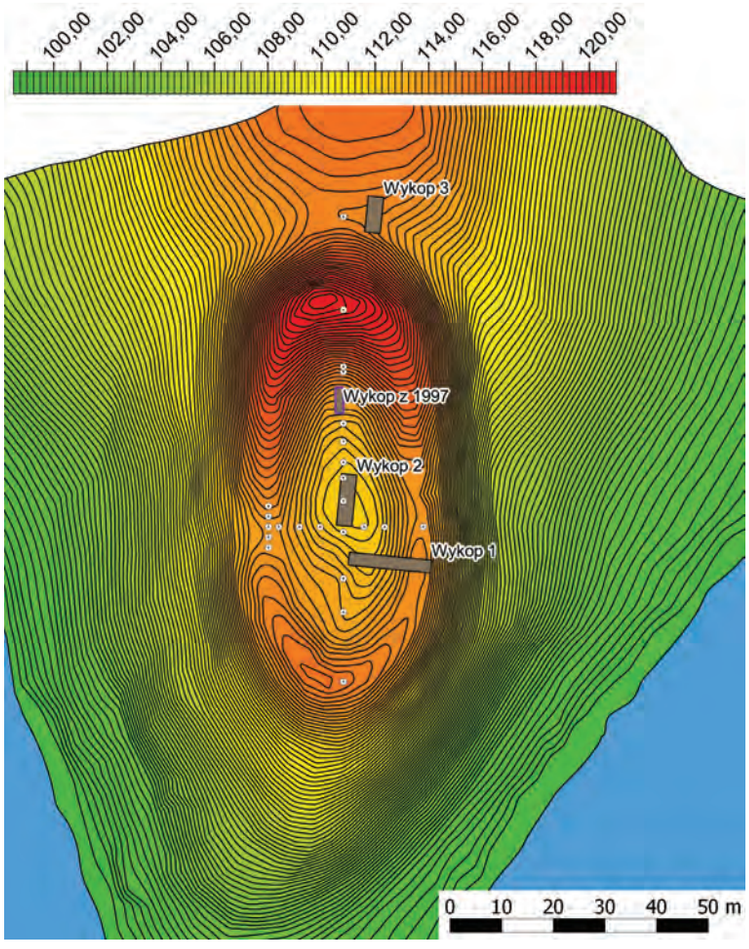

Ryc. 11. Plan sytuacyjno-wysokościowy grodziska w Kamionce, st. 9 z rozmieszczeniem wykopów z roku 2012 (na podstawie pomiarów J. Błaszczyka, oprac. R. Solecki)

1876 r. badania wykopaliskowe prowadził Abraham Lissauer[4]. Odkryto wówczas na kamiennym bruku wewnątrz wału liczne fragmenty węgli i ceramiki oraz naczynie zawierające jakoby ludzką czaszkę. Kolejne wykopaliska odbyły się w 1908 r.; kierował nimi Paul Kumm[5]. W trakcie eksploracji, w południowej części grodziska, odsłonięto skupisko kamieni oraz palenisko. Z kolei przy wale natrafiono na ludzki szkielet oraz duże ilości węgla. Odkryto również liczne fragmenty ceramiki, kości zwierzęcych oraz srebrny dirham (wybity w Kufie).

Podczas badań powierzchniowych w 1991 r. pozyskano fragmenty ceramiki datowanej na okres wpływów rzymskich. W 1997 r. Instytut Archeologii Uniwersytetu Mikołaja Kopernika przeprowadził na terenie grodziska badania sondażowe. Założono wówczas trzy wykopy sondażowe[6]: jeden w partii przywałowej w północnej części majdanu (wymiary 2 x 5 m) oraz dwa w centralnej części majdanu (wymiary 1 x 1 m). Wykonano również serię wierceń.

W 2012 r. zostały przeprowadzone badania wykopaliskowe w ramach realizacji projektu *Katalog grodzisk Warmii i Mazur*[7]. Założono na stanowisku trzy wykopy (oznaczone cyframi 1–3) o łącznej powierzchni 91 m² (ryc. 11). Wykop 1, o wymiarach 16 m długości i 2,5 m szerokości, wytyczono w południowo-wschodniej części grodziska. Dłuższą osią zorientowany był po linii wschód–zachód. Przecinał wewnętrzną część i szczyt wału grodziska w jego południowo wschodniej części oraz wchodził na majdan. Wykop 2, o wymiarach 10 m długości i 3 m szerokości, przecinał grodzisko po osi północ–południe. Usytuowany został na majdanie, w odległości 5 m na północ od wykopu 1. Badania na tym wykopie miały charakter ratowniczy (odkryto pozostałości po trzech wkopach detektorystów w miejscu niezasypanych wykopów sondażowych Instytutu Archeologii Uniwersytetu Mikołaja Kopernika w Toruniu). Wykop 3, o wymiarach 7 m długości i 3 m szerokości, założono 47 m na N od północnej krawędzi wykopu 2, po zewnętrznej, północno-wschodniej stronie wału, bezpośrednio u jego podnóża, w obrębie domniemanej suchej fosy grodu. Wykop ten został zorientowany dłuższą osią w kierunku północ–południe.

Stratygrafia stanowiska

W trakcie badań archeologicznych przeprowadzonych w 2012 r. wydzielono łącznie 191 jednostki stratygraficzne, które podzielono na pięć głównych faz związanych z użytkowaniem tego grodziska (tab. 1 i ryc. 12–22)

Warstwy naturalne

Zidentyfikowano następujące warstwy naturalne: 138 (W1), 90 (W2) i 117 (W3). W wykopie 2 (na majdanie grodziska) oraz w wykopie 3 (w fosie) warstwy kulturowe spoczywały na drobnoziarnistym, jednorodnym piasku. Natomiast w wykopie 1 (wał, zagłębienie przywałowe i częściowo na majdanie) zalegały na drobnoziarnistym piasku z dużą ilością drobnych wytrąceń żelazistych.

Faza I – wczesna epoka żelaza

Faza I związana jest z budową i użytkowaniem grodu we wczesnej epoce żelaza. Nawarstwienia tej fazy zidentyfikowano tylko w wykopie 1. Należą do niej jednostki stratygraficzne tworzące prawdopodobnie wał i jego umocnienie. Jądro wału usypano

[4] Lissauer 1876: 2–4.

[5] Heym 1933: 57–58; Szczepański 2013: 242.

[6] Chudziak 1997; Chudziak i Bojarski 1997a. Dwa mniejsze wykopy, w centralnej części majdanu, nie zostały zasypane; zob. Łasiński 2010: 55. W wyniku erozji ich ścian bocznych lub działalności detektorystów powstały duże, nieregularne jamy. Zob. Kobyliński, Wach i Rutyna 2013: 282, 288.

[7] Kobyliński, Wach i Rutyna 2013.

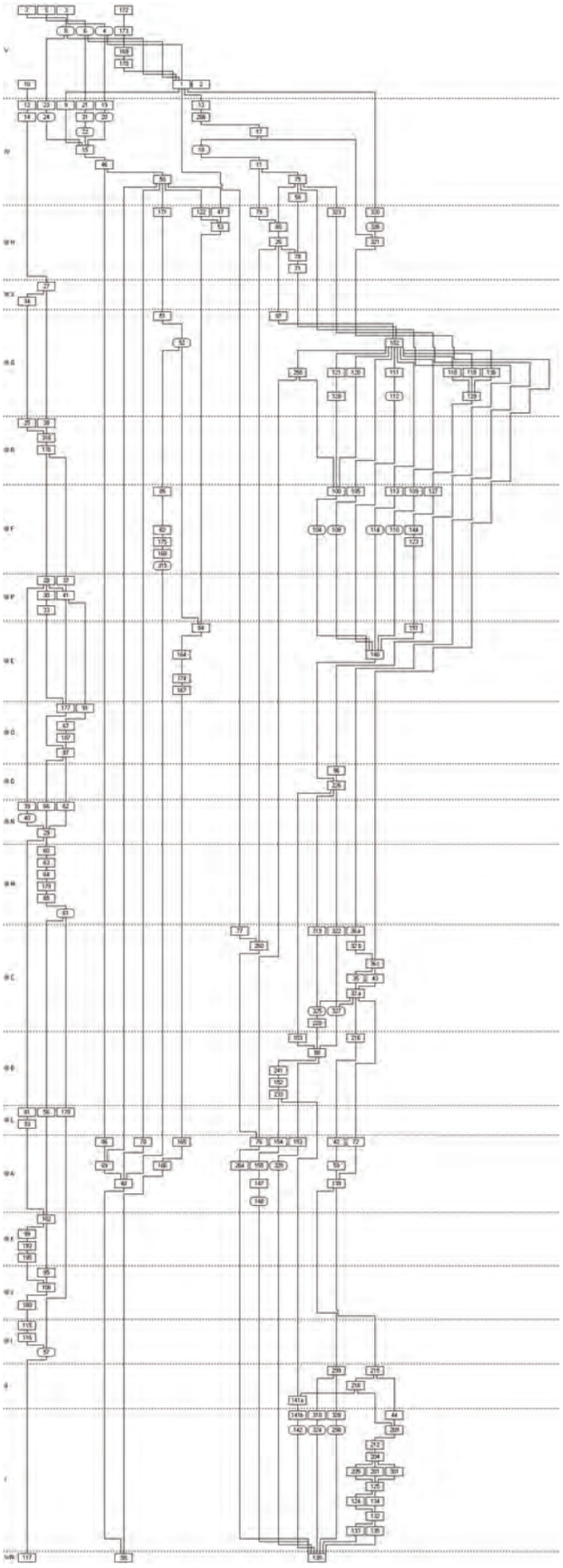

Ryc. 12. Kamionka, st. 9. Diagram relacji stratygraficznych grodziska (oprac. D. Wach)

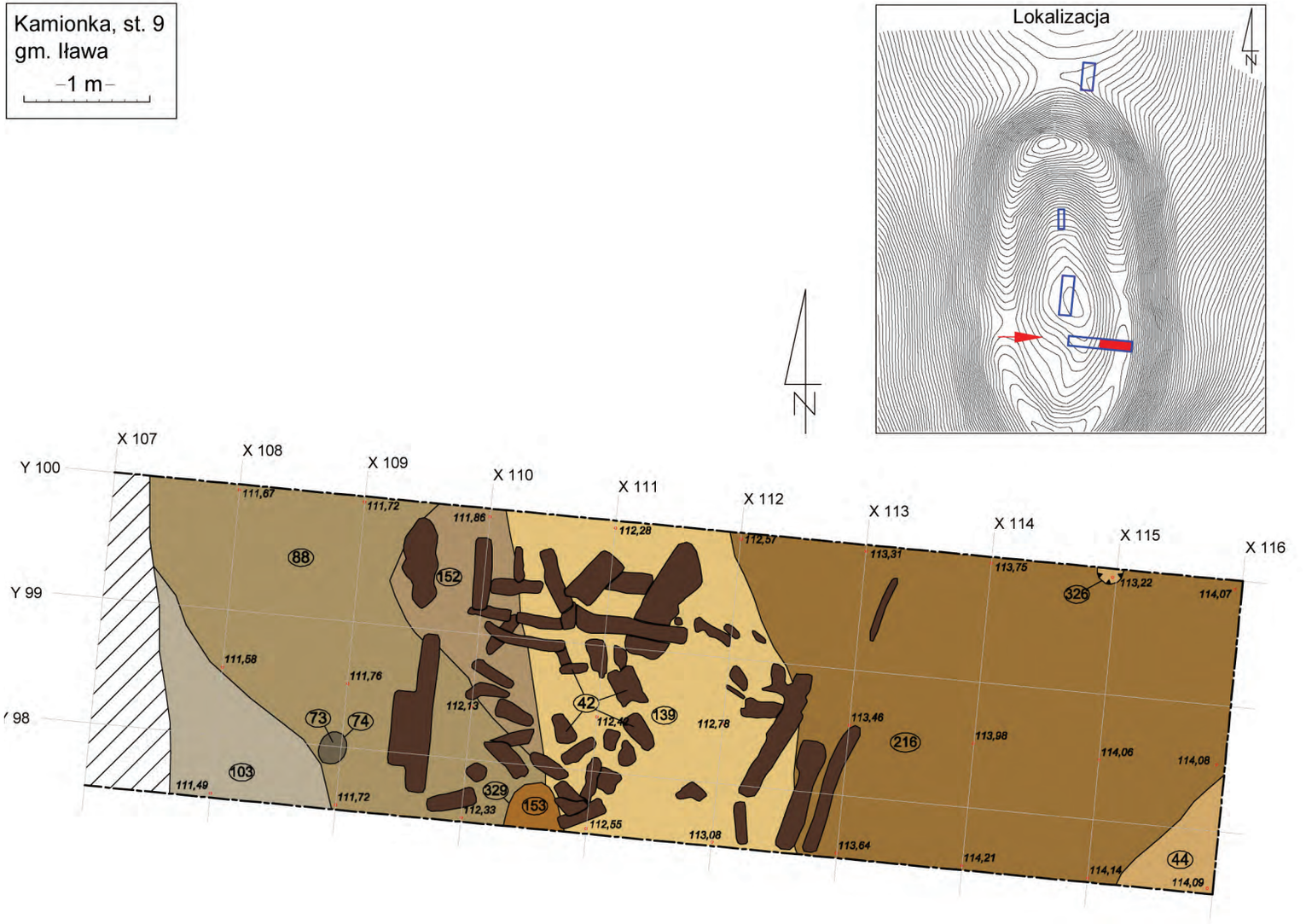

Ryc. 13. Kamionka, st. 9. Plan obiektów i nawarstwień w strefie wału z Fazy IIIA (oprac. M. Rutyna, R. Solecki i D. Wach)

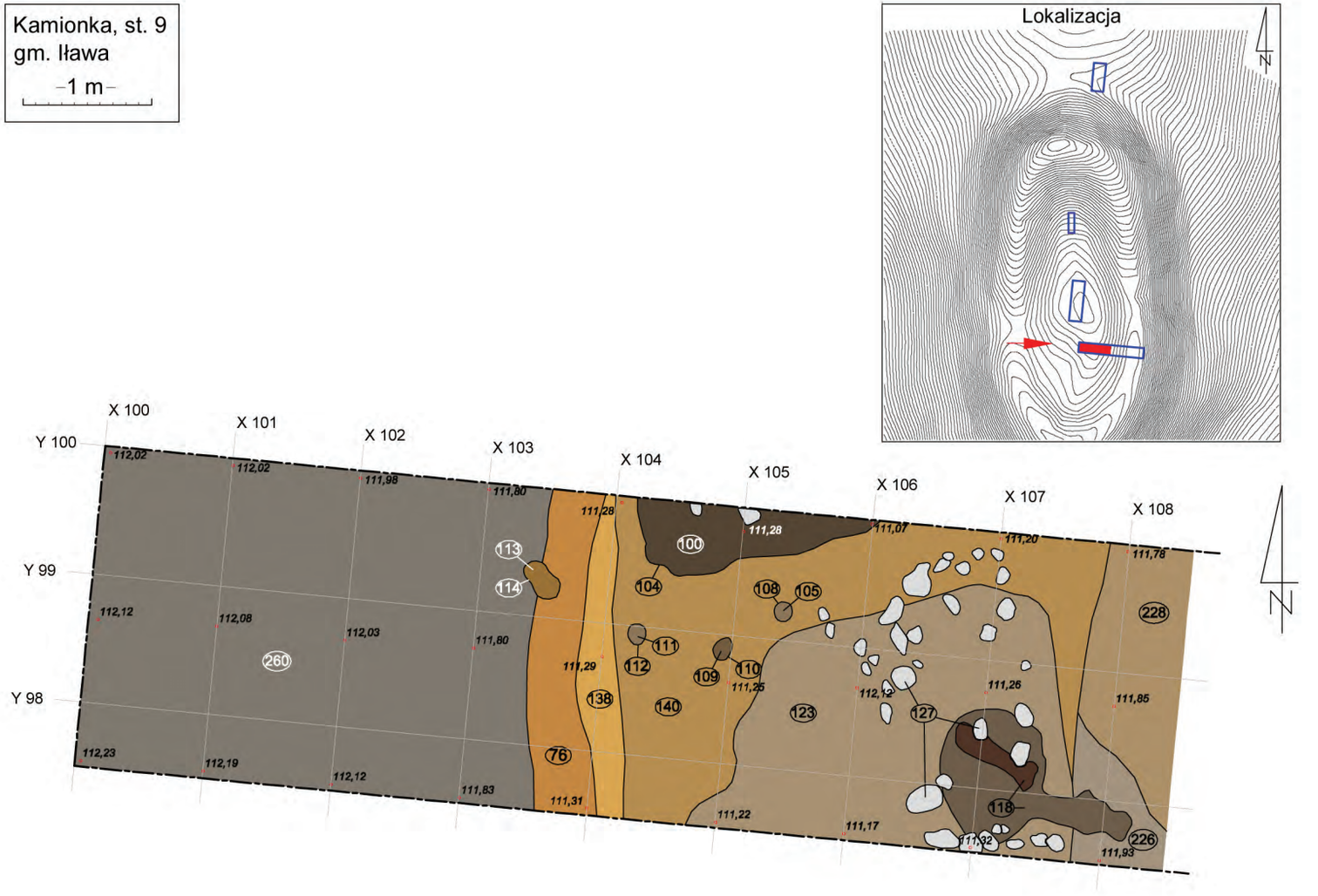

Ryc. 14. Kamionka, st. 9. Plan obiektów i nawarstwień w strefie zagłębienia przywałowego z Faz IIIE, IIIF i IIIG (oprac. M. Rutyna, R. Solecki i D. Wach)

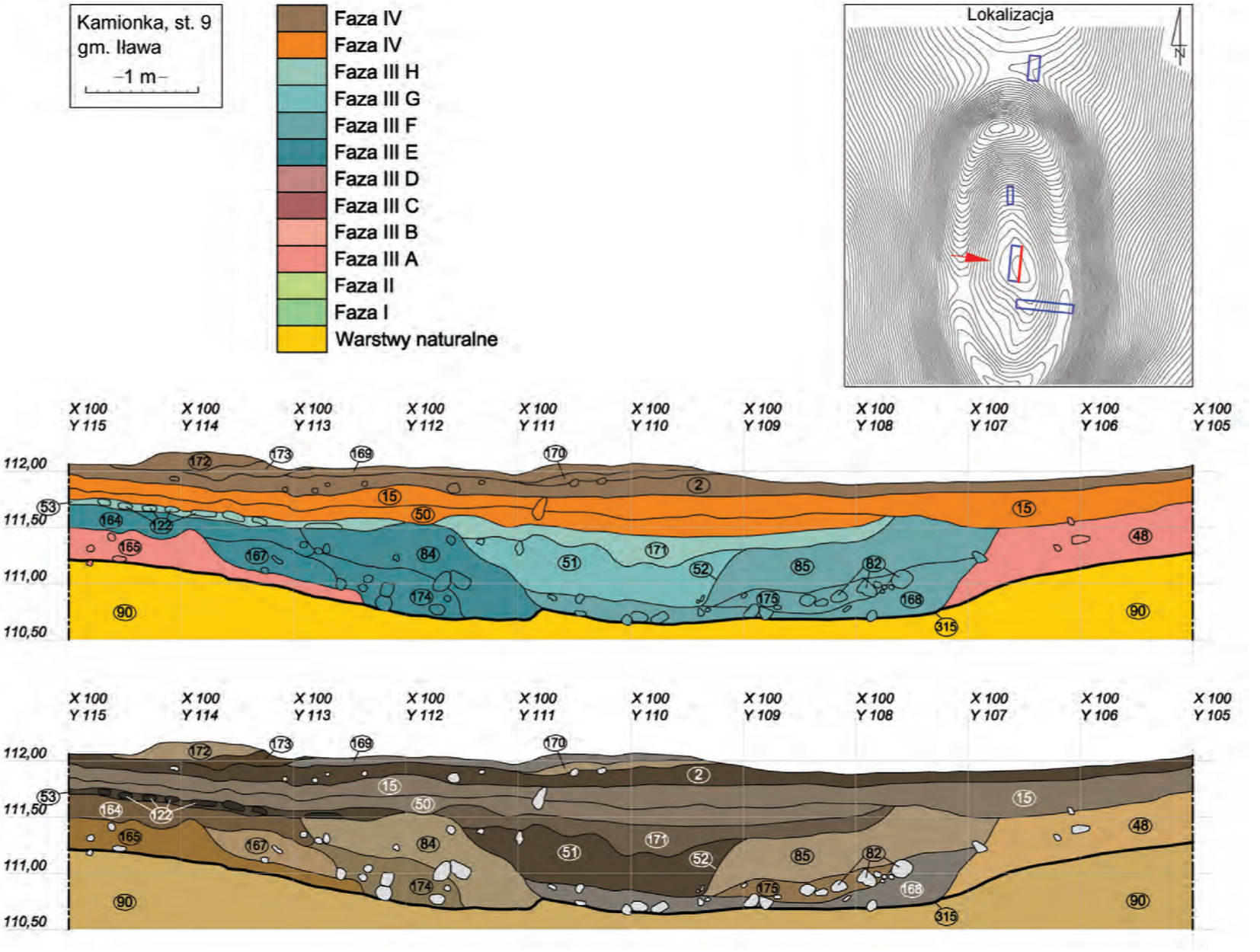

Ryc. 15. Kamionka, st. 9. Stratygrafia strefy majdanu widoczna w ścianie wschodniej wykopu 2 (oprac. M. Rutyna, R. Solecki i D. Wach)

Kamionka, st. 9
gm. Iława
–1 m–

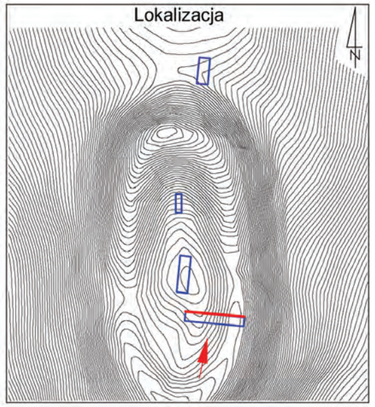

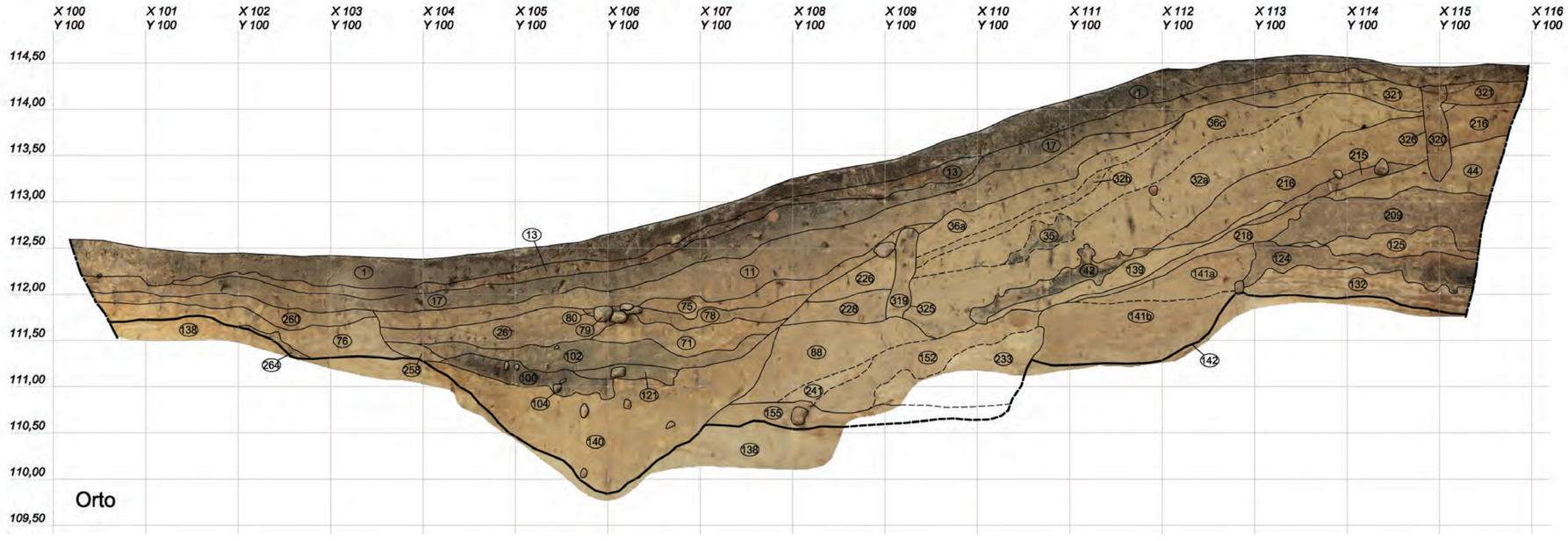

Ryc. 16. Kamionka, st. 9. Stratygrafia strefy wału i zagłębienia przywałowego widoczna w ścianie północnej wykopu 1 (oprac. M. Rutyna, R. Solecki i D. Wach)

Kamionka, st. 9
gm. Iława
–1 m–

Faza IV
Faza IV
Faza III H
Faza III G
Faza III F
Faza III E
Faza III D
Faza III C
Faza III B
Faza III A
Faza II
Faza I
Warstwy naturalne

Lokalizacja

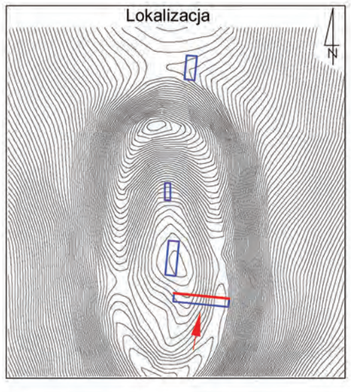

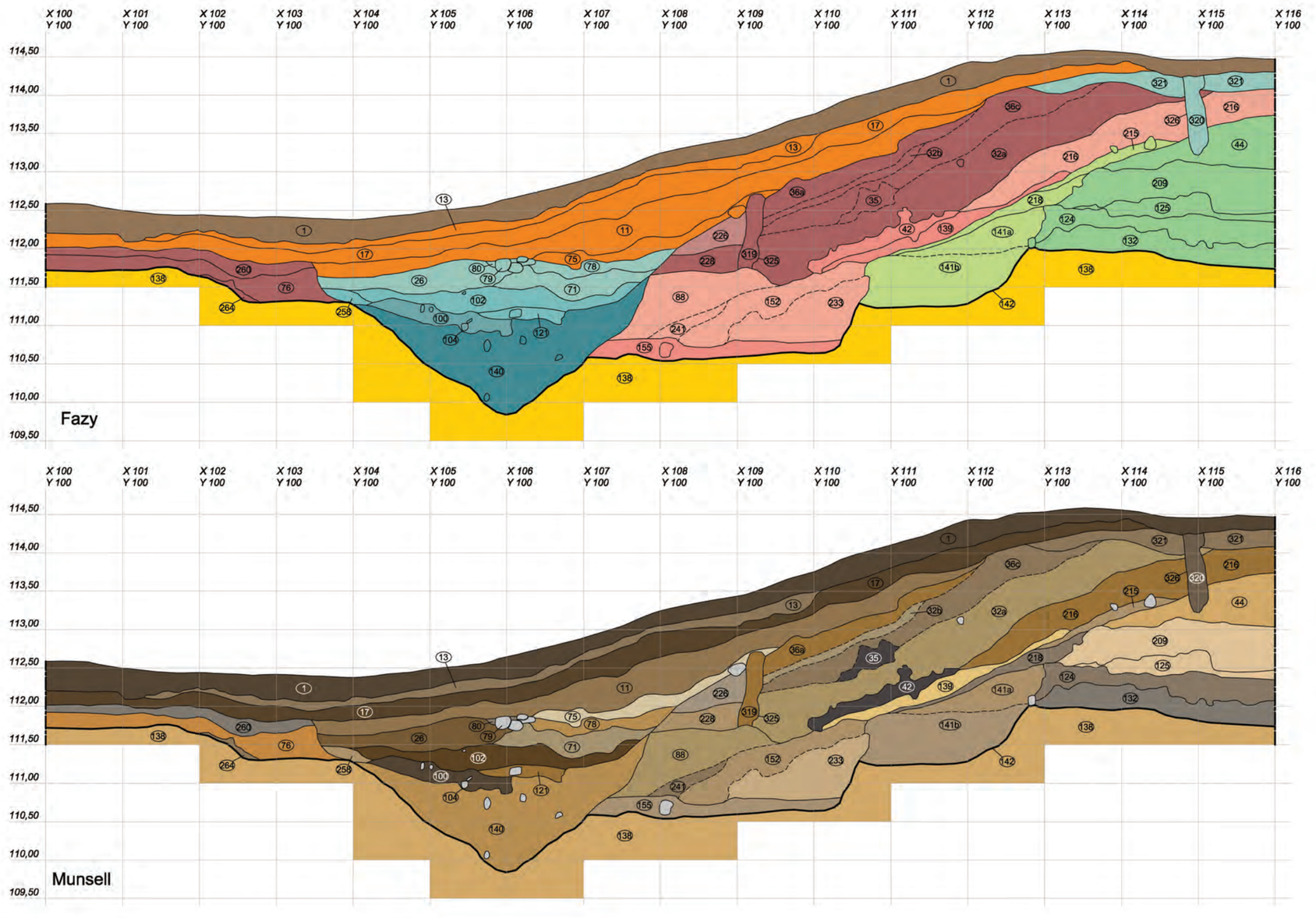

Ryc. 17. Kamionka, st. 9. Stratygrafia strefy wału i zagłębienia przywałowego widoczna w ścianie północnej wykopu 1 (oprac. M. Rutyna, R. Solecki i D. Wach)

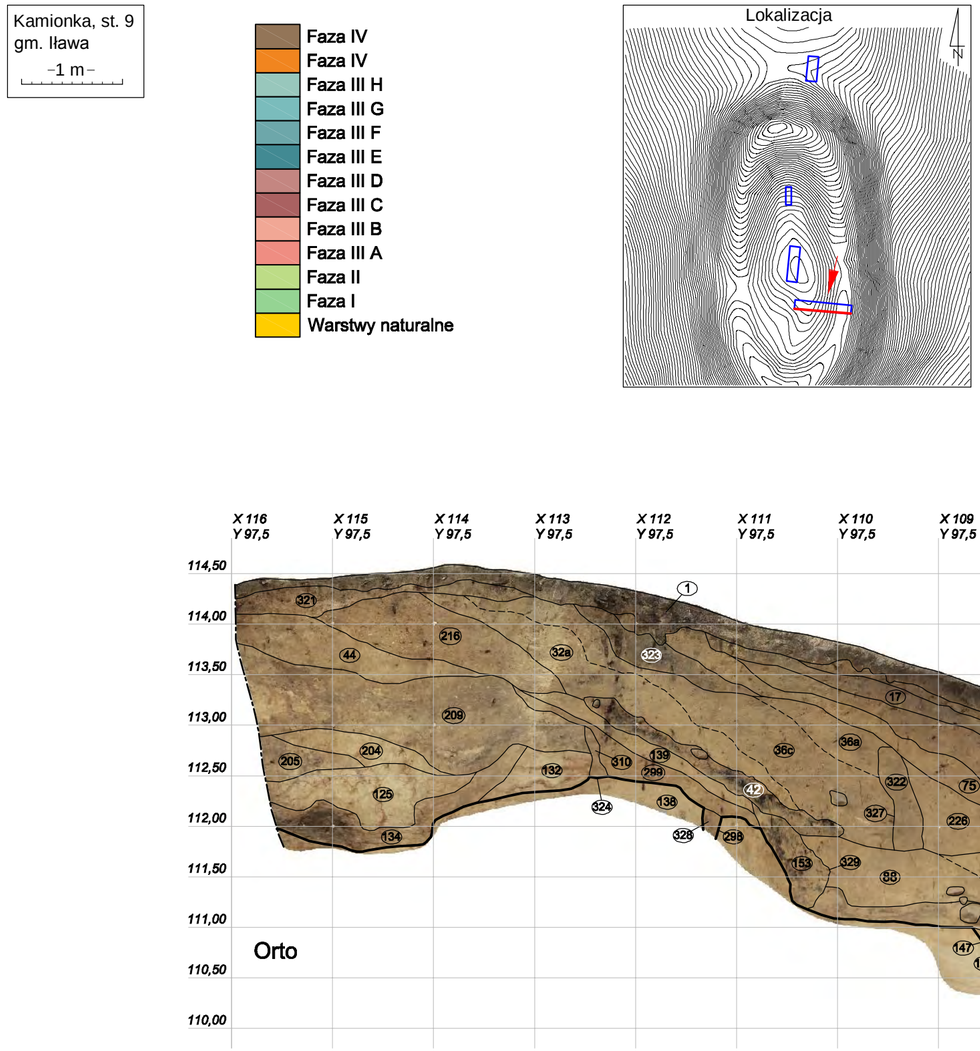

Ryc. 18. Kamionka, st. 9. Stratygrafia strefy wału i zagłębienia przywałowego widoczna w ścianie południowej wykopu 1 (oprac. M. Rutyna, R. Solecki i D. Wach)

Kamionka, st. 9
gm. Iława
–1 m–

Faza IV
Faza IV
Faza III H
Faza III G
Faza III F
Faza III E
Faza III D
Faza III C
Faza III B
Faza III A
Faza II
Faza I
Warstwy naturalne

Lokalizacja

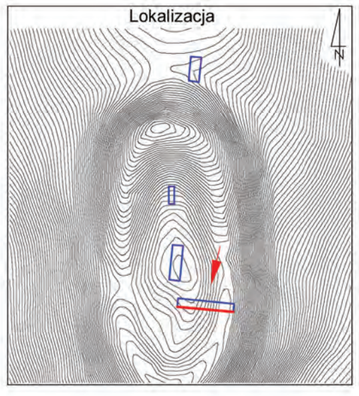

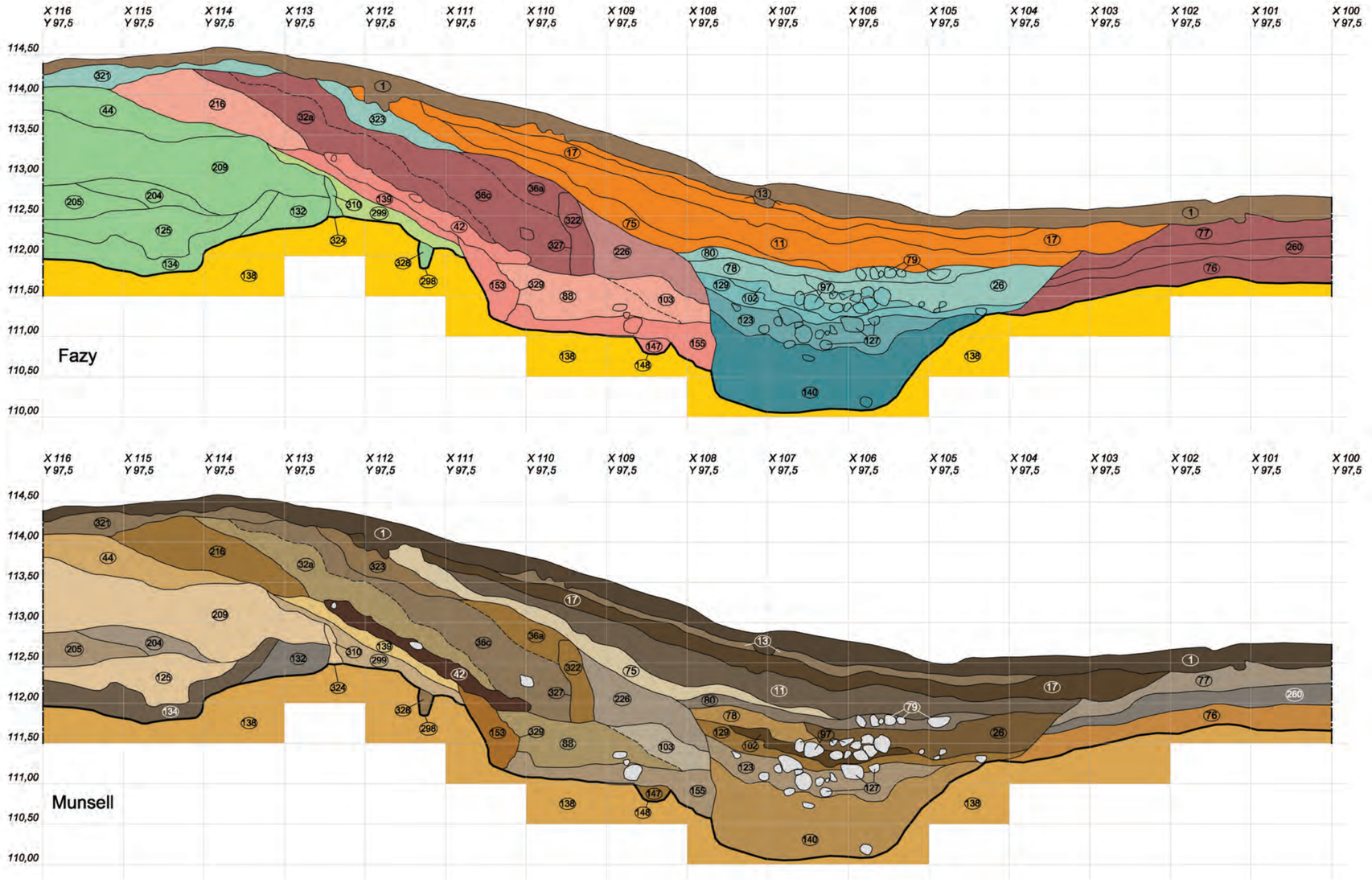

Ryc. 19. Kamionka, st. 9. Stratygrafia strefy wału i zagłębienia przywałowego widoczna w ścianie południowej wykopu 1 (oprac. M. Rutyna, R. Solecki i D. Wach)

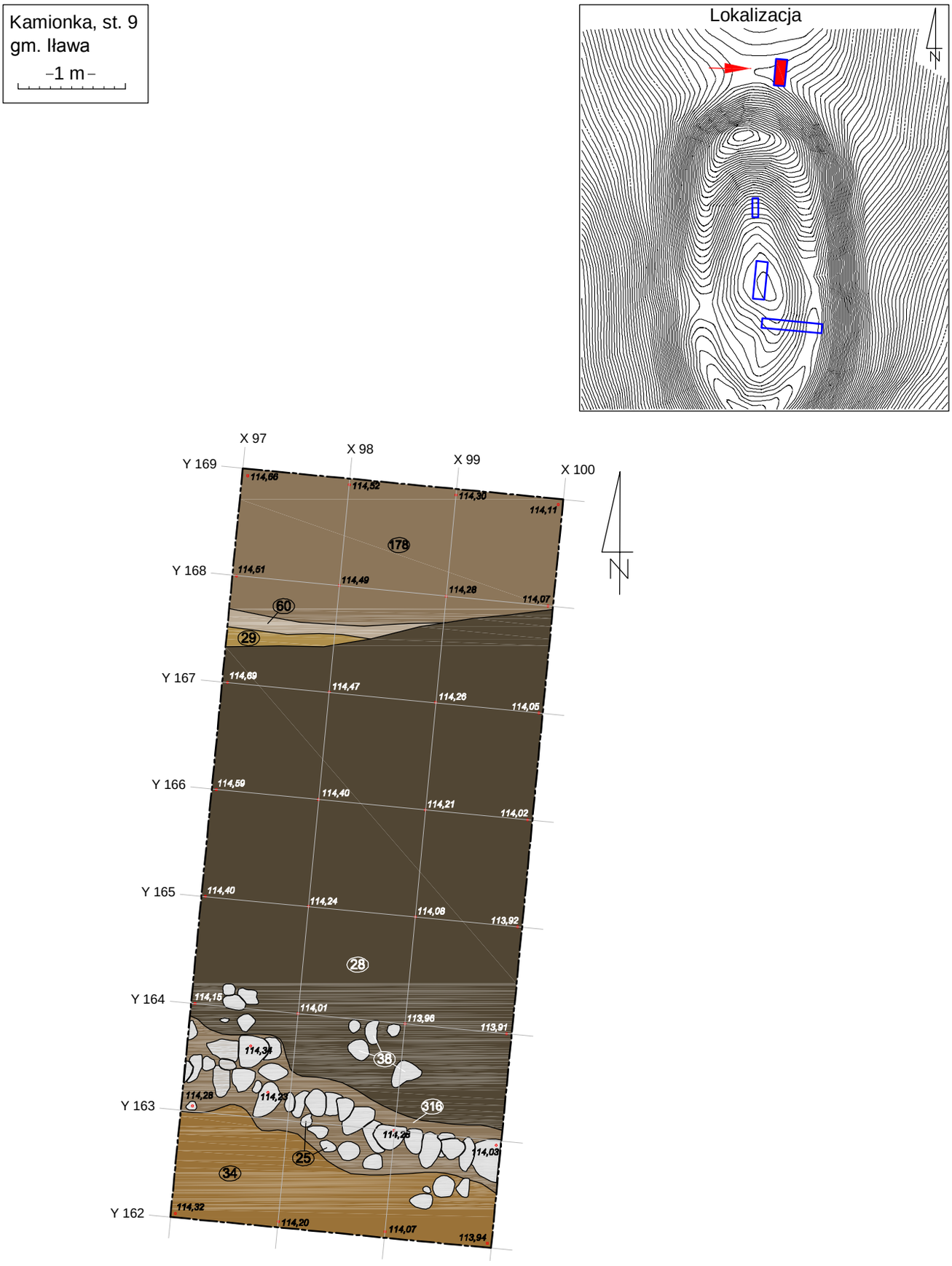

Ryc. 20. Kamionka, st. 9. Plan obiektów i nawarstwień w strefie fosy z Fazy IIIR (oprac. M. Rutyna, R. Solecki i D. Wach)

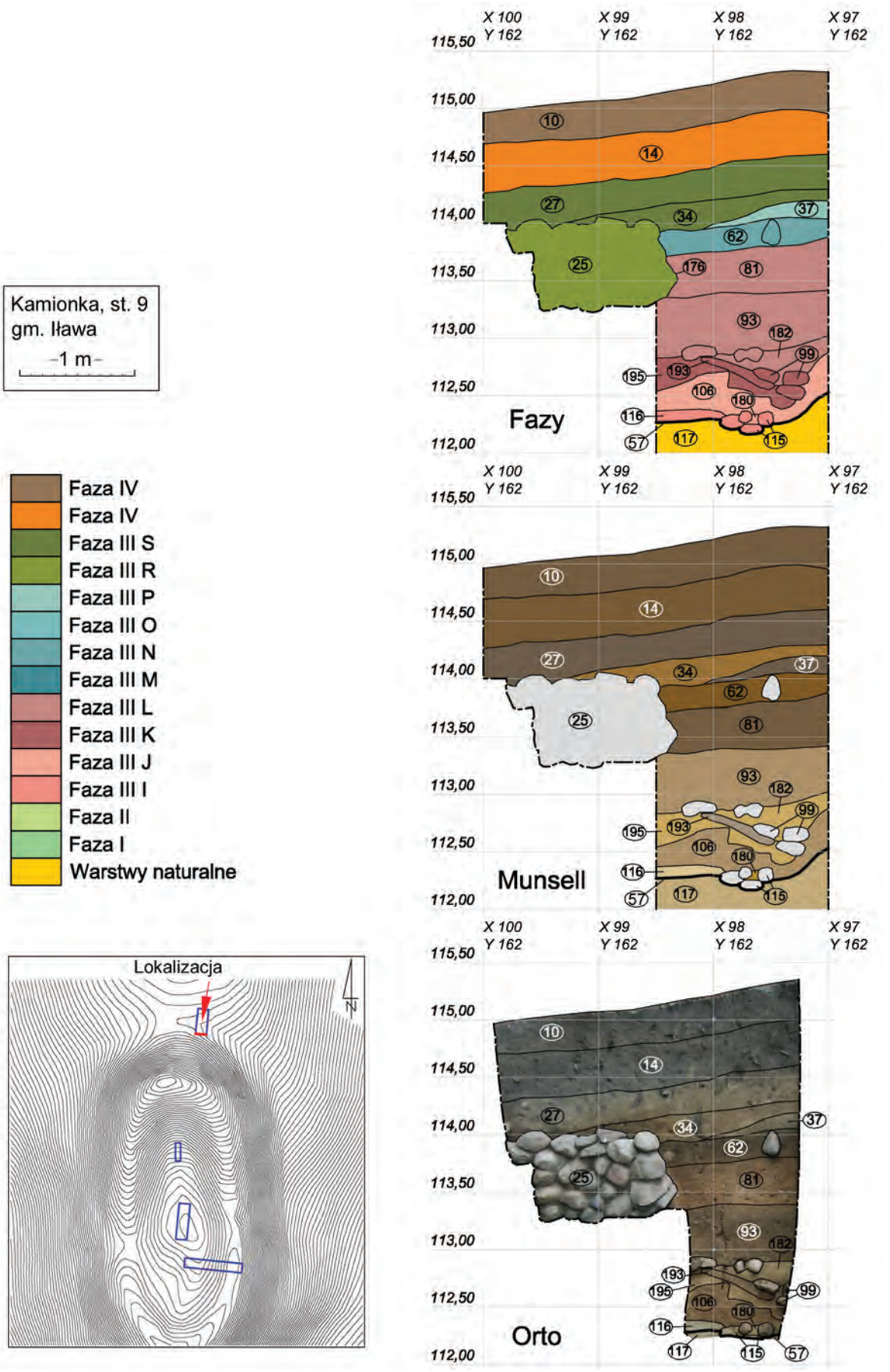

Ryc. 21. Kamionka, st. 9. Stratygrafia strefy fosy widoczna w ścianie południowej wykopu 3 (oprac. M. Rutyna, R. Solecki i D. Wach)

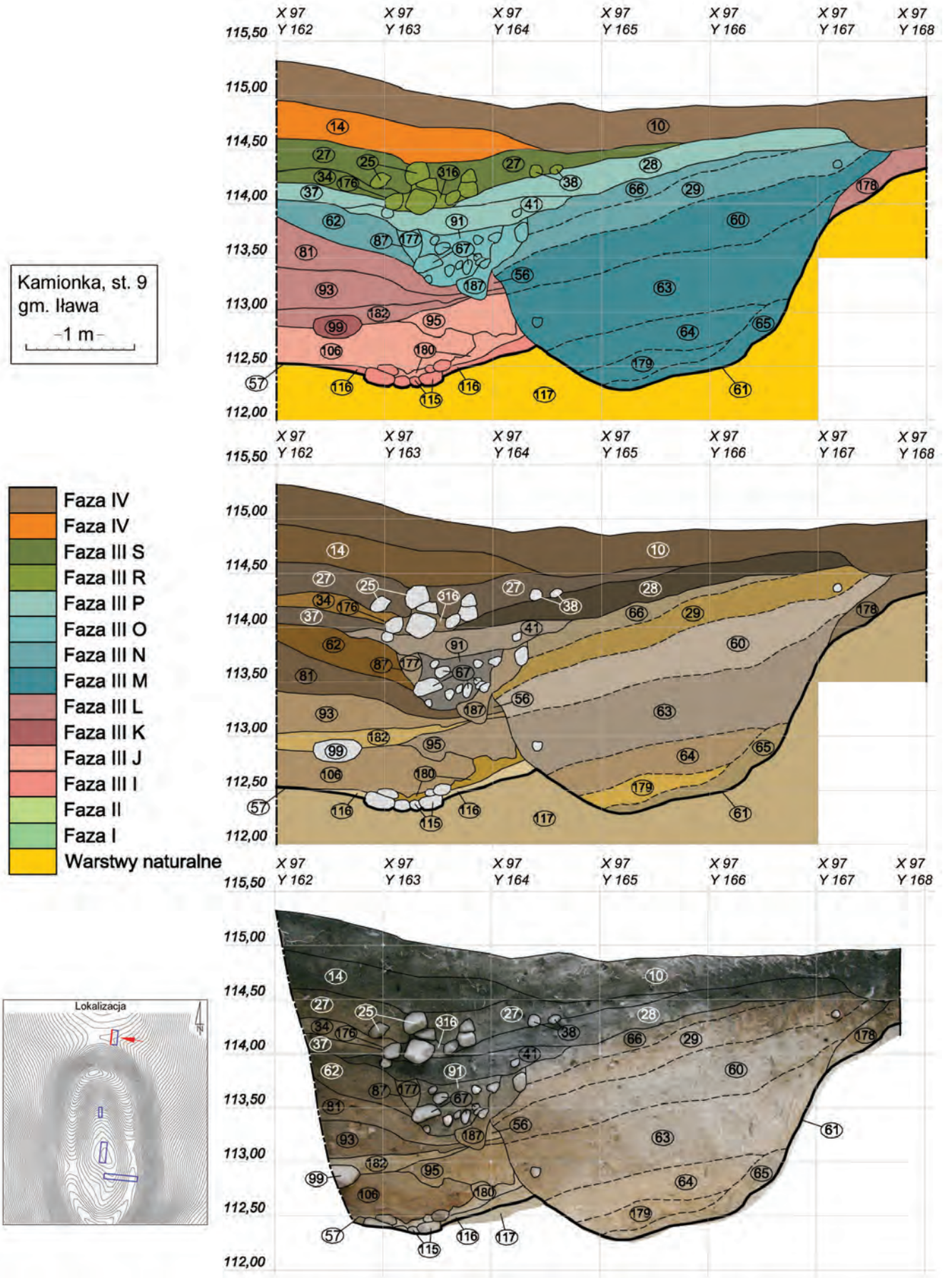

Ryc. 22. Kamionka, st. 9. Stratygrafia strefy fosy widoczna w ścianie zachodniej wykopu 3 (oprac. M. Rutyna, R. Solecki i D. Wach)

Tabela 1. Katalog warstw z opisem poszczególnych jednostek stratygraficznych grodziska w Kamionce, st. 9 (oprac. M. Rutyna i D. Wach)

Numer jednostki	Numer obiektu	Numer wykopu	Położenie w obrębie stanowiska	Współrzędne siatki pomiarowej stanowiska	Opis jednostki stratygraficznej	Barwa (Munsell)	Pozycja stratygraficzna	
							Znajduje się pod	Znajduje się nad
1=2		1, 2	Wał i majdan	X=100–116, 97–100; Y= 97–100, 105–115	Sypki, shumusowany piasek na powierzchni całego wykopu; miąższość do 35 cm; humus	10YR 3/2	4, 6, 8	13, 321, 9
3	4	2	Majdan grodziska	X=97,5–99,5; Y= 106,5–109	Sypki, niejednorodny piasek; wypełnisko wkopu rabunkowego 4	10YR 5/6		4
4	4	2	Majdan grodziska	X=98–100; Y=107,2–109,4	Duży wkop rabunkowy (wym. ok. 2 x 2 m, gł. do 0,8 m)		3	2, 19
5	6	2	Majdan grodziska	X=98–99,9; Y= 109,5–111,5	Shumusowany, niejednorodny piasek; miąższość do 80 cm; wypełnisko wkopu 6	10YR 3/2		6
6	6	2	Majdan grodziska	X=98,8–99,9; Y= 110,8–112	Duży wkop rabunkowy (wym. ok. 1,1 x 1,2 m, gł. do 0,5 m)		5	21, 2
7	8	2	Majdan grodziska	X=99,5–99,95; Y=111,8–114	Shumusowany, niejednorodny piasek; miąższość do 50 cm; wypełnisko wkopu 6	10YR 5/6		8
8	8	2	Majdan grodziska	X=98–99,95; Y=112–113,6	Duży wkop rabunkowy (wym. 1,4 x 1,5 m, gł. do 0,3 m)		7	23, 2
9		2	Majdan grodziska	X=98–98,5; Y=107–111	Lekko shumusowany piasek; miąższość do 30 cm; warstwa powstała w wyniku naturalnego procesu narastania gleby	10YR 4/2	2	15
10		3	Fosa	X=97–100; Y=162–168	Sypki, shumusowany piasek na powierzchni całego wykopu; miąższość do 30 cm; humus	10YR 4/3; 10YR 5/2		14
11		1	Na stoku wału	X=103,20–112,25; Y=97,5–100	Sypki, niejednorodny piasek; miąższość do 40 cm; warstwa powstała w wyniku naturalnego narastania gleby	10YR 4/2 (35%); 10YR 5/4 (65%)	17	75
12		3	Fosa	X=97–99,2; Y=168,1–169	Sypki, niejednorodny piasek; miąższość do 10 cm; warstwa powstała w wyniku naturalnego narastania gleby	2,5Y 8/3	10	14
13		1	Na stoku wału	X=101,20–111; Y=97,5–100	Sypki, niejednorodny piasek; miąższość do 15 cm; warstwa powstała w wyniku naturalnego narastania gleby	10YR 5/3	1	17
14		3	Fosa	X=97–100; Y=162–169	Sypki, jednorodny piasek; miąższość do 30 cm; warstwa powstała w wyniku naturalnego narastania gleby	10YR 4/4	10	27
15		2	Majdan grodziska	X=97–100; Y=105–115	Sypki, jednorodny piasek; miąższość do 30 cm; warstwa powstała w wyniku naturalnego narastania gleby	10YR 5/2	2	46
17		1	Na stoku wału	X=100–114,38; Y=97,5–100	Sypki, jednorodny piasek; miąższość do 30 cm; warstwa powstała w wyniku naturalnego narastania gleby	10YR 3/3	13	11, 260
18	18	1	W zagłębieniu przywałowym	X=103–104,5; Y=98,2–99,2	Skupisko węgli u podnóża wału; częściowo zachowane bierwiona (gr. ok. 6 cm, dł. ok. 14 cm), częściowo fragmenty węgla drzewnego	10YR 3/2; 10YR 3/1	17	11
19	20	2	Majdan grodziska	X=98–99,8; Y=107,4–109,2	Sypki, niejednorodny piasek; wypełnisko obiektu 20	2,5Y 3/2	4	20
20	20	2	Majdan grodziska	X=98–99,8; Y= 107,2–109,4	Obiekt 20 (jama poniżej wkopu rabunkowego 4), o wym. ok. 1,8 x 2,2 m i gł. do 0,7 m; w zarysie miała kształt prostokąta o zaokrąglonych narożnikach, ściany strome a dno płaskie		19	15, 90
21	22	2	Majdan grodziska	X=98,8–100; Y=110,8–112	Sypki, niejednorodny piasek; wypełnisko obiektu 22	2,5Y 3/2	6	22
22	22	2	Majdan grodziska	X=98,5–100; Y=110,6–112	Obiekt 22 (jama poniżej wkopu rabunkowego 6), o wym. ok. 1,4 x 1,6 m, gł. do 0,5 m; w planie miał kształt nieregularny, zbliżony do owalu		21	15, 90
23	24	2	Majdan grodziska	X=98–99,9; Y=112–114;	Sypki, niejednorodny piasek; wypełnisko jamy 24	2,5Y 3/2	8	24
24	24	2	Majdan grodziska	X=98–99,9; Y=112–113,6	Obiekt 24 (jama poniżej wkopu rabunkowego 8), o wym. ok. 1,8 x 2 m i gł. do 0,7 m; w planie miał kształt nieregularny, zbliżony do owalu		23	15, 68, 90
25		3	Fosa	X=97–99,9; Y=162,5–164,5	Pozostałość dobrze zachowanego muru, którego linia przebiegu odpowiadała linii przebiegu podnóża wału; wzniesiono go bez użycia zaprawy z kilkudziesięciu kamieni o śr. do 50 cm		27, 34	316
26		1	W zagłębieniu przywałowym	X=103,35–106,50; Y=97,5–100	Sypki, jednorodny piasek; miąższość do 50 cm; poziom użytkowy	10YR 4/4	11	102
27		3	Fosa	X=97–100; Y=162–165,8	Średnio- i gruboziarnisty, lekko shumusowany piasek; miąższość do 40 cm; warstwa powstała w wyniku naturalnego narastania gleby	10YR 4/2	14	34

Tabela 1. Ciąg dalszy

Numer jednostki	Numer obiektu	Numer wykopu	Położenie w obrębie stanowiska	Współrzędne siatki pomiarowej stanowiska	Opis jednostki stratygraficznej	Barwa (Munsell)	Pozycja stratygraficzna	
							Znajduje się pod	Znajduje się nad
28		3	Fosa	X=97–100; Y=163,1–167,3;	Drobnoziarnisty, jednorodny piasek; miąższość do 30 cm; warstwa powstała w wyniku naturalnego narastania gleby	2,5Y 3/2	176, 316, 27	41
29		3	Fosa	X=97–100; Y=164–169	Niejednorodny, ilasty piasek; miąższość do 15 cm; warstwa użytkowa	2,5Y 6/6	66, 62	60, 81
30		3	Fosa	X=99,60–100; Y=164–165	Sypki, niejednorodny piasek; miąższość do 10 cm; warstwa powstała w wyniku naturalnego narastania gleby	2,5Y 6/4	28	33
31		2	Majdan grodziska	X=99,2–99,4; Y=110,2–110,4	Kilka kamieni (o śr. do 10 cm) na dnie wypełniska 21		21	22
32a		1	Wał grodziska	X=109–115; Y=97,5–100	Drobnoziarnisty, sypki, niejednorodny piasek z węgielkami drzewnymi; miąższość do 45 cm; warstwa w nasypie wału	2,5Y 6/4	36c	42, 216
32b		1	Wał grodziska	X=109–111,50; Y=97,9–100	Drobnoziarnisty, lekko shumusowany, niejednorodny piasek; miąższość do 10 cm; warstwa w nasypie wału	2,5Y 6/3	36a	36c
33		3	Fosa	X=163,2–164,2; Y = 98,6–100	Sypki, jednorodny piasek; miąższość do 10 cm; warstwa powstała w wyniku naturalnego narastania gleby	10YR 5/2	30	177
34		3	Fosa	X=97–99,3; Y=162–163,2	Drobnoziarnisty, jednorodny piasek; miąższość do 20 cm; warstwa powstała w wyniku naturalnego narastania gleby	10YR 5/6	27	37
35		1	Wał grodziska	X=110,36–112,6; Y=97,5–100	L-kształtne bierwiona wewnątrz wału		36c	32a
36a		1	Wał grodziska	X=109,3–112,2; Y=97,5–100	Sypki, jednorodny piasek; miąższość do 40 cm; warstwa w nasypie wału	10YR 5/6	11	32b, 36c
36c		1	Wał grodziska	X=109,3–114; Y=97,5–100	Sypki, jednorodny piasek; miąższość do 20 cm; warstwa w nasypie wału	10YR 5/3	36a	32a, 35
37		3	Fosa	X=97–98; Y=162–163	Niejednorodny, sypki piasek; miąższość do 15 cm; warstwa powstała w wyniku naturalnego narastania gleby	10YR 4/2	34	62
38		3	Fosa	X=97–100; Y=163,80–164,65	Kilkanaście kamieni (o śr. od 5 do 40 cm); na N od muru 25		27	316
39	40	3	Fosa	X=99,3–100; Y=164,15–165,15	Sypki, lekko shumusowany piasek; wypełnisko obiektu 40	10YR 3/2	28	40
40	40	3	Fosa	X=99,3–100; Y=164,15–165,15	Jama, o wym. 0,4 x 0,5 m i gł. do 0,2 m, w planie miała zarys prostokątny, a przekrój U-kształtny		39	29
41	57	3	Fosa	X=97–98,50; Y=162,69–164,70	Drobnoziarnisty, sypki piasek z węgielkami drzewnymi; miąższość do 30 cm; warstwa powstała w wyniku naturalnego narastania gleby	10YR 6/2	37, 28, 38	91
42		1	Wał grodziska	X=109,4–113,3; Y=97,5–100	Poziom spalonych bierwion oraz sypkiego piasku z węgielkami drzewnymi; prawdopodobnie relikt drewnianej rampy, z jednej strony opartej o skłon wału, z drugiej wspartej na palach na krawędzi poziomu pierwszego		32a	139
43		1	Wał grodziska	X=113,5; Y=98,5	Skupisko kości i ceramiki		36c	32a
44		1	Wał grodziska	X=113–116; Y=97,5–100	Sypki, drobnoziarnisty piasek; miąższość do 40 cm; nasyp wału	10YR 7/6	215, 216	209
46		2	Majdan grodziska	X=97–98,5; Y=105–113,75	Sypki, jednorodny piasek; miąższość do 40 cm; warstwa powstała w wyniku naturalnego narastania gleby	10YR 5/4	15	50
47		2	Majdan grodziska	X=98; Y=114–115	Skupiska węgielków drzewnych w warstwie 53, w centralnej części wykopu (być może fragment moszczenia dookolnej ulicy 122)	10YR 3/1	315, 50	53
48		2	Majdan grodziska	X=97–100; Y=105–108,8	Sypki, jednorodny piasek; miąższość do 25 cm; poziom użytkowy	10YR 7/6	315, 50	90
50		2	Majdan grodziska	X=97–100; Y=105–115	Sypki, jednorodny piasek; miąższość do 20 cm; warstwa powstała w wyniku naturalnego narastania gleby	10YR 5/2	15, 46	47, 122, 171, 48
51	52	2	Majdan grodziska	X=98,5–100; Y=109–110,5	Drobnoziarnisty piasek; miąższość do 50 cm; wypełnisko obiektu 52	10YR 3/2	171	52
52	52	2	Majdan grodziska	X=98,5–100; Y=109–112	Obiekt 52, o wym. ok. 2,4 x 3 m oraz do 0,5 m gł.; w planie miał kształt owalu (druga część wchodziła w ścianę wykopu), a przekrój był nieckowaty		51	85, 84, 168

Tabela 1. Ciąg dalszy

Numer jednostki	Numer obiektu	Numer wykopu	Położenie w obrębie stanowiska	Współrzędne siatki pomiarowej stanowiska	Opis jednostki stratygraficznej	Barwa (Munsell)	Pozycja stratygraficzna	
							Znajduje się pod	Znajduje się nad
53		2	Majdan grodziska	X=97–100; Y=111–115	Sypki, drobnoziarnisty piasek z węgielkami drzewnymi; miąższość do 15 cm; w północnej części wykopu, na majdanie grodziska; poziom użytkowy; w jej stropie zalegały spalone bierwiona 122, będące prawdopodobnie reliktem drewnianego moszczenia dookolnej ulicy	2,5Y 3/2	122, 50	164
56		3	Fosa	X=97–97,20; Y=163,95–164,25	Sypki, niejednorodny piasek; miąższość do 15 cm; warstwa powstała w wyniku naturalnego narastania gleby	2,5 Y 5/3	187, 61	182
57		3	Fosa	X=97–100; Y=162–164,6	Fosa na N skraju grodziska; jej szer. (u góry) wynosi ok. 4,6 m, a najniższy punkt znajduje się na poziomie 112,30 m n.p.m; różnica wysokości pomiędzy dnem fosy, a szczytem wału po osi ściany W wynosi ok. 8,6 m. Fosa miała U-kształtny przekrój.		116, 178	117
58		1	Zagłębienie przywałowe	X=107–107,20; Y=98–98,3	Kilka kamieni (o śr. do 10 cm) w zagłębieniu przywałowym		75	78
59		1	Wał grodziska	X=111,50–112; Y=97,80–99,20	Sypki, niejednorodny piasek; miąższość do 10 cm; warstwa w nasypie wału	2,5Y 6/4; 10YR 6/8	42	139
60	61	3	Fosa	X=97–98; Y=164–167,30	Sypki, niejednorodny piasek z węgielkami drzewnymi; wypełnisko jamy 61	10YR 7/2	29	63
61	61	3	Fosa	X=97–98,5; Y=164–167,30	Głęboka jama, o wym. ok. 1 x 3,7 m i gł. do 2 m); wypełniska 60, 63, 64 i 65		65	56, 178, 117
62		3	Fosa	X=97–98,5; Y=162–163,30	Sypki, drobnoziarnisty piasek; miąższość do 30 cm; poziom użytkowy	10YR 4/6	87, 37	81
63	61	3	Fosa	X=97–98; Y=164,20–167,50;	Zbity piasek z drobnymi fragmentami polepy; niższe wypełnisko jamy 61	10YR 6/2; 7,5YR 5/6	60	64
64	61	3	Fosa	X=97–98; Y=164,50–166,6	Zbity, gruboziarnisty piasek; niższe wypełnisko jamy 61	10YR 6/4; 7,5YR 5/6	63	65, 179
65	61	3	Fosa	X=97–98; Y=164,90–166,70	Drobnoziarnisty, jednorodny piasek; wypełnisko jamy 61	2,5Y 6/4	64, 179	61
66		3	Fosa	X=97–98; Y=164,30–167	Sypki, jednorodny piasek; miąższość do 20 cm; poziom użytkowy	2,5Y 6/3	28, 187	29
67		3	Fosa	X=97–98,50; Y=163,20–164	Kamienna konstrukcja (ok. 60 kamieni o śr. od 10 do 40 cm) w fosie; mur		91, 41	87
69		2	Majdan grodziska	X=97–98; Y=106–108	Skupisko kamieni, znajdowało się w SE narożniku wykopu i składało się z ok. 20 kamieni o śr. do ok. 30 cm		50, 86	48
70		2	Majdan grodziska	X=97–98; Y=105–106	Skupisko kamieni, znajdowało się ok. 80 cm na południe od kamieni 69; obejmowało ok. 20 kamieni, o śr. do 35 cm		50, 46	48
71		1	W zagłębieniu przywałowym	X=105,90–107,90; Y=99–100	Sypki, jednorodny piasek; miąższość do 35 cm; poziom użytkowy	2,5Y 6/3	78	102
72		1	Wał grodziska	X=109,40–109,70; Y=97,7–98,95	Spalona belka zamykająca od W konstrukcję drewnianą 42		32a	139
75		1	Stok wału	X=106–112,25; Y=97,5–100	Sypki, jednorodny piasek; miąższość do 20 cm; warstwa powstała w wyniku naturalnego narastania gleby	2,5Y 8/3; 10YR 4/6	11	78, 80, 226, 36a
76		1	Na majdanie	X=100–104,1; Y=97,50–100	Sypki, niejednorodny piasek; miąższość do 30 cm; poziom użytkowy	2,5Y 7/4; 7,5YR 6/8	260	138, 264
77		1	Na majdanie	X=100–103,80; Y=97,5–99	Drobnoziarnisty, jednorodny piasek; miąższość do 25 cm; poziom użytkowy	10YR 6/2	1	260
78		1	Zagłębienie przywałowe	X=106–108; Y=97,5–100	Sypki, jednorodny piasek; miąższość do 15 cm; poziom użytkowy	10YR 6/6	80, 26	102
79		1	Zagłębienie przywałowe	X=104,80–106; Y=97,5–100	Bruk z kilkudziesięciu dopasowanych do siebie kamieni o śr. do 40 cm; trzeci poziom użytkowy na stropie zasypiska zagłębienia przywałowego		11	80
80		1	Zagłębienie przywałowe	X=104–108,25; Y=97,5–100	Sypki, jednorodny piasek; miąższość do 10 cm; poziom użytkowy	10YR 5/2	11, 79	71, 26
81		3	Fosa	X=97,98; Y=162,60–163,80	Gruboziarnisty piasek z węgielkami drzewnymi; miąższość do 40 cm	10YR 4/3	62	93
82	315	2	Majdan grodziska	X=98–100; Y=107,2–113,4	Skupisko kilkudziesięciu kamieni (o śr. od 10 do 30 cm) w obiekcie 315		85	175, 168

Tabela 1. Ciąg dalszy

Numer jednostki	Numer obiektu	Numer wykopu	Położenie w obrębie stanowiska	Współrzędne siatki pomiarowej stanowiska	Opis jednostki stratygraficznej	Barwa (Munsell)	Pozycja stratygraficzna	
							Znajduje się pod	Znajduje się nad
84		2	Majdan grodziska	X=99–100; Y=110,80–112,96	Sypki, jednorodny piasek; miąższość do 40 cm; poziom użytkowy	2,5Y 6/3	53	174, 164
85	315	2	Majdan grodziska	X=99–100; Y=106,7–109,4	Sypki, jednorodny piasek; miąższość do 40 cm; wypełnisko obiektu 315	10YR 6/3	52, 171	82, 175
86		2	Majdan grodziska	X=97,20–97,50; Y=105–108	Sypki, jednorodny piasek; miąższość do 10 cm; poziom użytkowy	10YR 6/2	46	48
87		3	Fosa	X=97–98; Y=163,15–164,30	Pionowy styk – wkop pod pas kamieni 67 (mur)	2,5Y 5/4	187, 67, 91, 177	62, 66
88		1	U podnóża wału	X=107,3–110,65; Y=97,5–100	Sypki, jednorodny piasek; miąższość do 50 cm; warstwa powstała w wyniku naturalnego narastania gleby	2,5Y 6/4	103, 228	155, 241
90		2	Majdan grodziska	X=97–100; Y=105–115	Sypki, jednorodny piasek; calec	2,5Y 7/6	48	-
91		3	Fosa	X=97–98,50; Y=163,45–164,10	Zbity, lekko gliniasty piasek; miąższość do 50 cm; poziom użytkowy	10YR 5/1	41	67, 62, 81
93		3	Fosa	X=97–98,5; Y=162–164,9	Gliniasty piasek z węgielkami drzewnymi; miąższość do 50 cm; warstwa powstała w wyniku naturalnego narastania gleby	10YR 6/4	81	182
95		3	Fosa	X=97–100; Y=163,15–165	Drobnoziarnisty, jednorodny piasek; miąższość do 40 cm; warstwa powstała w wyniku naturalnego narastania gleby	10YR 6/3	182	106
96		1	Stok wału	X=108–109,50; Y=98–99	Sypki, jednorodny piasek; miąższość do 10 cm; warstwa powstała w wyniku naturalnego narastania gleby	2,5Y 5/4	75	226
97		1	Zagłębienie przywałowe	X=104,8–107; Y=97,5–98	Bruk kamienny (kilkadziesiąt kamieni o śr. do 40 cm); drugi poziom użytkowy na stropie zasypiska zagłębienia przywałowego		26	102
99		3	Fosa	X=97–98,50; Y=162–163	Skupisko ok. 20 kamieni o śr. do 30 cm; mur		182	106
100	104	1	Zagłębienie przywałowe	X=104–106; Y=99,5–100	Lekko shumusowany, z drobnymi fragmentami węgli drzewnych piasek; wypełnisko obiektu 104; przy ścianie N wykopu, w zagłębieniu przywałowym	10YR 3/2	121, 102	104, 140
102		1	Zagłębienie przywałowe	X=104–107,80; Y=97,5–100	Sypki, jednorodny piasek; miąższość do 20 cm; poziom użytkowy	10YR 3/4; 10YR 5/3	97, 26, 71	100, 121, 140
103		1	Wał grodziska	X=107,40–109; Y=97,5–98,30	Sypki, jednorodny piasek; miąższość do 30 cm; warstwa powstała w wyniku naturalnego narastania gleby	2,5Y 7/2	226	88
104	104	1	Zagłębienie przywałowe	X=104–106; Y=99,5–100	Obiekt, o wym. 0,5 x 2 m i gł. do 0,2 m, w planie miał kształt zbliżony do połowy owalu (dalsza część znajdowała się poza wykopem)		100	140
105	108	1	Zagłębienie przywałowe	X=105,3–105,4; Y=99,2–99,3	Sypki, lekko shumusowany piasek; wypełnisko obiektu 108	10YR 5/3; 10YR 4/3	102	108
106	57	3	Fosa	X=97–98,50; Y=162–163,90	Sypki, drobnoziarnisty piasek; miąższość do 40 cm; warstwa powstała w wyniku naturalnego narastania gleby	10YR 6/4	95, 195	180, 116
108	108	1	Zagłębienie przywałowe	X=105,3–105,4; Y=99,2–99,3	Obiekt o śr. ok. 0,1 m i gł. do 0,2 m; w planie miał kolisty zarys, a w przekroju był V-kształtny; dół posłupowy		105	140
109	110	1	Zagłębienie przywałowe	X=108,8–109; Y=98,8–99	Sypki, lekko shumusowany piasek; wypełnisko obiektu 110	10YR 4/3; 10YR 5/2	102	110
110	110	1	Zagłębienie przywałowe	X=108,8–109; Y=98,8–99	Obiekt o śr. ok. 0,1 m i gł. do 0,2 m; w planie miał kolisty zarys, a w przekroju był V-kształtny; dół posłupowy		109	140
111	112	1	Zagłębienie przywałowe	X=104,2–104,3; Y=98,9–99	Sypki, lekko shumusowany piasek; wypełnisko obiektu 112	10YR 5/3	102	112
112	112	1	Zagłębienie przywałowe	X=104,2–104,3; Y=98,9–99	Płytka jama; w planie miała kształt wydłużonego owalu o wym. ok. 0,2 x 0,4 m i gł. do 0,05 m		111	140
113	114	1	Zagłębienie przywałowe	X=103,4; Y=99,6	Sypki, lekko shumusowany piasek; wypełnisko obiektu 114	10YR 5/6	102	114
114	114	1	Zagłębienie przywałowe	X=103,4; Y=99,6	Obiekt o śr. ok. 0,15 m i gł. do 0,2 m; w planie miał owalny zarys, a w przekroju był V-kształtny; dół posłupowy		113	140

Tabela 1. Ciąg dalszy

Numer jednostki	Numer obiektu	Numer wykopu	Położenie w obrębie stanowiska	Współrzędne siatki pomiarowej stanowiska	Opis jednostki stratygraficznej	Barwa (Munsell)	Pozycja stratygraficzna	
							Znajduje się pod	Znajduje się nad
115	57	3	Fosa	X=97–97,8; Y=162–163,5;	Skupisko około 15 kamieni o śr. do 20 cm; najstarszy mur na dnie fosy 57		180	116
116	57	3	Fosa	X=97–98,52; Y=162–164,40	Sypki, jednorodny piasek; miąższość 20 cm; poziom użytkowy	2,5Y 8/4	115	57, 117
117	57	3	Fosa	X=97–100; Y=162–169	Sypki, jednorodny piasek; calec	2,5Y 7/4	57, 116, 61	
118		1	Zagłębienie przywałowe	X=106,73–108,23; Y=97,55–98,6	Duży fragment spalonej belki (o wym. ok. 0,55 x 0,1 m) oraz leżący wokół obszar ziemi nasyconej drobinami węgli drzewnych	10YR 4/2	102	129
119		1	Zagłębienie przywałowe	X=104,8–106; Y=97,5–100	Kilka kamieni (o śr. do 15 cm) przy południowej ścianie wykopu; drugi poziom użytkowy na stropie zasypiska zagłębienia przywałowego		102	129
120		1	Zagłębienie przywałowe	X=104,90–106,10; Y=98–99,10	Sypki, jednorodny piasek; miąższość do 10 cm; drugi poziom użytkowy na stropie zasypiska zagłębienia przywałowego	10YR 5/6	102	100
121		1	Zagłębienie przywałowe	X=105,60–106,80; Y=99–100	Sypki, jednorodny piasek; miąższość do 10 cm; poziom użytkowy	10YR 5/6	102	100, 140
122		2	Majdan grodziska	X=97–100; Y= 111–115	Spalone, cienkie (śr. ok. 8 cm) połówki bierwion; prawdopodobnie są to pozostałości drewnianego moszczenia dookolnej ulicy	10YR 2/1	50	53
123		1	Zagłębienie przywałowe	X=104,80–107,90; Y=97,5–99,6	Sypki, jednorodny piasek; miąższość do 20 cm; poziom użytkowy	10YR 6/3	129	140
124		1	Wał grodziska	X=112,90–116; Y=98–100	Lekko shumusowany piasek; miąższość do 25 cm; nasyp wału z wczesnej epoki żelaza	10YR 5/2	125	132
125		1	Wał grodziska	X=113,30–116; Y=97,5–100	Drobnoziarnisty piasek; miąższość do 20 cm; nasyp wału z wczesnej epoki żelaza	10YR 8/4	209	124
127		1	Zagłębienie przywałowe	X=105–107; Y=97,5–99,9	Bruk z kilkudziesięciu dopasowanych do siebie kamieni o śr. ok. 10–20 cm		129	123
128		1	Zagłębienie przywałowe	X=105,40–105,60; Y=100	Mały fragment spalonej belki (o wym. ok. 0,05 x 0,1 m)	10YR 4/1	121	100
129		1	Zagłębienie przywałowe	X=103,80–107,90; Y=97,5–99	Drobnoziarnisty, sypki piasek; miąższość do 10 cm; drugi poziom użytkowy na stropie zasypiska zagłębienia przywałowego	10YR 5/5	102	123
132		1	Wał grodziska	X=112,50–116; Y=97,5–100	Drobnoziarnisty piasek; miąższość do 20 cm; nasyp wału z wczesnej epoki żelaza	10YR 5/1	209, 134, 124	135, 138
133		1	Wał grodziska	X=116; Y=100	Skupisko ceramiki		132	138
134		1	Wał grodziska	X=113–116; Y=97,5–99	Drobnoziarnisty piasek z węgielkami drzewnymi; miąższość do 20 cm; nasyp wału z wczesnej epoki żelaza	10YR 4/2	125, 126	132, 138
135		1	Wał grodziska	X=115,80–116; Y=99,40–99,70	Ślady czterech równoległych do siebie przepalonych cienkich belek szer. do 5 cm, w podstawie nasypu wału z wczesnej epoki żelaza	10YR 6/3	132	138
136		1	Zagłębienie przywałowe	X=106,20; Y=98	Skupisko kości w stropie warstwy 129		102	129
138		1	Wał grodziska, zagłębienie przywałowe, majdan	X=100–116; Y=97,5–100	Drobnoziarnisty piasek z dużą ilością drobnych wytrąceń żelazistych; calec	10YR 7/7	132, 155, 140	
139		1	Wał grodziska	X=110–113,20; Y=97,5–100	Sypki, drobnoziarnisty piasek; miąższość do 15 cm	2,5Y 8/6	42, 216	299, 215, 218
140		1	Zagłębienie przywałowe	X=104–108; Y=97,5–100	Drobnoziarnisty piasek z dużą ilością węgli drzewnych; miąższość do 1 m; poziom użytkowy w zagłębieniu przywałowym	10YR 6/6	100, 123	138
141a	142	1	Stok wału	X=110,60–113; Y=98,80–100	Górny poziom wypełniska jamy 142; gliniasty piasek; miąższość do 30 cm	10YR 6/4	218, 233	141b
141b	142	1	Stok wału	X=110,60–112,80; Y=98,90–100	Niwelacyjne zasypisko jamy 142; niejednorodny gliniasty piasek; miąższość do 0,75 m; wczesna epoka żelaza	10YR 6/3	141a	142
142	142	1	Stok wału	X=110,6–112,8; Y=98,80–100	Jama o wym. 0,5 x 2,3 m i gł. do 0,75 m; w planie miała zarys owalu (wchodziła w północną ścianę wykopu); przekrój łagodnie nieckowaty z płaskim dnem		141b	138

Tabela 1. Ciąg dalszy

Numer jednostki	Numer obiektu	Numer wykopu	Położenie w obrębie stanowiska	Współrzędne siatki pomiarowej stanowiska	Opis jednostki stratygraficznej	Barwa (Munsell)	Pozycja stratygraficzna	
							Znajduje się pod	Znajduje się nad
144		1	Zagłębienie przywałowe	X=106,20–106,30; Y=98	Skupisko ceramiki i przepalonych kości pomiędzy i pod kamieniami 127 w SW części zagłębienia przywałowego; pierwszy poziom użytkowy na stropie zasypiska zagłębienia przywałowego		127	123
147	148	1	Wał grodziska	X=108,3–108,67; Y=97,32–98,35	Shumusowany piasek; wypełnisko obiektu 148	10YR 5/6	155	148
148	148	1	Wał grodziska	X=108,3–108,67; Y=97,32–98,35	Obiekt, o wym. 0,25 x 0,3 m i gł. do 0,1 m; prostokątny w planie, w przekroju U-kształtny obiekt		147	138
151		1	Zagłębienie przywałowe	X=106,40–106,50; Y=97,80–98	Kilka kamieni (o śr. do 15 cm) w warstwie 140 w zagłębieniu przywałowym		123	140
152		1	Wał grodziska	X=108,20–110,80; Y=98,50–100	Lekko shumusowany, sypki, niejednorodny piasek; miąższość do 20 cm; warstwa powstała w wyniku naturalnego narastania gleby	10YR 6/4; 10YR 8/2; 7,5YR 5/8	241	233
153	329	1	Wał grodziska	X=110,05–110,90; Y=97,5–97,70	Lekko shumusowany, z drobnymi fragmentami węgli drzewnych piasek; wypełnisko obiektu 329	7,5YR 5/8; 7,5YR 8/2	88	329
154		1	Wał grodziska	X=108,6; Y=100	Kilka kamieni (o śr. do 10 cm) zalegających w warstwie 155		233	155
155		1	Wał grodziska	X=107–110,30; Y=97,50–100	Drobnoziarnisty, sypki piasek z węgielkami drzewnymi; miąższość do 20 cm; pierwszy poziom komunikacyjny – być może relikt klepiska umocnionego drewnem	10YR 6/3	154, 88, 233	147, 138
164		2	Majdan grodziska	X=97–100; Y=111–115;	Lekko shumusowany piasek; miąższość do 20 cm; poziom użytkowy	10YR 4/3	53	167, 165
165		2	Majdan grodziska	X=97–100; Y=107,50–115	Drobnoziarnisty, jednorodny piasek; miąższość do 30 cm; poziom użytkowy	10YR 5/6	164	166
166		2	Majdan grodziska	X=99–99,95; Y=114–115	Shumusowany, zbity, jednorodny piasek; miąższość do 10 cm; poziom użytkowy	10YR 5/3	165	90
167		2	Majdan grodziska	X=98,9–100; Y=112,60–113,80	Drobnoziarnisty, sypki, jednorodny piasek; miąższość do 30 cm; poziom użytkowy	10YR 6/4	164, 174	165
168	315	2	Majdan grodziska	X=99–100; Y=106,9–111	Drobnoziarnisty, lekko shumusowany piasek z drobnymi węglami drzewnymi; miąższość do 20 cm; najniższe wypełnisko obiektu 315	10YR 5/1	175, 52	315
169		2	Majdan grodziska	X=99–100; Y=109,30–113	Drobnoziarnisty, shumusowany piasek; miąższość do 10 cm; poziom współczesny – piasek z wkopów rabunkowych	10YR 5/1	173	170
170		2	Majdan grodziska	X=99–100; Y=109,30–111	Lekko shumusowany piasek; miąższość do 10 cm; poziom współczesny – piasek z wkopów rabunkowych	10YR 6/3	169	2
171		2	Majdan grodziska	X=99–100; Y=107,60–111,80	Drobnoziarnisty piasek; miąższość do 30 cm; poziom użytkowy	10YR 4/2	50	51
172		2	Majdan grodziska	X=99–100; Y=113;30–114,60	Shumusowany piasek ze ściółką; miąższość do 20 cm; poziom współczesny – piasek z wkopów rabunkowych	10YR 6/3	-	173
173		2	Majdan grodziska	X=99–100; Y=113–114	Shumusowany piasek; miąższość do 10 cm; poziom współczesny – piasek z wkopów rabunkowych	10YR 3/3	172	169, 15
174		2	Majdan grodziska	X=99–100; Y=111,50–112,80	Sypki, lekko shumusowany piasek z drobnymi fragmentami węgielków drzewnych; miąższość do 30 cm; poziom użytkowy	2,5Y 5/3	164, 84	167, 165
175	315	2	Majdan grodziska	X=99–100; Y=107,60–109,20	Drobnoziarnisty piasek; wypełnisko obiektu 315	10YR 5/4	82, 85	168
176		3	Fosa	X=97–100; Y=163–163,7	Wkop pod mur 25	10YR 5/6	316, 25	28, 37
177		3	Fosa	X=97–97,50; Y=163,2–163,7	Sypki, drobnoziarnisty piasek; miąższość do 5 cm; poziom użytkowy	10YR 6/3	41	87, 62
178		3	Fosa	X=97–98; Y=167–169	Lekko shumusowany piasek; miąższość do 10 cm; warstwa powstała w wyniku naturalnego narastania gleby	10YR 5/3	61	57, 117
179	61	3	Fosa	X=97–98; Y=164,70–166,25	Gliniasty piasek; wypełnisko obiektu 61	2,5Y 7/8	64	65
180		3	Fosa	X=97–98,35; Y=162–164,35	Drobnoziarnisty piasek z wytrąceniami żelazistymi; miąższość do 15 cm; warstwa powstała w wyniku naturalnego narastania gleby	2,5Y 6/8	106	115, 116

Tabela 1. Ciąg dalszy

Numer jednostki	Numer obiektu	Numer wykopu	Położenie w obrębie stanowiska	Współrzędne siatki pomiarowej stanowiska	Opis jednostki stratygraficznej	Barwa (Munsell)	Pozycja stratygraficzna	
							Znajduje się pod	Znajduje się nad
182		3	Fosa	X=97–98,25; Y=162–164,50	Gruboziarnisty, zbity piasek; miąższość do 25 cm; poziom użytkowy	2,5Y 7/6	93	99, 193, 195
187		3	Fosa	X=97; Y=163,7–164,3	Niejednorodna, twarda, gliniasta ziemia – wypełnisko zagłębienia stropu warstwy niższej bądź słabo czytelnego wkopu	10YR 6/3	41, 67	87, 66
193		3	Fosa	X=97,50–98,30; Y=162	Zgliniony piasek; miąższość do 10 cm; poziom użytkowy	10YR 6/2	99	195
195		3	Fosa	X=97,2–98,25; Y=162–162,25	Shumusowany piasek; miąższość do 20 cm; poziom użytkowy	2,5Y 7/6	93	106
201		1	Wał grodziska	X=115,80–116; Y=97,50–98,60	Drobnoziarnisty, jednorodny piasek; miąższość do 40 cm; nasyp wału z wczesnej epoki żelaza	2,5Y 7/4	204	125
204		1	Wał grodziska	X=113,90–115,70; Y=97,5–98,20	Drobnoziarnisty piasek; miąższość do 40 cm; nasyp wału z wczesnej epoki żelaza	10YR 6/2	209	125
205		1	Wał grodziska	X=114,65–116; Y=97,5–98,21	Drobnoziarnisty piasek; miąższość do 45 cm; nasyp wału z wczesnej epoki żelaza	10YR 6/3	204, 209	125
209		1	Wał grodziska	X=112,50–116; Y=97,5–100	Lekko shumusowany piasek; miąższość do 1 m; nasyp wału z wczesnej epoki żeleza	10YR 8/4; 7,5YR 5/8	44	204
212		1	Wał grodziska	X=114,45–115,65; Y=98–99,10	Sypki, jednorodny piasek; miąższość do 10 cm; nasyp wału z wczesnej epoki żelaza	10YR 7/4	209	204
215		1	Wał grodziska	X=112,90–114,90; Y=99–100	Drobnoziarnisty piasek; miąższość do 10 cm; warstwa powstała w wyniku naturalnego narastania gleby	10YR 6/4	139, 216	218
216		1	Wał grodziska	X=111,90–116; Y=97,50–100	Lekko shumusowany piasek; miąższość do 30 cm; warstwa powstała w wyniku naturalnego narastania gleby	10YR 5/6	32a	42, 139, 44, 218, 200
218		1	Wał grodziska	X=111–113,50; Y=99–100	Lekko shumusowany piasek; miąższość do 10 cm; warstwa powstała w wyniku naturalnego narastania gleby	10YR 5/2	215	141a, 209
226		1	Wał grodziska	X=107,7–109,35; Y=97,50–100	Lekko shumusowany piasek; miąższość do 75 cm; zniszczenie wału z Fazy IIIC	10YR 6/2	140, 75	103, 228, 319, 322
228		1	Wał grodziska	X=107,7–109,1; Y=99–100	Drobnoziarnisty, niejednorodny piasek z wtrętami węgielków drzewnych; miąższość do 25 cm; poziom użytkowy	10YR 6/4	226	88
233		1	Wał grodziska	X=108,85–110,80; Y=98,50–100	Drobnoziarnisty, sypki piasek; miąższość do 50 cm; warstwa powstała w wyniku naturalnego narastania gleby	10YR 7/4; 10YR 6/6	152	141a, 155
241		1	Wał grodziska	X=107,90–108,90; Y=99–100	Drobnoziarnisty, sypki piasek; miąższość do 10 cm; warstwa powstała w wyniku naturalnego narastania gleby	10YR 5/3	88	152
258		1	Zagłębienie przywałowe	X=103,70–104,20; Y=99,50–100	Sypki, niejednorodny piasek; miąższość do 10 cm; poziom użytkowy	10YR 6/4	102, 26	100, 140, 76
260		1	Majdan grodziska	X=100–103,70; Y=97,5–100	Lekko shumusowany, sypki niejednorodny piasek z drobnymi fragmentami węgielków drzewnych; miąższość do 15 cm; poziom użytkowy	10YR 5/1	17, 77, 26	76
264		1	Zagłębienie przywałowe	X=102–102,9 Y=98–100	Sypki, niejednorodny piasek; miąższość do 5 cm; poziom użytkowy	10YR 5/3	76	138
266		1	Zagłębienie przywałowe	X=106,70–107; Y=97,90–98,30	Sypki, niejednorodny piasek; miąższość do 5 cm; warstwa powstała w wyniku naturalnego narastania gleby	2,5Y 3/3	13	17
298	298	1	Wał grodziska	X=111,15–111,30; Y=97,5–97,70	Dół posłupowy; w planie kształt połowy owalu (druga połowa znajdowała się poza wykopem), w przekroju natomiast był U-kształtny	10YR 7/6	328	138
299		1	Wał grodziska	X=110,80–113,20; Y=97,50–98,90	Drobnoziarnisty piasek; miąższość do 20 cm; warstwa powstała w wyniku naturalnego narastania gleby	10YR 7/4	139	138
301		1	Wał grodziska	X=113,50–114,10; Y=97,80–98,30	Sypki, niejednorodny piasek z węgielkami drzewnymi; miąższość do 5 cm; nasyp wału z wczesnej epoki żelaza	10YR 3/2	204	125
310	324	1	Wał grodziska	X=112,30–112,50; Y=97,50–97,70	Drobnoziarnisty piasek z drobnymi fragmentami węgli drzewnych; wypełnisko obiektu 324	10YR 8/4	299	324

Tabela 1. Ciąg dalszy

Numer jednostki	Numer obiektu	Numer wykopu	Położenie w obrębie stanowiska	Współrzędne siatki pomiarowej stanowiska	Opis jednostki stratygraficznej	Barwa (Munsell)	Pozycja stratygraficzna	
							Znajduje się pod	Znajduje się nad
315	315	2	Majdan grodziska	X=98–100; Y=106,75–111	Obiekt na majdanie grodziska, przy E krawędzi wykopu; miał ok. 4 m dł. i ok. 2 m szer. oraz ok. 0,9 m gł.; wypełniska 168, 82, 175 i 85		168	48, 90
316		3	Fosa	X=97–98,5; Y=163–163,8	Zbity, lekko gliniasty piasek, na którym wzniesiono mur 25; miąższość do 20 cm	10YR 5/3	25	176
319	325	1	Wał grodziska	X=109–109,25; Y=99,80–100	Drobnoziarnisty, piasek z drobnymi węgielkami drzewnymi; wypełnisko obiektu 325	10YR 5/6	75, 226	325
320	326	1	Wał grodziska	X=114,80–115,05; Y=99,70–100	Lekko shumusowany, z drobnymi fragmentami węgli drzewnych piasek; wypełnisko obiektu 326	10YR 4/2	1	326
321		1	Wał grodziska	X=112,80–116; Y=97,5–100	Lekko shumusowany piasek; miąższość do 25 cm; poziom użytkowy na szczycie wału	10YR 5/3	326, 1, 17	36c, 32a, 216
322	327	1	Wał grodziska	X=109,15–109,50; Y=97,50	Drobnoziarnisty, lekko shumusowany piasek z bardzo drobnymi węglami drzewnymi; wypełnisko obiektu 327	10YR 5/6	75	327
323		1	Wał grodziska	X=110,80–112,70; Y=97,50–98,60	Drobnoziarnisty piasek; miąższość do 25 cm; poziom użytkowy na szczycie wału	10YR 5/4	75	36a, 36c
324	324	1	Wał grodziska	X=112,30–112,50; Y=97,50–97,70	Dół posłupowy; w planie miał kształt połowy owalu (dalsza część znajdowała się poza wykopem), w przekroju natomiast był U-kształtny; gł. do 0,5 m, śr. ok. 0,2 m		310	138
325	325	1	Wał grodziska	X=109–109,25; Y=99,80–100	Dół posłupowy, o śr. 0,2 m i gł. do 1 m, w planie miał kształt połowy owalu (dalsza część znajdowała się poza wykopem), a jego dno było płaskie		32a, 36c, 319	228, 88
326	326	1	Wał grodziska	X=114,80–115,05; Y=99,70–100	Dół posłupowy; w planie miał zarys połowy owalu (dalsza część znajdowała się poza wykopem), przekrój natomiast był V-kształtny; jego śr. wynosiła ok. 0,3 m, a gł. dochodziła do 1 m		320	321, 44
327	327	1	Wał grodziska	X=109,15–109,50; Y=97,50	Dół posłupowy, o śr. 0,2 m i gł. do 1 m, w planie miał kształt połowy owalu (dalsza część znajdowała się poza wykopem), a jego dno było płaskie		322, 32a	88
328	298	1	Wał grodziska	X=111,15–111,30; Y=97,5–97,70	Sypki, lekko shumusowany piasek; wypełnisko obiektu 298	10YR 5/4	299	298
329	329	1	Wał grodziska	X=110,05–110,90; Y=97,5–97,70	Dół posłupowy; w planie miał kształt połowy owalu (dalsza część znajdowała się poza wykopem), dno natomiast było płaskie; jego średnica wynosiła ok. 0,2 m, a gł. dochodziła do 0,5 m		153	138

z następujących warstw: drobnoziarnistego piasku 132, który przykrywał we wschodniej części wykopu ślady czterech przepalonych, równoległych do siebie belek 135, i w którym odkryto skupisko ceramiki 133, datowanej na wczesną epokę żelaza; lekko shumusowanego piasku 124; drobnoziarnistego piasku 134 z dużą ilością węgli drzewnych (będących być może pozostałością konstrukcji drewnianej umacniającej wał); niejednorodnego piasku z węgielkami drzewnymi 301, drobnoziarnistego piasku 125, 201, 204, 212 i 205; a także lekko shumusowanego piasku 209. Zewnętrzny płaszcz wału usypano z drobnoziarnistego piasku 44. Prawdopodobnie od strony wnętrza grodu wał umocniony został dwoma liniami palisad. Świadczą o tym dwa doły posłupowe widoczne w południowej ścianie wykopu. Pierwszy dół, 324, znajdował się tuż przy wale. Drugi natomiast, 298, ok. 100 cm na zachód od pierwszego. Obiekty te miały w planie kształt owalu, w przekroju natomiast były U-kształtne. Wewnątrz dołu 324 zarejestrowano drobnoziarnisty piasek z drobnymi fragmentami węgli drzewnych 310. Z kolei w dole 298 wypełniskiem był lekko shumusowany, niejednorodny piasek 328.

Z fazą tą należy wiązać także widoczną w północnej ścianie wykopu jamę 142, wypełnioną niejednorodnym, gliniastym piaskiem 141b, stanowiącym warstwę niwelacyjną.

Faza II – opuszczenie grodu z wczesnej epoki żelaza

Do tego horyzontu należą jednostki powstałe zapewne w wyniku erozji wału grodziska (W1) z wczesnej epoki żelaza, przykrywające częściowo jego stok i wypełniające zagłębienie przywałowe. Konglomerat ten tworzą kolejno: gliniasty piasek 141a, lekko shumusowany piasek 218 oraz drobnoziarnisty piasek 215 (czytelne w północnej ścianie wykopu) oraz drobnoziarnisty piasek 299 (czytelny w południowej ścianie wykopu).

Faza III – wczesne średniowiecze

Podfaza IIIA

Faza ta związana jest z budową i użytkowaniem grodu wczesnośredniowiecznego. Powstał wówczas wał grodziska (W1), a po jego wewnętrznej stronie (od strony majdanu) zbudowano dwa poziomy komunikacyjne. Nasyp wału tworzyły warstwy lokalnego sypkiego, niejednorodnego piasku 59 oraz sypkiego, drobnoziarnistego piasku 139. Pierwszy poziom znajdował się bezpośrednio u podstawy wału i mógł mieć formę klepiska, być może umocnionego drewnem. Horyzont ten wyznacza drobnoziarnista, piaszczysta, sypka warstwa 155 z węglami drzewnymi oraz kamienie 154. Drugi poziom znajdował się około 1,7–2 m wyżej i wyznaczony był przez warstwę piaszczystą 42 z fragmentami węgli drzewnych i spalonymi bierwionami, które pierwotnie miały prawdopodobnie formę drewnianej rampy z jednej strony opartej o skłon wału, z drugiej wspartej na palach na krawędzi poziomu pierwszego. Od strony zachodniej drewnianą konstrukcję zamykała spalona belka 72. Ślad po słupie 329 podtrzymującym rampę widoczny jest w południowym profilu. Zadokumentowany obiekt w planie miał kształt owalny, jego dno natomiast było płaskie. Jego średnica wynosiła ok. 20 cm, a głębokość ok. 50 cm. Wypełniskiem był lekko shumusowany piasek 153 z drobnymi fragmentami węgli drzewnych. Ponadto przy południowej ścianie wykopu odkryto niewielki (wym. 25 x 30 cm), prostokątny w planie, w przekroju U-kształtny obiekt 148. Jego wypełniskiem był lekko shumusowany, drobnoziarnisty, jednorodny piasek 147.

Z tą fazą należy wiązać także najstarsze nawarstwienia kulturowe występujące na obszarze majdanu, gdzie w obrębie wykopu 1 znajdowały się warstwy sypkich niejednorodnych piasków 76 i 264. W obrębie wykopu 2 zidentyfikowano zaś następujące warstwy użytkowe: shumusowany, zbity, jednorodny piasek 166; drobnoziarnisty, jednorodny piasek 165 oraz lekko shumusowany piasek 48, na którego stropie spoczywały dwa skupiska kamieni 69 i 70. Pierwsze z nich (69) znajdowało się w SE narożniku wykopu 2 i składało się z ok. 20 kamieni o średnicy od kilku centymetrów do ok. 30 cm. Od strony południowej przykryte były kilkucentymetrową warstwą sypkiego, drobnoziarnistego piasku 86. Drugie skupisko (70) znajdowało się ok. 80 cm na północ od bruku 69. Zawierało ono ok. 20 kamieni, o średnicy od kilku do 35 cm.

Podfaza IIIB – zniszczenie wału z Fazy IIIA

Faza IIIA kończy się pożarem konstrukcji drewnianej, w wyniku czego dochodzi do zniszczenia samego wału i spłynięcia ziemi w kierunku majdanu. Konglomerat ten tworzą następujące warstwy: drobnoziarnisty, sypki piasek 233; lekko shumusowany, sypki, niejednorodny piasek 152; drobnoziarnisty, jednorodny piasek 241; sypki, lekko shumusowany piasek 88 z bardzo drobnymi węgielkami drzewnymi; drobnoziarnisty, jednorodny piasek 103 oraz lekko shumusowany, jednorodny piasek 216.

Podfaza IIIC – naprawa wału grodu wczesnośredniowiecznego

Po częściowym zniwelowaniu stropu obsunięcia z Fazy IIIB wzniesiono drewnianą palisadę mającą spełniać funkcję ściany oporowej, której śladem są doły posłupowe 327 i 325. Obiekt 327, o średnicy ok. 20 cm i głębokości 100 cm, w planie miał kształt owalu, a jego dno było płaskie. Wewnątrz dołu wystąpił drobnoziarnisty, lekko shumusowany piasek 322 z bardzo drobnymi węglami drzewnymi. Dół 325 miał podobne wymiary i kształt. Jego wypełniskiem 319 był drobnoziarnisty, piasek z drobnymi węgielkami drzewnymi.

Przestrzeń pomiędzy pierwotnym wałem, a nową palisadą, wypełniono ziemią, modelując w ten sposób nową krawędź wału. Konglomerat ten tworzą kolejno: drobnoziarnisty piasek 32a z niewielką ilością węgli drzewnych, w którego spągu odkryto skupisko ceramiki i kości 43; drobnoziarnisty, jednorodny piasek 36c; drobnoziarnisty, lekko shumusowany piasek 32b oraz jednorodny piasek 36a. Dodatkowo przy północnej ścianie wykopu, pomiędzy warstwą 32a a 36c zalegało L-kształtne bierwiono 35. W zachodniej części wykopu 1, na majdanie grodziska, powstały wówczas warstwy użytkowe: lekko shumusowany, sypki, niejednorodny piasek z drobnymi fragmentami węgielków drzewnych 260 oraz widoczny tylko w ścianie południowej drobnoziarnisty, jednorodny piasek 77.

Podfaza IIID – zniszczenie wału z Fazy IIIC

Z nieznanych przyczyn wał w formie z Fazy IIIC nie przetrwał. Przewrócona konstrukcja została zniwelowana warstwami drobnoziarnistego piasku 96 i lekko shumusowanego piasku 226.

Podfaza IIIE – powstanie zagłębienia przywałowego

Prawdopodobnie w tej fazie powstało znacznych rozmiarów zagłębienie przywałowe. Brak wyraźnego poziomu użytkowego na jego dnie wskazuje, że istniało ono bardzo krótko albo tuż przed jego zasypaniem zostało oczyszczone (co nie wydaje się zbyt prawdopodobne)[8]. Po krótkim epizodzie istnienia, zagłębienie zostało zasypane drobnoziarnistym piaskiem 140,

[8] Nie można wykluczyć, że zniwelowanie wału z Fazy IIIC (czyli Faza IIID) i powstanie zagłębienia przywałowego (Faza IIIE) było elementem jednej akcji budowlanej.

z kilkoma kamieniami 151, zawierającym dużą ilość węgli drzewnych, ceramiki i kości ludzkie[9].

Na majdanie grodziska (W2) powstały wówczas kolejne warstwy użytkowe: drobnoziarnisty, sypki, jednorodny piasek 167; lekko shumusowany, jednorodny piasek 164; sypki, lekko shumusowany piasek z drobnymi fragmentami węgielków drzewnych 174 oraz drobnoziarnisty, sypki, jednorodny piasek 84.

Podfaza IIIF – I poziom użytkowy na stropie zasypiska zagłębienia przywałowego

Po zasypaniu zagłębienia przywałowego, na stropie zasypiska, w sypkim, drobnoziarnistym piasku 123 powstał poziom użytkowy z brukiem kamiennym 127. Pod brukiem odkryto skupisko kości ludzkich 144[10] oraz ceramiki datowanej na wczesne średniowiecze. Bruk składał się z dopasowanych do siebie kamieni o średnicy około 10–20 cm. W jego obrębie, przy północnej ścianie wykopu, odkryto prawdopodobnie obiekt mieszkalny 104, otoczony dołami posłupowymi 108, 110 i 114. Obiekt 104, o wymiarach 50 x 200 cm i głębokości 20 cm, w planie miał kształt zbliżony do owalu (jego połowa wykraczała poza zasięg przebadanego terenu), a jego dno było płaskie. Wypełnisko obiektu stanowił lekko shumusowany piasek 100 z drobnymi fragmentami węgli drzewnych. Trzy doły posłupowe (każdy o średnicy ok. 10 cm i głębokości ok. 20 cm) w planie miały kolisty zarys, a w przekroju były V-kształtne. Ich wypełniska tworzył lekko shumusowany piasek (105, 109 i 113).

W tym czasie na majdanie grodziska (W2) powstał obiekt 315, który zbadany został tylko fragmentarycznie (wchodził we wschodnią ścianę wykopu, ponadto częściowo został zniszczony przez obiekty 20, 22, 24 i 52). Obiekt miał ok. 400 cm długości i ok. 200 cm szerokości oraz ok. 90 cm głębokości. Krawędzie północna i południowa opadały stromo, a dno było płaskie. Wypełniskami obiektu były: drobnoziarnisty, lekko shumusowany piasek z drobnymi węglami drzewnymi 168, na którym spoczywało skupisko kilkudziesięciu kamieni 82 (o średnicy od 10 do 30 cm); drobnoziarnisty piasek 175 oraz lekko shumusowany piasek 85. Prawdopodobnie był to obiekt mieszkalny.

Podfaza IIIG – II poziom użytkowy na stropie zasypiska zagłębienia przywałowego

Bruk 127 (W1) z Fazy IIIF został przykryty drobnoziarnistym, sypkim piaskiem 121 i 129. W warstwie 129 odkryto kilka kamieni 119 (o średnicy do 15 cm)[11]. Warstwę 121 przy północnej krawędzi wykopu przecinała płytka jama 112. W planie miała ona kształt wydłużonego owalu o wymiarach ok. 20 x 40 cm i głębokości ok. 5 cm, a jej dno było płaskie Wypełniskiem była piaszczysta ziemia 111. Kolejny poziom bruku 97 ułożono na drobnoziarnistym, sypkim piasku 102[12]. Bruk wykonano z kilkudziesięciu kamieni (o średnicy od pięciu do 40 cm).

Z tym horyzontem należy wiązać powstanie i funkcjonowanie jam odkrytych na majdanie grodziska (W2). Obiekt 52, o wymiarach ok. 240 cm długości i 30 szerokości oraz ok. 50 cm głębokości, w planie miał kształt owalu (część obiektu wykraczała poza przebadany obszar), a przekrój był nieckowaty. Jego wypełnisko tworzył drobnoziarnisty piasek 51.

Podfaza IIIH – III poziom użytkowy na stropie zasypiska zagłębienia przywałowego

W wykopie 1 ponad brukiem 97 z Fazy IIIG wytworzył się kolejny poziom użytkowy z kolejnym brukiem. Bruk 79 ułożono na warstwach drobnoziarnistego, sypkiego piasku 71, 26, 78 i 80. Wykonano go z kilkudziesięciu dopasowanych do siebie kamieni o średnicy od 5 do 40 cm. Na wschód od bruku 79, w dolnej części stoku wewnętrznego wału, w warstwie 78 odkryto „ławę kamienną" (równoległą do linii wału) wzniesioną z kilkudziesięciu kamieni o średnicy do 40 cm.

Zapewne z tą fazą można wiązać także relikt poziomu użytkowego na szczycie wału grodziska reprezentowany przez lekko shumusowany piasek 321 i drobnoziarnisty piasek 323. Ponadto warstwę 321 przecinał dół posłupowy 326, który być może był elementem palisady. Obiekt w planie miał zarys owalu (obiekt częściowo wykraczał poza zasięg przebadanego terenu), przekrój natomiast był V-kształtny. Jego średnica wynosiła ok. 30 cm, a głębokość ok. 100 cm. Wypełnisko tworzył lekko shumusowany piasek 320 z drobnymi fragmentami węgli drzewnych.

[9] Pozyskane szczątki znalazły się wtórnie w warstwie 140; zob. Jaskulska 2013: 301–303. Należy wiązać je z wczesną epoką żelaza.

[10] Odkryte kości ludzkie znalazły się wtórnie w warstwie 123; zob. Jaskulska 2013: 301–303. Należy wiązać je z wczesną epoką żelaza.

[11] W warstwach 129 i 121 odkryto wtórnie naniesione dwa fragmenty belek 118 i 128 (o wymiarach ok. 5 x 10 cm).

[12] W warstwie 102 odkryto srebrny paciorek, kości ludzkie i ok. 20 fragmentów ceramiki datowanej na wczesne średniowieczne oraz trzy fragmenty z wczesnej epoki żelaza. Kości oraz ceramika z wczesnej epoki żelaza zostały naniesione wtórnie.

Na majdanie (W2) grodziska z horyzontem tym należy wiązać ślady (widoczne wyraźnie jedynie w ścianach wykopu) spalonych, cienkich (średnicy około 8 cm) połówek bierwion 122, leżących blisko siebie, zalegających w lekko shumusowanym piasku 53 zawierającym dużą ilość węgielków drzewnych 47. Prawdopodobnie są to pozostałości drewnianego moszczenia dookolnej ulicy. W południowej części wykopu zidentyfikowano warstwę użytkową reprezentowaną przez drobnoziarnisty piasek 171.

Podfazy od III I do IIIS związane są z powstaniem i funkcjonowaniem fosy (W3). Z powodu znacznej odległości od wykopu 1 i 2 niemożliwe było zsynchronizowanie poszczególnych podfaz wydzielonych w fosie z podfazami zidentyfikowanymi na wale i majdanie grodziska.

Podfaza III I – wyprofilowanie najstarszego koryta fosy oraz wzniesienie muru 115

W tej fazie wyprofilowano najstarsze koryto fosy 57 (W3). Jej szerokość (u góry) wynosi około 4,6 m, a najniższy punkt znajduje się na poziomie 112,30 m n.p.m. Różnica wysokości pomiędzy dnem fosy, a szczytem wału po osi ściany W wynosi około 8,6 m. Fosa miała U-kształtny przekrój. Następnie na stropie piaszczystej, sypkiej, jednorodnej warstwy 116 ułożono poziom kamieni 115. Być może kamienie te są pozostałością najstarszego muru. W obrębie wykopu wystąpiło 15 kamieni o średnicy od kilku do 20 centymetrów.

Podfaza IIIJ – zniszczenie muru 115 i naturalne narastanie gleby

Z nieznanych przyczyn najstarszy mur z fazy III I uległ zniszczeniu. Na jego pozostałościach dochodzi do naturalnego narastania gleby. Horyzont ten reprezentowany jest przez następujące warstwy: drobnoziarnisty piasek z wtrętami wytrąceń żelazistych 180; drobnoziarnisty piasek 106 oraz drobnoziarnisty piasek 95.

Podfaza IIIK – mur 99

W tej fazie na stropie zglinionego piasku 193 oraz shumusowanego piasku 195 wzniesiono prawdopodobnie kolejny kamienny mur 99. W obrębie wykopu tworzyło go ok. 20 kamieni o średnicy od kilku do 30 cm.

Podfaza IIIL – zniszczenie muru 99 i naturalne narastanie gleby

W wyniku procesów erozyjnych pozostałości kamiennej konstrukcji 99 zostają przykryte gruboziarnistym, zbitym piasku 182, gliniastym piaskiem z drobnymi węgielkami drzewnymi 93; gruboziarnistym piaskiem z węgielkami drzewnymi 81 oraz drobnoziarnistym piaskiem 56. Z horyzontem tym należy wiązać także zadokumentowaną w północnej części wykopu warstwę lekko shumusowanego piasku 178.

Podfaza IIIM – obiekt 61

Następnie w północnej części stoku fosy 57 wykopano duży obiekt 61 (ok. 100 x 300 cm i głębokości ok. 200 cm), którego kształt zbliżony był do połowy owalu (część obiektu wykracza poza zasięg terenu zbadanego wykopaliskowo). Jama ta została wypełniona kolejno: drobnoziarnistym piaskiem 65; lekko gliniastym piaskiem 179; zbitym gruboziarnistym piaskiem 64; zbitym piaskiem z drobnymi fragmentami polepy 63 oraz drobnoziarnistym piaskiem z węgielkami drzewnymi 60.

Podfaza IIIN – poziom użytkowy

Na zasypisku jamy 61 utworzył się poziom użytkowy, który reprezentowany jest przez następujące warstwy: spoisty, lekko ilasty piasek 29; sypki, drobnoziarnisty piasek 62 oraz drobnoziarnisty piasek 66. Ponadto w północnej części wykopu powstał i funkcjonował w tym okresie obiekt 40, o wymiarach 40 x 50 cm i głębokości ok. 20 cm, w planie prostokątny, a w przekroju U-kształtny. Jego wypełniskiem był shumusowany, sypki piasek 39.

Podfaza IIIO – mur 67

W tym okresie zbudowano kolejny mur kamienny. Zarówno we wschodniej, jak i zachodniej ścianie wykopu widoczny jest ślad po wkopie 87 pod mur 67. Na stropie zbitego, lekko gliniastego piasku 91 wzniesiono konstrukcję z ok. 60 kamieni o średnicy od 10 cm do 40 cm. Na południe od muru zalegał sypki, drobnoziarnisty piasek 177, a przy ścianie zachodniej wykopu, w zagłębieniu warstwy niższej lub słabo czytelnym wkopie leżał depozyt gliniastej ziemi 187.

Podfaza IIIP – zniszczenie muru 67 i naturalne narastanie gleby

Z nieznanych przyczyn mur 67 uległ zniszczeniu. Na jego pozostałościach dochodzi prawdopodobnie do naturalnego narastania gleby. Do tej podfazy należy zaliczyć następujące jednostki stratygraficzne: lekko shumusowany piasek 37; drobnoziarnisty, sypki piasek z węgielkami drzewnymi 41; zbity, drobnoziarnisty piasek 28; średnioziarnisty piasek 30 oraz drobno- i średnioziarnisty piasek 33.

Podfaza IIIR – mur 25

Wkop 176 pod mur kamienny 25 wyznacza kolejną fazę działań w rejonie podnóża stoku grodu. Na stropie

lekko gliniastego piasku 316 wzniesiono bez użycia zaprawy mur z kilkudziesięciu kamieni o średnicy do 50 cm. Linia jego przebiegu (w obrębie wykopu) odpowiadała linii przebiegu podnóża wału. Na północ od muru 25 znajdowało się kilkanaście zsuniętych z niego kamieni 38 (o średnicy do 40 cm).

Podfaza IIIS – naturalne narastanie gleby

W procesie naturalnego narastania gleby mur kamienny 25 zostaje przykryty drobnoziarnistym, jednorodnym piaskiem 34 oraz średnio- i gruboziarnistym, lekko shumusowanym piaskiem 27.

Faza IV – opuszczenie grodu

Po opuszczeniu grodu, zapewne w XIII w., jego wały uległy daleko idącej erozji i spłynęły w kierunku majdanu oraz fosy. W wykopie 1 zaobserwowano następujące warstwy: luźno leżące kamienie 58, drobnoziarnisty, lekko shumusowany piasek 75; shumusowany piasek 11; średnioziarnisty piasek 17 oraz lekko shumusowany piasek 13. W wykopie 2 z horyzontem tym możemy wiązać shumusowany, średnio- i gruboziarnisty piasek. 50; lekko shumusowany piasek 46; zbity piasek 15 oraz lekko shumusowany piasek 9. W strop warstwy 15 wkopane były obiekty 20, 22 i 24, które zostały częściowo zniszczone późniejszymi wkopami detektorystów (4, 6, 8). Jama 20, o wymiarach ok. 180 x 200 cm i głębokości ok. 70 cm, w zarysie miała kształt prostokąta o zaokrąglonych narożnikach, ściany strome a dno płaskie. Jej wypełnisko stanowił drobnoziarnisty, lekko shumusowany piasek 19. Obiekty 22 (ok. 140 cm x 160 cm, głębokość 50 cm) i 24 (ok. 180 cm x 200 cm, głębokość 70 cm) w planie miały kształt nieregularny, zbliżony nieco do owalu; ich ściany były strome, a dna płaskie. Wypełnisko jamy 22 tworzył lekko shumusowany, niejednorodny piasek 21 oraz kilka kamieni 31, a jamy 24 – drobnoziarnisty, shumusowany piasek 23. Natomiast w wykopie 3 faza ta jest reprezentowana przez shumusowany, zbity, średnioziarnisty piasek 14 oraz shumusowany piasek 12.

Faza V – współczesny poziom gruntu

Obecny poziom gruntu tworzy drobnoziarnisty, shumusowany piasek 1 i 2 (W1, W2) oraz 10 (W3) będący warstwą humusu leśnego. Ponadto przy wschodniej krawędzi wykopu 2 zarejestrowano trzy współczesne wkopy rabunkowe (obiekty 4, 6 i 8[13]) dokonane przez detektorystów. Wkopy te miały podobny kształt (w planie owalne, ze stromymi ścianami i płaskimi dnami) oraz wypełniska (przemieszany lekko shumusowany piasek ze ściółką 3, 5 i 7). Zadokumentowano również warstwy, będące rozmytymi hałdami z wkopów detektorystów (shumusowany piasek 173, shumusowany piasek ze ściółką 172, lekko shumusowany piasek 170 drobnoziarnisty, shumusowany piasek 169).

ZNALEZISKA

URSZULA KOBYLIŃSKA

Ceramika

Ogólna charakterystyka zespołu znalezisk

W przebadanych w roku 2012 nawarstwieniach grodziska znaleziono łącznie 1282 fragmenty ceramiki. Wśród nich znajdowało się z 207 fragmentów z wylewem, co składa się na 175 różne naczynia, a także 831 fragmentów brzuśców, 92 fragmenty przydenne, 97 fragmentów z zachowanym dnem, 2 fragmenty zachowanych nóżek i uchwyt patelenki ceramiki późnośredniowiecznej oraz 8 fragmentów z zachowanymi częściami uch (tab. 2).

Chronologicznie możemy wyróżnić w omawianym materiale ceramicznym 288 fragmentów pochodzących z wczesnej epoki żelaza, 854 – z wczesnego średniowiecza i 140 – z okresu późnego średniowiecza.

Materiał ceramiczny charakteryzuje znaczne zróżnicowanie pod względem wielkości (tab. 3). Małych fragmentów, o maksymalnej wielkości 3 i 4 cm, przynoszących niewiele informacji, jest wiele; jednak prawie tyle samo jest nieco większych fragmentów o maksymalnej wielkości 5–7 cm i nielicznych zachowanych dużych części naczyń. Rozdrobnienie zbioru jest znaczne, co uniemożliwia wyklejenia choćby częściowych większych rekonstrukcji i określenie proporcji naczyń. Jednak spora liczba fragmentów ma dobrze zachowane krawędzie, co umożliwia wyklejenia z małych fragmentów choćby niewielkich części naczyń. Głównie w zespole tym występują fragmenty nie zniszczone i mało zniszczone (kategorii 0, I oraz II[14]), choć spora część fragmentów wykazuje ślady zniszczenia i wypłukania powierzchni ścianek wewnętrznych, co skutkuje rozwarstwieniem gliny. Jest to skutek działań wody w takcie zalegania fragmentów ceramiki w warstwach stanowiska. Nie określono bliżej rodzaju powierzchni jedynie 22 fragmentów, które są przepalone oraz 29 fragmentów o powierzchniach zniszczonych, wykazujących ślady silnego spłukania powierzchni z obu stron. Większość zniszczonego materiału pochodzi z okresu starożytnego.

[13] Wkopy miały następujące wymiary: obiekt 4 – ok. 200 x 200 cm głębokość do 80 cm; obiekt 6 – ok. 110 x 120 cm, głębokość do 50 cm; obiekt 8 – 140 x 150 cm, głębokość do 30 cm.

[14] Według klasyfikacji Buko 1990a.

Tabela 2. Zestawienie ilościowe fragmentów ceramiki z grodziska w Kamionce, st. 9 (oprac. U. Kobylińska)

FAZA	Jednostka stratygraficzna	Liczba fragmentów łącznie	Liczba różnych naczyń	Wylewy			Szyjki	Brzuśce										Ucha	Części przydenne	Dna									Nóżki i uchwyty	Ceramika siwa	Ceramika z polewą	Fragmenty przepalone	Fragmenty o wypłukanej powierzchni	Chronologia	
									Rodzaj powierzchni					Ornamentowane								Rodzaj			Cechy den										
				Liczba fragmentów	SEN (procent obwodu)	Ornamentowane		Liczba fr. ogółem	Chropowacone	Gładkie	Wyświecane	Szorstkie	Nieokreślone	Żłobki dookolne	Linia falista	Ornament plastyczny	Odciski			Liczba fragmentów	SEN (procent obwodu)	Wklęsłe	Lekko wklęsłe	Płaskie	Na podsypce	Wałek dookolny	Odcinanie	Znak garncarski						wczesna epoka żelaza	wczesne średniowiecze
I	44	15	3	3	21		1	10	5	4	1			1		2			1														15	
I	124	16						12	2	8			2						4														16	
I	125	2																	2													1	2	
I	132	26						24	18	6									2														26	
I	133	58	3	3	28	1	3	44	42	1	1						5	1	4	4	87		3			3							58	
I	134	35	5	7	53	4		28	19	6	1		2																				35	
I	141 b	3						3		1	1		1				1															1		3	
IIIA	42	3						2	1	1									1														3	
IIIA	48	20	3	3	36		2	13	1	1		11		13			4	1		1	12		1		1								2	17
IIIA	76	1					1																										1	
IIIA	86	132	15	18	136		4	95	1	1	1	91	1	93	4	3	10		5	10	142	3	6	1	10	8		1				8	6	125
IIIA	139	3						3	2	1																							3	
IIIA	155	1						1		1																							1	
IIIB	88	3						3				3		2																				3
IIIC	43	2						2		1	1						1																2	
IIIC	77	2						1	1										1														2	
IIIC	32 a	21	2	2	10	1		19	4	9	5	1				1		1															19	2
IIIC	36 a	1																	1														1	
IIIE	84	2	1	1	15			1				1		2																				2
IIIE	140	31	7	7	50			14	3	1		10		16	1	3	3		5	5	79	3	1		3	3							8	23
IIIF	85	5					1	3				3		3		1			1														1	4
IIIF	100	33	6	6	52			23				23		28	1	2	6			4	131	2		2		1						1		33
IIIF	110	1						1				1				1																		1
IIIF	123	15	2	2	17		1	10	3	2		5		4		3	2			2	60		2		1								5	10
IIIF	144	6	2	3	26			2				2		2						1	25	1												6
IIIF	168	11	2	2	14			8		1		7		6	1	1	2		1													1		1	10
IIIG	51	143	15	18	120		6	101	6	2	2	85	6	104	2	2	5	3	8	10	142	5	3	1	8	3		1				4	5	18	124
IIIG	52	1						1				1		1																				1
IIIG	111	3					1	2				1	1	2			2																		3
IIIG	118	18	3	2	16			14				13	1	15	1	1	2			1	100	1				1							1		18

Tabela 2 Ciąg dalszy

FAZA	Jednostka stratygraficzna	Liczba fragmentów łącznie	Liczba różnych naczyń	Wylewy			Szyjki	Brzuśce										Ucha	Części przydenne	Dna										Nóżki i uchwyty	Ceramika siwa	Ceramika z polewą	Fragmenty przepalone	Fragmenty o wypłukanej powierzchni	Chronologia	
									Rodzaj powierzchni					Ornamentowane								Rodzaj			Cechy den											
				Liczba fragmentów	SEN (procent obwodu)	Ornamentowane		Liczba fr. ogółem	Chropowacone	Gładkie	Wyświecane	Szorstkie	Nieokreślone	Żłobki dookolne	Linia falista	Ornament plastyczny	Odciski			Liczba fragmentów	SEN (procent obwodu)	Wklęsłe	Lekko wklęsłe	Płaskie	Na podsypce	Wałek dookolny	Odcinanie	Znak garncarski						wczesna epoka żelaza	wczesne średniowiecze
IIIG	120	2						2				2		2																					2
IIIG	121	45	10	12	105		4	22	1	2		19		23		8	14		2	5	130	1	2	2	1							6	6	1	44
IIIG	129	205	34	51	423		7	96	1		2	88	5	103	3	4	17		20	31	592	12	11	1	20	13		5				4		4	201
IIIG	102	24	3	3	25		1	19	2			17		18	1	3	2			1	20		1											3	21
IIIH	26	16	2	2	15			12	1			11		13			2		2															2	14
IIIH	71	4	1	1	4			2	1	1									1															3	
IIIH	78	2	1	1	5			1	1																									2	
IIIH	80	3						2		2										1	35	1				1								2	1
IIIJ	106	2	2	2	8																														2
IIIK	182	1					1																												1
IIIL	81	3	1	1	4			2			1		1																				1	3	
IIIL	93	1																	1														1	1	
IIIM	60	22	3	3	11		1	17				17		12			1		1											1			1		21
IIIN	39	2						1				1		1					1														2		2
IIIN	62	6					1	3	1			1	1	2					1	1	6			1	1								1	1	5
IIIP	28	2																	1	1		2			1								1		2
IIIP	30	2					1	1		1				1	1																		1		
IIIP	33	4						4		1		2	1	1																			1	1	3
IIIP	41	6					1	4	1			2	1	3						1		1											1	2	4
IIIS	27	9	1	1	3			7				5	2	3					1													2			9
IIIS	34	1												1					1																1
IV	9	1																	1											1					
IV	11	9	1	1	4			6	2	4									2															9	
IV	12	3						2				1	1						1																3
IV	13	5						4	1	1			2			1			1															5	
IV	14	7	1	1				5		1		2	2	2					1															1	5
IV	15	2	1	1				1				1																							
IV	46	101	15	15	56		4	63	1	2		60		44	2	1	2	2	10	8	167	2		5			5		1		7	1		4	56

Tabela 2. Ciąg dalszy

FAZA	Jednostka stratygraficzna	Liczba fragmentów łącznie	Liczba różnych naczyń	Wylewy: Liczba fragmentów	Wylewy: SEN (procent obwodu)	Wylewy: Ornamentowane	Szyjki	Brzuśce: Liczba fr. ogółem	Brzuśce: Rodzaj powierzchni: Chropowacone	Brzuśce: Rodzaj powierzchni: Gładkie	Brzuśce: Rodzaj powierzchni: Wygładzane	Brzuśce: Rodzaj powierzchni: Szorstkie	Brzuśce: Rodzaj powierzchni: Nieokreślone	Brzuśce: Ornamentowane: Żłobki dookolne	Brzuśce: Ornamentowane: Linia falista	Brzuśce: Ornamentowane: Ornament plastyczny	Brzuśce: Ornamentowane: Odciski	Ucha	Części przydenne	Dna: Liczba fragmentów	Dna: SEN (procent obwodu)	Dna: Rodzaj: Wklęsłe	Dna: Rodzaj: Lekko wklęsłe	Dna: Rodzaj: Płaskie	Dna: Cechy den: Na podsypce	Dna: Cechy den: Walek dookolny	Dna: Cechy den: Odcinanie	Dna: Cechy den: Znak garncarski	Nóżki i uchwyty	Ceramika siwa	Ceramika z polewą	Fragmenty przepalone	Fragmenty o wypłukanej powierzchni	Chronologia: wczesna epoka żelaza	Chronologia: wczesne średniowiecze	
IV	50	30	5	5	48			20		4		16		14	2		2			2	25		1	2										1	24	
IV	75	1						1	1																								1		
V	1	20	4	4	11		1	11	1	2		7		4		1	2			2	10	1		1									5	12	
V	3	22	2	2	11		2	16	2	2		12		13			1			3						1							6	13	
V	5	33	6	6	27		5	21	1	5		15		13	1		1							1									3	20	
V	7	71	12	17	95		1	46		24		19	3	12						5	116			3			2						1	6	
V	10	2	1	1	5		1		1					1	1																			2	
Suma		**1282**	**175**	**207**	**1454**	**6**	**51**	**831**	**126**	**99**	**16**	**556**	**33**	**578**	**21**	**38**	**87**	**8**	**92**	**97**	**1879**	**35**	**31**	**19**	**49**	**33**	**7**	**8**	**3**	**6**	**27**	**23**	**29**	**288**	**856**

Ceramika z wczesnej epoki żelaza

Formy naczyń

Wśród zachowanych fragmentów górnych części naczyń z wylewami z tej fazy chronologicznej możemy wyróżnić:

a) masywne garnki o powierzchni chropowaconej lub kreskowanej – naczynia workowate z szerokim brzegiem zdobionym wgłębieniami palcowymi (tabl. 1:1–3; 2:4; 4:13; 5:9). Powierzchnie naczyń mają barwę jasnoceglasto-żółtą (7,5YR 6/4, 7,5YR 6/6). Fragmenty tych naczyń stanowią najliczniejszą grupę w omawianym zespole ceramicznym;

b) naczynia o profilu esowatym, lekko wychylonym brzegu i mocno wygładzonej powierzchni (tabl. 2:2, 8, 9–10). Powierzchnie tych naczyń mają barwę rudo-ceglastą (5YR 5/6);

c) naczynia z długą szyjką (tabl. 2:12), barwy rudo-ceglastej (5YR 5/6);

d) masywne, duże naczynia o pogrubionym brzegu, mocno wygładzane w całej górnej części z wylewem i być może chropowacone na brzuścu (tabl. 16:5). Powierzchnie ich mają barwę szarą i szaro-czarną (5YR 4/1);

e) dzbanki o małej średnicy wylewu z zachowanym uchem i wypolerowaną i wyświeconą powierzchnią (tabl. 2:11; 8:12). Ta forma naczyń reprezentowana jest w omawianym zespole nielicznymi fragmentami. Powierzchnie mają barwę brązową i ceglasto-rudo-czerwoną (5YR 5/6);

f) naczynia misowate o wydzielonym brzegu i powierzchni silnie wyświeconej z obu stron, barwy brązowej (5YR 5/3) (tabl. 2:7). Tę formę reprezentuje w omawianym zespole tylko jeden fragment ceramiki.

Analogiami do omawianych form jest materiał ceramiczny z osiedli obronnych z wczesnej epoki żelaza z takich miejscowości, jak Stary Dzierzgoń, pow. sztumski, Starzykowo Małe, gm. Iława, pow. iławski, Kretowiny, gm. Morąg, pow. ostródzki[15], Tolkmicko, pow. elbląski, czy Jeziorko, gm. Ryn, pow. giżycki[16]. Podobieństw można doszukać się także w znaleziskach z Sząbruka, gm. Gietrzwałd, pow. olsztyński[17].

Naczynia charakteryzujące się kreskowaniem wystąpiły w Kamionce, st. 9 jedynie w kilku egzemplarzach, zawsze w połączeniu z zastosowaniem ozdobnych, palcowych wgłębień na wylewie (tabl. 1:1–3). Powierzchnie wewnętrzne tych naczyń, dzięki pokryciu grubą warstwą tłustej gliny, są silnie wypolerowane, a nawet wyświecone, a ich matowe i gładzone

[15] W czasie badań prowadzonych w ramach realizacji projektu *Katalog grodzisk Warmii i Mazur* istnienie osiedla obronnego na tym stanowisku nie zostało potwierdzone; zob. Kobyliński *et al.* 2016: 274–279.

[16] Ł. Okulicz 1970: tabl. 25:2, 21, 26, tabl. 26:2, 6, 12, 18–20, 29, tabl. 27:3, 12, tabl. 28:11.

[17] Mirkowska 1998: tabl. 1–2, tabl. 3:1, tabl. 4:1, tabl. 5:1–2, 7, tabl. 9:2.

Tabela 3. Fragmentacja i erozja fragmentów ceramiki z grodziska w Kamionce, st. 9 (oprac. U. Kobylińska)

Faza	Jednostka stratygraficzna	Kategorie wielkościowe [cm]															Stopień erozji				Suma
		1	2	3	4	5	6	7	8	9	10	11	12	13	14	15	0	I	II	III	
I	44			4	3	1	2	4			1							10	5		**15**
I	124			3	3	4	3	1	2									11	1	4	**16**
I	125				1				1									1	1		**2**
I	132		2	2	5	4	4	3	2	1	2	1						8	17	1	**26**
I	133			3	10	7	8	6	6	4	4	2	4	2	1	1		56	2		**58**
I	134			6	5	9	5	3	3	1	1	1	1					25	8	2	**35**
I	141b			1	1		1											1		2	**3**
IIIA	42					2		1											3		**3**
IIIA	48	1	4	3	7	1	1	2	1									17	3		**20**
IIIA	76			1															1		**1**
IIIA	86		2	22	42	25	20	13	6	1	1							101	30	1	**132**
IIIA	139				2	1												3			**3**
IIIA	155						1												1		**1**
IIIB	88			1		1		1										3			**3**
IIIC	43				1	1												1	1		**2**
IIIC	77					2												2			**2**
IIIC	32a	1	1	3	7	2	4	1	2									10	10	1	**21**
IIIC	36a					1												1			**1**
IIIE	84						1	1											1	1	**2**
IIIE	140			2	5	7	7	3	4	1	1	1						19	12		**31**
IIIF	85				2		1	1	1									3	2		**5**
IIIF	100			1	8	7	4	4	5	2	1					1		26	7		**33**
IIIF	110					1												1			**1**
IIIF	123			2	4	2	1	2	2		1			1				10	5		**15**
IIIF	144				1	1	1	1	1				1					6			**6**
IIIF	168		1	3	2	2	2		1								1	6	4		**11**
IIIG	51		4	13	58	19	25	11	7	3	2				1			109	29	5	**143**
IIIG	52			1														1			**1**
IIIG	111			1	1	1												2	1		**3**
IIIG	118			4	1	4	3	1	2		1	1	1					11	4	3	**18**
IIIG	120						2											2			**2**
IIIG	121		2	5	14	9	2	3	5	3	2							33	11	1	**45**
IIIG	129	1	16	27	38	36	24	20	13	16	6	3	4	1				150	47	8	**205**
IIIG	102		1	6	4	3	6	2	1	1								17	7		**24**
IIIH	26	1	1		8	1	1	3	1									11	5		**16**
IIIH	71				2	1	1										1	2	1		**4**
IIIH	78					1		1											2		**2**
IIIH	80			1			2											2	1		**3**
IIIJ	106			1		1												1	1		**2**
IIIK	182							1										1			**1**
IIIL	81					3													1	2	**3**
IIIL	93						1													1	**1**
IIIM	60	1	3	8	7	3												14	6	2	**22**
IIIN	39				1	1													2		**2**
IIIN	62			1	2	2	1											1	4	1	**6**
IIIP	28			2																2	**2**
IIIP	30			1					1											2	**2**
IIIP	33			2	2														2	2	**4**
IIIP	41				1	2	3											3	2	1	**6**
IIIS	27		2	3	2	2													7	2	**9**
IIIS	34					1												1			**1**
IV	9					1													1		**1**
IV	11			1	3	3		1	1									3	3	3	**9**
IV	12		1	1	1														1	2	**3**
IV	13				1	2	1	1											2	3	**5**
IV	14			3	3	1												2	2	3	**7**

Tabela 3. Ciąg dalszy

Faza	Jednostka stratygraficzna	Kategorie wielkościowe [cm]															Stopień erozji				Suma
		1	2	3	4	5	6	7	8	9	10	11	12	13	14	15	0	I	II	III	
IV	15				2													2			**2**
IV	46		2	31	27	18	7	8	5	1	2						37	45	11	8	**101**
IV	50		1	5	9	5	3	4	1	2							1	9	20		**30**
IV	75							1											1		**1**
V	1		1	10	5	3	1											10	9	1	**20**
V	3		1	4	8	5	3	1									1	6	9	6	**22**
V	5		2	6	11	7	6										12	6	12	3	**33**
V	7		9	22	12	14	4	4	1	2	2	1					9	50	5	7	**71**
V	10				1	1													2		**2**
Suma		**5**	**56**	**216**	**333**	**231**	**162**	**109**	**75**	**38**	**27**	**10**	**11**	**4**	**2**	**2**	**62**	**815**	**325**	**80**	**1282**

z zewnątrz powierzchnie pokryte są różnorodnymi, krótkimi kreskami (tabl. 2:6). Są to przede wszystkim łukowate i ukośne, nawzajem przecinające się wielokrotne rzędy pojedynczych, dość głębokich, żłobionych ostrym rylcem kresek. Zwykle wiąże się je z ceramiką kreskowaną kultur z terenów wschodnich (Litwy i Białorusi). Naczynia takie znane są z wielu stanowisk z terenów północnowschodniej Polski, gdzie jednak – podobnie jak w Kamionce, st. 9 – występują w materiale zabytkowym sporadycznie[18]. Ta szczególna forma naczyń workowatych o powierzchni pokrytej kreskowaniem znana jest np. z jamy osady w Żubronajciach, st. 2, gm. Krasnopol, pow. sejneński[19]. Analiza zawartości kwasów tłuszczowych w próbce pochodzącej z naczynia tego rodzaju z Kamionki wykazała, że znajdował się w nim pokarm pochodzenia roślinnego[20].

Zabytkowy materiał ceramiczny z Kamionki, st. 9 wiązać należy z fazą II–III kultury kurhanów zachodniobałtyjskich.

Ucha

W analizowanym materiale znaleziono jedno szerokie (ok. 2,2 cm), tzw. taśmowate ucho dzbanuszka zachowane w całości (tabl. 2:11), jeden większy fragment wąskiego, owalnego w przekroju ucha z widocznym mocowaniem do ścianki na czop (tabl. 8:6), a także małe fragmenty górnych części naczyń, do brzegu których przyklejano szerokie, płaskie, także tzw. taśmowate ucha (tabl. 4:10; 8:7, 12).

Dna

Z fazy starożytnej grodziska w Kamionce, st. 9 zachowało się w całości jedno dno z zaznaczającą się stopką, średnicy ok. 13 cm, pochodzące z dużego, masywnego naczynia o powierzchni pokrytej drobnym chropowaceniem, barwy żółtawo-czerwonej z obu stron (5YR 5/6) (tabl. 1:4). Z dużym prawdopodobieństwem można sugerować, że w obrębie tej samej jednostki stratygraficznej na niewielkiej powierzchni znaleziono ok. 50 fragmentów pochodzących z tego samego naczynia chropowaconego, lecz jedynie kilka fragmentów łączy się bezpośrednio. Część przy dnie, choć nierówna, jest wygładzana tłustą glinką, co spowodowało brak widocznych ziaren na powierzchni, a schropowacenie w postaci drobnych smug gliny i ziaren zaczyna się na wysokości 4 cm od krawędzi dna. Dookoła powierzchni zewnętrznej dna lekko zaznacza się spłaszczony pas szerokości ok. 2 cm. Środkowa część dna jest lekko wklęsła, pokryta tłustą glinką i widoczne są na niej odciski źdźbeł traw/słomy. Wnętrze naczynia jest gładkie. Naczynie wykonano z gliny pylastej z domieszką o różnej granulacji.

Zachowane części przydenne z wczesnej epoki żelaza, pochodzące z innych naczyń o powierzchni chropowaconej, charakteryzowały się słabym wysklepieniem brzuśca, grubymi, masywnymi ściankami o czarnej wyświeconej powierzchni wewnętrznej i domieszką o różnej granulacji, zawsze z dodatkiem miki. Fragmenty pochodzące z naczyń o powierzchni zewnętrznej gładkiej, matowej, miały ścianki o barwie jasnorudo-ceglastej, grubości ok. 0,7 cm, a wnętrza czarne, choć zagładzane z widocznymi ziarnami na ściankach. Materiał zabytkowy jednak często wykazywał ślady zdarcia i spłukania warstwy powierzchniowej ścianek.

Ornamentyka

Ornamentyka naczyń z wczesnej epoki żelaza ogranicza się do niewielu wzorów wykonanych poprzez odciskanie palcami lub stemplem (sporządzonym z kości lub patyczków), rycie rylcem, bądź naklejanie plastycznych elementów na powierzchnię. Są to zdobione palcowymi wgłębieniami wylewy naczyń (tabl. 1:1–3; 2:1) oraz ryte łukowate linie na zewnętrznej, gładkiej powierzchni brzuśców tzw. kreskowatych naczyń workowatych (tabl. 1:1–3; 2:6). W pojedyn-

[18] Ł. Okulicz 1970: 96; Kobylińska, Kobyliński i Wach 2003: ryc. 9–10.

[19] Szymański 1998: tabl. 7:3.

[20] Kałużna-Czaplińska, Kobylińska i Kobyliński 2013: 458; Kałużna *et al.* 2016: tab. 5 i 8 (próbka P3).

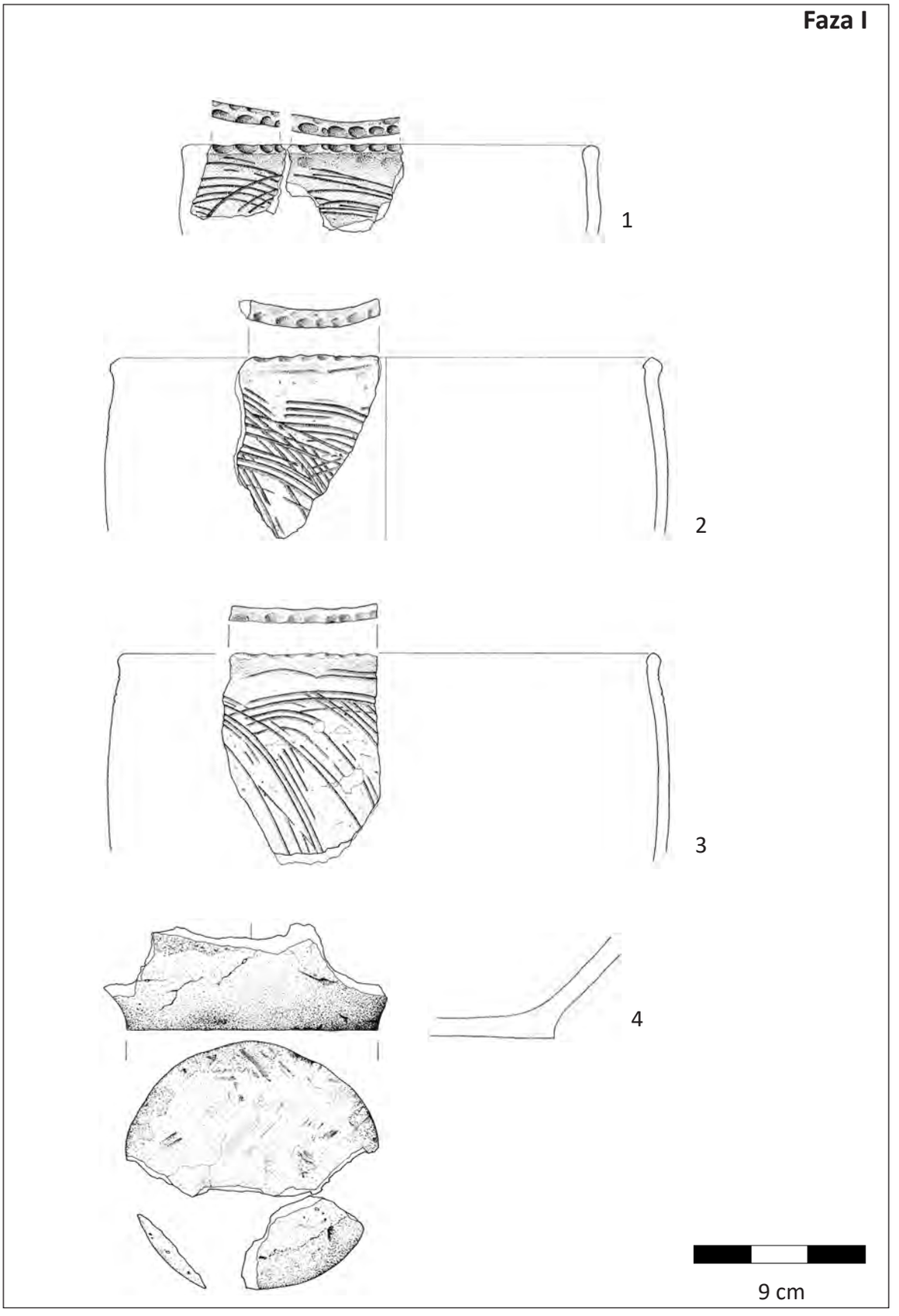

Tablica 1. Kamionka, st. 9. Ceramika z nawarstwień Fazy I (rys. A. Kucharska-Wach i D. Wach)

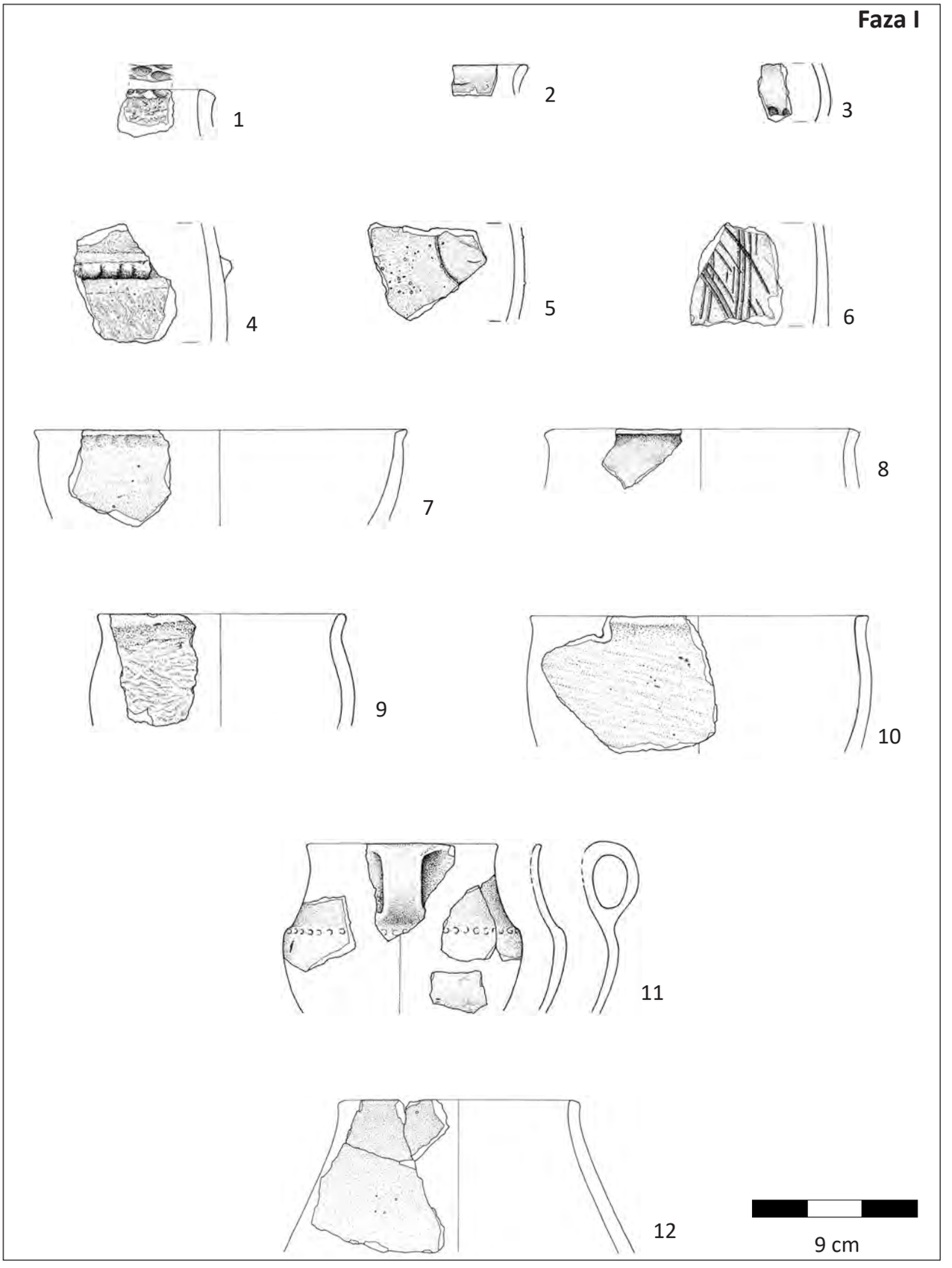

Tablica 2. Kamionka, st. 9. Ceramika z nawarstwień Fazy I (rys. A. Kucharska-Wach)

czych przypadkach wystąpiły odciski małych kółeczek o średnicy 0,5 cm na wyświeconej, brązowej powierzchni dzbanuszka z uchem (tabl. 2:11) oraz pasmo wgłębień palcowych na wyświeconej powierzchni małego naczynka (tabl. 2:3), czy wgłębień paznokciowych (tabl. 4:12). Odosobnionym znaleziskiem jest także fragment brzuśca naczynia o powierzchni wygładzonej barwy czarnej, który ma plastyczny, mocno wypukły szeroki guz, który pełnił prawdopodobnie rolę uchwytu (tabl. 17:1). Chropowacone brzuśce jedynie w kilku przypadkach mają widoczne ślady przyklejanych, plastycznych listw owalnych, gładkich lub ozdabianych zaszczypywaniem (tabl. 2:4; 4:11); nieliczne brzuśce gładkie charakteryzują się poziomymi żłobieniami lub wąskimi plastycznymi wałeczkami (tabl. 2:5).

Technologia wytwarzania naczyń

Wśród zachowanych 241 fragmentów środkowych partii naczyń z wczesnej epoki żelaza, 126 fragmentów (głównie brzuśców) zaliczyć można do ceramiki o powierzchni chropowaconej, 99 – do ceramiki o wypolerowanej, gładkiej powierzchni, a jedynie w przypadku 16 fragmentów brzuśców powierzchnia ich wykazuje cechy wyświecania, co wskazuje na staranne, wieloetapowe opracowanie, aby wykonać naczynie dobrej jakości, tzw. stołowe. Naczynia z tego okresu wykonywane były ręcznie za pomocą łączenia wałków i ręcznego zacierania miejsc ich zlepień. Świadczą o tym równoległe lekkie wypukłości od strony wewnętrznej naczynia oraz wklęsłe lub wypukłe miejsca złączeń ujawnione w przełamie w miejscu pęknięcia fragmentów ścianek.

Wśród analizowanych nielicznych fragmentów górnych części z zachowanym wylewem wyróżnić można głównie naczynia z ozdobnym brzegiem, na które składają się garnki baniaste i naczynia z zachylonym owalnym brzegiem o powierzchni zewnętrznej pokrytej drobnymi zmarszczkami glinki, tworzącej wraz z ziarnami domieszki tzw. schropowacenie, barwy jasnożółto-ceglastej (5YR 6/6). Są to różnej wielkości naczynia duże i średniej wielkości, o średnicy wylewu wynoszącej od 14 do 35 cm (tabl. 2:1, 4:13, 5:9). Wykonane zostały one z masy ceramicznej z liczną domieszką o różnej granulacji oraz z ziarnami miki. W przełamie naczyń widoczne są szpary i złączenia pasm gliny, co świadczy o słabym wyrobieniu masy ceramicznej, a także o szerokości pasm i sposobie ich łączenia. Wnętrza garnków (o zewnętrznej powierzchni schropowaconej) są równe, gładkie, matowe lub silnie wygładzone, prawie wypolerowane, barwy brązowej (7,5YR 5/4) lub bardzo ciemnej, niemal czarnej (7,5YR 4/1).

Odmiennym stosowanym zabiegiem traktowania powierzchni naczyń było wygładzanie ścianek od strony wewnętrznej i zewnętrznej. Początkowe wyrównywanie ścianek rękami pozostawiało niekiedy nikłe rozmazane odciski śladów po palcach. Następnie starano się wyrównać i wypolerować powierzchnie. Narzędzia służące do tego celu były zapewne różnorodne i ogólnie dostępne, łatwo wykonywane z powszechnie dostępnych surowców, takich jak drewno, poroże lub kości zwierzęce. Powierzchnię ścianek naczyń wyrównywano zapewne za pomocą narzędzi w postaci wąskich płaskich szpatułek, o czym mogą świadczyć widoczne na ściankach (głównie przy użyciu szkła powiększającego) pasma o szerokości około 1,5 cm, pomiędzy którymi zaznaczają się nikłe, cienkie nitki zmarszczonej gliny z warstwy powierzchniowej. Efekt wyświecania uzyskiwano poprzez polerowanie zapewne niewielkim kamiennym gładzikiem lub śliskim twardym narzędziem kościanym. Małe, okrągłe lub owalne kamienne gładziki znane są z odkryć dokonanych na terenie wielu osad z tego okresu. Celem polerowania miało być zapewne stworzenie naczyń wyjątkowych, bardziej wartościowych. Szczególnie mocno i starannie polerowano powierzchnie, które miały być bardziej eksponowane, np. wnętrza rozłożystych miseczek, czy dzbanuszków, miejsca pokryte ornamentem oraz brzegi wylewów. W wielu przypadkach wierzchnia warstwa tłustej glinki powlekającej powierzchnię ścianek naczyń stołowych jest nieco grubsza i bardzo silnie wyświecona, ale najczęściej jest przynajmniej częściowo spłukana przez procesy podepozycyjne. Zarówno gładzenie, jak i polerowanie, poza względami estetycznymi miało również na celu uszczelnienie naczynia i ograniczenie jego przesiąkliwości poprzez zamknięcie zewnętrznych porów ceramiki, co w przypadku naczyń do picia miało szczególne, wielorakie znaczenie – funkcjonalne, estetyczne i symboliczne.

Naczynia o wypolerowanej powierzchni, wykonane z masy ceramicznej, w składzie której obecna jest drobna domieszka, często w małej ilości, określane są przez autorów opracowań jako ceramika stołowa. Z grodziska w Kamionce, st. 9 można do niej niewątpliwie zaliczyć dzbanuszki, misy czy amfory, esowate naczynka (tabl. 2:2–3, 5, 7–12).

W technologii wytwarzania dużych naczyń stosowano grubo- i średnioziarnistą domieszkę w postaci ziaren o kanciastych formach w przypadku naczyń o schropowaconej powierzchni, a w przypadku naczyń o powierzchni wygładzonej i wypolerowanej – średnio- i drobnoziarnistą domieszkę (która mogła też stanowić zawartość naturalnego złoża surowca ilastego), w postaci głównie obłych ziaren piasku. Makroskopowe obserwacje dostarczają przy tym często informacji o występowaniu także niewielkiej ilości średnich i grubych ziaren widocznych w przełomach nawet cienkościennych naczyń wygładzanych. Domieszka dodawana była niewątpliwie celowo i zdawano sobie sprawę z jej schudzającego znaczenia w masie ceramicznej.

Jak wynika z badań porównawczych i obserwacji etnograficznych, surowcem do uzyskania tłucznia

używanego jako domieszki schudzającej tłustą glinę były przede wszystkim silnie zwietrzałe lub przepalone kamienie granitowe, często zazwyczaj znajdywane w paleniskach na terenie osad. Obok tłucznia jako domieszkę schudzającą stosowano również żwir i piasek, stanowiące jednak też w części naturalną zawartość złóż gliny. Domieszkę organiczną w postaci ciętej słomy i plew, której odciski rejestruje się czasem w przełomach i na powierzchniach naczyń, stosowano obok domieszki mineralnej. Do naczyń przeznaczonych do gotowania, czyli narażonych na częsty kontakt z ogniem i gwałtowne zmiany temperatury dodawano domieszkę grubej frakcji – tłucznia i żwiru. Jako domieszki używano także szamotu, na co wskazują wyniki badań petrograficznych jednego z fragmentów dużych naczyń zasobowych o ornamentowanej krawędzi, zdobionych rysami[21].

Schudzanie naturalnych surowców ilastych różnego rodzaju domieszkami do wyrobu i wytworzenia odpowiedniej masy ceramicznej zwiększało odporność termiczną naczynia. Jednocześnie zabieg schudzania gliny zmniejszał skurczliwość masy ceramicznej przy suszeniu i podczas wypalania. Temperatura wypału naczyń w tym okresie była bardzo niska, jak wykazały badania petrograficzne[22].

Ceramika wczesnośredniowieczna

Formy naczyń (ryc. 23)

Ze względu na sposób wychylenia wylewu, różnice w ukształtowaniu krawędzi wylewu, obecność lub brak wrębu na pokrywę, zgrubienia krawędzi lub wystąpienie okapu i różnice w stopniu uwypuklenia brzuśców oraz charakter ich załomów, naczynia wczesnośredniowieczne reprezentowane w materiale zabytkowym z grodziska w Kamionce można podzielić na sześć grup:

a) naczynia z cylindryczną częścią górną i niewydzielonym wylewem i gładkim lub profilowanym brzegiem. Są to naczynia w większości przypadków obtaczane w górnych partiach wylewu na wysokości od ok. 1 do 2 cm od brzegu, a w niewielu przypadkach mniejszych naczyń o średnicy ok. 10 do 13 cm – do miejsca przejścia szyjki w brzusiec lub w kilku przypadkach całkowicie obtaczane (tabl. 3:2; 4:5; 5:3; 6:2, 6; 7:4, 8, 10; 9:7; 10:12; 11:4, 7; 12:16; 13:1, 4, 6; 19:4). Mają one prostą formę ze słabo wysklepionym brzuścem lub z mocnym załomem brzuśca przy końcu prostej szyjki. Są to naczynia bogato zdobione ornamentem rozmaitych odcisków, nacięć, żłobień dookolnych i głębokich bruzd. Jest to w materiale z grodziska w Kamionce, st. 9 najliczniej występująca forma naczyń z tej fazy chronologicznej. Są to zarówno średniej wielkości baniaste naczynia, jak i proste formy donicowate oraz małe kubeczki. Analiza zawartości kwasów tłuszczowych w próbce pobranej z jednego z takich naczyń (tabl. 6:2) wykazała, że znajdował się w nim pokarm roślinny[23]. Podobna forma z ornamentem głębokich bruzd wystąpiła w pierwszej fazie osadniczej grodu w Jedwabnie, st. 1, gm. Lubicz, pow. toruński oraz w Gronowie, gm. Lubicz, pow. toruński, st. 1[24]. Analogią do prostych donicowych form cylindrycznych jest naczynie z Jeziorka gm. Ryn, pow. giżycki[25];

b) naczynia o łukowato wychylonym wylewie, esowatym profilu, baniastym brzuścu i lekko profilowanym brzegu. Obtaczanie tych form widoczne jest na wysokości do 3 cm na powierzchni łukowato wychylonej szyjki, do załomu brzuśca lub na całej zachowanej części brzuśca (tabl. 3:1: 4:4; 6:4; 8:11, 13; 9:10; 10:13; 12:1, 12; 13:2; 16:2, 9; 18:3);

c) niewielkich rozmiarów naczynia, przeważnie o średnicy wylewu wynoszącej ok. 14–17 cm, z lekko wychylonym wylewem ze ściętym lub owalnym brzegiem, wydzieloną szyjką i ostrym załomem brzuśca. Ślady obtaczania widoczne są w górnej części na wysokości od 1 cm do 2 cm od brzegu lub na całej zachowanej części ornamentowanego brzuśca (tabl. 4:6; 5:7; 8:14; 10:14; 11:1–2, 9; 13:3, 5). Podobną formę odkryto w trakcie poprzednich badań tego stanowiska w 1997 r.[26];

d) naczynia esowate, cienkościenne, baniaste z łukowato wychyloną szyjką i szerokim prosto ściętym wylewem, najczęściej z wystającym wyraźnie okapem. W przeważającej większości są one jedynie górą obtaczane na wysokości ok. 1 do 3 cm od brzegu naczynia; tylko w kilku przypadkach ślady wskazują na obtaczanie na większej powierzchni – do załomu szyjki i przejścia jej w brzusiec (tabl. 3:14; 4:3, 7; 5:6; 6:5; 7:5; 9:4; 10:9; 11:3, 6; 12:3, 15, 18, 21; 16:1; 17:10; 18:7). Podobną formę z ornamentem wielokrotnej linii falistej odkryto w trakcie poprzednich badań tego stanowiska w 1997 r.[27];

e) naczynia o masywnych, poszerzonych wylewach i grubszych ściankach dolnej części brzuśca oraz silnych załomach szerokiego wylewu i przeważnie mocno baniastego brzuśca z uwydatnionym zagięciem. Zaobserwowano w ich przypadku ślady silnego obtoczenia do miejsca załomu wylewu (tabl. 5:8; 8:10; 10:1, 7; 11:8; 18:6). Podobną formę odkryto w trakcie poprzednich badań tego stanowiska w 1997 roku oraz np. w Mełnie, st. 1, gm. Gruta, pow. grudziądzki[28];

[21] Bojanowski *et al.* 2016: tab. 1, ryc. 6C–D (próbka WEŻ-P1).

[22] Bojanowski, Kobylińska i Kobyliński 2013: ryc. 2, tab. 2 (próbka 12); Bojanowski *et al.* 2016: tab. 1 (próbka WEŻ-P1).

[23] Kałużna, Kobylińska i Kobyliński 2013: 458; Kałużna *et al.* 2016: tab. 5 i 8 (próbka P4).

[24] Chudziak 1991: ryc. 31:c, ryc. 39:h, j.

[25] Wadyl 2012b: ryc. 2:l.

[26] Bojarski 1998: ryc. 6.

[27] Bojarski 1998: ryc. 6.

[28] Bojarski 1998: ryc. 6; Chudziakowa (red.) 1994: ryc.

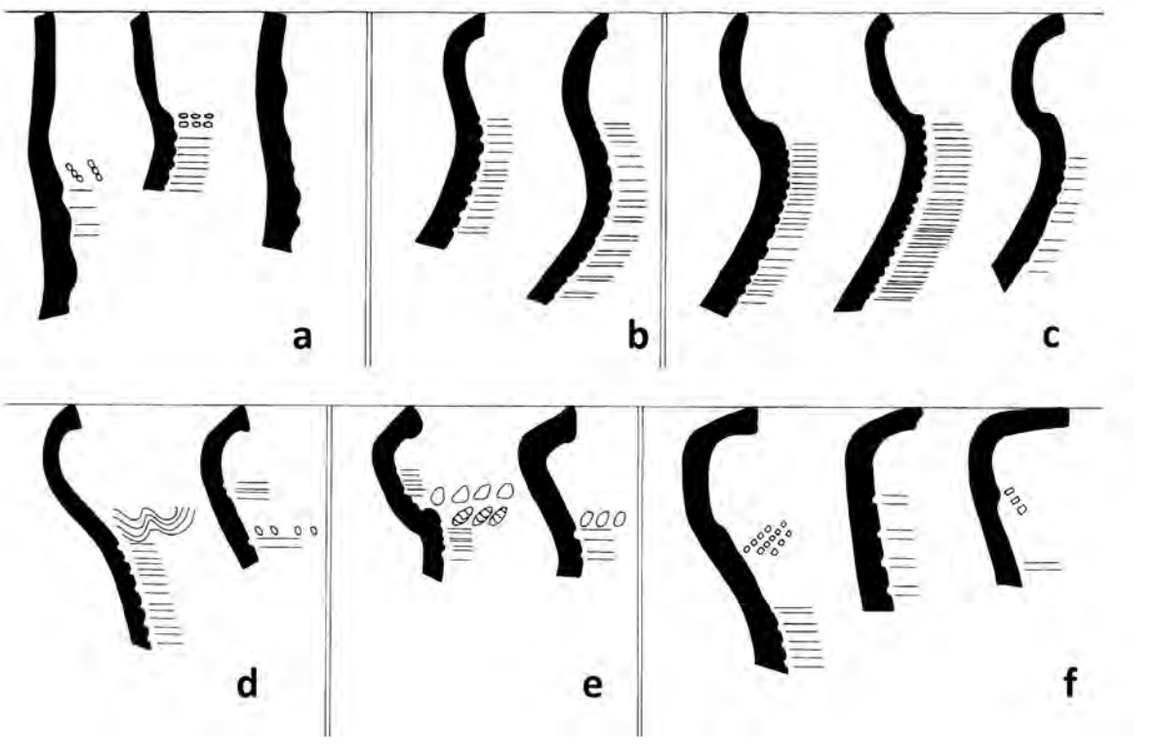

Ryc. 23. Kamionka, st. 9. Typologia form naczyń wczesnośredniowiecznych (oprac. U. Kobylińska, rys. D. Wach)

f) naczynia o kolankowato lub mocno łukowato wygiętym wylewie z szeroką (ok. 2 cm) częścią brzegową wychyloną na zewnątrz, niekiedy z wgięciem na pokrywę i zaznaczoną szyjką, lekko baniaste, różnej wielkości, przeważnie masywne i duże, o średnicy wylewu wynoszącej od 16 do 24 cm. Obtaczanie tych form ogranicza się do powierzchni wychylonych wylewów lub występuje na całej zachowanej części ornamentowanego brzuśca, co sugeruje prawdopodobne całkowite obtaczanie (tabl. 3:5, 9, 13, 16–17; 4:1–2; 5:4–5; 9:6; 10:3, 10; 11:5; 12:14, 17, 19; 16:7–8). Analiza lipidów w masie ceramicznej jednego z takich naczyń (tabl. 10:3) wykazała obecność tłuszczy zwierzęcych, co wskazuje, iż przygotowywano w tego rodzaju garnkach potrawy mięsne[29]. Nieco podobne do tych form są naczynia np. ze Święcka-Strumian, gm. Czyżew, pow. wysokomazowiecki[30], a także niektóre przykłady naczyń ze Szczecina, z rodziny typów G (forma 17a i 17b) oraz J (forma 12)[31].

W materiale zabytkowym z grodziska w Kamionce wystąpiły także pojedyncze egzemplarze naczyń, nie tworzące grup. Mają one rozmaite kształty i przeważnie małe średnice wylewów. Są to naczynia, różnej wielkości, silnie obtaczane na całej zachowanej powierzchni, z wałkami plastycznymi, żłobieniami poziomymi, ornamentem rytej linii falistej (tabl. 3:15, 16; 5:1; 8:1–2, 8), z wgłębieniem na pokrywę i z mocno profilowanym wylewem, na brzuścu ozdobione wąskimi, drobnymi żłobkami i obtaczane na całej zachowanej powierzchni (tabl. 17:9). Ta ostatnia forma naczynia znajduje analogie w naczyniach z grodzisk w Bogdanach, gm. Frombork, pow. braniewski i Bobrowie, pow. brodnicki, st. 1, datowanych na XII w.[32]

Generalnie formy ceramiki z Kamionki, st. 9 charakteryzują się niedużymi rozmiarami średnic wylewu, są cienkościenne, przeważnie nie mają wgłębień na pokrywę, poza grupą **a** o cylindrycznych częściach górnych oraz niektórymi naczyniami z grupy **f**. Naczynia są przeważnie baniaste i pokryte ornamentem od szyjki po dolne partie części przydennej (tabl. 10:15; 13:5–6; 14:1; 15:9–10). Najliczniej w materiale wczesnośredniowiecznym z grodziska w Kamionce wystąpiły formy grupy **a, b** oraz **d,** czyli naczynia z cylindryczną szyjką, profilowanym brzegiem i wylewem z okapem.

Formy ceramiki wczesnośredniowiecznej z Kamionki, st. 9 są analogiczne do naczyń ze stanowisk z Pojezierza Chełmińskiego, Pojezierza Brodnickiego,

102:d.

[29] Kałużna, Kobylińska i Kobyliński 2013: 458; Kałużna *et al.* 2016: tab. 5 i 8 (próbka P1).

[30] D. Jaskanis 2008: tabl. 3:8, tabl. 8:5, tabl. 16:4, tabl. 27:2.

[31] Cnotliwy, Leciejewicz i Łosiński (red.) 1983: ryc. 184, ryc. 190.

[32] Gazda *et al.* 2013: ryc. 52:d; Chudziakowa (red.) 1994: ryc. 16:n.

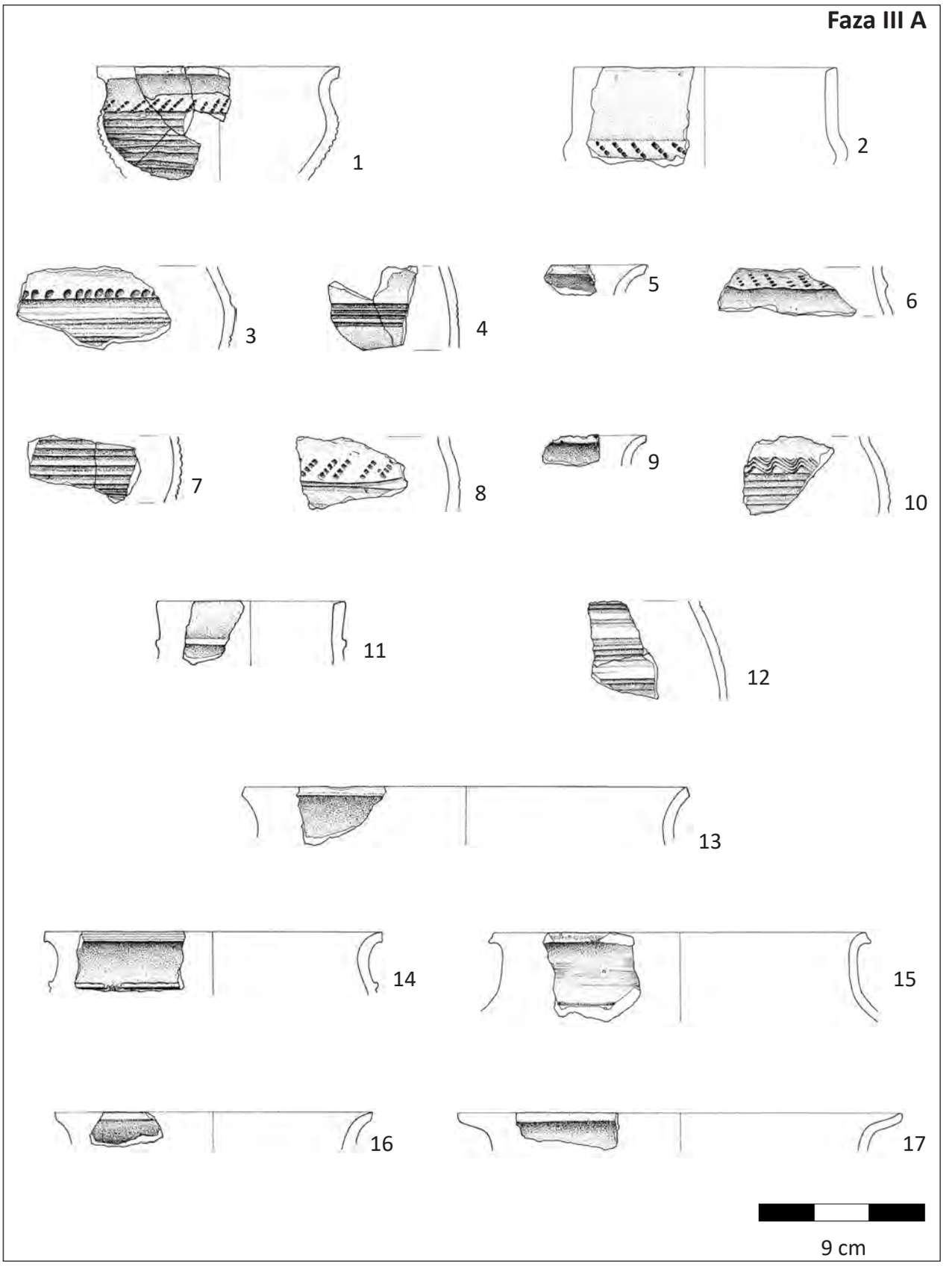

Tablica 3. Kamionka, st. 9. Ceramika z nawarstwień Fazy IIIA (rys. A. Kucharska-Wach)

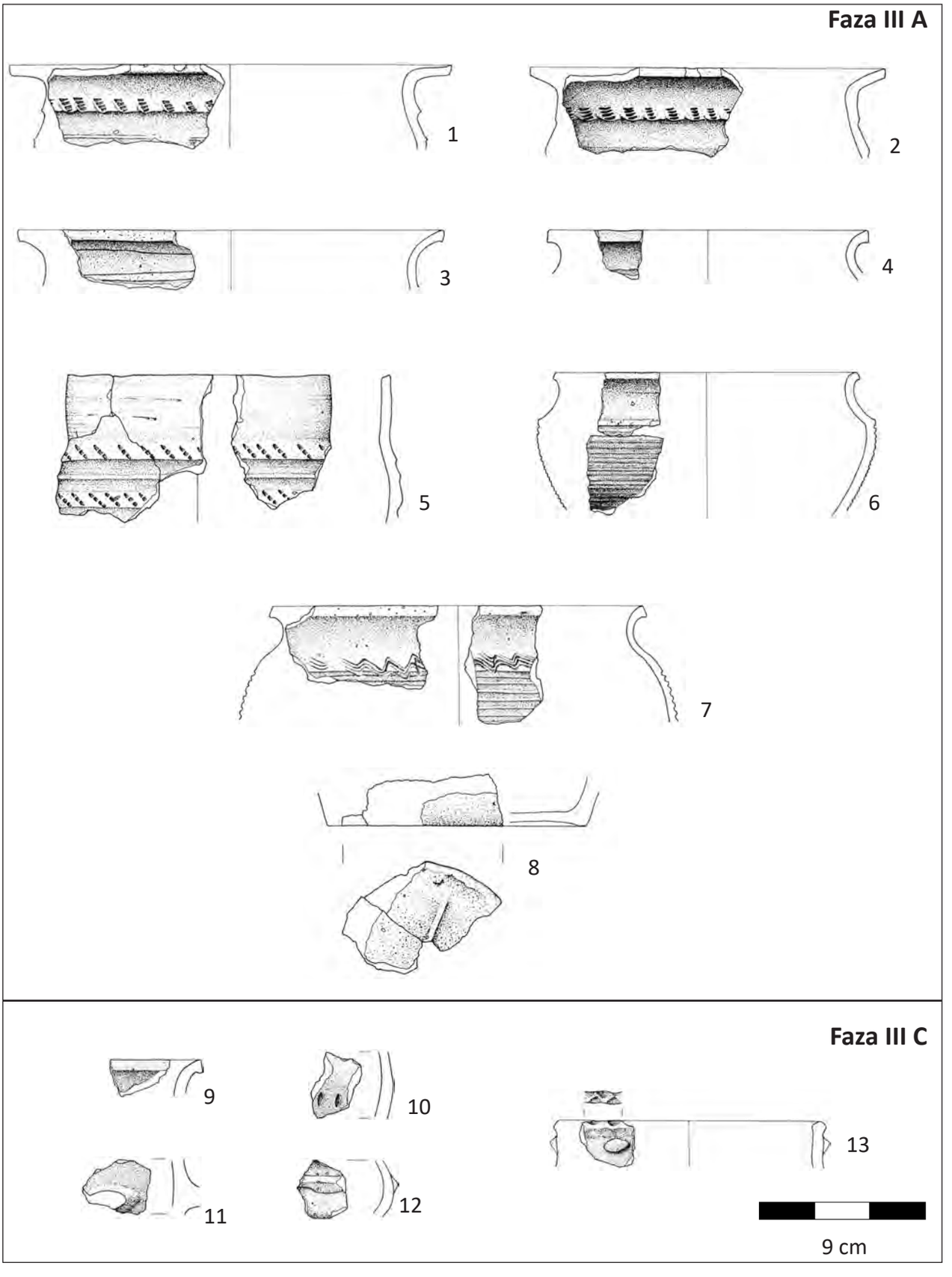

Tablica 4. Kamionka, st. 9. Ceramika z nawarstwień Fazy IIIA i IIIC (rys. A. Kucharska-Wach)

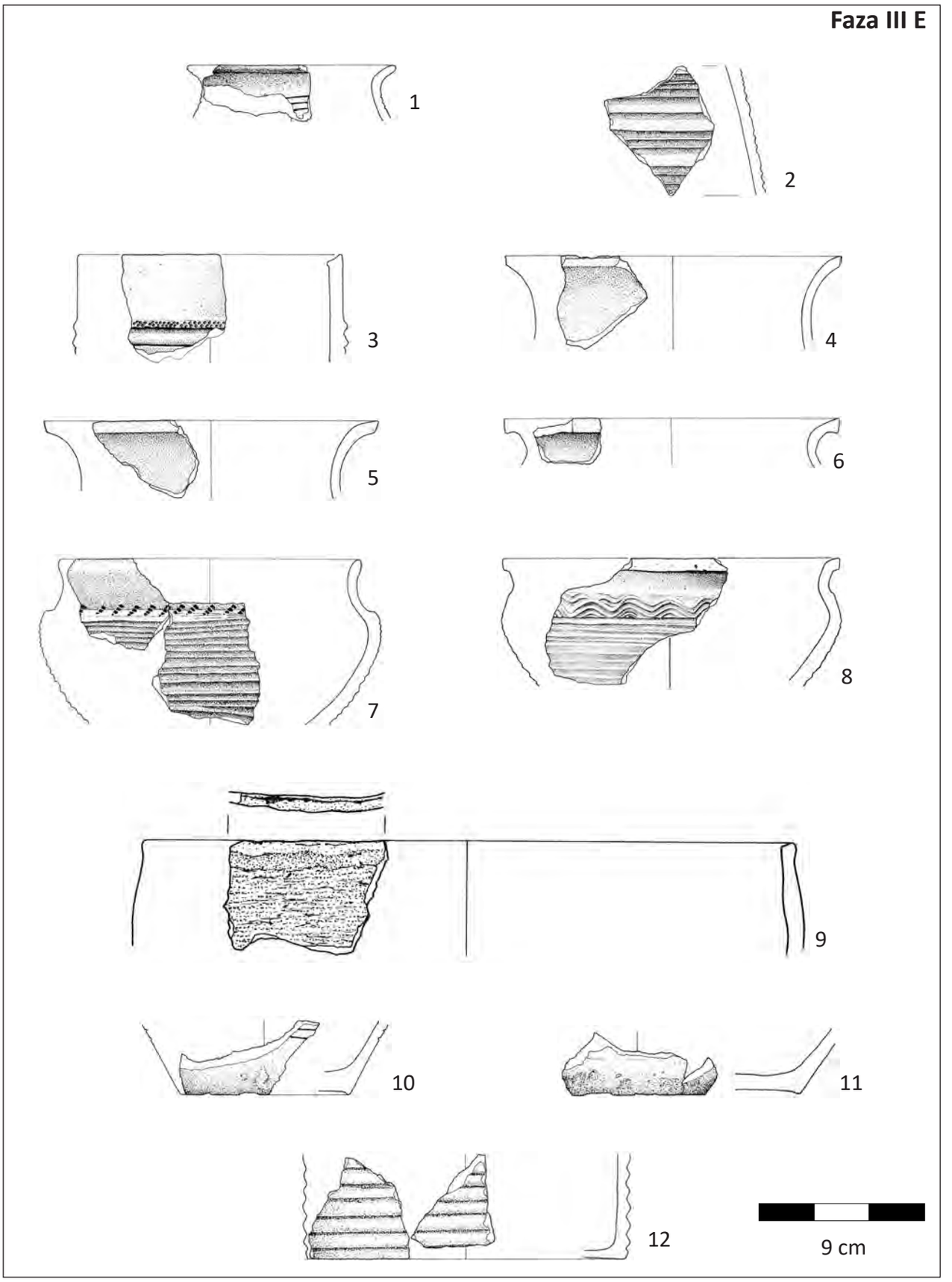

Tablica 5. Kamionka, st. 9. Ceramika z nawarstwień Fazy IIIE (rys. A. Kucharska-Wach i D. Wach)

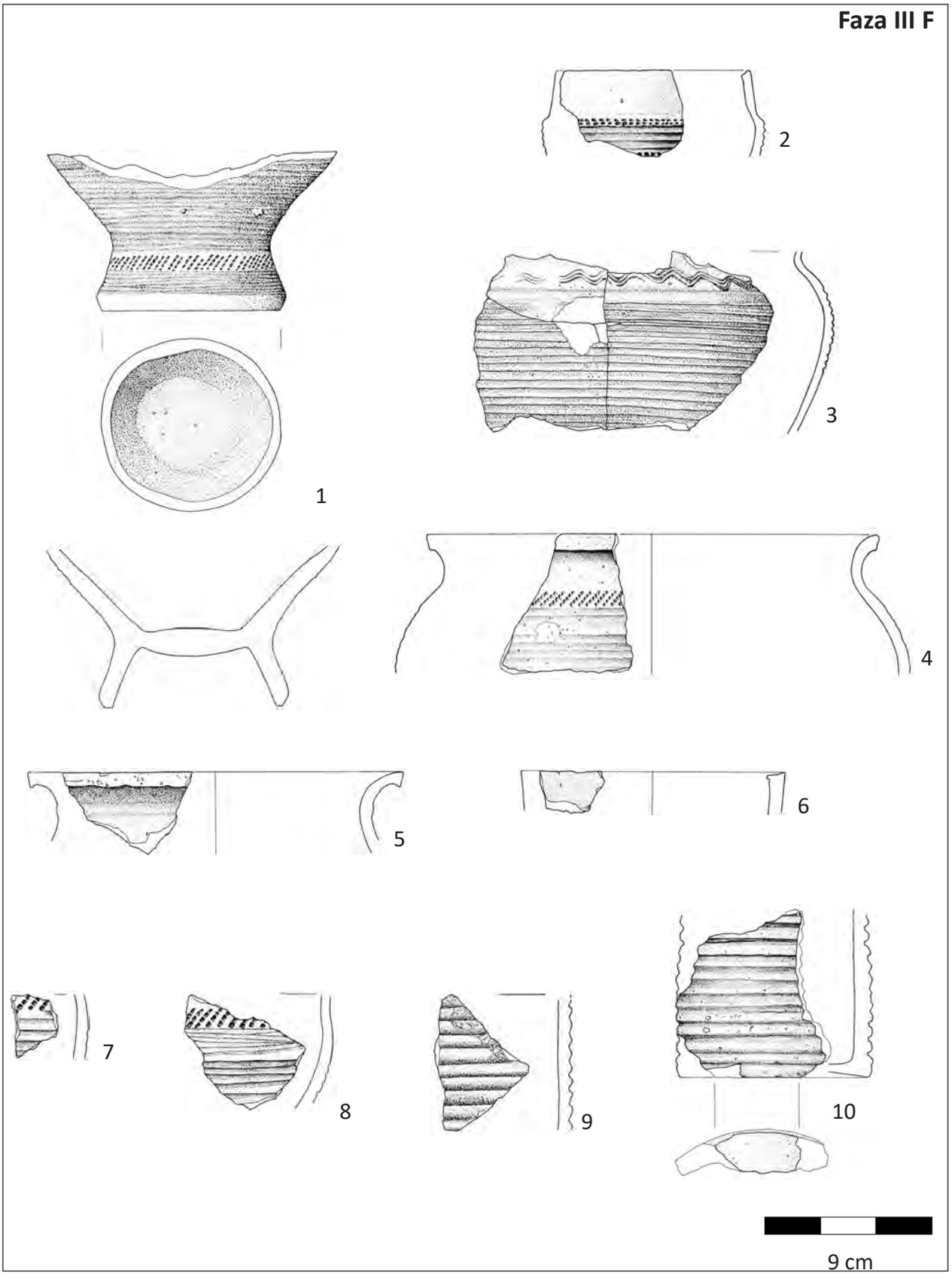

Tablica 6. Kamionka, st. 9. Ceramika z nawarstwień Fazy IIIF (rys. A. Kucharska-Wach i D. Wach)

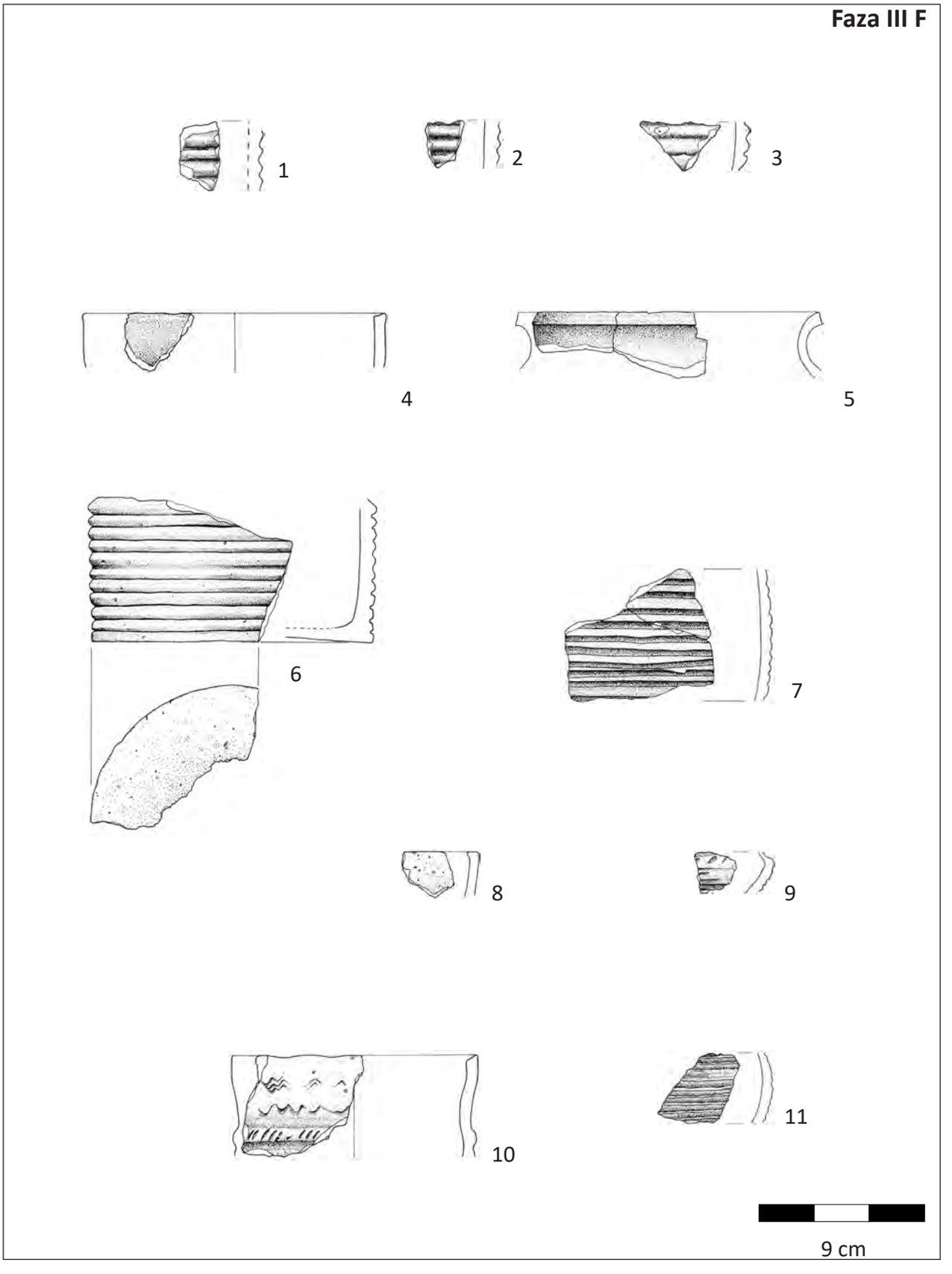

Tablica 7. Kamionka, st. 9. Ceramika z nawarstwień Fazy IIIF (rys. A. Kucharska-Wach)

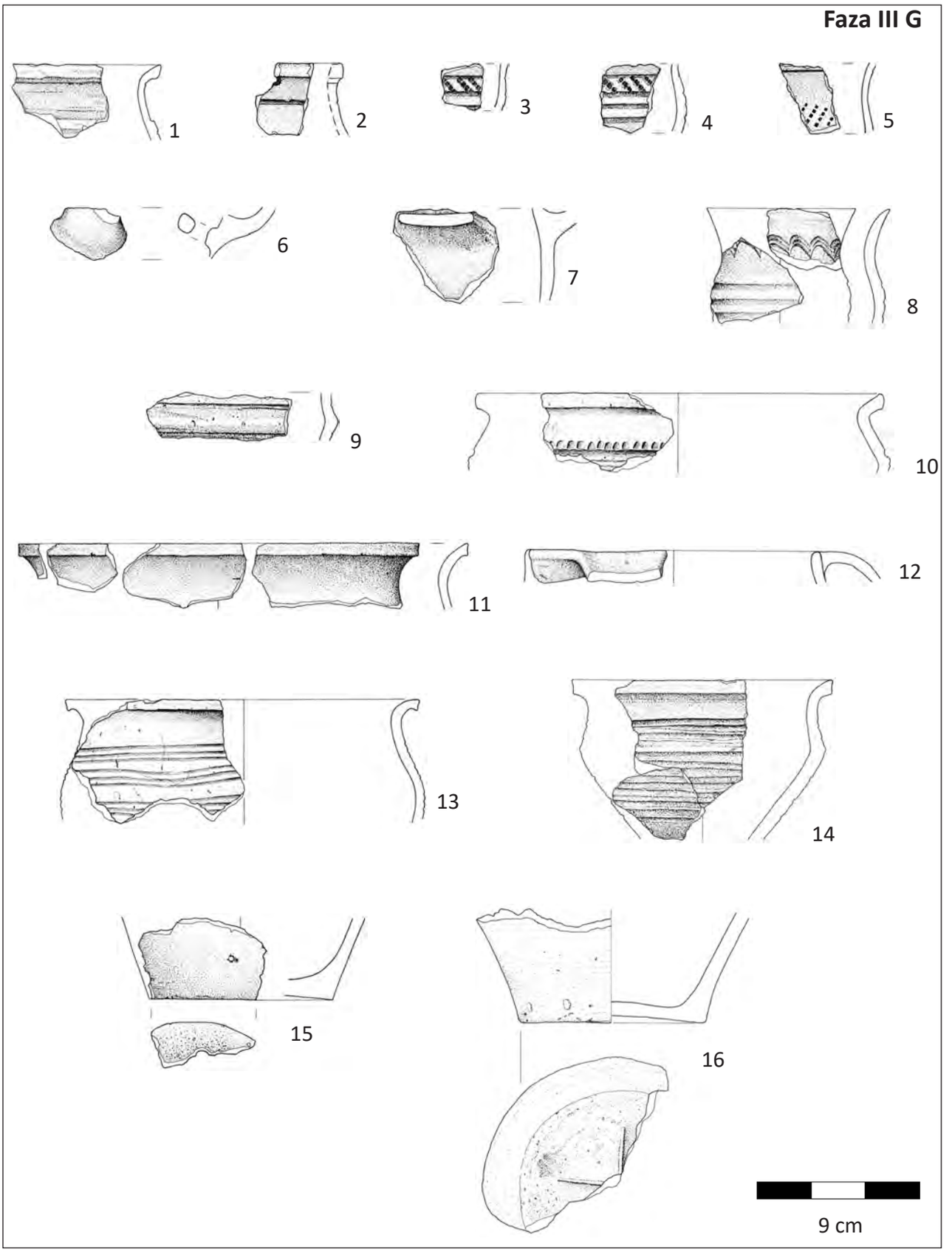

Tablica 8. Kamionka, st. 9. Ceramika z nawarstwień Fazy IIIG (rys. A. Kucharska-Wach)

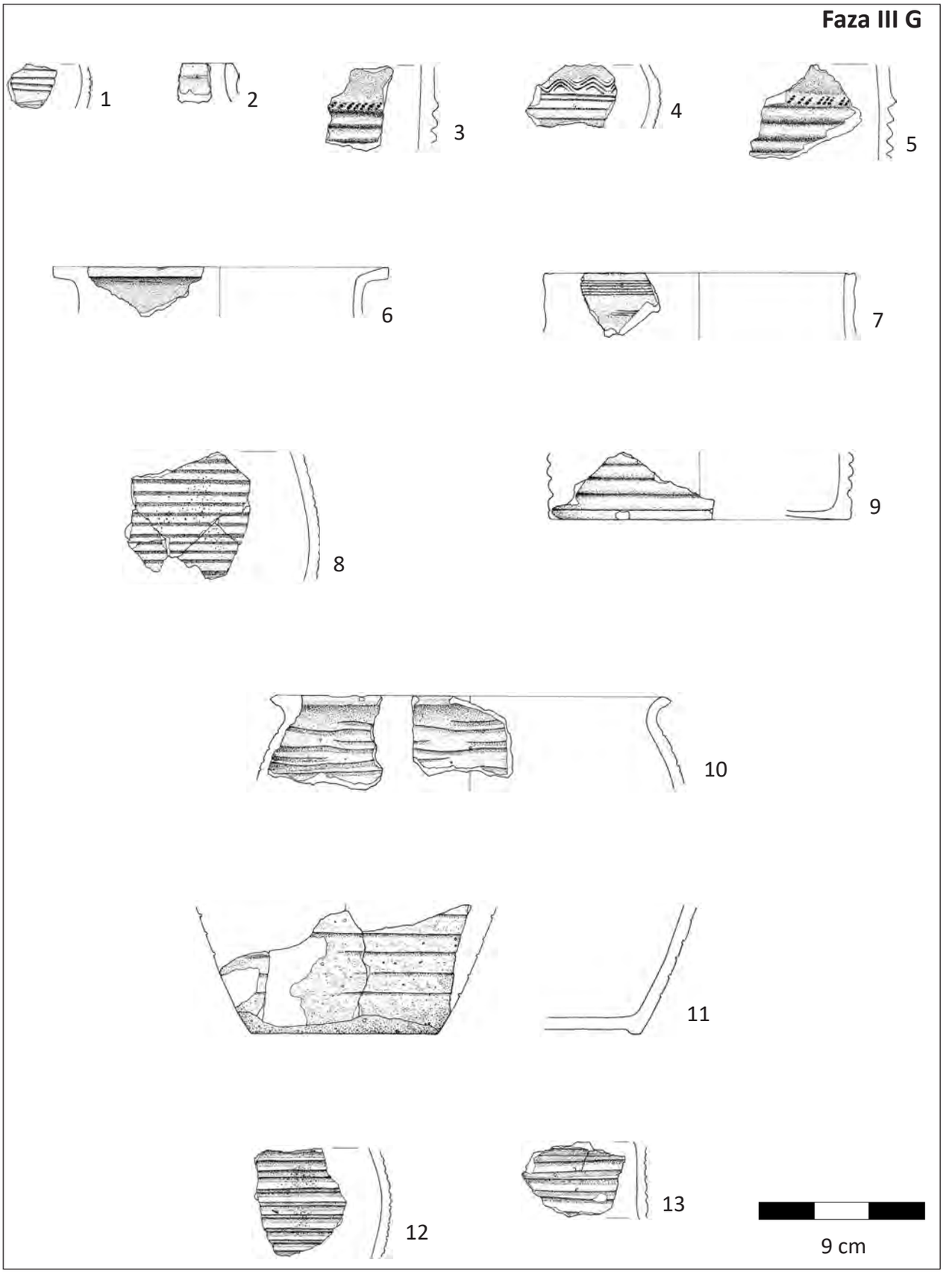

Tablica 9. Kamionka, st. 9. Ceramika z nawarstwień Fazy IIIG (rys. A. Kucharska-Wach)

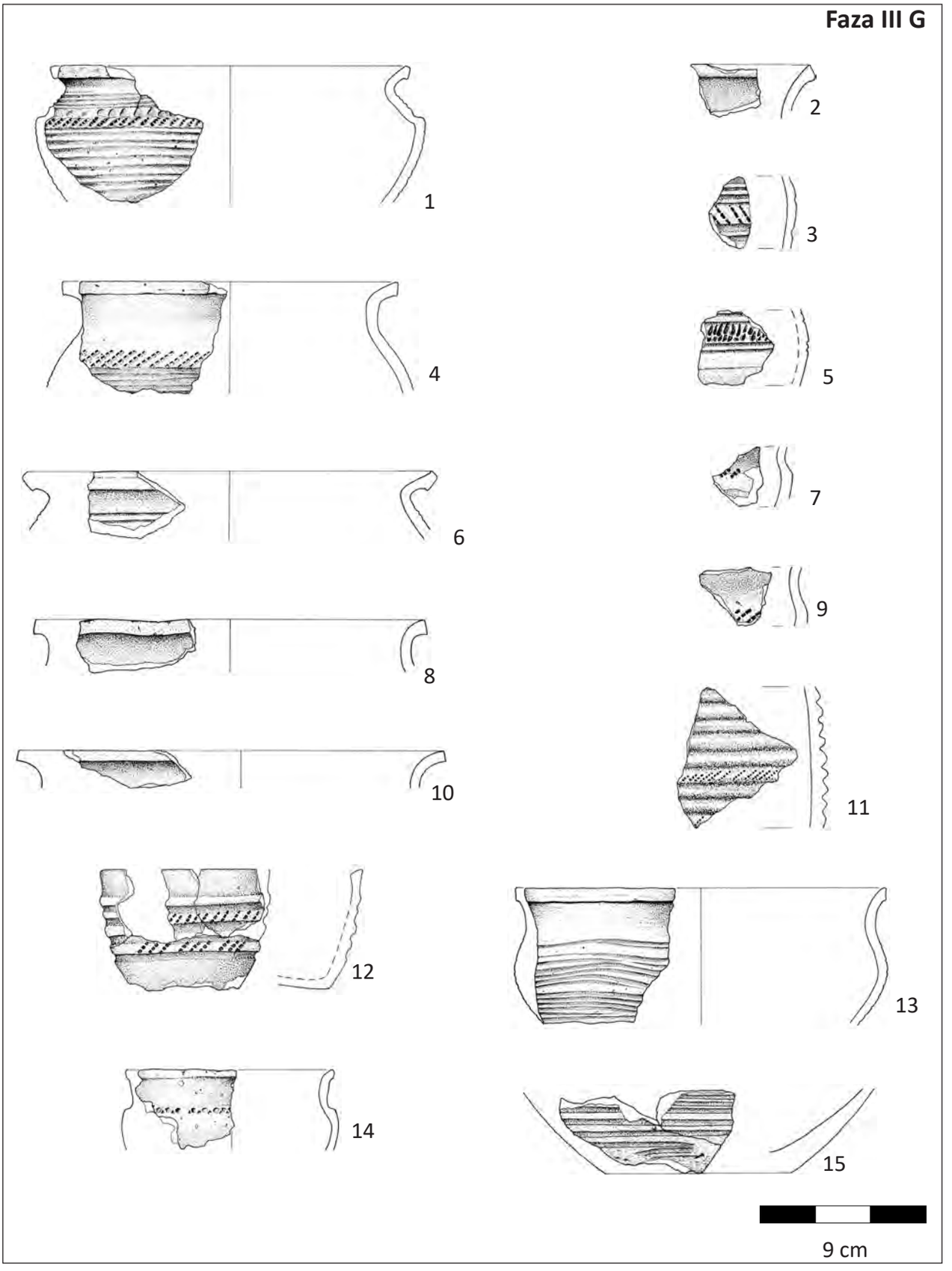

Tablica 10. Kamionka, st. 9. Ceramika z nawarstwień Fazy IIIG (rys. A. Kucharska-Wach)

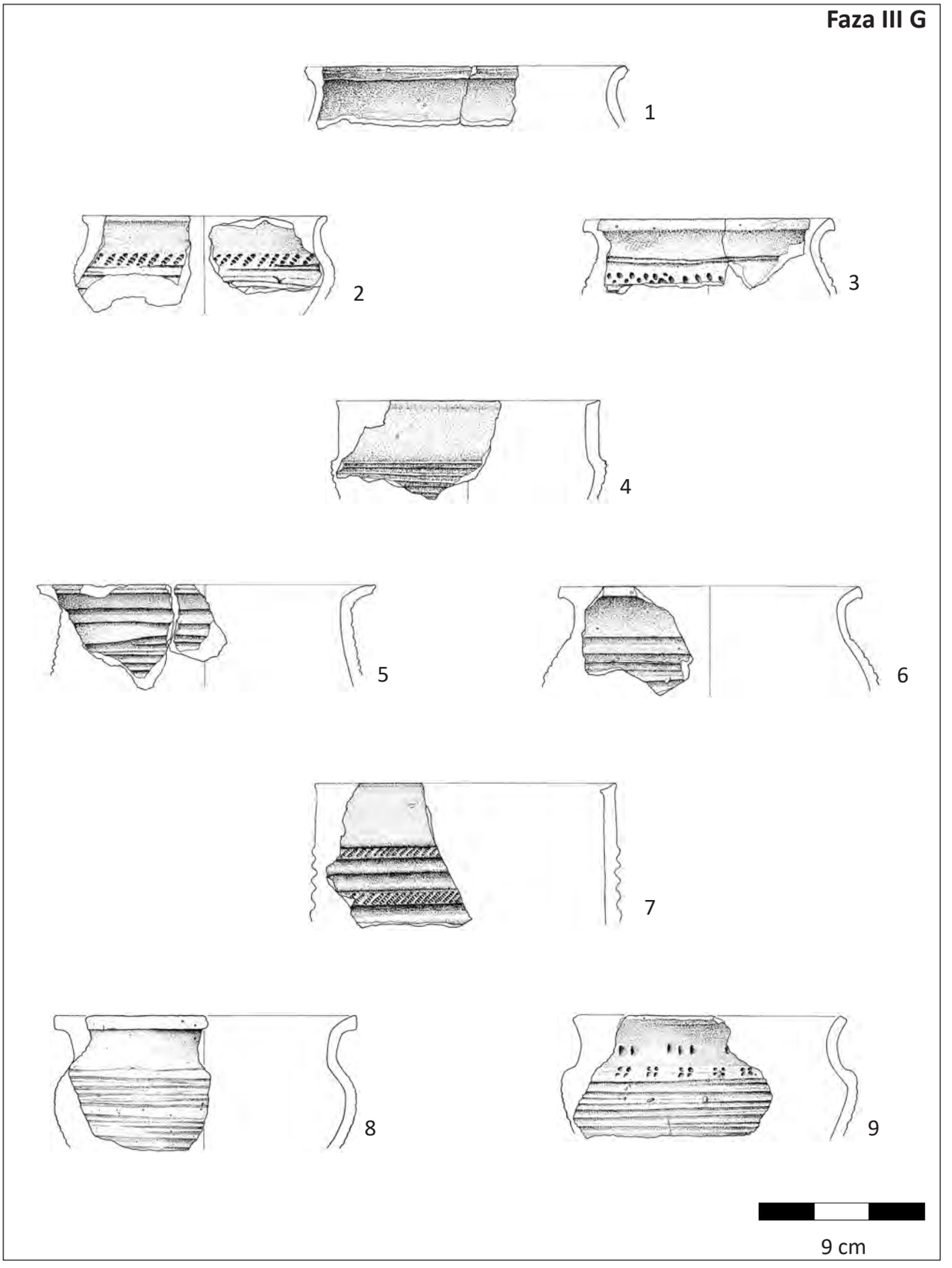

Tablica 11. Kamionka, st. 9. Ceramika z nawarstwień Fazy IIIG (rys. A. Kucharska-Wach)

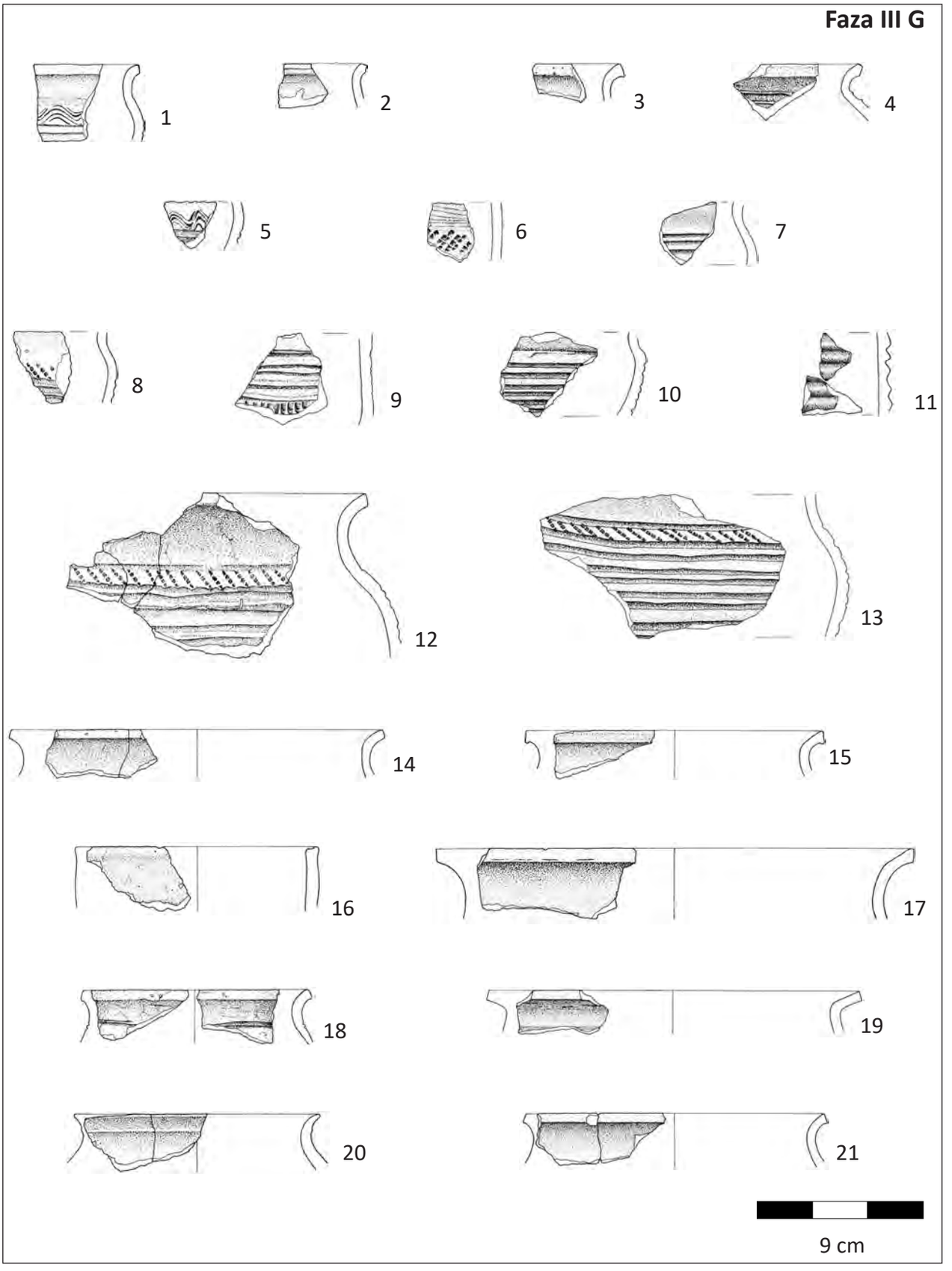

Tablica 12. Kamionka, st. 9. Ceramika z nawarstwień Fazy IIIG (rys. A. Kucharska-Wach)

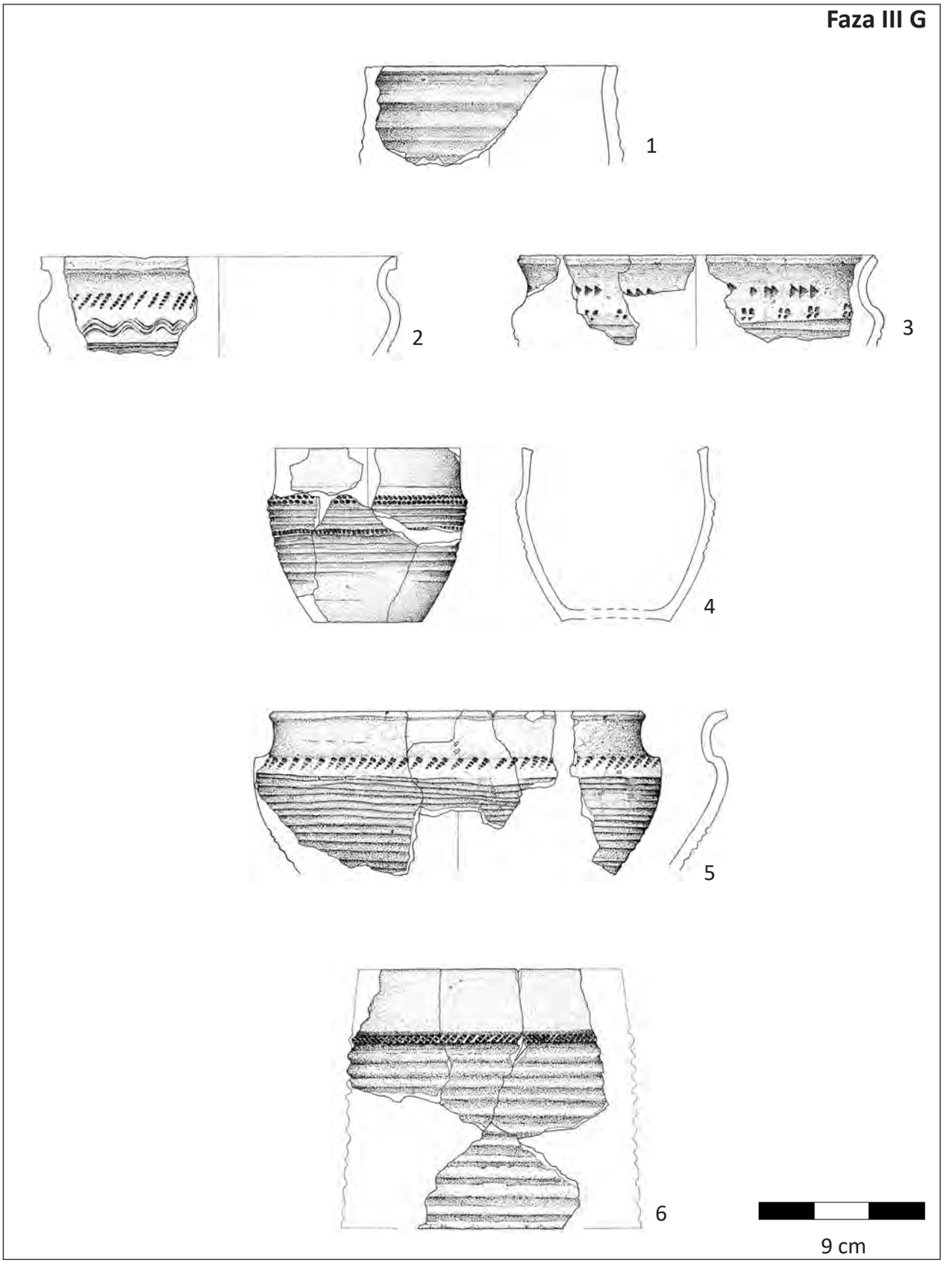

Tablica 13. Kamionka, st. 9. Ceramika z nawarstwień Fazy IIIG (rys. A. Kucharska-Wach)

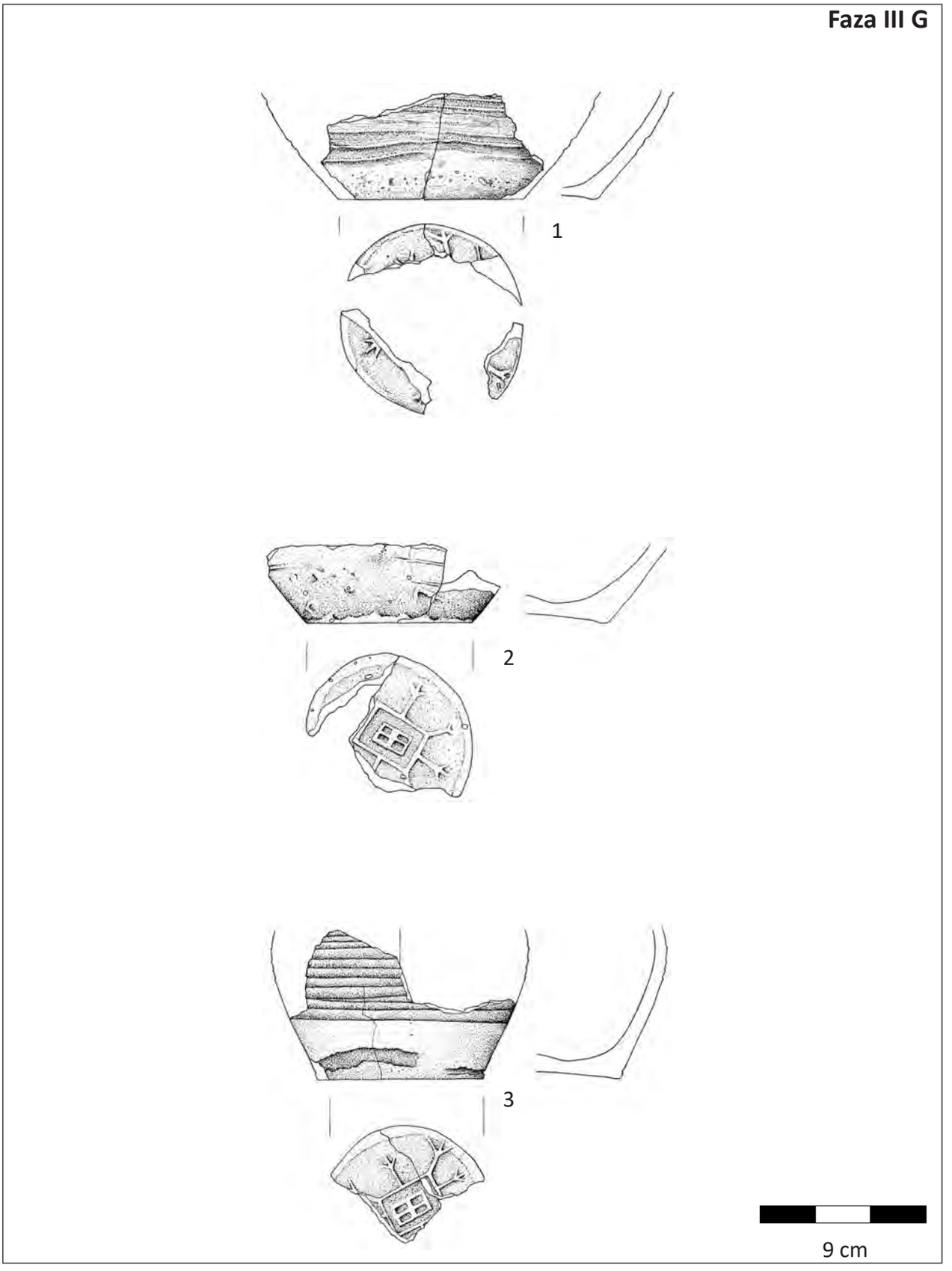

Tablica 14. Kamionka, st. 9. Ceramika z nawarstwień Fazy IIIG (rys. A. Kucharska-Wach)

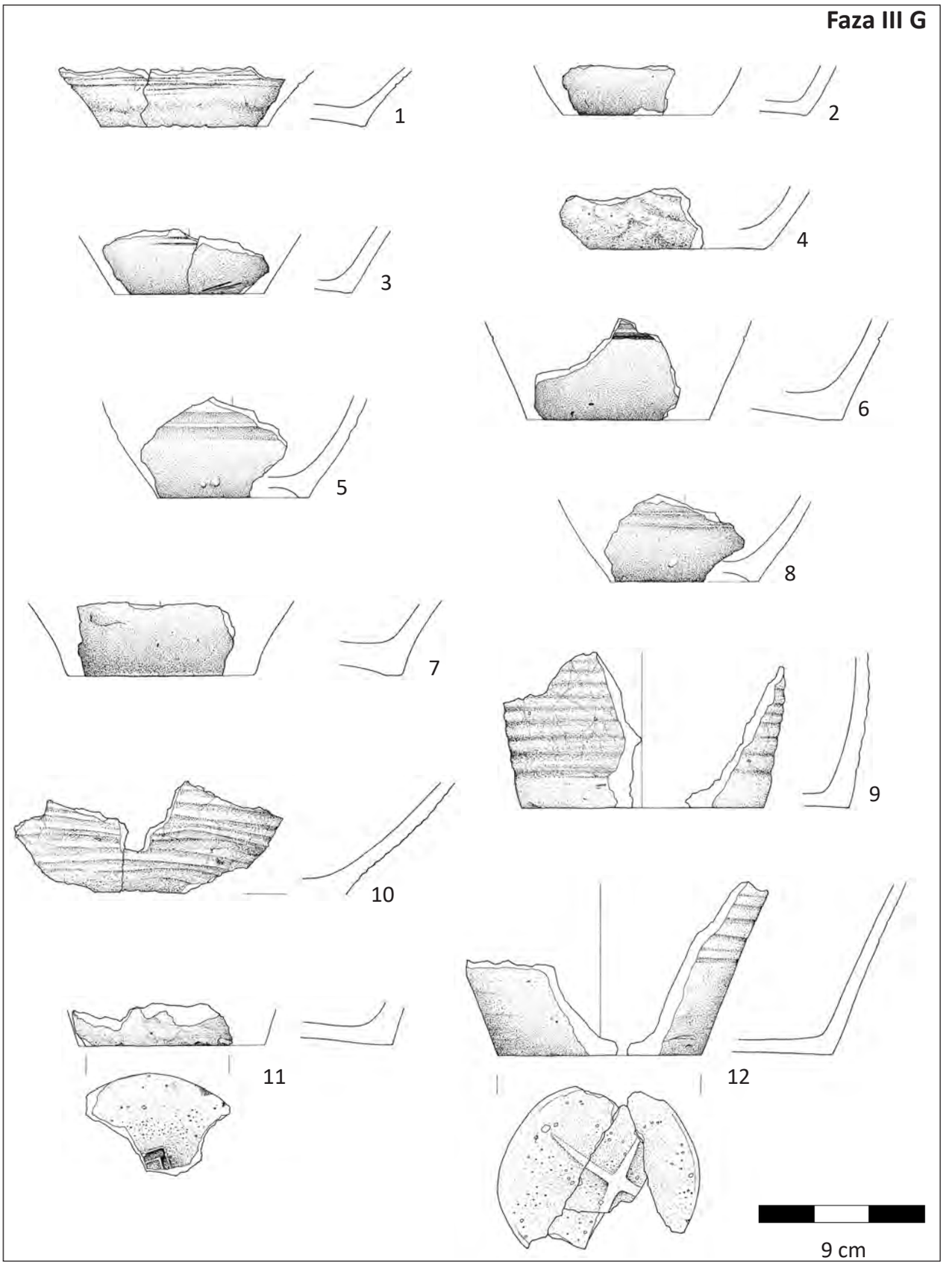

Tablica 15. Kamionka, st. 9. Ceramika z nawarstwień Fazy IIIG (rys. A. Kucharska-Wach)

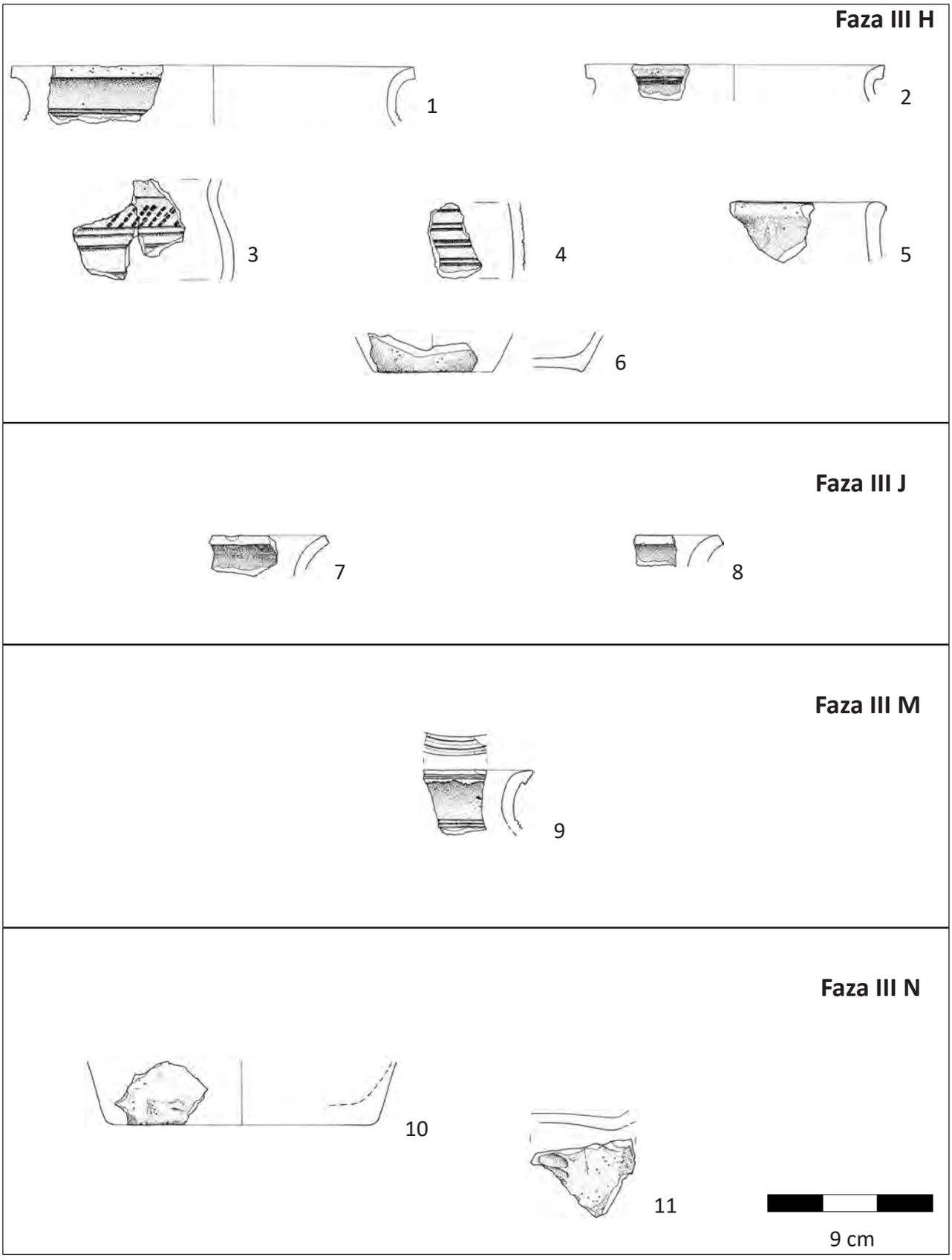

Tablica 16. Kamionka, st. 9. Ceramika z nawarstwień Fazy IIIH, IIIJ, IIIM i IIIN (rys. A. Kucharska-Wach)

Kotliny Grudziądzkiej, Żuław Wiślanych i Wysoczyzny Elbląskiej, takich jak np. Bobrowo, pow. brodnicki, st. 1, Chojno, gm. Bobrowo, pow. brodnicki, st. 1, Gawłowice, gm. Radzyń Chełmiński, pow. grudziądzki, st. 1, Lipienek, gm. Lisewo, pow. chełmiński, st. 1, Mełno, gm. Gruta, pow. grudziądzki, st. 1, Mędrzyce, gm. Świecie nad Osą, pow. grudziądzki, st. 1, Osieczek, gm. Książki, pow. wąbrzeski, st. 1, Płutowo, gm. Kijewo Królewskie, pow. chełmiński, st. 1, Pokrzywno, gm. Gruta, pow. grudziądzki, st. 1, Ryńsk, pow. wąbrzeski, st. 1 [33], Klasztorek, gm. Gardeja, pow. kwidzyński[34], czy Rejsyty, gm. Rychliki, pow. elbląski, st. 1[35]. Kilka form naczyń analogicznych do wydzielonych w Kamionce grup **b**, **d** i **e** znajdujemy na wczesnośredniowiecznym miejscu kultu Prusów w Poganowie, gm. Kętrzyn, pow. kętrzyński, datowanym między końcem XI a połową/końcem XII w.[36] Formy z grupy **c** podobne są do naczynia z Jaguszewic, st. 1, gm. Jabłonowo Pomorskie, pochodzącego z warstwy V, datowanej na XII w.[37] Naczynia tradycyjne z okapem grupy **d** znajdujemy w materiałach zabytkowych z zamku w Wąbrzeźnie[38]. Analogiczne formy znajdujemy także na stanowisku w Węgrach, st. 1, gm. Sztum, pow. sztumski, gdzie datowane są na okres ostatniej ćwierci XI w. i pierwszej połowy po lata 60–70. XII w.[39]. Naczynia z Kamionki grupy **d** wydają się być nieco podobne do baniastej formy zaopatrzonej w wylew z okapem z poziomu 4 z Gdańska, st. 1, datowanego na 1230 rok[40]. Formy baniaste z długą, łukowato wychyloną szyjką i ukośnie ściętym wylewem (zachowane w Kamionce tylko jako małe fragmenty) wydają się być podobne do formy z Gdańska, st. 1, z poziomu 1, datowanego na początek XIV w.[41]

Analogiczne do grodziska w Kamionce ze względu na charakter ceramiki są przede wszystkim stanowiska datowane na koniec XI w., przełom XI/XII w. oraz na wiek XII. Biorąc pod uwagę analogiczne dno pucharka na pustej nóżce, które zalegało w Gdańsku w poziomie zabudowań XIII-wiecznych oraz wystąpienie naczyń kolankowatych (podobnych ze względu na rodzaj wychylenia brzegu do naczyń z rodziny typów G – 17a, b oraz J – 12[42]), których najintensywniejsze występowanie wiąże się z okresem od XII do połowy XIII w., można rozciągnąć chronologię użytkowania grodu w Kamionce, st. 9 do połowy XIII w.[43] Za takim datowaniem tej fazy przemawia obecność ceramiki całkowicie obtaczanej, przy równoczesnym występowaniu fragmentów naczyń wykonanych techniką częściowego obtaczania.

Rodzaje den naczyń

W materiale zabytkowym z Kamionki, st. 9 z tej fazy chronologicznej odkryto 97 fragmentów naczyń z zachowaną częścią dna, w tym 35 fragmentów zaliczono do den wklęsłych, 31 – do den lekko wklęsłych i 19 – do den płaskich. Zaobserwowano na sporej części fragmentów zastosowanie przy wytwarzaniu naczyń podsypki w postaci drobnoziarnistego piasku, oraz w 33 przypadkach wypukłego, dookolnego wałka o szerokości ok. 0,4–0,6 cm, a czasem nawet do 2 cm. Niekiedy wałek był nierówny, spłaszczony, bądź zatarty, ale zawsze wyróżnialny (tabl. 4:8; 5:10–12; 7:6; 8:15–16; 9:9, 11; 17:13–14).

Oprócz masywnych naczyń średniej i dużej wielkości z dnami o średnicy wynoszącej między 9 a 12 cm, zidentyfikowano także grupę cienkościennych den lekko wklęsłych i wklęsłych o średnicy wynoszącej 5–6 cm, pochodzących z małych naczyń (tabl. 16:6, 10–11).

Sporą grupę w materiale z grodziska w Kamionce stanowią zachowane części przydenne z dnami lekko wklęsłymi naczyń o charakterystycznej cylindrycznej formie, pokryte mocno wyeksponowanymi plastycznymi wałkami w części brzusznej i przydennej do poziomu dna (tabl. 5:12; 6:9–10; 7:1–3, 6; 9:5, 9; 10:11; 12:11; 15:10). Ścianki den są równe, gładkie, ze śladami podsypki z popiołu. Masa ceramiczna zawiera domieszkę grubego i drobnego piasku, a ścianki są barwy brązowo-szarej (10Y 4/2) ze śladami okopceń. Tego rodzaju cylindryczne części przydenne naczyń należą do górnych części naczyń o formach cylindrycznych, zaliczonych w przedstawionej wyżej klasyfikacji do grupy **a** (tabl. 5:3, 11:7; 13:6). Analiza zawartości kwasów tłuszczowych w próbce jednego z cylindrycznych naczyń (tabl. 7:6) wykazała, że znajdował się w nim pokarm roślinny[44].

Wystąpienie znaków garncarskich na dnach (tabl. 4:8; 8:16; 14:1–3; 15:11–12; 18:8) naczyń całkowicie obtoczonych wskazuje na istnienie w najbliższej okolicy zorganizowanych specjalistycznych warsztatów garncarskich zaopatrujących mieszkańców grodu w Kamionce.

W jednostce stratygraficznej 100 odkryto dużą część dolną naczynia z całkowicie zachowanym silnie wklęsłym dnem o średnicy ok. 9,5 cm (tabl. 6:1). Górna część naczynia nie zachowała się, lecz rozłożystość dolnej części sugeruje, że było to naczynie o dużej pojemności. Dno otoczone jest wysoką nóżką o wyso-

[33] Chudziakowa (red) 1994: ryc. 16:d, k, n, ryc. 27:a, ryc. 33:a–f, ryc. 95:c, ryc. 102:d, ryc. 109:b, i, ryc. 127:a, h, ryc. 128: f, g, ryc. 134:a, e, ryc. 145:a–d; 159:d.

[34] Niegowski 1997: ryc. 7:b.

[35] Wadyl 2013a: ryc. 8:b, e.

[36] Wyczółkowski 2009: ryc. 11:4, 6, 8, 10.

[37] Chudziakowa (red.) 1994: ryc. 63:l.

[38] Wiewióra (red.) 2014: ryc. 112:a.

[39] Haftka i Wadyl 2015: tabl. 9:b, tabl. 10:j, m, tabl. 18:c.

[40] Lepówna 1968: ryc. 46:f.

[41] Lepówna 1968: ryc. 50:a.

[42] Cnotliwy, Leciejewicz i Łosiński (red.) 1983: ryc. 184, 190.

[43] Wadyl 2013a: 161.

[44] Kałużna, Kobylińska i Kobyliński 2013: 458; Kałużna *et al*. 2016: tab. 5 i 8 (próbka P3).

kości ok. 3,4 cm. Powierzchnie ścianek tego naczynia wykazują ślady zagładzania, dobrego opracowania i całkowitego obtaczania. Wnętrze naczynia jest równe i lekko szorstkie wskutek zaznaczających się drobnych ziaren domieszki. Naczynie to ma barwę niejednolitą, ceglasto-jasnobrązowo-jasnoszarą (2,5YR 5/4), zarówno od strony zewnętrznej, jak i wewnętrznej, a przełam naczynia jest jednobarwny, jasnobrązowy. Zachowana część całkowicie pokryta była ornamentem regularnych żłobków dookolnych o szerokości ok. 0,2 cm, rytych rylcem o płaskim zakończeniu. Na przewężeniu ścianki przydennej przechodzącej w nóżkę dodatkowo umieszczono na szerokości 1 cm pasmo drobnych, kwadratowych odcisków stempla, ułożonych ukośnymi rzędami. Zachowana część ma regularne ścianki równej grubości wynoszącej 0,8 cm i charakter dużego, masywnego tzw. pucharka na pustej nóżce. Współwystąpienie tej formy z ceramiką taką, jak małe, cienkościenne naczynia z cylindryczną szyjką, naczynie baniaste z grupy **b**, z lekko profilowanym wylewem oraz z głębokimi żłobieniami i wałeczkami pomiędzy nimi na powierzchni ścianki, oraz z grupy **f** z mocno i łukowato wychylonym wylewem, oraz wystąpienie naczyń obtaczanych do załomu brzuśca jak i całkowicie obtaczanych, może datować ten pucharek na pustej nóżce na koniec XII w.

Puchary na pustej nóżce wiąże się zwykle z tzw. wyrobami luksusowymi, choć nie zawsze zaliczane do tego typu naczynia – w przeciwieństwie do egzemplarza z Kamionki – były obtaczane i dobrze opracowane[45]. Służyć one mogły, w zależności od wielkości i pojemności, zapewne do spożywania napojów, podawania owoców lub innych produktów, które chciano wyeksponować na stole. Omawiany typ naczyń ma stosunkowo szeroki zasięg występowania, ale też prezentowane w publikacjach zestawienia znalezisk uważanych za pucharki na pustej nóżce obejmują naczynia o zróżnicowanym kształcie. Spotykane są one na stanowiskach osadniczych na Pomorzu, Mazowszu, Dolnym Śląsku, w Wielkopolsce, Meklemburgii, a także w Czechach[46]. Często występują na obszarach pruskich w regionie dawnej Pomezanii i Pogezanii, Galindii, a także w Ziemi Chełmińskiej, Dobrzyńskiej, Lubawskiej i ciągle odkrywane są nowe ich przykłady[47]. Pucharki na pustej nóżce w najbliższej okolicy grodziska w Kamionce odkryto na terenie grodzisk w Elblągu, w Podzamczu, gm. Kwidzyn, pow. kwidzyński, Gutowie, gm. Lubawa, pow. iławski, Nowym Grodzicznie, gm. Grodziczno, pow. nowomiejski, Węgrach, gm. Sztum, pow. sztumski, czy Zwiniarzu (Świniarcu), gm. Grodziczno, pow. nowomiejski[48]. Jak podają publikacje, dwa fragmenty takiej samej formy odkryto w Kamionce już wcześniej, w trakcie badań przed II wojną[49] oraz z badań przeprowadzonych pod koniec lat 1990.[50] Forma zachowanej części pucharka na pustej nóżce z Kamionki jest nieco podobna do wyróżnionego przez Jacka Dąbrowskiego typu **C** z Ziemi Chełmińskiej[51]. Wydaje się, że najczęściej występują one w strefie pogranicza słowiańsko-pruskiego. Niekiedy uważane są za formy ściśle związane z osadnictwem pruskim[52], a ich genezy doszukuje się w formach charakterystycznych dla grupy olsztyńskiej[53]. W 2009 r. znaleziono nieco podobne naczynie w obrębie średniowiecznej osady przygrodowej w Gdańsku przy ul. Tartacznej. Naczynie to znajdowało się wśród pozostałości drewnianych budynków, należących do osady datowanej na XIII w.[54]

Ornamentyka naczyń

Ozdabianie naczyń znalezionych podczas badań grodziska w Kamionce, st. 9 w roku 2012 było w fazie wczesnośredniowiecznej bogate, urozmaicone i wielowątkowe. Na naczyniach z cylindryczną szyjką były to wysokie, plastyczne wałki wraz z drobnymi odciskami owalnymi, ukośnymi lub kwadratowymi, wykonanymi stemplem, ukośne łezkowate nacięcia, żłobki wąskie i szerokie oraz wielokrotne linie faliste (np. tabl. 3:2, 6, 8; 4:5; 6:2; 7:10; 11:7; 13:1, 4, 6). Układ ornamentu na naczyniu jest podobny, niezależnie od wielkości naczynia – czy to miniaturowego czy też naczynia o dużej średnicy wylewu (np. por. tabl. 4:5 i 10:12 oraz 11:7 i 13:4). Na naczyniach baniastych dominują ryte żłobienia na całej zachowanej części brzuśca (np. tabl. 3:1, 7, 10, 12; 5:7; 6:1–4; 7:11; 8:14; 9:8, 12; 10:13), najczęściej z wielokrotną linią falistą (tabl. 3:10; 4:7; 5:8; 8:8; 12:5; 17:6–8; 18:1–2; 9:4). W niektórych przypadkach głębokie żłobienia współwystępują z drobnymi, głębokimi odciskami wykonanymi stemplem (np. tabl. 8:3–4; 10:1, 3–5, 11; 11:7; 12:6–13; 13:4–6). Żłobienia poziome ryto w pasmach po trzy (tabl. 3:12; 5:2; 8:13), pojedynczo w dużych odstępach (tabl. 9: 8, 11–12; 16:4; 19:5) lub jeden pod drugim na dużych powierzchniach – od

[45] Lepówna 1968: 116–117; Dzieduszycki 1982: 72–74; Buko 1990b: 170; Dąbrowski 1999: 249–250; Wadyl 2015: 288–289.

[46] Wadyl 2015: 288; Dąbrowski 1999: 251.

[47] Łęga 1930: tabl. 17: 88–89; Brachmann 1964; Schuldt 1981: 42; Brzostowicz 1993: ryc. 6: 5, 7, ryc. 7:6, 2003: ryc. 5; Chudziak 1991: ryc. 34, 51; Dąbrowski 1999: 237–243, tabl. 3; Wróblewski i Nowakiewicz 2003: 172, ryc.4:c, e; Bojarski 2007; Pawlak i Pawlak 2008: 61.

[48] Haftka 1974; Grążawski 2009: ryc. 13:2, 17:4–5, 27:e; Wadyl 2015: 288.

[49] Łęga 1930: tabl. 16:86–87.

[50] Bojarski 1998: ryc. 6.

[51] Dąbrowski 1999: ryc. 4:4.

[52] Łęga 1930: 90; Wadyl 2012b: 272.

[53] W. Nowakowski 1989.

[54] Informacja ze strony internetowej Muzeum Archeologicznego w Gdańsku: http://www.archeologia.pl/wystawy/zabytek-miesiaca/28-zabytek-miesiaca-archiwum/157-grudzien-2015.

brzuśca po części przydenne – regularnie, a niekiedy nieregularnie (tabl. 5:7; 6:1–3, 9; 9:10, 13; 10:13; 11:5; 13:4–6; 14:1–3). Najbogatszy ornament charakteryzuje cienkościenne garnuszki niewielkich rozmiarów, o średnicy wylewu wynoszącej między 11 a 16 cm, z ostrym załomem brzuśca (z grupy **c**). Wszystkie zakwalifikowane do tej grupy okazy są ozdabiane od poziomu załomu brzuśca różnego rodzaju odciskami stemplem, a poniżej ryto głębokie żłobki dookolne na dużych powierzchniach, często aż do części przydennych (np. tabl. 13:3, 5). Naczynia baniaste o wylewie z okapem – grupy **d** – charakteryzują się ornamentem głównie drobnych żłobień poziomych w połączeniu z wielokrotną, niską linią falistą lub z owalnymi nakłuciami (tabl. 4:7; 11:3). Formy z grupy **e,** grubościenne z wydzieloną szyjką o ostrych załomach brzuśca i pogrubionym masywnym wylewie, są także bogato ornamentowane na dużych powierzchniach szyjki i brzuśca. Są to motywy głębokich bruzd – żłobień w połączeniu z różnego rodzaju odciskami i wgłębieniami, owalnymi i okrągłymi lub z linią falistą (tabl. 8:10; 10:1; 18:6). Najskromniej ozdabiano naczynia z grupy **f** – głównie żłobieniami poziomymi. Wystąpienie nielicznych przykładów ornamentowania tej formy spowodowane jest raczej fragmentarycznością zachowania ułamków naczyń zaliczanych do tej grupy. Formy z kolankowatym wychyleniem wylewu są zdobione jedynie w niewielu przypadkach żłobieniami i niekiedy drobnymi odciskami stemplem (tabl. 4:1–2; 11:5). Festonowa, wielokrotna linia falista (tabl. 3:10; 4:7; 5:8; 6:3; 9:4; 12:1, 5; 18:1–2; 19:4, 5) występuje sporadycznie na niedużych baniastych naczyniach o łagodnie esowatym profilu i zwężanym brzegu, w połączeniu ze żłobieniami. Należy zaznaczyć, że najczęściej pojawia się ornament na załomie baniastego brzuśca (np. tabl. 3:1–3, 10; 6:7, 9; 8:3–5; 8:10; 9:4; 10:4–6, 8; 12:12–13; 16:3). Charakterystyczne dla odkrytego materiału ceramicznego są naczynia o powierzchni pokrytej plastycznymi wałeczkami i głębokimi rowkami pomiędzy nimi, niekiedy wraz z drobnymi nakłuciami na szerszych wałkach. Są to naczynia o prostych ściankach i cylindrycznych szyjkach (tabl. 5:12; 6:8, 10; 7:1–3, 6; 9:3, 5, 9; 10:11–12; 11:7; 13:6; 15:10). Wystąpiły też wzory trójkątnych nakłuć w połączeniu z drobnymi stempelkami czterech odcisków wraz ze żłobieniami poziomymi (tabl. 13:3), regularne, głębokie, owalne odciski na załomie brzuśca (tabl. 3:3; 8:10), czy – najczęściej występujące – ukośne rzędy drobnych kwadratowych odcisków (tabl. 3:1–2, 6, 8; 4:5; 5:7; 6:1–2, 7, 9; 10:1, 3, 11–12; 12:6, 8–9, 12–13; 13:2, 4–6). Analogiczne ornamenty trójkątnych nakłuć i ukośnych odcisków drobnych kwadracików znajdujemy np. na ceramice ze stanowiska w Święcku-Strumianach, gm. Czyżew, pow. wysokomazowiecki[55]. Jest to też charakterystyczny ornament wczesnośredniowiecznej ceramiki „pruskiej”[56].

Zarówno pod względem form naczyń, jak i ornamentyki zastosowanej do ozdabiania ścianek, szczególnie liczne analogie do naczyń z grodzisk w Kamionce znajdujemy w materiale z grodzisk Ziemi Chełmińskiej. Szczególnie jeśli chodzi o naczynia z tzw. prostą, cylindryczną szyjką oraz baniaste i z silnym załomem brzuśca, mają one swe analogie np. w materiale z III fazy zasiedlenia grodziska w Gronowie, st. 1, gm. Lubicz, pow. toruński, datowanej na 4 ćw. XI–XI/XII w. oraz z datowanego na 1 połowę XII w. Lembarga, st. 6, gm. Jabłonowo Pomorskie, pow. brodnicki, a także z warstwy III grodziska w Mędrzycach, st. 1, gm. Świecie nad Osą, pow. grudziądzki, czy z grodziska w Osieczku, st. 1, gm. Książki, pow. wąbrzeski, datowanego na połowę XII w.[57]. Ornamentyka na wczesnośredniowiecznej ceramice z grodziska w Kamionce, st. 9 znajduje bardzo dokładne analogie w materiale ceramicznym z Napola, gm. Kowalewo Pomorskie, pow. golubsko-dobrzyński[58].

Analogiczne naczynie z cylindryczną szyjką odkryto także w trakcie penetracji podwodnych w rejonie grodziska w Niedźwiedziu, st. 5, gm. Kikół, pow. lipnowski[59]. Naczynia z wysoką cylindryczną szyjką z Kamionki, st. 9 (tabl. 3:2; 6:2) mają swe ścisłe analogie w materiale ze stanowiska w Bogdanach, gm. Frombork, pow. braniewski[60]. Baniaste naczynia z lekko profilowanym wylewem znajdujemy w materiale z warstwy III z grodziska w Wabczu, st. 1, gm. Stolno, pow. chełmiński, datowanej na przełom XI/XII w.[61], a także z Bogdanów, gm. Frombork, pow. braniewski[62]. Naczynia baniaste z łukowato wychylonym wylewem z okapem, głównie zaliczone do grupy **d,** czy też o kolankowatym profilu z grupy **f,** jak również rodzaj ornamentyki w postaci nieco nieregularnego i głębokiego żłobkowania, mają swe analogie w materiale ceramicznym (choć z tego zespołu opublikowano tylko niewielką liczbę fragmentów naczyń) z grodziska w Ornowie-Lesiaku (Kajkowie, przysiółek Lesiak), gm. Ostróda, pow. ostródzki[63].

Małe naczynka z wydzieloną szyjką, zaliczone do grupy **c,** pod względem kształtu i ornamentu podobne są do naczynia znalezionego w warstwie V, datowanej na XII w., z Jaguszewic, st. 1, gm. Jabłonowo Pomorskie, pow. brodnicki[64]. Podobne naczynie znale-

[55] D. Jaskanis 2008: tabl. 4:5, tabl. 5:8, tabl. 8:3, 6, 10, tabl. 10:6, tabl. 11:12, tabl. 16:2, 4–5, 8, tabl. 21:2.

[56] Wróblewski i Nowakiewicz 2003: ryc. 3:f, j, l, ryc. 4:a, b, d.

[57] Chudziakowa (red.) 1994: ryc. 52:d, f, i, ryc. 90:p, ryc. 109:a, b, i, ryc. 127:h, ryc. 128:f.

[58] Bojarski 2012a: ryc. 18: WzI3a, WzI3b, WzIII, WzII4, WzII3, WzIV1a, WzIV1b, ryc. 19.

[59] Chudziak, Kaźmierczak i Niegowski 2011: ryc. 16:d.

[60] Gazda *et al.* 2013: ryc. 52:g.

[61] Chudziakowa (red.) 1994: ryc. 196:b.

[62] Gazda *et al.* 2013: ryc. 52:f.

[63] Mirkowska 2004: tabl. 1:2–3, tabl. 2:3, tabl. 4:3–6, 8.

[64] Chudziakowa (red.) 1994: ryc. 63:l.

ziono w Weklicach, st. 3, gm. Elbląg, pow. elbląski, w warstwie datowanej na drugą połowę XII w.[65] Formy dużych naczyń z masywnym, szerokim wylewem z wgłębieniem na pokrywę, zaliczone do grupy **e** mają swe analogie wśród naczyń z grodziska w miejscowości Lipienek, st. 1, gm. Lisewo, pow. chełmiński, z warstwy III, datowanej na 4 ćwierć XI w. i przełom XI/XII w.[66]

Znaki garncarskie

Na ośmiu wyraźnie wklęsłych dnach naczyń z tej fazy chronologicznej zarejestrowano obecność wypukłych znaków garncarskich. Są to naczynia całkowicie obtaczane, dobrze wykonane, o zagładzanych powierzchniach zewnętrznych, pokrytych w większości przypadków na dużej części (do 2–3 cm powyżej dna) ornamentem rytych żłobków dookolnych. Wszystkie te dna wykazują ślady drobnoziarnistej podsypki, a także zastosowania nakładki na koło garncarskie, co spowodowało w każdym przypadku wystąpienie dookolnego wałka różnej szerokości. W materiale z grodziska w Kamionce możemy wyróżnić trzy dość jednolite grupy wypukłych znaków. Są to: wzór krzyża o długich prostych ramionach (tabl. 4:8; 8:16) na dnach o średnicy 10 cm i 12 cm, motyw dużej, regularnej gwiazdy (tabl. 15:12; 18:8) na dnach o średnicy 9 cm i 11 cm oraz skomplikowany wzór dużych i małych prostokątów wpisanych w siebie, z wypustkami rozgałęzionymi na końcach, który wystąpił na trzech dnach o średnicy 9–10 cm (tabl. 14:1–3). Jeden nierozpoznany ułamek znaku znajduje się na części przydennej naczynia z wklęsłym dnem o średnicy ok. 10 cm, z szerokim, płaskim wałkiem dookolnym (tabl. 15:11). Można domniemywać, że mieszkańcy grodu zaopatrywali się w naczynia w wyspecjalizowanych rzemieślniczych warsztatach garncarskich, oznaczających swoje wyroby i działających najprawdopodobniej w niedalekiej odległości, może na terenie niezidentyfikowanej dotąd osady przygrodowej.

Bardziej powszechnie występujące znaki garncarskie, takie jak wzór gwiazdy czy krzyża są szeroko rozpowszechnione na grodziskach wczesnośredniowiecznych. Znak w kształcie gwiazdy czy krzyża widoczny jest np. na dnach naczyń z grodziska w Napolu, st. 1, gm. Kowalewo Pomorskie, pow. brodnicki, czy Pokrzywno, st. 1, gm. Gruta, pow. grudziądzki[67].

Nie znaleziono identycznych znaków w postaci wpisanych kwadratów na dnach naczyń z innych stanowisk osadniczych, co nie jest faktem zaskakującym, gdyż oznaczałoby zapewne zidentyfikowanie tego samego warsztatu garncarskiego, jednak warto odnotować pewne podobieństwa we wzornictwie ze znakami na dnach naczyń z średniowiecznego Gdańska. Obok powtarzających się nieskomplikowanych znaków krzyża (z poziomu 9 i 6) i gwiazdy (z poziomu 14, 13, 12, 8, 7, 4, 2, 1), dość często spotykanych na szerokim obszarze występowania ceramiki z wczesnego średniowiecza, występuje tam wzór dwóch kwadratów wpisanych w siebie (z poziomu 4 i 6); kwadratu podzielonego na cztery części (z poziomu 11); kwadratu z odcinkami o rozwidlonych końcach (z poziomu 9) i motyw krzyżujących się linii rozwidlonych na końcach z poziomu 15 (1000–1020 r.) oraz z poziomu 1 (1280–1295 r.), podobne do wzoru z naczyń z grodziska w Kamionce, st. 9[68].

Technologia wytwarzania naczyń

Fragmenty naczyń wczesnośredniowiecznych znalezionych w czasie badań grodziska w Kamionce, st. 9 w roku 2012, na których udało się zaobserwować ślady rys po obtaczaniu powierzchni i ślady sposobów zlepiania wałków, wskazują, że jest to ceramika górą obtaczana, głównie do poziomu przejścia szyjki w brzusiec (GT III)[69] oraz w mniejszej części całkowicie obtaczana (GT IV i GT V). Do trzeciej grupy zaklasyfikowano naczynia częściowo obtaczane do strefy największej wydętości brzuśca. Natomiast do IV grupy zaliczono naczynia obtaczane zazwyczaj poniżej strefy największej wydętości brzuśca, nawiązujące pod względem technologicznym do naczyń określanych jako silnieformująco częściowo obtaczane. Do grupy V zaliczono wszystkie naczynia całkowicie obtaczane. Fragmentaryczność zachowania utrudnia precyzyjniejsze określenie proporcji tych kategorii wytwórczości. Naczynia całkowicie obtaczane głównie rozpoznane są w wymienionych wyżej grupach **a**, **b**, **c**, **f** oraz na podstawie części przydennych z dnami lekko wklęsłymi z zachowanymi znakami garncarskimi. Natomiast części przydenne naczyń masywnych, grubościennych, dużych, rozłożystych form den lekko wklęsłych i głębszych nie wykazują śladów obtaczania. Część brzuśców głównie ceramiki ceglastej, cienkościennej, także pochodzi z naczyń obtaczanych aż po część przydenną.

Omawiany materiał jest spójny pod względem sposobu traktowania powierzchni, czy sposobu ornamentowania. Barwa ścianek naczyń to różne odcienie brązu (2,5YR 5/4, 5YR 3/2, 3/3, 4/3, 5/4, 5/6). Ceramika jest plamiasta z odcieniami szarych plam okopcenia po obu stronach ścianek naczynia. Przełamy są w większości trójwarstwowe. Stopień wypału jest zróżnicowany: od bardzo niskiego do wysokiego. Surowcem bazowym do wykonywania naczyń był ił/mułek, a rzadziej glina polodowcowa. Masa ceramiczna, z której wytwarzano naczynia, za-

[65] Jagodziński 2013: ryc. 13:1.

[66] Chudziakowa (red.) 1994: ryc. 95:c.

[67] Chudziakowa (red.) 1994: ryc. 119:e, 120:h, 145:c.

[68] Lepówna 1968: ryc. 22, ryc. 37:3, ryc. 39:d, ryc. 43:o, ryc. 53:d.

[69] Zgodnie ze schematem rozwojowym przyjętym dla ceramiki z dorzecza dolnej Drwęcy: Chudziak 1991.

wierała domieszkę ziaren różnej granulacji, zarówno kanciastych jak i obłych ziaren piasku w dość znacznej ilości, wraz z dużymi ziarnami miki, jak również w niektórych przypadkach szamot[70].

Analiza cech szczegółowych i dokładne porównanie profili wylewów naczyń pozwoliły zaobserwować także takie cechy, jak staranne zagładzenie powierzchni górnych, najczęściej już po wykonaniu ornamentu, czy regularność wykonywania rytego ornamentu na dużych powierzchniach. Zidentyfikowano stosowanie rylców, przeważnie z ostrym zakończeniem, co powodowało wykonanie głębokich, zwężających się żłobień, bądź rylców o płaskich zakończeniach, przy pomocy których wykonywano żłobienia płytsze i równe na całej szerokości rowka.

Ceramika późnośredniowieczna i nowożytna

Formy ceramiki naczyniowej

Wśród zachowanych niewielkich ułamków pochodzących z górnej części naczyń z zachowanym fragmentem wylewu możemy wyróżnić przykłady pochodzące głównie z form garnków lub dzbanów, pokrywki, talerzy o barwach zarówno ceglastej, jak i szarosiwej, a także talerza z polewą zieloną, żółtą, białą i brązową. Znaleziono także kilka innych drobnych fragmentów wylewów i den o powierzchni pokrytej polewą brązową i zieloną. Zastosowanie naczyń szkliwionych wprowadziło nową jakość: w istotny sposób przyczyniło się do zmniejszenia przesiąkliwości naczyń oraz podniosło ich atrakcyjność.

Średnice odkrytych garnków zawierają się między 12 a 20 cm, niekiedy z zachowanym ułamkiem szerokiego ucha wychodzącego z wylewu. Są to głównie naczynia siwe i ceglaste z wychylonym szerokim i obłym brzegiem, cienkościenne i silnie obtoczone (tabl. 17:11–13; 18:4; 19:10–11), czy wąskootworowy dzban o profilowanym, szerokim wylewie i grubościennych ściankach, barwy ceglastej (tabl. 12:20), czy cienkościenny talerz toczony z gliny ceglastej (tabl. 18:5) oraz inny o powierzchni wewnętrznej pokrytej brązową polewą, a zewnętrznej zieloną, o cienkich ściankach i szerokim profilowanym wylewie (tabl. 19:15).

Naczynia późnośredniowieczne z grodziska w Kamionce, st. 9 wypalone w atmosferze utleniającej znajdują analogie np. w materiale zabytkowym z zamku w Raciążku, pow. aleksandrowski, z „wieży Karnkowskiego”[71]. Nieliczne odkryte fragmenty z omawianego okresu chronologicznego z zachowanym dnem miały dna płaskie o średnicy ok. 10–11 cm o cechach silnego obtaczania, najczęściej odcinane, pochodzące z naczyń cienkościennych. Charakterystyczne dla tego okresu gliniane nóżki z ceglastej masy ceramicznej niekiedy powlekane barwną polewą (zieloną lub brązową), różnej wielkości (długości 2 lub 4 cm), pochodzą z form trójnożnych baniastych garnków lub patelenek (tabl. 17:3; 19:7). Zaobserwować można jedynie szkliwienie powierzchni naczyń od wewnątrz. Naczynia gliniane na nóżkach służące do podgrzewania i gotowania wzorowane były na metalowych kociołkach. Takie formy zaczęto produkować w większym ośrodku miejsko-portowym, jakim był Elbląg od sześćdziesiątych lat XIV w.[72], a znane są też z dobrze datowanej na podstawie przekazów pisanych na pierwszą ćwierć XV w. siedziby krzyżackiej w Pniu, gm. Dąbrowa Chełmińska, pow. bydgoski[73]. Charakterystyczna ceramika szkliwiona była wynikiem opanowania umiejętności szkliwienia (początkowo tylko od wewnątrz) i wypalania utleniającego, czyli z dużym dopływem powietrza. Te zmiany technologiczne miały miejsce pod koniec XV w. lub na początku XVI w. w większych ośrodkach miejskich i dały początek nowożytnemu garncarstwu, stopniowo rozprzestrzeniając się na dalsze tereny. Sposób wytwarzania tego typu naczyń został przyniesiony na Warmię i Mazury zapewne przez garncarzy przybyłych z osadnikami z terenów północnoniemieckich.

W materiale z nawarstwień fazy V grodziska w Kamionce znaleziono w przekroju okrągły gliniany uchwyt (tabl. 19:8) z powierzchnią częściowo pokrytą polewą żółtą, będący najprawdopodobniej częścią trójnożnej patelni. Podobne znaleziono w Kaliszu, Gdańsku, Sieradzu, gdzie datowane są na XIV i 1 połowę XV w.[74], na zamku w Raciążku w „wieży Karnkowskiego”[75], a także na zamku biskupów chełmińskich w Wąbrzeźnie[76]. Formy naczyń późnośredniowiecznych z Kamionki można przyrównać do materiału ceramicznego z Ostródy, pochodzących z wykopalisk na terenie zamku i przy „Bramie Garncarskiej”, a także z terenu Starego Miasta w Olsztynie. Zarówno ceramika wypalana w atmosferze redukcyjnej jak i utleniającej ma swe odpowiedniki w występujących tam formach, datowanych połowę do końca XIV w.[77]

Omówiony niewielki zbiór ceramiki późnośredniowiecznej z Kamionki, głównie wypalanej w atmosferze utleniającej przy niewielkim udziale ceramiki wypalanej w atmosferze redukcyjnej na podstawie analogicznego zestawu form z innych znalezisk z Kujaw i Ziemi Dobrzyńskiej oraz Warmii i Mazur należy datować na XIV–XVI w. Są to formy szeroko rozpowszechnione

[70] Bojanowski, Kobylińska i Kobyliński 2013: ryc. 3–14, tab. 2 (próbki 1–7, 14–18); Bojanowski *et al.* 2016: ryc. 6A–B, 7B, tab. 3 (próbki WSR od P1 do P12).

[71] Kajzer 1986: tabl. 5, tabl. 7:2.

[72] Fonferek, Marcinkowski i Sieńkowska 2012: fot. 52–53, s. 66–67.

[73] Poliński 2013: ryc. 39:c, ryc. 43:a–b.

[74] Kruppé 1981: karta 71:17–18, 73:6.

[75] Kajzer 1986: tabl. 9:1–2, 6.

[76] Wiewióra (red.) 2014: ryc. 114:b–c.

[77] Michalski 1998a: ryc. 16–19, 1998b: ryc. 57:2, 13, ryc. 60:7.

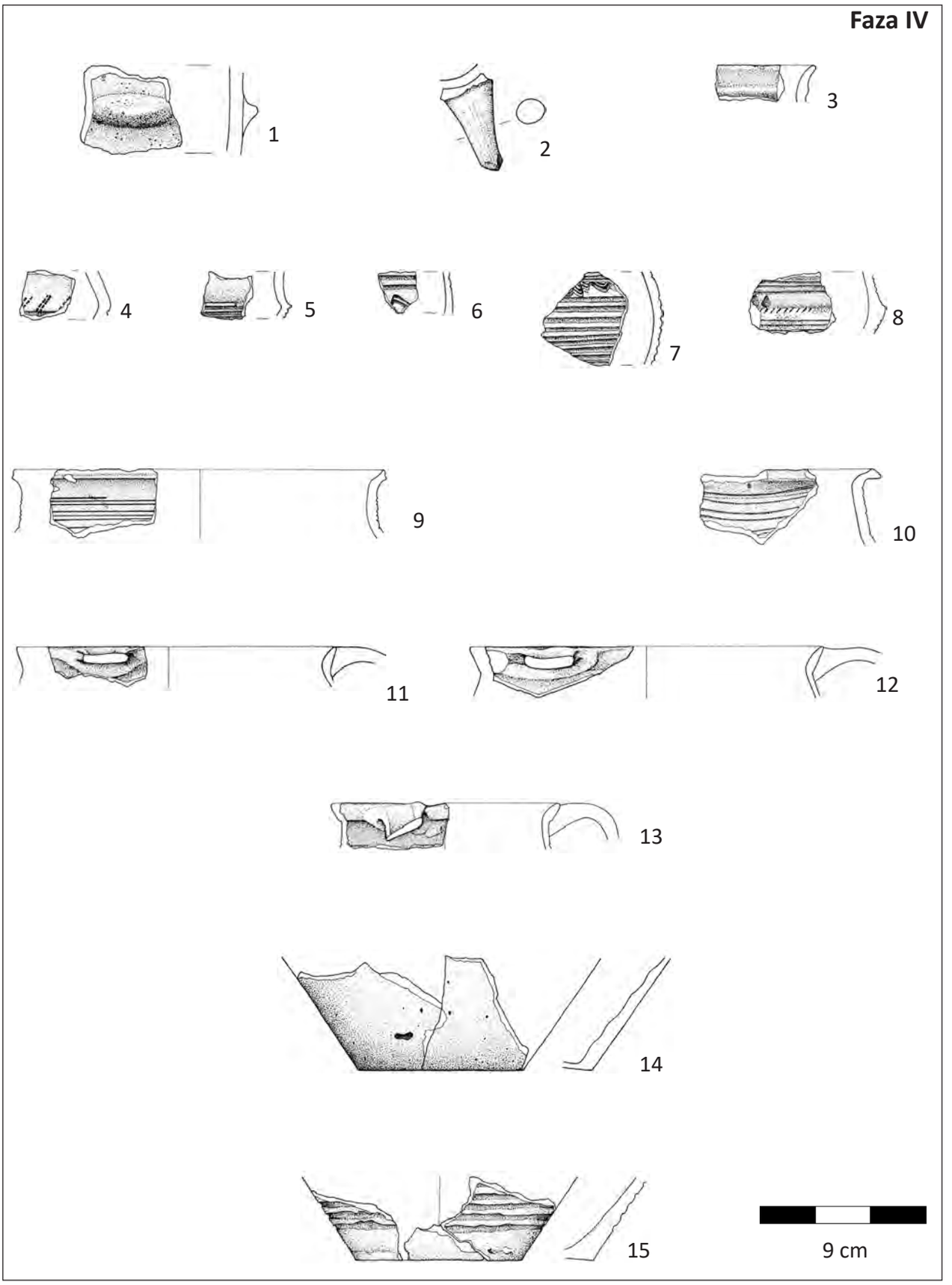

Tablica 17. Kamionka, st. 9. Ceramika z nawarstwień Fazy IV (rys. A. Kucharska-Wach)

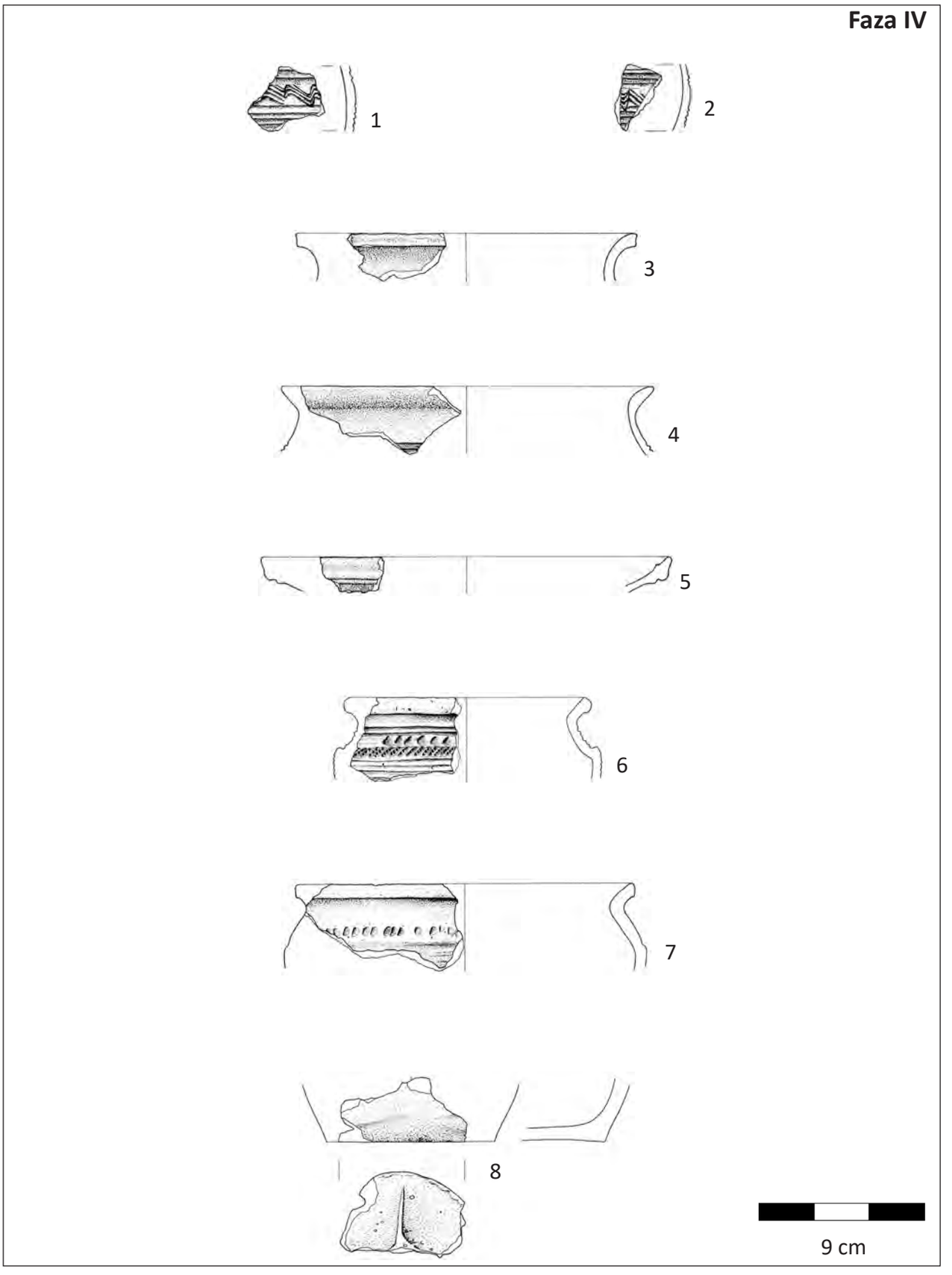

Tablica 18. Kamionka, st. 9. Ceramika z nawarstwień Fazy IV (rys. A. Kucharska-Wach)

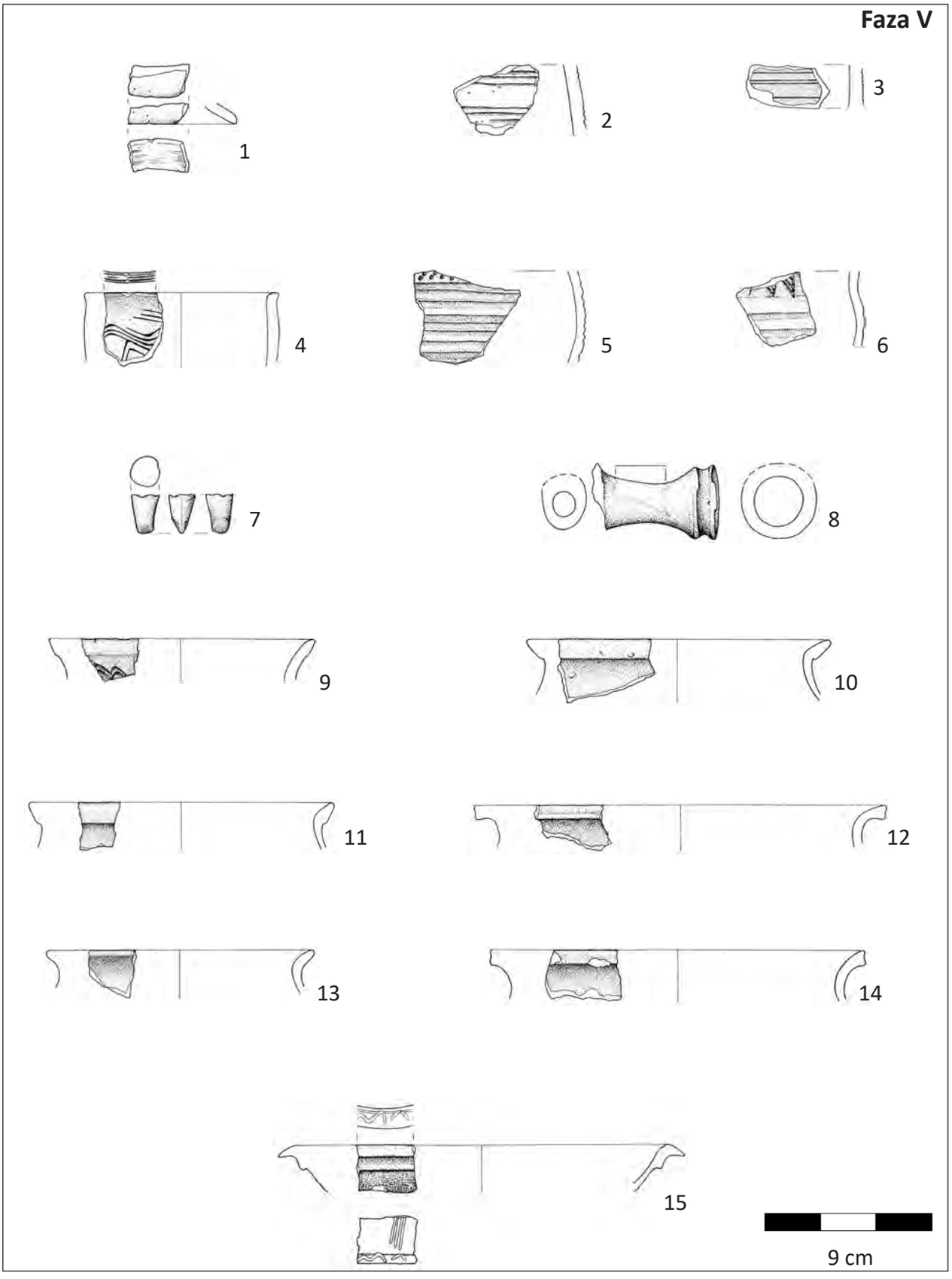

Tablica 19. Kamionka, st. 9. Ceramika z nawarstwień Fazy V (rys. A. Kucharska-Wach)

w osadach i grodach okresu wpływów krzyżackich, znaleziono je np. na terenie grodziska w Okartowie nad jeziorem Tyrkło, gm. Orzysz, pow. piski, które datowane jest na okres do 3 ćwierci XIV w.[78]; ceramika z Kamionki tego okresu chronologicznego ma swe analogie również w późnośredniowiecznym materiale ze stanowiska 1 w Janowie Pomorskim, gm. Elbląg, pow. elbląski[79].

Technologia wytwarzania naczyń

Analizując materiał ceramiczny z tej fazy chronologicznej, mimo jego stosunkowo małej liczebności, należy stwierdzić, że jest jednorodny pod względem technologicznym. Naczynia są całkowicie i silnie obtaczane. Wypalane w atmosferze utleniającej, mają kolor ceglasty. Jako domieszki do masy ceramicznej użyto wyselekcjonowanego piasku drobnoziarnistego, rzadziej średnioziarnistego, o dobrze obtoczonych ziarnach (co może też sugerować ich występowanie w naturalnych złożach surowców ilastych wykorzystywanych przy wytwarzaniu naczyń). Jest to ceramika cienkościenna, ceglasta, o powierzchni gładkiej, bez śladów dodawania miki do masy ceramicznej. Wypalenie ceramiki silnie obtoczonej z zawartością domieszki drobnoziarnistej w masie ceramicznej w atmosferze redukcyjnej powodowało powstawanie barwy stalowo-szarej. Najliczniejsze były garnkowate naczynia ceglaste; dzbanów stalowo-szarych było niewiele, a rzadkością były dzbany o powierzchni szarej wyświeconej. Fragmenty talerzy, patelenek, garnków i mis pokrytych polewą brązową, zieloną czy we wzory z białymi liniami, wykonane były – podobnie jak rzadko występujące pokrywki – z ceglastej masy ceramicznej o niewidocznej makroskopowo domieszce pylastej.

Podsumowanie

Wyodrębnione w stratygrafii grodziska w Kamionce, st. 9 nawarstwienia Fazy I zawierały wyłącznie ceramikę z wczesnej epoki żelaza. Ten zespół zabytkowy charakteryzuje się niewielką liczbą fragmentów drobnych, a stosunkowo dużą liczbą średnich i dużych ułamków ceramiki głównie I i II kategorii zniszczenia. Nawarstwienia z Fazy III zawierały głównie fragmenty średniej wielkości, zawierające się pomiędzy wielkością 3 cm a 10 cm, przeważnie I kategorii zniszczenia. Natomiast materiał zabytkowy znaleziony w warstwach Fazy IV i V charakteryzuje się dużym rozdrobnieniem; brak jest w nim większych fragmentów, które bliżej określałyby formy i proporcje naczyń. Zestaw fragmentów cechuje zróżnicowany stopień zniszczenia w zależności od stopnia twardości ceramiki. Ze względu na charakter zawartych w nich zespołów ceramicznych, nawarstwienia Fazy I, IIIA, IIIB, IIIE, IIIF i IIIG można uznać za zdeponowane *in situ,* bez większych zniszczeń spowodowanych późniejszymi przekształceniami.

ZABYTKI WYDZIELONE

Paciorek srebrny (tabl. 20:1)

W trakcie eksploracji w dolnej piaszczystej części wypełniska zagłębienia przywałowego – w jednostce stratygraficznej 102 z fazy IIIG – odkryto paciorek wykonany z cienkiej blaszki srebrnej o wadze 2,4 g. Ma on kształt wydłużonego owalu z osiemnastoma guzami, po 6 na każdym z trzech boków, w grupach po trzy. Wokół obu krawędzi wydzielających się otworów bocznych i każdego guza uformowano wieniec drobnych granulek, w poprzek paciorka przebiega lekko wypukłe gładkie pasemko o szerokości ok. 0,1 cm, a na wolnych przestrzeniach pomiędzy grupami guzów znajdują się wypukłe, ledwo widoczne, przedstawienia sporych rombów i mniejszych trójkątów po ich bokach oraz ciągów granulek dotykających do krawędzi otworu. Srebrny paciorek ma długość 1,7 cm, a największa średnica jego trzonu wynosi 1,5 cm, zaś średnica otworu wynosi 0,5 cm. Szerokość guzów u podstawy wynosi 0,35 cm, a ich wysokość mierzona od podstawy wynosi ok. 0,3 cm. Analiza chemiczna, której został poddany materiał ze ścianki paciorka[80] wykazała zawartość 94,49% srebra w składzie metalu, a także śladowe ilości pierwiastków, takich jak: Cu – 3,03%; Mg – 0,87%; Au – 0,49%; Al – 0,27%; Cr – 0,26%; Fe – 0,22%; Si – 0,13%; Ni – 0,13%; S – 0,1%; Mn – 0,02%. Paciorek jest dobrze zachowany, jednak czuby ośmiu guzów są uszkodzone.

Paciorki z guzami znane są z około stu stanowisk, głównie ze skarbów i cmentarzysk. Na terenie osad i grodzisk znajdywane były dotychczas jedynie sporadycznie. Paciorek z guzami z grodziska w Kamionce jest znaleziskiem dokonanym na najbardziej na północ położonym stanowisku osadniczym i – co jest rzadkością – na terenie grodziska. Jedyne trzy egzemplarze srebrnych paciorków z grodziska znane są z Czerchowa, gm. Ozorków, pow. zgierski[81]. Terytorialnie najbliższe znaleziska srebrnych paciorków guzowatych pochodzą z czterech skarbów i cmentarzyska w rejonie Ciechanowa, oraz ze skarbów na terenie pojezierza lewego dorzecza dolnej Wisły, a także – podobne w formie, ale wykonane z blaszki brązowej – z cmentarzyska w Surażu, pow. białostocki[82]. Dotychczas rozpoznane miejsca znalezienia tego typu paciorków rozproszone

[78] Łapo 2009a: tabl. 2:a, e, f, i.

[79] Auch, Bogucki i Trzeciecki 2012: tabl. 1:1–7, tabl. 2–7.

[80] Badania wykonano w Laboratorium Instytutu Archeologii i Etnologii PAN w Warszawie.

[81] Kostrzewski 1962.

[82] Bieńkowska 2005: 141, tabl. 7:2, 4, 6–8.

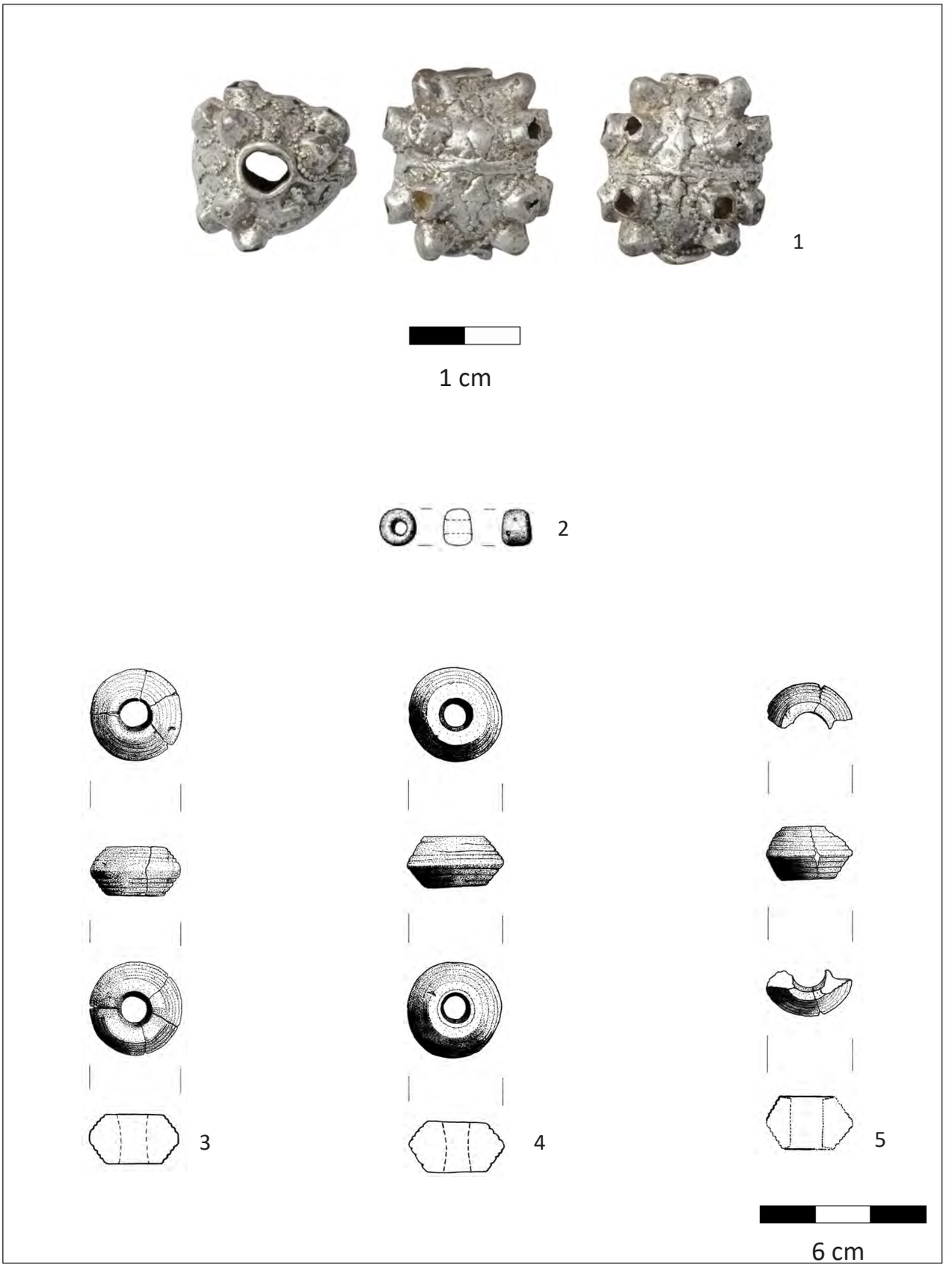

Tablica 20. Kamionka, st. 9. Zabytki wydzielone (rys. A. Kucharska-Wach, fot. M. Osiadacz)

były na dużym obszarze Wielkopolski, jak również szeroko rozumianej dzisiejszej Polski środkowej, północno-zachodniej i wschodniej. Niemal identyczne do paciorka z grodziska w Kamionce okazy wystąpiły np. na wczesnośredniowiecznym cmentarzysku szkieletowym w Lubieniu w gr. 3, 16, 39, gm. Rozprza, pow. piotrowski[83]; w miejscowości Borucin, gm. Osięciny, pow. radziejowski i datowany jest na koniec 1. poł. XI w.[84]; czy datowany na XI w. z miejscowości Daniłowo Małe, gm. Łapy, pow. białostocki[85]; z miejscowości Daniszew, gm. Kościelec, pow. kolski [86]; a także kilka egzemplarzy paciorków datowanych na w. XI, z miejscowości nieznanych, obecnie w zbiorach Muzeum Archeologicznego w Warszawie[87]. Zachowany niestety jedynie częściowo skarb srebrnych ozdób z Sejkowic, gm. Pacyna, pow. gostyniński na Mazowszu, odkryty w połowie XIX w., zawiera kilka paciorków, które podobne są ze względu na podzielenie powierzchni na części pasmami granulek[88]. Guzowate paciorki wykonane z cyny zostały znalezione w grobie szkieletowym na cmentarzysku w Kałdusie, gm. Chełmno, pow. chełmiński, st. 2[89]. Fragmentarycznie zachowany analogiczny paciorek guzowaty został odkryty na cmentarzysku datowanym na XI–XII w. na stanowisku w Warszawie-Wilanowie[90].

Paciorek z grodziska w Kamionce, st. 9 jest więc unikatowym znaleziskiem słowiańskiego typu zabytku na obszarze pojezierzy północno-wschodniej Polski. Paciorek ten reprezentuje typ ozdoby, której okres występowania obejmuje czas od X w., aż nawet po XIV w. Najliczniej występujące podobne okazy pochodzą z XI i początku XII w.[91]

Paciorek szklany (tabl. 20:2)

W jednostce stratygraficznej 100 powstałej w Fazie IIIF znaleziony został paciorek ze szkła nieprzeźroczystego, barwy czarnej. Zabytek jest dobrze zachowany, niemal bez ubytków i zatarć. Ma on formę kulistą, lekko spłaszczoną na bokach, z dużym otworem wewnętrznym o średnicy 0,5 cm, decentrycznie usytuowanym. Całkowita średnica paciorka wynosi 1,3 cm, a wysokość 1 cm. Szklane paciorki kulisto-spłaszczone należą do form często występujących w okresie wczesnego średniowiecza. Wytwarzane były one poprzez nawijanie roztopionego szkła. Z grudki szkła wyciągano nitkę szklaną i nawijano na pręt formując owalny, beczułkowaty kształt. Podobne w formie spłaszczone paciorki z szerokim otworem do nawlekania na sznurek wystąpiły między innymi na cmentarzysku w Łowiczu w grobie 25[92].

Przedmioty wykonane z gliny

Dwa przęśliki zachowane w całości znalezione zostały w jednostkach stratygraficznych 51 w obiekcie 52 (tabl. 20:2) oraz 140 (tabl. 20:3), zaś jeden, pochodzący z jednostki 121 (tabl. 20:5), jest zachowany w połowie. Reprezentują one formy dwustożkowate o ostrych załomach i dobrze opracowanej, gładkiej powierzchni, lekko okopconej, barwy czerwonawo-szarej (5YR 4/2) i czerwonawo-brązowej (5YR 4/3). Mają one wyraźnie zaznaczone, regularne krawędzie brzegowe i gładkie, równe ścianki oraz regularnie uformowane otwory w centralnej części. Wszystkie egzemplarze z grodziska w Kamionce odznaczają się dobrym obtoczeniem, regularnymi proporcjami, wygładzomymi powierzchniami, i mają równo przebiegające ryte żłobienia dookolne na całej zachowanej przestrzeni. Średnica przęślika z jednostki stratygraficznej 51 z obiektu 52 wynosi 3,5 cm, a średnica otworu 1 cm, wysokość wynosi 1,8 cm, zaś waga 18,00 g. Średnica drugiego przęślika wynosi 3,2 cm, otworu ok. 1,1 cm, ma on wysokość 1,6 cm i waży 16,07 g. Natomiast trzeci, niemal w połowie zachowany przęślik, wydaje się nieco mniejszy, a szacowana średnica wynosiła prawdopodobnie ok. 2,7 cm, średnica otworu wewnętrznego – ok. 1,2 cm, a wysokość – 2 cm. Waga zachowanej części ornamentowanego przęślika wynosi 6,79 g. Wszystkie trzy przęśliki są bardzo podobne do siebie, jak gdyby pochodziły od jednego wytwórcy. Są one dość masywne i mają spłaszczone powierzchnie dookoła otworu. Funkcją przęślików było zapobieganie zsunięciu się nici z wrzeciona, a także wspomagały one jego obrót w czasie przędzenia.

Omawiana kategoria znalezisk – przęślików, obok ceramiki naczyniowej, należy do najczęściej spotykanych artefaktów na osadniczych stanowiskach wczesnośredniowiecznych[93] i świadczy o funkcjonowaniu intensywnej działalności tkackiej mieszkańców. Były to, jak się wydaje, na tyle ważne czy znaczące przedmioty dla użytkowników, że znajdujemy je również jako wyposażenie w grobach kobiecych, a także dziecięcych na wielu cmentarzyskach[94]. Nie są one jednak wyznacznikiem chronologicznym.

[83] Kurasiński i Skóra 2012: tabl. 3:6b; 13:4; 28:3b.

[84] Rauhut 1955: 57, tabl. 8:5; Brzeziński (red.) 2007: 185, nr. poz. 419.

[85] Chłodnicki i Krzyżaniak (red.) 1998: ryc. 115–117; Bieńkowska i Pachobut 2006: 100; Koperkiewicz i Krasnodębski 2006: ryc. 11–12; Miśkiewicz 2010: tabl. 22.

[86] T. Sawicki 2008: 166, ryc. 15:1.

[87] Brzeziński (red.) 2007: 150, np. nr poz. 253 i 254.

[88] Żak 1960: ryc. 1:4–6,8–9.

[89] Błędowski, Chudziak i Weinkauf 2007: ryc. 9:d,e.

[90] Informacja ustna dr R. Soleckiego.

[91] Kóčka-Krenz 1993: 96, 245–249, mapa 41, 2007: 31.

[92] Musianowicz 1939–1945: tabl. 5:A,B, s. 221.

[93] Łęga 1930; Kuszewska 1961; Leciejewicz 1961; Filipowiak 1962; Musianowicz 1969; Lodowski 1972; Malinowska-Łazarczyk 1982; Herrmann 1998.

[94] Kurasiński i Skóra 2012; J. Jaskanis 2013: 215.

Zdobienie przęślików wąskimi liniami rytymi występuje dość często we wczesnym średniowieczu[95] i są to właśnie przeważnie formy dwustożkowate. Analogiczne do pochodzących z Kamionki formy przęślików licznie znajdywane są na wczesnośredniowiecznych stanowiskach osadniczych, między innymi na północno-wschodnim Mazowszu we wczesnośredniowiecznym zespole osadniczym w Święcku-Strumianach, gm. Czyżew, pow. wysokomazowiecki[96]. Przęśliki ze stanowiska Szwajcaria pod Suwałkami również mają formę dwustożkowatą i analogiczne cechy metryczne[97]. Wczesnośredniowieczne przęśliki dwustożkowate znaleziono także m.in. w miejscowości Napole, st. 6, gm. Kowalewo Pomorskie, pow. golubsko-dobrzyński[98], a także na grodzisku w Sopocie[99], czy też na grodzisku w Bardach, st. 1, gm. Dygowo, pow. kołobrzeski (tu wykonane z bursztynu)[100], w Bruszczewie, gm. Śmigiel, pow. kościański[101], a także na terenach północno-zachodniosłowiańskich np. w Mittenwalde, Lkr. Dahme-Spreewald[102] czy w Dyrotz, Lkr. Havelland w Brandenburgii[103]. Analogiczne do pochodzących z Kamionki, st. 9 formy przęślików ornamentowane dookolnymi żłobieniami pochodzą m.in. z miejscowości Góra, st. 1, gm. Pobiedziska, pow. poznański[104], z osiedla wczesnośredniowiecznego w Markowicach, st. 26, gm. Kleszczewo, pow. poznański[105] oraz z miejscowości Janów Pomorski, st. 1, gm. Elbląg, pow. elbląski[106], a także np. ze stanowiska Muchow, Kr. Ludwigslust[107], czy z Burg Stargard, koło Neubrandenburg, Lkr. Mecklenburgische Seenplatte[108] oraz z grodziska w Schwedt, st. 6, Lkr. Uckermark, datowanego na XI–XII w.[109]

Przedmioty wykonane z żelaza

W czasie badań grodziska w Kamionce znaleziono pięć skorodowanych żelaznych grotów z uszkodzeniami końcówek ostrzy. Duży, masywny grot ma niewielkie uszkodzenie jednego ramienia (tabl. 21:1), jest lekko skorodowany i waży ok. 18,25 g. Jego długość całkowita wynosi ok. 8 cm, a tulejkę długości 4,4 cm, z otworem średnicy 0,9 cm (pochodzi z jednostki 123 z Fazy IIIF). Trzy średniej wielkości egzemplarze znaleziono w tym samym miejscu w jednostce 26 z Fazy IIIH. Mniejszy grot długości ok. 5 cm jest przełamany w kilku miejscach (tabl. 21:2), a jego dane metryczne można podać jedynie orientacyjnie. Długość tulejki może wynosić ok. 3 cm. Nieco większy, masywniejszy grot z uszkodzonym jednym ramieniem (tabl. 21:3) ma długość ok. 6,1 cm, a tulejkę długości 3 cm z otworem średnicy 0,8 cm i waży ok. 5,94 g. Masywny, krótki grot z odłamanym czubkiem ostrza (tabl. 21:4) ma grube, szerokie ramiona (ok. 0,5 cm), a zachowany jest na długości ok. 5,5 cm, średnica otworu tulejki wynosi 0,9 cm i waży ok. 11,21 g. Kolejny, mały grot, o wąskich ostrzach (tabl. 21:5) z jednostki 76 z Fazy IIIA, ma urwane jedno ramię ostrza. Całkowita długość wynosi 5,3 cm, a średnica tulejki 0,9 cm, waży ok. 4,89 g. Znaleziono także fragment kolejnego grotu zachowanego jedynie w postaci tulejki (tabl. 21:6) o długości ok. 3,5 cm. Żelazne groty z tulejką są szeroko rozpowszechnione w okresie wczesnośredniowiecznego osadnictwa grodowego[110]. Analogiczne groty trójkątne z tulejką w dużej liczbie znaleziono na stanowisku w Jeglińcu, gm. Szypliszki, pow. suwalski[111] czy też np. w Złotorii, gm. Lubicz, pow. toruński[112]. Podobnych 8 egzemplarzy grotów odkryto np. na grodzisku w Tumie koło Łęczycy, gdzie datowane są na XI–XIII w.[113] Na terenie Rusi czy Litwy egzemplarze z tulejką określono jako typ 2 według typologii A.F. Medvedeva; datowane są tam bardzo szeroko od VIII do XIII w., a na terenie Małopolski nawet od VII/VIII do początku XIV w.

W jednostce stratygraficznej 123 odkryto dwa fragmenty bliżej nieokreślonych przedmiotów żelaznych. Jeden z nich – płaski i nieforemny (tabl. 21:8) – to być może część okucia. Nosi on ślady okrągłych otworów po nitach. Drugi zabytek to fragment igły (tabl. 21:9), zachowany na długości 3 cm. Fragment przedmiotu z żelaza (tabl. 21:10), z jednej strony spłaszczony z drugiej rozwidlony, jest zachowany na długości ok. 5 cm, to być może część uchwytu narzędzia. W jednostce stratygraficznej 100 znaleziono fragment bliżej nieokreślonego przedmiotu z żelaza (tabl. 21:11), w przekroju prostokątnego o zwężonym końcu. Jest to przedmiot spłaszczony z jednej strony, szerokości ok. 0,6 cm, z drugiej zwężonej części szerokości ok. 0,3 cm, w przekroju kwadratowy. Przedmiot zachowany jest na długości ok. 14 cm. Natomiast w jednostce stratygraficznej 2 odkryto fragment okrągłego w przekroju drutu, zachowany w dwóch odcinkach na długości ok. 17 cm (tabl. 21:12).

[95] Kuszewska 1961: ryc. 9e,f; Leciejewicz 1961: ryc. 76:3, 2007: ryc. 94:24.
[96] D. Jaskanis 2008: tabl. 6:11, 12:14.
[97] J. Jaskanis 2013: 215.
[98] Bojarski 2012b: ryc. 94:l; 104:e; 122; 2013, ryc. 90:t; 104:n.
[99] Szymańska-Bukowska 2010: ryc. 23.
[100] Łosiński 1972: ryc. 92a, 93b.
[101] Kobusiewicz (red.) 2008: 235.
[102] Biermann (red.) 2001: ryc. 108.
[103] Kennecke 2008: tabl. 4:a; 9:c.
[104] Kóčka-Krenz i Sikorski 1992: ryc. 5:1.
[105] Pawlak i Pawlak 2008: fot. 29:a,c.
[106] Auch, Bogucki i Trzeciecki 2012: tabl. 27:3.
[107] *Corpus* 1973: 11/53:11.
[108] *Corpus* 1979, cz. 1: 50/22:37, 43–44.
[109] *Corpus* 1979, cz. 2: 60/1:63–64.
[110] Fuglewicz 2013: ryc. 10:5–6.
[111] Iwanowska 2015: ryc. 4:a.
[112] Łęga 1930: tabl. 51:307.
[113] Nadolski 1978: tabl. 9.

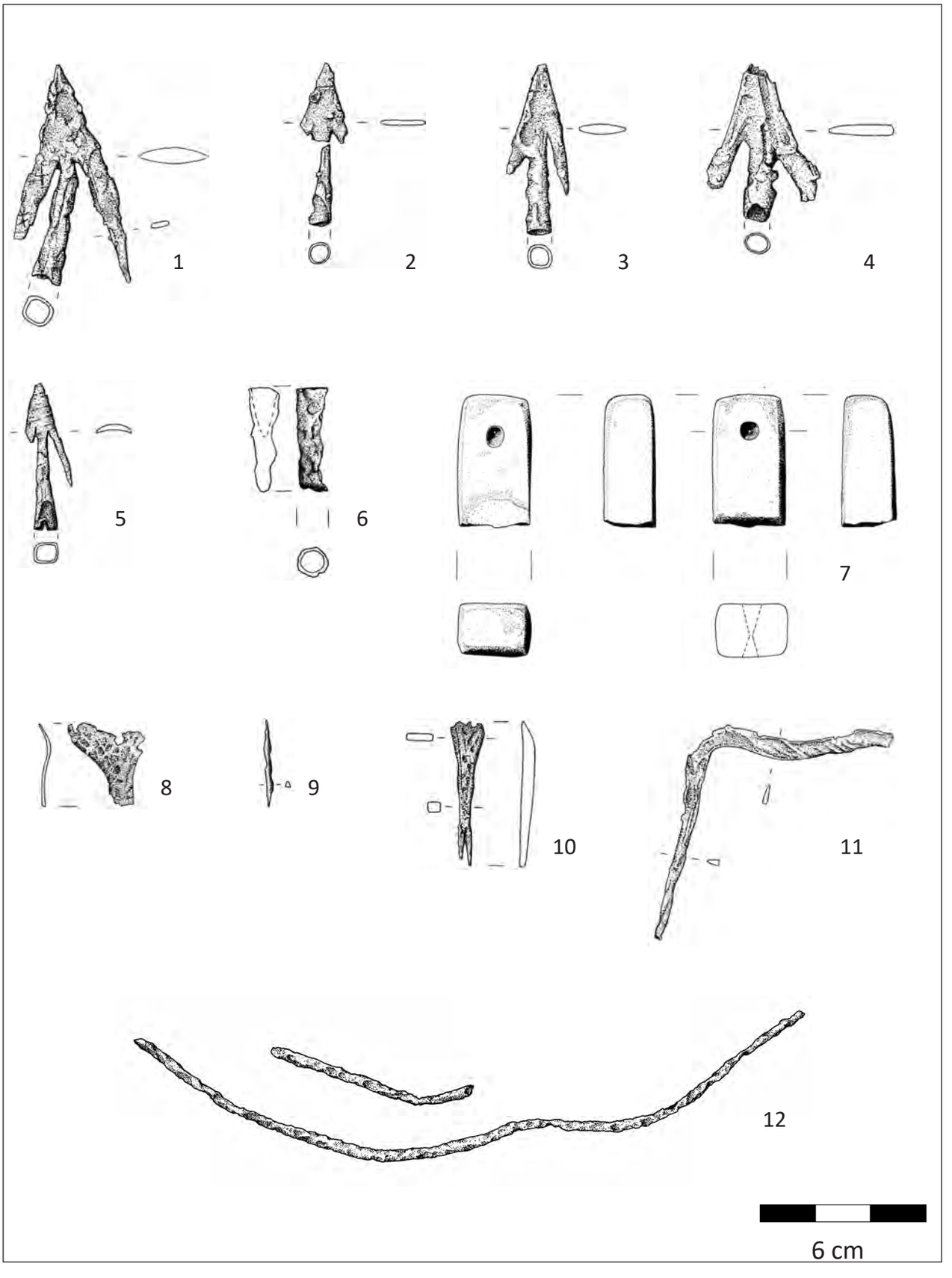

Tablica 21. Kamionka, st. 9. Zabytki wydzielone (rys. A. Kucharska-Wach)

Zabytki kamienne

W jednostce stratygraficznej 48 z Fazy IIIA znaleziono niewielką część kamiennej osełki (tabl.21:7) o równych, wypolerowanych ściankach i zaoblonych krawędziach. Osełka zachowana na długości ok. 4 cm, ma grubość ok. 2 cm, a przy zwężonym końcu jest widoczny otwór. Otwór nawiercano z dwóch stron, z jednej strony średnica otworu jest równa i wynosi 0,5 cm, z drugiej powierzchnia jest bardziej szeroko i nierówno rozwiercona na ok. 0,8 cm. Wskutek nierównego przewiercenia, powstały otwór ma szerokość jedynie ok. 0,05 cm.

KOŚCI LUDZKIE I ZWIERZĘCE[114]

ANNA JASKULSKA I ANNA GRĘZAK

W trakcie badań w 2012 r. odkryto łącznie 224 fragmenty kości i zębów. Znaczną część, bo aż 77 fragmentów stanowiły kości ludzkie znalezione głównie w zasypisku zagłębienia przywałowego. Prawdopodobnie należy wiązać je z wczesną epoką żelaza. Szczątki zwierzęce reprezentowane są jedynie przez gatunki hodowlane. Najliczniejszą grupę stanowią fragmenty kości i zębów koni.

SZCZĄTKI ROŚLINNE
Badania w roku 2013

KATARZYNA PIŃSKA I MONIKA BADURA

Materiał do badań przeprowadzonych w 2013 r. stanowiło osiem prób archeobotanicznych z warstw wczesnośredniowiecznych grodziska w Kamionce, st. 9. Wszystkie próby miały charakter mineralny z domieszką spalenizny. Każdą z nich poddano wstępnej ocenie pod względem zawartości szczątków roślinnych. Wydzielono z nich podpróby o objętości 300 ml oraz poddano flotacji ręcznej, która miała na celu oddzielenie frakcji organicznej od mineralnej. Następnie, posługując się mikroskopem stereoskopowym (przy powiększeniu ok. 16x) oceniono zawartość szczątków roślinnych. Na tej podstawie do dalszej analizy wytypowano pięć prób, w których wystąpiły ziarniaki zbóż oraz nasiona/owoce chwastów. W pozostałych próbach, poza fragmentami węgli drzewnych, nie zaobserwowano szczątków roślinnych.

Pięć prób o łącznej objętości 6100 ml, przeznaczonych do szczegółowej analizy, poddano flotacji w całości. Spalony materiał roślinny wyodrębniony z prób (tzw. flot) suszono na powietrzu w temperaturze pokojowej, a następnie sortowano pod mikroskopem stereoskopowym Nikon SMZ1000 przy powiększeniu do 16x, wyciągając wszystkie oznaczalne szczątki roślinne. Następnie materiał oznaczano przy powiększeniu do 80x, posługując się karpologiczną kolekcją porównawczą oraz kluczami i atlasami[115]. Nomenklaturę botaniczną przyjęto za *Flowering plants and Pteridophytes of Poland. A checklist*[116]. Interpretację fitosocjologiczną materiału oparto na *Ecological indicator values of vascular plants of Poland*[117].

W materiale wystąpiło 10946 spalonych szczątków roślinnych (głównie nasion i owoców). Zły stan zachowania uniemożliwił identyfikację gatunkową znacznej ich części. Łącznie odnotowano 36 taksonów, wśród których 22 to gatunki, 11 oznaczeń do poziomu rodzaju, 3 do poziomu rodziny; 5 taksonów to oznaczenia niepewne (cfr). W próbkach zaobserwowano dość duży udział przetrwalników grzyba *Coenococcum geophilum*. Liczba okazów nieoznaczonych (*Varia*) wynosi 66, co stanowi zaledwie 0,6% wszystkich odnotowanych szczątków.

Zróżnicowanie taksonomiczne materiału jest dość niewielkie. Wystąpiły tu przede wszystkim szczątki roślin uprawnych (głównie zboża) oraz chwastów segetalnych i ruderalnych (tab. 4).

Wśród roślin zbożowych najliczniej wystąpiły szczątki prosa, reprezentowane przez 2697 ziarniaków oraz 9 fragmentów plew (ryc. 24: B). Proso dominuje w większości prób. Zboże to wystąpiło w postaci dość silnie uszkodzonych, nagich ziarniaków. W pojedynczych przypadkach na ziarniakach zaobserwowano szczątkowo zachowane plewy. Kolejną pod względem liczby szczątków grupą są zboża *Cerealia* indet. (1,5 tysiąca okazów). Zaliczono do niej wszystkie fragmenty ziarniaków zbóż, których ze względu na bardzo zły stan zachowania oraz brak jednoznacznych cech diagnostycznych, nie udało się zakwalifikować do któregokolwiek gatunku. Udział nieoznaczonych zbóż *Cerealia* indet. waha się w próbach od 18 do 45%. We wszystkich próbach obecne były szczątki owsa (łącznie 106 ziarniaków) (ryc. 24: A). W dwóch próbach odnaleziono pojedyncze, bardzo drobne fragmenty plew owsa. Na podstawie nagich ziarniaków nie było możliwe określenie gatunku owsa. Być może w materiale mamy do czynienia z owsem zwyczajnym *Avena sativa* – gatunkiem uprawianym. Ważnym znaleziskiem w materiale jest pszenica *Triticum* sp., która wystąpiła w 4 próbach w łącznej liczbie 730 okazów (ryc. 24: E). Ogółem stanowi ona 14% szczątków wszystkich zbóż. Dość licznie (134 okazy) odnotowano żyto *Secale cereale* (ryc. 24: D). W materiale wystąpiła niewielka domieszka ziarniaków oznaczonych jako jęczmień *Hordeum vulgare*.

Oprócz zbóż, wśród roślin uprawnych wystąpiły szczątki spalonych nasion lnu zwyczajnego *Linum usitatissimum* (111 okazów) (ryc. 24: H) oraz pojedyncze znaleziska grochu zwyczajnego *Pisum sativum*.

[114] Szczegółowe opracowanie patrz: Grężak 2013: 297–300; Jaskulska 2013: 301–303.

[115] Cappers, Bekker i Jans 2006.

[116] Mirek *et al.* 2002.

[117] Zarzycki *et al.* 2002.

Tabela 4. Kamionka, st. 9. Szczątki archeobotaniczne zidentyfikowane w pięciu próbach z okresu wczesnego średniowiecza (oprac. K. Pińska i M. Badura)

TAKSON	LICZBA SZCZĄTKÓW
ZBOŻA	
Owies – *Avena* sp.	106
Owies (plewa) – *Avena* sp.	2
Zboża – *Cerealia* indet.	1371
Jęczmień zwyczajny – *Hordeum vulgare*	17
Proso zwyczajne – *Panicum miliaceum*	2697
Proso zwyczajne (plewa) – *Panicum miliaceum*	9
Żyto zwyczajne – *Secale cereale*	134
Pszenica – *Triticum* sp.	730
INNE UPRAWNE	
Len zwyczajny – *Linum usitatissimum*	111
Groch zwyczajny – *Pisum sativum*	1
cfr Groch zwyczajny – cfr *Pisum sativum*	1
ROŚLINY DZIKIE	
CHWASTY RUDERALNE I SEGETALNE	
Kąkol polny – *Agrostema githago*	11
Komosa biała – *Chenopodium album*	9
Komosa wielonasienna – *Chenopodium polyspermum*	1
Komosa – *Chenopodium* sp.	7
Rdestówka powojowata – *Fallopia convolvulus*	9
Poziewnik cfr szorstki – *Galeopsis* cfr *tetrahit*	4
Przytulia fałszywa – *Galium spurium*	27
Firletka poszarpana – *Lychnis flos–cuculi*	1
Bniec biały – *Melandrium album*	7
Bniec cfr biały – *Melandrium* cfr *album*	4
Mięta polna – *Mentha arvensis*	1
Babka lancetowata – *Plantago lanceolata*	1
Rdest ptasi – *Polygonum aviculare*	1
Rdest szczawiolistny – *Polygonum lapathifolium*	95
Szczaw polny – *Rumex acetosella*	2
Sporek polny – *Spergula arvensis subsp. vulgaris*	1
Wyka siewna – *Vicia* cfr *sativa*	1
LEŚNE	
Grab pospolity – *Carpinus betulus*	3
Malina właściwa – *Rubus* cfr *idaeus*	1
INNE O NIEOKREŚLONEJ PRZYNALEŻNOŚCI FITOSOCJOLOGICZNEJ	
Stokłosa – *Bromus* sp.	5
Turzyca – *Carex* sp.	1
Goździkowate – *Caryophyllaceae* indet.	2
Chaber – *Centaurea* sp.	1
Wargowate – *Lamiaceae* indet.	1
Mak – *Papaver* sp.	1
Rdest – *Polygonum* sp.	1
Trawy – *Poaceae* indet.	2
Szczaw – *Rumex* sp.	1
Przetacznik – *Veronica* sp.	2
POZOSTAŁE SZCZĄTKI	
Przetrwalniki grzyba *Coenococcum geophilum*	3387
Amorfy	14
Źdźbło fragment	6
Varia	66

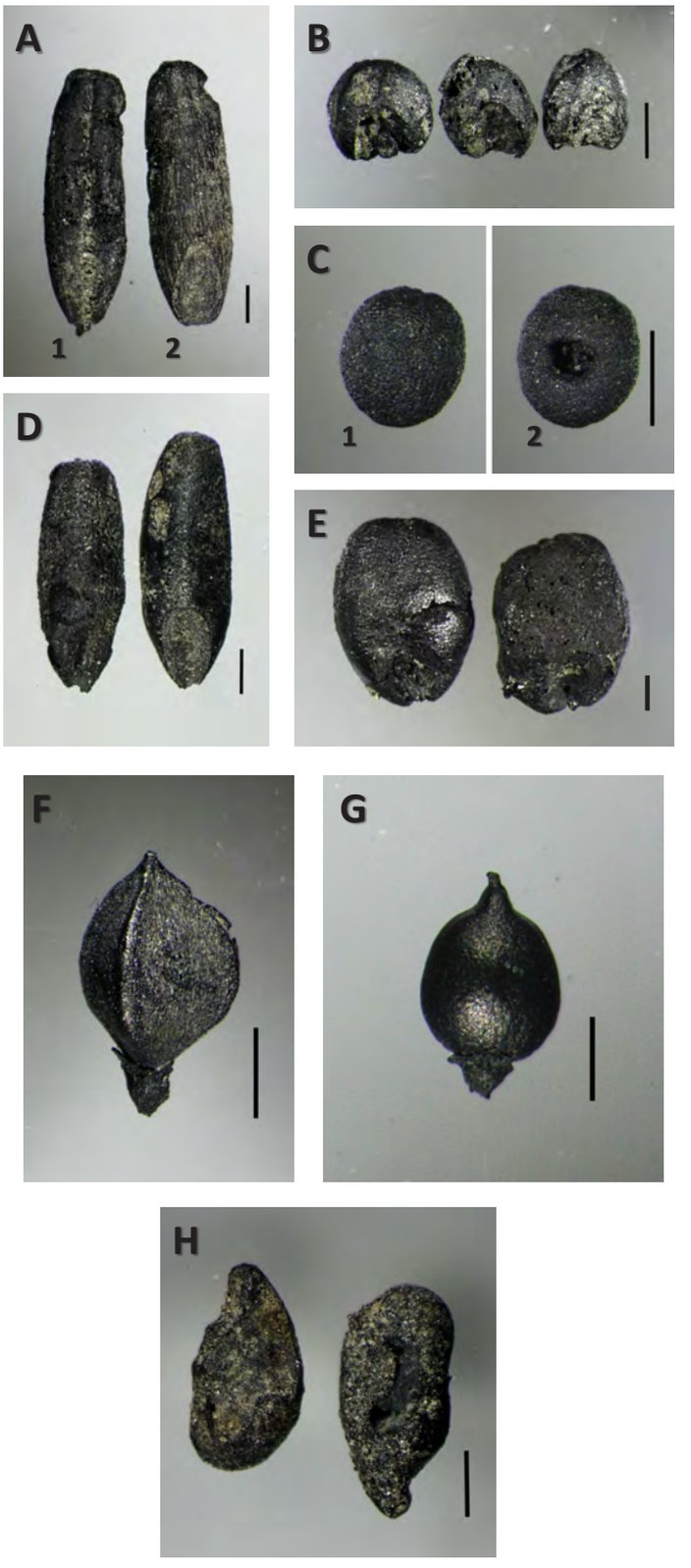

Ryc. 24. Kamionka, st. 9. Przykłady makroszczątków botanicznych z warstw wczesnośredniowiecznych z próbek badanych w roku 2013: A – owies (1 – strona brzuszna, 2 – strona grzbietowa); B – proso zwyczajne; C – przytulina fałszywa (1 – strona grzbietowa, 2 – strona brzuszna); D – żyto zwyczajne (od strony grzbietowej); E – pszenica; F – rdestówka powojowata; G – rdest szczawiolistny; H – len zwyczajny. Skala = 1 mm (fot. K. Pińska)

Grupa chwastów reprezentowana jest przez 182 okazy należące do 15 gatunków. Są to rośliny notowane zarówno w uprawach zbóż, jak i wśród roślin okopowych i ogrodowych, a także w zbiorowiskach roślin ruderalnych. Najliczniej wystąpił rdest szczawioslitny *Polygonum lapathifolium* (95 okazów) (ryc. 24: G), liczne są również m. in. nasiona przytulii fałszywej *Galium spurium* (27 okazów) (ryc. 24: C) oraz kąkola polnego *Agrostemma githago* L. (11 okazów).

Niewielki jest udział szczątków innych roślin dzikich. Odnotowano pojedyncze okazy grabu *Carpinus betulus* oraz maliny właściwej *Rubus* cfr *idaeus*. Oba gatunki charakterystyczne są dla zbiorowisk leśnych.

Analiza składu botanicznego materiału ze stanowiska wskazuje na bardzo podobny charakter wszystkich próbek. We wszystkich występują przede wszystkim szczątki zbóż, zwykle jest to mieszanka ziarniaków kilku gatunków: prosa, pszenicy, żyta, owsa oraz jęczmienia.

Podsumowując, należy stwierdzić, że wśród roślin uprawnych, na stanowisku wykorzystywano głównie zboże (proso, pszenicę, żyto, jęczmień) oraz len i groch. Nagromadzenie ziarniaków zbóż jest prawie zupełnie pozbawione plew, co może sugerować, że mamy do czynienia z oczyszczonym ziarnem (być może przygotowanym do konsumpcji). Oprócz szczątków roślin uprawnych, w materiale wystąpiły pozostałości chwastów towarzyszących uprawom oraz osiedlom ludzkim.

Badania w roku 2016

MARIA LITYŃSKA-ZAJĄC I MAGDALENA MOSKAL-DEL HOYO

Badania archeobotaniczne w roku 2016 objęły 33 próby z grodziska w Kamionce, st. 9, z których dwie nie zawierały żadnych pozostałości roślinnych. Cztery z nich pochodzą z obiektów datowanych na wczesną epokę żelaza, a 27 z wczesnego średniowiecza. Oznaczono łącznie 9362 okazy zwęglone, takie jak owoce i nasiona oraz drewna[118]. Wystąpiły także sklerocja grzyba czarniaka właściwego *Cenococcum geophilinum* oraz materiały niespalone, najprawdopodobniej będące wynikiem współczesnego zanieczyszczenia (tab. 5).

Z wczesnej epoki żelaza oznaczono pięć gatunków zbóż na podstawie morfologii ziarniaków i części oplewienia: jęczmień zwyczajny *Hordeum vulgare*, proso zwyczajne *Panicum miliaceum,* pszenica zwyczajna *Triticum aestivum* oraz pszenice oplewione: płaskurka *Triticum dicoccon* i orkisz *T. spelta*. Najliczniejsze były ziarniaki prosa zwyczajnego. Znaczny był też udział okazów nieoznaczonych zaliczonych do *Cerealia* indet.

W nawarstwieniach z wczesnego średniowiecza również najczęściej spotykane było proso zwyczajne. Natrafiono także na liczne ziarniaki pszenicy zwyczajnej. Mniejszy udział miały pszenice oplewione płaskurka i orkisz oraz jęczmień zwyczajny i żyto zwyczajne *Secale cereale*. Niemniej jednak najwięcej było nieoznaczonych okazów zaliczonych do *Cerealia* indet. Na ten okres datować można także pozostałe rośliny uprawne, wśród których znaleziono owoc lnicznika siewnego *Camelina sativa*, nasiona lnu zwyczajnego *Linum usitatissimum* oraz pojedyncze okazy grochu *Pisum sativum* i bobiku *Vicia faba* var. *minor*.

Z nawarstwień z wczesnej epoki żelaza pochodzą nieliczne szczątki roślin zielnych dzikich. Oznaczono 11 taksonów roślinnych do poziomu gatunku i rodzaju. W kilku próbach wystąpiły nasiona komosy białej *Chenopodium album* i owoców rdestówki powojowatej *Fallopia convolvulus*, natomiast pozostałe okazy znaleziono w pojedynczych próbach.

W materiałach wczesnośredniowiecznych rośliny zielne dzikie są znacznie lepiej reprezentowane. Oznaczono 36 taksonów, w większości do poziomu gatunku. Duży udział miały owoce i nasiona chwastów polnych (kąkol polny *Agrostemma githago*, stokłosa żytnia *Bromus secalinus*, włośnica sina lub okółkowa *Setaria viridis* vel *S. verticillata*, rdestówka powojowata *Fallopia convolvulus*, różne gatunki rdestu *Polygonum* sp., przytulia fałszywa *Galium spurium* i sporek polny *Spergula arvensis*). Liczne były nasiona komosy białej *Chenopodium album*, która także mogła rosnąć na polach uprawnych, ale też i na siedliskach ruderalnych. O występowaniu innych zbiorowisk roślinnych, takich jak łąki i pastwiska mogą świadczyć pozostałości stokłosy miękkiej *Bromus hordeaceus* i szczawiu polnego *Rumex acetosella*. Zbiorowiska leśne, najczęściej w postaci prześwietlonych lasów, zrębów i zarośli reprezentuje, wśród roślin zielnych dzikich, łoczyga pospolita *Lapsana communis*. Z tego typu zbiorowisk leśnych pochodziły owoce jadalne leszczyny zwyczajnej *Corylus avellana*, maliny właściwej *Rubus idaeus*, bzu czarnego *Sambucus nigra* oraz jabłoni *Malus* sp. Licznie i stosunkowo często wystąpiły owoce graba zwyczajnego *Carpinus betulus*.

Wśród węgli drzewnych zalegających w nawarstwieniach z epoki wczesnego żelaza udokumentowano osiem taksonów, w tym sześć określonych jako minimalna liczba taksonów. Oznaczono dwa taksony do poziomu gatunku (grab zwyczajny *Carpinus betulus* i sosna zwyczajna *Pinus sylvestris*), cztery do poziomu rodzaju (brzoza *Betula* sp., dąb *Quercus* sp., wierzba *Salix* sp. i lipa *Tilia* sp.). Natrafiono także na taksony zaliczone do wierzby *Salix* sp. lub topoli *Populus* sp. oraz do drzew lub krzewów gatunków liściastych. Najliczniejsze były fragmenty sosny, dębu i brzozy, które ponadto wystąpiły w wszystkich próbach.

W materiałach wczesnośredniowiecznych natrafiono na 14 taksonów, w tym 11 określonych jako minimalna liczba taksonów. Gatunki reprezentowane są przez cztery taksony (grab zwyczajny *Carpinus betulus*, leszczyna pospolita *Corylus avellana*, jesion wyniosły *Fraxinus excelsior* i sosna zwyczajna *Pinus sylvestris*), natomiast

[118] Opis metody: Lityńska-Zając i Moskal-del Hoyo 2016.

Tabela 5. Kamionka, st. 9. Spalone i niespalone szczątki roślinne z wczesnej epoki żelaza i wczesnego średniowiecza. Objaśnienia: typ szczątka: z – ziarniak, p – plewa, wkł - widełki kłoska, za – zarodek, sł – źdźbła i liście traw, o – owoc, n – nasiono, kł – kłosek, ło – łodyga, d – drewno, sp – szpilka, ko – kora, ły – łyko, ło – łodyga, sc – sklerocja, ? – nieokreślony (oprac. M. Lityńska-Zając i M. Moskal-del Hoyo)

Nazwa taksonu	Chronologia	Wczesna epoka żelaza				Wczesne średniowiecze																			Suma
	Numer jednostki stratygraficznej / typ szczątka	218	125	215	209	28	81	60	41	50	51	84	85	53	140	123	155	314	95	168	171	216	106	48	
Szczątki spalone																									
Hordeum vulgare	z	1	8		5					6		1	5		5		2				2	6		3	**44**
Panicum miliaceum	z	1	210					7	1	243	32	128	102	14	443	17	18			17	24			146	**1403**
Secale cereale	z										4	9	3	1	6					1		1		1	**26**
Triticum aestivum	z	1	9		3					12	78	5	20	2	232	39	1			2	7			10	**421**
Triticum dicoccon	p	1	1																						**2**
Triticum dicoccon	wkł		9		4																	1			**14**
Triticum dicoccon	z	2	7		3																	1			**13**
Triticum spelta	p		3																				1		**4**
Triticum spelta	wkł		5																						**5**
Triticum spelta	z		4										1												**5**
Cerealia indet.	sł													35			2								**37**
Cerealia indet.	z	56	261	9	120	5		4		263	1176	463	723	29	854	219	50	15		19	151	57		131	**4605**
Cerealia indet.	za		1												1										**2**
Cerealia indet. vel Poaceae indet.	sł											1													**1**
Cerealia indet. vel Poaceae indet.	z										100														**100**
Camelina sativa	o												1												**1**
Linum usitatissimum	n										6	1			24						1				**32**
Pisum sativum	n											1													**1**
Vicia faba var. minor	n														1										**1**
Agrostemma githago	n									1			1		8										**10**
Bromus hordeaceus	z		1							1															**2**
Bromus secalinus	z									3	3		2		3					1				2	**14**
Chenopodium album	n	1	1							4	3		5	12	6	1	1				9				**43**
Echinochloa crus-galli	z									1	2	2													**5**
Fallopia convolvulus	o	1	2							2	1	1		2	2		1								**12**
Galeopsis tetrahit	o														1										**1**
Galium aparine	o										1	1													**2**
Galium spurium	o										5	1	1		4						1			1	**13**
Lapsana communis	o														2										**2**
Melandrium album	n														2		1								**3**
Plantago lanceolata	n												2		1										**3**
Poa annua	z									1															**1**
Polycnemum arvense	n																1								**1**
Polygonum mite	o		2							3	2	4			13	4				1				2	**31**
Polygonum minus	o											3	3		3		1								**10**

Tabela 5. Ciąg dalszy

Nazwa taksonu	Chronologia	Wczesna epoka żelaza				Wczesne średniowiecze																				Suma
	Numer jednostki stratygraficznej / typ szczzątka	218	125	215	209	28	81	60	41	50	51	84	85	53	140	123	155	314	95	168	171	216	106	48	
Polygonum minus vel *P. mite*	o													1											**1**
Polygonum persicaria	o		2										2			1									**5**
Prunella vulgaris	o																							1	**1**
Rumex crispus	o													1	1	1									**3**
Rumex acetosella	o											1		1	1										**3**
Sambucus nigra	n												1												**1**
Saponaria officinalis	n													3											**3**
Setaria pumila	z										2		13		1										**16**
Setaria viridis vel *S. verticillata*	kł														2										**2**
Setaria viridis vel *S. verticillata*	z		3							7		1	2			1					1				**15**
Spergula arvensis	n												1	2											**3**
Stellaria graminea	n														1										**1**
Urtica dioica	o													2											**2**
Atriplex sp.	n									1															**1**
Brassica sp.	n		1											1											**2**
Bromus sp.	z				1					1	5	1	2			1								2	**13**
Chenopodium sp.	n													1											**1**
Galium sp.	o															1									**1**
Polygonum sp.	o		1							1	6	3	1	1	19	4	1							1	**38**
Stellaria sp.	n		1																						**1**
Vicia sp.	n				1							2			1										**4**
Brasicaceae indet.	n										1														**1**
Caryophyllaceae indet.	n											2			3						1				**6**
Chenopodiaceae indet.	n																1								**1**
Fabaceae indet.	n												1												**1**
Poaceae indet.	ło													40											**40**
Poaceae indet.	p														1										**1**
Poaceae indet.	z													4						1					**5**
Carpinus betulus	d	1	1	2		1	3		3	12	14	14	7	1	2	14	12			1	2			17	**107**
Carpinus betulus	o	2	1		1	4				2	4	7	8	2	2	19	3			1	4			8	**68**
Corylus avellana	d					3				2	2	1			2	6								1	**17**
Corylus avellana	o				1																				**1**
Fraxinus excelsior	d					1		1		1	4	2	1	33								1		2	**46**
Pinus sylvestris	d	17	14	6	15	11	2		16	37	12	49	14	37	14		12	9	1	19	54	20	2	6	**367**
Pinus sylvestris	sp											2													**2**

Tabela 5. Ciąg dalszy

Nazwa taksonu	Chronologia	Wczesna epoka żelaza				Wczesne średniowiecze																			Suma
	Numer jednostki stratygraficznej / typ szczzątka	218	125	215	209	28	81	60	41	50	51	84	85	53	140	123	155	314	95	168	171	216	106	48	
Acer sp.	d											1	1	3	2										**7**
Alnus sp.	d											2		1							1				**4**
Betula sp.	d	5	6	4	1	2	1		4	10	5	4	1	1	5	15	8			2	2	1		3	**80**
Malus sp.	n									3			1			1									**5**
Populus sp. vel *Salix* sp.	d	2				1	1		2			1			1										**8**
Quercus sp.	d	10	19	6	1	7	31	1	9	26	9	24	13	4	14	2	21	4	4	15		8	3	10	**241**
Salix sp.	d				1																				**1**
Tilia sp.	d				21			3		3	3		3									1	5		**39**
Ulmus sp.	d						1																		**1**
Betulaceae	d																1						1		**2**
Coniferae indet.	d																1			3	1				**5**
Coniferae indet.	sp													20											**20**
liściaste	d	5		1	1		1	2	1	5	1	2			2	4	1		1			3	6		**36**
nieoznaczony	?	128	53	6					3	146	8	105	279	103	185		57			27	10	1	4	73	**1188**
nieoznaczony	d	1			2					3				1			4		1		1	1	2	1	**17**
nieoznaczony	ko											3	3	17		10	1		1		1	3			**39**
nieoznaczony	ło																				14				**14**
nieoznaczony	ły	3			2																				**5**
Suma		**238**	**626**	**34**	**183**	**35**	**40**	**18**	**39**	**800**	**1489**	**848**	**1223**	**375**	**1870**	**360**	**201**	**28**	**8**	**110**	**287**	**105**	**24**	**421**	**9362**
Cenococcum geophilinum	sc	100	261	117	100	75		12	11	180		91	472	398	81	85	157	19	30	35	299	175	21	69	**2788**
Szczątki niespalone																									
Knautia arvensis	o													1											**1**
Polygonum mite	o								1																**1**
Urtica dioica	o										1			1										1	**3**
Urtica urens	o												1												**1**
Veronica arvensis	n													2											**2**
Vicia cracca	n																				1				**1**
Betula pendula	łu								1	1															**2**
Betula pendula	o								4	1			1				1		1						**8**
Rubus idaeus	n												1								1			4	**6**
Sambucus nigra	n								2																**2**
Alnus sp.	o												1												**1**
Rubus sp.	n									11															**11**
Suma									**8**	**13**	**1**		**4**	**4**			**1**		**1**		**2**			**5**	**39**

sześć taksonów oznaczono do poziomu rodzaju (klon *Acer* sp., olsza *Alnus* sp., brzoza *Betula* sp., dąb *Quercus* sp., lipa *Tilia* sp. i wiąz *Ulmus* sp.). Nieliczne fragmenty oznaczono jako *Salix* sp. lub *Populus* sp., Betulaceae oraz drzewa i/lub krzewy liściaste. Fragmenty sosny i dębu były zarówno najliczniejsze, jak i najczęstsze. Stosunkowe licznie wystąpiły też szczątki graba, brzozy i jesionu.

DENDROLOGIA[119]

TOMASZ STĘPNIK

Pod względem dendrologicznym przebadano 22 próby węgli drzewnych z grodziska w Kamionce, st. 9. Analizowany materiał pochodził z wczesnej epoki żelaza (1 próbka z nasypu wału) oraz z okresu wczesnego średniowiecza: ze spalonej konstrukcji wału, z zagłębienia przywałowego, z poziomu użytkowego na majdanie i z wypełniska fosy. Próbka z wczesnej epoki żelaza pochodziła z drewna sosny, natomiast próbki z konstrukcji wału wczesnośredniowiecznego wykazały, ze był on zbudowany przede wszystkim z drewna dębowego, z niewielką domieszką grabiny i sośniny.

CHRONOLOGIA STANOWISKA

URSZULA KOBYLIŃSKA

Na podstawie analizy materiału ceramicznego wydzielono trzy główne horyzonty chronologiczne. Pierwszy to okres wczesnej epoki żelaza. Należy łączyć go z Fazą I funkcjonowania grodziska. Powstał wówczas prawdopodobnie wał oraz dwie palisady po jego wewnętrznej stronie. Ten okres należy wiązać z fazą II–III kultury kurhanów zachodniobałtyjskich. Drugi to okres wczesnego średniowiecza. Warstwy wiązane z tym horyzontem przypisano do Fazy III, kiedy to powstało grodzisko z jego wałami i fosą oraz kiedy było ono użytkowane. Ten okres datować należy na od końca XI do połowy XIII w. Trzeci okres przypada na późne średniowiecze i czasy nowożytne. Nawarstwienia te powiązano z Fazą IV i Fazą V i należy je datować na XIV–XVI w.

Dla znalezisk z grodziska w Kamionce, st. 9 uzyskano także datowanie absolutne metoda radiowęglową. Do analizy wybrano fragment węgla drzewnego z warstwy 155 (W1), będącej pozostałością najstarszego wczesnośredniowiecznego poziomu komunikacyjnego po wewnętrznej stronie wału. Uzyskano wynik 1125 ± 30 BP, które po kalibracji wskazuje na przedział lat 862–991 AD z prawdopodobieństwem 89,7%. Wynik tego datowania, jeśli przyjmiemy górną granicę tego przedziału, potwierdza początek wczesnośredniowiecznej aktywności na terenie grodziska w Kamionce, st. 9 na przełomie X i XI w. Tak zatem należy datować początek Fazy IIIA.

DZIEJE GRODZISKA W KAMIONCE, ST. 9

MAGDALENA RUTYNA I DARIUSZ WACH

Grodzisko w Kamionce, st. 9 usytuowane zostało na wysokim cyplu, posiadającym naturalne walory obronne. We wczesnej epoce żelaza wzniesiono wał oraz po jego wewnętrznej stronie dwie linie palisad. Niewielka ilość ceramiki pochodzącej z tego okresu może świadczyć o tym, że miejsce to pełniło wówczas funkcję refugium. Po zapewne krótkim okresie funkcjonowania stanowisko to zostało opuszczone.

Teren grodziska zaczęto ponownie użytkować we wczesnym średniowieczu, najprawdopodobniej na przełomie X/XI w. lub w początkach XI w. Na podstawie odkrytych nawarstwień kulturowych stwierdzić można, że co najmniej trzykrotnie naprawiano wał. W Fazie IIIA powstał najstarszy wał grodziska wczesnośredniowiecznego, a po jego wewnętrznej stronie (od strony majdanu) zbudowano dwa poziomy komunikacyjne. Po zniszczeniu wału z Fazy IIIA w Fazie IIIC dochodzi do naprawy wału. Po wewnętrznej stronie wału wzniesiono drewnianą palisadę mającą spełniać funkcję ściany oporowej. Wał z tego okresu z nieznanych przyczyn uległ zniszczeniu. Po jakimś czasie, w Fazie IIIH, po raz kolejny naprawiono wał. Prawdopodobnie zachowane doły posłupowe są pozostałościami palisady. Z okresem tym należy również wiązać funkcjonowanie zagłębienia przywałowego oraz majdanu. W zagłębieniu przywałowym zidentyfikowano trzy poziomy użytkowe z brukami kamiennymi oraz prawdopodobnie obiekt mieszkalny (Faza IIIF). Natomiast na majdanie zidentyfikowano pięć poziomów użytkowych, w tym kilka jam (Faza IIIG), obiekt mieszkalny (Faza IIIF) oraz zapewne pozostałości drewnianego moszczenia dookolnej ulicy (Faza IIIH).

Także we wczesnym średniowieczu powstała i funkcjonowała fosa. Kolejne poziomy kamieni występujące w fosie niemal dokładnie w tym samym miejscu, jedynie na różnej głębokości, świadczą o tradycji naprawiania lub odtwarzania kamiennych murów.

Prawdopodobnie grodzisko zostało opuszczone w XIII w. Jakiegoś rodzaju forma działalności na tym terenie musiała jednak mieć miejsce również w czasach późnośredniowiecznych i wczesnonowożytnych, o czym świadczą znaleziska ceramiki z XIV–XVI w.

Obecnie stanowisko to niszczone jest przez detektorystów.

[119] Szczegółowe opracowanie patrz Stępnik 2016: zwł. 240–241.

Laseczno Małe, st. 1

Gmina Iława
Powiat iławski
AZP 28-51/8
Współrzędne geograficzne:
N 53° 35’ 27’’
E 19° 24’ 15’’

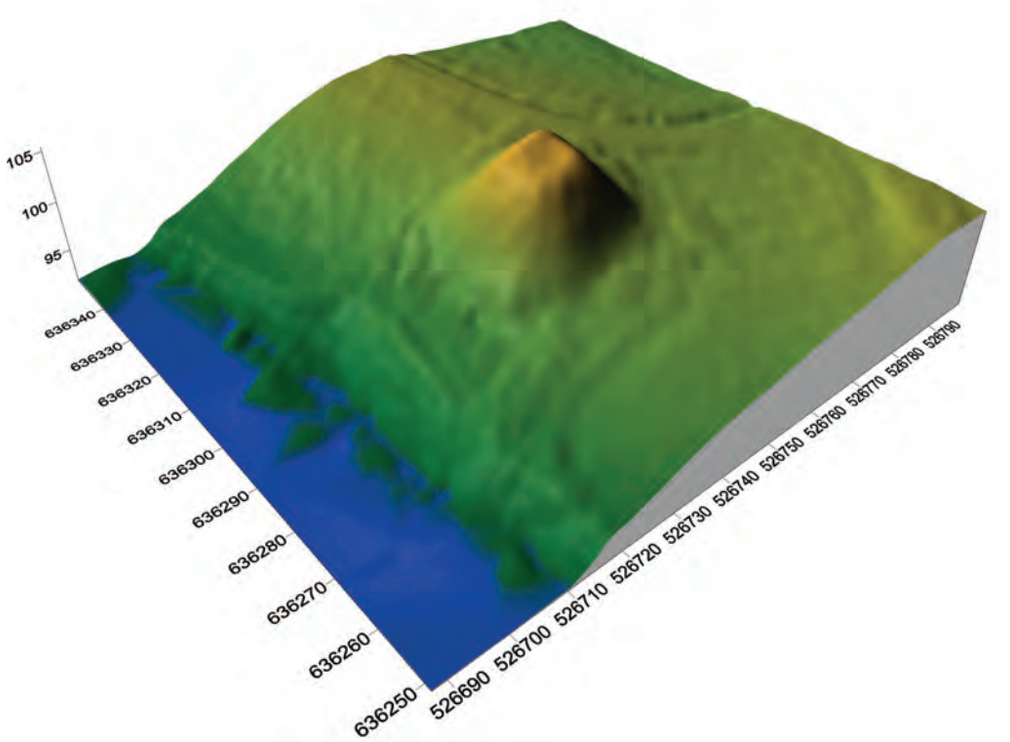

Laseczno Małe, st. 1

Ryc. 1. Grodzisko w Lasecznie Małym, st. 1 na mapie w skali 1:25 000 (na podstawie materiałów CODGiK, oprac. R. Solecki)

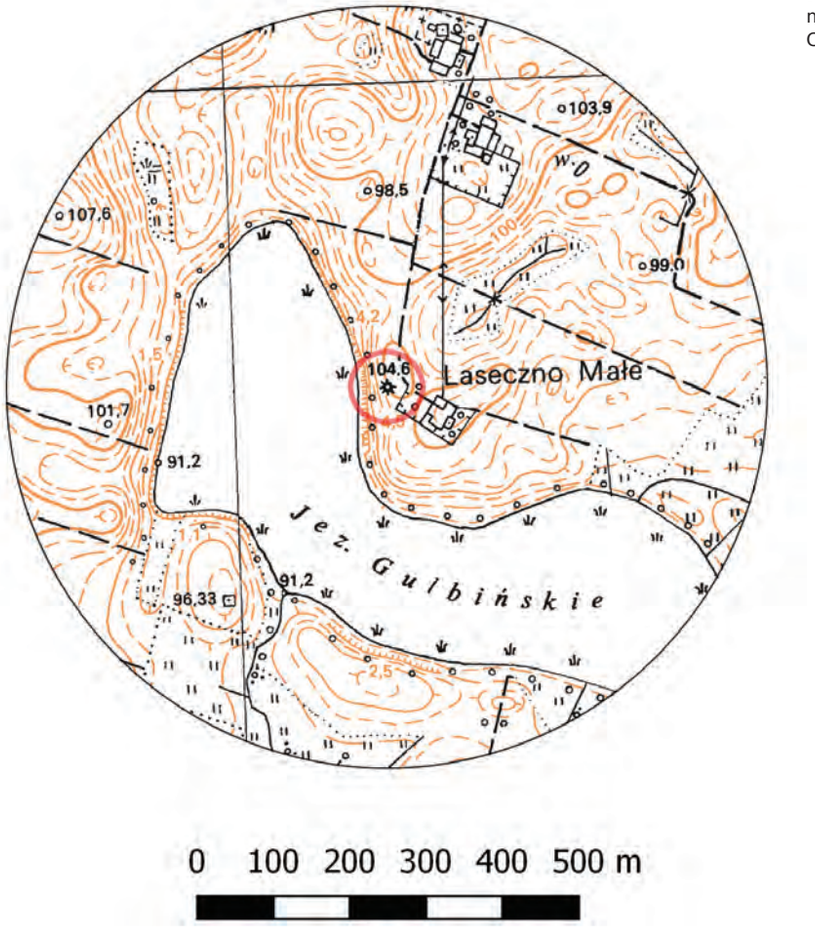

Ryc. 2. Grodzisko w Lasecznie Małym, st. 1 na mapie w skali 1:10 000 (na podstawie materiałów CODGiK, oprac. R. Solecki)

POŁOŻENIE GRODZISKA I JEGO FORMA

MAGDALENA RUTYNA I JACEK WYSOCKI

Grodzisko znajduje się na wysoczyźnie przy wschodniej krawędzi doliny jeziora Gulbińskiego (ryc. 1–2). Ma niewielkie rozmiary, ale wyróżnia się bardzo wyraźnie w morfologii terenu. Kształt obiektu i jego położenie na płaskim wzgórku nie pozostawia wątpliwości, że forma ta jest od podstawy po wierzchołek zbudowana przez człowieka (ryc. 3). Tworzy ono formę stożka z podstawą szeroką na kilkadziesiąt metrów i płaskim wierzchołkiem kilkunastometrowej średnicy z punktem wysokościowym 104,6 m n.p.m. Wysokość obiektu wynosi około 5 m, a jego zbocza są strome, przekraczają nachylenie 45°. Stożek ma około 30 metrów średnicy przy podstawie i ok. 10 metrów średnicy na górnym *plateau* (ryc. 4–5).

ŚRODOWISKO FIZYCZNO-GEOGRAFICZNE

JERZY NITYCHORUK I FABIAN WELC

Grodzisko w Lasecznie Małym ma kształt stożka i leży na wysoczyźnie polodowcowej w pobliżu Jeziora Gulbińskiego. W jego okolicy występują gleby brunatne, wytworzone na podłożu gliniastym.

Na podstawie *Szczegółowej mapy geologicznej Polski 1:50 000 ark. Kisielice*[1] można stwierdzić, że grodzisko leży na glinie zwałowej stadiału górnego zlodowacenia Wisły. Glina ta występuje tu powszechnie tworząc wysoczyznę polodowcową urozmaiconą pagórkami kemów na zachód od stanowiska i moren martwego lodu na wschodzie. Z sytuacji geomorfologicznej i geologicznej wynika, że od wschodu i południa do Jeziora Gulbińskiego przylegają płaskie równiny torfowe, pod którymi kryją się gytie jeziorne, dokumentujące większy niż obecnie zasięg jeziora w holocenie. Na południowym wschodzie rozciąga się obszar zbudowany z piasków, iłów i mułków zastoiskowych. Przeważają tu gleby płowe na glinach zwałowych, a w otoczeniu samego jeziora występują słabej jakości gleby bagienne (ryc. 6).

Na stanowisku wykonano cztery wiercenia geologiczne. Na podstawie wierceń wiadomo jest, że do budowy obiektu posłużył piasek różnoziarnisty ze żwirem i glina piaszczysta, brązowa, miejscami zwarta. Na głębokości 3,6–3,7 m występuje bardzo charakterystyczna warstwa piasku różnoziarnistego, zabarwionego na szaro częściami humusowymi, co prawdopodobnie pochodzi od procesów glebowych i może być uznane za podstawę, od której rozpoczęto usypywanie obiektu. Występujący poniżej, od 3,8 m, aż do 6 m głębokości, piasek różnoziarnisty ze żwirem, miejscami gliniasty, nie nosi śladów redepozycji, a zatem można go uznać za calec (ryc. 7).

Na podstawie sytuacji geologiczno-geomorfologicznej można zauważyć, że podstawa obiektu leży na głębokości 3,7 m od jego górnej powierzchni, a sam obiekt ma około 5 m wysokości. Z tego faktu wynika to, że materiału do budowy użyto z najbliższej okolicy obiektu, w tym z płytkiego rowu go opasującego – fosy. Pobierane osadów w pobliżu obiektu sprawiło, że zwiększyła się jego wysokość względna, w stosunku do pierwotnego ukształtowania powierzchni terenu. Prowadzone przez długi okres czasu działania rolnicze w bezpośrednim sąsiedztwie obiektu zatarły rysy powierzchni terenu, z czasów jego funkcjonowania.

BADANIA ARCHEOLOGICZNE

MAGDALENA RUTYNA I JACEK WYSOCKI

Przebieg badań terenowych

Grodzisko, w literaturze przedwojennej określane miejscową nazwą *Kaninkenberg* lub *Kaninchenberg*[2], zaznaczone było na mapie grodzisk W. Antoniewicza i Z. Wartołowskiej. Wpisane zostało do rejestru zabytków w roku 1968.

Badania w ramach projektu *Katalog grodzisk Warmii i Mazur* przeprowadzono w roku 2012. Badania objęły prospekcję geofizyczną i wykopaliska[3]. Wykopy na górnej powierzchni stożka zajęły powierzchnię

[1] Uniejewska 2003.

[2] Töppen 1876: 134–135; Heym 1933: 221; Crome 1937: 123.

[3] Wysocki i Klęczar 2013: 335–339.

Ryc. 3. Laseczno Małe, st. 1. Widok grodziska od strony wschodniej (fot. J. Wysocki)

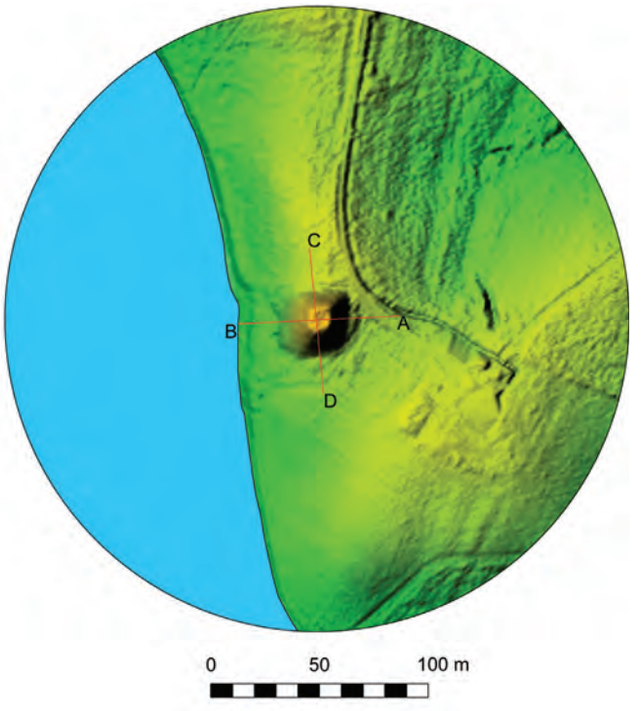

Ryc. 4. Grodzisko w Lasecznie Małym, st. 1 na zobrazowaniu ALS (na podstawie materiałów CODGiK, oprac. R. Solecki)

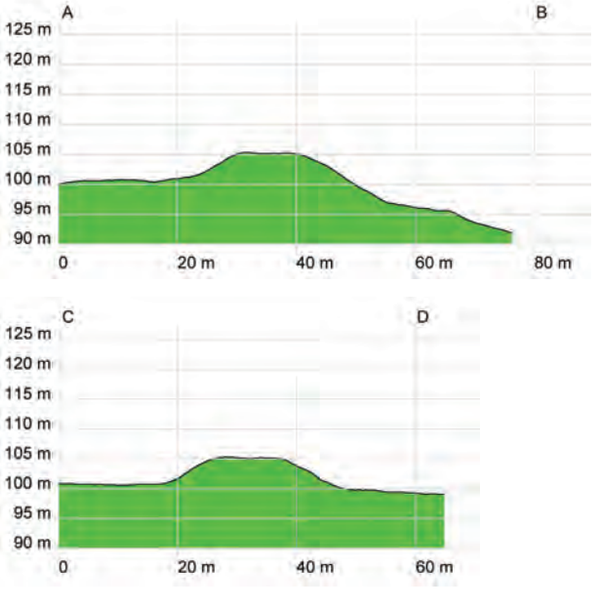

Ryc. 5. Przekroje grodziska w Lasecznie Małym, st. 1 uzyskane z danych ALS (na podstawie materiałów CODGiK, oprac. R. Solecki)

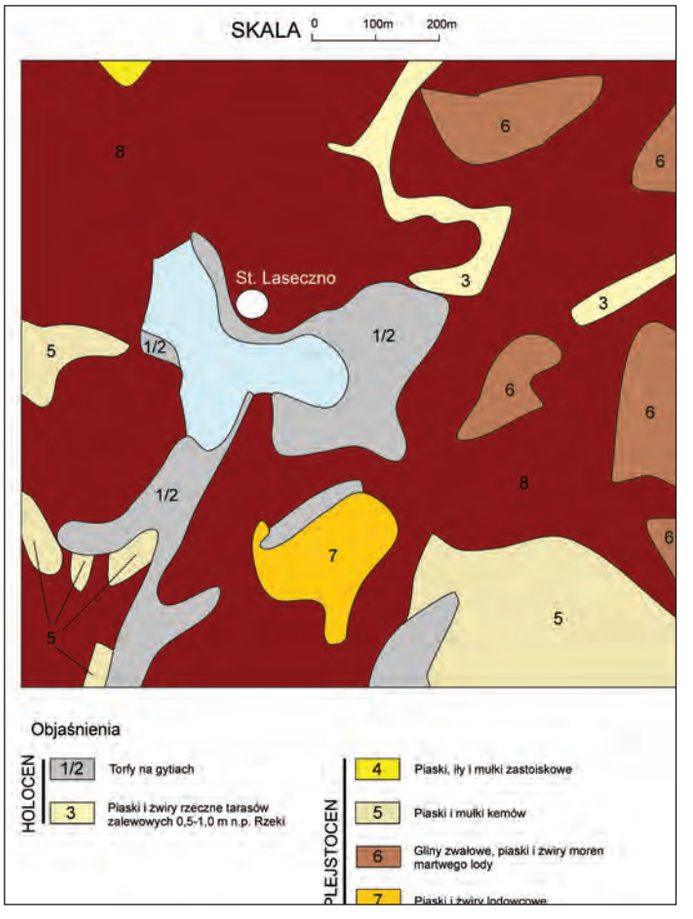

Ryc. 6. Mapa geologiczna okolic grodziska w Lasecznie Małym, st. 1 (oprac. J. Nitychoruk i F. Welc)

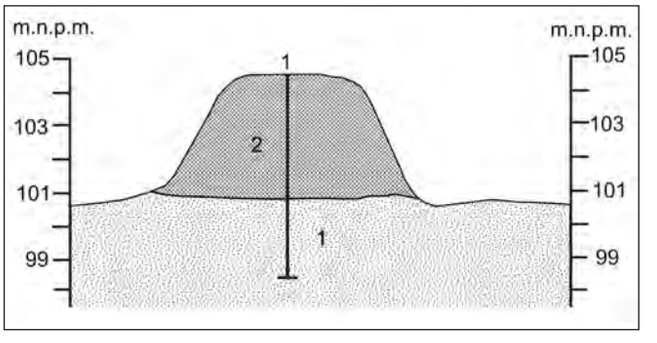

Ryc. 7. Przekrój geologiczny przez grodzisko w Lasecznie Małym, st. 1: 1 – piaski różnoziarniste ze żwirem, miejscami gliniaste; 2 – nasyp antropogeniczny (oprac. J. Nitychoruk i F. Welc)

45 m², a wykop otwarty pod grodziskiem w poszukiwaniu domniemanej fosy miał powierzchnię 20 m².

Wykop 1, o wymiarach 4 x 5 m, założono w północnej części górnej platformy stożka.

Wykop 2, o powierzchni 4 x 5 m, założono w południowej części górnej platformy stożka.

Wykop 3, o wymiarach 2 x 10 m, założono u podnóża stożka od północy w miejscu domniemanej fosy.

Wykop 4, o wymiarach 2 x 3 m, założony w centrum górnej platformy stożka, między wykopami 1 i 2, w celu uzupełnienia obrazu stratygrafii poziomej i pionowej.

Ogółem przebadano 66 m² grodziska (ryc. 9).

Stratygrafia stanowiska

W trakcie badań archeologicznych wydzielono łącznie 43 jednostki stratygraficzne, które podzielono na 5 głównych faz związanych z użytkowaniem tego obszaru (tab. 1 i ryc. 10).

Warstwy naturalne

Nawarstwienia kulturowe spoczywały na naturalnej tłustej brunatnej glinie 17=34.

Faza I

Do budowy stożka wykorzystano tłustą glinę, z której zbudowana jest wysoczyzna moreny dennej otaczającego terenu. W wykopach 1, 2 i 4 zarejestrowano obecność warstwy użytkowej związanej z sypaniem stożka. Reprezentuje ją sypki, jednorodny piasek 35. Z horyzontem tym należy zapewne wiązać wykopanie fosy, która miała szerokość ok. 8 m i głębokość ok. 1,7 m. Zarys fosy, która nie została wykryta metodami geofizycznymi, możliwy jest do odtworzenia jedynie na podstawie konsystencji brunatnej warstwy ilastej, która poniżej poziomu wykopanego zagłębienia ma strukturę skały łupliwej, z występującymi w niej wytrąceniami węglanu wapnia, natomiast w wypełnisku zagłębienia ma strukturę amorficzną, bez wytrąceń. W fosie nie zarejestrowano żadnych śladów namuliska czy poziomu humusowanego. Zagłębienie zostało zatem bardzo szybko wypełnione materiałem z najbliższego otoczenia. Oznacza to, że kopiec w założeniu nie miał pełnić funkcji obronnych, więc fosa wokół niego była zbędna, a nawet utrudniała szybki dostęp do obiektu. W wypełnisku fosy (W3) zidentyfikowano następujące warstwy: zbity, zgliniony piasek 44, zbity, zgliniony piasek 9, zbity, zgliniony piasek 12, zbity, zgliniony piasek 13, zgliniony piasek ze żwirem 14, niejednorodny, zgliniony piasek 24, niejednorodny, zgliniony piasek 25, niejednorodny, zgliniony piasek 23, niejednorodny, zgliniony piasek 22, mocno zgliniony, niejednorodny piasek 21 oraz mocno zgliniony piasek 16.

Ryc. 8. Mapa warstwicowa grodziska w Lasecznie Małym, st. 1 i jego okolic, wykonana na podstawie stereofotografii z drona (oprac. W. Małkowski)

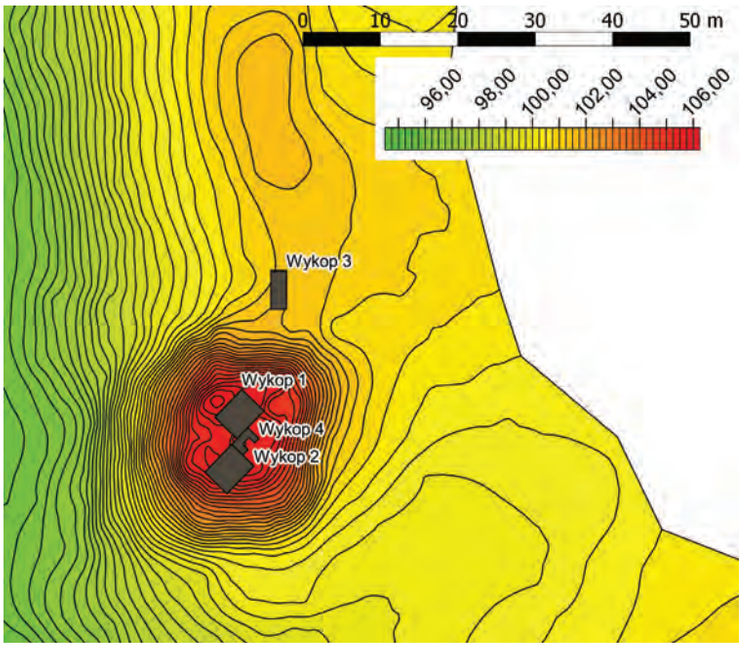

Ryc. 9. Plan warstwicowy grodziska w Lasecznie Małym, st. 1 z zaznaczonymi wykopami badawczymi z roku 2012 (na podstawie pomiarów W. Małkowskiego, oprac. R. Solecki)

Tabela 1. Laseczno Małe, st. 1. Badania w roku 2012. Katalog warstw i obiektów oraz ich zależności stratygraficznych (oprac. M. Rutyna)

Numer jednostki	Numer obiektu	Numer wykopu	Położenie w obrębie stanowiska	Opis jednostki stratygraficznej	Barwa (Munsell)	Pozycja stratygraficzna	
						Znajduje się pod	Znajduje się nad
1		1, 2, 3, 4	Stożek oraz u podnóża stożka	Zgliniony, lekko ziemisty piasek; miąższość do 30 cm; humus	2,5Y 3/1	-	2, 40, 33, 28, 3, 27, 4, 5, 6, 7
2		1, 2, 4	Stożek oraz u podnóża stożka	Zgliniony, drobnoziarnisty piasek; miąższość do 50 cm; poziom użytkowy	2,5Y 5/4	1, 8	35
3=36=40		1, 2, 4	Górna platforma stożka	Zgliniony piasek z wtrętami węgla drzewnego; miąższość do 20 cm; prawdopodobnie relikt lekkiej konstrukcji drewnianej zapewniającej osłonę przed niesprzyjającymi warunkami atmosferycznymi, typu wiata lub szopa	2,5Y 3/3, 4/2, 6/4	1	2, 8, 35
4	39	2	W południowej części górnej platformy stożka	Niejednorodny, zgliniony piasek; wypełnisko obiektu 38	10YR 3/3	1	38
8		4	W centrum górnej platformy stożka	Twardy, silnie zgliniony piasek; miąższość do 30 cm; poziom użytkowy	5YR 5/6	3	2
9		3	U podnóża stożka od północy w miejscu domniemanej fosy	Zbity, zgliniony piasek; miąższość do 50 cm; wypełnisko fosy	2,5Y 4/4	1, 43	11, 10, 21, 12, 24
10		3	U podnóża stożka od północy w miejscu domniemanej fosy	Zgliniony piasek; miąższość do 10 cm; wypełnisko fosy	7,5YR 6/4	9	11
11		3	U podnóża stożka od północy w miejscu domniemanej fosy	Zgliniony piasek; miąższość do 20 cm; wypełnisko fosy	2,5Y 5/4	9, 10	12, 13
12		3	U podnóża stożka od północy w miejscu domniemanej fosy	Zgliniony piasek; miąższość do 60 cm; wypełnisko fosy	2,5Y 4/3	9, 11, 1	13, 24, 22
13		3	U podnóża stożka od północy w miejscu domniemanej fosy	Zbity, zgliniony piasek; miąższość do 40 cm; wypełnisko fosy	2,5Y 5/4	12, 24	14, 16
14		3	U podnóża stożka od północy w miejscu domniemanej fosy	Zgliniony piasek ze żwirem; miąższość do 40 cm; wypełnisko fosy	7,5YR 4/4	13	17, 23, 16
16		3	U podnóża stożka od północy w miejscu domniemanej fosy	Zgliniony piasek; miąższość do 20 cm; wypełnisko fosy	10YR 4/4	13	17
17=34		3	U podnóża stożka od północy w miejscu domniemanej fosy	Gliniasty piasek; calec	10YR 4/6, 5/4	14, 16, 22	-
20	43	3	U podnóża stożka od północy w miejscu domniemanej fosy	Zgliniony, niejednorodny piasek; wypełnisko obiektu 43	2,5Y 4/3	1	43
21		3	U podnóża stożka od północy w miejscu domniemanej fosy	Mocno zgliniony, niejednorodny piasek; miąższość do 20 cm; wypełnisko fosy	2,5Y 5/4	1	12
22		3	U podnóża stożka od północy w miejscu domniemanej fosy	Niejednorodny, zgliniony piasek; miąższość do 20 cm; wypełnisko fosy	2,5Y 4/3	12	17
23		3	U podnóża stożka od północy w miejscu domniemanej fosy	Niejednorodny, zgliniony piasek; miąższość do 10 cm; wypełnisko fosy	10YR 4/4	14	17
24		3	U podnóża stożka od północy w miejscu domniemanej fosy	Niejednorodny, zgliniony piasek; miąższość do 10 cm; wypełnisko fosy	10YR 4/6	9, 12	25, 13
25		3	U podnóża stożka od północy w miejscu domniemanej fosy	Niejednorodny, zgliniony piasek; miąższość do 20 cm; wypełnisko fosy	10YR 4/6	24	17
26		3	U podnóża stożka od północy w miejscu domniemanej fosy	Zgliniony, niejednorodny piasek; miąższość do 20 cm; warstwa erozyjna	10YR 4/3	1	36
27	38	1	W północnej części górnej platformy stożka	Tłusty, niejednorodny, zgliniony piasek; wypełnisko obiektu 38	2,5Y 4/4	1	39
28	41	1	W północnej części górnej platformy stożka	Niejednorodny ilasty piasek z wtrętami węgli drzewnych; miąższość do 70 cm; wypełnisko obiektu 41	2,5Y 5/2	1, 29	30, 31
29	41	1	W północnej części górnej platformy stożka	Lekko zgliniony piasek; miąższość do 10 cm; wypełnisko obiektu 41	2,5Y 5/3	1	28
30	41	1	W północnej części górnej platformy stożka	Warstwa popiołu i węgli drzewnych; miąższość do 5 cm; wypełnisko pieca 41	10YR 6/6	28	31
31	41	1	W północnej części górnej platformy stożka	Zgliniony, niejednorodny piasek; miąższość do 20 cm; wypełnisko pieca 41	2,5Y 7/4	28, 30	32
32	41	1	W północnej części górnej platformy stożka	Gliniasty piasek z węglami drzewnymi; miąższość do 10 cm; wypełnisko pieca 41	10YR 6/6	31	41
33		1	W północnej części górnej platformy stożka	Gliniasty piasek; miąższość do 20 cm; poziom użytkowy	2,5Y 4/2	1	2
35		1	W północnej części górnej platformy stożka	Sypki, jednorodny piasek; poziom użytkowy	2,5Y 6/4	2	-
37		2	W południowej części górnej platformy stożka	Sypki, jednorodny piasek; miąższość do 30 cm; poziom użytkowy	2,5Y 5/2	36	2
38	38	2	W południowej części górnej platformy stożka	Owalna jama, o wym. 0,75 x 0,8 m i gł. ok. 0,2 m; wypełnisko 27	-	4	2

Tabela 1. Ciąg dalszy

Numer jednostki	Numer obiektu	Numer wykopu	Położenie w obrębie stanowiska	Opis jednostki stratygraficznej	Barwa (Munsell)	Pozycja stratygraficzna	
						Znajduje się pod	Znajduje się nad
39	39	1	W północnej części górnej platformy stożka	Owalna jama, o wym. 0,25 x 0,35 m i gł. ok. 0,2 m; wypełnisko 4	-	27	2
41	41	1	W północnej części górnej platformy stożka	Pozostałość urządzenia ogniowego (pieca) z jamą przypiecową; kształt w planie nieregularny (obiekt wchodzi w ścianę wykopu), przekrój U-kształtny; wypełniska 28, 29, 30, 31 i 32	-	32	2, 35
43	43	3	U podnóża stożka od północy w miejscu domniemanej fosy	Jama, o wym. 0,25 x 0,3 m i gł. ok. 0,5 m, przekrój U-kształtny; wypełnisko 20	-	20	9
44		3	U podnóża stożka od północy w miejscu domniemanej fosy	Zbity, zgliniony piasek; miąższość do 20 cm; wypełnisko fosy		17	9

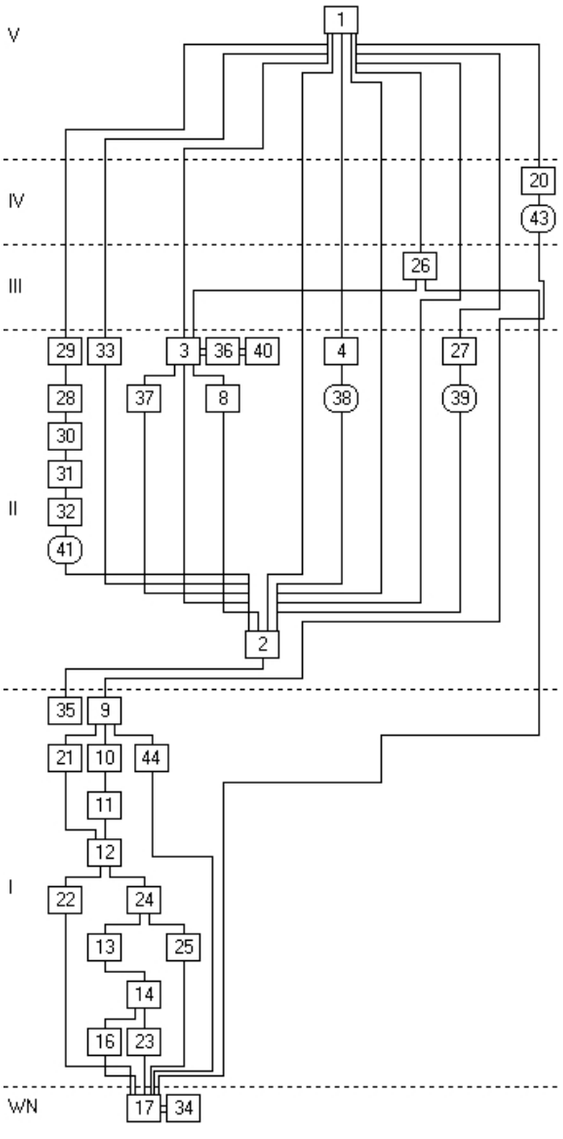

Ryc. 10. Laseczno Małe, st. 1. Diagram relacji stratygraficznych (oprac. M. Rutyna)

Faza II

Faza ta związana jest z użytkowaniem terenu stożka. W wykopie 1 odkryto pozostałości urządzenia ogniowego (pieca) 41 z jamą przypiecową (ryc. 11). We wnętrzu pieca i jamy znajdowała się warstwa popiołu i węgli drzewnych 30 oraz gliniasty piasek z węglami drzewnymi 32, zgliniony, niejednorodny piasek 31, niejednorodny ilasty piasek z wtrętami węgli drzewnych 28 i lekko zgliniony piasek 29.

Trudno określić, jaką funkcję pełniły owalne jamy odkryte w wykopach 1 i 2. Jama 39, o wymiarach 0,25 x 0,35 m i głębokości około 0,2 m, znajdowała się w południowej części wykopu 1. Jej wypełnisko tworzył niejednorodny, zgliniony piasek 4. Natomiast jama 38, o wymiarach 0,75 x 0,8 m i głębokości około 0,2 m, zidentyfikowana została w wykopie 2. Jej

Ryc. 11. Laseczno Małe, st. 1. Urządzenie ogniowe z jamą przypiecową (fot. J. Wysocki)

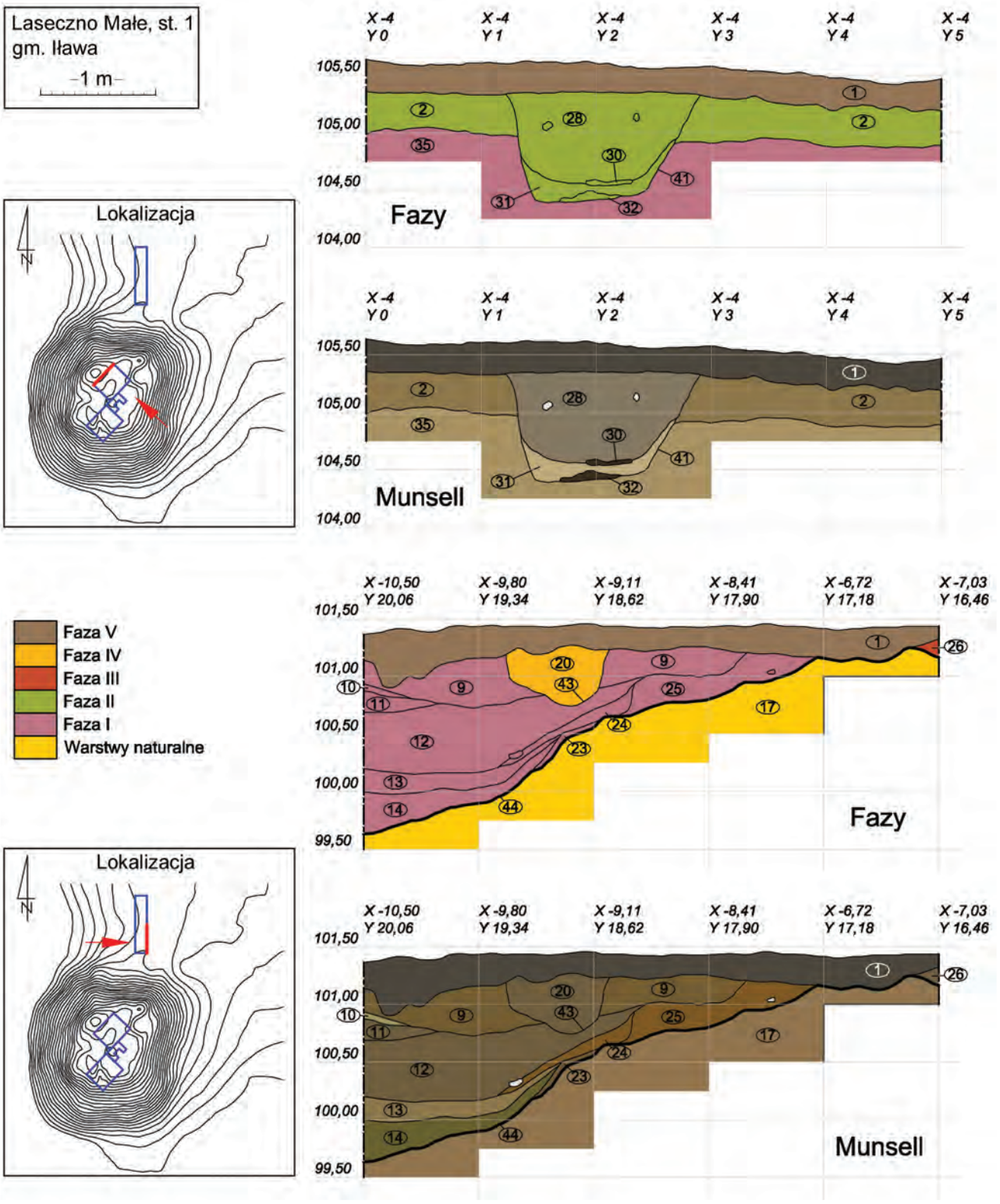

Ryc. 12. Laseczno Małe, st. 1. Przekroje przez nawarstwienia związane z użytkowaniem kopca (oprac. M. Rutyna, J. Wysocki i R. Solecki)

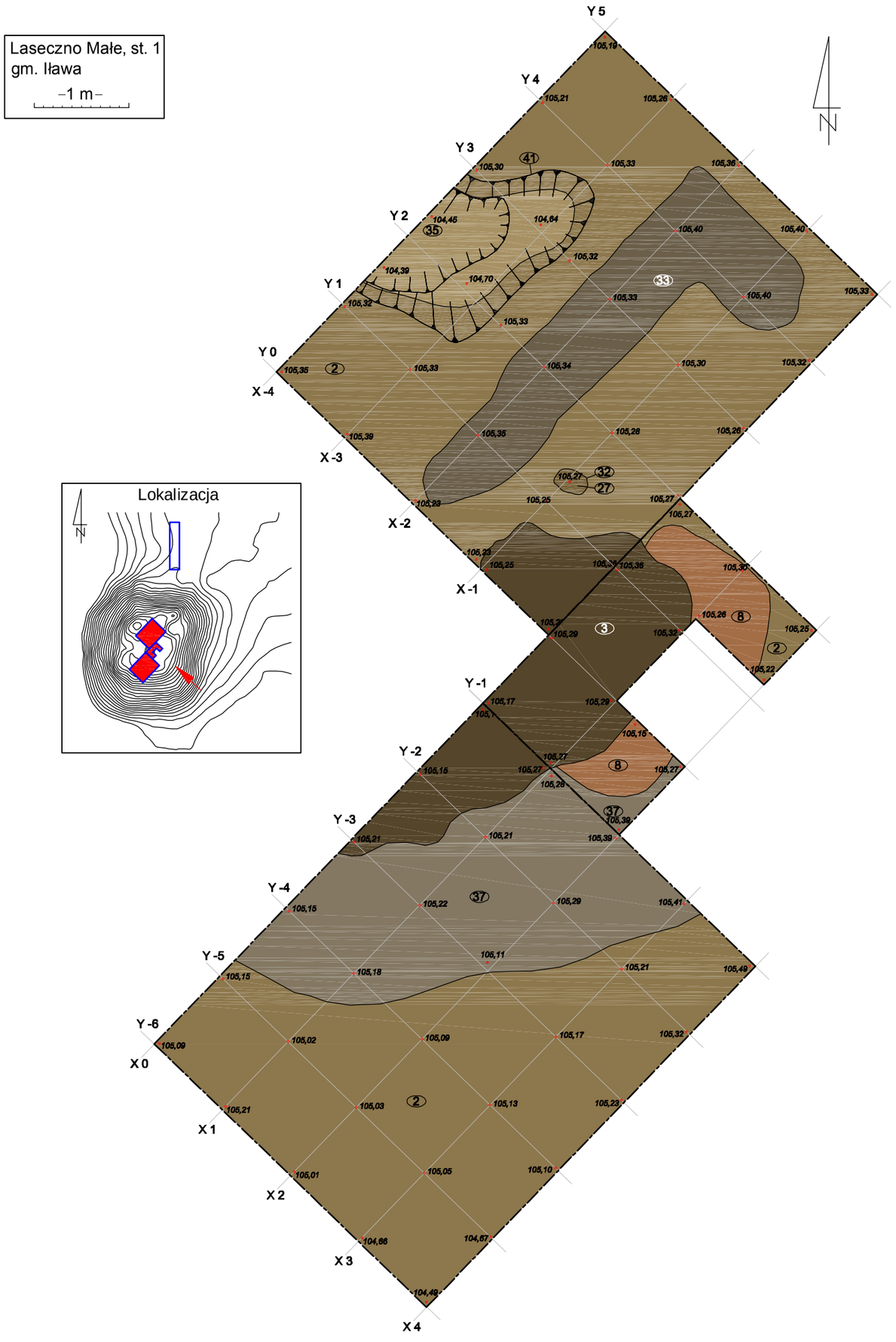

Ryc. 13. Laseczno Małe, st. 1. Plan obiektów związanych z użytkowaniem kopca (oprac. M. Rutyna, J. Wysocki i R. Solecki)

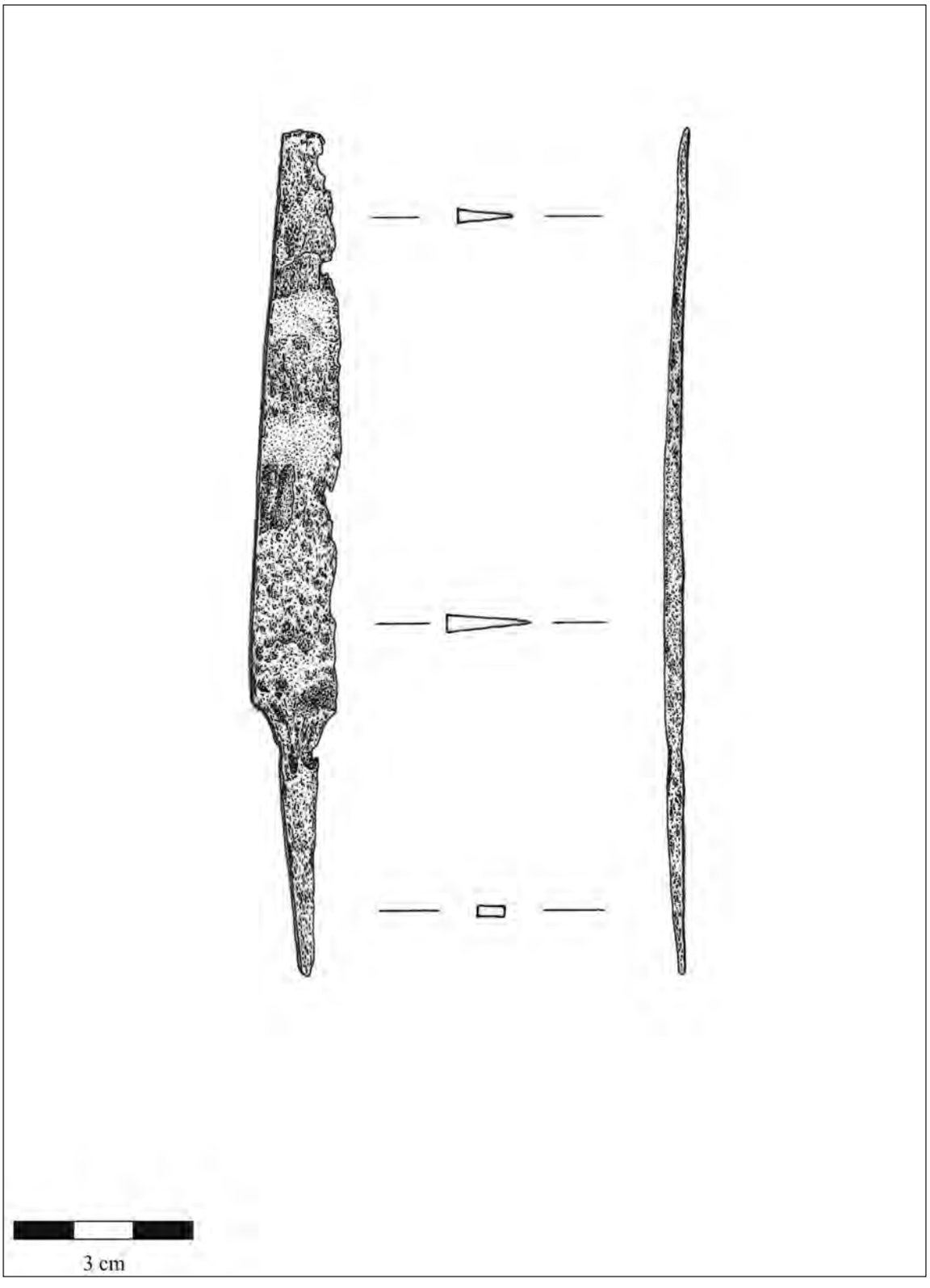

Ryc. 14. Laseczno Małe, st. 1. Nóż żelazny (rys. P. Potocka)

wypełniskiem był tłusty, niejednorodny, zgliniony piasek 27.

W wykopach 1 i 2 odkryto prawdopodobnie relikt lekkiej konstrukcji drewnianej 3=36=40 zapewniającej osłonę przed niesprzyjającymi warunkami atmosferycznymi, typu wiata lub szopa. Brak dołów posłupowych raczej wyklucza istnienie w tym miejscu konstrukcji wielokondygnacyjnej typu wieżowego. Być może dla celów obserwacyjnych była wzniesiona budowla, co najwyżej dwukondygnacyjna oparta na konstrukcji drewnianej ramowej, zagłębionej płytko w grunt.

Poziom użytkowy, w wykopach 1 i 2, wyznaczają następujące jednostki stratygraficzne: zgliniony, drobnoziarnisty piasek 2, gliniasty piasek 33 oraz sypki, jednorodny piasek 37. W wykopie 4 poziom użytkowy reprezentuje twardy, silnie zgliniony piasek 8.

Faza III

Horyzont ten zaobserwowano tylko w wykopie 3. Zapewne w wyniku erozji stoku stożka powstała warstwa 26, czyli zgliniony, niejednorodny piasek.

Faza IV

Niejednoznaczna jest chronologia odkrytego w wykopie 3, bezpośrednio pod humusem, nieregularnego obiektu 43. Zadokumentowana jama, o wymiarach 0,3 x 0,25 m i głębokości około 0,5 m, miała U-kształtny przekrój. W jej wypełnisku znajdował się zgliniony, niejednorodny piasek 20.

Faza V

Poziom współczesny we wszystkich wykopach wyznacza zgliniony, lekko ziemisty piasek 1.

ZNALEZISKA
Ceramika

Badania archeologiczne grodziska w Lasecznie dostarczyły 10 fragmentów ceramiki historycznej. Brak części przykrawędnych naczyń uniemożliwił opracowanie typologii.

Na okres późnego średniowiecza datowanych jest osiem fragmentów brzuśców pochodzących z warstwy 28 (W1), będącej wypełniskiem urządzenia ogniowego 41 (pieca) z jamą przypiecową. Pozyskany materiał jest silnie rozdrobniony (tylko trzy fragmenty mają wielkość ok. 4–4,5 cm). Wyróżniono tylko jedną grupę technologiczno-surowcową. Naczynia wykonano z masy ceramicznej z niewielką ilością domieszki. Grubość ścianek wynosi około 4–8 mm. Ścianki mają barwę szarą bądź ciemnoszarą.

Z czasów nowożytnych pochodzą odkryte w warstwie humusu 1 dwa fragmenty brzuśców barwy ceglastej, wielkości ok. 2,5 cm. Wykonano je z masy ceramicznej z małą ilością piasku.

Zabytki wydzielone

Z warstwy użytkowej 2 (II faza funkcjonowania stanowiska) pochodzi nóż żelazny z trzpieniem. Odkryty nóż ma prosty grzbiet i ostrze oraz złamany czubek (ryc. 14).

CHRONOLOGIA STANOWISKA

Na podstawie znalezionej ceramiki stanowisko w Lasecznie Małym możemy datować na przełom średniowiecza i nowożytności.

DZIEJE GRODZISKA W LASECZNIE MAŁYM, ST. 1

Usytuowanie kopca, jego forma oraz ślady sposobu użytkowania, świadczą o jego najbardziej prawdopodobnej funkcji; był to mianowicie obiekt strażniczy lub obserwacyjno–sygnalizacyjny. Służył do obserwacji terenu oraz charakterystycznych konkretnych miejsc, w celu otrzymywania i przekazywania informacji. Zapewne był używany jedynie w konkretnych okolicznościach, związanych najprawdopodobniej z niepokojami społecznymi i tylko wówczas przebywała tam jakaś załoga. Usytuowanie kopca powoduje, iż nawet zakładając dużo większe zalesienie okolicznych terenów, widok z niego był rozległy i daleki, co umożliwiało obserwowanie różnych zjawisk (takich jak np. dymy pożarów) lub odbieranie i przekazywanie określonych znaków. Na obszarze Warmii i Mazur kopce tego typu i o podobnym układzie bardzo nikłych nawarstwień na szczycie stożka, występują także na innych terenach (w okolicach Reszla, Mrągowa, Sorkwit). Mają także podobne lokalizacje w terenie – na garbach wysoczyzn lub większych wyniesieniach. Wydaje się, że są one związane z obserwacją terenów w pasach pogranicznych. Odkryty nieliczny materiał ruchomy pozwala datować obiekt na przełom średniowiecza i nowożytności.

Podągi, st. 2

Gmina Godkowo

Powiat elbląski

AZP 18-57/22

Współrzędne geograficzne:

N 54° 3’ 55,24’’

E 20° 2’ 34,07’’

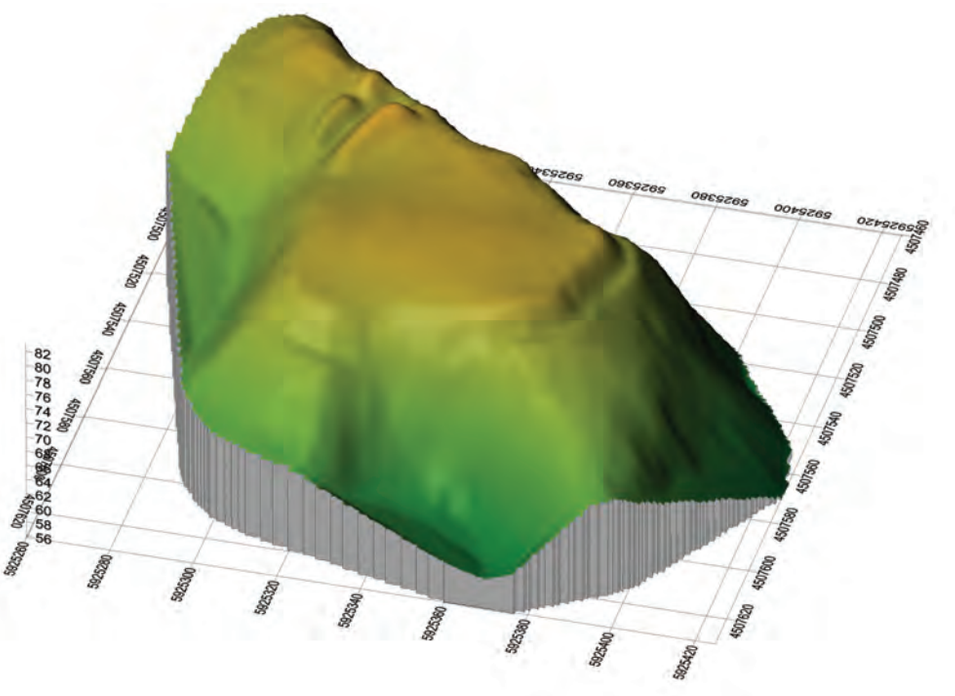

Ryc. 1. Grodzisko w Podągach, st. 2 na mapie w skali 1:25 000 (na podstawie materiałów CODGiK, oprac. R. Solecki)

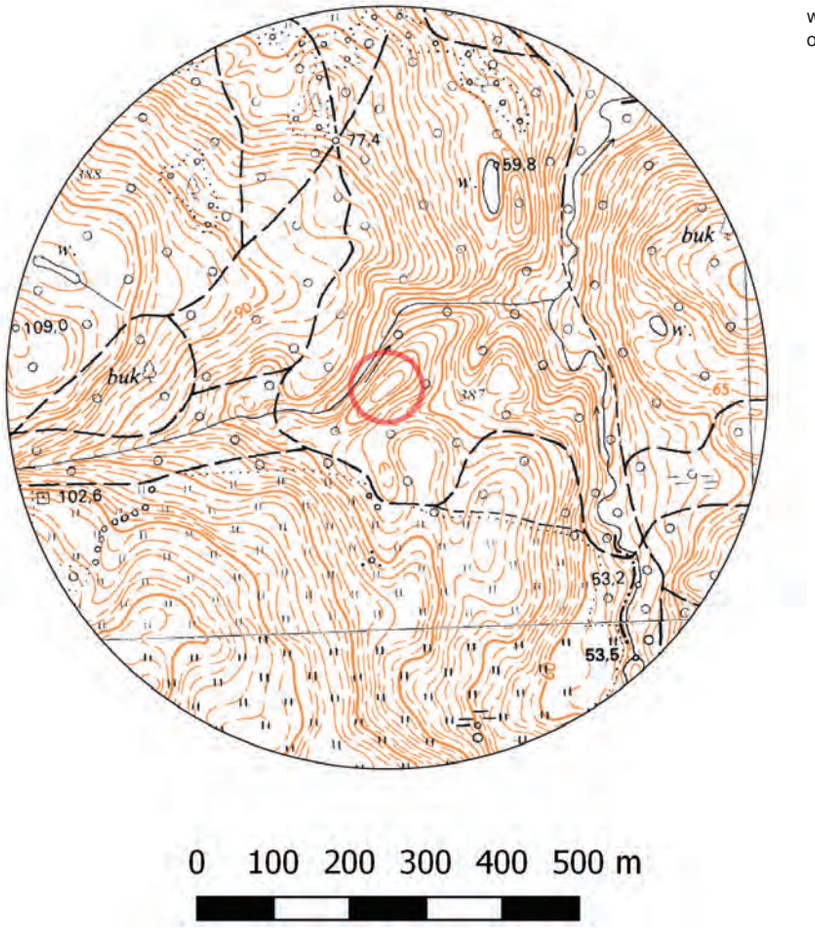

Ryc. 2. Grodzisko w Podągach, st. 2 na mapie w skali 1:10 000 (na podstawie materiałów CODGiK, oprac. R. Solecki)

POŁOŻENIE GRODZISKA I JEGO FORMA

KAMIL RABIEGA I DARIUSZ WACH

Grodzisko cyplowe w Podągach, st. 2 usytuowane jest na jednym z gęsto zalesionych wzgórz morenowych, otoczonym z trzech stron głębokimi jarami ze spływającymi po ich dnie strumieniami (ryc. 1–2). Wzgórze posiada bardzo wyraźną, wyodrębniającą się z otoczenia formę terenową od strony północnej, wschodniej i zachodniej, w stosunku do jarów z bardzo stromymi zboczami o przewyższeniu sięgającym kilkudziesięciu metrów (ryc. 3). Od strony północno-wschodniej jego zbocze ma kształt podłużnego, stopniowo obniżającego się trójkąta. Od strony południowej teren łagodnie się obniża, a następnie podnosi, przechodząc w rozległy płaskowyż, na którym znajdują się pola uprawne.

Majdan grodziska ma w przybliżeniu 61 m długości i 35 m szerokości (w najszerszym miejscu 48 m). Jego łączna powierzchnia wynosi około 21 arów. Północno-wschodnia część grodziska zabezpieczona była suchą fosą i wałem zaporowym. Od strony południowo-zachodniej elementem zabezpieczającym majdan są cztery linie wałów oraz trzy linie rozdzielających je zagłębień (fos), które odcinają majdan grodziska od południowego płaskowyżu. Wały, z których największy był wałem głównym ograniczającym majdan, nie biegły po całym obwodzie grodziska lecz jedynie od miejsc gdzie naturalne stoki wzgórza były wystarczająco strome od strony wschodniej, aż do analogicznie stromego stoku w części zachodniej (ryc. 4–6). Kolejne wały są coraz niższe i coraz słabiej czytelne w terenie. W zachodniej części odcinka umocnień przebiega przecinająca linie fortyfikacji droga leśna, która stanowi pozostałość wjazdu bramnego na teren grodu od strony południowo-zachodniej (ryc. 7). Obszar definiowany jako grodzisko, wraz z wałami i fosami ma około 100 m długości (ryc. 8–9).

ŚRODOWISKO FIZYCZNO-GEOGRAFICZNE

JERZY NITYCHORUK I FABIAN WELC

Grodzisko w Podągach położone jest na cyplu wysoczyzny, od wszystkich stron, poza strona południową, otoczonym rozcięciami erozyjnymi osiągającymi do 30 m głębokości. Grodzisko leży na piaskach i żwirach wodnolodowcowych stadiału górnego zlodowacenia Wisły[1]. Występują tu również gliny zwałowe (ryc. 10).

W stanowisku wykonano 11 wierceń geologicznych, na podstawie których sporządzono przekrój geologiczny o przebiegu SW–NE (ryc. 11–12). Wiercenia zlokalizowano tak, aby ukazały obraz budowy

[1] Rabek i Narwojsz 2014: 23.

Ryc. 3. Podągi, st. 2. Widok grodziska od strony północnej (fot. J. Wysocki)

Ryc. 4. Podągi, st. 2. Wał I, Fosa I i Wał II; widok od strony wschodniej (fot. J. Wysocki)

Ryc. 5. Podągi, st. 2. Wał I, Fosa I, Wał II, Fosa II i Wał III; widok od strony południowo-zachodniej (fot. J. Wysocki)

Ryc. 6. Podągi, st. 2. Fosa I, Wał II, Fosa II i Wał III; widok od strony północno-wschodniej (fot. J. Wysocki)

Ryc. 7. Podągi, st. 2. Domniemane przejście bramne przecinające wały i fosy grodziska; widok od strony południowo-zachodniej (fot. J. Wysocki)

geologicznej oraz konstrukcji systemu obronnego obiektu.

Generalnie podłoże formy jest zbudowane z gliny zwałowej ze zlodowacenia Wisły. W wierceniu P–2, do głębokości 0,6 m stwierdzono piasek średnioziarnisty barwy ciemnobrązowej, lekko zagliniony, z dużą ilością organiki oraz fragmentami węgli drzewnych, który w przedziale 0,60–0,70 m przechodzi w glinę piaszczystą barwy brązowej z fragmentami węgli drzewnych, a zatem tworzy warstwę kulturową. Podobnie jest w wierceniu P–3, gdzie do głębokości 0,7 m glina piaszczysta barwy brązowej zawiera dużą ilość organiki i nieliczne fragmenty węgli drzewnych. W tym wierceniu na głębokości 0,70–1,10 m występuje piasek różnoziarnisty barwy jasnoszarej, lekko zagliniony, który jest przedłużeniem warstwy kulturowej.

W wierceniu P–5, na wale wewnętrznym obiektu, stwierdzono bardziej skomplikowaną sytuację geologiczną, wynikającą z formowania wału. Do głębokości 0,8 m występuje tu glina brązowa z przewarstwieniami organiki, od 0,8 do 1,5 m – piasek szarobrązowy nieco ilasty, również nasypowy, a od 1,5 do 2,2 m – piasek drobnoziarnisty szarobrązowy, nasypowy, i od 2,2 do 2,7 m – taki sam piasek drobnoziarnisty z węglami drzewnymi, co dowodzi, że nasyp miał 2,7 m miąższości. Występujący na głębokości od 2,7 do 3,1 m brązowy mułek piaszczysty stanowi calec.

Majdan obiektu jest utworzony z gliny zwałowej i dopiero w części NE pojawiają się osady i formy antropogeniczne. Składa się na nie wał i fosa, przy czym fragment krawędziowy majdanu w tej części jest do głębokości 0,7 m zbudowany z namułu organicznego z węglami drzewnymi – ciemnoszarego, a od 0,7 do 1,2 m – z piasku organicznego z pojedynczymi węglami drzewnymi; dopiero na głębokości od 1,2 do 1,5 m występuje tu glina zwałowa barwy brązowej, stanowiąca calec. Wypełnisko fosy sięga 1,2 m głębokości i tworzy je mułek gliniasty, brązowy, poniżej którego występuje glina, czyli calec.

BADANIA ARCHEOLOGICZNE

KAMIL RABIEGA I DARIUSZ WACH

Przebieg badań terenowych

Po raz pierwszy grodzisko zostało odnotowane jako *Schwedenschanze* w piśmie landrata z Pasłęka z 1825 r.[2] Później wzmiankowane było przez Johanna Michaela Guisego i Adolfa Böttichera[3], a w 1908 r. uwzględnione zostało w katalogu stanowisk archeologicznych Prus Wschodnich opracowanym przez Emila Hollacka[4], pod hasłem *Miggenwald*. W 1940 r. grodzisko znów jako *Miggenwald* zostaje odnotowane w katalogu Hansa Cromego[5].

Po wojnie polscy badacze bezskutecznie próbowali odnaleźć grodzisko. Dopiero w 1977 roku grodzisko zostało ponownie zlokalizowane przez Stanisława Iwanczenkę[6]. Członkowie stowarzyszenia „Pruthenia" wykonali wówczas inwentaryzację obiektu w postaci pomiarów, dokumentacji rysunkowej i fotograficznej. Stanowisko zostało zinterpretowane jako grodzisko pruskie i przypisane administracyjnie do miejscowości Lesiska, położonej na południowy zachód od Podągów, przez to występuje ono później w literaturze jako obiekt położony w tej miejscowości[7]. Na powierzchni majdanu odnaleziono wówczas fragmenty naczyń

[2] Łapo 2009b: 265.

[3] Crome 1940: 86; Łapo 2009b: 265.

[4] Hollack 1908: 99.

[5] Crome 1940: 86.

[6] Więcej na temat ponownego odkrycia, zob. Radzicki b.d.

[7] Łapo 2009b: 265–266.

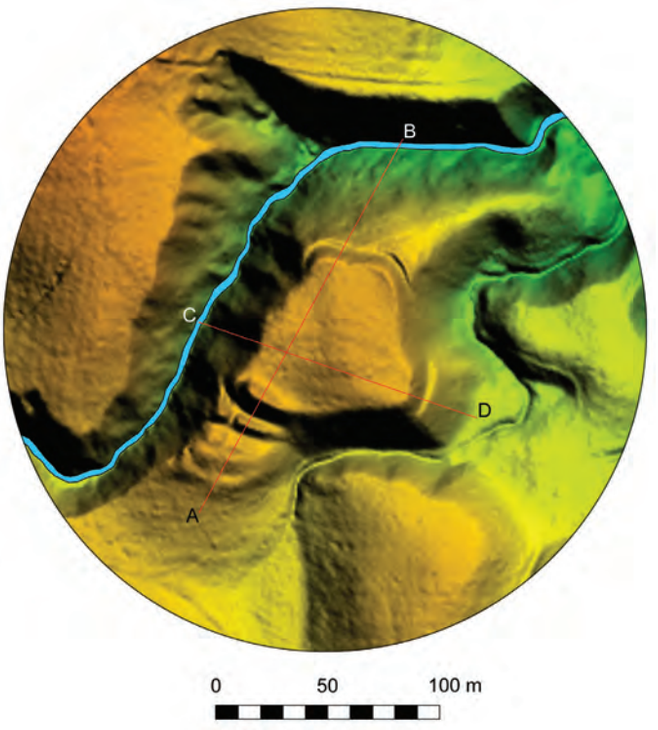

Ryc. 8. Grodzisko w Podągach, st. 2 na zobrazowaniu ALS (na podstawie materiałów CODGiK, oprac. R. Solecki)

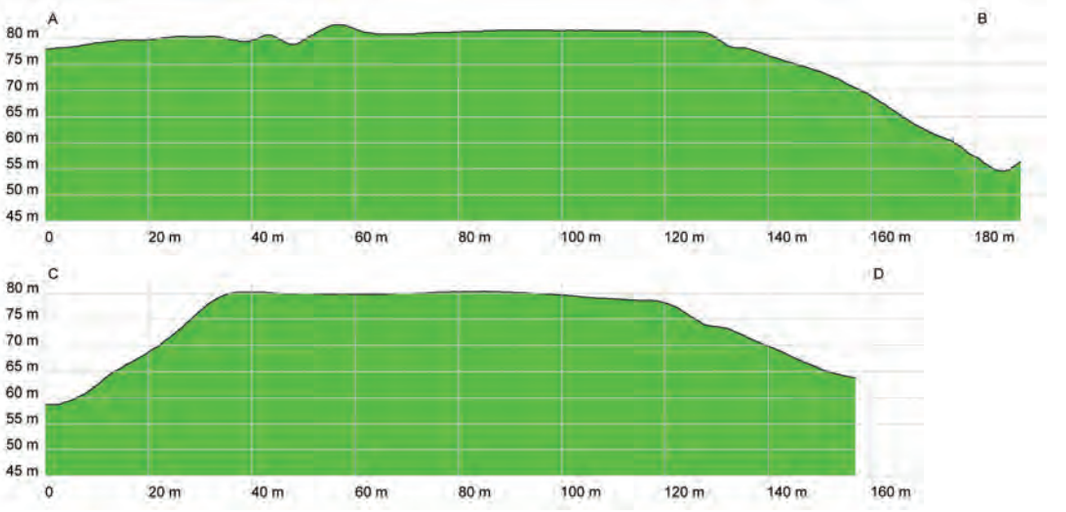

Ryc. 9. Przekroje przez grodzisko w Podągach, st. 2 uzyskane z danych ALS (na podstawie materiałów CODGiK, oprac. R. Solecki)

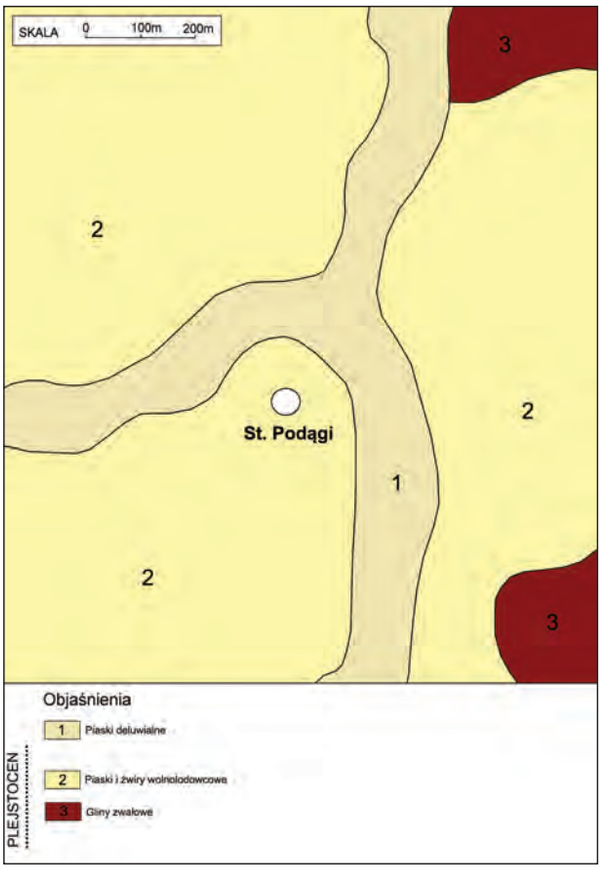

Ryc. 10. Mapa geologiczna okolic grodziska w Podągach, st. 2 (oprac. J. Nitychoruk i F. Welc)

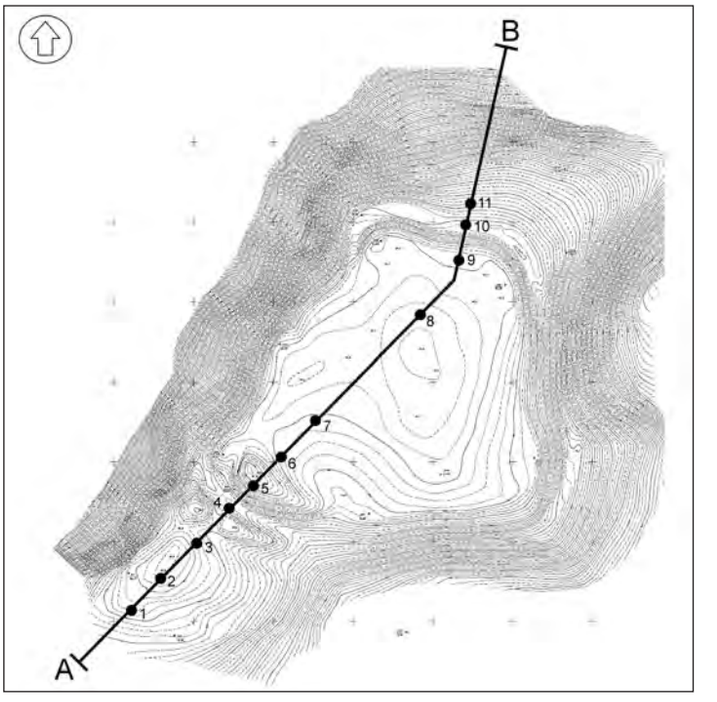

Ryc. 11. Plan warstwicowy grodziska w Podągach, st. 2 (wyk. J. Błaszczyk) z zaznaczonymi miejscami lokalizacji wierceń geologicznych (oprac. J. Nitychoruk i F. Welc)

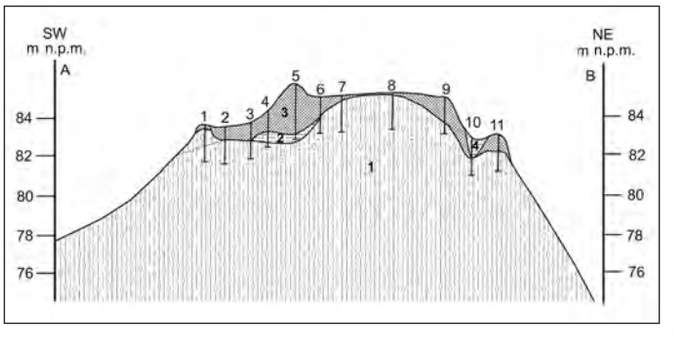

Ryc. 12. Podągi, st. 2. Przekrój geologiczny: 1 – glina zwałowa, 2 – mułki, mułki piaszczyste, 3 – glina piaszczysta, węgle drzewne – warstwa archeologiczna, 4 – mułek piaszczysty, węgle drzewne – wypełnisko fosy (oprac. J. Nitychoruk i F. Welc).

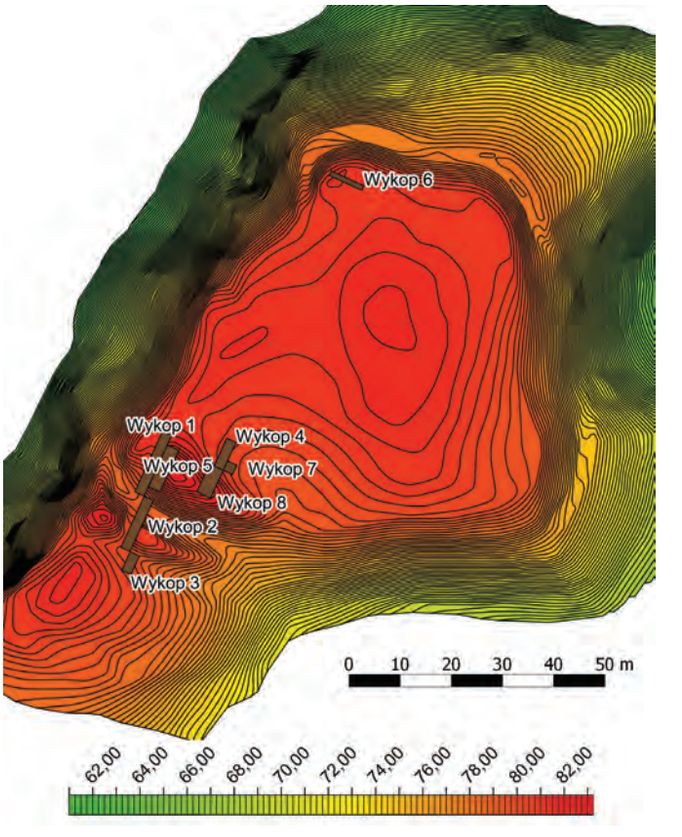

Ryc. 13. Podągi, st. 2. Plan sytuacyjno-wysokościowy z rozmieszczeniem wykopów badawczych z sezonu 2014 i 2016 (na podstawie pomiarów J. Błaszczyka, oprac. R. Solecki)

ceramicznych z wczesnej epoki żelaza (fragment brzuśca) i z wczesnego średniowiecza, które trafiły do Muzeum Warmii i Mazur w Olsztynie[8].

Grodzisko w Podągach zostało wpisane do rejestru zabytków archeologicznych w 1993 r. jako grodzisko cyplowe. W 1998 r. na terenie stanowiska przeprowadzono badania powierzchniowe pod kierownictwem E. Kowalczyk[9], a w listopadzie 2001 r. M.J. Hoffmann przeprowadził tu prace dokumentacyjno-inwentaryzacyjne[10].

Badania wykopaliskowe w ramach realizacji projektu NPRH *Katalog grodzisk Warmii i Mazur* przeprowadzono w roku 2014 i 2016. Celem badań wykopaliskowych było rozpoznanie charakteru stanowiska, określenie jego funkcji oraz pozyskanie materiału zabytkowego umożliwiającego określenie chronologii.

Aby rozpoznać budowę i nawarstwienia konstrukcji obronnych grodziska, a także nawarstwienia kulturowe obszaru zagłębienia przywałowego i majdanu, wytyczono osiem wykopów o łącznej powierzchni 110 m^2 (ryc. 13).

Wykop 1, o wymiarach 2 x 13 m i o orientacji (w przybliżeniu) po osi N–S, przecinał zachodnią skarpę głównego wału w miejscu przecięcia go przez współczesną drogę leśną biegnącą od południowego skraju lasu na teren grodziska. Obszar wykopu rozciągał się od wewnętrznego (północnego) podnóża wału, aż po jego podnóże zewnętrzne (południowe), przechodzące w Fosę I.

Wykop 2, o wymiarach 2 x 11 m i o tej samej orientacji co wykop 1, przesunięty był o 2 m w kierunku wschodnim i stykał się z nim północno-zachodnim wierzchołkiem. Przecinał cały obszar fosy I oraz zachodnią skarpę Wału II, aż do jego południowego podnóża, przechodzącego w Fosę II.

Wykop 3, o wymiarach 2 x 4 m, także o orientacji N–S, przesunięty był w stosunku do wykopu 2 o 2 m na wschód i przecinał obszar Fosy II, aż do górnej krawędzi jej południowego zbocza.

Wykop 4, o wymiarach 2 x 6 m i o orientacji dłuższego boku N–S, oddalony był od wykopu 1 o 10 m na wschód i znajdował się w obszarze domniemanego zagłębienia przywałowego na przedłużeniu ku N skraju zbocza Wału I.

Wykop 5 o wymiarach 2 x 9 m, stanowił przedłużenie wykopu 1. Został wytyczony w wyższej partii skarpy Wału I tak, by uchwycić ewentualne górne nawarstwienia jego konstrukcji.

Wykop 6, o wymiarach 1 x 7 m i o orientacji dłuższych boków po osi W–E, założony został w strefie przykrawędnej północno-zachodniej części grodziska, aby rozpoznać ewentualne istniejące tam konstrukcje i nawarstwienia.

Wykop 7, o wymiarach 2 x 2 m wytyczony został w zagłębieniu przywałowym, na przedłużeniu S części wykopu 4 w kierunku wschodnim, aby uchwycić przebieg warstw kulturowych i rozpoznać wcześniej zadokumentowane obiekty znajdujące się w zagłębieniu.

Wykop 8, o wymiarach 3 x 6 m, stykał się z wykopem 7 północno-wschodnim narożnikiem i stanowił przedłużenie wykopu 4 w kierunku południowym (w stronę Wału I). Przecinał główny wał grodziska (Wał I), aż do jego najwyższego punktu. Zamiarem badawczym było tu rozpoznanie nawarstwień nasypu wału i ich relacji z nawarstwieniami zagłębienia przywałowego.

Stratygrafia stanowiska

W trakcie badań archeologicznych przeprowadzonych w roku 2014 i 2016 wydzielono łącznie 123 jednostki stratygraficzne (tab. 1), które podzielono na pięć głównych faz związanych z użytkowaniem tego obiektu (ryc. 14–20).

Warstwy naturalne

Główny wał grodziska – Wał I (W1, W5, W8), a także Wał II (W2) zostały usypane na gliniastym podłożu 11=62=67, które w centralnej i północnej części obszaru zajmowanego przez wał główny miało postać płaskiej powierzchni. W podobnym podłożu została wykopana Fosa II (W3). U podnóża wewnętrznego stoku wału głównego (W4) podłoże o w przybliżeniu horyzontalnym przebiegu także stanowiła glina 11=62=67. Od strony zagłębienia przywałowego (W4, W7) była ona przykryta jasnym ilasto-piaszczystym calcem z jasnopopielato-brązowymi wytrąceniami 74. W północno wschodniej części grodziska (W6) warstwy kulturowe spoczywały na jasnooliwkowo-brązowym, calcowym podłożu piaszczysto-pylastym 100.

Faza I. Wczesna epoka żelaza

Faza IA (ryc. 21)

Podfaza IA związana jest z budową i użytkowaniem grodu we wczesnej epoce żelaza. Powstał wówczas główny wał grodziska – Wał I (W1, W5, W8), Wał II (W2) i zapewne pozostałe wały. Wykopano dwie fosy zbadane wykopaliskowo (W2, W3) a także zapewne pozostałe fosy i zagłębienie przywałowe (W4, W7) (ryc. 22–26).

Pod nasypem Wału I (W8) zidentyfikowano płytki owalny obiekt 118, wypełniony jasnoszarą piaszczystą ziemią 117. Bezpośrednio pod warstwami nasypu zalegała cienka warstwa szaro-brązowej ilastej ziemi z węgielkami i śladami spalenizny 116 (W8), a także ułożona horyzontalnie, gruba na 10–30 cm warstwa bardzo jasnej, twardej ilastej ziemi 82 (W1), w której znaleziono nieliczne, pojedyncze fragmenty ceramiki datowane na wczesną epokę żelaza. Te dwie jednostki stratygraficzne prawdopodobnie stanowiły warstwę niwelacyjną, będącą podstawą wału i poziomem przy-

[8] Radzicki b.d.

[9] Kowalczyk 2001: 192–193, ryc. 2–5.

[10] Hoffmann i Mackiewicz 2004: 19.

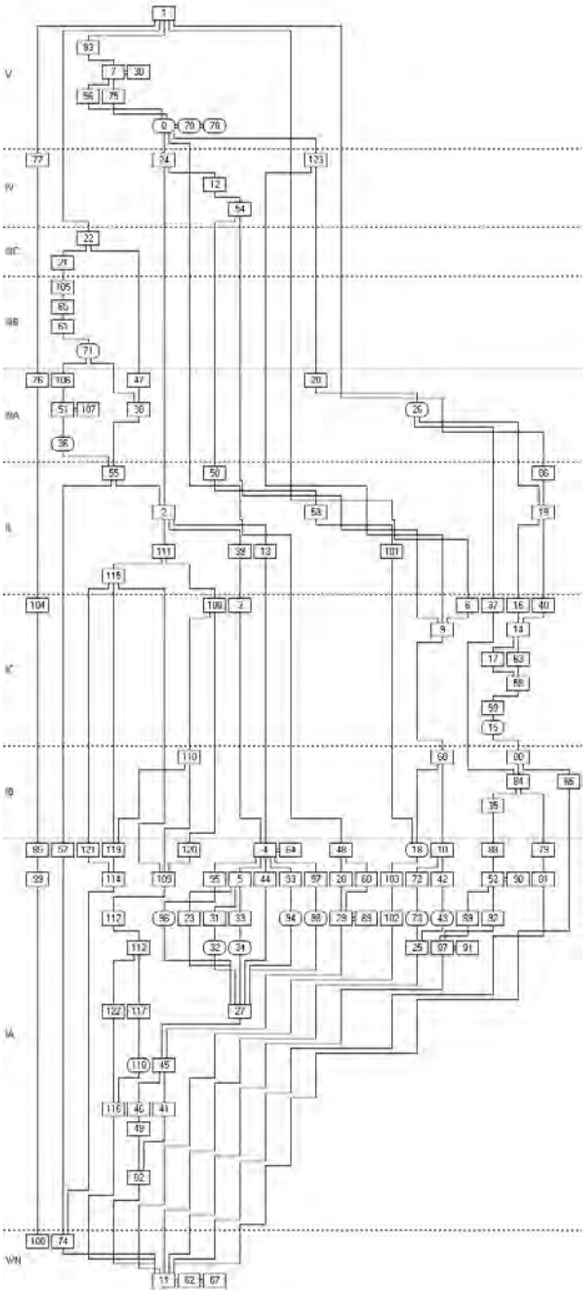

Ryc. 14. Podągi, st. 2. Diagram relacji stratygraficznych (oprac. K. Rabiega i D. Wach)

gotowania do jego budowy. Powyżej, w wykopie 1, stwierdzono depozyt (pokład) dużych, nieprzepalonych kamieni 49, o średnich wymiarach 20 x 30 cm, a dochodzących nawet do długości 55 cm. Kamienie te, stanowiące solidną podstawę jądra wału, tworzyły zamknięte od strony zachodniej półkole o średnicy około 3 m i sytuowały się symetrycznie po obu stronach osi dłuższej wału. Kształt ten, wskazujący na „zamknięcie" zachodniej granicy omawianego depozytu kamieni, jest jednym z dowodów na to, że wspominana droga współczesna przecinająca wały grodziska przebiega w miejscu pierwotnego przejścia (bramy) do grodu. Pomiędzy, nad, i częściowo pod kamieniami 49, usypana była warstwa piaszczysto-ilastej ziemi 46 o miąższości 20–50 cm i również horyzontalnym układzie. Po zachodniej stronie wykopu zidentyfikowano gliniastą ziemię 41, analogiczną do warstwy 46. Powyżej znajdowała się warstwa spalenizny 45, przepalonej na pomarańczowo-czarno, która zawierała drobiny węgla. Wyżej zalegała kolejna warstwa, a właściwie kompleks naprzemiennych warstewek gliniastych i piaszczystych 27, o łącznej miąższości do 40 cm, w których to warstwach znajdowało się kilkanaście kamieni 23, podobnych do kamieni opisanych wcześniej, lecz nie tworzących żadnego wyraźnego układu. Wydaje się, że były one jedynie wzmocnieniem wyższej partii jądra wału. W warstwę tę wkopano dwa doły posłupowe: obiekt 32 z wypełniskiem jednorodnej piaszczystej ziemi 31 oraz obiekt 34 z wypełniskiem luźnej szarej ziemi 33. Na warstwie 27 zaobserwowano także warstwę spalenizny 45 oraz fragment spalonego drewna (grubej gałęzi lub bierwiona) 44, o nieregularnym kształcie (10 x 13 cm) w orientacji po linii E–W.

Elementem konstrukcji bramnej były także ślady trzech dużych słupów znajdujących się w strefie bramnej Wału I (ryc. 27). Ich ślady zostały znalezione na zewnątrz północnej krawędzi obszaru kamieni 49 i na zewnątrz (w kierunku wschodnim, ku wnętrzu wału) od obszaru bruku i spalenizn. Doły posłupowe, których ślady zachowały się jedynie w profilu ściany wschodniej wykopu (obiekt 96 z wypełniskiem 95) oraz profilu pomocniczym w jego obrębie (obiekt 98 z wypełniskiem przemieszanej popielato-brązowej i jasnoszaro-brązowej ziemi 97), a także w stropie najniższej warstwy 82 (obiekt 94 z wypełniskiem 93) znajdowały się bardzo blisko siebie (w odległości 20–30 cm). Dół posłupowy 94 miał 0,7 m głębokości, w przybliżeniu okrągły kształt i średnicę dna 0,6 m. Jego wypełniskiem była przemieszana popielato-brązowo-czarna przepalona ziemia 93 z dużą liczbą fragmentów i drobin węgla drzewnego. Od strony E widoczny był ślad glinianej obsypki dołu. Wydaje się prawdopodobne, iż omawiane słupy tworzyły element bramny grodziska i zostały obsypane ziemią tworzonego zapewne równocześnie wału.

Od strony wnętrza grodziska, tuż u podnóża zachodniego końca skarpy wału w obszarze przejścia bramnego (W1), na warstwie 41 na odcinku prawie 4 m zalegała jednorodna szaro-brązowa warstwa 29=69 o sedymencie ilasto-gliniastym. Na niej znajdowały się ślady opisanej wcześniej spalenizny 45 oraz kamienie niższego bruku 60 i wyższego bruku 28. Kamienie te, o średniej wielkości 10 cm, z reguły były przepalone. Wydaje się, iż stanowiły fragment konstrukcji wjazdu do wnętrza grodu. Powyżej znajdowała się popielato-jasnoszara, ilasto-pylasta warstwa 48, leżąca u podnóża zakończenia Wału I w strefie przejścia w otwartą przestrzeń

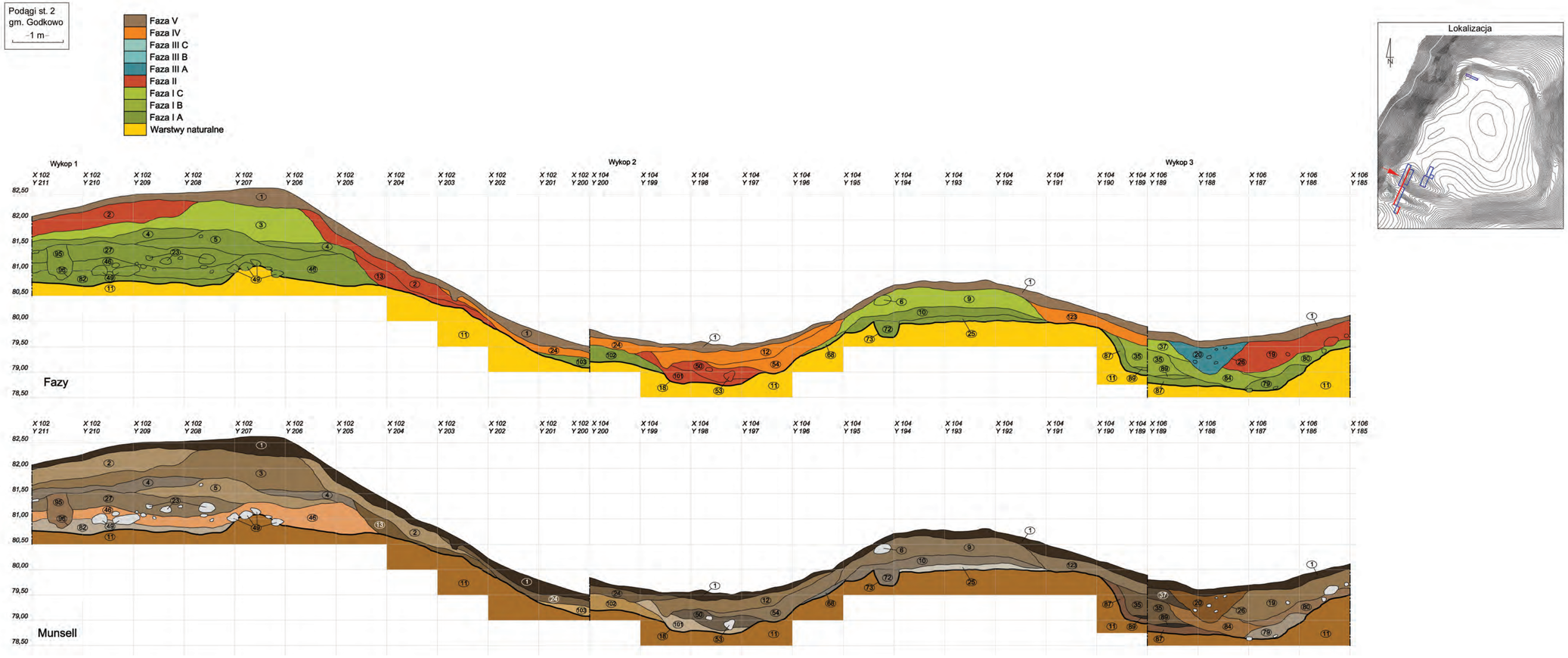

Ryc. 15. Podągi, st. 2. Stratygrafia grodziska widoczna w ścianie wschodniej wykopów 1, 2 i 3 (oprac. K. Rabiega, R. Solecki i D. Wach)

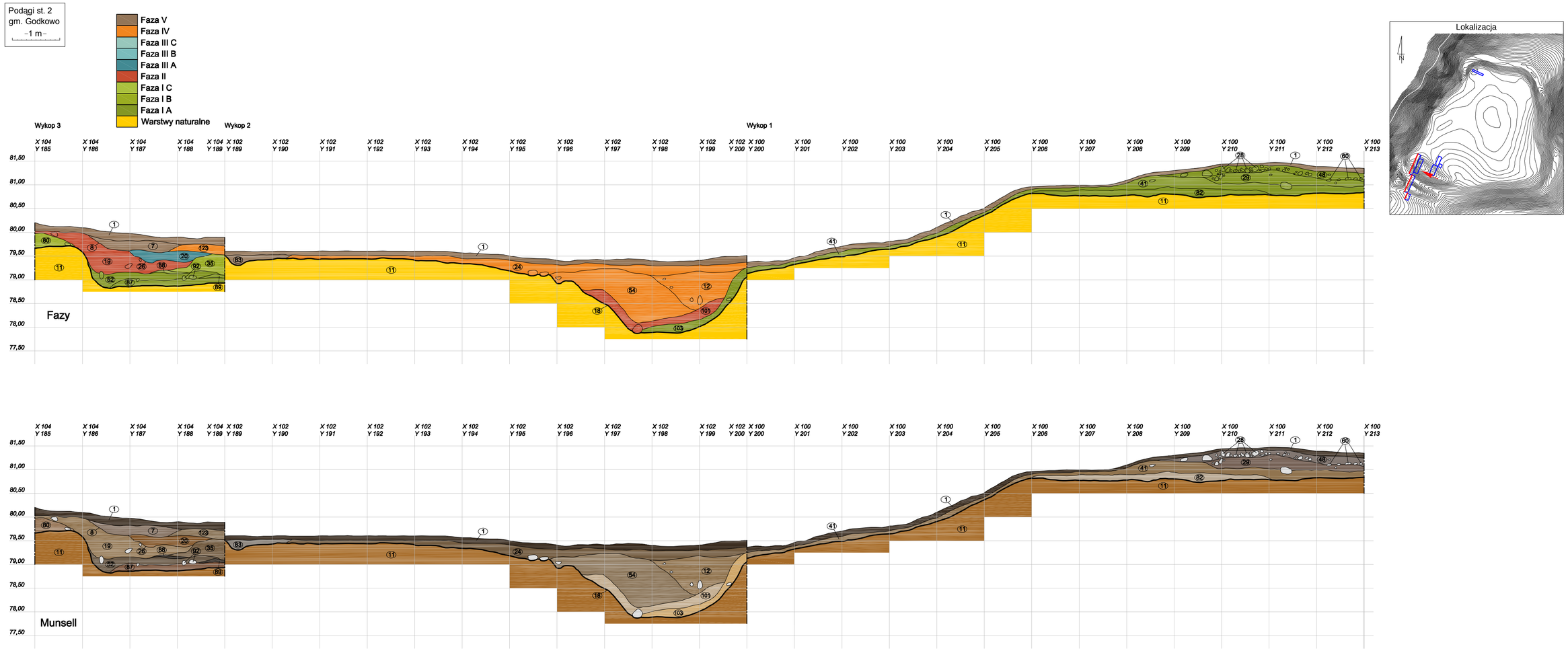

Ryc. 16. Podągi, st. 2. Stratygrafia grodziska widoczna w ścianie zachodniej wykopów 1, 2 i 3 (oprac. K. Rabiega, R. Solecki i D. Wach)

Podągi st. 2
gm. Godkowo
–1 m–

Faza V
Faza IV
Faza III C
Faza III B
Faza III A
Faza II
Faza I C
Faza I B
Faza I A
Warstwy naturalne

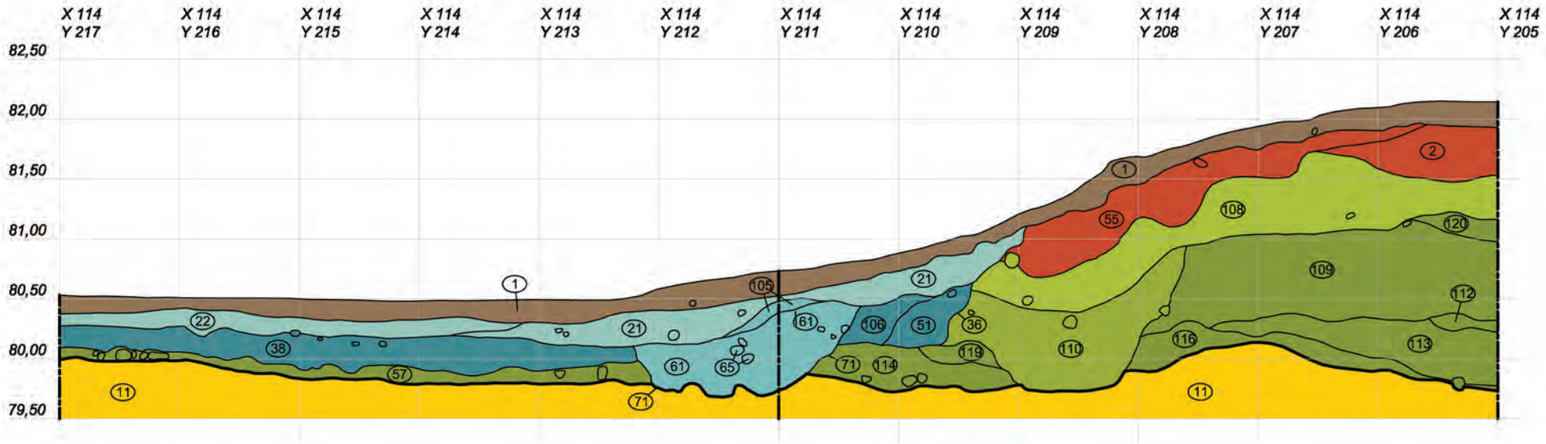

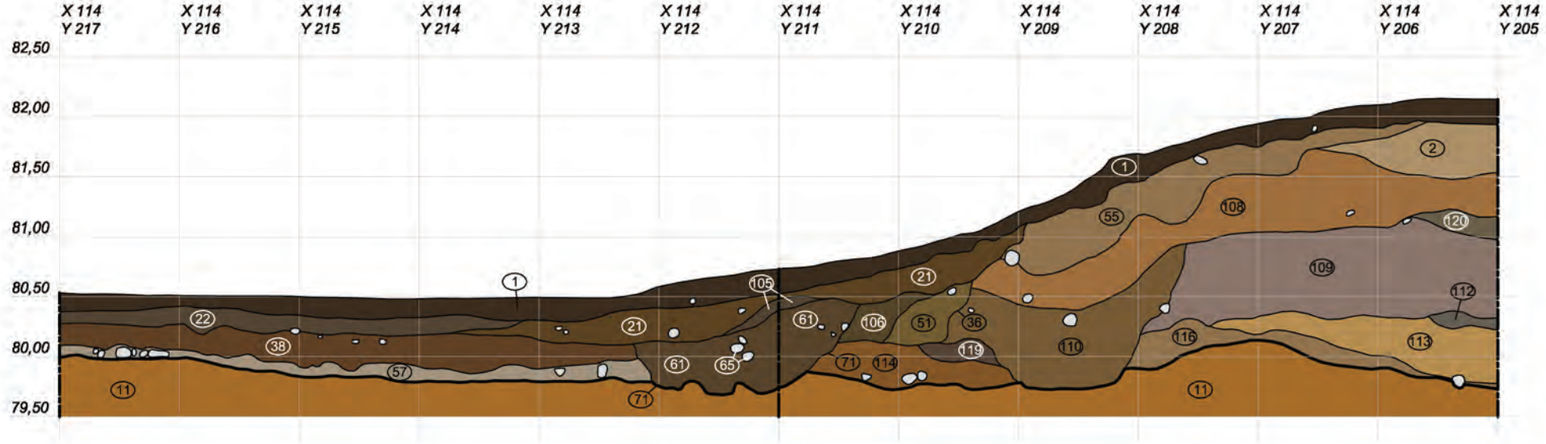

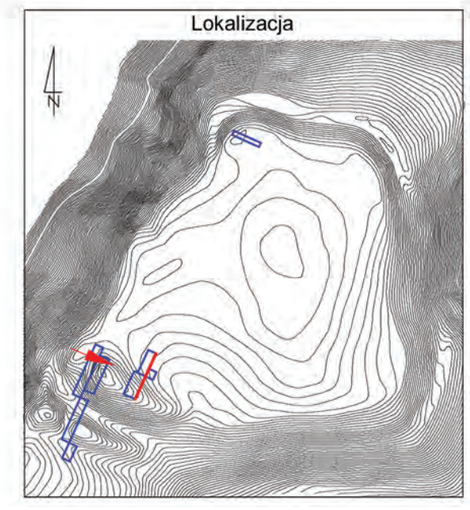

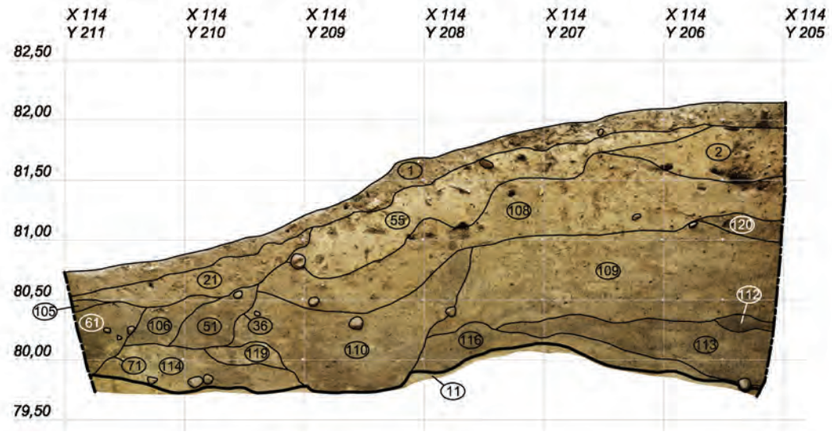

Ryc. 17. Podągi, st. 2. Stratygrafia grodziska widoczna w ścianie wschodniej wykopów 4 i 8 (oprac. K. Rabiega, R. Solecki i D. Wach)

Podągi st. 2
gm. Godkowo
–1 m–

Faza V
Faza IV
Faza III C
Faza III B
Faza III A
Faza II
Faza I C
Faza I B
Faza I A
Warstwy naturalne

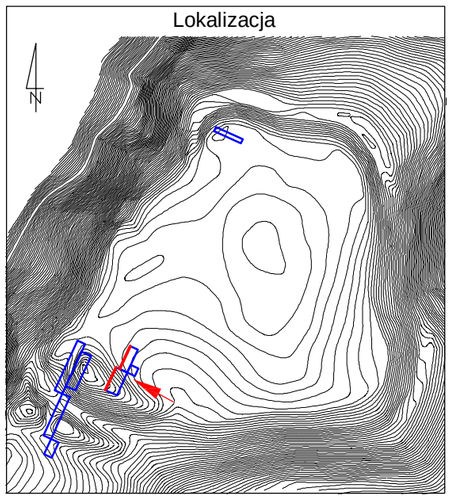

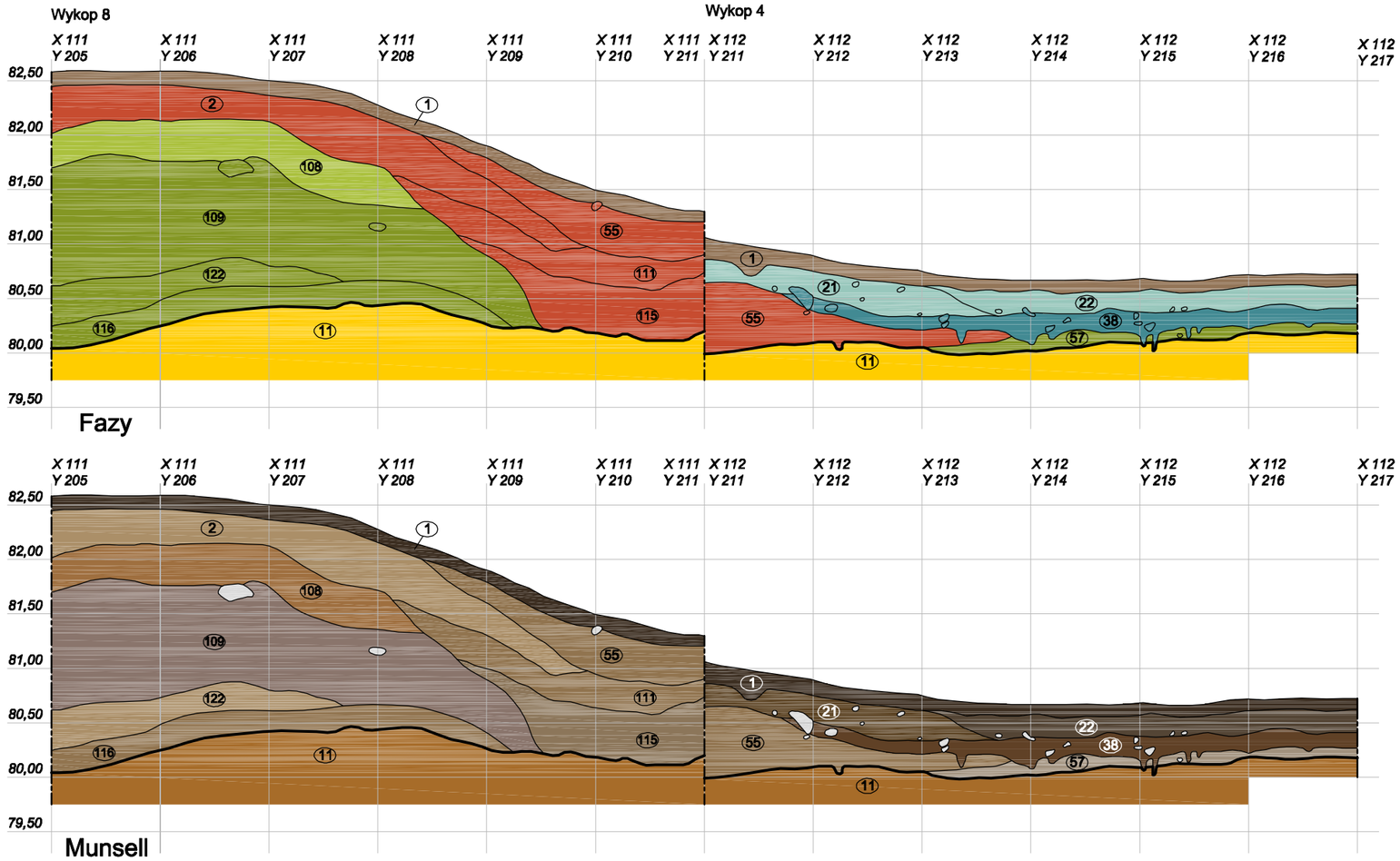

Ryc. 18. Podągi, st. 2. Stratygrafia grodziska widoczna w ścianie zachodniej wykopu 4 (oprac. K. Rabiega, R. Solecki i D. Wach)

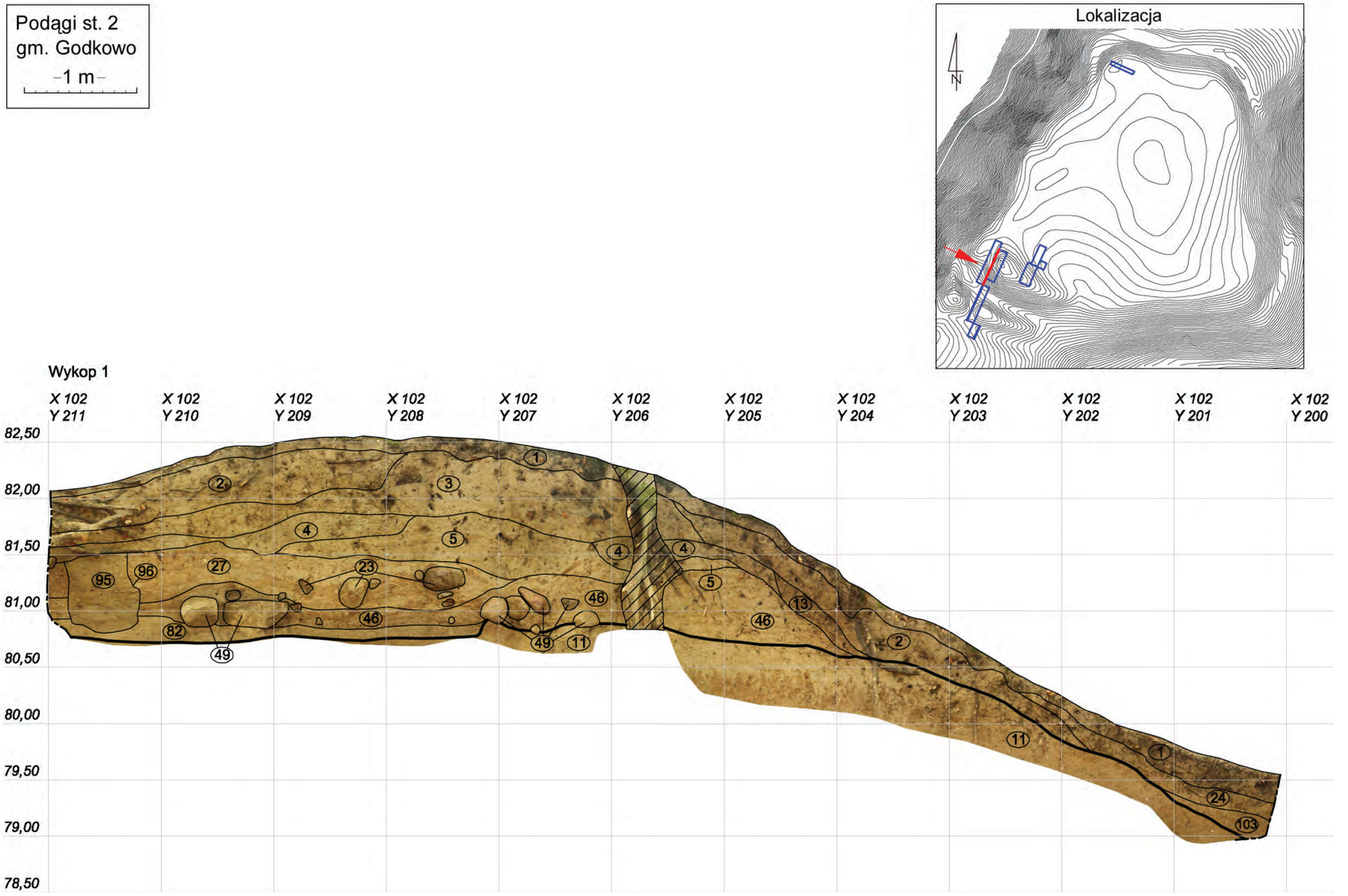

Ryc. 19. Podągi, st. 2. Stratygrafia grodziska widoczna w ścianie wschodniej wykopu 1 (oprac. K. Rabiega, R. Solecki i D. Wach)

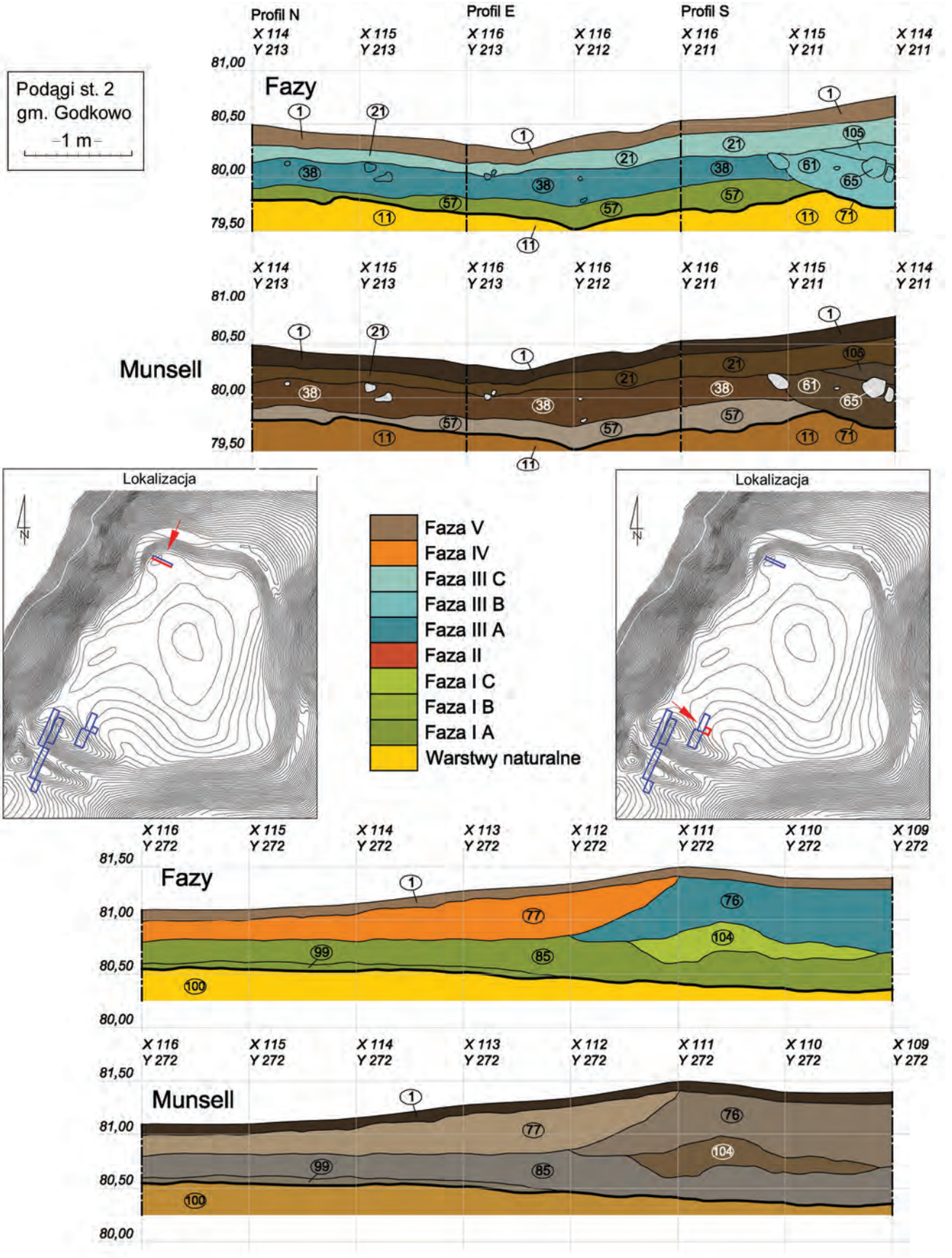

Ryc. 20. Podągi, st. 2. Stratygrafia grodziska widoczna w ścianach wykopu 7 i w ścianie południowej wykopu 6 (oprac. K. Rabiega, R. Solecki i D. Wach)

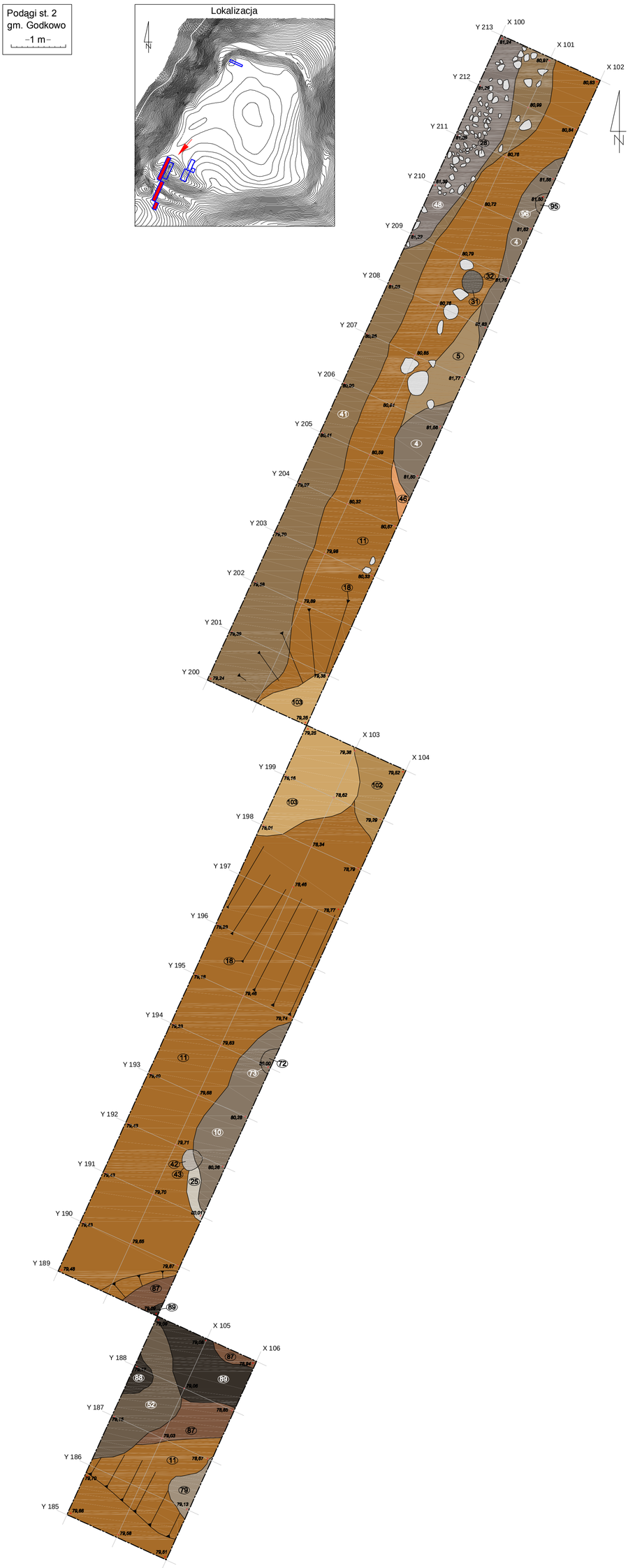

Ryc. 21. Podagi, st. 2. Plan obiektów i nawarstwień Fazy I A (oprac. K. Rabiega, R. Solecki i D. Wach)

majdanu z przestrzeni przejścia bramnego. Warstwa spalenizny, fragmenty belek i polepy, a także rozsypane kamienie świadczą o istnieniu jakiegoś rodzaju konstrukcji umacniającej przejście bramne na teren grodziska.

Warstwy nasypu leżące na warstwie 27 (jasnożółto-popielata zbita warstwa 5 oraz poziom przepalonych szaro-brązowych pasm 4=64) były mniej jednorodne jeśli chodzi o układ oraz rodzaj ziemi. Ich układ był w przybliżeniu horyzontalny, a sedyment przede wszystkim ilasto-piaszczysty. Tworzyły one górną część nasypu Wału w I fazie funkcjonowania grodu.

Warstwy nasypu Wału I odsłonięte w wykopie 8 charakteryzują się niejednorodnością i przemieszaniem. Wał został usypany z następujących warstw: przemieszanej ilastej ziemi z węgielkami drzewnymi 122; niejednorodnej przemieszanej ilastej warstwy złożonej z żółtych i szarych frakcji 113, w której występowały węgle drzewne; miejscowych ciemnoszarych frakcji 112; sypkiej, przemieszanej piaszczysto-pylastej ziemi z jasnymi i szarymi frakcjami i drobinami węgli 109; a także ciemnooliwkowo-brązowej ilastej warstwy z fragmentami węgielków drzewnych 120. Od północnej strony zagłębienia przywałowego zalegała pylasta żółto-brązowa warstwa zawierająca nieliczne fragmenty węgli drzewnych 121 oraz jasnobrązowa ilasta warstwa z wtrętami węgli 114. Nad nią znajdowała się ciemnobrązowa ilasta warstwa 119, widoczna w profilu wschodnim. Ponadto u podnóża wewnętrznego stoku wału głównego grodziska (W4, W7) natrafiono na twardą, bardzo jasną, piaszczysto-ilastą ziemię 57, zakumulowaną zapewne przy pierwszych pracach związanych z budową wału.

Nasyp Wału II nie miał tak skomplikowanej budowy jak Wał I. Na calcu znajdowała się gruba na około 10 cm pylasta, jasnoszara warstwa jednorodnej ziemi 25, w której stropie odkryto ślady dwóch okrągłych w planie obiektów (dołów posłupowych): 43 z wypełniskiem 42 oraz 73 z wypełniskiem 72. Doły posłupowe miały średnicę około 45 cm, strome ściany boczne i głębokość 30 cm (obiekt 73) oraz 10 cm (obiekt 43). Obiekt 73 usytuowany był na krawędzi wału i początku stoku fosy, zaś obiekt 43 bliżej krawędzi zachodniego końca wału.

Powyżej warstwy 25 leżała, również horyzontalnie, warstwa szarobrązowej ziemi piaszczysto-ilastej 10 o miąższości do 20 cm. Konsystencja, struktura i kolor tej jednostki stratygraficznej sugerować może, iż warstwa ta mogła być pozostałością warstwy rozłożonych gałęzi tworzących wzmocnienie podstawy wału.

Fosa I (W2), leżąca na południe od Wału I i na północ od Wału II miała 5 m szerokości i głębokość 80 cm od strony wschodniej oraz 1,5 m od strony zachodniej. Ściany jej opadały łagodnie (od zachodu bardziej stromo, pod kątem 45 stopni) ku nieregularnie płaskiemu dnu o szerokości 1,3–1,5 m. W najniższym punkcie stoku wału głównego, a także na dnie Fosy I, pod nawarstwieniami jej wypełniska, znajdowała się przemieszana gliniasto-piaszczysta warstwa 102 (o miąższości do 30 cm od E i 20 cm od W), leżąca na dnie i częściowo na ścianach bocznych fosy; a także jasny zsuw piaszczysto ilasty 103 od strony północno zachodniej (stok Wału I), o miąższości do 20 cm. Warstwy te stanowiły zsuw ziemi sypanej na wał podczas kopania fosy, a ich strop wyznacza jej kształt (obiekt 18) podczas użytkowania grodu w Fazie IA.

Fosa II (W3) była nieco mniejsza od Fosy I. Miała 4 m szerokości, płaskie dno o szerokości 3 m i strome ściany. W trakcie użytkowania grodu we wczesnej epoce żelaza dno fosy od strony Wału II stanowiły bardzo wilgotne, maziste gliniaste oliwkowo-szaro-brązowe warstwy 87=91 i 52=90, o miąższości od kilku do kilkunastu cm każda. Częściowo w ich objętości znaleziono liczne zbutwiałe na kolor czarny resztki elementów drewnianych (gałązek, patyków) 88 i 89, które stanowić musiały rodzaj faszynowania ściany północnej fosy, które runęło na jej dno. W warstwach tych tkwiły także bardzo duże (o średnicy do 34 cm) kamienie 92, układające się w nieregularny, luźny pas od strony ściany północnej fosy. Na południowym zboczu fosy odłożyła się także warstwa zmieszanej brązowo-szarej ziemi ilasto-gliniastej 79 z drobinami węgli drzewnych i drobnymi fragmentami polepy, której miąższość wynosiła 30 cm. Ponadto, znajdowała się tam także przepalona ziemia z drobinami węgli drzewnych 81. Wydaje się, iż są to relikty spalonych konstrukcji drewnianych, które zsunęły się z krawędzi południowego stoku fosy.

W przykrawędnej, północno-wschodniej części grodziska (W6) na warstwie naturalnej zalegała cienka warstwa piaszczystej, szaro-brązowej ziemi 99, a nad nią, gruba na 20–35 cm ciemnoszara, zbita i przesycona drobinami spalonego drewna warstwa 85, w objętości której znaleziono także pojedyncze kamienie (głównie w W części wykopu). Była to pierwotna warstwa użytkowa tej części grodziska.

Faza IB

W późniejszym funkcjonowaniu grodu na południowym zboczu Wału II powstał zsuw 68, sąsiadujący z warstwą nasypu 10. Tworzył pas, o szerokości około 30 cm, znikający ku zachodniemu skrajowi stoku. Fosa II od strony północnej wypełniła się szaro-brązową piaszczysto-ilastą warstwą spływową 35 oraz ilasto-gliniastą ziemią z nielicznymi drobinami węgla 84, grubą na około 30 cm. Na południowym stoku powstała warstwa zsuniętej gliny 80 o miąższości do 30 cm. Górną partię południowego stoku fosy umacniały dość ściśle ułożone mniejsze i większe kamienie (spąg tworzyły kamienie 66 o średnicy 10–25 cm).

Ryc. 22. Podągi, st. 2. Przekrój przez Wał I w wykopie 1 (fot. D. Wach)

Ryc. 23. Podągi, st. 2. Przekrój przez Wał I w wykopie 1 (fot. D. Wach)

Ryc. 24. Podągi, st. 2. Przekrój przez Wał I w wykopie 8 (fot. K. Rabiega)

Zagłębienie przywałowe (W7) zaczęło się zamulać i wypełniać piaszczystą ciemnożółto-brązową warstwą 110.

Faza IC

Podfaza IC charakteryzuje się podsypaniem Wału I warstwą żółto-brązową 3, z ukośnie i poziomo biegnącymi cienkimi (1 cm miąższości) ciemnożółto-brązowymi żyłkowaniami (w wykopie 1) oraz piaszczysto-gliniastą ciemnopomarańczowo-brązową warstwą 108 (w wykopie 8), która stanowiła wzmocnienie konstrukcji. Wał II w podfazie IC został podsypany grubą (40 cm miąższości) warstwą jednorodnej piaszczysto-ilastej ziemi 9, w objętości której znajdowało się siedem dużych kamieni (6), o średnicy do 35 cm. W przeciwieństwie do sytuacji z Wału I, tutaj kamienie nie tworzyły konkretnego układu, a jedynie sytuowały się w centralnej partii wału.

Fosa II została pogłębiona od strony północnej i zaczęła wypełniać się warstwą gliniastej, przeplamionej ziemi 37. W stok południowy wkopano niedużą (70 cm szerokości i co najmniej 1 m długości oraz 35 cm głębokości) jamę 15, która została zabezpieczona dużymi kamieniami 59 (ryc. 28). Wypełniskiem obiektu była przemieszana, szaro-popielato-brązowa, ilasto-gliniasta ziemia 58 z drobnymi węglami drzewnymi i drobnymi grudkami gliny oraz sypka piaszczysta ziemia 14, w której tkwiła grupa sporych kamieni 17, stanowiących obrzeża jamy. W obrębie wypełniska 58 natrafiono na skupisko fragmentów ceramiki 63. Z kolei w wypełnisku 14 znajdowało się skupisko drobnych fragmentów ceramiki 40. Na warstwie 14 spoczywał bruk przepalonych kamieni 16.

Na skraju grodziska (W6) usypano niski wał (czy też może jedynie podwyższenie), którego relikty tworzy piaszczysta warstwa 104 osiągająca grubość do 45 cm.

Faza II. Opuszczenie grodu z wczesnej epoki żelaza

Po opuszczeniu grodu z wczesnej epoki żelaza, zaczęły powstawać warstwy erozyjne, spływające z wałów i gromadzące się w zagłębieniu przywałowym, a także w fosach. Fosę I (obiekt 18) wypełniły warstwy erozyjne: 101 oraz ciemnoszaro-brązowa, przemieszana ziemia ilasto-gliniasta 50 (gruba na 25 cm). W spągu warstwy 50 występowała grupa nieregularnie obsuniętych dużych i mniejszych kamieni 53. Fosa II natomiast wypełniła się jasną piaszczysto-ilastą jednorodną żółto-brązową warstwą 19, o grubości dochodzącej do 56 cm. Na warstwie tej leżały większe kamienie 86 (o średnicy około 25 cm), które zsunęły się z południowej krawędzi fosy.

Na wewnętrznym stoku Wału I i w zagłębieniu przywałowym powstały warstwy: jasnoszara pylasta ziemia z nielicznymi węglami drzewnymi 115 oraz piaszczysta niejednorodna ziemia, którą stanowiły

przemieszane frakcje żółtego i szarego piasku 111. W partii zewnętrznego stoku Wału I (W1) zaobserwowano kompleks naprzemiennych jaśniejszych i ciemniejszych frakcji 13, o grubości do 10 cm. Ponadto erozja szczytu wału zaowocowała powstaniem jednorodnej piaszczysto-ilastej zwartej pomarańczowej warstwy 2, która zsunęła się po północnym i południowym stoku wału (W1, W5, W8). Warstwa ta stanowi zapewne pozostałość po umocnieniach wału. Na szczycie wału na tej warstwie spoczywały luźne kamienie 39 (odkryte w wykopie 5), które nie tworzyły żadnej konkretnej struktury. Nad warstwą 2 na stoku i w zagłębieniu przywałowym pojawiła się warstwa sypkiej, piaszczysto-pylastej ziemi 55, zidentyfikowanej także w wykopie 4 i osiągającej przy ścianie południowej wysokość 0,65 m.

Faza III. Wczesne średniowiecze

Faza IIIA

We wczesnym średniowieczu dokonano pewnych prac mających na celu ponowne uformowanie Wału I. Pogłębiono wówczas zagłębienie przywałowe (W4, W8), kształtując obiekt 36 poprzez przecięcie warstw 114, 119, 110, 108 i 55.

Fosa II (W3) została wówczas pogłębiona, czego śladem jest obiekt 26, który z czasem wypełnił się szaro-popielato-brązową piaszczystą warstwą 20, o grubości od 30 cm przy ścianie zachodniej wykopu, do 60 m przy jego ścianie wschodniej. Tworzyła ona pas nieregularnego kształtu w zagłębieniu Fosy II.

W wykopie 7, przy zagłębieniu przywałowym, zidentyfikowano warstwę jednorodnej, ciemnoszarej zbitej ziemi 38 z drobinami polepy i drobinami białych węglanów wapnia. W obrębie tej warstwy, przy ścianie zachodniej wykopu 4 znajdowało się także nieduże skupisko kamieni 47. W całym przebiegu tej, spoczywającej horyzontalnie warstwy 38, jej miąższość była podobna i wynosiła średnio 20–30 cm. Wydaje się, że była to główna warstwa użytkowa tej części grodu we wczesnym średniowieczu.

Na skraju grodziska (W6) podwyższono wał, usypując piaszczysto-ilastą, szaro-brązową warstwę 76. Warstwa ta, wraz z niskim wałem 104 tworzy podwyższenie o wysokości 0,8 m w stosunku do użytkowej warstwy 85.

Po jakimś czasie zagłębienie przywałowe (obiekt 36) zaczęło się zamulać i wypełniać warstwami: popielato-szarą, bardzo sypką ziemią piaszczysto-pylastą z drobinami węgli drzewnych i pomarańczowej polepy 51=107 oraz ciemnobrązową warstwą piaszczystą 106.

Faza IIIB

W tym czasie miały miejsce kolejne prace związane z formowaniem zagłębienia przywałowego. W strop warstwy 38, przecinając także warstwę 106, wkopano

Ryc. 25. Podągi, st. 2. Przekrój Fosy I i Wału II. Widok od strony północnej (fot. D. Wach)

Ryc. 26. Podągi, st. 2. Fosa I i Wał II grodziska z widocznym nasypem wału 9 i umocnieniem kamiennym 6. Wewnątrz wykopu widoczny negatyw koleiny drogi leśnej, gdzie znajdowało się przejście bramne. Widok od strony zachodniej (fot. D. Wach)

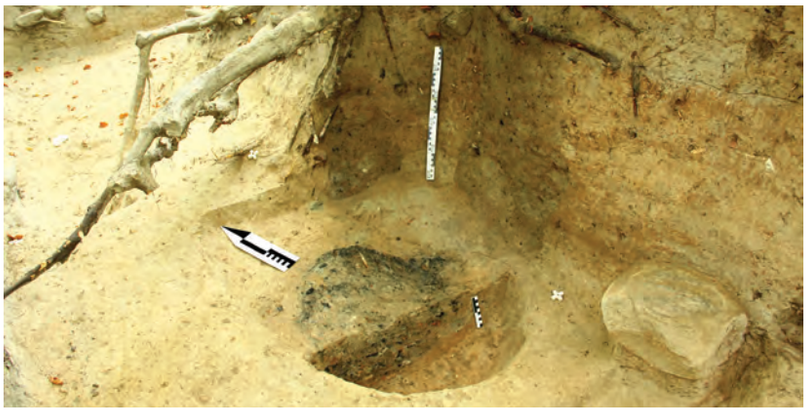

Ryc. 27. Podągi, st. 2. Przekroje trzech dołów posłupowych w obszarze przejścia bramnego w wykopie 1 (obiekt 96 w ścianie wschodniej wykopu, obiekt 98 w pomocniczym przekroju południowym, obiekt 94 w planie). Widok od strony południowo-zachodniej (fot. D. Wach)

Ryc. 28. Podągi, st. 2. Obiekt 15 z obstawą kamienną 59, odsłonięty w południowej krawędzi Fosy II. Widok od strony północnej (fot. D. Wach)

słup. Śladem tej działalności jest owalny obiekt (duży dół posłupowy) 71 o głębokości 50 cm, z wypełniskiem szaro-brązowej piaszczysto-ilastej ziemi z dużą liczbą pomarańczowych grudek polepy i drobinami węgli drzewnych 61, kilkoma dużymi kamieniami 65 i ciemnobrązową ziemią 105. Obiekt ten został zidentyfikowany w wykopach 4, 7 i 8.

Faza IIIC

Z tą fazą użytkowania wiąże się spływ ziemi z głównego wału w kierunku zagłębienia przywałowego. Powstała wówczas warstwa jasnej, oliwkowo-brązowej, piaszczystej ziemi 21, która zalegała na wewnętrznym stoku wału głównego (W8) i w zagłębieniu przywałowym (W4, W7). Później, na obszarze majdanu, w pasie zagłębienia przywałowego (W4) odłożyła się podhumusowa, ciemna szaro-brązowa warstwa piaszczysto-ilasta 22.

Faza IV. Opuszczenie grodu

Po popuszczeniu grodu z Wału II (W2) w kierunku Fosy I spłynęła popielato-brązowa, ilasto-piaszczysta warstwa 54, o grubości od 30 cm (przy profilu E) do 1 m (przy ścianie W), a także gliniasta żółto-brązowa warstwa 12, o miąższości 30 m (od E) i 70 cm (od W). Wówczas też część omawianej wcześniej warstwy 9 z Wału II spłynęła w kierunku południowym, aż do obszaru Fosy II, tworząc warstwę 123. W wykopie 1 i 2 zaobserwowano zsuwową warstwę 24, stanowiącą ciemnooliwkowo-szaro-brązową piaszczystą ziemię.

Niewysoki wał na północno-wschodnim skraju grodziska (W6), spłynął w kierunku wnętrza grodziska, tworząc pylastą, jednorodną jasnobrązową warstwę 77.

Faza V. Nowożytność i współczesny poziom użytkowy

Prawdopodobnym śladem współczesnego spływu jest podłużny, wąski na około 30 cm, ciemny depozyt ziemi 7=30, ciągnący się u podnóża zachodniej skarpy wału przez całą jej długość. Pas ten stanowił wypełnisko rowka 8=70=78, współczesnej, głębokiej i szerokiej koleiny funkcjonującej ścieżki. Inna interpretacja zakłada, że może być to ewentualna pozostałość drewnianej ściany wału w przejściu bramnym, gdyż w części północnej przechodzi w stojący depozyt o pionowych ścianach, jednak jego klasyfikacja jako elementu konstrukcji bramnej nie jest w pełni wiarygodna.

Od strony zachodniej elementem ograniczającym nawarstwienia Wału II była kontynuacja obiektu 8=70=78 z wypełniskiem 7=30, który biegł niemal przez cały wykop 2. Wąski (40–60 cm) i głęboki do 50 cm obiekt, podobnie jak rowek biegnący przez obszar wykopu 1, wydaje się być wypełnioną współcześnie koleiną wspominanej uprzednio drogi. Jego wschodnią ścianę stanowił pas szarej, twardej ilastej ziemi 56, tworzący pionową warstwę stojącą. Być może jest to pozostałość wspominanej już, hipotetycznej ściany ograniczającej nasyp wału od strony przejazdu przez tenże wał, lecz nie można także wykluczyć, iż jest to po prostu boczne wypełnisko rozjeżdżanej wielokrotnie koleiny współczesnej. Od strony południowej obiekt 8=70=78 wypełniała także sino-szara, ilasto-gliniasta warstwa 75. Ze współczesnym nawarstwieniem drogi związany był także płat szarej, jednolitej, ilastej ziemi 83 zalegający ponad wypełniskiem, zidentyfikowany w wykopie 2. Ślady wypełniska 7=30 koleiny 8=70=78 odkryto także w Fosie II.

Obecny poziom użytkowy na powierzchni wałów, fos, zagłębienia przywałowego, a także na obszarze majdanu (W1, W2, W3, W4, W5, W6, W7, W8) tworzy drobnoziarnisty humus ściółkowy 1.

ZNALEZISKA

Ceramika

URSZULA KOBYLIŃSKA

W trakcie badań wykopaliskowych w 2014 i 2016 roku w nawarstwieniach kulturowych grodziska znaleziono ogółem 388 fragmentów ceramiki, w tym 47 fragmentów z wylewem składających się na 42 różne naczynia i stanowiących odpowiednik 252% SEN, w tym 25 fragmentów naczyń z wczesnej epoki żelaza, stanowiących odpowiednik 107% SEN; 98 fragmentów brzuśców o powierzchni chropowaconej, 35 o powierzchni gładkiej, a jedynie 4 fragmenty o powierzchni wyświeconej. Niewielka liczba brzuśców (40 fragmentów), głównie z okresu wczesnego średniowiecza, była ozdabiana. W zespole zabytkowym zidentyfikowano także 23 części przydenne i 22 dna, stanowiące odpowiednik

Tabela 1. Katalog warstw z opisem poszczególnych jednostek stratygraficznych grodziska w Podągach, st. 2 (oprac. K. Rabiega)

Numer jednostki	Numer obiektu	Numer wykopu	Położenie w obrębie stanowiska	Współrzędne siatki pomiarowej stanowiska	Opis jednostki stratygraficznej	Barwa (Munsell)	Pozycja stratygraficzna	
							Znajduje się pod	Znajduje się nad
1	-	1, 2, 3, 4, 5, 6, 7, 8	Cały obszar grodziska	X=100–116; Y=185–273	Piaszczysta ziemia; humus leśny; miąższość do 20 cm	10YR 2/2	-	2, 3, 6, 7, 8, 9, 12, 18, 19, 20, 21, 22, 24, 26, 37, 41, 48, 54, 55, 76, 77, 83, 86, 123
2	-	1, 5, 8	Szczyt Wału I	X=101–114; Y=202,20–211–70	Jednorodna przepalona piaszczysto-ilasta zwarta ziemia; pozostałość po umocnieniu wału; miąższość do 45 cm	10YR 6/4	1, 24, 55	3, 4, 13, 39, 108, 111
3	-	1	Szczyt Wału I	X=101,40–105; Y=205,20–211,30	Ilasto-gliniasta ziemia z ukośnie i poziomo biegnącymi cienkimi (1 cm) wytrąceniami; warstwa nasypu wału; miąższość do 64 cm	10YR 5/4	1, 2, 39	4, 5
4=64	-	1, 5	Wał I	X=101,50–104,50; Y=204,45-211,15	Nieciągłe przepalone pasma tworzące prawie poziomą strukturę; górny nasyp wału; miąższość do 24 cm	10YR 5/2	2, 3, 13	5, 23, 27, 44, 46, 93, 94, 95, 96, 97, 98
5	-	1	Wał I	X=–100,90–102; Y=205–209	Zbita ilasta ziemia; górny nasyp wału; miąższość do 44 cm	10YR 6/4	3, 4	23, 27, 31, 32, 33, 34, 46
6	-	2	Północny stok Wału II	X=103,46–104; Y=193–194,40	Siedem dużych kamieni o średnicy do 35 cm; leżące na stoku wału; pozostałość po umocnieniu wału	-	1	9
7=30	8=70=78	1, 2, 3	Ścieżka biegnąca przez wały i fosy grodziska od strony południowej	X=100,50–104,30; Y=186–212,70	Ciemne wypełnisko koleiny 8=70=78 (współczesnej); znajdujące się pod ścieżką leśną na obszarze dawnego przejścia przez wały; pasmo o orientacji S–N; miąższość do 50 cm	7,5YR 5/2	1, 83	8, 56, 75
8=70=78	8=70=78	1, 2, 3	Ścieżka biegnąca przez wały i fosy grodziska od strony południowej	X=100,50–104,30; Y=185–212,70	Negatyw (koleina) współczesnej ścieżki wzdłuż osi S–N; na obszarze dawnego przejścia przez wały; głębokość do 50 cm	-	1, 7, 56, 75, 83	9, 11, 19, 20, 24, 26, 27, 29, 41, 45, 46, 48, 54, 82, 103, 123
9	-	2	Szczyt Wału II	X=102,85–104; Y=191–195,05	Piaszczysto-ilasta ziemia stanowiąca górną warstwę nasypu wału; miąższość do 40 cm	10YR 5/3	1, 6, 8, 54, 123	10, 68
10	-	2	Wał II	X=102,80–104; Y=191–195	Piaszczysto-ilasta ziemia stanowiąca niższą warstwę nasypu wału; miąższość do 20 cm	10YR 5/2	9, 68	11, 25, 42, 72, 73
11=62=67	-	1, 2, 3, 4, 5, 7, 8	Naturalne podłoże wałów	X=100–114; Y=189–217	Gliniasta twarda warstwa; calec	7,5YR 5/8	8, 10, 13, 18, 19, 25, 41, 43, 46, 49, 54, 57, 66, 73, 74, 79, 80, 81, 82, 83, 87, 102, 103, 109, 110, 114, 116, 118	-
12	18	2	Fosa I	X=102–104; Y=195,20–200	Ilasto-gliniasta warstwa spływowa; miąższość do 70 cm	10YR 5/4	1, 24	18, 50, 54, 101, 103
13	-	1	Południowy stok Wału I	X=101–102; Y=201,80–204,60	Kompleks naprzemiennych jaśniejszych i ciemniejszych frakcji; warstwa spływowa; miąższość do 10 cm	10YR 4/4	2, 24	4, 11, 46
14	15	3	Południowy stok Fosy II	X=104,70–105,80; Y=185–185,90	Wypełnisko obiektu 15; sypka piaszczysta ziemia, która tworzyła ciemniejszą od otoczenia plamę o prostokątno-owalnym kształcie (częściowo wchodzi w S ścianę wykopu); w jej obrębie widoczny był luźny bruk 16; miąższość do 14 cm	7,5YR 3/3	16, 19, 40	17, 58, 59, 63
15	15	3	Południowy stok Fosy II	X=104,30–105,90; Y=185–185,90	Jama z wypełniskiem warstw 58, 14 grup kamieni 17, 16, a także skupisk ceramiki 63 i 40; ściany obłożone dużymi kamieniami 59; częściowo wchodzi w S ścianę wykopu; głębokość ok. 35 cm	-	19, 58, 59	80
16	15	3	Południowy stok Fosy II	X=104,80–105,50; Y=184–184,65	Drobne, przepalone kamienie (średnica do 12 cm); tworzące luźny bruk w obrębie stropu wypełniska 14 obiektu 15	-	19	14

Tabela 1. Ciąg dalszy

Numer jednostki	Numer obiektu	Numer wykopu	Położenie w obrębie stanowiska	Współrzędne siatki pomiarowej stanowiska	Opis jednostki stratygraficznej	Barwa (Munsell)	Pozycja stratygraficzna	
							Znajduje się pod	Znajduje się nad
17	15	3	Południowy stok Fosy II	X=104,80–105,54; Y=185,10–185–75	Grupa dużych (długość do 30 cm) kamieni na SW stoku fosy wykopu 3	-	14	58
18	18	2	Fosa I	X=102–104; Y=195–200	Fosa między Wałem I a II; głębokość do 120 cm; szerokość 3,5–4 m	-	1, 9, 12, 24, 50, 54, 68, 101	11, 102, 103
19	-	3	Fosa II	X=104–106; Y=185–188,30	Jasna, piaszczysto-ilasta jednorodna ziemia; spływ z południowej krawędzi fosy; miąższość do 56 cm	10YR 5/4	1, 8, 26, 86	11, 14, 15, 16, 35, 40, 52, 59, 80, 84, 88
20	26	3	Fosa II	X=104–106; Y=187–188,80	Drobnopiaszczysta ziemia tworząca nieregulary pas w zagłębieniu fosy; stropowe wypełnisko fosy; miąższość do 55	7,5YR 4/6	1, 8, 123	26
21	-	4, 7, 8	Południowo-zachodnie zagłębienie przywałowe	X=111,26–116; Y=209–213,64	Warstwa jasnej ziemi na wewnętrznym stoku wału; miąższość do 28 cm	10YR 3/4	1, 22	36, 38, 51, 55, 61, 71, 105, 106
22	-	4	Południowo-zachodni obszar majdanu	X=112–114; Y=213–217	Piaszczysto-ilasta ziemia w pasie zagłębienia przywałowego u podnóża wewnętrznego stoku Wału I; miąższość do 20 cm	10YR 3/2	1	21, 38, 47
23	-	1	Wał I	X=100,80–102; Y=207–209,90	Kilka dużych kamieni u podnóża stoku wału na osi drogi prowadzącej przez Wał I; o średnicy do 30 cm; prawdopodobnie kamienie zsunięte lub spadłe z górnych warstw stoku wału w kierunku przejazdu	-	4, 5	27
24	-	1, 2	Południowe podnóże Wału I	X=100,90–104; Y=190,30–203	Ciemna piaszczysta ziemia, częściowo zhumusowana; widoczna w dolnej partii stoku wału; warstwa spływowa; miąższość do 20 cm	10YR 4/3	1, 8, 83	2, 12, 13, 18, 54, 101, 102, 103,
25	-	2	Wał II	X=103,70–104; Y=191,30–193,90	Nieregularny pas jasnej jednorodnej ilastej ziemi, znajdujący się przy E profilu wykopu; warstwa użytkowa pod nasypem wału; miąższość do 12 cm	2,5YR 8/1	10, 73	11
26	26	3	Fosa II	X=104–106; Y=187–188,80	Obiekt pozostały po pogłębieniu fosy; głębokość do 55 cm	-	1, 8, 20, 123	19, 35, 37, 84
27	-	1	Wał I	X=100,80–102; Y=206,80–211,30	Dość jednorodna piaszczysto-ilasta (miejscami zgliniona) ziemia; warstwa nasypu wału; z widocznymi na stropie dużymi kamieniami 23; miąższość do 40 cm	10YR 5/3	4, 5, 8, 23, 32, 34, 44, 94, 96, 98	45, 46
28	-	1	Przejście bramne przez Wał I	X=100–101; Y=209,72–213	Skupisko małych kamieni u podnóża zachodniego stoku wału w obszarze przejścia bramnego; luźny bruk	-	48	29
29=69	-	1	Przejście bramne przez Wał I	X=100–101,60; Y=209,50–213	Jednorodna ilasto-gliniasta ziemia pod brukiem kamienym 28 i 60; miąższość do 30 cm	5YR 4/2	8, 28, 48, 60	41, 45
31	32	1	Wał I	X=101,22–101,60; Y=208,46–208,86	Wypełnisko dołu posłupowego 32; owalna plama jednorodnej piaszczystej ziemi; miąższość do 10 cm	10YR 4/1	5	32
32	32	1	Wał I	X=101,22–101,60; Y=208,46–208,86	Okrągły dół posłupowy z wypełniskiem 31; o płaskim dnie i średnio stromymi ścianami; głębokość 10 cm	-	5, 31	27
33	34	1	Wał I	X=101,80–101,96; Y=206,90–207,10	Wypełnisko obiektu 34; luźna piaszczysta ziemia; miąższość do 14 cm	5YR 5/1	5	34
34	34	1	Wał I	X=101,80–101,96; Y=206,90–207,10	Dół posłupowy z wypełniskiem 33; o nieckowatym dnie i średnio stromych ścianach; głębokość 14 cm	-	5, 33	27
35	-	2, 3	Fosa II	X=103,10–106; Y=188,20–189,60	Warstwa spływowa w wypełnisku fosy; piaszczysto-ilasta ziemia; dość jednorodna; miąższość do 50 cm	10YR 4/3	19, 26, 37, 84, 123	52, 87, 88, 89
36	36	4, 8	Południowo-zachodnie zagłębienie przywałowe	X=112,40–114; Y=209,12–211	Bardzo słabo wyróżnialne zagłębienie przywałowe od strony majdanu (u podnóża północnego stoku Wału I); głębokość 50 cm	-	21, 51, 71, 106	55, 74, 108, 110, 114
37	-	3	Fosa II	X=105–106; Y=188,20–189	Gliniasta ziemia z wypełniska fosy; miąższość do 45 cm	10YR 3/2	1, 26, 123	35, 84
38	-	4, 7	Południowo-zachodni obszar majdanu	X=112–116; Y=211–217	Ciemna, zbita ziemia ilasta z drobinami polepy; liczne jasne wtręty; miąższość do 30 cm	7,5YR 3/4	21, 22, 47, 71	55, 57
39	-	5	Szczyt Wału I	X=103,60–104,40; Y=207,40–208,50	Luźne kamienie o średnicy do 20 cm, w obrębie górnej partii Wału I; nie tworzyły żadnej konkretnej struktury	-	2	3

Tabela 1. Ciąg dalszy

Numer jednostki	Numer obiektu	Numer wykopu	Położenie w obrębie stanowiska	Współrzędne siatki pomiarowej stanowiska	Opis jednostki stratygraficznej	Barwa (Munsell)	Pozycja stratygraficzna	
							Znajduje się pod	Znajduje się nad
40	15	3	Południowy stok Fosy II	X=104,80; Y=185,40	Skupisko drobnych fragmentów ceramiki w obrębie miąższości warstwy 14 (wypełnisko obiektu 15)	-	19	14
41	-	1	Przejście bramne Wału I, południowy stok Wału I	X=100–101; Y=200–213	Gliniasta ziemia na zachód od współczesnej koleiny; nasyp w obszarze przejścia bramnego; miąższość do 30 cm	10YR 5/4	1, 8, 29, 45, 48	11, 82
42	43	2	Wał II	X=103,30–103,60; Y=191,62–192,10	Wypełnisko dołka posłupowego 43; owalna plama jasnej, twardej zbitej piaszysto-ilastej ziemi; miąższość do 10 cm	10YR 7/1	10	43
43	43	2	Wał II	X=103,30–103,60; Y=191,62–192,10	Owalny dół posłupowy o płaskim dnie z wypełniskiem 42; średnica około 45 cm; głębokość 10 cm	-	10, 42	11, 25
44	-	1	Wał I	X=101,24–101,35; Y=210,20–210,26	Fragment spalonego drewna (grubej gałęzi lub bierwiona) o nieregularnym kształcie (10 x 13 cm) w orientacji E–W	10YR 2/1	4	27
45	-	1	Przejście bramne przez Wał I	X=100,20=101,60; Y=209,20–211	Poziom przepalonej ziemi i drobin węgla oraz pasm spalenizny; pozostałości konstrukcji bramnej; miąższość do 10 cm	2,5YR 3/6	8, 27, 29, 48	41, 46
46	-	1	Wał I	X=100,80–102; Y=203,80–211,20	Jasna, piaszczysto-ilasta niejednorodna siemia ziemia, nasyp wału; miąższość do 55 cm	5YR 7/8	4, 5, 8, 13, 27, 45, 94, 96, 98	11, 49, 82
47	-	4	Południowo-zachodni obszar majdanu	X=112,04–112,18; Y=215,08–215,58	Skupisko średnich (średnica do 16 cm) kamieni ostrokanciastych leżących na warstwie użytkowej	-	22	38
48	-	1	Przejście bramne przez Wał I	X=100–101,90; Y=208,70–213	Ilasto-pylasta ścisła ziemia; warstwa użytkowa przejścia bramnego; miąższość do 25 cm	5YR 5/1	1, 8	28, 29, 41, 45, 60
49	-	1	Wał I	X=100,84–102; Y=206,15–209,78	Drugi poziom dużych kamieni o wymiarach 20 x 30 cm; tworzyły „ławę" o horyzontalnym ułożeniu ograniczoną od W pasem szarej ziemi 30; prawdopodobnie pozostałości ściany bramy	-	46	11, 82
50	18	2	Fosa I	X=102,76–104; Y=196,86–198,40	Niższe wypełnisko fosy 18; przemieszana ziemia ilasto-gliniasta na dnie półkolistego zagłębienia (zamkniętego od strony zachodniej); w stropie pojedynczy kamień; miąższość do 25 cm	10YR 4/2	12, 54	18, 53, 101
51=107	36	4, 8	Południowo-zachodnie zagłębienie przywałowe	X=112,40–114; Y=209,12–211,50	Bardzo sypka ziemia piaszczysto-pylasta z drobinami węgli drzewnych i pomarańczowej polepy; zsuw do zagłębienia przywałowego, miąższość do 15 cm	2,5Y 4/4	21, 106	36
52=90	-	3	Fosa II	X=104=105,80; Y=186,14–188,90	Warstwa gliniastej, wilgotnej, mazistej ziemi z północnego stoku i dna fosy; oliwkowo-szaro-brązowa ziemia pod poziomem rozłożonego drewna 88; miąższość do 28 cm	10YR 4/2	19, 35, 84, 88	87, 89, 92
53	18	2	Fosa I	X=102,82–104; Y=197,55–198,08	Grupa dużych (średnica do 30 cm) i mniejszych (średnica do 10 cm) kamieni w spągu warstwy 50 w obrębie zagłębienia fosy 18, rozrzucone nieregularnie	-	50	101
54	18	2	Fosa I	X=102–104; Y=194,90–198,90	Warstwa stoku N Wału II; ilasto-piaszczysta; miąższość do 1 m	10YR 5/3	1, 8, 12, 24	9, 11, 18, 50, 68, 101
55	-	4, 8	Północny stok Wału I i południowo-zachodnie zagłębienie przywałowe	X=111–114; Y= 205,70–213,80	Warstwa sypkiej, piaszczysto-pylastej ziemi; zsuw z wału w stronę majdanu; miąższość do 60 cm	10YR 5/4	1, 21, 36, 38	2, 57, 74, 108, 111, 114, 115, 121
56	8=70=78	2	Ścieżka biegnąca przez wały i fosy grodziska od strony południowej	X=102,30–103,50; Y=189–196,20	Wąski pas ziemi piaszczysto-ilastej, ograniczający od zachodu skarpę Wału I i jednocześnie stanowiący wschodnią ścianę koleiny 8=70=78; widoczny na dystansie nieco ponad 6 m; prawdopodobnie wypełnisko współczesne; miąższość do 15 cm	10YR 5/1	7	8
57	-	4, 7	Południowo-zachodni obszar majdanu	X=112–116; Y=211–217	Jasna piaszczysto-ilasta ziemia; warstwa użytkowa; miąższość do 20 cm	10YR 6/2	38, 55, 71	11, 74

Tabela 1. Ciąg dalszy

Numer jednostki	Numer obiektu	Numer wykopu	Położenie w obrębie stanowiska	Współrzędne siatki pomiarowej stanowiska	Opis jednostki stratygraficznej	Barwa (Munsell)	Pozycja stratygraficzna	
							Znajduje się pod	Znajduje się nad
58	15	3	Południowy stok Fosy II	X=104,60–105,60; Y=185–185,75	Warstwa niższego wypełniska obiektu 15; przemieszana (drobne nieliczne węgle drzewne i drobne grudki gliny) szaro-popielato-brązowa, ilasto-gliniasta ziemia, ścisła, twarda; leżała w zagłębieniu otoczonym i częściowo wypełnionym dużymi kamieniami	10YR 4/3	14, 17, 63	15, 59
59	15	3	Południowy stok Fosy II	X=104,40–105,90; Y=185–185,60	Kilka dużych (długości do 0,5 m, średnicy 0,35–0,4 m) kamieni tworzących ściany i dnio jamy 15 w S zboczu fosy II	-	14, 19, 58	15
60	-	1	Przejście bramne przez Wał I	X=100–101,80; Y=212,20–213	Niższe kamienie (luźny bruk); w większości nieduże (średnicy ok. 5–10 cm)	-	48	29
61	71	4, 7	Południowo-zachodnie zagłębienie przywałowe	X=113,34–115,20; Y=210,12–212,24	Wypełnisko obiektu 71; piaszczysto-ilasta ziemia przemieszana z dużą ilością pomarańczowych polep, fragmentami węgli drzewnych i popiołami; miąższość do 40 cm	10YR 3/3	21, 65, 105	71
63	15	3	Południowy stok Fosy II	X=105,16–105,30; Y=185–185,09	Skupisko fragmentów ceramiki w wypełnisku jamy 15 (na poziomie występowania stropów niższych kamieni 59); częściowo tkwiła w południowej ścianie wykopu	-	14	58
65	71	4, 7	Południowo-zachodnie zagłębienie przywałowe	X=113,40–114,30; Y=211–211,88	Kilka dużych kamieni o średnicy do 30 cm	-	105	61
66	-	3	Południowy stok Fosy II	X=104–104,58; Y=185–185–40	Duże i mniejsze kamienie o średnicy od 10 do 25 cm; tworzyły ławę kamienną na warstwie naturalnej na krawędzi fosy	-	80	11
68	18	2	Fosa I	X=102,50–104; Y=195–195,82	Zsuw z południowego zbocza fosy 18; miąższość do 8 cm	10YR 5/1	54	10, 18
71	71	4, 7, 8	Południowo-zachodnie zagłębienie przywałowe	X=113,34–115,20; Y=210,12–212,24	Obiekt wypełniony piaszczysto-ilastą ziemią 61, kamieniami 65 i depozytem spalenizny 105; duża jama o owalnym kształcie; głębokość do 50 cm	-	21, 61	36, 38, 57, 74, 106, 114
72	73	2	Wał II	X=103,80–104; Y=193,90–194,40	Wypełnisko dołu posłupowego 73 z wnętrza nasypu wału; miąższość do 34 cm	10YR 5/2	10	73
73	73	2	Wał II	X=103,80–104; Y=193,90–194,40	Dół posłupowy (z wypełniskiem 72) z wnętrza nasypu Wału II, okrągły w planie stropu, ściany średnio strome; średnica do 50 cm; głębokość do 30 cm	-	10, 72	11, 25
74		4, 7, 8	Południowo-zachodnie zagłębienie przywałowe	X=111–116; Y=209,20–214,20	Twarda, ścisła, bardzo jasna warstwa piaszczysto-pylasta z jasnopopielato-brązowymi wytrąceniami; warstwa naturalna	10YR 7/2	36, 55, 57, 71, 114, 115, 121	11
75	8=70=78	2	Ścieżka na obszarze południowego stoku Wału II	X=102,60–103; Y=189–190,50	Jedno z wypełnisk głębokiego rowka 8=70=78 w S części wykopu; ilasto-gliniasta ziemia; miąższość do 15 cm	10YR 6/3	7, 83	8
76	-	6	Północno-wschodnia krawędź grodziska	X=109–114,60; Y=272–273	Zbita pylasto-piaszczysta warstwa; nasyp wału; miąższość do 60 cm	10YR 5/2	1, 77	85, 104
77	-	6	Północno-wschodnia krawędź grodziska	X=111–116; Y=272–273	Piaszczysto-ilasta warstwa podhumusowa; osuwisko wału; miąższość do 40 cm	10YR 6/3	1	76, 85
79	-	3	Fosa II	X=105–106; Y=185,80–187,10	Warstwa przemieszanej ciemnej ilasto-gliniastej ziemi z drobinami węgli drzewnych i drobnymi fragmentami polepy; relikt spalonej konstrukcji drewnianej; miąższość do 30 cm	10YR 6/2	80, 84	11, 81
80	-	3	Południowy stok Fosy II	X=104–106; Y=185–187,10	Duży płat zsuniętej gliny na południowym stoku fosy; warstwa erozyjna; miąższość do 30 cm	7,5YR 5/4	15, 19	66, 11, 79, 84
81	-	3	Południowy stok Fosy II	X=104,40–105,10; Y=185,60–186,10	Ziemia przemieszana z drobinami węgla oraz śladami spalonych bierwion; relikt spalonej konstrukcji drewnianej; miąższość do 10 cm	5YR 5/4	79, 84	11
82	-	1	Wał I	X=100–102; Y=206–211,20	Warstwa z podstawy nasypu wału I; bardzo jasna, ścisła, twarda ilasta ziemia o horyzontalnie biegnącym stropie; z jasnobrązowymi wtrąceniami i plamami; w jej stropie nieliczne węgielki; miąższość do 20 cm	10YR 7/2	8, 41, 46, 49, 94, 96, 98	11

Tabela 1. Ciąg dalszy

Numer jednostki	Numer obiektu	Numer wykopu	Położenie w obrębie stanowiska	Współrzędne siatki pomiarowej stanowiska	Opis jednostki stratygraficznej	Barwa (Munsell)	Pozycja stratygraficzna	
							Znajduje się pod	Znajduje się nad
83	-	2	Ścieżka na obszarze południowego stoku Wału II	X=102–102,75; Y=189–190,50	Depozyt jednolitej ilastej ziemi, związany ze wspołnecznym nawarstwieniem drogi; przylegał od zachodu ścieżki i był częścią stropu; miąższość do 20 cm	10YR 5/1	1	7, 8, 11, 24, 75
84	-	3	Fosa II	X=105–106; Y=186,70–188,60	Wypełnisko Fosy II, warstwa ilasto-gliniasta z nielicznymi drobinami węgla, z kamieniami w patrii stropowej; miąższość do 32 cm	7,5YR 5/6	19, 26, 37, 80	35, 52, 79, 81, 87, 88, 89
85	-	6	Północno-wschodnia krawędź grodziska	X=109–116; Y=272–273	Ciemnoszara zbita i przesycona drobinami spalonego drewna warstwa, w objętości której znaleziono także pojedyncze kamienie (głównie w W części wykopu)	10YR 5/1	76, 77, 104	99, 100
86	-	3	Południowy stok Fosy II	X=104,30–104,66; Y=185–185,52	Dwa duże kamienie (o średnicy do 25 cm) zsunięte z południowej krawędzi fosy na jej zbocze	-	1	19
87=91	-	2, 3	Fosa II	X=103,50–106; Y=186,60–189,90	Najniższa warstwa wypełniska fosy II; mazista, gliniasta, miękka, wilgotna ziemia; w stropie drobiny węgli drzewnych (cząstki rozłożonego drewna); miąższość do 15 cm	5YR 4/4	35, 52, 84, 89, 92	11
88	-	3	Fosa II	X=104,20–105,80; Y=187,40–188,10	Poziom spalonych lub rozłożonych na kolor czarny gałęzi (być może faszyn) w dolnej części wypełniska fosy	10YR 2/1	19, 35, 84	52
89	-	3	Fosa II	X=103,80–106; Y=188,50–189,20	Niższy poziom rozłożonych gałęzi (w wilgotnym środowisku glebowym na barwę czarną); być może ślad po faszynowaniu dolnej części północnego stoku Fosy II; warstwa nieciągła; miąższość do 8 cm	10YR 2/1	35, 52, 84	87
92	-	3	Fosa II	X=104–105,24; Y=187,90–188,70	Duże kamienie (o średnicy do 34 cm), tkwiące w warstwach niższych wypełniska Fosy II w północnej części wykopu	-	52	87
93	94	1	Wał I	X=101–101,60; Y=210,05–110,65	Wypełnisko bardzo dużego dołu posłupowego 96; przemieszana przepalona ziemia z dużą ilością fragmentów i drobin węgla drzewnego, od wschodu widoczny fragment glinianej obsypki; miąższość do 70 cm	7,5YR 4/2	4	94
94	94	1	Wał I	X=101–101,60; Y=210,05–110,65	Bardzo duży dół posłupowy w strefie bramnej Wału I; widoczny dopiero z poziomu warstwy 82; miał w przybliżeniu okrągły kształt o średnicy dna 60 cm; głębokość 70 cm	-	4, 93	27, 46, 82
95	96	1	Wał I	X=101,80–102; Y=210,20–210,70	Wypełnisko bardzo dużego dołu posłupowego 96; miąższość 50 cm	7,5YR 5/4	4	96
96	96	1	Wał I	X=101,80–102; Y=210,20–210,70	Bardzo duży dół posłupowy o zaokrąglonym dnie; średnica ok. 40 cm; głębokość 50 cm	-	4, 95	27, 46, 82
97	98	1	Wał I	X=101,60–101,80; Y=211–211,15	Wypełnisko dołu posłupowego 98; przemieszana ziemia słabo widoczna na tle nieco jaśniejszych warstw nasypu wału; miąższość prawdopodobnie do 60 cm	10YR 5/4	4	98
98	98	1	Wał I	X=101,55–101,80; Y=211–211,15	Dół posłupowy z wnętrza nasypu Wału I z wypełniskiem 97; układ zaburzony przez grube korzenie drzewa; widoczny w N przekroju pomocniczym; szerokość 25 cm; głębokość prawdopodobnie ok. 60 cm	-	4, 97	27, 46, 82
99	-	6	Północno-wschodnia krawędź grodziska	X=112–116; Y=272–272,45	Piaszczysta warstwa z ciemniejszymi i jaśniejszymi przebarwieniami; warstwa użytkowa; miąższość do 8 cm	2,5Y 5/2	85	100
100	-	6	Północno-wschodnia krawędź grodziska	X=109–116; Y=272–273	Piaszczysto-pylasta warstwa naturalna; calec	10YR 6/8	85, 99	-
101	18	2	Fosa I	X=102–104; Y=196,50–200	Piaszczysta warstwa erozyjna po opuszczeniu grodu we wczesnej epoce żelaza; miąższość do 20 cm	10YR 7/3	12, 24, 50, 53, 54	18
102	-	2	Południowe podnóże Wału I	X=102,18–104; Y=198,52–200	Gliniasta warstwa u podnóża wału; miąższość do 30 cm	10YR 6/6	18, 24, 103	11
103	-	1, 2	Północny stok Fosy I	X= 101,10–103,90; Y=197,70–201,05	Piaszczysta warstwa erozyjna; powstała po opuszczeniu grodu; miąższość do 20 cm	10YR 7/6	8, 18, 24	11, 102

Tabela 1. Ciąg dalszy

Numer jednostki	Numer obiektu	Numer wykopu	Położenie w obrębie stanowiska	Współrzędne siatki pomiarowej stanowiska	Opis jednostki stratygraficznej	Barwa (Munsell)	Pozycja stratygraficzna	
							Znajduje się pod	Znajduje się nad
104	-	6	Północno-wschodnia krawędź grodziska	X=109–112,20; Y=272–273	Piaszczysta warstwa nasypu niskiego wału; miąższość do 45 cm	10YR 4/3	76	85
105	71	4, 7, 8	Południowo-zachodnie zagłębienie przywałowe	X=113,60–114,72; Y=210,64–211,60	Piaszczysta warstwa spalenizny; miąższość do 15 cm	10YR 3/2	21	61, 65
106	36	4, 8	Południowo-zachodnie zagłębienie przywałowe	X=112,84–114; Y=209,52–211,50	Piaszczysto-ilasta osuwiskowa warstwa; miąższość do 15 cm	2,5Y 3/3	21, 71	36, 51
108	-	8	Szczyt Wału I	X=111–114; Y=205–209,40	Piaszczysta ziemia; nasyp wału; miąższość do 44 cm	7,5YR 5/6	2, 36, 55, 111	109, 110, 120
109	-	8	Wał I	X=111–114; Y=205–209,40	Sypka, piaszczysta ziamia; przemieszane frakcje ciemnożółte i szare; zawiera drobiny węgli; nasyp wału; miąższość do 110 cm	2,5YR 5/2	108, 110, 111, 115, 120	11, 112, 113, 116, 122
110	-	8	Południowo-zachodnie zagłębienie przywałowe	X=112–114; Y=207,40–211	Piaszczysta ziemia z drobinami węgli drzewnych; spływ z wału do zagłębienia przywałowego; miąższość do 60 cm	10YR 4/4	36, 108	11, 109, 116, 119
111	-	8	Południowo-zachodnie zagłębienie przywałowe	X=111–112; Y=208,20–211	Piaszczysta i niejednorodna warstwa; przemieszane frakcje żółtych i szarych pasm; występowały węgielki drzewne; warstwa spływowa; miąższość do 32 cm	10YR 5/4	2, 55	108, 109,115
112	-	8	Wał I	X=111,60–114; Y=205–207,52	Depozyty jednorodnej ilastej warstwy, w których występują nieliczne węgielki drzewne; miąższość do 10 cm	10YR 4/1	109	113
113	-	8	Wał I	X=111,60–114; Y=205–207,50	Przemieszana ilasta warstwa z żółto-szarymi frakcjami, w której występują węgle drzewne; nasyp wału; miąższość do 40 cm	10YR 6/6	109, 112	116, 122
114	-	8	Południowo-zachodnie zagłębienie przywałowe	X=111,80–114; Y=208,95–210,80	Ilasta ziemia, w której występowało skupisko wtrętów węglowych; warstwa użytkowa z fazy budowy wału; miąższość do 38 cm	7,5YR 4/6	36, 55, 71, 110, 119, 121	11, 74
115	-	8	Południowo-zachodnie zagłębienie przywałowe	X=111–113,80; Y=208,80–211	Pylasta warstwa z nielicznymi węgielkami drzewnymi; spływ w zagłenieniu przywałowym; miąższość do 48 cm	10YR 5/3	55, 111	74, 109, 121
116	-	8	Podstawa Wału I	X=111–114; Y=205–209	Ilasta warstwa z węgielkami i śladami spalenizny; poziom budowy wału; miąższość do 20 cm	10YR 5/4	109, 110 113, 118, 122	11
117	118	8	Wał I	X=112,56–113,06; Y=205,44–206,02	Piaszczyste wypełnisko dołu posłupowego 118; miąższość 10 cm	10YR 7/1	113	118
118	118	8	Wał I	X=112,56–113,06; Y=205,44–206,02	Obiekt znajdujący się w nasypie wału; kształt owalny o stromych ścianach; głębokość 10 cm; dół posłupowy	-	113, 117	11, 116
119	-	8	Południowo-zachodnie zagłębienie przywałowe	X=112,92–114; Y=208,64–209,85	Ciemnobrązowa ilasta warstwa znajdująca się w NE części wykopu; miąższość do 15 cm	7,5YR 3/2	110, 115	114
120	-	8	Wał I	X=113,50–114; Y=205–205,70	Ilasta warstwa zawierająca fragmenty węgielków drzewnych; miąższość do 12 cm	2,5Y 4/2	108	109
121	-	8	Południowo-zachodnie zagłębienie przywałowe	X=111–112; Y=210,80–211	Piaszczysto-pylasta warstwa w NW części wykopu; zawierająca nieliczne fragmenty węgielków drzewnych; miąższość do 18 cm	10YR 5/4	55, 115	74, 114
122	-	8	Wał I	X=111–112,38; Y=205–207,68	Przemieszana ilasta warstwa z przeważającą ilością szarych frakcji; nasyp wału, w którym występują węgielki drzewne; miąższość do 30 cm	10YR 6/4	109, 113	116
123	-	2, 3	Południowy stok Wału II	X=103,10–105,50; Y=187,80–191,40	Warstwa osuwowa powstała przez erozję warstwy 9; miąższość do 28 cm	10YR 5/3	1, 8	9, 20, 26, 35, 37

300% SEN. Pod względem chronologicznym na zespół ten składały się 263 fragmenty ceramiki z wczesnej epoki żelaza, 106 fragmentów ceramiki średniowiecznej oraz 13 fragmentów naczyń późnośredniowiecznych, silnie obtaczanych, „siwych" i z polewą (tab. 2). Analizowany materiał ceramiczny wykazuje cechy zniszczenia, częściowego przepalenia (34 fragmenty) i wyplukania powierzchni (99 fragmentów). Fragmenty naczyń zostały zakwalifikowane głównie do II i III kategorii erozji według schematu zaproponowanego przez A. Buko[11]. Pierwotna powierzchnia zewnętrzna jest często zatarta na większej części zachowanego fragmentu i widoczna jedynie na niewielkich partiach wylewu, zagłębionej szyjce lub na skraju brzuśca. Zjawisko to dotyczy zarówno ceramiki starożytnej, jak i wczesnośredniowiecznej. Fragmenty pozbawione erozji (kategoria 0) pochodzą z warstw najmłodszych, z ceramiką silnie obtaczaną, „siwą" i pokrytą polewą. Wyraźnie zaznacza się rozdrobnienie materiału ceramicznego, zawierającego się głównie w przedziałach wielkościowych między 3 a 4 cm. Materiał z wczesnej epoki żelaza ma więcej fragmentów drobnych i zniszczonych, większe fragmenty występują sporadycznie. Natomiast ułamki naczyń z wczesnego średniowiecza zachowały się głównie w większych rozmiarach (tab. 3).

Ceramika z wczesnej epoki żelaza

W omawianym materiale można wyróżnić 263 fragmenty ceramiki datowanej na okres wczesnej epoki żelaza. Są to niewielkie części naczyń, silnie rozdrobnione, których wielkości zawierają się głównie między 2 a 4 cm, najczęściej spłukane, zniszczone i niekiedy nawet silnie przepalone, co utrudnia ich opis i klasyfikację. Cechy dobrze zachowanych fragmentów, głównie brzuśców, ale też – choć nieliczne – części z zachowanym wylewem wskazują, że pochodzą z naczyń o powierzchni chropowaconej. Fragmenty brzuśców, części przydenne i nieliczne fragmenty z wylewem ornamentowanym (tabl. 1:9), o powierzchni pokrytej drobnymi zmarszczkami glinki chropowacącej, wskazują na sporadyczne użytkowanie przez mieszkańców grubościennych, dużych naczyń. Są to raczej niewielkich rozmiarów, cienkościenne naczynia chropowacone od brzegu (tabl. 2:3), o średnicy wylewu wynoszącej 12–18 cm i małe naczynia o powierzchni gładkiej (tabl. 1:1, 5, 8, 10, 13). Liczne ślady przepalenia i spłukania powierzchni ścianek świadczą o silnych niszczących procesach podepozycyjnych, zachodzących w miejscach ich zalegania. Zdecydowana większość fragmentów z wylewem, podobnie jak brzuśce, wykazują ślady silnego zniszczenia, co utrudnia analizę form naczyń. Lepiej zachowane, choć także małe fragmenty, pochodzą z naczyń o powierzchniach czarnych wyświeconych, których nieliczne brzuśce i wylewy znaleziono w jednostkach stratygraficznych 19, 20, 21, 22, 63 i 114. Są to fragmenty pochodzące z niewielkich rozmiarów naczyń (tabl. 1:1, 4–5, 7–8, 10, 13; 2:4–5), o równej, gładkiej matowej czy silnie wygładzonej lub wyświeconej powierzchni, także najczęściej wygładzonej oraz wypolerowanej od wewnątrz. Te małe formy o starannie opracowanych ściankach pochodzą prawdopodobnie z tzw. naczyń stołowych, są barwy czarnej, ale też beżowej i czerwonawo-brązowej (5YR 5/4). Masa ceramiczna tych naczyń zawiera domieszkę o zróżnicowanej granulacji, w tym także duże ziarna o średnicy 2 mm, i w przeważnie dużej ilości, mimo cienkościenności ścianek naczyń. Ułamki wszystkich rodzajów naczyń w swej masie ceramicznej zawsze zawierają mikę.

Zachowane górne fragmenty tych naczyń mają zróżnicowane średnice wylewu w zależności od typu: są to cienkościenne naczynka małych rozmiarów, miniaturowe naczynka, dzbanuszki, czarki o średnicy 6–14 cm (tabl. 2:1, 4); szerokootworowe misy o średnicy 13–24 cm (tabl. 1:11–12; 2:2). Występują też naczynia esowate o średnicy wylewu wynoszącej 17–18 cm, zaopatrzone w szyjkę (tabl. 3:7; 4:5–6, 8), a brzuśce są lekko uwypuklone (tabl. 1:3, 7–8). Choć o obecności uch świadczą jedynie ślady odłamań na ściankach, można sądzić, że są to najprawdopodobniej czerpaki lub dzbanki niedużych rozmiarów. Występują też fragmenty przepalone, co może świadczyć o spaleniu grodu. Jeden z takich fragmentów górnej części naczynia pochodzi z formy masywnej o długiej cylindrycznej szyjce z mocnymi wgłębieniami na brzegu (tabl. 1:6). Ścianki naczyń, choć niekiedy wygładzane tłustą, czarną glinką są nierówne i mają niewielkie nierówności częściej pod wylewem. Podobnie, przepalony fragment naczynia z pogrubionym, wydzielającym się wylewem (tabl. 1:3) ma spękaną powierzchnię, która pierwotnie była gładka z charakterystycznym czarnym wnętrzem. W jednostce stratygraficznej 21 odkryto ułamek małego naczynia sitowatego (tabl. 3:3), o średnicy wylewu wynoszącej 9 cm, którego otwory nie zostały przekłute na wylot. Jego czerwonawo-szara (5YR 5/2) powierzchnia jest lekko zagładzona po wykonaniu nakłuć, co spowodowało wyrównanie ścianki i brzegów wokół otworków.

Fragmenty większych, grubościennych naczyń (grubości do 1 cm w partiach przydennych i ok. 0,8 cm w partii brzuśców), z pogrubionym wylewem o średnicy ok. 18 do 21 cm, także mają powierzchnie wygładzane, niekiedy powlekane tłustą gliną, której resztki widoczne są miejscami na zachowanych powierzchniach. Występują także części naczyń o wnętrzu wyłożonym czarną, tłustą glinką. Nakładana cienką warstwą, poziomymi pasmami przykrywała masę ceramiczną ścianki naczynia. Były to naczynia o mocno wypolerowanej powierzchni wewnętrznej dla zachowania lepszej szczelności. Jednak zachowane są w zbyt małych fragmentach, aby można było określić ich formę. Można jedynie domniemywać, że mogą to

[11] Buko 1990a.

Tabela 2. Zestawienie ilościowe fragmentów ceramiki z grodziska w Podągach, st. 2 (oprac. U. Kobylińska)

Faza	Jednostka stratygraficzna	Liczba fragmentów łącznie	Liczba różnych naczyń	Wylewy			Szyjki	Brzuśce										Dna								Ceramika „siwa”	Ceramika z polewą	Fragmenty przepalone	Fragmenty o wypłukanej powierzchni	Chronologia		
									Rodzaj powierzchni				Ornamentowane							Rodzaj			Cechy den									
				Liczba fragmentów	SEN(procent obwodu)	Ornamentowane		Liczba fr. ogółem	Chropowacone	Gładkie	Wyświecane	Szorstkie	Nieokreślone	Żłobki dookolne	Linia falista	Ornament plastyczny	Odciski	Części przydenne	Liczba fragmentów	SEN (procent obwodu)	Wklęsłe	Lekko wklęsłe	Płaskie	Na podsypce	Wałek dookolny					Wczesna epoka żelaza	Wczesne średniowiecze	Późne średniowiecze i nowożytność
0	11=62=67	4	1	1	5			3	2	1																		2	4		
IA	27	2						2	2							1												1	2		
IA	28	1						1		1																			1		
IA	29	2						2		1			1															1	1	2		
IA	41	1						1	1																			1	1		
IA	46	10	1	1	2			8	5				3					1											9	10		
IA	48	6						5		5									1			1		1					5	6		
IA	57	2						2	2																				2		
IA	82	5						5	3	1		1																1	3	5		
IA	85	3						1	1									2												3		
IA	109	18	2	2	11	1		15	11	1		3							1			1							2	18		
IA	112	3						3	3																				3		
IA	113	7						6	5				1					1											2	7		
IA	114	10	3	3	13			7	5			1	1															2	3	10		
IB	35	1						1	1																				1		
IB	110	1						1					1																1	1		
IC	3	1					1																						1		
IC	14	4						4		1			3															3	3	4		
IC	15	1	1	1	6																								1	1		
IC	37	1						1	1																					1		
IC	58	18	1	3	15			14	1	7	2	4						1												18		
IC	63	5	2	2	9		1	2		2																				5		
IC	108	10	3	3	29	1		5	4				1					2										1	2	10		
II	2	29						28	14	4	1	3	6	1				1											11	29		
II	13	2						1				1						1											1	2		
II	19	15	3	3	7			12	3	1		4	4															4	6	15		
II	55	2						2	1			1																	2	2		
II	111	2	1	1	3			1	1																				1	2		
II	115	1						1	1																				1	1		
IIIA	20	2	1	1	6	1		1		1																				2		
IIIA	38	53	5	7	35	1		39	9	2		27	2	8	3		1	1	5	65	3		1	3	2			5	11	28	23	
IIIA	51=107	8	1	1	12			5	1			4		4				1	1									2	2	1	7	
IIIA	76	5						3	1			2		2				1	1	10			1	1					2	1	4	
IIIA	106	1						1				1																		1		
IIIB	61	16	1	1	6			14	2	1		11						1										1	3	5	11	
IIIC	21	45	6	6	35		1	31	10	2		17	2	7	1			4	3	27	1		2	3				8	12	17	26	
IIIC	22	44	1	5	29			26	3			19	3	5				6	6	77	5	1		6	5	4		3	8	11	28	5
IV	12	7	1	1	5			4				3	1	3				1	1	25		1		1		3			1	1	3	3
V	1	40	3	1	8	1	2	31	5	8	1	15	2	3					4	112			1			2	1	2	4	32	3	3
Suma		**388**	**37**	**43**	**236**	**5**	**5**	**289**	**98**	**39**	**4**	**117**	**31**	**33**	**4**	**1**	**1**	**24**	**23**	**316**	**9**	**4**	**5**	**15**	**7**	**9**	**1**	**33**	**101**	**266**	**105**	**11**

Tabela 3. Fragmentacja i erozja fragmentów ceramiki z grodziska w Podągach, st. 2 (oprac. U. Kobylińska)

Faza	Jedn. strat.	Kategorie wielkościowe [cm]											Stopień erozji				Suma
		1	2	3	4	5	6	7	8	9	10	11	0	I	II	III	
0	11=62=67			1	1	2								2	1	1	**4**
IA	27			1			1									2	**2**
IA	28				1										1		**1**
IA	29				2									1		1	**2**
IA	41				1										1		**1**
IA	46		1	2	4	2			1						3	7	**10**
IA	48		2	2	2									1	3	2	**6**
IA	57				2									2			**2**
IA	82			2		2	1								2	3	**5**
IA	85					1		1		1					2	1	**3**
IA	109			2	8	4	1	1	1			1		12	5	1	**18**
IA	112			1		2								3			**3**
IA	113			1	3	3								6		1	**7**
IA	114			3	3	2	2							2	6	2	**10**
IB	35			1										1			**1**
IB	110			1											1		**1**
IC	3			1										1			**1**
IC	14			1	3										1	3	**4**
IC	15						1								1		**1**
IC	37		1												1		**1**
IC	58		4	6	6	2								13	4	1	**18**
IC	63			3	2									3	2		**5**
IC	108			1	5	1	2		1					2	6	2	**10**
II	2		2	10	10	3	4						1	5	15	8	**29**
II	13				1		1								1	1	**2**
II	19			2	9	3	1							3	7	5	**15**
II	55			1		1										2	**2**
II	111				1		1								1	1	**2**
II	115				1											1	**1**
IIIA	20			2										1		1	**2**
IIIA	38			17	18	4	8	5		1				22	24	7	**53**
IIIA	51=107				3	1	2	1	1				4		1	3	**8**
IIIA	76			1	1	2	1							4	1		**5**
IIIA	106					1								1			**1**
IIIB	61		1	6	8			1						11	3	2	**16**
IIIC	21		2	17	13	6	3	1	1	2			2	24	11	8	**45**
IIIC	22		2	18	8	8	4	2	1		1			20	16	8	**44**
IV	12			4		2	1						3	1	2	1	**7**
V	1	1	6	14	9	7	3						2	7	23	8	**40**
Suma		**1**	**21**	**120**	**124**	**57**	**37**	**12**	**6**	**4**	**1**	**1**	**12**	**146**	**144**	**82**	**388**

być fragmenty takich form, jak czerpaki, misy, naczynia zasobowe, wazy lub amfory. Masywne pogrubione wylewy o gładkich brzegach mogą też pochodzić z dużych naczyń zasobowych, zapewne chropowaconych w dolnych, niezachowanych partiach. Mogą tylko potwierdzać ten fakt licznie występujące w materiale zabytkowym grubościenne brzuśce chropowacone, nie pasujące do małych naczyń z ornamentowanym brzegiem, omawianych wyżej.

Ornamentyka naczyń z tej fazy chronologicznej jest skromna. Jeden z zachowanych grubościennych brzuśców ma doklejaną plastyczną listwę z zaznaczającymi się wgłębieniami (tabl. 1:2). Jedno masywne, grubościenne naczynie ma na wylewie o średnicy ok. 26 cm mocne owalne wgłębienia wykonane palcami. Jego powierzchnia jest równa, ale słabo opracowana, szorstka (tabl. 1:6).

Zespół ceramiki z wczesnej epoki żelaza można wiązać z II fazą kultury kurhanów zachodniobałtyjskich.

Ceramika z najstarszych faz wczesnego średniowiecza

W nawarstwieniach grodziska (jednostki stratygraficzne 38, 61 i 109) wystąpiły fragmenty, mocno zniszczone i przepalone, zróżnicowanych w kształcie naczyń, których wylewy w dwóch przypadkach zostały ozdobione nacinaniem. Jedno naczynie, esowate,

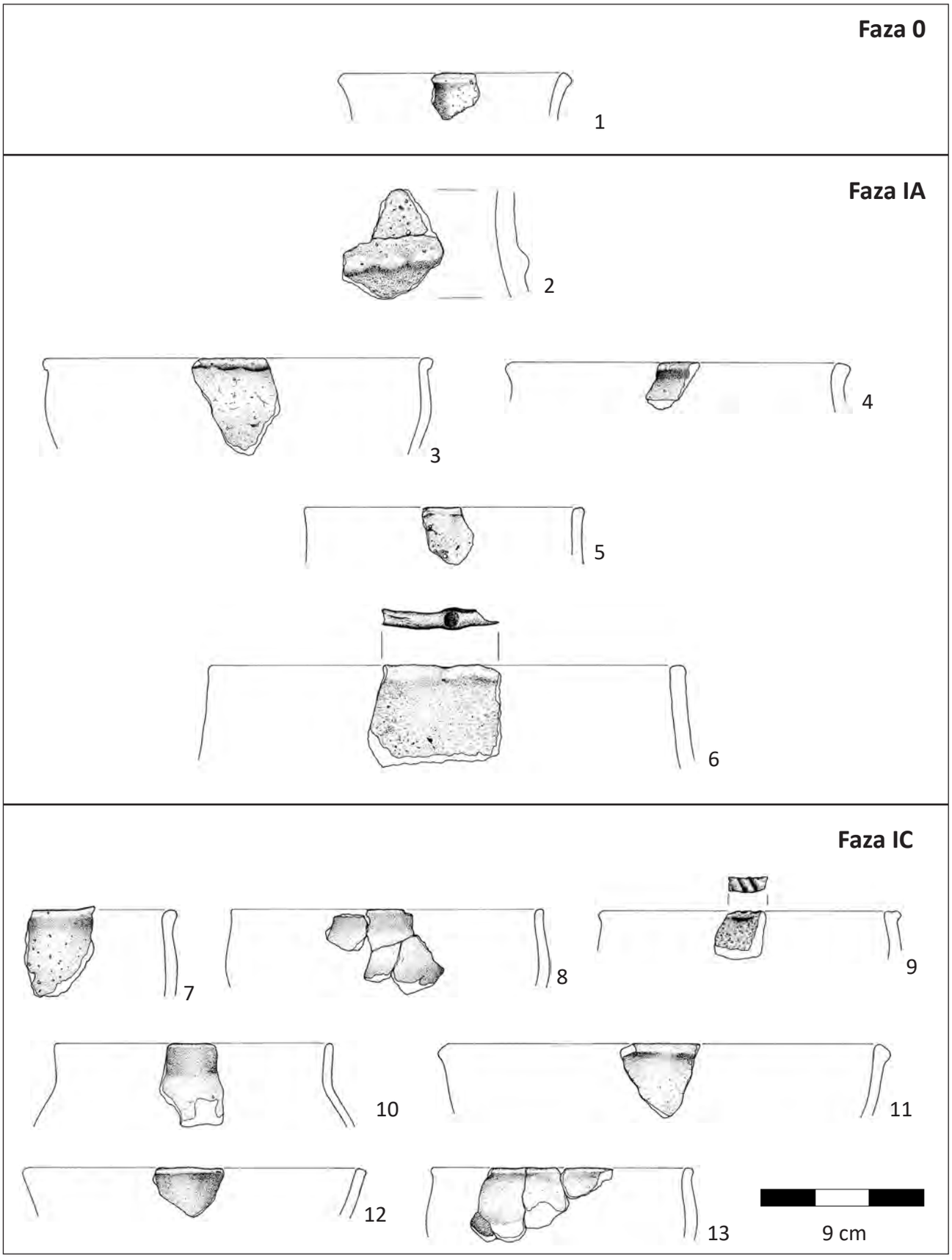

Tablica 1. Podągi, st. 2. Ceramika z nawarstwień Fazy 0, IA i IC (rys. D. Wach)

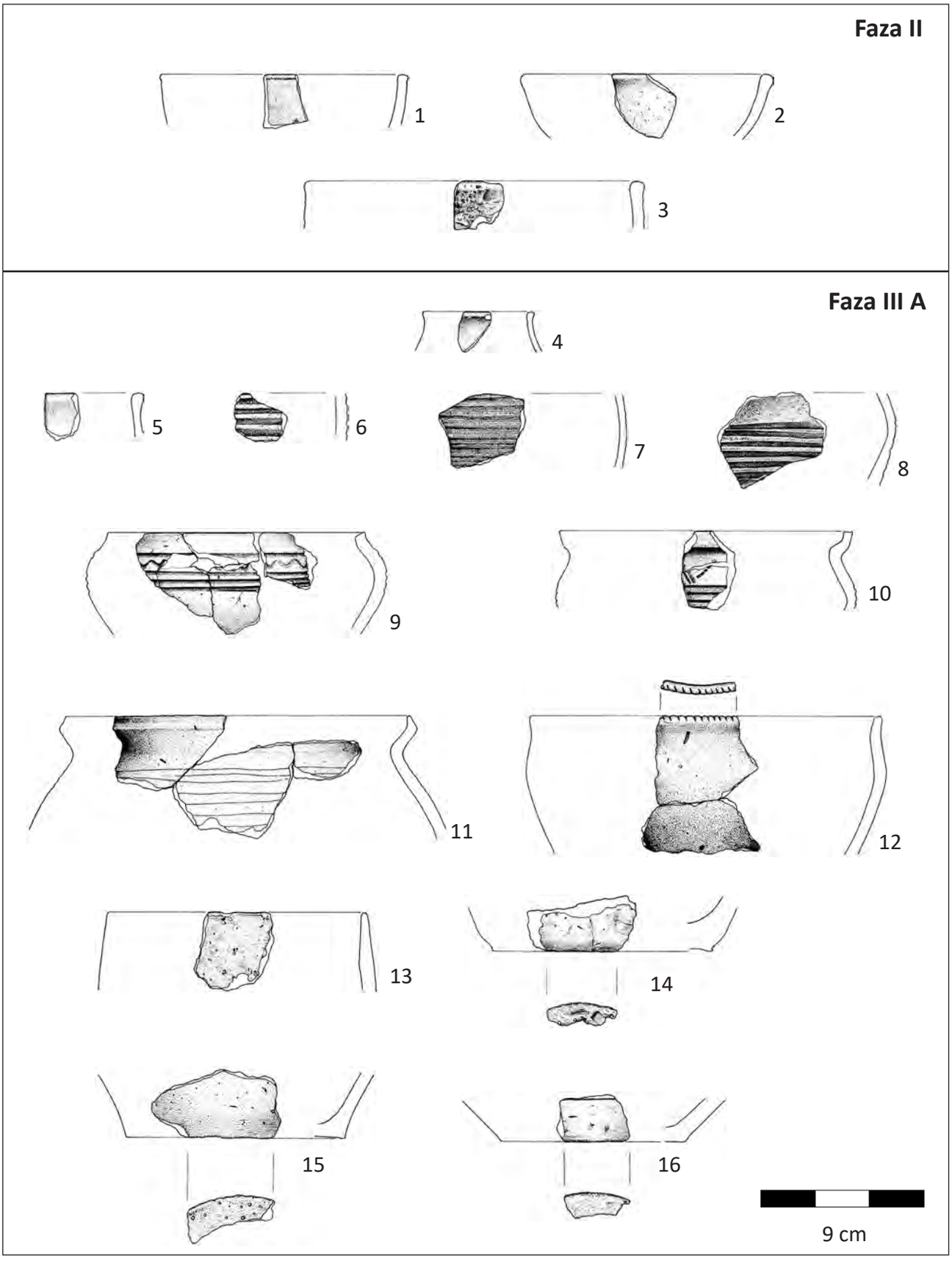

Tablica 2. Podągi, st. 2. Ceramika z nawarstwień Fazy II i IIIA (rys. D. Wach)

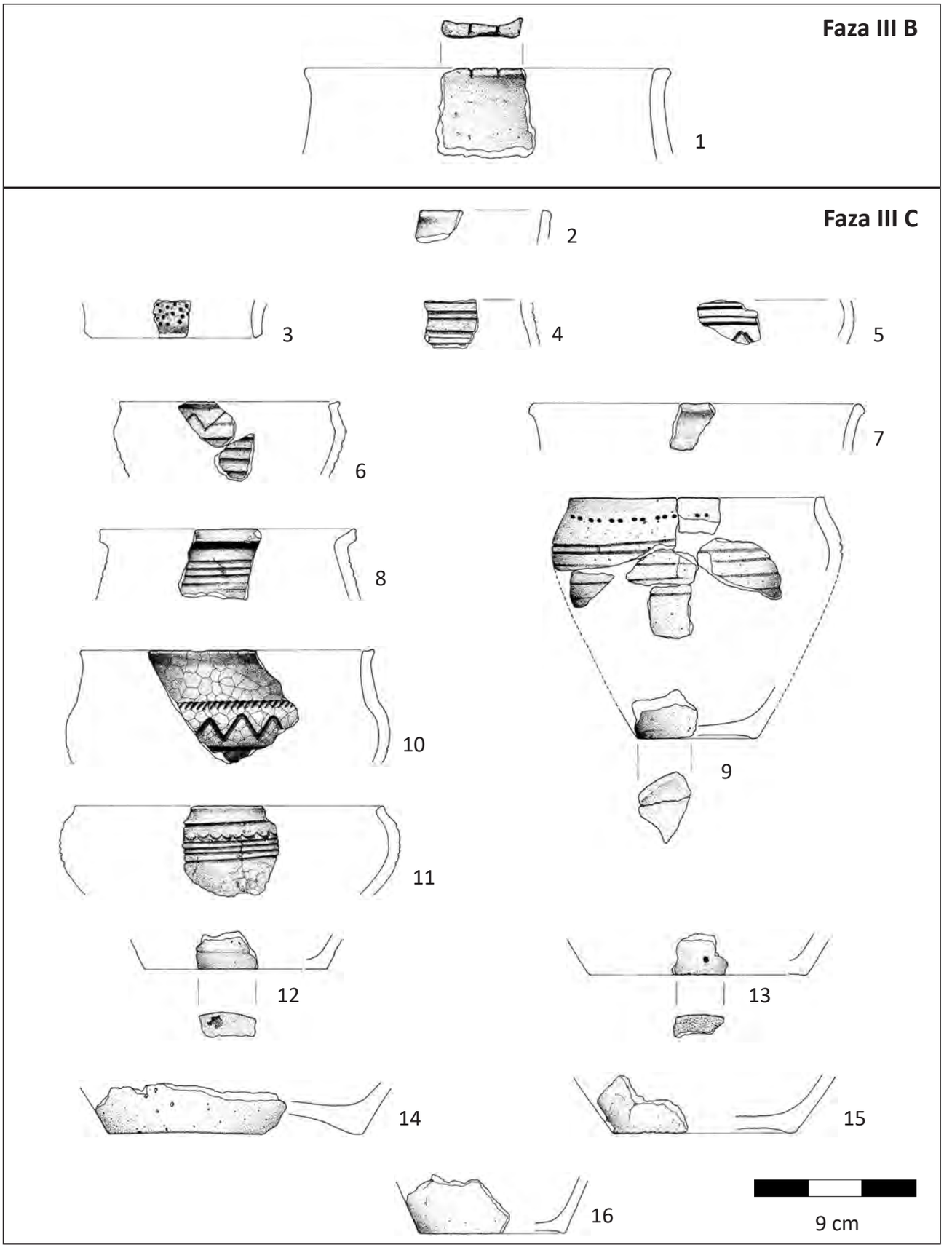

Tablica 3. Podągi, st. 2. Ceramika z nawarstwień Fazy IIIB i IIIC (rys. D. Wach)

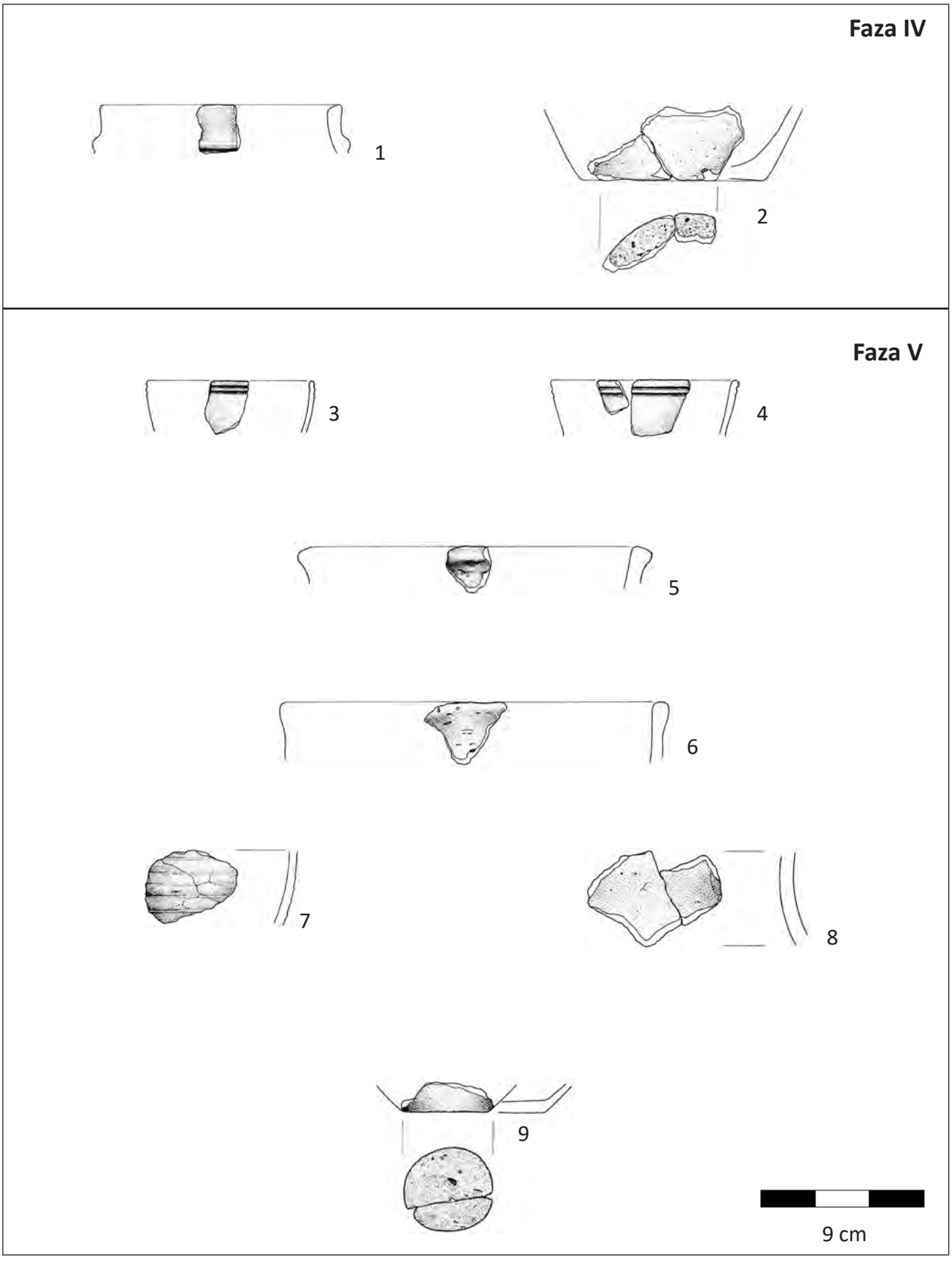

Tablica 4. Podągi, st. 2. Ceramika z nawarstwień Fazy IV i V (rys. D. Wach)

lekko baniaste, miało powierzchnię prawdopodobnie pierwotnie gładką, choć obecnie jest ona mocno zatarta i widoczna jedynie śladowo. Nacięcia na wylewie są wąskie, głębokie, wykonane cienkim narzędziem (tabl. 2:12). Inne naczynie o powierzchni ze śladami przepalenia to masywny garnek z wydzielona szyjką. Nacięcia na wylewie są rzadko rozmieszczone i głębokie. Było to naczynie o średnicy wylewu wynoszącej 20 cm, z poszerzonym, spłaszczonym brzegiem (tabl. 3:1). Tego typu naczynia występują niekiedy w materiałach z najstarszych faz wczesnego średniowiecza i związane są ze strefą leśną osadnictwa. Nie można zatem wykluczyć w Podągach, st. 2 osadnictwa, zapewne krótkotrwałego, niewielkiej grupy w tym okresie. Podobne naczynia są sporadycznie znajdywane na innych stanowiskach osadniczych z obszaru Warmii i Mazur, np. w grodzisku w Ornowie-Lesiaku, gm. Ostróda[12], czy w Janikach Wielkich, st. 2, gm. Zalewo[13]. Obecność tej fazy potwierdzone zostało wynikami datowania absolutnego metodą termoluminescencji jednego z fragmentów ceramiki tego rodzaju (ryc. 29), pochodzącego z warstwy 38, w której znaleziono więcej fragmentów tego rodzaju, które wskazało na przedział lat 516–698, a więc okres VI–VII w. n.e.[14]

Ryc. 29. Podągi, st. 2. Fragment ceramiki z najstarszych faz wczesnego średniowiecza poddany datowaniu termoluminescencyjnemu (fot. R. Solecki)

Ceramika wczesnośredniowieczna

Rozwinięte fazy wczesnego średniowiecza reprezentuje w analizowanym zbiorze 106 fragmentów ceramiki. Fragmenty ceramiki z tego okresu są rozproszona w różnych warstwach stanowiska. Najwięcej ceramiki wczesnośredniowiecznej pochodzi z jednostek stratygraficznych Fazy IIIA (36, 38 i 51), IIIB (61), IIIC (21 i 22) i V (7). Materiał ceramiczny z tego okresu jest dobrze zachowany w większych fragmentach i reprezentuje I i II kategorię erozji. W zespole ceramiki z tej fazy chronologicznej zidentyfikowano jedynie osiem górnych części naczyń z wylewem. Są to różne formy garnków wykonane z czerwonawo-brązowej (5YR 6/6, 6/8) masy ceramicznej, z dużą zawartością domieszki ziaren o zróżnicowanej granulacji oraz miki, charakteryzujące się przeważnie trójwarstwowym przełamem. Ich ścianki są pokryte okopceniem, spalenizną, a niekiedy są przepalone, co świadczy o użytkowaniu w czasie termicznej obróbki potraw. Procesy wykończeniowe opracowywania ścianek naczyń (między innymi zagładzania wylewu czy szyjki), poprzez powleczenie cienką warstwą glinki powodowało wyrównywanie powierzchni. Wszystkie te działania, w połączeniu ze sposobem wypału w niskiej temperaturze i zapewne otwartych paleniskach, powodowało, że barwa ścianek jest niejednolita, brązowo-czarna, czerwonawo-brązowa, jasnobrązowa i czerwonawo-żółta (5YR 5/3, 5YR 5/4, 7,5YR 6/4, 7,5YR 6/6). Powierzchnie naczyń wykazują ślady obtaczania jedynie w górnych partiach (tabl. 3:9), ale w niektórych przypadkach także na całej zachowanej powierzchni (np. tabl. 3:11) oraz zagładzania głównie w górnych partiach. Ozdabianiem naczyń były wykonane ostrym rylcem głębokie, wyraźne wzory linii zygzakowatej, dookolnych żłobków wąskich lub szerokich poziomych, ukośnych, krótkich odcinków oraz okrągłe kółeczka, a także nakłucia (tabl. 2:6–10; 3:4–6, 8–11; 4:7). Ryte ornamenty mają niskie, zatarte krawędzie.

Garnki z grodziska w Podągach, st. 2 mają zarówno proste, płasko ścięte wylewy (tabl. 3:9), jak i wylewy profilowane z zaznaczonym od wewnątrz lub od góry miejscem na pokrywę (tabl. 2:9–11; 3:8, 10). Są to przykłady niedużych naczyń baniastych o średnicy wylewu wynoszącej od 14 do 19 cm. Wydaje się, iż były to naczynia przeznaczone do gotowania, mimo ich średnich wielkości i – jak się wydaje – niedużej pojemności. Na powierzchniach zewnętrznych oraz najczęściej na wylewie i w zagłębieniu profilowanego brzegu widoczna jest bowiem czarna spalenizna lub plamy okopcenia.

Dna naczyń z tego okresu można określić jako wklęsłe i lekko wklęsłe. Mają one średnice wynoszące ok. 8 do 10 cm. Są to dna i części przydenne nieco nierówne, słabo zagładzone, na podsypce, niekiedy z mocno spłaszczonym, słabo zaznaczającym się wałkiem dookolnym (tabl. 2:14–16; 3:12–16; 4:2, 9).

Naczynia tego rodzaju mają analogie np. w Bogdanach, gm. Frombork, pow. braniewski[15], czy w materiale z grodziska w Zajączkach, gm. Ostróda (grupa 7 i 10) oraz Mozgowa (grupa 1, 2 i 5)[16]. Ze względu na fakt, że w zespole tym współwystępują naczynia obtaczane jedynie w górnych partiach z naczyniami obtaczanymi całkowicie, można datować go ogólnie na X–XI w., ewentualnie początek XII w.

Ceramika z późnego średniowiecza

Z jednostki stratygraficznej 48 pochodzi jeden mały fragment garnka z szerokim przegłębionym brzegiem,

[12] Wadyl 2013b: ryc. 18:f.

[13] Por. opracowanie wyników badań tego grodziska, w niniejszej publikacji.

[14] Kobyliński 2016: 107.

[15] Gazda *et al.* 2013: ryc. 52:c, g.

[16] Por opracowanie wyników badań tych grodzisk, w niniejszej publikacji.

o powierzchni zagładzonej i ze śladami silnego obtoczenia, o średnicy wylewu wynoszącej ok. 13 cm. Jest to fragment naczynia o formie dzbana (tabl. 4:1) tzw. „siwego", o powierzchni szorstkiej, z mocniej wygładzonym wnętrzem, pochodzącego z późnego średniowiecza. Pozostałe fragmenty naczyń tzw. „siwych", o matowej powierzchni, to jedynie niewielkie części brzuśców. Z warstw powierzchniowych i przemieszanych pochodzą także fragmenty cienkościennych naczyń z polewą. Naczynia te wykonane są z ceglastej masy ceramicznej. Fragmenty z wylewem pokryte są brązową polewą. Są wśród nich m.in. czarki i kubki o prostych ściankach, o średnicy ok. 9–10 cm (tabl. 4:3–4). Ceramika ta pochodzi najprawdopodobniej z XV lub z XVI w.

Zabytki wydzielone

KAMIL RABIEGA

Na obszarze majdanu (W4) odkryto trzy fragmenty metalowego naczynia, jeden fragment żużla, a także jeden krzemień. Co więcej, podczas badań w 2014 roku miejscowy leśniczy dostarczył kierownikowi ekspedycji zabytek pozyskany nielegalnie za pomocą wykrywacza metali. Był to nadtopiony przedmiot z brązu o wymiarach 3,5 x 3,6 cm, który stanowi być może pozostałość ozdoby, lecz niestety stan zachowania nie pozwala na wiarygodną interpretację przeznaczenia znaleziska. Zabytek ten miał być znaleziony w północnej części grodziska.

KOŚCI ZWIERZĘCE

ANNA GRĘZAK

W trakcie badań wykopaliskowych w 2014 roku odkryto trzy elementy szkieletu zwierząt z nawarstwień wczesnośredniowiecznych. Jednym z nich był fragment przepalonego trzonu śródstopia sarny (warstwa humusu leśnego 1 na szczycie Wału I, W5), a dwa kolejne stanowiły zęby trzonowe czaszkowe konia (piaszczysta warstwa spływowa 21 w zagłębieniu przywałowym, W4).

Dodatkowo, w trakcie badań w 2016 roku natrafiono na dwa fragmenty szkieletu zwierząt, które znajdowały się w jednorodnej zbitej ziemi 38 (W7). Warstwa ta stanowiła główną warstwę użytkową we wczesnym średniowieczu.

SZCZĄTKI ROŚLINNE

MARIA LITYŃSKA-ZAJĄC I MAGDALENA MOSKAL-DEL HOYO

Na stanowisku 2 w Podągach natrafiono na szczątki roślinne w dziewięciu próbach archeobotanicznych. Pięć z nich pochodzi z nawarstwień wczesnej epoki żelaza, a cztery z okresu wczesnego średniowiecza (tab. 4). Z Fazy IA (budowa i użytkowanie grodu we wczesnej epoce żelaza) pobrano po jednej próbie z ilastej warstwy z wtrętami węgli 114 oraz ilastej warstwy z węgielkami i śladami spalenizny 116, które stanowiły poziom przygotowania do budowy wału I (W8). Analizie poddano także dwie próby z przepalonej ilasto-gliniastej ziemi 29=69, położonej w obrębie przejścia bramnego przez Wał I (W1). Z Fazy II (opuszczenie grodziska z wczesnej epoki żelaza) pobrano piaszczystą ziemię z węgielkami drzewnymi 111, która znajdowała się na wewnętrznym stoku wału I i gromadziła się w zagłębieniu przywałowym (W8). Z Fazy IIIA i IIIC (wczesne średniowiecze) pobrano i poddano analizie trzy próby gleby z ilastej warstwy 38 zawierającej drobiny polepy i węglanów wapnia, która stanowiła warstwę użytkową majdanu (W4, W7), a także trzy próby z piaszczysto-ilastej warstwy 61, która była wypełniskiem dużego dołu posłupowego, związanego z pracami formowania zagłębienia przywałowego.

Oznaczonych zostało 460 zwęglonych okazów[17]. Natrafiono także na sklerocja grzyba czarniaka właściwego *Cenococcum geophilinum* oraz pojedyncze niespalone okazy. Pozostałe próby były puste.

W próbach datowanych na okres wczesnej epoki żelaza znaleziono pojedyncze ziarniaki prosa zwyczajnego *Panicum miliaceum* i żyta zwyczajnego *Secale cereale* oraz okazy nieoznaczonych zbóż (*Cerealia* indet.). Ponadto obecne były węgle drzewne należące do 8 taksonów, w tym 4 oznaczone do poziomu gatunku (grab zwyczajny *Carpinus betulus*, leszczyna pospolita *Corylus avellana*, jesion wyniosły *Fraxinus excelsior* i sosna zwyczajna *Pinus sylvestris*), 3 oznaczone do poziomu rodzaju (brzoza *Betula* sp. wierzba *Salix* sp. i dąb *Quercus* sp.). Część fragmentów oznaczono jako wierzba *Salix* sp. lub topola *Populus* sp. oraz zaliczono do grupy drzew lub krzewów liściastych.

W próbach z okresu wczesnego średniowiecza wystąpiły pozostałości roślin uprawnych, zachowane w postaci zwęglonych ziarniaków. Znaleziono dwa gatunki zbóż (proso zwyczajne *Panicum miliaceum* i żyto zwyczajne *Secale cereale*) oraz nieoznaczone okazy zaliczone do *Cerealia* indet. Jeden ziarniak trawy dzikiej opisano jako włośnica sina lub okółkowa *Setaria viridis* vel *S. verticillata*. Węgle drzewne również wystąpiły nielicznie. We wszystkich próbach pojawiły się fragmenty graba zwyczajnego *Carpinus betulus*, jesionu wyniosłego *Fraxinus excelsior* i sosny zwyczajnej *Pinus sylvestris* oraz klonu *Acer* sp., olszy *Alnus* sp., brzozy *Betula* sp., dębu *Quercus* sp. oraz taksonu oznaczonego jako wierzba *Salix* sp. lub topola *Populus* sp. Sześć fragmentów węgli drzewnych można było jedynie zaliczyć do grupy drzew lub krzewów liściastych.

[17] Opis metody: Lityńska-Zając i Moskal-del Hoyo 2016.

Tabela 4. Spalone i niespalone szczątki roślinne ze stanowiska z wczesnej epoki żelaza i wczesnego średniowiecza w Podągach, st. 2, gm. Godkowo. Objaśnienia: typ szczątka: z – ziarniak, o – owoc, d – drewno, sc – sklerocja, ? – nieokreślony (oprac. M. Lityńska-Zając i M. Moskal-del Hoyo)

Nazwa taksonu	Chronologia	Wczesna epoka żelza				Wczesne średniowiecze		Suma
	Numer jednostki stratygraficznej	29	111	114	116	38	61 (ob. 71)	
	Typ szczątka	szczątki spalone						
Panicum miliaceum	z	1					3	**4**
Secale cereale	z	1					1	**2**
Cerealia indet.	z	5	1	1	3	4	1	**15**
Setaria viridis vel *S. verticillata*	z						1	**1**
Carpinus betulus	d	4		3	3	5	11	**26**
Corylus avellana	d		2	4	21	1		**28**
Fraxinus excelsior	d		4			5	1	**10**
Pinus sylvestris	d	1				1	6	**8**
Acer sp.	d					3	1	**4**
Alnus sp.	d					4	1	**5**
Betula sp.	d	13			3	7	10	**33**
Populus sp.	d					1		**1**
Populus sp. vel *Salix* sp.	d	7	3		3	14	7	**34**
Quercus sp.	d	13	40	39	30	74	68	**264**
Salix sp.	d				3			**3**
Sambucus sp.	d						1	**1**
liściaste	d	2	4	1	1	3	3	**14**
nieoznaczony	o					1		**1**
nieoznaczony	?				1	3	2	**6**
Suma		**47**	**54**	**48**	**68**	**126**	**117**	**460**
Cenococcum geophilinum	sc	63	33	4	7	84	185	**376**
		szczątki niespalone						
Urtica dioica	o						1	**1**
Betula pendula	o	1						**1**
Rubus sp.	o						2	**2**
nieoznaczony	o	2					5	**7**
Suma		**3**					**8**	**11**

CHRONOLOGIA STANOWISKA

URSZULA KOBYLIŃSKA, KAMIL RABIEGA I DARIUSZ WACH

Na podstawie analizy materiału ceramicznego wydzielono trzy główne horyzonty chronologiczne. Pierwszy należy wiązać z I i II fazą funkcjonowania grodziska i stanowi okres wczesnej epoki żelaza. Z tego okresu pochodzi 263 fragmentów ceramiki, co wynosi 67,78% całego pozyskanego materiału. Powstał wówczas główny, wewnętrzny Wał I i zewnętrzny Wał II, a także fosy I i II, a także zapewne pozostałe wały i fosy. Ukształtowano i użytkowano majdan, który ograniczony był zagłębieniem przy Wale I.

Drugim horyzontem jest okres wczesnego średniowiecza, reprezentowany przez 106 fragmentów ceramiki (27,32%). Związany jest z użytkowaniem grodu w Fazie III, kiedy wykorzystano dotychczasowe umocnienia obronne, jedynie podsypując wały i pogłębiając fosy. W obrębie tej fazy mieszczą się w rzeczywistości dwa odrębne okresy użytkowania grodu. Pierwszy z nich, poświadczony nielicznymi fragmentami ceramiki i datowaniem termoluminescencyjnym, przypadał na VI–VII w. n.e. Drugi natomiast obejmował okres zapewne od X do pocz. XII w., jak można wnioskować na podstawie ceramiki.

Trzeci okres przypada na późne średniowiecze i czasy nowożytne. Datowany jest na podstawie 13 fragmentów ceramiki, które stanowią 3,35% całego zespołu, na XV–XVI w. Nawarstwienia te są odzwierciedleniem IV i V fazy osadnictwa, które związane są z opuszczeniem grodziska i bardzo znikomymi śladami późniejszego użytkowania obiektu.

DZIEJE GRODZISKA W PODĄGACH, ST. 2

KAMIL RABIEGA I DARIUSZ WACH

Badania archeologiczne na stanowisku 2 w Podągach dostarczyły informacji o chronologii i funkcji grodzi-

ska, znanego dawniej jako *Miggenwald* oraz potwierdziły istnienie w tym miejscu potężnego systemu obronnego. Gród, powstały we wczesnej epoce żelaza, został usytuowany na wysokim cyplu, dzięki czemu chroniony był od północy, wschodu i zachodu przez głębokie jary i opływające strumienie, stanowiące naturalne walory obronne. Od południa natomiast obiekt chroniły zapewne cztery linie wałów i fos. Wały I i II wzniesione zostały w konstrukcji ziemnej, a miąższość nawarstwień Wału I powstałych w ciągu wszystkich faz osadniczych wynosi dziś blisko 2,5 m.

Gród zaopatrzony był w przejście bramne, którego świadectwem jest występowanie dołów posłupowych na granicy skarpy Wału I, a także dodatkowego umocnienia Wału I w postaci pokładu kamieni. Ślady spalenizny, odkryte w wykopie 1 mogą sugerować, że znajdował się tu także rodzaj ściany wewnątrzbramnej. W obszarze przejścia na majdan znajdowały się także bruki kamienne oraz ślady spalenizny, które stanowiły prawdopodobnie rodzaj kamienno-drewnianego podjazdu. Na nasypie Wału II stwierdzono płaszcz kamienny, który także mógł stanowić dodatkowe umocnienie przejścia. Krawędź południowa Fosy II umocniona była kamieniami, a jej krawędź północna rodzajem drewnianej ściany, na co wskazują odkryte na dnie ślady rozłożonej konstrukcji.

Gród najpewniej pełnił funkcję refugium, na co wskazuje nieliczny materiał ceramiczny odkryty zarówno na obszarze majdanu, jak i na liniach umocnień. Na majdanie, jak i umocnieniach zaobserwowano dwufazowość nawarstwień. We wczesnej epoce żelaza zbudowano gród z liniami umocnień, a jego obronna forma została wykorzystana i poprawiona później we wczesnym średniowieczu. Zagłębienie przywałowe uformowane we wczesnej epoce żelaza i zasypane przez późniejsze procesy erozyjne, zostało we wczesnym średniowieczu zabezpieczone przed osuwaniem się wału, na co wskazuje odkryty duży dół posłupowy dodatkowo stabilizowany za pomocą kamieni. Gród był krótko użytkowany w najstarszej fazie wczesnego średniowiecza, a następnie zapewne w okresie X–XI w. Sporadyczna działalność człowieka na terenie grodu miała miejsce ponownie zapewne w XV–XVI w., o czym świadczą pojedyncze znaleziska ceramiki „siwej", ceglastej i polewanej.

Zimnochy, st. 2

Gmina Godkowo

Powiat elbląski

AZP 19–56/56

Współrzędne geograficzne:

N 54° 1’ 6,65’’

E 19° 58’ 53,85’’

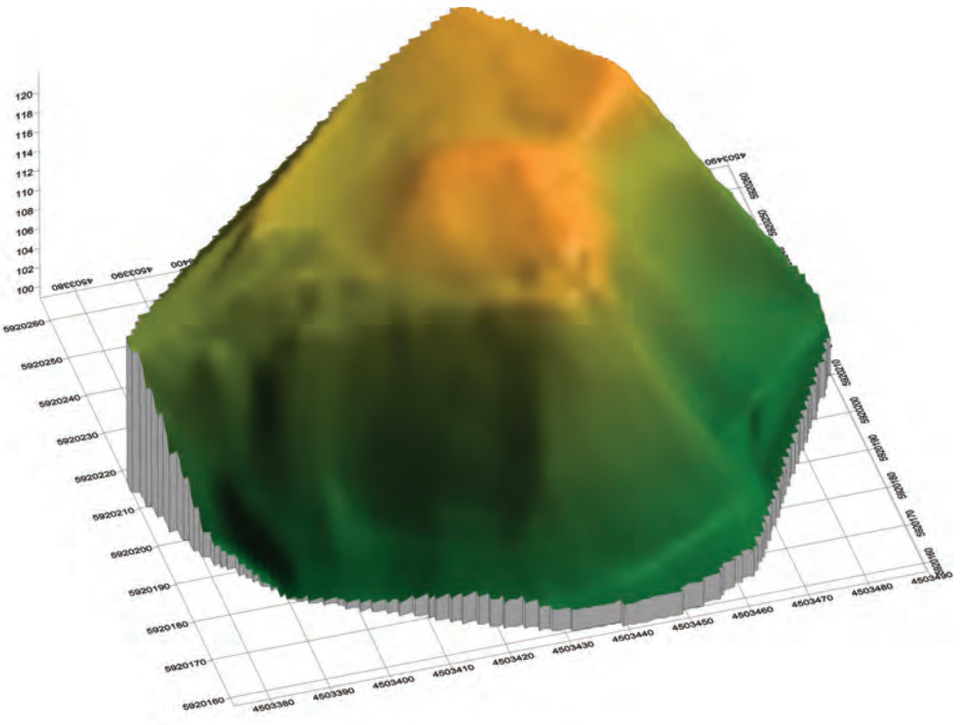

Ryc. 1. Grodzisko w Zimnochach, st. 2 na mapie w skali 1:25 000 (na podstawie materiałów CODGiK, oprac. R. Solecki)

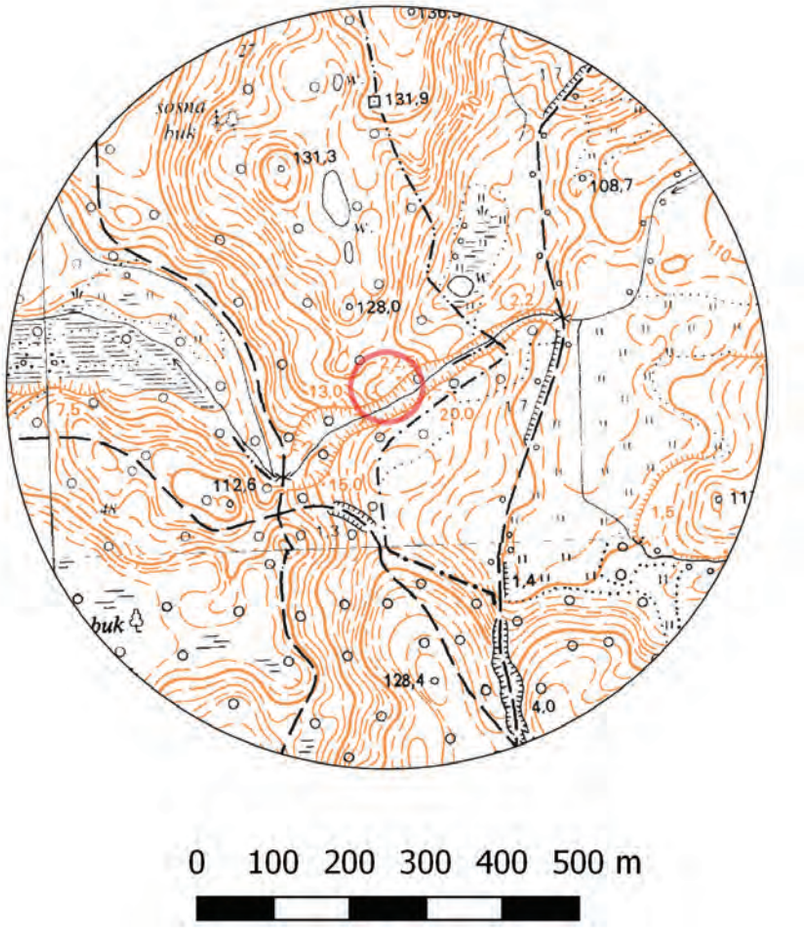

Ryc. 2. Grodzisko w Zimnochach, st. 2 na mapie w skali 1:10 000 (na podstawie materiałów CODGiK, oprac. R. Solecki)

POŁOŻENIE GRODZISKA I JEGO FORMA

KAMIL RABIEGA

Grodzisko położone jest nad rzeką Wąską, około 720 m od południowo-zachodniego brzegu jeziora Okonie, na naturalnym wyniesieniu (ryc. 1–2). Ma ono wymiary 35 x 37 m, a jego powierzchnia wynosi około 4,3 ara. Miejsce położenia grodziska wyróżnia się naturalnymi walorami obronnymi, które stanowi od południa bardzo stromy stok erozyjny wzgórza, opadający w kierunku rzeki. Majdan grodziska ma formę dość regularnego owalu. Dodatkowe zabezpieczenie obronne stanowił niewielki wał oraz płytka fosa (ryc. 3–4). Wysokość wału w stosunku do otaczającego terenu sięga dziś 1,5 m. Fosa, której głębokość dochodziła do 1,5 m, miała około 3–4 m szerokości (ryc. 3–6).

ŚRODOWISKO FIZYCZNO-GEOGRAFICZNE

JERZY NITYCHORUK I FABIAN WELC

Grodzisko w Zimnochach, st. 2 położone jest na wysokiej krawędzi głębokiego rozcięcia erozyjnego stanowiącego dolinę potoku o stromych stokach (ryc. 7). Na terenie grodziska wykonano 12 wierceń, z których sześć posłużyło do wykonania przekroju geologicznego (ryc. 8–9). Wiercenie S3/1 zlokalizowano w północnej części obiektu, w niewielkim obniżeniu między grodziskiem, a pagórkiem położonym na północ od niego. W wierceniu stwierdzono osady z fragmentami węgli drzewnych do głębokości 1 m, co pozwala przypuszczać, że obiekt od północy był chroniony fosą. Najciekawszy okazał się profil wiercenia S3/2, gdzie na głębokości 0,4 m wystąpił czerwony piasek, którego barwa pochodzi od wysokiej temperatury. Na obszarze całego wzniesienia występuje warstwa kulturowa o miąższości do 0,7 m w wierceniu S3/4, a 1,2 m w wierceniu S3/7 wykonanym w małym obniżeniu na południe od skraju pagórka. W strefie obniżeń położonych bezpośrednio na zachód od pagórka nie stwierdzono w profilach wierceń osadów przekształconych przez człowieka.

BADANIA ARCHEOLOGICZNE

KAMIL RABIEGA

Przebieg badań terenowych

Grodzisko w Zimnochach zostało odkryte w 2014 roku przez członków stowarzyszenia „Salla" z Morąga. Badania wykopaliskowe na stanowisku przeprowadzono w ramach projektu *Katalog grodzisk Warmii i Mazur* w roku 2015. W trakcie prac wykopaliskowych, w celu rozpoznania elementów konstrukcyjnych grodziska, wytyczono dwa wykopy o łącznej powierzchni 44 m^2 (ryc. 10).

Wykop 1 wytyczono w południowej części grodziska. Miał on 9 m długości i 2 m szerokości, a dłuższą osią zorientowany był po linii wschód–zachód. Przecinał wewnętrzną część i szczyt wału grodziska. Zamiarem badawczym było rozpoznanie nawarstwień i śladów ewentualnych konstrukcji umocnień i warstw wewnętrznego stoku wału, przechodzącego w obszar majdanu. Wykop miał też rozpoznać ewentualne pozostałości kamiennej konstrukcji, gdyż od strony północno-wschodniej wykopu, poza

Ryc. 3. Grodzisko w Zimnochach, st. 2. Widok od strony zachodniej (fot. J. Wysocki)

Ryc. 4. Zimnochy, st. 2. Nadsypane zbocze wzgórza stanowiące wał w części południowej grodziska. Widok od strony północnej (fot. J. Wysocki)

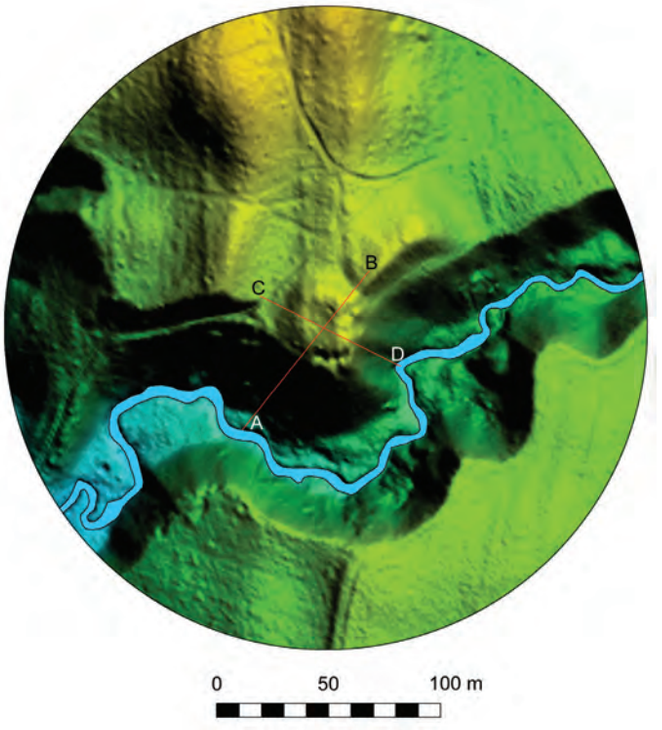

Ryc. 5. Grodzisko w Zimnochach, st. 2 na zobrazowaniu ALS z zaznaczonymi przekrojami (na podstawie materiałów CODGiK, oprac. R. Solecki)

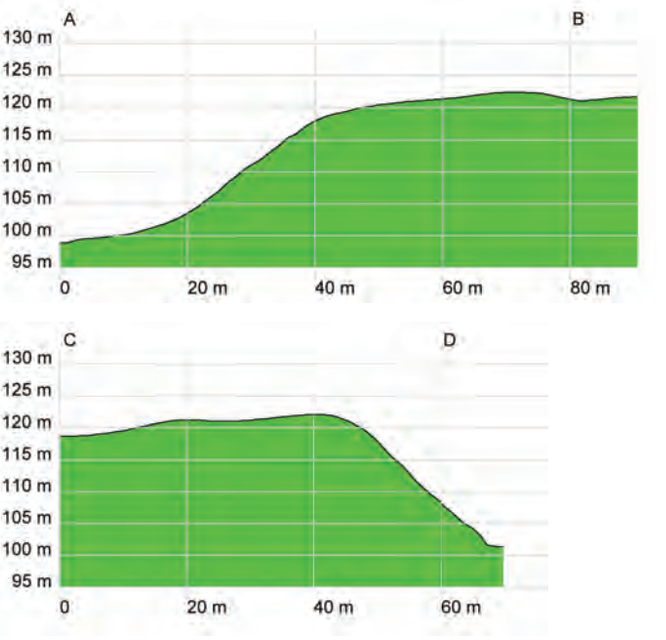

Ryc. 6. Przekroje przez grodziska w Zimnochach, st. 2 uzyskane z danych ALS (na podstawie materiałów CODGiK, oprac. R. Solecki)

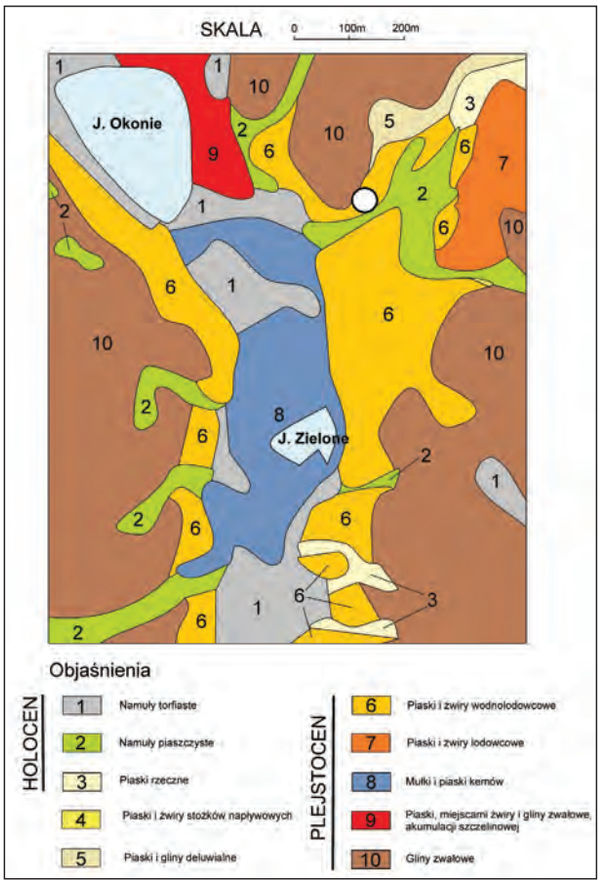

Ryc. 7. Mapa geologiczna okolic grodziska w Zimnochach, st. 2 (oprac. J. Nitychoruk i F. Welc)

jego obrębem na powierzchni zaobserwowano duże kamienie (o średnicy 40–60 cm) zalegające w formie półokręgu.

Wykop 2 miał wymiary 13 m długości i 2 m szerokości, a dłuższą osią zorientowany był po linii północ-południe. Został wytyczony 15 m na północ od północnej granicy wykopu 1, na szczycie wału w części północno-wschodniej grodziska i przebiegał przez zewnętrzny stok wału, aż do fosy. Początkowo wykop miał 11 m długości, jednak później został przedłużony o 2 m w kierunku południowym ze względu na regularny układ kamieni odsłonięty w południowo-wschodnim narożniku wykopu.

Stratygrafia stanowiska

W trakcie badań archeologicznych wydzielono łącznie 52 jednostki stratygraficzne (tab. 1 i ryc. 11), które podzielono na trzy główne fazy związane z użytkowaniem tego obiektu.

Warstwy naturalne

Grodzisko w Zimnochach zostało założone na naturalnym wzniesieniu, wykorzystując jego ukształtowanie. W ten sposób teren został przekształcony tylko w niewielkim stopniu. Wzniesienie składało się z geologicznych warstw jednorodnego jasnego piasku 15 (W1) i niejednorodnej gliny 23=27 (W2).

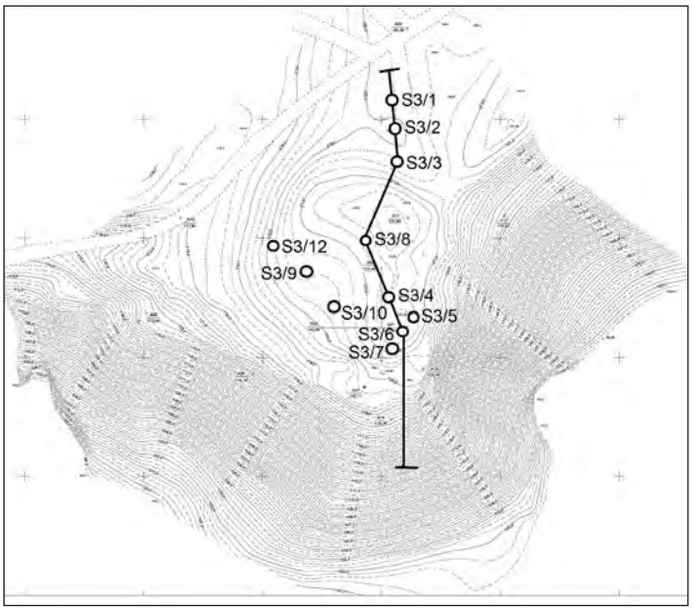

Ryc. 8. Plan warstwicowy grodziska w Zimnochach, st. 2 (wyk. J. Błaszczyk) z zaznaczonymi miejscami wierceń geologicznych (oprac. J. Nitychoruk i F. Welc)

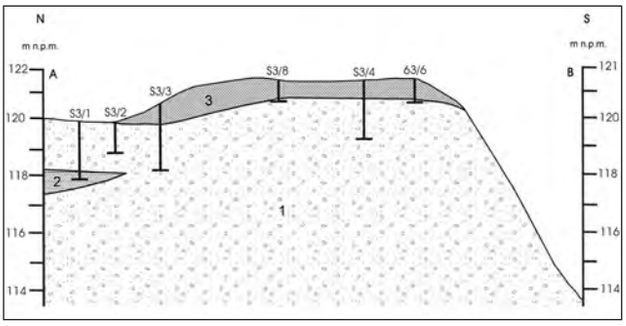

Ryc. 9. Przekrój geologiczny przez grodzisko w Zimnochach, st. 2: 1 – piaski, żwiry oraz piaski gliniaste; 2 – mułki; 3 – warstwa kulturowa – antropogeniczna (oprac. J. Nitychoruk i F. Welc)

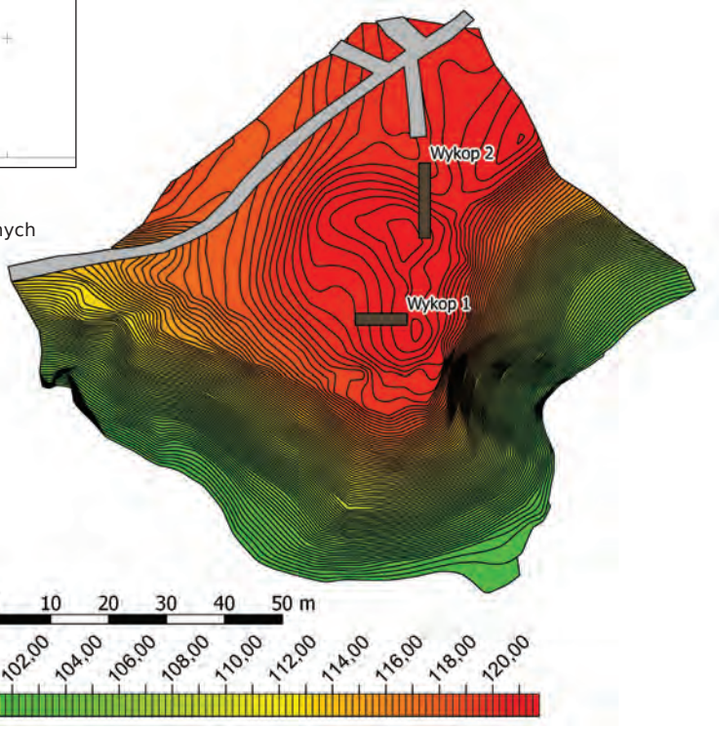

Ryc. 10. Plan sytuacyjno-wysokościowy grodziska w Zimnochach, st. 2 z rozmieszczeniem wykopów badawczych (na podstawie pomiarów J. Błaszczyka, oprac. R. Solecki)

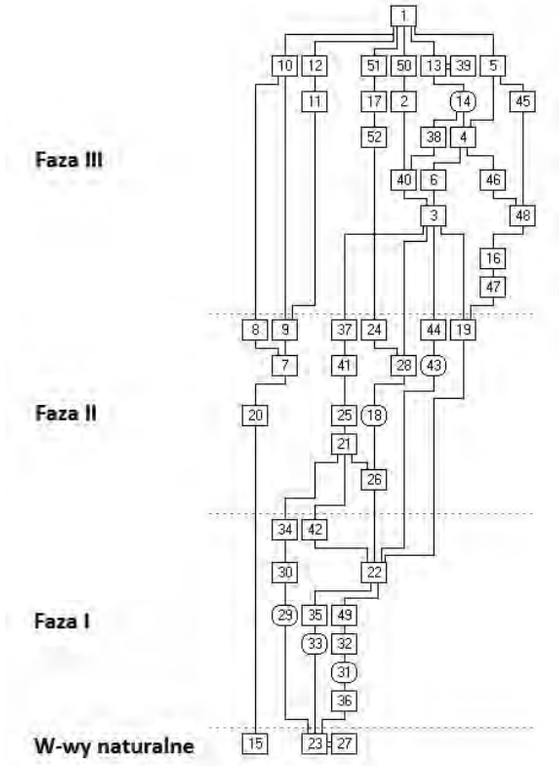

Ryc. 11. Diagram relacji stratygraficznych dla jednostek wydzielonych podczas badań grodziska w Zimnochach, st. 2 (oprac. K. Rabiega)

Faza I. Wczesna epoka żelaza

Na nawarstwienia pochodzące z wczesnej epoki żelaza składają się warstwy użytkowe i obiekty wraz z wypełniskami, w których natrafiono na nieliczne fragmenty ceramiki, które – chociaż charakteryzują się bardzo złym stanem zachowania – należy najprawdopodobniej datować na wczesną epokę żelaza. Nawarstwienia z tej fazy zaobserwowano jedynie w wykopie 2 na szczycie i zewnętrznym stoku północnego wału grodziska (ryc. 13). Na szczycie wału wkopano dół posłupowy 33 o przekroju U-kształtnym,

Ryc. 12. Zimnochy, st. 2. Wykop 1 w obszarze wału i majdanu w południowej części grodziska. Widok od strony wschodniej (fot. K. Rabiega)

z wypełniskiem w postaci bardzo twardej, zbitej gliniasto-piaszczystej ziemi koloru pomarańczowo-brązowego, z dużą ilością małych i średnich kamieni (35). Na stoku znajdowała się warstwa przemieszanego różnokolorowego piasku i zbitej drobnoziarnistej ziemi z kamieniami 36; a nad nią płytki obiekt 31 ze zbitym, piaszczysto-pylastym wypełniskiem 32. W jego pobliżu znajdował się owalny obiekt o prostych ścianach 29, z wypełniskiem przemieszanego piasku 30 z drobinami węgla, wtrętami gliniastymi i dużą ilością przepalonych kamieni o średnicy od kilku do 10 cm, a na jego dnie znajdował się kamień o średnicy 30 cm. Nad wypełniskiem 30 natrafiono na pas spalenizny 34, który stanowił ślad po spalonej belce.

Na warstwie naturalnej spoczywała także pylasta warstwa z dużą liczbą małych kamieni 49 oraz ciemnożółty piasek 22. Zidentyfikowano także jednorodną pylastą warstwę przepalonego piasku 42.

Faza II. Późne średniowiecze (wczesny okres krzyżacki)

Nawarstwienia średniowieczne występowały w południowej części grodziska na wewnętrznym stoku i szczycie wału (W1). Na warstwie naturalnej, na szczycie wyniesienia nadsypano cienką warstwę bardzo jasnego piasku 20 (widoczną w południowo-wschodnim narożniku wykopu) oraz jasnoszaro-żółtą warstwę piaszczysto-pylastą 7, na której stropie znajdował się regularny układ dużych kamieni (największy o średnicy 60 cm). Na powierzchni stanowiska, poza północną granicą wykopu zaobserwowano kamienie podobnej wielkości, które mogły wiązać się z układem zadokumentowanym w wykopie i razem stanowić pewnego rodzaju umocnienie wału. Powyżej usypana została ciemnoszaro-żółta zbita warstwa 8, w której natrafiono na pojedyncze kamienie i węgle drzewne. Warstwę użytkową w tej części grodziska stanowiła przepalona ciemnoszaro-czarna luźna warstwa 9 (ryc. 12 i 15). Wystąpiły w niej spalone fragmenty konstrukcji drewnianych, kamienie, a także dwa fragmenty ceramiki, które należy wiązać z wczesnym okresem krzyżackim (XIII–XIV w.).

We wczesnym okresie krzyżackim nawarstwienia nasypu wału i jego zewnętrznego stoku w północno-wschodniej części grodziska (W2) zostały zniwelowane. W najwyższym punkcie wyniesienia wkopano głęboki, owalny w planie obiekt 18, niszcząc jednocześnie ślady starszych nawarstwień z wczesnego okresu żelaza i naruszając naturalną warstwę gliny. Wewnątrz wkopu i ponad powierzchnią zbudowano kamienną konstrukcję 28, zwężającą się ku dnie i ku górze. Wkop został obłożony wewnątrz dużymi kamieniami (do 45 cm średnicy) i oblepiony gliną. Na zewnątrz konstrukcja także oblepiona była gliną, której śladem jest, powstała w fazie zniszczenia, pomarańczowa warstwa 3. Obiekt ten był piecem wapienniczym. W wyniku użytkowania wapiennika i działania wysokiej temperatury powstały warstwy przepalenia. Na zewnątrz konstrukcji utworzyła się dookolnie pomarańczowa pylasta warstwa 26 (ryc. 14 i 16). Wnętrze konstrukcji kamienno-glinianej pokryło się szkliwem, a kamienie uległy przepaleniu. Na dnie wapiennika zaobserwowano zmiany kolorystyczne warstwy naturalnej, w którą został wkopany. Powyżej utworzyła się warstwa wapna 24. Wewnątrz nie stwierdzono jednak warstw węgli drzewnych, co może świadczyć o bardzo krótkim użytkowaniu wapiennika.

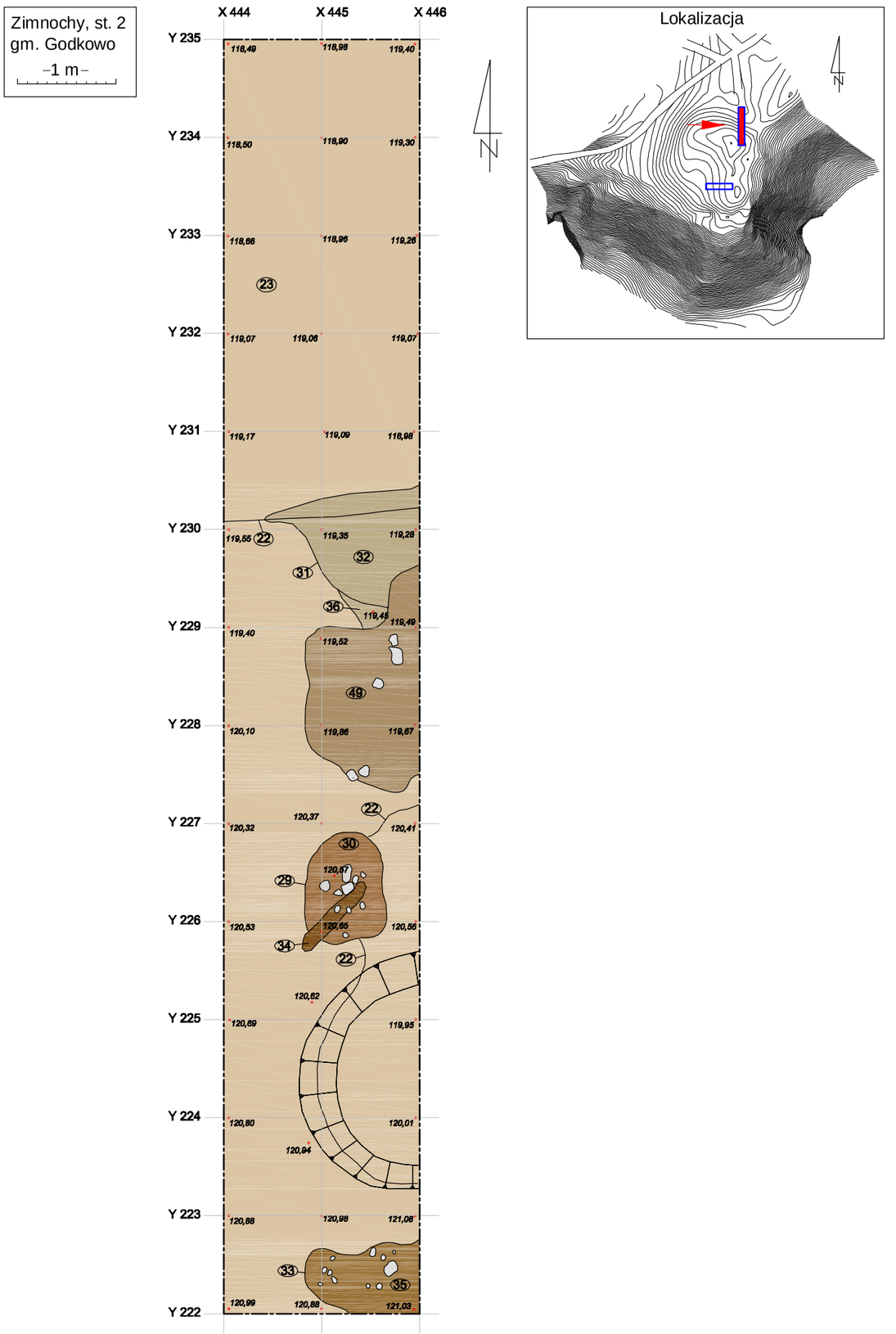

Ryc. 13. Zimnochy, st. 2. Plan obiektów i nawarstwień Fazy I grodziska w wykopie 1 (oprac. K. Rabiega i R. Solecki)

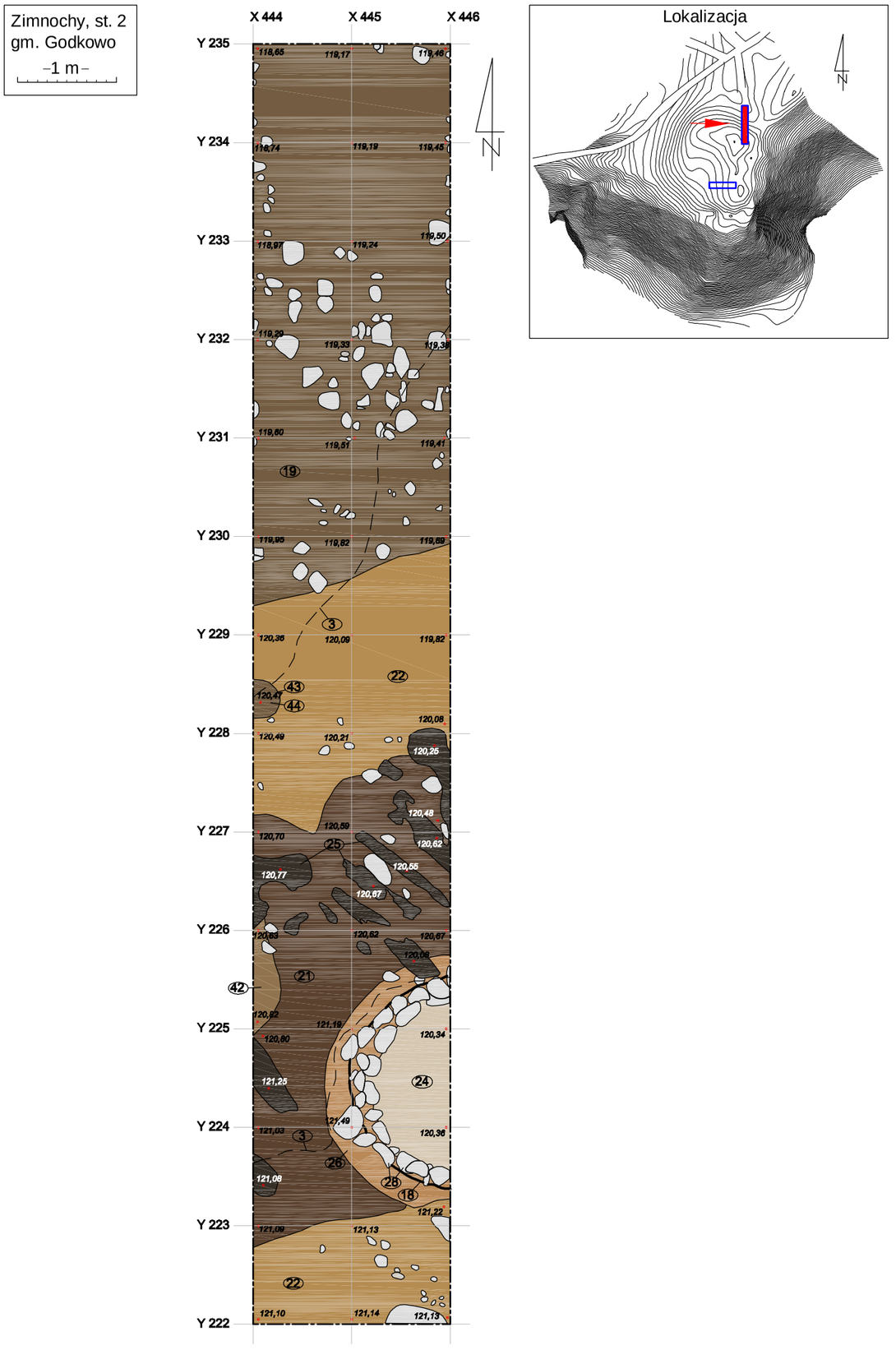

Ryc. 14. Zimnochy, st. 2. Plan obiektów i nawarstwień Fazy II grodziska w wykopie 2 (oprac. K. Rabiega i R. Solecki)

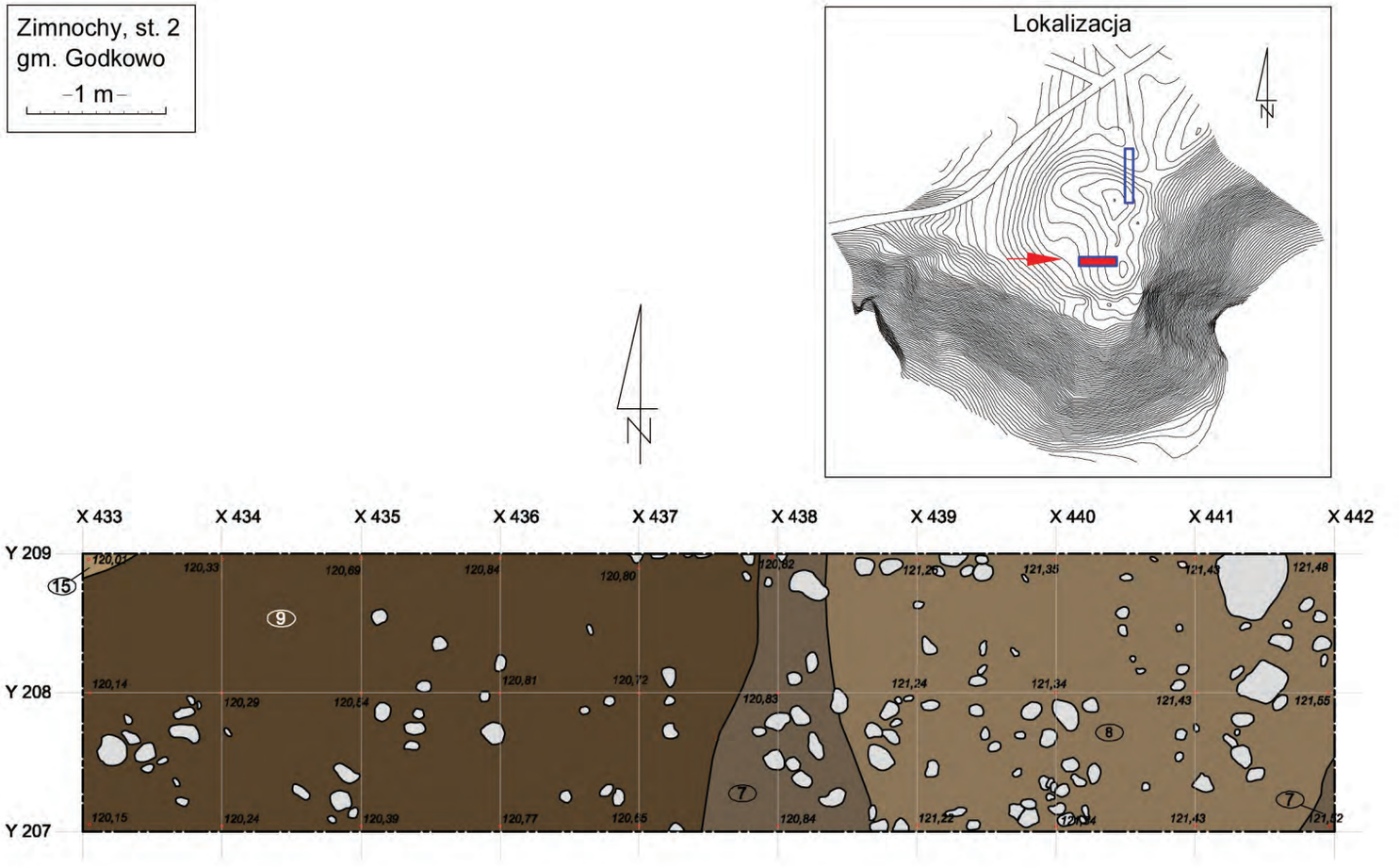

Ryc. 15. Zimnochy, st. 2. Plan obiektów i nawarstwień Fazy II grodziska w wykopie 1 (oprac. K. Rabiega i R. Solecki)

Ryc. 16. Zimnochy, st. 2. Piec wapienniczy na poziomie wkopu obiektu z widoczną warstwą przebarwień powstałych w wyniku działania wysokiej temperatury. Widok od strony wschodniej (fot. K. Rabiega)

Ryc. 17. Zimnochy, st. 2. Pozostałości spalonych bierwion zalegających na warstwie użytkowej Fazy II. Widok od strony wschodniej (fot. K. Rabiega)

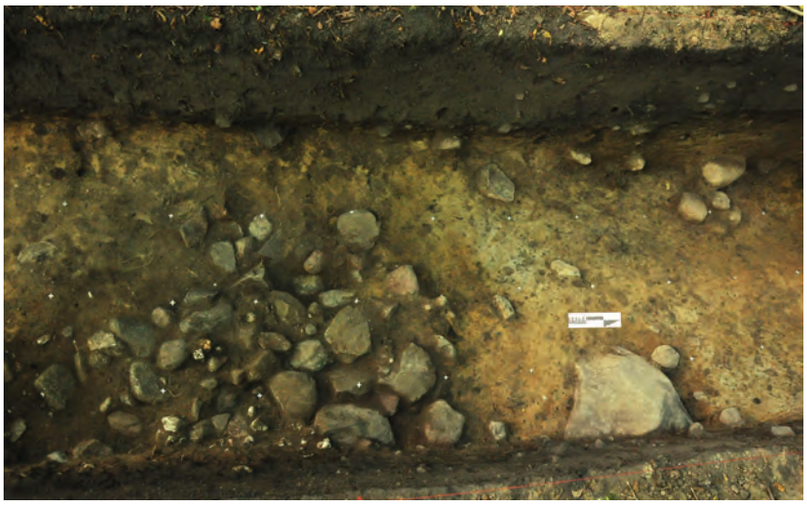

Ryc. 18. Zimnochy, st. 2. Gruz kamienny zalegający w warstwie użytkowej 19 na dnie fosy. Widok od strony wschodniej (fot. K. Rabiega)

Na poziomie wkopu pod piec zachowały się ślady przepalonej warstwy użytkowej 21 z okresu funkcjonowania wapiennika oraz pozostałości drewnianej konstrukcji zewnętrznej związanej z funkcjonowaniem urządzenia, w postaci spalonych bierwion 25 (ryc. 17). W zachodnim profilu widoczny był dół posłupowy 43 z wypełniskiem 44 w postaci pylastej przepalonej ziemi z frakcjami piaszczystymi o ciemnoszarej barwie. Na szczycie wału, z południowej strony pieca, utworzyła się bardzo sypka jasna warstwa miału polepowego, zawierająca beżowe grudki polepy i kamienie 41 oraz bardzo ciemna, czarna ziemia 37. Ponadto na stoku i na dnie fosy zachowała się pochodząca z tej samej fazy warstwa użytkowa, którą stanowiła ciemnobrązowa ziemia o sedymencie ilastym 19. W warstwie tej znaleziono żelazny klucz do kłódki, a w jej obrębie zalegały liczne kamienie, które być może stanowiły wówczas płaszcz chroniący stok wału przed erozją (ryc. 18).

Faza III. Opuszczenie grodziska i współczesny poziom użytkowy

W południowej części grodziska na wewnętrznym stoku wału (W1) po opuszczeniu grodziska powstały warstwy destrukcyjne: ciemnordzawo-brązowa warstwa zbitej ziemi 10, w której występowały kamienie (do 20 cm średnicy), a także ciemnobrunatna piaszczysta warstwa ziemi 11 z licznymi kamieniami i fragmentami węgla i polepy. Na majdanie grodziska zaobserwowano ciemnoszaro-brązową ziemię 12, która prawdopodobnie jest śladem po wykrocie.

W fosie zewnętrznej (W2) powstały nawarstwienia osuwiskowe: zbita i twarda warstwa o sedymencie piaszczystym z dużymi kamieniami 47; zbita ciemnopomarańczowa warstwa o sedymencie piaszczysto-ilastym 16; szaro-brązowa ilasta ziemia 48, w której zalegały kamienie o średnicy do 20 cm; niejednorodna zbita piaszczysto-ilasta warstwa 46; a także zbita brązowo-brunatna warstwa 45 z frakcjami organicznymi.

Faza opuszczenia grodziska widoczna jest przede wszystkim w nawarstwieniach destrukcji wapiennika. Wewnątrz pieca powstały warstwy destrukcyjne: rumosz kamienny z sedymentem piaszczysto-gliniastej warstwy z grudkami polepy 52 (ryc. 19); przemieszana warstwa polepy i rumoszu drobnych i dużych kamieni 17; a także przepalona ciemna ziemia 51 z grudkami polepy i dużą liczbą kamieni o średnicy do 25 cm.

Na stoku grodziska, w wyniku destrukcji wapiennika, powstały warstwy rumoszu polepowo-kamiennego i przepalonej ziemi. W bezpośredniej bliskości konstrukcji, erozji uległa gliniana ściana oblepiająca piec, w wyniku czego powstała bardzo sypka, przepalona pomarańczowa warstwa 3 z grudami polepy; a także zmieszana, piaszczysto-ilasta warstwa zawierająca liczne małe kamienie i grudy polepy 40. Z postępem destrukcji wapiennika na stoku wytworzyły się kolejne warstwy: gruz kamienny 6 oraz ciemnoszara warstwa zbitej ziemi 4 z dużą liczbą kamieni, a w fosie

Tabela 1. Katalog warstw z opisem poszczególnych jednostek stratygraficznych grodziska w Zimnochach, st. 2 (oprac. K. Rabiega)

Numer jednostki	Numer obiektu	Numer wykopu	Położenie w obrębie stanowiska	Współrzędne siatki pomiarowej stanowiska	Opis jednostki stratygraficznej	Barwa (Munsell)	Pozycja stratygraficzna	
							Znajduje się pod	Znajduje się nad
1	-	2	Cały obszar stanowiska	X=433–446; Y=207–235	Piaszczysta, organiczna ziemia; humus leśny; miąższość do 15 cm	10YR 3/2	-	2, 4, 5, 7, 8, 9, 10, 11, 12, 13, 14, 18, 26, 28, 38, 40, 50, 51
2	-	2	Szczyt wału w NE części stanowiska	X=444–446; Y=222–224,50	Piaszczysta ziemia, zawierała dużo kamieni o zróżnicowanej wielkości, niektóre spękane od działania wysokiej temperatury; pojedyncze fragmenty polepy pokrytej szkliwem; miąższość do 40 cm	10YR 3/2	1, 50	37, 40
3	-	2	Zewnętrzne zbocze wału w NE części grodziska	X=444–446; Y=223,80–232,15	Pylasta, sypka przepalona glina z grudami polepy; obudowa pieca wapiennego i warstwa destrukcyjna; miąższość do 67 cm	7,5YR 5/6	4, 6, 14, 38, 40	18, 19, 21, 22, 25, 26, 28, 37, 41, 42, 43, 44
4	-	2	Zewnętrzne zbocze wału w NE części grodziska	X=444–446; Y=225–233	Średnio zbita piaszczysta ziemia, przemieszana z rumoszem kamiennym; warstwa erozyjna; miąższość do 55 cm	10YR 3/2	1, 5, 14	3, 6, 18, 19, 22, 43, 44, 46
5	-	2	Fosa w NE części grodziska	X=444–446; Y=231–235	Jednorodna piaszczysta ziemia; warstwa erozyjna; miąższość do 40 cm	10YR 5/3	1	4, 19, 45, 46, 48
6	-	2	Zewnętrzne zbocze wału w NE części grodziska	X=444–446; Y=226,40–231,20	Warstwa romoszu kamiennego pod warstwą przepalonej polepy; kamienie o zróżnicowanej wielkości (do 30 cm średnicy), nieregularnie rozmieszczone; gruz destrukcyjny po przewróceniu się ściany pieca wapiennego	-	4	3
7	-	1	Wał w SE części grodziska	X=437,30–442; Y=207–209	Zbita piaszczysto-gliniasta ziemia; zawierała duże kamienie do 35 cm długości; niższa partia nasypu wału; miąższość do 40 cm	10YR 4/2	1, 8, 9, 10	15, 20
8	-	1	Wał w SE części grodziska	X=438,44–442; Y=207–209	Dość zbita piaszczysto-gliniasta; zawierała występują węgielki; wyższa partia nasypu wału; miąższość do 35 cm	10YR 5/3	1, 10	7
9	-	1	Majdan w S części grodziska	X=433–437,80; Y=207–209	Sypka piaszczysta ziemia; sporadycznie występowały kamienie; duża ilość węgli drzewnych; warstwa użytkowa; miąższość do 60 cm	10YR 3/3	1, 10, 11, 12	7, 15
10	-	1	Wewnętrzne zbocze wału w S części grodziska	X=436–438,76; Y=207–209	Zbita ziemia, występowały kamienie o średnicy do 20 cm; warstwa destrukcyjna; miąższość do 30 cm	10YR 4/3	1	7, 8, 9
11	-	1	Majdan w S części grodziska	X=433–435,50; Y=207–208,70	Piaszczysta luźna ziemia; zawierała dużą ilość kamieni, drobnych fragmentów węgla i polepy; warstwa destrukcyjna; miąższość do 35 cm	10YR 2/2	1, 12	9
12	-	1	Majdan w S części grodziska	X=433–434,50; Y=207,60–209	Sypka, piaszczysta ziemia, zawierała niewielkie kamienie i korzenie; ślad po wykrocie(?); miąższość do 50 cm	10YR 3/2	1	9, 11, 15
13=39	14	2	Zewnętrzne zbocze wału w NE części grodziska	X=444–444,52; Y=226,60–228,20	Wypełnisko obiektu 14, piaszczysto-pylasta ziemia; ślad po korzeniach drzewa; miąższość do 50 cm	10YR 3/1	1	14
14	14	2	Zewnętrzne zbocze wału w NE części grodziska	X=444–444,52; Y=226,60–228,20	Niereglarny obiekt; ślad po korzeniach drzewa; głębokość 50 cm	-	1, 13	3, 4, 21, 22, 25, 38
15	-	1	S część grodziska	X=433–442; Y=207–209	Jednorodny piasek z wytrąceniami gliny; calec	10YR 6/4	7, 9, 12, 20	-
16	-	2	Fosa w NE części grodziska	X=444–445,22; Y=232,96–235	Zbita, jednorodna, piaszczysto-pylasta ziemia; wypełnisko fosy; miąższość do 35 cm	10YR 5/3	45, 46, 48	19, 47
17	18	2	Szczyt wału w NE części stanowiska	X=444,82–446; Y=223,60–225,38	Element wypełniska obiektu 18; przemieszana piaszczysto-pylasta warstwa; rumowisko destrukcyjne złożone z polepy, drobnych i dużych kamieni; destrukt pieca wapiennego; miąższość do 50 cm	10YR 4/6	51	28, 52
18	18	2	Szczyt wału w NE części stanowiska	X=444,82–446; Y=223,50–225,50	Obiekt wkopany w szczyt i zbocze wału, prawdopodobnie okrągły w planie (odsłonięte w formie półkola), zwężający się ku dnie; wkop pod budowę pieca wapiennego; gł. 120 cm	-	1, 3, 4, 24, 28	23, 26

Tabela 1. Ciąg dalszy

Numer jednostki	Numer obiektu	Numer wykopu	Położenie w obrębie stanowiska	Współrzędne siatki pomiarowej stanowiska	Opis jednostki stratygraficznej	Barwa (Munsell)	Pozycja stratygraficzna	
							Znajduje się pod	Znajduje się nad
19	-	2	Fosa w NE części grodziska	X=444–446; Y=229,40–235	Twarda, zbita, piaszczysto-ilasta ziemia zalegająca na stoku i na dnie fosy; występuje bardzo dużo kamieni; warstwa użytkowa; miąższość do 25 cm	7,5YR 3/2	3, 4, 5, 16, 45, 46, 47	22, 23, 31, 32
20	-	1	Wał w SE części grodziska	X=441,30–442; Y=207–207,65	Sypki, jednorodny, bardzo drobny pylasty piasek; widoczna w południowo-wschodnim narożniku wykopu; miąższość do 13 cm	10YR 6/4	7	15
21	-	2	Zewnętrzne zbocze wału w NE części grodziska	X=444–446; Y=222,90–227,30	Piaszczysto-pylasta ziemia z kamieniami i zwęglonymi bierwionami; warstwa użytkowa związana z funkcjonowaniem pieca wapienniczego; miąższość do 20 cm	7,5YR 3/3	3, 14, 25, 37, 41	22, 23, 26, 29, 30, 34, 42
22	-	2	Zewnętrzne zbocze wału w NE części grodziska	X=444–446; Y=222–230,15	Piaszczysta ziemia; zniwelowane nawarstwienia fazy I; miąższość średnio do 40 cm (w zagłębieniu do 80 cm)	10YR 6/6	3, 4, 14, 19, 21, 25, 26, 37, 41, 42, 43	23, 32, 33, 35, 49
23=27	-	2	Cały obszar stanowiska	X=444–446; Y=222–235	Niejednorodna glina; calec	10YR 8/3	18, 19, 21, 22, 26, 29, 31, 33, 36, 43, 49	-
24	18	2	Szczyt wału w NE części stanowiska	X=444,30–446; Y=223,80–225,15	Jednorodna bardzo cienka warstwa wapna; zalegająca na dnie obiektu 18; miąższość do 10 cm	5YR 4/5	52	18, 28
25	-	2	Szczyt i zewnętrzne zbocze wału w NE części grodziska	X=444–446; Y=223,40–229,10	Pozostałości spalonych belek; zawalona konstrukcja drewniana przy piecu wapienniczym; miąższość do 10 cm	10YR 2/1	3, 14, 37, 41	21, 22, 42
26	-	2	Szczyt wału w NE części stanowiska	X=444,74–446; Y=223,20–225,80	Pylasta, przepalona ziemia; pionowa warstwa dookoła obiektu; poddana działaniu wysokiej temperatury; miąższość do 140 cm	7,5YR 6/6	1, 3, 18, 21, 41, 50	22, 23
28	18	2	Szczyt wału w NE części stanowiska	X=444,82–446; Y=223,50–225,60	Konstrukcja kamienna pieca wapiennego, złożona z dużych kamieni (do 45 cm średnicy) oblepionych gliną; od wewnątrz polepa i kamienie pokryte szkliwem; kamienie przepalone; kształt prawdopodobnie okrągły, zwężający się ku dnie; konstrukcja wkopana na głębokość do 120 cm; największa zachowana wysokość 170 cm	-	1, 3, 17, 24, 51, 52	18
29	29	2	Zewnętrzne zbocze wału w NE części grodziska	X=444,76–445,80; Y=225,70–227,30	Dość regularny owalny obiekt; ścianki pod kątem prostym; na dnie znajdował się kamień o średnicy 30 cm; głębokość 60 cm	-	21, 30	23
30	29	2	Zewnętrzne zbocze wału w NE części grodziska	X=444,76–445,80; Y=225,70–227,30	Przemieszana piaszczysta ziemia z drobinami węgla i wtrętami gliniastymi; duża ilość małych kamieni o średnicy od kilku do 10 cm; sporadycznie przepalone kamienie; miąższość do 60 cm	7,5YR 5/6	21, 34	29
31	31	2	Zewnętrzne zbocze wału w NE części grodziska	X=445–446; Y=229,20–230,40	Nieregularny obiekt o łagodnych ściankach; zniszczony przez młodsze nawarstwienia; gł. 20 cm	-	19, 32, 49	23, 36
32	31	2	Zewnętrzne zbocze wału w NE części grodziska	X=445–446; Y=229,20–230,40	Zbita, piaszczysto-ilasta ziemia; wypełnisko obiektu 31; miąższość do 20 cm	2,5Y 7/3	19, 22, 49	31
33	33	2	Szczyt wału w NE części stanowiska	X=445,60–446; Y=222–222,85	Obiekt nieregularny w planie; o przekroju U-kształtnym z dość stromymi granicami przerywanymi kamieniami; gł. 60 cm	-	22, 35	23
34	29	2	Zewnętrzne zbocze wału w NE części grodziska	X=444,94–445,54; Y=225,70–227,20	Pas spalenizny, w planie kształt prostokątny; pozostałość po belce; miąższość do 8 cm	10YR 3/3	21	30
35	33	2	Szczyt wału w NE części stanowiska	X=445,60–446; Y=222–222,85	Twarda, zbita gliniasto-piaszczysta ziemia, z dużą ilością małych i średnich kamieni; wtpełnisko obiektu 33; miąższość do 60 cm	10YR 5/6	22	33
36	-	2	Zewnętrzne zbocze wału w NE części grodziska	X=445,50–446; Y=228,85–229,26	Przemieszana drobnoziarnista piaszczysta ziemia zawierająca kamienie; element nawarstwień I fazy; miąższość do 22 cm	2,5Y 7/3	31, 49	23

Tabela 1. Ciąg dalszy

Numer jednostki	Numer obiektu	Numer wykopu	Położenie w obrębie stanowiska	Współrzędne siatki pomiarowej stanowiska	Opis jednostki stratygraficznej	Barwa (Munsell)	Pozycja stratygraficzna	
							Znajduje się pod	Znajduje się nad
37	-	2	Szczyt wału w NE części stanowiska	X=444–446; Y=222–223,75	Przepalona ziemia, warstwa związana z funkcjonowaniem pieca wapienniczego; miąższość do 45 cm	10YR 3/1	2, 3, 40, 50	21, 22, 25, 41
38	-	2	Zewnętrzne zbocze wału w NE części grodziska	X=444–444,40; Y=225,50–227	Przemieszana piaszczysto-pylasta ziemia z drobinami miału polepy, w której znajdowały się pojedyncze kamienie; warstwa destrukcyjna; miąższość do 30 cm	10YR 3/2	1, 14	3, 40
40	-	2	Szczyt wału w NE części stanowiska	X=444–444,80; Y=223,50–226	Piaszczysto-pylasta ziemia; przepalona polepa; zawierająca duże ilości małych kamieni i grud polepy; warstwa destrukcyjna; miąższość do 70 cm	5YR 4/4	1, 2, 38	3, 37
41	-	2	Szczyt wału w NE części stanowiska	X=445–446; Y=222,20–223,60	Bardzo sypka waratwa miału polepowego zawierająca małe kamienie; związana z funkcjonowaniem pieca wapienniczego; miąższość do 30 cm	7,5YR 4/3	3, 37, 50	21, 22, 25, 26
42	-	2	Zewnętrzne zbocze północnej części wału	X=444–444,70; Y=225–226,25	Jednorodna piaszczysto-pylasta ziemia; przepalona; zniwelowane nawarstwienia fazy I; miąższość do 14 cm	10YR 5/4	3, 21, 25	22
43	43	2	Zewnętrzne zbocze wału w NE części grodziska	X=444–444,15; Y=228,20–228,60	Owalny obiekt o bardzo nieregularnym kształcie w przekroju; dołek posłupowy; głębokość 55 cm	-	3, 4, 44	22, 23
44	43	2	Zewnętrzne zbocze wału w NE części grodziska	X=444–444,15; Y=228,20–228,60	Pylasta przepalona ziemia z frakcjami piaszczystymi; wypełnisko obiektu 43; miąższość do 55 cm	10YR 4/3	3, 4	43
45	-	2	Fosa w NE części grodziska	X=444–446; Y=234,70–235	Jednorodna, zbita, piaszczysta ziemia z frakcjami organicznymi; erozyjne wypełnisko fosy; miąższość do 20 cm	10YR 4/3	5	16, 19, 48
46	-	2	Fosa w NE części grodziska	X=444–444,50; Y=231,80–234,35	Niejednorodna, zbita, piaszczysto-pylasta ziemia; erozyjne wypełnisko fosy; miąższość do 20 cm	10YR 3/1	4, 5	16, 19, 47, 48
47	-	2	Fosa w NE części grodziska	X=444–444,90; Y=232,60–235	Bardzo zbita i twarda piaszczysta ziemia; zawierała duże kamienie; najstarsze erozyjne wypełnisko fosy; miąższość do 30 cm	10YR 5/3	16, 46	19
48	-	2	Fosa w NE części grodziska	X=444–445; Y=233,96–235	Jednorodna pylasta ziemia; zalegały kamienie do 20 cm średnicy; erozyjne wypełnisko fosy; miąższość do 18 cm	10YR 4/3	5, 45, 46	16
49	-	2	Zewnętrzne zbocze wału w NE części grodziska	X=445,30–446; Y=227,50–229,60	Pylasta ziemia z dużą ilością małych kamieni; warstwa użytkowa I fazy; miąższość do 15 cm	10YR 6/4	22	23, 31, 32, 36
50	-	2	Szczyt wału w NE części stanowiska	X=445–446; Y=222,10–223,30	Przemieszana piaszczysta ziemia; zawiera fragmenty polepy i frakcje gliniaste; warstwa destrukcyjna; miąższość do 25 cm	10YR 4/3	1	2, 26, 37, 41
51	-	2	Szczyt wału w NE części stanowiska	X=445,16–446; Y=223,50–225,44	Przepalona ziemia z grudami polepy i kamieniami (do 25 cm średnicy); najmłodsza wypełnisko obiektu 18, warstwa destrukcyjna; miąższość do 60 cm	7,5YR 4/6	1	17, 28
52	18	2	Szczyt wału w NE części stanowiska	X=445,30–446; Y=223,70–225,10	Piaszczysto-gliniasta ziemia i rumosz kamienny; starszy element wypełniska obiektu 18; warstwa destrukcyjna; miąższość do 50 cm	10YR 5/4	17	24, 28

powstała warstwa spływowa jednorodnej brązowej warstwy ziemi 5. W wyższej partii stoku znajdowała się także przemieszana warstwa piaszczysto-ilastej ziemi 38 z drobinami polepy i pojedynczych kamieni.

Na szczycie majdanu utworzyły się warstwy organiczne: czarna ziemia 2, w której występowało dużo drobnych kamieni, a także przemieszana warstwa 50 ziemi z piaskiem, plamami polepy i frakcjami gliniastymi, w której natrafiono na kamienie pokryte szkliwem. W profilu zachodnim zaobserwowano obiekt 14 z piaszczysto-ilastym ciemnoszarym wypełniskiem 13=39. Na powierzchni grodziska powstała warstwa organicznego humusu leśnego 1 (ryc. 20–24).

Piec wapienniczy

We wczesnym okresie krzyżackim, który stanowi II fazę użytkowania grodziska w Zimnochach, st. 2 zniwelowano nasyp wału i zewnętrzny stok, na któ-

Ryc. 19. Zimnochy, st. 2. Destrukcyjna warstwa rumoszu kamiennego, który zalegał wewnątrz odsłoniętego wapiennika. Widok od strony zachodniej (fot. K. Rabiega)

rym znajdowały się nawarstwienia z wczesnej epoki żelaza. W najwyższym punkcie wzniesienia wkopano piec wapienniczy.

Wewnątrz wkopu (obiekt 18) i ponad powierzchnią zbudowano kamienną konstrukcję (warstwa 28), wykładając ściany dużymi kamieniami o średnicy do 45 cm, i oblepiając gliną. Konstrukcja charakteryzowała się w przekroju podłużnym kształtem odwróconego ściętego stożka o płaskim dnie. Forma szybu znajdującego się ponad powierzchnią nie jest znana, jednak ilość gruzu kamiennego, który zalegał na stoku i w fosie sugeruje, że piec zaopatrzony był w wysoki komin, który runął podczas procesów erozyjnych. Kształt wapiennika w planie był prawdopodobnie okrągły[1]. Średnica zewnętrzna konstrukcji kamiennej pieca w najszerszym miejscu wynosiła 210 cm, a na dnie 165 cm. Obiekt został wkopany na głębokość 120 cm (w punkcie najwyższym) i 65 cm (w punkcie najniższym). Największa wewnętrzna głębokość zachowanej konstrukcji wynosiła 170 cm. Ponad powierzchnią, od zewnętrznej strony, konstrukcję kamienną wapiennika obłożono grubą warstwą gliny i piasku, zapewniając w ten sposób większą izolację termiczną. Okład ten w procesach destrukcyjnych uległ przepaleniu, a jego śladem są pomarańczowe i czerwone przepalone warstwy polepy 3 i 40 (ryc. 25).

Piec wapienniczy (nazywany inaczej wapiennikiem lub piecem wapiennym) stanowił piec szybowy, wykorzystywany do uzyskania wapna palonego (tlenku wapnia) poprzez wypalanie skał wapiennych w temperaturze 900–1100°C[2]. Szyb ładowano za pomocą prostych drewnianych konstrukcji od góry, na przemian warstwami kamienia wapiennego oraz węgla drzewnego. Wsad, który obsuwał się w dół szybu pieca, podgrzewał się, a węgiel zapalał. Wówczas w strefie wypalania węglan wapnia ulegał rozkładowi na tlenek wapnia i dwutlenek węgla ($CaCO_3$ + ciepło → $CaO + CO_2$)[3].

Ponieważ cały proces wymagał utrzymania wysokiej temperatury, szyb pieca izolowany był od zewnątrz warstwami ziemi lub gliny. Dlatego bardzo często piec wapienniczy wkopywano w zbocze wzniesienia, aby teren stanowił naturalną izolację termiczną. W trakcie wypału materiał zsypywał się w dół szybu w przeciwprądzie do ruchu gorącego powietrza. Wówczas dwutlenek węgla (CO_2) wraz ze spalinami uchodził do atmosfery, a wapno palone, po ostudzeniu, można było wybrać przez dolną komorę w postaci gotowego produktu. Oprócz dużych, przemysłowych wapienników, budowano także małe, okresowe piece, które wystarczały na lokalne potrzeby (ryc. 26)[4]. Wapno palone od wieków znajdowało zastosowanie w budownictwie jako element zaprawy wapiennej[5], ale spotyka się je także w przemyśle metalurgicznym, szklarskim czy ceramicznym.

Na terenie grodziska w Zimnochach, st. 2 odkryto elementy powstałe w związku z użytkowaniem pieca wapienniczego, które świadczyły o działaniu bardzo wysokiej temperatury. Dookoła obiektu, między konstrukcją kamienną, a warstwą naturalną, zaobserwowano warstwę 26, która w skutek działania wysokiej temperatury uległa przepaleniu nabierając intensywnie pomarańczowego i różowego koloru (ryc. 27). Kamienie i oblepiająca je glina od wewnętrznej strony pieca pokryły się szkliwem (ryc. 28), a kamienie, w wyniku przepalenia, popękały. W wypełnisku pieca znaleziono także małe kamienie wapienne i granitowe, które były pokryte zielonkawą glazurą. Poniżej wkopu pod wapiennik zaobserwowano również zmiany kolorystyczne warstwy naturalnej gliny, w którą obiekt został wkopany.

Wewnątrz pieca, bezpośrednio nad warstwą naturalną znajdowała się warstwa wapna 24 (ryc. 29), która utworzyła się w trakcie procesu wypalania. Stanowi ona decydujący dowód o jego zastosowaniu. Nie zaobserwowano wewnątrz warstw wsadu, ani nie stwierdzono obecności węgli drzewnych. Może to świadczyć o krótkim użytkowaniu wapiennika lub o jego dokładnym opróżnieniu przed ostateczną destrukcją, ponieważ wewnątrz obiektu, powyżej warstwy 24, natrafiono jedynie na warstwy rumoszu kamienno-polepowego (ryc. 30). W trakcie badań nie zidentyfikowano komory przypiecowej, służącego do wybierania wapna palonego, więc albo konstrukcja pieca nie wymagała istnienia takiej komory, albo mo-

[1] W wykopie odsłonięto połowę konstrukcji, ukazując jej przekrój podłużny na profilu wschodnim.

[2] Wyrobisz 1981; Osiecka 2006: 21.

[3] Osiecka 2006: 21; Margalha *et al*. 2008.

[4] Smith 2011: 2–4.

[5] Wirska-Parachoniak 1968: 17; Smith 2011: 2.

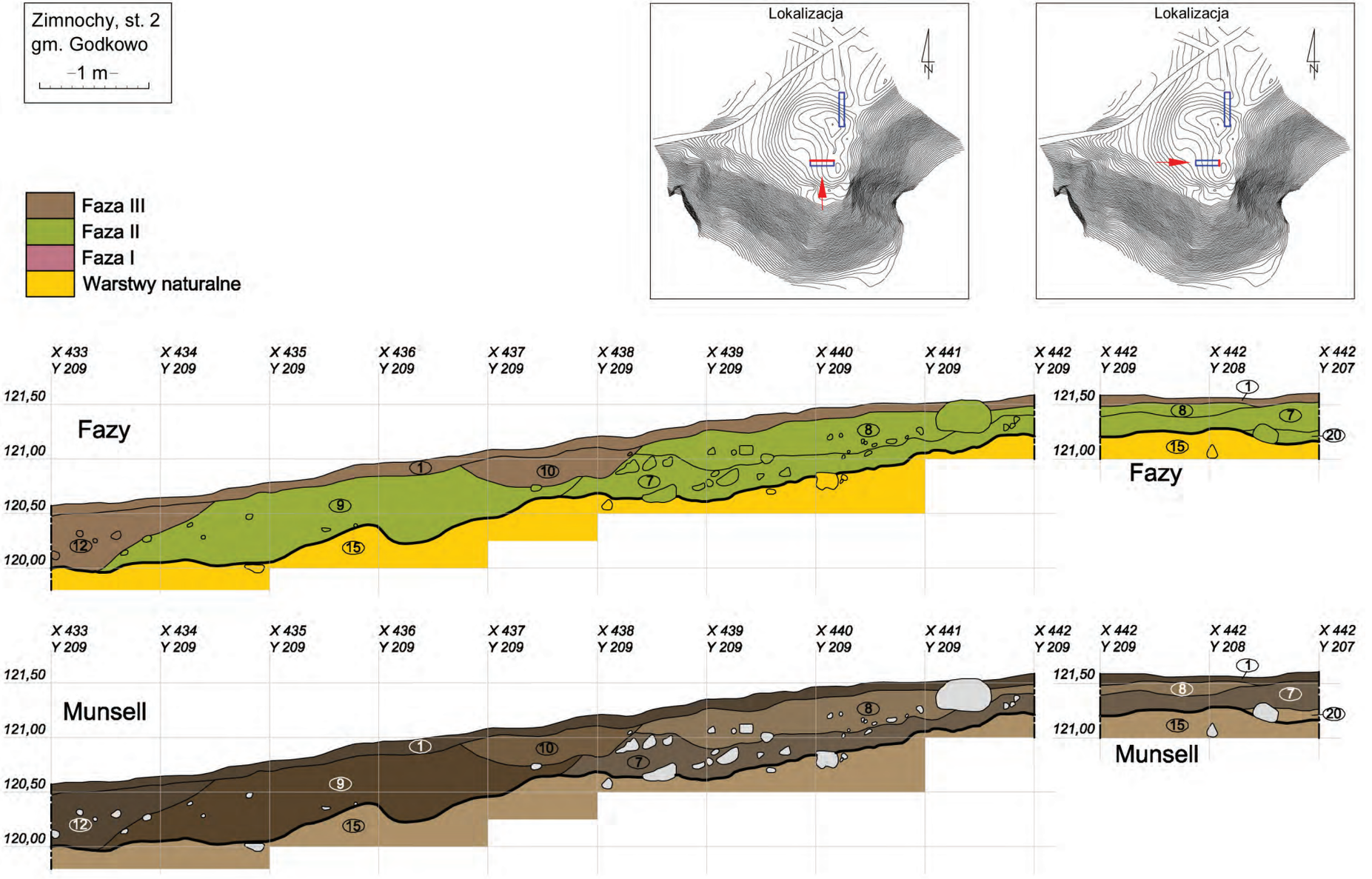

Ryc. 20. Zimnochy, st. 2. Ściana północna i wschodnia wykopu 1 (oprac. K. Rabiega i R. Solecki)

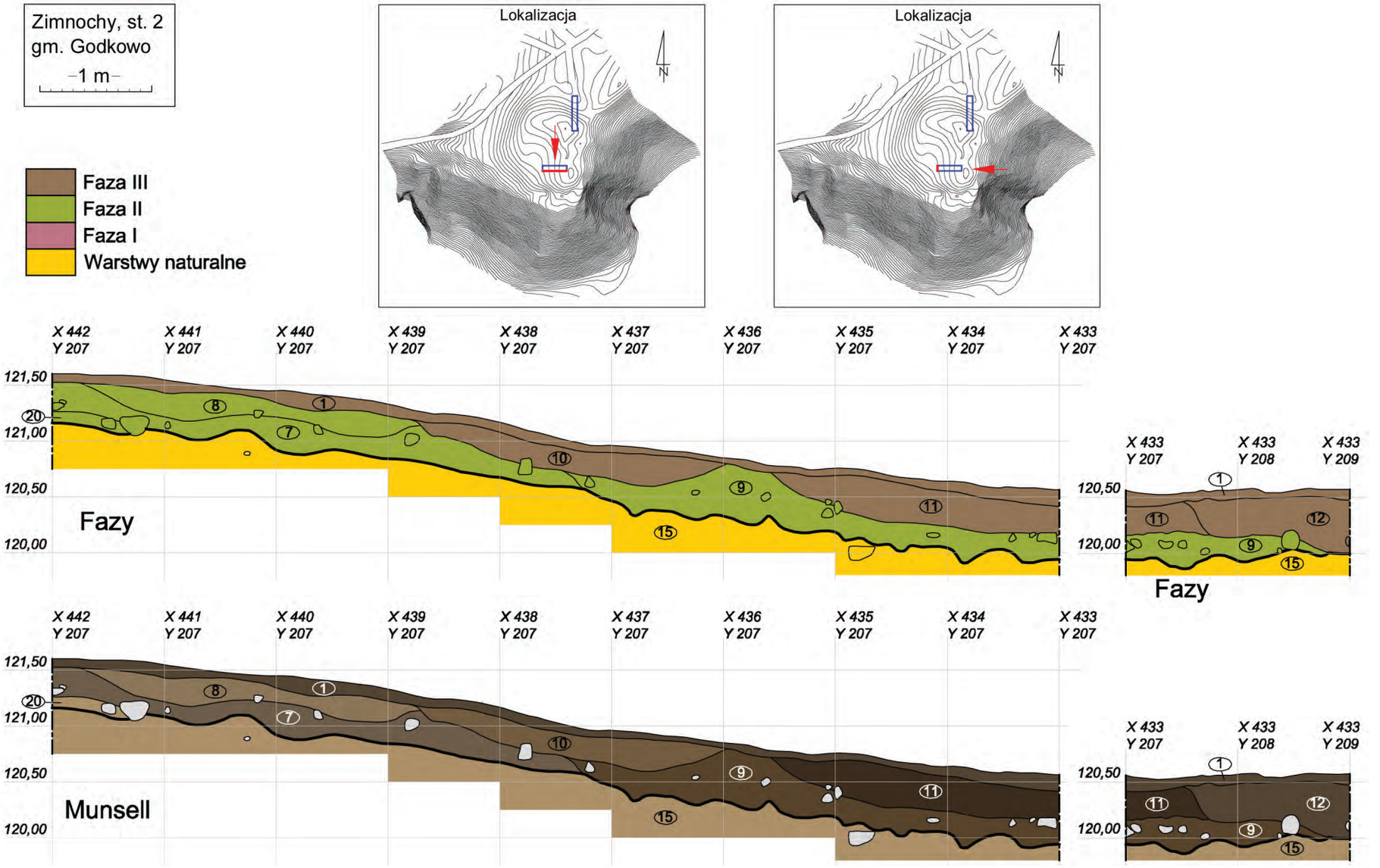

Ryc. 21. Zimnochy, st. 2. Ściana południowa i zachodnia wykopu 1 (oprac. K. Rabiega i R. Solecki)

Zimnochy, st. 2
gm. Godkowo
–1 m–

Faza III
Faza II
Faza I
Warstwy naturalne

Lokalizacja

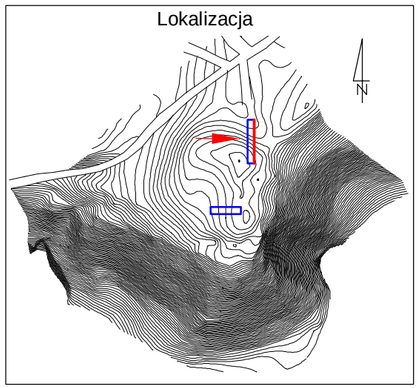

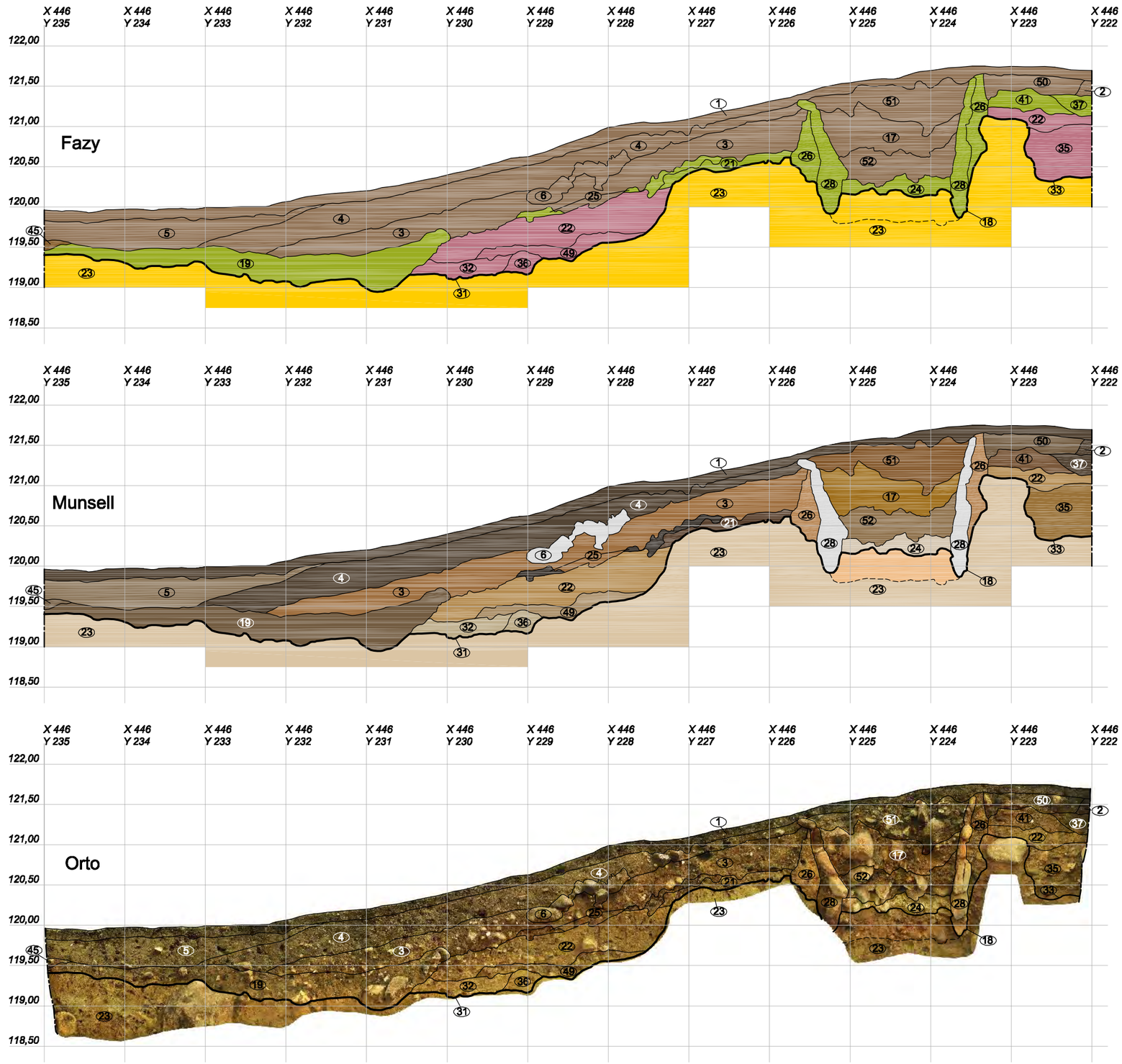

Ryc. 22. Zimnochy, st. 2. Ściana wschodnia wykopu 2 (oprac. K. Rabiega i R. Solecki)

Zimnochy, st. 2
gm. Godkowo
–1 m–

Faza III
Faza II
Faza I
Warstwy naturalne

Lokalizacja

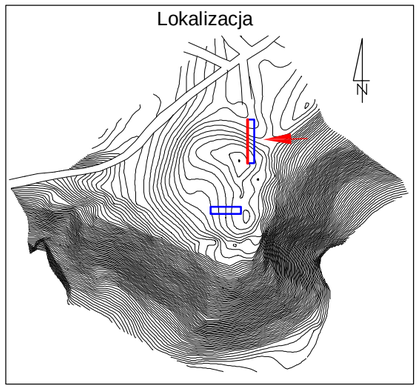

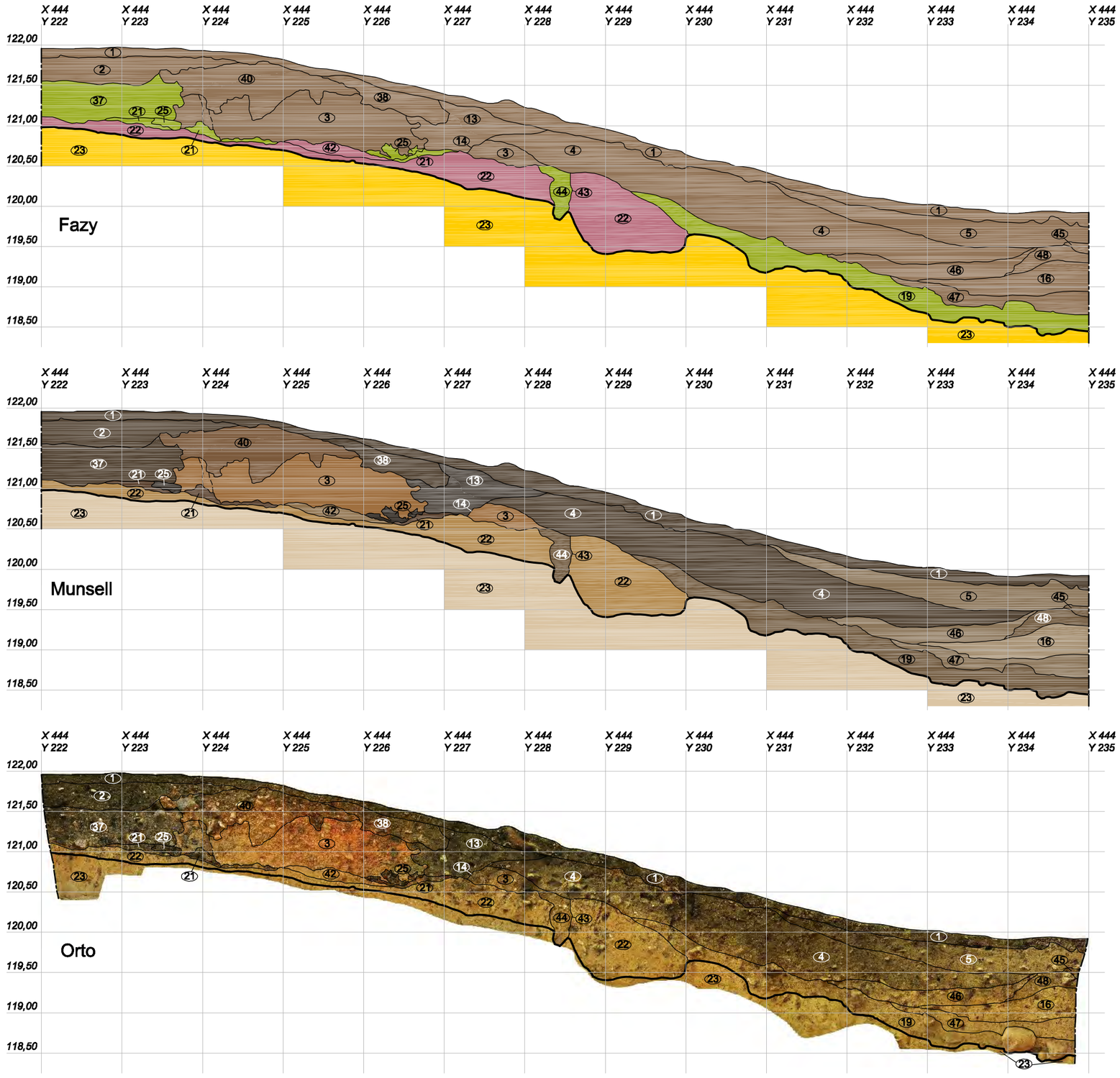

Ryc. 23. Zimnochy, st. 2. Ściana zachodnia wykopu 1 (oprac. K. Rabiega i R. Solecki)

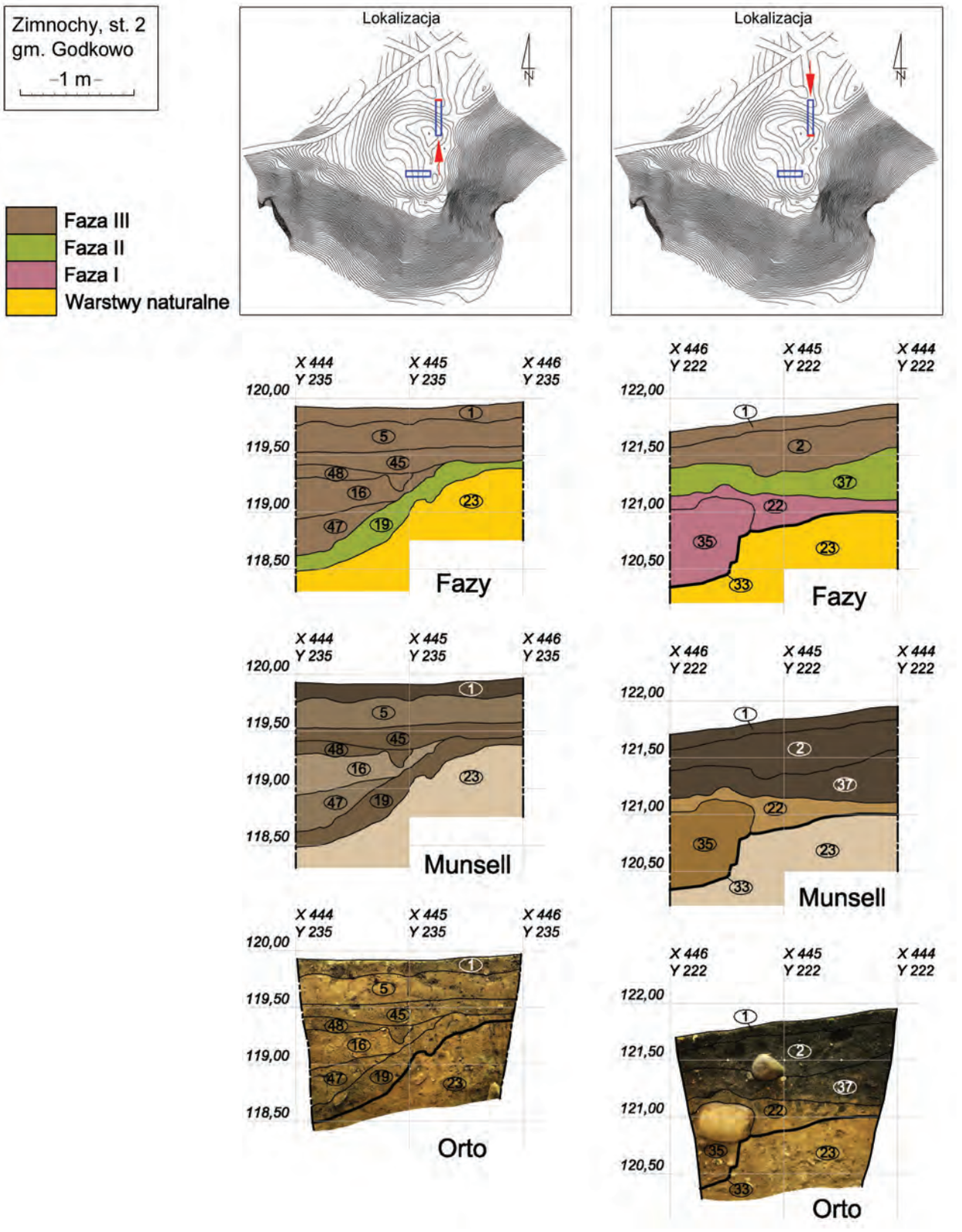

Ryc. 24. Zimnochy, st. 2. Ściana północna i południowa wykopu 2 (oprac. K. Rabiega i R. Solecki)

Ryc. 25. Zimnochy, st. 2. Piec wapienniczy z widocznym dookolnym okładem gliniano-piaskowym w postaci polepy. Widok od strony południowej (fot. K. Rabiega)

gła ona znajdować się po wschodniej stronie obiektu. Ukształtowanie terenu, na którym zbudowano piec sugeruje raczej tę ostatnią możliwość.

W celu wyjaśnienia funkcji pieca, potwierdzenia lub zaprzeczenia tezy o wykorzystywaniu go jako pieca wapienniczego, wykonano analizę pierwiastkową prób bezpośrednio związanych z obiektem[6]. Badaniom poddano dwie próby: próbę 43, pobraną z warstwy 24, znajdującej się na dnie pieca; a także, znajdującą się na poziomie wkopu pod piec, próbę skały wapiennej 52, pobraną z warstwy 22 (ryc. 31). Wyniki analizy wykazały dominację wapnia (Ca) i krzemu (Si). Akcesorycznie występowała także siarka (S), sód (Na) i glin (Al). Analiza pierwiastkowa obu prób, wykazując podobne rezultaty, świadczy o tym, że próba pobrana z dna pieca jest pochodną wykorzystania skały, która również została poddana analizie. Przebadany kamień to skała wapienna. Ze względu na zbyt małą ilość magnezu można wykluczyć, że jest to dolomit, a najpewniej węglan wapnia ($CaCO_3$). Duża domieszka krzemu wskazuje, że jest to wapień piaszczysty lub zapiaszczony. Próba 43 natomiast to efekt prażenia skały wapiennej w temperaturze 900–1000° C. W efekcie powstało wapno palone, czyli tlenek wapnia (CaO), choć zastosowana metoda nie wskazała obecności tlenu i węgla[7]. Wyniki analizy pierwiastkowej potwierdzają, że odkryty obiekt służył jako piec do wypalania wapna. Duża ilość krzemu w próbie wapna pozyskanego z dna pieca wskazuje, że jest to wapno zanieczyszczone lub celowo mieszane z piaskiem.

Podczas badań archeologicznych odkryto również ślady przepalonej warstwy użytkowej na poziomie wkopu pod piec (warstwa 21), a także pozostałości

[6] Za wykonanie analizy zawartości pierwiastków dziękuję mgr. Maciejowi Sierakowskiemu z Centrum Laboratoryjnego Nauk Przyrodniczych UKSW. Analiza została wykonana za pomocą spektrometru plazmowego ICP.

[7] Za analizę wyników dziękuję dr. Fabianowi Welcowi z Instytutu Archeologii UKSW.

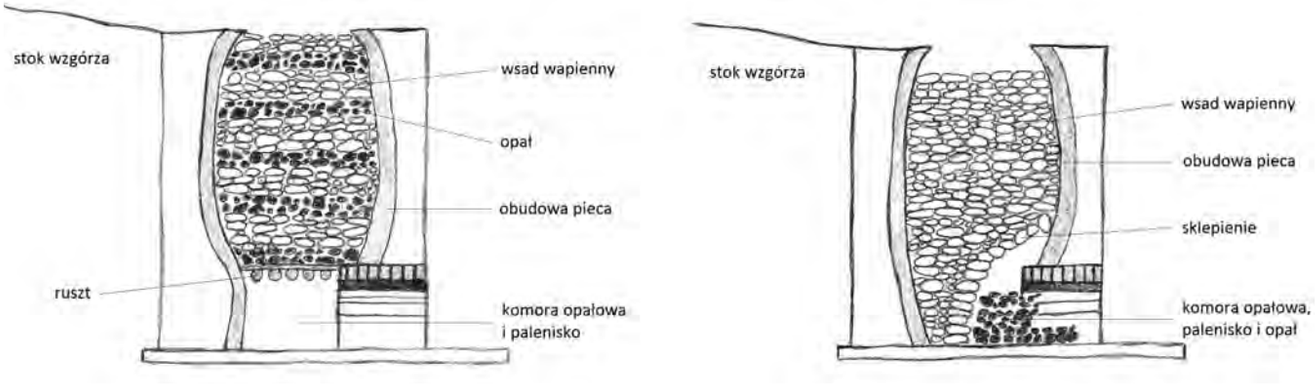

Ryc. 26. Rekonstrukcje wapienników okresowych (rys. K. Rabiega, wg: Smith 2011: 4)

drewnianej konstrukcji zewnętrznej w postaci spalonych bierwion (warstwa 25), która zapewne związana była z wapiennikiem (ryc. 32). Obiektem, który prawdopodobnie również miał związek z konstrukcją wapiennika był dół posłupowy 43 z wypełniskiem pylastej przepalonej ziemi z frakcjami piaszczystymi o ciemnoszarej barwie 44, widoczny w zachodnim profilu wykopu.

Podczas badań pobrano próbę polepy ze ściany wapiennika. Została ona wydatowana metodą termoluminescencyjną na przedział lat 1180–1254[8]. Wynik datowania, a także fragmenty ceramiki „siwej" oraz żelazny klucz do kłódki, znalezione w warstwie użytkowej związanej z funkcjonowaniem pieca, pozwalają datować obiekt na pierwszą połowę XIII w.

Wskazanie analogii do pieca odkrytego w Zimnochach, st. 2 sprawia pewne trudności. Późnośredniowieczne wapienniki w źródłach archeologicznych spotykane są stosunkowo rzadko w porównaniu do znalezisk z wcześniejszych i późniejszych okresów. W Polsce najwięcej odkrytych pieców tego typu datowanych jest na epokę żelaza. Z tego też okresu pochodzi jedyny znany wapiennik z województwa warmińsko-mazurskiego, odkryty w miejscowości Konikowo (Rostek)[9].

W województwie kujawsko-pomorskim w miejscowości Stalmierz odsłonięto obiekt zidentyfikowany jako wapiennik kultury pomorskiej[10]. Był on zbudowany z średnich i dużych kamieni ułożonych na lejkowato rozchylonych ścianach głębokiej jamy. Na poziomie stropu piec miał kształt owalu o wymiarach 350 cm i 240 cm, natomiast na poziomie dna miał 220 cm długości i około 100 cm szerokości. Głębokość od zachowanego poziomu stropu wynosiła około 110 cm. Dwupoziomowe wypełnisko obiektu składało się z około 40 cm miąższości warstwy piasku i żwirku przemieszanego z marglem oraz około 70 cm miąższości warstwy przenikających się płatów gliny, margla i piasku. Oba poziomy rozdzielała warstwa zlasowanej polepy stanowiącej rodzaj klepiska, w której natrafiono na fragmenty ceramiki oraz bryłki polepy z odciskami trawy, bierwion drewna i palców. Na dnie obiektu znajdowała się owalna bryła kruchego zlepieńca marglowo-wapiennego[11].

Późnośredniowieczne wapienniki w Polsce znane są jedynie z województwa podlaskiego (Nowogród Łomżyński)[12] i wielkopolskiego (Poznań)[13], a piece datowane na przełom późnego średniowiecza i nowożytności występowały także w województwie pomorskim (Gdańsk)[14]. W Nowogrodzie Łomżyńskim

Ryc. 27. Zimnochy, st. 2. Poziom wkopu wapiennika z widocznymi przebarwieniami warstw. Widok od strony zachodniej (fot. K. Rabiega)

Ryc. 28. Zimnochy, st. 2. Wnętrze pieca z widocznym szkliwem pokrywającym kamienie i polepę (fot. K. Rabiega)

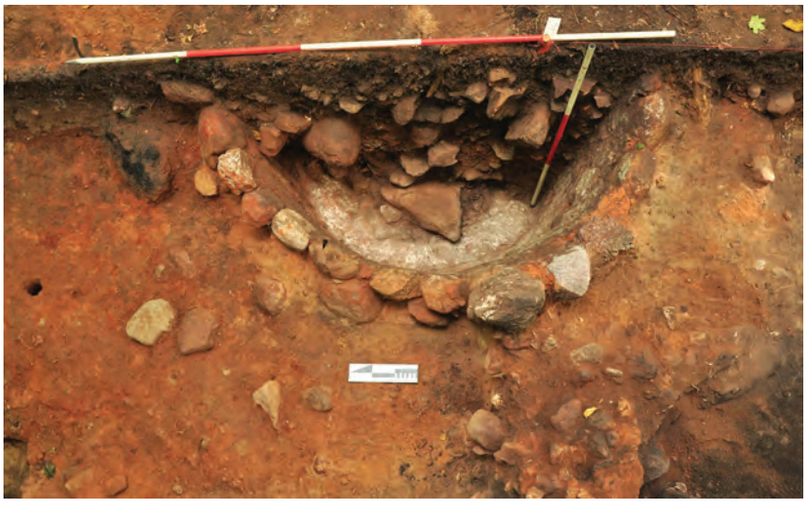

Ryc. 29. Zimnochy, st. 2. Piec wapienniczy z widoczną warstwą wapna zalegająca na jego dnie (fot. K. Rabiega)

[8] Kobyliński 2016: 107.

[9] Engel 2002.

[10] *Informator Archeologiczny* 2012: 121–122.

[11] *Informator Archeologiczny* 2012: 121–122.

[12] *Informator Archeologiczny* 1968: 350–351.

[13] *Informator Archeologiczny* 2005: 276.

[14] W sprawozdaniu z badań stwierdzono, że w okresie XV–XVI w. wewnątrz północno-zachodniego krańca miasta

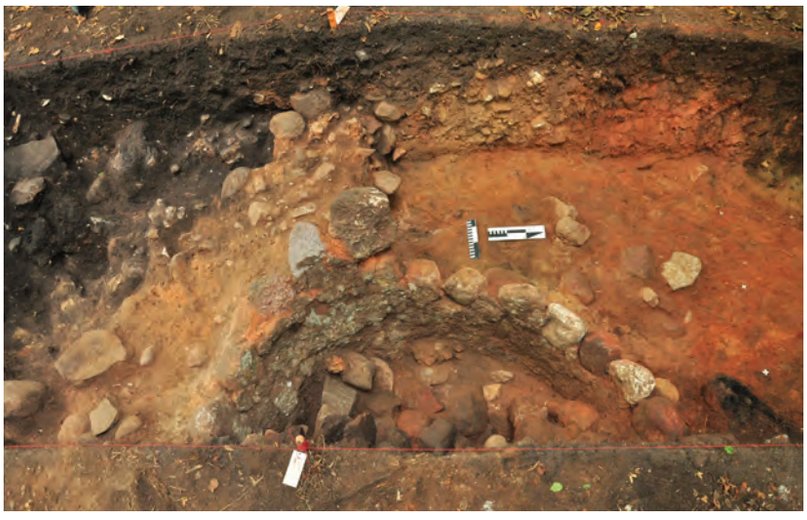

Ryc. 30. Zimnochy, st. 2. Piec wapienniczy z widocznym rumoszem kamienno-polepowym stanowiącym jego wypełnisko (fot. K. Rabiega)

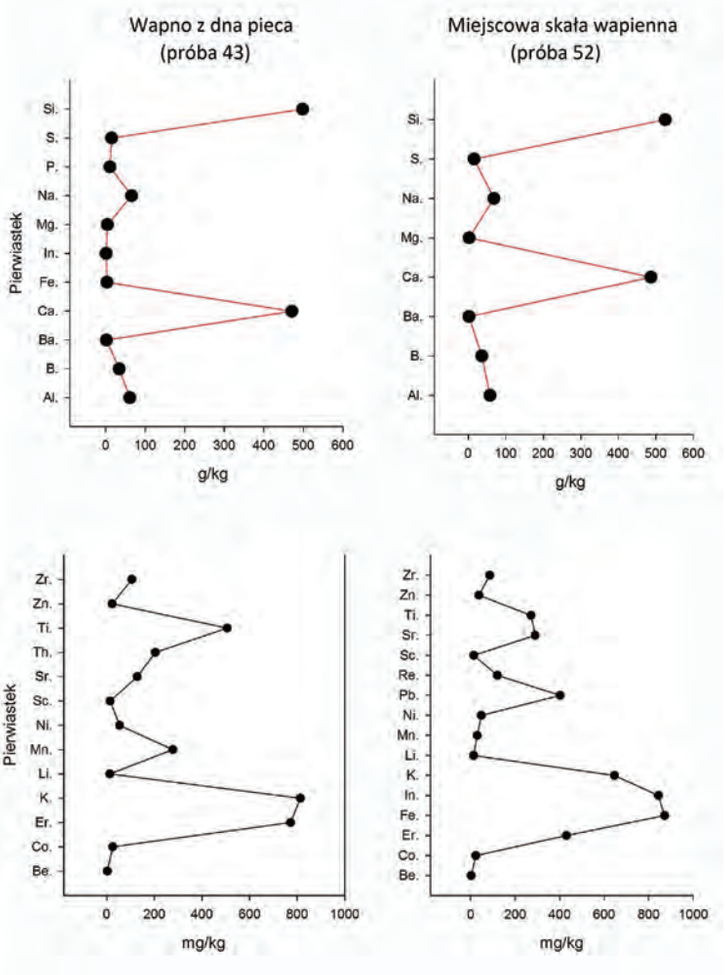

Ryc. 31. Wyniki analizy pierwiastkowej prób z wapiennika w Zimnochach, st. 2 (oprac. M. Sierakowski, oprac. graficzne F. Welc)

Ryc. 32. Zimnochy, st. 2. Nawarstwienia fazy użytkowania wapiennika. Widok z południa (fot. K. Rabiega)

odkryto pozostałości trzech wapienników: jednego z XIV w., drugiego z XV w. i trzeciego funkcjonującego w XVII i XVIII w.[15] Najstarszy piec, podobnie jak przykład z Zimnochów, st. 2, zawierał w warstwie destrukcyjnej duże pokłady gliny i żwirku wypalonego na kolor czerwony, a we wszystkich piecach zachowały się drobne fragmenty ścian wylepionych gliną[16].

funkcjonowały przynajmniej dwa piece wapiennicze; zob. *Informator Archeologiczny* 2006.

[15] *Informator Archeologiczny* 1968: 350.

[16] *Informator Archeologiczny* 1968: 351.

Poza granicami Polski, podobny obiekt znaleziono w czeskim Brnie[17]. Jest on datowany na XIV w., jednak zdaniem badaczy był kilkukrotnie przebudowywany. Początkowo wypalano w nim cegły, a dopiero w późniejszym okresie służył do wypalania wapna. Piec charakteryzował się w planie kształtem prostokątnym, natomiast jego wymiary wynosiły około 320 x 360 cm. W odróżnieniu od wapiennika z Zimnochów, st. 2, był on zbudowany z cegły. Jednak dokumentacja fotograficzna pozwala zaobserwować bardzo podobne skutki działania wysokiej temperatury jakimi były przebarwienia warstw i obecność szkliwa na ścianach wewnętrznych pieca. Co więcej, w przykładzie z Brna zachowała się komora do wybierania gotowego, wypalonego materiału.

Z terenu Niemiec średniowieczne wapienniki zarejestrowano m. in. na Pomorzu Przednim w Greifswald, Wackerow i Pasewalk[18]. Charakteryzowały się one podobnymi przebarwieniami warstw pod wpływem działania wysokiej temperatury, jednak ich forma również charakteryzowała się prostokątnym kształtem.

ZNALEZISKA
Ceramika

Materiał ceramiczny zebrany podczas badań wykopaliskowych obejmuje zespół 22 fragmentów (tab. 2). Charakteryzują się one bardzo silnym rozdrobnieniem i żaden z nich nie pozwala na odtworzenie pełnej formy naczynia, a jedynie pojedyncze fragmenty posiadają cechy diagnostyczne umożliwiające określenie chronologii.

W badanym zbiorze dominuje pochodząca z faz II i III ceramika późnośredniowieczna, której znaleziono 18 fragmentów. Ceramiki starożytnej z Fazy I znaleziono jedynie cztery fragmenty, które charakteryzują się wysoce zaawansowanym wypłukaniem powierzchni i bardzo złym stanem zachowania, uniemożliwiającym ich w pełni wiarygodne datowanie. Z pewnością można je datować na epokę starożytności[19], a zważywszy na okoliczne osadnictwo grodowe w Strużynie st. 21 i 24, najprawdopodobniej na wczesną epokę żelaza. Na wspomnianych grodziskach odkryto materiał ceramiczny związany z kulturą kurhanów zachodniobałtyjskich i niewykluczone, że także grodzisko w Zimnochach zostało wzniesione przez społeczność reprezentującą tę kulturę[20].

Najwięcej fragmentów pochodziło z nawarstwień użytkowych w obrębie Fazy II. Redeponowanie materiału w trakcie procesów erozyjnych potwierdza zestawienie wielkości odnalezionych fragmentów ceramiki, gdzie 20 fragmentów ma mniej niż 5 cm długości (tab. 3). Wyróżniono dwie grupy technologiczno-surowcowe (tab. 4):

GTS-1: Ceramika z wczesnej epoki żelaza. Ceramika wykonana ze słabo wyrobionej masy ceramicznej z dużą ilością domieszki schudzającej – ostrokrawędziowego piasku, drobin startego granitu i miki. Materiał charakteryzuje się wypłukaną powierzchnią, z zachowaną grubością ścianki wynoszącą 7–9 mm. Ceramikę wypalano w atmosferze utleniającej, a barwa ścian zewnętrznych jest jasnopomarańczowa i pomarańczowa. W przełamie ceramika jest dwukolorowa – ściana zewnętrzna barwy jaśniejszej, natomiast przełom i ściana wewnętrzna w kolorze ciemnoszarym. Powierzchnia zewnętrzna jest wypłukana, chropowata, a powierzchnia wewnętrzna szorstka. Na ściankach wyraźnie widoczna jest domieszka oraz sporadycznie ślady lepienia ręcznego.

GTS-2: Ceramika „siwa". Ceramika wykonana z dobrze wyrobionej masy ceramicznej z małą ilością drobnej domieszki schudzającej, stanowiącej starty piasek. Grubość ścianek wynosi 4–8 mm (średnio ok. 6–7 mm). Wypał był redukcyjny, a kolor ścian jest jasnoszary, szary i ciemnoszary. Przełam jest najczęściej jednokolorowy. W jednym przypadku (część przydenna) przełam jest trójkolorowy, z krawędziami w kolorze ścianki, a środkiem ceglastym. Powierzchnia zewnętrzna i wewnętrzna jest gładka, z widocznymi śladami toczenia i zagładzania.

Grupa tego materiału ceramicznego stanowi większość zbioru z grodziska w Zimnochach i liczy 18 fragmentów. Ceramika tego rodzaju może być datowana na późne średniowiecze, a chronologicznie najczęściej występuje od połowy XIII do końca XV w.

Klasyfikacja typologiczna dotyczy zespołu ceramiki „siwej" należącej do grupy technologiczo-surowcowej GTS-2. Analizę typów naczyń z konieczności przeprowadzono na podstawie materiału zachowanego jedynie fragmentarycznie. Z tego względu wyodrębniono dwa fragmenty wylewów posiadające cechy diagnostyczne, a kryterium klasyfikacyjne dotyczy jedynie uformowania brzegu wylewu oraz kształtu profilu ścianki naczynia i wielkości średnicy wylewu.

Typ I – garnek (ryc. 33:1). Naczynie z wylewem prostym, zwężającym się, o lekko pogrubionej krawędzi i brzegach nieznacznie wychylonych na zewnątrz. Powierzchnia zewnętrzna z częściowo zachowanym ornamentem poziomego żłobienia. Zachowany fragment charakteryzuje się dobrym obtaczaniem, równym wnętrzem i jednym wypalonym otworem na powierzchni. Zachowana szerokość wynosi 2,5 cm, a fragment charakteryzuje się II stopniem erozji. Zachowany procent obwodu (5% SEN) pozwala przypuszczać, że średnica całego naczynia wynosiła ok. 17,5 cm.

Typ II – mały dzbanek (ryc. 33:2). Naczynie z wychylonym wypukłym wylewem, obłym od wewnątrz. Zachowany fragment charakteryzuje się słabym obtaczaniem, nierównym wnętrzem i kilkoma wypalonymi otworami na powierzchni. Zachowana szerokość wy-

[17] Holub, Merta i Zůbek 2006.

[18] Ansorge 2000.

[19] Za konsultacje dotyczącą analizy ceramiki dziękuję mgr Urszuli Kobylińskiej.

[20] Por. opracowanie wyników badań tych grodzisk w niniejszym tomie.

Tabela 2. Zimnochy, st. 2. Opis analityczny zespołów ceramicznych z poszczególnych jednostek stratygraficznych (oprac. K. Rabiega)

Faza	Jednostka stratygraficzna	Liczba fragmentów łącznie	Liczba różnych naczyń	Wylewy			Brzuśce				Części przydenne	Dna		Fragmenty o wypłukanej powierzchni	Chronologia		Grupy technologiczno-surowcowe		Typologia	
				Liczba fragmentów	SEN (procent obwodu)	Ornamentowane	Liczba fr. ogółem	Gładkie	Nieokreślone	Ornamentowane		Liczba fragmentów	SEN (procent obwodu)		Wczesna epoka żelaza	Późne średniowiecze	GTS1. Ceramika z wczesnej epoki żelaza	GTS2. Ceramika „siwa”	Typ I. Garnek	Typ II. Mały dzbanek
I	22	3	1	-	-	-	3	-	3	-	-	-	-	3	3	-	3	-	-	-
I	30	1	1	-	-	-	-	-	1	-	-	-	-	1	1	-	1	-	-	-
II	9	2	2	2	17	1	-	-	-	-	-	-	-	-	-	2	-	2	1	1
II	19	11	3	-	-	-	11	10	-	1	-	-	-	-	-	11	-	11	-	-
III	3	2	1	-	-	-	2	-	-	2	-	-	-	-	-	2	-	2	-	-
III	4	2	2	-	-	-	2	1	-	1	-	-	-	-	-	2	-	2	-	-
III	5	1	1	-	-	-	-	-	-	-	1	1	15	-	-	1	-	1	-	-
Suma		**22**	**11**	**2**	**15**	**1**	**18**	**11**	**4**	**4**	**1**	**1**	**15**	**4**	**4**	**18**	**4**	**18**	**-**	**-**

Tabela 3. Zimnochy, st. 2. Struktura wielkościowa zespołów ceramicznych z poszczególnych jednostek stratygraficznych i stopień ich erozji (oprac. K. Rabiega, wg klasyfikacji Buko 1990a: 353)

Jedn. strat.	Kategorie wielkościowe [cm]				Stopień erozji			Suma
	2	3	4	5	I	II	III	
3	1	-	1	-	2	-	-	**2**
4	-	-	1	1	1	1	-	**2**
5	-	-	-	1	1	-	-	**1**
9	-	1	1	-	1	1	-	**2**
19	2	6	3	-	8	3	-	**11**
22	-	2	1	-	-	-	3	**3**
30	-	-	1	-	-	1	-	**1**
Suma	**3**	**9**	**8**	**2**	**13**	**6**	**3**	**22**

Tabela 4. Zimnochy, st. 2. Zestawienie ilości materiału ceramicznego i wyróżnionych grup technologiczno-surowcowych w poszczególnych fazach (oprac. K. Rabiega)

Faza	Liczba fragmentów	Liczba w grupie technologiczno-surowcowej	
		GTS-1	GTS-2
I	4	4	-
II	13	-	13
III	5	-	5
Suma	**22**	**4**	**18**

nosi 4,5 cm, a fragment charakteryzuje się I stopniem erozji. Zachowany procent obwodu (12% SEN) pozwala ustalić, że średnica całego naczynia wynosiła 10 cm.

Wśród materiału ceramicznego występuje także jeden fragment przydenny zachowany w II stopniu erozji, którego wysokość wynosi 5,5 cm. Zachowany procent obwodu (15% SEN) wskazuje, że średnica naczynia wynosiła 8 cm. Fragment został wykonany z pasm ok. 1 cm szerokości, charakteryzuje się śladami toczenia, gładką powierzchnią i szorstkim wnętrzem. Stanowi jedyny przykład przełomu trójkolorowego (szary-ceglasty-szary) i został przydzielony do grupy technologiczno-surowcowej GTS-2 (ceramika „siwa”).

Ponadto zidentyfikowano cztery przypadki ornamentowania brzuśca za pomocą bardzo płytkich, szerokich na około 2–3 mm dookolnych żłobień bez wyraźnej krawędzi. Największa liczba uchwyconych rowków na powierzchni wynosi 5. Materiał ten znajduje się w grupie technologiczno-surowcowej GTS-2 i można go datować na późne średniowiecze

Elementy pokryte szkliwem

Podczas badań natrafiono na zespół znalezisk związanych z użytkowaniem pieca wapiennego. Grupę tę stanowi siedem kamieni (do 8 cm średnicy) oraz cztery fragmenty polepy pokryte szkliwem. Elementy te musiały zostać poddane działaniu wysokiej temperatury, wynoszącej ok. 1500°C[21]. Glazura pokrywająca fragmenty polepy ma kolor zielonym i ciemnozielonym (ryc. 34), a ta pokrywająca kamienie przybrała barwę jasnozieloną i białawą (ryc. 35). Są to wapienie oraz granity oblepione wapnem, które pod wpływem temperatury uległo zeszkliwieniu.

[21] Ansorge 2000: 133.

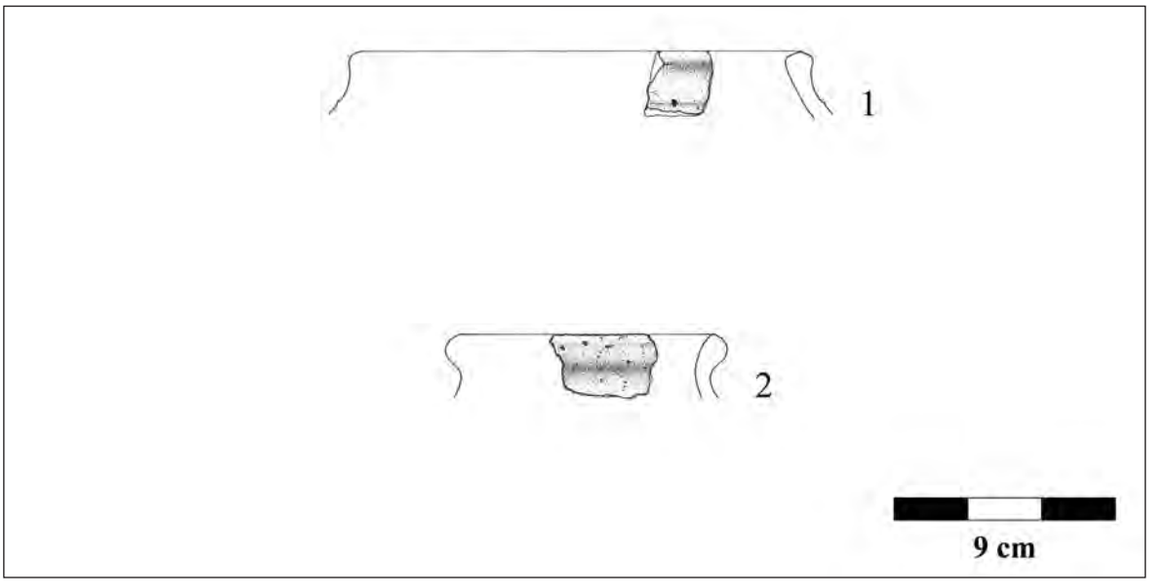

Ryc. 33. Zimnochy, st. 2. Ceramika „siwa” z nawarstwień Fazy II (rys. P. Potocka)

Ryc. 34. Zimnochy, st. 2. Polepa pokryta szkliwem (fot. K. Rabiega)

Ryc. 35. Zimnochy, st. 2. Kamienie pokryte szkliwem (fot. K. Rabiega)

Zabytki wydzielone

W warstwie użytkowej 19 w wykopie 2 odkryto jeden kompletnie zachowany żelazny klucz do kłódki (ryc. 36). Ma on kabłąkowym uchwytem o długości 3,3 cm, uformowanym przez wygięcie końca pręta. Posiada prosty, pozbawiony zdobień trzonek o przekroju prostokątnym, spłaszczony w partii końcowej. W dolnej części znajduje się pióro ustawione prostopadle do osi pionowej klucza w kształcie prostokąta o zaoblonych krawędziach i wymiarach otworu 0,9 x 1,3 cm. Całkowita długość klucza wynosi 19 cm. Został on znaleziony w warstwie użytkowej grodziska na stoku wału i związany jest z osadnictwem krzyżackim na tym obszarze. Podobne znaleziska pochodzą z badanych w ramach projektu *Katalog grodzisk Warmii i Mazur* grodzisk w Iławie, st. 33 – Wielka Żuława, w Durągu, st. 1 i w Grabinie, st. 1, gm. Ostróda, pow. ostródzki[22], a także z XIV-wiecznego zamku w Sadłowie, gm. Rypin, woj. kujawsko-pomorskie[23]. Znalezisko to może być datowane na XIII–XIV w.[24]

[22] Por. opracowanie wyników badań tych grodzisk w niniejszej publikacji.

[23] Dziubek 2004: ryc. 34:12; Łukomiak 2016: 93.

[24] Łukomiak 2016: 89–97.

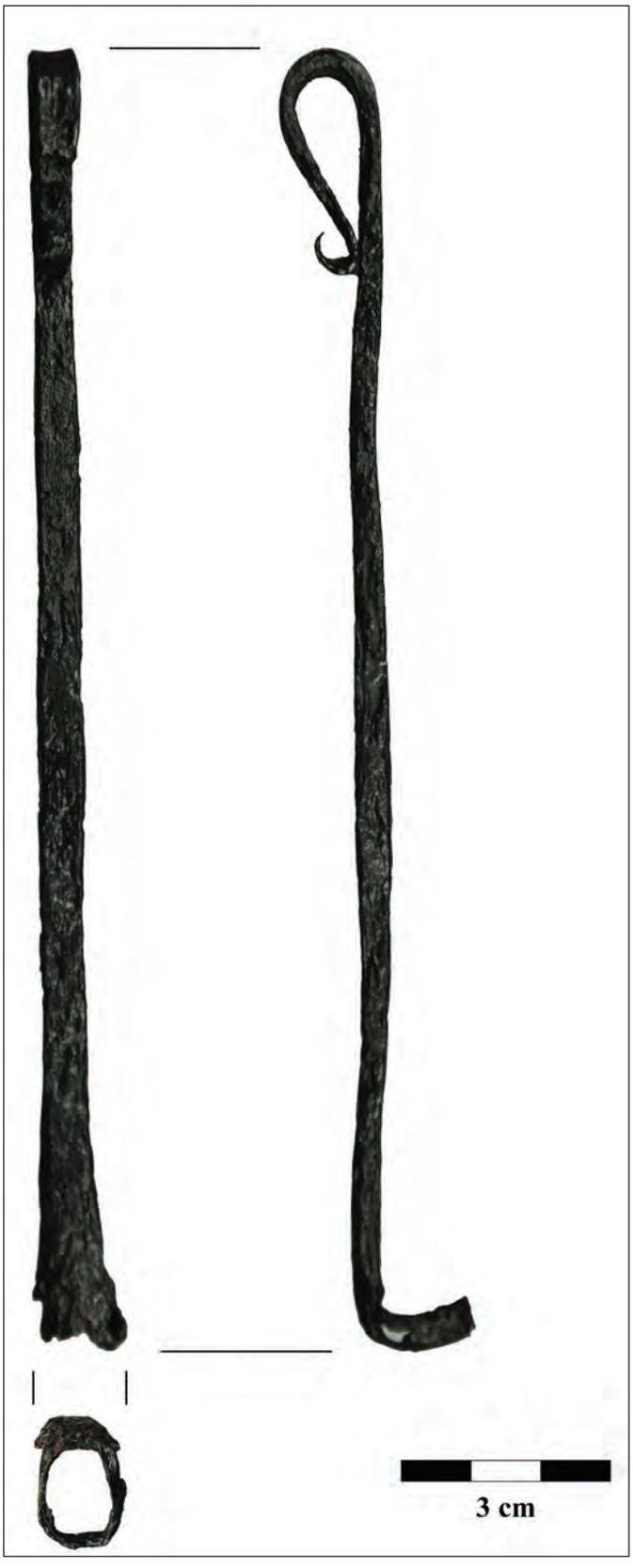

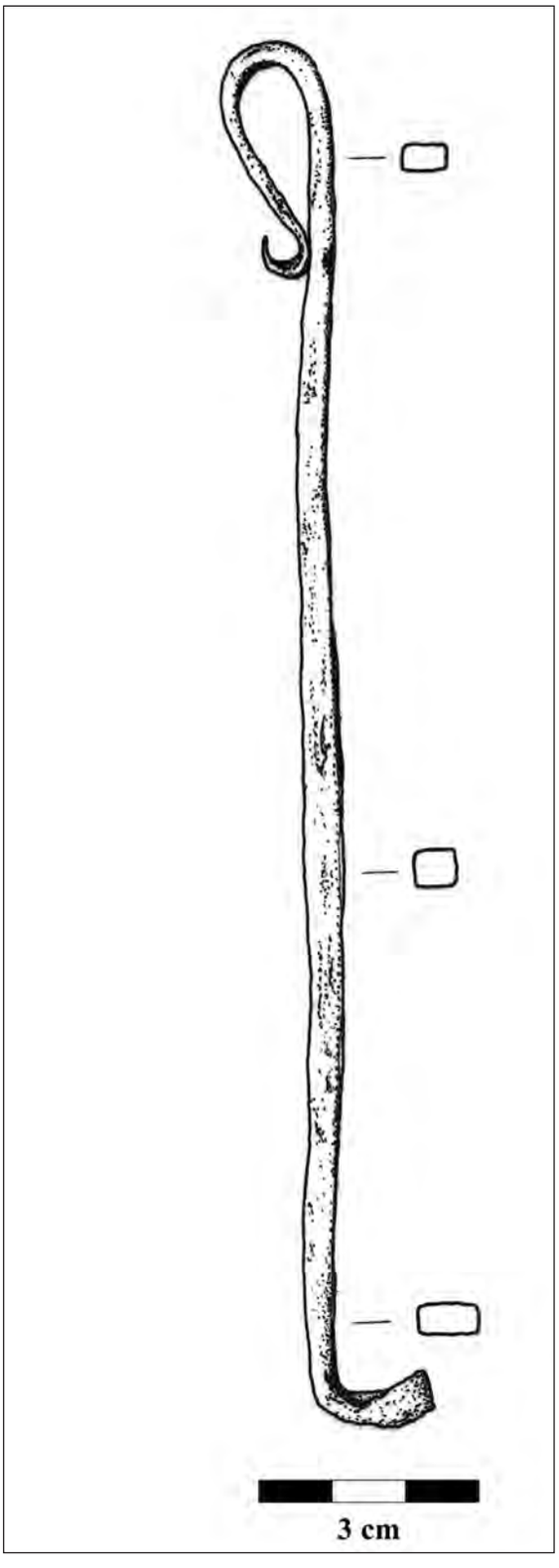

Ryc. 36. Zimnochy, st. 2. Klucz od kłódki (rys. P. Potocka, fot. K. Rabiega)

SZCZĄTKI ROŚLINNE

MARIA LITYŃSKA-ZAJĄC I MAGDALENA MOSKAL-DEL HOYO

Ze stanowiska 2 w Zimnochach pobrano 20 prób pochodzących z nawarstwień z wczesnej epoki żelaza (4 próby) i z późnego średniowiecza (16). We wszystkich z nich zanotowano spalone i niespalone resztki roślinne[25]. Te ostatnie, reprezentowane przez pięć taksonów roślinnych, są prawdopodobnie zanieczyszczeniem młodszym lub wręcz dzisiejszym. W badanym materiale obecne były sklerocja grzyba czarniaka właściwego *Cenococcum geophilinum*.

W obiekcie nr 30 (wczesna epoka żelaza) zachował się jeden ziarniak nieokreślonego zboża *Cerealia* indet. (tab. 5). Ponadto obecne były węgle drzewne graba zwyczajnego *Carpinus betulus*, olszy *Alnus* sp., brzozy *Betula* sp., dębu *Quercus* sp. i owoc lipy *Tilia* sp. Dwa ułamki drewna reprezentowały topolę lub wierzbę *Populus* sp. vel *Salix* sp., a jeden fragment kory pozostał nieoznaczony. W drugim z obiektów o tej samej metryce wystąpiły tylko resztki dębu i pojedyncze okazy nieoznaczone.

W materiałach z późnego średniowiecza słabo reprezentowane były szczątki roślin zielnych. Na podstawie zachowanych owoców oznaczono szczaw tępolistny *Rumex obtusifolius* i fiołka *Viola* sp. W spektrum antrakologicznym dominowały resztki dębu *Quercus* sp. Do poziomu rodzaju oznaczono jeszcze olszę *Alnus* sp., brzozę *Betula* sp., wierzbę *Salix* sp. i lipę *Tilia* sp., a do poziomu gatunku grab zwyczajny *Carpinus betulus* i jesion wyniosły *Fraxinus excelsior*. W warstwach późnośredniowiecznych obecne były owoce drzew graba zwyczajnego i lipy *Tilia cordata*.

[25] Opis metody: Lityńska-Zając i Moskal-del Hoyo 2016.

Tabela 5. Zimnochy, st. 2. Wyniki analizy paleobotanicznej (oprac. M. Lityńska-Zając i M. Moskal-del Hoyo)

Nazwa taksonu	Chronologia	Faza I – wczesna epoka żelaza		Faza II – późne średniowiecze				Faza III – późne średniowiecze				Suma
	Numer jednostki stratygraficznej	30 (ob. 29)	32 (ob. 31)	7	9	19	20	10	13 (ob. 14)	37	52 (ob. 18)	
	Typ szczątka	Szczątki spalone										
Cerealia indet.	z	1										**1**
Rumex obtusifolius	o			1								**1**
Viola sp.	o							1	2			**3**
Carpinus betulus	d	26		2		3		1				**32**
Carpinus betulus	o					1		1		4		**6**
Fraxinus excelsior	d								1			**1**
Tilia cordata	o									1		**1**
Alnus sp.	d	1										**1**
Betula sp.	d	5			1							**6**
Populus sp. vel *Salix* sp.	d	2		1			1	1				**5**
Quercus sp.	d	6	20	3	37	34	5	21	29	17	20	**192**
Salix sp.	d				1							**1**
Tilia sp.	d					2						**2**
Tilia sp.	o	1										**1**
liściaste	d				1	1		3		3		**8**
nieoznaczony	?		1			1						**2**
nieoznaczony	d		1				2	2				**5**
nieoznaczony	ko	1		1								**2**
Suma		**43**	**22**	**8**	**40**	**42**	**8**	**30**	**32**	**25**	**20**	**270**
Cenococcum geophilinum	sc	60	16	16	50	44	40	18	19	36	8	**307**
		Szczątki niespalone										
Medicago sp.	n				1							**1**
Stachys sp.	o		1									**1**
Trifolium sp.	n						1					**1**
Viola sp.	o						1					**1**
Carpinus betulus	o		2						1	1		**4**
Suma			**3**		**1**		**2**		**1**	**1**		**8**

DENDROLOGIA

TOMASZ STĘPNIK

W trakcie badań archeologicznych pobrano próby węgli drzewnych, które pochodziły z pogorzelisk konstrukcji drewnianych wzniesionych na wale lub związane były z funkcjonowaniem pieca wapienniczego. Próby zostały poddane analizie dendrologicznej, której wyniki wskazują, że konstrukcje te zostały wzniesione z dębiny, a przebadane elementy pochodzą z dużych elementów konstrukcyjnych wykonanych z pnia lub konaru (tab. 6).

Jedna z próbek została pobrana z przepalonej warstwy użytkowej, zlokalizowanej na granicy majdanu i wału, w południowej części grodziska i stanowiła element pozostałości po drewnianej konstrukcji wzniesionej prawdopodobnie na wale. Druga pochodziła z warstwy użytkowej zalegającej na północnym stoku wału i w fosie, i stanowiła element pogorzeliska po konstrukcji drewnianej, która runęła w kierunku fosy w wyniku zniszczenia grodu w okresie krzyżackim. Trzecia wreszcie próba pochodziła z pogorzeliska po zniszczonej konstrukcji drewnianej na poziomie wkopu pod piec wapienniczy i z jego najbliższego otoczenia. Konstrukcja znajdowała się na stoku wału, na północ od wapiennika i była związana z jego budową lub użytkowaniem w okresie krzyżackim.

Tabela 6. Wyniki analizy dendrologicznej prób węgli drzewnych z grodziska w Zimnochach, st. 2 (oprac. K. Rabiega, wg Stępnika 2016: 243)

Nr jednostki stratygraficznej	Wykop	Nazwa taksonu	Liczba fragmentów	Uwagi	Chronologia
9	1	*Quercus* sp.	7	z pnia lub konaru	XIII w.
19	2	*Quercus* sp.	3	z pnia lub konaru	XIII w.
25	2	*Quercus* sp.	14	z pnia	XIII w.

CHRONOLOGIA STANOWISKA

KAMIL RABIEGA

Na podstawie analizy materiału ceramicznego wydzielono dwa horyzonty chronologiczne grodziska. Pierwszy stanowi wczesną epokę żelaza i jest reprezentowany przez cztery fragmenty ceramiki pochodzące z nawarstwień należących do I fazy osadnictwa. Odkryty materiał wskazuje na działalność osadniczą człowieka w obszarze wału północno-wschodniej części grodziska. W obrębie wykopów nie natrafiono na ewidentne ślady konstrukcji obronnych z wczesnej epoki żelaza, gdyż w późniejszym okresie funkcjonowania stanowiska starsze nawarstwienia zostały w tym miejscu zniwelowane podczas budowy pieca wapienniczego.

Drugi horyzont chronologiczny stanowi okres późnego średniowiecza i jest reprezentowany przez 18 fragmentów ceramiki. Wiąże się on z usypaniem wału w południowo-wschodniej części stanowiska, a przede wszystkim z budową obiektu przemysłowego – wapiennika. Późnośredniowieczne pochodzenie pieca zostało potwierdzone dzięki datowaniu termoluminescencyjnemu polepy pobranej z jego ściany, które wskazało przedział lat 1180–1254[26]. Dodatkowym elementem datującym jest znaleziony w warstwie użytkowej żelazny klucz do kłódki. Pozwala on datować te nawarstwienia na okres XIII–XIV w.

DZIEJE GRODZISKA W ZIMNOCHACH, ST. 2

Badania wykopaliskowe pozwoliły zidentyfikować stanowisko jako funkcjonującą już w starożytności osadę obronną, która powstała przy wykorzystaniu naturalnych walorów obronnych, jakie zapewniało wysokie wzniesienie i strome zbocze wzgórza. Najstarsze odkryte na stanowisku nawarstwienia pochodzą z wczesnej epoki żelaza, jednak najwięcej śladów archeologicznych dowodzi użytkowania tego miejsca we wczesnym okresie krzyżackim. Wówczas na szczycie wału grodziska wzniesiono wolnostojący piec wapienniczy, niszcząc tym samym warstwy użytkowe pochodzące z wcześniejszej fazy użytkowania grodziska.

Na podstawie materiału ceramicznego, datowania termoluminescencyjnego polepy oraz żelaznego klucza można stwierdzić, że wapiennik funkcjonował we wczesnym okresie krzyżackim, prawdopodobnie w pierwszej połowie XIII w. W owym czasie Pogezania stała się areną walk pomiędzy Prusami a Krzyżakami, którzy osadzeni przez Konrada Mazowieckiego w ziemi chełmińskiej, od 1230 r. podjęli budowę własnego państwa. Zakon Krzyżacki po długich walkach z plemionami pruskimi i jaćwieskimi, trwającymi w latach 1233–1283, podbił ich ziemie[27]. Pogezania weszła na arenę dziejów w latach 1237–1238, kiedy to Krzyżacy założyli zamek i miasto w Elblągu, a następnie podbili resztę tego terytorium. Być może zniszczenie pieca było związane z powstaniami okolicznych plemion pruskich przeciwko Krzyżakom w latach 1243–1250 (lub 1251)[28].

Biorąc pod uwagę fakt, iż w źródłach archeologicznych z terenów Warmii i Mazur nie występują podobne obiekty[29], późnośredniowieczny piec wapienniczy

[26] Kobyliński 2016: 107.

[27] Powierski 2004: 126.

[28] Powierski 2004: 118.

[29] Jedyny odkryty piec wapienniczy z województwa warmińsko-mazurskiego pochodzi z Konikowa (Rostka), jednak datowany jest on na późny okres wpływów rzymskich; zob. Engel 2002.

z Zimnochów stanowi bardzo ważny przykład budownictwa tego typu obiektów w tym regionie. Jego mały rozmiar nie wskazuje, aby w tym miejscu wytwarzano wapno palone na szeroką skalę, a produkcja ograniczała się zapewne do lokalnego zapotrzebowania. W takim razie wydaje się, że w regionie musiały istnieć podobne piece, być może nawet większe, aby zaspokoić potrzebę produkcji wapna palonego niezbędnego do tworzenia zaprawy wapiennej.

Okoliczne wsie nie mają historycznego związku z grodziskiem w Zimnochach, st. 2. Źródła pisane wskazują, że obecna wieś Zimnochy pierwotnie funkcjonowała jako pruska wieś czynszowa, należąca do osad pruskich położonych między diecezją warmińską, a pomezańską. Pierwsza wzmianka o miejscowości pochodzi z 17 października 1378 r., kiedy odnotowano znajdujący się w niej staw młyński[30].

[30] Słodownik 2006.